



This is a digital copy of a book that was preserved for generations on library shelves before it was carefully scanned by Google as part of a project to make the world's books discoverable online.

It has survived long enough for the copyright to expire and the book to enter the public domain. A public domain book is one that was never subject to copyright or whose legal copyright term has expired. Whether a book is in the public domain may vary country to country. Public domain books are our gateways to the past, representing a wealth of history, culture and knowledge that's often difficult to discover.

Marks, notations and other marginalia present in the original volume will appear in this file - a reminder of this book's long journey from the publisher to a library and finally to you.

Usage guidelines

Google is proud to partner with libraries to digitize public domain materials and make them widely accessible. Public domain books belong to the public and we are merely their custodians. Nevertheless, this work is expensive, so in order to keep providing this resource, we have taken steps to prevent abuse by commercial parties, including placing technical restrictions on automated querying.

We also ask that you:

- + *Make non-commercial use of the files* We designed Google Book Search for use by individuals, and we request that you use these files for personal, non-commercial purposes.
- + *Refrain from automated querying* Do not send automated queries of any sort to Google's system: If you are conducting research on machine translation, optical character recognition or other areas where access to a large amount of text is helpful, please contact us. We encourage the use of public domain materials for these purposes and may be able to help.
- + *Maintain attribution* The Google "watermark" you see on each file is essential for informing people about this project and helping them find additional materials through Google Book Search. Please do not remove it.
- + *Keep it legal* Whatever your use, remember that you are responsible for ensuring that what you are doing is legal. Do not assume that just because we believe a book is in the public domain for users in the United States, that the work is also in the public domain for users in other countries. Whether a book is still in copyright varies from country to country, and we can't offer guidance on whether any specific use of any specific book is allowed. Please do not assume that a book's appearance in Google Book Search means it can be used in any manner anywhere in the world. Copyright infringement liability can be quite severe.

About Google Book Search

Google's mission is to organize the world's information and to make it universally accessible and useful. Google Book Search helps readers discover the world's books while helping authors and publishers reach new audiences. You can search through the full text of this book on the web at <http://books.google.com/>



Über dieses Buch

Dies ist ein digitales Exemplar eines Buches, das seit Generationen in den Regalen der Bibliotheken aufbewahrt wurde, bevor es von Google im Rahmen eines Projekts, mit dem die Bücher dieser Welt online verfügbar gemacht werden sollen, sorgfältig gescannt wurde.

Das Buch hat das Urheberrecht überdauert und kann nun öffentlich zugänglich gemacht werden. Ein öffentlich zugängliches Buch ist ein Buch, das niemals Urheberrechten unterlag oder bei dem die Schutzfrist des Urheberrechts abgelaufen ist. Ob ein Buch öffentlich zugänglich ist, kann von Land zu Land unterschiedlich sein. Öffentlich zugängliche Bücher sind unser Tor zur Vergangenheit und stellen ein geschichtliches, kulturelles und wissenschaftliches Vermögen dar, das häufig nur schwierig zu entdecken ist.

Gebrauchsspuren, Anmerkungen und andere Randbemerkungen, die im Originalband enthalten sind, finden sich auch in dieser Datei – eine Erinnerung an die lange Reise, die das Buch vom Verleger zu einer Bibliothek und weiter zu Ihnen hinter sich gebracht hat.

Nutzungsrichtlinien

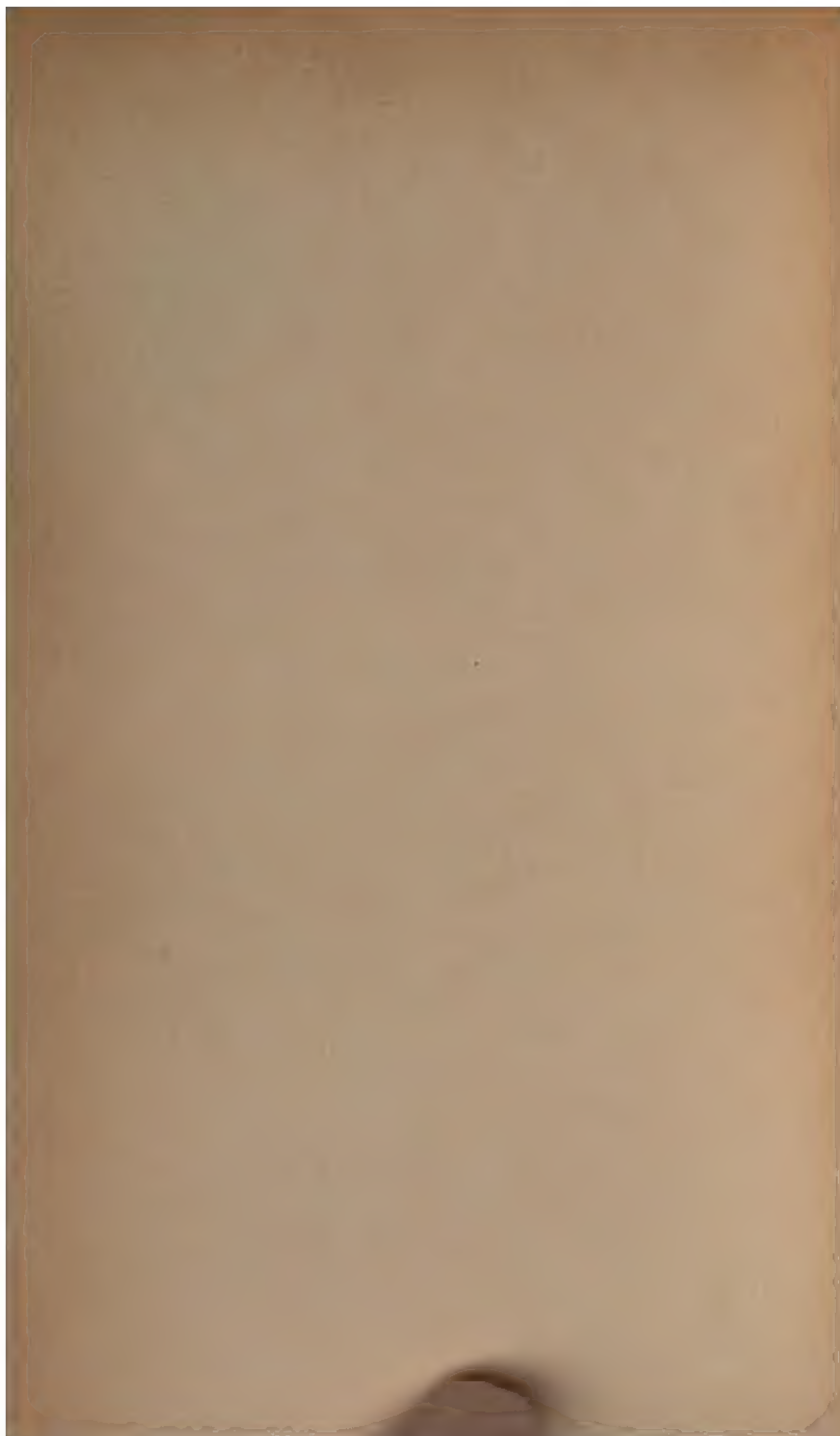
Google ist stolz, mit Bibliotheken in partnerschaftlicher Zusammenarbeit öffentlich zugängliches Material zu digitalisieren und einer breiten Masse zugänglich zu machen. Öffentlich zugängliche Bücher gehören der Öffentlichkeit, und wir sind nur ihre Hüter. Nichtsdestotrotz ist diese Arbeit kostspielig. Um diese Ressource weiterhin zur Verfügung stellen zu können, haben wir Schritte unternommen, um den Missbrauch durch kommerzielle Parteien zu verhindern. Dazu gehören technische Einschränkungen für automatisierte Abfragen.

Wir bitten Sie um Einhaltung folgender Richtlinien:

- + *Nutzung der Dateien zu nichtkommerziellen Zwecken* Wir haben Google Buchsuche für Endanwender konzipiert und möchten, dass Sie diese Dateien nur für persönliche, nichtkommerzielle Zwecke verwenden.
- + *Keine automatisierten Abfragen* Senden Sie keine automatisierten Abfragen irgendwelcher Art an das Google-System. Wenn Sie Recherchen über maschinelle Übersetzung, optische Zeichenerkennung oder andere Bereiche durchführen, in denen der Zugang zu Text in großen Mengen nützlich ist, wenden Sie sich bitte an uns. Wir fördern die Nutzung des öffentlich zugänglichen Materials für diese Zwecke und können Ihnen unter Umständen helfen.
- + *Beibehaltung von Google-Markenelementen* Das "Wasserzeichen" von Google, das Sie in jeder Datei finden, ist wichtig zur Information über dieses Projekt und hilft den Anwendern weiteres Material über Google Buchsuche zu finden. Bitte entfernen Sie das Wasserzeichen nicht.
- + *Bewegen Sie sich innerhalb der Legalität* Unabhängig von Ihrem Verwendungszweck müssen Sie sich Ihrer Verantwortung bewusst sein, sicherzustellen, dass Ihre Nutzung legal ist. Gehen Sie nicht davon aus, dass ein Buch, das nach unserem Dafürhalten für Nutzer in den USA öffentlich zugänglich ist, auch für Nutzer in anderen Ländern öffentlich zugänglich ist. Ob ein Buch noch dem Urheberrecht unterliegt, ist von Land zu Land verschieden. Wir können keine Beratung leisten, ob eine bestimmte Nutzung eines bestimmten Buches gesetzlich zulässig ist. Gehen Sie nicht davon aus, dass das Erscheinen eines Buchs in Google Buchsuche bedeutet, dass es in jeder Form und überall auf der Welt verwendet werden kann. Eine Urheberrechtsverletzung kann schwerwiegende Folgen haben.

Über Google Buchsuche

Das Ziel von Google besteht darin, die weltweiten Informationen zu organisieren und allgemein nutzbar und zugänglich zu machen. Google Buchsuche hilft Lesern dabei, die Bücher dieser Welt zu entdecken, und unterstützt Autoren und Verleger dabei, neue Zielgruppen zu erreichen. Den gesamten Buchtext können Sie im Internet unter <http://books.google.com> durchsuchen.





J. Beane Mitchell,

Palo Alto,
Jan. 1907.

138859
Handbuch

546
138

der

Anorganischen Chemie

Unter Mitwirkung von

Prof. Dr. Ahrens, Breslau; Dr. Auerbach, Charlottenburg; Priv.-Doz. Dr. Baur, z. Z. Berlin; (Prof. Dr. Bodländer †, Braunschweig); Priv.-Doz. Dr. J. v. Braun, Göttingen; Prof. Dr. Brauner, Prag; Dr. J. F. Brislee, Liverpool; Dr. Chilesotti, Turin; Prof. Dr. Cohen, Utrecht; Dr. H. M. Dawson, Leeds; Prof. Dr. Donnan, Liverpool; Dr. K. Drucker, Leipzig; Priv.-Doz. Dr. Herz, Breslau; Priv.-Doz. Dr. Hinrichsen, Aachen; Prof. Dr. Kötze, Göttingen; General-Kontrolleur d. Reichsmünze Dr. Hoitsema, Utrecht; Priv.-Doz. Dr. Koppel, Berlin; Priv.-Doz. Dr. Ley, Leipzig; Priv.-Doz. Dr. Lottermoser, Dresden; Prof. Dr. W. Marckwald, Berlin; Priv.-Doz. Dr. Jul. Meyer, Breslau; Priv.-Doz. Dr. R. J. Meyer, Berlin; Prof. Dr. Miolati, Turin; Prof. Dr. Erich Müller, Braunschweig; Dozent Dr. Palmaer, Stockholm; Priv.-Doz. Dr. Rohland, Stuttgart; Dr. Otto Sackur, Breslau; Dr. G. Rudolf, London; Priv.-Doz. Dr. Sachs, Breslau; Priv.-Doz. Dr. Schenck, Marburg; F. Wald, Kladno; Prof. Dr. Walden, Riga; Dr. Weigert, Berlin; Dr. H. Wohlwill, Hamburg

herausgegeben von

Dr. R. Abegg

a. o. Professor an der Universität Breslau.

Zweiter Band

Zweite Abteilung



Leipzig

Verlag von S. Hirzel

1905.

hn

UNIVERSITY OF CHICAGO

Die

Elemente der zweiten Gruppe

des periodischen Systems

Aus Abegg's Handbuch der anorganischen Chemie

Zweiter Band

Zweite Abteilung

Mit 16 Figuren

Leipzig
Verlag von S. Hirzel
1905.

QD151

·H3

V2

pt. 2

Inhalt.

	Seite
Übersicht über die Elemente der 2. Gruppe (Abegg)	1
Beryllium (Dawson)	5
Vorkommen 5. Geschichtliches 5. Wertigkeit 5. Stellung im Elementen- system 7. Gewinnungs- und Reinigungsmethoden der Verbindungen 9. Gewinnung des Metalls 10. Eigenschaften des Metalls 11. Lösungstension 12. Ionenbildung 12. Komplexbildung 13. Hydrolyse und Reaktionen der Salze 13. Berylliumwasserstoff 15. Be-Alkylverbindungen 15. Beryllium- fluorid 15. Berylliumchlorid 15. Berylliumbromid 16. Berylliumjodid 17. Berylliumcyanid 17. Berylliumhydroxyd 17. Berylliumoxyd 18. Kalium- beryllat 18. Berylliumsulfid 19. Berylliumsulfat 19. Berylliumnitrat 20. Berylliumorthophosphat 21. Berylliumcarbonat 21. Berylliumsilicat 21. Berylliumborat 22. Berylliumacetat 22. Oxalsäure Salze 22. Weinsäure Salze 23. Berylliumacetylacetonat 24.	
Atomgewicht des Berylliums (Brauner)	26
Literatur 31.	
Magnesium (Dawson)	33
Vorkommen 33. Geschichtliches 33. Darstellung des Metalls 34. Physika- lische Eigenschaften des Metalls 36. Chemische Eigenschaften des Metalls 36. Lösungstension 37. Ionenbildung 38. Analytisches Verhalten und Ionenreaktionen 39. Beziehungen zu anderen Elementen 43. Magnesium- wasserstoff 43. Magnesiumalkylverbindungen 43. Magnesiumfluorid 44. Magnesiumchlorid 45. Carnallit 48. Ammoniummagnesiumchlorid 51. Tachhydrit 51. Basische Chloride 52. Magnesiumbromid 52. Magnesium- jodid 53. Magnesiumhydroxyd 53. Magnesiumoxyd 53. Magnesium- peroxyd 54. Magnesiumsulfid 54. Magnesiumhydrosulfid 55. Magne- siumselenid 55. Magnesiumnitrid 55. Magnesiumphosphid 55. Magnesium- arsenid 56. Magnesiumcarbid 56. Magnesiumsilicid 56. Magnesiumborid 56. Salze der Halogenoxysäuren 56. Magnesiumhypochlorit und -hypobromit 56. Chlorat 57. Bromat 57. Jodat 57. Perjodat 57. Salze der Schwefeloxysäuren 57. Magnesiumsulfid 57. Magnesiumsulfat 57. Magnesiumhydrosulfat 60. Kaliummagnesiumsulfat 60. Schönit 60. Leonit 61. Langbeinit 61. Ammoniummagnesiumsulfat 61. Natriummagnesium- sulfat 61. Astrakanit 61. Loewit 62. Vanthoffit 62. Kaliumcalcium- magnesiumsulfat 62. Kainit 62. Magnesiumthiosulfat 63. Magnesiumselenat 63. Magnesiumnitrat 64. Magnesiumnitrit 64. Magnesiumhypophosphit 64. Magnesiumphosphit 64. Magnesiumorthophosphat 64. Ammonium- magnesiumphosphat 65. Magnesiumpyrophosphat 66. Magnesiummeta- phosphat 66. Magnesiumorthoarsenat 66. Ammoniummagnesiumarsenat 66. Magnesiummetaantimonat 66. Magnesiumcarbonat 66. Basische Car- bonate 68. Magnesia alba 68. Magnesiumhydrocarbonat 69. Kalium- hydromagnesiumcarbonat 70. Kaliummagnesiumcarbonat 71. Natrium- magnesiumcarbonat 72. Calciummagnesiumcarbonat 72. Magnesiumsilicate 72. Magnesiumborate 73. Magnesiumformiat 74. Magnesiumacetat 74.	

Magnesiumoxalat 74. Magnesiumtartrat 75. Magnesiumcitrat 75. Literatur 76.	
Atomgewicht des Magnesiums (Brauner)	80
Literatur 86.	
Calcium (Sackur)	87
Vorkommen 87. Geschichte 87. Darstellung von reinem Calcium 87. Eigenschaften des reinen Calciums 89. Calciumion 89. Löslichkeit der Calciumsalze 90. Quantitative Bestimmung des Calciums 90. Calciumhydrid 91. Calciumfluorid 92. Calciumchlorid 93. Calciumchlorür 105. Calciumbromid 106. Calciumjodid 109. Calciumtetrajodid 111. Calciumcyanid 111. Calciumcyanamid 111. Calciumoxyd 111. Calciumhydroxyd 113. Calciumsuperoxyd 115. Calciumsulfid 116. Calciumhydrosulfid 117. Calciumpolysulfid 117. Calciumoxysulfid 117. Calciumhydroxyhydrosulfid 117. Calciumselenid 118. Calciumnitrid 118. Calciumammonium 118. Calciumamid 119. Calciumphosphid 119. Calciumarsenid 119. Calciumcarbid 119. Calciumsilicid 122. Calciumborid 123. Calciumhypochlorit 123. Chlorkalk 123. Calciumchlorat 129. Calciumperchlorat 129. Calciumhypobromit 129. Calciumbromat 129. Calciumjodat 129. Calciumperjodat 130. Calciumhydrosulfid oder -hyposulfid 130. Calciumsulfid 130. Calciumthiosulfat 130. Calciumsulfat 131. Calciumdithionat 141. Calciumhyponitrit 141. Hydroxylaminsaures Calcium 141. Calciumimidosulfonate 141. Calciumnitrit 141. Calciumnitrat 141. Calciumdihydrohypophosphit 144. Calciumhydrophosphit 144. Calciumdihydrophosphit 145. Calciumorthophosphate 145. Calciumsalze der Pyro- und Metaphosphorsäure 153. Metaphosphat 153. Apatit 153. Calciumarsenat 153. Calciumpyroarsenat 154. Calciumsulfarsenite 154. Calciumcarbonat 154. Calciumsilicate 159. Calciumborate 160. Calciumformiat 161. Calciumacetat 161. Calciumoxalat 162. Calciumtartrat 163. Literatur 164.	
Atomgewicht des Calciums (Brauner)	175
Literatur 179.	
Mörtel (Rohland)	180
Luftmörtel 180. Hydraulische Mörtel 187. Literatur 205.	
Strontium (Sackur)	207
Vorkommen 207. Geschichte 207. Darstellung von Strontiummetall 207. Eigenschaften des Metalls 207. Strontiumion 208. Die quantitative Bestimmung des Strontiums 208. Strontiumhydrid 208. Strontiumfluorid 208. Strontiumchlorid 208. Strontiumbromid 214. Strontiumjodid 216. Strontiumpolyjodid 218. Strontiumcyanid 218. Strontiumrhodanid 218. Strontiumoxyd 218. Strontiumhydroxyd 218. Strontiumsuperoxyd 220. Strontiumsulfid 221. Strontiumhydrosulfid 221. Strontiumtetrasulfid 221. Strontiumnitrid 222. Strontiumsilicid 222. Strontiumphosphid 222. Strontiumselenid 222. Strontiumarsenid 222. Strontiumborid 222. Strontiumcarbid 222. Strontiumchlorit 222. Strontiumchlorat 222. Strontiumperchlorat 223. Strontiumbromat 223. Strontiumjodat 223. Strontiumperjodat 223. Strontiumhydrosulfid 223. Strontiumsulfid 223. Strontiumthiosulfat 224. Strontiumsulfat 224. Strontiumdithionat 225. Strontiumtetrathionat 225. Strontiumhyponitrit 225. Strontiumnitrit 225. Strontiumnitrat 226. Strontium(dihydro)hypophosphit 228. Strontiumhydrophosphit 228. Strontiumorthophosphate 228. Strontiumpyrophosphat 229. Strontiummetaphosphat 229. Strontiumarsenit 229. Strontiumarsenat 229. Strontiumsulfarsenite 229. Strontiumcarbonat 229. Strontiumsilicate 230. Strontiumborate 230. Strontiumformiat 231. Strontiumacetat 231. Strontiumoxalat 232. Strontiumtartrat 232. Literatur 232.	
Atomgewicht des Strontiums (Brauner)	237
Barium (Sackur)	242
Vorkommen 242. Geschichte 242. Darstellung von Barium 242. Eigenschaften des metallischen Bariums 243. Bariumionen 243. Analytisches	

Verhalten des Bariums 244. Bariumhydrid 244. Bariumcarbonyl 245. Bariumfluorid 245. Bariumchlorid 245. Bariumbromid 253. Bariumjodid 256. Bariumtetrajodid 258. Bariumcyanid 258. Bariumrhodanid 258. Bariumoxyd 259. Bariumhydroxyd 259. Bariumsuperoxyd 263. Bariumsulfid 265. Bariumsulfhydrat 265. Bariumpolysulfide 266. Bariumtetrasulfid 266. $\text{Ba}_4\text{S}_7 \cdot 25\text{H}_2\text{O}$ 266. Bariumpentasulfid 266. Bariumselenid 266. Bariumnitrid 267. Stickstoffbarium 267. Bariumamid 267. Bariumphosphid 267. Bariumarsenid 267. Bariumcarbid 267. Bariumsilicid 268. Bariumborid 268. Bariumhypochlorit 268. Bariumchlorit 268. Bariumchlorat 268. Bariumperchlorat 269. Bariumhypobromit 269. Bariumbromat 270. Bariumperbromat 270. Bariumjodat 270. Bariumperjodat 270. Bariumhydrosulfit 271. Bariumsulfid 271. Bariumthiosulfat 271. Bariumsulfat 271. Bariumdithionat 276. Bariumtrithionat 276. Bariumtetraathionat 276. Bariumpentathionat 276. Bariumhyponitrit 276. Bariumnitrososulfat 277. Stickoxydschwefelsaures Barium 277. Bariumsalze der Amido- und Imidoschwefelsäure 277. Bariumnitrit 277. Bariumnitrat 278. Bariummetaaantimonit 280. Bariumhydrophosphit 280. Bariumdihydrophosphit 281. Bariumhypophosphat 281. Saures Bariumhypophosphat 281. Bariumorthophosphat 281. Bariumarsenit 283. Bariumarsenate 283. Bariumsulfarsenite 283. Bariumsulfarsenat 283. Bariumpyrosulfarsenat 283. Bariummetaantimonit 283. Bariumcarbonat 284. Bariumsilicat 286. Bariumborate 286. Bariumformiat 286. Bariumacetat 287. Bariumoxalat 288. Saures Bariumoxalat 289. Bariumtartrat 290. Literatur 290.	
Atomgewicht des Bariums (Brauner)	299
Literatur 306.	
Radium (Marckwald)	307
Atomgewicht des Radiums (Brauner)	310
Zink (Drucker)	313
Zinkmetall 313. Kolloidales Zink 316. Zinkion 316. Zinkhaloide 320. Zinkfluorid 320. Zinkchlorid 321. Zinkbromid 332. Zinkjodid 334. Zinkcyanid 337. Zinkrhodanid 337. Zinkverbindungen mit den Elementen der Sauerstoffgruppe 337. Zinkhydroxyd und Zinkate 338. Zinkoxyd 345. Zinkperoxyd 346. Zinksulfid 346. Kolloidales Zinksulfid 349. Zinkselenid und Tellurid 349. Zinknitrid 350. Zinkphosphide und Arsenide 350. Zinksilicid 350. Zinksalze der Sauerstoffsäuren 350. Chlorat 351. Perchlorat 351. Bromat 351. Jodat 351. Zinksulfat 351. Zinksulfit 365. Zinkthiosulfat 366. Zinkdithionat 366. Zinktetrathionat 366. Zinkselenat 366. Zinkselenite 367. Zinknitrat 367. Zinknitrit 372. Zinkphosphate, -phosphite etc. 372. Zinkarsenat 373. Zinkantimonat 374. Zinkcarbonat 374. Zinksilicat 374. Zinkborate 375. Andere Anionen 375. Zinkformiat 375. Zinkacetat 376. Zinkoxalat 378. Zinkdoppelhaloide 380. Chloride 380. Bromide 384. Jodide 384. Zinkdoppelcyanide 384. Zinkdoppelrhodanide 386. Zinkdoppelsulfate 388. Zinkdoppelsulfite etc. 395. Zinkdoppelselenate 395. Zinkdoppelselenite 397. Zinkdoppelnitrite 397. Zinkdoppelphosphate 397. Doppelformiate 398. Organische Zinkdoppelsalze 398. Zinkadditionsverbindungen 398. Zinkammoniak (Amid) 398. Zinkammoniakalsalze 399. Oxysalze 405. Literatur 408.	
Atomgewicht des Zinks (Brauner)	427
Literatur 433.	
Cadmium (Drucker)	434
Hydrosol des Cadmiummetalls 437. Cadmiumhaloide 438. Cadmiumfluorid 440. Cadmiumchlorid 440. Cadmiumbromid 449. Cadmiumjodid 455. Cadmiumcyanid 463. Cadmiumhydroxyd 463. Cadmiumoxyd 464. Cadmiumsuboxyd und Peroxyde 465. Cadmiumsulfid 465. Cadmiumselenid 467. Cadmiumtellurid 467. Cadmiumnitrid 468. Cadmiumphosphide und -arsenide 468. Cadmiumchlorat 468. Cadmiumbromat 468. Cadmiumjodate und Perjodate 468. Cadmiumsulfat 469. Die Chemie des Cadmium-Normalelements 479. Cadmiumsulfit 480. Cadmiumthiosulfat 481. Cad-	

miumdithionat 481. Cadmiumselenat 481. Cadmiumselenit 481. Cadmiumnitrat 481. Cadmiumnitrit 485. Cadmiumphosphate 485. Cadmiumsalze der niederen Phosphorsäuren 487. Cadmiumarsenate 487. Cadmiumsalze niederer Arsensäuren 487. Cadmiummetantimonat 488. Cadmiumcarbonat 488. Cadmiumborat 488. Cadmiumformiat 488. Cadmiumacetat 488. Cadmiumoxalat 489. Andere Salze 489. Cadmiumdoppelfluoride 490. Cadmiumhalogenwasserstoffsäuren 490. Cadmiumdoppelhaloide 491. Kaliumcadmiumchloride 492. Natriumcadmiumchlorid 493. Rubidiumcadmiumchlorid 493. Cäsiumcadmiumchlorid 494. Lithiumcadmiumchlorid 494. Ammoniumcadmiumchloride 494. Calciumcadmiumchlorid 494. Strontiumcadmiumchlorid 495. Bariumcadmiumchlorid 495. Magnesium-, Nickel-, Cobalt-, Mangan-, Eisen-, Kupfer-, Cadmiumchloride 496. Kaliumcadmiumbromid 497. Natriumcadmiumbromid 497. Rubidiumcadmiumbromid 497. Cäsiumcadmiumbromid 498. Ammoniumcadmiumbromid 498. Kaliumcadmiumjodid 498. Natriumcadmiumjodid 499. Ammoniumcadmiumjodide 499. Doppelbromide, Jodide von Cadmium mit zweiwertigen Metallen 499. Cadmiumdoppelcyanide 500. Cadmiumdoppelrhodanide 501. Quecksilbercadmiumhaloide 501. Organische Doppelhaloide des Cadmiums 502. Gemischte Cadmiumsulfate 502. Gemischte Cadmiumsulfite 504. Gemischte Cadmiumthiosulfate 505. Cadmiumdoppelselenate 506. Kaliumcadmiumnitrit 506. Cadmiumdoppelphosphate usw. 506. Cadmiumdoppelselenate 506. Bariumcadmiumformiat 506. Cadmiumdoppeloalate 506. Basische oder Oxysalze 507. Basische Mischsalze des Cd 508. Addition von neutralen Stoffen an Cadmiumsalze 508. Ammoniakverbindungen 509. Literatur 519.

Atomgewicht des Cadmiums (Brauner) 534

Quecksilber (Ley) 540

Vorkommen und Gewinnung 540. Reinigung des Metalls 541. Analytischer Nachweis und Bestimmung des Quecksilbers 543. Quantitative Bestimmung des Quecksilbers 543. Chemische und physikalische Konstanten des Elements 544. Aggregatzustandsänderungen 545. Thermische Konstanten 547. Kolloidales Quecksilber 647. Das Quecksilber und seine Homologen im periodischen System 549. Dissoziation der Quecksilbersalze 552. Die Eigenschaften der Quecksilberionen sowie einiger Quecksilbersalze 553. 1. Das Mercurion und die Mercurosalze 553. Das Mercurion und die Mercurisalz 555. Thermochemie des Quecksilbers 557. Elektrochemie des Quecksilbers 558. Elektroaffinität des Mercurio- und Mercuriions 561. Die Amalgame 569. Zustand der Metalle in der verdünnten Quecksilberlösung 569. 1. Untersuchung der aus Amalgamen aufgebauten Konzentrationsketten 569. 2. Dampfdruckerniedrigung des Quecksilbers durch gelöste Metalle 570. 3. Gefrierpunktserniedrigungen von Quecksilber durch gelöste Metalle 571. Natur der festen Amalgame 571. 1. Amalgame der Alkalimetalle 572. Amalgame der Erdalkalimetalle 573. Lithiumamalgam 580. Natriumamalgam 581. Kaliumamalgam 585. Rubidiumamalgam 587. Amalgame der Erdalkalimetalle 587. Magnesiumamalgam 588. Calciumamalgam 588. Strontiumamalgam 588. Bariumamalgam 589. Amalgame des Cu, Ag, Au 590. Silberamalgam 590. Goldamalgam 592. Zinkamalgam 592. Cadmiumamalgam 592. Aluminiumamalgam 596. Ceramalgam 596. Thalliumamalgam 596. Zinnamalgam 596. Bleiamalgam 596. Wismutamalgam 597. Mercuriosalze 598. Nichtexistenz einzelner Mercuriosalze 599. Mercuriofluorid 599. Mercuriochlorid 599. Kalomel 599. Mercurobromid 601. Mercurijodid 601. Kolloidale Halogenquecksilberverbindungen 603. Mercurorhodanid 603. Mercuriocyanat 603. Mercurioacetat 603. Mercuriohydroxyd 604. Mercuriooxyd 604. Mercuriosulfid 604. Mercuriosalze der Halogensauerstoffsäuren 605. Mercuriochlorat 606. Mercurioerchlorat 606. Mercurioerchlorat 607. Mercurioerchlorat 607. Mercuriosalze der Schwefel- und Selenstoffsäuren 607. Mercuriosulfat 607. Mercuriosulfat 607. Mercuriodithionat 608. Mercurioselenit 608. Mercurioselenat 608. Mer-

curosalze der Sauerstoffsäuren des Stickstoffs und der Homologen 609. Mercuronitrit 609. Mercuroorthophosphat 610. Mercuropyrophosphat 610. Mercurohexametaphosphat 610. Mercuroorthoarsenit 611. Mercurometaarsenit 611. Mercuroorthoarseniat 611. Mercurocarbonat 611. Komplex- und Doppelsalze der Mercuroreihe 611. Mercurisalze 612. Mercurichlorid 614. Sublimat 614. Mercurioxychloride 622. Mercuribromid 623. Mercurioxybromide 624. Mercurijodid 624. Mercuricyanid 627. Mercurirhodanid 627. Mercuriformiat und Homologe 628. Mercuriformiat 628. Mercuriacetat 628. Mercurioxyd 628. Kolloidales Quecksilberoxyd 630. Mercurisulfid 631. Kolloidales Quecksilbersulfid 632. Mercuriselenid 632. Mercuriphosphid 632. Mercurisalze der Halogensauerstoffsäuren 633. Mercuriperchlorat 633. Mercuribromat 633. Mercurijodat 634. Mercurisalze der Schwefelwasserstoffsäuren 634. Mercurisulfit 634. Mercurisulfat 634. Mercurisalze der Sauerstoffsäuren des Stickstoffs und der Homologen 635. Mercurihyponitrit 635. Mercurinitrit 635. Mercurinitrat 635. Mercuriorthophosphat 636. Mercuripyrophosphat 636. Mercurihexametaphosphat 636. Basisches Mercuriarsenit 636. Mercuriorthoarsenat 636. Mercuricarbonat 637. Komplex- und Doppelsalze der Mercurireihe 637. Konstitution der wässrigen Lösungen der Komplexsalze 638. Verbindungen des Mercurichlorids 641. Verbindungen des Mercuribromids 643. Verbindungen des Mercurijodids 646. Komplexsalze des Mercuricyanids 649. Chlorocyanide 652. Bromocyanide 652. Jodocyanide 653. Rhodanocyanide 653. Andere Salze mit gemischt-anionischem Komplex 656. Komplexsalze des Mercurirhodanids 656. Komplex- und Doppelsalze des Mercurisulfids 657. Komplexe Verbindungen des Mercurisulfits 658. Mercurinitrit 661. Mercurinitrat 661. Stickstoffquecksilberverbindungen 662. Zur Existenz der Mercuraminverbindungen 662. Übersicht über die Mercuristickstoffverbindungen 663. Mercuriamine und Verwandte 664. Amidoquecksilberverbindungen 665. Mercuriammoniumverbindungen, Millonsche Base usw. 665. Mercuriammoniake und verwandte Verbindungen. Derivate des Mercurichlorids 666. Verbindungen des Sublimats mit substituierten Ammoniakern 667. Derivate des Mercuribromids 668. Verbindungen des Mercurijodids 668. Verbindungen des Mercuricyanids 669. Verbindungen der Mercurisauerstoffsäuren 669. Amidomercuriverbindungen und Verwandte 670. Derivate des Mercurichlorids 670. Derivate des Mercuribromids 671. Die Millonsche Base, ihre Entwässerungsprodukte und Salze 671. Die Salze der Millonschen Base 672. Andere Mercuriammoniumverbindungen 674. Literatur 674ff.

Atomgewicht des Quecksilbers (Brauner) 685

Nachträge 692

Alphabetisches Sachregister 694

Übersicht über die Elemente der 2. Gruppe.

Be, Mg, Ca, Sr, Ba, Ra; Zn, Cd, Hg.

Die beiden Untergruppen der 2. Gruppe unterscheiden sich als Leicht- und Schwermetalle zwar erheblich voneinander, jedoch deutlich weniger, als die entsprechenden beiden Teile der 1. Gruppe; andererseits sind ihre Unterschiede noch viel größer als in den mittleren Gruppen des periodischen Systems, so speziell der benachbarten 3. Gruppe. Die beiden Anfangsglieder, Be und Mg, die wie in jeder Gruppe die größten Sprünge in der Abstufung der Eigenschaften zeigen, stehen hier offenbar noch in engerer Zusammengehörigkeit mit der elektropositiveren Reihe der beiden Untergruppen, den Erdalkalien, wenn sie auch wenigstens dem Anfangsglied Zn der elektronegativeren Untergruppe etwas näherstehen, als es entsprechend in der 1. Gruppe des Systems (zwischen Li, Na und Cu) der Fall ist. Die Elektroaffinitätsreihenfolge ist daher mit ziemlicher Sicherheit (Ra), Ba, Sr, Ca, Mg, Be, Zn, Cd, Hg. Die Normalvalenz aller Mitglieder ist positiv und gleich 2, von negativen Kontravalenzen sind nur Andeutungen in Gestalt von Komplexbildung vorhanden, naturgemäß am deutlichsten in der elektronegativeren Nebengruppe der Schwermetalle und in dem schwächstelektropositiven Mitglied, also dem Anfangsglied Be, der Hauptgruppe; bei Be und Zn zeigt sich dies speziell in den Beryllaten und Zinkaten. Die Abstufung der Valenzaffinitäten ist bei den meisten Elementen der Gruppe derart, daß einwertige Verbindungsstufen nicht bestehen. Das rührt allerdings in einigen Fällen daher, daß die zweite Valenz noch stark genug ist, um bei wässrigen Lösungen das Wasser zu zersetzen; denn es sind die einwertigen Verbindungen BaCl, SrCl bekannt, die auf pyrochemischem Wege entstehen. In anderen Fällen sind keine Anzeichen von Einwertigkeit bisher beobachtet worden, selbst die Mercuroverbindungen enthalten anscheinend nur das zweiwertige Doppelatom — Hg — Hg —.

Die rapide Abstufung der Elektroaffinität in den Horizontalreihen des periodischen Systems bedingt, daß das Anfangsglied Be unserer Gruppe erheblich weniger elektropositiv ist, als sein Nachbar Li der 1. Gruppe, andererseits aber wiederum viel positiver als das benachbarte B der 3. Gruppe. Da gemäß einem zweiten Abstufungsgesetz innerhalb jeder Untergruppe die Elektropositivität mit steigendem Atomgewicht, also nach unten hin, zunimmt — und zwar am stärksten abgestuft in den ersten Gliedern — so kann die 1. Gruppe kein Element von annähernd derselben Elektroaffinität aufweisen, wie das Be, da ja schon ihr schwächstes Anfangsglied Li viel über Be steht. Dagegen weist die 3. Gruppe im Al ein Element von offenbar sehr ähnlicher Elektroaffinität auf, da hier die Elektroaffinitätsdifferenz beim Übergang zwischen 2.

und 3. Gruppe (Be \rightarrow B) durch die tiefere Stellung \downarrow wieder ausgeglichen
B
Al

wird. In der Tat ist die Analogie zwischen Be und Al auch im übrigen chemischen Verhalten so erheblich, daß man bekanntlich anfangs das Be als ein dreiwertiges Element betrachtet hat.

Das zweite Glied Mg, elektropositiver als Be, findet in dem schwächsten Anfangsglied Li der 1. Gruppe einen in der Elektroaffinität anscheinend sehr nahestehenden Genossen; gemeinsam ist ihnen beiden die Leichtlöslichkeit ihrer meisten Salze, deren deutliche Tendenz zur Kristallwasserbindung und die Schwerlöslichkeit ihrer Carbonate. Mit dem nächsttieferstehenden Gliede Sc der benachbarten 3. Gruppe ist keine nähere Analogie auffallend. Dem Be gegenüber erweist sich die größere Elektroaffinität des Mg in der viel stärkeren Löslichkeit seines Carbonats und Hydroxyds, die in ihrem Verhalten gegen Ammonsalzlösungen hervortritt.

Beide Anfangselemente haben mit den Elementen der 2. Nebengruppe die Fähigkeit zur Bildung von metallorganischen Verbindungen gemein, was offenbar an die Voraussetzung nicht zu hoher Ionenbildungstendenz gebunden ist; ferner ist die Leichtlöslichkeit und Hydratbildung ihrer Sulfate eine gemeinsame Eigenschaft; bei den Erdalkalien (und Radium) findet man eine deutliche Annäherung an diese Verhältnisse mit sinkendem Atomgewicht: das CaSO_4 ist, wenn auch schwer löslich, immerhin noch nicht als unlöslich im analytischen Sinne zu bezeichnen, und besitzt noch eine sehr typische Fähigkeit zur Bildung fester Hydrate. Bei den viel schwerer löslichen SrSO_4 , BaSO_4 (RaSO_4) ist von Hydratbildung nichts mehr nachzuweisen — womit übrigens ein der kleinen aktiven Masse entsprechender geringer Hydratationsgrad in ihren gesättigten Lösungen keineswegs ausgeschlossen ist. Während die Löslichkeitsreihenfolge der schwerlöslichen Erdalkalihydroxyde, -fluoride und -oxalate der Elektroaffinitäts-Reihenfolge entspricht, also vom Ca bis Ba zunimmt, so zeigen ihre meisten anderen Salze, wie Sulfate, Nitrate und Chromate eine inverse¹⁾ Löslichkeitsreihe, wie sie für starke Kationen in Kombination mit starken Anionen häufig ist, die Carbonate haben unter sich etwa gleiche Löslichkeit. Wegen der Abhängigkeit dieser Abstufungen von der Temperatur und von der etwaigen Modifikation des Bodenkörpers sind strenge Gesetzmäßigkeiten nicht vorhanden und auch nicht zu erwarten. In der folgenden Tabelle sind die Verhältnisse für 18° dargestellt (Mol/Liter):

	NO ₃	ClO ₃	BrO ₃	JO ₃	Cl	Br	J
Ba . .	0,33 ↓	1,1 ↓	0,02 ↓	0,001 ↓	1,7 ↓	2,9 ↓	3,8 ↓
Sr . .	2,7 ↓	4,6 ↓	0,9 ↓	0,006 ↓	3,0 ↓	3,4 ↓	3,9 ↓
Ca . .	5,2 ↓	5,3 ↓	2,3 ↓	0,007 ↓	5,4 ↓	5,2 ↓	4,8 ↓
	SO ₄	CrO ₄	CO ₃	C ₂ O ₄	F	OH	
Ba . .	10 ⁻⁵	1,4 · 10 ⁻⁵	1,1 · 10 ⁻⁴	3,8 · 10 ⁻¹ ↑	0,009 ↑	0,22 ↑	
Sr . .	6 · 10 ⁻⁴	6 · 10 ⁻³	0,7 · 10 ⁻⁴	2,6 · 10 ⁻¹ ↑	0,0009 ↑	0,06 ↑	
Ca . .	1,5 · 10 ⁻² ↓	3 · 10 ⁻² ↓	1,3 · 10 ⁻⁴	0,4 · 10 ⁻¹ ↑	0,0002 ↑	0,02 ↑	

Die abnehmende Ionenbildungstendenz ergibt des weiteren eine steigende

1) s. Allgemeiner Band.

Fähigkeit der Elemente, metalloidartige in organischen Solventien lösliche Verbindungen zu bilden: schon bei den Nitraten tritt dies hervor, trotzdem ihr starkes Anion zur starken Ionenbildung Anlaß gibt, Ba- und Sr-Nitrat sind nur in Wasser löslich, das des Ca löst sich bereits in Alkohol, und a fortiori die der übrigen Elemente dieser Gruppe. Noch deutlicher ist dies bei den Haloiden ausgeprägt, von denen schon die des Sr alkohollöslich sind, beim Be tritt bereits Ätherlöslichkeit auf und mehrere seiner Salze mit organischen Anionen lösen sich in allen bekannten organischen Lösungsmitteln. Soweit untersucht, scheint dies auch für Zn und Cd zu gelten, jedenfalls trifft es für die Mercuriverbindungen zu, von denen Äther- und Benzollöslichkeit mehrfach festgestellt ist (s. d. sowie „Nichtwässrige Lösungen“ im allgemeinen Band dieses Handbuchs).

Mit der Abstufung der Elektroaffinität in dieser Gruppe geht ferner parallel die Zersetzbarkeit der Carbonate und Hydroxyde unter Abspaltung der Oxyde: sie ist am geringsten bei dem positivsten Ba, das sowohl CO_2 wie H_2O sehr fest hält; beim Ca sind diese Affinitäten deutlich geringer, Mg und Be geben bereits lockere Bindungen und bei den Schwermetallen, den negativsten Gliedern der Gruppe, sind die Verbindungen leicht zersetzlich, ja beim Hg labil oder gar nicht existenzfähig. Für die Hydroxyde können als annähernder Maßstab dieser Affinitäten, soweit sie bekannt, die Hydrationswärmen benutzt werden:

BaO, H_2O ==	22300 cal.
SrO, H_2O ---	17700 "
CaO, H_2O ---	15540 "
MgO, H_2O ==	5000 "
ZnO, H_2O ---	ca. 1300 "

Die Affinität zum H_2O in den Hydroxyden ist bei der Hauptgruppe deutlich schwächer als bei den entsprechenden (stärker positiven) Gliedern der ersten Hauptgruppe; dagegen bei der Nebengruppe deutlich stärker als bei den schwächer positiven Mitgliedern der ersten Nebengruppe. Gegenüber den Mitgliedern der dritten Gruppe kehren sich die Verhältnisse um.

Die Bildung von Hydriden steht ebenfalls in einem offenbaren Zusammenhang mit der Positivität der Elemente in dem Sinne, daß erstens nur die drei stärksten Ba, Sr, Ca überhaupt wohldefinierte Hydride bei den untersuchten Bedingungen zu bilden vermögen, zweitens, das des positivsten, des Ba, auch das stabilste ist, wie aus seiner Stabilität im Wasserstoffstrom bei der Temperatur seiner Sublimation (ca. 1400°) geschlossen werden darf, wo sein H_2 -Dissoziationsdruck also erheblich unterhalb 1 Atm. liegen muß. Bei den anderen scheinen nach den sehr dürftigen quantitativen Angaben die Dissoziationsdrucke höher, also die Stabilität geringer zu sein. Auch die Stabilität der Superoxyde scheint dem gleichen Gesetz zu folgen: je schwächer positiv das Element, je schwächer auch die Bindung des Peroxydsauerstoffs, wie daraus zu schließen ist, daß CaO_2 bei Temperaturen (Rotglut) schon zerfällt, wo SrO_2 und BaO_2 noch beständig sind. Zum selben Schluß führt die leichtere Bildung von BaO_2 gegenüber den beiden anderen Peroxyden SrO_2 und CaO_2 . Die Nebengruppe scheint in dieser Hinsicht keine Kontinuität mit der Hauptgruppe zu bilden; denn während von Mg und Be anscheinend keine Peroxyde bekannt sind, sind sie bei Zn und Cd wieder

vorhanden, hier wieder anscheinend beim Zn stabiler als Cd und bei Hg ist diese Fähigkeit wieder verschwunden.

Allerdings kann aus der Tatsache, daß gewisse Verbindungen nicht bekannt sind, streng genommen nicht gefolgert werden, daß sie gar nicht existenzfähig sind, sondern nur, daß sie unter solchen Umständen sich nicht zu bilden vermögen, wo analoge Verbindungen stabil sind; soviel darf man jedoch mit großer Sicherheit schließen, daß die in Frage kommenden Affinitäten bei den betreffenden Elementen schwächer als in anderen Fällen sind.

Abegg.

Beryllium. Be.

Vorkommen. Es kommen mehrere Beryllium enthaltende Mineralien in der Natur vor; da dieselben aber nur in kleineren Mengen auftreten, gehört das Beryllium zu den seltneren Elementen. In diesen Verbindungen wird das Beryllium zumeist von Aluminium und Silicium begleitet; der Beryll — wohl das wichtigste Mineralvorkommen, — ist wesentlich ein Doppelsilicat von Beryllium und Aluminium, das der Formel $3\text{BeO} \cdot \text{Al}_2\text{O}_3 \cdot 6\text{SiO}_2$ entspricht. Es kristallisiert in hexagonalen Prismen, welche durch kleine Mengen anderer Metalle fast immer gefärbt sind und sehr selten ganz farblos auftreten. Die durchsichtigen grünen Beryllarten sind als Smaragd, die blaugrünen als Aquamarin bekannt. Ein zweites Beryllium-Aluminium-Silicat ist der Euklas, dessen Zusammensetzung der Formel $2\text{BeO} \cdot \text{Al}_2\text{O}_3 \cdot 2\text{SiO}_2 \cdot \text{H}_2\text{O}$ entspricht. Chrysoberyll oder Cymophan enthält Beryllium und Aluminium¹⁾ und darf als Berylliumaluminat $\text{BeO} \cdot \text{Al}_2\text{O}_3$ angesehen werden. An Kieselsäure gebunden kommt es ferner als Phenakit Be_2SiO_4 vor. In anderen Mineralien²⁾, wenn dabei nur in kleineren Mengen, wird es auch vorgefunden; solche sind Leukophan und Melinophan, die wesentlich als Beryllium-Calcium Doppelsilicate in Verbindung mit Fluornatrium angesehen werden dürfen. In einigen Gadolinitarten, in Muromontit, Alvit usw. kommt es auch vor.

Geschichtliches. Das Oxyd des Berylliums, die Beryllerde, wurde von Vauquelin³⁾ im Jahre 1797 im Beryll und Smaragd entdeckt. Bei der Analyse dieser Mineralien tauchte eine Erde auf, die zwar einerseits der Tonerde und andererseits der Kalkerde sich sehr ähnlich zeigte, bei näherer Untersuchung aber ein von diesen ziemlich abweichendes Verhalten aufwies. Entgegen der Kalkerde ließ sich aus dem neuen Oxyd ein lösliches Sulfat herstellen, aus diesem Sulfat könnten aber keine den Alaunen ähnliche Doppelsalze erhalten werden. Die neue Erde wurde vom Entdecker nicht besonders bezeichnet; wegen des süßen Geschmacks der aus ihr erhaltenen Salze wurde derselben von den Herausgebern der *Annales de Chimie* der Name Glucine beigelegt. Da andere Verbindungen dieselbe Eigenschaft aufweisen, wurde aber diese Bezeichnung bald durch Beryllerde (vom Mineral Beryll) ersetzt. Während man Glucinium noch heutzutage als Bezeichnung für das Metall gebraucht, wird es jetzt meistens Beryllium benannt. Das Element selbst wurde erst etwa dreißig Jahre später von Wöhler isoliert.

Wertigkeit. Bis in die letzte Zeit bildete die Wertigkeit des Berylliums eine Streitfrage, die sehr oft und von vielen Seiten lebhaft diskutiert wurde. Die große Ähnlichkeit zwischen der Beryllerde und der Tonerde veranlaßte Berzelius für jene die Formel Be_2O_3 anzunehmen. Andererseits wurde gezeigt, daß verschiedene Verbindungen des Berylliums viel einfachere Formeln

erhalten, wenn das Element als zweiwertig angenommen wird. Zu diesem Schluß gelangte Awdejew aus der Analyse des Kaliumberylliumsulfats und des Kaliumberylliumfluorids¹⁾, sowie Scheffer durch eine Untersuchung der Berylliumphosphate.⁴⁾

Von Debray⁵⁾ wurde ferner darauf hingewiesen, daß die Beryllerde kristallographisch ebenso nahe der Zinkerde wie der Tonerde steht, und daß sie in mancher Beziehung, z. B. in der Bildung von Doppelverbindungen viel näher dem Magnesium kommt. Bald wurde die eine Ansicht, bald die andere vertreten. Es wurden verschiedene Gründe für jede vorgebracht, ohne daß eine strenge Entscheidung getroffen werden konnte. In der Hoffnung, die Frage auf Grund des Dulong-Petitschen Gesetzes zu entscheiden, stellten Nilson und Pettersson⁶⁾ das Metall in möglichst reinem Zustande dar und bestimmten davon die spezifische Wärme. Zwischen 0° und 100°C ergab sich der Wert 0,4084, welcher, wenn das Element als dreiwertig angenommen wird, einer Atomwärme gleich 5,54 entspricht. Der daraus gezogene Schluß, daß das Beryllium ein dreiwertiges Element darstelle, durfte aber nicht ohne weiteres angenommen werden. Von Brauner⁷⁾ wurde hervorgehoben, daß das Beryllium als dreiwertiges Element nicht in das periodische System paßt und es wurde gleichzeitig darauf hingewiesen, daß ebenso wie dem Bor und Kohlenstoff bei niedriger Temperatur sehr kleine Atomwärmen zukommen, auch das ihnen nahestehende Beryllium einen kleineren Wert haben dürfte, einen Wert, der mit ansteigender Temperatur in bedeutendem Maße zunehmen würde. Diese Vermutung stellte sich in der Tat als richtig heraus, indem Bestimmungen bei höherer Temperatur größere Werte ergaben. Folgende Zahlen⁸⁾ wurden für die spezifische Wärme zwischen den beigefügten Temperaturgrenzen erhalten:

0°—46,3°	0°—100°	0°—214°	0°—299,5°
0.396	0.425	0.475	0.505

Aus eigenen Versuchen berechnete Humpidge⁹⁾ folgende Werte, welche die spezifische Wärme für eine Reihe von Temperaturen angeben:

0°	100°	200°	300°	400°	500°
0.3756	0.4702	0.5420	0.5910	0.6172	0.6206

Aus den Zahlen geht hervor, daß eine Entscheidung der Wertigkeit auf Grund der Wärmekapazität kaum möglich war, da auch bei andern Elementen, z. B. Eisen, ein ähnliches Ansteigen beobachtet wird. Die Bestimmung und Vergleichung der Werte des Molekularvolumens⁸⁾ verschiedener Metalloxyde führten auch zu keinem entscheidenden Schluß, wenn auch diese Betrachtungen auf die Dreiwertigkeit hinzuweisen schienen. Erst auf Grund des Avogadro'schen Satzes wurde die Wertigkeit mit Sicherheit durch Bestimmung der Dampfdichte¹⁰⁾ des Chlorberylliums festgelegt.

Die ersten Versuche zur Messung der Dampfdichte des Berylliumchlorids schlugen fehl, da es sich beim Verdampfen unter gewöhnlichen Umständen im Luftraum unter Freiwerden von Chlor zersetzt. Die Ursache dieses Zerfalls liegt nicht in einer Dissoziation des Chlorids, sondern muß der Einwirkung der feuchten Luft zugeschrieben werden. Es tritt diese Zersetzung nicht ein, wenn das Chlorberyllium im Chlorwasserstoff- oder Kohlensäurestrom in Dampfform übergeht. Demgemäß wurden die Dampfdichtebestimmungen in einer Kohlensäureatmosphäre ausgeführt, und da die BeCl_2 -Dämpfe Glas und Porzellan heftig anzugreifen schienen, wurden Platingefäße verwendet. Folgende

Zusammenstellung gibt die bei verschiedenen Temperaturen von Nilson und Pettersson erhaltenen Zahlen wieder (Luft = 1):

Temperatur	589 ⁰	597 ⁰	604 ⁰	686 ⁰	720 ⁰	745 ⁰	812 ⁰
Dampfdichte	3,067	3,031	3,090	2,853	2,926	2,753	2,793.

Versuche von Humpidge ergaben

635 ⁰	785 ⁰
2,733	2,714.

Berechnet für $\text{BeCl}_2 = 2,77$.

Die nahe Übereinstimmung zwischen den gefundenen Zahlen und der für BeCl_2 berechneten läßt wohl keinen Zweifel über die Zweiwertigkeit bestehen und derselbe Schluß ist aus der Dampfdichte des Bromberylliums⁹⁾ zu ziehen. Die bei niederen Temperaturen beobachteten größeren Werte sind analog den bei vielen andern Körpern, wie z. B. Essigsäure und Ameisensäure, gefundenen abnorm hohen Zahlen.

Durch Auflösung von Beryllerde in Essigsäure und Zusatz der äquivalenten Menge Acetylaceton läßt sich Berylliumacetylacetonat darstellen, welches durch Umkristallisieren aus Wasser leicht in reinem Zustande zu erhalten ist. Die Verbindung schmilzt bei 108⁰ und siedet unter Atmosphärendruck unzersetzt bei 270⁰ C. Dampfdichtebestimmungen mit diesem Körper im Diphenylamin- resp. Quecksilberdampf ergaben 7,26 resp. 7,12, während der aus der Formel $\text{Be}(\text{C}_5\text{H}_7\text{O}_2)_2$ berechnete Wert 7,16 beträgt.¹¹⁾ Diese Bestimmung schließt sich also den andern an.

Zum selben Schluß wird man geführt durch die Bestimmung der Molekulargröße gelöster Berylliumverbindungen nach der Beckmannschen Siedemethode.¹²⁾ Unter Anwendung von wasserfreiem Chlorberyllium als gelöstem Körper und Pyridin als Lösungsmittel wird eine Molekulargröße in fast genauer Übereinstimmung mit der Formel BeCl_2 gefunden. Für die Zweiwertigkeit sprechen auch deutlich die Verbindungen, welche das Beryllium mit der Oxalsäure¹²⁾ bildet; diese sind nämlich ganz anderer Art als diejenigen, welche die Säure mit den Sesquioxiden gibt. Bei Aluminium, Chrom und Eisen sind Salze der allgemeinen Formel $\text{M} \equiv (\text{COO} \cdot \text{COOR})_3$ dargestellt worden, wo R ein Alkalimetall bezeichnet. Diese Salze sind ihren chemischen Reaktionen nach komplexe Verbindungen, eine Auffassung, die durch Bestimmung der elektrischen Leitfähigkeit und der Überföhrungszahl bewiesen wird. Das Beryllium andererseits bildet Oxalsäureverbindungen, welche sowohl nach ihren Reaktionen, wie ihren physikalischen Eigenschaften insgesamt Doppelsalze und von den Komplexsalzen der dreiwertigen Elemente fundamental verschieden sind. Neuerdings sind von einigen Seiten Beobachtungen vorgebracht worden, welche für die Dreiwertigkeit sprechen sollen. So z. B. entspricht das Berylliumsalz der Kieselschwefelsäure¹³⁾ sowohl seinen kristallographischen Eigenschaften, wie seiner Zusammensetzung und der Reaktionen nach den Salzen dreiwertiger Elemente. Auch ergibt die Bestimmung des atomaren Lösungsvolumens¹⁴⁾ des Berylliums einen wesentlich größern Wert, als für andere zweiwertige dem Beryllium nahestehende Elemente gefunden wird. Solche Beobachtungen sind als Beweis für die Zweiwertigkeit sehr unzulänglich und werden wohl durch das allgemein abnorme Verhalten der 'typischen' Elemente erklärt.

Stellung im Elementensystem. Ähnlich den andern der ersten Periode des Elementensystems angehörenden Elementen zeigt Beryllium bedeutende Abweichungen in seinen Eigenschaften und seinem Verhalten von

len andern mit größerem Atomgewicht in derselben Gruppe stehenden Elementen. Seiner Stellung nach bildet das Beryllium den Übergang von dem Lithium mit stark ausgeprägtem metallischem Charakter zu dem Bor, bei welchem die metallische Natur nur wenig zum Vorschein kommt.

Gerade wie Lithium sich vielfach anders als die echten Alkalimetalle verhält und in seinen Eigenschaften dem Magnesium nähert, so tut dies auch Beryllium, indem es dem in der dritten Gruppe des periodischen Systems ähnlich stehenden Aluminium sehr nahe kommt. Dieser Ähnlichkeit wegen wurde die Natur des Berylliums, indem man das Element als zur dritten Gruppe gehörend betrachtete, lange Zeit nicht richtig verstanden.

Die Ähnlichkeit zeigt sich in erster Linie in der Art des Vorkommens der beiden Elemente in der Natur. Die Beryllerde und die Tonerde treten beide auf in den wichtigsten Be-Mineralien und jede ist als Naturprodukt der Hauptmenge nach an Kieselsäure gebunden. Die Oxyde beider sind schwer schmelzbar und lassen sich durch Magnesium, nicht aber durch Kohlenstoff zu Metall reduzieren. In metallischem Zustande verhalten sich die Elemente einander auch sehr ähnlich. Durch verdünnte Salz- sowie Schwefelsäure werden sie leicht in Lösung gebracht, während Salpetersäure, selbst konzentrierte, nur sehr wenig darauf einwirkt. Beide lösen sich in Ätzalkalilösung unter Wasserstoffentwicklung auf. Diesem Verhalten gemäß wirken die Oxyde beider Metalle zugleich als schwache Basen und als schwache Säuren. Be und Al sind somit befähigt, nicht nur positiv geladene Kationen zu liefern, sondern auch als Komponenten komplexer Anionen aufzutreten. In allen Fällen sind die entsprechenden Salze merklich hydrolytisch gespalten. Trotz derartiger deutlich ausgesprochener Ähnlichkeiten steht doch das Be näher dem Magnesium als irgendeinem andern Element. Gemäß der Zweiwertigkeit vermag das Beryllium keine Alaune zu bilden und die Be-Verbindungen sind vom selben allgemeinen Typus wie diejenigen von Magnesium und den andern Elementen der zweiten Gruppe. Die Isomorphie der entsprechenden Beryllium- und Magnesiumsalze ist zwar unvollkommen und zuweilen zeigen sie sogar in der Kristallform bedeutende Unterschiede. Dieselben Verhältnisse kommen aber zwischen den Salzen von Lithium und Natrium, sowie von Bor und Aluminium vor. Der doppelten Einteilung der Gruppe entsprechend läßt sich im Verhalten des Berylliums einerseits Ähnlichkeit mit der Erdalkali-, andererseits mit der Zinkuntergruppe erblicken. Bei Betrachtung der Reihe Ba, Sr, Ca, Mg, Be erkennt man in bezug auf manche Eigenschaften eine stetige Abstufung, die mit der abnehmenden Elektroaffinität Hand in Hand geht. So fällt die Stärke der Basen mit abnehmendem Atomgewicht also von links nach rechts, bis schließlich bei Be das Hydroxyd amphoter geworden ist; dementsprechend steigt die Neigung zur Bildung basischer Verbindungen. Von links nach rechts steigt die Löslichkeit der Sulfate, während die Löslichkeit der Hydroxyde stetig abnimmt. Dieselbe Reihenfolge ergibt ferner die Stabilität der Carbonate gegen Temperaturerhöhung, indem das Baryumcarbonat das feuerbeständigste ist.

Von den Elementen der zweiten Nebengruppe ist das Beryllium mit dem Zink am meisten verwandt; speziell zeigt sich dieses im Verhalten der Metalle und der Hydroxyde gegen Alkalilösungen — in der Bildung komplexer Anionen. Von Beryllium auf Zink übergehend nimmt diese Fähigkeit zur Komplexbildung deutlich zu, da die Elektroaffinität abnimmt.

Gewinnungs- und Reinigungsmethoden der Verbindungen. Das

wichtigste Ausgangsmaterial für die Darstellung der Berylliumverbindungen bildet der Beryll; zum Aufschließen dieses Minerals lassen sich mehrere Methoden in Anwendung bringen.

Nach einer Methode⁹⁾ wird das fein gepulverte Mineral mit Kohle innig gemischt und das Gemenge zur Rotglut in einem Porzellanrohr im Chlorstrom erhitzt. Vollständige Spaltung des Berylls tritt ein und es entstehen daraus die Chloride von Be, Al, Si und Fe, welche sich im kälteren Teile des Rohres aufsammeln. Eine partielle Trennung läßt sich durch die verschiedene Flüchtigkeit der Chloride erzielen.

Das Aufschließen gelingt auch, wenn das Mineral mit Alkalicarbonat, Ätzkalk, Bleioxyd, Mangandioxyd, Fluorkalium oder Fluorammonium geglüht wird. Bei Gebrauch von kohlen saurem Kalium wird die abgeglühte Schmelze mit Schwefelsäure behandelt, durch Erhitzen die Kieselsäure unlöslich gemacht und nach dem Verdünnen abfiltriert. Beim Einengen scheidet sich dann fast alles Aluminium als Kalialaun aus und auf Zusatz von Ammoniak fällt Berylliumhydroxyd aus.

Zum Aufschließen des Leukophans¹⁵⁾, nach Rammelsberg $\text{Na}_2(\text{BeCa})_3(\text{CaF}_2)_2(\text{SiO}_3)_3$, genügt einfach das Anrühren des zerkleinerten Minerals in einer Platinschale mit Wasser und Versetzen mit konzentrierter Schwefelsäure, wobei das im Mineral vorhandene Fluor entweicht. Durch Erhitzen wird der größte Teil der Schwefelsäure verjagt und der Rückstand darauf der gleichen Behandlung nochmals unterworfen. Der Schaleninhalt wird darauf mehrmals mit Wasser ausgekocht; die Lösung enthält fast alles Beryllium, während die Kieselsäure und der größte Teil des Calciums als Sulfat ungelöst zurückbleiben.

Beim Erhitzen von Beryll mit Kohle in einer Kohlenröhre im elektrischen Ofen verliert es den größten Teil des vorhandenen Siliciums unter Zurücklassung einer aus den Carbiden von Be und Al, sowie Si bestehenden Masse. Wenn diese mit Fluorwasserstoffsäure behandelt wird, so erhält man sofort eine ziemlich reine Lösung des im Wasser leicht löslichen Fluorberylliums.¹⁶⁾ Diese Behandlung gelingt auch im technischen Maßstabe, wenn der Beryll mit Calciumcarbonat gemischt wird. Beim Arbeiten im großen wird die aus dem elektrischen Ofen erhaltene Masse der Luft ausgesetzt; durch Einwirkung des Wasserdampfs werden die Carbide zersetzt und beim Behandeln des Rückstandes mit wässrigem Fluorwasserstoff oder Ammoniumcarbonat geht das Beryllium in Lösung.

Das Produkt der beschriebenen Aufschließungsmethoden ist eine Lösung, aus welcher durch Ammoniak nur unreines Berylliumhydroxyd gefällt wird. Die fremden Bestandteile sind Aluminium und Eisen und zu deren Entfernung und Darstellung der reinen Beryllerde sind mehrere Methoden vorgeschlagen worden.

Nach einer von Berzelius empfohlenen Methode¹⁷⁾ soll das unreine Oxyd in Salzsäure aufgelöst und die Hydroxyde von Be, Al und Fe durch Ammoniak zusammen gefällt werden. Diese werden dann mit konzentrierter Salmiaklösung lange Zeit unter fortwährendem Ersatz des verdampfenden Wassers gekocht; dabei geht das Beryllium als Chlorberyllium in Lösung, während die zwei andern Hydroxyde unlöslich zurückbleiben.

Nach einer zweiten Methode^{9) 15) 17)} werden die gefällten Hydroxyde mit reiner Ammoniumcarbonat-Lösung digeriert. In die abfiltrierte Lösung wird dann ein starker Dampfstrom eingeleitet, wobei ein basisches Beryllium-

carbonat sich ausscheidet. Der Niederschlag wird wieder in Salzsäure aufgelöst, durch Ammoniak gefällt und die beschriebene Behandlung mehrmals wiederholt. Auf diese Weise erhält man einen schneeweißen Niederschlag von basischem Berylliumcarbonat, das beim Glühen ein weißes voluminöses Pulver von Berylliumoxyd hinterläßt. Dieser Methode zur Trennung Be von Al und Fe darf wohl das meiste Zutrauen geschenkt werden. In theoretischer Hinsicht hängt sie von der Löslichkeit des Berylliumcarbonats bez. -hydroxyds, wohl wegen Bildung komplexer Be-Ionen, in Ammoniumcarbonat-Lösung ab. Durch den Wasserdampfstrom wird Ammoniak und Kohlensäure aus der Lösung entfernt, wodurch die komplexen Be-Ionen gespalten werden und es scheidet sich demzufolge das schwerlösliche Carbonat bez. basische Salz ab. Das so gewonnene Oxyd, wenn auch fast vollständig rein, ergibt in den meisten Fällen eine schwache grüngelbe Färbung¹⁸⁾ beim Auflösen in konzentrierter Salzsäure und zum Entfernen der Spuren Fremdstoffen (wahrscheinlich Eisen und Zink), welche diese Färbung verursachen, muß das gefällte Hydroxyd in Ammoniumcarbonat aufgelöst und mit Überschuß von reinem Schwefelammonium versetzt. Die Lösung wird im verschlossenen Gefäß mehrere Stunden aufbewahrt und danach auf 90° erwärmt; es scheiden sich dabei schwarze Flocken in kleiner Menge aus, welche abfiltriert werden. Die Lösung mit Dampfstrom behandelt und der Niederschlag geglüht ergibt das vollständig reine Oxyd, das in konzentrierter HCl eine wasserhelle Lösung liefert. Andere Methoden¹⁹⁾, welche als geeignet zur Trennung von Be und Al vorgeschlagen worden sind, beruhen auf dem verschiedenen Verhalten gegen Schwefligsäure und Alkaliacetat. Gegen Essigsäure verhält sich $\text{Be}(\text{OH})_2$ wesentlich anders als $\text{Al}(\text{OH})_3$ und $\text{Fe}(\text{OH})_3$. Beim Abdampfen der gemischten Hydroxyde mit Essigsäure bildet sich ein in Chloroform spielend lösliches basisches Be-Acetat, welches aus dieser Lösung durch Wasser nicht ausgeschüttelt wird. Nach dieser Behandlungsweise läßt sich die Trennung der Metalle leicht herbeiführen.²⁰⁾

Gewinnung des Metalls. Die Methoden zur Darstellung des Elements lassen sich folgendermaßen einteilen:

1. Reduktion der Berylliumhaloide bei hoher Temperatur durch Einwirkung der Alkalimetalle.
2. Reduktion des Berylliumoxyds bei Weißglut durch metallisches Magnesium.
3. Feuerflüssige Elektrolyse geschmolzener Berylliumhaloide enthaltender Gemische.

Wöhler, der das freie Element zuerst erhalten hat, erhitzte Chlorberyllium mit metallischem Kalium²¹⁾, wobei Reduktion unter heftiger Wärmeentwicklung stattfindet. Das nach dieser Methode gewonnene Produkt war aber sehr unrein und stellte ein fein verteiltes, wenig charakteristisches Pulver dar. Der Reduktion des Chlorberylliums durch Alkalimetall liegt auch die von Debray beschriebene Methode²²⁾ zugrunde. Die Arbeitsweise war derart geändert, daß das Chlorid und das Alkalimetall nicht zusammen, sondern getrennt erhitzt werden. In ein Glasrohr werden zwei aus einem Gemisch von Tonerde und Kalk hergestellte, stark geglühte Schiffchen gebracht, von denen das eine wasserfreies Chlorberyllium, das andere metallisches Natrium enthält. Durch das Rohr wird ein trockner Wasserstoffstrom geleitet und die Temperatur auf Rotglut erhöht. Die durch den Wasserstoffstrom mitgeführten BeCl_2 -Dämpfe gelangen auf diese Weise über das stark erhitzte Natrium und werden durch letzteres zu Metall reduziert. Das sich bildende schwärzliche Gemenge von Chlornatrium und Beryllium gibt beim Umschmelzen mit mehr

Chlornatrium Kügelchen des Metalls, die sich von NaCl durch Behandlung mit Wasser leicht abtrennen lassen.

Ein vorteilhafteres Ausgangsmaterial als das Chlorid bildet das Kaliumberylliumfluorid $\text{KF} \cdot \text{BeF}_2$ ¹⁵⁾, welches sich ziemlich leicht in reinem Zustande erhalten läßt und bei relativ niedriger Temperatur zum Schmelzen gebracht werden kann. Das Doppelfluorid wird mit der entsprechenden Menge Natrium und überschüssigem Natriumchlorid in einem durch Eisendeckel luftdicht verschließbaren Stahltiegel etwa eine halbe Stunde lang im Gasofen erhitzt. Nach Behandlung mit Wasser erhält man einen zum Teil kristallinischen, zum Teil pulverförmigen Rückstand; die Kriställchen stellen das fast reine Metall dar.

Wie die meisten Metalloxyde läßt sich die Beryllerde nach der oben angegebenen zweiten Methode durch Einwirkung von metallischem Magnesium²²⁾ bei hoher Temperatur zu Metall reduzieren. Zu diesem Zweck wird frisch geglühte Beryllerde mit fein verteiltem Magnesiumpulver entweder im einseitig geschlossenen Glasrohr oder im Porzellanschiffchen im Wasserstoffstrom erhitzt. Es bleibt eine graue Masse, in welcher sich metallisches Beryllium vorfindet; nach dieser Methode dargestellt, ist es aber stark mit Silicium verunreinigt.¹⁵⁾

Zur Darstellung gelangt man am bequemsten durch Anwendung des elektrischen Stromes. Versuche, das freie Metall sowie ein Berylliumamalgam durch Elektrolyse konzentrierter wässriger Lösungen zu gewinnen, führen nicht zum Ziele; es scheidet sich nichts als das Hydroxyd⁶⁾ ab. Becquerel will das Metall durch Elektrolyse eisenhaltiger BeCl_2 -Lösungen zwischen Platinelektroden erhalten haben, — es ist aber zu zweifeln, daß dabei das reine Metall auftritt. Demgemäß wird man auf die Elektrolyse geschmolzener Berylliumverbindungen verwiesen. In reinem Zustande leitet das geschmolzene Chlorid, sowie das Fluorid den elektrischen Strom^{6) 23)} nur wenig, durch Zusatz von Alkalihaloid werden aber dieselben sofort zu guten Leitern gemacht. Um eine gutleitende, leicht schmelzbare Masse zu erhalten²⁴⁾, verdampft man Chlorberylliumlösung unter Zusatz von Alkali- oder Erdalkalichlorid (Mg und Ca ausgenommen) und Salmiak zur Trockne und elektrolysiert in einem aus Schmiedeeisen hergestellten Schmelztiegel. Die Einrichtung des Apparats ist genau dieselbe, welche von Borchers zur Darstellung von Lithium und Magnesium empfohlen wird. Lebeau²⁵⁾ gebraucht zur Elektrolyse die leicht schmelzbaren Natrium-Doppelfluoride $\text{NaF} \cdot \text{BeF}_2$ und $2\text{NaF} \cdot \text{BeF}_2$. Als Gefäß dient ein Nickeltiegel, welcher gleichzeitig den negativen Elektroden bildet; der positive Elektrode ist eine Graphitstange. Beim Durchfließen des Stromes scheidet sich metallisches Beryllium auf der Tiegelwand aus. Nach dem Versuch wird der Tiegelinhalt mit kochendem Wasser behandelt und es bleiben zurück kleine unregelmäßige Kristalle vom reinen Metall. Patentangaben²⁶⁾ gemäß kann man das Metall bequem aus dem Oxyd oder aus Chrysoberyll erhalten, wenn dieselben mit Fluoriden oder Chloriden der Alkali- oder Erdalkalimetalle im Flammenbogen zusammengeschmolzen und bei Weißglut elektrolysiert werden.

Eigenschaften des Metalls. Das Beryllium stellt wohl das am wenigsten bekannte und am mangelhaftesten studierte Glied in der Reihe der sogenannten typischen Elemente dar. Die Ursache davon ist wohl in den Schwierigkeiten zu suchen, welche früher mit der Bereitung des Metalls verbunden waren. Die meisten Chemiker, die sich mit den Eigenschaften des

Berylliums beschäftigten, haben nur ein mehr oder weniger unreines Material in den Händen gehabt. Diese Tatsache erklärt den Mangel an Übereinstimmung zwischen den Angaben verschiedener Autoren über die Eigenschaften des Metalls, und bei Besprechung der Eigenschaften muß dieser Mangel in Erinnerung gebracht werden. Die stark ausgesprochene Reaktionsfähigkeit des von Wöhler zuerst erhaltenen Metalls ist wohl einem Kaliumgehalt zuzuschreiben.

In kompakter Form hat das Metall eine silberweiße, als Pulver eine dunkelgraue Farbe; es läßt sich schmieden und zu Blech aushämmern. Spez. Gew. an einem fast reinen Präparat bestimmt = 1,85⁹⁾; Atomvolum = 4,9. Bei gewöhnlicher Temperatur wird es an der Luft nicht verändert; beim Erhitzen findet Oxydation statt und das Metall überzieht sich mit einer dünnen Schicht von Oxyd, die seiner schweren Vergasbarkeit wegen die weitere Oxydation verhindert. Es schmilzt unterhalb 1000°. Pulverförmiges Beryllium verbrennt mit brillanter Feuererscheinung. Auf Wasser⁹⁾ wirkt das Metall in reinem Zustande bei gewöhnlicher Temperatur nicht ein; auch beim Kochen tritt Zersetzung nicht ein. In verdünnten Säuren löst sich das pulverförmige Metall auf, während das kompakte sich dem Aluminium sehr ähnlich verhält. Es löst sich ziemlich leicht in verdünnter Salzsäure sowie Schwefelsäure auf; verdünnte sowie konzentrierte Salpetersäure ist fast wirkungslos und selbst beim Erwärmen wird das Metall nur wenig angegriffen. In wässrigen Lösungen der Ätzalkalien löst es sich sehr leicht unter Wasserstoffentwicklung auf, in Ammoniaklösung nicht. Bei höherer Temperatur wird das Metall reaktionsfähiger; bei gelinder Erwärmung verbindet es sich direkt mit Chlor, bei stärkerem Erhitzen auch mit Brom und Jod. Trockener Chlorwasserstoff wird auch beim Erhitzen zerlegt. In Schwefeldampf⁶⁾ bleibt es unverändert, reagiert aber leicht mit Silicium unter Bildung eines harten spröden Körpers, der auch entsteht, falls Beryllium in Porzellangefäßen dargestellt wird.

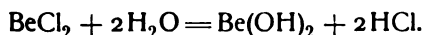
Lösungstension. Die Fähigkeit des Berylliums, aus sauren Lösungen Wasserstoff zu entwickeln, weist auf eine erhebliche Lösungstension des Metalls hin. Wenn auch dieselbe nicht elektromotorisch gemessen worden ist, so ist sie aus mehreren Gründen wahrscheinlich größer als beim Zink²⁶⁾, aber kleiner wie beim Magnesium. Für letzteres spricht die größere Beständigkeit an der Luft und das Verhalten des Metalls gegen Wasser. Daß das kompakte Metall von Salpetersäure nicht angegriffen wird, läßt sich auf sekundäre Umstände (vielleicht Passivität) zurückführen, die bei der Wirkung dieser Säure immer in Betracht zu ziehen sind. Die Entwicklung von Wasserstoff aus den Lösungen der starken Alkalihydroxydlösungen, trotzdem die Konzentration der H-Ionen in solchen Lösungen sehr klein ist, läßt sich durch den kleinen osmotischen Gegendruck der einfachen Be-Ionen infolge der Bildung von komplexen Anionen erklären.

Ionenbildung. Beryllium bildet positiv geladene zweiwertige farblose Ionen, welche durch einen auffallend süßen Geschmack charakterisiert werden, eine Eigenschaft, welche die zuerst erteilte Bezeichnung des Elements veranlaßt hat. Diese Kationen bedingen die charakteristischen Reaktionen der gewöhnlichen Berylliumsalzlösungen. Bezüglich der elektrischen Ladung der Be-Ionen und damit der Wertigkeit des Elements darf hier auf die Fähigkeit der Salze, kolloidale Lösungen auszufällen²⁷⁾, hingewiesen werden. Die Ladung der Ionen ist in erster Linie die Eigenschaft, von der die ausflockende Wirkung abhängt, und das Ausfällungsvermögen der Be-Salze weist deutlich

auf die Doppelladung der basischen Ionen hin. In den Lösungen der starken Alkalien ist das Beryllium in anderer Form nämlich als komplexe Anionen HBeO_2^- und BeO_2^{2-} enthalten; dieselben treten als elektrolytische Dissoziationsprodukte der in Lösung vorhandenen Alkaliberyllate auf. Die Bildung solcher Ionen entspricht der schon erwähnten Fähigkeit des Berylliumhydroxyds, als schwache zweibasische Säure zu wirken. Über die Leitfähigkeit der Be-Salzlösungen sowie über die damit zusammenhängende Beweglichkeit des Be-Ions liegen nur wenige Angaben vor; dieselben werden bei Besprechung der einzelnen Verbindungen mitgeteilt.

Komplexbildung. Der kleineren Elektroaffinität gemäß ist wohl die Tendenz des Be-Ions zur Komplexbildung größer als bei Magnesium und den Elementen der Calciumreihe. Wenn auch die Berylliumverbindungen nur sehr ungenügend untersucht worden sind, so sieht man die Tendenz zur Komplexbildung im Kristallwassergehalt der meisten Be-Salze, in der Bildung mancher Doppelsalze mit den Alkalimetallen, und auch in der Löslichkeit des Berylliumhydroxyds in vielen Be-Salzlösungen. Die Be-Salzlösungen lösen nämlich alle große Mengen Be-Hydroxyd und -Carbonat auf, im letzteren Falle unter CO_2 -Entwicklung. Die aufgelösten Mengen sind in starken Lösungen den Konzentrationen ungefähr proportional, was bei verdünnten Lösungen nicht so deutlich hervortritt. Die Löslichkeit hängt von dem Säureradikal ab, doch kommen im allgemeinen drei Äquivalente Be auf ein Säureradikal, nur bei Essigsäure etwa sechs. In neuerer Zeit sind ferner mehrere Be-haltige organische Verbindungen dargestellt worden, in welchen die besprochene Tendenz sehr klar hervorgeht. Mit der Weinsäure, Weinsäuremonomethylester, Äpfelsäure tritt das Beryllium in Verbindung und es sind mehrere komplexe Körper erhalten worden, in denen Hydroxylwasserstoffatome der Säuren durch Metall ersetzt werden. Es ist ferner eine Berylliumverbindung erhalten worden, welche der in der Fehlingschen Lösung vorhandenen Kupferverbindung und der entsprechenden Bleiverbindung ganz analog ist. Gegen die Weinsäure verhält sich demgemäß das Beryllium wie ein zweiwertiges Metall, da nur die zweiwertigen basenbildenden Metalle mit Weinsäure komplexe Verbindungen eingehen. Diese komplexen Be-Derivate werden dadurch ausgezeichnet, daß sie ein abnorm hohes optisches Drehungsvermögen im Vergleich mit den gewöhnlichen weinsäuren Salzen besitzen. Die einzelnen Werte für die Drehung dieser Körper werden später bei Besprechung der weinsäuren bez. äpfelsäuren Salze angegeben. Gemäß dieser Eigenschaft der kristallinen komplexen Be-Verbindungen wirken wässrige Lösungen der Berylliumsalze drehungsvergrößernd auf Weinsäure- und Äpfelsäurelösungen und die Maxima der beobachteten spezifischen Drehungen sind identisch mit den Drehungswerten der im festen Zustande erhaltenen Verbindungen. Die optisch aktiven Körper, bei welchen das Beryllium diese vergrößernde Wirkung ausübt, sind ausschließlich mehrbasische Oxsäuren sowie deren Salze und Ester.

Hydrolyse und Reaktionen der Salze. Der schwach basischen Natur des Berylliumhydroxyds entsprechend erleiden die Salze in wässriger Lösung eine deutliche hydrolytische Spaltung²⁵⁾; im Falle des Chlorids wird diese



Dementsprechend zeigen die Salze der stärkeren Säuren ausgeprägte saure Reaktion und verhalten sich in mancher Beziehung anders wie Lösungen

anderer Metallsalze. In der bedeutenden Hydrolyse seiner Salze unterscheidet sich Beryllium deutlich von dem anderen Metalle der zweiten Gruppe, da die entsprechenden Salze dieser Metalle bei weitem nicht so stark hydrolytisch gespalten sind. Der Grad der Hydrolyse wird bei den einzelnen Salzen angegeben. Auf Grund der schwach sauren Natur des Berylliumhydroxyds müssen die dieser Säure entsprechenden Alkaliberyllate sehr stark hydrolysiert werden und bei den Versuchen zur Darstellung dieser Körper in freiem Zustand hat man es deswegen nötig gefunden, ganz besondere Maßregeln zu treffen, um die Spaltungswirkung des Wassers aufzuheben.

Beim Zusammentreten von Be-Salzlösungen, also Be^{++} -Ionen, mit OH' -Ionen, wie bei Zusatz von Lösungen der Alkali- und Erdalkalihydroxyde, sowie Ammoniak scheidet sich das wenig lösliche $\text{Be}(\text{OH})_2$ ab. Im überschüssigen KOH oder NaOH löst sich der Niederschlag leicht auf infolge von Komplexbildung; in Ammoniak ist das Hydroxyd aber nur wenig löslich und dementsprechend tritt Fällung wieder ein, wenn die Ätzalkalilösung mit Ammoniumsalz versetzt wird.

Infolge der Schwerlöslichkeit des Hydroxyds, oder, was damit gleichbedeutend ist, infolge des kleinen Ionenlöslichkeitsprodukts $\text{Be}^{++} \cdot \text{OH}'^2$ tritt Fällung auf Zusatz von Ammoniak selbst bei Gegenwart von Ammoniumsalz ein. In diesem Verhalten unterscheidet es sich von Magnesium. Enthalten die Be-Salzlösungen gewisse organische Substanzen, welche alle durch das Vorhandensein von Hydroxylgruppen gekennzeichnet werden, so wird die Fällung wohl wegen Komplexbildung deutlich beeinflusst. Bei Gegenwart von Weinsäure gibt Ammoniak keine Fällung²⁹⁾, und einen ähnlichen, wenn auch nicht so großen Einfluß, üben Rohrzucker, Traubenzucker und Glycerin aus. Treten Be^{++} mit CO_3^{--} -Ionen zusammen, so scheidet sich nicht das normale Carbonat aus, sondern infolge der hydrolytischen Spaltung der Carbonate und der Schwerlöslichkeit des Hydroxyds ein basisches Carbonat, wohl ein Gemisch von Carbonat und Hydroxyd in einem Verhältnis, welches von den äußeren Bedingungen abhängt. Mit anderen Ionen, z. B. den Phosphorsäure- und Bernsteinsäure-Anionen gibt Be^{++} auch schwerlösliche Niederschläge und ähnlich dem Mg^{++} -Ion reagiert es auch mit Am^- und PO_4^{--} unter Ausscheidung des schwerlöslichen Berylliumammoniumphosphats. Im Gange der qualitativen Analyse wird das Beryllium dem soeben beschriebenen Verhalten gemäß mit dem Aluminium ausgefällt. Zum Nachweis desselben wird empfohlen, den durch Versetzen mit überschüssigem Ammoniumphosphat entstehenden Niederschlag in Salzsäure aufzulösen, Ammoniak bis zur neutralen Reaktion in die Lösung zu geben und aufzukochen. Auf diese Weise scheidet sich das BeAmPO_4 in leicht erkennbarer kristallinischer Form aus. Über Methoden zur Trennung von Be und Al ist schon bei der Reindarstellung der Beryllerde die Rede gewesen. Um das Be quantitativ zu bestimmen, wird die Lösung mit Ammoniumcarbonat versetzt und der Niederschlag wiederholt mit Am_2CO_3 -Lösung digeriert; dabei geht das Be in Lösung, während Al in Form des Hydroxyds ungelöst zurückbleibt. Um eine möglichst vollständige Trennung^{29a)} zu erreichen, muß das Füllen und Digerieren drei oder viermal vorgenommen werden. Die Be-haltige Al-freie Lösung wird darauf gekocht, um das Ammoniumsalz zu vertreiben, der Berylliumniederschlag in Salzsäure gelöst, mit Ammoniak gefällt und das entstehende Hydroxyd dann getrocknet, geglüht und als Berylliumoxyd gewogen. Eine weitere quantitative Trennungsmethode³⁰⁾ beruht auf dem verschiedenen Verhalten gegen Äthyl-

amin, in dessen wässriger Lösung $\text{Be}(\text{OH})_2$ fast unlöslich, dagegen $\text{Al}(\text{OH})_3$ leicht löslich ist. Beim Arbeiten nach dieser Methode wird die Be und Al enthaltende Lösung mit konzentrierter Äthylaminlauge behandelt und das sich ausscheidende $\text{Be}(\text{OH})_2$ abfiltriert.

Berylliumwasserstoff? Ob Beryllium sich mit Wasserstoff verbindet, ist nicht mit Sicherheit festgestellt. Beim Erhitzen eines Gemenges von Beryllerde und Magnesiumpulver in einer Wasserstoffatmosphäre bei Rotglut findet eine langsame Wasserstoffabsorption statt und diese ist der Wirkung des Gases auf das in Freiheit gesetzte metallische Beryllium zugeschrieben worden.³¹⁾ Das erhaltene Produkt riecht unangenehm, entwickelt Wasserstoff mit kochendem Wasser und beim Glühen bildet sich eine Wasserstoffflamme.

Be-Alkylverbindungen. Wenngleich die Existenz einer Wasserstoffverbindung zweifelhaft erscheint, sind Alkylderivate in freiem Zustande dargestellt worden. Berylliumäthyl $\text{Be}(\text{C}_2\text{H}_5)_2$ ³²⁾ entsteht bei Einwirkung von Metall in Form von dünnen Blättern auf Quecksilberäthyl bei etwa 130—140° C. Es ist eine farblose, an der Luft rauchende und bei gelinder Erwärmung sich entzündende Flüssigkeit, die bei 186° siedet. Durch Wasser sowie Alkohol wird es lebhaft zersetzt. Berylliumpropyl $\text{Be}(\text{C}_3\text{H}_7)_2$ ³²⁾ wird aus Quecksilberpropyl in genau dergleichen Weise erhalten. Es siedet bei 245° C und ist an der Luft nicht selbstentzündlich.

Die Verdrängung des Hg aus seinen entsprechenden Verbindungen steht im Einklang mit der viel größeren + Elektroaffinität des Be gegenüber dem Hg, da man, wie aus der Hydrolyse ersichtlich³³⁾, das Alkyl als negativen Teil der Molekel aufzufassen hat.

Berylliumfluorid. Durch Auflösen von Berylliumhydroxyd in wässriger Fluorwasserstoffsäure, Abdampfen und Trocknen bei 100° C, erhält man eine von Berzelius³⁴⁾ als wasserfreies Berylliumfluorid beschriebene Verbindung in Form einer gummiartigen Masse. Dieselbe enthält aber eine bedeutende Menge Wasser und wenn sie auf Rotglut zum Entfernen desselben erhitzt wird, entsteht das in Wasser leicht lösliche Oxyfluorid³⁵⁾ $5\text{BeF}_2 \cdot 2\text{BeO}$. Um das wasserfreie Fluorid BeF_2 darzustellen, muß das Abdampfen und Trocknen im Fluorwasserstoffstrom ausgeführt oder das leicht darstellbare Ammoniumberylliumfluorid $2\text{NH}_4\text{F} \cdot \text{BeF}_2$ im Kohlensäurestrom erhitzt³⁵⁾ werden. Es stellt eine glasartige hygroskopische Masse dar und zeichnet sich beim Vergleich mit den Fluoriden der anderen Metalle der zweiten Gruppe durch seine Leichtlöslichkeit in Wasser aus. In wasserfreiem Fluorwasserstoff ist es im Gegenteil fast unlöslich. Beim Erhitzen an der Luft wird es in das schon erwähnte Oxyfluorid verwandelt. Bei Rotglut wird es von Kalium, Natrium, Lithium und Magnesium zu Metall reduziert, denen sonach bei dieser Temperatur das Beryllium an Elektroaffinität unterlegen ist.

Doppelfluoride. Mit den Alkalimetallen bildet Be eine Reihe Doppelfluoride^{1) 15) 36)} vom Typus $2\text{M}'\text{F} \cdot \text{BeF}_2$. Dieselben gewinnt man, wenn Lösungen der einfachen Salze in molaren Verhältnissen zusammengebracht und eingengt werden. Das Kaliumsalz $2\text{KF} \cdot \text{BeF}_2$ kristallisiert in sechsseitigen rhombischen Tafeln, ist leicht schmelzbar und löst sich in 50 Teilen Wasser bei 20° C, in 19 Teilen bei 100° C auf. Wird Berylliumfluorid im Überschuß den Lösungen obiger Doppelfluoride hinzugefügt, so scheiden sich Salze vom Typus $\text{M}'\text{F} \cdot \text{BeF}_2$ aus. Das hierzu gehörende Kaliumsalz ist mehrfach zur Darstellung des Metalls durch Einwirkung von Natrium gebraucht worden.

Berylliumchlorid. Das wasserfreie Chlorid BeCl_2 entsteht, wenn das

Metall im trockenen Chlor- oder besser Chlorwasserstoffstrome erhitzt wird.⁵⁾²¹⁾¹⁰⁾ Gleichfalls wirkt Chlor in der Hitze auf Beryllerde, wenn diese mit fein verteilter Kohle gemischt wird²¹⁾, und aus dem Jodid wird Jod durch Chlor in Freiheit gesetzt.³⁷⁾ Es bildet eine leicht schmelzbare und leicht flüchtige schneeweiße Masse, die aus kleinen wasseranziehenden Kristallen besteht; an feuchter Luft raucht es unter HCl-Entwicklung ebenso stark wie Phosphor-pentachlorid. Beim Erhitzen an der Luft wird es zersetzt und freies Chlor tritt auf; in einer HCl- oder CO₂-Atmosphäre läßt es sich ohne Zerfall sublimieren.⁹⁾¹⁰⁾ Die letztere Angabe führt zu dem etwas zweifelhaften Schluß, daß der Luftsauerstoff das Chlor aus der Be-Bindung verdränge, da kaum anzunehmen ist, daß ein Subchlorid oder metallisches Be durch Cl-Dissoziation entsteht. Allerdings wird die Massenwirkung des Chlors beim Erhitzen an der Luft durch Fortdiffusion ständig verringert, während die Wirkung des Sauerstoffs konstant bleibt. Die Verhältnisse bedürfen also noch näherer Untersuchung. An der Luft in Glas- oder Porzellangefäßen erhitzt, greift BeCl₂ das Gefäßmaterial scheinbar stark an, indem sich auf dem Glas ein festhaftender Überzug von BeO ansetzt; falls Wasserdampf abwesend ist, tritt die Wirkung natürlich nicht ein. In Wasser löst sich das Chlorid unter starker Wärmeentwicklung, also jedenfalls unter Hydratbildung, leicht auf. In mehreren organischen Lösungsmitteln ist es auch leicht löslich, wie z. B. in Pyridin und Äther; mit letzterem verbindet es sich zu einem Komplex BeCl₂ · 2C₄H₁₀O. Aus wässriger Lösung bei gewöhnlicher Temperatur kristallisiert das Hydrat BeCl₂ · 4H₂O¹⁾⁵⁾ in monoklinen zerfließlichen Tafeln aus, welche bei 100° Wasser und Salzsäure verlieren. Aus einem mit BeCl₂ gesättigten Gemisch gleicher Volumina HCl-gesättigten Wassers und HCl-gesättigten Äthers kristallisieren beim Abkühlen³⁸⁾ Nadeln einer Substanz, die BeCl₂, HCl, Äther und Wasser in noch nicht untersuchtem Verhältnis enthält. Beim Glühen wird die Säure vollständig vertrieben und der Rückstand ist das Oxyd. Die wässrige Lösung des Chlorids reagiert sauer wegen der hydrolytischen Spaltung; durch überschüssige Säure wird der Grad dieser Hydrolyse, sowie die Löslichkeit des Salzes vermindert und dementsprechend wirkt Zusatz von freier Säure günstig auf die Kristallisation des Chlorids.

Hydrolyse der BeCl₂-Lösungen.²⁸⁾

	40°			99,7°			
Verdünnung (Liter pro Gr.-Äqu.)	12	20	40	64	128	256	512
Proz. Hydrolyse	2,1	2,2	2,2	5,18	6,30	7,90	11,12.

Die angegebenen Eigenschaften, insbesondere die weitgehende Hydrolyse, die Verbindung mit — und die Löslichkeit in — organischen Stoffen charakterisieren das BeCl₂ als ein Chlorid, welches — ähnlich wie SnCl₄ — auf der Grenze der metallischen und metalloiden Chloride steht.

Seiner Dampfdichte nach (s. o. Wertigkeit) ist es schwach polymerisiert, sofern die Abweichungen vom theoretischen Wert nicht Versuchsfehlern zur Last fallen. Die Bildungswärme des wasserfreien BeCl₂ beträgt 155000 cal., die Lösungswärme 44500 cal. Im wasserfreien Alkohol löst es sich unter Entwicklung von 37400 cal. auf.³⁹⁾

Basische Chloride erhält man beim Eindampfen von Chloridlösungen zur Trockne.

Berylliumbromid, BeBr₂, läßt sich durch Erhitzen des Metalls zu schwacher Rotglut im Bromdampf erhalten²¹⁾; zur Reinigung wird es im Wasserstoff- oder Kohlensäurestrom sublimiert.⁹⁾ Es verdampft ohne zu schmelzen bei

etwa 450° und geht leichter in Dampfform über als das Chlorid. In feuchter Luft greifen die BeBr_2 -Dämpfe Glas und Porzellan heftig an; wie beim Chlorid tritt diese Wirkung bei Abwesenheit von Feuchtigkeit nicht ein und ist wohl ebenso zu deuten. Dampfdichtebestimmungen des Bromids im Platinapparat und CO_2 -Atmosphäre ausgeführt, ergaben, wie BeCl_2 , schwache Abweichungen im Sinne einer Polymerisation:

Temperatur 608° 630°

Dampfdichte (Luft = 1) 6,49 6,28. Berechnet für BeBr_2 5,84.

In Wasser ist das Bromid sehr leicht löslich.

Berylliumjodid, BeJ_2 , entsteht beim Erhitzen des Metalls im Joddampf. Man gewinnt es sehr leicht, falls fein gepulvertes Berylliumcarbid Be_2C im Jodwasserstoffstrom bei mäßiger Rotglut erhitzt wird.³⁷⁾ Es bildet kleine, ungeheuer hygroskopische Kristalle, schmilzt bei 510° und siedet bei etwa 590° C. Im Wasserstoff- oder Stickstoffstrom läßt es sich unzersetzt destillieren. Durch Einwirkung von Brom, Chlor und Fluor wird das Jod in Freiheit gesetzt und bei erhöhter Temperatur wirkt Cyan auch darauf ein unter Bildung von Berylliumcyanid. In Sauerstoff oder Schwefeldampf erhitzt, wird es in das Oxyd bez. Sulfid verwandelt und wird leicht von den Alkalimetallen reduziert. Bei Einwirkung von Ammoniak wird dieses leicht absorbiert und es bildet sich die Verbindung $\text{BeJ}_2 \cdot 3\text{NH}_3$.³⁷⁾ Mit vielen organischen Verbindungen reagiert es auch auf energische Weise.

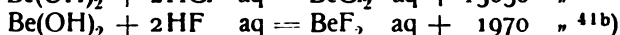
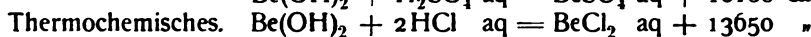
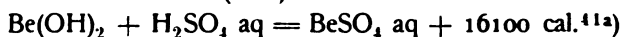
Berylliumcyanid, Be(CN)_2 ,³⁷⁾ bildet sich beim Erhitzen von Jodberyllium im Cyanstrom. In wässriger Lösung ist es als Salz einer sehr schwachen Base und sehr schwachen Säure beinahe vollständig hydrolytisch gespalten und dementsprechend löst sich Be(OH)_2 in wässriger Blausäure nicht auf. Die durch Versetzen von Berylliumsulfat mit Bariumcyanid entstehende Lösung enthält höchstens nur Spuren von Cyanberyllium.²⁹⁾ Aus den entsprechenden Bariumsalzen sind durch Wechselzersetzung mit BeSO_4 , Ferrocyanid und Ferricyanid des Berylliums als grüne Massen erhalten worden.

Berylliumhydroxyd, Be(OH)_2 , entsteht als weißer Niederschlag, wenn Be^{+} und OH^{-} -Ionen zusammentreffen. In Ätzalkalilösung löst sich das Hydroxyd leicht auf, ein Verhalten, welches von der sauren Natur des Hydroxyds und Bildung der Alkaliberyllate bedingt wird. Bei längerem Stehen in der Kälte scheiden die alkalischen Lösungen das Hydroxyd ab, beim Kochen findet diese Abscheidung sehr schnell statt. Dieses Verhalten kann durch folgende Betrachtungen erklärt werden. Die Lösungen der Alkaliberyllate sind weitgehend hydrolytisch gespalten und es befindet sich demgemäß eine bedeutende Menge Be(OH)_2 in gelöstem Zustande. Die lösliche Form des Hydroxyds wandelt sich aber langsam in eine viel weniger lösliche Modifikation um, so daß Abscheidung des Hydroxyds erfolgt. Die besprochene Umwandlung geht nur langsam vor sich in der Kälte, bei erhöhter Temperatur viel schneller. Seine Löslichkeit ist in hohem Grade von seiner Darstellungsart und Behandlung abhängig⁴⁰⁾: in kalt- und frischgefällter Form ist es voluminös, gallertartig, und zeigt eine erhebliche Löslichkeit sowohl in Säuren, wie Alkalien und Alkali- oder Ammoniumcarbonat, in letzteren unter Bildung von Beryllaten neben Berylliumcarbonat. Durch Erhitzen unter Lösungen oder beim Trocknen altert es, besonders schnell in heißer, verdünnter alkalischer Lösung, wobei seine Löslichkeit in verdünnter Lauge auf den 25- bis 30-ten Teil der jungen Form sinkt. Durch starke

10-normale Lauge kann aber, namentlich in der Hitze, selbst die älteste in Säuren sehr schwer lösliche Modifikation wieder in Lösung gebracht werden. Die Unkenntnis dieser Verhältnisse bedingte viele Widersprüche in der älteren Literatur. Folgende Zahlen charakterisieren die Löslichkeit einer möglichst frischen Form⁴⁰⁾:

NaOH	1,99	0,65	0,39 Mol. Liter
Be(OH) ₂	0,66	0,144	0,06 "
Be:Na	1:2,9	1:4,5	1:6,5.

Die frische Form des Be(OH)₂ bindet reichlich CO₂ aus der Luft, die stark gealterte Form nicht merklich. Be(OH)₂ kann bei 100° C getrocknet werden, bei stärkerem Erhitzen geht es in das Oxyd über. Hydroxyde mit größerem Wassergehalt sind beschrieben worden; so entsteht beim Versetzen einer Be-Salzlösung mit Ammoniak und Trocknen des Niederschlags an der Luft ein Hydroxyd der Formel⁴¹⁾ 3Be(OH)₂ · 7H₂O, für dessen chemische Individualität jedoch ein Beweis fehlt. Die Reinigung des Be(OH)₂ von beigemengten Verbindungen, namentlich Eisen, erfolgt am besten auf dem Umwege über das chloroformlösliche Acetat (s. u.)

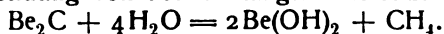


Berylliumoxyd. Beryllerde, Süßerde BeO bildet sich aus dem Hydroxyd beim Erhitzen auf 440° C als ein leichtes voluminöses Pulver von der Dichte (20°/4°) 2,964. Es entsteht ferner durch Glühen verschiedener Berylliumsalze, z. B. des Carbonats und Sulfats. Im Knallgasgebläse ist es unschmelzbar; bei der Temperatur des elektrischen Ofens schmilzt es leicht und geht in Dampfform über.⁴²⁾ Durch anhaltendes Glühen mit Borsäure oder starkes Erhitzen von BeSO₄ mit K₂SO₄ ist es in kristallinischer Form erhalten worden. Beim starken Glühen für sich scheint es auch kristallinisch zu werden und dementsprechend weichen die Eigenschaften des geglühten Oxyds deutlich von denen des bei niedriger Temperatur dargestellten Oxyds ab. Letzteres ist in verdünnten Säuren leicht löslich, das stark geglühte nicht, sowie auch nicht in kohlensaurem Ammoniak. Im geglühten Zustande wird es beim Kochen mit konzentrierter Salzsäure nur langsam angegriffen, löst sich aber beim Erwärmen mit konz. Schwefelsäure. Im elektrischen Ofen mit Kohlenstoff erhitzt, wird das Oxyd unter Bildung von Carbid reduziert⁴³⁾; unter denselben Umständen wirken Bor und Silicium⁴⁴⁾ auch darauf ein und es entsteht ein Borid resp. Silicid des Metalls. Bei weniger hoher Temperatur findet Reduktion sehr schwer statt; dieselbe wird weder durch Kalium, Natrium noch Kohlenstoff⁴⁴⁾ bewirkt.

Kaliumberyllat, Be(OK)₂⁴⁵⁾, das als Kaliumsalz der Beryllsäure Be(OH)₂ aufzufassen ist, entsteht, wenn frisch gefälltes Hydroxyd mit carbonatfreiem in absoluten Alkohol aufgelöstem Ätzkali in einer CO₂-freien Atmosphäre digeriert, und die abfiltrierte Lösung im Vakuum eingeeengt wird. Es scheidet sich als schneeweiße seidenglänzende Masse aus, ist sehr hygroskopisch und wird durch Wasser zersetzt; wegen der hydrolytischen Spaltung läßt es sich aus wässriger Lösung nicht erhalten. Auf ähnliche Weise ist das Natriumberyllat dargestellt worden. Leitfähigkeitsmessungen nach scheint jedoch ungespaltenes Beryllat in reichlicher Menge in der Lösung vorhanden zu sein.⁴⁵⁾

Binäre Metalloidverbindungen. Von den Verbindungen des Berylliums mit den anderen elektro-negativen Elementen ist im allgemeinen nicht sehr viel bekannt. Mit Schwefel verbindet sich das Metall nicht unmittelbar, wohl aber wirkt S auf BeJ_2 in der Hitze und es bildet sich das Sulfid. Mit Selen oder Tellur zusammengeschmolzen, tritt es auch in Verbindung; die Selenverbindung ist eine spröde kristallinische Masse, die vom Wasser langsam aufgelöst wird, während die Tellurverbindung ein graues Pulver bildet, welches mit Wasser Tellurwasserstoff entwickelt. Ein Stickstoffberyllium ist noch nicht erhalten worden, wohl aber die Verbindungen mit C, Si und B, von welchen aber nur das Carbid einigermaßen untersucht worden ist.

Berylliumcarbid $\text{Be}_2\text{C}^{43)}$ wird durch Erhitzen eines Gemenges von Beryllium und Zuckerkohle im elektrischen Ofen dargestellt. Es bildet eine rötliche, aus mikroskopischen hexagonalen Kristallen bestehende Masse, die sich durch große Härte auszeichnet. Im chemischen Verhalten erinnert es an das Aluminiumcarbid, indem es durch Wasser und Säuren bei gewöhnlicher Temperatur unter Bildung von Methan langsam zersetzt wird



Viel schneller geht diese Zersetzung vor sich, wenn das Carbid mit konzentrierter Alkalilösung gekocht wird. Auch in anderer Beziehung ist das Carbid sehr reaktionsfähig; beim Erhitzen wird es durch Cl, Br, O, HCl und HF in die entsprechenden Berylliumverbindungen übergeführt.

Über die **Salze der Sauerstoffhalogensäuren** liegen noch wenige Angaben vor. Eine Lösung von Berylliumchlorat (Bromat, Jodat), welche durch Eintragen von $\text{Be}(\text{OH})_2$ in die entsprechende wässrige Säure erhalten wird, zersetzt sich beim Abdampfen.⁴¹⁾ Berylliumperchlorat $\text{Be}(\text{ClO}_4)_2 \cdot 4\text{H}_2\text{O}^{36)}$ stellt man dar durch Zusammenmischen von BeSO_4 - und $\text{Ba}(\text{ClO}_4)_2$ -Lösungen und Einengen der abfiltrierten Lösung. Es bildet zerfließliche Nadeln, ist nicht beständig und schon bei 200° entweichen Überchlorsäuredämpfe. Berylliumperjodat $\text{Be}_3(\text{JO}_3)_2 \cdot 11\text{H}_2\text{O}^{41)}$ kristallisiert aus einer mit Berylliumcarbonat digerierten Überjodsäurelösung in rektangulären Tafeln.

Berylliumsulfid, BeSO_3 .⁴⁶⁾ Zur Darstellung dieses Salzes der schwachen Schwefligsäure ist es nötig, die hydrolytische Spaltwirkung des Wassers zu verhindern. Es entsteht in Form von kleinen hexagonalen Tafeln, falls eine Lösung von SO_2 in absolutem Alkohol mit frisch gefälltem getrockneten $\text{Be}(\text{OH})_2$ zur Sättigung digeriert und darauf die Lösung im Vakuum eingetrocknet wird. Mit Wasser wandelt es sich sofort in ein basisches Salz der Formel $\text{BeO} \cdot \text{BeSO}_3$ um. Dieses basische Salz entsteht ebenfalls, wenn man wässrige anstatt alkoholischer Schwefligsäure mit $\text{Be}(\text{OH})_2$ behandelt und die Lösung einengt. Es bildet ein farbloses äußerst zähes Gummi. Durch Wechselzersetzung von BeCl_2 und Na_2SO_3 in wässriger Lösung entsteht ein sehr basischer Niederschlag der Zusammensetzung $2\text{BeSO}_3 \cdot 9\text{Be}(\text{OH})_2 \cdot 6\text{H}_2\text{O}$; bei der Schwäche der Komponenten ist dies leicht erklärlich. Aus Alkalibisulfidlösungen, welche mit $\text{Be}(\text{OH})_2$ in der Wärme versetzt worden sind, scheiden sich Alkaliberylliumsulfite⁴⁷⁾ ab, wie z. B. $\text{K}_2\text{SO}_3 \cdot 2\text{BeSO}_3 \cdot 9\text{H}_2\text{O}$ und $(\text{NH}_4)_2\text{SO}_3 \cdot 2\text{BeSO}_3 \cdot 4\text{H}_2\text{O}$. Dieselben sind wirkliche Doppelsalze und sind den von Mg gebildeten Doppelsulfiten ganz analog.

Berylliumsulfat, BeSO_4 . Eine wässrige Lösung erhält man leicht durch Auflösung des Oxyds oder Hydroxyds in verdünnter Schwefelsäure. Beim Eindampfen der wegen der Hydrolyse mit Vorteil etwas angesäuerten Lösung bei Zimmertemperatur scheiden sich große oktaedrische Kristalle der

Formel $\text{BeSO}_4 \cdot 4\text{H}_2\text{O}$ ⁴⁵⁾ aus. Diese sind an der Luft beständig, haben bei 20° eine Wasserdampftension von 20 mm Olivenöl⁴⁸⁾; bei 100—110° verlieren sie $2\text{H}_2\text{O}$ unter Bildung des Dihydrats. Das wasserfreie Sulfat läßt sich durch Entfernung des Wassers aus dem Dihydrat, oder durch Behandlung von Berylliumoxyd mit konzentrierter Schwefelsäure erhalten. Die vollständige Vertreibung des Wassers ohne Schwefelsäureverlust ist aber schwierig auszuführen. Das wasserfreie Sulfat wird von kaltem Wasser nur langsam angegriffen. Bei Rotglut geht die Schwefelsäure größtenteils und bei Weißglut vollständig weg. Diese Umwandlung ist zum Zwecke der Atomgewichtsbestimmung gebraucht worden. Bei Zimmertemperatur löst sich das $\text{BeSO}_4 \cdot 4\text{H}_2\text{O}$ in etwa dem gleichen Gewicht Wasser; in verdünnter Schwefelsäure, also in einer gleich-ionigen Lösung, ist es weniger löslich, und in absolutem Alkohol im Gegensatz zu den Haloiden fast unlöslich. Die wässrige Lösung nimmt bedeutende Mengen des Oxyds beim Digerieren auf. Die Angabe¹⁷⁾, daß ein dem Bittersalz analoges Heptahydrat aus ziemlich stark saurer Lösung sich ausscheidet, scheint nach neueren Untersuchungen⁴⁸⁾ irrtümlich zu sein.

Hydrolyse der BeSO_4 -Lösungen²⁸⁾

Liter pro g-Äqu.	4	12	20	
bei 40°	% Hydrolyse	0,52	0,58	0,68

Bei derselben Verdünnung ist die Hydrolyse des Sulfats deutlich geringer als die des Chlorids.

Leitfähigkeit	v = 32	64	128	256	512	1024
25°	Äqu.-Leitf. = 66,4	77,0	88,7	99,4	112,6	124,4

Lösungswärme $\text{BeSO}_4 \cdot 4\text{H}_2\text{O} = +850 \text{ cal.}$ ³⁹⁾

Basische Sulfate entstehen, wenn Lösungen des normalen Sulfats mit Be-Hydroxyd oder -Carbonat gesättigt und darauf eingedampft werden. Die in der Literatur⁴¹⁾ als basische Sulfate beschriebenen Verbindungen sind wohl keine besonderen chemischen Individuen. Die phasentheoretische Untersuchung⁴⁸⁾ derselben hat ergeben, daß man es hierbei nicht mit individuellen Verbindungen, sondern wahrscheinlich mit festen Lösungen des Sulfats in dem Hydroxyd zu tun hat. Dieselben sind viel basischer, wenn Gleichgewicht mit der Mutterlauge eingetreten ist, als wenn sie frisch ausgefällt werden.

Doppelsulfate liefert das Be mit den Alkalimetallen. Aus einer Lösung, welche Kalium und Berylliumsulfat in etwa gleichen Mengen enthält, kristallisiert $\text{K}_2\text{SO}_4 \cdot \text{BeSO}_4 \cdot 2\text{H}_2\text{O}$ ⁵⁾ aus, und unter genau ähnlichen Umständen entsteht ein analog zusammengesetztes Ammoniumdoppelsalz. Aus einer überschüssigen H_2SO_4 enthaltende KBe-Lösung ist das saure Salz $\text{K}_2\text{SO}_4 \cdot \text{BeSO}_4 \cdot \text{H}_2\text{SO}_4 \cdot 4\text{H}_2\text{O}$ erhalten worden.

Berylliumthiosulfat⁴⁹⁾ ist durch seinen Wassergehalt auffällig; es soll die Formel $\text{BeS}_2\text{O}_3 \cdot 11\text{H}_2\text{O}$ besitzen.

Berylliumnitrat läßt sich durch Behandlung einer BeSO_4 -Lösung mit der entsprechenden Menge $\text{Ba}(\text{NO}_3)_2$ und langsames Einengen der Lösung in Kristallen der Zusammensetzung $\text{Be}(\text{NO}_3)_2 \cdot 3\text{H}_2\text{O}$ ⁴¹⁾ erhalten. Es ist zerfließlich und beim Erwärmen auf etwa 60° schmilzt es im Kristallwasser vollständig auf. Schon bei 100° verliert es Salpetersäure und bei anhaltendem Erwärmen soll das basische Salz $\text{Be}(\text{NO}_3)_2 \cdot \text{Be}(\text{OH})_2 \cdot 2\text{H}_2\text{O}$ ⁵⁰⁾ in Form eines durchsichtigen in Wasser löslichen Gummis erhalten werden. Bei etwa 200° geht alle Salpetersäure weg und es bleibt das Oxyd zurück.

Hydrolyse von $\text{Be}(\text{NO}_3)_2$ -Lösung ²⁸⁾	Liter pro g-Äqu.	10	20	40
bei 40°C	% Hydrolyse	1,8	1,8	1,9.

Berylliumorthophosphat. $\text{Be}_3(\text{PO}_4)_2 \cdot 6\text{H}_2\text{O}^{41)}$ entsteht als ein weißes voluminöses Pulver, wenn Be^{++} mit PO_4^{---} -Ionen zusammentreten, wie wenn eine Be-Salzlösung mit Natriumorthophosphat versetzt wird. Löst man das Phosphat in verdünnter Essigsäure und fügt der erwärmten Lösung einen geringen Überschuß an Natriumphosphat hinzu, so scheidet sich das wasserärmere Salz $\text{Be}_3(\text{PO}_4)_2 \cdot 4\text{H}_2\text{O}^{50)}$ in mikroskopischen Kristallen ab. Das saure Salz $\text{BeHPO}_4 \cdot 3\text{H}_2\text{O}^{51)}$ entsteht, falls eine Be-Salzlösung mit gewöhnlichem phosphorsaurem Natron versetzt wird — also bei Zusammentreffen von Be^{++} und HPO_4^{--} -Ionen.

Berylliumammoniumphosphat. Wird Berylliumphosphat in Salzsäure aufgelöst, Ammoniak bis zur neutralen Reaktion der Lösung zugegeben und die Lösung darauf zum Kochen erhitzt, so scheidet sich in kristallinischer Form BeAmPO_4 aus.⁵²⁾ Die Bedingungen für seine Entstehung sind also wesentlich das Zusammentreten von Be^{++} , Am^+ und PO_4^{---} -Ionen. In kaltem Wasser ist es schwer löslich und in heißem löst sich auch nur wenig auf. Beim Glühen verwandelt es sich in Berylliumpyrophosphat, das ferner durch Versetzen einer Be-Salzlösung mit Natriumpyrophosphat an Kristallwasser gebunden als $\text{Be}_2\text{P}_2\text{O}_7 \cdot 5\text{H}_2\text{O}$ erhalten wird.

Berylliumcarbonat. In Anbetracht der Schwäche der Kohlensäure und der Base ist es leicht verständlich, daß unter den Bedingungen, welche gewöhnlich zur Bildung eines normalen Carbonats führen, der Einfluß der Hydrolyse sich bemerkbar macht, so daß anstatt des normalen Salzes basische Salze entstehen, deren Zusammensetzung von den Versuchsbedingungen wie Konzentration, Temperatur usw. abhängt. Wie allgemein der Fall, wird die Hydrolyse des etwa gebildeten normalen Salzes beträchtlich vermindert, wenn eins der Spaltprodukte in überschüssiger Konzentration in der Lösung vorhanden ist. Demgemäß läßt sich aus einer an CO_2 -gesättigten Lösung das normale Salz gewinnen. Zu diesem Zwecke wird durch Wasser, in dem sich $\text{Be}(\text{OH})_2$ in Suspension befindet, ein CO_2 -Strom geleitet. Nach einiger Zeit wird von der ungelösten Substanz abfiltriert und die klare Lösung in CO_2 -Atmosphäre eingeeengt. Kristalle der Zusammensetzung $\text{BeCO}_3 \cdot 4\text{H}_2\text{O}^{17)}$ scheiden sich aus. Bei 100° verliert das Salz alles Wasser und bei nicht viel höherer Temperatur entweicht Kohlensäure.

Mehrere basische Carbonate sind beschrieben worden. Beim Versetzen einer Be-Salzlösung mit überschüssigem Na_2CO_3 entsteht eine Verbindung (oder Verbindungsgemisch) $\text{BeCO}_3 \cdot 2\text{BeO} \cdot \text{H}_2\text{O}$. Aus der Lösung, die man durch Digerieren von $\text{Be}(\text{OH})_2$ mit Am_2CO_3 -Lösung erhält, setzen sich Niederschläge ab, welche an Beryllium und Kohlensäure je nach den Bedingungen einen sehr verschiedenen Prozentgehalt aufweisen. Dieselben stellen wohl Gemische von Hydroxyd und Carbonat oder basischen Carbonaten dar, und in Anbetracht der Verhältnisse dürfen alle beschriebenen Verbindungen nicht ohne weiteres als chemische Individuen angesehen werden. Das normale Carbonat sowie die basischen Salze sind in Am_2CO_3 -Lösung löslich, weniger leicht in kohlensaurem Kalium oder Natrium. Doppelcarbonate, welche ein Alkalimetall enthalten, lassen sich darstellen. Digeriert man $\text{Be}(\text{OH})_2$ mit Pottaschelösung und fügt Alkohol hinzu, so scheidet sich ein Kaliumberylliumcarbonat⁵⁾ in kleinen Kristallen aus. Es ist in kaltem Wasser löslich, beim Kochen fällt eine basische Verbindung aus.

Berylliumsilicat. Das Be-Salz der Orthokieselsäure Be_2SiO_4 findet sich frei in der Natur in reinem Zustande vor. Es bildet durchsichtige rhom-

boedrische Kristalle vom spez. Gew. 3,0, ist sehr schwer schmelzbar und wird von Säuren nicht angegriffen. Die wichtigsten Be-Mineralien Beryll, Euklas usw. sind auch als Beryllium-Aluminium-Silicate aufzufassen, und mehrere Be-Alkali-Silicate sind synthetisch dargestellt worden.

Berylliumborat. Beim Versetzen einer Be-Salzlösung mit kalt gesättigter Boraxlösung entsteht ein basisches Borat der Zusammensetzung $5\text{BeO} \cdot \text{B}_2\text{O}_3$.¹⁵⁾ Es ist ein amorphes, sehr voluminöses Pulver, dessen spez. Gew. nur 1,142 beträgt und ist in Wasser nicht, in Säuren aber leicht löslich. Bei heftigem Glühen verliert es alle Borsäure und Beryllerde bleibt zurück. Ob es sich um ein chemisches Individuum handelt, ist zweifelhaft.

Berylliumacetat. Das Hydroxyd löst sich in heißem Eisessig zu einer in der Kälte in Oktaedern auskristallisierenden basischen Verbindung⁵³⁾ $\text{BeO} \cdot 3\text{Be}(\text{C}_2\text{H}_3\text{O}_2)_2$ vom Schmelzpunkt $283-284^\circ$ und Siedepunkt $330-331^\circ$. Ihre Dampfdichte entspricht der Formel und ist für die Wahl des Atomgewichts (s. u.) von Bedeutung.

Das Salz ist in absolutem Alkohol, Eisessig, Aceton, Benzaldehyd, PCl_3 , geschmolzener Monochloressigsäure, Malon- und Acetessig-Ester und wahrscheinlich vielen andern organischen Lösungsmitteln löslich; insbesondere ist es in Chloroform⁵⁴⁾ leicht löslich, aus dem es im Unterschied zu analogen Ferriverbindungen durch Wasser nicht ausschüttelbar ist. All diese Eigenschaften charakterisieren diese interessante Verbindung als sehr wenig ionisiert. Dementsprechend fällt auch durch alkoholisches KOH in absolut-alkoholischer Lösung kein $\text{Be}(\text{OH})_2$, jedoch bewirkt eine Spur von Wasserzusatz quantitative Fällung. Da die Verbindung von wässrigen Flüssigkeiten kaum benetzt wird, so kann man ihre Hydrolyse durch Vermittlung eines wassermischbaren Lösungsmittels (Alkohol, Aceton) herbeiführen.

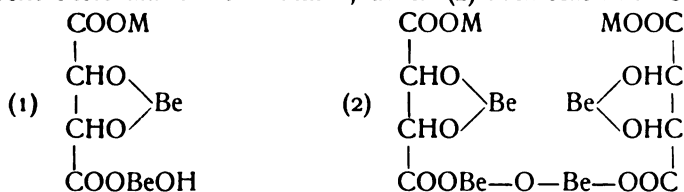
Ameisensäure und einige höhere Glieder der Fettsäurereihe bilden dem Acetat ganz analoge basische Berylliumverbindungen.^{54a)}

Oxalsäure Salze.⁵⁵⁾ Wird Oxalsäure mit $\text{Be}(\text{OH})_2$ in der Siedehitze abgesättigt, so lösen sich 2,5—3 Mole auf ein Mol der Säure und beim Einengen der Lösung nach Zusatz der gleichen Menge Oxalsäure kristallisiert das normale Berylliumoxalat $\text{BeC}_2\text{O}_4 \cdot 3\text{H}_2\text{O}$ in Nadeln oder Tafeln aus. Bei Absättigung der sauren Alkalioxalate auf dieselbe Weise erhält man basische Verbindungen der Formel $\text{M}_2\text{C}_2\text{O}_4 \cdot \text{BeC}_2\text{O}_4 \cdot \text{Be}(\text{OH})_2 \cdot x\text{H}_2\text{O}$ wo M ein Alkalimetall darstellt. Das Kaliumsalz bildet glänzende Kristalle, welche luftbeständig sind, dagegen ist das Ammoniumsalz sehr hygroskopisch, also löslicher. In ihren Lösungen treten die gewöhnlichen Reaktionen der Oxalsäure und des Berylliums unverändert ein. Fügt man der mit $\text{Be}(\text{OH})_2$ abgesättigten Lösung eine äquivalente Menge des Bioxalats hinzu, so scheiden sich beim Kristallisieren neutrale Salze vom Typus $\text{M}_2\text{C}_2\text{O}_4 \cdot \text{BeC}_2\text{O}_4 \cdot x\text{H}_2\text{O}$ aus, welche nach ihrem Verhalten als echte Doppelsalze, d. h. kaum komplexe Verbindungen aufzufassen sind. Im Einklang damit ist die Leitfähigkeit der neutralen Doppelsalze bei einer Reihe von Verdünnungen gleich der Summe der Leitfähigkeitswerte der Komponenten. Das neutrale Ammoniumsalz $(\text{NH}_4)_2\text{C}_2\text{O}_4 \cdot \text{BeC}_2\text{O}_4$ eignet sich infolge seiner Fähigkeit, wohlausgebildete Kristalle zu bilden, zur Reindarstellung von Be-Verbindungen und wurde von Debray zur Atomgewichtsbestimmung (s. u.) benutzt.

Molarleitfähigkeit Λ von Oxalatlösungen. 25^{0.55})

	Liter pro Mol = 32	64	128	256	512	1024
$\text{BeC}_2\text{O}_4 \cdot 3\text{H}_2\text{O}$	$\Lambda = -$	21,48	24,39	30,14	38,64	39,74
$\text{K}_2\text{C}_2\text{O}_4 \cdot \text{BeC}_2\text{O}_4 \cdot \text{H}_2\text{O}$	235,6	242,4	257,2	266,6	269,6	289,2
$\text{K}_2\text{C}_2\text{O}_4 \cdot \text{BeC}_2\text{O}_4 \cdot \text{Be}(\text{OH})_2 \cdot 1\frac{1}{2}\text{H}_2\text{O}$	196,4	210,8	225,8	241,4	254,0	264,2

Weinsäure Salze.⁵⁵⁾ Das normale Salz $\text{BeC}_4\text{H}_4\text{O}_6 \cdot 3\text{H}_2\text{O}$ wird durch Auflösen von $\text{Be}(\text{OH})_2$ in der berechneten Menge siedender Weinsäurelösung in mikroskopischen Kristallen erhalten. Größeres Interesse beanspruchen die komplexen Verbindungen, welche durch Absättigung der sauren Tartrate mit $\text{Be}(\text{OH})_2$ in der Siedehitze erhalten werden; dieselben klären die Natur des Berylliums besonders auf. Beim Einengen der Lösungen kristallisieren wohl ausgebildete berylliumhaltige Salze aus, deren Zusammensetzung der Formel $\text{M}_2\text{O} \cdot 4\text{BeO} \cdot 2\text{C}_4\text{H}_4\text{O}_6 \cdot x\text{H}_2\text{O}$ entspricht. Diese sogenannte Alkalidiberylliumtartrate⁵⁶⁾ zeigen mehrere anomale Reaktionen, welche für ihre komplexe Natur sprechen; so wird durch KCl kein Weinstein ausgefällt und durch CaCl_2 -Lösung kein weinsaurer Kalk. In diesen komplexen Körpern hat man aller Wahrscheinlichkeit nach Verbindungen, in denen nicht nur die Carboxylwasserstoffe, sondern auch die Hydroxylwasserstoffe der Weinsäure durch Metallatome ersetzt sind. Das Verhalten der Alkalidiberylliumtartrate läßt sich durch die Formel (1) oder falls man, wie im Falle der ähnlichen Kupferverbindung⁵⁷⁾, die doppelte Molekularformel annimmt, durch (2) zum Ausdruck bringen:

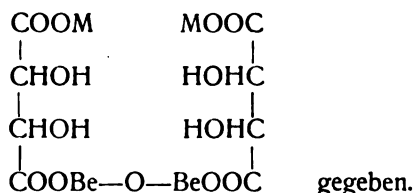


Das optische Drehungsvermögen⁵⁶⁾ dieser Salze ist sehr groß im Vergleich zu den gewöhnlichen weinsäuren Salzen; für das K, Na und Am-Salz beträgt die Molekularrotation $[\text{M}]_{\text{D}}$ 225,3⁰, 225,1⁰, resp. 241,7⁰. Schon in verhältnismäßig konzentrierten Lösungen wird die elektrolytische Dissoziation ziemlich groß, da die Werte für $[\text{M}]_{\text{D}}$ sich nur wenig ändern. Das komplexe Anion scheint ferner sehr beständig und nur wenig hydrolytisch gespalten zu sein, unterscheidet sich darin von den Boryl- und Arsenyltartrat-Ionen und tritt dem Antimonyltartrat-Ion an die Seite. Die Änderung der Leitfähigkeit der Diberylliumtartrate mit der Verdünnung spricht für die doppelte Formel (2), da $\mu_{1024} - \mu_{32}$ nahe gleich 20 gefunden wird.

Leitfähigkeit. 25 ^{0.56})	Liter pro g-Äqu.	32	64	128	256	512	1024
$\frac{1}{2}$ Kaliumdiberylliumtartrat. Äqu. Leitf.	46,6	50,0	53,7	56,2	61,1	68,4	
$\frac{1}{2}$ Natrium- " "	41,3	43,5	46,6	49,1	57,1	63,4	

Alkalimonoberylliumtartrate der Formel $\text{M}_2\text{O} \cdot 2\text{BeO} \cdot 2\text{C}_4\text{H}_4\text{O}_6 \cdot x\text{H}_2\text{O}$ entstehen aus Alkalibitartrat-Lösungen, welche weniger $\text{Be}(\text{OH})_2$ aufgelöst haben. Diese komplexen Verbindungen zeigen auch anomale Reaktionen und besitzen abnorm hohes Drehungsvermögen; für das K und Am-Salz ist für $[\text{M}]_{\text{D}}$ 124,7⁰ resp. 125,8⁰ gefunden worden und dieser Wert ist unabhängig von der Konzentration. Die Monoberylliumtartrate sind somit ebenfalls Verbindungen eines komplexen Anions, das in seiner Zusammensetzung der in

der Fehlingschen Lösung vorhandenen Cu-Verbindung entspricht. Demgemäß ist die Konstitution derselben wahrscheinlich durch die Formel



Ähnliche Verbindungen⁵⁶⁾ liefert das Beryllium mit der Äpfelsäure; die beiden Reihen von Mono- und Diberylliumalkalimalaten sind ebenfalls nach ihrem Verhalten komplexe Verbindungen; ihre Lösungen enthalten ein komplexes Be-haltiges zweiwertiges Anion wie im Falle der schon besprochenen Weinsäuresalze.

Berylliumacetylacetonat¹¹⁾³⁸⁾ ist eine salzartige Verbindung des Acetylacetons, welches als einwertige Säure fungiert, und mit $\text{Be}(\text{OH})_2$ oder Carbonat, jenes entsprechend der Formel $\text{Be}(\text{C}_5\text{H}_7\text{O}_2)_2$ liefert. Die Verbindung ist farblos, in allen Lösungsmitteln löslich, z. B. in Benzol, Toluol, Naphta, Benzin etc., Chloroform, Terpentin, Alkoholen, Aceton, Äther, Schwefelkohlenstoff, Estern, am wenigsten in kaltem Wasser, sie ist daher auch nicht hygroskopisch. Man kann darnach vermuten, daß sie wenig ionisiert ist, immerhin ist sie es genügend, um durch siedendes Wasser unter Abscheidung von $\text{Be}(\text{OH})_2$ hydrolytisch gespalten zu werden. A fortiori wirken natürlich Säuren zersetzend unter Bildung von freiem Acetylaceton. Sie schmilzt bei 108° und siedet bei 270° ohne Zersetzung. Ihr Dampfdruck ist schon unterhalb 100° genügend, um deutliche Sublimation zu bewirken. Die sublimierten Kristalle ähneln Schneeflocken, aus Lösungen scheiden sich rhombische Platten ab. Die Dichte des Acetylacetonats ist ($20^\circ/4^\circ$) 1,168.

- 1) Vergleiche Awdejew, Pogg. Ann. **56**, 118, 1842.
- 2) Eine Zusammenstellung der Be-Mineralien findet man Chem. News **8**, 183, 1863.
- 3) Ann. de Chimie [1] **26**, 155, 1798.
- 4) Lieb. Ann. **109**, 144, 1859.
- 5) Ann. de Chim. [3] **44**, 5, 1855.
- 6) Berl. Ber. **11**, 381, 1878.
- 7) Berl. Ber. **11**, 872, 1878.
- 8) Nilson und Pettersson, Berl. Ber. **13**, 1451, 1880.
- 9) Proc. Roy. Soc. **39**, 1, 1885; siehe auch Phil. Trans. Roy. Soc. Part. **2**, 601, 1883.
- 10) Nilson und Pettersson, Berl. Ber. **17**, 987, 1884.
- 11) Combes, Comptes Rendus **119**, 1222, 1894.
- 12) Rosenheim und Woge, Zeit. anorgan. Chemie **15**, 310, 1897.
- 13) Wyruboff, Bull. Soc. franç. min. **19**, 219, 1896.
- 14) Traube, Zeit. anorgan. Chemie **8**, 35, 1894.
- 15) Krüß und Moraht, Lieb. Ann. **260**, 161, 1890.
- 16) Lebeau Comptes Rendus **121**, 641, 1895; **126**, 1202, 1898.
- 17) Weeren, Pogg. Ann. **92**, 101, 1854. — Klatzo, Journ. f. prakt. Chem. **106**, 228, 1868. — Joy, Sill. Amer. Journ. [2] **36**, 84, 1863.
- 18) Krüß und Moraht, Lieb. Ann. **262**, 38, 1891; siehe auch Haber und van Oordt, Zeit. anorgan. Chem. **38**, 377, 1904.
- 19) Berthier, Ann. de Chimie **50**, 371; Gmelin, Pogg. Ann. **50**, 175 u. 183, 1840; Schaffgotsch, Pogg. Ann. **92**, 98, 1854.
- 20) Haber, Ztschr. anorgan. Chemie **40**, 465, 1903.
- 21) Pogg. Ann. **13**, 577, 1828; vergl. auch Bussy, Schweig. Journ. **54**, 241; Reynolds, Phil. Mag. [5] **3**, 38, 1877.

- 22) Winkler, Berl. Ber. **23**, 120, 1890.
 23) Lebeau, Comptes Rendus **126**, 744, 1898.
 24) Borchers, Zeit. f. Elektrochemie **2**, 40, 1895.
 25) Liebmann, Patent-Bl. **20**, 193.
 26) Abegg, Ztschr. anorg. Chem. **39**, 367, 1904.
 27) Freundlich, Zeit. f. physikal. Chem. **44**, 129, 1903.
 28) Ley, Zeit. f. physikal. Chem. **30**, 199, 1899. — Bruner, Zeit. f. physikal. Chem. **32**, 132, 1900.
 29) Toczynsky, Zeit. f. Chemie **7**, 276, 1871; vergl. dagegen Rosenheim und Itzig, Berl. Ber. **32**, 3424, 1899.
 29a) Vergl. Joy, Chem. News **8**, 198, 1863.
 30) Renz, Berl. Ber. **36**, 2751, 1903.
 31) Winkler, Berl. Ber. **24**, 1972, 1891.
 32) Cahours Jahresbericht **520**, 1873.
 33) Abegg, Ztschr. anorg. Chem. **39**, 339, 1904.
 34) Pogg. Ann. **1**, 22, 1824.
 35) Lebeau, Comptes Rendus **126**, 1418, 1898.
 36) Marignac, Ann. de Chimie [4] **30**, 45, 1873.
 37) Lebeau, Comptes Rend. **126**, 1272, 1898.
 38) Parsons Zeit. anorgan. Chem. **40**, 410, 1903.
 39) Pollok, Journ. Chem. Soc. **85**, 603, 1904.
 40) Haber und van Oordt, Ztschr. anorg. Chem. **38**, 377 und **40**, 465 1904.
 41) Atterberg, Sv. Vetensk. Akad. Handl. **12**, Nr. 5, 1873.
 41a) Thomsen, Pogg. Ann. **143**, 488, 1871.
 41b) Petersen, Zeit. f. phys. Chem. **5**, 259, 1890.
 42) Lebeau, Comptes Rendus **123**, 818, 1896.
 43) Lebeau, Comptes Rendus **121**, 496, 1895.
 44) Lebeau, Comptes Rendus **123**, 818, 1896.
 45) Hantzsch, Zeit. anorg. Chem. **30**, 303, 1902.
 46) Krüß und Moraht, Berl. Ber. **23**, 734, 1890.
 47) Seubert und Elten, Zeit. anorg. Chem. **4**, 44, 1893.
 48) Parsons, Z. anorg. Ch. **40**, 409, 1904; **42**, 250, 1904.
 49) Faktor, Pharm. Post **34**, 485. — Chem. Centralbl. 01, II, 878.
 50) Sestini, Gazzetta Ital. Chim. **20**, 313, 1890.
 51) Scheffer, Lieb. Ann. **109**, 144, 1859.
 52) Rößler, Zeit. f. analyt. Chemie **17**, 148, 1878.
 53) Urbain und Lacombe, Compt. rend. **133**, 874, 1901.
 54) Haber und van Oordt, Ztschr. anorg. Ch. **40**, 465, 1904.
 54a) Lacombe, Compt. rend. **134**, 772, 1902.
 55) Rosenheim und Woge, Zeit. anorg. Chemie **15**, 283, 1897.
 56) Rosenheim und Itzig, Berl. Ber. **32**, 3424, 1899.
 57) Vergl. Kahlenberg, Zeit. f. physikal. Chemie **17**, 577, 1895.

Chronologische Übersicht der Citate.

- 1798:** 3.
1820—1829: 21, 34.
1830—1839:
1840—1849: 1, 19.
1850—1859: 4, 5, 17, 19, 51.
1860—1869: 2, 17, 29a.
1870—1879: 6, 7, 21, 29, 32, 36, 41, 41a, 52.
1880—1889: 8, 9, 10.
1890—1894: 11, 14, 15, 18, 22, 31, 41b, 46, 47, 50.
1885—1899: 12, 13, 16, 23, 24, 28, 29, 35, 37, 42, 43, 44, 55, 56, 57.
1900—1904: 18, 20, 26, 27, 28, 30, 33, 38, 39, 40, 45, 48, 49, 53, 54, 54a.

The University, Leeds, Dez. 1904.

Atomgewicht des Berylliums.

Allgemeine Bemerkungen über Atomgewichte etc. Die Data, aus welchen unsere jetzigen Atomgewichte der Elemente abgeleitet wurden, sind mit einer Vollständigkeit, die nichts zu wünschen übrig läßt, von F. W. Clarke in den zwei Auflagen seines ausgezeichneten Werkes: *A Recalculation of the Atomic Weights, New Edition*, Washington 1897 zusammengestellt worden. Wertvolle Dienste haben mir auch die Pionierwerke von Strecker (1859) und Becker (1880) geleistet. Clarke benutzte die Literatur bis zum Ende des Jahres 1896. Das auf die falsche Basis $O = 15,96$ begründete Werk von Lothar Meyer und K. Seubert, *Die Atomgewichte der Elemente*, Leipzig 1883, enthält die Literatur bis Herbst 1882. Die Atomgewichtsdata dieses Werkes sind heute direkt unbrauchbar und müssen auf die Basis $O = 16$ (oder auf $O = 15,88$) erst umgerechnet werden. Die Zusammenstellung, welche Ostwald in seinem Ausführlichen Lehrbuch der allgemeinen Chemie, 2. Aufl., gegeben hat, geht bis zum Oktober 1890. Als Vervollständigung des Werkes von Clarke dienen die alljährlich von demselben im Namen der amerikanischen A. G. Komm. herausgegebenen Jahresberichte im Journ. Amer. Chem. Soc.

Clarke führt in seinem Werke alle Einzelbestimmungen in der Form von Verhältniszahlen an und behandelt die erhaltenen Mittel nach der Wahrscheinlichkeitsrechnung. Obwohl sich die Anwendung der Wahrscheinlichkeitsrechnung in Clarkes Händen in den meisten Fällen gut bewährt hat, so ist doch gegen den Gebrauch derselben einzuwenden, daß sie sich im Prinzip auf die Berechnung von Daten, welche aus meist komplizierten chemischen Manipulationen und nachfolgenden Messungen und Wägungen abgeleitet wurden, nicht eignet, da sie für dieselben zu fein ist und zu geringe (wahrscheinliche) Fehler ergibt. Streng genommen ist sie ja nur auf direkte astronomische oder physikalische Messungen anwendbar. Besser wäre es, bei chemischen Versuchsreihen die mittleren Abweichungen vom Durchschnitt zu berücksichtigen, doch müssen die Mathematiker eine zweckentsprechende, weniger feine Methode erst ausarbeiten.

L. Meyer und Seubert, sowie Ostwald addieren alle Einzelbestimmungen und berechnen aus der Summe das Atomgewicht. Es ist zweifelhaft, ob dieses letztere Verfahren richtig ist, denn dann müßte eine Atomgewichtsbestimmung desto genauer sein, je mehr Substanz verwendet wurde, ohne Rücksicht auf die Zahl der Versuche und die Fehler der benutzten Methode!

Indem ich denjenigen Chemikern, welche sich für diesen Gegenstand interessieren, das Studium des Werkes von Clarke empfehle, will ich hier über ältere Bestimmungen nur ganz kurz berichten und nur diejenigen, meist mit modernen Mitteln ausgeführten Arbeiten hervorheben, aus welchen sich unsere zuverlässigsten Zahlen ergeben. Es wird mir wohl erlaubt sein, meine eigenen Erfahrungen auf diesem Gebiete zur kritischen Behandlung

des Gegenstandes heranzuziehen. Im Gegensatz zu Clarke berechnete ich alle aus den individuellen Bestimmungsreihen sich ergebenden Atomgewichtszahlen.

Um den Grad der Zuverlässigkeit der als Endresultat erhaltenen Atomgewichtszahlen anzudeuten, setze ich hinter dieselben die Zahlen (I), (II) oder (III). Mit (I) bezeichne ich die von Stas erhaltenen Zahlen, bei welchen die zweite Dezimalstelle als sicher oder nur wenig von der Wahrheit abweichend angesehen werden darf. Dasselbe gilt von den meisten von Th. W. Richards und seinen Mitarbeitern erhaltenen Zahlen. Mit (II) bezeichne ich Zahlen, welche etwas weniger zuverlässig sind als (I), d. i. bei denen gewöhnlich nur die erste Dezimalstelle sicher ist. Alle weniger zuverlässigen Zahlen bezeichne ich mit (III). In zweifelhaften Fällen schreibe ich (I—II) usw.

Atomgewicht des Berylliums. $\text{Be} = 9,10$ ($\text{O} = 16$) (9,1 Intern. A. G. Komm.).¹⁾

A) Wahl des Atomgewichts.

Das H-Äquivalent des Berylliums ist von der Ordnung 4,5. Die Frage, welches Multiplum dieses Äquivalents das wahre Atomgewicht des Berylliums vorstellt, konnte lange Zeit nicht definitiv beantwortet werden. Es wurde entweder das Doppelte des Äquivalents: $4,5 \times 2 = 9$ (Be^{II}) oder das Dreifache: $4,5 \times 3 = 13,5$ (Be^{III}) oder sogar das Vierfache: $4,5 \times 4 = 18$ (Be^{IV}) als das wahre Atomgewicht des Berylliums angenommen.

Berzelius betrachtete die Beryllerde mit ihrem Entdecker Vauquelin anfangs als BeO resp. BeO_2 , seit 1815 aber als ein Analogon der Tonerde, zunächst als BeO_3 , später als Be_2O_3 . Awdejef (1842) betrachtete das Oxyd als Analogon der Magnesia: BeO . Dem Trioxyd (Be_2O_3) entspricht das Atomgewicht 13,5, dem Dioxyd (BeO) 9. Der Streit zwischen den Vertretern dieser beiden Atomgewichte kam lange Zeit nicht zur Entscheidung.^{1a)} Marignac fand (1873), daß das Beryllium Doppelfluoride bildet und hält die Zweiwertigkeit für wahrscheinlicher, doch sei die Entscheidung schwer, da das Sulfat des Berylliums weder mit demjenigen des dreiwertigen Aluminiums, noch mit den Sulfaten der zweiwertigen Elemente isomorph ist.^{1b)}

Im Jahre 1878 bestimmten Nilson und Pettersson²⁾ die spezifische Wärme des metallischen Berylliums und fanden dieselbe zwischen 0° — 100° zu 0,4079. Diese Zahl mit 9,2 (Be^{II}) multipliziert, gibt 3,8, mit 13,8 (Be^{III}) multipliziert aber 5,7 und da nur die letztere der von der Dulong-Petit'schen Regel verlangten Konstante sich nähert, so schlossen sie, daß das Beryllium mit dem Atomgewicht $\text{Be} = 13,8$ und dem Oxyd Be_2O_3 der Aluminiumgruppe angehört.

Ein Jahr früher wurde die spez. Wärme des metallischen Berylliums durch Emerson-Reynolds³⁾ bestimmt und zu 0,642 gefunden ($0,642 \times 9,2 = 5,9$). Es ist bisher unentschieden, ob diese höhere, für Be^{II} sprechende Zahl davon herrührt, daß das Reynoldsche metallische Beryllium amorph und dehnbar war, während dasjenige von Nilson und Pettersson spröde und kristallisiert war, oder, was wohl wahrscheinlicher ist, davon, daß es unrein war. Lothar Meyer⁴⁾ hält die Frage noch nicht für definitiv entschieden, hält aber die Dreiwertigkeit des Berylliums nicht für ausgeschlossen. Dagegen tritt Brauner⁵⁾ mit voller Entschiedenheit gegen die von Nilson und Pettersson gezogenen Schlüsse und für das Atomgewicht $\text{Be}^{\text{II}} = 9,2$ auf, indem er auf die Stellung des Elements im periodischen System hinweist, nach welcher

Berylliummetall gleich wie einer Anzahl (11) benachbarter Elemente mit kleinem Atomgewicht, kleinere spezifische Wärmen zukommen, als sie die Regel von Dulong-Petit verlangt. Nur die Regel von Avogadro könne diese Frage definitiv entscheiden. Er stand mit seiner Ansicht fast isoliert!

Im Jahre 1880 fanden Nilson und Pettersson⁶⁾, daß die Atomwärme des metallischen Berylliums bei steigender Temperatur nicht in dem Maße wächst, wie bei anderen Elementen, welche als Ausnahmen von der Dulong-Petitschen Regel angesehen werden. Lothar Meyer⁷⁾ wendet sich gegen die Schlüsse der schwedischen Forscher und spricht sich für die zuerst von Brauner ausgesprochene Ansicht, wonach $\text{Be}'' = 9,1$, aus. Auch Carnelley⁸⁾ verteidigt das zweiwertige Beryllium, indem er den Schmelzpunkt und den Siedepunkt des Chlorberylliums mit den analogen Eigenschaften der dreiwertigen Elemente vergleicht.

Zu derselben Zeit führten Nilson und Pettersson⁹⁾ eine Neubestimmung des Atomgewichts des Berylliums aus. Nach ihrer Ansicht sollte das Atomgewicht des zweiwertigen Berylliums nur 8 betragen, da die Differenz zwischen den Atomgewichten der benachbarten Elemente der 2. und 3. Reihe des periodischen Systems regelmäßig 16 beträgt: $\text{Li } 7 + 16 = 23 \text{ Na}$, $(\text{Be } 8 + 16 = 24 \text{ Mg})$, $\text{B } 11 + 16 = 27 \text{ Al}$, $\text{C } 12 + 16 = 28 \text{ Si}$ usw. Sie finden aber das H-Äquivalent $= 4,55$ und die doppelte Zahl $= 9,1$ spricht gegen das zweiwertige Beryllium. Dieselben Forscher führten ferner eine vergleichende Untersuchung der Verbindungen des Berylliums und der seltenen Erden aus. Sie kamen zu dem Schlusse, daß die Beryllerde Be_2O_3 eine seltene Erde ist, und das Beryllium $\text{Be}^{\text{III}} = 13,65$ betrachten sie als das erste Glied der Gruppe der Elemente der seltenen Erden im abgeänderten periodischen System der Elemente. Gegen diese Schlüsse trat zum zweitenmal Brauner¹⁰⁾ auf und indem er die Eigenschaften der genannten Verbindungen als periodische Funktionen der in ihnen enthaltenen Atomgewichte zusammenstellte, führte er auf Grund des periodischen Systems den Nachweis, daß die Eigenschaften des Berylliums und seiner Verbindungen Funktionen des Atomgewichtes $\text{Be}^{\text{II}} = 9,1$ sind, trotzdem, daß die Diskussion von Nilson und Pettersson¹¹⁾ als zugunsten des Atomgewichts $\text{Be}^{\text{III}} = 13,65$ endgültig erledigt erklärt wurde.

Im Jahre 1883 schloß Hartley¹²⁾ aus der Untersuchung des Funkenspektrums des Berylliums, daß dasselbe mit den Spektren des Calciums, Strontiums und Bariums eine große Analogie besitzt, daß also das zweiwertige Beryllium $\text{Be}^{\text{II}} = 9,1$ als das erste Glied der Gruppe der homologen Elemente: Be, Ca, Sr, Ba angesehen werden muß. Humpidge¹³⁾ schließt aus der von ihm gefundenen spez. Wärme des metallischen Berylliums, welche übrigens mit der von Nilson und Pettersson gefundenen übereinstimmt, daß das Atomgewicht des Berylliums $\text{Be} = 9,1$ beträgt.

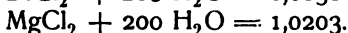
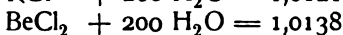
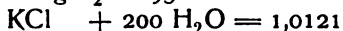
Im Jahre 1884 gelangte die Frage, betreffend das wahre Atomgewicht des Berylliums zu ihrer endgültigen Entscheidung. Nilson und Pettersson¹⁴⁾ bestimmten die Dampfdichte des Berylliumchlorids, nachdem V. Meyer dieser Versuch infolge der Anwesenheit einer Spur von Feuchtigkeit in seinem Apparat mißlungen war. Sie fanden bei $686\text{--}812^\circ$ eine Dampfdichte, welche mit der Molekularformel BeCl_2 im Einklange steht. (Mol.-Gew. gefunden: $82,4\text{--}84,5$, berechnet $80,0$). Bei niedriger Temperatur (520°) assoziieren sich die Moleküle zu Be_2Cl_4 .

Damit wurde endgültig entschieden, daß das wahre Atomgewicht

des Berylliums $\text{Be}^{\text{II}} = 9,1$ beträgt, in Übereinstimmung mit den Anforderungen des periodischen Gesetzes.

Dies wurde noch später anderweitig bestätigt. So fand Humpidge¹⁵⁾ 1886 für das Chlorid und Bromid Dichten, welche den Formeln BeCl_2 und BeBr_2 ($\text{Be}^{\text{II}} = 9,1$) entsprechen.

Mendelejeff¹⁶⁾ führt in seiner „Faraday Lecture“ ein neues Argument zugunsten des zweiwertigen Berylliums an. Er findet, daß beim Auflösen eines Mol Chlorid RCl_n in 200 Mol Wasser die Dichte der erhaltenen Lösung proportional dem Molekulargewicht wächst. Ist $\text{BeCl}_2 = 80$, so muß seine Lösung ein höheres spez. Gew. besitzen als die des $\text{KCl} = 74,5$, aber ein kleineres als die des $\text{MgCl}_2 = 95$. Nun ist $d_{15^\circ/4^\circ}$ einer Lösung von



„Es wird demnach die Zweiwertigkeit des Berylliums sowohl bei dem gelösten als auch beim gasförmigen Chlorid bestätigt.“ (Mendelejeff.)

Combes¹⁷⁾ findet, daß die Dampfdichte des von ihm dargestellten Acetylacetonats des Berylliums der Formel $\text{Be}^{\text{II}}(\text{C}_5\text{H}_7\text{O}_2)_2$ entspricht ($\text{Be}^{\text{II}} = 9,1$).

Rosenheim und Woge¹⁸⁾ fanden nach der ebullioskopischen Methode für die Molekularformel des in Pyridin gelösten Berylliumchlorids Werte, welche mit BeCl_2 in Einklang stehen.

In neuester Zeit trachtet Tanatar¹⁹⁾, alle für das zweiwertige Beryllium angeführten Argumente umzustößen. Urbain und Lacombe²⁰⁾ entdeckten neue flüchtige Verbindungen des Berylliums mit Sauerstoff und den Radikalen organischer Säuren. Die Essigsäureverbindung ist $\text{Be}_4\text{O}(\text{C}_2\text{H}_3\text{O}_2)_6$ und diese Molekularformel wurde durch eine Dampfdichtebestimmung sowie nach der kryoskopischen Methode bestätigt. „Das Beryllium kann demnach nicht $\text{Be}^{\text{III}} = 13,5$ sein, sondern es liegt ein neues Argument zugunsten des $\text{Be}^{\text{II}} = 9$ vor.“ Tanatar bestätigt die Molekularformel, nimmt in der Verbindung aber zwei Atome vierwertiges Beryllium an, $\text{Be}^{\text{IV}} = 18,2$, da sich nach seiner Ansicht die Konstitution nur durch $\text{R}_3\text{Be}^{\text{IV}} - \text{O} - \text{Be}^{\text{IV}}\text{R}_3$ erklären läßt. Die Chemiker werden aber wohl kaum geneigt sein, die schwer erkämpften wichtigen Argumente für $\text{Be}^{\text{II}} = 9$ und mit diesem Atomgewicht das ganze periodische System über Bord zu werfen, denn es liegt hier offenbar eine Verbindung vor, deren Konstitution noch nicht aufgeklärt ist. Es ist fraglich, ob nicht Essigsäure- oder Acetylverbindungen existieren, auf die sich unsere Konstitutionsformeln nicht anwenden lassen. Als Beispiel führe ich das saure Kaliumacetat an. Daß auch bei Verbindungen der letztgenannten Art die Assoziation der Molekeln eine Rolle spielt, beweisen die neuesten interessanten Untersuchungen von W. Biltz.²¹⁾ Er findet, daß die Acetylacetonate der seltenen Erden in konzentrierter Lösung bimolekular sind.

Beim Berylliumsulfat nähert sich der von Ley²²⁾ gefundene Wert der Äquivalentleitfähigkeitsdifferenz von $\frac{1}{32}n$ zu $\frac{1}{1024}n$ -Lösung $\Delta = 54,2$ den Werten $\Delta = 54 - 56$, welche, wie in meinem Laboratorium ausgeführte Versuche zeigen, das Leitfähigkeitsgefälle von Sulfaten dreiwertiger Elemente repräsentieren, so daß daraus irrtümlicherweise auf die Dreiwertigkeit des Berylliums geschlossen werden könnte. Die zu große Zunahme der Äquivalentleitfähigkeit erklärt sich jedoch durch die Hydrolyse.

Wir bleiben also beim zweiwertigen Beryllium $\text{Be}^{\text{II}} = 9$.

* B) Bestimmung des Atomgewichtes.

1. Die erste, wohl nur historisch interessante Bestimmung des Atomgewichtes des Berylliums verdanken wir Berzelius.²³⁾ Sie wurde schon 1815 ausgeführt. Er bestimmte einerseits die Beryllerde und das Chlor im Berylliumchlorid, andererseits die Erde und die Schwefelsäure im Sulfat. Seine Zahl $\text{Be} = 68,26$ ($\text{O} = 100$) ergibt, auf $\text{O} = 16$ umgerechnet, $\text{Be} = 10,6$.

2. Awdejef²⁴⁾, Weeren²⁵⁾ und Klatzo²⁶⁾ bestimmten das Verhältnis von $\text{BeO}:\text{SO}_3$ im Sulfat. Zuerst wurde die Schwefelsäure als BaSO_4 gefällt, aus dem Filtrat das Baryum entfernt und die Beryllerde mit Ammoniak gefällt. Awdejef führte 4 Versuche aus, Weeren ebenfalls 4 Versuche, Klatzo 5 Versuche aus. Die Mengen der erhaltenen Beryllerde schwankten zwischen 0,2—0,5 g, Awdejef gibt nur die Verhältniszahlen an. Die Methode ist, wegen der Eigenschaft des BaSO_4 , fremde Stoffe mitzureißen, als mangelhaft zu bezeichnen. Es folgt aus den Versuchen von Awdejef: $\text{Be} = 9,34$, Weeren: $\text{Be} = 9,42$ und Klatzo: $\text{Be} = 9,29$.

Der Mittelwert der drei Reihen ist $\text{Be} = 9,32$.

3. Debray²⁷⁾ verbrannte das Doppeloxalat $(\text{NH}_4)_2\text{BeC}_4\text{O}_8$ (angewandt 0,6 g, je 3 und 3 Versuche). Aus dem Verhältnis 11,433 $\text{BeO}:79,423 \text{ CO}_2$ ergibt sich $\text{Be} = 9,34$.

4. Sehr exakt, was die Reinheit des Materials und die Ausführung anbelangt, sind die Bestimmungen von Nilson und Pettersson.²⁸⁾ Es wurde das Sulfat $\text{BeSO}_4 \cdot 4\text{H}_2\text{O}$ stark geglüht (angewandt 2,6—4,3 g, 4 Versuche) und in BeO umgewandelt. Atomgewicht: $\text{Be} = 9,112$.

5. Krüß und Moraht²⁹⁾ verwendeten Berylliumpräparate verschiedenen Ursprungs, reinigten dieselben sehr gewissenhaft, stellten das Sulfat-Tetrahydrat dar, welches sie von freier Schwefelsäure befreiten und wiederholt umkristallisierten. Das Salz wurde durch Glühen, zuletzt zur Weißglut, in das Oxyd umgewandelt, wobei durch spezielle Anordnungen jeder Verlust vermieden wurde. Es wurden 16 Versuche ausgeführt, wobei zwischen 4,9619 g und 22,5044 g betragende Mengen angewandt wurden. Gefunden im Mittel 14,144% BeO (Minimum 14,130, Maximum 14,160). Das Atomgewicht ergibt sich zu $\text{Be} = 9,060$.

Die benutzte Methode ist nicht einwandfrei, da die Kristalle des Sulfats sowohl kleine Mengen der Mutterlauge als auch, was sich infolge der Hydrolyse der wässrigen Lösung des Sulfats der Kontrolle entzieht, kleine Mengen freier Schwefelsäure eingeschlossen haben konnten. Überdies ist das Verhältnis $\text{BeO}:\text{SO}_3 \cdot 4\text{H}_2\text{O} = 14,144:85,856$ ein recht ungünstiges.

6. Während der Drucklegung des vorliegenden Artikels publizierte Parsons³⁰⁾ die Resultate seiner mit modernen Mitteln ausgeführten Atomgewichtsbestimmung des Berylliums. Das verwendete Berylliummaterial wurde sorgfältig gereinigt und die letzten Spuren Aluminium wurden bei der Darstellung und dem Umkristallisieren der unten angeführten organischen Verbindungen des Be entfernt. Verfasser kritisiert die in 4. und 5. (s. oben) verwendete Sulfatmethode und zeigt, daß sie fehlerhaft ist, da er nach derselben $\text{Be} = 9,18$ bis $9,36$ erhielt. Er verwendete für die endgültige Bestimmung:

a) Berylliumacetylacetonat, $\text{Be}(\text{C}_5\text{H}_7\text{O}_2)_2$. Dasselbe wurde gewogen, durch Salpetersäure zerstört und vorsichtig zum Oxyd BeO geglüht. Das Oxyd enthält 0,35 cm³ okkludierte Gase per Gramm oder 0,00047 g. Alle Wägungen

sind auf das Vakuum reduziert. In 7 Versuchen wurde 1,39714—3,28037 g $\text{Be}(\text{C}_3\text{H}_7\text{O}_2)_2$ verwendet und 0,16905—0,39757 g BeO , oder 12,099—12,125, im Mittel 12,1124 Proz. BeO erhalten. Verfasser berechnet die Resultate mit den nicht ganz richtigen Atomgewichten $\text{H}=1,008$ und $\text{C}=12,01$ und erhält $\text{Be}=9,113$. Mit $\text{H}=1,00762$ und $\text{C}=12,00$ umgerechnet, resultiert $\text{Be}=9,098 \cdot (9,066-9,127)$.

b) Basisches Berylliumacetat, $\text{Be}_4\text{O}(\text{C}_2\text{H}_3\text{O}_2)_6$. Die umsublimierte Verbindung wurde, gleich wie das Acetylacetonat, in das Oxyd übergeführt. Letzteres erfuhr ebenfalls eine Korrektur von 0,00047 g per Gramm BeO für okkludierte Gase. In 9 Versuchen wurde 1,09012—3,11534 g $\text{Be}_4\text{O}(\text{C}_2\text{H}_3\text{O}_2)_6$ angewandt und 0,26911—0,76930 g BeO , oder 24,686—24,717, im Mittel 24,6984 Proz. BeO erhalten. Verfasser berechnet hieraus $\text{Be}=9,113$. Mit richtigen Atomgewichten berechne ich $\text{Be}=9,103$ (9,087—9,129).

Das erhaltene Oxyd wurde in beiden Fällen spektroskopisch rein und frei von jeder Spur Al gefunden.

Als Mittel beider Versuchsreihen ergibt sich $\text{Be}=9,1005$.

Übersicht.

Autor	Jahr	Verhältnis	Atomgew. $\text{Be} =$
Berzelius	1815	$\text{BeO} : \text{BaSO}_4$	10,6
Awdejff	1842	"	9,34
Weeren	1854	"	9,42
Klatzo	1869	"	9,29
Debray	1855	$\text{BeO} : 4\text{CO}_2$	9,34
Nilson u. Pettersson	1880	$\text{BeSO}_4 \cdot 4\text{H}_2\text{O} : \text{BeO}$	9,11
Krüb u. Morath	1891	"	9,06
Parsons	1904	$\text{Be}(\text{C}_3\text{H}_7\text{O}_2)_2 : \text{BeO}$	9,10
		$\text{Be}_4\text{O}(\text{C}_2\text{H}_3\text{O}_2)_6 : 4\text{BeO}$	9,10

Das Atomgewicht des Berylliums ist

$$\text{Be} = 9,10 \text{ (II),}$$

mit einer geringen Unsicherheit in der zweiten Dezimalstelle.

Auf Grund der Arbeit von Parsons drückt die von uns angenommene Zahl $\text{Be} = 9,10$ eine größere Genauigkeit aus als die internationale Zahl $\text{Be} = 9,1$.

1) Zahl, empfohlen von der internationalen Atomgewichts-Kommission der Deutschen chemischen Gesellschaft. Die Franzosen nennen das Element stets „Glucinium“ = Gl , die Engländer und Amerikaner taten dies früher ebenfalls, jetzt nicht mehr ausschließlich.

1a) Man findet eine sehr gute historische Übersicht dieses Streites in der unter 2) zitierten ausführlicheren Abhandlung, auch in Nova Acta Reg. Soc. Ups. Ser. III (1878).

1b) Wir wissen jetzt, daß die Metalle: Be , Mg , Zn und Cd , die Oxyde BeO und ZnO sowie die Silicate Be_2SiO_4 und Zn_2SiO_4 untereinander isomorph sind.

2) Nilson und Pettersson, Berichte **11**, 381; Ann. Phys. (2) **4**, 554—585.

3) Emerson-Reynolds, Phil. Mag. [5] **3**, 38, 1877.

4) Lothar Meyer, Berichte **11**, 576.

5) Brauner, Berichte **11**, 872—874, 1878.

6) Nilson und Pettersson, Berichte **13**, 1451, 1880.

7) Lothar Meyer, Berichte **13**, 1780.

8) Carnelley, Phil. Mag. [5] **8**, 305, 368, 461.

9) Nilson und Pettersson, Berichte **13**, 1451 und 1459.

10) Brauner, Berichte **14**, 53—58, 1881. — Phil. Mag. [5] **11**, 65—72.

- 11) Nilson und Pettersson, Berichte **13**, 1451 und 2035.
- 12) Hartley, Chem. Soc. Journ. Trans. 1883, 3, 6.
- 13) Humpidge, Proc. Roy. Soc. **38**, 188—191, 1885.
- 14) Nilson und Pettersson, Berichte **17**, 987—995, 1884 und C. R. **98**, 988.
- 15) Humpidge, Proc. Roy. Soc. **39**, 1—19.
- 16) Mendelejeff, Journ. Chem. Soc. Trans. 1889, 650.
- 17) Combes, Compt. rend. **119**, 1211—1223, 1894.
- 18) Rosenheim und Woge, Zeitschr. anorg. Chem. **15**, 310—316, 1897.
- 19) Tanatar, Journ. Russ. Phys. Chem. Ges. **36**, 82—86, 1904. (Vorläuf. Mittlg.)
- 20) Urbain und Lacombe, Compt. rend. **133**, 874; **134**, 772.
- 21) Wilh. Biltz, Lieb. Ann. **331**, 334—358.
- 22) Ley, Zeitschr. physik. Chem. **30**, 245.
- 23) Pogg. Ann. **8**, 187, 1826.
- 24) Awdejeff, Pogg. Ann. **56**, 106, 1842.
- 25) Weeren, Pogg. Ann. **92**, 124, 1854.
- 26) Klatzo, Zeitschr. anal. Chem. **8**, 523, 1869.
- 27) Debray, Ann. chim. phys. [3] **44**, 37, 1855.
- 28) Nilson und Pettersson, Berichte **13**, 1451, 1880.
- 29) Krüß und Moraht, Lieb. Ann. **262**, 38, 1891.
- 30) Parsons, Zeitschr. anorg. Chem. **40**, 400—422, 1904; auch Journ. Amer. Chem. Soc. **26**, Nr. 7.

Brauner.

Magnesium. Mg.

Vorkommen. Das Magnesium stellt eins der am weitesten verbreiteten Elemente dar; es begleitet sehr oft das Calcium in dessen Verbindungen. Es findet sich als Bestandteil vieler in großer Ablagerung vorkommenden Mineralien, sowie im Meereswasser, in vielen Mineralquellen, namentlich den „Bitterwässern“ und im Ackerboden vor. Im Tier- und Pflanzenreich ist es auch vorhanden, insbesondere in dem Samen, im Blut, in der Milch und in den Knochen. Die enormen Salzablagerungen bei Staßfurt bilden eine reichliche Quelle für Magnesiumsalze. Solche in der Natur vorkommende Verbindungen sind die Chloride Bischoffit $\text{MgCl}_2 \cdot 6\text{H}_2\text{O}$, Carnallit $\text{KCl} \cdot \text{MgCl}_2 \cdot 6\text{H}_2\text{O}$, Tachhydrit $\text{CaCl}_2 \cdot 2\text{MgCl}_2 \cdot 12\text{H}_2\text{O}$, von denen Carnallit in sehr großen Mengen auftritt. An Schwefelsäure gebunden, tritt es bei Staßfurt in mächtigen Schichten als Kieserit $\text{MgSO}_4 \cdot \text{H}_2\text{O}$ und Kainit $\text{KCl} \cdot \text{MgSO}_4 \cdot 3\text{H}_2\text{O}$ auf; ebendort vorkommend sind ferner zu erwähnen: Schönit $\text{K}_2\text{SO}_4 \cdot \text{MgSO}_4 \cdot 6\text{H}_2\text{O}$, Leonit $\text{K}_2\text{SO}_4 \cdot \text{MgSO}_4 \cdot 4\text{H}_2\text{O}$, Langbeinit $\text{K}_2\text{SO}_4 \cdot 2\text{MgSO}_4$, Astrakanit $\text{Na}_2\text{SO}_4 \cdot \text{MgSO}_4 \cdot 4\text{H}_2\text{O}$, Loeweit $\text{Na}_2\text{SO}_4 \cdot \text{MgSO}_4 \cdot 2\text{H}_2\text{O}$, Polyhalit $\text{K}_2\text{SO}_4 \cdot 2\text{CaSO}_4 \cdot \text{MgSO}_4 \cdot 2\text{H}_2\text{O}$ usw. Sein kohlensaures Salz kommt als Magnesit oder Talkspat MgCO_3 und als der mächtige Gebirgszüge bildende Dolomit $\text{CaCO}_3 \cdot \text{MgCO}_3$ vor. Als positiver Bestandteil verschiedenartiger Kieselsäure-Verbindungen tritt es auch auf. Solche Silicate sind der Olivin Mg_2SiO_4 , Enstatit Mg_2SiO_3 , Talk und Steatit $\text{Mg}_3\text{H}_2(\text{SiO}_3)_4$, Serpentin $\text{Mg}_3\text{Si}_2\text{O}_7 \cdot 2\text{H}_2\text{O}$, Meerschäum $\text{Mg}_2\text{Si}_3\text{O}_8 \cdot 2\text{H}_2\text{O}$ und Asbest, und in vielen andern Doppelsilicaten bildet das Magnesium einen jedenfalls sehr wesentlichen Bestandteil. Noch zu erwähnen sind Periklas—eisenhaltiges MgO , Brucit $\text{Mg}(\text{OH})_2$, Spinell $\text{MgO} \cdot \text{Al}_2\text{O}_3$, Magnoferrit $\text{MgO} \cdot \text{Fe}_2\text{O}_3$, Struvit $\text{NH}_4\text{MgPO}_4 \cdot 6\text{H}_2\text{O}$, Wagnerit $\text{Mg}_3(\text{PO}_4)_2 + \text{MgF}_2$ und Boracit, ein chlorhaltiges Magnesiumborat der Formel $2\text{Mg}_3\text{B}_8\text{O}_{15} \cdot \text{MgCl}_2$.

Geschichtliches. Die Geschichte des Magnesiums geht bis auf das 17. Jahrhundert zurück. 1695 wurde vom Londoner Mediziner Nehemiah Grew ein eigenartiges Salz beschrieben, das er in der Mineralquelle zu Epsom entdeckt hatte. Dieses in England als Epsomsalz, auf dem Kontinent als englisches Salz bekannte Produkt, erlangte bald seiner medizinischen Wirkungen wegen eine große Bedeutung, und im Jahre 1700 fing man an, in der Nähe von London, das Salz fabrikmäßig darzustellen. Etwas später wurde dasselbe Salz von Hoy aus den Mutterlaugen des Meereswassers erhalten und von Hoffmann in der Seidlitzer Mineralquelle vorgefunden. Fast gleichzeitig mit der Entdeckung des Epsomsalzes wurde eine zweite, physiologisch wichtige Magnesiumverbindung aufgefunden, welche von Rom aus als Heilmittel in den Handel kam. Einige Zeit lang blieb die Darstellungsmethode

dieser neuen als *Magnesia alba* bekannten Verbindung geheim. 1707 entdeckte aber Valentini in Gießen, daß sie durch Verdampfung der bei der Salpeterfabrikation zurückbleibenden Mutterlaugen und Erhitzen des festen Rückstandes sich erhalten ließ, und zwei Jahre später wurde sie von Slevogt aus diesen Laugen durch Fällen mit Pottasche gewonnen. Die Natur der *Magnesia alba* wurde erst durch die Untersuchung von Hoffmann, Bergmann und ganz besonders Black ans Licht gestellt. Lange Zeit wurde dieselbe mit dem Kalk fast immer verwechselt; durch die erwähnten Untersuchungen wurde aber bewiesen, daß sie als eine Verbindung von fixierter Luft (Kohlensäure) mit einer neuen Erde aufzufassen war.

Untersuchungen von Davy zeigten, daß diese Erde das Oxyd eines neuen Metalls darstellt und dem aus der Erde von ihm erhaltenen Metall gab er den Namen Magnium, da schon das in Pyrolusit vorhandene Metall Magnesium oder Manganesium bezeichnet wurde. Diese Nomenklatur verursachte, wie leicht verständlich, große Verwirrung und im Laufe der Zeit ging die ältere von Davy herrührende Bezeichnung in Magnesium über.

Darstellung des Metalles. Die Methoden, welche zur Darstellung des metallischen Magnesiums führen, lassen sich in rein chemische und elektrochemische teilen.

Bei Betrachtung der rein chemischen Methoden soll vor allem hervorgehoben werden, daß die Sauerstoffsalze, infolge der schweren Reduzierbarkeit des Oxyds, als Ausgangsmaterial nur geringe Bedeutung besitzen. Es ist zwar möglich, das Oxyd bei sehr starker Glühhitze mittels Kaliumdämpfen zu Metall zu reduzieren, und in der Tat wurde von Davy durch Erwärmen des Rückstandes mit Quecksilber und Abdestillieren desselben, das Magnesium, wenn auch nur in unreinem Zustande, zum ersten Male auf diesem Wege erhalten; als praktische Darstellungsmethode hat dieses Verfahren keinen Wert. Nach Patentangaben soll die Reduktion des Oxyds technisch möglich sein, falls Magnesit in inniger Mischung mit Kohle und Eisenoxyd¹⁾ bei starker Weißglut erhitzt wird, und nach andern läßt sich Schwefelmagnesium auch durch Glühen mit Eisen²⁾ oder im Kohlenwasserstoffstrom zu Metall reduzieren. Als Ausgangsmaterial sind die Haloidverbindungen von viel größerer Wichtigkeit. Aus diesen läßt sich das Metall durch Einwirkung der stark elektropositiven Alkalimetalle bei hoher Temperatur ziemlich leicht erhalten. Auf diese Weise wurde es zum ersten Male in einigermaßen reinem Zustande von Bussy³⁾ in 1830 durch Erhitzen des wasserfreien Chlorids mit Kalium dargestellt. Anstatt dabei das reine Chlormagnesium zu gebrauchen, ist es vorteilhafter, wasserfreie Gemenge desselben mit den Alkalichloriden im geschmolzenen Zustande mit dem Alkalimetall zu behandeln. Von Deville und Caron⁴⁾ wurde das von Wöhler vorgeschlagene Chlormagnesium-Chlornatrium-Gemisch mit gutem Erfolge angewandt; auch wurde das durch Entwässerung von Staßfurter Carnallit leicht darstellbare $MgCl_2 + KCl$ -Gemisch als sehr zweckmäßig empfohlen.⁵⁾ Bei Anwendung des entwässerten Carnallits ist darauf acht zu geben, daß es keinen Kieserit enthält, da dasselbe die Bildung größerer Magnesiumkügelchen verhindert. Darum empfiehlt es sich, in das aufgeschmolzene Gemisch Sägespäne einzutragen, und mit einer Kohlenstange bei dunkler Rotglut herumzurühren, wobei der Kieserit reduziert wird. Nach Absitzenlassen kann die Schmelze direkt zur Metallgewinnung angewandt werden. Bei dem modifizierten Verfahren wird die umständliche Darstellung des wasserfreien Chlormagnesiums vermieden. Eine

weitere Verbesserung besteht im Zusatz von Flußspat als Flußmittel, wodurch das Flüssigwerden erleichtert und die Reduktion bei niedrigerer Temperatur ermöglicht wird. Nach Einwirkung des Natriums werden die kleinen zerstreuten Metallmassen durch Umrühren mit eiserner Stange vereinigt und die Schmelze auf eine Eisenplatte abgegossen; aus der zerschlagenen Masse lassen sich die Magnesiumkügelchen leicht herauslesen.

Die ersten Versuche, welche das Metall mit Hilfe des elektrischen Stromes zu gewinnen bezweckten, rühren von Davy her, der unter Anwendung von schwach befeuchteter schwefelsaurer Bittererde mit Quecksilberkathode ein Magnesiumamalgam erhielt. Weitere Versuche zur Gewinnung des Metalls durch Elektrolyse wässriger Lösungen machte Becquerel⁶⁾, der fand, daß das Metall aus konzentrierter $MgCl_2$ -Lösung in grauen unter dem Polierstahl Metallglanz annehmenden Tuberkeln sich ausschied. Die Elektrolyse wässriger Mg-Salzlösungen hat sich aber bis jetzt nicht als praktisch erwiesen, wenn auch die Zersetzung von Magnesium-Ammonium-Sulfatlösungen bei 70—100° als zweckmäßig vorgeschlagen⁷⁾ worden ist.

In größerer Menge wurde das Magnesium erst 1852 von Bunsen⁸⁾ durch Elektrolyse von wasserfreiem $MgCl_2$ gewonnen. Nach der von ihm beschriebenen Methode wird das wasserfreie Chlorid im Porzellantiegel zum Schmelzen gebracht. Durch eine nicht ganz bis zum Boden hinabgehende Porzellanwand wird der Tiegel in einen Anoden- und Kathodenraum geteilt, und durch einen zweimal durchbohrten Porzellandeckel verschlossen. Durch die Löcher des Deckels führen die aus Kohle bestehenden Pole, den Strom in die geschmolzene Masse hinein. Damit das an der Kathode sich abscheidende leichte Metall nicht an die Oberfläche hinaufsteigen und verbrennen kann, hat die Kathodenkohle eine etwas gekrümmte Gestalt und auf ihrer konkaven Seite sägenförmige Einschnitte, in welchen sich das Metall ansammelt. Anstatt des reinen $MgCl_2$ ist es bequemer, wie bei der rein chemischen Methode, Gemenge⁹⁾ desselben mit den Alkalichloriden zu verwenden, und die jetzige technische Darstellung beruht auf der feuerflüssigen Elektrolyse des entwässerten Carnallits bei schwacher Rotglut. In einem Ofen stehen eine Anzahl eiserner Schmelztiegel, welche gleichzeitig als Kathoden dienen; durch ein zentrales Loch im Deckel führt ein die Kohlenanode umhüllendes Porzellanrohr, und zwecks der Zu- und Ableitung reduzierender Gase wird der Deckel mit zwei weiteren Löchern versehen.¹⁰⁾ Nach Borchers¹¹⁾ ist die Anwendung solcher Gase überflüssig. Der Carnallit wird bereits geschmolzen in die Tiegel eingetragen, welche letztere nicht zu tief im Feuer stehen dürfen, sonst werden die oberen Teile der Wandungen durch die Feuergase außen, und die heißen sauren Gase innen, sehr schnell angegriffen. Beim Durchleiten des Stromes scheidet sich Magnesium in wachsenden Kugeln an den Tiegelwänden ab. Nach vollzogener Elektrolyse wird die Schmelze ausgegossen, nach dem Erkalten zerschlagen und die Metallkugeln herausgelesen; die größeren werden direkt im Graphittiegel zusammengeschmolzen, die kleineren unreinen Kugeln im Eisentiegel mit Carnallit aufgeschmolzen, mit einem Stempel zusammengedrückt, und nach Steigerung der Temperatur mit siebartigen Löffeln herausgeschöpft.

Es sind Vorschläge gemacht worden, das Magnesium durch Elektrolyse geschmolzener Alkalimagnesiumsulfide zu gewinnen.¹²⁾ Zur Herstellung des anzuwendenden Elektrolyts wird ein fein verriebenes Gemenge von vorher zusammengeschmolzenen Alkalicarbonat und Magnesia in einer Schwefelkohlen-

stoffatmosphäre erhitzt. Wegen der geringen Luftbeständigkeit des so gewonnenen Doppelsulfids wird empfohlen, die Elektrolyse im Herstellungsapparat unter Luftabschluß vorzunehmen. Als Elektrolysiergefäß dient ein innen mit Graphit ausgekleideter, aus feuerfestem Material hergestellter Tiegel, der gleichzeitig die Kathode bildet; die Anode besteht aus reiner Kohle. Der Spannungsbedarf bei diesem Verfahren ist gering.

Das auf die eine oder andere Weise erhaltene Metall ist nicht vollständig rein; zur teilweisen Reinigung führt das Umschmelzen ¹¹⁾ mit Alkalimagnesiumchlorid, aber vollkommen rein läßt es sich nur durch Destillieren ⁴⁾ erhalten. Zu diesem Zwecke wird das rohe Metall in einen eisernen Tiegel gebracht, durch dessen Boden ein bis nahe zu dem Tiegeldeckel reichendes Rohr eingelassen wird. Nach dem Einfüllen wird der Deckel dicht aufgeschraubt und die Luft durch Wasserstoff oder Leuchtgas ersetzt. Beim Erhitzen destilliert das Metall, die Dämpfe werden durch das vertikale Rohr von oben nach unten geführt, kondensiert, und in einem darunter gelegten Kasten aufgesammelt. Im Handel tritt es gewöhnlich in Pulver- oder Bandform auf; letztere wird durch Ausziehen des halbflüssigen Magnesiums zu Draht von gewünschtem Durchmesser und Auswalzen des Drahtes erhalten.

Physikalische Eigenschaften des Metalls. Das Magnesium stellt ein silberweißes hämmerbares Metall dar; spez. Gew. 1,75; Atomvolum 13,9; Härte 3; Schmelzpunkt ¹³⁾ unterhalb 800°; Siedepunkt ca. 1100° ¹⁴⁾; spez. Wärme ¹⁵⁾ bei 0° = 0,2456, bei 50° = 0,2519; elektrische Leitfähigkeit ¹⁵⁾ bezogen auf Hg von 0°, bei 0° = 22,84, bei 100° = 16,34; absolute Wärmeleitfähigkeit ¹⁵⁾ (0—100°) = 37,60; Atomrefraktion 6,9.

Es ist an trockener Luft bei gewöhnlicher Temperatur beständig, an feuchter Luft oxydiert es langsam. Beim Erhitzen auf die Schmelztemperatur verbrennt es an der Luft mit glänzender bläulichweißer Flamme, deren hohe Lichtintensität mit der großen Wärmeentwicklung und der Nichtflüchtigkeit des dabei gebildeten und ins Glühen versetzten Oxyds in nahem Zusammenhang steht.

Die erwähnte intensive Lichtentwicklung beim Verbrennen des Magnesiums ist sehr charakteristisch und hat zu seiner Verwendung für Signalf Feuer geführt. Nach den Untersuchungen von Bunsen und Roscoe ¹⁶⁾ gibt ein Draht von 0,297 mm Durchmesser beim Verbrennen an der Luft ebenso viel Licht wie 74 Stearinkerzen, von welchen zehn Stück ein Kilo wiegen. Während einer Minute wird von diesem Draht 97,8 cm = 0,120 Gramm abgebrannt; um diese 74 Kerzen starke Lichtentwicklung zehn Stunden lang zu erhalten, braucht man zehn Kilo Stearin, aber nur 72,2 Gramm Magnesium. Diese Zahlen zeigen in auffallender Weise den Wert des Metalls als eine hervorragend starke Lichtquelle. Eine weitere wichtige Eigenschaft des Lichtes ist der Reichtum an den brechbareren Strahlen des Spektrums, welcher zu seiner Verwendung in der Photographie geführt hat. In dieser Beziehung steht es von allen künstlichen Lichtquellen dem Tageslicht am nächsten. Dies ist um so überraschender, als die Temperatur des brennenden Magnesiums keineswegs eine besonders hohe ist; mittels des Thermoelements ist dieselbe auf 1340° bestimmt worden. Es wird gerechnet ¹⁷⁾, daß etwa 10 Proz. der Gesamtenergie als Licht wirksam wird und daß der photometrische Nutzeffekt des Mg-Lichtes ungefähr 50—60mal so groß ist als der des Gaslichtes.

Chemische Eigenschaften des Metalls. Wegen seiner großen Affi-

nität für Sauerstoff vermag das Mg beim Erhitzen viele Sauerstoffverbindungen zu zerlegen. Es werden z. B. Wasserdampf, CO , CO_2 , SO_2 , NO und NO_2 durch glühendes Mg zerlegt¹⁸⁾ und die vier letzten Gase vermögen sogar die Verbrennung des vorher angezündeten Metalls zu unterhalten. Dieser Affinität zufolge werden die Metalloxyde¹⁹⁾ bzw. Carbonate, selbst die der Alkali- und Erdalkalimetalle durch starkes Glühen mit Mg-Pulver zu Metall reduziert und die Schwermetalloxyde werden mit besonderer Leichtigkeit reduziert. Allerdings bleibt noch fraglich, ob die Reduktion im Fall der Alkali- und Alkalierdoxyde durch Mg vollständig ist und nicht vielmehr zu Gleichgewichten führt.

Erhitztes Magnesium verbrennt im Schwefeldampf, und es verbindet sich mit den stark elektronegativen Halogenen auch unmittelbar. Bei starkem Erhitzen absorbiert es Stickstoff unter Bildung des Nitrids Mg_3N_2 und mit Phosphor und Arsen tritt es auch in direkte Verbindung. Es wirkt auf kaltes Wasser praktisch nicht ein, aus kochendem wird Wasserstoff langsam entwickelt. Bei 200° (unter Druck) reagiert es mit Methylalkohol unter Bildung von Magnesiummethylat²⁰⁾ $\text{Mg}(\text{OCH}_3)_2$. In sauren Lösungen löst es sich leicht unter H_2 -Entwicklung auf, von alkalischen Lösungen wird es nicht merklich angegriffen. In Berührung mit vielen Salzlösungen²¹⁾, z. B. Salzen der Alkali- und Erdalkalimetalle und selbst Mg-Salzen tritt auch H_2 -Entwicklung ein, was wohl dadurch zu erklären ist, daß hier die schützende Schicht von MgO , die in reinem Wasser den Angriff mechanisch hemmt, unter Bildung basischer Salze aufgelöst wird, oder daß der Salzzusatz fördernd wirkt, indem er den inneren Widerstand der Miniaturelemente verringert, als deren Effekt die „Lokalaktion“ anzusehen ist.²²⁾ Aus neutralen Lösungen der Schwermetalle werden diese durch Mg ausgefällt²³⁾; es findet dies z. B. bei Cu, Ag, Au, Zn, Cd, Tl, Sn, Pb, Mn, Fe, Co, Ni, Pd und Pt statt. Die theoretische Betrachtung dieses Verhaltens gegen Lösungen wird später erfolgen. Bei Anwendung von Magnesium als Anode in alkalischen Flüssigkeiten verhält es sich dem Aluminium²⁴⁾ analog. Beim Stromdurchgang steigt die Polarisierung auf abnorm hohe Werte, und beträgt mehrere Volt. Wegen dieses Verhaltens ist es möglich, eine Mg-Elektrode zur Verwandlung von Wechselstrom in Gleichstrom zu gebrauchen.

Praktische Anwendung findet Mg als Lichtquelle in der Photographie; ferner in der Feuerwerkerei, beim toxikologischen Nachweis von Arsen an Stelle von Zink²⁵⁾, bei der Bestimmung von Nitrit und Nitrat im Gebrauchswasser, in der organischen Chemie als Reduktionsmittel und zum synthetischen Aufbau, speziell unter Anwendung der Grignardschen Reaktion.

Lösungstension. Das schon erwähnte Verhalten des Metalls gegen Salzlösungen, die Leichtlöslichkeit in Säuren, die Unangreifbarkeit vom kalten Wasser und alkalischen Lösungen, und die Ausscheidung der Schwermetalle läßt sich im großen und ganzen durch den Wert seiner elektrolytischen Lösungstension erklären. Während seine Affinität zum Elektron die der Schwermetalle bei weitem übertrifft, ist sie doch kleiner als die der Erdalkalimetalle und es vermag deswegen nicht wie diese kaltes Wasser zu zerlegen, wenn auch der Grund dafür wahrscheinlich vorwiegend in dem mechanischen Schutz liegt, den das im Vergleich zu den anderen Erdalkalihydroxyden viel schwerer lösliche $\text{Mg}(\text{OH})_2$ ausübt. Das Bestreben des Magnesiums zur Ionenbildung wird zahlenmäßig durch den Potentialunterschied zwischen dem Metall und einer Normal-Mg-Ionenlösung ausgedrückt. Die absoluten Potentialunterschiede zwischen dem Metall in seinen Normalsalzlösungen (bezogen

auf $\text{Hg}/\text{HgCl}/1\text{nKCl} = -0,560$ Volt) betragen²⁶⁾ $\text{Mg}/\text{MgSO}_4 = 1,239$, $\text{Mg}/\text{MgCl}_2 = 1,231$, $\text{Mg}/\text{Mg}(\text{NO}_3)_2 = 1,060$, $\text{Mg}/\text{Mg}(\text{C}_2\text{H}_3\text{O}_2)_2 = 1,240$ Volt.

Reduziert man die Werte auf normale Ionenkonzentration und bezieht man dieselben auf die normale Wasserstoffelektrode $= 0$, so wird für den Potentialunterschied bei Sulfat, Chlorid, Acetat 1,49 Volt, bei Nitrat 1,31 Volt erhalten. Der letztere Wert ist als der dem wahren elektrolytischen Potential $\text{Mg}/1\text{nMg}^-$ nächstliegende zu betrachten, da allgemein die Nitrate in normaler Weise dissoziieren, während die anderen Salze sicherlich selbstkomplex sind; der Sinn des Unterschiedes liegt in der Tat in dem Sinne, als wenn jene Salze erheblich weniger an einfachen Mg^- -Ionen enthielten. Wegen der H_2 -Entwicklung beim Eintauchen des Metalls in den Lösungen ist der Wert etwas unsicher. Aus der Bildungswärme der gesättigten MgCl_2 -Lösung unter der nur annähernd richtigen Annahme, daß die Wärmelösung ein Maß für die elektromotorische Kraft ist, berechnet²⁷⁾ sich die elektrolytische Lösungstension gleich 2,54 Volt. Kommt der größere Wert dem Magnesium zu, so steht es sehr nahe an den Erdalkalimetallen; bei Annahme des kleineren Wertes nähert es sich dem Aluminium. Wird der unmittelbar gefundene Wert in die Nernstsche Gleichung für den Potentialunterschied eingesetzt, so berechnet sich die elektrolytische Tension ungefähr gleich H_2 vom Druck 10^{45} Atmosphären.

Ionenbildung. Die von Magnesium gelieferten Ionen sind farblos, zweiwertig und besitzen bitteren Geschmack. Ihrer Stellung nach in der Reihe der Ionen, nach dem Werte der Elektroaffinität angeordnet, also zwischen den Erdalkalimetallen einerseits und Aluminium andererseits, gehören die Mg^- -Ionen nicht zu den allerstärksten. Der Wert der Elektroaffinität ist jedoch so groß, daß die Neigung zur Bildung von Komplexionen hinter derjenigen der zur selben Gruppe angehörenden Zn, Cd und Hg wesentlich zurücksteht. Es sind aber Zeichen dieser Komplexbildungstendenz vielfach vorhanden, wie z. B. in der großen Anzahl kristallwasserhaltigen Salze und Doppelsalze. Besonders mit den Alkalimetallen, mit Ammonium und organischen Derivaten²⁸⁾ des letzten liefert Mg Doppelverbindungen. Wahrscheinlich bilden sich auch komplexe Metallammoniak-Ionen in Lösung und ein Ammoniakat $\text{MgCl}_2 \cdot 4\text{NH}_3$ läßt sich in festem Zustande durch Erhitzen von MgCl_2 in einer NH_3 -Atmosphäre auf 1000°C und Verdichten der sich bildenden Dämpfe erhalten.²⁹⁾ Die Eigenschaften der nicht zu verdünnten Mg-Salzlösungen, wie dieselben sich aus dem Leitvermögen, Gefrierpunktserniedrigung, Ionenüberführung usw. ergeben, lassen sich nur dadurch erklären, daß die Bildung von selbstkomplexen Ionen angenommen wird. Die Mg-Salze mehrwertiger organischer Säuren zeigen z. B. deutliche Abweichungen³⁰⁾ von der Ostwaldschen Regel in der Zunahme der Leitfähigkeit mit der Verdünnung; der Wert der Überführungszahl für das Mg^- -Ion in MgSO_4 und MCl_2 ändert sich ziemlich stark mit der Verdünnung; ferner weist der Einfluß, welcher von Mg-Salzen auf die Löslichkeit anderer Salze mit gleichem Anion ausgeübt wird³¹⁾, gleichfalls auf die Bildung von Komplexionen hin. Schon Hittorf³²⁾ hat auf die starke Veränderung der Überführungszahlen der mehrwertigen Salze des Magnesiums mit der Verdünnung hingewiesen und die Meinung ausgesprochen, daß diese seinen Grund in chemischen Veränderungen der Konstitution der gelösten Elektrolyte habe. Nach Bredig³⁰⁾ ist es wahrscheinlich, daß die Mg-Salze der mehrwertigen Säuren stufenweise dissoziieren. Bedeutet A das Radikal einer zweibasischen Säure, so hat man auf der ersten Stufe der Ionisierung

nebeneinander die vier Ionenarten Mg^+ , MgA_2'' , Mg_2A^+ , A'' während bei der vollständigen zweiten Stufe der Ionisierung nur die Ionen Mg^+ und A'' existieren würden. Wenngleich über die Natur solcher Lösungen wenig festgestellt worden ist, so findet doch in der Annahme, daß in den Lösungen solcher Mg-Salze eine erhebliche Menge nur erststufig ionisierter komplexer Ionen oder polymerisierter Molekeln vorhanden sind, das abnorme Verhalten eine mit allen bekannten Tatsachen gut vereinbare Erklärung. Die Komplexionen des Mg sind jedenfalls so weitgehend in ihre Komponenten dissoziiert, daß sie keine anomalen Reaktionen verursachen.

Die relative Wanderungsgeschwindigkeit der Mg^+ -Ionen, welche durch die Überföhrungszahl gegeben wird, ist sowohl durch direkte Messungen sowie nach der Hittorfschen Methode bestimmt worden. Durch indirekte Bestimmungen³³⁾ der Konzentrationsänderungen sind für die Überföhrungszahl des Mg^+ -Ions folgende Werte erhalten worden:

Grammäq. pro Liter	0,05	0,2	0,5	1,0
$\frac{1}{2} MgCl_2$	0,37	0,32	0,31	0,29
$\frac{1}{2} MgSO_4$	0,40	0,34	0,30	0,26.

Die sich aus direkten Messungen³⁴⁾ ergebenden Zahlen sind:

Grammäq. pro Liter	0,5	1,0	2,0
$\frac{1}{2} MgCl_2$	0,315	0,303	
$\frac{1}{2} MgSO_4$	0,320	0,302	0,283.

Die Abnahme der Überföhrungszahl bei zunehmender Konzentration entspricht wohl der zunehmenden Bildung von Komplexionen³⁵⁾ und diese vermögen speziell bei der Hittorfschen Methode einen enormen Einfluß auf den Wert der Überföhrung auszuüben. Der Einfluß solcher Komplexionen auf die Ergebnisse der direkten Methode ist nicht bekannt, doch ist er wohl kleiner als bei der andern.

Die elektrische Leitfähigkeit der verschiedenen Salze wird bei Besprechung dieser später angeführt. Entsprechend der Zweiwertigkeit des Magnesiums sind die Salze selbst bei sehr großen Verdünnungen nicht vollständig dissoziiert und der maximale Wert der Leitfähigkeit läßt sich nur durch Extrapolation erhalten. In Anbetracht dieser Tatsache sowie der Inkonstanz der Überföhrungszahl läßt sich eine Zahl, welche mit einigem Recht als Maß der Beweglichkeit des Mg^+ Ions gelten kann, nur durch Extrapolation gewinnen. Bei unendlicher Verdünnung und 18° C ergibt sich aus dem Chlorid der Wert 49, aus dem Sulfat 48.

Die Magnesiumsalze starker Säuren sind in ihren Lösungen nur sehr wenig hydrolytisch³⁶⁾ zerfallen, so daß sie neutral reagieren. Auch daraus geht hervor, daß die Magnesia eine ziemlich starke Base ist.

Analytisches Verhalten und Ionenreaktionen. Trifft das Mg^+ Ion in wässriger Lösung mit gewissen Anionen, z. B. F^- , OH^- , $C_2O_4^{2-}$, HPO_4^{2-} , PO_4^{3-} und CO_3^{2-} zusammen, so entsteht ein wenig löslicher Niederschlag; das Produkt der Konzentration der genannten Ionen mit der des Mg^+ hat im Maximo nur einen kleinen Wert und beim Erreichen dieses Wertes tritt Fällung ein. Kommt Mg^+ Ion gleichzeitig mit NH_4^+ und PO_4^{3-} - bez. AsO_4^{3-} -Ionen zusammen, so fällt das wenig lösliche Magnesiumammoniumphosphat bez. -arsenat aus.

Folgende Tabelle³³⁾ enthält die Löslichkeitswerte für die wichtigsten Mg-

Salze bei 18° im Molen pro Liter; darin werden die Salze nach der Größenordnung der Löslichkeit geordnet.

Mol./Lit.		Mol./Lit.		Mol./Lit.	
MgCl ₂ · 6H ₂ O	5,1	MgSO ₄ · 7H ₂ O	2,8	MgC ₂ O ₄ · 2H ₂ O	1,2 · 10 ⁻³
Mg(ClO ₃) ₂ · 6H ₂ O	4,7	Mg(BrO ₃) ₂ · 6H ₂ O	1,5	Mg ₃ (PO ₄) ₂ · 7H ₂ O	8 · 10 ⁻⁴
MgBr ₂ · 6H ₂ O	4,6	Mg(IO ₃) ₂ · 4H ₂ O	2,6 · 10 ⁻¹	MgNH ₄ PO ₄ · 6H ₂ O (15°)	5,5 · 10 ⁻⁴
MgCrO ₄ · 7H ₂ O	4,3	MgHPO ₄ · 14H ₂ O	2,6 · 10 ⁻²	Mg(OH) ₂	2,0 · 10 ⁻⁴
MgI ₂ · 8H ₂ O	4,1	MgCO ₃ · 3H ₂ O	9,3 · 10 ⁻³		
Mg(NO ₃) ₂ · 6H ₂ O	4,0	MgF ₂	1,3 · 10 ⁻³		

Spezifische Leitfähigkeit von gesättigten Lösungen 18°^{36a)}

	$\kappa \cdot 10^6$		$\kappa \cdot 10^6$
MgCO ₃ · 3H ₂ O	794	MgF ₂	224
MgC ₂ O ₄ · 2H ₂ O*)	200	Mg(OH) ₂	ca. 70

*) Kohlrausch und Mylius haben bei Übersättigung bis 0,1 Mol/Lit. Leitfähigkeit gemessen.

In dieser Tabelle kommt das Wesentliche für den analytischen Nachweis und quantitative Bestimmung des Magnesiums zum Ausdruck. Auf Zusatz von Alkali- oder Erdalkalihydroxyd, also OH'-Lösungen, wird das Magnesium fast vollständig als Mg(OH)₂ ausgefällt. Wird dagegen Ammoniaklösung hinzugefügt, so ist die Fällung sehr unvollständig, nimmt aber auf vermehrten Ammoniakzusatz deutlich zu. Bei Gegenwart von Ammoniumsalzen tritt gewöhnlich überhaupt keine Fällung ein, aber selbst in Lösungen, welche beträchtliche Mengen Ammoniumsalz enthalten, und die beim Zusatz von wenig Ammoniak klar bleiben, kann häufig durch genügende Ammoniakzugabe ein Niederschlag erzeugt werden. Diese Verhältnisse werden durch die schwache OH'-Konzentration des Ammoniaks und ihre Zurückdrängung durch Zusatz von gleichionigen Ammoniumsalzen erklärt. Gibt man Ammoniak zu einer Magnesiumsalzlösung, so wird die Fällung von Mg(OH)₂ von dem Produkt der Mg⁺⁺ und OH'-Konzentration in der zunächst entstehenden Lösung abhängen. Bei einer gewissen Mg⁺⁺-Konzentration muß die OH'-Konzentration einen gewissen Betrag erreichen, bevor Fällung eintritt. Die OH'-Konzentration ist aber unter sonst gleichen Verhältnissen um so geringer, je mehr NH₄⁺-Ionen zugegen sind, und es ist also möglich durch Zusatz von Ammoniumsalz die Dissoziation des schwachen Ammoniaks derart zu vermindern, daß die Menge der freien OH'-Ionen nicht mehr genügt, um Mg(OH)₂ auszuscheiden. Unter gewissen vereinfachenden Annahmen (Setzen der Am⁺- und Mg⁺⁺-Konzentration gleich derjenigen der Salze und Vernachlässigen der dissoziierten Ammoniakmenge neben der undissoziierten) läßt sich das Gleichgewicht in ammoniakalischen Mg-Salzlösungen in einfacher Weise mathematisch behandeln.³⁷⁾

Für das Gleichgewicht des Ammoniaks mit NH₄⁺ und OH' gilt

$$\text{NH}_4^+ \times \text{OH}' = k \cdot \text{NH}_3 \quad (1)$$

Für das Gleichgewicht zwischen Mg(OH)₂ und irgendeiner daran gesättigten Lösung gilt

$$\text{Mg}^{++} \times (\text{OH}')^2 = K \quad (2)$$

Bezeichnet nun C die Konzentration von Mg(OH)₂ in einer daran gesättigten reinwässrigen Lösung, so ist bei sogut wie vollständiger Dissoziation auch C die Konzentration der Mg⁺⁺-Ionen und 2C diejenige der OH'-Ionen. Es muß nun das Ionenprodukt den gleichen Wert wie vorher haben, also

$$C \times (2C)^2 = K \quad (3)$$

$$\text{Aus (2) und (3) folgt } \text{Mg}^{++} \times (\text{OH}')^2 = 4C^3 \quad (4)$$

und durch Elimination von OH' zwischen (1) und (4) und Auflösung in bezug auf C erhält man

$$C = \sqrt[3]{Mg^{++} \times \left(\frac{k \cdot NH_3}{2NH_4^+} \right)^2}$$

eine Gleichung, welche die Konzentration von Magnesiumsalz, Ammoniumsalz und Ammoniak mit der Löslichkeit von $Mg(OH)_2$ in reinem Wasser verbindet.

In folgender Tabelle werden Zahlen von Lovén angeführt, welche die Konstanz von C erweisen. Die Lovénsche Arbeitsmethode bestand im Zusammenbringen von Mg-Salzlösungen und Ammoniak von wechselnden Konzentrationen. Unter Mg^{++} , NH_4^+ resp. NH_3 steht die Konzentration von Magnesiumchlorid, Ammoniumchlorid und freiem Ammoniak in Molen pro Liter.

	Mg^{++}	NH_4^+	NH_3	$C \propto 10_4$
	0,03762	0,00655	0,0189	3,46
	0,03746	0,00615	0,0193	3,65
	0,02336	0,0095	0,0414	3,89
Temp. 10°	0,0219	0,0115	0,0394	3,26
	0,01865	0,0479	0,2209	3,74
	0,00849	0,0101	0,0662	3,64
	0,008415	0,0105	0,0658	3,52

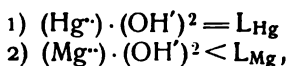
Bei höheren Konzentrationen treten Abweichungen auf, welche wohl durch die nur annähernde Gültigkeit der gemachten Annahmen hauptsächlich bedingt werden. Es ist auch möglich, daß in solchen Lösungen die Bildung von Metallammoniakionen bereits eine Rolle spielt. Bei der Untersuchung des Gleichgewichts $HgCl_2 + 2NH_4OH \rightleftharpoons Mg(OH)_2 + 2NH_4Cl$ durch Zusammenbringen von $Mg(OH)_2$ mit NH_4Cl -Lösungen sind ebenfalls Resultate im Einklang mit obiger Theorie erhalten worden.³⁸⁾

Treten Mg^{++} und SH^- -Ionen, wie beim Zusatz einer Alkalisulfidlösung, zusammen, so wird $Mg(OH)_2$ gefällt. Der Grund dafür ist in der Hydrolyse der Sulfide zu suchen, indem durch die Umsetzung $SH^- + H_2O \rightleftharpoons H_2S + OH^-$ in wässrigen Sulfidlösungen stets OH^- -Ionen vorhanden sind, die wegen der Schwerlöslichkeit des Hydroxyds die Fällung hervorrufen. Beim Zusammentreten mit CO_3^{--} -Ionen (Zusatz von Alkalicarbonat) wird aus analogem Grunde nicht nur Carbonat, sondern ein Gemisch von Carbonat und Hydroxyd gefällt. Bei Gegenwart von Ammoniumsalzen bleibt diese Fällung aus, da infolge der verstärkten Hydrolyse nicht genügend CO_3^{--} -Ionen für die Fällung des ziemlich löslichen $MgCO_3$ (s. Tab. vor. S.) vorhanden bleiben. Diesen Angaben gemäß wird Magnesium bei der Analyse durch die Gruppenreagentien nicht gefällt, sondern findet sich am Schluß mit den Alkalimetallen in Lösung. Aus der ammoniakalischen Lösung aber scheidet es sich auf Zusatz von Alkaliphosphat als schwerlösliches Magnesiumammoniumphosphat aus. Auf trockenem Wege läßt sich das Magnesium durch die Bildung einer rosenrot gefärbten Masse, falls die Salze stark geglüht werden und der Rückstand nach Befeuchten mit Kobaltlösung vor dem Lötrohr erhitzt wird, nachweisen.

Zum Zwecke der quantitativen Bestimmung und zur Trennung von den Alkalimetallen wird Magnesium fast immer als $NH_4MgPO_4 \cdot 6H_2O$ gefällt. Die Lösung wird mit Ammoniumsalz und Ammoniak versetzt und darauf unter heftigem Umrühren mit Natriumphosphat gefällt. Der Niederschlag soll etwa zwölf Stunden in Berührung mit der Lösung stehen, damit vollständige Fällung gesichert wird, — vermutlich hält sich sonst ein merklicher Teil durch Übersättigung in Lösung oder seine Löslichkeit sinkt infolge Zunahme der

Kristallkorngröße — darnach wird abfiltriert und mit Ammoniakwasser ausgewaschen. Im wässrigen Ammoniak ist nämlich der Niederschlag weniger löslich wie in reinem Wasser, was sich nach bekannten Prinzipien durch das Vorhandensein des gemeinsamen Ions NH_4^+ und Verminderung der Hydrolyse erklären läßt. Der Niederschlag wird bei 100°C getrocknet und durch Erhitzen im Platintiegel in das zum Wägen geeignete Pyrophosphat verwandelt.

Eine weitere Methode zum Trennen des Magnesiums von den Alkalimetallen besteht im Fällens desselben als $\text{Mg}(\text{OH})_2$ durch Kalk, Baryt oder Quecksilberoxyd. Bei diesen Methoden geht aber ein wenig Magnesium verloren; am genauesten ist der Gebrauch von Quecksilberoxyd. Die Lösung darf nur Cl^- -Ionen enthalten und NH_4^+ muß durch Abdampfen und Glühen entfernt werden. Die Theorie (Abegg) der Methode ist von Interesse, da hier scheinbar ein Oxyd von größerem Löslichkeitsprodukt, das $\text{Mg}(\text{OH})_2$, durch ein solches, HgO , von viel kleinerem ausgefällt wird. Die Fällung wird jedoch dadurch herbeigeführt, daß HgCl_2 sehr wenig dissoziiert ist, denn es bestehen die Gleichgewichte:



wo L_{Hg} das Löslichkeitsprodukt des HgO ist ($1,5 \cdot 10^{-26}$), und L_{Mg} das Löslichkeitsprodukt (ca. $1,7 \cdot 10^{-10}$) des $\text{Mg}(\text{OH})_2$.

Aus 1) und 2) folgt nun, daß $(\text{Mg}^{++}) < \frac{L_{\text{Mg}}}{L_{\text{Hg}}} \cdot (\text{Hg}^{++})$, d. h. beim Ausscheiden von $\text{Mg}(\text{OH})_2$ die Konzentration der Mg^{++} -Ionen = ca. 10^{16} mal der Konzentration der Hg^{++} -Ionen. Diese letztere wird jedoch in Cl^- -haltigen Lösungen wegen geringer Dissoziation und Komplexbildung so ungeheuer klein, daß in der Tat die in der Lösung verbleibende Konzentration (Mg^{++}) gering genug ist, um eine praktisch quantitative Ausfällung zu bedingen. Aus dieser Überlegung ersieht man daher auch die Notwendigkeit des Vorhandenseins von viel Cl^- , wodurch die Hg^{++} -Konzentration zurückgedrängt werden muß. Die quantitative Prüfung dieser Verhältnisse steht noch aus, obgleich man auch über den Zusammenhang der Konzentrationen von Hg^{++} und Cl^- (s. unter HgCl_2) Bescheid weiß.

Die Salzsäurelösung des Rückstandes digeriert man unter Umrühren mit feuchtem Quecksilberoxyd etwa eine Stunde; darauf wird zum Trocknen eingedampft und zum Entfernen des Quecksilberchlorids geglüht. Durch Behandlung mit Wasser entfernt man die Alkalichloride und nach dem Trocknen wird der Rückstand geglüht und als Magnesiumoxyd gewogen.

Die Trennung des Chlormagnesiums von den Alkalichloriden läßt sich ferner mittels Amylalkohol quantitativ ausführen.

Als Ammonium-Doppelcarbonat $(\text{NH}_4)_2\text{CO}_3 \cdot \text{MgCO}_3 \cdot 4\text{H}_2\text{O}$ kann das Magnesium auch fast vollständig ausgefällt³⁹⁾ werden. Dazu wird die neutrale Lösung mit Ammoniak und Ammoniumcarbonat versetzt und 24 Stunden stehen gelassen. Da der Niederschlag in reinem Wasser unter Spaltung sich auflöst, wird dasselbe mit einer Lösung seiner Spaltungsprodukte Ammoniak und Am_2CO_3 gewaschen; darauf erhitzt man das Doppelsalz und wägt als Oxyd. Enthält die Lösung Kalium, so geht dies zum Teil auch in den Niederschlag über, infolge der Bildung eines ähnlichen Kaliumdoppelsalzes, und das Oxyd muß daher mit Wasser behandelt werden, um vorhandenes K_2CO_3 zu entfernen.

Magnesium läßt sich ferner vollständig als $\text{Mg}(\text{OH})_2$ niederschlagen bei

Anwendung einer wässrigen Lösung von gewissen organischen Basen, wie Dimethylamin oder Guanidin⁴⁰⁾ als Fällungsmittel, die stärker als Ammoniak dissoziieren und daher auch bei Anwesenheit ihrer Salze noch genügend OH-Ionen produzieren können.

Beziehungen zu anderen Elementen. Im allgemeinen entspricht das chemische Verhalten sowie die Summe der physikalischen Eigenschaften des Magnesiums, der Stellung, welche es in der periodischen Anordnung der Elemente einnimmt. Als zweites Glied der zweiten Gruppe kommt beim Magnesium eine doppelte Analogie deutlich zum Vorschein; einerseits tritt es in mancher Beziehung an die Seite der Erdalkalimetalle Ca, Sr und Ba, andererseits zeigt es sich den Elementen der zweiten Subgruppe Zn, Cd und Hg ähnlich, und von allen Elementen dürfte es wohl in seinem analytischen Verhalten und den Löslichkeitsverhältnissen seiner Salze dem Zink am nächsten stehen. Wenn man die Reihe Ba, Sr, Ca, Mg nach abnehmendem Atomgewicht in Betracht zieht, so zeigt sich, entsprechend dem abnehmend positiven Charakter, wie derselbe in der Elektroaffinität zum Ausdruck kommt, eine stufenweise Abänderung mancher Eigenschaften der Elemente sowie deren Verbindungen. Die Luftbeständigkeit der Metalle und die Löslichkeit der Sulfate nimmt zu, das Wasserzersetzungsvermögen der Metalle, die Feuerbeständigkeit der Carbonate und die Löslichkeit der Hydroxyde nimmt ab. Vergleicht man das Magnesium mit den Gliedern der zweiten Nebengruppe, so findet man ebenfalls, entsprechend der abnehmenden Elektroaffinität nach der Reihe Mg, Zn, Cd, Hg, eine stufenweise Änderung in mancher Beziehung. Mit dem benachbarten Zink ist es gewiß eng verwandt, dasselbe drückt sich vielfach in der Isomorphie entsprechender Salze und Doppelverbindungen und ihrer gleichen Hydratisierungsstufe aus.

Es ist ein vereinfachender Umstand bei Betrachtung der Magnesium-Verbindungen, daß man nur mit einer einzelnen Wertigkeitsstufe zu tun hat. In den einfachen Verbindungen treten nur die zwei positiven Normalvalenzen in Wirkung; bei den vielen Doppelsalzen dagegen machen sich vielleicht Kontravalenzen geltend.

Magnesiumwasserstoff? Für die Existenz einer Verbindung von Magnesium und Wasserstoff läßt sich nur die Beobachtung⁴¹⁾ anführen, daß beim Erhitzen eines Gemenges von Magnesiumoxyd und Magnesiumpulver in einer Wasserstoffatmosphäre Gasabsorption stattfindet. Die entstehende hellfarbige Masse entwickelt unangenehm riechenden Wasserstoff auf Zusatz von Wasser, und beim Glühen bildet sich eine Wasserstoffflamme.

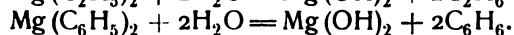
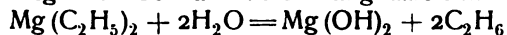
Magnesiumalkylverbindungen.⁴²⁾ Dagegen sind die Verbindungen von Magnesium mit organischen Radikalen wohlbekannt. Von solchen sind nicht nur die Magnesiumalkyle $\text{Mg}(\text{CH}_3)_2$, $\text{Mg}(\text{C}_2\text{H}_5)_2$ usw., sondern auch aromatische Derivate, wie Magnesiumdiphenyl $\text{Mg}(\text{C}_6\text{H}_5)_2$, dargestellt worden. Ferner sind Verbindungen, in denen das Metall zugleich an einen Kohlenwasserstoffrest und einem Halogenatom gebunden wird, wie $\text{MgC}_2\text{H}_5\text{I}$, $\text{MgC}_6\text{H}_5\text{Br}$, erhalten worden.

Magnesiumdimethyl $\text{Mg}(\text{CH}_3)_2$, sowie die analogen $\text{Mg}(\text{C}_2\text{H}_5)_2$, $\text{Mg}(\text{C}_3\text{H}_7)_2$ lassen sich durch Erhitzen von Mg-Feile mit den entsprechenden Quecksilberverbindungen im luftfreien verschlossenen Rohre erhalten. Auch durch unmittelbare Einwirkung des Metalls auf Äthyl bez. Propyljodid bei erhöhter Temperatur im zugeschmolzenen Rohre entstehen die Diäthyl- bez. Dipropyl-Magnesiumverbindungen. Unter denselben Umständen verhält sich

das Methyljodid äußerst indifferent dem Magnesium gegenüber. Die Einwirkung des Metalls auf die Jodderivate wird bedeutend erleichtert durch Zusatz von Essigäther oder bei Anwendung von Mg-Amalgam an Stelle von reinem Metall. Die so entstehenden Mg-Alkyle sind merkwürdigerweise feste, nicht flüssige Substanzen.

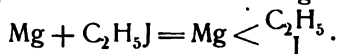
Magnesiumdiphenyl⁴³⁾ wird durch Erwärmen von Mg-Feilspänen mit Quecksilberdiphenyl erhalten; bei 200° tritt vollständiger Umsatz ein, dessen Ergebnis eine voluminöse weiße Masse ist.

Diese Organomagnesium-Verbindungen stehen in ihren physikalischen Eigenschaften einander sehr nahe und sind durch ihre Reaktionsfähigkeit ausgezeichnet. An der Luft sind sie selbstentzündlich und werden von Wasser unter Bildung von Kohlenwasserstoffen lebhaft zersetzt, so daß das organische Radikal hier den negativen Teil der Verbindung darstellt:



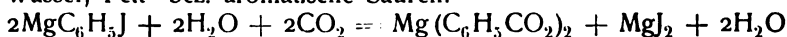
Sie unterscheiden sich von den entsprechenden Zink- und Quecksilber-Verbindungen durch ihre Unschmelzbarkeit und Nichtflüchtigkeit und durch ihre Unlöslichkeit in den gewöhnlichen Lösungsmitteln.

Die schon erwähnten Magnesiumalkylhaloide⁴⁴⁾ bez. Magnesiumarylhaloide entstehen bei weniger vollständiger Umsetzung durch Einwirkung von Mg-Pulver auf die organischen Haloidverbindungen in ätherischer Lösung:



Sie sind in Äther leicht löslich und daraus lassen sich kristallisierte Verbindungen vom Typus $\text{RMgX} \cdot (\text{C}_2\text{H}_5)_2\text{O}$ erhalten. Die in Lösung befindlichen Magnesiumalkyl (aryl) -haloide sind sehr reaktionsfähig⁴⁴⁾ und werden jetzt vielfach zum synthetischen Aufbau angewendet. Ihre größere Reaktionsfähigkeit im Vergleich mit den entsprechenden Zn-Verbindungen ist wohl auf den mehr ausgeprägten elektropositiven Charakter des Mg zurückzuführen.

Durch Wasser werden sie unter Bildung von Kohlenwasserstoffen zersetzt wie z. B. $2\text{MgCH}_3\text{J} + 2\text{H}_2\text{O} = 2\text{CH}_4 + \text{MgJ}_2 + \text{Mg}(\text{OH})_2$. Kohlensäure reagiert darauf und die entstehenden Verbindungen liefern bei der Behandlung mit Wasser, Fett- bez. aromatische Säuren:



Auf Aldehyde, Ketone, Ester und Säurechloride wirken sie ein, und die dadurch entstehenden Produkte werden von Wasser unter Bildung von sekundären oder tertiären Alkoholen bez. Ketonen zersetzt. Wichtig für das präparative Arbeiten sind die bei Anwendung dieser Grignardschen Reaktion sehr gut ausfallenden Ausbeuten.

Magnesiumfluorid MgF_2 , spez. Gew. 2,472, unterscheidet sich von den anderen Haloidverbindungen des Magnesiums durch seine Schwerlöslichkeit. Es zeigt sich also ein ähnliches Verhältnis wie bei den Haloiden von Ca, Sr und Ba. Man erhält das Fluormagnesium, wenn Magnesiumoxyd mit Fluorwasserstoffsäure behandelt wird oder durch Fällung einer Mg-Lösung mit Alkalifluorid. Zusammentreten von Mg^{++} und F^- -Ionen ist damit die Bedingung für seine Entstehung. Es ist in reinem Wasser nur sehr wenig löslich, nach Kohlrausch^{44a)} bei 18° 1,4 Millimol = 7,6 mg/Liter, in ammoniakhaltigem löst es sich leichter auf. Bei starkem Erhitzen schmilzt es und kristallisiert beim Erstarren. Mit Natriumchlorid umgeschmolzen, wird es in Form kleiner tetragonaler Kristalle er-

halten⁴⁵⁾, welche dem natürlich vorkommenden Sellaït sehr ähnlich sind. Die kristallinische Modifikation wird von den meisten Säuren, Schwefelsäure ausgenommen, nur schwer angegriffen. Dieses Verhalten erinnert an das des Fluorcalciums und auch in anderer Beziehung tritt die Ähnlichkeit zutage. Das kristallisierte MgF_2 zeigt nämlich beim Erhitzen die Erscheinung der Fluoreszierens und besitzt außerdem violette Phosphoreszenz nach starker Beleuchtung.

Mit anderen Fluoriden bildet es eine Reihe Doppelverbindungen, in denen es als Neutralteil eines Komplexes zu betrachten ist; diejenigen mit den Alkalimetallen sind vom Typus $MF \cdot MgF_2$ und $2MF \cdot MgF_2$. Wird gebrannte Magnesia in kleinen Portionen in geschmolzenes Fluorkalium eingetragen, so bleibt nach dem Abkühlen und Behandeln mit Wasser die Verbindung $KF \cdot MgF_2$ ⁴⁶⁾ in quadratischen Prismen zurück. Das zweite Kaliumsalz entsteht auf ähnliche Weise. Die Natriumverbindung⁴⁷⁾ entsteht beim Kochen von Magnesia mit Natriumfluoridlösung sowie beim Schmelzen von $MgCl_2$ mit überschüssigem NaF und $NaCl$.⁴⁸⁾

Magnesiumchlorid $MgCl_2$ tritt als Bischoffit im Staßfurter Lager auf. Die wasserfreie Verbindung entsteht unmittelbar aus den Elementen, wenn das Metall im Chlorstrom erhitzt wird. Ebenso wirkt Chlor auf das stark geglühte Oxyd⁴⁹⁾, viel leichter aber, wenn dasselbe mit Kohle innig gemischt wird.⁵⁰⁾ Eine zur Darstellung bequemere Methode besteht darin, daß man das Ammoniummagnesiumchlorid $NH_4Cl \cdot MgCl_2 \cdot 6H_2O$ zuerst darstellt und dieses erhitzt⁵¹⁾; dabei entweicht das Wasser und bei höherer Temperatur das Chlorammonium, und wasserfreie $MgCl_2$ bleibt zurück. Es bildet glänzende Kristallblätter, Schm.-Pkt 708°, spez. Gew. 2,177, welche beim Erhitzen an der Luft Zersetzung erleiden. Dieser Zerfall ist auf die Wirkung des in der Luft vorhandenen Wasserdampfes zurückzuführen, im Grenzfall nach der Gleichung einwirkt:

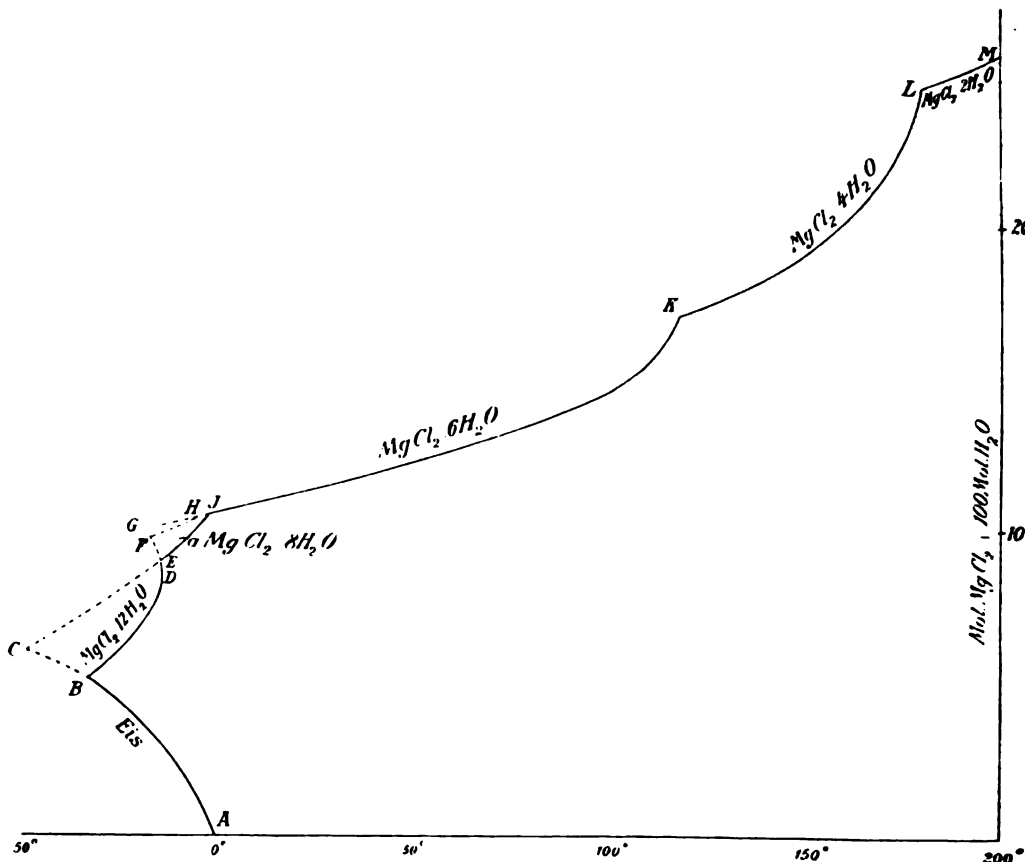
$$MgCl_2 + H_2O = MgO + 2HCl.$$

In trockener Luft erleidet es selbst bei Rotglut keine Zersetzung und das Chlorid kann im Wasserstoffstrome destilliert werden. Auf der eben erwähnten Wirkung des Wasserdampfes auf das erhitzte Chlormagnesium beruht die zur Darstellung der Salzsäure technisch verwertete Methode.⁵²⁾ In Wasser löst es sich unter großer Wärmeentwicklung auf. Daß diese von einer Hydratation herrührt, beweist die Existenz der kristallisierten Hydrate. Die Löslichkeit in Essigäther und Amylalkohol ist für die Elektroaffinität des Mg charakteristisch (vgl. die Gruppenübersicht. S. 3.)

Aus einer Chlormagnesium-Lösung kristallisiert das Salz gewöhnlich als Hexahydrat $MgCl_2 \cdot 6H_2O$. In der Technik wird es durch Eindampfen der bei der Fabrikation des Chlorkaliums aus dem Staßfurter Carnallit erhaltenen Mutterlaugen gewonnen (siehe unter Carnallit). Die an $MgCl_2$ reiche Lauge wird eingeeengt und beim Kristallisieren scheidet sich $MgCl_2 \cdot 6H_2O$ aus. Als Nebenprodukt bei der Chlorfabrikation tritt es auf, wenn die durch Einwirkung von Salzsäure auf Pyrolusit entstehende Lösung nach dem Weldon'schen Verfahren mit Magnesia anstatt Kalk behandelt wird.⁵³⁾ Nach Entfernung des durch vorangehende Oxydation erhaltenen Weldon'schlammes bleibt eine an $MgCl_2$ reiche Lauge zurück. Ferner, wenn bei der Sodafabrikation nach dem Solvayverfahren, zur Vertreibung des Ammoniaks Magnesia verwendet wird, tritt es ebenfalls als Nebenprodukt auf. Das $MgCl_2 \cdot 6H_2O$ bildet zerfließliche Kristalle des monoklinen Systems. Sie schmecken bitter. Spez. Gew. = 1,56. Durch Erhitzen kann das Wasser nicht vollständig ohne gleichzeitige Hydrolyse entfernt werden, da schon bei Temperaturen, welche nur wenig über 100° liegen, bedeutende Mengen Salzsäure entweichen.

Außer dem Hexahydrat sind mehrere kristallwasserhaltige Formen des Chlormagnesiums bekannt. Unter Anwendung der neueren Arbeitsmethoden sind diese einer systematischen Untersuchung⁵⁴⁾ unterzogen worden, wodurch die zwischen den verschiedenen Hydraten bestehenden Beziehungen sehr klar ans Licht treten.

Oberhalb 0°C sind die Hydrate $\text{MgCl}_2 \cdot 6\text{H}_2\text{O}$, $\text{MgCl}_2 \cdot 4\text{H}_2\text{O}$ und $\text{MgCl}_2 \cdot 2\text{H}_2\text{O}$ existenzfähig. Beim Erhitzen des ersten tritt bei etwa 117° eine fast vollständige Schmelzung ein, indem $\text{MgCl}_2 \cdot 4\text{H}_2\text{O}$ und eine daran gesättigte Lösung entsteht. Diese Umwandlung wird durch die Gleichung



Figur 1.

$\text{MgCl}_2 \cdot 6\text{H}_2\text{O} \rightleftharpoons 0,083 \text{ MgCl}_2 \cdot 4\text{H}_2\text{O} + 0,917 (\text{MgCl}_2, 6 \cdot 18 \text{H}_2\text{O})$ zum Ausdruck gebracht, worin der in () stehende Ausdruck die Lösung bedeutet. Die Umwandlungstemperatur läßt sich sehr genau nach der Gefrieremethode bestimmen und ergibt $116,67^{\circ}\text{C}$. Gerade wie ein einfacher Schmelzpunkt wird die Temperatur durch fremde der Lösung zugesetzte Substanzen erniedrigt und zwar beträgt die auf 100 g Lösung bezogene molekulare Erniedrigung 76° .⁵⁵⁾

Zwischen 117° und 182° ist $\text{MgCl}_2 \cdot 4\text{H}_2\text{O}$ die in Berührung mit Lösung

beständige Form des Chlormagnesiums. Bei letztgenannter Temperatur tritt wiederum eine Schmelzung ein und aus dem Tetrahydrat bildet sich $\text{MgCl}_2 \cdot 2\text{H}_2\text{O}$; dabei entweichen aber bedeutende Mengen von Salzsäure. Um das Tetrahydrat zu gewinnen, empfiehlt es sich, $\text{MgCl}_2 \cdot 6\text{H}_2\text{O}$ zu schmelzen und die Schmelze durch einen Luftstrom bei etwa 130° teilweise zu entwässern, bis etwa eine Zusammensetzung $\text{MgCl}_2 \cdot 5\text{H}_2\text{O}$ erreicht wird; langsames Abkühlen bis oberhalb 117° und Abfließenlassen der Mutterlauge bei allmählich bis 150° ansteigender Temperatur gibt dann ein gut kristallisiertes Produkt. Das Dihydrat wird erhalten, wenn ein HCl-Strom durch eine erwärmte konzentrierte MgCl_2 -Lösung geleitet wird⁵⁶⁾ oder man führt trockene Salzsäure über das auf 140° erhitzte $\text{MgCl}_2 \cdot 4\text{H}_2\text{O}$.

Unterhalb 0°C scheiden sich aus MgCl_2 -Lösung je nach den Bedingungen die Hydrate $\text{MgCl}_2 \cdot 12\text{H}_2\text{O}$, $\alpha\text{MgCl}_2 \cdot 8\text{H}_2\text{O}$ und $\beta\text{MgCl}_2 \cdot 8\text{H}_2\text{O}$ ab.⁵⁴⁾ Ansteigend von der kryohydratischen Temperatur ($-33,6^\circ$), bei welcher MgCl_2 -Lösung vollständig zu Eis und $\text{MgCl}_2 \cdot 12\text{H}_2\text{O}$ erstarrt, bis $-16,8^\circ$, ist das $\text{MgCl}_2 \cdot 12\text{H}_2\text{O}$ die in Berührung mit Lösung beständige Form. Bei letzterer Temperatur verwandelt es sich in das α -Oktohydrat, welches bei noch höherer Temperatur ($-3,4^\circ$) in $\text{MgCl}_2 \cdot 6\text{H}_2\text{O}$ übergeht. Das $\beta\text{MgCl}_2 \cdot 8\text{H}_2\text{O}$ stellt bei allen Temperaturen eine labile Modifikation dar und läßt sich nur aus Lösungen erhalten, die in bezug auf ein anderes Hydrat übersättigt sind.

Nebenstehende Figur bringt die eben besprochenen Verhältnisse zum Ausdruck; sie gibt gleichzeitig die Bedingungen für die Existenz der verschiedenen Hydrate neben Lösung an, indem die Zusammensetzung der gesättigten Lösung (Mole MgCl_2 auf 100 Mole H_2O) an der Ordinate aufgetragen wird. Die Kurve AB stellt die Gefrierpunktskurve von Wasser bei ansteigendem MgCl_2 -Gehalt dar, die Kurven BE, EJ, JK, KL und LM die Löslichkeitskurven von $\text{MgCl}_2 \cdot 12\text{H}_2\text{O}$, $\alpha\text{MgCl}_2 \cdot 8\text{H}_2\text{O}$, $\text{MgCl}_2 \cdot 6\text{H}_2\text{O}$, $\text{MgCl}_2 \cdot 4\text{H}_2\text{O}$ resp. $\text{MgCl}_2 \cdot 2\text{H}_2\text{O}$. Die Punkte B, E, J, K und L geben die Bedingungen für die Existenz von Eis und Salzhydrat, resp. zwei Salzhydraten neben Lösung an. Dasselbe gilt für die Punkte C, G, F und H, nur sind die diesbezüglichen Systeme labil. D ist der Schmelzpunkt des Dodekahydrats. Folgende Zahlen drücken die Löslichkeitswerte aus; sie stellen die Anzahl Mole H_2O pro Mol MgCl_2 dar.⁵⁴⁾

$\text{MgCl}_2 \cdot 12\text{H}_2\text{O}$	$-33,6^0(\text{B})$	$-22,4^0$	$-18,8^0$	$-16,4^0(\text{D})$	$-16,8^0(\text{E})$	
	20,3	15,6	14,0	12,0	11,43	
$\alpha\text{MgCl}_2 \cdot 8\text{H}_2\text{O}$	$-16,8^0(\text{E})$	$-3,4^0(\text{J})$	$\beta\text{MgCl}_2 \cdot 8\text{H}_2\text{O}$	$-17,4(\text{F})$	$-9,6(\text{H})$	
	11,43	10,1		11,1	10,3	
$\text{MgCl}_2 \cdot 6\text{H}_2\text{O}$	$-19,4^0$	0^0	22^0	62^0	$79,7^0$	$116,67^0(\text{K})$
	10,6	10,0	9,6	8,64	8,1	6,18
$\text{MgCl}_2 \cdot 4\text{H}_2\text{O}$	$152,6^0$	$181,5^0(\text{L})$	$\text{MgCl}_2 \cdot 2\text{H}_2\text{O}$	186^0		
	5,5	4,2		4,15		

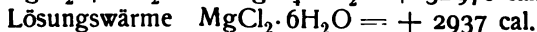
Leitfähigkeit von MgCl_2 -Lösungen.³³⁾ Die spez. Leitf. zeigt in konz. Lösungen ein Maximum:

	Gewichtsprozent.	5	10	20	30	34	
18° C	spez. Leitf. $10^4 \kappa =$	683	1128	1402	1061	768	
	Äq. Leitf. $\Lambda =$	62,4	49,5	28,37	13,18	8,14	
25° C	Liter pro Grammäquiv.	32	54	128	256	512	1024
	Äq. Leitf. Λ	108,2	113,5	118,0	121,6	124,6	127,4
Innere Reibung 25°		1	0,5	0,25	0,125		normal
(Wasser = 1) ¹⁰⁴⁾		1,2015	1,0940	1,0445	1,0206		

Gefrierpunkte^{56a)}

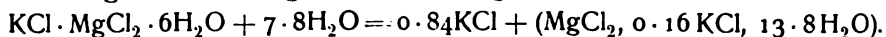
0,0508	0,1525	0,2541	0,5082	0,6099 normal
—0,280°	—0,771°	—1,335°	—2,762°	—3,472°

Thermochemisches.



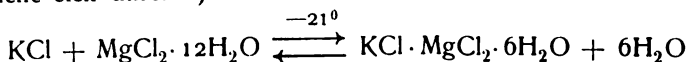
Carnallit $\text{KCl} \cdot \text{MgCl}_2 \cdot 6\text{H}_2\text{O}$. Mit anderen Metallen liefert Magnesium eine Reihe zum Teil sehr wichtiger Doppelchloride. Ein solches ist der von Rose⁵⁷⁾ nach von Carnall benannte Carnallit, welcher den Hauptbestandteil der Abraumsalze des Staßfurter Lagers bildet. In reinem Zustande bildet er farblose, an der Luft zerfließliche, rhombische Kristalle, spez. Gew. 1,16. Das Mineral wird aber gewöhnlich durch einen Eisengehalt rötlich gefärbt und das Kalium wird auch zu kleinem Teile durch andere Alkalimetalle (Natrium) ersetzt.

In Berührung mit wenig Wasser wird der Carnallit teilweise zerlegt, indem unter Abscheidung von KCl eine Anhäufung von MgCl_2 in der Lösung vor sich geht, bis dieselbe bei z. B. 25° C. einer Zusammensetzung $100\text{H}_2\text{O} \cdot 7 \cdot 27\text{MgCl}_2 \cdot 1 \cdot 15\text{KCl}$ entspricht.⁵⁸⁾ Dieser Zerfall wird demnach quantitativ durch folgende Gleichung zum Ausdruck gebracht



Daraus erhellt, daß bei 25° etwa 85% des im Carnallit vorhandenen KCl zur Ausscheidung kommt. Dieser Zerfall des Carnallits findet bei allen Temperaturen statt, nur wird natürlich bei anderen Temperaturen die Zusammensetzung der gebildeten Lösung eine andere sein. Es befindet sich somit der Carnallit bei allen Temperaturen, bei welchen er noch existenzfähig ist, im Umwandlungsintervall, und dementsprechend ist eine gesättigte wässrige Lösung des Carnallits, in der die Komponenten in äquimolarem Verhältnis vorhanden sind, nicht möglich. Bei niedriger Temperatur ergibt sich ferner eine Grenze (—21° C), unterhalb welcher Carnallit in Berührung mit Lösung überhaupt nicht existieren kann.

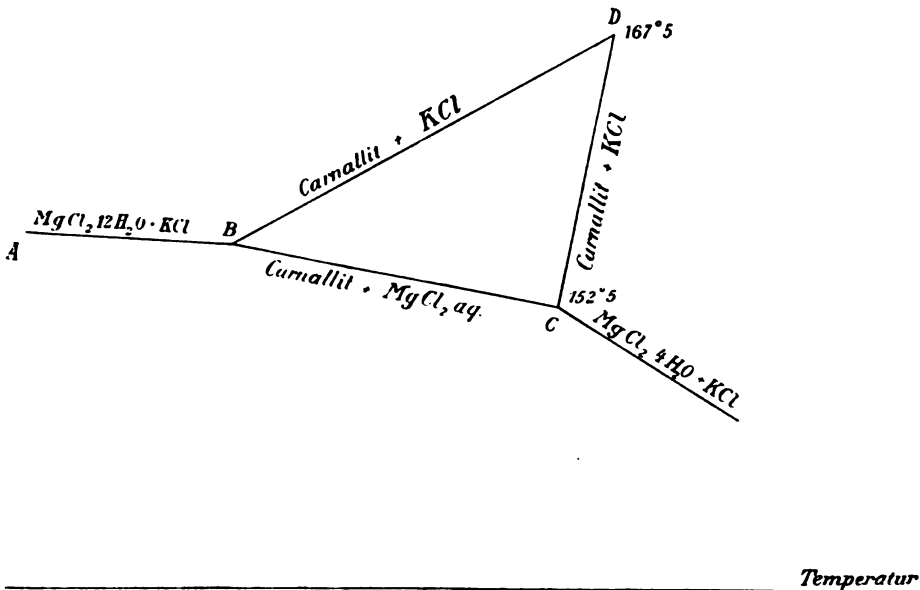
Es ist dies die Temperatur, bei der Carnallit und Wasser aufeinander wirken unter Bildung von KCl und $\text{MgCl}_2 \cdot 12\text{H}_2\text{O}$, eine reversible Umwandlung, welche sich durch⁵⁸⁾



ausdrücken läßt. Umgekehrt wandelt sich das linksstehende System bei —21° unter teilweiser Verflüssigung um, und es scheidet sich dabei KCl in festem Zustande aus, unter Bildung einer Lösung von der Zusammensetzung $100\text{H}_2\text{O}, 6 \cdot 61\text{MgCl}_2, 0 \cdot 49\text{KCl}$. Als obere Grenze für die Existenz des Carnallits ergibt sich 167,5° C. Wird trockener Carnallit im zugeschmolzenen Rohre auf diese Temperatur erhitzt, so zerfällt er vollständig unter Abscheidung von 75 Proz. des KCl und Bildung einer Schmelze ($\text{MgCl}_2, 0 \cdot 25\text{KCl}, 6\text{H}_2\text{O}$), die man als ein unter KCl-Zusatz geschmolzenes Hexahydrat auffassen kann. Bei Zusatz von wasserfreiem MgCl_2 oder, was gleichbedeutend ist, bei Entwässerung der Schmelze kann man diese Temperatur unterschreiten, bis man zu 152,5° kommt, woselbst die Lösung dann an $\text{MgCl}_2 \cdot 4\text{H}_2\text{O}$ Sättigung erreicht und die Zusammensetzung ($\text{MgCl}_2, 0 \cdot 12\text{KCl}, 5\text{H}_2\text{O}$) besitzt. Bei Gegenwart von $\text{MgCl}_2 \cdot 4\text{H}_2\text{O}$ tritt somit Zersetzung von Carnallit schon bei

52,5° ein. Diese Umwandlungstemperaturen begrenzen das Existenzgebiet des Carnallits.

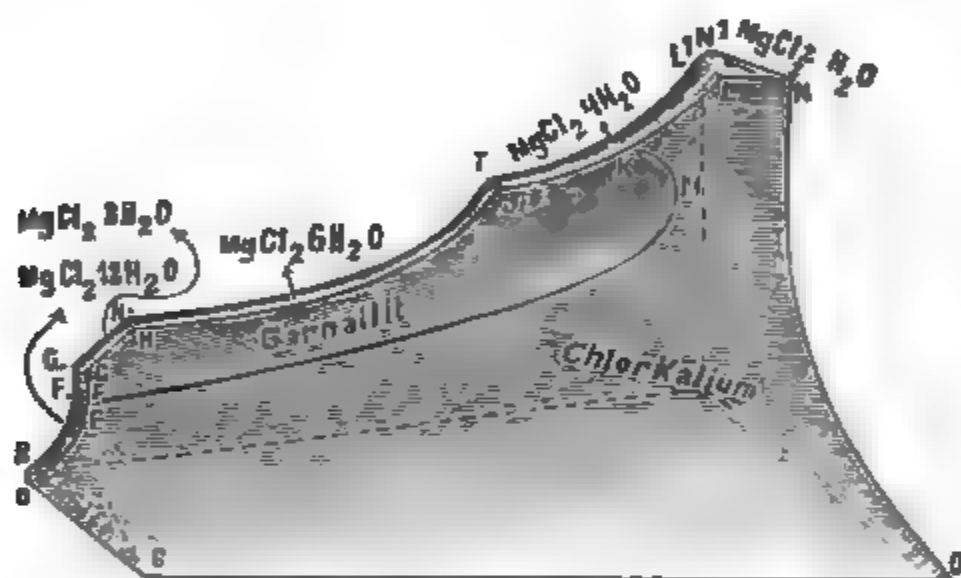
Ein übersichtliches Bild dieser Verhältnisse gewinnt man durch eine graphische Darstellung. Dafür kann man von der Zusammensetzung oder von einer anderen mit der Temperatur variablen Eigenschaft der gesättigten Lösung Gebrauch machen. In der Figur (2) ist als Abszisse die Temperatur, die Ordinate der Wert der gewählten Eigenschaft $F(t)$ z. B. Dampfdruck, Leitfähigkeit usw. aufgetragen. Die Kurve AB stellt die Löslichkeit von $\text{MgCl}_2 \cdot 12\text{H}_2\text{O} + \text{KCl}$ dar; sie erstreckt sich vom kryohydratischen Punkte A zum Punkte B (−21°) — der Bildungstemperatur des Carnallits. Dort ent-



Figur 2.

stehen zwei Löslichkeitskurven, von denen die eine BC, den gesättigten Lösungen von Carnallit + MgCl_2 -Hydrat, die andere, BD, den gesättigten Lösungen von Carnallit + KCl entspricht. Der Wassergehalt des Bodenkörpers entlang BC vorhandenen MgCl_2 -Hydrats hängt natürlich von der Temperatur ab. Diese Kurve endet bei 152,5°; von dort ab wird die an $\text{MgCl}_2 \cdot 4\text{H}_2\text{O} + \text{KCl}$ gesättigte Lösung existenzfähig. Die Kurve BD erstreckt sich bis 167,5°, wo die gesättigte Lösung MgCl_2 und H_2O im selben Verhältnis wie im Carnallit enthält; von dort ab haben die an Carnallit + KCl gesättigten Lösungen (Kurve DC) einen geringeren Wassergehalt als der Formel des Doppelsalzes entspricht. Die umschlossene Fläche BCD stellt

mithin die Existenzmöglichkeit des Carnallits für sich neben Lösung. Vermittels einer solchen graphischen Darstellung läßt sich die Gesamtheit der Bildungsweisen überblicken und das Treffen einer geeigneten Wahl für die Darstellung wird erleichtert. Am übersichtlichsten werden die Verhältnisse bei räumlicher Darstellung wie diese durch die Modelle (Fig. 9) ermöglicht wird. In dieser wird die Darstellung durch drei zueinander senkrechte Achsen durchgeführt, eine horizontale Querachse für die Temperatur, eine nach vorn dient zum Auftragen der KCl-Konzentration und eine nach oben zum Auftragen der MgCl_2 -Konzentration. Die an einem Bodenkörper gesättigten Lösungen werden dann durch Flächen dargestellt, die an zwei Bodenkörpern durch Linien und die an drei durch Schnittpunkte dieser Linien. Die Carnallitfläche ist allseitig begrenzt und nur zwischen -21° und $167,5^\circ$ liegt die Möglichkeit das reine Doppelsalz ohne Beimengung zu gewinnen. Die dabei inne zu haltenden Bedingungen sind aber je nach der Temperatur



Figur 3.

verschieden; in jedem Falle aber ergeben sich dieselben aus den Löslichkeitsdaten, von welchen einige angeführt werden:

Temp.	Sättigung an Carnallit und KCl				Temp.	Sättigung an Carnallit und $\text{MgCl}_2 \cdot x\text{H}_2\text{O}$			
0°	100 H_2O	6.71 MgCl_2	0.73 KCl		25°	100 H_2O	10.5 MgCl_2	0.2 KCl	
25°	"	7.27	" 1.15	"	$115,7^\circ$	"	16.2	" 0.4	"
61°	"	8.06	" 1.74	"	$152,5^\circ$	"	20	" 2.4	"
$154,5^\circ$	"	12.4	" 3.4	"					
$167,5^\circ$	"	16.67	" 4.17	"					

Die linksstehenden Lösungen liefern schon Carnallit neben KCl, während die rechtsstehenden gleichzeitig Carnallit und ein Chlormagnesiumhydrat ausscheiden. Zwischen diesen beiden Grenzen hat man eine Reihe von Lösungen, welche nur in bezug auf Carnallit (unvollständiges Gleichgewicht) gesättigt sind. Hat man bei gegebener Temperatur eine solche Lösung vom Gewicht a Gramm und wird dazu eine Lösung von b Gramm einer der Zusammensetzung $\text{KClMgCl}_2 \cdot 6\text{H}_2\text{O}$ entsprechenden Mischung hingegeben, so wird beim Einengen, bis das Gewicht a + b beträgt, fast reiner Carnallit sich ausscheiden. Genau wie die Darstellungsweisen des Carnallits sich derart ergeben, lassen sich ebenfalls die Spaltungsweisen ableiten. Die möglichen Methoden gründen

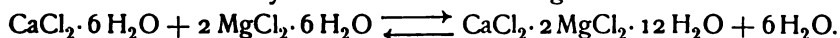
sich auf die Löslichkeitsverhältnisse — darauf beruht ja die gewöhnliche technische Verarbeitung — oder auf die oben besprochenen Umwandlungsercheinungen bei 167,5° resp. 152,5°.

Wie man sieht, kann Carnallit nur neben einer Lösung bestehen, in der seine eine oder andere Komponente in erheblichem Überschuß über das Formelverhältnis vorhanden ist. Nimmt man, wie wahrscheinlich, an, daß die Ionen des Carnallits K^+ und das komplexe Anion $MgCl_3^-$ sind, so ist dies Verhalten erklärlich (Abegg); denn die Abscheidung von Carnallit erfordert dann die Erreichung seines Löslichkeitsprodukts $(K^+) \cdot (MgCl_3^-)$ innerhalb der Lösung. Dies wird jedoch offenbar nicht erreicht, wenn KCl und $MgCl_2$ in äquivalentem Verhältnis vorhanden sind, weil hier aus den Cl^- des KCl und aus dem $MgCl_2$ noch zu wenig der Carnallitanionen $MgCl_3^-$ entstehen. Ihre Konzentration kann man aber nach dem Prinzip der Massenwirkung steigern, wenn man die Lösung an $MgCl_2$ oder Cl^- anreichert.

An dieser Stelle mag erwähnt werden, daß viele ältere Angaben über Löslichkeit von Doppelsalzen nur wenig Wert besitzen. Die Ursache dafür ist im früheren Mangel an Erkenntnis bezüglich ihrer Natur und Verhalten sowie der Bedingungen für das Eintreten vollständigen Gleichgewichts zu finden.

Ammoniummagnesiumchlorid, $NH_4Cl \cdot MgCl_2 \cdot 6H_2O$ ⁵⁹⁾, kristallisiert aus dem Lösungsgemisch der einfachen Salze in farblosen Würfeln oder Säulen, spez. Gew. 1,456. Es ist in Wasser leicht löslich, zerfließt an der Luft, beim Erhitzen verliert es Wasser und Chlorammonium und dient zur Darstellung von wasserfreiem Chlormagnesium.

Tachhydrit, $CaCl_2 \cdot 2MgCl_2 \cdot 12H_2O$, erinnert in seiner Zusammensetzung sofort an den Carnallit. Vom letzteren leitet er sich ab, indem das Kalium durch die äquivalente Menge Calcium ersetzt wird; er enthält offenbar das Komplexanion des Carnallits. Der Tachhydrit bildet durchscheinende, sehr hygroskopische Massen, durch Beimengungen gelb gefärbt, welche im dichten Anhydrit im Staßfurter Lager liegen. Wegen seiner großen Löslichkeit bildet er wohl eine der letzten Stufen ozeanischer Salzausscheidungen. Aus einer die beiden Chloride (200 g $CaCl_2$ auf 150 g $MgCl_2$) enthaltenden Lösung läßt sich durch Einengen das Doppelsalz gewinnen, falls die Temperatur nicht unterhalb 22,4° C sinkt.⁶⁰⁾ Unterhalb 22,4° kristallisieren die einfachen Salze nebeneinander aus. Demgemäß tritt eine partielle Schmelzung ein, wenn ein Gemisch der einfachen Chloridhydrate auf diese Temperatur erwärmt wird und es bildet sich Tachhydrit nach der Gleichung



Unterhalb 22,4° hat man demgemäß Lösungen, welche gleichzeitig an beiden einfachen Salzen gesättigt sind, oberhalb an Tachhydrit und je einem Einzelsalz; die diesbezüglichen Löslichkeitszahlen sind folgende (Mole Salz auf 100 Mole Wasser)⁶⁰⁾

Sättigung an	Temp.	$MgCl_2$	$CaCl_2$
$MgCl_2 \cdot 6H_2O$; $CaCl_2 \cdot 6H_2O$	16,7°	5,9	6,7
$MgCl_2 \cdot 6H_2O$; $CaCl_2 \cdot 6H_2O$ und Tachhydrit	22,4	4,9	9,3
$MgCl_2 \cdot 6H_2O$, Tachhydrit	28,2	5,4	8,8
$CaCl_2 \cdot 6H_2O$, Tachhydrit	24,9	3,4	11,9

Durch zunehmenden Druck wird die Bildungstemperatur des Tachhydrits erhöht und zwar für den Überdruck einer Atmosphäre um 0,017° C.⁶¹⁾ Es

kann demnach betreffs der natürlichen Salzausscheidung behauptet werden, daß $22,4^{\circ}\text{C}$ die untere Grenze für das Auftreten von Tachhydrit ist. Bei hoher Temperatur, etwa 170° , tritt Spaltung des Tachhydrits ein.

Basische Chloride. Nach verschiedenen Methoden läßt sich eine Reihe basischer Chloride erhalten; dieselben sind aber jedenfalls in einigen Fällen keine wohldefinierten Verbindungen.

Beim Erhitzen von $\text{MgCl}_2 \cdot 6\text{H}_2\text{O}$ an der Luft verliert es HCl und es bleibt eine Chlor- und Sauerstoff enthaltende Masse zurück, deren Zusammensetzung variabel und von den Versuchsbedingungen abhängig ist; dieselbe findet zur Chlordarstellung nach dem Weldon-Pechiney-Verfahren Anwendung.

Trägt man stark gegläute Magnesia in eine konzentrierte MgCl_2 -Lösung, so erstarrt das System nach einigen Stunden zu einer sehr harten polierbaren Masse.⁶²⁾ Es wird davon Gebrauch gemacht beim Fabrizieren von Korkziegeln. Beim Verbleiben an der Luft nimmt dieselbe CO_2 auf und nach langem Stehen soll die Masse aus einem Gemisch von Magnesiumcarbonat und einem Oxychlorid der Zusammensetzung $\text{MgCl}_2 \cdot 5\text{MgO} \cdot 17\text{H}_2\text{O}$ bestehen.

Auf die chemische Individualität einer solchen Verbindung zu schließen, reichen aber analytische Daten nicht aus; es müssen bei der weiteren Untersuchung die Hilfsmittel der physikalischen Chemie, insbesondere die Phasenlehre, herangezogen werden. Bei wiederholtem Kochen mit Wasser läßt sich alles MgCl_2 herausziehen und der Rückstand hat die Zusammensetzung $2\text{MgO} \cdot 3\text{H}_2\text{O}$.⁶³⁾

Aus „Magnesia“-Lösung sollen Kristalle der Zusammensetzung⁶⁴⁾ $\text{MgCl}_2 \cdot 5\text{MgO} \cdot 13\text{H}_2\text{O}$ sich ausscheiden und durch Behandlung von MgCl_2 -Lösungen mit frisch gegläutem MgO die Verbindungen $\text{MgCl}_2 \cdot 10\text{MgO} \cdot 14\text{H}_2\text{O}$ ⁶⁵⁾ und $\text{MgCl}_2 \cdot \text{MgO} \cdot 16\text{H}_2\text{O}$ ⁶⁶⁾ auftreten. Auch deren Individualität muß vorläufig als unbewiesen gelten.

Magnesiumbromid, MgBr_2 , läßt sich nach den analogen Methoden erhalten, welche zum wasserfreien Chlorid führen. Es bildet kleine weiße Kristalle, die bei Rotglut schmelzen; beim Erhitzen an der Luft tritt Zersetzung unter HBr -Abgabe ein, und der Grund dafür ist derselbe wie im Falle des Chlorids. In Wasser löst es sich unter großer Wärmeentwicklung auf, und aus der Lösung beim Kristallisieren scheidet sich gewöhnlich $\text{MgBr}_2 \cdot 6\text{H}_2\text{O}$ in zerfließlichen Kristallen aus. Diese finden sich in kleiner Menge in der Abraumschicht des Staßfurter Lagers vor. Das Hexahydrat verhält sich dem $\text{MgCl}_2 \cdot 6\text{H}_2\text{O}$ sehr ähnlich; sie sind miteinander isomorph und bilden leicht feste Lösungen.⁶⁵⁾ Bei niederer Temperatur scheidet sich das Bromid als $\text{MgBr}_2 \cdot 10\text{H}_2\text{O}$ ⁶⁷⁾ aus; dasselbe schmilzt schon bei 12° und spaltet Wasser ab. Leitvermögen³³⁾

25° C	Liter pro Grammäqu.	32	64	128	256	512	1024
	Äqu. Leitf. $A =$	109,3	114,7	119,2	122,7	125,7	128,5
Gefrierpunkte ^{56a)}							
	0,0517	0,103	0,207	0,414	0,517	molar	
	-0,277°	-0,531°	-1,088°	-2,347°	-3,022°	C	

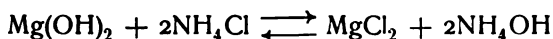
Kaliummagnesiumbromid. $\text{KBr MgBr}_2 \cdot 6\text{H}_2\text{O}$ läßt sich unter ähnlichen Bedingungen erhalten, wie zur Darstellung des analogen Carnallits geeignet sind. Die Löslichkeitsverhältnisse sowie die Spaltungs- und Bildungserscheinungen sind nicht genau untersucht worden; demnach sind die zur Darstellung angegebenen Vorschriften empirischer Art, wie bei so vielen

andern Doppelverbindungen. Soviel läßt sich aber sagen, daß in den das Doppelsalz abscheidenden Lösungen MgBr_2 im großen Überschuß dem KBr gegenüber vorhanden sein muß. Dementsprechend gelingt seine Darstellung, wenn eine an $\text{MgBr}_2 \cdot 6 \text{H}_2\text{O}$ gesättigte Lösung mit fein verteiltem KBr behandelt und das sich abscheidende Salz abgesaugt wird.

Magnesiumjodid, MgI_2 , entsteht beim Erhitzen des Metalls in Joddampf und bildet sehr zerfließliche Kristalle. Beim Erhitzen wird unter Mitwirkung der Luftfeuchtigkeit Jod in Freiheit gesetzt und es bildet sich Magnesiumoxyd. Aus wässriger Lösung kristallisiert bei gewöhnlicher Temperatur das Oktohydrat $\text{MgI}_2 \cdot 8 \text{H}_2\text{O}$ ⁶⁷⁾, bei niederer Temperatur $\text{MgI}_2 \cdot 10 \text{H}_2\text{O}$.

Magnesiumhydroxyd, $\text{Mg}(\text{OH})_2$, kommt in der Natur als Brucit vor. Es fällt aus Lösungen beim Zusammentreten von Mg^{++} und OH' als weißer Niederschlag. Beim Anrühren mit Wasser wandelt sich das Oxyd ferner in Hydroxyd ⁶⁸⁾ um. Die Natur des auf letzterem Wege erhaltenen Hydroxyds hängt in nicht erklärter Weise von der Herkunft des gebrauchten Oxyds ⁶⁹⁾ ab. Wird dieses durch Erhitzen des Nitrats oder möglichst schwaches Glühen des natürlichen Magnesits dargestellt, so bildet sich ein hartes, dichtes kristallinisches Oxyd. Aus der *Magnesia alba* des Handels gewonnen, geht das Oxyd in ein voluminöses weiches Hydroxyd von ganz anderem Aussehen über.

Es kann bei 100° ohne Wasserverlust getrocknet werden, bei schwacher Rotglut bildet sich Oxyd. An der Luft zieht es Kohlensäure an. In reinem Wasser ist es nur sehr wenig löslich, obgleich die Lösung alkalisch reagiert. Älteren Angaben nach beträgt die Löslichkeit des Hydroxyds $3-4 \cdot 10^{-4}$ Mole pro Liter; der elektrischen Leitfähigkeit ⁷⁰⁾ gemäß ist die Löslichkeit $1,5 \cdot 10^{-4}$ bei 18° , während aus Versuchen über das Gleichgewicht

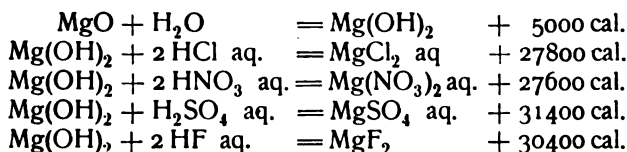


$3,5 \cdot 10^{-4}$ ³⁷⁾ bei 10° und $2,3 \cdot 10^{-4}$ ³⁸⁾ bei 20° sich berechnen lassen.

Möglicherweise hat man es bei $\text{Mg}(\text{OH})_2$ wie bei den meisten Mg -Salzen mit einer abnormen Dissoziation zu tun, und in der gesättigten Lösung könnten nicht nur Mg^{++} und OH' -Ionen vorhanden sein, sondern auch MgOH' -Ionen, in welchem Falle diese indirekten Methoden den wahren Löslichkeitswert nicht ergeben können; unmittelbare Messungen der Löslichkeit wären dann vorzuziehen.

In Lösungen der Alkalisalze ist die Löslichkeit eine größere und bei Anwesenheit von Ammoniumsalzen löst es sich leicht auf (s. o.). Wird eine konzentrierte MgCl_2 -Lösung mit dem Hydroxyd angerührt, so erstarrt es zu einer kompakten Masse, die von Wasser schwer angegriffen wird. In der Technik wird das Hydroxyd bei dem Melasse-Entzuckerungsbetrieb angewandt; es bildet sich ein kristallinisches, schwerlösliches Mg -Saccharat, welches bei Behandlung mit Kohlensäure reinen Zucker liefert.

Thermochemisches.



Magnesiumoxyd, MgO (Bitterde, Talkerde), findet sich in der Natur in eisenhaltigen, dunkelgrünen Oktaedern als Periklas vor. Es entsteht beim

Verbrennen des Metalls an der Luft und beim Glühen der bei höherer Temperatur zersetzbaren Sauerstoffsalze, z. B. Carbonat und Nitrat; bei sehr starkem Glühen wird auch das Sulfat in Oxyd verwandelt. Im großen wird es durch schwaches anhaltendes Glühen des natürlichen Carbonats oder durch Erhitzung des gefällten Hydroxyds gewonnen. Die in Staßfurt bei der Verarbeitung des Carnallits auftretende $MgCl_2$ -Lauge wird jetzt öfters zum Gewinnen des Oxyds verwertet.⁷¹⁾ Nach einer Methode wird die von etwa vorhandener Schwefelsäure befreite Lauge mit Kalkmilch behandelt und das gefällte Hydroxyd geglüht. Nach einer zweiten Methode behandelt man die mit Chlorammonium und Ammoniak versetzte Lauge mit einem Kohlensäurestrom, wodurch Ammoniummagnesiumcarbonat sich ausscheidet, welches dann durch Glühen in Oxyd verwandelt wird. Das auskristallisierte $MgCl_2 \cdot 6 H_2O$ läßt sich auch durch Schmelzen und Behandlung mit Wasserdampf in Oxyd überführen.

Das durch Glühen des Carbonats entstehende Oxyd ist ein sehr lockeres, daher leicht scheinendes Pulver, und ist unter dem Namen *Magnesia usta* oder gebrannte *Magnesia* bekannt. Bei anhaltendem starken Erhitzen nimmt die Dichte des Oxyds bedeutend⁷²⁾ zu; nach dem Erhitzen auf 350° beträgt diese 3,19, auf Weißglut 3,57. Es ist sehr schwer schmelzbar⁷³⁾, im elektrischen Ofen ist es aber flüchtig⁷⁴⁾ und scheidet sich in kristallinischer Form ab. Ebenfalls in kristallinischer Form erhält man es beim Glühen im HCl -Strom und beim Schmelzen von borsauerm Magnesium mit Kalk. Je nach der Behandlung des Oxyds sind die physikalischen Eigenschaften verschieden.

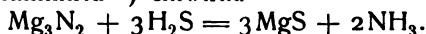
Das pulverförmige ist in Säuren leicht löslich, durch Wasser wird es in das Hydroxyd übergeführt und nimmt CO_2 auf; das kristallisierte wird von Wasser und Säuren viel schwerer angegriffen.¹⁴⁾

Anwendung findet das Oxyd in der Medizin, in der Technik zur Erzeugung von feuerfesten Tiegeln, Ziegelsteinen, Sorelschen Magnesiazement als Glühstift des Nernstlichts usw. Es bildet ein zur Anfertigung von Gefäßen für Dampfdichtebestimmungen bei sehr hohen Temperaturen geeignetes Material.

Thermochemisches. $Mg + O = MgO + 144000 \text{ cal.}$

Magnesiumperoxyd^{74a)} soll sich bei der Elektrolyse von konzentrierter $MgCl_2$ -Lösung in einer mit Scheidewand versehenen Zelle bilden, wenn in die Kathodenabteilung Wasserstoffsuperoxyd gegeben wird. Es scheidet sich angeblich als Hydroperoxyd $Mg(OH)_4$ ab, kann aber nur in unreinem Zustande erhalten werden („Vitafer“); von anderen wird seine Existenz bestritten.

Magnesiumsulfid, MgS , bildet sich beim Überleiten von Schwefeldämpfen über das zur Rotglut erhitzte Metall.⁷⁵⁾ Es entsteht auch, wenn H_2S auf erhitztes Magnesiumnitrid⁷⁶⁾ einwirkt.



Es stellt eine gelbgraue poröse Schlacke dar, ist schwer schmelzbar und beim Glühen an der Luft geht es in das Oxyd über. An feuchter Luft und im Wasser bleibt es nicht unverändert, da das Wasser darauf einwirkt nach der Gleichung $2MgS + 2H_2O = Mg(HS)_2 + Mg(OH)_2$.

Beim Erhitzen des amorphen Sulfids in einer Kohleröhre im elektrischen Ofen erhält man es in kristallinischer Form.⁷⁷⁾ Die Kristalle entstehen auch bei Einwirkung von Zinnsulfür auf Chlormagnesium im elektrischen Ofen. Wie beim Oxyd zeigt sich das kristallisierte Sulfid viel beständiger gegen Reagenzien als das amorphe.

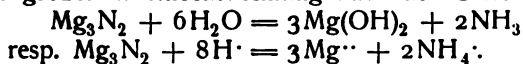
Eine an Schwefel reichere Verbindung Mg_4S_7 ⁷⁸⁾ soll als rötliche amorphe Masse erhalten werden, wenn Magnesia zu Rotglut in CS_2 -Dampf erhitzt wird.

Thermochemisches. $\text{Mg} + \text{S} = \text{MgS} + 77600 \text{ cal.}$

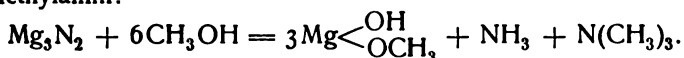
Magnesiumhydrosulfid, $\text{Mg}(\text{HS})_2$, entsteht bei Einwirkung von Wasser auf MgS , beim Leiten von H_2S durch Wasser in dem $\text{Mg}(\text{OH})_2$ suspendiert wird⁷⁹⁾, sowie bei Behandlung einer MgSO_4 -Lösung mit Bariumhydrosulfid.⁸⁰⁾ In fester Form ist es nicht erhalten worden und daher nur in wässriger Lösung bekannt. In Anbetracht der schwach sauren Natur des Schwefelwasserstoffs ist das Hydrosulfid in der Lösung merklich hydrolytisch gespalten; demnach entweicht H_2S aus der Lösung und beim Einengen tritt Zersetzung ein. Eine konzentrierte Lösung auf etwa 60° erwärmt, eignet sich sogar vorzüglich zur Erzeugung eines regelmäßigen Schwefelwasserstoffstromes für Laboratoriumszwecke. Beim Erwärmen der Lösung mit Schwefel löst sich dieses auf unter Bildung einer dunkelgelben Magnesiumpolysulfide enthaltenden Flüssigkeit auf. Beim Stehen zersetzt sich die Lösung unter Abscheidung von $\text{Mg}(\text{OH})_2$ und Schwefel, während H_2S entweicht.

Magnesiumselenid entsteht als fleischroter Niederschlag, wenn eine Mg -Salzlösung mit Kaliumselenid versetzt wird.

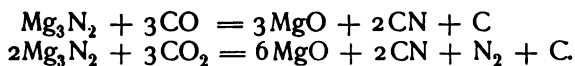
Magnesiumnitrid, Mg_3N_2 . Die Bildung des Stickstoffmagnesiums ist zuerst von Deville und Caron⁴⁾ beobachtet worden bei der Destillation des Rohmagnesiums. Es entsteht durch unmittelbare Vereinigung des Metalls mit Stickstoff bei erhöhter Temperatur. Von dieser Affinitätsäußerung wird bei der Trennung des Argons vom atmosphärischen Stickstoff Gebrauch gemacht. Leichter entsteht es, wenn das Metall im Ammoniakstrom erhitzt wird⁷⁶⁾; unter diesen Umständen kann das Magnesium vollständig aufgebraucht werden. Es stellt ein grünlich graues Pulver dar, das beim Erhitzen an der Luft unter Bildung des Oxyds langsam verbrennt. In Sauerstoff findet die Reaktion mit starker Lichtentwicklung statt. Wasser sowie Säuren zersetzen es sofort unter großer Wärmeentwicklung nach der Gleichung



Auch Methylalkohol wirkt lebhaft darauf ein unter Bildung von Ammoniak und Trimethylamin:



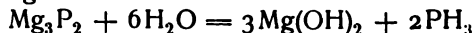
In trockener Luft ist es bei gewöhnlicher Temperatur beständig; die Halogene wirken nur bei Rotglut unter Bildung der Magnesiumhaloide. Beim schwachen Glühen wirkt H_2S darauf ein unter Bildung von MgS und Ammoniumsulfid, und in der Glühhitze wirken CO und CO_2 nach den Gleichungen⁷⁶⁾



Beim Erwärmen wirkt es auf viele wasserfreie Metallchloride wie die von Ni, Fe, Co, Cr, Ag, Cu, Pb und Hg ein, und es bilden sich die entsprechenden Metallnitride⁸¹⁾, indem diese schwächer positiven Metalle sich mit dem in den Nitriden schwach negativ wirkenden N verbinden, und so die Kombination der beiden stark zur Ionenbildung neigenden Elemente Mg und Cl herbeiführen.

Magnesiumphosphid, Mg_3P_2 , bildet sich beim Erhitzen von Mg -Pulver mit rotem Phosphor⁸²⁾ oder mit gewissen wasserfreien phosphor-

haltigen Verbindungen.⁸³⁾ Es bildet kleine dunkel grüngraue Kristalle⁸⁴⁾, die sich nur im zugeschmolzenen Rohr aufbewahren lassen, da sie vom Wasser nach der Gleichung



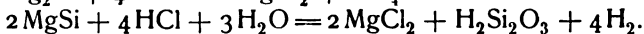
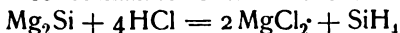
zersetzt werden. In trockener Luft ist es bei gewöhnlicher Temperatur beständig; beim Erhitzen wird es zu Magnesiumphosphat oxydiert. Die Halogene wirken darauf ein in der Hitze analog wie auf Nitrid.

Magnesiumarsenid, Mg_3As_2 , ist dem Nitrid und Phosphid analog und bildet sich beim Glühen von Mg-Pulver und Arsen im Wasserstoffstrom.⁸⁵⁾ Es stellt eine bräunliche Masse von metallischem Glanz dar, welche durch Wasser und verdünnte Säuren unter Bildung von AsH_3 zersetzt wird.

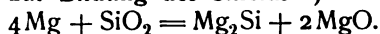
Magnesiumcarbid entsteht beim vorsichtigen Erwärmen von Mg-Pulver im Acetylenstrom.⁸⁶⁾ Nach Moissan⁸⁶⁾ findet die Bildung im elektrischen Ofen nicht statt, weil die Zersetzungstemperatur ziemlich niedrig, etwa bei Rotglut, liegt.

Magnesiumsilicid wurde von Wöhler⁸⁷⁾ als Nebenprodukt bei der Darstellung des Metalles erhalten, indem das zu erhaltende Gemenge von MgCl_2 und Natrium mit Kieselfluornatrium gemischt wurde. Beim Glühen wird wohl Mg zuerst in Freiheit gesetzt, das dann weiter mit dem Silicofluorid weiter reagiert. Demgemäß kann man von Metall selbst ausgehen, indem dieses mit Chlornatrium und Kieselfluornatrium stark erhitzt wird. Die abgekühlte Masse behandelt man mit NH_4Cl -Lösung, wodurch noch zurückbleibendes Magnesium herausgelöst wird, während das Silicid zum größten Teil unverändert zurückbleibt.

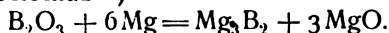
Auf diesem letzten Wege erhalten, besteht das Produkt aus metall-ähnlichen Kristallen, welche der Formel Mg_3Si_3 ⁸⁸⁾ entsprechen. Wahrscheinlich stellt dasselbe ein Gemisch von Mg_2Si und MgSi dar, weil bei Behandlung mit Salzsäure, Wasserstoff, Siliciumwasserstoff und das Anhydrid der Siliciumameisensäure $(\text{SiOH})_2\text{O}$ gebildet werden. Die Entstehung dieser Körper läßt sich unter dieser Annahme leicht erklären:



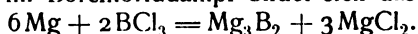
Die Reduktion der Kieselerde bei sehr starkem Glühen mit überschüssigem Mg-Pulver führt auch zur Bildung des Silicids⁸⁹⁾



Magnesiumborid, Mg_3B_2 , entsteht beim starken Erhitzen von Bortrioxyd mit Mg-Pulver im Überschuß⁹⁰⁾



Auch beim Erhitzen von Magnesium mit amorphem Bor im Wasserstoffstrom oder für sich im Borchloriddampf bildet sich das Borid⁹¹⁾



Die entstehende Masse entwickelt BH_3 neben viel H_2 bei Einwirkung von Säuren.

Salze der Halogenoxysäuren.

Magnesiumhypochlorit und **-hypobromit** werden wahrscheinlich bei der Einwirkung der freien Halogene auf im Wasser suspendiertes Magnesiumhydroxyd gebildet; die entstehenden Lösungen haben bleichende Eigenschaften⁹²⁾, sind aber unbeständig und erleiden Zersetzung bei gewöhnlicher Temperatur. Eine das Hypochlorit enthaltende Lösung wird ebenfalls durch Auflösung von $\text{Mg}(\text{OH})_2$ in wässriger Unterchlorigsäure, sowie durch

Versetzen von Chlorkalklösung mit Bittersalz und Absetzenlassen des wenig löslichen Calciumsulfats erhalten.

Die Magnesiumsalze der Chlor-, Brom- bzw. Jodsäure werden durch Auflösung von Oxyd oder Carbonat in der wässrigen Säurelösung oder durch Wechselersetzung zwischen Magnesiumsulfat-Lösung und der berechneten Menge des betreffenden Bariumsalzes erhalten.⁹³⁾ Auch durch Behandlung einer kochenden Lösung des oxyhalogensauren Kaliums mit Kieselfluormagnesium erhält man eine das betreffende Magnesiumsalz enthaltende Lösung.

Das **Chlorat**, $\text{Mg}(\text{ClO}_3)_2 \cdot 6\text{H}_2\text{O}$, bildet Kristalle, welche bei 40°C im Kristallwasser schmelzen und schon bei 120° zersetzt werden. Es ist zerfließlich, demgemäss sehr leicht löslich.

Das **Bromat**, $\text{Mg}(\text{BrO}_3)_2 \cdot 6\text{H}_2\text{O}$ ⁹⁴⁾, kristallisiert in Oktaedern, welche an der Luft verwittern, es ist aber bei höherer Temperatur bedeutend beständiger als das Chlorat. Beim Erwärmen schmilzt es im Kristallwasser, wird wasserfrei bei 200° und erst oberhalb dieser Temperatur wird Brom und Sauerstoff abgegeben. Es löst sich ein Teil Salz in 1,4 Teilen kalten Wassers.

Das **Jodat**, $\text{Mg}(\text{JO}_3)_2 \cdot 4\text{H}_2\text{O}$, ist dem Bromat sehr ähnlich; es verliert das Kristallwasser bei 200° und zersetzt sich beim stärkeren Erhitzen.

Leitvermögen 25°

$\frac{1}{2} \text{Mg}(\text{JO}_3)_2$	32	64	128	256	512	1024	Liter ³³⁾
Äqu.-Leitf. Λ	71,6	77,0	81,7	85,6	89,4	92,5	

Die Löslichkeitsreihenfolge von Chlorat, Bromat, Jodat ist offenbar durch die Elektroaffinität der Anionen bedingt.

Monomagnesiumperjodat, $\text{Mg}(\text{JO}_4)_2 \cdot 10\text{H}_2\text{O}$ ⁹⁴⁾ Dieses der Überjodsäure entsprechende leichtlösliche Salz erhält man beim Auflösen von Magnesium in überschüssiger Säure und Einengen der Lösung. Enthält die Lösung keine freie Säure, so entsteht das der Diüberjodsäure entsprechende Dimagnesiumperjodat. Beim Einengen der Lösung scheiden sich Kristalle, welchen die Formel $\text{Mg}_2\text{J}_2\text{O}_9 \cdot 12\text{H}_2\text{O}$ bez. $\text{Mg}_2\text{J}_2\text{O}_9 \cdot 15\text{H}_2\text{O}$ zukommt.

Aus schwach saurer Lösung tritt neben dem Monomagnesiumperjodat das Tetramagnesiumperjodat $\text{Mg}_4\text{J}_2\text{O}_{11} \cdot 6\text{H}_2\text{O}$ auf. Es läßt sich vom ersten, das im Wasser sehr löslich ist, durch Kochen mit Wasser trennen.

Salze der Schwefeloxysäuren.

Magnesiumsulfit, $\text{MgSO}_3 \cdot 6\text{H}_2\text{O}$, entsteht bei Behandlung von Magnesia mit wässriger Schwefligsäure und Einengen der Lösung. Das Metall selbst löst sich auch in einer Schwefligsäure-Lösung unter Bildung des Sulfits.⁹⁵⁾ Die hexagonalen Kristalle sind unbeständig an der Luft und werden langsam zu Sulfat oxydiert. Beim Erhitzen auf 260° verliert es das Kristallwasser und bei noch höherer Temperatur geht es vollständig in MgO über. Ein Teil des Sulfits löst sich in 80 Teilen kalten Wassers.

Magnesiumsulfat, MgSO_4 , tritt in mehreren wasserhaltigen Formen auf, in denen auf ein Mol Salz 1, 4, 5, 6, 7 bzw. 12 Mole Wasser kommen. Das Heptahydrat — Bittersalz, Epsomsalz — kommt in der Natur als Residuum des Austrocknens inländischer Seen, z. B. in Toledo, als Efflorenz auf den Steppen Sibiriens und auf manchen Gesteinen vor. Das Monohydrat — Kieserit tritt in großer Ablagerung bei Staßfurt auf. Ferner tritt das Sulfat als Bestandteil mancher bei Staßfurt vorkommenden Doppelsalze, von denen die wichtigsten schon S. 33 erwähnt worden sind, in bedeutender Menge auf, und in gelöstem Zustande kommt es in vielen Bitterwässern und Bittersalzseen vor.

Das wasserfreie Sulfat MgSO_4 , spez. Gew. 2,65, entsteht aus den verschiedenen Hydraten, wenn diese auf 200°C erhitzt werden. Es ist bei mäßiger Glühhitze beständig, beim Weißglühen verliert es Säure und geht in das Oxyd über. In glühendem Zustande wird es von Reduktionsmitteln wie H_2 , C, CO angegriffen. Es nimmt beim Stehen an der Luft Hydratwasser auf. In Wasser löst es sich langsam unter Wärmeentwicklung; die kleine Geschwindigkeit, mit welcher die Auflösung stattfindet, ebenso wie die Wärmetönung, sind jedenfalls auf Hydratisierung zurückzuführen.

Aus einer auf etwa 0°C abgekühlten konzentrierten MgSO_4 -Lösung scheidet sich das Dodekahydrat $\text{MgSO}_4 \cdot 12\text{H}_2\text{O}$ ⁹⁶⁾ in großen Kristallen aus. Das Existenzgebiet desselben in Berührung mit Wasser ist ziemlich eng begrenzt, da der kryohydratische Punkt vom Hydrat bei $-3,9^\circ$ liegt, und bei $+1,8^\circ$ spaltet es schon Wasser ab unter Bildung des Heptahydrats.

Das Heptahydrat, Bittersalz, $\text{MgSO}_4 \cdot 7\text{H}_2\text{O}$ kristallisiert aus Lösung bei gewöhnlicher Temperatur in vierseitigen rhombischen Prismen, spez. Gew. 1,68. Auf diesem Wege wurde es schon im Jahre 1695 von Grew aus der Mineralquelle zu Epsom erhalten. Zur technischen Darstellung ⁹⁷⁾ des Bittersalzes bilden die Staßfurter Salze die hauptsächlichste Bezugsquelle. Dazu werden z. B. die bei der Verarbeitung des Carnallits entstehenden MgCl_2 -Laugen mit Kalkmilch, und das gefällte $\text{Mg}(\text{OH})_2$ mit Schwefelsäure behandelt. Nach einer zweiten Methode wird der rohe Kieserit in Sieben mit fließendem Wasser behandelt, wodurch etwa vorhandenes Chlormagnesium und Chlornatrium aufgelöst wird, während der Kieserit zu feinem Pulver zerfällt und unten aufgesammelt wird. Etwa vorhandene größere Stücke von Steinsalz, Anhydrit usw. bleiben auf den Sieben zurück. Der Kieseritschlamm wird dann in Holzgefäßen stehen gelassen, wobei ein Teil des Kieserits sich hydratisiert und dadurch den Schlamm in eine harte zementartige Masse, den sogenannten Kieseritstein, verwandelt. Den Kieseritstein behandelt man darauf mit heißem Wasser und Wasserdampf und bringt die entstehende Lösung durch Einengen in flachen eisernen Schalen zum Kristallisieren.

Das Bittersalz hat einen unangenehmen bitteren Geschmack. Es hat bei gewöhnlicher Temperatur eine Dampftension, etwa wie der mittlere H_2O -Partialdruck in der Luft, denn es verwittert an trockner Luft, während es an feuchter Luft unverändert bleibt. Das Handelspräparat enthält gewöhnlich Chlormagnesium und zieht demzufolge Wasser an.

Wasserdampftension von $\text{MgSO}_4 \cdot 7\text{H}_2\text{O}$ ⁹⁸⁾

14,95°	25,75°	30,75°
4,93	12,29	18,34 mm Hg.

Aus einer bei höherer Temperatur hergestellten und abgekühlten MgSO_4 -Lösung scheidet sich das Bittersalz, wenn selbst die Lösung an diesem stark übersättigt ist, nicht immer aus. Wird der Eintritt von Salzkeimen verhindert, so läßt sich eine solche Lösung anscheinend beliebig lange Zeit im übersättigten Zustande aufbewahren.

In bezug auf Kristallform ist das Bittersalz den Sulfaten von Zn, Fe^{II} , Co und Ni sehr ähnlich. Aus Schwefelsäure-Lösungen, welche Mg und Zn (Fe^{II} , Co, Ni) erhalten, scheiden sich Mischkristalle ab.

In der Technik dient das Bittersalz zur Appretur baumwollener Gewebe, zum Entfärben der Rübensäfte, zum Färben von Wolle, bei Anwendung von Anilinfarben usw.; in der Medizin wird es als Abführmittel verwendet.

Löslichkeit von Bittersalz. — Teile MgSO_4 auf 100 Teile Wasser

0°	5°	10°	15°	20°	25°	30°	35°	40°
26,9	29,3	31,5	33,8	36,2	38,5	40,9	43,3	45,6

Entsprechend der allgemeinen Erfahrung, daß das in Berührung mit Wasser beständige Salzhydrat weniger Kristallwasser enthält, je höher die Temperatur, kristallisiert aus einer etwa 60—70° warmen Lösung das Sulfat als Hexahydrat $\text{MgSO}_4 \cdot 6\text{H}_2\text{O}$ in monoklinen Formen aus. Der Umwandlungspunkt von Bittersalz in Hexahydrat liegt bei 48,3°; die Umwandlung erfolgt unter Wasserabspaltung und Volumänderung. Manchmal scheidet sich das Hexahydrat aus konzentrierter Lösung sogar noch unterhalb Zimmertemperatur — also weit unterhalb der Umwandlungstemperatur⁹⁹⁾ ab; das so entstehende System ist natürlich kein beständiges, sondern beim Zusatz einer Spur Bittersalz wandelt sich das Hexahydrat in dieses um. Nach Loewel⁹⁹⁾ scheidet sich ferner aus einer solchen an Bittersalz übersättigten Lösung öfters eine zweite Form des Heptahydrats $\text{MgSO}_4 \cdot 7\text{H}_2\text{O}$ (b) aus. Auch beim Stehenlassen des Hexahydrats in Berührung mit der Mutterlauge bei 0°—10° bemerkt man öfters ein Undurchsichtigwerden desselben und es bildet sich $\text{MgSO}_4 \cdot 7\text{H}_2\text{O}$ (b). Das neue System wandelt sich dann nach kürzerer oder längerer Zeit in das stabile um, bei dem Bittersalz am Boden der Lösung sich befindet. Folgende Zahlen sind die Loewelschen Angaben für die Löslichkeit dieser Hydrate — Teile MgSO_4 auf 100 Teile Wasser

	Bittersalz	$\text{MgSO}_4 \cdot 7\text{H}_2\text{O}$ (b)	$\text{MgSO}_4 \cdot 6\text{H}_2\text{O}$
0°	26,0	34,67	40,75
10°	30,9	38,71	42,23
20°	35,6	42,84	43,87

Das Auftreten dieser unbeständigen Hydrate beim Abkühlen der konzentrierten MgSO_4 -Lösung bietet einen besonderen Fall eines allgemeinen Gesetzes¹⁰⁰⁾, demzufolge bei allen Vorgängen nicht gleich der stabile Zustand erreicht wird, sondern zuerst der nächstliegende oder der unter den möglichen Zuständen wenigstens beständige. Von diesen aus werden stufenweise die beständigeren Zustände erreicht, bis die Umwandlung schließlich bei dem beständigen Halt macht.

Eine zweite Form des Hexahydrats¹⁰¹⁾, bestehend aus tetragonalen Oktaedern, bildet sich, wenn eine konzentrierte MgSO_4 -Lösung mit den tetragonalen Kristallen eines Gemisches von Kupfer- und Zinksulfat geimpft wird. Diese Form ist sehr unbeständig und wandelt sich beim Aufbewahren in der Mutterlauge spontan in das andere Hexahydrat um.

Bei etwa 77,5° verwandelt sich das Hexahydrat in Pentahydrat um und bei fast genau derselben Temperatur bildet sich aus letzterem das Tetrahydrat. Demgemäß wären diese niederen Hydrate aus rein wässriger Lösung bei höherer Temperatur zu erhalten. Bei Anwesenheit von fremden löslichen Substanzen (z. B. Chlormagnesium), welche einen erniedrigenden Einfluß auf die Bildungstemperatur dieser wasserärmeren Hydrate ausüben, beobachtet man jedoch selbst bei 25° deren Auftreten. Wird eine solche Chlormagnesium enthaltende MgSO_4 -Lösung im Thermostat bei 25°C über Schwefelsäure eingengt, so tritt zunächst das Bittersalz auf; bei einer gewissen MgCl_2 -Konzentration entstehen Hexahydratnadeln und weiteres Einengen hat nunmehr Verschwinden des Bittersalzes unter Bildung des neuen Salzes zur Folge. Bei weiterem Steigen des MgCl_2 -Gehalts treten in ähnlicher Weise sukzessiv wohl ausgebildete monosymmetrische Kristalle des Pentahydrats und sechsseitige

Tafeln des Tetrahydrats, welche letztere dann am Boden der Lösung bleiben, bis der MgCl_2 -Gehalt sein Maximum erreicht hat.¹⁰²⁾ Daraus ist nicht zu schließen, daß unter den beschriebenen Umständen ein noch niederes Hydrat sich nicht ausscheiden kann, da Übersättigungserscheinungen sich leicht einstellen können. Die Erfahrung zeigt ja, daß diese ganz besonders bei Salzen mit mehrwertigen Ionen auftreten. Das Vorkommen des Kieserits im Staßfurter Lager und die wohlbegründete Vorstellung, daß diese Salzausscheidungen maritimen Ursprungs und auf das Auskristallisieren der im Meereswasser gelösten Salze zurückzuführen seien, läßt ja schließen, daß der Kieserit bei keiner hohen Temperatur aus solcher Meereslauge bei ungemein langsamem Einengen sich doch ausscheidet. In Übereinstimmung damit haben weitere Laboratoriumsversuche gezeigt, daß das Penta- und Tetrahydrat bei allen Temperaturen instabil sind. Schon bei niedriger Temperatur 68°C wird ja das Hexahydrat in Kieserit verwandelt.¹⁰³⁾ Oberhalb 68° ist, auf einem größeren Temperaturintervalle, der Kieserit die beständige Form des Magnesiumsulfats; für dessen Existenz ist bis jetzt eine obere Grenze nicht festgestellt worden. Bei Gegenwart löslicher Fremdstoffen erfolgt Entwässerung der höheren Hydrate bis zum Kieserit bei noch niedriger Temperatur, wie Versuche bei 25°C unmittelbar beweisen. Der natürliche Kieserit stellt gewöhnlich eine körnige Masse dar und zeigt nur selten ein kristallinisches Gefüge. Er ist im Wasser für sich fast unlöslich, wird aber von diesem bei gewöhnlicher Temperatur in das Heptahydrat verwandelt.

Das Leitvermögen³³⁾ von MgSO_4 -Lösungen zeigt bei hohen Konzentrationen ein Maximum:

	$v = 32$	64	128	256	512	1024
25° Äqu.-Leitf.	73,0	83,0	92,6	101,8	110,1	116,9
% $\text{MgSO}_4 =$	5	10	15	20	25	
18° spez. Leitf. $10^4 \kappa =$	263	414	480	476	415	
Thermochemisches:	$\text{Mg} + \text{S} + 4\text{O} = \text{MgSO}_4 + 302\ 300\ \text{cal}$					
Innere Reibung. ¹⁰⁴⁾	1	0,5	0,25	0,125	g-Äqu./l	
25°C .	1,3673	1,1639	1,0784	1,0320		
Gefrierpunkte. ¹⁰⁵⁾	0,1276	0,318	0,796	1,326	"	
	0,165 ⁰	-0,366 ⁰	-0,802 ⁰	-1,303 ⁰	C	
Dichte ($18^\circ/18^\circ$). ¹⁰⁶⁾	0,01015	0,05093	0,19773	0,48671	"	
	1,000639	1,003117	1,012035	1,029101		

Das aus der Dichte der Lösungen berechnete Molekular-Volumen des gelösten Magnesiumsulfats hat einen negativen Wert in verdünnten Lösungen, wird gleich Null in etwa 0,3 äquivalenter und nimmt dann einen steigenden positiven Wert an, wenn die Konzentration vermehrt wird.

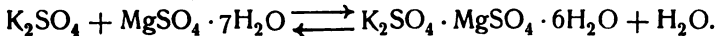
Lösungswärme:

$\text{MgSO}_4 = 20\ 300\ \text{cal}$; $\text{MgSO}_4 \cdot \text{H}_2\text{O} = 13\ 300\ \text{cal}$; $\text{MgSO}_4 \cdot 7\text{H}_2\text{O} = -3800\ \text{cal}$.

Magnesiumhydrosulfat, $\text{Mg}(\text{HSO}_4)_2$, entsteht beim Auflösen von Magnesiumsulfat in heißer Schwefelsäure und bildet sechseckige Tafeln oder prismatische Säulen. Ein saures Salz, $\text{KHMg}(\text{SO}_4)_2 \cdot 2\text{H}_2\text{O}$, entsteht beim Einengen einer stark sauren Kaliummagnesiumsulfatlösung. Dieses wird vom Wasser unter Bildung von Schönit sofort zersetzt.

Kaliummagnesiumsulfat, $\text{K}_2\text{SO}_4 \cdot \text{MgSO}_4 \cdot 6\text{H}_2\text{O}$, tritt als **Schönit** im Staßfurter Lager und ferner als Pikromerit in vulkanischen Produkten auf. Es kristallisiert aus einem Lösungsgemisch bei gewöhnlicher Temperatur in wohlausgebildeten durchsichtig monoklinen Kristallen. Wird das Doppelsalz

in Berührung mit wenig Wasser abgekühlt, so erstarrt es zu einer festen Masse von Bittersalz und Kaliumsulfat. Geht man von diesem Salzgemisch bei niedriger Temperatur aus, so findet bei -3°C Wasserabspaltung und Bildung des Doppelsalzes statt.¹⁰⁷⁾ Man hat es bei dieser Temperatur mit einer reversiblen Umwandlung zu tun nach der Gleichung:



Das bei absteigender Temperatur bei -3°C sich bildende System ist in Wirklichkeit ein labiles, da das Bittersalz schon bei $+1,8^{\circ}\text{C}$ sich in $\text{MgSO}_4 \cdot 12\text{H}_2\text{O}$ verwandelt. Die stabile Spaltung von Schönit in $\text{MgSO}_4 \cdot 12\text{H}_2\text{O}$ und K_2SO_4 muß nach den Gleichgewichtsgesetzen tiefer als -3°C liegen; da aber der kryohydratische Punkt von $\text{MgSO}_4 \cdot 12\text{H}_2\text{O}$ bei $-3,9^{\circ}\text{C}$ liegt, und bei Gegenwart von Schönit nicht wesentlich herabgedrückt werden dürfte, so erscheint es fraglich, ob sich bei niedriger Temperatur der Schönit überhaupt stabil spaltet. Bei $47,5^{\circ}$ spaltet der Schönit Wasser ab¹⁰⁸⁾ und es bildet sich der **Leonit** $\text{K}_2\text{SO}_4 \cdot \text{MgSO}_4 \cdot 4\text{H}_2\text{O}$. Den Löslichkeitsverhältnissen entsprechend, scheidet sich bei dieser Umwandlung Kaliumsulfat in festem Zustande aus. Bei Anwesenheit von festem Magnesiumsulfat bildet sich der Leonit bei 41° , und falls andere lösliche Fremdsubstanzen vorhanden sind, noch niedriger, und bei ozeanischer Salzausscheidung schon unterhalb 20°C .

Langbeinit, $\text{K}_2\text{SO}_4 \cdot 2\text{MgSO}_4$, tritt in den Bergwerken Wilhelmshall und Westeregeln bei Staßfurt auf. Er entsteht bei der Spaltung des Leonits, dessen Umwandlung bei 89°C nach der Gleichung¹⁰⁹⁾ erfolgt:



Die Langbeinitbildung zeigt sich im Dilatometer durch eine Volumzunahme, läßt sich aber wegen der Langsamkeit und des mitunter völligen Ausbleibens der Reaktion nicht leicht beobachten. Bei Gegenwart von Magnesiumsulfat, welches bei dieser Temperatur als Hexahydrat auftritt, findet die Bildung des Langbeinit schon bei 61° statt, und bei der natürlichen Ausscheidung, also bei Gegenwart von fremden löslichen Substanzen, tritt der Langbeinit schon bei 37° auf. Entsprechend den bei den Umwandlungstemperaturen gefundenen Löslichkeitsdaten:

$61,5^{\circ}$	1000 H_2O	83 MgSO_4	7 K_2SO_4
$88,5^{\circ}$	1000 H_2O	41 MgSO_4	27 K_2SO_4

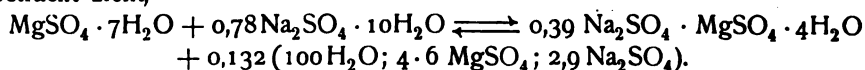
kann von etwa 85° an aufwärts eine Lösung bestehen, welche bei Sättigung an Langbeinit auch die einzelnen Sulfate im ungefähren Verhältnis wie im Langbeinit enthält. Eine derartige Lösung kann also beim Einengen oberhalb 85° den Langbeinit ohne weiteres liefern. Das Doppelsalz läßt sich ferner durch einfaches Zusammenschmelzen der Sulfate¹¹⁰⁾ in wohlausgebildeten Kristallen, sowie durch Erhitzen von Kainit mit MgCl_2 -Lösung erhalten.¹¹¹⁾

Ammoniummagnesiumsulfat, $(\text{NH}_4)_2\text{SO}_4 \cdot \text{MgSO}_4 \cdot 6\text{H}_2\text{O}$, kommt als Cerbolit in einigen Borsäurequellen vor.¹¹²⁾ Es scheidet sich aus einem Lösungsgemisch der einfachen Salze in durchsichtigen monoklinen Säulen vom spez. Gew. 1,725 aus, welche mit dem Schönit isomorph sind. Bezüglich der Existenzbedingungen des Doppelsalzes sind bis jetzt keine sachgemäßen Untersuchungen durchgeführt worden.

Natriummagnesiumsulfat, $\text{Na}_2\text{SO}_4 \cdot \text{MgSO}_4 \cdot 4\text{H}_2\text{O}$, kommt in Form von weißen oder gelblichen durchscheinenden Kristallen als **Astrakanit** (Blödit) und in monoklinen Kristallen oder steinsalzartigen Massen als Simonyt vor. Aus einem Lösungsgemisch läßt sich das Doppelsalz bequem durch Einengen

bei etwa 30—60° C erhalten.¹¹³⁾ Unterhalb 22° sowie oberhalb 71° scheidet sich das Doppelsalz beim Kristallisieren nicht aus. Bei der ersteren Temperatur bildet sich nämlich der Astrakanit aus den einfachen Salzen nach der Gleichung

$\text{Na}_2\text{SO}_4 \cdot 10\text{H}_2\text{O} + \text{MgSO}_4 \cdot 7\text{H}_2\text{O} \rightleftharpoons \text{Na}_2\text{SO}_4 \cdot \text{MgSO}_4 \cdot 4\text{H}_2\text{O} + 13\text{H}_2\text{O}$
oder, falls man die Zusammensetzung der bei 22° C gebildeten Lösung in Betracht zieht,



In Berührung mit wenig Wasser bei gewöhnlicher Temperatur erstarrt es zu einem festen Gemisch von Glauber- und Bittersalz. Die Existenzbedingungen des Doppelsalzes neben Lösung oberhalb 22° C werden durch die Löslichkeitsverhältnisse bedingt. Die an je einem Einzelsalz, sowie Doppelsalz gesättigten Lösungen haben Zusammensetzungen, welche in folgender Tabelle zum Ausdruck kommen; die Zahlen stellen Mole Salz pro 100 Mole Wasser dar.

Temp.	Natrium-sulfat +	Magnesium-sulfat	Astra-kanit +	Natrium-sulfat	Astra-kanit +	Magnesium-sulfat
	Na_2SO_4	MgSO_4	Na_2SO_4	MgSO_4	Na_2SO_4	MgSO_4
18,5°	2,16	4,57	(2,25)	(6,21)	3,41	4,27
22°	2,95	4,70	2,95	4,70	2,85	4,63
	Astrakanit					
24,5°	3,45	3,68	3,45	3,62	2,69	4,76
30°	3,60	3,60	4,58	2,91	2,30	5,31
35°	3,72	3,72	4,30	2,76	1,73	5,88

Bei 22° C sind die Werte für die Zusammensetzung der verschiedenen Lösungen identisch. Das Doppelsalz geht als solches nur oberhalb 25° in Lösung, bei 22—25° befindet sich dasselbe im Umwandlungsintervall.

Bei 71° C spaltet der Astrakanit zwei Moleküle Wasser ab und es bildet sich **Loewëit**¹¹⁴⁾, der auch, obwohl sehr selten, in der Natur auftritt. Die untere Grenze für die Bildung von Loewëit bei ozeanischer Salzausscheidung liegt bei 43° C. Nach Kubierschky¹¹⁵⁾ kommt dem Loewëit die Formel $2\text{Na}_2\text{SO}_4 \cdot 2\text{MgSO}_4 \cdot 5\text{H}_2\text{O}$ zu.

Vanthoffit, $3\text{Na}_2\text{SO}_4 \cdot \text{MgSO}_4$ ¹¹⁵⁾, kommt im Bergwerk Wilhelmshall bei Staßfurt vor. Es läßt sich künstlich erhalten, indem man eine etwa äquimolare Mengen der einfachen Sulfaten enthaltende Lösung langsam einengt, bis Ausscheidung von Astrakanit eingetreten ist. Das System wird darauf bei 80—90° stehen gelassen, wobei schließlich anhydrische Kristalle von Vanthoffit entstehen. Es bildet demgemäß das Kristallisationsprodukt bei Temperaturen unweit 100° C.

Kaliumcalciummagnesiumsulfat, $\text{K}_2\text{SO}_4 \cdot 2\text{CaSO}_4 \cdot \text{MgSO}_4 \cdot 2\text{H}_2\text{O}$, findet sich als Polyhalit und Krugit gewöhnlich in Form von faserigen, rötlich gefärbten Massen vor. Es wird durch Wasser unter Abscheidung von Calciumsulfat zersetzt.

Kainit, $\text{KCl} \cdot \text{MgSO}_4 \cdot 3\text{H}_2\text{O}$, bildet gelbliche, graue, körnige Massen, welche in sehr großen Mengen in der Staßfurter Abraumsalzschiebt und im Steinsalz von Kalusz in Galizien vorkommen. Vom theoretischen Standpunkt betrachtet, ist dies ein tetragenese, d. h. ein, abgesehen vom Kristallwasser, aus vier verschiedenen Ionen zusammengesetztes Salz.¹¹⁶⁾ Es sind für dasselbe zweierlei Formeln in Gebrauch, nämlich $\text{KCl} \cdot \text{MgSO}_4 \cdot 3\text{H}_2\text{O}$ und $\text{K}_2\text{SO}_4 \cdot$

$\text{MgSO}_4 \cdot \text{MgCl}_2 \cdot 6\text{H}_2\text{O}$. Solange man über die innere Konstitution solcher Salze nichts weiß, ist dem Verhalten gegen Wasser gemäß die erste Schreibweise als die einzig berechnete anzusehen, da der Kainit nur mit $\text{MgSO}_4 \cdot x\text{H}_2\text{O}$ und KCl als Komponenten bei allen Temperaturen neben Lösung existenzfähig ist. Ein solches tetragenes Doppelsalz zeigt ein doppeltes Gesicht, indem es auf der einen Seite ein Doppelsalz darstellt, auf der anderen den für die reziproken Salzpaare gültigen Sätzen folgen muß. Dementsprechend sind die Verhältnisse, welche bei der Bildung und Spaltung eines solchen Salzes herrschen, von viel komplizierterem Charakter als diejenigen bei einem dreionigen Doppelsalz. Diese Verhältnisse sind zwar beim Kainit noch nicht völlig aufgeklärt worden, doch sind manche wichtige Tatsachen bekannt.¹¹⁶⁾ Nach oben wird die Existenz des Kainits durch zwei Spaltungstemperaturen bei 85° resp. 76° begrenzt. Gemäß dem Umstande, daß Kainit plus Wasser ein aus vier Komponenten bestehendes System darstellt, verlangt das vollständige Gleichgewicht das Zusammentreten von fünf Phasen, und bei den Umwandlungspunkten hat man gleichzeitige Existenz von sechs Phasen. Bei 85° sind Kainit, KCl, Kieserit und Langbeinit neben Lösung und Dampf im Gleichgewicht, während als feste Phasen bei 76° Kainit, KCl, Kieserit und Carnallit vorhanden sind. Über die untere Grenze für das Auftreten von Kainit läßt sich nur sagen, daß derselbe neben zwei anderen Bodenkörpern und Lösung von 85° bez. 76° bis unterhalb 0°C wahrscheinlich existenzfähig ist. Die Bildungsart des Kainits im Salzlager ist zurzeit noch nicht bekannt; die praktischen Methoden zur Verarbeitung derselben lassen sich aber im Prinzip an der Hand des schon gewonnenen genau verfolgen.

Nach dem Prechtschen Verfahren¹¹¹⁾ wird Kainit bei $120\text{--}150^\circ$ mit Wasser oder Salzlösungen erhitzt; dadurch zerfällt es in Langbeinit, der als feines Kristallmehl ausfällt, während das den Kainit begleitende Chlornatrium unverändert zurückbleibt. Zu Westeregeln wird der Kainit mit 30proz. MgCl_2 -Lösung gekocht; die MgCl_2 -Lauge löst relativ mehr KCl als MgSO_4 auf und durch sukzessive Behandlung mit frischer Lauge wird der Kainit in ein dem Kieserit ähnlich zusammengesetztes Salz überführt.

Magnesiumthiosulfat, $\text{MgS}_2\text{O}_3 \cdot 6\text{H}_2\text{O}$, läßt sich durch anhaltendes Kochen einer konzentrierten MgSO_3 -Lösung mit Schwefel¹¹⁷⁾, sowie durch Behandlung einer Lösung von Magnesiumhydrosulfid mit Schwefligsäure und darauffolgendes Einengen über Schwefelsäure erhalten. Es kristallisiert in rhombischen Prismen, ist an der Luft beständig und im Wasser leicht löslich.

$\frac{1}{2} \text{MgS}_2\text{O}_3$	32	64	128	256	512	1024	Liter ³³⁾
$25^\circ \text{ Äqu.-Leitf.}$	94,1	105,1	113,9	122,2	128,8	135,2	

Kaliummagnesiumthiosulfat, $\text{K}_2\text{S}_2\text{O}_3 \cdot \text{MgS}_2\text{O}_3 \cdot 6\text{H}_2\text{O}$ ¹¹⁸⁾, kristallisiert aus einem Lösungsgemisch beim Einengen bei niedriger Temperatur. Es ist hygroskopisch, schmilzt im Kristallwasser beim Erhitzen auf etwa 100°C , wobei Schwefel abgeschieden wird. Das analoge Ammoniumsalz ist diesem sehr ähnlich.

Magnesiumselenat, MgSeO_4 , kristallisiert aus derselben Lösung je nach der Temperatur mit 6 und 7 Molekülen Wasser; dieselben sind den entsprechenden Sulfhydraten sehr ähnlich. Doppelselenate vom Typus $\text{M}_1\text{SeO}_4 \cdot \text{MgSeO}_4 \cdot 6\text{H}_2\text{O}$, welche mit den Doppelsulfaten isomorph sind, lassen sich leicht darstellen.

$\frac{1}{2} \text{MgSeO}_4$	32	64	128	256	512	1024	Liter ³³⁾
$25^\circ \text{ Äqu.-Leitf.}$	72,8	82,0	91,1	98,9	105,8	112,7	

Magnesiumnitrat, $\text{Mg}(\text{NO}_3)_2 \cdot 6\text{H}_2\text{O}$, scheidet sich aus wässriger Lösung¹¹⁹⁾ bei gewöhnlicher Temperatur in rhombischen Säulen und Nadeln ab. Die Kristalle zerfließen an feuchter Luft, an trockener geben sie Wasser ab, sie haben also einen H_2O -Dampfdruck, der bei gewöhnlicher Temperatur etwa dem mittleren Feuchtigkeitsgehalt der Luft gleichkommt. Das Hydrat schmilzt im Kristallwasser bei 90° und gibt beim Versuch, durch Eindunsten eine wasserärmere Modifikation zu erhalten, einen Brei, welcher bereits schwer lösliches basisches Salz enthält. Mit zunehmender Temperatur nimmt der dadurch angezeigte Salpetersäure-Verlust zu, es wird aber diese, sowie das Wasser, nur beim Glühen vollständig entfernt. Die Schmelzung des Hexahydrats bei 90° ist eine vollständige, und unterhalb dieser Temperatur ist das Salz daher imstande, zwei Reihen von gesättigten Lösungen zu liefern, von welchen die eine Reihe weniger, die andere mehr Wasser enthält, als das am Boden liegende Hexahydrat. Beim Abkühlen einer konzentrierten $\text{Mg}(\text{NO}_3)_2$ -Lösung auf -20° scheidet sich $\text{Mg}(\text{NO}_3)_2 \cdot 9\text{H}_2\text{O}$ aus; dasselbe geht schon bei -17° wieder in das Hexahydrat über.

Löslichkeitsdaten.¹²⁰⁾ Mole Wasser auf ein Mol Salz.

	-23°	$-20,5^\circ$	-18°					
$\text{Mg}(\text{NO}_3)_2 \cdot 9\text{H}_2\text{O}$	15,02	14,50	13,43					
	-18°	0°	18°	40°	80°	90°	$77,5^\circ$	67°
$\text{Mg}(\text{NO}_3)_2 \cdot 6\text{H}_2\text{O}$	13,43	12,38	11,23	9,73	7,11	6,0	4,31	3,95

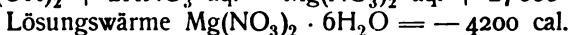
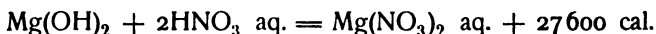
Leitvermögen 25°

$\frac{1}{2} \text{Mg}(\text{NO}_3)_2$:	32	64	128	256	512	1024	Liter ³³⁾
Äqu. Leitf.	104,6	111,0	115,7	119,0	122,9	125,6.	

Innere Reibung (Wasser = 1) 25° ¹⁰⁴⁾

1	0,5	0,25	0,125	g-äq./Liter
1,1706	1,0824	1,0396	1,0198	

Thermochemisches.



Magnesiumnitrit läßt sich durch Umsetzen von $\text{Ba}(\text{NO}_2)_2$ mit MgSO_4 in Lösung erhalten; beim Einengen im Wasserstoffstrom scheiden sich blättrige Kristalle $\text{Mg}(\text{NO}_2)_2 \cdot 3\text{H}_2\text{O}$ ab.¹²¹⁾

Magnesiumhypophosphit, $\text{Mg}(\text{H}_2\text{PO}_2)_2 \cdot 6\text{H}_2\text{O}$, wird aus dem entsprechenden Bariumsalz beim Versetzen mit MgSO_4 -Lösung und Einengen der entstehenden Lösung erhalten.¹²²⁾ Es bildet glänzende Oktaeder, die an der Luft schnell verwittern und beim Erhitzen unter Bildung von Phosphorwasserstoff, Magnesiumpyro- und -metaphosphat sich zersetzen. Es entsteht hier also aus einer mittleren Oxydationsstufe eine niedrigere und eine höhere von selbst (vgl. Allgemeiner Band: Oxydation).

Magnesiumphosphit entsteht in Form von kristallinen Krusten, wenn Magnesia mit verdünnter Phosphorigsäure aufgeköcht und die Lösung über Schwefelsäure eingetrocknet wird.¹²³⁾ Das Produkt enthält viel Wasser und beim Erhitzen zerfällt es unter Bildung von Wasserstoff, Phosphorwasserstoff und Magnesiumpyrophosphat mit Feuererscheinung.

Magnesiumorthophosphat, $\text{Mg}_3(\text{PO}_4)_2$, kommt in der Pflanzen- und Tierwelt öfters vor, wie in den Cerealien, Knochen, im Harn usw. In Verbindung mit Fluormagnesium tritt es als seltenes Mineral Wagnerit oder Pleuroklas auf. Im allgemeinen sind die Bedingungen für die Bildung des

normalen Phosphats durch das Zusammentreten von Mg^{++} - und PO_4''' -Ionen gegeben, etwa beim Vermischen von MgSO_4 -Lösung mit Trinatriumphosphat. Aus verdünnten Lösungen, welche durch Auflösen von $\text{MgSO}_4 \cdot 7\text{H}_2\text{O}$, $\text{Na}_2\text{HPO}_4 \cdot 12\text{H}_2\text{O}$ und NaHCO_3 (etwa im Molenverhältnis 3:2:2) im Wasser hergestellt worden sind, scheiden sich bei 10° Kristalle der Zusammensetzung $\text{Mg}_3(\text{PO}_4)_2 \cdot 22\text{H}_2\text{O}$ vom spezifischen Gewicht 1,640 aus. Bei $20-25^\circ$ und noch größerer Verdünnung erhält man monokline Kristalle von $\text{Mg}_3(\text{PO}_4)_2 \cdot 8\text{H}_2\text{O}$, spez. Gew. 2,195. Bei 100° verliert $\text{Mg}_3(\text{PO}_4)_2 \cdot 22\text{H}_2\text{O}$ 18 Moleküle Wasser, dagegen soll das Oktohydrat bei dieser Temperatur sein Kristallwasser festhalten.¹²⁴⁾

Bei wiederholtem Kochen des sauren Salzes $\text{MgHPO}_4 \cdot 7\text{H}_2\text{O}$ mit Wasser soll ein normales Salz der Zusammensetzung¹²⁵⁾ $\text{Mg}_3(\text{PO}_4)_2 \cdot 7\text{H}_2\text{O}$ erhalten werden. Das normale Phosphat ist in Wasser schwer löslich, in den starken Säuren leicht; die Löslichkeit in Säurelösungen ist durch die Bildung der schwach dissoziierten Phosphorsäure aus den PO_4''' -Ionen des Salzes und den H^+ -Ionen der starken Säure bedingt.

Das **Monohydroorthophosphat**, MgHPO_4 , vermag mit sehr verschiedenem Wassergehalt aufzutreten, je nach den Entstehungsumständen. Beim Vermischen von verdünnten MgSO_4 - und Na_3PO_4 -Lösungen und Stehenlassen bez. Einengen unterhalb 36° , kristallisiert die Verbindung $\text{MgHPO}_4 \cdot 14\text{H}_2\text{O}$ ¹²⁶⁾ in verwitternden sechsseitigen Säulen. Beim Kristallisieren oberhalb 36° entstehen Nadeln der Zusammensetzung $\text{MgHPO}_4 \cdot 6\text{H}_2\text{O}$ ¹²⁷⁾; dieses wird auch beim Aufbewahren des wasserreicheren Hydrats gebildet. Beim Fällen einer Mg -Lösung mit gewöhnlichem Natriumphosphat Na_2HPO_4 hat der Niederschlag der Zusammensetzung $\text{MgHPO}_4 \cdot 7\text{H}_2\text{O}$.¹²⁸⁾ Die zwischen diesen und anderen Hydraten bestehenden Beziehungen sind zurzeit nicht bekannt. Die Bildung des sauren Phosphats bei Zusatz von Na_2HPO_4 -Lösung, also einer durch das HPO_4'' -Ion charakterisierten Lösung, ist leicht ersichtlich; das Entstehen desselben bei Anwendung des normalen Trinatriumphosphats ist eben durch dieselbe Wirkung bedingt, da in dessen Lösung infolge Hydrolyse neben PO_4''' auch HPO_4'' in beträchtlicher Menge vorhanden sind.

Das **Dihydroorthophosphat**, $\text{Mg}(\text{H}_2\text{PO}_4)_2 \cdot 2\text{H}_2\text{O}$ ¹²⁹⁾, entsteht beim Auflösen von Magnesia in heißer konzentrierter übersättigter Phosphorsäure und Abkühlen der Lösung. Die sich abscheidenden Kristalle sind im Wasser sehr leicht löslich.

Ammoniummagnesiumphosphat, $\text{NH}_4\text{MgPO}_4 \cdot 6\text{H}_2\text{O}$, kommt in Form von rhombischen Kristallen in einigen Guanoarten vor. Es bildet sich beim Faulen des Harns und ist zuweilen die Veranlassung zur Bildung von Harnsteinen; Bedingungen für seine Entstehung sind das Zusammentreten von NH_4^+ , Mg^{++} und PO_4''' -Ionen wie beim Versetzen ammoniakalischer Mg -Lösung mit löslichem Orthophosphat. Es ist in Wasser schwer löslich, in NH_4 -Ionen enthaltendem NH_3 -Wasser noch weniger, da NH_4^+ die Löslichkeit isohydrisch herabdrückt und NH_3 die Hydrolyse verhindert. Die zur Lösung eines Teils nötigen Mengen Wasser bez. NH_3 -Wasser sind bei 15° folgende:¹³⁰⁾

Reines Wasser	13 Vol. Wasser	11 Vol. Wasser	11 Vol. Wasser
	11 Vol. konz. NH_3 -Lösg.	11 Vol. NH_3 -Lösg.	13 Vol. NH_3 -Lösg.
13500	36800	43100	52400.

Die Bildung des Phosphats dient zur quantitativen Bestimmung von Magnesium sowie Phosphorsäure; dazu muß die Lösung basisch sein, da das Phosphat selbst in Lösungen der schwachen Kohlensäure oder Schwefligsäure

ziemlich leicht löslich ist. Bei 100° verliert das Salz 5 Moleküle Wasser; beim Glühen wird es in Magnesiumpyrophosphat verwandelt. Ein analoges Kaliummagnesiumphosphat, $\text{KMgPO}_4 \cdot 6\text{H}_2\text{O}^{131)}$, wird beim Auflösen von Magnesia in saurem Kaliumphosphat in kleinen rhombischen Säulen erhalten.

Magnesiumpyrophosphat, $\text{Mg}_2\text{P}_2\text{O}_7$, bildet sich beim Glühen des sauren Orthophosphats oder des eben besprochenen NH_4MgPO_4 . Es kann bei sehr starker Glühhitze zum Schmelzen gebracht werden, ist aber bei dieser hohen Temperatur beständig. Wegen dieser Beständigkeit ist es von großer Bedeutung bei der Bestimmung von Mg und H_3PO_4 . Auf Zusatz von Natriumpyrophosphat zu Magnesiumsalzlösungen scheidet sich das Salz in kristallinischer Form als $\text{Mg}_2\text{P}_2\text{O}_7 \cdot 3\text{H}_2\text{O}$ aus. In den starken Säuren löst sich das Pyrophosphat auf und wandelt sich dabei zum Teil in das Orthophosphat um. Demgemäß bewirkt Ammoniakzusatz eine Fällung von NH_4MgPO_4 , aber die als Pyrophosphat vorhandene Phosphorsäure wird dabei nicht vollständig niedergeschlagen.

Die Mg-Salze der Metaphosphorsäure und der Polymetaphosphorsäuren entstehen im allgemeinen beim Versetzen einer Mg-Lösung mit den entsprechenden Alkalisalzen. Das hierüber Bekannte ist nur aus älteren Untersuchungen zu entnehmen und die beschriebenen Verbindungen haben in vielen Fällen eine ziemlich komplizierte Zusammensetzung; an dieser Stelle wird es genügen, auf die einfacheren Salze hinzuweisen.

Magnesiummetaphosphat, $\text{Mg}(\text{PO}_3)_2 \cdot 4\text{H}_2\text{O}$, wird beim Versetzen einer Mg-Lösung mit Ammoniummetaphosphat und Zusatz von Alkohol¹³²⁾ erhalten. Ferner entsteht es als unlösliches wasserfreies Pulver, wenn Magnesia mit überschüssiger Phosphorsäure auf 300° erhitzt wird.¹³³⁾ Das Dimetaphosphat $\text{MgP}_2\text{O}_6 \cdot 9\text{H}_2\text{O}^{134)}$ kristallisiert aus einer mit Ammoniumdimetaphosphat versetzten Mg-Lösung beim Stehenlassen; Zusatz von Weingeist beschleunigt die Kristallisation. Es ist im Wasser nur wenig löslich. Ein Trimetaphosphat läßt sich auch auf solchem Wege erhalten.

Magnesiumorthoarsenat fällt als weißer, schwer löslicher Niederschlag beim Versetzen einer Mg-Lösung mit Trinatriumarsenat (AsO_4''' -Ionen) aus. Die zwei wasserhaltigen Formen $\text{Mg}_3(\text{AsO}_4)_2 \cdot 8\text{H}_2\text{O}$ und $\text{Mg}_3(\text{AsO}_4)_2 \cdot 22\text{H}_2\text{O}$ sind den entsprechenden Phosphaten ganz analog. Bei 100° verliert letzteres $17\text{H}_2\text{O}$, dagegen ist das Oktohydrat beständig. Das Hydroarsenat $\text{MgHAsO}_4 \cdot 5\text{H}_2\text{O}$ kristallisiert aus schwach saurer Lösung¹³⁵⁾, wie dieselbe z. B. durch Auflösung von $\text{MgNH}_4\text{AsO}_4$ in Essigsäure erhalten wird.

Ammoniummagnesiumarsenat, $\text{NH}_4 \cdot \text{MgAsO}_4 \cdot 6\text{H}_2\text{O}$, ist dem entsprechenden Phosphat sehr ähnlich und entsteht unter genau ähnlichen Bedingungen. Es ist im Wasser nur wenig löslich (ein Teil auf 600 Teile Wasser) und in NH_3 -Wasser noch weniger. Die Bildung desselben dient manchmal in der Analyse zur quantitativen Abscheidung der Arsensäure; dabei wird es durch Erhitzen in das zur Wägung geeignete Magnesiumpyroarsenat $\text{Mg}_2\text{As}_2\text{O}_7$ verwandelt.

Magnesiummetaantimonat, $\text{Mg}(\text{SbO}_3)_2 \cdot 12\text{H}_2\text{O}^{136)}$, kristallisiert aus einer Mg-Lösung, welche mit Natriummetaantimonat versetzt worden ist, beim Einengen und Stehenlassen in der Kälte.

Magnesiumcarbonat, MgCO_3 , findet sich in der Natur als Magnesit, das ferner als Bitterspat oder Talkspat bekannt ist, in Rhomboedern, sowie in derben Massen vor. In Verbindung mit Calciumcarbonat bildet es Dolomit und kommt auch in isomorpher Mischung mit dem Calciumsalz öfters

vor. Die großen natürlichen Ablagerungen sind unzweifelhaft in vielen Fällen auf die Abscheidung der Carbonate aus CO_2 -haltigem Wasser durch lang-sames Entweichen der Kohlensäure zurückzuführen; die sedimentäre Natur der Schichten weist deutlich auf diese Bildungsweise hin.

Bei der Darstellung des wasserfreien Carbonats auf nassem Wege hat man die Tendenz desselben, in wasserhaltigen Formen aufzutreten, sowie diejenige zur Hydrolyse unter Abspaltung von CO_2 zu berücksichtigen. Dieselbe gelingt¹³⁷⁾, falls eine CO_2 -haltige Lösung des Carbonats in einem mit porösen Stopfen versehenen Gefäß auf etwa 150° , oder Magnesiumsulfat mit kohlensaurem Natrium im zugeschmolzenen Rohr erhitzt wird; bei dieser Arbeitsweise werden die sonstigen CO_2 -Verluste zum Teil oder völlig verhindert. Das Carbonat verliert CO_2 leicht beim Erhitzen, die Reaktion ist bei gegebener Temperatur eine reversible und zu jeder Temperatur gehört eine gewisse CO_2 -Dissoziationsspannung und beim Überschreiten dieses CO_2 -Druckes findet CO_2 -Absorption statt. Bei gegebener Temperatur ist diese Spannung bedeutend größer wie beim analogen Calciumcarbonat und schon bei 200° läßt sich MgCO_3 praktisch vollständig in das Oxyd überführen, obgleich in manchen Fällen wohl wegen mechanischer Einschlüsse noch bei Rotglut etwas Kohlensäure festgehalten wird. In reinem Wasser ist es nur wenig löslich, in CO_2 -haltigem wegen Bildung von Hydrocarbonat $\text{Mg}(\text{HCO}_3)_2$ viel leichter (s. u.). Beim Kochen mit Wasser wird das hydrolytisch abgespaltene CO_2 langsam abgegeben⁶⁸⁾, wenn es fort diffundieren und deshalb den Dissoziationsdruck nicht erreichen kann. In MgSO_4 -Lösung ist es auffälligerweise viel löslicher als in reinem Wasser, vielleicht weil dadurch ein löslicheres niedrigeres Hydrat des Bodenkörpers erzeugt wird. Möglicherweise ist der Grund dafür auch in der Bildung von Komplex-Ionen bez. -Molekülen zu suchen.

Aus wässriger Lösung bei nicht zu hoher Temperatur kristallisiert das Carbonat je nach den Umständen mit mehr oder weniger Wasser. Bei Temperaturen unterhalb etwa 16° scheidet sich das Pentahydrat $\text{MgCO}_3 \cdot 5\text{H}_2\text{O}$ ¹³⁸⁾ in durchsichtigen monoklinen Kristallen aus. Zur Darstellung wird eine CO_2 -haltige Lösung des Carbonats an der Luft stehen gelassen oder eine MgCO_3 enthaltende MgSO_4 -Lösung bei niedriger Temperatur eingeeengt. In der Mutterlauge aufbewahrt, bleiben die Kristalle unterhalb 16° unverändert; oberhalb dieser Grenze tritt Umwandlung ein und es bildet sich das Trihydrat. Das Pentahydrat verwittert an der Luft; bei etwa 5° löst sich ein Teil Salz in 600 Teilen Wasser auf; es ist viel leichter löslich in CO_2 -Wasser wegen Hydrocarbonatbildung, in MgSO_4 (s. o.), in Alkalicarbonat oder Alkalibicarbonatlösung wegen Doppelsalzbildung.

Das Trihydrat, $\text{MgCO}_3 \cdot 3\text{H}_2\text{O}$, scheidet sich aus Lösung beim Kristallisieren oberhalb Zimmertemperatur ab. Zur Darstellung¹³⁹⁾ desselben wird eine Mg -Lösung mit Natriumbicarbonat versetzt und die erhaltene Lösung stehen gelassen, oder beim Versetzen mit Natriumcarbonat wird der amorphe Niederschlag einige Tage mit der Mutterlauge in Berührung gelassen, wonach rhombische Nadeln von Trihydrat auftreten. Zusatz von Alkohol zu einer Lösung des Hydrocarbonats bewirkt auch die Abscheidung eines zunächst flockigen, bald kristallinisch werdenden Niederschlags von $\text{MgCO}_3 \cdot 3\text{H}_2\text{O}$.¹⁴⁰⁾ Diese lassen sich mit Wasser nur kurze Zeit ohne erhebliche Zersetzung auswaschen, bei längerer Einwirkung bildet sich Hydroxyd. Ganz genaue Daten für die Löslichkeit von $\text{MgCO}_3 \cdot 3\text{H}_2\text{O}$ in CO_2 -freiem Wasser sind nicht zu ermitteln, weil das Hydrat und Wasser kein stabiles System bilden. Die hydrolytische

Zersetzung tritt aber nur langsam ein, und es gelingt in der Tat, Lösungen herzustellen, welche an $\text{MgCO}_3 \cdot 3\text{H}_2\text{O}$ praktisch gesättigt sind.

In Molen pro Liter¹⁴¹⁾ beträgt die Löslichkeit bei

15°	25°	35°
0,0095	0,0087	0,0071

Aus der mit steigender Temperatur abnehmenden Löslichkeit folgt, daß das Trihydrat unter Wärmeentwicklung sich auflösen muß. An der Luft ist das Hydrat beständig, im trocknen Raume tritt Wasserverlust ein.

Aus denselben Lösungen, welche das Penta- bez. Trihydrat liefern, kristallisiert bei höherer Temperatur das Monohydrat $\text{MgCO}_3 \cdot \text{H}_2\text{O}$ ¹³⁹⁾; auch zwei andere Hydrate mit 2 resp. 4 Molekülen Wasser sind beschrieben worden, deren Entstehungs- und Existenzbedingungen jedoch nicht genau festgestellt sind.

Basische Carbonate. Das Magnesium liefert ferner eine Reihe von „basischen Carbonaten“, welche im allgemeinen beim Versetzen einer Mg-Lösung mit Alkalicarbonat gebildet werden. Es ist aber nichts weniger als sicher gestellt, daß es sich nicht vielmehr um bloße Gemische von Hydroxyd und Carbonat handelt; denn es treten nicht nur Mg^{++} - und CO_3^{--} -Ionen in Wirkung, sondern das in der Carbonatlösung durch Hydrolyse vorhandene OH^- -Ion nimmt auch an der Fällung teil, da das Löslichkeitsprodukt des Hydroxyds noch kleiner als das des Carbonats ist. Die Zusammensetzung der basischen Verbindung ist nicht konstant, sondern hängt von den äußeren Umständen wie Temperatur und Konzentration der Lösungen ab. Je höher die Temperatur und je größer die Verdünnung, desto mehr tritt der Einfluß der OH^- -Ionen hervor und desto größer ist der Hydroxydgehalt des sich ausscheidenden Carbonats. Mindestens zum Teil also hängt die Bildung eines basischen Carbonats von der Schwäche der Kohlensäure und der dadurch bedingten hydrolytischen Spaltung ab. Daß unter einigermaßen konstanten Bedingungen die Zusammensetzung des Niederschlags ziemlich konstant ist, beweist natürlich nichts für eine etwaige chemische Individualität, die erst auf Grund phasentheoretischer Studien ermittelt werden könnte.

Magnesia alba, das wohl bekannte basische Salz, findet sich gelegentlich in der Natur als Hydromagnesit in monoklinen Kristallen vor, z. B. am Vesuv und zu Hoboken in New Jersey. Das synthetische Produkt findet vielfache Verwendung, so in der Medizin, in der Zahn- und Putzpulver-Technik und zur Darstellung des Oxyds und anderer Mg-Salze.

Die Zusammensetzung ändert sich nach der Darstellungsmethode, wird aber annähernd durch die Formel $3\text{MgCO}_3 \cdot \text{Mg}(\text{OH})_2 \cdot 3\text{H}_2\text{O}$ oder $4\text{MgCO}_3 \cdot \text{Mg}(\text{OH})_2 \cdot 4\text{H}_2\text{O}$ zum Ausdruck gebracht.

Das basische Salz bildet sich wie schon erwähnt, und desgleichen, wenn das normale Salz $\text{MgCO}_3 \cdot 3\text{H}_2\text{O}$ mit Wasser bezw. eine Lösung des Carbonats in CO_2 -Wasser zum Sieden erhitzt wird. Der entstehende Niederschlag wird mit neuen Mengen Wasser ausgekocht und darauf getrocknet.¹³⁸⁾

Zur technischen Gewinnung¹⁴²⁾ dienen als Rohmaterial Mineralwässer und Mutterlaugen des Meerwassers. Nach Entfernung des etwa vorhandenen Calciums wird die Meereslauge eingeengt und das Chlormagnesium auskristallisiert. Letzteres wird dann im Wasser aufgelöst, von Eisen befreit und unter heftigem Umrühren, um Klumpenbildung zu verhindern, mit Soda-lösung vermischt. Nach eintägigem Stehenlassen wird der abgesetzte Niederschlag mehrere Male gewaschen, zusammengepreßt, und darauf in kupfernen

Pfannen erhitzt. Das Produkt wird darauf durch Liegenlassen an der Luft oder in besonderen Kammern getrocknet. Dolomit dient ebenfalls als Ausgangsmaterial. Er wird dazu geglüht und mit Wasser und Kohlensäure unter Druck behandelt.¹⁴³⁾ Die entstehende Lösung enthält neben Mg nur wenig Ca und nach dem Absetzenlassen des ungelösten Calciumcarbonats wird die Lösung zum Kochen erhitzt oder mit Wasserdampf behandelt, wobei sich die basische Verbindung ausscheidet.

Die Magnesia alba ist ein weißes Pulver, das leicht beim Erhitzen seine Kohlensäure verliert, in reinem Wasser wenig, in vielen Salzlösungen leichter löslich und besonders leicht in CO_2 -Wasser und Ammoniumsalzlösungen aus mehrfach oben erörterten Gründen.

Viele andere basische Verbindungen findet man in der Literatur beschrieben; von einer chemischen Individualität der meisten kann aber sicherlich nicht die Rede sein. Ein basischeres Produkt der Zusammensetzung $2\text{MgCO}_3 \cdot \text{Mg}(\text{OH})_2 \cdot 2\text{H}_2\text{O}$ entsteht, wenn Mg-Lösung mit großem Überschuß von Alkalicarbonat gefällt wird, der Niederschlag mit der Lösung und darauf mit reinem Wasser aufgekocht wird.¹³⁹⁾

Magnesiumhydrocarbonat, $\text{Mg}(\text{HCO}_3)_2$, existiert in kohlensauen Lösungen des Carbonats. Dadurch erklärt¹⁴⁴⁾ sich die erhöhte Löslichkeit des Carbonats, indem die CO_3'' unter Bildung von HCO_3' -Ionen aufgebraucht werden; dadurch wird das dem Sättigungszustande entsprechende Gleichgewicht gestört und es geht weiteres Magnesiumcarbonat in Lösung, bis endlich der maximale Wert des Ionenprodukts $\text{Mg}'' \times \text{CO}_3''$, das Löslichkeitsprodukt $25,7 \cdot 10^{-6}$, erreicht wird. Folgende Zahlen¹⁴⁵⁾ geben die Löslichkeit des dreifach gewässerten Carbonats $\text{MgCO}_3 \cdot 3\text{H}_2\text{O}$ bei Sättigung der Lösung mit CO_2 unter verschiedenem Druck und bei einer Temperatur von 12° .

CO_2 -Druck in Atmosphären	0,5	1	1,5	2	2,5	3	4	6
Mole MgCO_3 pro Liter	0,255	0,325	0,379	0,416	0,444	0,465	0,518	0,612

Für CO_2 -Druck gleich einer Atmosphäre und verschiedener Temperatur sind die Werte

Temperatur	$3,5^\circ$	12°	18°	30°	40°	50°
Mole MgCO_3 pro Liter	0,422	0,314	0,262	0,187	0,143	0,112

Unter Benutzung der Engleschen Zahlen für die Löslichkeit von $\text{MgCO}_3 \cdot 3\text{H}_2\text{O}$ in CO_2 -haltigem Wasser hat Bodländer¹⁴⁴⁾ diese Lösungen einer theoretischen Behandlung unterworfen und die Abhängigkeit des Mg-Gehalts vom CO_2 -Druck aus bekannten Grössen berechnet.

Bei Sättigung von $\text{MgCO}_3 \cdot 3\text{H}_2\text{O}$ muß die Gleichung gelten:

$$\text{Mg}'' \cdot \text{CO}_3'' = k_1.$$

Durch Einleiten von CO_2 wächst die Mg'' -Konzentration und gleichzeitig verringert sich die CO_3'' -Konzentration. Letzteres geschieht dadurch, daß die Kohlensäure durch elektrolytische Dissoziation H-Ionen abspaltet und dass diese sich weitgehend mit den CO_3'' -Ionen zu HCO_3' -Ionen vereinigen. Es gelten dabei folgende Gleichungen:

$$k_2 \cdot \text{H}_2\text{CO}_3 = \text{H} \cdot \text{HCO}_3'$$

$$k_3 \cdot \text{HCO}_3' = \text{H} \cdot \text{CO}_3''.$$

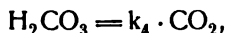
Aus den beiden letzten erhält man

$$k_2 \cdot \text{H}_2\text{CO}_3 \cdot \text{CO}_3'' = k_3 (\text{HCO}_3')^2$$

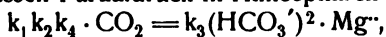
und die Kombination mit der ersten Gleichung ergibt

$$k_1 \cdot k_2 \cdot \text{H}_2\text{CO}_3 = k_3 (\text{HCO}_3')^2 \cdot \text{Mg}''.$$

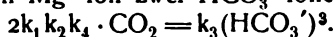
Nach dem Henryschen Gesetz hat man ferner



wo die Formel CO_2 dessen Partialdruck in Atmosphären bedeutet; daraus folgt:



und da annähernd jedem Mg^{++} -Ion zwei HCO_3' -Ionen entsprechen



Durch Einsetzung der bekannten Werte für k_2 , k_3 und k_4 (resp. $3,04 \cdot 10^{-7}$, $1,295 \cdot 10^{-11}$ und $4,92 \cdot 10^{-2}$) erhält man

$$\sqrt[3]{k_1} = 0,0756 \frac{\text{HCO}_3'}{\sqrt[3]{\text{CO}_2}}$$

eine Gleichung, in welcher die Konzentration der HCO_3' -Ionen (und demnach der ihnen äquivalente Mg -Gehalt) in den Lösungen mit dem CO_2 -Druck verbunden wird.

Nachstehende Tabelle enthält die berechneten Werte von $\sqrt[3]{k_1}$ für verschiedenen CO_2 -Druck (Kolonne 1). Bei Berechnung der Konzentration der HCO_3' -Ionen aus den Gesamtlöslichkeiten (Kolonne 2) ist die konstant bleibende Menge des undissoziierten MgCO_3 (0,0050 Mole) abzuziehen und der Rest mit dem entsprechenden Werte der elektrolytischen Dissoziation (Kolonne 3) zu multiplizieren. Dadurch sind die unter Mg^{++} und HCO_3' stehenden Zahlen erhalten worden.

CO_2 -Druck (Atmosphäre)	MgCO_3 Mol/Lit.	α	Mg^{++} g-Ion/Lit	HCO_3' g-Ion/Lit	$\sqrt[3]{k_1}$
0,5	0,255	0,62	0,155	0,310	0,0295
1,0	0,325	0,61	0,195	0,390	0,0295
1,5	0,379	0,59	0,221	0,442	0,0291
2,0	0,416	0,58	0,238	0,476	0,0286
2,5	0,444	0,57	0,250	0,500	0,0279
3	0,465	0,56	0,258	0,516	0,0270
4	0,518	0,55	0,284	0,568	0,0270
6	0,612	0,52	0,316	0,632	0,0263

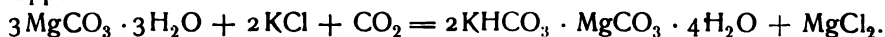
In Anbetracht der möglichen Fehlerquellen zeigen die Werte für $\sqrt[3]{k_1}$ eine befriedigende Übereinstimmung, weisen aber einen Gang auf, der wohl auf die unvollkommene Kenntnis der elektrolytischen Dissoziation und die Nichtigkeit des Henryschen Gesetzes bei den höheren Drucken zurückzuführen ist. Unter Benutzung der Zahlen der Versuche 1—4 erhält man für das Löslichkeitsprodukt $\text{Mg}^{++} \cdot \text{CO}_3^{--}$ den Wert $25 \cdot 10^{-6}$.

Mit den Alkalimetallen liefert das Magnesium eine Reihe von Doppelcarbonaten; mit Kalium und Ammonium sind Salze vom Typus



erhalten worden, während diesen analoge Na-Salze sich nicht darstellen lassen.

Kaliumhydromagnesiumcarbonat, $\text{KHCO}_3 \cdot \text{MgCO}_3 \cdot 4\text{H}_2\text{O}$, beansprucht ein erhöhtes Interesse wegen des in Aufnahme gekommenen Magnesia-Pottasche-Verfahrens¹⁴⁶⁾, nach welchem K_2CO_3 unmittelbar aus dem Staßfurter KCl erzeugt wird. Wird dreifach gewässertes Magnesiumcarbonat in gesättigter KCl-Lösung suspendiert und CO_2 eingeleitet, so scheidet sich das Doppelsalz in kristallinischer Form aus nach



Durch Erhitzen mit Wasser unter Druck bei etwa 140° oder durch einfaches Glühen wird das Doppelsalz unter Bildung von Kaliumcarbonat zersetzt.

Das Doppelsalz entsteht ferner, falls eine Mg-Lösung mit überschüssigem Kaliumbicarbonat behandelt wird¹⁴⁷⁾ etwa nach der Gleichung:



In Berührung mit kaltem Wasser geht das Doppelsalz zunächst als solches in Lösung, es tritt aber bald Zersetzung ein und $\text{MgCO}_3 \cdot 3\text{H}_2\text{O}$ (bezw. $\text{MgCO}_3 \cdot 5\text{H}_2\text{O}$) fällt aus:

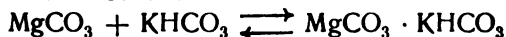


Wie durch die Pfeile angedeutet, ist diese Umwandlung eine reversible; bei der Einwirkung von Kaliumbicarbonat auf $\text{MgCO}_3 \cdot 3\text{H}_2\text{O}$ wird umgekehrt das Doppelsalz erhalten.

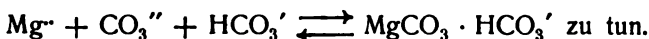
Die Bedingungen für die Existenz des Doppelsalzes neben Lösung ergeben sich zum Teil aus Löslichkeitsbestimmungen von Auerbach.¹⁴¹⁾ Der Mg-Gehalt von an $\text{MgCO}_3 \cdot 3\text{H}_2\text{O}$ gesättigten KHCO_3 -Lösungen steigt zuerst mit dem K-Gehalt proportional. Bei einer bestimmten, von der Temperatur abhängigen Konzentration wird die Lösung gleichzeitig an $\text{MgCO}_3 \cdot 3\text{H}_2\text{O}$ und Doppelsalz gesättigt und bei weiterer Zunahme der KHCO_3 -Konzentration verschwindet das $\text{MgCO}_3 \cdot 3\text{H}_2\text{O}$ und die erhaltenen Lösungen sind an Doppelsalz allein gesättigt. Der Mg-Gehalt der an Doppelsalz gesättigten Lösungen sinkt dann beständig, wenn die KHCO_3 -Konzentration vergrößert wird. Bei graphischer Darstellung hat man zwei sich schneidende Kurvenäste und im Schnittpunkt liegt Sättigung an $\text{MgCO}_3 \cdot 3\text{H}_2\text{O}$ und Doppelsalz vor. Die Zusammensetzung der an beiden gesättigten Lösungen ist

	K-Gehalt	Mg-Gehalt
15°	0,2681 Mol/Liter	0,0192 Mol/Liter
25°	0,3906 „	0,0196 „
35°	0,5088 „	0,0184 „

Molekulartheoretisch betrachtet hat man in den Lösungen mit einem Gleichgewicht nach dem Schema



oder



Die unter dieser Annahme aus den Löslichkeitsdaten berechneten Werte der Komplexkonstante $k = \frac{\text{Mg}'' \cdot \text{CO}_3'' \cdot \text{HCO}_3'}{(\text{MgCO}_3 \cdot \text{HCO}_3')}$, stimmen gut miteinander überein. Bei 25° erhält man im Mittel $k = 2,6 \cdot 10^{-3}$.

Kaliummagnesiumcarbonat, $\text{K}_2\text{CO}_3 \cdot \text{MgCO}_3 \cdot 4\text{H}_2\text{O}$, läßt sich ebenfalls durch Digerieren von $\text{MgCO}_3 \cdot 3\text{H}_2\text{O}$ mit Kaliumbicarbonat-Lösung bei $60-70^{\circ}$ in Form von rhombischen Prismen erhalten. Ferner entsteht es¹⁴⁸⁾ beim Behandeln von MgCl_2 -Lösung mit überschüssiger konzentrierter K_2CO_3 -Lösung. Durch Wasser wird es leicht zersetzt und ist daher nur bei Anwendung konzentrierter Lösung zu erhalten. Mit Wasser aufgeköcht bildet es *Magnesia alba*.

Die analogen Ammoniumsalze entstehen auf ähnliche Weise. Das saure Salz läßt sich nicht so leicht erhalten, wird durch Wasser sofort zersetzt und beim Liegen an der Luft geht es bald unter Abgabe von NH_3 , CO_2 und H_2O in $\text{MgCO}_3 \cdot 3\text{H}_2\text{O}$ über.¹⁴⁸⁾ Aus Mg enthaltenden Ammoniumcarbonat-Lösungen scheidet sich im allgemeinen das beständigere $(\text{NH}_4)_2\text{CO}_3 \cdot \text{MgCO}_3 \cdot 4\text{H}_2\text{O}$ ¹⁴⁹⁾ ab.

Natriummagnesiumcarbonat, $\text{Na}_2\text{CO}_3 \cdot \text{MgCO}_3$, läßt sich durch anhaltendes Digerieren von Magnesiaalba mit Natriumbicarbonat- oder von $\text{MgCO}_3 \cdot 3\text{H}_2\text{O}$ mit überschüssiger Natriumsesquicarbonat-Lösung bei $60-70^\circ$ erhalten.¹⁴⁷⁾ Es bildet kleine tetragonale Kristalle, die durch kaltes Wasser nur wenig angegriffen werden. Kochendes Wasser wirkt darauf ein, aber immerhin gehen bei 100° und nicht zu langer Einwirkung nur ganz kleine Mengen Na_2CO_3 in Lösung. Bei niedriger Temperatur ist das Salz mit 15 Molekülen Wasser durch Auskristallisieren erhalten worden.

Calciummagnesiumcarbonat, $\text{CaCO}_3 \cdot \text{MgCO}_3$, kommt als Dolomit in der Natur in hexagonalen Rhomboedern vor. Es wurde früher nicht als definierte Verbindung, sondern als isomorphe Mischung der Komponenten angesehen. Die konstante Zusammensetzung und die nahe Übereinstimmung mit dem äquimolaren Verhältnis spricht jedoch gegen diese Ansicht, und ferner ist jetzt bekannt, daß der Dolomit mit den einfachen Carbonaten nicht isomorph ist, sondern einer anderen Gruppe des trigonalen Systems angehört. Die Dichte des Dolomits stimmt auch mit dem aus den Dichten der Komponenten berechneten Mittel nicht überein und dasselbe gilt auch für andere Eigenschaften. Es gibt jedoch verschiedene Arten von Kalkspat, welche relativ kleine Mengen von MgCO_3 in wirklicher isomorpher Mischung enthalten. In solchen aber beträgt der Gehalt an MgCO_3 höchstens einige Prozente.

Im Laboratorium läßt sich die Doppelverbindung durch Erhitzen von CaCO_3 mit Bittersalz im zugeschmolzenen Glasrohr bei 200° , oder durch mehrstündiges Glühen von CaCO_3 und MgCl_2 im verschlossenen Eisengefäß¹⁵⁰⁾, wobei CO_2 nicht zu entweichen vermag, darstellen. Beim Glühen verliert der Dolomit Kohlensäure; durch Wasser sowie kalte verdünnte Säuren wird er kaum merklich verändert; allerdings zeigt die Formation der Dolomitpalpen, daß merkliche Wasserlöslichkeit vorhanden ist. Auf 400° erhitzt und nach Abkühlen mit Wasser in Berührung gebracht, bildet sich eine harte, zementartige Masse.

Magnesiumsilicate. Unter den im Mineralreiche vorkommenden Kieselsäureverbindungen sind die meisten als Derivate der Polykieselsäuren anzusehen, doch finden sich Salze der Ortho- und Metakieselsäure vor.

Obgleich die eigentliche Konstitution dieser Mineralsilicate nicht bekannt ist, ist es gelungen, einige derselben im Laboratorium darzustellen. Die in wässriger Lösung der Alkalisilicate auf Zusatz von Mg-Lösung sich bildenden gallertartigen Niederschläge sind wohl Magnesiumsilicate, und es soll auf diese Weise die Verbindung $\text{MgSi}_2\text{O}_5 \cdot 2\text{H}_2\text{O}$ sowie das normale Metasilicat $\text{MgSiO}_3 \cdot x\text{H}_2\text{O}$ erhalten werden. Diese sind aber den natürlichen Silicaten gegenüber von geringem Interesse.

Olivin Mg_2SiO_4 und Enstatit MgSiO_3 sind als die normalen Mg-Salze der Ortho- bzw. Metakieselsäure anzusehen. Ersteres bildet rhombische Kristalle oder derbe Massen, die öfters durch Beimengungen schön gefärbt sind und als Edelsteine Verwendung finden. Der Olivin ist durch Erhitzen einer Mischung von Magnesia, Kieselsäure und Borsäure, oder durch Zusammenschmelzen von den zwei ersten mit Chlormagnesium, und der Enstatit auf ähnliche Weise synthetisch dargestellt worden.

Talk und Steatit (Speckstein) haben dieselbe prozentische Zusammensetzung und unterscheiden sich nur im physikalischen Habitus voneinander. Chemisch sind sie als das saure Salz der Metakieselsäure von der Formel

$\text{Mg}_3\text{H}_2(\text{SiO}_3)_4$ aufzufassen. In reinem Zustand bildet der Talk ein schneeweißes sehr weiches Material, das eine deutliche kristallinische Struktur aufweist. Es findet vielfache Anwendung z. B. als Schmier- und Poliermittel bei der Papierfabrikation, zum Zeichnen auf Glas, Tuch usw.

Steatit ist eine dichte, massive, weniger deutlich kristallinische Modifikation des Talkes und dient außerdem zu Skulpturarbeiten, zur Herstellung von Schachtofengestellten, Herdmauern usw.

Serpentin ist wesentlich ein Magnesiumsilicat, welches in reinem Zustande der Formel $3\text{MgO} \cdot 2\text{SiO}_2 \cdot 2\text{H}_2\text{O}$ entspricht. Seinem chemischen Verhalten nach kann es als ein basisches Orthosilicat aufgefaßt und durch die Formel $\text{Mg}_2(\text{MgOH})\text{H}_3(\text{SiO}_4)_2$ dargestellt werden. Als Mineral ist es gewöhnlich durch fremde Metalle (Eisen) dunkelgrün oder rötlich gefärbt und verschiedenartig gesprenkelt; es findet zur Herstellung von Kunstgegenständen vielfache Anwendung. An frischer Bruchfläche ist es ziemlich weich, erhärtet aber beim Liegen an der Luft. Ferner dient es zur Darstellung von Mg-Salzen und wegen seiner Beständigkeit bei hoher Temperatur wird es zum Aufbau von Ofenmauern verwendet.

Meerschaum (Sepiolit) ist in reinem Zustand ein Silicat der Zusammensetzung $2\text{MgO} \cdot 3\text{SiO}_2 \cdot 2\text{H}_2\text{O}$. Es kommt in kompakten Massen von weißer oder grauweißer Farbe vor, und wird öfters von Magnesit begleitet. Es ist ein leichtes (spez. Gew. 0,99—1,28) und ziemlich weiches Mineral (Härte 2—2,5) und dient zu Schnitzereien, zur Herstellung von Pfeifenköpfen und Zigarrenspitzen, als Zusatz bei der Porzellanfabrikation usw.

Asbest (Amianth), eine Art Amphibol, ist in chemischer Hinsicht ein Silicat, in dem Mg und Ca die wesentlichen basischen Bestandteile bilden. In sehr reiner Form kommt es als Bostonit¹⁵¹⁾ in Kanada vor. Er wird vielfach zur Fabrikation feuerbeständiger Materialien gebraucht.

Magnesiumborate. An Borsäure gebunden tritt Magnesium in der Natur in mehreren, manchmal ziemlich komplizierten Verbindungsformen auf, so z. B. als Pinnoit $\text{MgB}_2\text{O}_4 \cdot 3\text{H}_2\text{O}$, Kaliborit $\text{KMg}_2\text{B}_{11}\text{O}_{19} \cdot 9\text{H}_2\text{O}$ und Boracit $2\text{Mg}_3\text{B}_9\text{O}_{15} \cdot \text{MgCl}_2$, die alle im Staßfurter Lager vorkommen. Das Orthoborat $3\text{MgO} \cdot \text{B}_2\text{O}_3$ ist ebenso wie das Pyroborat $2\text{MgO} \cdot \text{B}_2\text{O}_3$ auf pyrochemischem Wege^{151a)} erhalten worden, auf nassem Wege lassen sich das Metaborat sowie verschiedene Polyborate synthetisch darstellen.

Das Salz $\text{MgO} \cdot 3\text{B}_2\text{O}_3 \cdot 7\text{H}_2\text{O}$ ¹⁵²⁾ erhält man durch Absättigen einer Borsäure-Lösung mit Magnesia in der Wärme und Einengen der Lösung bei 60—70°.

Das Metaborat $\text{MgO} \cdot \text{B}_2\text{O}_3 \cdot 8\text{H}_2\text{O}$ ¹⁵²⁾ scheidet sich als weißer amorpher Niederschlag ab, wenn eine Mg-Lösung in der Wärme mit der äquivalenten Menge Borax versetzt wird.

Wird diese Verbindung in Berührung mit wasseranziehenden Mitteln, etwa konzentrierter MgCl_2 -Lösung, längere Zeit auf dem Wasserbade behandelt, so wandelt sich dieselbe in feine Nadeln von Pinnoit $\text{MgO} \cdot \text{B}_2\text{O}_3 \cdot 3\text{H}_2\text{O}$ ¹⁵²⁾ um. Um Verzögerungen auszuschließen, gibt man zu Anfang eine Spur Pinnoit in die Lösung. Längeres Erhitzen des Oktohydrats für sich allein bei 100° führt auch zum Pinnoit.

Kaliborit tritt im Salzlager neben Pinnoit und Kainit auf, und diese Tatsache führt zu der Ansicht, daß derselbe als Umwandlungsprodukt des Pinnoits unter dem Einfluß einer an Kainit gesättigten Lösung aufzufassen ist. Dementsprechend ist gefunden worden, daß Pinnoit, Chlorkalium und

Borsäure bei 100° aufeinander unter Bildung von Kaliborit wirken. Dieser Beobachtung gemäß wird zur Darstellung eine Kaliumborat und Chlormagnesium enthaltende Lösung auf 100° erwärmt, und Borsäure und Chlorkalium in berechneten Mengen hinzugegeben¹⁵³⁾; nach tagelangem anhaltenden Erwärmen wandelt sich das am Boden befindliche Salz in Kaliborit um. Die konsequente Ausarbeitung solcher Darstellungsmethoden unter sachgemäßer Anwendung der Hilfsmittel der Gleichgewichtslehre bildet ein schönes Beispiel von der Möglichkeit der Laboratoriumsdarstellung vieler in der Natur vorhandenen komplexen Körper.

Boracit tritt in der Carnallitregion im Staßfurter Lager auf. Derselbe ist künstlich dargestellt worden, erstens auf trockenem Wege durch Zusammenschmelzen von Magnesia, Borsäure, $MgCl_2$ und $NaCl$, und zweitens auf nassem Wege¹⁵⁴⁾ durch Erhitzen von Borax mit Chlormagnesium und wenig Wasser im verschlossenen Rohre bei 270–280° C.

Diese Entstehungsweisen sind bei der natürlichen Bildung im Salzlager ausgeschlossen und die künstliche Nachbildung des Naturprozesses ist noch nicht gelungen.

Beim Erhitzen unterliegt der Boracit einer eigentümlichen Umwandlung, indem die rhombischen Kristalle bei etwa 260° plötzlich regulär werden.¹⁵⁵⁾ Die Umwandlung zeigt sich sehr scharf vermittelt des Polarisationsmikroskops und gibt sich auch durch eine Wärmeabsorption zu erkennen. Versuche mit dem Dilatometer haben gezeigt, daß die Temperatur der Umwandlung bei 266° liegt und von einer Volumabnahme begleitet wird.¹⁵⁶⁾

Magnesiumformiat, $Mg(HCO_2)_2 \cdot 2H_2O$, bildet rhombische Prismen und Oktaeder, welche sich in ca. 13 Teilen Wasser auflösen; im Alkohol sind sie weniger löslich.

Leitvermögen $v = 32 \quad 64 \quad 128 \quad 256 \quad 512 \quad 1024^{33)}$
 25° Äqu.-Leitf. 85,5 91,0 95,6 99,1 101,3 103,9

Magnesiumacetat, $Mg(CH_3CO_2)_2 \cdot 4H_2O$, scheidet sich in monoklinen Kristallen beim Einengen einer Lösung ab. Die wässrige Lösung ist imstande, erhebliche Mengen Magnesia aufzunehmen. Möglicherweise bildet sich ein dem Berylliumsalz ähnliches basisches Acetat, welches in der Lösung nur wenig ionisiert wird oder komplexe Ionen liefert.

Die basische Lösung wirkt stark antiseptisch und wird unter dem Namen „Sinodor“ in den Handel gebracht.

Leitvermögen $v = 32 \quad 64 \quad 128 \quad 256 \quad 512 \quad 1024^{33)}$
 25° Äqu.-Leitf. 71,5 77,1 81,5 85,0 87,6 90,0

Magnesiumoxalat, $MgC_2O_4 \cdot 2H_2O$, ist in Wasser nur wenig löslich, bei 18° im Liter 2,7 Millimol = 300 mg (anhydr.)^{44a)}; in den starken Säuren löst es sich aber leicht auf, da die freie lösliche Oxalsäure nur mäßig dissoziiert ist.

Durch Eintragen von aufgeschlammtem $Mg(OH)_2$ in eine Oxalsäurelösung bis zur Sättigung lassen sich etwa zehnprozentige Lösungen des Oxalats erhalten; dieses bedeutet eine etwa 300malige Übersättigung.¹⁵⁷⁾ Aus solchen übersättigten Lösungen fällt das Oxalat nur sehr langsam und allmählich aus.

Leitvermögen 18° C.

$v = 4,78 \quad 12,0 \quad 20,9 \quad 74,7 \quad 187 \quad 467^{157)}$
 Äqu.-Leitf. 9,89 13,54 18,88 26,60 37,17 50,6

Das Äquivalent-Leitvermögen nimmt bei zunehmender Konzentration abnorm schnell ab. Während das Leitvermögen von 0,2 normalem $MgSO_4$ gleich 0,38 vom maximalen Wert gefunden wird, beträgt das Verhältnis im

Fälle von 0,2 normalem MgC_2O_4 nur 0,09. Abnorm groß ist auch die Änderung des Temperaturkoeffizienten mit der Konzentration. Diese Eigenschaften finden wohl ihre Erklärung in der besonderen Konstitution der Lösungen; es bilden sich selbstkomplexe (polymerisierte) Moleküle, deren Zahl mit zunehmender Konzentration des als Neutralteil fungierenden MgC_2O_4 schnell ansteigt. Vielleicht ist aber auch ein Teil des Salzes in kolloider Form in Lösung.

Magnesiumtartrat, $\text{MgC}_4\text{H}_4\text{O}_6 \cdot 4\text{H}_2\text{O}$, scheidet sich aus konzentrierter Mg-Lösung auf Zusatz von Alkalitartrat ab. Bei $15,6^\circ$ löst sich ein Teil Salz in 124 Teilen Wasser. Das saure Salz $\text{Mg}(\text{C}_4\text{H}_5\text{O}_6)_2$ ist ebenfalls nur mäßig löslich, bei $15,6^\circ$ sind dazu 52 Teile Wasser nötig. Mehrere Doppeltartrate sind bekannt, z. B.

$\text{K}_2\text{C}_4\text{H}_4\text{O}_6 \cdot \text{MgC}_4\text{H}_4\text{O}_6 \cdot 8\text{H}_2\text{O}$ und $\text{Na}_2\text{C}_4\text{H}_4\text{O}_6 \cdot \text{MgC}_4\text{H}_4\text{O}_6 \cdot 10\text{H}_2\text{O}$.
 Leitvermögen $v = 32 \quad 64 \quad 128 \quad 256 \quad 512 \quad 1024^{33})$
 25° Äqu.-Leitf. 54,9 64,1 74,0 82,6 90,1 95,9

Magnesiumcitrat, $\text{Mg}_3(\text{C}_6\text{H}_5\text{O}_7)_2 \cdot 14\text{H}_2\text{O}$, erhält man als Kristallkruste durch Auflösen von Magnesia in der äquivalenten Menge Zitronensäure und Einengen der Lösung bei etwa 50° . Es ist in Wasser sehr löslich und findet Anwendung in der Medizin.

Leitvermögen 25° .

$v = 32 \quad 64 \quad 128 \quad 256 \quad 512 \quad 1024^{33})$
 Äqu.-Leitf. 21,4 23,4 25,2 27,5 30,1 34,1

Die Zunahme der äquivalenten Leitfähigkeit mit zunehmender Verdünnung ist viel kleiner als nach der Ostwald-Waldenschen Regel zu erwarten wäre, und man hat es wohl hier mit einem komplexen Ionisierungsfall zu tun.¹⁵⁸⁾

The University, Leeds. Dezember 1904.

Literatur.

- 1) Puettner, D.R.P. Nr. 31319.
- 2) Petitjean, Dinglers Journ. **148**, 371, 1858.
- 3) Jour. Ch. méd. **6**, 141, 1830, siehe auch Liebig, Pogg. Ann. **19**, 137, 1830.
- 4) Comptes Rendus **44**, 394, 1857; Lieb. Ann. **101**, 359, 1857, siehe auch Ann. Chim. Phys. [3] **67**, 340, 1863.
- 5) Vergl. Dinglers Journ. **170**, 115, 1863.
- 6) Ann. Chim. Phys. [2] **48**, 344, 1831.
- 7) Gerhard, Engl. Pat. Nr. 16691.
- 8) Lieb. Ann. **82**, 137, 1852. Pogg. Ann. **92**, 648, 1854.
- 9) Vergl. Matthiessen, Jour. Chem. Soc. **8**, 107, 1855.
- 10) Gräzel, D.R.P. Nr. 26962.
- 11) Vergl. Borchers, Elektrometallurgie, 2. Auflage, 1895, S. 15.
- 12) Jännigen, D.R.P. 80944. — Zeit. f. angewan. Chem. **317**, 1895.
- 13) Meyer, Berl. Ber. **20**, 497, 1887.
- 14) Ditte, Comptes Rendus **73**, 108, 1871.
- 15) Lorenz, Wied. Ann. **13**, 422 u. 582, 1881.
- 16) Pogg. Ann. **108**, 266, 1859. — Phil. Trans. **149**, 920, 1859; siehe auch Troost Cosmos, Vol I, 503, 1865.
- 17) Rogers, Sill. Jour. [3] **43**, 301, 1892.
- 18) Kessler, Berl. Ber. **2**, 369, 1869. — Wartha, Berl. Ber. **4**, 94, 1871. — Uhl, Berl. Ber. **23**, 2154, 1890.
- 19) Winkler, Berl. Ber. **23**, 44 u. 120, 1890.
- 20) Szarvasy, Berl. Ber. **30**, 305 u. 806, 1897.
- 21) Lemoine, Comptes Rendus **129**, 291, 1899. — Kahlenberg, Jour. Amer. Chem. Soc. **25**, 380, 1903.
- 22) Ericson-Aurén u. Palmaer, Zeit. phys. Chem. **39**, 1, 1902; **45**, 182, 1903.
- 23) Phipson, Proc. Roy. Soc. **13**, 217, 1864; siehe auch Dammer, Handbuch II, **2**, 411.
- 24) Campetti, Nuovo Cimento [5] **2**, 268.
- 25) Warren, Chem. News **60**, 187, 1889.
- 26) Neumann, Zeit. phys. Chem. **14**, 229, 1894.
- 27) Wilshire, Zeit. phys. Chem. **35**, 291, 1900.
- 28) Pincussohn, Zeit. anorg. Chem. **14**, 387, 1897.
- 29) Clark, Lieb. Ann. **78**, 369, 1851; Isambert, Comptes Rend. **66**, 1259, 1868.
- 30) Bredig, Zeit. phys. Chem. **13**, 191, 1894.
- 31) Noyes, Zeit. phys. Chem. **9**, 618, 1892.
- 32) Pogg. Ann. **106**, 385, 1895.
- 33) Vergl. Kohlrausch und Holborn, Leitvermögen der Elektrolyte, 1898.
- 34) Denison, Zeit. phys. Chem. **44**, 575, 1903; siehe auch Steele, Phil. Trans. **198** A, 105, 1902 oder Ostw. Ztschr. **40**, 689, 1902 und Masson, Zeit. phys. Chem. **29**, 501, 1899.
- 35) Kummell, Ztschr. f. Elektrochem. **9**, 975, 1903.
- 36) Ley, Zeit. phys. Chem. **30**, 199, 1899.
- 36a) Kohlrausch, Zeit. phys. Chem. **44**, 197, 1903.
- 37) Lovén, Zeitg. anorg. Chem. **11**, 404, 1896; vergl. auch Treadwell, Zeit. **37**, 326, 1904.

- 38) Herz und Muhs, Zeit. anorg. Chem. **38**, 138, 1904.
- 39) Schaffgotsch, Pogg. Ann. **104**, 482, 1858; **106**, 294, 1859.
- 40) Herz u. Drucker, Z. anorg. Chem. **26**, 347, 1901.
- 41) Winkler, Berl. Ber. **24**, 1966, 1891.
- 42) Löhr, Lieb. Ann. **261**, 72, 1891.
- 43) Fleck, Lieb. Ann. **276**, 129, 1893.
- 44) Grignard, Comptes Rend. **130**, 1322, 1900; **132**, 558, 1901; Grignard u. Tissier, Comptes Rend. **132**, 683, 1901; Grignard, Ann. Chim. Phys. (7) **24**, 433, 1901.
- 44a) Kohlrausch, Z. physik. Chem. **50**, 356, 1904.
- 45) Röder, Dissertation Göttingen 1863; Dammer, Handbuch II, 2, 423.
- 46) Duboin, Comptes Rend. **120**, 678, 1895.
- 47) Tissier, Comptes Rend. **56**, 848, 1863.
- 48) Geuther, Jahresbericht **173**, 1865.
- 49) Gay-Lussac u. Thénard, Recherches **2**, 143.
- 50) Bussy, J. ch. méd. **6**, 142, 1830.
- 51) Döbereiner, Schw. Jour. **28**, 90, 1820; Liebig, Pogg. Ann. **19**, 137, 1830.
- 52) Solvay, D. R.-P. Nr. 51084.
- 53) Reychler, D. R.-P. Nr. 51450.
- 54) van't Hoff u. Meyerhoffer, Zeit. phys. Chem. **27**, 75, 1898.
- 55) van't Hoff u. Dawson, Zeit. phys. Chem. **22**, 598, 1897.
- 56) Ditte, Ann. Chim. Phys. [5] **22**, 560, 1881.
- 56a) Jones, Amer. Chem. Journ. **23**, 89, 1900.
- 57) Pogg. Ann. **98**, 161, 1856.
- 58) van't Hoff und Meyerhoffer, Zeit. phys. Chem. **30**, 64, 1899.
- 59) Fourcroy, vgl. Gmelin, Handbuch, 5. Aufl. 2. Bd., S. 226; v. Hauer, Jour. f. prakt. Chem. **63**, 434, 1854.
- 60) van't Hoff u. Kenrick, Sitzungsber. Berl. Akad. 508, 1897.
- 61) van't Hoff u. Dawson, Zeit. phys. Chem. **39**, 27, 1902.
- 62) Sorel, Comptes Rend. **65**, 102, 1867.
- 63) Bender, Lieb. Ann. **159**, 341, 1871.
- 64) Davis, Chem. News **25**, 258, 1872.
- 65) Krause, Lieb. Ann. **165**, 38, 1873.
- 66) André, Comptes Rend. **94**, 144, 1882.
- 67) Panfilow, Jour. russ. phys.-chem. Ges. **26**, 231, 1894.
- 68) Rose, Pogg. Ann. **83**, 450, 1851.
- 69) vergl. Deville, Comptes Rend. **61**, 975, 1865; Ditte, Comptes Rend. **73**, 191, 1871.
- 70) Kohlrausch u. Rose, Wied. Ann. **53**, 14, 1894.
- 71) vergl. Dammer, Handbuch II, 2, 414.
- 72) Ditte, Comptes Rend. **73**, 270, 1861; Moissan, Comptes Rend. **118**, 506, 1894.
- 73) Caron, Comptes Rend. **66**, 850, 1868.
- 74) Moissan, Comptes Rend. **115**, 1031, 1892.
- 74a) Hinz, D.R.P. Nr. 151129.
- 75) Reichel, Journ. f. prakt. Chemie **12**, 55, 1875.
- 76) Briegleb u. Geuther, Lieb. Ann. **123**, 236, 1862.
- 77) Mourlot, Comptes Rend. **127**, 180, 1898.
- 78) Frémy, Ann. Chim. Phys. [3] **38**, 324, 1853.
- 79) Pelouze, Ann. Chim. Phys. [4] **7**, 172, 1866.
- 80) Thomsen, Pogg. Ann. **140**, 526, 1870.
- 81) Smits Rec. Trav. Pays-Bas. **15**, 135, 1896.
- 82) Parkinson, Journ. Chem. Soc. **20**, 127 u. 309, 1867.
- 83) Bunsen, Lieb. Ann. **138**, 292, 1866.
- 84) Gautier, Comptes Rend. **128**, 1167, 1899.
- 85) Berthelot, Ann. Chim. Phys. [6] **9**, 385, 1886.
- 86) Comptes Rend. **126**, 302, 1898.
- 87) Lieb. Ann. **107**, 113, 1858.
- 88) Geuther, Journ. prakt. Chem. **95**, 424, 1865.
- 89) Gattermann, Berl. Ber. **22**, 186, 1889.
- 90) Jones, Journ. Chem. Soc. **35**, 42, 1879.
- 91) Jones u. Taylor, Journ. Chem. Soc. **39**, 213, 1881.

- 92) Bolley, Journ. prakt. Chem. **99**, 320, 1866.
- 93) Vergl. Wächter, Journ. prakt. Chem. **30**, 325, 1843.
- 94) Rammelsberg, Pogg. Ann. **52**, 89, 1841.
- 95) Schweizer, Amer. Chem. Journ. **1**, 296, 1871.
- 96) Fritsche, Pogg. Ann. **42**, 577, 1837.
- 97) Vergl. Dammer, Handbuch II, **2**, 428.
- 98) Frowein, Zeit. physikal. Chem. **1**, 13, 1887.
- 99) Loewel, Ann. Chim. Phys. [3] **43**, 405, 1855.
- 100) Vgl. Ostwald, Grundlinien der Anorganischen Chemie, S. 215.
- 101) Boisbaudran, Ann. Chim. Phys. [4] **18**, 260, 1869.
- 102) van't Hoff und Streicher, Sitzungsber. Berl. Akad. S. 487, 1898.
- 103) van't Hoff, Meyerhoffer u. Smith, Sitzungsber. Berl. Akad. S. 1034, 1901.
- 104) Wagner, Zeit. phys. Chem. **5**, 31, 1890.
- 105) Arrhenius, Zeit. phys. Chem. **2**, 461, 1888.
- 106) Kohlrausch u. Hallwachs, Wied. Ann. **53**, 14, 1894.
- 107) van der Heide, Zeit. phys. Chem. **12**, 416, 1893.
- 108) van't Hoff u. Williams, Sitzungsber. Berl. Akad. S. 808, 1898.
- 109) van't Hoff, Meyerhoffer u. Cottrell, Sitzungsber. Berl. Akad. S. 276, 1902.
- 110) Mallet, Min. Mag. **12**, 159, 1899.
- 111) Precht, Chemische Industrie **3**, 418, 1880.
- 112) Schmidt, Lieb. Ann. **98**, 273, 1856.
- 113) van Deventer, Zeit. phys. Chem. **1**, 165, 1887; Roozeboom, Zeit. phys. Chem. **2**, 513, 1888.
- 114) van't Hoff u. O'Farely, Sitzungsber. Berl. Akad. S. 370, 1902.
- 115) Kubierschky u. van't Hoff, Sitzungsber. Berl. Akad. S. 404, 1902.
- 116) Meyerhoffer, Zeit. anorg. Chem. **34**, 145, 1903.
- 117) Rammelsberg, Pogg. Ann. **56**, 303, 1842.
- 118) Keßler, Pogg. Ann. **74**, 282, 1848.
- 119) Graham, Schweig. Journ. **55**, 195.
- 120) Funk, Berl. Ber. **32**, 90, 1899.
- 121) Vogel, Zeit. anorg. Chem. **35**, 385, 1903.
- 122) Rose, Pogg. Ann. **9**, 28, 1827.
- 123) Vergl. Dammer, Handbuch II, **2**, 430.
- 124) de Schulten, Bull. Soc. Chim. **3**, 724, 1903.
- 125) Debray, Ann. Chim. Phys. (3) **61**, 430, 1890.
- 126) Schaffner, Lieb. Ann. **50**, 145, 1844.
- 127) Reischauer, Jahresber. **175**, 1895.
- 128) Vergl. Ladenburg, Handwörterbuch **7**, 23.
- 129) Stoklasa, Zeit. anorg. Chem. **1**, 397, 1892.
- 130) Ebermayer, Journ. prakt. Chem. **60**, 41, 1853.
- 131) Schröcker und Violet, Lieb. Ann. **140**, 239, 1860.
- 132) Ladenburg, Handwörterbuch **7**, 20.
- 133) Maddrell, Lieb. Ann. **61**, 92, 1847.
- 134) Fleitmann, Pogg. Ann. **78**, 254, 1843.
- 135) Schleier, Lieb. Ann. **112**, 88, 1864.
- 136) Vergl. Dammer, Handbuch II, **2**, 444.
- 137) Schramm, Lieb. Ann. **80**, 215, 1850.
- 138) Fritsche, Pogg. Ann. **37**, 300, 1839. — Nörgaard siehe Dammer, Handbuch II, **2**, 444.
- 139) Nörgaard loc. cit. — Knorre, Zeit. anorg. Chem. **34**, 200, 1903.
- 140) Mandrup, Chem. Zeit. **74**, 866, 1904.
- 141) Auerbach, Zeit. f. Elektrochemie **10**, 191, 1904.
- 142) Vergl. Masprunt, Handbuch der technischen Chemie, **4**, 1071.
- 143) Patterson, Dugliss Polytech. Journ. **200**, 497, 1873.
- 144) Bodländer, Zeit. phys. Chem. **35**, 23, 1900.
- 145) Vergl. Engel, Compens. Rend. **100**, 144, 1885.
- 146) C. & Engel, D. Pat. 19218.
- 147) Berzelius, Ann. Chim. Phys. [3] **14**, 370, 1820; Knorre, Zeit. anorg. Chem. **200**, 1903.
- 148) Deville, Ann. Chim. Phys. [3] **33**, 87, 1851.

- 149) Favre, Ann. Chim. Phys. [3] **10**, 474, 1844; Schaffgotsch, Pogg. Ann. **104**, 482, 1858.
 150) Vergl. Durocher, Comptes Rend. **33**, 64, 1851.
 151) Vergl. Thorpe u. Muir, Dictionary of Applied Chemistry.
 151a) Guertler, Ztschr. anorg. Chem. **40**, 236 u. 354, 1904.
 152) van't Hoff u. Bruni, Sitzungsber. Berl. Akad. S. 805, 1902; vergl. auch Wöhler, Pogg. Ann. **28**, 525, 1833.
 153) van't Hoff, Sitzungsber. Berl. Akad. S. 1008, 1902.
 154) de Gramont, Comptes Rend. **111**, 43, 1890.
 155) Mallard, Journ. de Physique [2] **11**, 261, 1883.
 156) Meyerhoffer, Zeit. phys. Chem. **29**, 661, 1899.
 157) Kohlrausch u. Mylius, Sitzber. Berl. Akad. S. 1223, 1904.
 158) Walden, Ztschr. physik. Chem. **1**, 529, 1887.

Magnesium

Chronologische Übersicht der Zitate.

- 1820—1829:** 51, 122, 147.
1830—1839: 3, 6, 50, 51, 96, 138, 152.
1840—1849: 93, 94, 117, 118, 126, 133, 134, 149.
1850—1854: 8, 29, 59, 68, 78, 130, 135, 137, 148, 150.
1855—1859: 2, 4, 9, 16, 32, 39, 57, 87, 99, 112, 149.
1860—1864: 4, 5, 23, 29, 45, 47, 72, 76, 125.
1865—1869: 16, 18, 48, 62, 69, 73, 79, 82, 83, 88, 92, 101, 127, 131.
1870—1874: 14, 18, 63, 64, 65, 69, 80, 95, 143.
1875—1879: 75, 90.
1880—1884: 15, 56, 66, 91, 111, 155.
1885—1889: 13, 25, 85, 89, 98, 105, 113, 145, 158.
1890—1894: 17, 18, 19, 26, 30, 31, 41, 42, 43, 67, 72, 74, 104, 106, 107, 129, 154.
1895—1899: 11, 12, 20, 21, 28, 33, 34, 36, 37, 46, 54, 55, 58, 60, 77, 81, 84, 86, 102, 108, 110, 120, 156.
1900: 27, 44, 56a, 144.
1901: 40, 44, 103.
1902: 22, 24, 34, 61, 109, 114, 115, 152, 153.
1903: 21, 22, 34, 35, 36a, 37, 116, 121, 124, 139.
1904: 38, 44a, 74a, 140, 141, 151a, 157.

Atomgewicht des Magnesiums¹⁾, $Mg = 24,36$ ($O = 16$) (I. A. G. K.).

A) Wahl des Atomgewichts.

Das H-Äquivalent des Magnesiums ist von der Ordnung 12.

Berzelius nahm zunächst die Existenz der sog. Sesquioxyde R_2O_3 nicht an, sondern gab ihnen die Formel RO_3 . Deshalb mußten unsere Oxyde RO durch die Formel RO_2 ausgedrückt werden. Unter der Annahme von MgO_2 würde das Atomgewicht $Mg = 48$ betragen. Als jedoch Berzelius die Existenz der Oxyde R_2O_3 zuließ, wurde die Formel der Magnesia MgO . Seit der zweiten Dekade des 19. Jahrhunderts zweifelte niemand an dieser Formel. Darnach war das „Äquivalent“ des Magnesiums im Sinne Gmelins $= 12$. Was das Atomgewicht anbelangt, so gab es noch zu Anfang der 60er Jahre Chemiker, welche das Oxyd Mg_2O schrieben und $Mg = 12$ ($O = 16$) annahmen. Seit etwa Mitte der 60er Jahre wird das Atomgewicht allgemein zu $Mg = 24$ angenommen. Dieses Atomgewicht befindet sich in Übereinstimmung

1. mit dem Gesetze von Avogadro, resp. der Ausdehnung desselben durch van't Hoff auf Lösungen. Einige Magnesiumverbindungen zeigen in Lösungen ein abnormes Verhalten, welches wahrscheinlich auf einer Komplexbildung beruht. Siehe darüber z. B. Ostwald II, 1,667. Für die gegenwärtige Frage ist der Umstand maßgebend, daß nach Walden das Leitfähigkeitsgefälle der äquivalenten Lösung des $MgSO_4$ zwischen $\frac{1}{32} n$ und $\frac{1}{1024} n$ $\Delta = 41,0$ beträgt. Diese Zahl dividiert durch das Produkt der Valenzen gibt 10,25, d. h. den normalen Wert der Ostwaldschen Valenzregel. Daraus folgt, daß die Magnesiumionen zweiwertig sind, aber weder einwertig, noch dreiwertig;
2. mit der Regel von Dulong-Petit. Die Atomwärme des Magnesiummetalls ist $= 6,0$;
3. mit der Lehre vom Isomorphismus; Mg ist isomorph mit Fe^{II} , Zn^{II} , Mn^{II} etc.
4. mit dem periodischen Gesetz; denn die Eigenschaften des Magnesiums und seiner Verbindungen entsprechen der Stellung desselben: II—3 (II. Gruppe, 3. Reihe), sie sind periodische Funktionen des Atomgewichts $Mg = 24$.

B) Bestimmung des Atomgewichts.

Da nur die zwei zuletzt angeführten Atomgewichtsbestimmungen des Magnesiums (Marignac, Richards und Parker) zu unserer jetzigen genauen Zahl führten, so können wir die mehr ein historisches Interesse besitzenden früheren Bestimmungen des Atomgewichts nur kurz anführen. Die Zahl der Bestimmungen ist, mit Rücksicht darauf, daß die genaue Kenntnis

des Atomgewichts des Magnesiums von praktischer Bedeutung ist, eine verhältnismäßig große.

1. Berzelius²⁾ analysierte, wie in einer Anzahl anderer ähnlicher Fälle, das Sulfat, indem er die Schwefelsäure (SO_3) als Bariumsulfat fällte und erhielt $\text{Mg} = 25,24$. Er führte auch eine Synthese des Sulfats aus dem Oxyd aus und erhielt $\text{Mg} = 24,20$. Er nimmt an $\text{Mg} = 25,24$ (1814), $\text{Mg} = 25,33$ (1818) und später findet er $\text{Mg} = 25,28$. Gay-Lussac³⁾ findet durch Analyse des Bittersalzes $\text{Mg} = 23,46$ (23,62 nach Richards).

2. Scheerer⁴⁾ bestimmte den SO_3 -Gehalt im wasserfreien Magnesiumsulfat als Bariumsulfat. Er gibt nur Verhältniszahlen an, aus denen sich $\text{Mg} = 24,16$ ergibt. Als er von Berzelius darauf aufmerksam gemacht wurde, daß das Bariumsulfat Magnesiumsulfat „mitreißt“, führte er⁵⁾ eine Korrektur ein, welche das Atomgewicht auf $\text{Mg} = 24,20$ erhöhte.

3. Jacquelin⁶⁾ stellte zunächst neutrales, wasserfreies Magnesiumsulfat dar. Dasselbe wog 1,466 und hinterließ nach intensivem Glühen 0,492 g MgO . Dieses wurde in das wasserfreie Sulfat zurückverwandelt und dasselbe wog 1,466 g. Daraus berechnet sich die ziemlich genaue Zahl $\text{Mg} = 24,44$, doch ist zu bedauern, daß nur ein einziger Versuch vorliegt. Jacquelin erhielt ferner aus 1,464 g $\text{MgSO}_4 = 2,838$ g $\text{BaSO}_4 = 0,9731$ g SO_3 und 0,4909 g MgO . Daraus ergibt sich $\text{Mg} = 24,39$ oder nach Einführung der Scheerer'schen Korrektur, $\text{Mg} = 24,43$. Die erstere Zahl liegt unserer genauen Zahl merkwürdig nahe.

4. Macdonell⁷⁾ bestimmt zunächst den Wassergehalt des Magnesiumsulfat-Heptahydrats (6 Versuche, die zwischen 51,13—51,29 Proz. schwanken). Ferner bestimmt er, mittels der Bariumsulfatmethode, den Schwefelsäuregehalt des „wasserfreien“ Salzes (5 Versuche, $\text{SO}_3 = 66,64$ —66,73 Proz). Es werden noch andere Data in Grains angeführt. Aus den angegebenen Daten ergibt sich $\text{Mg} = 24,30$.

5. Svanberg und Nordenfeldt⁸⁾ stellten durch Trocknen des Magnesiumoxalats bei 100—105° das Dihydrat $\text{MgC}_2\text{O}_4 \cdot 2\text{H}_2\text{O}$ dar und dasselbe hinterließ bei starkem Glühen Magnesiumoxyd. Es wurden 4 Versuche ausgeführt, in denen 6,2216—7,2634 g Oxalat angewandt und 1,7027—1,9872 g MgO erhalten wurde. $\text{MgO} = 27,359$ —27,375 Proz., im Mittel 27,6635 Proz. Daraus $\text{Mg} = 24,72$.

In drei Versuchen wurde das erhaltene MgO in MgSO_4 umgewandelt, und es wurden im Mittel aus 100 MgO 296,671 MgSO_4 erhalten. Daraus ergibt sich die ebenfalls zu hohe Zahl $\text{Mg} = 24,71$.

6. Bahr⁹⁾ führte eine aus dem Olivin eines sibirischen Meteoriten erhaltene Magnesia in das Sulfat über. Er führte 3 Versuche mit 1,0784 bis 2,0459 g MgO aus und erhielt 3,1925—5,0157 g MgSO_4 oder aus 100 $\text{MgO} = 296,20$ MgSO_4 . Daraus ergibt sich $\text{Mg} = 24,77$.

7. Eine sehr ausgedehnte und eingehende Untersuchung wurde 1850 von Marchand und Scheerer¹⁰⁾ veröffentlicht. Ihr Plan ging darauf hinaus, im Magnesit den Magnesiagehalt, also das Verhältnis $\text{MgCO}_3 : \text{MgO}$ zu bestimmen. Es wurden Magnesite von Snarum und von Frankenstein zur Untersuchung gewählt. Da dieselben nicht nur Kieselsäure, sondern auch Eisen enthielten, so wurden diese Bestandteile möglichst genau bestimmt und als SiO_2 , FeCO_3 in Abzug gebracht.

Zur Atomgewichtsbestimmung wurde das gewogene Mineral bei 300°

getrocknet und da es dabei geringe Mengen CO_2 verlor, so wurden dieselben genau bestimmt. Dagegen hielt das Mineral noch Spuren von Wasser zurück. Das Mineral wurde dann durch Erhitzen zur Weißglut in das Oxyd übergeführt, doch ergab sich, daß das letztere noch geringe Mengen CO_2 zurückhält, welche ebenfalls genau bestimmt werden mußten.

In der ersten Reihe wurden vier Versuche ausgeführt, wobei 15,2—17,8 g betragende Mengen Magnesit verwendet wurden. Das korrigierte Verhältnis ist $100 \text{ MgCO}_3 : 47,681 \text{ MgO}$. — Die zweite Reihe enthält 7 Versuche, wobei 6,8195—38,8912 g MgCO_3 verwendet wurden. Die Prozente MgO schwanken zwischen 47,599—47,675 und betragen im Mittel 47,650. Die dritte Reihe bezieht sich auf ein sehr reines Material. In vier Versuchen wurde 4,2913 bis 27,8286 g Magnesit verwendet und 2,0436—13,2539 g MgO erhalten. In Prozenten: $47,622 - 47,648 \text{ MgO} = 47,642$ im Mittel. Daraus $\text{Mg} = 24,04$.

Im Jahre 1858 entdeckte Scheerer¹¹⁾, daß in den früheren Versuchen in den angewandten Magnesiten ein geringer, als Oxalat nicht nachzuweisender Kalkgehalt übersehen wurde. Derselbe beträgt in dem Mineral von Snarum 0,430 Proz., in dem von Frankenstein 0,225 Proz. Nach Anbringung dieser Korrekturen ergibt sich das Verhältnis $100 \text{ MgCO}_3 : 47,627 \text{ MgO}$. Daraus berechnet sich $\text{Mg} = 24,01$.

8. Im Jahre 1859 führte Dumas¹²⁾ eine eingehende Untersuchung aus, die jedoch ein wenig genaues Resultat ergab. Magnesiumchlorid wurde im Chlorwasserströme erhitzt und der überschüssige Chlorwasserstoff durch Erhitzen im Kohlensäureströme entfernt. Das gewogene Chlorid wurde in Wasser gelöst und der Chlorgehalt der Lösung durch Titrieren mit einer Lösung von Silbernitrat von genau bekanntem Silbergehalt bestimmt. Dumas führte 11 Versuche aus, bei denen das Gewicht von MgCl_2 zwischen 1,342—3,994 g, das Gewicht des Silbers zwischen 3,031—9,012 g schwankte. Das Verhältnis ist im Mittel $100 \text{ Ag} : 44,261 \text{ MgCl}_2$ (Min. 44,154, Max. 44,408). Das aus den Versuchen berechnete Atomgewicht des Magnesiums schwankt zwischen $\text{Mg} = 24,40 - 24,94$ und beträgt im Mittel $\text{Mg} = 24,63$ und diese Schwankungen erklären sich wohl durch einen schwankenden Gehalt der erhaltenen Magnesiumchloridpräparate an Magnesiumoxychlorid. Über die Fehler der von Dumas benutzten Silbermethode siehe bei den Elementen Ca und Ba.

9. Die beste und zuverlässigste von allen Untersuchungen über das Atomgewicht von Magnesium, welche bis zu jener Zeit ausgeführt worden sind, ist die Arbeit von Marignac¹³⁾ aus dem Jahre 1883.

Marignac unterwirft zunächst die Arbeiten seiner Vorgänger, besonders die Arbeit von Marchand und Scheerer, welche die bis dahin allgemein angenommene zu kleine Zahl $\text{Mg} = 24,0$ ergeben hatte, einer eingehenden Kritik und weist besonders darauf hin, daß der natürliche, von den genannten Chemikern benutzte Magnesit, kaum frei von etwas Bicarbonat und von den Carbonaten der Alkalien war. Durch ihre Gegenwart und besonders die Flüchtigkeit der letzteren bei Weißglut würde sich die erhaltene zu kleine Zahl erklären. Marignac wendete sehr große Sorgfalt bei der Reinigung seiner Magnesiumpräparate an. Seine Methode beruht auf der Ermittlung des Verhältnisses $\text{MgO} : \text{SO}_3$ im wasserfreien Sulfat. In der Versuchsreihe A wurde die Magnesia in das Sulfat umgewandelt (Synthese). Die ersten zwei Kolonnen sind Gewichte in g, die dritte gibt die 100 Teilen MgO entsprechende Menge des erhaltenen MgSO_4 .

MgO	MgSO ₄	100 MgO =	Atomgewicht
1,5635	4,6620	298,17 MgSO ₄	24,40
1,4087	4,2025	298,32	24,37
1,5917	4,7480	298,30	24,35
1,4705	4,3855	298,23	24,39
1,4778	4,4060	298,15	24,40
1,6267	4,8530	298,33	24,37
1,3654	4,0740	298,37	24,36
1,9575	5,8390	298,29	24,37
1,6965	5,0600	298,26	24,38
1,8680	5,5715	298,26	24,38
Mittel		298,27	24,379

Zu den Versuchen 1—5 diente eine Magnesia, dargestellt durch Glühen Nitrats, daß so lange fortgesetzt wurde, bis in dem erhaltenen Oxyd keine von Stickstoffverbindungen mehr nachgewiesen werden konnte. Leider te damals nicht die erst viel später von Richards und Rogers¹⁴⁾ entdeckte Eigenschaft der aus dem Nitrat dargestellten Magnesia, Gase zu okkludieren, berücksichtigt werden. Dieser Umstand wirkt, wenn auch nicht sehr utend, in dem Sinne, daß das Atomgewicht erhöht wird. Dies scheint tigt zu werden, wenn wir mit den Resultaten der Versuche 1—5 dieen von 6, 7 und 8 vergleichen, welche mit einer Magnesia erhalten len, die aus dem Sulfat dargestellt wurde und die kaum irgendwelche : okkludiert hatte. Die Magnesia 9, 10 war aus dem Carbonat dargestellt. Noch weit bessere Resultate, als die Reihe A, lieferte die Reihe B, aus hrt durch Analyse — Glühen des wasserfreien Sulfats. Ich mache darauf erksam, daß diese Methode unter allen Methoden der Atomgewichts- mmung im Prinzip die einfachste ist, denn bei Anwendung deren wird die Substanz keiner chemischen Operation, wie Lösung, Fällung rworfen, ja sie wird überhaupt aus dem Tiegel, in welchem sie geglüht , nicht herausgenommen, noch wird etwas hinzugefügt. Es ist nur da- zu achten, daß kein mechanischer Verlust oder kein Wägungsfehler findet.

MgSO ₄	MgO	100 MgO =	Atomgewicht:
3,7705	1,2642	298,25 MgSO ₄	24,38
4,7396	1,5884	298,39	24,35
3,3830	1,1345	298,19	24,39
4,7154	1,5806	298,33	24,37
4,5662	1,5302	298,43	24,35
4,5640	1,5300	298,30	24,37
3,2733	1,0979	298,14	24,41]
4,8856	1,6378	298,30	24,37
5,0092	1,6792	298,31	24,37
5,3396	1,7898	298,33	24,37
5,1775	1,7352	298,38	24,36
5,0126	1,6807	298,24	24,38
5,0398	1,6894	298,34	24,37

Die Versuche 1—6 wurden mit aufeinander folgenden Kristallisations- dukten aus wässriger Lösung angestellt. Nr. 13 war aus saurer Lösung kristallisiert. Die Versuche 7—12 waren mit aufeinander folgenden

Fällungen mit Alkohol angestellt. Das Resultat des Versuches 7 muß, wie es auch Marignac tut, verworfen werden, da offenbar eine Verunreinigung, bestehend wahrscheinlich aus Spuren von Kalk, mitgefällt wurde. Das Mittel der 12 übrigen Bestimmungen ist das Verhältnis 100 MgO : 298,314 MgSO₄, woraus Mg = 24,370.

Die Resultate der ausgezeichneten Arbeit Marignacs müssen der Reduktion auf den luftleeren Raum unterworfen werden, was weder von Marignac selbst, noch von einem anderen Chemiker bisher ausgeführt wurde. Nimmt man dMgO = 3,65 und dMgSO₄ = 2,706 an, so ergibt sich, daß beim Wägen in der Luft 1 g MgO 0,000326 g und 1 g MgSO₄ 0,00044 g verliert. Die Vakuumkorrektur des Atomgewichts beträgt —0,007. Wir erhalten also die korrigierten Zahlen für Reihe A) Mg = 24,372, B) Mg = 24,363. Der letzten Zahl muß unbedingt der Vorzug vor der ersten gegeben werden.

10. Burton und Vorce¹⁵⁾ destillierten metallisches Magnesium im Sprengel-Vakuum, lösten gewogene Mengen in Salpetersäure auf und führten das Nitrat durch Glühen, zuletzt bei Weißglut, in das Oxyd über. Oxyde des Stickstoffs wurden zwar nicht gefunden, dafür konnte aber die von Richards und Rogers erst drei Jahre später beobachtete Okklusion von Gasen nicht berücksichtigt werden. Es wurden 10 Versuche ausgeführt, bei denen 0,26058 bis 0,36457 g betragende Mengen Mg verwendet und 0,43221—0,60475 g betragende Mengen MgO erhalten wurden. Der Prozentgehalt des Mg im MgO betrug im Mittel 60,2845 und schwankte zwischen 60,262—60,304.

Aus den Versuchen folgt, infolge der Nichtberücksichtigung der Okklusion, die zu niedrige Zahl Mg = 24,287.

11. Die letzte Bestimmung des Atomgewichts des Magnesiums wurde 1896 von Richards und Parker¹⁶⁾ veröffentlicht. Sie ist ein Glied der langen Reihe von Atomgewichtsbestimmungen, welche die Wissenschaft Th.W. Richards und seinen Mitarbeitern verdankt und deren Resultate, was Genauigkeit anbelangt, den klassischen Bestimmungen von Stas kaum nachstehen. Auch bei dieser Arbeit wurden die neuesten Fortschritte der Wissenschaft und der Experimentaltechnik in Anwendung gebracht.

Die Autoren verwendeten auf die Reindarstellung des Materials die größte Sorgfalt. Sie stellten durch Erhitzen eines Gemenges von Magnesiumchlorid und Salmiak im Strome von vollkommen trockenem Chlorwasserstoff reines, von jeder Spur von Oxychlorid freies wasserfreies Chlormagnesium dar, in welchem sich auch keine Spur fremder Elemente, besonders auch — spektralanalytisch — der Alkalimetalle, nachweisen ließ. Alle Wägungen sind auf den luftleeren Raum reduziert. Die I. Bestimmungsreihe hatte den Zweck, das Verhältnis von Chlormagnesium zum Chlorsilber zu bestimmen.

I	MgCl ₂	AgCl	MgCl ₂ : 2 AgCl = 100 : x	Atomgewicht Mg
1	1,33550	4,01952	300,975	24,368
2	1,51601	4,56369	301,033	24,350
3	1,32413	3,98528	300,974	24,369
4	1,40664	4,23297	300,928	24,386
5	1,25487	3,77670	300,963	24,373
Mittel				24,373

Die Verfasser halten das Resultat eher für zu hoch, da auf das Trocknen

der Salzsäure noch nicht die größte Mühe verwendet wurde. Die II., III. und IV. Bestimmungsreihe ging auf die Bestimmung des Verhältnisses zwischen dem Chlormagnesium und dem metallischen Silber hinaus, wobei bei der Endtitration das angewendete Nephelometer die höchste Genauigkeit zu erreichen gestattete.

II	MgCl ₂	Ag	MgCl ₂ : 2 Ag = 190 : x	Atomgewicht Mg
6	2,78284	6,30284	226,490	24,395
7	2,29360	5,19560	226,526	24,379
8	2,36579	5,35989	226,558	24,366
Mittel				24,380

Auch diese Resultate halten die Verfasser nicht für einwandfrei. Die dritte Reihe wurde mit verbessertem Trockenapparat ausgeführt.

III	MgCl ₂	Ag	MgCl ₂ : 2 Ag = 100 : x	Atomgewicht Mg
9	1,99276	4,51554	226,597	24,349
10	1,78870	4,05256	226,565	24,363
11	2,12832	4,82174	226,551	24,368
12	2,51483	5,69714	226,542	24,372
13	2,40672	5,45294	226,571	24,360
14	1,95005	4,41747	226,531	24,377
Mittel				24,365

Die IV. Bestimmungsreihe, bei welcher alle früher erprobten Vorsichtsmaßregeln beobachtet wurden, gab die genauesten Resultate.

IV	MgCl ₂	Ag	MgCl ₂ : 2 Ag = 100 : x	Atomgewicht Mg
15	2,03402	4,60855	226,573	24,360
16	1,91048	4,32841	226,562	24,364
17	2,09932	4,75635	226,566	24,362
18	1,82041	4,12447	226,568	24,362
19	1,92065	4,35151	226,565	24,363
20	1,11172	2,51876	226,564	24,363
Mittel				24,362

Ich gebe noch die mittlere Abweichung vom Mittel: $\pm 0,001$.

Dies halte ich für die größte Genauigkeit, die bei einer derartigen Bestimmung zu erreichen sein dürfte.

Übersicht.

Name	Jahr	Verhältnis	Atomgew. Mg =
Berzelius	1812	MgSO ₄ : BaSO ₄	25,24
		MgO : MgSO ₄	24,20
Gay-Lussac	1819	MgSO ₄ : BaSO ₄	23,62
Berzelius	1826	MgO : MgSO ₄	25,28
Scheerer	1846	MgSO ₄ : BaSO ₄	24,16
Korrigiert	1847	"	24,20
Jacquelin	1851	MgSO ₄ : MgO	24,44
		MgO : MgSO ₄	24,44
		MgSO ₄ : BaSO ₄	24,43

Name	Jahr	Verhältnis	Atomgew. Mg =
Svanberg u. Nordenfeldt	1848	$\text{MgC}_2\text{O}_4 \cdot 2\text{H}_2\text{O} : \text{MgO}$	24,72
		$\text{MgO} : \text{MgSO}_4$	24,71
Macdonell	1852	$\text{MgSO}_4 \cdot 7\text{H}_2\text{O} : \text{MgO}$	
		und $\text{MgSO}_4 : \text{BaSO}_4$	24,30
Bahr	1852	$\text{MgO} : \text{MgSO}_4$	24,77
Marchand und Scheerer	1850	$\text{MgCO}_3 : \text{MgO}$	24,04
Korrigiert	1858	"	24,01
Dumas	1859	$\text{MgCl}_2 : 2\text{Ag}$	24,63
Marignac	1883	$\text{MgO} : \text{MgSO}_4$	24,372
		$\text{MgSO}_4 : \text{MgO}$	24,363
Burton und Vorce . .	1890	$\text{Mg} : \text{MgO}$	24,29
Richards und Parker .	1896	$\text{MgCl}_2 : 2\text{AgCl}$	24,373
		$\text{MgCl}_2 : 2\text{Ag}$	24,362

Schlußfolgerung. Bei der endgültigen Berechnung des Atomgewichts des Magnesiums sind, außer dem Resultate der IV. Reihe von Richards und Parker, von allen übrigen Bestimmungen nur die Resultate der einwandfreien zweiten (B) Reihe von Marignac zu berücksichtigen. Es ergibt sich dabei, daß die von mir angebrachte Vakuumkorrektion die Resultate Marignacs an diejenigen von Richards und Parker näher gebracht hat. Wir haben:

Marignac II. Reihe (Vakuum) $\text{Mg} = 24,363$

Richards und Parker IV. Reihe (Vakuum) $\text{Mg} = 24,362$

Beide Zahlen sind identisch und da dieselben nach zwei voneinander verschiedenen Methoden erhalten worden sind, so kann die zweite Dezimalstelle als verbürgt und das Atomgewicht des Magnesiums als eines der bestbestimmten Atomgewichte angesehen werden.

Es ist $\text{Mg} = 24,36$ (I).

Die Internationale Atomgewichtskommission empfiehlt dieselbe Zahl.

- 1) Allgemeine Bemerkungen über Atomgewichte s. bei Beryllium S. 26.
- 2) Berzelius, Afhandl. V, 138. Gilb. Ann. **40**, 250, 1812. Vgl. seine Atomgewichtstabellen aus den Jahren 1814 und 1818, sowie sein Lehrbuch. Ferner Erdmanns Journ. prakt. Chem. **50**, 302, 1850.
- 3) Gay-Lussac, Ann. chim. phys. **13**, 308, 1819.
- 4) Scheerer, Pogg. Ann. **69**, 535, 1846.
- 5) Scheerer, Pogg. Ann. **70**, 407, 1847.
- 6) Jacquelin, Ann. chim.-phys. (3) **32**, 195, 1851.
- 7) Macdonell, Proc. R. Irish Acad. **5**, 503, 1852.
- 8) Svanberg und Nordenfeldt, Journ. prakt. Chem. **45**, 473, 1848.
- 9) Bahr, Journ. prakt. Chem. **56**, 310, 1852.
- 10) Marchand und Scheerer, Journ. prakt. Chem. **50**, 385.
- 11) Scheerer, Lieb. Ann. **110**, 237.
- 12) Dumas, Ann. chim. phys. (3) **55**, 120.
- 13) Marignac, Archives Sc. ph. nat. (3) **10**, 206. Besser zugänglich in Oeuvres Complètes II, Vol. 742—745.
- 14) Richards und Rogers, Amer. Chem. Journ. **15**, 567, 1893.
- 15) Burton und Vorce, Amer. Chem. Journ. **12**, 219, 1890.
- 16) Richards und Parker, Zeitschr. anorg. Chem. **13**, 81—100, 1896.

Brauner.

I.

Calcium. Ca.

Vorkommen. Das Calcium gehört zu den in der Natur verbreitetsten Metallen. Es kommt jedoch nie in reinem Zustande, sondern stets in Form seiner Salze vor, besonders häufig als Carbonat (Kalkstein, Marmor, Kreide, Tropfstein), Sulfat (Gips), Fluorid (Flußspat), Silicat und Phosphat. Ferner bilden Carbonat oder Phosphat die Gerüstsubstanz sehr vieler Lebewesen. Als Ausgangsmaterial zur technischen Darstellung der nicht in der Natur vorkommenden Calciumverbindungen dient meist das Carbonat, welches durch Brennen in das Oxyd verwandelt wird.

Geschichte. Die Verwendbarkeit des Kalkes zum Bauen war schon im Altertum bekannt. Dioskorides und Plinius beschrieben im 1. Jahrhundert n. Chr. seine Herstellung aus Kalkstein, Marmor oder Muschelschalen, ferner die Erscheinungen beim Behandeln des gebrannten Kalkes mit Wasser, das „Löschen“. Um 300 n. Chr. macht Theophrast in der Schrift *περί λίθων* Angaben über die Natur und die Anwendungen des Gipses.

Am Ende des 17. Jahrhunderts zeigte Boyle, daß Kalkerde aus sauren Lösungen durch Schwefelsäure gefällt werde, und 100 Jahre später fand man als schärferes Reagens die Kleesäure (Oxalsäure). Um dieselbe Zeit lehrte man auch die Kalkerde von anderen Erden unterscheiden. Daß Kalk kein Element, sondern eine Verbindung sei, wurde zuerst von Lavoisier vermutet, jedoch erst durch Davy bewiesen.

Darstellung von reinem Calcium. Das Calcium wurde zuerst von Davy¹⁾ durch Elektrolyse des Hydroxyds dargestellt. Auf ein als Anode dienendes Platinblech wurde ein aus $\text{Ca}(\text{OH})_2$ geformter Klotz gestellt, der in einer Höhlung das als Kathode dienende Quecksilber enthielt. Das durch die Elektrolyse entstandene Ca-Amalgam wurde im Wasserstoffstrom destilliert, der Rückstand bestand jedoch nicht aus reinem Ca, sondern enthielt stets Quecksilber. Alle späteren Versuche zur Reindarstellung des Metalles zerfallen in elektrolytische und rein chemische. Durch Elektrolyse gewonnen wurde es nach Davy von Hare²⁾, Bunsen und Matthiessen³⁾, Frey⁴⁾, Moissan⁵⁾, Borchers und Stockem⁶⁾, Ruff und Plato⁷⁾, Arndt⁸⁾, Poulenc Frères⁹⁾, Redlich und Suter¹⁰⁾ und Goodwin.¹¹⁾ Hare elektrolysierte geschmolzenes CaCl_2 , Bunsen und Matthiessen, die es zum ersten Male in größeren Mengen erhielten, ein Gemisch von CaCl_2 und SrCl_2 , das ja einen niedrigeren Schmelzpunkt haben muß als reines CaCl_2 , und Moissan geschmolzenes CaJ_2 . Doch sind ihre Methoden zur Reindarstellung im großen wohl nicht geeignet; dieselbe scheint erst ermöglicht zu werden durch die gleichzeitig und unabhängig ausgearbeiteten Verfahren der neueren Forscher.

Borchers und Stockem elektrolysieren in einem als Anode dienenden Kohletiegel reines CaCl_2 bei hoher Stromdichte an der Kathode. Dieselbe wird erreicht durch Verwendung eines dünnen Eisendrahtes. Die Temperatur ist zwischen dem Schmelzpunkte des CaCl_2 und dem des Metalles zu wählen. Die an der Kathode sich bildende schwammige Masse preßt man mit einer eisernen Zange aus und bringt sie rasch unter Steinöl. Die so erhaltene, zu etwa 90 Proz. aus reinem Ca bestehende Masse läßt sich bei Luftabschluß zu weiterer Reinigung umschmelzen. Ruff und Plato erhielten reines Ca durch Elektrolyse eines Gemisches von Ca-Salzen. Sie benutzen so den schon von Matthiessen angegebenen Vorteil eines niedrig schmelzenden Salzgemisches, ohne durch das Hineinbringen von Sr das ausgeschiedene Metall zu verunreinigen. Bei Anwendung z. B. eines Gemisches von 100 Teilen CaCl_2 und 16,5 Teilen CaF_2 (Schmelzpunkt 660°), erhalten sie an der ebenfalls aus einem dünnen Eisendraht bestehenden Kathode oberhalb des Schmelzpunktes des Ca kleine Kügelchen von reinem Ca, die sich leicht mit einer Drahtöse aus der Schmelze herausnehmen lassen. Es ist notwendig, nur solche Schmelzen zu verwenden, deren Dichte größer ist als die des reinen Metalles. Das erhaltene Metall enthielt 99,2—99,3 Proz. Ca. Arndt elektrolysiert reines CaCl_2 bei hoher Temperatur und gewinnt das Metall durch Auslesen aus der nach dem Erkalten zerschlagenen Schmelze. Für den technischen Bedarf scheint von diesen die Methode von Borchers und Stockem die brauchbarste zu sein, da nach ihrer Angabe¹²⁾ nur bei Temperaturen unterhalb des Schmelzpunktes des Ca die Oxydation desselben zu Subchlorid gering ist.

Auch Poulenc Frères und Maur. Meslans, Suter und Redlich und Goodwin halten eine Erniedrigung des Schmelzpunktes des zu elektrolysierenden CaCl_2 durch einen fremden Zusatz für unnötig. Goodwin erzielte gute Ausbeute mit einem eigens von ihm konstruierten Schmelzofen; Poulenc Frères verwenden als Kathode geschmolzenes Aluminium, das sich sehr leicht mit Ca legiert und erhalten auf diesem Wege Legierungen bis zu 97 Proz. Ca. Suter und Redlich vermeiden eine sekundäre Oxydation des kathodisch abgeschiedenen Calciums dadurch, daß sie die Kathode stetig aus der flüssigen Schmelze herausziehen und immer nur ihre Oberfläche in Kontakt mit dem Elektrolyten lassen. Auf diese Weise erhält man das metallische Ca in Stangenform in den Elektrochemischen Werken Bitterfeld. E. H. Paken¹³⁾ erhielt bei der Elektrolyse von CaCl_2 in einem Wassermethylalkoholgemisch bei Stromdichten von über 0,1 Amp. qcm an der Kathode einen Überzug von metallischem Calcium, außerdem entwickelte sich jedoch Wasserstoff.

Die chemischen Methoden zur Reindarstellung des Ca beruhen, abgesehen von einem verglichenen Versuch von Hare mit Wasserstoff, auf der Reduktion der Ca-Salze durch metallisches Na oder Mg. Liès-Bodart und Jodin¹⁴⁾ glühten CaJ_2 , Sonstad¹⁵⁾ ein Gemisch von KCl und CaCl_2 bei Rotglut in einem eisernen Tiegel mit Natrium. Derselbe muß durch einen Deckel verschlossen sein, weil nach Dumas¹⁶⁾ die Reduktion nur unter Druck vor sich geht. Die Ausbeute war aber nur gering; offenbar geht die Reaktion $\text{CaJ}_2 + 2\text{Na} \rightleftharpoons 2\text{NaJ} + \text{Ca}$ nur bis zu einem gewissen Gleichgewicht vor sich. Zur Verbesserung der Ausbeute ist es notwendig, das chemische Potential des Na möglichst groß und das des entstehenden Ca möglichst klein zu machen. So ist es zu erklären, daß Caron¹⁷⁾ bedeutend bessere Resultate durch Anwendung eines großen Überschusses von Na oder den Zusatz von Zn erzielte. Hier-

bei bildet sich eine Legierung von Ca mit Na bez. Zn, aus der das Ca durch Abdestillieren des Na und Zn erhalten werden kann. Der große Nachteil dieser theoretisch idealen Methode besteht jedoch darin, daß man durch Destillation nie völlig reines Ca darstellen kann. Diesen Übelstand vermeidet Moissan (l. c.), der ebenfalls CaJ_2 mit überschüssigem Na erhitze, durch wiederholte Behandlung der CaNa-Legierung mit wasserfreiem Alkohol, in welchem sich nur das Natrium unter Wasserstoffentwicklung löst. Auf diese Weise erhielt er 99 prozentiges Ca. Doch steht diese Methode in technischer Beziehung der elektrolytischen nach, weil sie als Ausgangsmaterialien große Mengen absoluten Alkohols und metallischen Natriums voraussetzt, das seinerseits erst durch Elektrolyse dargestellt werden muß.

Cl. Winkler¹⁸⁾ erhitze Calciumoxyd mit Magnesium im offenen Tiegel. Nach Beendigung der unter mäßiger Wärmeentwicklung vor sich gehenden Reaktion konnte im Reaktionsgemisch metallisches Ca durch lebhafte Wasserzersetzung nachgewiesen werden; doch wurde eine Trennung der Metalle und somit eine nähere Untersuchung des eingetretenen Gleichgewichtszustandes nicht versucht.

Eigenschaften des reinen Calciums. Über die Eigenschaften des reinen Ca liegen in der Literatur sehr verschiedene, einander zum Teil widersprechende Angaben vor, weil die älteren Autoren durchweg mehr oder weniger unreines Metall in Händen gehabt haben. Eingehend sind die Eigenschaften des Ca in physikalischer wie chemischer Beziehung von Moissan¹⁹⁾ untersucht worden. Versuche mit dem nach den neueren elektrolytischen Methoden gewonnenen Metall sind soeben von Arndt^{19a)} publiziert worden.

Nach Moissan bildet das kristallinische Ca hexagonale oder rhomboedrische Täfelchen. Es läßt sich mit dem Messer schneiden, ist an der Schnittfläche silberweiß und läuft an der Luft unter Nitridbildung gelb an. Es ist härter als Blei, weicher als Kalkspat. Sein spez. Gewicht beträgt für das reinste destillierte Metall nach Arndt 1,52; sein Schmelzpunkt ist 800° . Es zersetzt Wasser träge und verdünnte Säuren heftig unter Wasserstoffentwicklung. In rauchender Schwefelsäure ($\text{H}_2\text{SO}_4 + \text{SO}_3$) löst es sich unter Abscheidung von S (wonach der Schwefel hier die Rolle eines positiven Elements spielt), und Entwicklung von SO_2 , in konzentrierter Schwefelsäure (H_2SO_4) auch unter Entwicklung von H_2S .

Es reagiert bei hohen Temperaturen mit den Halogenen unter Feuererscheinung, verbrennt beim Erhitzen an der Luft, auch unter Bildung einer Stickstoffverbindung (das Verbrennungsprodukt entwickelt mit Wasser Ammoniak), vereinigt sich mit S, Se, Te, P, As, Sb, mit C zu CaC_2 , reduziert bei Rotglut Chloride und Fluoride der Alkalien, aber nicht die Jodide, ferner SO_3 (in der rauchenden Schwefelsäure), SO_2 , NO_2 , P_2O_5 , letzteres unter Explosion, B_2O_3 , SiO_2 . Mit CO_2 reagiert es bei raschem Erhitzen unter Bildung von CaO und CaC_2 , mit CO nur unvollständig. Es reagiert lebhaft mit HCl, H_2S , mit NH_3 bildet es nur in der Wärme das Hydrür und Stickstoff; bei -40° entsteht eine feste Verbindung, Calciumammonium. Mit Acetylen, Äthylen und Methan reagiert es bei Rotglut heftig unter Bildung von C, CaC_2 und CaH_2 .

Das Refraktionsäquivalent des Calciums für die A-Linie beträgt nach Kannonikow²⁰⁾ $R_A = 9,05$.

Calciumion. Das Calcium bildet nur eine einzige Art Ionen, nämlich das zweiwertige Ion Ca^{++} . Die Bildungswärme desselben aus dem Metall be-

trägt 114700 cal.²¹⁾ Die Haftintensität des Calciumions ist nicht genau bekannt, da sie aus Mangel an einer für das Kation reversiblen Elektrode nicht meßbar ist. Wilsmore berechnet sie zu $\epsilon_h = +2,56$ V. Jedenfalls geht aus der Stellung des Calciums im periodischen System hervor, daß seine Elektroaffinität geringer ist als die der homologen Erdalkalien, Ba und Sr, jedoch größer als die des Mg und der Erdmetalle. Daher ist seine Komplexbildungstendenz relativ klein. Immerhin ist aber die Existenz von komplexen Calciumionen z. B. aus der Abhängigkeit der Überführungszahlen in konzentrierten Calciumsalzlösungen von der Verdünnung (Steele²²⁾), der Löslichkeitserhöhung schwer löslicher Calciumsalze durch gewisse Zusätze, der Bildung von Doppelsalzen, Hydraten und Ammoniakaten mit Sicherheit zu folgern.

Die Hydratationstendenz des Ca^{++} ist größer als die der anderen Erdalkalitionen. Dies geht sowohl aus dem Kristallwassergehalt seiner Salze, wie aus den erheblichen Abweichungen seiner Lösungen von den einfachen Lösungsgesetzen hervor (cf. besonders die zahlreichen Messungen von Jones und seinen Mitarbeitern).

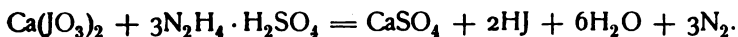
Sehr auffällig ist es, daß bei hoher Temperatur Calcium unedler wird als Natrium (Stockem²³⁾). Aus schmelzendem CaCl_2 kann man nämlich das Ca durch met. Na nicht niederschlagen; dementsprechend wird beim Erwärmen von NaCl und Ca auf 800° met. Na und CaCl_2 gebildet.

Das Calciumion ist farblos; daher bilden alle Calciumsalze, sofern sie nicht ein gefärbtes Anion enthalten, farblose Lösungen. Die Ionenbeweglichkeit des Calciums ist nach Hulett²⁴⁾ bei 18° $u = 53$, sein Temperaturkoeffizient 0,0238; Steele und Denison²⁵⁾ fanden $u = 52,0$; Kohlrausch und Grüneisen²⁶⁾ nahmen neuerdings den Wert 52,06 als den richtigsten an.

Löslichkeit der Calciumsalze. Infolge der großen Elektroaffinität des Calciums sind seine Salze zum großen Teil in Wasser leicht löslich, besonders die Salze der Halogene, mit Ausnahme des Fluorids, und die der Halogensauerstoffsäuren, ferner alle sauren Salze. Schwer löslich sind nur das Fluorid, die neutralen Phosphate und Arsenate, das Sulfat, Silicat, Carbonat und Oxalat. Die Löslichkeit der letzten beiden Salze ist sehr klein, so daß die Ionen CO_3^{--} und $\text{C}_2\text{O}_4^{--}$ in neutraler oder alkalischer Lösung ein sehr empfindliches Reagens auf Calciumionen bilden. In organischen Flüssigkeiten, auch Alkohol, sind Calciumsalze, mit Ausnahme der Haloide, schwer löslich.

Quantitative Bestimmung des Calciums. Aus Lösungen, die außer Calcium nur Metalle der Alkaligruppe u. Mg enthalten, wird dasselbe durch Ammoniumcarbonat oder Oxalat bei Gegenwart von freiem Ammoniak (um die Hydrolyse der Fällungsmittel zurückzuhalten), gefällt und nach dem Glühen als Oxyd gewogen. Stolberg²⁷⁾ empfiehlt neuerdings die Fällung als Sulfat nach Zusatz von Alkohol, da diese Bestimmung weniger zeitraubend ist als die ältere.

Die volumetrische Bestimmung des Calciums in solchen Lösungen kann ebenfalls nach zwei Methoden vorgenommen werden; entweder man fällt es wie oben als Carbonat, wäscht den Niederschlag gut aus, löst ihn in überschüssiger Salzsäure und titriert ihren Überschuß mit Alkali zurück; oder man fällt es als Oxalat. Das ausgewaschene Calciumoxalat behandelt man mit Schwefelsäure oder löst es in Salzsäure und titriert die Oxalsäure mit Kaliumpermanganat. Im letzteren Falle ist der Zusatz von Manganosalzen vor der Titration erforderlich (Mohr²⁸⁾, Peters²⁹⁾, Rupp und Bergdoll³⁰⁾). Riegler³¹⁾ empfiehlt eine gasanalytische Bestimmung mittels Hydrazinsulfat. Das schwerlösliche Jodat setzt sich nämlich mit diesem um nach der Gleichung



Aus dem entwickelten Stickstoff kann der Gehalt an Ca berechnet werden.

Die Trennung des Calciums von den Schwermetallen und den Erden erfolgt durch Ausfällung der letzteren durch Schwefelwasserstoff und Schwefelammonium, die Trennung von den Alkalimetallen und Magnesium durch Fällung als Carbonat bei Gegenwart von Ammoniumsalzen. Zur Trennung von Barium und Strontium können folgende Methoden angewandt werden.

1. Von Barium allein:

dasselbe wird in schwach-essigsaurer Lösung als Chromat gefällt und im Filtrat das Calcium bestimmt.

2. Von Strontium allein:

durch eine konzentrierte Lösung von Kaliumoxalat und -carbonat fällt bei Siedetemperatur Strontiumcarbonat und Calciumoxalat. Der ausgewaschene Niederschlag wird mit verdünnter Essigsäure behandelt, die nur das Sr-Salz der schwächeren Kohlensäure zu lösen vermag, während sie Calciumoxalat zurückläßt (Mohr³²). Durch konzentrierte Ammoniumsulfatlösung wird nur SrSO_4 gefällt (Robin³³).

3. Von Barium und Strontium:

a) die 3 Metalle werden als Carbonate gefällt, durch Auflösen in verdünnter Salpetersäure und Eindampfen in die Nitrats verwandelt. In einem Gemisch von gleichen Teilen Alkohol und Äther ist dann nur Calciumnitrat löslich (Fresenius³⁴);

b) das nach a) erhaltene Nitratgemisch wird mit Salpetersäure von spez. Gew. 1,42 behandelt; es löst sich nur Calciumnitrat (Rawson³⁵);

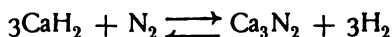
c) die gemeinsame Lösung der drei Metalle wird mit Schwefelsäure versetzt und eingedampft. Beim Behandeln des Sulfatgemenges mit weinsaurem Alkali wird bei Gegenwart von Ammoniumsulfat nur CaSO_4 in Tartrat verwandelt, und dieses ist in Mineralsäuren löslich (Dupasquier³⁶).

Eine elektrolytische Trennung des Ca von Ba und Sr ist von Coehn und Kettembeil³⁷) angegeben worden. Die drei Erdalkalien können zwar im allgemeinen nicht aus ihren wässrigen Lösungen ausgeschieden werden, weil ihre Lösungsdrucke größer sind als der des Wasserstoffs. Verwendet man jedoch Quecksilber als Kathode, so erhält man elektrolytisch ihre Amalgame, weil durch die Legierung mit dem Hg die Lösungsdrucke des Ca, Sr, Ba herabgedrückt werden. Bei der Wahl geeigneter Stromdichten gelingt die quantitative Abscheidung des betreffenden Metalls als Amalgam, wenn nämlich die Bildung des Amalgams rascher verläuft als die nachherige Zersetzung durch das Wasser. Es hat sich nun herausgestellt, daß die Zersetzungsspannungen, bei denen die Amalgambildung eintritt, beim Ca um 0,25 über der des Sr und 0,45 über der des Ba liegt. Hält man daher die Spannung innerhalb dieser Intervalle konstant, so gelingt die quantitative Trennung der Erdalkalien auf elektrolytischem Wege.

Calciumhydrid CaH_2 wurde von v. Lengyel³⁸) durch Einwirkung von Wasserstoff auf metallisches Calcium bei gewöhnlicher Temperatur, und von Moissan³⁹) bei Dunkelrotglut erhalten. Nach letzterem ist es weiß, zeigt nach dem Schmelzen kristallinischen Bruch und die Dichte 1,7. Mit Wasser und verdünnten Säuren entwickelt es lebhaft Wasserstoff, von kon-

zentrierten Säuren wird es in der Kälte nicht angegriffen. Durch Chlor wird es erst in der Hitze zersetzt, lebhafter durch Brom und Jod. Mit Kohlendioxyd bildet es Calciumformiat. Es leitet den elektrischen Strom nicht, ist daher nicht als Legierung aufzufassen. Wasserstoff kann es im Gegensatz zu Strontium- und Bariumhydrid nicht absorbieren (Gautier⁴⁰).

Es setzt sich mit N_2 in ein Gleichgewicht, da die Reaktion



umkehrbar ist (Moissan⁴¹)).

Calciumfluorid. CaF_2 . Mol.-Gew. = 78,1.

Das Calciumfluorid kommt in der Natur ziemlich häufig als Flußspat, Fluorit vor, schön kristallisiert, in Form von Würfeln oder Oktaedern. Es ist oft schön gefärbt und phosphoresziert nach gelindem Erwärmen. Von dieser Erscheinung rührt der Name „Fluoreszenz“ her. Sein spez. Gew. ist 3,183⁴²), seine spez. Wärme zwischen 21 und 50° 0,209 nach Kopp⁴³), nach Regnault⁴⁴) zwischen 15 und 99° 0,21541, seine Bildungswärme aus den Elementen 108500 cal. (Guntz)⁴⁵); es ist sehr durchlässig für ultraviolettes Licht, sein Brechungsexponent für gelbes Licht (D-Linie) ist nach verschiedenen Autoren (Fizeau, Sarasin, Stefan⁴⁶) = 1,4339. Der Flußspat ist die verbreitetste aller Fluorverbindungen und dient daher zu ihrer technischen Darstellung.

Kristallinisches Fluorcalcium wird dargestellt durch Neutralisation von Calciumcarbonat mit Flußsäure. Beim Vermischen einer Calciumsalzlösung mit einem neutralen Fluorid fällt das Fluorcalcium gallertartig aus und kann erst durch andauerndes Erhitzen mit Salzsäure auf 250° in die kristallinische Modifikation umgewandelt werden (Scheerer und Drechsel⁴⁷)). Kolloidale Lösungen von CaF_2 sind ziemlich haltbar (Paterno und Mazzucchelli⁴⁸)). Kristallinisch entsteht es auch durch längeres Erhitzen von Kieselfluorcalcium mit Chlorcalciumlösung unter Bildung von Kieselsäure und Salzsäure, und durch Schmelzen von Fluornatrium oder Fluormangan mit Chlorcalcium (Röder⁴⁹), Defacqz⁵⁰)).

Es schmilzt ohne merkliche Zersetzung, nach Ruff⁵¹) bei 1330°, die Dichte der Schmelze beträgt 3,16. Erhitzt man es vor dem Lötrohr, so schmilzt es zunächst, zersetzt sich jedoch bald unter Bildung von Fluorwasserstoff und festem Calciumoxyd, jedenfalls weil durch das Blasen der Partialdruck der sich bildenden Flußsäure rein mechanisch unterhalb ihres Dissoziationsdruckes erniedrigt wird. Durch Wasserdampf wird Fluorcalcium bei Rotglut zersetzt, auch durch Sauerstoff, und zwar unter Bildung eines Glas angreifenden Gases, im ersteren Falle von HF, im letzteren wahrscheinlich von Fluor (Frémy⁵²)); da hierbei die Platintiegel zerstört wurden, konnten die Versuche nicht fortgesetzt werden. Durch Chlor wird es ebenfalls zersetzt, doch nur bis zu einem bestimmten Gleichgewicht, das jedenfalls von den Versuchsbedingungen abhängig ist (Frémy, l. c.).

In reinem Wasser ist Fluorcalcium sehr schwer löslich. Kohlrausch und Rose⁵³) bestimmten die Löslichkeit durch die Messung der Leitfähigkeit der gesättigten Lösung bei 18° zu 0,00042 n ($\frac{1}{2}CaF_2$), d. h. 16 mg im Liter; für natürlichen Flußspat etwas geringer (15 mg). Im Widerspruch hierzu steht eine ältere Angabe von Wilson⁵⁴), der bei 15° 0,37 g im Liter, d. h. eine Löslichkeit von 0,0095 n fand; doch ist jedenfalls die erste die richtige. Die Löslichkeit ist größer bei Gegenwart von CO_2 , NH_3 und NH_4 -Salzen, wohl wegen Komplexbildung; ferner in konzentrierten Lösungen

von HCl , H_2SO_4 , HNO_3 , da diese Säuren die viel schwächere H_2F_2 verdrängen. Die Löslichkeitserhöhung durch Flußsäure ist jedenfalls durch Komplexbildung des F_2 veranlaßt, da das entsprechende saure Salz von Frémy (l. c.) in festem Zustande dargestellt wurde. Es hat die Formel $\text{CaF}_2 \cdot 2\text{HF} \cdot 6\text{H}_2\text{O}$.

Die Bildungswärme aus $\text{Ca}(\text{OH})_2$ und H_2F_2 ist von Guntz⁵⁵⁾ zu 18600 cal., aus den Elementen zu 108500 cal. bestimmt worden.

Calciumchlorid. CaCl_2 . M.-G. = 111,0.

Vorkommen. Das Calciumchlorid kommt im Tachhydrit ($2\text{MgCl}_2 \cdot \text{CaCl}_2 \cdot 12\text{H}_2\text{O}$), in der Natur vor, ferner im Meerwasser, verschiedenen Mineralquellen und in der Ackererde.

Bildung und Darstellung. Metallische Ca vereinigt sich mit Cl unter Feuererscheinung (Moissan⁵⁶⁾), ebenso CaO, unter Freiwerden des Sauerstoffs (Gay-Lussac und Thénard⁵⁷⁾, Weber⁵⁸⁾). CaO und HCl ergeben CaCl_2 , auch bei Abwesenheit von H_2O , jedoch nicht mit flüssigem HCl. Die wässrige Lösung erhält man durch Auflösen von CaO und CaCO_3 in Salzsäure. Zur technischen Darstellung neutralisiert man die Rückstände aus der Ammoniakfabrikation (bestehend aus CaCl_2 und $\text{Ca}(\text{OH})_2$) mit HCl und dampft zur Trockne ein. Chemisch reines CaCl_2 erhält man nach Kirchhoff und Bunsen⁵⁹⁾ durch Auflösen von Marmor in Salzsäure und Fällen der Lösung mit Ammoniumcarbonat in zwei Portionen. Die zweite Hälfte des Niederschlags wird in das Nitrat übergeführt und dieses in Alkohol gelöst. Nach Abdampfen des Alkohols und Lösen des Rückstandes in H_2O wird nochmals mit Ammoniumcarbonat gefällt. Die Lösung dieses Niederschlags in HCl ist reines Calciumchlorid.

Gleichgewicht zwischen den Hydraten; Löslichkeit. Das Chlorcalcium kristallisiert mit 6, 4, 2, 1, 0 Molekülen Kristallwasser. Am längsten bekannt ist das Hexahydrat, welches bei Zimmertemperatur durch Verdunsten der gesättigten Lösung entsteht. Je ein Tetrahydrat wurde von Lefèvre⁶⁰⁾ und Hammerl⁶¹⁾ entdeckt. Dieselben sind jedoch nicht identisch, wie Roozeboom⁶²⁾ nachgewiesen hat, und werden daher von diesem mit α und β bezeichnet. Das Dihydrat wurde von Graham⁶³⁾ und Ditté⁶⁴⁾ dargestellt, das Monohydrat von Lescoeur⁶⁵⁾ wahrscheinlich gemacht, seine Existenz jedoch erst von Roozeboom (l. c.) bewiesen.

Das Entstehen und die Existenzbedingungen der einzelnen Hydrate sind von Roozeboom (l. c.) vom Standpunkte der Phasenlehre aufgeklärt worden. Roozeboom geht von der Tatsache aus, daß die Löslichkeit eines festen Körpers eine kontinuierliche und stetige Funktion der Temperatur ist. Treten nun in der Löslichkeitstemperaturkurve eines Stoffes Knickpunkte auf, so beweist das, daß die Lösungen zu beiden Seiten des Knickpunktes nicht an demselben Stoffe gesättigt sind, bez. mit ihm im Gleichgewicht stehen, sondern mit verschiedenen Modifikationen. Die Lösungen enthalten dann verschiedene Bodenkörper (Hydrate), die bei dem Knickpunkte sich ineinander umwandeln. Die Punkte, bei denen die Hydrate mit ihrer gesättigten Lösung im Gleichgewicht stehen, kann man auch auffassen als die Schmelzpunkte eines Systems von H_2O und CaCl_2 , in welchem das Wasser der gelöste Stoff und das betreffende Hydrat das auskristallisierende Lösungsmittel ist. Um das Bild von den Gleichgewichtsverhältnissen zwischen CaCl_2 und H_2O zu vervollständigen, hat Roozeboom daher auch die Schmelzpunkte der wasserreicheren Systeme, bei denen dieses als Lösungsmittel (Eis) auskristallisiert, d. h. die Gefrierpunktserniedrigung verdünnter Chlorcalciumlösungen bestimmt. Diese

Schmelzpunktskurve ist identisch mit der Löslichkeitskurve von Eis in Chlorcalciumhydrat.

Nebenstehende Kurven stellen die von Roozeboom erhaltenen Werte dar. Für die Löslichkeiten von $\text{CaCl}_2 \cdot 6\text{H}_2\text{O}$ zwischen -55 und $+20^\circ \text{C}$ sind die Bestimmungen von Hammerl (l. c.) benutzt. Als Abszissen sind die Gewichtsteile CaCl_2 , die in der Lösung auf 100 H_2O enthalten sind, als Ordinaten die Temperaturen aufgetragen.

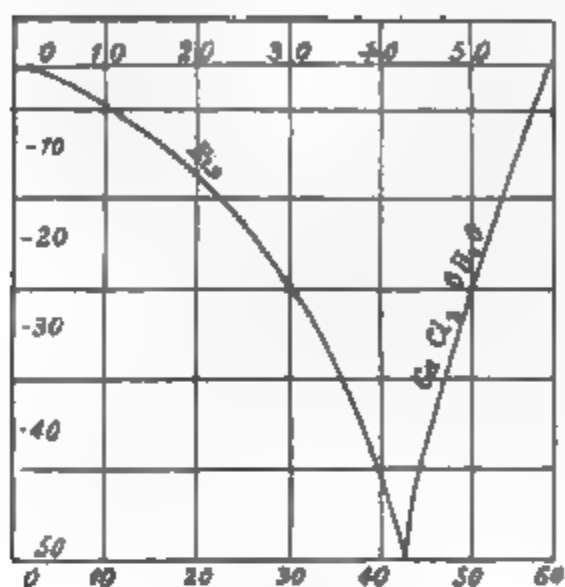


Fig. 1

Fig. 1 zeigt zunächst die Gefrierpunktskurve von verdünnten Chlorcalciumlösungen. Der Gefrierpunkt nimmt ab bis -55° , dem kryohydratischen Punkt, bei dem Eis und Hexahydrat auskristallisieren. Der Prozentgehalt der Lösung beträgt 42,5. Aus den konzentrierteren Lösungen kristallisiert Hexahydrat aus, die Abszissen geben daher die Löslichkeiten desselben in Wasser bei der Temperatur der Ordinate an. Die Löslichkeit steigt kontinuierlich bis zum Punkte A (Fig. 2), dem Prozentgehalte 102,7 und der Temperatur von $30,2^\circ$. An diesem Punkte ist die Zusammensetzung der

flüssigen Phase gleich der der festen, nämlich $\text{CaCl}_2 + 6\text{H}_2\text{O}$; er stellt also den Schmelzpunkt des reinen Hexahydrats dar. (Ältere Autoren hatten einen

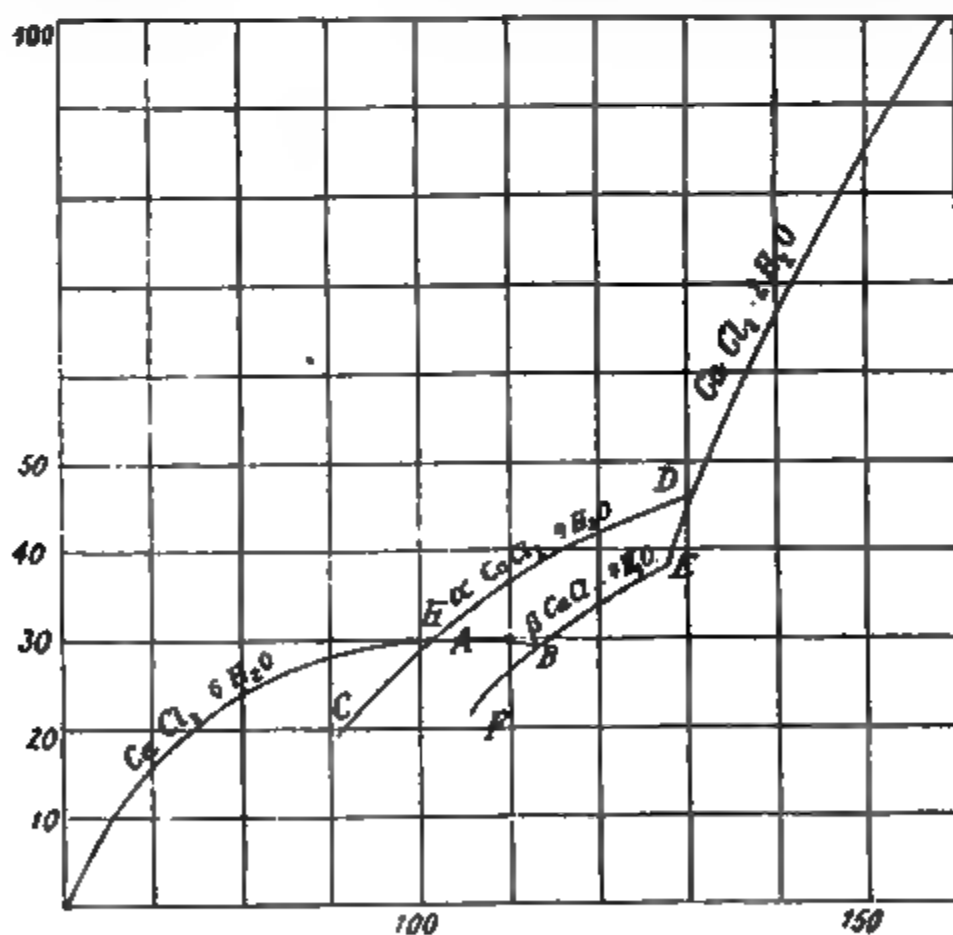


Fig. 2.

etwas niedrigeren Schmelzpunkt angegeben: Person⁶⁶⁾ $28,5^\circ$, Kopp⁶⁷⁾ 29° , Tilden⁶⁸⁾ 28° , Hammerl⁶⁹⁾ $29,5^\circ$.) Auf den Punkt A folgt kontinuierlich der allerdings kurze, aber sehr bemerkenswerte Ast AB der Gleichgewichtskurve

bis zur Temperatur $29,2^{\circ}$ und der Konzentration 112,8 Proz. Seine Existenz beweist zum ersten Male die von Roozeboom schon theoretisch vorausgesagte Tatsache, daß ein Hydrat ($\text{CaCl}_2 \cdot 6\text{H}_2\text{O}$) bei derselben Temperatur mit zwei verschiedenen konzentrierten Lösungen im Gleichgewicht bestehen kann, nämlich sowohl mit Lösungen von H_2O in ihm als Lösungsmittel, d. h. wasserreicheren als das feste Hydrat — die Kurve links von A, — wie mit Lösungen eines niederen Hydrats in ihm, d. h. salzreicheren als das feste Hydrat — der absteigende Ast AB —, die natürlich einen niederen Gefrierpunkt haben müssen, als das reine Lösungsmittel ($\text{CaCl}_2 \cdot 6\text{H}_2\text{O}$ bei $30,2^{\circ}$). Am Punkte B (Temperatur $29,2^{\circ}$, Konzentration 112,8) scheiden sich plattenförmige Kristalle ab, von der Zusammensetzung $\text{CaCl}_2 \cdot 4\text{H}_2\text{O}$, die schon von Lefèvre beschrieben und von Roozeboom mit β bezeichnet wurden. Die Löslichkeit dieses Hydrats steigt kontinuierlich längs BE. In diesem Gebiete sind Kristalle $\text{CaCl}_2 \cdot 6\text{H}_2\text{O}$ nicht existenzfähig; dagegen läßt sich die

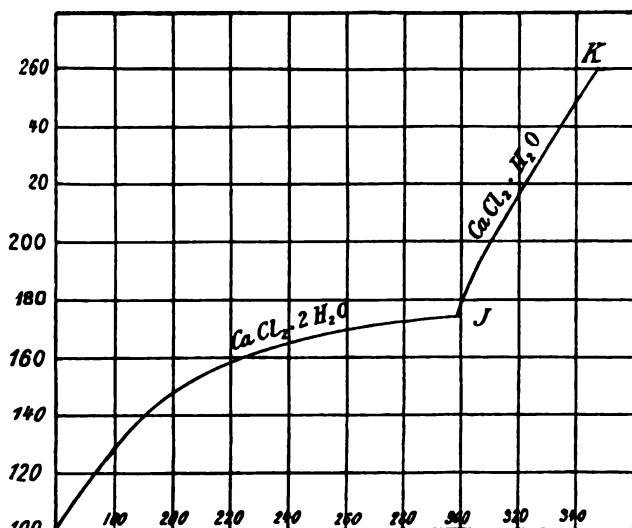


Fig. 3.

Kurve unterhalb B bis F verfolgen, da die Bildung der Hexahydratkristalle eine Verzögerung erleidet. Die Lösungen längs BF sind für Tetrahydrat β gesättigt, für Hexahydrat übersättigt. Erwärmt man das Tetrahydrat β in Gegenwart seiner gesättigten Lösung über $38,4^{\circ}$ (E), so wandelt es sich in das Dihydrat $\text{CaCl}_2 \cdot 2\text{H}_2\text{O}$ um, kühlt man es unter 20° (F) ab, so verwandelt es sich in eine stabilere Modifikation $\text{CaCl}_2 \cdot 4\text{H}_2\text{O} \alpha$ um. Diese Umwandlung tritt freiwillig nicht oberhalb 20° ein, kann aber durch Reiben oder durch Impfung mit einem α -Kristall im ganzen Existenzbereich des β -Hydrats hervorgerufen werden. Da das α -Hydrat, das schon von Hammerl erhalten wurde, unter allen Umständen das beständigere ist, so muß es eine geringere Löslichkeit besitzen, als die β -Form. Seine Löslichkeitskurve verläuft demgemäß längs CHD. Längs CH ($H = 29,8^{\circ}$) sind die Lösungen daher an Tetrahydrat α gesättigt, an Hexahydrat übersättigt. Bei D ($45,3^{\circ}$) wandelt sich das Tetrahydrat α unter allen Umständen in das Dihydrat um. Die

Lösungen längs DE sind daher an Dihydrat gesättigt, an Tetrahydrat α übersättigt. Die Löslichkeitskurve des Dihydrats steigt kontinuierlich bis J ($175,5^\circ$) Fig. 3; bei dieser Temperatur wandelt es sich in das Monohydrat $\text{CaCl}_2\text{H}_2\text{O}$ um, dessen Löslichkeit unter erhöhtem Druck bis 260° verfolgt wurde (Kurve JK). Bei dieser Temperatur ungefähr scheidet sich wasserfreies Salz aus der Lösung ab. Theoretisch müßte die Löslichkeitskurve der reinen CaCl_2 kontinuierlich bis zu dessen Schmelzpunkt, 723° , verlaufen. Doch konnte sie aus experimentellen Gründen nicht weiter untersucht werden.

Das Gebiet der stabilen Existenz jedes einzelnen Hydrats ist vollständig bestimmt durch die Knickpunkte der Löslichkeitskurven, die sich als Schnittpunkte der den verschiedenen Hydraten zukommenden Kurven darstellen. An jedem solchen Schnittpunkte, der zugleich ein Umwandlungspunkt für die Hydrate ist, die zu den sich schneidenden Linien gehören, bestehen 4 Phasen nebeneinander (2 Hydrate, Lösung, Dampf). Da das System $\text{CaCl}_2 + \text{H}_2\text{O}$ aus zwei unabhängigen Bestandteilen besteht, so ist an diesen vierfachen Punkten die Anzahl der Freiheiten Null. Jede Änderung der Temperatur muß also zum Verschwinden einer Phase führen. Die Phasen, die an den einzelnen Schnittpunkten miteinander im Gleichgewicht stehen, sind folgende

						Dampfdruck	
1.	—	55°	Eis,	$\text{CaCl}_2\cdot 6\text{H}_2\text{O}$, Lösung, Dampf		o	mm Hg
(H)	+	$29,8^\circ$	$\text{CaCl}_2\cdot 6\text{H}_2\text{O}$,	$\text{CaCl}_2\cdot 4\text{H}_2\text{O}\alpha$	" "	6,80	" "
(B)	+	$29,2^\circ$	$\text{CaCl}_2\cdot 6\text{H}_2\text{O}$,	$\text{CaCl}_2\cdot 4\text{H}_2\text{O}\beta$	" "	5,67	" "
(E)	+	$38,4^\circ$	$\text{CaCl}_2\cdot 4\text{H}_2\text{O}\beta$,	$\text{CaCl}_2\cdot 2\text{H}_2\text{O}$	" "	7,88	" "
(D)	+	$45,3^\circ$	$\text{CaCl}_2\cdot 4\text{H}_2\text{O}\alpha$,	$\text{CaCl}_2\cdot 2\text{H}_2\text{O}$	" "	11,77	" "
(J)	+	$175,5^\circ$	$\text{CaCl}_2\cdot 2\text{H}_2\text{O}$,	$\text{CaCl}_2\cdot \text{H}_2\text{O}$	" "	842	" "
(K)	ca.	260°	$\text{CaCl}_2\cdot \text{H}_2\text{O}$,	CaCl_2	" "	mehrere Atmosphären.	

Die letzte Reihe gibt die Dampfdrucke an, unter denen die betreffenden Systeme stehen. Es ist selbstverständlich, daß an diesen vierfachen Punkten die Dampfdrucke der einzelnen Hydrate und der Lösung gleich werden. Die Dampfdruckkurven der gesättigten Lösungen schneiden sich also in denselben Punkten wie die Löslichkeitskurven.

Der Punkt A (Schmelzpunkt des Hexahydrats) ist nach Roozeboom kein Knickpunkt, sondern ein Maximum, an dem die Tangente zur Löslichkeitskurve parallel wird. Dagegen hatte Le Chatelier⁷⁰⁾ aus theoretischen Gründen Einspruch erhoben und gezeigt, daß die Versuche Roozebooms sich sehr wohl damit vereinbaren ließen, daß im Punkt A sich die Kurventeile OA und AB in einem Winkel schnitten, so daß der Differentialquotient der Löslichkeit nach der Temperatur nicht $= 0$, sondern unbestimmt würde. Hiergegen hatte Roozeboom⁷¹⁾ geltend gemacht, daß, da A kein Umwandlungspunkt zwischen zwei festen Hydraten ist, das System $\text{CaCl}_2 + \text{H}_2\text{O}$ nach der Phasenregel noch eine Freiheit hätte und somit eine kontinuierliche Änderung der Löslichkeit mit der Temperatur wahrscheinlich sei. Eine experimentelle Entscheidung versuchte Lidbury⁷²⁾ herbeizuführen durch genaue Schmelzpunktsbestimmungen von $\text{CaCl}_2 + (6 + a)\text{H}_2\text{O}$, wobei a eine kleine Zahl war.

Die erhaltene Schmelzpunktskurve hatte beistehende Form (Fig. 4); sie besaß keinen Knick, sondern ein Maximum, bestätigte also die Roozeboom'sche Ansicht. Bedeutet x das Molenvverhältnis $\text{H}_2\text{O} : \text{CaCl}_2$, so ergeben sich für die Gleichgewichtspunkte folgende Temperaturen:

x	t	$\frac{dt}{dx}$
5,54	29,312 ⁰	1,51
5,745	29,714 ⁰	0,86
5,88	29,866 ⁰	0,60
5,955	29,911 ⁰	0,20
5,99	29,918 ⁰	0,07
6,02	29,920 ⁰	— 0,15
6,065	29,913 ⁰	— 0,91
6,16	29,854 ⁰	— 1,53
6,44	29,530 ⁰	

Küster hat (Hamburger Natf.-Vers. 1901; cf. auch Kremann, Wien. Akad. Ber. Juli 1904) darauf aufmerksam gemacht, daß solche Kurvenpunkte dann Maxima sein müssen, wenn es sich um den Schmelzpunkt einer Verbindung (hier $\text{CaCl}_2 \cdot 6\text{H}_2\text{O}$) handelt, die mit erheblichen Mengen ihrer Komponenten (CaCl_2 und H_2O) im homogenen Dissoziationsgleichgewicht sich

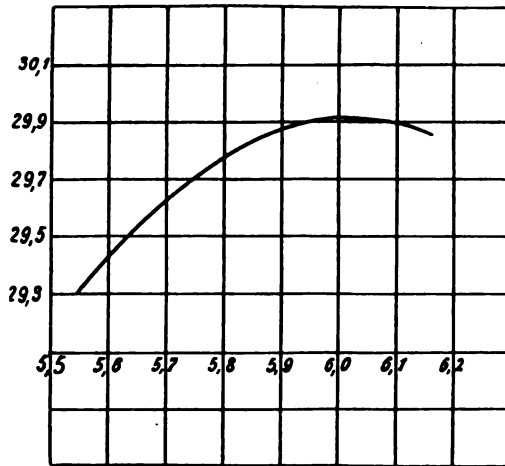


Fig. 4.

befindet. Das Maximum wird dagegen um so mehr zu einem scharfen Schnittpunkt, je weniger die Schmelze der Verbindung in die Komponenten dissoziiert.

Zur Kenntnis der einzelnen Hydrate ist folgendes zu bemerken:

Das Hexahydrat, $\text{CaCl}_2 \cdot 6\text{H}_2\text{O}$, kristallisiert in hexagonalen, oft gestreiften sechseckigen Säulen. Sein spez. Gew. ist nach Clarke⁷³⁾ 1,61 – 1,68, nach Schröder⁷⁴⁾ 1,654.

Das Tetrahydrat α , $\text{CaCl}_2 \cdot 4\text{H}_2\text{O}$, gehört dem rhombischen System an; es ist von Hammerl bei wiederholtem Schmelzen von $\text{CaCl}_2 \cdot 6\text{H}_2\text{O}$ erhalten worden.

Das Tetrahydrat β , $\text{CaCl}_2 \cdot 4\text{H}_2\text{O}$, ist gegenüber dem α -Hydrat unbeständig. Es entsteht durch Abkühlen einer Lösung, die mehr als 1 Mol. CaCl_2 auf 6 Mol. H_2O enthält.

Das Dihydrat, $\text{CaCl}_2 \cdot 2\text{H}_2\text{O}$, wurde von Graham durch Erhitzen des Hexahydrats im Vakuum und von Mitscherlich beim Erhitzen über 200⁰

erhalten. Über seine Kristallform liegen keine Angaben vor, ebensowenig wie über die des Monohydrats $\text{CaCl}_2 \cdot \text{H}_2\text{O}$, das bis jetzt nur von Roozeboom dargestellt wurde.

Das wasserfreie Chlorcalcium CaCl_2 entsteht bei starkem Erhitzen jedes Hydrats (über 260°). Sein spez. Gew. ist 2,20—2,24 (Schröder⁷⁵); es schmilzt nach Carnelley⁷⁶ bei 719° , nach Ruff⁷⁷ bei 780° , nach M. Crae⁷⁸ bei 802° . Die höchste Zahl ist die wahrscheinlichste. Die Dichte des geschmolzenen beträgt beim Schmelzpunkt 2,26 (Ruff), nach Quincke⁷⁹ 2,12. In der Weißglühhitze ist es flüchtig (Mitscherlich⁸⁰). Das geschmolzene Chlorcalcium erleidet offenbar mit in der Luft vorhandenen Flüssigkeitsspuren eine geringe hydrolytische Dissoziation in CaO und 2HCl , da es nach dem Schmelzen alkalisch reagiert. Dies wird verhindert durch den Zusatz von Chlorammonium beim Schmelzen. Infolge der starken Zersetzung dieses Salzes wird der Partialdruck des freien Chlorwasserstoffs vergrößert und die ohnehin schwache Dissoziation des CaCl_2 zurückgedrängt. Durch Wasserdampf wird dieselbe naturgemäß vermehrt.

Das wasserfreie Chlorcalcium bindet mit großer Heftigkeit Wasser; es wird daher in der Technik und im Laboratorium als Trockenmittel verwendet, natürlich nur für Gase und Flüssigkeiten, mit denen es nicht reagiert (z. B. nicht für NH_3). Dies, sowie die Wärmeentwicklung beim Lösen, sprechen dafür, daß dabei zugleich eine chemische Bindung des Wassers erfolgt, deren Produkte unter Umständen als Kristallhydrate auftreten.

Zur quantitativen Bestimmung von Wasser wird es z. B. in der organischen Elementaranalyse gebraucht.

Thermochemie des Chlorcalciums. Die molekulare Bildungswärme des wasserfreien CaCl_2 beträgt bei Zimmertemperatur $+169820$ cal. (Thomsen⁸¹), die des Hexahydrats $+191980$ cal., also die Hydrationswärme $+22160$ cal.

Die Lösungswärme des wasserfreien Salzes beträgt $+17410$ cal. (in 300 Mol. H_2O), die des Hexahydrats -4310 cal. (in 400 Mol. H_2O); die Schmelzwärme des Hexahydrats 11417 cal (Pickering⁸²). Bei der Auflösung des Hexahydrats tritt also eine starke Abkühlung ein; daher, und wegen seiner großen Gefrierpunktniedrigung (s. u.) wird das wasserhaltige Salz seit längerer Zeit zu Kältemischungen verwendet.

Hammerl (l. c.) fand das Temperaturminimum beim Vermischen von 1 Mol $\text{CaCl}_2 \cdot 6\text{H}_2\text{O}$ und 8,45 Mol H_2O (als Schnee) zu $-54,9^\circ$. Es ist die Temperatur des kryohydratischen Punktes (s. o.).

Die Verdünnungswärmen von CaCl_2 -Lösungen sind von Pickering⁸² untersucht worden. Für 18° ist dieselbe Q_∞ (bis zu unendlicher Verdünnung) für 1 Mol $\text{CaCl}_2 + x\text{H}_2\text{O}$.

x	Q_∞
6	6662
7	5472
8	4446
9	3711
10	3079
15	1768
20	1414
50	917

x	Q ∞
100	772
200	690
1500	344
3500	189

Thomsen hatte etwas höhere Werte erhalten.

Pickering bestimmte auch die spez. Wärmen wässriger CaCl_2 -Lösungen und erhielt bei 18° folgende Werte⁸³⁾:

Proz. CaCl_2	C
39,06	0,6253
22,66	0,7683
12,39	0,8841
6,51	0,9370
2,34	0,9707
1,62	0,9860
0,43	0,9994.

Die Lösungen des Chlorcalciums. Die Eigenschaften der wässrigen Chlorcalciumlösungen bieten ein besonderes Interesse zur Entscheidung der Frage nach der Existenz von Hydraten in Lösungen, infolge des hohen Kristallwassergehaltes des festen Salzes. Die Literatur über die Eigenschaften der CaCl_2 -Lösungen ist daher eine sehr große.

Die Löslichkeit des CaCl_2 ist von Kremers⁸⁴⁾, Mulder⁸⁵⁾, Poggiale⁸⁶⁾ Hammerl (l.c.), Étard⁸⁷⁾ und Roozeboom (l.c.) bestimmt worden. Die Angaben des letzteren sind die neuesten und wohl zuverlässigsten; sie sind in den oben stehenden Kurven aufgezeichnet.

Nach Étard gilt für die in 100 g Lösung enthaltene Menge CaCl_2 (c) zwischen — 18° u. + 6° die Gleichung

$$c = 32 + 0,2148t, \text{ zwischen } 50^0 \text{ u. } 170^0$$

$$c = 54,5 + 0,0755(t - 50).$$

Doch sind diese Beziehungen, wie der Vergleich mit den Roozeboom'schen Kurven zeigt, sicher nicht streng richtig.

In Salzsäure ist die Löslichkeit, wie in allen gleichionigen Elektrolyten, infolge des Rückganges der elektrolytischen Dissoziation, geringer. Bei 12° lösen sich in gesättigter Salzsäure 27 Proz. CaCl_2 (Ditte⁸⁸⁾). Es findet daher jedenfalls keine beträchtliche Komplexbildung statt. Aus dieser Lösung kristallisiert das Dihydrat aus.

Das spezifische Gewicht von Calciumchloridlösungen ist ebenfalls von mehreren Forschern bestimmt worden (Schiff⁸⁹⁾, Kremers⁹⁰⁾, Gerlach⁹¹⁾, F. Kohlrausch⁹²⁾, Bremer⁹³⁾, Zepernik u. Tammann⁹⁴⁾ und Pickering⁹⁵⁾). Die Angaben der einzelnen Autoren weichen nicht unerheblich voneinander ab; die Werte von Bremer sind die höchsten. Dieser untersuchte hauptsächlich die Volumenausdehnung mit der Temperatur und fand, besonders für höhere Konzentrationen, für die Dichte der Lösungen das Gesetz bestätigt

$$d = d_0(1 - at - bt^2).$$

d_0 , a und b sind nur von der Konzentration, nicht von der Temperatur abhängig. Für diese beiden letzteren gilt die Beziehung

$$a = c + xp + yp^2$$

$$b = c - \zeta p - \eta p^2,$$

wenn p der Prozentgehalt der Lösung bedeutet; c, x, y, ξ, η sind konstant, und zwar ist ferner $\frac{x}{\xi} = \frac{y}{\eta}$.

Die neuesten und wohl auch zuverlässigsten Bestimmungen der Dichte verschieden konzentrierter Lösungen bei konstanter Temperatur rühren von Pickering (l.c.) her. Er fand bei $17,925^\circ$

g CaCl_2 in 100 g Lösung	s.
51,01	1,51784
46,97	1,47300
43,61	1,43583
40,14	1,39649
35,91	1,34857
30,70	1,29032
25,00	1,22946
19,99	1,17905
15,06	1,13123
10,21	1,08659
5,34	1,04381
3,34	1,02679
1,696	1,01292
0,854	1,00583.

Der große Ausdehnungskoeffizient der Chlorcalciumlösungen mit der Temperatur macht dieselben sehr geeignet zur Herstellung von Thermo-regulatoren.

Die Erniedrigung der Temperatur des Dichtemaximums von Wasser durch Zusatz von CaCl_2 ist nach de Coppet⁹⁶⁾ ungefähr proportional dessen Konzentration

Mol im Liter	t	dt	$\frac{dt}{m}$
0,0431	$3,208^\circ$	$-0,776^\circ$	18,00
0,0744	$2,645^\circ$	$1,337^\circ$	17,97
0,1500	$1,234^\circ$	$2,748^\circ$	18,31

Dampfdruck der festen Hydrate und der Lösungen. Der Dampfdruck der festen Hydrate ist zuerst von Lescoeur⁹⁷⁾ gemessen worden zum Zweck einer Charakterisierung der einzelnen Hydrate. Entwässert man nämlich allmählich ein System von $\text{CaCl}_2 + \text{H}_2\text{O}$ bei konstanter Temperatur, so sinkt der Dampfdruck stetig, bis die Zusammensetzung des Systems die eines festen Hydrats nur wenig unterschritten hat. Dann bleibt er konstant, bis die Zusammensetzung des nächst niedrigeren Hydrats erreicht ist, um dort plötzlich wieder auf einen konstanten Wert zu sinken. Ein System aus zwei festen Hydraten besteht nämlich aus 3 Phasen und 2 unabhängigen Bestandteilen und hat mithin nur eine Freiheit. Bei konstanter Temperatur muß daher der Dampfdruck unabhängig von der Menge der Hydrate sein. So sank bei 100° der Dampfdruck stetig bis 132 mm (Zusammensetzung $\text{CaCl}_2 + 4\text{H}_2\text{O}$), blieb dann konstant und sank plötzlich bei einer Zusammensetzung $\text{CaCl}_2 + 2\text{H}_2\text{O}$ auf 60 mm. Bei der Zusammensetzung $\text{CaCl}_2 - \text{H}_2\text{O}$ sinkt die Spannung plötzlich auf einen sehr kleinen Wert, so daß auch die Existenz des Monohydrats wahrscheinlich wird (später von Roozeboom dargestellt). Die Abhängigkeit des Dampfdrucks der festen Hydrate von der Temperatur zeigt folgende Tabelle:

t	p $\text{CaCl}_2 \cdot 4\text{H}_2\text{O}$ mit $\text{CaCl}_2 \cdot 2\text{H}_2\text{O}$	p $\text{CaCl}_2 \cdot 2\text{H}_2\text{O}$ mit $\text{CaCl}_2 \cdot \text{H}_2\text{O}$
36,5°	8,5 mm	4 mm
65°	32 "	13 "
78°	57 "	24 "
100°	132 "	66 "
129°	—	175 "

Müller-Erzbach⁹⁸⁾ hat den Dampfdruck der festen Hydrate bei niedriger Temperatur bestimmt, ebenso Roozeboom in Gegenwart der gesättigten Lösung. Ist p der Dampfdruck des Hydrats, P der des reinen Wassers, so ist die relative Dampfspannung $\frac{p}{P}$ für die einzelnen Hydrate

$\text{CaCl}_2 \cdot 6\text{H}_2\text{O}$	$\alpha \text{CaCl}_2 \cdot 4\text{H}_2\text{O}$	$\beta \text{CaCl}_2 \cdot 4\text{H}_2\text{O}$
10° 0,380 (R)	20° 0,273 (R)	0,205 (R)
20° 0,323 "	25° 0,244 "	0,197 "
30,2° 0,210 "	29,8° 0,218 "	29,2° 0,188 "
	35° 0,207 "	0,173 "
$\text{CaCl}_2 \cdot 2\text{H}_2\text{O}$	$\text{CaCl}_2 \cdot \text{H}_2\text{O}$	
40° 0,155	160° 0,160	
50° 0,168	175° 0,124	
60° 0,178	180° 0,121	
70° 0,184	190° 0,118	
80° 0,188	200° 0,116	
100° 0,191	205° 0,115	
125° 0,187		

Ältere Angaben von Müller-Erzbach⁹⁹⁾ über den Dampfdruck des Hexahydrats sind bedeutend kleiner als die Werte Roozebooms, doch sind diese wohl die zuverlässigeren, da Müller-Erzbach selbst die von ihm in früheren Arbeiten benutzte Methode als unzureichend aufgegeben hat.

Der Dampfdruck der gesättigten Calciumchloridlösungen ist von Roozeboom (l. c.) gemessen worden, der der verdünnten von Wüllner¹⁰⁰⁾, Tammann¹⁰¹⁾ und Emden¹⁰²⁾, und zwar miteinander widersprechenden Ergebnissen. Nach letzterem, dessen Messungen die neuesten sind, gilt, im Gegensatz zu Tammann, für CaCl_2 -Lösungen das Babosche Gesetz von der Unabhängigkeit der relativen Dampfspannung von der Temperatur. So ist z. B. für eine Lösung, die 12,55 g CaCl_2 auf 100 g H_2O enthält:

t°	P (H_2O)	p (Lösung)	$\frac{p}{P}$
19,64	17,09 mm	16,0 mm	0,936
24,19	22,54 "	21,0 "	0,931
34,74	41,36 "	38,5 "	0,930
40,85	57,58 "	53,5 "	0,920
50,04	92,19 "	85,9 "	0,931
61,38	158,34 "	146,8 "	0,927
75,44	293,18 "	273,25 "	0,932
85,23	436,13 "	407,3 "	0,933
96,94	679,15 "	633,35 "	0,932.

Das Wüllnersche Gesetz dagegen, Proportionalität der Dampfdruckerniedrigung mit der Konzentration, findet Emden nicht bestätigt, wenn

man als Konzentration c die Anzahl g CaCl_2 bezeichnet, die in 100 g H_2O gelöst sind, jedoch dann, wenn man als Konzentration c' die Anzahl g CaCl_2 6 H_2O definiert, die in 100 g H_2O gelöst sind.

Bedeutet $y = \frac{P-p}{p} \cdot \frac{1000}{c}$ und $y' = \frac{P-p}{p} \cdot \frac{1000}{c'}$, so erhält Emden folgende Tabelle:

c	y	c'	y'
12,55	5,44	28,22	2,42
15,104	5,51	34,94	2,38
19,99	5,86	48,96	2,30
19,752	5,97	48,24	2,45
20,22	6,06	49,64	2,47

Sehr genaue Messungen sind von Dieterici⁽¹⁰³⁾ an verdünnten Lösungen nach einer statischen und von W. Biltz⁽¹⁰⁴⁾ nach der dynamischen Methode ausgeführt worden, die ebenfalls die Normalität als die Anzahl der Mole des gelösten Stoffes auf 1000 g des Lösungsmittels rechnen. Nach Dietericis Messungen ist bei 0°

n (Mol in 1000 g H_2O)	$P-p$	$P-p$ n
0,0494	0,0081 mm	0,164
0,0997	0,0149 "	0,149
0,200	0,0352 "	0,186
0,400	0,0732 "	0,178
1,001	0,2040 "	0,204

Die Siedepunkte von CaCl_2 -Lösungen sind von Gerlach⁽¹⁰⁵⁾ und Schlamp⁽¹⁰⁶⁾ bestimmt worden. Ersterer fand für konzentrierte Lösungen:

g CaCl_2 auf 100 H_2O	t
6,0	101°
11,5	102°
16,5	103°
21,0	104°
25,0	105°
41,5	110°
60,0	120°
101	130°
137,5	140°
178	150°
222	160°
268	170°
292	175°
305	178°

Für verdünnte Lösungen ist nach Schlamp (l. c.) die Siedepunkterhöhung dt

g CaCl_2 in 100 H_2O	dt	i
0,585	0,001°	3,32
2,405	0,002°	2,68
5,07	0,018	2,71
7,80	0,012	2,77
0,63	0,205	2,87
10,87	0,40	2,93

Die Gefrierpunkte konzentrierter Calciumchloridlösungen sind von de Coppet¹⁰⁷), Roozeboom¹⁰⁸), Pickering¹⁰⁹), die der verdünnten von diesem, Arrhenius¹¹⁰), Jones u. Chambers¹¹¹) u. Loomis¹¹²) gemessen worden. Die letzteren Resultate, die wohl die genauesten sind, sind folgende:

Mol im Liter	dt	dt
n		n
0,0100	0,0513	5,13
0,0201	0,1013	5,04
0,0502	0,2437	4,85
0,1004	0,4823	4,80
0,2008	0,9718	4,84
0,5021	2,605	5,19
ferner Jones		
n	dt	
1,0	6,345 ⁰	6,345
1,5	11,296 ⁰	7,531
2,0	17,867 ⁰	8,334

Für konzentrierte Lösungen fand Pickering.

Mol auf 1000 gr H ₂ O	dt	
1,82	5,97 ⁰	3,28
3,57	15,25 ⁰	4,27
5,56	31,25 ⁰	5,62
7,14	50,27 ⁰	7,04

Die Zahlen von Pickering sind auffallenderweise viel kleiner als die von Jones, was nicht allein durch die verschiedene Konzentrationsrechnung erklärt werden kann.

Der kryohydratische Punkt liegt bei -55° (Roozeboom).

Die innere Reibung von CaCl₂-Lösungen ist nach Wagner¹¹³) (für Wasser $\eta = 1$) bei 25°

n (Mol im Liter)	η
1,0	1,1342
0,5	1,0631
0,25	1,0310
0,125	1,0202

Der Brechungsexponent (für Na-Licht, D) ist nach v. d. Willigen¹¹⁴)

% CaCl ₂	t	n _D
40,64	25,65 ⁰	1,44279
31,79	21,5 ⁰	1,41659
24,38	22,9 ⁰	1,39652
16,65	25,8 ⁰	1,37369

Der Brechungsexponent von CaCl₂-Lösungen ist ferner von Jones und Getman¹¹⁵), Gladstone¹¹⁶) und von Bremer¹¹⁷) bestimmt worden.

Nach den sorgfältigen Messungen des letzteren ist, wenn n der Brechungsexponent der Lösung (für die D-Linie) ist, n₀ der des reinen Wassers und d das spez. Gewicht.

gr CaCl ₂ in 100 gr Lösung	t	n	d	$n - n_0 \cdot 10^3$	$\frac{n^2 - 1}{(n^2 + 2)d}$
19,6565	13 ⁰	1,3823	1,17210	2,544	0,19912
13,0884	16 ⁰	1,36631	1,11139	2,529	0,20176

$\frac{p}{\text{gr CaCl}_2 \text{ in } 100 \text{ gr Lösung}}$	t	n	d	$\frac{n-n_0}{p} \cdot 10^3$	$\frac{n^2-1}{(n^2+2)d}$
11,7576	20 ⁰	1,36225	1,09727	2,475	0,20226
10,9749	17 ⁰	1,35897	1,09053	2,357	0,20344
9,3168	17 ⁰	1,35510	1,07890	2,351	0,20187
7,0110	20 ⁰	1,35089	1,05389	2,525	0,20464

Wie die fünfte Spalte zeigt, ist die Differenz $n-n_0$ proportional der Konzentration p ; die sechste Spalte beweist die Gültigkeit der Lorentzschen Formel.

Die Oberflächenspannung von CaCl_2 -Lösungen ist von Timberg¹¹⁵⁾ bestimmt worden. Sie beträgt α in mgr:

t	d_{40} (spez. Gew.)	α
6,73 ⁰	1,4007	9,581
18,00 ⁰	1,3938	9,241
46,65 ⁰	1,3755	8,867
65,47 ⁰	1,3631	8,553

Das elektrische Leitvermögen von Chlorcalciumlösungen ist bei 18⁰¹¹⁹⁾ (n = Äquivalent im Liter, κ = spez. Leitfähigkeit in reziproken Ohm, λ = das Äquivalentleitvermögen.

n	κ	λ
0,938	0,0643	68,6
1,957	0,1141	58,3
3,059	0,1505	49,2
4,253	0,1728	40,6
5,545	0,1781	32,12
6,945	0,1658	23,87
8,468	0,1366	16,13

Für verdünnte Lösungen ist nach Kohlrausch und Grüneisen¹²⁰⁾ und Jones und Chambers¹²¹⁾:

n	λ_{18}^* (K.-G.)	v	μ_{25}^* (J. u. Ch.)
0,0001	115,17	4181,3	265,7
0,0002	114,55	2090,7	253,4
0,0005	113,34	1045,3	246,6
0,001	111,96	522,7	244,9
0,002	110,07	261,3	235,0
0,005	106,77	130,7	222,6
0,01	103,37	65,3	210,8
0,02	99,38	33,3	197,6
0,05	93,29	19,61	185,8
0,1	88,19	12,26	179,4
0,2	82,79	9,80	174,1
0,5	74,92	4,902	164,8
1,0	67,54	3,912	156,6
		1,961	152,1
		0,54	134,3

Bei Kohlrausch und Grüneisen bedeutet λ das Äquivalentleitvermögen, bei Jones und Chambers μ das molekulare Leitvermögen. Die Zahlen der letzteren Autoren (für v und μ) sind daher zum Vergleich mit denen von K. u. G. durch 2 zu dividieren.

Bei 0⁰ beträgt das molekulare Leitvermögen nach Jones und Getman¹²²⁾

v	μ	α
0,34	39,55	25,6 0,0
0,38	44,44	28,8 "
0,42	48,83	31,8 "
0,51	54,43	34,8 "

Der Dissoziationsgrad α ist unter Benutzung des Wertes $\mu_{\infty 0^0} = 154$ berechnet worden.

Die Überföhrungszahl von CaCl_2 -Lösungen ist von Hittorf¹²³⁾, Weiske¹²⁴⁾ und Bein¹²⁵⁾ bestimmt worden. Letzterer fand bei Zimmertemperatur für die Überföhrungszahl n des Anions

Normalität (Cl')	n
0,01	0,553
0,05	0,583
0,10	0,595
0,25	0,608

In konzentrierten Lösungen ist sie noch beträchtlich größer, ebenso bei Anwendung eines Diaphragmas.

Steele¹²⁶⁾ erhielt nach seiner direkten Methode

Normalität	n
0,5	0,681
1,0	0,697
2,0	0,715

Doch bedürfen diese Zahlen noch einer kleineren Korrektur (Abegg und Gaus¹²⁷⁾). Für sehr verdünnte Lösungen (0,005 n) fanden Steele und Denison¹²⁸⁾ nach der Hittorfschen Methode $n = 0,562$.

Elektrolyse von CaCl_2 -Lösungen. Bei der Elektrolyse gibt Calciumchlorid an der Kathode Wasserstoff und Ca(OH)_2 , an der Anode Cl , O , Hypochlorit und Chlorat. Die theoretischen Grundlagen der Elektrolyse sind dieselben wie bei der der Alkalichloridlösungen (s. d. sowie Förster und Müller¹²⁹⁾). Die Ausbeute an Chlorat ist in alkalischer Lösung besser als in HCl -Lösungen (Oettel¹³⁰⁾, Bischoff und Foerster¹³¹⁾). Die Kathode überzieht sich nämlich mit einer Schicht von Ca(OH)_2 , die, gleich einem Diaphragma, die Reduktion des gebildeten Chlorats verhindert. Aus neutralen Lösungen scheiden sich nicht unbeträchtliche Mengen von Perchlorat ab (Bischoff und Foerster), Oettel (l. c.) beobachtete die Ausscheidung von basischem Calciumoxychlorid (s. d.). Die günstigste Ausbeute an Chlorat erhält man bei Anwendung von 8 Amp. pro dm^2 und einer 30proz. Lösung ($t = 80^\circ$); besonders bei Zusatz von $\text{H}_2\text{Cr}_2\text{O}_7$ und anderen Sauerstoffüberträgern (Tucker u. Moody¹³²⁾).

Die Elektrolyse von geschmolzenem CaCl_2 liefert an der Kathode metallisches Calcium (s. d.), außerdem rote bis violette, durchsichtige Kristalle des monoklinen oder triklinen Systems, deren Analyse die Formel CaCl ergab¹³³⁾ (**Calciumchlorür**).

Außer in Wasser löst sich CaCl_2 auch gut in Äthylalkohol, Propylalkohol, Isobutylalkohol und Amylalkohol; mit den beiden letzteren sind auch feste Verbindungen bekannt (Heindl¹³⁴⁾). In diesen Lösungen, wenigstens in den niederen Alkoholen, ist das Salz zum Teil in seine Ionen 'gespalten', da es den elektrischen Strom leitet und einen übernormalen osmotischen Druck besitzt. Die Siedepunktserhöhung von

Äthylalkohol durch Calciumchlorid, ist von Woelfer¹³⁵⁾ gemessen und aus ihr nach der bekannten Formel das Molekulargewicht desselben, M , berechnet worden.

Proz. CaCl_2	M (110,7)
0,26	75,8
0,43	82,7
0,58	85,2
0,85	90,8

Das Leitvermögen der äthylalkoholischen Lösung ist von Völlmer¹³⁶⁾, das der propylalkoholischen von Schlamp¹³⁷⁾ gemessen worden. Berechnet man den Dissoziationsgrad in Äthylalkohol aus den Siedepunkterhöhungen und den Leitfähigkeiten, so ergeben letztere höhere Werte. Der Schluß von Woelfer (l. c.), daß daher die Moleküle zum Teil assoziiert sein müßten, ist jedoch wegen der Unsicherheit des Grenzwertes λ_∞ nicht zwingend. Dieser Grenzwert für unendliche Verdünnung ist in äthylalkoholischer 0,159, in propylalkoholischer 0,079 desjenigen in wässriger Lösung.

Basisches Calciumchlorid, Calciumoxychlorid, entsteht beim Glühen von CaCl_2 und CaO als wasserfreies, beim Abkühlen einer mit $\text{Ca}(\text{OH})_2$ bis zum Sieden erhitzten CaCl_2 -Lösung als kristallwasserhaltiges Komplexsalz. Es hat nach Rose¹³⁸⁾ die Formel $2\text{CaO}, \text{CaCl}_2 + \text{H}_2\text{O}$, nach Ditté¹³⁹⁾ und André¹⁴⁰⁾ die Formel $3\text{CaO}, \text{CaCl}_2 + 16\text{H}_2\text{O}$, Zahorski¹⁴¹⁾ $3\text{CaO}, \text{CaCl}_2 + 15\text{H}_2\text{O}$, nach Grimshaw¹⁴²⁾ $\text{O} < \begin{smallmatrix} \text{CaOH} \\ \text{CaCl} \end{smallmatrix} + 7\text{H}_2\text{O}$. Es entsteht bei vielen technischen

Prozessen, z. B. der Ammoniakdarstellung aus Kalk und Salmiak, der Braunsteinregeneration nach Weldon, dagegen nicht bei der Chlorkalkdarstellung. (Lunge u. Schächli¹⁴³⁾). Es kristallisiert in langen feinen Nadeln, die sich in Wasser und Alkohol unter Abscheidung von Kalk zersetzen. Ohne Zersetzung löst es sich scheinbar in Glycerin. In CaCl_2 -Lösungen bildet es offenbar das komplexe Kation $\text{Ca} \cdot 3\text{CaO}^+$. Die Bildung desselben geht unter Wärmeaufnahme vor sich, daher löst sich Calciumhydroxyd in CaCl_2 -Lösungen in der Wärme viel besser als in der Kälte. (Zahorski, l. c.) Die Bildungswärme aus den Komponenten (CaCl_2 und CaO fest, H_2O flüssig), beträgt nach André¹⁴⁴⁾ 92000 cal. (cf. auch Tassily¹⁴⁵⁾).

Calciumbromid, CaBr_2 . $M.-G. = 200,0$. Bildung und Darstellung. Dasselbe entsteht in der Hitze aus CaCl_2 und CaO und Br , doch gehen diese Reaktionen nicht vollständig vor sich. Faust¹⁴⁶⁾ vermischt eine Lösung von 20 Teilen S in 240 Teilen Br mit 140 Teilen $\text{Ca}(\text{OH})_2$ (als verdünnte Kalkmilch) und leitet in das Gemisch CO_2 . Nach dem Zusatz von Alkohol wird von dem entstandenen CaCO_3 und CaSO_4 abfiltriert und die nur noch CaBr_2 enthaltende Lösung eingedampft. Anstatt des S kann man als Reduktionsmittel für Br auch P verwenden (Klein¹⁴⁷⁾, Pettenkofer¹⁴⁸⁾), oder schwefligsaures Calcium (Wendler¹⁴⁹⁾). Nach Stas¹⁵⁰⁾ entweicht aus einer Mischung von Kalkmilch und Ammoniaklösung nach Zusatz von Br Stickstoff und es bleibt CaBr_2 zurück. Ferner kann man es natürlich erhalten durch Neutralisieren von Calciumhydroxyd oder -carbonat mit Bromwasserstoff (Löwig) sowie aus $\text{Ca}(\text{OH})_2$ mit Eisenbromidlösung.

Eigenschaften. Das wasserfreie Bromcalcium schmilzt unter teilweiser Zersetzung nach Carnelley¹⁵¹⁾ bei ca. 680° , nach Ruff¹⁵²⁾ bei 760° ; es siedet bei $806-812^\circ$ (Carnelley¹⁵³⁾). Sein spez. Gew. beträgt 3,32 (Bödeker¹⁵⁴⁾). Das wasserfreie Salz ist stark hygroskopisch. Calciumbromid kristallisiert

ebenso wie das Chlorid mit 6 Mol Kristallwasser. Nach Lubarski¹⁵⁵⁾ schmilzt das Hexahydrat bei 38,2°. Niedere Hydrate, wie beim Chlorid, sind nicht bekannt. Aus der gesättigten Lösung kristallisieren nur schwierig die farblosen seidenglänzenden Nadeln des Salzes aus.

Thermochemie der CaBr_2 . Die Bildungswärme aus den Elementen beträgt nach Thomsen 140850 cal. die Lösungswärme des wasserfreien Salzes in 400 Mol. $\text{H}_2\text{O} + 24510$ cal., des Hexahydrates $= -1090$ cal., mithin die Hydratationswärme $(\text{CaBr}_2 + 6\text{H}_2\text{O}) = +25600$ cal.

CaBr_2 ist in Wasser sehr leicht löslich. Die Löslichkeit ist von Kremers¹⁵⁶⁾ und in neuerer Zeit von Étard¹⁵⁷⁾ untersucht worden. Nach letzterem lösen sich zu 100 Teilen Lösung:

	bei	-22°	-14°	-7°	-6°	+8°	+9°	+11°	+20°	+50°
Proz. CaBr_2 :	50,3	52,5	52,6	52,6	53,1	55,1	55,7	57,1	57,1	62,6

Die Löslichkeitskurve hat die Gestalt einer Geraden. Das gleiche ist zwischen 70° und 170° der Fall (Étard). Zwischen 50° und 70° scheinen 2 Knickpunkte, mithin 2 Umwandlungspunkte in niedere Hydrate zu liegen. Die Dichte von CaBr_2 ist nach Berechnungen von Gerlach¹⁵⁸⁾ aus älteren Versuchen bei 19,5°, bezogen auf Wasser von gleicher Temperatur:

Proz. CaBr_2 in 100 H_2O	d	Proz. CaBr_2	d
5	1,044	30	1,315
10	1,089	35	1,385
15	1,139	40	1,461
20	1,194	45	1,549
25	1,252	50	1,641

Das Refraktionsäquivalent für die A-Linie ist von Gladstone¹⁵⁹⁾ nach der Formel $\frac{n-1}{d}$ für eine 41,36 Proz. Lösung zu 43,50 bestimmt worden.

Die Temperatur des Dichtemaximums von CaBr_2 -Lösungen ist nach de Coppet¹⁶⁰⁾

Mol im Liter	t°	dt	dt
0,0406	3,157	0,825	20,12
0,1268	1,324	2,658	20,43

Die Dampfdruckerniedrigungen von CaBr_2 -Lösungen sind von Tammann¹⁶¹⁾ bestimmt worden ($P-p$, in mm Hg).

P	40,54 CaBr_2 6 H_2O	71,92	164,0	231,0
reines H_2O	in 100 H_2O			
63,0	4,0	8,9	19,2	25,6
98,6	6,8	13,6	30,5	40,3
159,4	11,1	20,3	48,1	63,6
213,2	14,2	27,2	63,7	84,2
273,3	18,4	34,3	82,0	107,4
365,1	24,7	45,5	108,1	140,9
495,7	33,7	60,8	142,9	185,4
632,2	41,8	78,0	183,5	238,8
775,6	52,4	95,6	220,1	271,6

Bei 100° fand Tammann¹⁶²⁾

Mol in 1000 $\text{H}_2\text{O} =$	0,5	1	2	3	4	5
$P-p$ (mm Hg) =	17,7	44,2	105,8	191,	283,3	368,5

Die Gefrierpunkte verdünnter CaBr_2 -Lösungen sind von Jones und Chambers¹⁶³⁾ bestimmt worden.

n (Mol/Liter)	dt	dt n
0,04355	—0,228 ⁰	5,24
0,08710	0,445	5,11
0,13065	0,664	5,07
0,17422	0,904	5,18
0,2613	1,368	5,23
0,3484	1,847	5,30
0,4355	2,397	5,50
0,5226	2,949	5,64

Wie die letzte Spalte zeigt, nimmt die molekulare Gefrierpunktserniedrigung schon von ziemlich verdünnten Lösungen an kontinuierlich zu, anstatt, wie es die Theorie fordert, stetig abzunehmen, wenn lediglich die Ionisierung in Frage käme. Ein ähnliches abweichendes Verhalten zeigen die Haloidsalze aller Erdalkalien. Die Unregelmäßigkeit nimmt in der Reihe der Kationen gemäß Ba—Sr—Ca , in der Reihe der Anionen gemäß Cl—Br—J zu.¹⁶⁴⁾

Ähnliche Abweichungen ergibt auch die Messung des elektrischen Leitvermögens. Dasselbe beträgt bei 25⁰ nach Jones u. Chambers (l. c.):

v.	μ
4898	270,2
2449	262,5
1225	256,0
612,3	248,8
306,2	241,2
153,1	230,3
76,54	219,8
38,27	208,2
14,34	191,9
57,4	174,4
2,193	151,2

Bei 0⁰ ist nach Jones und Getman¹⁶⁵⁾

v	μ	α
0,55	61,7	28,3
0,66	68,3	31,3
1,10	80,9	37,1
2,21	105,5	48,4

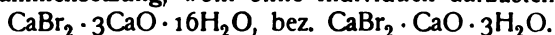
Der Wert des Dissoziationsgrades α ist unter Benutzung des Wertes $\mu_{\infty 0^0} = 218$ berechnet worden; dieser letztere erscheint im Vergleich mit dem entsprechenden für CaCl_2 (154) außerordentlich hoch. Der Brechungsexponent und das spez. Gew. von CaBr_2 -Lösungen sind ebenfalls von Jones und Getman (l. c.) bestimmt worden. Bedeutet m die Molar-Konzentration, n den Brechungsexponenten und d die Dichte bei 25⁰, bez. auf H_2O von 4⁰, so ist

m	n	d	m	n	d
0,261		1,04400	1,807	1,38581	1,29232
0,452	1,34106	1,07536	2,409	1,40473	1,38577
0,903	1,35661	1,14851	3,011	1,42339	1,48093
1,506	1,37616	1,24474			

Bei der Elektrolyse von CaBr_2 -Lösungen erhielt Larghel¹⁶⁶⁾ eine bessere Ausbeute an Bromat als bei den entsprechenden Alkalisalzen.

Eine additionelle Verbindung von Alkohol mit CaBr_2 , $\text{CaBr}_2 \cdot 3\text{C}_2\text{H}_6\text{O}$, ist in rhombischen, hygroskopischen Tafeln von Roques¹⁶⁷⁾ erhalten worden.

Basisches Calciumbromid ist von Tassily¹⁶⁸⁾ beschrieben worden. Es hat die Zusammensetzung, wohl ohne Individuen darzustellen:



Die Bildungswärmen dieser Verbindungen aus CaBr_2 fest, CaO fest und H_2O flüssig, betragen 98850, bez. 66700 cal.

Calciumjodid, CaJ_2 . M.-G = 293,8.

Bildung und Darstellung. Das Calciumjodid entsteht ebenso wie das Bromid aus Kalk und Jodwasserstoff. Anstatt des letzteren verwendet man auch Jod und ein Reduktionsmittel. Als solches ist P und Fe angewendet worden, auch schwefligsaures Calcium.

Liès Bodart und Jodin¹⁶⁹⁾ reduzieren zunächst CaSO_4 mit Kohle zu CaS und tragen in die wässrige Aufschwemmung so lange Jod ein, als noch Entfärbung eintritt. Nach Gay-Lussac¹⁷⁰⁾ muß die Lösung bei Luftabschluß zum Trocknen eingedampft werden, da das Salz durch Kohlensäure zersetzt wird. (?)

Eigenschaften. Das wasserfreie CaJ_2 schmilzt nach Carnelley¹⁷¹⁾ bei 631°, nach Ruff¹⁷²⁾ erst bei 740°. Nach ersterem siedet es bereits zwischen 708 und 719°. Vermutlich ist das Präparat von Carnelley nicht ganz wasserfrei gewesen. Seine Dichte (des erkalteten Salzes) beträgt nach Ruff 4,9. Das wasserfreie Salz zerfließt an feuchter Luft und geht in das kristallwasserhaltige $\text{CaJ}_2 \cdot 6\text{H}_2\text{O}$ über.

Tassily¹⁷³⁾ hat seine Formel zu $\text{CaJ}_2 \cdot 8\text{H}_2\text{O}$ angegeben; doch steht dieselbe im Widerspruch mit den Beobachtungen von Lubarski¹⁷⁴⁾, der die Formel mit 6 Mol. Kristallwasser angibt. Dieses Hexahydrat schmilzt bei ungefähr 42° (Lub.).

Die mol. Bildungswärme des CaJ_2 beträgt nach Jul. Thomson 107250 cal., die Lösungswärme des wasserfreien Salzes in 400 Mol H_2O + 27690 cal.

In Wasser ist CaJ_2 leicht löslich; die Löslichkeit ist von Kremers¹⁷⁵⁾ und Étard¹⁷⁶⁾ bestimmt. Darnach lösen sich bei

(Kremers)	t =	0	20	40	43	92 "
gr CaJ_2 in 100 g H_2O		192	204	228	286	435

(Étard)	t =	-22	+7	-10	+19	+51	+64	-130	+248 "
g CaJ_2 in 100 g Lösung.		61,6	65,0	65,1	66,3	69,4	75,9	81,3	87,1

Nach Kremers Daten scheint zwischen 40 und 43° ein Knickpunkt der Löslichkeitskurve, also ein Umwandlungspunkt des Hexahydrats in ein niederes, zu liegen.

Das spez. Gewicht von CaJ_2 ist bei 19,5° nach Gerlach¹⁷⁷⁾ bezogen auf Wasser von derselben Temperatur

gr CaJ_2 in 100 H_2O	s
5	1,044
10	1,090
20	1,198
30	1,321
40	1,477
50	1,665
60	1,910

Die Temperatur des Dichtemaximums von CaJ_2 -Lösungen beträgt nach de Coppet¹⁷⁸⁾

Mol/Liter	t °	dt	$\frac{dt}{m}$
0,0384	2,980	1,002	26,09
0,1166	0,872	3,110	26,63

Die Dichte und die Brechungssexponenten sind von Jones und Getman^{178a)} bestimmt worden. (Bezeichnung siehe CaBr_2 .)

m	n	d_{25°	m	n	d
0,078	1,32901	1,01468	1,248	1,38455	1,28070
0,156	1,33272	1,03261	2,148	1,42743	1,48450
0,312	1,34021	1,06948	3,120	1,46998	1,69327
0,624	1,35553	1,14033			

Dieselben Forscher haben auch die Gefrierpunktserniedrigung und die Leitfähigkeiten von CaJ_2 -Lösung bestimmt.

Für erstere erhielten sie

m	dt°	$\frac{dt}{m}$
0,078	0,374	4,85
0,156	0,743	4,77
0,312	1,576	5,05
0,624	3,820	6,12
1,248	10,030	8,04
2,148	27,000	12,37
3,120	60,000	19,23

also ebenso wie bei CaCl_2 und CaBr_2 mit der Konzentration ansteigende und abnorm hohe Werte für $\frac{dt}{m}$.

Das molekulare Leitvermögen ist bei 0°

v	μ	α
0,32	36,67	26,0
0,46	56,96	32,0
0,80	74,16	54,0
1,60	87,50	64,0
3,20	96,80	71,0
6,41	103,52	76,0
12,82	108,62	80,0

Für die Berechnung des Dissoziationsgrades α wurde der Wert $\mu_{\infty 0^\circ} = 135,7$ zugrunde gelegt.

In Äthylalkohol ist Calciumjodid leicht löslich; die prozentische Löslichkeit in diesem nimmt ebenso wie in Wasser bei den Erdalkalihaloïden in der Reihe $\text{Cl} - \text{Br} - \text{J}$ beträchtlich zu.

Ein basisches Salz des CaJ_2 ist von Tassily¹⁷⁹⁾ beschrieben worden. Es hat die Formel $\text{CaJ}_2 \cdot 3 \text{CaO} \cdot 16 \text{H}_2\text{O}$; seine Bildungswärme, bei Anwendung von flüssigem Wasser, beträgt 103300 cal.

Calciumtetrajodid, CaJ_4 , ist von Jul. Meyer¹⁸⁰⁾ dargestellt worden. Ein äquimolekulares Gemisch von CaJ_2 und J_2 schmilzt bei $70-80^\circ$ mit tiefschwarzer Farbe und zeigt nach dem Erstarren ein kristallinisches Gefüge. Es besitzt auch in der Wärme (bis 100°) keinen merklichen Partialdruck von Jod, was für seine Natur als chemische Verbindung spricht. Die Existenz der Verbindung CaJ_4 in wässriger Lösung wird durch Gefrierpunktmessungen bewiesen. Löst man nämlich Jod in CaJ_2 -Lösungen auf (die Löslichkeit beträgt $8,062 \text{ g J}$ in 100 ccm einer 10prozentigen Lösung bei $13,5^\circ$), so zeigen diese Lösungen keine größere, sondern meistens eine geringere Gefrierpunktniedrigung als reine CaJ_2 -Lösungen. Die elektrolytische Dissoziation des Tetrajodids scheint daher geringer zu sein als die des normalen. Durch Schwefelkohlenstoff und Chloroform werden sowohl aus den festen Verbindungen wie den Lösungen 2 Atome Jod entfernt. Die wässrige Lösung enthält wahrscheinlich ebenso wie die der Alkalipolyjodide die komplexen Anionen J_3^- , so daß dem Tetrajodid die Formel $\text{Ca} \cdot \text{J} \cdot \text{J}_3$ zuzuschreiben wäre.

Calciumcyanid, $\text{Ca}(\text{CN})_2$, M.-G. = 92,1, kann durch Einleiten von Cyanwasserstoff in Kalkwasser dargestellt werden, ferner durch Schmelzen von Ferrocyancalcium unter Abschluß der Luft und Auslaugen der Schmelze mit Wasser (Schulz)¹⁸¹⁾. Nach beiden Methoden erhält man zunächst die Lösungen des Salzes, aus denen es sich beim Einengen in wasserfreien kleinen Würfeln abscheidet. Reine Lösungen reagieren basisch infolge hydrolytischer Spaltung. Sie besitzen also einen beträchtlichen Partialdruck von undissoziiertem Cyanwasserstoff, der sich durch den Geruch zu erkennen gibt. Dementsprechend entwickeln sie mit Säuren auch mit CO_2 , leicht Blausäure.

Beim Eindunsten der Lösung im Vakuum über Schwefelsäure entstehen nach Joannis¹⁸²⁾ basische Kristalle $\text{Ca}(\text{CN})_2 \cdot 3 \text{Ca}(\text{OH})_2 \cdot 12 \text{H}_2\text{O}$, die bei vollständigem Trocknen im Vakuum nur Calciumhydroxyd ergeben.

Calciumcyanamid, CaCN_2 ($\text{Ca}=\text{N}-\text{C}\equiv\text{N}$), entsteht nach Drechsel¹⁸³⁾ beim Schmelzen von Calciumcyanat neben CO_2 , nach Meyer¹⁸⁴⁾ beim Glühen von Melam ($\text{C}_6\text{H}_6\text{N}_4$) mit Calciumhydroxyd und nach einem jüngst entdeckten Verfahren beim Glühen von Calciumcarbid an der Luft oder im Stickstoffstrom (vgl. CaC_2). Es ist in der Hitze sehr beständig, zerfällt aber mit Wasser hydrolytisch in das saure Salz $\text{Ca}(\text{CN}_2\text{H})_2$. Von Meyer (l. c.) ist auch ein basisches Salz $(\text{CaOH})_2\text{CN}_2 \cdot 6 \text{H}_2\text{O}$ dargestellt worden.

Calciumoxyd, CaO . M.-G. = 56,1. (Gebrannter Kalk, Ätzkalk.)

Darstellung. Das Calciumoxyd entsteht durch Oxydation des reinen Metalls an der Luft und durch Glühen von Calciumnitrat und Calciumcarbonat. Die letztere Methode wird sowohl im Laboratorium wie in der Technik ausschließlich benutzt.

Die zuerst von Debray 1867 sachgemäß als „Dissoziation“ aufgefaßte Zersetzung des kohlensuren Kalkes in Kalk und Kohlendioxyd ist das klassische Beispiel eines Gleichgewichts zwischen zwei festen Körpern und einem Gase. Die Anzahl der Phasen beträgt 3 (CaO , CaCO_3 und Gas), die der unabhängigen Bestandteile 2, da die 3 Bestandteile durch eine Gleichung miteinander verknüpft sind, mithin kann das System nur eine Freiheit besitzen. Bei gegebener Temperatur muß daher die Konzentration im Gasraum, d. h. Dissoziationsspannung oder die Maximaltension des Kohlendioxyds, einen unveränderlichen Wert besitzen, der von den Mengen der festen Reaktionsbestandteile völlig unabhängig ist. Le Chatellier¹⁸⁵⁾ hat die Abhängigkeit

dieses Dissoziationsdruckes von der Temperatur mit großer Genauigkeit gemessen; er beträgt P in mm Hg bei

$t^0 =$	547	610	625	740	745	810	812	865
$P =$	27	46	56	255	289	678	753	1333

Man kann also den kohlensauen Kalk ohne merkliche Zersetzung bis über 500^0 erhitzen, wenn auch theoretisch in CO_2 -freier Luft und bei Fortführung der abdissoziierten CO_2 bei jeder Temperatur Oxyd aus dem Carbonat entstehen sollte, an gewöhnlicher Luft natürlich erst, wenn ihr CO_2 -Partialdruck (ca. 0,4 mm) durch den Dissoziationsdruck des CaCO_3 überschritten wird. Der Kohlendioxyddruck steigt dann sehr rasch mit der Temperatur und erreicht bei 812^0 Atmosphärendruck. Daher muß die Brenntemperatur zur Darstellung von Kalk oberhalb dieses „Siedepunkts“ liegen. Die Zersetzung des kohlensauen Kalkes ist daher vollständig dem Verdampfen einer Flüssigkeit unterhalb der kritischen Temperatur ähnlich. Im geschlossenen Gefäß kann sie im allgemeinen nicht vollständig sein, andererseits wird sie durch mechanische Fortführung des Kohlendioxyds infolge der Verminderung seines Partialdruckes stets zu Ende geführt werden. Hiervon macht die Technik den weitgehendsten Gebrauch, indem sie in den Kalköfen für starke Zugluft sorgt. Um die letzten Spuren von Kohlensäure zu vertreiben, wird die Masse angefeuchtet. Dies hat wohl neben der Auflockerung der Oberfläche auch den Zweck, durch die beim Brennen entweichenden Wasserdämpfe den Partialdruck des Kohlendioxyds zu vermindern. Nach Herzfeld¹⁸⁶⁾ gelingt vollständige Zersetzung von CaCO_3 schon unterhalb 700^0 bei Fortführung des abgespaltenen CO_2 durch Einleiten von überhitztem Wasserdampf. Eine Zusammenstellung der in der Technik gebräuchlichen Kalköfen siehe bei Dammer, Handbuch der Chem. Technologie, 1895, I 669 ff.

Nach Lebeau¹⁸⁷⁾ setzt die Gegenwart von Alkalicarbonaten die CO_2 -Tension herab, so daß die Zersetzung dieser Gemische erst bei 1000^0 vollständig wird. Es scheint daher bei hoher Temperatur eine Doppelsalzbildung zwischen dem Ca- und dem Alkalicarbonat einzutreten.

Eigenschaften. Das durch Brennen dargestellte Calciumoxyd ist weiß und amorph, sein spez. Gew. beträgt nach älteren Angaben 3,08–3,18 (Schröder¹⁸⁵⁾). Nach Moissan¹⁸⁹⁾ beträgt die Dichte eines bei 1000^0 gebrannten CaO 3,30. Es schmilzt nur bei sehr hoher Temperatur, nach Hare¹⁹⁰⁾ im Knallgasgebläse, nach Davy im elektrischen Lichtbogen. Die Schmelze erstarrt kristallinisch, und zwar scheinen zwei verschiedene Modifikationen dieser Kristalle zu existieren. Jouve¹⁹¹⁾ erhitzte Kalk und Kohle im elektrischen Ofen und unterbrach den Strom kurz nach Beginn der Reaktion. In der erkalteten Masse fand er durchsichtige prismatische Kristalle von CaO , von der Dichte 2,5. (?)

Moissan (l. c.) schmolz Kalk in seinem elektrischen Ofen bei Anwendung von 300 Amp. und 50–70 Volt und erhielt sowohl durchsichtige wie undurchsichtige Kristalle vom spez. Gew. 3,40, nach einer älteren Angabe 3,12 bei 180^0 .¹⁹²⁾ Nach Brügelmann¹⁹³⁾ erhält man beim Erhitzen und Schmelzen von $\text{Ca}(\text{NO}_3)_2$ wasserklare, reguläre Würfel, die bis 2 mm Kantenlänge besitzen können. Ihre Dichte beträgt 3,251.

Geschmolzener Kalk hat ebenso wie der beim Erhitzen von CaCO_3 in Gegenwart von Alkalicarbonaten entstehende, die Eigenschaft, chemisch träger zu reagieren, als der gewöhnliche amorphe (Lebeau¹⁸⁷⁾). Ebenso verhält sich ein isomorphes Gemisch von CaO und Li_2O , das von Lebeau¹⁹⁴⁾

durch Erhitzen von CaCO_3 und Li_2CO_3 in regelmäßigen Oktaedern erhalten wurde.

Amorpher und kristallinischer Kalk ergeben dieselbe Neutralisationswärme (Moissan l. c., Gautier¹⁹⁵). Geschmolzener Kalk reagiert mit Kohlenstoff unter Bildung von Carbid, mit Silicium unter Bildung eines basischen Silicats, analog mit Bor. Durch Fe, Ni, Co wird er, wahrscheinlich bis zu einem gewissen Gleichgewicht, reduziert (Moissan).

Im Knallgasgebläse strahlt Kalk blendendweißes Licht aus (Drummondsches Kalklicht), im Vakuum unter dem Einfluß von Kathodenstrahlen leuchtet er orangerot (Crookes¹⁹⁶).

In der Kälte reagiert wasserfreies Calciumoxyd nicht mit Cl , H_2S , CO_2 , SO_2 , NO_2 ; auch HCl bringt nur eine geringe Umsetzung hervor (Veley¹⁹⁷).

Die Bildungswärme des Calciumoxyds aus den Elementen beträgt nach Thomsen 130930 cal., ziemlich übereinstimmend damit nach Berthelot 132000 cal., dagegen nach Moissan¹⁹⁸) 145000 cal.

Mit Wasser vereinigt sich CaO zu

Calciumhydroxyd, Ca(OH)_2 . M.-G. = 74,1. (Gelöschter Kalk.)

Diese Hydratation, das „Löschen“ des gebrannten Kalkes, geht unter lebhafter Wärmeentwicklung und heftigem Aufwallen der Masse vor sich.

Die molekulare Hydratationswärme beträgt nach Thomsen 15,540, die Bildungswärme aus den Elementen (Ca , O_2 , H_2) 229100 cal. (Moissan).

Die Hydratationsgeschwindigkeit ist in hohem Maße von den Eigenschaften des wasserfreien Kalkes, besonders seiner Reinheit, abhängig. Verunreinigungen beeinträchtigen sie im allgemeinen, besonders SiO_2 . Candlot¹⁹⁹) und Rohland²⁰⁰) haben den Einfluß von Fremdstoffen untersucht; es wirken beschleunigend HCl , HNO_3 , NH_4Cl , CaCl_2 , BaCl_2 , $\text{CH}_3\text{CO}_2\text{H}$, $\text{NaC}_2\text{H}_3\text{O}_2$, Milchsäure, Asparagin, Alkohol; verlangsamen wirken B(OH)_3 , KOH , NaOH , CaCrO_4 , $\text{K}_2\text{Cr}_2\text{O}_7$, Aldehyd, Glycerin, Rohrzucker, Traubenzucker. Die Beschleuniger scheinen meist H^+ -Ionen zu sein, die durch Auflösung die Kalkoberfläche freihalten, bei Alkohol ist wohl die Beförderung des Eindringens in die Poren das Wirksame; die Verzögerer sind dagegen Stoffe, welche die Löslichkeit herabdrücken (OH') oder solche, die sich mit dem Kalk zu schwerlöslichen, also die Oberfläche versperrenden, Verbindungen vereinigen (Zucker, Chromat, Borat). Die Geschwindigkeitsbeeinflussung ist also anscheinend von der Beschaffenheit der reagierenden Oberfläche abhängig.

Bei Anwendung von viel Wasser wird die Reaktionsgeschwindigkeit verkleinert, wahrscheinlich weil dann die Temperatur des Reaktionsgemisches nicht so hoch steigt; geschmolzener Kalk hydratisiert sich nur äußerst langsam (Oddo²⁰¹), Herzfeld²⁰²). Über den sogenannten totgebrannten Kalk sowie die technische Verwendbarkeit des gelöschten Kalkes siehe unter Mörtel.

Beim Erhitzen verliert der gelöschte Kalk sein Wasser. Sein Dissoziationsdruck beträgt nach Le Chatelier²⁰³) bei 350° 100 mm Hg, bei 450° 760 mm. Die Entwässerung gelingt daher rasch erst oberhalb dieser Temperatur.

Das durch Löschen des Oxyds erhaltene Hydroxyd ist ein weißes, staubiges, amorphes Pulver von der Dichte 2,078 (Filhol²⁰⁴). Aus den gesättigten Lösungen erhielten Gay-Lussac und Rose²⁰⁵) kleine durchsichtige hexaedrische Kristalle. Herzfeld²⁰⁶) und Karcz²⁰⁷) erhielten ein Hydrat $\text{Ca(OH)}_2 \cdot \text{H}_2\text{O}$, das bei $60\text{--}70^\circ$ eine Molekel H_2O abgibt.

Die Lösungswärme des Ca(OH)_2 im Wasser beträgt übereinstimmend nach Thomsen und Berthelot + 2790 cal., die Wärmetönung der Reaktion $\text{Ca (Met.)} + 2\text{H}_2\text{O} = \text{Ca(OH)}_2 + \text{H}_2 + 94100 \text{ cal. (Moissan)}$.

Gelöschter Kalk zieht Wasser an, ist hygroskopisch, löst sich aber nur wenig in Wasser und zwar mit positiver Lösungswärme, was im Verein mit dem obenerwähnten Hydrat für eine Hydratation spricht. Der Wärmetönung entsprechend löst er sich in kaltem Wasser leichter als in heißem. Die gesättigte Lösung heißt Kalkwasser, in Gegenwart des suspendierten Bodenkörpers je nach dessen Menge Kalkmilch oder Kalkbrei.

Die Löslichkeit des Calciumhydroxyds in Wasser ist, abgesehen von einer großen Anzahl vereinzelter älterer Bestimmungen, systematisch von Lamy²⁰⁸⁾, Maben²⁰⁹⁾, Herzfeld²¹⁰⁾ und Guthrie²¹¹⁾ untersucht worden. Lamy fand sie abhängig von der Darstellungsweise (und wahrscheinlich Korngröße, s. CaSO_4) des verwandten Calciumoxyds, das er durch Glühen von Nitrat, Carbonat und Hydroxyd erhielt. Bei allen Temperaturen war die Löslichkeit des letzteren am größten, die des ersteren am kleinsten. Auch die Bestimmungen der anderen Autoren zeigen keine sehr gute Übereinstimmung. Es lösen sich g CaO bei

t °	in 1000 g H ₂ O (Maben)	1000 g H ₂ O (Herzfeld)	1000 ccm Lösung (Guthrie)
0 °	1,31	—	—
10 °	1,29	—	1,342
20 °	1,26	1,233	1,293
30 °	1,16	1,130	1,219
40 °	1,07	1,040	1,119
50 °	0,98	0,958	0,981
60 °	0,88	0,864	0,879
70 °	0,80	0,741	0,781
80 °	0,73	0,675	0,740
90 °	0,63	—	0,696
100 °	0,60	—	0,597

Die Löslichkeit des Calciumhydroxyds wird durch die Gegenwart von Alkalien stark vermindert, und zwar um viel mehr, als der Zurückdrängung der elektrolytischen Dissoziation entspricht (L. Wittstein²¹²⁾). Auch Ammoniak wirkt ähnlich, jedoch viel schwächer. d'Anselme²¹³⁾ fand folgende Zahlen:

g NaOH im Liter	Löslichkeit von CaO in g pro Liter bei			
	20 °	50 °	70 °	100 °
0,000	1,17	0,88	0,75	0,54
0,400	0,94	0,65	0,53	0,35
1,600	0,57	0,35	0,225	0,14
2,666	0,39	0,20	0,11	0,05
5,000	0,18	0,06	0,04	0,01
8,000	0,11	0,02	0,01	Spuren
20,000	0,02	Spuren	0,00	

Die Löslichkeit wird erhöht in Lösungen von CaCl_2 , NaNO_3 , KNO_3 , NH_4Cl , NaCl und KCl . In Chlorammonium scheint sich nach den Untersuchungen von Berthelot²¹⁴⁾ ein komplexes Salz $2\text{NH}_4\text{Cl} \cdot \text{Ca(OH)}_2$ zu bilden, dessen Konstitution aber höchstwahrscheinlich $\text{Ca(NH}_3)_2\text{Cl}_2 \cdot 2\text{H}_2\text{O}$ ist. Die Löslichkeit in NaCl und KCl ist genauer von Cabot²¹⁵⁾ bestimmt worden. Sie erreicht ein Maximum, wenn die Lösungen ungefähr ein Fünftel ihrer

Sättigungskonzentration an Chlorid enthalten, und sinkt mit steigendem Chloridgehalt schließlich unter den Wert, den sie in reinem Wasser hat.

Sie nimmt in allen Konzentrationen mit steigender Temperatur ab und ist in NaCl größer als in KCl. Diese Löslichkeitserhöhungen sind mindestens teilweise durch doppelten Umsatz mit den Salzen bedingt, indem sich erhebliche Mengen von undissoziiertem oder komplex gebundenem Ca-Salz bilden.

Die Löslichkeit ist ferner, infolge chemischer Bindung, sehr beträchtlich in Lösungen von Glycerin, sowie Rohrzucker. Nach Bestimmungen von Weisberg²¹⁶⁾ lösen sich bei 15° in 100 ccm Lösung vom Prozentgehalt p an Rohrzucker.

p	0,625	0,964	2,084	3,028	3,451	4,880	6,12
g CaO in 100 cc	4,47	5,09	7,51	9,80	10,91	14,0	16,8
g CaO : 100 g Zucker	71,6	53,4	36,0	32,3	31,7	28,7	27,4

p	6,51	8,20
g CaO in 100 cc	17,9	22,4
g CaO : 100 g Zucker	27,5	27,3

In den konzentrierten Zuckerlösungen ist also die Löslichkeit proportional der Konzentration des Zuckers. Durch Alkohol werden aus diesen Lösungen Saccharate von verschiedener Zusammensetzung gefällt, die auf eine Molekel Rohrzucker 1—6 Mol. CaO enthalten (Péligot²¹⁷⁾, Pelouze²¹⁸⁾, Déon²¹⁹⁾, Berthelot²²⁰⁾).

Das molekulare Leitvermögen Λ von Ca(OH)_2 -Lösungen ist nach Ostwald²²¹⁾ bei 25° für die Verdünnungen v

v =	64	128	256	512
Λ =	406	426	447	455

Kalkwasser enthält eine starke Base und findet daher in der Technik seiner Billigkeit wegen dementsprechende Verwendung, ferner in der Zuckerindustrie zur Entzuckerung der Melassen. Im Laboratorium dient es besonders als Reagens auf Kohlensäure.

Über die Verwendung des Kalkes als Baumaterial vergl. Mörtel und Zement.

Calciumsuperoxyd, CaO_2 . M.-G. = 72,1.

Es läßt sich nicht durch direkte Oxydation des Oxyds im Sauerstoffstrom darstellen, doch sollen geringe Mengen des Superoxyds durch Glühen von ganz reinem CaCO_3 im Sauerstoffstrom von Struve²²²⁾ erhalten worden sein. Auf feuchtem Wege gewann es zuerst Thénard²²³⁾, dann Conroy²²⁴⁾ durch Fällen von Kalkwasser mit Wasserstoff- oder Natriumsuperoxyd. Hierbei entsteht das Hydrat $\text{CaO}_2 \cdot 8\text{H}_2\text{O}$, das mit der entsprechenden Bariumverbindung isomorph ist. Durch Erhitzen bei 130° erhielt Schöne²²⁵⁾ hieraus wasserfreies CaO_2 , das sich bei Rotglut in CaO und O zersetzt. Demnach scheint die Dissoziationsspannung des Sauerstoffs schon bei Rotglut oberhalb des Atmosphärendruckes zu liegen; mit Wasserstoffsuperoxyd bildet es eine sehr zersetzliche Verbindung.

De Forcrand²²⁶⁾ erhielt außer dem oben erwähnten Hydrat aus verdünnten H_2O_2 -Lösungen eine Verbindung von der Zusammensetzung CaO_4H_4 , die entweder die Konstitution $\text{Ca(OH)}_2 \cdot \text{H}_2\text{O}_2$ oder $\text{CaO}_2 \cdot 2\text{H}_2\text{O}$ besitzen kann. Bei ihrer Bildung werden pro Mol 6890 cal. frei, während die Wärmemenge bei Bildung des Hydrats mit $8\text{H}_2\text{O}$ 24666 cal. beträgt. Die

Bildungswärme aus den Elementen beträgt 150430 cal. Nach Rupp²²⁷⁾ setzt sich CaO_2 ebenso wie BaO_2 und SrO_2 mit Jodid quantitativ um, nach der Gleichung $\text{CaO}_2 + 2\text{J}' + 4\text{H} \cdot = \text{J}_2 + \text{Ca} \cdot \cdot + 2\text{H}_2\text{O}$, so daß es jodometrisch titriert werden kann.

Die technische Darstellung gelingt nach Joubert²²⁸⁾ leicht durch Pressen von trockenem Ca(OH)_2 mit Na_2O_2 und Behandeln der Masse mit Eiswasser.

Calciumsulfid, CaS . M.-G. = 72,2.

Calciummonosulfid wurde zuerst von Berzelius²²⁹⁾ durch Glühen von gebranntem Kalk im Schwefelwasserstrom erhalten. Ferner kann es dargestellt werden durch Glühen von Calciumoxyd mit Schwefeldampf bei Luftabschluß (Becquerel²³⁰⁾, Forster²³¹⁾), mit Natriumsulfid oder Schwefelkohlenstoff (Dubrunfaut²³²⁾, Scheurer-Kestner²³³⁾, Schöne²³⁴⁾). Die letztere Methode eignet sich besonders zur Darstellung eines reinen Präparates. Die technisch einfachste Darstellung beruht auf der Reduktion des Gipses (CaSO_4), und zwar gelingt dieselbe durch Wasserstoff (Unger²³⁵⁾), Kohlenoxyd (Stammer²³⁶⁾), Schwefel (Lestini²³⁷⁾) und vor allem durch Kohle (Berthier²³⁸⁾).

Das Calciumsulfid wurde früher in großen Mengen in den Sodarückständen des Leblanc-Verfahrens erhalten und zur Regeneration des Schwefels weiter verarbeitet.²³⁹⁾

Eigenschaften. Das reine Calciummonosulfid ist ein weißes, amorphes Pulver; meist enthält es jedoch die Verunreinigungen des natürlichen Kalkes und Gipses oder Kohle, so daß seine Farbe zwischen gelblichweiß und rötlichweiß schwankt. Dann besitzt es auch die Eigenschaft der Phosphoreszenz, d. h. die Fähigkeit, im Dunkeln zu leuchten, die dem vollkommen reinen Präparat nicht zukommt.²⁴⁰⁾ Es führt dann den Namen Cantons Phosphor. An der Luft oxydiert es sich je nach der Herstellungsweise mehr oder weniger leicht, vermutlich je nach der katalytischen Wirksamkeit der beigemengten Verunreinigungen. Durch die Phosphorchloride wird es in Calciumchlorid verwandelt (Baudrimont²⁴¹⁾), durch Fluor schon in der Kälte in Flußspat und Schwefelfluorid (Mourlot²⁴²⁾).

In geschmolzenem Zustande entsteht es wahrscheinlich bei der Reduktion von CaSO_4 durch Kohle im elektrischen Ofen. Das so erhaltene Sulfid ist nämlich nach Mourlot²⁴²⁾ und W. Müller²⁴³⁾ kristallinisch und bildet glattflächige Hexaeder, deren Härte nach der Mohsschen Skala 3 und deren Dichte 2,8 oder 2,45 beträgt. Die Bildungswärme des CaS aus den Elementen beträgt nach Sabatier²⁴⁴⁾ 46000 cal.

Die Löslichkeit des Calciummonosulfids als solches in Wasser ist sehr gering (Kolb²⁴⁵⁾, Béchamp²⁴⁶⁾), daher muß das Löslichkeitsprodukt der Ionen $\text{Ca} \cdot \cdot$ und S'' sehr klein sein. Die gesättigte Lösung ist, wie alle Sulfidlösungen, hydrolytisch gespalten nach der Gleichung

$2\text{CaS} + 2\text{H}_2\text{O} = \text{Ca(SH)}_2 + \text{Ca(OH)}_2$ resp. $\text{S}'' + \text{H}_2\text{O} = \text{SH}' + \text{OH}'$, sie enthält also auch SH' - und OH' -Ionen.

Daraus folgt, daß die Löslichkeit in alkalischen Lösungen (Soda, Natronlauge) kleiner sein muß als in reinem Wasser, größer dagegen in sauren, also auch schwefelwasserstoffhaltigen Lösungen, in denen das Calcium als Hydrosulfid (s. u.) gelöst ist. Es gelten hier wahrscheinlich dieselben Betrachtungen wie für die Löslichkeit des CaCO_3 (s. d.) in kohlensäurehaltigem Wasser. Doch sind dieselben in diesem Falle noch nicht experimentell geprüft. Ferner soll die Löslichkeit durch Na_2SO_4 vermehrt, durch NaCl vermindert werden.

Calciumhydrosulfid, $\text{Ca}(\text{SH})_2$, das saure Calciumsalz des Schwefelwasserstoffs, wurde von Pelouze²⁴⁷⁾ durch Einleiten von H_2S in Kalkwasser bis zur Sättigung, ferner von Berzelius durch Einwirkung von H_2S auf wasserfreies $\text{Ca}(\text{OH})_2$ und von Béchamp durch Einleiten von H_2S in CaCO_3 -haltiges Wasser erhalten; doch gehen diese letzten Reaktionen nur bis zu einem bestimmten Gleichgewicht vor sich. In reinem Zustande wurde es von Divers und Tetsukichi-Shimidzu²⁴⁸⁾ dargestellt durch Einleiten von H_2S in reinen Kalkbrei. Dieses Verfahren muß aber unter starker Kühlung und in einer H_2S -Atmosphäre ausgeführt werden, weil sonst infolge des hohen H_2S -Dissoziationsdruckes des $\text{Ca}(\text{SH})_2$ eine Zersetzung eintritt. Auch aus Calciummonosulfid und Wasser entsteht das Hydrosulfid durch Hydrolyse.

Eigenschaften: Calciumsulfhydrat bildet farblose Prismen mit 6 Mol. Kristallwasser. In Wasser sowie Alkohol ist es leicht löslich. Beim Erhitzen schmilzt es zunächst im Kristallwasser, dann entweicht H_2S und es bleibt Monosulfid zurück.

Das spez. Gew. von Lösungen beträgt bei 23°

% $\text{Ca}(\text{SH})_2$	% $\text{Ca}(\text{SH})_2 \cdot 6\text{H}_2\text{O}$	d
32	64	1,255
37,5	75	1,310.

(Divers und Shimidzu.) Die Lösung löst beim Erwärmen Schwefel unter Schwefelwasserstoffentwicklung und Polysulfidbildung und wird durch Kohlendioxyd zum Teil zersetzt.

Beim Kochen zerfällt die Lösung nach v. Miller und Opel²⁴⁹⁾ in $\text{Ca}(\text{OH})_2$ und H_2S , eine Reaktion, welche die starke hydrolytische Spaltung beweist.

Calciumpolysulfide. Wie mit den Alkalien, so vermag Schwefel auch mit Calcium in Wasser leicht lösliche Polysulfide zu bilden. Ihre wässrigen Lösungen erhält man durch Kochen von CaS mit S und H_2O ; sie sind gelbrot gefärbt. Beim Eindunsten im Vakuum sind die festen Verbindungen CaS_4 , Calciumtetrasulfid und CaS_5 , Calciumpentasulfid, allerdings nur in amorphem Zustande erhalten worden. In der Wärme zersetzen sich die konzentrierten Lösungen unter Entwicklung von H_2S infolge der gesteigerten Hydrolyse in $\text{Ca}(\text{OH})_2$, CaS und S .

Calciumoxysulfide. Leitet man ein trockenes Gemenge von Wasserstoff und Schwefelwasserstoff über Calciumhydroxyd, so erhält man ein Gemisch von Calciumhydroxyd und -sulfid, welches 32–33 Proz. Ca enthält. Dasselbe wird von Folkard²⁵⁰⁾ als eine Molekularverbindung angesprochen, doch fehlt für diese Annahme ein zwingender Beweis. Beim Erwärmen im indifferenten Gasstrom wird Wasser und Schwefelwasserstoff abgegeben. Nach dem Erhitzen auf Rotglut hat das Gemisch die Zusammensetzung $2\text{CaO} \cdot 2\text{CaS} \cdot \text{H}_2\text{O}$. Bei starkem Glühen an der Luft wird es zu CaSO_4 oxydiert.

Calciumhydroxyhydrosulfid, $\text{Ca}(\text{OH})(\text{SH})$, ist von Divers und Shimidzu (l. c.) durch Zersetzung von Hydrosulfid mit Wasser auch im geschlossenen Gefäß in vierseitigen Prismen erhalten worden. In Wasser ist es leicht löslich, zerfällt aber rasch in Hydroxyd und Hydrosulfid. In Alkohol ist es unlöslich.

Von Komplexen des Calciumhydroxyds und Calciumpolysulfids sind in kristallinischem Zustande zwei Verbindungen bekannt.

1. Herschells Kristalle $3\text{Ca}(\text{OH})_2 \cdot \text{CaS}_4 \cdot 9\text{H}_2\text{O}$ wurden von Her-

schell²⁵¹) durch Kochen von 3 Teilen $\text{Ca}(\text{OH})_2$, 1 Teil S und 20 Teilen H_2O , und Abkühlen der filtrierten Lösung bei Luftabschluß über Kalk dargestellt. Auch aus der Mutterlauge können nach nochmaligem Kochen mit Calciumhydroxyd neue Kristalle erhalten werden; doch wachsen sie nach Angabe von Schöne²⁵²) nur auf Calciumhydrat und bei Gegenwart von unterschwefligsaurem Kalk an. Die Herschellschen Kristalle sind orangefarbene, vierseitige Prismen; durch Erwärmung und Behandeln mit Wasser werden sie zersetzt, durch Alkohol nicht. Ihre Lösungen zeigen die Reaktion des Calciumhydroxyds und Sulfids.

2. Buchners Kristalle $4\text{Ca}(\text{OH})_2 \cdot \text{CaS}_4 \cdot 14\text{H}_2\text{O}$ wurden zuerst von Buchner²⁵³) und Bachholz und Brandes²⁵⁴) durch Behandeln einer Schmelze von $\text{Ca}(\text{OH})_2$ und S mit HCl oder $\text{C}_2\text{H}_4\text{O}_2$ erhalten. Nach Schöne (l. c.) und H. Rose²⁵⁵) werden sie durch Kochen von Calciumtetrasulfid, -hydroxyd, -hydrosulfid mit Wasser und Einengen der Lösung über Calciumhydroxyd dargestellt. Da sich das Sulfid beim Kochen von selbst hydrolytisch in Hydroxyd und Hydrosulfid spaltet, so wurden die Kristalle von Schöne auch durch Kochen von Tetrasulfid mit Schwefel erhalten.

Die Bedingungen, unter denen aus diesen offenbar stark komplexen Lösungen die Herschellschen oder die Buchnerschen Kristalle entstehen, sind noch nicht festgestellt worden.

Die Buchnerschen Kristalle sind ebenfalls orangerot, werden jedoch allmählich farblos; sie gehören nach der optischen Untersuchung dem monoklinen System an (Groth²⁵⁶)).

Ihre Reaktionen sind dieselben wie die der Herschellschen Kristalle.

Calciumselenid, CaSe , wurde von Fabre²⁵⁷) durch Einwirkung von Wasserstoff auf Calciumselenat bei Rotglut dargestellt. Es ist weiß, phosphoresziert nicht, ist schwerlöslich in Wasser, löslich in verdünnten Säuren. Seine Bildungswärme differiert nicht sehr von der des Sulfids.

Calciumnitrid, Ca_3N_2 , M.-G. = 148,3, wurde zuerst von Maquenne²⁵⁸), allerdings nur in unreinem Zustande beim Erhitzen von Calciumamalgam im Stickstoffstrom erhalten. Rein dargestellt wurde es von Moissan²⁵⁹) unter Anwendung seines reinen metallischen Calciums. Es bildet hellbraune Kristalle, die bei 1200° schmelzen, sein spez. Gew. ist 2,63 bei 17° . Durch Wasserstoff wird es beim Erhitzen zu Ammoniak und Calciumhydrid reduziert, Chlor und Brom zersetzen es energisch schon bei gewöhnlicher Temperatur, Jod erst beim Erwärmen. An der Luft verbrennt es, der Dampf von S und P wandelt es bei 500° in das Sulfid resp. Phosphid um. Mit Kohle reagiert es bei 800° noch nicht, erst bei der Temperatur des elektrischen Ofens tritt Carbidbildung ein.

Verdünnte Säuren zersetzen es unter Bildung von Calcium- und Ammoniumsalzen, konzentrierte Säuren sind ohne Einwirkung. Beim Erwärmen mit Alkohol entsteht Calciumäthylat und Ammoniak. Wenn erst die Bildung des metallischen Calciums ein technisch einfacher und billiger Prozeß wäre, so würde das Calciumnitrid Verwendung zur Überführung des Luftstickstoffs in Ammoniak finden können (Moissan).

Calciumammonium wurde von Moissan²⁶⁰) durch Überleiten von Ammoniak über metallisches Calcium bei 15° unter lebhafter Wärmeentwicklung erhalten. Es besitzt die Zusammensetzung $\text{Ca}(\text{NH}_3)_4$. An der Luft entzündet es sich, zerfällt nach Doby²⁶¹) mit Alkohol in NH_3 und Ca-Alkoholat. Mit NH_4Cl zersetzt es sich nach der Gleichung $2\text{NH}_4\text{Cl} + \text{Ca}(\text{NH}_3)_4$

$\text{CaCl}_2 + 6\text{NH}_3 + \text{H}_2$ (Moissan²⁶²)). Die entsprechende Reaktion tritt auch mit Schwefelammonium ein. Bei Zimmertemperatur ist es nicht beständig, sondern zersetzt sich unter Bildung von durchsichtigen Kristallen von

Calciumamid, $\text{Ca}(\text{NH}_2)_2$.

Calciumphosphid, Ca_3P_2 , wurde zuerst wohl von Thénard²⁶³) allerdings nicht in reiner Form, durch Einwirkung von Phosphordampf auf glühenden Kalk erhalten; in reinem kristallisierten Zustande wurde es von Moissan²⁶⁴) und Rénault²⁶⁵) durch Reduktion von Calciumanhydrophosphat mit Kohle im elektrischen Ofen dargestellt. Moissan wendete einen Strom von 950 Amp. und 45 Volt an, Rénault benutzte viel schwächere Ströme. Durch direkte Einwirkung von Phosphordampf auf reines Calcium erhält man nach Moissan stets amorphes Calciumphosphid.

Eigenschaften. Calciumphosphid, amorphes wie kristallisiertes, ist rotbraun. Es ist schwer schmelzbar, seine Dichte beträgt 2,51. Wasserstoff und die Halogene reagieren mit ihm nicht in der Kälte, letztere jedoch schon bei gelindem Erwärmen. Bei 30° verbrennt es an der Luft mit sehr heller Flamme. Die Einwirkung des Stickstoffs unter teilweiser Bildung von Nitrid beginnt erst bei 1200° merklich zu werden. Von Wasser wird es unter Bildung von Calciumhydroxyd und selbstentzündlichem Phosphorwasserstoff P_2H_4 zersetzt, ebenso von verdünnten Säuren; absoluter Alkohol und andere organische Flüssigkeiten wirken nicht zersetzend.

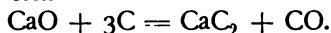
Calciumarsenid, Ca_3As_2 , wurde 1. von Moissan²⁶⁶) durch direkte Vereinigung von metallischem Calcium und Arsendampf hergestellt. Ferner 2. von Lebeau²⁶⁷) durch Reduktion von Calciumarsenat mit Kohle im elektrischen Ofen, 3. durch Einwirkung flüssigen Arsenwasserstoffs auf metallisches Calcium und 4. durch Einleiten von Arsenwasserstoff in eine Lösung von Calciumammonium in flüssigem Ammoniak bei -80° . Alle diese Methoden führen zu Produkten, die dieselbe Zusammensetzung, aber verschiedene äußere Eigenschaften haben. Das nach 2. im elektrischen Ofen dargestellte Produkt besitzt kristallinischen Bruch und ist rotbraun, das nach 1. dargestellte hat metallischen Glanz. Seine Dichte beträgt 2,5. Von Halogenen wird es unter Bildung der entsprechenden Halogenide zersetzt und zwar bei um so tieferer Temperatur, je kleiner das Atomgewicht des Halogens ist. Wasserstoff reduziert es nicht unterhalb 800°. Auch Sauerstoff wirkt erst bei höherer Temperatur ein. Oxydationsmittel, z. B. Kaliumchlorat, -nitrat, -permanganat, oxydieren es unter heftiger Wärmeentwicklung. Rauchende Salpetersäure wirkt in der Kälte nicht ein, doch wird konzentrierte Schwefelsäure zu schwefliger Säure reduziert. Von Wasser wird es unter Entwicklung von Arsenwasserstoff zersetzt.

Mit diesem bildet es bei der Temperatur des flüssigen Ammoniaks eine kristallisierende komplexe Verbindung.

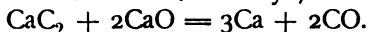
Calciumcarbid, CaC_2 . M.-G. = 65,1.

Davy²⁶⁸) erhielt bei der Kaliumdarstellung einen Calcium und Kohlenstoff enthaltenden Körper, der mit H_2O ein übelriechendes Gas entwickelte. Wöhler²⁶⁹) fand im Jahre 1863, daß die bei der Einwirkung von Kohle auf eine Zinkcalciumlegierung entstehende Schmelze Wasser unter Entwicklung von Acetylen zersetzt. Beide haben also Calciumcarbid, wenn auch in stark verunreinigtem Zustande, in den Händen gehabt. Ebenso gelang Winckler²⁷⁰) durch Reduktion von CaCO_3 durch Mg die Darstellung einer calciumcarbidhaltigen Masse. Rein dargestellt, und zwar in kristallinischer Form, wurde es jedoch erst von Borchers²⁷¹), der

es nicht beachtete und unabhängig von ihm von Moissan²⁷²⁾ durch Erhitzen von Kalk und Kohle im elektrischen Ofen, und zwar von letzterem unter Anwendung eines Stromes von 350 Amp. und 70 Volt. Die Umsetzung geht nach der Gleichung vor sich

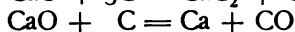


Auch durch Auflösung von Kohle in geschmolzenem CaO entsteht nach Moissan²⁷³⁾ Calciumcarbid, bei Gegenwart von viel CaO zersetzt es sich zum Teil wieder in metallisches Ca und Kohlenoxyd, nach der Gleichung

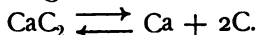


Diese letzte Reaktion erklärt nach Gin²⁷⁴⁾ das Auftreten von metallischem Calcium bei der Carbidherstellung bei Anwendung sehr hoher Temperaturen.

Es wird sich also jedenfalls um ein von der Temperatur und der Massenwirkung abhängiges Teilungsverhältnis des CaO zwischen den Reaktionen



handeln, oder wie sich daraus durch Subtraktion ergibt, um eine Dissoziation des CaC_2 gemäß der Gleichung

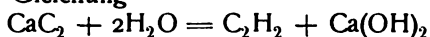


Auch ohne Hilfe des elektrischen Stromes kann CaC_2 dargestellt werden, doch stets nur bei sehr hohen Temperaturen, und zwar nach Travers²⁷⁵⁾ aus metallischem Na, C und CaCl_2 , nach Wolff²⁷⁶⁾ mit Hilfe des Goldschmidt'schen Verfahrens (Aluminothermie), und nach Borchers²⁷⁷⁾ aus CaCO_3 und C. Diese Reduktionen gehen nur bei Temperaturen über 2000° vor sich. Technische Bedeutung hat nur die Darstellung im elektrischen Ofen, die in den letzten Jahren durch eine große Anzahl von Patenten vervollkommen worden ist.²⁷⁸⁾ Die Darstellung von reinem CaC_2 gelingt nach Moissan aus CaH_2 oder Ca_2N_3 und C. Bei der Temperatur des schmelzenden Platins erhielt Moissan²⁷⁹⁾ im Quarzglas keine Reaktion zwischen CaO und C. Bei der Elektrolyse eines Gemisches von geschmolzenen Calciumsalzen entsteht bei Anwendung einer Kohlekathode an dieser Calciumcarbid, jedoch in wechselnden Mengen (Moissan²⁸⁰⁾, Bullier²⁸¹⁾).

Die Bildungswärme des Calciumcarbids aus den Elementen beträgt nach de Forcrand²⁸²⁾ —7250 cal. (aus Diamant), resp. —650 cal. (aus amorpher Kohle) und die Reaktionswärme bei der Bildung aus CaO und C = —105350 cal. Da also die Bildung von CaC_2 eine endotherme Reaktion ist, so muß nach den bekannten thermodynamischen Prinzipien das Gleichgewicht zwischen den beteiligten Stoffen bei steigender Temperatur zugunsten des CaC_2 und des CO verschoben werden. Da das System aus vier Phasen (CaO, C, CaC_2 , Gas) und drei unabhängigen Bestandteilen besteht, so muß jeder Temperatur ein bestimmter Dissoziationsdruck des Kohlenoxyds entsprechen. Dies wurde experimentell von Rothmund²⁸³⁾ bestätigt. Bei ca. 1620° erreicht derselbe Atmosphärendruck, so daß nur oberhalb dieses Punktes, wo gewissermaßen das CO fortsiedet, praktische Carbidbildung eintreten kann. Bei tieferen Temperaturen gelang es Rothmund, im CO-Strom eine Zersetzung des CaC_2 unter Bildung von CaO und C nachzuweisen. Vermindert man andererseits auf mechanischem Wege, z. B. durch Einblasen von Wasserstoff, den Partialdruck des Kohlenoxyds, so tritt schon bei tieferer Temperatur die Bildung von Carbid und Kohlenoxyd ein, um den Gleichgewichtsdruck des CO wieder herzustellen.

Eigenschaften. Nach Moissan (c. l.) zeigt das CaC_2 immer kristallinen Bruch, ganz reines Carbid ist farblos und durchsichtig. Das spez. Gew. beträgt 2,22 bei 18°, es ist in allen bekannten Lösungsmitteln praktisch unlöslich. Das technische Carbid enthält alle Verunreinigungen, die die Ausgangsmaterialien enthalten.

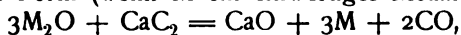
Die große technische Bedeutung des Calciumcarbids beruht vornehmlich auf seiner Verwendung zur Darstellung des Acetylens, welches durch Hydrolyse nach der Gleichung



unter heftigem Aufschäumen und Wärmeentwicklung entsteht. Demgemäß kann das CaC_2 als ein Ca-Salz mit dem sehr schwach elektroaffinen Anion C_2^{--} aufgefaßt werden.²⁸⁴⁾ Mit diesem reagieren die H-Ionen des Wassers bei der Hydrolyse unter Bildung der freien Säure C_2H_2 , Acetylen. Da das Acetylen mit sehr heller Flamme verbrennt, so hegte man große Hoffnungen auf seine Verwendbarkeit als Beleuchtungsmittel im großen. Diese Hoffnungen sind bis jetzt jedoch noch nicht verwirklicht, doch sind dem Calciumcarbid in jüngster Zeit noch andere Gebiete für technische Verwertung eröffnet worden. Da es nämlich aus Kalk und Kohle unter Aufnahme beträchtlicher Energiemengen entsteht, so wird es unter geeigneten Umständen fähig, seinen Energievorrat an andere chemische Verbindungen abzugeben, d. h. solche Reaktionen einzuleiten, die nur unter Zufuhr äußerer Energie von statten gehen können, z. B. alle Reduktionsvorgänge.

Die reduzierende Kraft des Calciumcarbids ist zuerst von Moissan²⁸⁵⁾ und Warren²⁸⁶⁾, später von Fröhlich²⁸⁷⁾, Neumann²⁸⁸⁾, v. Kügelgen²⁸⁹⁾, Tarugi²⁹⁰⁾ und Geelmuyden²⁹¹⁾ untersucht worden. Diese Untersuchungen beschäftigen sich im wesentlichen mit der technisch wichtigen Reduktion von Metalloxyden oder -salzen zu reinen Metallen. Während aber Moissan und Warren die Metalle nie rein, sondern mit ca. 1 Proz. Ca legiert erhielten, gelang es den anderen Autoren durch Anwendung geeigneter Schmelzflüsse, besonders der Chloride des Calciums oder der angewendeten Metalle die reinen Metalle, bez. reine Legierungen der angewendeten Metalloxyde oder -salze herzustellen. Die Reduktion geht unter heftiger Wärmeentwicklung bei Rotglut vor sich. Um sie einzuleiten, genügt es, eine Stelle des Reaktionsgemisches z. B. durch ein Streichholz, anzuzünden.

Der Gleichung, nach der diese Reduktion vor sich geht, geben Neumann und Fröhlich die Form (wenn M ein einwertiges Metall bedeutet)

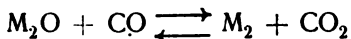


v. Kügelgen dagegen



Tatsächlich enthalten die entweichenden Reaktionsgase sowohl Kohlendioxyd wie Kohlenoxyd in Gewichtsverhältnissen, die je nach den angewendeten Versuchsbedingungen und der Natur des zu reduzierenden Oxyds variieren. Wahrscheinlich gehen beide Reaktionen nebeneinander vor sich, und zwar bei schwer zu reduzierenden Metallen vornehmlich die erste, bei leichter zu reduzierenden die zweite, da nach Bodländer²⁹²⁾ die freie Bildungsenergie des Kohlenoxyds pro Äquivalent Sauerstoff größer ist als die des Kohlendioxyds. Die Annahme, die von Neumann wie von v. Kügelgen zur Aufrechterhaltung ihrer Gleichungen gemacht werden muß, daß eines der beiden Gase durch eine sekundäre Reaktion entsteht, ist durch keine experimentelle Tatsache gestützt.

Wirkliche Gleichgewichtszustände sind nicht untersucht worden, doch ist es nach Neumann²⁹³⁾ kaum zweifelhaft, daß die Neumann-Fröhlichsche und die Kugelgenseche Reaktion sich nebeneinander in solchem Verhältnis abspielen, wie es das der jeweiligen Temperatur entsprechende Gleichgewicht

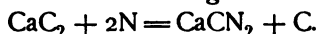


erfordert; diesem muß das Resultat der Reaktion gleichzeitig genügen.

Ob der Verwertung des Calciumcarbids als Reduktionsmittel in der Hüttentechnik und der Metallurgie eine große Bedeutung zukommen wird, muß noch als zweifelhaft bezeichnet werden.

Eine weitere Verwendung des Calciumcarbids, welche seinem hohen Energiegehalt zu verdanken ist, ist seine Absorptionsfähigkeit für atmosphärischen Stickstoff.

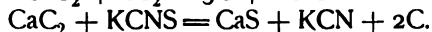
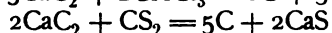
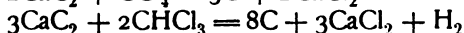
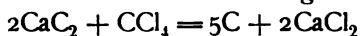
Bei Rotglut reagiert nämlich, wie von der Cyanidgesellschaft²⁹⁴⁾ gezeigt worden ist, Calciumcarbid mit Stickstoff unter Bildung von Calciumcyanamid und Kohle nach der Gleichung



Das gewonnene Calciumcyanamid (s. d.) kann sowohl direkt für die Landwirtschaft als Düngemittel, als auch zur Verarbeitung auf Alkalicyanide verwendet werden.

Den übrigen zahlreichen Reaktionen des Calciumcarbids kommt keine technische Bedeutung zu, doch sind sie von theoretischem Interesse.

Landmann²⁹⁵⁾ hat die Reduktionswirkung auf organische Haloide, Sulfide usw. untersucht und unter anderem folgende Reaktionen gefunden:



Mit den Halogenen; P, As reagiert es nach Moissan²⁹⁶⁾ bei höherer Temperatur, ebenso mit Borsäure (Geelmuyden) unter Bildung von Calciumborid, mit den Alkalimetallen, Magnesium und Wasserstoff jedoch nicht.

Calciumsilicid, CaSi_2 . Ein Produkt, welches die ungefähre Zusammensetzung CaSi_2 hatte, wurde schon von Wöhler²⁹⁷⁾ durch Zusammenschmelzen von Si, CaCl_2 , NaCl und Na erhalten. Ferner wurde seine Entstehung als Nebenprodukt bei der Calciumcarbiddarstellung im elektrischen Ofen von Le Chatelier²⁹⁸⁾, de Chalmot²⁹⁹⁾ und Moissan³⁰⁰⁾ nachgewiesen. In reinem Zustande wurde es zuerst von Moissan³⁰¹⁾ durch Reduktion von Kieselsäure durch metallisches Ca unterhalb Rotglut, durch direkte Vereinigung von Calcium und Silicium und schließlich durch Zusammenschmelzen von CaO und Si im elektrischen Ofen mittels eines Stromes von 600 Amp. und 60 Volt dargestellt. Die Reaktion geht in diesem Falle nach der Gleichung $2\text{CaO} + 5\text{Si} = 2\text{CaSi}_2 + \text{SiO}_2$ vor sich. Das auf diese Weise dargestellte Calciumsilicid wird nach Moissan und Dilthey³⁰²⁾ nur langsam von Wasser, Schwefelsäure oder Salpetersäure, rascher durch Alkalien unter Entwicklung von reinem Wasserstoff zersetzt. Konzentrierte Salzsäure greift es rasch an unter Bildung von Wasserstoff und Siliciumwasserstoff. Nach Bradley³⁰³⁾ und Jakobs³⁰⁴⁾ bildet sich bei der Einwirkung verdünnter Säuren Wasserstoff und Silicoacetylen Si_2H_2 .

Das von Moissan und Dilthey dargestellte Calciumsilicid ist kristalli-

nisch, besitzt silbergraue Farbe und metallischen Glanz. Es hat ungefähr die Härte von Quarz und die Dichte 2,5.

Calciumborid, CaB_6 . Es wird nach Moissan und Williams³⁰⁵⁾ durch Erhitzen von Calciumoxyd mit Bor oder besser durch Reduktion von Calciumborat mit Aluminium und Zuckerkohle im elektrischen Ofen erhalten (300 Amp., 4 Volt). Zur Reinigung von hierbei als Nebenprodukt entstehenden harzigen, organischen Massen muß das Produkt mit Äther und Toluol gewaschen werden. Seine Zusammensetzung entspricht der Formel CaB_6 . Seine Dichte beträgt bei 15° 2,23. Es ist ein sehr hartes, glänzendes, schwarzes, kristallinisches Pulver. In ganz dünnen Schichten erscheinen die Kriställchen gelb. Mit Wasserstoff reagiert es nicht, mit Fluor schon in der Kälte heftig, mit Chlor, Brom, Jod erst bei Rotglut. Vom Wasser wird es nicht zersetzt, jedenfalls nicht unter 1000°. Calciumborid, das im elektrischen Ofen geschmolzen war, zersetzt jedoch Wasser unter Entwicklung von Wasserstoff. Es scheint also beim Schmelzen eine chemische Veränderung vorzugehen. Geelmuyden³⁰⁶⁾ erhielt Calciumborid aus Calciumcarbid und Borsäure.

Calciumhypochlorit, $\text{Ca}(\text{ClO})_2$, resp. sein Anion ClO' ist wohl jedenfalls als die wirksame Verbindung des Chlorkalks aufzufassen.

In reinem Zustand wurde es von Kingzett³⁰⁷⁾ durch vorsichtiges Auftauen des beim Gefrieren von Chlorkalklösung enthaltenen Kryohydrats dargestellt. Es kristallisiert in federförmigen Kristallen mit 4 Mol. H_2O . Tiesenholt³⁰⁸⁾ erhielt durch Einwirkung von Cl_2O auf trockenes Calciumhydrat kein reines Präparat, da der Kalk nicht soviel Säureanhydrid aufnahm, wie seinem Äquivalentgewicht entsprach.

Chlorkalk oder Bleichkalk heißt das Einwirkungsprodukt von Chlor auf gelöschten Kalk ($\text{Ca}(\text{OH})_2$); dieser absorbiert je nach den äußeren Umständen (Reinheit, Oberflächenbeschaffenheit, Feuchtigkeit, Temperatur) verschiedene Mengen von Chlor, die durch Einwirkung von Säuren auf das Produkt fast quantitativ wieder freigemacht werden. Der Gehalt an diesem durch Säuren freigemachten sogenannten „bleichenden“ oder „wirksamen“ Chlor bestimmt den technischen Wert des Chlorkalks.

Die Bildung von Chlorkalk ist an die Anwesenheit von Wasser geknüpft; trockenes Calciumoxyd (CaO) absorbiert kein Chlor, ein Gemisch von CaO und $\text{Ca}(\text{OH})_2$, sowie bei 100° getrocknetes $\text{Ca}(\text{OH})_2$ nur geringe Mengen. Die maximale Ausbeute erhält man bei Anwesenheit von ca. 3,5 Proz. Wasser über das Hydratwasser hinaus, wie folgende Versuche von Lunge und Schaeppi³⁰⁹⁾ zeigen:

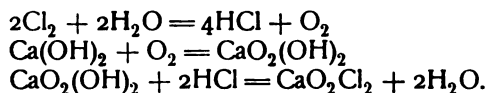
(Trockenes $\text{Ca}(\text{OH})_2$ enthält 24,33 Proz. H_2O .)	
H_2O -Gehalt des benutzten Kalkes	Gehalt des Chlorkalkes an wirksamem Cl
6,5	9,06
13,6	32,34
17,6	37,38
21,6	38,82
24,0	40,71
26,0	40,89
27,8	43,13
28,2	40,36
30,1	38,78
31,8	36,85.

Einen Maximalgehalt von 43,14 Proz. Cl erhielt Ditz³¹⁰) durch wiederholtes Hinzufügen von wenig Wasser während des Chlorierens. Obwohl die Einwirkung von Chlor auf Kalk unter Wärmeentwicklung stattfindet, ist die Ausbeute doch nicht bei tiefer Temperatur am größten, da offenbar bei dieser die Geschwindigkeit der Aufnahme gegen Ende der Chlorierung zu gering wird, sondern bei einer mittleren Temperatur von 40—50°, wie folgende Versuche von Lunge und Schaeppi zeigen:

t° bei der Einwirkung	Wirksames Cl	t°	Cl.
—17	2,3	40	41,18
0	19,88	45	40,50
+ 7	33,24	50	41,52
+ 21	35,50	60	39,40
+ 25	39,50	90	4,26
+ 30	40,10		

Ditz³¹⁰) erhielt bei —10 bis —20° unter den günstigsten Bedingungen nur einen Chlorkalk von 31,9 Proz. wirksamen Chlors, bei Zimmertemperatur dagegen von 43,14 Proz.

Nach Tarugi (Gaz. chim. ital. **34**, II, 224, 1904) beruht die Bildung von Chlorkalk auf der intermediären Bildung eines Superoxydhydrats, entsprechend den Gleichungen



Demnach sei der Chlorkalk als ein Peroxychlorid aufzufassen. Für diese Formel spricht auch die Reaktion mit Hg nach der Gleichung



Eigenschaften des Chlorkalks. Chlorkalk ist ein weißes, wenig hygroskopisches Pulver, das an der Luft schwach nach Chlormonoxyd (Cl_2O) riecht. In Wasser löst er sich nicht klar, sondern unter Bildung eines Rückstandes, der je nach den Umständen aus Calciumhydroxyd oder basischem Chlorcalcium besteht (Winteler³¹¹)). Die Lösungen zeigen die Reaktionen der unterchlorigen Säure (siehe unten).

Beim Liegen an der Luft verliert er an wirksamem Chlor durch Entwicklung von etwas Cl und Cl_2O und Bildung von chlorsaurem Salz, das ja mit Säuren in der Kälte kein Cl entwickelt.

Beim Erwärmen auf 100° verliert Chlorkalk etwa die Hälfte seines Wassergehaltes, das übrige Wasser geht zum Teil bei 150° fort, die letzten Spuren jedoch erst bei Rotglut.

Beim Erwärmen bis 70° entwickelt sich nur Cl, oberhalb dieser Temperatur auch Cl_2O und O (Lunge³¹²)).

Bei 190° ist fast alles bleichende Chlor zerstört (Ditz). Beim Schmelzen entwickelt sich nach Lunge und Schoch³¹³) neben geringen Spuren von Cl_2O ausschließlich O und kein Cl, wie Dreyfus³¹⁴) angegeben hatte.

Verdünnte Salzsäure und Kohlendioxyd, dieses aber nur, wenn es nicht ganz trocken ist (Ditz), machen im Gegensatz zu anderen Säuren, die auch Cl_2O entwickeln, aus dem Chlorkalk schon in der Kälte fast alles Chlor frei; auf diesem Umstande beruht seine Verwendung als Bleich-, als Oxydations- und Desinfektionsmittel, ferner zur Entwicklung von Chlor für den technischen Bedarf, besonders wenn dasselbe in alkalischer Lösung erfordert wird, z. B.

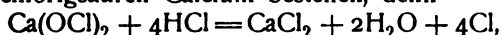
die Bildung von Chloroform, sowie auch zu Laboratoriumszwecken (aus Chlorkalk und Salzsäure).

Konstitution. Die Frage nach der Konstitution oder chemischen Formel des Chlorkalks ist eine der meist umstrittenen der ganzen anorganischen Chemie, die auch durch die neuesten Untersuchungen noch keine voll befriedigende Lösung gefunden hat. Die Ursache hiervon ist wohl der Umstand, daß Chlorkalk überhaupt kein einheitliches chemisches Individuum, sondern ein Gemenge von solchen ist, deren Existenzbedingungen und Stabilitätsgrenzen wohl nur durch Untersuchungen auf Grund der chemischen Gleichgewichtslehre, insbesondere der Phasenlehre, festgestellt werden können.

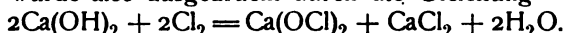
Die hauptsächlichsten Anforderungen, denen sämtliche Chlorkalkformeln gerecht werden müssen, sind die Erklärungen folgender Tatsachen:

- 1) Die Entwicklung des gesamten Chlors durch verdünnte Säuren und CO_2 .
- 2) Das stete Vorhandensein von Wasser und die verschiedene Leichtigkeit, mit der die einzelnen Mengen desselben abgespalten werden.
- 3) Der wechselnde Gehalt an Calciumoxyd.

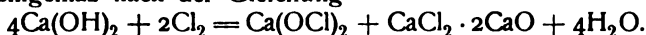
Zur Erklärung von 1) faßte Berzelius³¹⁵⁾ den Chlorkalk auf als das Calciumsalz der chlorigen Säure. Diese Anschauung modifizierte Balard³¹⁶⁾ und Gay-Lussac³¹⁷⁾ nach des ersten Entdeckung der unterchlorigen Säure dementsprechend; da aber mit Salzsäure nur soviel Chlor entwickelt wurde, wie im Chlorkalk enthalten war, und nicht das Doppelte, konnte dieser nicht aus reinem unterchlorigsauren Calcium bestehen, denn



sondern aus einem äquimolekularen Gemisch von $\text{Ca}(\text{OCl})_2$ und CaCl_2 . Seine Bildung wurde also ausgedrückt durch die Gleichung



Da es aber auf keine Weise gelingt, sämtlichen Kalk nach dieser Gleichung zu chlorieren, sondern das fertige Produkt immer bedeutende Mengen Calciumoxyd enthält, die nicht an bleichendes Chlor nach obiger Formel gebunden sind, hielt Fresenius³¹⁸⁾ den Chlorkalk für ein Gemenge von Calciumhypochlorit und basischem Calciumchlorid und formulierte seine Bildung demgemäß nach der Gleichung



Ein Chlorkalk dieser Formel durfte nur 32 Proz. wirksames Chlor enthalten. Die Darstellung höherchlorierter Produkte widerlegte daher die Freseniussche Formel, besonders da Bolley³¹⁹⁾ nachwies, daß basisches Calciumchlorid, $\text{CaCl}_2 \cdot 2\text{CaO}$, durch Chlor unter Bildung von Chlorkalk angegriffen wird.

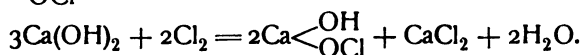
Die alte Gay-Lussacsche Formel ist ferner nicht imstande, das Verhalten des Chlorkalks gegen Wasser zu erklären.

Einerseits verliert derselbe nämlich bei 100° ungefähr die Hälfte seines Wassergehalts, andererseits wird, wie neuerdings Ditz³²⁰⁾ (l. c.) gezeigt hat, beim Chlorieren des Kalkes Wasser frei, das sich in Tröpfchen an den oberen Gefäßwänden absetzt. Beides ist mit der Annahme von reinem Chlorcalcium im Chlorkalk unvereinbar.

Daher hielt Odling³²¹⁾ ihn für ein gemischtes Kalksalz der unterchlorigen und der Chlorwasserstoffsäure und gab ihm die Konstitutionsformel $\text{Ca} \begin{smallmatrix} \text{Cl} \\ \diagup \quad \diagdown \\ \text{OCl} \end{smallmatrix}$, die später namentlich von Lunge³²²⁾ und seinen Mitarbeitern ver-

teidigt wurde; 2 Mol. derselben enthalten 1 Mol. Kristallwasser. Die Schreibweise von Mijers³²³⁾ $O = Ca = Cl_2$, mit vierwertigem Calcium, ist als unzweckmäßig zu bezeichnen und wohl von niemandem angenommen worden. Zur Erklärung des nicht chlorierten Kalkes nahm Kolb³²⁴⁾ eine Molekularverbindung $2CaOCl_2 + Ca(OH)_2$, Lunge im Anschluß an Goepner³²⁵⁾ eine mechanische Beimengung an. Nach ihrer sog. Umhüllungshypothese werden einzelne Teile Kalk von dem neugebildeten Chlorkalk $CaOCl_2$ umhüllt und so vor weiterer Chlorierung geschützt. Nach anderen Autoren dagegen entzieht der gebildete Chlorkalk dem Kalk so viel Wasser, daß derselbe nicht mehr der Chlorierung fähig wird. Diesem Umstande müßte sich jedoch durch allmähliches Hinzufügen von Wasser abhelfen und sich schließlich doch alter Kalk chlorieren lassen; tatsächlich hat Ditz auf diese Weise ein Maximum von wirksamem Chlor erhalten.

Stahlschmidt³²⁶⁾ nahm eine chemische Bindung des nicht chlorierten Kalkes an und faßte den Chlorkalk als ein basisches unterchlorigsaures Calcium auf, $Ca < \begin{smallmatrix} OH \\ OCl \end{smallmatrix}$, entsprechend der Reaktionsgleichung

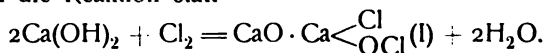


Abgesehen von den Gründen, die das Vorhandensein von freiem $CaCl_2$ unwahrscheinlich machen, wurde diese Auffassung hinfällig durch die Darstellung von Chlorkalk mit mehr als 39 Proz. bleichendem Chlor, wie ihn diese Formel als Maximum verlangt.

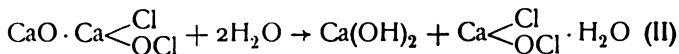
Die Beweise von Dreyfus³²⁷⁾ für die Stahlschmidtsche Formel sind durch die Versuche von Lunge und Schoch als widerlegt zu bezeichnen. In neuerer Zeit wurde die alte Gay-Lussacsche Formel wieder aufgenommen von Kraut³²⁸⁾ und v. Tiesenholt³²⁹⁾ Ersterer bewies, daß ein Gemenge von aus CaO und Cl_2O dargestelltem reinem Calciumhypochlorit und Chlorcalcium dieselben Eigenschaften habe wie Chlorkalk. Kohlendioxyd kann aus diesem Gemenge sämtliches Chlor frei machen, da die primär gebildete unterchlorige Säure das Chlorcalcium unter Cl -Entwicklung zersetzt. Ferner spricht das Vorhandensein einer bleichenden Lithiumverbindung $LiOCl \cdot LiCl$ gegen die Odtingsche Formel, die nur für 2 wertige Elemente anwendbar ist. v. Tiesenholt betonte hauptsächlich die Umkehrbarkeit der Reaktionsgleichung



Ditz (l. c.) schließlich sprach zuerst die Ansicht aus, daß der Chlorkalk des Handels nicht aus einer einzigen bleichenden Verbindung, sondern einem Gemenge von solchen besteht. Bei der Einwirkung von Chlor auf Kalk findet zunächst die Reaktion statt



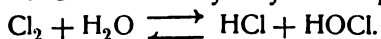
Bei genügendem Überschuß von Wasser und nicht zu tiefer Temperatur findet eine Hydrolyse des Chlorkalkes (I) statt, gemäß



und das neugebildete $Ca(OH)_2$ ist wieder der Chlorierung fähig. Der wirkliche Chlorkalk ist ein Gemenge der Verbindungen (I u. II). Die Fälle, in denen dieselben in einem ganzzahligen Verhältnis stehen, haben entgegen

Ditz' Anschauung keine theoretische Bedeutung. Über 100° ist nur die Verbindung $\text{CaO} \cdot \text{Ca} \begin{smallmatrix} \text{Cl} \\ \text{OCl} \end{smallmatrix}$ beständig.

Der erste Versuch, die Bildung des Chlorkalks vom Standpunkte des Massenwirkungsgesetzes aufzufassen, rührt von Winteler³³⁰⁾ her. Dieselbe spielt sich in der durch die Anwesenheit von Wasser bedingten flüssigen Phase ab, in der sich das Chlor unter hydrolytischer Spaltung auflöst, gemäß



Der Chlorkalk ist das Einwirkungsprodukt dieser beiden Säuren auf Calciumhydroxyd; ob er aus einem Gemenge oder einer Verbindung der betreffenden Salze besteht, bleibt unentschieden. Das Massenwirkungsgesetz gibt Auskunft über die günstigsten Bedingungen dieser Reaktion. So ergibt sich z. B., daß eine starke Alkalität (große Konzentration an OH') die Entwicklung von Sauerstoff aus Hypochlorit, also eine für die Technik schädliche Nebenreaktion, befördert. Daher ist von den alkalischen Erden nur das Calcium, dessen Hydroxyd das schwerlöslichste ist, zur Bildung von Bleichverbindungen geeignet.

Faßt man alle zur Bestimmung der Konstitution unternommenen Untersuchungen vom physikalisch-chemischen Standpunkt zusammen, so kann man es als sehr wahrscheinlich hinstellen, daß er kein einheitlicher Stoff ist, sondern aus einem Gemenge bleichender Verbindungen besteht, etwa nach der Auffassung von Ditz. Die Untersuchung und Isolierung der einzelnen Bestandteile, oder gar die Feststellung ihrer Umwandlungsprodukte, wird aber wohl auf große Schwierigkeiten stoßen, weil man es, wie Ostwald³³¹⁾ hervorgehoben hat, beim Chlorkalk überhaupt nicht mit stabilen Verbindungen und wirklichen Gleichgewichtszuständen zu tun hat. Jedenfalls ist es als ein Mangel aller bisherigen Untersuchungen zu betrachten, daß der Partialdruck des Chlors weder bei der Bildung noch der Zersetzung des Chlorkalks messend verfolgt wurde. Eines der wenigen sicheren Ergebnisse ist wohl dies, daß der Chlorkalk nicht aus einem physikalischen Gemenge von Calciumhypochlorit und -chlorid besteht, obwohl der gegenteilige Beweis, etwa durch Messung der Wärmetönung oder Volumenänderung beim Vermengen dieser beiden Salze, noch nicht erbracht ist. Ob aber der bleichenden Verbindung die Formel $\text{Ca} \begin{smallmatrix} \text{Cl} \\ \text{OCl} \end{smallmatrix}$ (Odling), oder die doppelte $\text{CaCl}_2 \cdot \text{Ca}(\text{OCl})_2$ zukommt, ist, wie schon Lunge hervorgehoben hat, nicht zu entscheiden, da es uns an Methoden zur Molekulargewichtsbestimmung fester Körper fehlt.

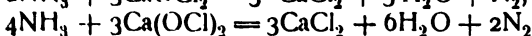
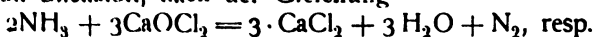
Die Lösungen des Chlorkalks. Chlorkalk ist in wenig Wasser nicht ohne einen Rückstand von Calciumhydroxyd löslich. Die Lösungen sind identisch mit solchen, die durch Auflösen von Hypochlorit, Hydroxyd und Chlorid hergestellt sind, und zeigen alle Reaktionen, die den betreffenden Ionen entsprechen.

Wie alle Lösungen, die das Ion ClO' enthalten, sind sie leicht zersetzlich unter Chloratbildung. Sie können auch durch Einleiten von Chlor in Kalkwasser dargestellt werden. Vor Licht und Luft geschützt, halten sie sich jedoch in der Kälte beliebig lange. Die Zersetzung ist auch nicht erheblich bei Erwärmen der reinen Lösung bis 60° (Lunge und Landolt³³²⁾), bei höherer Temperatur bildet sich Chlorat und es entweicht Sauerstoff. Enthält die Lösung freies Chlor, so tritt die Chloratbildung schon bei Zimmertemperatur ein, jedoch ohne Sauerstoffentwicklung. Dasselbe ist nach Förster und

Jorre³³³) in schwachsauren Lösungen (Essigsäure) der Fall; Sauerstoffentwicklung tritt erst oberhalb 60° auf. Katalytische Sauerstoffüberträger, wie Metalloxyde, besonders Kobalt-superoxyd, rufen eine so lebhaft Sauerstoffentwicklung hervor, daß diese Reaktion (bei 70–80°) zur einfachen Darstellung von Sauerstoff im Laboratorium empfohlen wird (Fleitmann³³⁴)). Es entweicht quantitativ aller Hypochloritsauerstoff, Chloratbildung tritt nicht ein.

Mit alkoholischem Chloroform kann man der Chlorkalklösung einen Teil des bleichenden Chlors in Gestalt des Äthylesters der unterchlorigen Säure entziehen, jedoch natürlich nur bis zu einem bestimmten Verteilungsgleichgewicht.

Beim Kochen mit Ammoniak tritt quantitativ Zersetzung ein unter Entwicklung von Stickstoff, nach der Gleichung



(Kolb, Lunge und Schoch, l. c., die Angaben von Dreyfus sind scheinbar nicht richtig).

Beim Zusatz von Alkohol treten Nebenreaktionen ein; es bildet sich Chloroform, Äthylchlorid etc.

Das spez. Gewicht von Chlorkalklösungen ist von Lunge und Bachofen³³⁵) bei 15° bestimmt worden.

g bleichendes Cl im Liter	s	g Cl im Liter	s
71.79	1.1155	35.81	1.0600
68.66	1.1105	29.41	1.0500
65.33	1.1060	23.75	1.0400
61.17	1.1000	17.36	1.0300
55.18	1.0900	11.41	1.0200
48.06	1.0800	5.58	1.0100
42.31	1.0700	1.40	1.0025

Beim Behandeln von Chlorkalk mit Alkohol löst sich in diesem nur Chlorcalcium, kein Hypochlorit.

Die Bestimmung des bleichenden Chlors im Chlorkalk führt den Namen Chlorimetrie. Die Ausrechnung erfolgt gewöhnlich in Prozenten, früher in Gay-Lussacschen Graden, welche die Liter Chlor angeben (0° u. 760 mm), die aus einem kg Chlorkalk erhalten werden: 1 Grad entspricht demnach 0,3105 Proz.

Alle chlorimetrischen Methoden bestehen in Titrationen; sie beruhen auf der oxydierenden Wirkung von Chlor oder unterchloriger Säure bei Gegenwart von Wasser. Als Reduktionsmittel dient arsenige Säure, nach Gay-Lussac in saurer, nach Perot in alkalischer Lösung, als Indikator Jodstärkepapiere. Die Anwendung von Thiosulfat oder Ferrosalzlösungen ist in der Technik weniger gebräuchlich.

Technische Darstellung des Chlorkalks. Der Chlorkalk wurde als Bleichmittel von Tennant 1780 dargestellt, als Ersatz des von Berthollet durch Einleiten von Chlor in Natriumcarbonatlösung erhaltenen Bleichmittels. Seitdem ist die Chlorkalkindustrie zu immer größerer Bedeutung gelangt, besonders in Großbritannien. Der zur Verwendung kommende Kalk muß möglichst rein und fein gestiebt sein. Die Kammern, in denen er der Chlorierung ausgesetzt wird, haben verschiedene Formen, je nach der Darstellungsmethode des benutzten Chlors. Wird dasselbe nach dem Deblows-Verfahren gewonnen, so ist es in viel verdünnterem Zustande

als das aus Braunstein hergestellte, und muß daher auf eine größere Kalkoberfläche einwirken. In den betreffenden Kammern darf daher der Kalk nur in ganz dünnen Schichten liegen. Elektrolytisch hergestelltes Chlor ist nicht ohne weiteres zur Chlorkalkdarstellung geeignet, da es infolge Angriffs der Kohlenanoden stets mit Kohlensäure verunreinigt ist. Diesem Uebelstand soll sich durch Anwendung hoher Kammern abhelfen lassen, in denen das leichtere Kohlendioxyd nach oben geht (doch ist es unmöglich, eine Entmischung von Gasgemengen anzunehmen!), ferner durch Innehaltung der günstigsten Bedingungen für Wärme und Feuchtigkeit. Winteler (l. c.) hat auf diese Weise einen 36prozentigen Chlorkalk erhalten.

Calciumchlorat, $\text{Ca}(\text{ClO}_3)_2$. M.-G. = 207,0.

Darstellung. Calciumchlorat entsteht beim Einleiten von Cl in Kalkmilch, besonders beim Erwärmen. Die Lösung enthält jedoch noch Calciumchlorid und die Kalksalze der niederen Halogensauerstoffsäuren (siehe Chlorkalk). Für diese sehr komplizierten Gleichgewichtsverhältnisse gelten dieselben Gesichtspunkte, die für das Gleichgewicht zwischen Chlor und Alkali von Förster und Müller³³⁶) angegeben sind. Eine systematische Untersuchung dieses Systems liegt nicht vor; aus den älteren Arbeiten geht hervor, daß die Ausbeute an Chlorat mit der Temperatur wächst (Calart³³⁷) und Lunge³³⁸). Infolge des geringen Unterschieds der Löslichkeit ist die Trennung des Chlorats von den anderen Salzen schwierig; diese Methode eignet sich daher nicht zur Reindarstellung des Salzes. Sie gelingt aber durch Neutralisation reiner Chlorsäure mit Calciumhydroxyd oder -carbonat (Wächter³³⁹). Aus dieser Lösung kristallisieren bei Zimmertemperatur schiefe rhombische Kristalle mit 2 Mol. Kristallwasser aus, die bei raschem Erhitzen oberhalb 100° in ihrem Kristallwasser schmelzen. Bei langsamem Erwärmen verdunstet das Kristallwasser. Der wasserfreie Rückstand zersetzt sich unter Schmelzen in Sauerstoff und Spuren von Chlor.

Calciumchlorat ist an der Luft zerfließlich, im Wasser und Alkohol leicht löslich. Letztere Lösung brennt mit schöner roter Ca-Flamme.

Calciumperchlorat, $\text{Ca}(\text{ClO}_4)_2$, M.-G. = 239,0, entsteht aus Überchlorsäure und Calciumcarbonat oder -hydroxyd. Die Kristalle (Prismen) sind sehr zerfließlich, lösen sich leicht in Wasser und Alkohol.

Calciumhypobromit, $\text{Ca}(\text{BrO})_2$. Seine Lösung entsteht neben Jodid und Jodat aus Calciumhydroxyd, Jod und Wasser bei gewöhnlicher Temperatur. Sie hat bleichende Eigenschaften, ist ziemlich beständig, zersetzt sich jedoch beim Erwärmen und im Sonnenlicht. Sie hat einen an Jodoform erinnernden Geruch (Lunge und Schoch³⁴⁰)).

Calciumbromat, $\text{Ca}(\text{BrO}_3)_2$. M.-G. = 296,0. Es entsteht aus Bromsäure und Calciumhydroxyd oder -carbonat. Es kristallisiert mit 1 Mol. Kristallwasser in monoklinen Säulen (Rammelsberg³⁴¹)), die mit $\text{Ba}(\text{BrO}_3)_2$ und $\text{Sr}(\text{BrO}_3)_2$ isomorph sind (Marignac³⁴²)) und ihr Kristallwasser nur schwierig abgeben (bei 180°). Spez. Gew. 3,329. Bei höherer Temperatur entweicht Sauerstoff. In kaltem Wasser löst es sich zu ungefähr gleichen Teilen.

Calciumjodat, $\text{Ca}(\text{JO}_3)_2$. M.-G. = 398,8. Dasselbe entsteht wie Bromat und auch Chlorat aus Jodsäure und Calciumhydroxyd oder -carbonat, ferner infolge seiner geringen Löslichkeit in Wasser aus der Lösung irgendeines Ca-Salzes mit einem Alkalijodat.

Es scheidet sich je nach der Temperatur in Kristallen mit 6 oder 4 Mol.

Kristallwasser ab; die ersteren gehören dem rhombischen System an (Rammelsberg³⁴³), Ditte³⁴⁴), Millon³⁴⁵)).

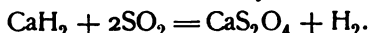
Bei höherer Temperatur existiert noch ein Monohydrat, dessen Dampfdruck gering ist und das daher nur schwer (bei 190°) entwässert werden kann.

In Wasser ist es nur wenig löslich; nach Rammelsberg löst sich ein Teil in 450 Teilen H₂O von 68 und 75 Teilen von 100°. Leichter löslich ist es in Salpetersäure, aus der es jedoch durch Ammoniak wieder ausgefällt wird. In Schwefelsäure ist es weniger löslich (Ditte).

Die Zersetzung durch die Hitze ist ähnlich der des entsprechenden Bariumsalses (siehe dieses).

Calciumperjodat hat je nach seiner Darstellung verschiedene Zusammensetzung. Das normale Salz $(\text{Ca}(\text{JO}_4)_2)$ entsteht nach Rammelsberg³⁴⁶) aus sehr stark sauren Lösungen von HJO_4 und CaCO_3 . Aus schwachsauren oder neutralen Alkaliperjodatlösungen wird durch Ca-Carbonat oder -Nitrat ein basisches Salz $\text{Ca}(\text{JO}_4)_2 \cdot \text{CaO} + 9\text{H}_2\text{O}$, bzw. $7\text{H}_2\text{O}$ gefällt. Durch Glühen desselben soll ein Salz $\text{Ca}(\text{JO}_4)_2 \cdot 4\text{CaO}$ entstehen (Benckiser³⁴⁷), Langlois³⁴⁸)). Doch ist es wohl als ein Gemenge von Perjodat und Oxyd aufzufassen.

Calciumhydrosulfit oder richtiger **-hyposulfit**, $\text{Ca}(\text{SO}_2)_2$, das Calciumsalz der hydroschwefligen Säure wurde von Moissan³⁴⁹) durch gelindes Erwärmen von Calciumhydrid mit Schwefeldioxyd erhalten, nach der Gleichung



Das Salz ist in Wasser leicht löslich, die Lösung hat stark reduzierende Eigenschaften. Nach Frank³⁵⁰) soll $\text{Ca}(\text{SO}_2)_2$ bei der Elektrolyse von $\text{Ca}(\text{HSO}_3)_2$ -Lösung kathodisch entstehen, doch wurden die Angaben der Patentschrift von Elbs und Becker³⁵¹) nicht bestätigt.

Dieselbe Reaktion führt auch zur Bildung von Strontium- und Bariumhyposulfit.

Calciumsulfat, CaSO_4 , entsteht durch Behandeln von Calciumhydroxyd- oder -carbonat mit schwefliger Säure, ferner seiner Schwerlöslichkeit wegen beim Vermischen der Lösungen von CaCl_2 und Na_2SO_3 . Es kristallisiert nach Muspratt³⁵²) mit 2 Mol. H₂O, die nach Carius³⁵³) bei 150° entweichen. An der Luft oxydiert es sich leicht, beim Glühen unter Luftabschluß zersetzt es sich in Calciumsulfat und -sulfid. Seine Löslichkeit beträgt nach Weisberg³⁵⁴) 0,043 g im Liter bei 18°. In Zuckerlösung ist es leichter löslich und zwar bei 18° (Weisberg)

in 1 l 10proz. Zuckerlösung 0,0823 g

in 1 l 30proz. „ 0,080 „

Leichter löslich ist es in Lösungen von Schwefeldioxyd. Nach Gerland³⁵⁵) löst ein Liter 9proz. SO_2 -Lösung 5,53 g CaSO_4 , nach Elbs und Becker³⁵¹) bei Gegenwart von überschüssigem Schwefeldioxyd 9,3 g $\text{Ca}(\text{HSO}_3)_2$; die Ursache ist vermutlich die analoge, wie bei der Löslichkeit des Calciumcarbonats in CO_2 -Lösung, d. h. die Bildung eines sauren Salzes $\text{Ca}(\text{HSO}_3)_2$. Ein basisches Calciumsulfat $3\text{CaO} \cdot 5\text{SO}_2$ ist von Schott³⁵⁶) sowie Birnbaum u. Wittich³⁵⁷) durch Erhitzen von trockenem gebranntem Kalk mit Schwefeldioxyd oberhalb 400° erhalten worden.

Calciumthiosulfat, CaS_2O_3 , entsteht beim Kochen von Kalkwasser mit Schwefel unter gleichzeitigem Einleiten von Schwefeldioxyd, ferner bei der Oxydation der Calciumsulfid enthaltenden Sodarückstände an der Luft (Her-

schell³⁵⁸), Laneau³⁵⁹), Graham³⁶⁰); ebenso beim Behandeln von Calciumsulfid, Schwefel und Wasser zwischen 30 und 40° und kristallisiert auch aus den gemischten Lösungen von CaCl_2 und $\text{Na}_2\text{S}_2\text{O}_3$ in sechsseitigen triklinen Prismen von der Formel $\text{CaS}_2\text{O}_3 \cdot 6\text{H}_2\text{O}$. Das Kristallwasser verliert es über konzentrierter Schwefelsäure im Vakuum bei gewöhnlicher Temperatur, an der Luft erst über 40°. In Wasser ist es leicht löslich. Beim Aufbewahren zersetzt es sich selbst bei Luftabschluß entweder unter Bildung von S und CaSO_3 oder von CaS und CaSO_4 . Seine Stabilitätsgrenzen sind noch nicht untersucht worden.

Calciumsulfat, CaSO_4 . Mol.-Gew. 136,16.

Vorkommen und Darstellung. Das Calciumsulfat kommt in der Natur wasserfrei als Anhydrit und mit 2 Mol. Kristallwasser als Gips vor. Reiner weißer Gips ist Alabaster, gefärbter heißt Gipsstein. Ferner findet er sich in großen Kristallen als Marienglas, Gipsspat, Selenit, Fraueneis, Lapis specularis. In Peru soll ein Mineral $3\text{CaSO}_4 \cdot 5\text{H}_2\text{O}$ vorkommen.³⁶¹)

Gips entsteht aus Kalkmilch und verdünnter Schwefelsäure. Bei Anwendung konzentrierter Schwefelsäure ist die Reaktion wegen der großen Wärmeentwicklung, die außer der Neutralisationswärme noch die Präzipitationswärme enthält, sehr heftig. Völlig trockenes Calciumoxyd und Schwefelsäureanhydrid reagieren wahrscheinlich gar nicht miteinander. Ferner entsteht Gips infolge seiner Schwerlöslichkeit beim Zusammenbringen aller löslicheren Kalksalze mit Sulfaten. Technische Bedeutung hat diese Methode jedoch kaum, da man fast ausschließlich den natürlich vorkommenden Gips benutzt.

Außer den beiden in der Natur vorkommenden Formen sind noch ein Hemihydrat $2\text{CaSO}_4 \cdot \text{H}_2\text{O}$ und mehrere allotrope Modifikationen des Anhydrits bekannt; wieviele es von diesen gibt, läßt sich jedoch noch nicht mit Sicherheit aussagen, da die Identität oder Verschiedenheit der einzelnen von den verschiedenen Forschern erhaltenen Formen nicht nachgewiesen ist.

Die Existenz des Hemihydrats beweist, dass die Molekel des festen Stoffes in diesem mindestens 2CaSO_4 enthält, und auch für die Lösung ist danach Komplexbildung anzunehmen.

Die Gleichgewichtsverhältnisse zwischen den verschiedenen Modifikationen des wasserfreien CaSO_4 und seiner Hydrate sind von van't Hoff³⁶²) und seinen Mitarbeitern festgestellt worden, und zwar in dem Temperaturbereich von 0° bis 110°. In diesem Gebiete sind existenzfähig die beiden Hydrate $\text{CaSO}_4 \cdot 2\text{H}_2\text{O}$ (gewöhnlicher Gips), $2\text{CaSO}_4 \cdot \text{H}_2\text{O}$ (Stuckgips), und zwei Modifikationen des wasserfreien Salzes, und zwar der natürliche Anhydrit und ein lösliches Anhydrid. Einen Überblick über die hier obwaltenden Gleichgewichtsverhältnisse gewinnt man am leichtesten an der Hand der Phasenregel, deren Wert ja nach van't Hoff³⁶³) gerade auf ihrer didaktischen Bedeutung beruht.

Die einfachste Methode zur Untersuchung der Gleichgewichtszustände wäre die Bestimmung der Löslichkeit, wie sie Roozeboom bei der Untersuchung des Calciumchlorids und seiner Hydrate angewendet hat (vgl. S. 7); dem Schnittpunkte zweier Löslichkeitskurven entspricht ein Umwandlungspunkt zweier fester Modifikationen.

Wegen der Schwerlöslichkeit des Gipses mußte van't Hoff jedoch von einer Messung der Löslichkeiten Abstand nehmen und die Bestimmung der Dampfdruckkurven in Angriff nehmen.

Da das System aus zwei unabhängigen Bestandteilen besteht, CaSO_4 und H_2O , so sind im Gleichgewicht höchstens 4 Phasen, d. h. bei Anwesenheit von Lösung und Dampf, zwei Modifikationen des CaSO_4 möglich. Ist eine derselben das Dihydrat, $\text{CaSO}_4 \cdot 2\text{H}_2\text{O}$, so müssen drei vierfache Punkte bestehen, an denen dasselbe sich in je eine der anderen drei Modifikationen umwandelt.

Dieselben liegen nach van't Hoff:

$\text{CaSO}_4 \cdot 2\text{H}_2\text{O}$, CaSO_4 (natürl. Anhydrit), Lösung, Dampf bei 66°

$\text{CaSO}_4 \cdot 2\text{H}_2\text{O}$, CaSO_4 (lösl. Anhydrit), „ „ „ 89°

$\text{CaSO}_4 \cdot 2\text{H}_2\text{O}$, $2\text{CaSO}_4 \cdot \text{H}_2\text{O}$ (Stuckgips), „ „ „ 107° .

Bei gleichzeitiger Anwesenheit von nur drei Phasen ist eine Freiheit vorhanden, d. h. bei willkürlicher Wahl der Temperatur ist der Dampfdruck des Systems eindeutig bestimmt. Diese Gleichgewichtszustände werden daher nicht durch Punkte, sondern kontinuierliche Kurven dargestellt werden (t Abszisse, p Ordinate). In dem System Gips (Dihydrat), Wasser, Dampf ist der Dampfdruck wegen der Schwerlöslichkeit des Gipses annähernd gleich der Maximaltension des reinen Wassers; für die Systeme

$\text{CaSO}_4 \cdot 2\text{H}_2\text{O}$, CaSO_4 (natürl. Anhydrit), Dampf, (I)

$\text{CaSO}_4 \cdot 2\text{H}_2\text{O}$, CaSO_4 (lösl. Anhydrit), „ (II)

$\text{CaSO}_4 \cdot 2\text{H}_2\text{O}$, $2\text{CaSO}_4 \cdot \text{H}_2\text{O}$ „ (III)

ist die Maximaltension p in mm Hg³⁶⁴), vgl. die Kurven in Fig. 5 und 6 (in verkleinertem Maßstabe).

t°	H ₂ O	I	II	III
15°	12,7	8,43	7	4,21
20°	17,4	12,2	10,7	6,24
30°	31,5	24	19,4	12,7
40°	54,9	45,4	34	26,3
50°	149	143	108	91,4
65°	187		140	122
70°	233		185	161
80°	355		314	272
90°	526			446
100°	760			711
105°	906			888
110°	1075			

Die Kurven I, II und III schneiden die Wasserdampfdruckkurve bei den Temperaturen 66° , 89° und 107° ; die Werte stimmen mit den direkt bestimmten vierfachen Umwandlungspunkten völlig überein.

Die direkte Bestimmung des Dampfdruckes im Tensimeter war nicht immer möglich, da die Einstellung des Gleichgewichts zu langsam erfolgt. Van't Hoff benutzte daher den Kunstgriff, die Umwandlung des Dihydrats in eine der anderen Modifikationen im Dilatometer bei Gegenwart einer konzentrierten Salzlösung zu verfolgen (NaCl , MgCl_2 , NaBrO_3). Bei der Temperatur, bei der weder Ausdehnung noch Kontraktion eintrat, war die Maximaltension des Gipsanhydritgemisches gleich der der Lösung (da sowohl die Anzahl der Phasen, wie die der unabhängigen Bestandteile um 1 vermehrt wurde, war die Anzahl der Freiheiten unverändert gleich 1). Zur Bestimmung des Gleichgewichtsdrucks zwischen Gips und Halbhydrat wurde folgendermaßen ver-

fahren³⁶⁵): Eine verdünnte NaCl-Lösung wurde in Gegenwart von Dihydrat im Beckmannschen Apparat zum Sieden erhitzt und nach und nach NaCl hinzugesetzt. Hierbei stieg die Temperatur, bis die Tension der Lösung gleich der des Gleichgewichtssystems Dihydrat-Hemihydrat wurde. Dann trat Konstanz der Temperatur ein, da die hinzugefügte NaCl-Menge dem Dihydrat unter Hemihydratbildung so viel Wasser entzieht, daß die Konzentration der Lösung unverändert bleibt.

Wie die Betrachtung beistehender Kurven zeigt, liegt die Umwandlungstemperatur von Gips in natürlichen Anhydrit tiefer als die in den löslichen, diese tiefer als die in das Halbhhydrat; dementsprechend ist die Maximaltension bei der Umwandlung in den natürlichen Anhydrit am größten, bei der Umwandlung in Halbhhydrat am kleinsten. Es ist daher unter allen Umständen der natürliche Anhydrit stabiler als der lösliche, dieser wiederum als das Halbhhydrat. Die beiden letzteren Modifikationen können daher nicht bei Anwesenheit von Anhydrit bestehen; sie sind im Ostwaldschen Sinne als metastabil zu bezeichnen; in der Natur kommen sie überhaupt nicht vor. Diese Erscheinung ist sehr auffällig, da bei den meisten anderen kristallwasserhaltigen Salzen die Umwandlungstemperatur in ein niederes Hydrat tiefer liegt, als die in das Anhydrid.

Die freie Energie, die bei der Bildung von Gips aus den anderen Modifikationen gewonnen wird, berechnet van't Hoff in cal:

1. aus Halbhhydrat $E_1 = 737 - 6,88 t$
2. aus löslichem Anhydrit $E_2 = 602 - 6,48 t$
3. aus natürlichem Anhydrit $E_3 = 435 - 6,84 t$

Die obige Tensionskurve I des Gleichgewichtes Gips = Anhydrit gibt einen vollständigen Aufschluß darüber, wann aus Lösungen, z. B. aus den Mutterlaugen der Staßfurter Salzlager, Dihydrat (Gips), und wann Anhydrit auskristallisiert. Letzteres ist der Fall, wenn der Dampfdruck der Lösung bei der Kristallisationstemperatur kleiner ist als die der Kurve I entsprechende Gleichgewichtstension, z. B. in gesättigter NaBrO₃-Lösung oberhalb 50°, in gesättigter NaCl-Lösung oberhalb 30° (van't Hoff u. Weigert [l. c.], Hoppe-Seyler³⁶⁶), Rose³⁶⁷).

Bei Zimmertemperatur kristallisiert aus NaCl-Lösung Gips aus (Vater³⁶⁸). Lösungen, die an NaCl und einem anderen Salze gesättigt sind, haben jedoch durchweg schon bei 25° eine so niedrige Maximaltension (< 17,2 mm), daß in ihnen eine Gipsbildung ausgeschlossen ist. Daher findet sich das Calciumsulfat in den ozeanischen Salzlagern ausschließlich als Anhydrit oder als Doppelsalz.

Eigenschaften der einzelnen Modifikationen.

Das Dihydrat, $\text{CaSO}_4 \cdot 2\text{H}_2\text{O}$, der gewöhnliche Gips, kristallisiert in sechsseitigen Prismen des monoklinen Systems vom spez. Gew. 2,32, das Halbhhydrat, $2\text{CaSO}_4 \cdot \text{H}_2\text{O}$, ebenfalls in prismatischen Kristallen vom spez. Gew. 2,75. Dieses bildet den Hauptbestandteil des sogenannten Handels- oder Stuckgipses. Es hat die Fähigkeit, beim Vermischen mit Wasser unter Wärmeentwicklung und Kontraktion zu erhärten; hierbei wird mehr Wasser gebunden, als der Formel entspricht, d. h. mehr als $1\frac{1}{2}$ Molekeln auf eine Molekel CaSO_4 . Das überschüssige Wasser wird mechanisch zwischen den kleinen Kriställchen festgehalten oder bildet mit ihnen feste Lösungen. Die Erhärtung dauert im höchsten Falle $\frac{1}{2}$ Stunde. Bei der dilatometrischen Verfolgung des

Vorgangs zeigt sich nach van't Hoff und Just³⁶⁹⁾ zunächst eine zu große Kontraktion und dann eine geringe Ausdehnung. Es bildet sich zunächst eine gesättigte Lösung von Halbhydrat — dasselbe ist bei 25° löslicher als Gips, da es unbeständiger ist, — aus der sich der Gips unter Volumenvermehrung ausscheidet.

Das Halbhydrat müßte beim Erhitzen von Gips über seinen Umwandlungspunkt 107° entstehen. Infolge der bei allen Umsetzungen des CaSO_4 beobachteten Verzögerungen, entsteht es jedoch erst bei ungefähr 130° (Le Chatelier³⁷⁰⁾). In der Technik findet daher das Brennen des Gipses etwas

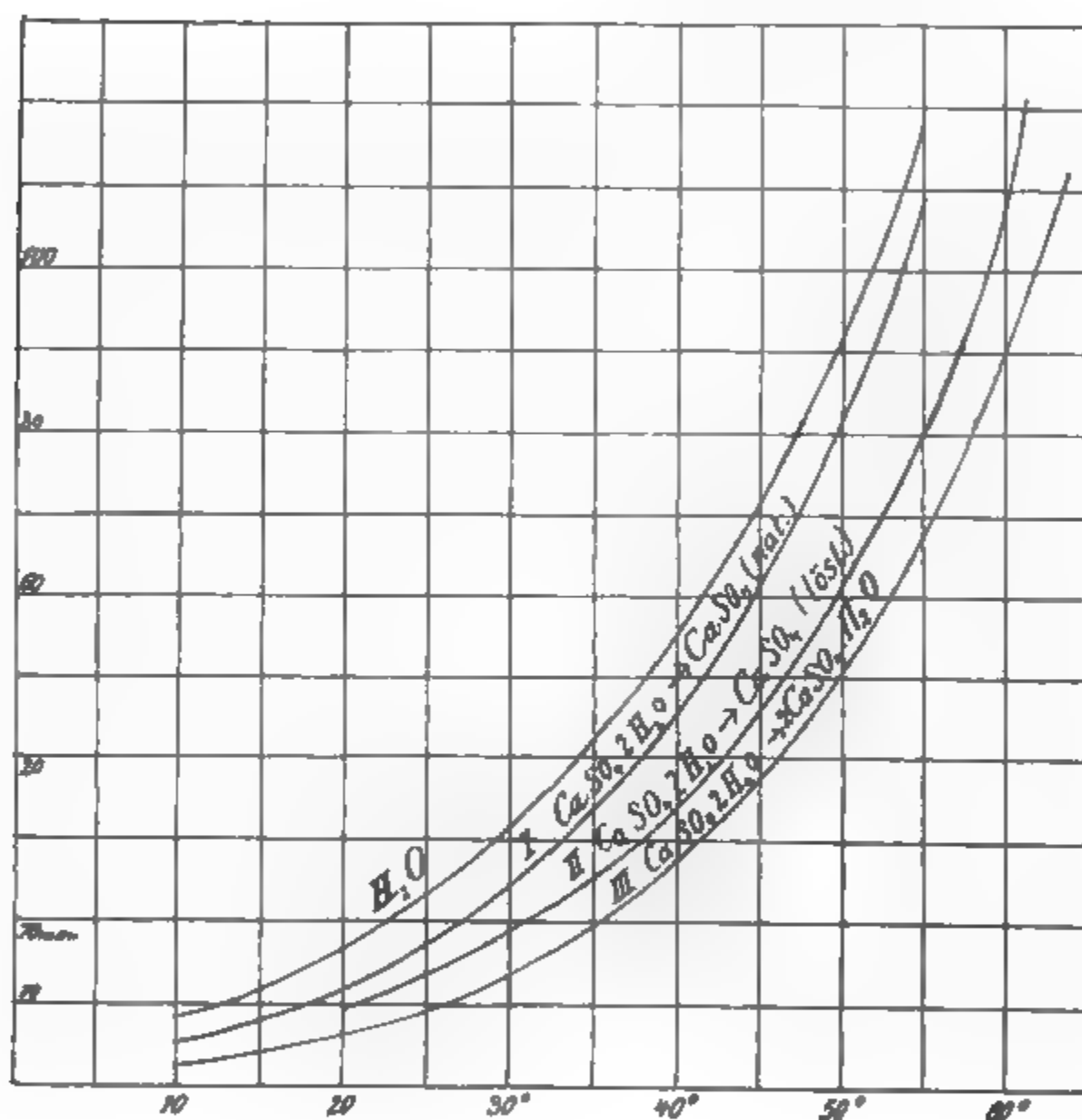


Fig. 5.

oberhalb dieser Temperatur statt. Zur Reindarstellung wohlausgebildeter Kristalle empfehlen van't Hoff und Armstrong das Erwärmen von Gips mit konzentrierter Salpetersäure (spez. Gew. 1,4) bei 40°. Bei dieser Temperatur ist die H_2O -Maximaltension der Säure kleiner als der H_2O -Gleichgewichtsdruck Gips-Halbhydrat (Kurve II). Der von Rohland³⁷¹⁾ angegebene Umwandlungspunkt 130° ist kein Gleichgewichtspunkt, sondern bezeichnet nur die Temperatur, bei der technisch die Umwandlung vollzogen wird.

Die Hydratationsgeschwindigkeit des Halbhydrats wird durch die Anwesenheit verschiedener Salze beschleunigt oder verzögert. Nach Rohland³⁷²⁾ wirken diejenigen als positive Katalysatoren, in deren Lösungen der Gips lös-

licher ist als in reinem Wasser; Verminderung der Löslichkeit verursacht auch eine Herabsetzung der Hydratationsgeschwindigkeit. Im Gegensatz hierzu behauptet das D.R.P. 74868 (1895), daß die Bindungsgeschwindigkeit von Anhydrit durch die Gegenwart von Sulfaten beschleunigt wird.

In Gelatinelösung verläuft nach Rohland³⁷³⁾ die Hydratation beträchtlich langsamer als in Wasser: der Erhärtungsvorgang bleibt in diesem Medium aus.

Der natürliche Anhydrit, CaSO_4 , kristallisiert im rhombischen System; seine Dichte beträgt 2,96. Er hat nicht die Fähigkeit zu erhärten, d. h. rasch Kristallwasser aufzunehmen, sondern tut dies nur äußerst langsam.

Der künstlich von Hoppe-Seyler und Rose (l. c.) aus konzentrierten

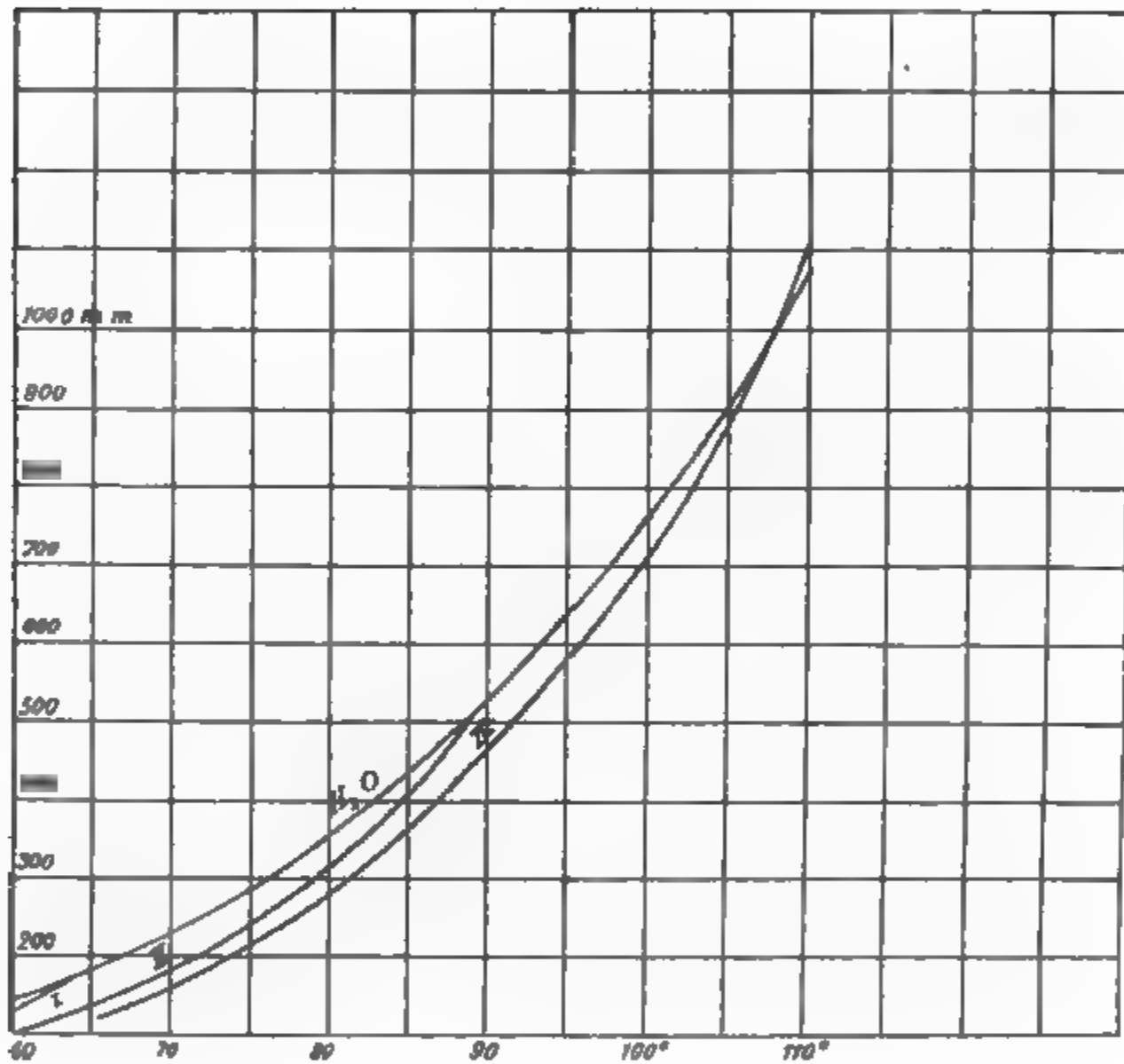


Fig. 6.

Lösungen erhaltene Anhydrit ist wahrscheinlich mit dem natürlichen identisch, wenigstens erhärtet er ebenfalls nicht.

Der lösliche Anhydrit entsteht beim Erwärmen von gefällttem Gips im Vakuum auf 60–90° bei Gegenwart von Schwefelsäure oder Phosphorpentoxyd, ferner beim Erwärmen von Gips, der durch Mischen von Halbhydrat mit viel Wasser entstanden ist, auf 100° an der Luft (van't Hoff, Hinrichsen und Weigert, l. c.). Er ist, wie das Kurvenbild zeigt (Kurve II), in dem ganzen untersuchten Temperaturintervall instabil gegenüber dem natürlichen Anhydrit; er geht daher bei längerer Behandlung mit heißem Wasser in diesen über. Im Gegensatz zum natürlichen besitzt er die Fähigkeit, sehr

rasch Wasser zu binden und zu erhärten. Als instabile Modifikation ist er löslicher als der natürliche Anhydrit.

Verhalten des Gipses beim Erhitzen.

Beim Erhitzen von Gips über die zur Halbhydratbildung günstige Temperatur von $130-160^{\circ}$ verliert er nach den übereinstimmenden Angaben von Potilitzin³⁷⁴⁾, van't Hoff und Just³⁷⁵⁾ und Rohland (l. c.) allmählich die Fähigkeit zu erhärten. Bei Rotglut geht er in den sogenannten totgebrannten Gips über, der nicht mehr erhärtet und wahrscheinlich mit dem natürlichen Anhydrit identisch ist. Der nur langsam erhärtende Gips führt den Namen Estrichgips. Bis zu seiner vollständigen Hydratation vergehen mehrere Tage, das entstehende Produkt ist viel härter als der durch Erhärtung von Stuckgips entstandene und hat hydraulische Eigenschaften, d. h. ist gegen Wittereinflüsse beständig, vielleicht infolge des Fehlens des mechanisch eingeschlossenen Wassers. Infolge der Langsamkeit der Hydratation erzeugt die Wärmeentwicklung keine merkliche Temperaturerhöhung. Nach älteren, aber wohl unrichtigen Angaben³⁷⁶⁾ findet die Bildung des Estrichgipses bei höherer Temperatur statt als die des totgebrannten.

Nach den Untersuchungen von Potilitzin (l. c.), Lacroix³⁷⁷⁾, Cloëz³⁷⁸⁾ besteht der auf $200-400^{\circ}$ erhitzte Gips (Estrichgips) aus zwei verschiedenen wasserfreien Modifikationen, die nach Lacroix triklin und hexagonal sind und bei Rotglut in den rhombischen Anhydrit übergehen. Möglicherweise ist eine von ihnen mit van't Hoffs löslichem Anhydrit identisch, da nach Potilitzin eine derselben erhärtungsfähig ist. Die Erhärtung besteht nämlich nach diesem in der Hydratation dieser Modifikation und der allmählichen Umwandlung der anderen in die erhärtungsfähige. Je höher die Temperatur des Brennens ist, um so geringer ist der Prozentgehalt an erhärtungsfähigem Salz. Die nicht erhärtungsfähige Modifikation könnte aber dann nicht mit dem natürlichen Anhydrit identisch sein, da dieser sich nicht von selbst bei gewöhnlicher Temperatur in den löslichen verwandeln kann.

Es müßten also mindestens 3 Modifikationen des wasserfreien Calciumsulfats möglich sein (vgl. auch Rohland, l. c.). Von Zulkowski³⁷⁹⁾ und Potilitzin³⁸⁰⁾ sind zur Erklärung dieser einzelnen Modifikationen und der Hydrate Konstitutionsformeln vorgeschlagen worden. Da es aber an Methoden sowohl zur Molekulargewichts- wie Konstitutionsbestimmung für feste anorganische Verbindungen fehlt, kommt diesen ziemlich verwickelten Formelbildern nur ein sehr hypothetischer Wert zu.

Nach einer Analyse von van't Hoff und Just enthält der käufliche Estrichgips nur Spuren von freiem CaO , während er nach Zulkowski aus basischem Salz, $\text{CaSO}_4 \cdot \text{CaO}$, besteht. Bei starkem Erhitzen (Weißglut) zersetzt sich Gips vollständig in Calciumoxyd und Schwefelsäureanhydrid (Mitscherlich³⁸¹⁾, Zulkowski).

Der Dissoziationsdruck des freien Schwefelsäureanhydrids ist also bei höheren Temperaturen beträchtlich; demzufolge wird CaSO_4 bei Rotglut durch Chlorwasserstoff in CaCl_2 verwandelt. Das entweichende SO_3 zerfällt hierbei wie bekannt zum Teil in Schwefeldioxyd und Sauerstoff. Ähnlich wie HCl wirkt trockenes Chlor. Hierbei ist die Dissoziation des Schwefelsäureanhydrids fast vollständig; die Umsetzung scheint daher erst bei einer höheren Temperatur vor sich zu gehen (oder es entsteht ein SO_3 -Katalysator (Cari-Mantrand³⁸²⁾). Durch feuchten Wasserstoff wird

CaSO_4 bei Rotglut fast vollständig zu CaS reduziert; es verliert hierbei konstant 47,4 Proz. seines Gewichts. (Ber. $\text{O} = 47,0$ Proz.) Es haben sich daher nur Spuren von H_2S gebildet (Unger³⁸³). Auch durch Kohle wird es leicht reduziert, ferner durch organische Substanzen schon in wässriger Lösung. Das entektische Gemisch von CaSO_4 und NaNO_3 enthält nach Guthrie³⁸⁴ 1,48 Proz. CaSO_4 .

Die Bildungswärme des wasserfreien Salzes aus den Elementen beträgt nach J. Thomsen 318370 cal, seine Hydratationswärme (für 2 Mol H_2O) 4740 cal. Die bei der Erhärtung freiwerdende Wärme ist nach Potilitzin³⁸⁵ und Kistiakowsky³⁸⁵ von den dazu angewendeten Wassermengen abhängig. Die Lösungswärme des Dihydrats beträgt nach Thomsen ungefähr — 300 cal, offenbar bei Zimmertemperatur; bei ca. 35° muß sie, wie das Maximum der Löslichkeit zeigt, Null sein, und bei höherer Temperatur einen positiven Wert annehmen.

Die Löslichkeit des Gipses im Wasser ist von sehr vielen Forschern bestimmt worden; sie finden übereinstimmend ein Maximum zwischen 30 und 40° , während die Angaben der absoluten Werte sehr beträchtlich voneinander abweichen. So fand z. B. (zum besseren Vergleich sind im folgenden die Löslichkeiten immer in Mol in 1000 g H_2O angegeben)

Marignac ³⁸⁶		Raupenstrauch ³⁸⁷	
t°	Mol CaSO_4	t°	Mol CaSO_4
0	0,01434	$0,8^\circ$	0,01325
18	0,0155	14°	0,0145
24	0,0159	$32,5\text{—}38,8^\circ$	0,01553
38	0,0163	64°	0,01483
53	0,01595	$70,6$	0,01376
72	0,0153		
99	0,0133		

Die Ursache dieser Abweichungen beruht nach Hulett³⁸⁸) jedenfalls darauf, daß die Löslichkeit von der Korngröße des Bodenkörpers abhängig ist. Da alle zweiphasigen Gebilde das Bestreben haben, ihre Oberflächen zu verringern, so müssen bei gleichzeitiger Anwesenheit von kleineren und größeren Körnern infolge der Oberflächenspannung die kleineren verschwinden und die größeren wachsen, d. h. die kleineren haben eine größere Löslichkeit als die größeren. Ist der Gips daher sehr fein zermahlen, so löst er sich reichlicher auf als grobkörniger. Hulett fand, daß dieser Einfluß der Korngröße auf die Löslichkeit nicht bemerkbar ist, wenn die Teilchen im Durchmesser $> 1,9\mu$ ($1\mu = 0,001\text{ mm}$) sind. Dann beträgt die Löslichkeit bei 25° 0,01533 Mol im Liter, bei 18° fand Kohlrausch⁵³) 0,01495. Sind die Teilchen kleiner, was durch einfaches Zerreiben des Gipses leicht zu erreichen ist, so wird die Löslichkeit größer. Auf diese Weise wurde als Maximum eine Löslichkeit von 0,01869 Mol bei 25° erhalten. Der Durchmesser der kleinsten beobachteten Teile betrug hierbei $0,2\mu$. Natürlich nimmt der Gehalt dieser Lösungen allmählich ab, doch wird das Gleichgewicht (das Minimum der Löslichkeit) erst nach Tagen erreicht. Nach Böttger³⁸⁹) beträgt die Löslichkeit 0,015 Mol bei $19,99^\circ$; der Dissoziationsgrad 52,4 Proz.

Die Löslichkeit des Gipses wird verringert durch die Gegenwart von gleichionigen Salzen, also von allen Ca-Salzen und den Sulfaten, wenigstens wenn die-

selben nicht zu konzentriert sind. Dagegen wird sie durch fast alle anderen Salze erheblich vergrößert, indem sich durch doppelten Austausch undissoziierte Mengen anderer Ca-Salze bilden. Nach Droeze³⁹⁰) steigt die Löslichkeit in den Lösungen von NaCl, KCl, NH_4Cl kontinuierlich mit der Konzentration dieser Salze, in NH_4NO_3 erreicht sie dagegen in ziemlich verdünnten Lösungen ein Maximum.

Dies wird von Cohn³⁹¹) bestätigt, der den Einfluß verschiedener NH_4 -Salze untersucht. Am größten ist die Löslichkeit in $\text{NH}_4\text{CH}_3\text{CO}_2$ (da Calciumacetat wenig dissoziiert, sogar selbstkomplex ist), am geringsten natürlich in $(\text{NH}_4)_2\text{SO}_4$.

Tilden und Shenstone³⁹²) untersuchten den Einfluß der Temperatur in Salzlösungen; es zeigte sich z. B. in CaCl_2 und NH_4Cl , wie in H_2O ein Maximum; mit steigender Temperatur nahm die Löslichkeit immer stark ab; die Löslichkeit betrug in

20 proz. NaCl-Lösung		25 proz. NH_4Cl	
t°	Mol CaSO_4 in 1000 H_2O	t°	Mol CaSO_4 in 1000 H_2O
20	0,06045	8	0,0756
67	0,06105	25	0,0805
101	0,0500	61	0,0832
165	0,04838	80	0,0753
179	0,0468	120	0,0734
215	0,0431		

15 proz. CaCl_2	
t°	Mol CaSO_4 in 1000 H_2O
15°	0,00462
39	0,00667
72	0,00734
94	0,00806
138	0,0052
170	0,0023
195	0,0016

In konzentrierter CaCl_2 -Lösung ist die Löslichkeit verschwindend klein. Die Löslichkeit in NaCl, CaCl_2 , HCl ist ferner von Lunge³⁹³), in Alkalihaloiden von Ditte³⁹⁴), in NaCl bei verschiedenen Temperaturen von Cloëz³⁹⁵), d'Anselme³⁹⁶), Cameron³⁹⁷), in MgCl_2 , CaCl_2 , Na_2SO_4 von Cameron und Seidell³⁹⁸) bestimmt worden. In der Lösung der letzteren Salze erreicht sie bei einem gewissen Prozentgehalt ein Minimum, in NaCl und MgCl_2 ein Maximum. Die gipsgesättigten Lösungen enthalten im Liter

23°		26°	
Mol NaCl	Mol CaSO_4	Mol MgCl_2	Mol CaSO_4
0,017	0,01738	0,09	0,0315
0,178	0,02598	1,203	0,0421
0,841	0,0435	0,494	0,0561
2,22	0,0550	1,285	0,0638
3,93	0,0515	2,191	0,0486
5,40	0,0394	3,567	0,0205
		4,67	0,0102

	25°		22°
CaCl ₂		CaSO ₄	
0,0680		0,00921	
0,1086		0,00874	
0,234		0,00811	
0,291		0,00799	
0,468		0,00752	
0,881		0,00622	
1,750		0,00344	
2,545		0,00150	
3,340		0,00024	
		Na ₂ SO ₄	CaSO ₄
		0,0196	0,0117
		0,0979	0,0106
		0,116	0,0104
		0,279	0,0116
		0,548	0,0136
		0,342	0,0162
		1,373	0,0178

Alle diese Zahlen beziehen sich auf gefällten Gips als Bodenkörper.

In den Lösungen der entsprechenden Nitrate ist die Löslichkeit nach Seidell und Smith³⁹⁹) größer als in denen der Chloride. Während sie in Mg(NO₃)₂ ständig mit dem Gehalt der Lösung an diesem ansteigt, erreicht sie in NaNO₃ bei einem Gehalt von 30 Proz. NaNO₃ ein Maximum (bei 25°). In Ca(NO₃)₂ ist die Löslichkeit der Theorie entsprechend durchweg geringer. In konzentriertem KNO₃ ist Gips als Bodenkörper nicht beständig, sondern es scheiden sich Syngenitkristalle aus. Die Lösung enthält daher auch Ca(NO₃)₂.

Die Löslichkeit des Gipses in Lösungen, die gleichzeitig an Silbersulfat gesättigt sind, ist von Euler⁴⁰⁰) bestimmt worden. Die gesättigten Lösungen enthalten im Liter

bei 17°	2,31 g CaSO ₄	= 0,0340 g-Äquiv.
	7,23 „ Ag ₂ SO ₄	= 0,0464 „ „
„ 25°	2,61 „ CaSO ₄	= 0,0383 „ „
	8,11 „ Ag ₂ SO ₄	= 0,0520 „ „

Auch in Säuren ist Gips löslicher als in Wasser. In Salzsäure und Salpetersäure beträgt nach Messungen von Ostwald und Banthisch⁴⁰¹) die Löslichkeitszunahme bei 20° in mg pro Liter:

n	HCl	HNO ₃
0,5	7,61	9,27
1	11,51	13,1
2	15,75	20,4
10	23,0	23,4

Auch in konzentrierter Schwefelsäure ist die Löslichkeit beträchtlich (Liès-Bodart und Jaquemin⁴⁰²), Struwe⁴⁰³), nämlich 0,0147 Mol in 100 g H₂SO₄ (d=1,82) und 0,0744 Mol in 100 g rauchender Schwefelsäure. Nach Cameron und Breazeale⁴⁰⁴) erreicht sie ein Maximum mit der Temperatur

bei 25° in	75 g H ₂ SO ₄ /Liter	mit 2,84 g CaSO ₄
„ 35° „	85 „ „	3,70 „ „
„ 43° „	105 „ „	4,26 „ „

Nach Beyer⁴⁰⁵) wird die Löslichkeit durch Einleiten von CO₂ vermehrt. An CO₂ gesättigtes Wasser löst 0,0337 Mol/l. In Alkohol ist Gips fast unlöslich, dagegen löslich in Glycerin, nämlich 0,00702 Mol in 1000 g Glycerin.

Das spez. Gew. einer gesättigten Gipslösung beträgt nach Cameron (l. c.)

bei 26° s	= 1,0026
„ 31° s	= 1,0031.

Die elektrische Leitfähigkeit einer gesättigten Gipslösung ist von Kohlrausch zur Eichung der Kapazität von Leitfähigkeitsgefäßen vorgeschlagen worden. Die spezifische Leitfähigkeit beträgt nach Kohlrausch und Rose⁴⁰⁶⁾ in reziproken Ohm

t^0	$\kappa \cdot 10_4$
— 1,00	10,55
+ 0,52	11,01
9,98	14,89
18,16	18,89
25,18	22,23
31,67	25,22

Nach Hulett (l. c.) ist die Leitfähigkeit einer gesättigten Lösung je nach der Korngröße bei 25°

$$\kappa_{\max} = 25,30 \cdot 10^{-4}$$

$$\kappa_{\min} = 22,06 \cdot 10^{-4}$$

Der letztere Wert (bei grobem Korn) stimmt mit dem Kohlrauschschen gut überein. Dasselbe gilt von dem von Böttger⁴⁰⁷⁾ erhaltenen Werte $19,68 \cdot 10^{-4}$ bei 20°.

Derselbe Forscher bestimmt die spez. Leitfähigkeit der gesättigten Lösung zwischen 10 und 30° und empfahl dieselbe ebenfalls zur Eichung der Kapazität von Widerstandsgefäßen.⁴⁰⁸⁾

Das Äquivalentleitvermögen Λ ist nach Hulett bei 25°

$\frac{1}{2}\text{CaSO}_4/\text{l}$	Λ	$\frac{1}{2}\text{CaSO}_4/\text{l}$	Λ
0,00005	125	0,01	89,7
0,0005	126	0,02	79
0,001	121,5	0,03	72,5
0,002	114,4	(0,04)	(67,5)
0,003	108	(0,05)	(63,25)
0,005	99,8		

Die eingeklammerten Werte sind durch Extrapolation erhalten.

Die Überföhrungszahl des Kations betrögt nach Steele u. Denison⁴⁰⁹⁾ $n = 0,441$ in 0,005-Lösung.

Der Gips findet hauptsächlich Anwendung im Baugewerbe als Stuck- und Estrichgips und zur Abbildung von Bildwerken; ferner wurde er als weiße Farbe und als Zusatz zur Papierfabrikation benutzt. Seine Verwendung als Düngemittel beruht auf dem Umsatz mit Ammoniumcarbonat zu $(\text{NH}_4)_2\text{SO}_4$ und CaCO_3 , das ja ein geringeres Löslichkeitsprodukt besitzt als CaSO_4 . Da das entstehende Ammoniumsulfat viel weniger flüchtig ist als das Carbonat, so verhindert der Gips die Verflüchtigung des nützlichen Ammoniaks.

Saure Salze des Calciumsulfats sind von Berzelius⁴¹⁰⁾ u. Schultz⁴¹¹⁾ durch Kristallisation aus konzentrierter Schwefelsäure erhalten worden, und zwar von der Formel $\text{CaSO}_4 \cdot \text{H}_2\text{SO}_4$ und $\text{CaSO}_4 \cdot 3\text{H}_2\text{SO}_4$. Sie zersetzen sich schon in feuchter Luft.

Doppelsalze des CaSO_4 .

$\text{CaSO}_4 \cdot \text{Na}_2\text{SO}_4$, Glauberit, findet sich in der Natur, z. B. in den Staßfurter Salzlagern, in monoklinen Kristallen. Künstlich wurde es zuerst von Fritzsche⁴¹²⁾ erhalten, seine Existenzbedingungen sind von van't Hoff und Chiaraviglio⁴¹³⁾ festgestellt worden. Mit einer an NaCl und $\text{Na}_2\text{SO}_4 \cdot 10\text{H}_2\text{O}$ gesättigten Lösung befindet es sich bei 25° im Gleichgewicht, wenn

der Gehalt der Lösung auf 1000 g H_2O 54,18 g NaCl , 2,68 g Na_2SO_4 , 0,36 g CaSO_4 beträgt. Das spez. Gew. dieser Lösung ist 1,209.

$\text{CaSO}_4 \cdot \text{K}_2\text{SO}_4 \cdot \text{H}_2\text{O}$, Syngenit (Kaluscit), kristallisiert ebenfalls monoklin. Es wurde künstlich von Struve⁴¹⁴), Rose⁴¹⁵), Schott⁴¹⁶) Faßbender⁴¹⁷) und Ditte⁴¹⁸) erhalten. van't Hoff und Wilson⁴¹⁹) stellten seinen Existenzbereich auch in Gegenwart von NaCl und Mg -Salzen fest. Die Gleichgewichtskonzentration der Lösung bei gleichzeitiger Sättigung an Gips betrug bei 25°: 3,28 g K_2SO_4 , 0,25 g CaSO_4 auf 1000 g H_2O , ihr spez. Gew. 1,0264. Nach Seidell u. Smith⁴²⁰) entsteht Syngenit als Bodenkörper stets beim Auflösen von Gips in konzentrierten K-Salzlösungen bei 25°.

$\text{CaSO}_4 \cdot (\text{NH}_4)_2\text{SO}_4 \cdot \text{H}_2\text{O}$, Calciumammoniumsulfat, ist in der Natur noch nicht beobachtet worden. Faßbender⁴²¹) erhielt es beim Eindampfen einer von Gips gesättigten konzentrierten Ammoniumsulfatlösung, und auf ähnliche Weise ein Salz $\text{CaSO}_4 \cdot (\text{NH}_4) \cdot \text{KSO}_4 \cdot \text{H}_2\text{O}$, das aber vielleicht auch ein isomorphes Gemisch darstellt.

Polyhalit, $\text{Ca}_2\text{MgK}_2(\text{SO}_4)_4 \cdot 2\text{H}_2\text{O}$, ist von Basch⁴²²) aus einer Lösung, die in 500 ccm Wasser 48 g K_2SO_4 , 8 g $\text{CaSO}_4 \cdot 2\text{H}_2\text{O}$, 60 g $\text{MgSO}_4 \cdot 7\text{H}_2\text{O}$, und 333 g $\text{MgCl}_2 \cdot 6\text{H}_2\text{O}$ enthielt, oberhalb 50° dargestellt worden.

Calciumdithionat, CaS_2O_6 , wurde durch Fällern des entsprechenden Mangansalzes mit Calciumhydroxyd erhalten. Es bildet luftbeständige, mit Strontiumdithionat isomorphe Tafeln des rhomboedrischen Systems, welche die Polarisationsebene des Lichtes drehen und eine Dichte von 2,18 besitzen (Pape⁴²³), Béchat⁴²⁴), Topsoë⁴²⁵). Es löst sich in 2,46 Teilen Wasser von 19° und 0,8 Teilen von 100°; in Alkohol ist es unlöslich.

Calciumhyponitrit, $\text{Ca}(\text{NO})_2$, wurde von Maquenne⁴²⁶) und Kirchner⁴²⁷) aus dem Silberhyponitrit dargestellt. Es kristallisiert nach letzterem mit 4 Mol. H_2O und ist beständiger als die entsprechenden Salze des Sr und Ba.

Hydroxylaminsaures Calcium, $\text{CaOH} \cdot \text{ONH}_2$, wurde von Küspert und Hofmann und Kohlschütter⁴²⁸) durch Digerieren von Calciumhydroxyd oder -carbid mit methylalkoholischer Lösung von Hydroxylamin dargestellt. Es ist rein weiß und wird durch Wasser und natürlich durch Säuren wegen der Schwäche des Hydroxylamins hydrolytisch zersetzt.

Calciumimidosulfonate sind von Berglund⁴²⁹) und Divers und Haga⁴³⁰) beschrieben worden; sie wurden aus den entsprechenden Na-Salzen dargestellt. Dieselben Autoren haben entsprechende Ba- und Sr-Salze dargestellt⁴³¹).

Calciumnitrit, $\text{Ca}(\text{NO}_2)_2$. Die Darstellung ist dieselbe wie die des Bariumnitrits (s. d.). Vogel⁴³²) erhielt es rein aus AgNO_2 und CaCl_2 . Es kristallisiert mit $\text{Ba}(\text{NO}_2)_2$ und $\text{Sr}(\text{NO}_2)_2$ isomorph in hexagonalen Kristallen mit 1 Mol. H_2O . In Wasser ist es leicht, in Alkohol schwer löslich. Bei 20° lösen sich in 100 ccm H_2O 111,6 g $\text{Ca}(\text{NO}_2)_2 \cdot \text{H}_2\text{O}$

in 90 Proz. Alkohol	3,90 g	"
" 100 "	"	1,1 g

Calciumnitrat, $\text{Ca}(\text{NO}_3)_2$. M.-G. = 164,2.

Das salpetersaure Calcium bildet sich in der Natur überall da, wo in Gegenwart von Kalk Salpetersäure entsteht, z. B. in der Ackererde, ferner an den Wänden von Ställen und anderen Räumen, in denen Fäulnis eintritt. Im Laboratorium und der Technik wird es durch Einwirkung von Salpetersäure auf Kalk oder Calciumcarbonat dargestellt.

Eigenschaften. Das wasserfreie Salz schmilzt nach Carnelley⁴³³⁾ bei $561 + 6^{\circ}$. Gemische von KNO_3 und CaN_2O_6 haben natürlich einen niederen Schmelzpunkt. Das eutektische Gemisch schmilzt bei 251° und einem Gehalt von 25,36 Proz. CaN_2O_6 . Das spez. Gewicht beträgt im Mittel aus verschiedenen Angaben 2,36 (Clarke⁴³⁴⁾). Über den Schmelzpunkt erhitzt, zersetzt es sich in Sauerstoff und Untersalpetersäure. An feuchter Luft zieht es begierig Wasser an und bildet mit diesem eine Reihe von Hydraten, von denen jedoch nur das höchste, das Tetrahydrat $\text{Ca}(\text{NO}_3)_2 \cdot 4\text{H}_2\text{O}$, gut bekannt ist. Doch hat Lescoeur⁴³⁵⁾ durch Dampfdruckmessungen auch die Existenz der Hydrate mit 3 und 2 Mol H_2O wahrscheinlich gemacht. Das wasserfreie Salz, das man durch Erhitzen des Tetrahydrats auf 150° erhält, kristallisiert in mikroskopisch kleinen Oktaedern des regulären Systems (Retgers⁴³⁶⁾, das Tetrahydrat in monoklinen Prismen⁴³⁷⁾, vom spez. Gew. 1,82.⁶⁾ Es schmilzt mit seinem Kristallwasser bei 40° , besitzt also wahrscheinlich unterhalb 40° zwei Reihen gesättigter Lösungen (s. CaCl_2 , S. 8). Beim Abkühlen bleibt diese Schmelze übersättigt und besitzt bei gewöhnlicher Temperatur eine Dichte von 1,79.

Die Bildungswärme des wasserfreien Calciumnitrats aus den Elementen beträgt nach J. Thomsen 202630 cal, die Hydratationswärme (mit 4 Mol H_2O) 11200 cal, die Lösungswärme des wasserfreien Salzes in 400 Mol H_2O ist entsprechend seiner Hydratation positiv, nämlich + 3950 cal, mithin die des Tetrahydrats — 7250 cal.

In Wasser ist Calciumnitrat sehr leicht löslich. Es lösen sich in 100 Teilen H_2O bei 0° nach Poggiale⁴³⁸⁾ 84,2 Teile $\text{Ca}(\text{NO}_3)_2$, nach Mulder⁴³⁹⁾ sogar 93,1, bei 152° nach letzterem 351,2 Teile. Das spez. Gew. von $\text{Ca}(\text{NO}_3)_2$ -Lösungen ist nach Gerlach⁴⁴⁰⁾ bei $17,5^{\circ}$ bez. auf Wasser von $17,5^{\circ}$

% $\text{Ca}(\text{NO}_3)_2$	10	20	30	40	50	60	cf.
d	1,076	1,163	1,261	1,368	1,483	1,605	Franz ⁴⁴¹⁾ .

Der Dampfdruck konzentrierter $\text{Ca}(\text{NO}_3)_2$ -Lösungen ist von Wüllner⁴⁴²⁾ und Waddell⁴⁴³⁾ gemessen worden, von letzterem aber nicht in mm Hg, sondern mit dem Dampfdruck äquimolekularer Lithiumnitratlösungen verglichen worden. Die Dampfdruckerniedrigungen verhielten sich in diesen Lösungen wie 6:5, während dieses Verhältnis bei vollständiger Dissoziation beider Salze 3:2 betragen müßte. Das entspricht also einer für das $\text{Ca}(\text{NO}_3)_2$ geringeren Ionisation. Die relative Dampfspannung des festen Tetrahydrats beträgt nach Müller-Erbach⁴⁴⁴⁾ 0,06—0,07.

Die gesättigte Lösung siedet bei 152° . Die Siedepunkte konzentrierter Lösungen sind von Gerlach⁴⁴⁵⁾ bestimmt worden.

g $\text{Ca}(\text{NO}_3)_2 \cdot 2\text{H}_2\text{O}$ in 100 H_2O		g $\text{Ca}(\text{NO}_3)_2 \cdot 2\text{H}_2\text{O}$ in 100 H_2O	
12	101	443,5	125
25,5	102	607	130
39,5	103	877	135
53,5	104	1376	140
68,5	105	2614	145
152,5	110	10880	150
240	115	∞	152
331,5	120		

Die Gefrierpunkte verdünnter Lösungen sind nach Arrhenius⁴⁴⁶⁾

Mol $\text{Ca(NO}_3)_2$ im Liter	dt	dt n
0,0043	— 0,304°	4,72
0,1073	— 0,406°	4,62
0,179	— 0,519°	4,58

Die Gefrierpunkte konzentrierter Lösungen sind nach Rüdorff⁴⁴⁷⁾

g $\text{Ca(NO}_3)_2$ in 100 g H_2O	t
1,42	— 0,4°
5,02	— 1,4°
6,99	— 1,9°
11,12	— 3,05°
11,86	— 3,3°
14,92	— 4,15°

Auch Jones und Getman⁴⁴⁸⁾ haben die Gefrierpunkte von $\text{Ca(NO}_3)_2$ -Lösungen bestimmt. Nach ihren Messungen ist

Mol $\text{Ca(NO}_3)_2$ im Liter	dt°	dt m
0,042	0,200	4,70
0,104	0,470	4,52
0,208	0,910	4,37
0,415	1,820	4,39
1,038	5,070	4,89
1,660	8,680	5,23
2,075	11,600	5,59
2,905	19,320	6,65
3,320	24,320	7,33

Auch hier steigen, wohl wegen der Hydratbildung, die Werte $\frac{dt}{m}$ mit der Konzentration in den konzentriertesten Lösungen, doch lange nicht so stark wie bei den entsprechenden Haloidsalzen.

Der Brechungsexponent für die Wasserstofflinien ist von Damien⁴⁴⁹⁾ und Jones und Getman (l. c.) für Lösungen verschiedener Temperatur und Dichte bestimmt worden. Damien erhielt:

t°	d	H α	Hy
12,3	1,7621	1,46436	1,48341
17,0	1,7580	1,46308	1,48142
34,1	1,7425	1,45782	1,47534
53,2	1,7252	1,45201	1,46813.

Die innere Reibung ist nach Wagner⁴⁵⁰⁾ bei 25°

Mol/Liter	η (Wasser = 1)	s (bez. auf H_2O bei 25°)
1	1,1172	1,0596
$\frac{1}{2}$	1,0533	1,0300
$\frac{1}{4}$	1,0218	1,0151
$\frac{1}{8}$	1,0076	1,0076.

Das Äquivalentleitvermögen verdünnter Lösungen ist nach Kohlrausch und Grüneisen⁴⁵¹⁾ bei 18°

g-Äquiv. in Liter	A_{18}°	Mol im Liter	A_{18}°
0,0001	111,91	0,05	88,41
0,0002	111,19	0,1	82,48
0,0005	109,93	0,2	75,94
0,001	108,49	0,3	65,70
0,002	106,54	0,5	55,86
0,005	103,07		
0,01	99,53		
0,02	94,18		

Bei 0° ist das Mol-Leitvermögen nach Jones und Getman (l. c.)

v	μ	α
0,24	7,79	6,0
0,30	14,15	10,9
0,35	18,76	14,5
0,48	29,66	23,0
0,60	36,38	28,2
0,96	49,75	38,5
2,40	68,6	53,1
4,81	78,8	61,0
9,61	87,46	67,7
23,81	98,9	76,5

Der Wert des Dissoziationsgrades α ist unter Benutzung des Wertes $\mu_{\infty} 0^{\circ} = 129,2$ berechnet worden.

Calciumnitratlösungen absorbieren mehr Ammoniak als reines Wasser (Raoult⁴⁵²), offenbar infolge der Bildung komplexer Ionen $\text{Ca}(\text{NH}_3)_n^+$.

Auch in Alkohol ist $\text{Ca}(\text{NO}_3)_2$ leicht löslich. Völlmer⁴⁵³) und Woelfer⁴⁵⁴) haben die Leitfähigkeit und die Siedepunkterhöhung dieser Lösungen bestimmt, um den Dissoziationsgrad zu berechnen. Es ergab sich eine ziemlich weitgehende Ionenspaltung, doch stimmen die nach beiden Methoden berechneten Dissoziationsgrade nicht überein; die Leitfähigkeitsmessungen ergaben höhere Werte, woraus auf eine teilweise Assoziation oder Bildung selbstkomplexer Ionen geschlossen werden kann (cf. CaCl_2 S. 20).

Calciumdihydrohypophosphit, $\text{Ca}(\text{H}_2\text{PO}_2)_2$, entsteht beim Kochen von Kalkmilch mit Phosphor unter Entwicklung von Phosphorwasserstoff. Um es aus der Lösung rein darzustellen, muß das überschüssige Calciumhydroxyd mit Kohlendioxyd ausgefällt werden (Rose⁴⁵⁵), Würtz⁴⁵⁶), Engelhardt⁴⁵⁷), Berlandt⁴⁵⁸). Es bildet sich ferner durch Zersetzung von Calciumphosphid mit Wasser (Bachmann⁴⁵⁹) und durch Erhitzen von trockenem Calciumoxyd mit Phosphor in einer sauerstofffreien Atmosphäre und nachherigem Eintragen des Produkts in Wasser.

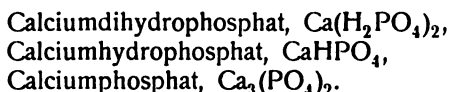
Es kristallisiert wasserfrei in monoklinen sechsseitigen Säulen, und ist in Wasser leicht, in Alkohol schwer löslich (Ramelsberg⁴⁶⁰). Beim Erhitzen zersetzt es sich erst oberhalb 300° unter Abspaltung von Wasser und Phosphorwasserstoff unter Bildung von Calciumpyro- und -metaphosphat.

Calciumhydrophosphit, CaHPO_3 , wurde von Rose⁴⁶¹) aus dem Ammoniumsalz und Calciumchlorid dargestellt. Die Kristalle haben nach Ramelsberg⁴⁶²) die Zusammensetzung $2\text{CaHPO}_3 \cdot 3\text{H}_2\text{O}$. Das Kristallwasser entweicht vollständig erst oberhalb 200° . Beim Glühen wird Wasserstoff und etwas Phosphor frei; es bleibt Pyrophosphat zurück. Beim Kochen mit

Wasser fällt ein schwer lösliches basisches Salz aus, während ein saures Salz in Lösung bleibt.

Calciumdihydrophosphit, $\text{Ca}(\text{H}_2\text{PO}_3)_2$, entsteht außer auf die oben beschriebene Weise beim Abdunsten einer Lösung von Calciumcarbonat in phosphoriger Säure im Vakuum (Würtlz⁴⁶³). Es kristallisiert mit 1 Mol H_2O , welches bei 150° entweicht. In Wasser ist es leicht löslich; aus der Lösung wird durch Alkohol das neutrale Salz gefällt. Außerdem sind Salze der Hypophosphorsäure von der Zusammensetzung $\text{CaPO}_3 \cdot \text{H}_2\text{O}$ und $\text{Ca}(\text{HPO}_3)_2 \cdot 6\text{H}_2\text{O}$ bekannt (Salzer⁴⁶⁴).

Calciumorthophosphate. Da die Orthophosphorsäure dreibasisch ist, so kann sie drei verschiedene Kalksalze bilden, die alle bekannt und wohldefiniert sind, nämlich das



Die Darstellung dieser einzelnen Verbindungen und ihre Umwandlung ineinander ist bis in die jüngste Zeit der Gegenstand einer großen Anzahl von Experimentaluntersuchungen gewesen, die zu höchst verwickelten und einander zum Teil widersprechenden Ergebnissen geführt haben. Doch gestattet, wie in so vielen anderen Fällen, auch hier die Lehre vom chemischen Gleichgewicht und der elektrolytischen Dissoziation nach den Untersuchungen von Rindell⁴⁶⁵ einen relativ einfachen Überblick, wenn man sich vergegenwärtigt, daß die Lösungen aller Kalkphosphate unabhängig davon, aus welchem der drei festen Salze sie hergestellt wurden, nur Punkte einer kontinuierlichen Reihe von beliebigen Mischungsverhältnissen von $\text{Ca}(\text{OH})_2$ und H_3PO_4 sind.

Diese Lösungen enthalten außer den undissoziierten Molekeln und eventuell möglichen, jedoch noch nicht sicher festgestellten komplexen Ionen die Kationen Ca^{++} sowie die drei verschiedenen Anionen der Phosphorsäure $\text{H}_2\text{PO}_4'$, HPO_4'' , PO_4''' in einem ihre Mengenverhältnisse regulierenden gegenseitigen Gleichgewicht (s. Phosphorsäure). Die Darstellung einer der drei Salze durch Ausfällung aus seinen Lösungen wird daher gelingen, wenn das Löslichkeitsprodukt der dasselbe bildenden Ionen überschritten wird. Alle früheren Untersuchungen haben übereinstimmend gezeigt, daß die Löslichkeit von Mono- zum -Di- und Triphosphat sehr stark abnimmt. Daraus ergibt sich, daß das Löslichkeitsprodukt

$$[\text{Ca}^{++}] \cdot [\text{H}_2\text{PO}_4']^2 = K_1$$

groß, dagegen

$$[\text{Ca}^{++}] [\text{HPO}_4''] = K_2$$

kleiner und

$$[\text{Ca}^{++}]^3 \cdot [\text{PO}_4''']^2 = K_3$$

sehr klein ist.

Für die Ionenkonzentration der Phosphorsäure gelten die Dissoziationsgleichungen

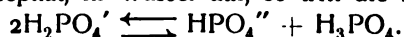
$$\begin{aligned} [\text{H}_2\text{PO}_4'] \cdot [\text{H}^+] &= k_1 [\text{H}_3\text{PO}_4] \\ [\text{HPO}_4''] \cdot [\text{H}^+]^2 &= k_2 [\text{H}_3\text{PO}_4] \\ [\text{PO}_4'''] \cdot [\text{H}^+]^3 &= k_3 [\text{H}_3\text{PO}_4]. \end{aligned}$$

Diese drei Gleichungen müssen in einundderselben Lösung immer gleichzeitig erfüllt sein. Daraus ergeben sich die Gleichungen

$$[\text{PO}_4'''] = \frac{k_3}{k_1} \cdot \frac{1}{[\text{H}^+]^2} \cdot [\text{H}_2\text{PO}_4'] = \frac{k_2}{k_1} \cdot \frac{1}{[\text{H}^+]} \cdot [\text{HPO}_4''],$$

d. h. das Verhältnis der Phosphationen (PO_4''') zu den Dihydrophosphationen ($\text{H}_2\text{PO}_4'$) ist umgekehrt proportional dem Quadrat der H^+ -Ionenkonzentration, zu den Hydrophosphationen [HPO_4''] dagegen der ersten Potenz der H^+ -Ionen. Daher wird der Gehalt einer Lösung an Calciumphosphaten um so größer sein können, je größer ihr Gehalt an Wasserstoffionen ist, d. h. je saurer sie ist.

Die Salze der schwachen Phosphorsäure mit der starken Base Calciumhydroxyd sind beträchtlich hydrolytisch gespalten, daher enthalten die Auflösungen aller drei Salze nicht nur die dem festen Salze entsprechenden Ionen, sondern auch deren Zerfallsprodukte mit Wasser. Löst man z. B. das primäre Salz, das Dihydrophosphat, in Wasser auf, so tritt die Reaktion ein:



Der Betrag dieser Spaltung hängt nach dem Massenwirkungsgesetz von der Konzentration ab, d. h. von der Menge Wasser, in welchem das primäre Salz gelöst wird. Sind die Konzentrationen der Ionen Ca'' und HPO_4'' so groß, daß das Löslichkeitsprodukt $[\text{Ca}] \cdot [\text{HPO}_4''] = K_2$ des sekundären Salzes überschritten wird, so fällt es aus, d. h. es wird Dihydrophosphat durch Wasser zum Teil unter Bildung von festem Monohydrophosphat zersetzt. Dies ist nach Versuchen von Stoklasa⁴⁶⁶⁾ der Fall, wenn mehr als 5 g Dihydrophosphat (Monohydrat) im Liter Wasser gelöst werden. Die von dem basischeren ausgeschiedenen Monohydrophosphat abfiltrierte Lösung enthält dann natürlich mehr Phosphorsäure, als dem gelösten Ca vor der Auflösung äquivalent war, und zwar berechnet Rindell⁴⁶⁷⁾ aus den Versuchen von Stoklasa

Dihydrophosphat gelöst im
Liter H_2O

Molenverhältnis $\frac{\text{H}_3\text{PO}_4}{\text{CaO}}$

in Gramm	in Millimolen	in Lösung
1000	3967	2,37
200	793	2,30
100	397	2,27
50	199	2,20
40	159	2,15
25	99	2,11
20	79	2,08
10	40	2,04
5	20	2,00.

Entsprechende Versuche von Joly⁴⁶⁸⁾ ergaben in größeren Konzentrationen etwas höhere Werte des Verhältnisses $\frac{\text{H}_3\text{PO}_4}{\text{CaO}}$. Ältere Angaben differieren

hiervon nicht unerheblich.⁴⁶⁹⁾ Ganz analog zersetzt sich Calciumhydrophosphat mit Wasser in unlösliches basischeres Anhydrophosphat und eine Lösung, die mehr Phosphorsäure enthält, als der Formel des Hydrophosphats entspricht. Diese Lösung reagiert, wenn sie bei Zimmertemperatur hergestellt wird nach Joly und Sorel⁴⁷⁰⁾, für Phenolphthalein sauer, für Methylorange neutral. Nach einiger Zeit wandelt sich der amorphe Niederschlag um in Kriställchen, welche die Zusammensetzung $\text{Ca}_3(\text{PO}_4)_2 \cdot \text{SCaHPO}_4 \cdot 2\text{H}_2\text{O}$ haben sollen. Der Betrag, bis zu welchem diese hydrolytischen Umwandlungen vor sich gehen, ist durch die Dissoziationskonstanten der Phosphorsäure und die Löslichkeitsprodukte der einzelnen Salze bestimmt. Diese Größen lassen sich

jedoch trotz der sehr ausführlichen Versuche Rindells aus dem vorliegenden Material noch nicht berechnen.

Über die Löslichkeit des Monohydro- und Anhydrophosphats in reinem Wasser sind eine große Anzahl zum Teil sehr abweichender Angaben gemacht worden. Diese schlechte Übereinstimmung führt Rindell darauf zurück, daß die älteren Autoren weder die Temperatur noch den Molekularzustand des Bodenkörpers genügend berücksichtigt haben, da beide Salze amorph und kristallinisch in mehreren Hydraten vorkommen, ferner auf die außerordentlich große Langsamkeit, mit der sich das Gleichgewicht zwischen Bodenkörper und Lösung einstellt. Auch haben die meisten Autoren keine vollständige Analyse der Lösungen gemacht, d. h. sowohl den Kalk wie die Phosphorsäure bestimmt; wie oben ausgeführt, sind in den gesättigten Lösungen diese beiden Größen nie äquivalent.

Eine an geglühtem Calciumanhydrophosphat gesättigte Lösung enthält nach Rindell⁽⁴⁷¹⁾ bei 18°

1,31 Millimole CaO

2,22 Millimole H_3PO_4 .

Die Leitfähigkeit dieser Lösung beträgt im reziproken Ohm $196 \cdot 10^{-6}$. Die Resultate von Völcker⁽⁴⁷²⁾, Warrington⁽⁴⁷³⁾, Fleischer⁽⁴⁷⁴⁾, Joffre⁽⁴⁷⁵⁾, Schlösing⁽⁴⁷⁶⁾, Pollacei⁽⁴⁷⁷⁾, Berthelot⁽⁴⁷⁸⁾, Louguinine⁽⁴⁷⁹⁾, Williams⁽⁴⁸⁰⁾ u. a. stimmen mit diesen Zahlen wohl aus den angeführten Gründen nicht überein. Fleischer und neuerdings Cameron und Hurst⁽⁴⁸¹⁾ fanden, daß die gesättigten Lösungen um so mehr Phosphorsäure enthielten, je größer die angewendete Menge des festen Triphosphats war. Da aber die Gleichgewichtskonzentration von der Menge des festen Bodenkörpers unabhängig sein muß, so hatten sie offenbar keine wirklichen Gleichgewichtszustände untersucht.

Die Löslichkeit des Monohydrophosphats in reinem kohlensäurefreiem Wasser ist von Rindell (l. c.) bei verschiedenen Temperaturen bestimmt worden und zwar sowohl die des wasserfreien Salzes, wie die des Dihydrats.

A. $CaHPO_4$.

t°	gr CaO im Liter	gr P_2O_5	Millimol		$\frac{H_3PO_4}{CaO}$
			CaO	H_3PO_4	
30	0,0414	0,0866	0,74	1,22	1,65
40	0,0590	0,1364	1,05	1,92	1,83
50	0,0667	0,1630	1,19	2,30	1,94
60	0,0723	0,1747	1,29	2,46	1,91
68	0,0985	0,2234	1,76	3,15	1,71
72,9	0,1031	0,2478	1,84	3,49	1,89
100,1	0,1046	0,2461	1,87	3,47	1,86

B. $CaHPO_4 \cdot 2H_2O$.

24°	0,0806	0,1678	1,44	2,36	1,64
30°	0,0954	0,2066	1,76	2,91	1,71
40°	0,1557	0,3434	2,78	4,84	1,74
50°	0,2617	0,6182	4,67	8,70	1,86
60°	0,4347	1,0530	7,76	14,83	1,91
68°	0,3409	0,8245	6,09	11,61	1,91
72,9°	0,3154	0,7624	5,63	10,73	1,91
100,1°	0,3109	0,7591	5,55	10,69	1,93

Die Löslichkeit des Dihydrats ist also oberhalb 30° immer beträchtlich größer als die des wasserfreien Salzes. Mithin ist dieses letztere in diesem Temperaturbereich das Beständigere. Die Löslichkeitskurve des Dihydrats erreicht bei 60° ein Maximum, die Lösungswärme müßte daher, falls die Angaben richtig sind, ihr Vorzeichen ändern. Da die Lösungswärme des wasserfreien Salzes wegen der ansteigenden Löslichkeit offenbar immer negativ ist, so müßte bei 60° die Hydratationswärme des Dihydrats ihrem absoluten Werte nach gleich der Lösungswärme des wasserfreien Salzes werden. Bei 15° beträgt die Hydratationswärme nach Messungen von Rindell (l. c.) $+4400$ cal. Ältere Löslichkeitsbestimmungen sind von Birnbaum⁴⁸²⁾, DUSART und Pelouze⁴⁸³⁾ und Delaitre⁴⁸⁴⁾ ausgeführt worden, doch ohne getrennte Bestimmung des Kalkes und der Phosphorsäure.

Die Löslichkeit des Dihydrophosphats in reinem Wasser ist nicht festzustellen, weil sich aus seinen konzentrierten Lösungen unter allen Umständen das Monohydrophosphat ausscheidet.

Löslichkeit der Calciumphosphate in Säuren.

Wie schon ausgeführt, sind auch das tertiäre und das sekundäre Salz in Säuren löslich, und zwar um so mehr, je größer die Konzentration der freien Wasserstoffionen ist. Denn in demselben Maße, wie durch diese die Konzentration der Ionen PO_4''' und HPO_4'' vermindert wird, kann der Gehalt der Lösungen an Ca^{++} -Ionen steigen, ohne daß das Löslichkeitsprodukt des tertiären oder sekundären Salzes überschritten wird.

1. Die Löslichkeit in Phosphorsäure.

Dieselbe läßt sich aus den oben angeführten Versuchen von Stoklasa und Joly über die Zersetzung des Dihydrophosphats mit Wasser berechnen. Direkte Bestimmungen wurden von Rindell und Causse⁴⁸⁵⁾ ausgeführt; selbstverständlich ist der Gehalt der gesättigten Lösung an Ca von der Beschaffenheit des Bodenkörpers abhängig.

Nach Causse werden Calciumphosphat bei Zimmertemperatur gelöst:

gr H_3PO_4 in 100 ccm	gr $\text{Ca}_3(\text{PO}_4)_2$	Äquivalente im Liter H_3PO_4	Ca
5	3,85	1,53	0,83
10	7,28	3,06	1,57
15	9,45	4,59	2,04
20	12,50	6,12	2,70
25	13,79	7,65	2,97
30	15,10	9,18	3,26

Die beiden konzentriertesten Lösungen scheiden beim Erhitzen Kristalle von Calciummonohydrophosphat aus.

Löslichkeit von Monohydrophosphat ($\text{CaHPO}_4 \cdot \text{H}_2\text{O}$).

gr H_3PO_4 in 100ccm	Äquivalente H_3PO_4 im Liter	gr CaHPO_4 in 100 ccm	Äquivalente CaHPO_4
5	1,53	4,30	0,717
10	3,06	7,15	1,19
15	4,59	9,30	1,55
20	6,12	11,86	1,98
25	7,65	13,40	2,23
30	9,18	15,10	2,52

Diese Lösungen scheiden alle beim Erhitzen Kristalle von sekundärem Salz aus.

Ganz dieselben Versuche sind auch von Rindell ausgeführt worden bei 30°, bezogen auf 1 Liter.

1. Bodenkörper CaHPO_4 .

Mole H_3PO_4 vor der Auflösung	Mole CaO	Mole H_3PO_4 nach der Auflösung	$\frac{\text{H}_3\text{PO}_4}{\text{CaO}}$
0,3914	0,2452	0,6117	2,49
0,200	0,1491	0,3415	2,29
0,050	0,046	0,0916	1,99
0,025	0,0239	0,0471	1,95
0,00625	0,00631	0,0121	1,91

2. Bodenkörper $\text{CaHPO}_4 \cdot 2\text{H}_2\text{O}$.

0,598	0,400	0,9491	2,37
0,1495	0,1294	0,2743	2,12
0,03738	0,03734	0,07228	1,90
0,0934	0,00994	0,01818	1,81
0,0467	0,00524	0,00939	1,79

In Übereinstimmung mit den Versuchen im reinem Wasser ist die Löslichkeit des Dihydrats größer als die des Anhydrids.

Besonders leicht löslich sind die Kalkphosphate in organischen Säuren, z. B. Essigsäure und vor allem Zitronensäure, da sie vermöge ihrer H-Ionen die Anhydro- und Monohydrophosphationen weitgehend in Dihydrophosphat verwandeln, doch scheint auch ein spezifischer Einfluß ihres Anions vorhanden zu sein. Nach Rindell ist bei 30° (die Konzentrationen sind in Millimolen im Liter angegeben):

1. Löslichkeit in n-normaler Essigsäure.

n	a) Bodenkörper $\text{CaHPO}_4 \cdot 2\text{H}_2\text{O}$		b) CaHPO_4	
0	1,70 CaO	2,91 H_3PO_4	0,74 CaO	1,22 H_3PO_4
1,95	2,34 "	2,42 "	2,00 "	2,20 "
7,81	6,52 "	6,41 "	— "	— "
15,63	10,52 "	10,10 "	8,69 "	8,20 "
31,25	15,52 "	15,46 "	13,20 "	12,32 "

n	c) Bodenkörper $\text{Ca}_3(\text{PO}_4)_2 \cdot 4,87\text{H}_2\text{O}$	
0	0,07 CaO	1,85 H_3PO_4
0,97	0,15 "	1,17 "
7,81	3,25 "	3,72 "
15,63	6,22 "	6,27 "
31,25	11,87 "	9,12 "
62,5	19,80 "	14,65 "

2. Löslichkeit in n-normaler Zitronensäure.

	Bodenkörper a. $\text{CaHPO}_4 \cdot 2\text{H}_2\text{O}$		Bodenkörper b. CaHPO_4		Bodenkörper c. $\text{Ca}_3(\text{PO}_4)_2 \cdot 4,87\text{H}_2\text{O}$	
0	1,70 CaO	2,91 H_3PO_4	0,74 CaO	1,22 H_3PO_4	0,07 CaO	1,85 H_3PO_4
0,98	— "	— "	— "	— "	0,31 "	4,74 "
1,95	— "	— "	— "	— "	0,83 "	5,89 "
3,91	10,86 "	11,03 "	9,29 "	9,16 "	3,01 "	7,61 "
7,81	19,53 "	18,95 "	16,21 "	15,76 "	9,46 "	12,27 "
15,63	33,60 "	32,78 "	26,13 "	25,81 "		
31,25	56,51 "	54,47 "	43,56 "	43,09 "		

3. in Kohlensäure.

n (Millimol/l)	CaHPO ₄ ·2H ₂ O		b. CaHPO ₄		c. Ca ₃ (PO ₄) ₂ ·4,87HO		
1,95	1,67	CaO 2,65	H ₃ PO ₄ 0,93	CaO 1,24	H ₃ PO ₄ 0,11	CaO 3,32	H ₃ PO ₄
3,91	1,71	" 2,50	" 1,04	" 1,31	" 0,10	" 2,90	"
7,81	1,92	" 2,20	" 1,54	" 1,85	" 0,17	" 1,77	"
15,63	2,80	" 2,98	" 2,32	" 2,40	" 0,44	" 3,30	"

Schon von Dumas⁴⁸⁶) und Lassaigue⁴⁸⁷), dann von Joffre (l. c.) und Schlösing (l. c.) ist die Löslichkeit des Mono- und Anhydrophosphats in CO₂-haltigem Wasser bestimmt worden, von letzterem auch bei Gegenwart von Calciumbicarbonat. Dieses erniedrigt sie wegen der erhöhten Ca-Konzentration außerordentlich stark, da ja die Ionenkonzentration des Ca in dem Löslichkeitsprodukt des Anhydrophosphats in der dritten Potenz auftritt. In kohlensäurehaltigem Wasser ist daher Calciumphosphat schwerer löslich als -carbonat (Schlösing). In allen stärkeren Säuren sind die Calciumphosphate infolge der hohen Wasserstoffionenkonzentration leicht löslich (Gerland⁴⁸⁸), Bischof⁴⁸⁹), Rotondi⁴⁹⁰)).

Auch die Gegenwart vieler Neutralsalze, besonders von Ammoniumsalzen, erhöht die Löslichkeit der Calciumphosphate (Liebig⁴⁹¹), Lassaigue⁴⁹²)). Nach Rindell (l. c.) beträgt die Löslichkeit von CaHPO₄·2H₂O bei 30° in Millimolen pro Liter:

Millimol Salz im Liter	NaCl		NH ₄ NO ₃		NaC ₂ H ₃ O ₂		NH ₄ -citrat	
	CaO	H ₃ PO ₄	CaO	H ₃ PO ₄	CaO	H ₃ PO ₄	CaO	H ₃ PO ₄
0	1,70	2,91	1,70	2,91	1,70	2,91	1,70	2,91
1,95							1,92	3,21
7,81	1,87	3,24	1,89	3,17	1,87	3,43	6,24	7,67
31,25	2,37	3,83	2,22	3,72	2,07	4,25	13,05	14,99
125	3,27	5,22	3,20	1,01	2,47	6,62	35,53	40,54
500	5,02	7,58	5,46	7,62	3,14	12,29	92,91	93,72

NaCl und NH₄NO₃ wirken also ungefähr gleichstark, NaC₂H₃O₂ etwas schwächer, wahrscheinlich weil es infolge Hydrolyse basisch reagiert und daher mehr Phosphorsäure als Kalk löst. Ganz außerordentlich groß ist der lösende Einfluß von Ammoniumcitrat. Während die Löslichkeitserhöhung durch die anderen Salze nur auf der wechselseitigen Bildung undissoziierter Molekeln zu beruhen scheint, muß in dem letzteren Falle eine weitgehende Komplexbildung angenommen werden. Die Erklärungsversuche von Tollens und Grupe⁴⁹³), und Herzfeld und Feuerlein⁴⁹⁴) werden durch die Ionen-theorie gegenstandslos gemacht.

Cameron und Hurst (l. c.) haben die Löslichkeit des Calciumphosphats in den Lösungen von CaCl₂, Ca(NO₃)₂, KCl und NaNO₃ untersucht. Die ersteren erniedrigen sie, wie nach der Ionentheorie erklärlich ist, die letzteren erhöhen sie. Im letzteren Falle nimmt das Verhältnis der gelösten Phosphorsäure zum gelösten Kalk mit der Konzentration des hinzugesetzten Salzes ab.

Die Löslichkeit in den Ammoniumsalzen verschiedener Säuren ist von Terreil⁴⁹⁵) bestimmt worden; sie ist ungefähr gleich in äquivalenten Mengen von Ammoniumchlorid, -nitrat, -sulfat und -acetat, erheblich größer in den Salzen der Äpfelsäure, Weinsäure und Zitronensäure. Die OH-Gruppen dieser Anionen haben offenbar die Fähigkeit, sei es Ca-, sei es Phosphat-

Ionen anzulagern. Vielleicht gilt dies auch für die organischen Stoffe, wie Eiweiß und Leim, in deren Lösungen Calciumphosphat löslich ist (Mercadante⁴⁹⁶), wenn es nicht auf der allgemeinen Eigenschaft solcher Lösungen beruht, die Ausfällung amorpher Niederschläge zu verhindern.

Eigenschaften der einzelnen Salze.

1. Calciumdihydrophosphat, $\text{Ca}(\text{H}_2\text{PO}_4) \cdot \text{H}_2\text{O}$, kristallisiert beim Eindampfen der stark sauren Lösung der anderen Calciumphosphate in rhombischen Kristallen (Hausdorfer⁴⁹⁷), die ein Mol Kristallwasser enthalten. In wasserfreiem Zustande ist es noch nicht dargestellt worden. Das ausgefällte Salz enthält gewöhnlich etwas mitgerissene Phosphorsäure und ist daher hygroskopisch. Wie Stoklasa (l. c.) gezeigt hat, fehlt diese Eigenschaft dem ganz reinen Salze. Beim Erhitzen gibt es zunächst Wasser und dann Phosphorsäure ab, so daß es schließlich in das Anhydrophosphat verwandelt wird.

2. Calciumhydrophosphat, CaHPO_4 , kann durch Zersetzung des primären Salzes mit Wasser oder durch Ausfällung neutraler Calciumsalze (CaCl_2) mit sekundären Alkaliphosphaten (Na_2HPO_4) erhalten werden. Je nach den Versuchsbedingungen entsteht hierbei das wasserfreie Salz oder ein kristallwasserhaltiges.

Das wasserfreie Salz entsteht bei der Zersetzung des primären Salzes mit siedendem Wasser oder Alkohol (Debray⁴⁹⁸), ferner durch Einwirkung von Phosphorsäure auf Calciumcarbonat. Kristallinisch führt es den Namen Monelit und kann nach de Schulten⁴⁹⁹ auch in dieser Form dargestellt werden. Von den vielen in der Literatur aufgeführten Hydraten, nämlich mit 5, 4, 2,5, 2, 1,5, 0,67, 0,5, 0,16 Mol sind als chemische Individuen wahrscheinlich nur die Verbindungen mit 2 und 1,5 Mol H_2O aufzufassen.

Das Dihydrat, $\text{CaHPO}_4 \cdot 2\text{H}_2\text{O}$, entsteht gewöhnlich nach dem oben angegebenen Verfahren, nach Causse⁵⁰⁰) in schönen monosymmetrischen Tafeln bei vorsichtiger Neutralisation von Phosphorsäure mit Kalkwasser; doch entsteht zuerst immer ein amorpher Niederschlag. In der Natur kommt es als Mineral Brushit monoklin vor, ferner organischen Ursprungs in einer Ausscheidung der Nieren des Störs als sogenannter Belugenstein und im Holze der Pflanze Tectonia grandis. Künstlicher Brushit ist von de Schulten⁴⁹⁹) durch Abdunsten einer Lösung von gefällttem CaHPO_4 in 25prozentiger Essigsäure erhalten worden.

Beim Erwärmen gibt es sein Kristallwasser auch oberhalb 100° nur sehr langsam ab. Diese Langsamkeit ist, wie Rindell hervorhebt, charakteristisch für alle Umwandlungen der Calciumphosphate und steht im Einklang mit der Regel von van't Hoff⁵⁰¹), daß Umwandlungerscheinungen im allgemeinen um so längere Zeit in Anspruch nehmen, je höher die Wertigkeit der beteiligten Elemente oder Radikale ist.

Das Hydrat, $2\text{CaHPO}_4 \cdot 3\text{H}_2\text{O}$, soll in der Natur als Metabrushit vorkommen; künstlich ist es angeblich von Raewsky⁵⁰²) und Skey⁵⁰³) durch Fällung mit CaCl_2 aus Natriumhydrophosphatlösung erhalten worden. Doch konnte Rindell die Angaben dieser Autoren nicht bestätigen. Dagegen wird seine Existenz von diesem durch Dampfdruckmessungen wahrscheinlich gemacht. Beim allmählichen Entwässern eines 2 Mol Wasser enthaltenden Salzes sank nämlich die Maximaltension desselben sprunghaft um 5,7 mm, als das Salz die Zusammensetzung $2\text{CaHPO}_4 \cdot 3\text{H}_2\text{O}$ überschritt.

Alle anderen Hydrate sind nur durchaus hypothetischer Natur; kein ein-

ziges ist in völlig reinem Zustande dargestellt worden. Dies beruht auf der Schwierigkeit, das nicht chemisch gebundene Wasser aus den meist amorphen Niederschlägen zu entfernen. Wie die Löslichkeitsversuche von Rindell (s. o.) zeigen, ist bei Temperaturen über 30° das wasserfreie Salz beständiger als das Dihydrat.

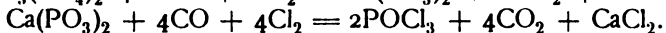
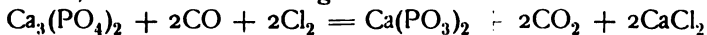
Calciumanhydrophosphat, $\text{Ca}_3(\text{PO}_4)_2$, entsteht beim Versetzen neutraler Calciumsalzlösungen mit tertiärem Alkaliphosphat oder mit saurem Alkaliphosphat und Ammoniak als weißer gallertiger Niederschlag, der stets wechselnde Mengen Wasser mit niederreißt. Die Umwandlung dieses amorphen Niederschlags in einen kristallinen ist nie beobachtet worden. Die Darstellung eines Körpers, welcher genau die Zusammensetzung $\text{Ca}_3(\text{PO}_4)_2$ besitzt, ist sehr schwierig, weil gewöhnlich basische oder saure Verbindungen mitgerissen werden. Warrington⁵⁰⁴⁾ empfiehlt die Verwendung von Ammoniumphosphat, welches viel freies Ammoniak enthält. Auch beim Glühen gibt es nur sehr langsam das Wasser ab und schmilzt erst bei sehr hoher Temperatur zu einer porzellanartigen Masse.

In der Natur ist das tertiäre Calciumphosphat sehr verbreitet; es findet sich als Mineral Osteolith und Phosphorit, ferner mit Fluorcalcium zusammen als Apatit. Es kommt im tierischen Organismus vor, und zwar nicht nur in den festen Bestandteilen (Knochen, Zähnen), sondern auch in organischen Flüssigkeiten, z. B. der Milch, vor. Die Knochen bestehen aus 50 bis 60 Proz. Calciumphosphat, ihre Asche, die sogenannte Knochenerde, aus ca. 85 Proz., der Guano, der aus den Exkrementen von Vögeln entstanden ist, aus 25 Proz. (als Ornithit). Technisch dargestellt werden die Calciumphosphate nach dem Thomasverfahren durch Entphosphorung des Roheisens in der Bessemerbirne.⁵⁰⁵⁾ Die zermahlenen Schlacken werden mittels des Magneten möglichst vom Eisen befreit und in Salzsäure gelöst. Nach dem Zusatz von Kalk, der die Lösung basisch machen soll, fällt die Phosphorsäure als Eisen oder Magnesiumsalz aus, der Niederschlag wird mit überschüssigem Natriumsulfat und Kohle geschmolzen, die Schmelze mit heißem Wasser ausgezogen, bis alles phosphorsaure Natrium gelöst ist und aus der Lösung durch Zusatz von Kalk die Phosphorsäure als Calciumphosphat gefällt. In der Thomasschlacke selbst ist die Phosphorsäure wahrscheinlich nicht als Calciumphosphat, sondern als dessen basisches Salz, $\text{Ca}_4\text{P}_2\text{O}_9 = \text{Ca}_3(\text{PO}_4)_2 + \text{CaO}$, enthalten. Die technische Bedeutung der Thomasschlacke und ihre analytische Zusammensetzung ist ausführlich in Fehlings Handwörterbuch der Chemie VII, 839, 1902 beschrieben.

Die große praktische Bedeutung der Calciumphosphate beruht auf ihrer Verwendung als Düngemittel. Da aber die Pflanze nur lösliche Salze zu assimilieren imstande ist, so kann das in der Natur vorkommende Calciumphosphat, z. B. der Phosphorit und Osteolith, als solches nicht unmittelbar verwendet werden, sondern muß erst in lösliche Formen, d. h. saure Phosphate übergeführt werden. Dies geschieht durch Behandeln mit Schwefelsäure und Salzsäure. Die so gewonnenen Fabrikate führen im Handel den Namen Superphosphate. Die Bestimmung der löslichen Phosphorsäure in ihnen geschieht durch Titration mit Uranacetat unter Anwendung von Ferrocyankalium als Indikator.

Reaktionen des Calciumphosphats. Durch Kohle wird es im elektrischen Lichtbogen zu Phosphorcalcium reduziert bei einem Strome von 22 Volt und 20 Ampere (Rénault⁵⁰⁶⁾, Moissan⁵⁰⁷⁾), Kohlenoxyd reduziert es

nach Schlösing⁵⁰⁸⁾ zu Phosphor. Beim Glühen mit Schwefeldioxyd und Kohle erhielt Berthier⁵⁰⁹⁾ Phosphor, Kohlenoxyd und Calciumsulfid. Alkalimetalle und Magnesium liefern die entsprechenden Phosphide (Vauquelin und Thénard⁵¹⁰⁾). Chlor und Kohle reagieren unterhalb Rotglut nicht, dagegen bei Gegenwart von Kohlenoxyd (Ribau⁵¹¹⁾). Die Reaktion erfolgt wahrscheinlich in zwei Stufen, nach den Gleichungen



Die Reaktion beginnt schon bei 180° im Ölbade. Der Kohlenstoff scheint nur katalytisch zu wirken und an der Reaktion selbst nicht teil zu nehmen.

Calciumsalze der Pyro- und Metaphosphorsäure und deren Polymeren. Sie können ganz allgemein durch Fällen neutraler Calciumsalzlösungen mit den entsprechenden Natriumsalzen dargestellt werden. Die neutralen Salze sind im Wasser schwer, in Säuren aus den beim Orthophosphat entwickelten Gründen leicht löslich. Sie entstehen teils amorph, teils kristallinisch und haben die allen Calciumphosphaten gemeinsame Eigenschaft, ihren Wassergehalt nur schwer abzugeben. Von den einzelnen Salzen sind bekannt und analysiert:

Neutrales Pyrophosphat, $\text{Ca}_2\text{P}_2\text{O}_7$, dargestellt von Baer⁵¹²⁾, Rose⁵¹³⁾, wird durch Wasserdampf in Phosphorsäure und Orthophosphat zersetzt (Reynoso⁵¹⁴⁾). Dihydropyrophosphat, $\text{CaH}_2\text{P}_2\text{O}_7$, entsteht nach Pahl⁵¹⁵⁾ bei Zersetzung des neutralen Salzes mit Oxalsäure.

Normales Metaphosphat, $\text{Ca}(\text{PO}_3)_2$, mit 2 Mol H_2O dargestellt von Fleitmann⁵¹⁶⁾, wasserfrei durch Eindampfen einer Lösung von CaCO_3 in überschüssiger Phosphorsäure und Erhitzen des Rückstandes auf 316° von Maddrell.⁵¹⁷⁾ Das Salz entsteht immer beim Erhitzen des sauren Orthophosphats und dient zur Reindarstellung des Phosphors, da es durch Kohle zum Teil zu diesem reduziert wird (siehe P.). Die Angabe von Glatzel⁵¹⁸⁾, daß es durch H_2SO_4 zersetzt werde, nicht aber durch HCl und HNO_3 , ist jedenfalls so aufzufassen, daß mit H_2SO_4 Gips ausfällt, während man entsprechend der großen Löslichkeit von Chlorid und Nitrat aus den Lösungen der beiden anderen Säuren Metaphosphat durch Eindampfen wiedergewinnen kann.

Apatit, $3\text{Ca}_3(\text{PO}_4)_2 \cdot \text{CaCl}_2$ oder CaF_2 , ist ein Doppelsalz des Calciumorthophosphats mit Chlor- oder Fluorcalcium. Es kommt in der Natur in hexagonalen Säulen vor. Seine Löslichkeit in reinem und kohlendioxydhaltigem Wasser ist nach Joffre⁵¹⁹⁾ geringer als die des Calciumphosphats.

Calciumarsenate. Das tertiäre Calciumorthoarsenat, $\text{Ca}_3(\text{AsO}_4)_2$, wurde von Kotschoubey⁵²⁰⁾ aus Kalkwasser und Arsensäure, ferner aus ammoniakalischer Calciumarsenatlösung und Chlorcalcium dargestellt. Es scheint in Kristallen mit 2 und 3 Mol. H_2O vorzukommen. In Wasser ist es schwer löslich. Nach Schairer⁵²¹⁾ entsteht es beim Erwärmen von Calciumsuperoxyd mit arseniger Säure; doch geht diese Reaktion scheinbar nicht quantitativ vor sich. Dasselbe gilt von den entsprechenden Sr- und Ba-Salzen.

Das **saure Salz**, CaHAsO_4 , kommt in der Natur als Pharmakolith und Haidingerit vor. Künstliche Kristalle mit 2 Mol. H_2O wurden von Dufet⁵²²⁾ durch langsame Diffusion von Lösungen von Natriumhydroarsenat und Calciumnitrat erhalten, ferner auf ähnliche Weise von Salkowsky.⁵²³⁾ De Schulten⁵²⁴⁾ erhielt auch Kristalle von der Formel $\text{CaHAsO}_4 + 2\text{H}_2\text{O}$, ebenso ein Doppelsalz mit Ammonium.

Bei der pyrogenen Darstellung, d. h. beim Zusammenschmelzen von

Calciumoxyd mit Kaliumarsenaten entsteht nach Lefèvre⁵²⁵) **Calciumpyroarsenat** $\text{Ca}_2\text{As}_2\text{O}_7$ in orthorhombischen Prismen. Auf diesem Wege lassen sich durch Zusatz von KCl oder NaCl auch komplexe Salze mit Kalium- und Natriumarsenaten darstellen, denen Lefèvre die Formeln KCaAsO_4 , resp. NaCaAsO_4 gibt.

Calciumsulfarsenite entstehen nach Berzelius⁵²⁶) und Nilson⁵²⁷) beim Auflösen von Arsensulfid As_2S_3 in konzentrierten Lösungen von Calciumhydrosulfid, und zwar in wechselnder Zusammensetzung, je nach der Temperatur und der Konzentration der Lösungen. Beim Eindunsten einer gesättigten Lösung entsteht die Verbindung $\text{CaS} \cdot \text{As}_2\text{S}_3 \cdot 4\text{H}_2\text{O}$. Die Existenzbedingungen und die Stabilitätsgrenzen der einzelnen Verbindungen sind nicht untersucht worden.

Calciumcarbonat, CaCO_3 . M.-G. 100,1.

Darstellung und Vorkommen. Das Calciumcarbonat kann künstlich aus Calciumoxyd und Kohlendioxyd dargestellt werden, jedoch nur bei Gegenwart von Feuchtigkeit. Bei höheren Temperaturen kann die Bildung infolge seiner Dissoziation (siehe CaO) nur stattfinden, wenn der CO_2 -Druck die Dissoziationsspannung übertrifft. Temperatur und Partialdruck des Kohlendioxyds sind natürlich auf die Bildungsgeschwindigkeit und die Ausbeute von Einfluß. Die Verhältnisse liegen hier wohl ähnlich wie bei der Bildung des Schwefeltrioxyds (siehe dieses), indem eine Temperatursteigerung zwar die Reaktionsgeschwindigkeit erhöht, das schließliche Gleichgewicht aber zuungunsten der Verbindung verschiebt (Raoult⁵²⁸), Weinhold⁵²⁹). Ferner erhält man Calciumcarbonat seiner Schwerlöslichkeit wegen aus den Lösungen aller löslichen Calciumsalze mit löslichen Carbonaten.

Die künstliche Darstellung des kohlensauren Kalkes besitzt jedoch keine Bedeutung, da er in der Natur sehr verbreitet ist und in einer großen Anzahl von Modifikationen vorkommt. In schön ausgebildeten Kristallen bildet er den Kalkspat (Calcit) und den Aragonit, kristallinisch, in kleinen verwachsenen Kriställchen den Marmor, Kalkstein, Tropfstein, Kalksinter und Kreide. Ferner kommt er auch in der Gerüstsubstanz vieler organischer Wesen vor; Korallen, Muscheln, Austerschalen, Schneckengehäuse, Eierschalen bestehen fast ausschließlich aus kohlensaurem Kalk. Ein großer Teil der Gebirgsmassen (Koralleninseln, Kreidefelsen) ist daher im wesentlichen wahrscheinlich organischen Ursprungs.

Die Grundform des Kalkspats oder Calcits ist das hexagonale Rhomboeder, doch kommt er in vielen hemiëdrischen Formen vor. Sehr große farblose und durchsichtige Rhomboeder kommen in ausgezeichneter Reinheit in Island vor; sie heißen isländischer Doppelspat, weil sie die doppelte Brechung des Lichtes sehr deutlich zeigen. Sie finden vornehmlich Verwendung zur Herstellung optischer Instrumente, besonders der Nicolschen Prismen im Polarisationsapparat. Der Kalkspat ist mit Natriumnitrat isomorph und hat die Dichte 2,715 (Scheele²). Die Brechungsexponenten für die D-Linie sind im Mittel nach verschiedenen Autoren für den ordentlichen Strahl $o = 1,65845$, für den außerordentlichen Strahl $e = 1,48644$.⁵³⁰) Er repräsentiert die Stufe 3 der Härteskala.

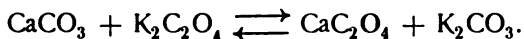
Der Aragonit kommt in der Natur viel seltener vor als der Calcit. Er kristallisiert in rhombischen Säulen vom spez. Gew. 2,934 (Scheele⁵³¹)). Er ist selten rein, sondern meist mit dem isomorphen Strontiumcarbonat (Strontianit) vermengt.

Der Konchit ist nach Kelly⁵³²⁾ eine dritte kristallinische Modifikation des CaCO_3 , die sich hauptsächlich in den Schalen der Mollusken findet. Sie ist härter als Kalkspat und spez. schwerer ($d = 2,86-2,87$), ebenso wie dieser optisch einachsigt, die Brechungsexponenten sind $e = 1,53$ und $o = 1,66$. Die Doppelbrechung also bedeutend niedriger als die des Kalkspats.

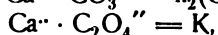
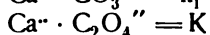
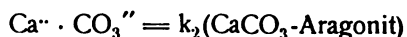
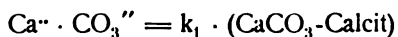
Marmor und Kalkstein bestehen aus undeutlichen verwachsenen Kalkspatkristallen. Ganz reiner Marmor ist schneeweiß (Carrara, Paros, Laas), der bunte ist hauptsächlich durch Eisenoxyde gefärbt. Der Marmor war wahrscheinlich früher unter hohem Druck geschmolzen und ist dann kristallinisch erstarrt (s. u.). Kalkstein ist stets verunreinigt und hat eine graue Farbe. Kalkstein, der viel Ton enthält, heißt Mergel. Die kristallinische Struktur der Kreide ist noch nicht festgestellt. Amorphes CaCO_3 entsteht bei raschem Ausfällen von Ca-Salzen mit Carbonaten.

Der kohlensaure Kalk ist einer der am längsten bekannten Fälle von Polymorphie, d. h. der Eigenschaft eines und desselben chemischen Individuums, in mehreren wohlausgebildeten Kristallformen aufzutreten. Früher hatte man allerdings angenommen, daß der Aragonit seine Kristallform nur der Beimengung von Strontiumcarbonat verdanke, das Auffinden völlig reinen Aragonits hatte jedoch diese Annahme widerlegt. Es entstand nun die Frage, ob Calcit und Aragonit monotrope oder enantiotrope Formen sind, d. h., ob eine von beiden unter allen Umständen die beständigere oder ob eine gegenseitige Umwandlung möglich sei und bei einer bestimmten Temperatur zwischen ihnen Gleichgewicht bestände, wie es z. B. bei den Kristallformen des Schwefels der Fall ist.

Die Form, in der das Calciumcarbonat durch Fällung entsteht, ist abhängig von der Konzentration der Lösungen, der Temperatur, der Fällungsgeschwindigkeit und der „Lösungsgenossen“. Ausführliche Untersuchungen hierüber sind u. a. von G. Rose⁵³³⁾, Vater⁵³⁴⁾, Adler⁵³⁵⁾, Stocks⁵³⁶⁾ und Meigen⁵³⁷⁾ angestellt worden. Bei Fällung in der Kälte entsteht amorphes Salz, das sich in Calcit umwandelt, in der Hitze aus verdünnten Lösungen Aragonit, der sich ebenfalls, doch unter Umständen sehr langsam in Calcit umwandelt (Adler). Die Resultate von Rose konnten von Vater bei Anwendung ganz reiner Reagenzien nicht bestätigt werden. Durch Erhitzen von Aragonit auf Rotglut entsteht ebenfalls Calcit, ebenso unter allen Umständen aus dem unter Druck geschmolzenen Carbonat und zwar in der Form von Marmor. Eine Umwandlung von Calcit in Aragonit ist nie beobachtet worden. Nach Le Chatelier⁵³⁸⁾ wird bei der Umwandlung von Aragonit in Calcit eine Wärmemenge von 300 cal gebunden, während nach älteren, offenbar unrichtigen Angaben von Favre und Silbermann eine Entwicklung von 2000 cal stattfinden sollte. Dementsprechend müßte der Umwandlungspunkt, falls ein solcher überhaupt existiert, bei sehr tiefer Temperatur liegen. Foote⁵³⁹⁾ hat die Frage nach der relativen Beständigkeit der beiden Formeln durch die Überlegung gelöst, daß die unbeständigere die größere Löslichkeit besitzen muß. Diese ließ sich erstens bestimmen durch die Untersuchung des Gleichgewichts zwischen Calciumcarbonat und Kaliumoxalat, gemäß der Gleichung



Ist in dem einen Falle neben festem CaC_2O_4 Calcit, in dem anderen Aragonit als Bodenkörper vorhanden, so gelten nach Einstellung des Gleichgewichts die Gleichungen



worin k_1 (CaCO_3 -Calcit) und k_2 (CaCO_3 -Arag.) die Löslichkeitsprodukte dieser beiden Formen bedeuten.

Die Division ergibt $\frac{\text{CO}_3^{--}}{\text{C}_2\text{O}_4^{--}} = \frac{k_1 (\text{CaCO}_3\text{-Calcit})}{K}$ und entsprechend für den Aragonit $\frac{\text{CO}_3^{--}}{\text{C}_2\text{O}_4^{--}} = \frac{k_2 (\text{CaCO}_3\text{-Arag.})}{K}$.

Das Verhältnis der CO_3^{--} -Ionen zu den $\text{C}_2\text{O}_4^{--}$ -Ionen ist also in dem System größer, dessen CaCO_3 -Modifikation das größere Löslichkeitsprodukt besitzt. Der Versuch zeigte, daß dies bei Aragonit der Fall ist, und zwar ergab sich für das Verhältnis

$$\frac{k_1 (\text{CaCO}_3\text{-Arag.})}{k_2 (\text{CaCO}_3\text{-Calcit})} \quad \begin{array}{l} \text{bei } 25^0 = 1,35 \\ 49,7^0 = 1,35 \\ 59,0^0 = 1,24 \end{array}$$

Dasselbe Resultat ergaben die Untersuchungen von Meigen (l. c.) über die Ausfällung von Schwermetallcarbonaten durch Aragonit oder Calcit, ferner die Bestimmung der Leitfähigkeit durch Foote bei verschiedenen Temperaturen in Lösungen, die unter dem Partialdruck von CO_2 von einer Atmosphäre mit Calcit, resp. Aragonit gesättigt waren. Es ergab sich bei

t^0	l-Arag. l-Calc.
8^0	1,47
25^0	1,130
41^0	1,124
48^0	1,115

Die Löslichkeit des Aragonits ist also immer größer als die des Calcits, doch scheint sich ihr Verhältnis mit steigender Temperatur der Einheit zu nähern, woraus man auf die Existenz eines Umwandlungspunktes oberhalb 50^0 schließen könnte. Dementsprechend läßt sich, im Gegensatz zur Beobachtung von Le Chatelier, nach der van't Hoff'schen Gleichung die Entwicklung einer Wärmemenge von 300 cal bei der Umwandlung von Aragonit und Calcit berechnen. Da aber bei hohen Temperaturen zweifellos der Calcit die beständigere Form darstellt, so müßten zwischen 50^0 und Rotglut 2 Umwandlungspunkte liegen, was jedoch sehr unwahrscheinlich ist. Es läßt sich daher mit großer Wahrscheinlichkeit aussagen, daß bei Temperaturen über 0^0 Calcit immer die beständigere Form ist. Der natürliche Aragonit ist daher instabil; sein Vorkommen ist nur durch die außerordentliche Langsamkeit der Umwandlung ermöglicht. Dementsprechend werden auch häufig Pseudomorphosen von Aragonit in Calcit gefunden.

Der von Kelly (l. c.) entdeckte Konchit ist ebenfalls unbeständig und wandelt sich leicht in Calcit um. Vater⁵⁴⁰⁾ glaubt noch eine vierte monosymmetrische oder asymmetrische Form entdeckt zu haben, die die Dichte 2,54 besitzen soll.

Beim Erhitzen spaltet sich CaCO_3 in CO_2 und CaO (s. d.).

Es kann daher nur unter Anwendung von CO_2 -Druck unzersetzt geschmolzen werden (Hale⁵⁴¹⁾, Rose u. Siemens⁵⁴²⁾, Le Chatelier⁵⁴³⁾). Der Schmelzpunkt liegt unter dem des Goldes; die erstarrte Schmelze ist durchsichtig, die (Calcit-)Kristalle 0,1 mm lang. Nach Joannis⁵⁴⁴⁾ gelingt das

Schmelzen und die hierdurch bewirkte Umwandlung in Marmor nur, wenn der Druck beträchtlich höher ist als der der Temperatur entsprechende Partialdruck des Kohlendioxyds. Doch gelingt sie nach Le Chatelier⁵⁴⁵⁾ auch bei diesem Druck bei sehr raschem Erhitzen.

Beim Erhitzen mit anderen Elementen oder Verbindungen zeigt Calciumcarbonat infolge seiner Dissoziation die Reaktionen des Oxyds und des Kohlendioxyds. Die Bildungswärme des CaCO_3 aus den Elementen beträgt nach Thomsen 270 410 cal, aus CaO und CO_2 42 520 cal.

Die Löslichkeit des Calciumcarbonats in reinem Wasser ist sehr gering. Es lösen sich im Liter

bei 8,7°	10,04 mgr CaCO_3 (Holleman ⁵⁴⁶⁾).
" 23,8°	12,5 " " "
" 16°	13 " " (Schlösing ⁵⁴⁷⁾).
" 18°	13 " " (Kohlrausch u. Rose ⁵⁴⁸⁾).
	15 " Arag. " "
" gewöhl. Temp.	9,4 " CaCO_3 (Ljubavin ⁵⁴⁹⁾).
" 100°	11,3 " (Fresenius ⁵⁵⁰⁾).(?)

Die Löslichkeit wird beträchtlich erhöht durch NH_4 -Salze (Bertrand⁵⁵¹⁾, Drechsel⁵⁵²⁾), jedoch nicht nennenswert durch K- und Na-Salze. Sehr erheblich ist die Löslichkeitserhöhung durch CO_2 , wodurch sich Hydrocarbonat, das Anion HCO_3' , bildet. Nach Bodländer⁵⁵³⁾ gelten in solchen Lösungen bei Anwesenheit von festem CaCO_3 als Bodenkörper (festes Bicarbonat ist nicht bekannt), die Gleichgewichtsgleichungen

$$[\text{Ca}^{++}][\text{CO}_3^{--}] = K_1, \text{ ferner } [\text{H}_2\text{CO}_3][\text{CO}_3^{--}] = K_2 [\text{HCO}_3']^2$$

und daraus $[\text{Ca}^{++}]^3 = \frac{K_1}{4K_2} \cdot \text{H}_2\text{CO}_3 = \frac{K_1}{K_2} \cdot [\text{CO}_2]$, wenn man die Konzentration der Ca^{++} -Ionen $[\text{Ca}^{++}] = \frac{1}{2} [\text{HCO}_3']$ setzt. Dies ist berechtigt, da ja neben meßbaren Mengen von Ca^{++} -Ionen nur äußerst wenig CO_3^{--} -Ionen, also fast ausschließlich HCO_3' -Ionen in Lösung sein können. Unter Berücksichtigung des Dissoziationsgrades kann man daher aus dem Partialdruck der Kohlensäure $[\text{CO}_2]$ die Löslichkeit des Calciumcarbonats berechnen, und weiterhin aus ihren von Schloesing (l.c.) beobachteten Werten, da K_2' bekannt ist, umgekehrt die Größe K_1 , das Löslichkeitsprodukt des Calciumcarbonats. Dieses ergibt sich zu $2,74 \cdot 10^{-9}$. Da die gesättigte Lösung in reinem H_2O ungefähr $1 \cdot 10^{-4}$ normal ist, so dürfte sie, falls der Wert des Löslichkeitsprodukts richtig ist, nur zu ca. 50 Proz. dissoziiert sein. Da die neutralen Lösungen jedoch hydrolytisch gespalten sind, so kommt diesem Wert keine Sicherheit zu.

Nach den Messungen von Schlösing beträgt die Löslichkeit von CaCO_3 in kohlensäurehaltigem Wasser bei 16°

Partialdruck CO_2 in Atm.	mg CaCO_3 im Liter	Äquiv. Ca im Liter
0,000504	74,6	$1,492 \cdot 10^{-3}$
0,000808	85,0	1,700 "
0,00333	137,2	2,744 "
0,01387	223,1	4,462 "
0,0282	296,5	5,930 "
0,0501	360	7,200 "
0,1422	533	10,66 "

Partialdruck CO ₂ in Atm.	mg CaCO ₃ im Liter	Äquiv. Ca im Liter
0,2538	663,4	13,27 "
0,4167	787,5	15,75 . "
0,5533	885,5	17,71 "
0,7297	972	19,44 "
0,9841	1086	21,72 "

Auch Treadwell und Reuter⁵⁵⁴⁾ haben die Löslichkeit von CaCO₃ in kohlensäurehaltigem Wasser bestimmt; sie finden jedoch fast doppelt so hohe Werte. Die Ursache ihres Fehlers beruht wahrscheinlich darin, daß in ihren Lösungen der Partialdruck des CO₂ beträchtlich größer war als in dem darüber befindlichen Gasraum, in dem sie ihn bestimmten. Sie gingen nämlich von einer unter Atmosphärendruck gesättigten Lösung aus und verdünnten allmählich den über der Lösung befindlichen Raum mit Luft, ohne die Lösung zu schütteln. Dementsprechend enthielt die Lösung auch in Berührung mit reiner Luft (vom Partialdruck [CO₂] = 0) noch merkliche Mengen CO₂ und äquivalente Mengen Ca (als Hydrocarbonat). Diese Lösung stellt jedoch zweifellos keinen Gleichgewichtszustand dar. Einen Unterschied zwischen der Löslichkeit von Calciumcarbonat und Hydrocarbonat in kohlensäurehaltigem Wasser gibt es nicht, da, wie die Bodländersche Formel zeigt, die gelöste Menge Ca durch den CO₂-Druck eindeutig bestimmt ist. Die Löslichkeit des CaCO₃ in mit Kohlensäure unter Atmosphärendruck gesättigtem Wasser beträgt nach Treadwell und Reuter

bei 2,8° 1,45 g im Liter
 " 13,2° 1,30 " " "

Ältere Angaben über diese Zahl schwanken zwischen 0,7 und 3 g.⁵⁵⁵⁾

In kohlensäurehaltiger 0,14-n-NaCl-Lösung ist die Löslichkeit fast ebenso groß wie ohne NaCl.

Cameron und Seidell⁵⁵⁶⁾ bestimmten die Löslichkeit von CaCO₃ in NaCl- und Na₂SO₄-Lösung in Berührung mit Luft, d. h. unter dem dieser entsprechenden geringen Partialdruck von CO₂. In reinem Wasser betrug sie bei 25° 0,0013 Äquivalente. In Na₂SO₄-Lösung stieg sie kontinuierlich mit der Konzentration bis 0,0083 Äquivalenten in 1,8135-n-Lösung, in NaCl erreichte sie in ca. 1-n-Lösung ein Maximum von 0,0028 Äquivalenten. Mit dem Sulfation tritt also ein weit beträchtlicherer Umsatz zu undissoziiertem Salz ein als mit dem Chlorion. In Übereinstimmung hiermit fand Böttger die gesättigten Gipslösungen nur zu 50 Proz. dissoziiert (cf. CaSO₄).

Die spezifische elektrische Leitfähigkeit von gesättigten CaCO₃-Lösungen beträgt nach Kohlrausch⁵⁵⁷⁾ in reziproken Ohm

gefälltes CaCO ₃		Kalkspat		Aragonit	
t	k	t	k	t	k
9,38°	21,73.10 ⁻⁶	2,03°	15,28.10 ⁻⁶	3,18°	19,46.10 ⁻⁶
17,38°	28,28 "	17,44°	26,67 "	17,60°	31,75 "
25,96°	36,83 "	34,8°	44,1 "	31,1°	47,0 "

Das Leitvermögen und die Löslichkeit des Kalkspats, als der beständigeren Form, ist immer die geringere. Treadwell und Reuter (l. c.) haben das molekulare Leitvermögen der neutralen Bicarbonatlösungen bei 18° bestimmt; sie erhielten

v	μ
623	124,6
1246	134,7
2500	141,4
5000	156,1
10000	162,3
20000	179,9
40000	258,1.

Die Tatsache, daß sich dasselbe keinem konstanten Wert nähert, entspricht der fortschreitenden hydrolytischen Spaltung der Lösung.

CaCO_3 wird in jeder Form durch starke und schwache Säuren unter Entwicklung von CO_2 gelöst. Die Auflösungsgeschwindigkeit geht mit der Stärke der Säure parallel. In Gegenwart von absolutem Methylalkohol, Äthylalkohol und Aceton ist die Einwirkung, mit Ausnahme von HCl und HNO_3 , äußerst langsam. Durch Zusatz von wenig Wasser wird sie merklich beschleunigt (Carette⁵⁵⁸), Vallée⁵⁵⁹).

Auch mit einer Lösung vom NH_4Cl setzt sich CaCO_3 bei längerem Stehen zu CaCl_2 , CO_2 und NH_3 um (Cantora und Soguelia⁵⁶⁰). Diese Erscheinung ist theoretisch so zu deuten, daß das aus dem Chlorammonium hydrolytisch abgespaltene Ammoniak einen gewissen Dampfdruck besitzt und demzufolge entweicht. Die zurückbleibende freie Salzsäure löst das Calciumcarbonat auf. Aus demselben Grunde muß auch eine Lösung von NH_4HCO_3 bei wochenlangem Stehen im offenen Gefäß an diesem Salze verarmen.

Calciumcarbonat kann auch mit 5 Mol Kristallwasser auskristallisieren, doch ist der Existenzbereich dieser Verbindung nicht näher untersucht worden. Calciumsaccharat setzt sich an der Luft (mit deren Kohlensäure) in diese Kristalle um. Nach Roth⁵⁶¹) fallen sie mit konzentrierter Na_2CO_3 -Lösung aus einer Lösung aus, die je 1 Mol eines löslichen Ca- und Mg-Salzes enthält, jedoch nur unterhalb 18° . Pelouze⁵⁶²) erhielt sie aus allen Ca-Lösungen bei $0-2^\circ$. Auch in der Natur sind sie vereinzelt gefunden worden; hier sind sie wohl organischen Ursprungs. Die Kristalle dieses Pentahydrats gehören dem rhombischen System an und haben das spez. Gewicht 1,783. Bei mäßigem Erwärmen geben sie ihr Kristallwasser vollständig ab, beim Kochen mit absolutem Alkohol sollen sie sich nach Pelouze in Kristalle von der Zusammensetzung $\text{CaCO}_3 \cdot 3\text{H}_2\text{O}$ umsetzen.

Calciumsilicate finden sich in der Natur sehr häufig, jedoch nicht rein, sondern als Doppelsilicate besonders mit Kalium- und Aluminiumsilicaten. Reines Calciumsilicat kommt als Wollastonit CaSiO_3 in monoklinen Kristallen vor. Der künstliche Wollastonit, wie er z. B. von Lechartier⁵⁶³) und Gorgeu⁵⁶⁴) beim Zusammenschmelzen von Calciumoxyd, Calciumchlorid und Kieselsäure erhalten wurde, ist mit dem natürlichen nicht identisch, sondern eine allotrope Modifikation, da er nach Bourgeois⁵⁶⁵) und Doelter⁵⁶⁶) hexagonal kristallisiert. Natürlicher Wollastonit ist härter als künstlicher. Nach Oddo⁵⁶⁷) entsteht CaSiO_3 auch beim Zusammenschmelzen von CaO und SiO_2 im elektrischen Ofen. Auf nassem Wege, d. h. durch Umsetzung von Alkalisilicaten mit Ca-Salzen in Lösungen, ist nach Ammon und Lefort⁵⁶⁸) reines Calciumsilicat nicht zu erhalten, jedoch nach Jordis und Kanter⁵⁶⁹) beim andauernden Kochen von Kalkwasser mit Kieselsäure, falls die letztere mehr als 23 Proz. H_2O enthält (diese Menge entspricht der Formel H_2SiO_3), und nach Becquerel⁵⁷⁰) bei der Diffusion von Calciumacetat in Kaliumsilicat.

Der Schmelzpunkt des reinen Calciummetasilicats CaSiO_3 liegt nach Kultascheff⁵⁷¹⁾ über 1400° . Aus den Maximis der Schmelzpunktskurve eines Gemisches von CaSiO_3 und Na_2SiO_3 geht die Existenz der Verbindung $2\text{Na}_2\text{SiO}_3 \cdot 3\text{CaSiO}_3$ (Schmelzpunkt 1160°) hervor. Setzt man den Gemischen mehr als 7 Proz. Kieselsäure zu, so erstarren sie nicht mehr kristallinisch, sondern als Glas ohne festen Schmelzpunkt.

Kristallwasserhaltiges Calciumsilicat findet sich als Plombierit $\text{CaSiO}_3 \cdot \text{H}_2\text{O}$.

Saures Calciumsilicat als Okenit $\text{CaSiO}_3 \cdot \text{H}_2\text{SiO}_3 \cdot \text{H}_2\text{O}$.

Calciumsilicate, welche mehr Kieselsäure enthalten, als der einfachen Formel CaSiO_3 entspricht, sind von Held⁵⁷²⁾ aus Wasserglaslösungen und Calciumverbindungen, von Landrin⁵⁷³⁾ und Jordis und Kanter⁵⁷⁴⁾ durch Behandeln von Kalkwasser mit Kieselsäure dargestellt worden, die weniger als 23 Proz. H_2O enthielt, ferner beim anhaltenden Kochen des normalen Silicats mit Wasser am Rückflußkühler. Da die entstehenden Verbindungen keine konstante Zusammensetzung halten, so erübrigt es sich, bestimmte Formeln für sie aufzustellen.

Calciumsilicate bilden wesentliche Bestandteile des Glases und des erhärteten Portlandzements. Die von Oddo (l. c.) dargestellten Salze erhärten jedoch mit Wasser nicht.

Calciumborate finden sich in der Natur als Rhoelizit (Rose⁵⁷⁵⁾) und Bechilith (Bechi⁵⁷⁶⁾) in alten Lagunenkratern Toskanas.

Die Darstellung der Calciumborate gelingt sowohl auf feuchtem Wege durch Fällern von Calciumsalzen mit Alkaliboraten wie durch Schmelzen von CaO mit Borsäure.

Nach der ersten Methode erhält man das normale Metaborat $\text{Ca}(\text{BO}_2)_2$ aus Calciumchlorid- und Natriummetaboratlösung; es ist schwer löslich in Wasser und Alkalichloridlösungen, löslich dagegen in Ammoniumsalzlösungen und warmen Mineralsäuren. Da auch Essigsäure viel stärker als Borsäure ist, so muß auch sie eine erhebliche Lösungskraft besitzen. Wahrscheinlich rührt die widersprechende Literaturangabe (Ditte⁵⁷⁷⁾) von der Langsamkeit der Auflösung her.

Beim Kochen von Calciumhydroxyd und -carbonat mit Borsäurelösungen erhielten Laurent⁵⁷⁸⁾ und Popp⁵⁷⁹⁾ hydratisierte Pyroborate, nämlich $\text{CaB}_6\text{O}_{13} \cdot 9\text{H}_2\text{O}$, $\text{CaB}_6\text{O}_{10} \cdot 4\text{H}_2\text{O}$ und $\text{CaB}_4\text{O}_7 \cdot 8\text{H}_2\text{O}$. Die Schmelze dieser Salze erstarren nach Tissier⁵⁸⁰⁾ nicht kristallinisch, sondern glasig. Aus einer Lösung von Borax kann man nur mit Calciumhydroxyd, nicht aber mit -carbonat einen Niederschlag von Calciumborat erhalten. Daraus folgt, daß das Löslichkeitsprodukt desselben größer als das des -carbonats, aber kleiner als das des Hydroxyds ist. Aus Calciumnitrat erhielt Tünnermann⁵⁸¹⁾ mit Borax einen Niederschlag, der ungefähr die Zusammensetzung $\text{CaB}_4\text{O}_7 \cdot \text{H}_2\text{O}$ hatte. Nach G. Rose⁵⁸²⁾, Kraut⁵⁸³⁾ und Lecanu⁵⁸⁴⁾ geben Calciumchloridlösungen mit Borax je nach den Versuchsbedingungen, Temperatur und Konzentrationen Niederschläge von sehr verschiedener Zusammensetzung, deren Stabilität und Existenzbedingungen noch nicht näher untersucht sind.

Durch Zusammenschmelzen von CaO und B_2O_3 erhielt Ditte (l. c.) Verbindungen der Formel $\text{CaO} \cdot 2\text{B}_2\text{O}_3$, $2\text{CaO} \cdot 3\text{B}_2\text{O}_3$, $\text{CaO} \cdot \text{B}_2\text{O}_3$ und $3\text{CaO} \cdot 2\text{B}_2\text{O}_3$. Aus geschmolzenen Alkalichloriden lassen sich diese Verbindungen umkristallisieren und z. T. in großer Reinheit darstellen. Ähnliche Resultate erhielt Benedikt⁵⁸⁵⁾, während Le Chatelier⁵⁸⁶⁾ einzelne der Ditteschen

Verbindungen als Gemenge ansprach. Ouvrard⁵⁸⁷⁾ erhielt das Orthoborat durch Auflösen von CaO in einem geschmolzenen Gemisch von HF und B₂O₃.

Guertler⁵⁸⁸⁾ hat die Zusammensetzung der chemischen Verbindungen von CaO und B₂O₃ durch Bestimmung der Schmelzpunkte und der Abkühlungskurven verschieden zusammengesetzter Gemische festgestellt. Er erhielt 3 Maxima der Schmelzpunktskurve, entsprechend den Salzen CaO · 2B₂O₃, CaO · B₂O₃ und 2CaO · B₂O₃; für die Existenz des Ditteschen 2CaO · 3B₂O₃ fand er keinen Anhaltspunkt.

Calciummetaborat kommt scheinbar in zwei polymorphen Modifikationen vor, da es von Benedikt und Ditte in langen feinen Nadeln, nach dem Umkristallisieren von letzterem dagegen in flachen Prismen erhalten wurde. Beim Eingießen der Schmelze in Wasser erstarrt es nach Guertler amorph. Das Pyroborat bildet nach diesem eine fein kristallinische, marmorartige Masse.

Da die Schmelzpunktsmaxima der CaO-B₂O₃-Gemische, wie die Kurven Guertlers zeigen, sehr flach sind, so scheinen in der Schmelze Dissoziationsgleichgewichte zu bestehen.

Calciumformiat, Ca(HCO₂)₂, wird durch Neutralisation von Ameisensäure mit Calciumhydroxyd oder -carbonat dargestellt. Es bildet wasserfreie rhombische Kristalle vom spez. Gewicht 2,015 (Heußer⁵⁸⁹⁾, Plathan⁵⁹⁰⁾, Schröder⁵⁹¹⁾). In Alkohol ist es schwer löslich, seine Löslichkeit in Wasser ist von Plathan, Krasnicki⁵⁹²⁾, Stanley⁵⁹³⁾ und Lumsden⁵⁹⁴⁾ bestimmt worden. Nach letzterem lösen sich in 100 g H₂O

t =	0,8°	15,5°	26,3°	39,7°	56,6°	76°	80,5°
gCa(CHO ₂) ₂	16,3	16,7	17,1	17,4	17,7	18,0	18,1.

Die Gefrierpunkte von Calciumformiatlösungen sind von Calame⁵⁹⁵⁾ bestimmt worden:

Mol in 1000 g H ₂ O	t°	i = $\frac{dt}{c \cdot 1,86}$
0,512	— 2,205	2,32
0,253	— 1,142	2,43
0,125	— 05,95	2,56
0,063	— 0,316	2,70.

Calciumformiat ist also weitgehend dissoziiert.

Das Refraktionsäquivalent für die A-Linie beträgt nach Kannonikow⁵⁹⁶⁾

$$R_a = 34,71 \quad R_A = 33,35.$$

Calciumacetat, Ca(C₂H₃O₂)₂, kristallisiert aus heißen Lösungen in kleinen dünnen Nadeln mit 1 Mol. H₂O, in der Kälte mit 2 Mol. H₂O. Es ist in Alkohol schwer, in Wasser leicht löslich. Die Löslichkeitskurve weist am Umwandlungspunkt der beiden Hydrate einen Knick auf, und zwar bei 84° (Lumsden⁵⁹⁷⁾). Nach diesem lösen sich in 100 g H₂O wasserfreies Salz bei

0°	37,40 g	60°	32,70
10°	35,98 "	70°	32,98
20°	34,73 "	80°	33,50
30°	33,82 "	84°	33,80
40°	33,22 "	85°	32,85
		90°	31,01
50°	32,32 "	100°	29,65.

Krasnicki⁵⁹⁸⁾ hatte die Löslichkeitskurve nur bis 80° verfolgt und daher keinen Knick beobachtet.

Die Dichte von Calciumacetatlösungen beträgt nach Franz⁵⁹⁹⁾ bei 17,5°

% $\text{Ca}(\text{C}_2\text{H}_3\text{O}_2)_2$	5	10	15	20	25	30
d	1,033	1,049	1,067	1,087	1,113	1,143.

Die Gefrierpunktserniedrigungen sind von Calame⁵⁹⁵⁾ gemessen worden.

Mol in 100 g H_2O	dt^0	$i = \frac{dt}{c \cdot 1,86}$	i ber.
0,503	2,320	2,48	1,66
0,250	1,145	2,46	1,88
0,125	0,585	2,52	2,18
0,063	0,315	2,68	2,38.

Die in der letzten Spalte aufgeführten Werte sind aus den Leitfähigkeitsbestimmungen von Mac Gregory⁶⁰⁰⁾ berechnet worden. Aus diesen ergaben sich nämlich nach Kohlrausch und Holborn⁶⁰¹⁾ folgende Werte für das Äquivalentleitvermögen Λ bei 18° in reziproken Ohm

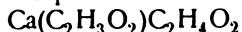
c	Λ	c	Λ
0,0001	82,3	0,03	64,8
0,0002	81,7	0,05	60,3
0,0005	80,7	0,1	54,0
0,001	79,6	0,2	46,9
0,002	78,2	0,3	42,4
0,005	75,0	0,5	36,3
0,01	71,9	1,0	26,3
0,02	67,9		

Die aus den Leitfähigkeiten berechneten Werte für i sind durchweg viel kleiner als die nach der osmotischen Methode gefundenen. Die Ursache dieser Differenz ist unbekannt; sie kann nicht durch das Auftreten einer stufenweisen Dissoziation gemäß der Gleichung



erklärt werden, da diese Annahme im Gegenteil den aus den Leitfähigkeiten berechneten Dissoziationsgrad zu groß erscheinen lassen würde.

Calciumacetat bildet mit Essigsäure und Calciumnitrat kristallisierte Doppelverbindungen. Ein saures amorphes Acetat



entsteht beim Behandeln von festem Kalk mit konzentrierter Essigsäure (Colson⁶⁰²⁾).

Calciumoxalat, CaC_2O_4 , kristallisiert aus sehr verdünnten Lösungen in der Kälte mit 3 Mol H_2O , bei Zimmertemperatur immer mit 1 Mol H_2O , in monoklinen Kristallen. Ihre Dichte beträgt nach Schröder⁶⁰³⁾ 2,200. Das Kristallwasser wird erst bei 200° vollständig abgespalten; beim Glühen zerfällt das Salz glatt in Calciumcarbonat und Kohlenoxyd. Es ist in Wasser sehr schwer löslich und dient daher zur quantitativen Bestimmung des Calciums. Seine Löslichkeit wurde von Kohlrausch und Rose⁶⁰⁴⁾⁵³⁾ aus dem elektrischen Leitvermögen der gesättigten Lösung bestimmt. Dieses beträgt in reziproken Ohm bei

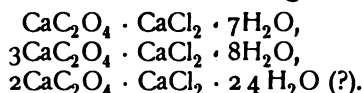
t =	9,32°	17,35°	26,30°
$\alpha \cdot 10^6 =$	7,01	9,50	13,18.

Die Aufhebung der Übersättigung geht sehr langsam vor sich. Die Löslichkeit berechnet sich daraus zu $0,0056 \text{ g} = 0,043 \text{ Millimol}$ im Liter. Dieser Wert ist viel geringer als der (siehe unten) von Herz und Muhs gefundene. Auch in verdünnter Essigsäure ist die Löslichkeit entsprechend der größeren Stärke der Oxalsäure gegenüber der Essigsäure sehr gering. In konzentrierter beträgt sie nach Herz und Muhs⁶⁰⁵⁾ bei $26-27^{\circ}$

in Wasser	0,034 g	$\text{CaC}_2\text{O}_4 \cdot \text{H}_2\text{O}$
in 0,58 n-Essigsäure	0,096 "	" "
in 2,89 " "	0,116 "	" "
in 5,79 " "	0,128 "	" "

In 16,25 n Essigsäure scheint sich eine kolloidale Lösung zu bilden.

Auch in Lösungen von Magnesium- und Zinkchlorid ist die Löslichkeit größer als in reinem Wasser, wahrscheinlich infolge der Bildung komplexer Oxalate. Daß sich solche auch mit Calciumchlorid bilden, wird durch die Existenz folgender fester kristallisierter Verbindungen bewiesen (Fritzsche⁶⁰⁶⁾):



Calciumtartrat, $\text{Ca}_4\text{H}_4\text{O}_6$, kristallisiert in rhombischen Kristallen mit 4 Mol. H_2O .⁶⁰⁷⁾ In der Natur kommt es in Weintrauben vor, ferner entsteht es beim Gipsen des Mostes. Es ist in Wasser schwer löslich, löslicher in Essigsäure infolge der Bildung von Hydrotartrat. Nach Herz und Muhs⁶⁰⁸⁾ lösen sich bei $26-27^{\circ}$ pro 1000 ccm

in Wasser	0,435 g
" 0,57 n-Essigsäure	2,164 "
" 1,425 " "	3,273 "
" 2,85 " "	3,940 "
" 3,80 " "	4,089 "
" 5,70 " "	3,689 "
" 10,09 " "	2,321 "
" 16,51 " "	0,674 "

Die gelöste Menge bedeuten g Salz, welche bei 70° getrocknet sind. Welcher Kristallwassergehalt denselben entspricht, wird von den Verff. nicht angegeben.

Die Löslichkeit des Calciumtartrats ist in kalter Natron- und Kalilauge größer als in Wasser, doch fällt es beim Kochen aus diesen Lösungen aus.

Von komplexen Verbindungen des Calciums mit organischen Basen ist nur eine Pyridinverbindung bekannt. Nach Lang⁶⁰⁹⁾ nimmt wasserfreies Chlorcalcium 3 Mol Pyridin unter heftiger Wärmeentwicklung auf und zerfällt hierbei in ein weißes lockeres Pulver. Die Analyse desselben ergab:

Cl gef.	22,1	statt ber.	20,4	Proz.
Pyr. "	66,3	" "	68,1	"

Literatur.

- 1) Gilb. Ann. **32**, 369 (1808).
- 2) Journ. prakt. Chem. **19**, 249 (1840); **22**, 383, 1841. [107 (1855).
- 3) Pogg. Ann. **91**, 623 (1854); Ann. d. Chem. u. Pharm. **93**, 277 (1855); **94**,
- 4) Ann. d. Chem. **183**, 367 (1876).
- 5) C. r. de l'Acad. des sciences **126**, 1753, 1898.
- 6) Zeitschr. f. Elektrochemie **8**, 757, 1902.
- 7) Ber. d. dtsh. chem. Ges. **35**, 3612, 1902.
- 8) Zeitschr. f. Elektrochemie **8**, 861, 1902.
- 9) D. R.-P. 144777.
- 10) Siehe Rathenau, Z. f. Elektrochemie **10**, 508, 1904.
- 11) Journ. Amer. Chem. Soc. **1903**, 873.
- 12) Zeitschr. f. Elektrochemie **8**, 938, 1902.
- 13) Elektrochem. Ind. **1**, 417, 1903.
- 14) Anh. d. Chem. u. Pharm. **108**, 20, 1858.
- 15) Chem. News **9**, 940, 1864.
- 16) Ann. d. Chim. u. Pharm. **108**, 128; C. r. **47**, 575, 1858.
- 17) Ann. d. Chim. u. Pharm. **111**, 104, 1859; **115**, 355, 1860; C. r. **48**, 440; **50**, 547.
- 18) Ber. d. dtsh. chem. Ges. **23**, 122 (1890).
- 19) C. r. **127**, 584, 1898.
- 19a) Ber. d. dtsh. chem. Ges. **37**, 4733, 1904.
- 20) Journ. f. prakt. Chem. [2], **31**, 321, 1885.
- 21) Ostwald, Grundlinien 1900, 519.
- 22) Ztschr. physik. Chem. **40**, 689, 1902.
- 23) Metallurgie, **1**, 20, 1904.
- 24) Zeitschr. f. physik. Chem. **42**, 581, 1903.
- 25) Journ. Chem. Soc. **81**, 456, 1902; Ztschr. physik. Chem. **40**, 751, 1902.
- 26) Sitz.-Ber. Berl. Akad. d. Wiss. **1904**, 1215.
- 27) Ztschr. f. angew. Chem. 1904, 769.
- 28) Titrimethoden 1896, 238.
- 29) Ztschr. f. anorgan. Chem. **29**, 145, 1902.
- 30) Arch. d. Pharm. **242**, 450, 1904.
- 31) Z. analyt. Chem. **43**, 205, 1904.
- 32) l. c. (28) p. 575.
- 33) C. r. de l'Acad. des sciences **137**, 258, 1903.
- 34) Ztschr. f. anal. Chem. **32**, 189, 1893.
- 35) Journ. Soc. Chem. Ind. **16**, 113.
- 36) Bull. Soc. Chim. [3] **13**, 678, 1895.
- 37) Z. f. anorgan. Chem. **38**, 198, 1904.
- 38) Math. Naturw. Ber. Ungarn **14**, 180, 1898. [de la soc. chim. [3] **21**, 876.
- 39) C. r. de l'Acad. des sciences **127**, 29, 1898; Ann. chim. phys. [7] **18**, 289; Bull.
- 40) C. r. de l'Acad. des sciences **134**, 1108, 1902.
- 41) C. r. de l'Acad. des sciences **127**, 497, 1898.
- 42) Kenngott, Sitz.-Ber. d. Wien. Akad. **10**, 295, 1853.
- 43) Lieb. Ann. Suppl. III, **1**, 289, 1867.
- 44) Pogg. Ann. **53**, 60, 243, 1841.
- 45) Ann. d. Chim. [6] **3**, 5, 1884.
- 46) Vgl. Landolt-Börnstein, Physik.-Chem. Tabellen.

- 47) J. pr. Chem. [2] **7**, 63, 1873.
- 48) Atti R. Accad. dei Linc. [5] **12**, II, 420, 1903.
- 49) Kristall. Fluorverb. Göttingen 1863, 15.
- 50) C. r. de l'Acad. des sciences **137**, 1251, 1903.
- 51) Ber. d. dtsh. chem. Ges. **35**, 3616, 1902; **36**, 2352, 1903.
- 52) Ann. chim. phys. [3] **47**, 17, 1856.
- 53) Ztschr. f. physik. Chem. **12**, 234, 1893; **50**, 356, 1904.
- 54) Jahr.-Ber. 1849, 611.
- 55) Ann. d. chim. et de phys. [6] **3**, 5, 1884.
- 56) C. r. de l'Acad. des sciences **126**, 1753, 1873.
- 57) Rech. **2**, 143.
- 58) Pogg. Ann. **112**, 612, 1861.
- 59) Pogg. Ann. **110**, 162, 1860.
- 60) C. r. de l'Acad. d. sc. **70**, 684, 1870.
- 61) Wien. Sitzungsber. **72**, 667, 1875.
- 62) Ztschr. f. physik. Ch. **4**, 31, 1889.
- 63) Ann. d. Pharm. **29**, 31.
- 64) C. r. de l'Acad. d. Sc. **92**, 242, 1881.
- 65) C. r. de l'Acad. d. Sc. **98**, 1158, 1884.
- 66) Jahresber. d. Chem. 1847/48.
- 67) Jahresber. d. Chem. 1855.
- 68) Journ. Chem. Soc. **45** 409, 1884.
- 69) l. c.
- 70) C. r. de l'Acad. d. Sciences **108**, 565, 801, 1889.
- 71) C. r. de l'Acad. d. Sciences **108**, 744, 1889.
- 72) Zeitschr. f. physik. Chem. **39**, 453, 1902.
- 73) Constants of nature, Washington 1888.
- 74) Dichtigkeitsmessungen, Heidelberg 1873.
- 75) Lieb. Ann. d. Chem. **174**, 249, 1874.
- 76) Journ. Chem. Soc. **33**, 273, 1878.
- 77) Ber. d. dtsh. Chem. Ges. **35**, 3616, 1902.
- 78) Wied. Ann. **55**, 95, 1895.
- 79) Pogg. Ann. **138**, 141, 1869.
- 80) Journ. prakt. Chem. **83**, 485, 1861.
- 81) Thermochemische Untersuchungen Bd. III, 506, 1883.
- 82) Ber. d. dtsh. chem. Ges. **27**, 67, 1894.
- 83) l. c.
- 84) Pogg. Ann. **99**, 435.
- 85) Scheik. Verhandel., Rotterdam 1864, 105; vgl. Gmelin-Kraut **2**, I, 397, 1886.
- 86) Ann. Chim. Phys. [3] **8**, 468, 1843.
- 87) C. r. de l'Acad. des Sciences **98**, 1433, 1884; Ann. d. chim. **712**, 503, 1894.
- 88) C. r. de l'Acad. des Sciences **92**, 242, 1881.
- 89) Ann. d. Chem. u. Pharm. **110**, 71, 1859.
- 90) Pogg. Ann. **99**, 444, 1857; **103**, 65, 1858; **105**, 360, 1858.
- 91) Z. f. anal. Chem. **8**, 283, 1869.
- 92) Wied. Ann. **6**, 38, 1879.
- 93) Z. f. physik. Chem. **3**, 425, 1888.
- 94) Z. f. physik. Chem. **16**, 667, 1895.
- 95) Ber. d. dtsh. Chem. Ges. **27**, 1379, 1894.
- 96) C. r. de l'Acad. des Sciences **92**, 1158, 1881.
- 97) C. r. de l'Acad. des Sciences **134**, 1206, 1902.
- 98) Zeitschr. f. physik. Chemie **21**, 545, 1896.
- 99) Wied. Ann. **27**, 624.
- 100) Pogg. Ann. **103**, 529, 1858; **110**, 564, 1860.
- 101) Wied. Ann. **24**, 523, 1885; Zeitschr. f. physik. Chemie **2**, 42, 1888.
- 102) Wied. Ann. **31**, 145, 1887.
- 103) Wied. Ann. **82**, 616, 1897.
- 104) Zeitschr. f. physik. Chemie **40**, 185, 1902.
- 105) Zeitschr. f. analyt. Chemie **26**, 413, 1887.
- 106) Zeitschr. f. physik. Chemie **14**, 272, 1893.

- 107) Ann. chem. phys. [4] **25**, 502, 1872.
- 108) cf. Fig. 1.
- 109) Ber. dtsch. chem. Ges. **25**, 1590; **26**, 2766, 1893.
- 110) Ztschr. f. physik. Chem. **2**, 490, 1888.
- 111) Amer. Chem. Journ. **23**, 89, 1900. — Ztschr. phys. Chem. **46**, 244.
- 112) Wied. Ann. **60**, 523, 1897.
- 113) Ztschr. f. physik. Chem. **5**, 30, 1890.
- 114) Arch. Musée Teyler **2**, 153, 1889; C. Landolt-Börnstein, 2. Aufl., S. 441.
- 115) Journ. Chem. Soc. **59**, 590, 1891.
- 116) Arch. néerl. [2], **5**, 202, 1900.
- 117) Z. physik. Chem. **49**, 385, 1904.
- 118) Pogg. Ann. [2], **30**, 545, 1867.
- 119) Kohlrausch u. Holborn, Leitverm. d. Elektrolyse. 1898, S. 145.
- 120) Wied. Ann. **51**, 126, 1894.
- 121) Amer. Chem. Journ. **23**, 89, 1900.
- 122) Z. physik. Chem. **49**, 385, 1904.
- 123) Pogg. Ann. **108**, 1, 1856.
- 124) Pogg. Ann. **103**, 474, 1858.
- 125) Wied. Ann. **46**, 29, 1892; Ztschr. f. physik. Chem. **27**, 1, 1898, **28**, 439.
- 126) Ztschr. f. physik. Chem. **40**, 689, 1902.
- 127) Ztschr. f. physik. Chem. **40**, 742, 1902.
- 128) Journ. Chem. Soc. **81**, 456, 1902.
- 129) Ztschr. f. Elektrochemie **9**, 171, 1903.
- 130) Ztschr. f. Elektrochemie **1**, 480, 1893/94; **5**, 1, 1898/99.
- 131) Ztschr. f. Elektrochemie **4**, 464, 1897/98.
- 132) J. Soc. Chem. Ind. **19**, 977, 1900.
- 133) Borchers u. Stockem, Ztschr. f. Elektrochem. **8**, 757, 1902.
- 134) Ber. Wien. Akad. [2], **83**, 333.
- 135) Diss. Halle 1894.
- 136) Diss. Halle 1892; Wied. Ann. **52**, 328, 1894.
- 137) Ztschr. f. physik. Chem. **14**, 272, 1894.
- 138) Schweigg. Journ. **29**, 155.
- 139) C. r. de l'Acad. des sciences **91**, 576, 1880. [1884.]
- 140) C. r. de l'Acad. des sciences **92**, 1452; Ann. de chim. et d. phys. [6], **3**, 66,
- 141) Ztschr. f. anorg. Chem. **3**, 34, 1893.
- 142) Chem. News **30**, 280.
- 143) Dingl. Polyt. Journ. 1880, **237**, 63.
- 144) Ann. d. chim. [6], **3**, 126.
- 145) C. r. de l'Acad. des sciences **119**, 371, 1894.
- 146) Arch. d. Pharm. [2], **131**, 216.
- 147) Ann. der Chem. u. Pharm. **128**, 237, 1863.
- 148) Ann. der Chem. u. Pharm. **121**, 225, 1862.
- 149) Zeitschr. f. Chem. 1863, 291.
- 150) Atomgewichte 160.
- 151) Journ. Chem. Soc. **29**, 489, 1876; **33**, 273, 1878.
- 152) Ber. d. d. Chem. Ges. **35**, 3616, 1902; **36**, 2357, 1903.
- 153) Journ. Chem. Soc. **37**, 125, 1880.
- 154) Beziehungen zwischen Dichte u. Zusammensetzung. Leipzig 1860.
- 155) Journ. russ. phys. Chem. Ges. 1895/97, 460.
- 156) Pogg. Ann. **103**, 65, 1858.
- 157) Ann. d. phys. et de chim. [7], **2**, 535, 1894.
- 158) Zeitschr. f. analyt. Chem. **8**, 285, 1869.
- 159) Journ. of. Chem. Soc. **59**, 589, 1891.
- 160) C. r. de l'Acad. des sciences **134**, 1208, 1902.
- 161) Wied. Ann. **24**, 527, 1883.
- 162) Ref. Ztschr. f. phys. Chem. **2**, 45, 1888.
- 163) Amer. Chem. Journ. **23**, 89, 1900.
- 164) W. Biltz, Zeitschr. f. physik. Chem. **40**, 185, 1902.
- 165) Z. physik. Chem. **49**, 385, 1904.
- 166) Z. f. Elektrochem. **6**, 149, 173, 1879.

- 167) Journ. de phys. [6], **1**, 301, 1895.
- 168) C. r. d. l'Acad. des sciences **79**, 37; **122**, 812, 1896.
- 169) Ann. d. chim. et de phys. [3] **54**, 363, 1858.
- 170) Gilberts Ann. **49**, 237, 1815.
- 171) Journ. Chem. Soc. **33**, 273, 1878; **37**, 125, 1880.
- 172) Ber. d. dtsh. chem. Ges. **35**, 3616, 1902; **36**, 2357.
- 173) C. r. de l'Acad. des sciences **122**, 86, 1896.
- 174) Journ. russ. phys.-chem. Ges. 1896/97, 460.
- 175) Pogg. Ann. **103**, 65, 1858.
- 176) Ann. de chim. et de phys. **7** [2], 535, 1894. [65, 1860.
- 177) Ztschr. f. anal. Chem. **8**, 285, 1869, nach Vers. v. Kremers, Pogg. Ann. **111**,
- 178) C. r. de l'Acad. des sciences **134**, 1208, 1902.
- 178a) Ztschr. phys. Chem. **49**, 385, 1904.
- 179) l. c.
- 180) Zeitschr. f. anorgan. Chem. **30**, 113, 1902.
- 181) Journ. f. prakt. Chem. **68**, 257, 1856.
- 182) Ann. d. chim. et de phys. [5] **26**, 496.
- 183) Journ. f. prakt. Chem. [2] **16**, 205, 1877.
- 184) Journ. f. prakt. Chem. [2] **18**, 425, 1878.
- 185) C. r. de l'Acad. des sciences **102**, 1243, 1886.
- 186) Zeitschr. d. Ver. f. Rübenzuck.-Ind. 1897, 881.
- 187) C. r. de l'Acad. des sciences **138**, 1496, 1904.
- 188) Pogg. Ann. Jubelband 1874, 452.
- 189) C. r. de l'Acad. des sciences **134**, 136, 1902.
- 190) Phil. Mag. **14**, 238, 1803; Ann. de Chim. **45**, 113, 1803.
- 191) C. r. de l'Acad. des sciences **132**, 1117, 1901.
- 192) Ann. de chim. et de phys. [7] **4**, 136, 1895.
- 193) Wied. Ann. **2**, 466, 1877; **4**, 277, 1878; Ztschr. f. anorg. Chem. **10**, 415, 1895.
- 194) C. r. de l'Acad. des sciences **138**, 1602, 1904.
- 195) C. r. de l'Acad. des sciences **128**, 939, 1899.
- 196) Proceed. Roy. Soc. **32**, 208, 1881.
- 197) Journ. Chem. Soc. **63**, 821; **65**, 1; Chem. News **67**, 238, 1893; **68**, 266; **71**, 450, 1895.
- 198) C. r. de l'Acad. des sciences **128**, 384, 1899.
- 199) Bull. de la société de l'Encouragement etc. 1890.
- 200) Ztschr. f. anorg. Chem. **21**, 28, 1899.
- 201) Rend. della Accad. Linc. [5] **1**, 351, 1896.
- 202) Ztschr. d. Ver. f. Rübenzuck.-Ind. 820, 1897.
- 203) C. r. de l'Acad. des sciences **102**, 1243, 1886.
- 204) Ann. de chim. et de phys. [3] **21**, 415, 1847.
- 205) Ber. d. Berl. Akad. d. Wiss. 582, 1860.
- 206) l. c. (202) 817.
- 207) Chem. Ztg. **22**, 38, 1898.
- 208) C. r. de l'Acad. des sciences **86**, 333, 1878.
- 209) Pharm. Journ. a. Transact. [3] **14**, 505.
- 210) l. c.
- 211) Journ. of Soc. Chem. Ind. **20**, 223, 1901.
- 212) Rep. Pharm. **1**, 182.
- 213) Bull. soc. chim. [3] **29**, 936, 1903.
- 214) Bull. de la soc. chim. [2] **24**, 102, 1875.
- 215) Journ. of Soc. Chem. Ind. **16**, 417, 1897.
- 216) Bull. de la soc. chim. [3] **21**, 773, 1899. [342, 1851.
- 217) Ann. de chim. et de phys. [3] **54**, 383, 1858; Ann. d. Chem. u. Pharm. **80**,
- 218) Ann. de chim. et de phys. [4] **6**, 203, 1865.
- 219) Bull. de la soc. chim. [2] **17**, 155, 1872.
- 220) Ann. de chim. et de phys. [3] **46**, 173, 1856.
- 221) Journ. f. prakt. Chem. **33**, 352, 1886, umgerechnet aus den Originalzahlen nach (119).
- 222) Zeitschr. f. analyt. Chem. **22**, 1872.
- 223) Ann. de chim. et de phys. **8**, 313.
- 224) Journ. of Chem. Soc. [2] **11**, 808, 1873.
- 225) Ann. de Chem. **192**, 257, 1878.

- 226) C. r. de l'Acad. des sciences **130**, 1250, 1308, 1388, 1900.
- 227) Arch. d. Pharm. **240**, 437, 1902.
- 228) D.R.P. 128617, 132706 v. 1902.
- 229) Schweigg. Journ. **34**, 12.
- 230) Ann. chim. phys. [3] **22**, 244, 1848.
- 231) Pogg. Ann. **133**, 228, 1868.
- 232) Bull. d. l. soc. chim. [2] **1**, 346, 1864.
- 233) Ann. chim. phys. [4] **1**, 412, 1864.
- 234) Pogg. Ann. **112**, 194, 1861.
- 235) Ann. de Chem. **67**, 95, 1848.
- 236) Pogg. Ann. **82**, 135, 1851.
- 237) Ber. d. dtsch. chem. Ges. **7**, 1295, 1874.
- 238) Ann. chim. phys. **22**, 233; **24**, 275, 1823.
- 239) Vgl. Dammer, Hdbch d. techn. Chem. **1**, 389, 1895.
- 240) Rec. trav. chim. Pays-Bas **20**, 441, 1902; **22**, 133, 1903. cf. auch Lenard und Klatt, Ann. d. Phys. [4] **15**, 225, 1904.
- 241) Ann. chim. phys. **42**, 19, 1829.
- 242) C. r. de l'Acad. des sciences **127**, 408, 1898.
- 243) Centralbl. f. Mineral., Geol. u. Palaeontologie 1900, 178.
- 244) Ann. chim. phys. [4] **7**, 126, 1866.
- 245) Ann. chim. phys. [4] **16**, 202, 1869.
- 246) Ann. chim. phys. [5] **22**, 5, 1881.
- 247) C. r. de l'Acad. des sciences **62**, 108, 1866.
- 248) Journ. of Chem. Soc. **45**, 270, 1884.
- 249) D.R.P. 28067.
- 250) Chem. News **49**, 258, 1884.
- 251) Ann. chim. phys. **14**, 353.
- 252) Pogg. Ann. **117**, 77, 1862.
- 253) Schweigg. Journ. **16**, 397.
- 254) Schweigg. Journ. **22**, 43.
- 255) Pogg. Ann. **55**, 433.
- 256) Pogg. Ann. **135**, 658, 1868.
- 257) C. r. de l'Acad. des sciences **102**, 1469, 1886.
- 258) Ann. d. chim. et de phys. [6] **29**, 215, 1893.
- 259) C. r. de l'Acad. des sciences **127**, 497, 1898; Bull. d. l. soc. chim. [3] **21**, 881.
- 260) C. r. de l'Acad. des sciences **127**, 685, 1898.
- 261) Zeitschr. anorg. Chem. **35**, 93, 1903.
- 262) C. r. de l'Acad. des sciences **133**, 715, 771, 1902.
- 263) Ann. d. chim. et de phys. **14**, 12, 1845.
- 264) C. r. de l'Acad. des sciences **128**, 787, 1899.
- 265) C. r. de l'Acad. des sciences **128**, 883, 1899.
- 266) C. r. de l'Acad. des sciences **127**, 584, 1898. [25, 470, 1902.
- 267) C. r. de l'Acad. des sciences **128**, 95, 1899. — Ann. de chim. et de phys. [7]
- 268) Lieb. Ann. **23**, 144, 1836.
- 269) Ann. d. Chem. u. Pharm. **125**, 120, 1863.
- 270) Ber. d. deutsch. chem. Ges. **23**, 120, 1890.
- 271) Elektrometallurgie, Braunschweig 1896. 2. Aufl. 84.
- 272) C. r. de l'Acad. des sciences **118**, 501, 1894. [soc. chim. [3] **21**, 921.
- 273) C. r. de l'Acad. des sciences **126**, 302, 1898; **127**, 917; **134**, 136, 1902; Bull. d. l.
- 274) Ztschr. f. Elektrochem. **8**, 397, 1902.
- 275) Proc. of the Chem. Soc. **118**, 15, 1893.
- 276) D.R.P. 105631.
- 277) Zeitschr. f. Elektrochem. **8**, 349, 1902.
- 278) cf. Liebetanz, Calciumcarbid, Leipzig 1898; ferner Danneel, Handb. der Elektroch. 229 und Wangemann, Chem. Ind. **27**, 203 ff., 1904.
- 279) C. r. de l'Acad. des sciences **138**, 243, 1904.
- 280) Ibid. **138**, 1194.
- 281) Ibid. **138**, 904.
- 282) C. r. de l'Acad. des sciences **120**, 682, 1895.
- 283) Zeitschr. f. anorg. Chem. **31**, 136, 1902.

- 284) Bredig u. Usoff, Zeitschr. f. Elektrochem. **3**, 116, 1896.
- 285) Bull. d. l. soc. chim. **19**, 870, 1898.
- 286) Chem. News **75**, 2, 1897.
- 287) Acetylen **2**, 312, 1899.
- 288) Chem. Ztg. 1901, 1013; Zeitschr. f. Elektrochem. **8**, 772, 795, 939, 1902.
- 289) Chem. Ztg. 1903, 1060; Zeitschr. f. Elektrochem. **7**, 541 ff., 1901; **8**, 781.
- 290) Gaz. Chim. Ital. **29**, 509, 1899.
- 291) C. r. de l'Acad. des sciences **130**, 1026, 1899.
- 292) Zeitschr. f. Elektrochem. **8**, 833, 1902.
- 293) Zeitschr. f. Elektrochem. **9**, 699, 1903. [ibid. 658.]
- 294) Erlwein, Zeitschr. f. angew. Chem. 1903, 533; Frank ibid. 536, 659; Rothe
- 295) Zeitschr. f. angew. Chem. **15**, 543, 1902.
- 296) C. r. de l'Acad. des sciences **118**, 501, 1899.
- 297) Ann. d. Chem. **125**, 255; **127**, 257, 1863.
- 298) Bull. Soc. chim. [3] **17**, 793, 1897.
- 299) Amer. Chem. Journ. **18**, 319, 1896.
- 300) C. r. de l'Acad. des sciences **127**, 457, 1898.
- 301) C. r. de l'Acad. des sciences **127**, 584, 1898.
- 302) Ber. d. dtsh. chem. Ges. **35**, 1106, 1902.
- 303) Chem. News **82**, 149, 1900.
- 304) British Association 1900, 699.
- 305) C. r. de l'Acad. des sciences **125**, 129, 1897.
- 306) Ibid. **130**, 1026, 1899.
- 307) Chem. News **31**, 113; **32**, 21, 1875.
- 308) Journ. f. prakt. Chem. **65**, 512, 1902.
- 309) Dingl. Journ. **237**, 63, 1880.
- 310) Zeitschr. für angew. Chem. **14**, 3, 1901.
- 311) Zeitschr. für angew. Chem. **15**, 773, 1902.
- 312) Zeitschr. f. anorg. Chem. **2**, 311, 1892.
- 313) Ber. d. dtsh. chem. Ges. **20**, 1474, 1887.
- 314) Bull. de la Soc. chim. [2] **41**, 600, 1884. [Chem. **14**, 3, 1901.]
- 315) Eine Zusammenstellung der älteren Literatur siehe bei Ditz, Zeitschr. angew.
- 316) Ann. chim. phys. [2] **57**, 225, 1834.
- 317) Ibid. [3] **5**, 273, 1842.
- 318) Ann. d. Chem. u. Pharm. **118**, 317, 1861.
- 319) Jahr.-Ber. 1859, 133.
- 320) Zeitschr. f. angew. Chem. **3**, 25, 49, 105, 1901; **3**, 749, 1902.
- 321) Handb. d. Chem., deutsche Ausgabe 1861, I, 59.
- 322) Lunge u. Schaeppi, Dingl. Journ. **237**, 63, 1880; Lunge u. Naef, Ann. d. Chem. **219**, 129, 1883; Lunge u. Schoch, Ber. d. dtsh. chem. Ges. 1887, 1474; Lunge, Zeitschr. f. anorg. Chem. **2**, 311, 1892; **3**, 351, 1893.
- 323) Rec. des trav. des P. B. **11**, 76, 1891; Zeitschr. f. anorg. Chem. **3**, 186, 1893.
- 324) Jahr.-Ber. 1867, 192.
- 325) Dingl. Journ. **209**, 204, 1873.
- 326) Ibid. **2**, 21; **243**, 355, 1876.
- 327) Bull. de la soc. chim. [2] **41**, 600, 1884.
- 328) Ann. d. Ch. **214**, 325, 1882.
- 329) Journ. f. prakt. Ch. **65**, 512, 1902.
- 330) Zeitschr. f. angew. Chem. 1902, 773.
- 331) Grundlinien, Leipzig 1900, 527.
- 332) Chem. Ind. 1885, 343.
- 333) Journ. f. prakt. Chem. **59**, 76, 1899.
- 334) Ann. d. Chem. **134**, 64.
- 335) Zeitschr. f. angew. Chem. 1893, 226.
- 336) Zeitschr. f. Elektrochem. **8**, 921, 1902.
- 337) Journ. of Chem. Soc. **3**, 106, 1850.
- 338) Journ. of the Soc. of Chem. Ind. **4**, 722.
- 339) Journ. f. prakt. Chem. **30**, 224, 1843.
- 340) Ber. dtsh. chem. Ges. 1882, 1883.
- 341) Pogg. Ann. **32**, 98, 1841.

- 342) Ann. Min. [5] **12**, 65, 1857.
- 343) Pogg. Ann. **44**, 576, 1838.
- 344) Recherch. sur l'acide iodique, Paris 1870, 66.
- 345) Ann. de chim. et de phys. [3] **9**, 413, 1843,
- 346) Pogg. Ann. **134**, 405, 1868; **137**, 313, 1869.
- 347) Ann. der Chem. u. Pharm. **17**, 259, 1855.
- 348) Ann. de chim. et de phys. [3] **34**, 267, 1852.
- 349) C. r. de l'Acad. des sciences **135**, 647, 1902.
- 350) D. R.-P. 125207, 1904.
- 351) Ann. d. Chem. **50**, 274, 1844.
- 352) Ann. d. Chem. **106**, 328, 1858.
- 353) Bull. de la soc. chim. [3], **15**, 1247, 1897.
- 354) Journ. f. prakt. Chem. [2], **4**, 119, 1871.
- 355) Z. f. Elektrochem. **10**, 361, 1904.
- 356) Dingl. Journ. **202**, 52, 1871.
- 357) Ber. d. dtsh. chem. Ges. 1880, 651.
- 358) Ann. de chim. et de phys. **14**, 355.
- 359) Journ. chim. med. **9**, 150.
- 360) Journ. f. prakt. Chem. **38**, 48.
- 361) Verh. d. deutsch. wissenschaftl. Vereins zu Santiago vom 7. Oktbr. 1901.
- 362) van't Hoff u. Donnan, Sitzber. d. kgl. Akad. zu Berlin; van't Hoff und Armstrong, *ibid.* 1900, 559; van't Hoff, Hinrichsen u. Weigert, *ibid.* 1901, 570; van't Hoff u. Weigert, *ibid.* 1901, 1140; van't Hoff u. Just, *ibid.* 1903, 249; van't Hoff; Extr. des Arch. Néerl. [2]; **6**, 471; Ztschr. f. Elektrochem. 1902, 575; Zinn, Gips und Stahl, Vortrag. Berlin und München 1901. Zusammenfassung: Ztschr. f. phys. Chem. **45**, 257, 1903.
- 363) Ber. d. dtsh. chem. Ges. **35**, 4, 4252, 1902.
- 364) van't Hoff u. Weigert, l. c.
- 365) van't Hoff u. Armstrong, l. c.
- 366) Pogg. Ann. **127**, 161, 1866.
- 367) Pogg. Ann. **145**, 177, 1872.
- 368) Sitz.-Ber. Akad. Wiss. Berl. **17/18**, 269, 1900.
- 369) loc. cit. [1887, 8.
- 370) Recherches expérimentelles sur la constitution des mortiers hydrauliques
- 371) Chem. Ztg. **26**, 804, 1902; Ztschr. f. anorg. Chem. **35**, 194, 1903.
- 372) Ztschr. f. anorg. Chem. **31**, 437, 1902; *ibid.* **35**, 194, 332, 1903.
- 373) Z. anorg. Chem. **40**, 182, 1904.
- 374) Journ. russ. phys. Chem. Ges. **25**, 202; **26**, 170, 221; **27**, 265.
- 375) Loc. cit.
- 376) Das kleine Gipsbuch. Berlin 1901.
- 377) C. r. de l'Acad. des sciences **126**, 360; **553**, 1898.
- 378) Bull. d. l. soc. chim. [3], **29**, 169, 171, 1903.
- 379) Chem. Ind. **22**, 343.
- 380) Journ. russ. phys. Chem. Ges. **27**, 265.
- 381) Journ. f. prakt. Chem. **83**, 485.
- 382) C. r. **38**, 864, 1854; Journ. f. prakt. Chem. **62**, 238, 1854.
- 383) Ann. d. Chem. u. Pharm. **67**, 95, 1848.
- 384) Journ. of Chem. Soc. **47**, 94, 1885.
- 385) Prot. d. russ. phys.-chem. Ges. 1894. Nr. 3.
- 386) Ann. chim. phys. [5], **1**, 274, 1874.
- 387) Monatshefte d. Chem. **6**, 503, 1885.
- 388) Ztschr. f. physik. Chem. **37**, 383, 1901.
- 389) Ztschr. f. physik. Chem. **46**, 521, 1903.
- 390) Ber. d. dtsh. chem. Ges. **10**, 330, 1877.
- 391) Journ. f. prakt. Chem. [2], **35**, 43, 1887.
- 392) Proceed. Roy. Soc. **38**, 335, 1885.
- 393) Journ. of Chem. Soc. Ind. **4**, 31, 1883.
- 394) C. r. de l'Acad. des sciences **126**, 694, 1898.
- 395) Bull. soc. chim. (3) **29**, 167, 1903.
- 396) *Ibid.* **29**, 372.

- 397) Journ. of phys. Chem. **5**, 556, 1901.
- 398) Journ. of phys. Chem. **5**, 643.
- 399) Journ. Phys. Chem. **8**, 493, 1904.
- 400) Arch. f. Kemi 1904, 143.
- 401) Journ. f. prakt. Chem. [2], **29**, 52, 1884.
- 402) C. r. de l'Acad. des sciences **46**, 1206, 1858.
- 403) Ztschr. f. analyt. Chem. **9**, 34, 1870.
- 404) Journ. Phys. Chem. **7**, 571, 1903.
- 405) Ann. d. Chem. [2], **150**, 193, 1869.
- 406) Ztschr. f. phys. Chem. **12**, 234, 1893; **44**, 229, 1903.
- 407) Zeitschr. phys. chem. **46**, 546, 1903.
- 408) Ztschr. f. phys. Chem. **42**, 577, 1902; Journ. Amer. Chem. Soc. **24**, 667.
- 409) Journ. Chem. Soc. **81**, 456, 1902.
- 410) Lieb. Ann. **46**, 241, 1843.
- 411) Pogg. Ann. **133**, 137, 1868.
- 412) Journ. f. prakt. Chem. **72**, 291, 1857.
- 413) Sitz.-Ber. der kgl. Akad. d. Wiss. z. Berl. 1899, 810.
- 414) Pogg. Ann. **93**, 594, 1854.
- 415) Zeitschr. f. Chem. [2] **5**, 324.
- 416) Dingl. polyt. Journ. **196**, 357, 1870.
- 417) Ber. d. deutsch. Chem. Ges. **9**, 1358, 1876.
- 418) C. r. de l'Acad. d. sciences **84**, 86, 1877.
- 419) Sitz.-Ber. d. kgl. Akad. d. Wiss. z. Berl. 1900, 1142.
- 420) Journ. Phys. Chim. **8**, 493, 1904.
- 421) Ber. d. deutsch. Chem. Ges. 1878, 1968.
- 422) Sitz.-Ber. d. kgl. Akad. d. Wiss. z. Berl. 1900, 1084.
- 423) Pogg. Ann. **139**, 224, 1870.
- 424) Bull. de la soc. chim. [2] **20**, 436, 1873.
- 425) Wien. Akad. Ber. [2] **66**, 17, 1872.
- 426) Ann. d. chim. et de phys. [6] **18**, 551, 1889.
- 427) Ztschr. f. anorg. Chem. **16**, 424, 1898.
- 428) Ztschr. f. anorg. Chem. **16**, 463, 1898.
- 429) Ber. d. deutsch. chem. Ges. 1876, 252.
- 430) Journ. of Chem. Soc. **61**, 943, 1892. — Chem. News **74**, 269, 1896.
- 431) Journ. of Chem. Soc. **69**, 1620, 1896.
- 432) Ztschr. f. anorg. Chem. **35**, 385, 1903.
- 433) Journ. of Chem. Soc. **33**, 273, 1878.
- 434) Constants of nature, Washington 1888.
- 435) Ref. Zeitschr. f. physik. Chem. **2**, 761, 1888, cf. CaCl_2 .
- 436) Zeitschr. f. Kristallographie **21**, 257, 1889. [14, 905, 1842.
- 437) Marignac, Ann. Min. [5] **9**, 28, 1856. — Millon, C. r. de l'Acad. des sciences
- 438) Zitiert nach Gmelin-Kraut.
- 439) Mulder, Scheikund. Verh. Rotterdam 1864, 109.
- 440) Zeitschr. f. analyt. Chemie **27**, 282, 1888.
- 441) Journ. f. prakt. Chem. [2] **5**, 274, 1872.
- 442) Pogg. Ann. **110**, 387, 1860.
- 443) Chem. News **72**, 201, 1895.
- 444) Ber. d. deutsch. chem. Ges. **19**, 2874, 1886.
- 445) Zeitschr. f. anal. Chem. **26**, 413, 1887.
- 446) Zeitschr. f. physik. Chem. **2**, 496, 1888.
- 447) Pogg. Ann. **114**, 63, 1861.
- 448) Z. physik. Chem. **94**, 385, 1904.
- 449) Diss. Paris 1881, Wied. Ann. Beibl. **5**, 579.
- 450) Zeitschr. f. phys. Chem. **5**, 31, 1890.
- 451) Kohlrausch und Holborn, Leitverm. d. Elektrolyte. 1898.
- 452) Ann. de chim. et de phys. [5] **1**, 270, 1874.
- 453) Diss. Halle 1892.
- 454) Diss. Halle 1894.
- 455) Pogg. Ann. **9**, 364, 1827.
- 456) Ann. d. Pharm. **43**, 322.

- 457) Zeitschr. f. Chem. 1860, 437.
- 458) Arch. d. Pharm. [2] **122**, 237, 1865.
- 459) Zeitschr. Phys. Math. **3**, 24, 1858.
- 460) Ber. d. kgl. preuß. Akad. der Wiss. 1872, 427.
- 461) Pogg. Ann. **9**, 26, 1827.
- 462) Ber. d. deutsch. chem. Ges. **1**, 186, 1886.
- 463) Ann. de chim. et de phys. [3] **7**, 212.
- 464) Ann. d. Chem. **194**, 36, 1878.
- 465) Diss., Helsingfors 1899.
- 466) Landwirtsch. Versuchsstationen **38**, 197, 401; **42**, 439; **45**, 161.
- 467) l. c. (465).
- 468) C. r. de l'Acad. des sciences **97**, 1480, 1883.
- 469) Erlenmeyer, Ber. der dtsh. chem. Ges. 1876, 1839; Wattenberg, Bestimmungen der Phosphorsäure in Superphosphaten 1870.
- 470) C. r. de l'Acad. des sciences **118**, 738, 1894.
- 471) C. r. de l'Acad. des sciences **134**, 112, 1901.
- 472) Jahresber. der Chem. 1862, 131.
- 473) Journ. Chem. Soc. [2], **4**, 296, 1866; **11**, 983, 1873.
- 474) Landwirtschaftl. Jahrb. **12**, 160.
- 475) Bull. de la soc. chim. **19**, 372, 1898.
- 476) C. r. de l'Acad. des sciences **131**, 149, 1899.
- 477) Ref. J. Chem. Soc. **72**, 260, 1897.
- 478) Ann. chim. phys. [6] **11**, 350, 1887.
- 479) ibid. [5] **9**, 33, 1876.
- 480) Chem. News **24**, 306, 1871.
- 481) Journ. Amer. Chem. Soc. **26**, 885, 1904.
- 482) Ztschr. f. Chem. 1871, 137.
- 483) C. r. de l'Acad. des sciences **66**, 1327.
- 484) C. r. de l'Acad. des sciences **114**, 414; Bull. de la Soc. Chim. [3], **7**, 165, 1892.
- 485) Bull. de la soc. chim. **35**, 358, 1881.
- 486) C. r. d. l'Acad. d. sciences **23**, 1018, 1846.
- 487) ibid. **23**, 1019, 1846.
- 488) Journ. prakt. Chem. [2], **4**, 123.
- 489) Schweigg. Journ. **67**, 30.
- 490) Ber. d. dtsh. chem. Ges. 1882, 1441.
- 491) Ann. d. Chem. u. Pharm. **61**, 128, 1847.
- 492) Jahresber. d. Chem. 1847—48, 341.
- 493) Ber. d. dtsh. chem. Ges. 1880, 1267.
- 494) Ber. d. dtsh. chem. Ges. 1881, 191.
- 495) Bull. de la soc. chim. [2], **135**, 548, 1881.
- 496) Gaz. chim. ital. **31**, 1875.
- 497) Ztschr. f. Kristallographie **4**, 265, 1883.
- 498) Ann. de chim. et de phys. [3], **61**, 430.
- 499) Bull. soc. franc. Minéral. **28**, 11, 1903.
- 500) Bull. de la soc. chim. [3], **5**, 298.
- 501) Arch. néerl. [2], **6**, 488, 1902.
- 502) C. r. de l'Acad. des sciences **25**, 205, 1847.
- 503) Chem. News **22**, 91, 1870.
- 504) Journ. Chem. Soc. [2], **4**, 302.
- 505) Oesterreich. Ztschr. **29**, 331, 1881; Chem. Centralbl. 1881, 671.
- 506) C. r. de l'Acad. des sciences **128**, 883, 1899.
- 507) ibid. 787.
- 508) ibid. **59**, 364, 1890.
- 509) Ann. Chim. phys. [3], **33**, 170, 1820.
- 510) Journ. chim. med. **1**, 17.
- 511) C. r. de l'Acad. des sciences **95**, 1100, 1882.
- 512) Pogg. Ann. **75**, 155, 1848.
- 513) ibid. **76**, 10, 1849.
- 514) C. r. de l'Acad. des sciences **34**, 705, 1852.
- 515) Oeffvers. af Vet. Ak. Förh. **7**, 15, 1873; R. Ber. d. dtsh. Chem. Ges. **7**, 478.

- 516) Pogg. Ann. **78**, 255, 1849.
- 517) Ann. d. Chem. **61**, 61, 1866.
- 518) Inaugural-Diss. Würzburg 1880.
- 519) Bull. de la soc. chim. [3], **19**, 372, 1898.
- 520) Journ. f. prakt. Chem. **40**, 247, 1847; **49**, 189, 1850.
- 521) Chem. Ztg. **28**, 15, 1004.
- 522) C. r. de l'Acad. des sciences **106**, 1238, 1888.
- 523) Journ. prakt. Chem. **104**, 155, 1868.
- 524) Bull. Soc. franç. Minéral. **26**, 9, 18, 1903.
- 525) C. r. de l'Acad. des sciences **108**, 1058, 1889.
- 526) Kongl. Vetenskaps-Akad. Handl. 1825, 288.
- 527) Journ. f. prakt. Chem. [2], **14**, 54.
- 528) C. r. de l'Acad. des sciences **92**, 1110, 1457, 1881.
- 529) Progr. d. Gewerbeschule Chemnitz 1873, 37.
- 530) Neues Jahrb. f. Mineral. 1875, 473.
- 531) Landolt-Börnstein, Phys.-Chem. Tabellen. 2. Aufl., 397.
- 532) Sitzber. d. kgl. Bayer. Akad. **30**, 187, 1900.
- 533) Pogg. Ann. **42**, 354; **43**, 43.
- 534) Ztschr. f. Kristallogr. **21**, 433; **24**, 366; **30**, 295, 1901.
- 535) Ztschr. f. angew. Chem. 1897, 431.
- 536) Journ. Soc. Chem. Ind. **21**, 527, 1902.
- 537) N. Jahrb. f. Mineral. 1903, II, 19; Ber. d. naturf. Ges. zu Freiburg i. Br. **13**, 40.
- 538) C. r. de l'Acad. des sciences **116**, 390, 1893.
- 539) Ztschr. f. physik. Chem. **33**, 740, 1900.
- 540) l. c.
- 541) Zitiert nach Gmelin-Kraut.
- 542) Pogg. Ann. **118**, 565.
- 543) C. r. de l'Acad. des sciences **115**, 817, 1892.
- 544) C. r. de l'Acad. des sciences **115**, 934, 1892.
- 545) C. r. de l'Acad. des sciences **115**, 1009, 1892.
- 546) Ztschr. f. physik. Chem. **12**, 125, 1893.
- 547) C. r. de l'Acad. des sciences **72**, 74, 1552.
- 548) Ztschr. f. physik. Chem. **12**, 234, 1893.
- 549) Journ. russ. phys. Chem. Ges. **24**, 389.
- 550) Zitiert nach Gmelin-Kraut.
- 551) Mon. scient. [3], **10**, 477.
- 552) Journ. f. prakt. Chem. [2], **16**, 169.
- 553) Ztschr. f. phys. Chem. **35**, 23, 1900.
- 554) Ztschr. f. anorg. Chem. **17**, 170, 1898.
- 555) Eine Zusammenstellung siehe bei Treadwell und Reuter, l. c., S. 188.
- 556) Journ. of Phys. Chem. **6**, 50, 1902.
- 557) Zeitschr. f. phys. Chem. **44**, 197, 1903.
- 558) Thèse pour le diplôme sup. de pharmaciens. Lille 1900.
- 559) C. r. de l'Acad. des sciences **132**, 677, 1901.
- 560) Bull. soc. chim. (3) **31**, 281, 1904.
- 561) Journ. f. prakt. Chem. **65**, 253.
- 562) C. r. de l'Acad. des sciences **60**, 429, 1865; Ann. de chim. et de phys. **47**, 9.
- 563) C. r. de l'Acad. des sciences **67**, 41, 1868.
- 564) Ann. d. chim. [5] **29**, 445, 1883.
- 565) N. Jahrbuch der Miner. 1886, I.
- 566) Jahr.-Ber. d. Chem. 1861, 205.
- 567) Zeitschr. f. anorg. Chem. **35**, 82, 1903.
- 568) C. r. de l'Acad. des sciences **79**, 82, 1874.
- 569) Zeitschr. f. anorg. Chem. **35**, 187, 1903.
- 570) C. r. de l'Acad. des sciences **99**, 256, 1884.
- 571) Atti del. R. Accad. dei Lincei [5] **5**, 1, 1896.
- 572) Journ. f. prakt. Chem. **94**, 143, 1865.
- 573) C. r. de l'Acad. des sciences **96**, 841, 1883.
- 574) Zeitschr. f. anorg. Chem. **35**, 336, 1903.
- 575) Pogg. Ann. **33**, 253, 1834; **39**, 321, 1836.

- 576) Journ. f. prakt. Chem. **61**, 437, 1854.
577) C. r. de l'Acad. des sciences **77**, 785, 1873; **80**, 490, 561, 1875.
578) Ann. d. Pharm. **70**, 264, 1850.
579) Ann. d. Pharm. Suppl. **8**, 10.
580) C. r. de l'Acad. des sciences **39**, 192, 1854; **45**, 411, 1857.
581) Kestners Archiv **20**, 50.
582) Pogg. Ann. **86**, 561, 1852.
583) Arch. d. Pharm. [2] **112**, 33, 1862.
584) Arch. d. Pharm. [3] **24**, 22, 1853.
585) Ber. deutsch. chem. Ges. **7**, 703, 1874.
586) C. r. de l'Acad. des sciences **113**, 1034, 1891.
587) *ibid.* **132**, 257, 1901.
588) Ztschr. anorgan. Chem. **40**, 337, 1904.
589) Jahr.-Ber. d. Chem. 1851, 434.
590) Dissertation, Helsingfors 1897.
591) Ber. d. deutsch. chem. Ges. **14**, 21, 1881.
592) Monatshefte der Chemie **8**, 596, 1887.
593) Chem. News **89**, 193, 1904.
594) Journ. of Chem. Soc. 1902, 350.
595) Zeitschr. f. physik. Chem. **27**, 401, 1898.
596) Journ. f. prakt. Chem. [2] **31**, 32, 1883.
597) Journ. of Chem. Soc. 1902, 350.
598) Monatshefte der Chemie **8**, 596, 1887.
599) Journ. f. prakt. Chem. [2] **5**, 296, 1872.
600) Wied. Ann. **51**, 126, 1896.
601) Leitverm. d. Elektrolyte. Leipzig 1898.
602) C. r. de l'Acad. des sciences **137**, 1061, 1903.
603) Ber. d. deutsch. chem. Ges. **12**, 564, 1879.
604) Zeitschr. f. phys. Chem. **12**, 234, 1893; **44**, 197, 1903.
605) Ber. d. deutsch. chem. Ges. **36**, 3715, 1903.
606) Jahr.-Ber. d. Chem. 1864, 372.
607) Anschütz, Ann. d. Chem. **226**, 200, 1884.
608) Ber. d. deutsch. chem. Ges. **36**, 3716, 1903.
609) Ber. d. deutsch. chem. Ges. **21**, 1578, 1888.
-

Atomgewicht des Calciums.

$$\text{Ca} = 40,12.$$

Die internationale Atomgew.-Kommission empfiehlt $\text{Ca} = 40,1$.

A) Wahl des Atomgewichtes.

Das H-Äquivalent des Calciums ist von der Ordnung 20.

Seitdem Berzelius die Existenz der „Sesquioxyde“ R_2O_3 angenommen und die Formel des Kalkes CaO_2 aufgegeben hatte, wird für den letzteren allgemein die Formel CaO angenommen. Darnach ist das Atomgewicht des Calciums gleich dem doppelten H-Äquivalent, $\text{Ca} = 40$. Das Gmelinsche Äquivalent war $\text{Ca} = 20$ (CaO , CaCl), aber selbst nach der durch Cannizzaro 1858 veranlaßten allgemeinen Annahme unserer jetzigen Atomgewichte nahmen einige Chemiker noch zu Anfang der 60er Jahre $\text{Ca} = 20$ an und schrieben Ca_2CO_3 .

Unser Atomgewicht $\text{Ca} = 40$ ist im Einklange:

1. Mit der van't Hoff'schen Ausdehnung des Avogadro'schen Gesetzes auf Lösungen. Wir kennen von keiner Calciumverbindung die Dampfdichte.
2. Mit der Regel von Dulong-Petit. Die Atomwärme des metallischen Calciums ist $= 6,8$.
3. Mit der Lehre vom Isomorphismus.
4. Mit dem periodischen Gesetz. Die Eigenschaften des Calciums und seine Verbindungen stehen im Einklange mit der Stellung des Ca (II—4) = II. Gruppe, 4. Reihe.

B) Bestimmung des Atomgewichtes.

Das Atomgewicht des Calciums wurde erst in neuester Zeit mit einer, seiner praktischen Bedeutung entsprechenden, etwas größeren Genauigkeit bestimmt (Richards, Hinrichsen). Deshalb können die mehr nur einen historischen Wert besitzenden älteren Bestimmungen nur kurz angeführt werden.

1. Berzelius¹⁾ erhielt 1809 aus 3,01 g geschmolzenem Chlorcalcium 7,75 g Chlorsilber (nicht 7,73 g, wie vielfach angeführt wird). Daraus $\text{Ca} = 40,46$. In seinen Atomgewichtstafeln von 1814 und 1818 finden sich noch Zahlen, welche auf $\text{O} = 16$, umgerechnet 81,63 ($= 2 \times 40,81$) und 81,92 ($2 \times 40,96$) betragen (s. oben A).

2. Baup²⁾ analysierte 1841 eine Reihe von organischen Kalksalzen und erhielt mit den damaligen Atomgewichten im Mittel $\text{Ca} = 249,85$ ($\text{O} = 100$). Auf $\text{O} = 16$ umgerechnet ist $\text{Ca} = 39,98$.

3. Dumas³⁾ analysierte 1842 isländischen, sehr reinen Kalkspat, indem er denselben durch starkes Glühen in Ätzkalk überführte. Nach Anbringung

der Korrektur für die nur 0,03 Proz. betragenden Verunreinigungen, werden als Prozente CaO die Zahlen 56,12, 56,04 und 56,06, im Mittel 56,073 erhalten, woraus $\text{Ca} = 40,166$.

4. Erdmann und Marchand publizierten im ganzen drei Untersuchungen über diesen Gegenstand. In der ersten⁴⁾ vom Jahre 1842 glühten sie zuerst Kalkspat, der sich weniger rein als der von Dumas und zu diesem Zwecke ungeeignet erwies. Es wurde ferner aus einer Chlorcalciumlösung mit Ammoniumcarbonat gefälltes Calciumcarbonat bei 180° getrocknet und durch Glühen in Ätzkalk verwandelt. Sie erhielten 56,03, 55,98, 56,00 und 55,99, im Mittel 56,00 Proz. CaO, woraus $\text{Ca} = 40,0$.

In derselben Arbeit wurde reiner Islandspat in das Sulfat umgewandelt. 100 CaCO_3 gaben 136,07, 136,06, 136,02 und 136,06, im Mittel 136,0525 Teile CaSO_4 . Daraus $\text{Ca} = 40,021$.

Da Berzelius später zeigte, daß das gefällte Calciumcarbonat noch bei 200° Spuren von Wasser, sowie Spuren von Chlorcalcium zurückhält, so wurde von Erdmann und Marchand⁵⁾ 1844 wieder Islandspat analysiert, nachdem die Verunreinigungen derselben sorgfältig ermittelt wurden. Es wurden in 6 Versuchen zwischen 4,2134—49,7007 g betragende Mengen Spat verwendet und 2,3594—27,8536 g CaO erhalten. Der Prozentgehalt an letzterem schwankt zwischen 55,997—56,042, indem er, merkwürdigerweise mit zunehmender Substanzmenge, deutlich wächst und beträgt im Mittel 56,028, woraus $\text{Ca} = 40,064$.

Die dritte Publikation von Erdmann und Marchand⁶⁾ erschien 1850. Sie finden, daß Calciumcarbonat schon bei 200° Spuren von Kohlensäure verliert, daß dagegen der Ätzkalk nach dem Glühen Spuren von Kohlensäure zurückhält, wodurch der Prozentgehalt an CaO vergrößert wird. Es wurde unter Berücksichtigung dieser Korrekturen 55,998 Proz. CaO gefunden, woraus $\text{Ca} = 39,996$.

Seit den Versuchen von Erdmann und Marchand wurde, bis in die neueste Zeit (1902), das Atomgewicht des Calciums allgemein zu $\text{Ca} = 40,0$ angenommen.

5. Berzelius⁷⁾ bereitete zunächst reines Calciumcarbonat durch Fällung des Nitrats mit Ammoniumcarbonat. Daraus wurde reiner Kalk dargestellt, welcher in das Sulfat übergeführt wurde. Es wurden 1,80425—3,90000 g betragende Mengen von CaO verwendet. 100 Teile gaben, in 5 Versuchen 142,202—142,592, im Mittel 142,3998 Teile CaSO_4 , woraus $\text{Ca} = 40,22$. Die Versuchsfehler mußten das Atomgewicht erhöhen. Die kleinste und demnach beste Zahl $\text{Ca} = 40,144$ kommt unseren besten Zahlen ($\text{Ca} = 40,13$ — $40,14$) merkwürdig nahe.

6. Marignac⁸⁾ führte 1843 drei Versuche aus, um zu erfahren, wie groß der oberste Grenzwert des Atomgewichtes des Calciums ist. Alle drei Präparate des wasserfreien Chlorcalciums zeigten nach dem Schmelzen und Auflösen in Wasser alkalische Reaktion, am wenigsten das im Chlorstrom geschmolzene, von welchem 51,48 Teile durch 100 Teile Silber gefällt wurden. Daraus folgt $\text{Ca} = 40,21$.

7. Dumas⁹⁾ benutzte 1859 dieselbe Methode, schmolz aber sein wasserfreies Chlorcalcium im Strome getrockneten Chlorwasserstoffs. Die wässrige Lösung des Chlorids wurde mit einer Silberlösung von genau ermitteltem Silbergehalt gefällt.

	g CaCl_2	g Ag	100 Ag : x CaCl_2
1	2,738	5,309	51,573
2	2,436	4,731	51,490
3	1,859	3,617	51,396
4	2,771	5,3885	51,424
5	2,240	4,3585	51,394
		Mittel	51,4554

Aus allen fünf Versuchen ergibt sich das mittlere Atomgewicht $\text{Ca} = 40,16$, welche Zahl sich wohl nur zufällig unserer richtigen Zahl nähert, denn das Maximum beträgt (Vers. 1) $\text{Ca} = 40,42$, das Minimum (Vers. 5) $\text{Ca} = 40,03$. Dumas selbst verwirft die Resultate der Versuche 1 und 2, und das Mittel der letzten 3 Versuche beträgt nur $\text{Ca} = 40,06$. Die Methode ist mit zwei Fehlern behaftet. Erstens ist es, wie Richards gezeigt hat (siehe Magnesium), sehr schwer, die letzten Spuren Wasser aus dem Chlorwasserstoffgas zu entfernen. Dies führt zu einem basischen Chlorid und zu einem höheren Atomgewicht. Auf die zweite Fehlerquelle will ich hier etwas näher eingehen, da Dumas nach diesem Verfahren die Atomgewichte einer ganzen Reihe von Elementen ermittelte. Er übersah einen Fehler der Methode der Titration des Chlors mit Silber. Die Reaktion $\text{Ag} + \text{Cl}' = \text{AgCl}$ besteht, wenn genau die äquivalente Anzahl beider Ionen in wässriger Lösung vorhanden ist, nicht in der quantitativen Ausfällung des Chlorsilbers, sondern es bleibt ein Teil des letzteren gelöst. Soll die Fällung des AgCl vollständig sein, so muß man nach Stas die dreifache Menge der in Lösung befindlichen Chlor- oder Silberionen zusetzen. Titriert man die Lösung eines Chlorids mit Silber, so wird demnach eine größere Menge Silber verbraucht, als den in Lösung vorhandenen Chlorionen entspricht. Deshalb muß man nach Stas zuerst das „Silberende“ ermitteln, dann mit einer titrierten Chloridlösung das „Chlorende“ und in der Mitte zwischen diesen beiden Enden liegt das richtige Resultat.

Die Löslichkeit des Chlorsilbers in 1 Liter Wasser kann, je nachdem dasselbe mit der Flüssigkeit a) längere Zeit (es wird pulverförmig) oder b) kürzere Zeit (es wird flockig) geschüttelt wurde, zwischen 0,0015 g bis 0,010 g betragen. Das Ende der Reaktion, d. i. das Aufhören der Trübung durch Zusatz einer AgNO_3 -Lösung, tritt ein, wenn auf 1 Mol. des gelösten AgCl 3 Atome Ag als Nitratlösung hinzugefügt werden. Es muß demnach auf 1 Liter der AgCl -Lösung im Falle a) 0,0034 g Ag, im Falle b) 0,0226 g Ag als Nitrat bis zum Endpunkt der Reaktion verbraucht werden. Nehmen wir an, daß die Versuche von Dumas mit 300 cm³ (AgCl -)Lösung ausgeführt wurden, so verbrauchte er im Falle a) um 0,001 g Ag mehr, im Falle b) um 0,0068 g Ag mehr. Zieht man die Silbermenge im Versuch 5, welcher das niedrigste Atomgewicht des Calciums ergab, von der verbrauchten Silbermenge, d. i. von 4,3585 g Ag ab, so ergeben sich statt $\text{Ca} = 40,03$ die korrigierten Atomgewichte $\text{Ca} = 40,05$ (Min.) und 40,20 (Max.) und das mittlere Atomgewicht $\text{Ca} = 40,16$ ändert sich nach Anbringung dieser Korrektur zu $\text{Ca} = 40,18$ (Min.) und 40,33 (Max.). Es konnte demnach das Atomgewicht des Calciums durch Einfluß der ersten Fehlerquelle: Bildung des basischen Chlorids, bis auf $\text{Ca} = 40,33$ gestiegen sein, durch Einfluß der zweiten Fehlerquelle: Löslichkeit des Chlorsilbers, konnte es auf $\text{Ca} = 40,16$ herabgedrückt werden. Weiteres darüber s. beim Barium.

8. Herzfeld¹⁰⁾ führte 1897 eine Atomgewichtsbestimmung durch Glühen des künstlich (aus Bicarbonat) dargestellten Calciumcarbonats zu Oxyd bei

1300—1400° aus. Es wurden drei Versuche ausgeführt, bei denen $\text{Ca} = 39,975$, 39,944 und 39,966, im Mittel $\text{Ca} = 39,962$ erhalten wurde. Infolge der von Hinrichsen beobachteten Flüchtigkeit des Kalks beim anhaltenden Erhitzen zur Weißglut ist die erhaltene Zahl, ebenso wie die übrigen nach dieser Methode erhaltenen Atomgewichtszahlen, zu niedrig.

9. Richards teilte der American Association for the Advancement of Science im August 1899 die Resultate seiner Versuche über das Atomgewicht des Calciums mit. Veranlaßt durch das Erscheinen der ersten Arbeit von Hinrichsen (siehe 10), veröffentlichte Richards¹¹⁾ im Jahre 1902 eine eingehendere vorläufige Mitteilung darüber. Das durch Schmelzen im trockenen Chlorwasserstoffstrom dargestellt wasserfreie Chlorcalcium wurde in Wasser gelöst und das Chlor als Chlorsilber gewogen, wobei alle im Harvard-Laboratorium üblichen Vorsichtsmaßregeln beobachtet wurden. Die Gewichte sind auf das Vakuum reduziert.

CaCl_2 g	AgCl g	Atomgewicht $\text{Ca} =$
1,56454	4,0409	40,121
3,57630	9,2361	40,130
3,59281 ¹²⁾	9,2788	40,129
5,00880	12,9364	40,124
9,00246	23,2506	40,125
		Mittel 40,126

Mittlere Abweichung vom Mittel $\pm 0,003$

Ich bin überzeugt, daß Herr Richards nachträglich das noch genauer zu bestimmende Verhältnis $\text{CaCl}_2 : 2\text{Ag}$ ermitteln wird. Bei der Korrektur erfahre ich, daß Richards und Wells das Atomgewicht des Chlors zu $\text{Cl} = 35,467$ gefunden haben. Mit dieser Zahl umgerechnet erhält man das Atomgewicht des Calciums $\text{Ca} = 40,111$.

10. Hinrichsen¹³⁾ veröffentlichte 1902 zwei Untersuchungen über das Atomgewicht des Calciums. In der ersten Arbeit wurde reiner, eine nur 0,032 Proz. Fe_2O_3 entsprechende Menge FeCO_3 als Verunreinigung enthaltender isländischer Kalkspat in einem, einer Waschflasche ähnlichen, Platintiegel in einem elektrischen Ofen bei 1200—1400° in Kalk verwandelt. Die Versuche wurden mit großer Sorgfalt ausgeführt und die Wägungen sind auf den luftleeren Raum reduziert.

CaCO_3 g	CaO g	Atomgewicht $\text{Ca} =$
30,72157	17,22354	40,144
32,77791	18,37587	40,141
34,45625	19,31698	40,142
33,36885	18,70723	40,141
		Mittel 40,142

In der zweiten Arbeit gelangte ein nur 0,012 Proz. Kieselsäure und 0,054 Proz. Eisen (als Carbonat) als Verunreinigungen enthaltender Kalkspat vom Baidarthor in der Krim zur Verwendung. Das Resultat der gleich wie früher ausgeführten Versuche ist:

CaCO_3	CaO	Atomgewicht $\text{Ca} =$
31,20762	17,49526	40,139
22,00588	12,33642	40,136

Durch die von Hinrichsen beobachtete geringe Sublimation des andauernd auf 1200—1400° erhitzten Kalkes, welcher von allen Vorgängern Hinrichsens

in offenen, resp. nur lose bedeckten Platintiegeln geglüht wurde und welche zu einem Verlust führen mußte, erklären sich die zu niedrigen $\text{Ca} = 40,0$ betragenden Zahlen.

Dagegen ist es nicht ausgeschlossen, daß die Bestimmungen von Hinrichsen infolge einer von Richards beobachteten Erscheinung ein wenig höher ausgefallen sind. Aus den auf 1400° erhitzten Platinwiderständen des elektrischen Ofens verflüchtigt sich etwas Platin und kondensiert sich an den im Ofen erhitzten Platengefäßen, wodurch letztere schwerer werden. Dies führt zu einer geringen Erhöhung des CaO -Gehaltes und folglich auch des Atomgewichts des Calciums. Dieser Fehler läßt sich nicht genau ermitteln, da andererseits das Platin vom Kalk angegriffen wird und nach dem Entleeren leichter wird.

Übersicht.

Name	Jahr	Verhältnis	Atomgewicht $\text{Ca} =$
Berzelius	1809	$\text{CaCl}_2 : 2\text{AgCl}$	40,46
Baup	1841	org. Kalksalze: CaO	39,98
Dumas	1842	$\text{CaCO}_3 : \text{CaO}$	40,17
Erdmann und Marchand	1842	$\text{CaCO}_3 : \text{CaO}$	40,00
	1842	$\text{CaCO}_3 : \text{SaSO}_4$	40,02
	1844	$\text{CaCO}_3 : \text{CaO}$	40,06
	1850	"	39,996
Berzelius	1843	$\text{CaO} : \text{CaSO}_4$	40,22
Marignac	1843	$\text{CaCl}_2 : 2\text{Ag}$	< 40,21
Dumas	1859	$\text{CaCl}_2 : 2\text{Ag}$	40,16
Herzfeld	1897	$\text{CaCO}_3 : \text{CaO}$	39,96
Richards	1902	$\text{CaCl}_2 : 2\text{AgCl}$	40,126
von mir umgerechnet mit $\text{Cl} = 35,467$ (1905)			40,111
Hinrichsen	1902	$\text{CaCO}_3 : \text{CaO a)}$	40,142
		" b)	40,137

Schlußfolgerung. Aus den einzig einwurfsfreien Versuchen von Richards und Hinrichsen ergibt sich als Mittel $\text{Ca} = 40,124$. Bevor die erwartete definitive Publikation von Richards erscheint, können wir entweder $\text{Ca} = 40,12$ (II) oder $\text{Ca} = 40,1$ annehmen, letztere Zahl in Übereinstimmung mit der internationalen Atomgewichts-Kommission.

- 1) Berzelius, Pogg. Ann. **8**, 189; Gilb. Ann. **37**, 451 u. a. St.
- 2) Baup, Bibl. univ. Genève, Juni 1842; Lieb. Ann. **52**, 212.
- 3) Dumas, Compt. rend. **14**, 537.
- 4) Erdmann und Marchand, Journ. prakt. Chem. **26**, 472.
- 5) Erdmann und Marchand, Journ. prakt. Chem. **31**, 269.
- 6) Erdmann und Marchand, Journ. prakt. Chem. **50**, 237.
- 7) Berzelius, Journ. prakt. Chem. **31**, 263, 1843.
- 8) Marignac, Bibl. Universelle. Genève **46**, 368. — Siehe auch Oeuvres complètes I, 90.
- 9) Dumas, Ann. chim. phys. [3] **55**, 129.
- 10) Herzfeld, Zeitschr. des Ver. für Rübenzucker-Industrie **47**, 497 und später: Berichte **34**, 559, 1901.
- 11) Richards, Zeitschr. anorg. Chem. **31**, 271–274; Journ. Amer. Chem. Soc. **24**, 374.
- 12) Auf S. 273 der Abhandlung in Zeitschr. anorg. Chemie Bd. **31** ist diese Zahl infolge eines Druckfehlers zu 3, 69281 entstellt.
- 13) Hinrichsen, Zeitschr. phys. Chem. **39**, 309–322 und **40**, 746–749.

Brauner.

Mörtel.

Mörtel. Definition: Als Mörtel (mortarium, der Mörser), auch Mauer- speise, ist ein solcher Stoff zu bezeichnen, welcher in der möglichst gefeinten, festen Formart einer Reaktion, bestehend entweder in einer Deshydratisierung und Kohlendioxydbindung, unterstützt durch die Gegenwart von Wasser (Kalkmörtel), oder in einer Hydratisierung, an welche sich ein Erhärtungsvorgang schließt (Gips- und Zementmörtel), zu unterliegen imstande ist, und feiner zum Aneinanderfügen von Steinen und zum Verputzen des Mauerwerks dient.

Es ist zu unterscheiden zwischen Stoffen, welche ausschließlich an der Luft zur Verwendung kommen; als:

1. Luftmörtel (Kalk und Gips) und solchen, welche sowohl an der Luft wie unter Flüssigkeiten (Wasser und Flüssigkeiten) als Mörtel benutzt werden können; als:

2. hydraulische Mörtel (Zemente). Von sämtlichen Mörtelarten, Kalk, Stuck- und Estrichgips, Puzzuolanen, Roman- und Portlandzementen ist keine ohne weiteres technisch verwendbar; nur eine, welche in der Natur vorkommt, eine anhydridische Modifikation des Calciumsulfats, der Anhydrit, ist einer Hydratation und Erhärtung fähig; aber letztere findet auch nur dann statt, wenn ein positiver Katalysator hinzugesetzt wird.

Der Unterschied in der Verwendungsart beider Mörtelarten ist, abgesehen vom Kalk, nicht nur in dem größeren Lösungsdruck dem Wasser gegenüber der ersten Mörtelgattung begründet; vielmehr sind die Ursachen, warum die Mörtel der zweiten Art wasserwiderstandsfähig sind, trotzdem sie wasserlösliche Verbindungen enthalten, und andere der Hydrolyisations- energie des Wassers unterworfen sind, noch nicht völlig aufgedeckt; diese Tatsachen lassen nur Vermutungen zu, welche weiter unten erwähnt werden sollen.

Trotzdem in theoretischer Beziehung noch manche Probleme zu lösen sind, so ist die praktische Verwendung der Mörtel eine längst bekannte; schon den Völkern der alten Welt; nach einer Notiz des Vitruvius ¹⁾ benutzten die Römer bei ihren Bauten sowohl Luft- wie hydraulischen Mörtel.

A. Luftmörtel.

Von den Verbindungen des Calciums kommen als Luftmörtel das Calciumhydroxyd und das Calciumsulfat, insbesondere sein Hemihydrat und eine anhydridische Modifikation desselben, technischerseits als Estrichgips bezeichnet, in Betracht.

1. Calciumhydroxyd Ca(OH)_2 ; das „Löschen“ des gebrannten Kalkes.

Calciumoxyd kann durch Wasser von jeder Temperatur, auch von Wasserdampf „gelöscht“ werden. Mit steigender Temperatur, auch bei Vermehrung des Druckes, erhöht sich auch der Betrag dieser Reaktionsgeschwindigkeit. Sehr hoch gebrannter Kalkstein liefert Calciumoxyd, dessen Reaktionsfähigkeit dem Wasser gegenüber gering ist. Kristallisiertes Calciumoxyd reagiert fast gar nicht mehr mit Wasser. Als totgebrannter Kalk wird ein solcher bezeichnet, welcher bei hoher Temperatur eine Verbindung mit den silicium(ton)haltigen Bestandteilen des Kalksteins eingegangen ist.

Das Löschen geschieht in aus Brettern zusammengesetzten Löschkästen oder Bänken; dasselbe ist mit einer Volumenvergrößerung („Gedeihen“ oder „Wachsen“) verbunden; je größer sie ist, um so besser eignet sich das Calciumhydroxyd zur Verwendung als Luftmörtel („fetter“ und „magerer“ Kalk). 1 cbm fetter Kalk liefert etwa 2,5–3 cbm, 1 cbm magerer Kalk liefert nur 1,5–2 cbm Kalkbrei.

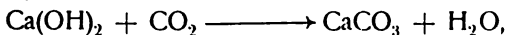
Zur Vollendung der Löschreaktion empfiehlt es sich, den Kalkbrei einzusumpfen, d. h. in einer Grube einige Zeit sich selbst zu überlassen, damit sämtliche Calciumoxydteilchen hydratisiert werden. Ist der Kalk mit Salze enthaltendem Wasser gelöscht worden, so ist die Folge das Auftreten von Auswitterungen und Ausblühungen.

Die Anwesenheit einer allzu großen Wassermenge verzögert die Reaktionsgeschwindigkeit des Löschens („Ersäufen“), während eine Reihe anderer Substanzen, in geringer Menge zugesetzt, sie beschleunigt.

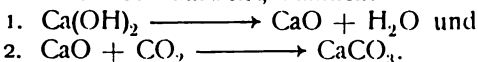
Außer dem von Candlot²⁾ aufgefundenen, positiven Katalysator Chlorcalcium, welches in geringer Menge zugesetzt bei gewöhnlicher Temperatur ein ebenso schnelles Ablöschen des Kalkes, wie reines Wasser von 100° herbeiführt, sind noch folgende als positive Katalysatoren: Aluminiumchlorid, Bariumchlorid, Äthylalkohol, als negative: Borsäure, Borax, Kalidichromat, stark dissoziierte Hydroxyde, wie Kalilauge, erkannt worden.³⁾

Nach allerdings nicht ganz strengem Analogieschluß erscheint die Vermutung gerechtfertigt, daß auch bei dem Calciumoxyd, wie bei dem Gips und dem Portlandzement, die Beschleunigung der Hydratationsgeschwindigkeit durch positive Katalysatoren und Vermehrung des Lösungsdruckes des sich hydratisierenden Stoffes einerseits, ihre Verzögerung durch negative Katalysatoren und die Verringerung des Lösungsdruckes andererseits in Parallelismus stehen. (S. später.)

Die Verwendung des Calciumhydroxyds als Luftmörtel beruht auf dem Verlauf der Reaktion:



welche eigentlich zwei Phasen aufweist, nämlich:



Die Reaktionsgeschwindigkeit ist an und für sich gering, sie setzt mit einem ziemlich großen Betrage ein, um ganz allmählich im Laufe von Wochen und Jahren, ja Jahrzehnten sich dem Nullwerte zu nähern. Daher rührt es, daß selbst in sehr alten Mörteln, bei einigen noch nach 300 Jahren, nicht umgewandeltes Calciumhydroxyd angetroffen wird. Es kommt allerdings hinzu, daß das bereits entstandene Calciumcarbonat gleichsam eine schützende Decke

vor der Einwirkung des Kohlendioxyds bildet. Die Aufnahmegeschwindigkeit durch Kalkmilch ist darum viel größer, weil sich dann die Reaktion zwischen einem gelösten, daher reaktionsfähigen und gasförmigen, und nicht zwischen einem im festen Aggregatzustande befindlichen und gasförmigen Stoffe abspielt.

Ohne irgendwelchen Zusatz trocknet Calciumhydroxyd an der Luft unter starker Schwindung ein, wie sie auch bei den Tonen anzutreffen ist.

Wie bei allen Erhärtungsreaktionen, welchen eine Hydratationsreaktion vorausgeht, lassen sich auch bei dem Härtungsprozeß des Calciumhydroxyds zwei verschiedene Vorgänge unterscheiden, welchen chemische und physikalisch-chemische Ursachen zugrunde liegen; nämlich

1. das „Abbinden“,
2. das eigentliche Erhärten.

Im Gegensatze zu den Hydratationsreaktionen beruht bei dem Calciumhydroxyd das „Abbinden“ auf einer teilweisen Deshydratisierung, einer Abgabe von Hydratwasser („Anziehen“ und „Austrocknen“), wodurch zunächst eine durch Adhäsion unterstützte Zusammenziehung der einzelnen Teilchen erzielt wird. Gefördert wird diese Deshydratisierung durch Anwesenheit hygroskopischer Stoffe, auch durch poröse, wie gewöhnliche Mauersteine.

Das „Abbinden“ entspricht demnach im wesentlichen der unter 1. verzeichneten Reaktion.

Der eigentliche Erhärtungsprozeß des Calciumhydroxyds hat die Umwandlung des Calciumhydroxyds in das Carbonat zur Grundlage.

Dieser Vorgang wird durch zwei Umstände unterstützt; einmal durch das Vorhandensein von Wasser, und zweitens durch alle Substanzen mit großer Oberfläche.

Die Gegenwart von Wasser ist notwendig, um ein zu schnelles Austrocknen zu verhindern, wodurch der Erhärtungsprozeß gestört wird. Der Betrag der Reaktionsgeschwindigkeit erreicht aber den Nullwert, wenn vollkommen trockenes Calciumhydroxyd und ebenso trockenes Kohlendioxyd miteinander in Berührung stehen; er wird sogleich bedeutend gesteigert, sobald auch nur Spuren von Wasser oder Wasserdampf vorhanden sind. In ähnlicher Weise wird der Oxydationsvorgang des Eisens durch das Vorhandensein von Feuchtigkeit gefördert. Die Beschleunigung der Erhärtungsgeschwindigkeit durch Wasser muß als eine katalytische aufgefaßt werden, solange keine bessere Erklärung für dieses Phänomen gegeben werden kann, da auf dasselbe das charakteristische Kennzeichen der Katalyse überhaupt, daß die Änderung des Wertes der Reaktionsgeschwindigkeit infolge der Anwesenheit der geringen Menge eines anderen Stoffes, der an der eigentlichen Reaktion nicht beteiligt ist, zutrifft.

Während aber auf der einen Seite die Abwesenheit von Wasser das Ausbleiben der Erhärtungsreaktion bedingt, wird auf der anderen Seite bei allzu großem Feuchtigkeitsgehalt die Einwirkung des Kohlendioxyds auf Calciumhydroxyd gehemmt. Es ist erwiesen⁴⁾, daß frischer Mörtel in einem Glasrohre einem Strome von Kohlendioxyd ausgesetzt, sich nach tagelangem Durchleiten nicht änderte, nasser Brei blieb und nur Spuren von Kohlendioxyd absorbierte, ferner daß Proben von Mörtel in einer mit feuchtem Kohlendioxyd gefüllten, nicht luftdicht verschlossenen Flasche eingehängt, nach acht Tagen noch so weich wie am Anfange waren, und noch nicht ganz 1 v. H. ihres Gewichtes an Kohlendioxyd absorbiert hatten.

Die Ursache dieses Verhaltens muß darin erkannt werden, daß der Erhärtungsprozeß nicht nur durch die Aufnahme von Kohlendioxyd bedingt ist, sondern durch den ebenso wichtigen Vorgang einer Deshydratisierung, welche bei Anwesenheit von viel Wasser nur in mangelhafter Weise vor sich gehen kann. Demnach würde ein idealer Erhärtungsvorgang durch trockenes Calciumhydroxyd und trockenes Kohlendioxyd bei Anwesenheit von sehr wenig Wasser realisiert werden können. Nach Versuchen von Wolters⁵⁾ zeigte es sich, daß der Wert der Reaktionsgeschwindigkeit zwischen beiden Stoffen am größten war, wenn etwa 1 v. H. ungebundenes Wasser vorhanden war.

Als Stoff mit großer Oberfläche kommt bei dem Calciumhydroxyd jetzt ausschließlich Sand in Betracht, und zwar nicht feinkörniger, sondern möglichst scharfkantiger, welcher frei von ton- und humusartigen Bestandteilen sein soll; früher wurden auch andere Stoffe, Dolomitsand, zerstoßener Kalkstein, z. B. bei den römischen Bädern in Gelnhausen angewendet.

Man könnte sagen, daß Siliciumdioxyd hier als Katalysator im positiven Sinne wirksam ist, indem durch seine Anwesenheit die Reaktionsgeschwindigkeit der Kohlendioxydbindung beschleunigt wird, wie in analoger Weise fein verteiltes Platin oder Palladium die Oxydationsgeschwindigkeit beschleunigt. Jedenfalls aber wird durch die Gegenwart dieser feinzerteilten Substanzen eine größere Berührungsfläche und dadurch eine innigere Berührung des erhärtenden Stoffes mit dem Kohlendioxyd herbeigeführt.

Zu diesem Zwecke genügt es, Sand im Verhältnis 1:3 oder 4 Teilen Calciumhydroxyd hinzuzusetzen. Die Folge ist, daß ein höherer Festigkeitsgrad erreicht wird.

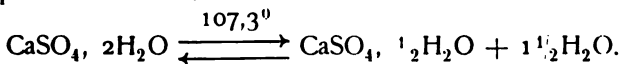
Die Vermutung, daß derselbe durch eine chemische Reaktion, etwa durch Bildung eines Calciumsilicats herbeigeführt würde, hat nicht bestätigt werden können. Dagegen ist die Eigenschaft des Calciumcarbonats, an siliciumhaltigen Stoffen mit großer Intensität festzuhaften, bekannt.

Es wäre ja die Möglichkeit nicht ausgeschlossen, daß die Reaktionsgeschwindigkeit eine so minimale wäre, daß erst nach einer Reihe von Jahrzehnten eine analytisch nachweisbare Silicatbildung erfolgte; indessen haben die Analysen auch sehr alter Mörtel ein einwandfreies Resultat nicht ergeben; zwar hat aufgeschlossene Kieselsäure nachgewiesen werden können; aber es erhebt sich sofort die Frage, ob dieselbe nicht ihr Vorhandensein einem etwaigen Gehalt des Mörtels an puzzuolanartigen Stoffen verdankt.

2. Calciumsulfat CaSO_4 , $\frac{1}{2}\text{H}_2\text{O}$ und CaSO_4 .

Zwei Modifikationen des Calciumsulfats, das Hemihydrat, $\text{CaSO}_4, \frac{1}{2}\text{H}_2\text{O}$, der Stuckgips, und eine anhydridische Modifikation, CaSO_4 , der Estrichgips, werden als Luftmörtel verwendet.

Darstellung: Beide Modifikationen werden aus dem natürlichen Dihydrat, $\text{CaSO}_4 + 2\text{aq}$, durch Brennen hergestellt: der Umwandlungspunkt⁶⁾ des Dihydrats in das Hemihydrat liegt bei $107,3^\circ$, von van't Hoff mit Recht als Schmelzpunkt bezeichnet.



In technischen Betrieben soll die Temperatur 130° nicht überschreiten, weil oberhalb derselben eine andere anhydridische Modifikation, der sog. totgebrannte Gips, gebildet wird, welcher zwar die Fähigkeit zur Hydratation und zur Erhärtung, letztere allerdings erst nach sehr langer Zeit besitzt, aber

dadurch charakterisiert ist, daß er zum Gießen oder Stampfen nicht mehr brauchbar ist, demnach sich nicht zu Verwendungszwecken eignet, welche das Hemihydrat, den Stuckgips, und den Estrichgips, auszeichnen.

Tatsächlich wird aber, sowohl in den technischen Ring- wie rotierenden Öfen, infolge inkonstanter Temperatur, sowohl das Hemihydrat mit oft sehr großer, für technische Zwecke unbrauchbarer Hydratationsgeschwindigkeit als auch die anhydridische Modifikation („totgebrannte“) erhalten, so daß erst nach passendem Vermischen beider Arten, indem die zweite als negativer Katalysator die Hydratationsgeschwindigkeit der zweiten verzögert, das brauchbare, gewünschte Produkt mit einer Hydratationszeit von 8'—10' resultiert.

Der Estrichgips wird durch Brennen bei viel höherer Temperatur aus dem Dihydrat hergestellt; die Brenntemperatur ist in den einzelnen Betrieben sehr verschieden; doch ist erwiesen⁷⁾, daß es im wesentlichen darauf ankommt, den Gips genügend hoch zu brennen, so daß er seine besonderen Eigenschaften, die er im zu schwach gebrannten Zustande zeigt, verliert. Der in den Fabriken zur Herstellung von Estrich usw. benutzte Gips ist infolge der inkonstanten Brenntemperatur ein Gemenge von verschiedenen wasserfreien Modifikationen.

G. Feichtinger gibt folgende zwei anhydridische Modifikationen des Gipses an:

- a) bei höchstens 200° entwässert, mit Wasser rasch erstarrend;
- b) bei 400—500°, bezw. Rotglut entwässert, das Wasser langsam aufnehmend, aber hydraulisch erhärtend.

Ferner werden auch noch einige andere wasserfreie Modifikationen genannt; die Ursache dieses Phänomens läßt sich darin erkennen, daß das wasserfreie Calciumsulfat, etwa von 130° an bis zur beginnenden Zersetzung eine chemische Verbindung darstellt, welche bei wachsender Temperatur eine stetige Veränderung ihrer chemisch-physikalischen Eigenschaften erfährt.

Der Betrag der Hydratationsgeschwindigkeit des technisch hergestellten Estrichgipses ist eine sehr geringe; durch größere Feinung kann er erhöht werden, indem mit der Verkleinerung der Korngröße auch der Wert des Lösungsdruckes wächst.

So kann bei dem Gips⁸⁾, bei welchem die Löslichkeit 0,2 Proz. beträgt, die Vermehrung derselben bei größtmöglicher Feinung 20 Proz. ausmachen; ein Umstand, welcher auch für den Betrag der Hydratationsgeschwindigkeit des Portlandzementes (s. dort) von Bedeutung ist.

Die Hydratationsgeschwindigkeit sowohl des Stuck- wie des Estrichgipses wird durch positive und negative Katalysatoren, welche zugleich elektrolytische Salzlösungen sind, beeinflußt; die Ursache dieses Einflusses ist in der Vergrößerung oder Verringerung des Lösungsdruckes beider Modifikationen in diesen verdünnten Salzlösungen zu suchen.

Tabelle:

	Hemihydrat (Stuckgips)	Anhydridische Modifikation (Estrichgips)
NaCl	+	+
NH ₄ Cl	+	—
CaCl ₂	0	—

	Hemihydrat (Stuckgips)	Anhydridische Modifikation (Estrichgips)
MgCl_2	+	—
AlCl_3	+	—
$\text{K}_2\text{Cr}_2\text{O}_7$	+	—
K_2SO_4	+	+
$\text{Al}_2(\text{SO}_4)_3$	+	+
KNO_3	+	+
$\text{Na}_2\text{B}_4\text{O}_7 + 10\text{aq}$	—	—

Das + Zeichen deutet die Reaktionsgeschwindigkeit beschleunigende, das — Zeichen die dieselbe verzögernde Eigenschaft des betreffenden Stoffes an, eine o seine Wirkungslosigkeit.

Die Hydratationsgeschwindigkeit ist um so größer, je größer der Lösungsdruck dem Wasser gegenüber ist; daher hat Löslichkeitsvermehrung durch Zusätze (Katalysatoren) Beschleunigung der Hydratationsgeschwindigkeit, Löslichkeitsverminderung Verzögerung zur Folge⁹⁾ Dem Löslichkeitsmaximum entspricht auch der Maximalwert der Hydratationsgeschwindigkeit. Daraus ergibt sich, daß der sich hydratisierende Gips erst in Lösung gehen muß, ehe die Reaktion mit dem Wasser erfolgen kann.

Als Ursache der Löslichkeitsvermehrung kann man für die Fälle, welche der Theorie nicht entsprechen, nicht mit Hilfe des Massenwirkungsgesetzes erklärt werden können, z. B. für Natriumsulfat, Natriumchlorid, eine Bildung komplexer Ionen, für die Löslichkeitsverringerng eine Kondensation der Lösungsmittel vermuten.¹⁰⁾

Nach Überschreitung des Löslichkeitsproduktes erfolgt die kristallinische Abscheidung aus der gesättigten Lösung, welcher in der eigentlichen, langandauernden Erhärtungsperiode eine gegenseitige Verwachsung und Verklammerung der Kristalle, welche auch etwaige, nichthydratisierte Bestandteile umfaßt, sich anschließt.

Trotzdem ist der nun folgende Erhärtungsprozeß nicht bloß auf eine Verfilzung der Gipskristalle zurückzuführen. Schon Knapp¹¹⁾ hat darauf aufmerksam gemacht, daß die Tatsache, daß der gebrannte Gips Hydratwasser aufnimmt, an sich gar keine Erklärung der anderen Erscheinung enthält, daß der als Mehl mit Wasser angerührte Gips zu einer zusammenhängenden Masse erstarrt. Ebenso gut könnten die einzelnen Stäubchen von gebranntem Gips nach der Aufnahme mit Wasser getrennt bleiben, in dem eben ein Brei von gebranntem Gips mit Wasser lediglich in einen solchen aus wasserhaltigem Gips mit Wasser überginge.

Als letzte Ursache des Erhärtungsvorgangs ist vielmehr die Bildung einer verdünnten, festen Lösung des Calciumsulfats in Wasser anzusehen; Kristallisation und Verfilzung der Kristalle sind nur äußere Zeichen dafür, daß eine verdünnte, feste Lösung entstanden ist.

Einige Argumente für diese Behauptung liegen darin, daß der Erhärtungsprozeß des Dihydrats trotz der vorhandenen, nötigen Wassermenge in Gelatinelösung¹²⁾ ausbleibt, weil in diesem kolloidalen Medium die gegenseitige, molekulare Durchdringung der Komponenten, wie sie den festen Lösungen eigentümlich ist, nicht stattfinden kann; ferner darin, daß entwässerter Gips aus 80 v. H. Alkohol zwar das Wasser aufnimmt, aber einen Schlamm bildet, welcher nicht erstarrt, weil das Lösungsmittel des Gipses fehlt; endlich in den Auswitterungen und Ausblühungen löslicher Salze.

Auswitterungen (Mauerfraß). Auswitterungen oder Ausblühungen, welche bei allen Mörtelmaterialien vorkommen, rühren meistens von löslichen Salzen her, welche in dem Anmachewasser enthalten sind. Wird kochsalzhaltiges Wasser verwendet, so bestehen sie z. B. bei dem Gips in dem durch Umsetzung entstandenen, unter Volumenvermehrung auskristallisierenden Natriumsulfat und dem hygroskopischen Chlorcalcium. Doch können auch lösliche Bodensalze, Nitrate, herrührend von organischen, stickstoffhaltigen Substanzen (Urin etc.), welche mit der Feuchtigkeit in dem porösen Mauerwerk aufsteigen, die Ursache der Auswitterungen sein.

Der natürliche Anhydrit ist ohne weiteres nicht zu einer Hydratations- und Erhärtungsreaktion befähigt; er erlangt sie aber durch Zusatz von positiven Katalysatoren, wie Natrium, Kalium- und Ammoniumsulfat, Kaliumnitrat, Kaliumdichromat.

Während bei der Hydratation des Stuckgipses eine Volumenvergrößerung stattfindet, welche ungefähr 1 Proz. linear beträgt, so daß die feinsten Einzelheiten von Formen etc. ausgefüllt werden, ist bei dem Hydratations- und Erhärtungsvorgange des Estrichgipses eine Volumenverkleinerung zu beobachten.

Bei dem „Brennen“ des Dihydrats, besonders zu Estrichgips sollte vermieden werden, daß durch Reduktion der Kohle auf den Gips Calciumsulfid gebildet wird, welches bei der Hydratation als negativer Katalysator wirksam ist.

Um diesem Übelstand abzuhelpen, sind in letzter Zeit Brennöfen¹³⁾ konstruiert worden, bei welchen das Brenngut nicht in direkter Berührung mit der Flamme steht.

Von Gay-Lussac¹⁴⁾ rührt die Beobachtung her, daß die relative Härte des Gipses im geraden Verhältnisse zu der Härte des Gipses vor dem Brennen steht; dichte Gipssteine liefern einen harten und dichten Guß, weiche Steine einen weniger dichten.

Der „gebrannte“ Gips nimmt gleich nach dem Erhitzen eine schwach bläuliche Färbung an, welche er nach einiger Zeit wieder verliert, wie ja auch bei anderen Stoffen, z. B. Bleioxyd, Zinnoxid, eine allmähliche Steigerung der Farbintensität bei Temperaturerhöhung zu beobachten ist. Die Ursachen dieser Farbenvertiefungen bei zunehmender Temperatur sind bis jetzt nicht aufgeklärt.

Endlich ist noch erwähnenswert, daß auch das Dihydrat ohne vorausgegangenes „Brennen“ einer Erhärtung zugänglich ist, bei Zusatz von Lösungen von Kaliumsulfat und Kaliumcarbonat; bei Verwendung von konzentrierten Lösungen dieser Salze ist der Betrag der Hydratationsgeschwindigkeit größer als im Falle des Hemihydrats ohne irgendwelchen Zusatz. Als Ursache ist die Bildung einer Doppelverbindung, der Formel $\text{CaSO}_4 \cdot \text{K}_2\text{SO}_4 \cdot \text{H}_2\text{O}$ entsprechend, welche als Salz einer Ditetrahydroxylschwefelsäure aufgefaßt werden kann und Konstitutionswasser enthält, erkannt worden.

Stuckgips, welcher längere Zeit, 8—10 Jahre, aufbewahrt worden ist, wandelt sich teilweise um in Anhydrit und Dihydrat.¹⁵⁾

Das Hemihydrat gelangt zur Verwendung bei Modell- und Stuckaturarbeiten, dient ferner chirurgischen Zwecken; der Estrichgips wird zur Herstellung von Estrich, bei welchem meistens eine 3—5 cm dicke Schicht Gips mit einer 1—2 cm dicken Kiesschicht abwechselt, von Gipsdielen,

Rabitzbau benutzt. In alten Harzer Burgen ist Estrichgips als Mörtel aufzufinden, welcher einen ganz besonders hohen Erhärungsgrad erreicht hat.

Die Härte des Gipses ist nach der mineralogischen Härteskala gleich 2; um seinen Härtegrad zu erhöhen, werden Wasserglaslösung, Kieselfluorwasserstoffsäure, Fluosilicate und Alaun (Alaunisieren) angewendet, ferner flüssige Stearinsäure und in Petroleumäther gelöstes Paraffin (Elfenbeinmasse); doch haben letztere Mittel eine höchst unästhetisch wirkende Gelbfärbung zur Folge.

B. Hydraulische Mörtel.

Das charakteristische Merkmal derselben ist ihre Widerstandsfähigkeit gegen das Wasser; ihrer Zusammensetzung und Herstellungsart nach lassen sich folgende drei Arten unterscheiden:

1. Romanzemente: Sie werden aus tonreichem Mergel durch „Brennen“ unterhalb der Sinterungsgrenze hergestellt; die Dissoziation des Calciumcarbonats soll dabei eine möglichst vollständige sein; sie enthalten mehr freies, nicht im Zustande der festen Lösung mit den anderen siliciumtonhaltigen Bestandteilen befindliches Calciumoxyd als der Portlandzement; ein anderer Teil derselben ist an Kieselsäure und Tonerde gebunden. Enthält der Mörtel zum größten Teile ganz freies, im Zustande des Ätzkalkes befindliches Calciumoxyd, so wird er als hydraulischer Kalk bezeichnet.

Der Unterschied in der Zusammensetzung beider Arten macht sich bei Berührung mit dem Wasser bemerkbar; während der hydraulische Kalk in der gleichen Weise wie Ätzkalk „gelöscht“ werden kann, so ist der Romanzement einem Hydratationsvorgange erst nach der Feinung zugänglich, welcher an den der Puzzuolane und der Portlandzemente erinnert.

2. Puzzuolane: Der wesentliche Unterschied von den Romanzementen besteht darin, daß ihnen Calciumoxyd bzw. Hydroxyd zugesetzt werden muß, um sie zu einem Hydratations- und Erhärtungsvorgang zu befähigen. Im übrigen sind diese hydraulischen Mörtel entweder in der Natur vorkommende vulkanische Stoffe oder ähnlich zusammengesetzte „gebrannte“ Silicate (Hochofenschlacken).

3. Portlandzemente: Während bei den Puzzuolanen die siliciumtonhaltigen Bestandteile infolge eines natürlichen pyrochemischen Vorgangs sich in einem aufgeschlossenen reaktionsfähigen Zustand befinden, ist das zunächst bei dem Rohmaterial des Portlandzements nicht der Fall. Es bedarf einer längeren Erhitzung bei ca. 1400° bis zum Sinterungspunkt, um die siliciumtonhaltigen Bestandteile desselben in den Zustand zu überführen, in welchem sich die Puzzuolane ohne weiteres vorfinden.

Das Rohmaterial des Portlandzements besteht aus einer innigen Mischung von kalk- und tonhaltigen Stoffen. Die Definition des Portlandzements, welche der Verein Deutscher Portlandzementfabrikanten aufgestellt hat (1904), lautet: Portlandzement ist ein hydraulisches Bindemittel von nicht unter 3,1 spez. Gew., bezogen auf den geglähten Zustand, und mit nicht weniger als 1,7 Gew.-Teilen Kalk auf 1 Gew.-Teil Kieselsäure, Tonerde, Eisenoxyd, hervorgegangen aus einer innigen Mischung der Rohstoffe durch Brennen bis mindestens zur Sinterung und darauf folgender Zerkleinerung bis zur Mahlfineinheit.

1. Romanzemente (hydraulische Kalke): Dieselben sind seit dem Jahre 1796 bekannt; das beste Ausgangsmaterial bilden die Kalkmergelnieren, welche in Deutschland im oberbayrischen Gebirge und in Tirol,

ferner an der französischen Meeresküste bei Boulogne und an der englischen Küste am Kanal angetroffen werden.

Sie enthalten folgende Verbindungen, welche durch ihre Löslichkeit oder Unlöslichkeit in Salzsäure charakterisiert sind:

Calciumcarbonat	63,45	Proz.
Magnesiumcarbonat	1,50	"
Eisen oder Manganoxyd	9,40	"
Calciumphosphat	2,50	"
Tonerdesilicate	22,00	"
Kaliverbindungen	1,15	" ¹⁶⁾

Durch das „Brennen“, welches entweder in kontinuierlichen Öfen oder in Schachtofen geschieht, wird ein ähnlicher pyrochemischer Prozeß wie bei dem Brennen des Portlandzements herbeigeführt. Doch liegt die Temperatur bei ersterem Vorgange bedeutend niedriger; die Erhitzung soll an die Dissoziationstemperatur des Calciumcarbonats heranreichen, aber sie nicht überschreiten. Tatsächlich sind die Brenntemperaturen in den verschiedenen Werken sehr verschiedene; nach neueren Messungen etwa bei Segerkegel 3–4 ca. 1170–1210°.

Die pyrochemische Reaktion besteht darin, daß durch die Erhitzung die siliciumhaltigen Bestandteile der Romanzemente aufgeschlossen und in einen reaktionsfähigen Zustand versetzt werden; ein Vorgang, welcher durch das freigewordene Calciumoxyd unterstützt wird. Dieses ist die pyrochemische vorbereitende Phase, welche den Grund zur späteren Hydratation und Erhärtungsreaktion legt. Doch darf die Temperatur nicht die Schmelzpunkte des Stoffgemisches überschreiten: solche Romanzemente sind technisch wertlos¹⁷⁾; insofern als sie keine selbständigen hydraulischen Funktionen mehr besitzen.

Es ist wahrscheinlich, daß der Teil des Calciumoxyds, welcher sich mit den siliciumhaltigen Verbindungen im Zustande der festen Lösung befindet, einen integrierenden Bestandteil auch des Erhärtungsprozesses der Romanzemente bildet.

Das feinstens gemahlene fertige Produkt ist braunrot bis gelblichgrau, hat den Analysen nach folgende Zusammensetzung:

In HCl löslich	I.	II.
Calciumoxyd	40,07	47,53
Magnesiumoxyd	0,00	2,04
Manganoxyd	—	0,50
Eisenoxyd	5,00	7,34
Tonerde	7,13	1,15
Kohlendioxyd	1,38	5,58
Phosphorsäure	—	—
Schwefelsäure	1,00	0,40
Kali	0,25	0,48
Natron	0,50	0,00
In HCl unlöslich		
Eisenoxyd	0,88	0,80
Tonerde	0,30	0,00
Kieselsäure	34,07	28,56
Wasser	1,47	1,20
	66,75	69,54 ¹⁸⁾

Im allgemeinen ist die Hydratationsgeschwindigkeit der Romanzemente größer als bei den Puzzuolanen und Portlandzementen; es mag das daher rühren, daß das noch nicht gebundene Calciumhydroxyd die Hydratationsgeschwindigkeit stark beschleunigt (siehe auch bei Hochofenschlacken). Ist der Überschuß an demselben sehr groß, so erfolgt die Hydratation in ähnlicher Weise wie bei dem Ätzkalk. Ferner kann auch die Hydratationsgeschwindigkeit durch verschiedene Stoffe, als positive und negative Katalysatoren, beschleunigt und verzögert werden, welche den Lösungsdruck der Romanzemente diesen verdünnten Lösungen gegenüber ändern (s. später).

2. Puzzuolane. Wie der Name andeutet, wurden die Puzzuolane zuerst bei Puteoli (Puzzuoli) am Meerbusen von Bajae und Neapel aufgefunden und nach Vitruv von den alten Römern zu Hafenbauten usw. verwendet. Lange Zeit hindurch der Vergessenheit preisgegeben, werden sie seit der Mitte des vorigen Jahrhunderts wieder in ausgedehnterem Maße benutzt.

Zu ihnen sind ferner die Trasse, welche sich besonders in der Eifel vorfinden und die Santorinerde von den griechischen Inseln Santorin und Therasia zu zählen. Alle drei Stoffe sind ihrer Natur und Entstehung nach höchst ähnliche Gebilde, sie gehören der Trachytformation an und verdanken ihre Entstehung submaritimen Eruptionen; sie sind vulkanisches Tuffgestein; und zwar sind bei den Puzzuolanen und Trassen die Zersetzungsreaktionen weiter fortgeschritten als bei der Santorinerde, da letztere in geringerem Maße als jene durch Säuren zersetzbar ist.

Ihre Zusammensetzung ist nach den vorliegenden Analysen die folgende:

In HCl löslich	1. Italienische Puzzuolane	2. Trasse	3. Santorinerde ¹⁹⁾
Kieselsäure	10,24	8,2	Spur
Tonerde	9,00	5,2	1,36
Eisenoxyd	4,76	4,3	1,41
Kalk	1,90	2,2	0,40
Magnesia	—	0,9	0,23
Kali	1,50	2,8	—
Natron	1,50	2,8	—
Wasser	—	6,1	4,06
in HCl unlöslich			
Kieselsäure	48,89	44,0	66,37
Tonerde	12,27	10,0	12,36
Eisenoxyd	—	7,1	2,90
Kalk	—	4,5	2,58
Magnesia	—	1,6	1,06
Kali	2,87	2,8	2,83
Natron	6,23	1,1	4,22

Das wesentlichste Merkmal dieser drei hydraulischen Mörtelarten, welches sie leicht von den Roman- und Portlandzementen unterscheiden läßt, ist, daß sich zwar ihre siliciumtonhaltigen Bestandteile, da sie eine natürliche pyrochemische Phase durchlaufen haben, bereits in einem aufgeschlossenen, reaktionsfähigen Stadium befinden, — doch dürfte die obere Temperaturgrenze, bei welcher ihre Bildung stattgefunden hat, nicht an die Temperatur heranreichen, bei welcher — etwa 1400° — der gleiche pyrochemische Aufschluß

bei den Portlandzementklinkern eintritt — ihnen aber, um sie zu einer Hydratations- und Erhärtungsreaktion zu befähigen, Calciumhydroxyd zugesetzt werden muß.

Diese Mischungen bestehen für die Puzzuolane in 2 Teilen Calciumhydroxyd und 3 Teilen Puzzuolanerde, für die Trasse in 1 Teil Calciumhydroxyd und 2 Teilen Traß.

Einige Differenzen in den Eigenschaften der drei Mörtelarten sind bemerkenswert; außer der in manchen Punkten abweichenden Zusammensetzung, wie sie mit Hilfe der Analyse ermittelt werden kann, ist ihr Verhalten dem Wasser gegenüber verschieden: obwohl allen die Eigenschaft gemeinsam ist, hydrolytisch gespalten zu werden, so erfolgt doch die Abscheidung der kolloidalen Kieselsäure bei den Puzzuolanen und Trassen in weit geringerer Menge als bei den Portlandzementen; um diesen Übelstand nach Möglichkeit zu beseitigen, empfiehlt es sich, aus diesem Grunde für Bauten im Meereswasser an Stelle der künstlichen hydraulischen Mörtel die natürlichen zur Anwendung zu bringen.

Zugleich gestattet dieses Verhalten einen Rückschluß auf die Eigenschaften der in beiden Stoffgattungen enthaltenen Silicate, insofern als die in den Puzzuolanen und Trassen enthaltenen siliciumhaltigen Bestandteile der Hydrolyisationsenergie des Wassers einen größeren Widerstand entgegenzusetzen in der Lage sind, als die in den Portlandzementen.

Dagegen besitzen alle drei Mörtelgattungen die gemeinsame Eigenschaft, daß der Betrag ihrer Hydratationsgeschwindigkeit im allgemeinen geringer als die der Portlandzemente ist, und daß erstere an der Luft nicht den Festigkeitsgrad der Portlandzemente erreichen.²⁰⁾

Bei diesen drei hydraulischen Mörteln ist ein Punkt vorhanden, welcher noch näherer Aufklärung bedarf. Es ist nämlich beobachtet worden, daß diese drei natürlichen Zemente, wenn man sie bis zur Austreibung des Wassers, welches z. B. in den Trassen bis zu 12 Proz. enthalten sein kann, erhitzt, die Fähigkeit zur Erhärtung fast vollständig verlieren. Es ergibt sich daraus, daß die Ansicht G. Feichtingers, welcher die Ursache des Erhärtungsvorgangs in einer Verbindung des Kalks mit der Kieselsäure erkennen wollte, nicht in erschöpfender Weise diesen Beobachtungen Rechnung trägt.

Denn es ist nicht einzusehen, warum nicht auch ohne Gehalt an Wasser diese die Erhärtung bewirken sollende Verbindung sich bilden kann.

Zu diesen drei Mörtelgattungen sind ferner die Hochofenschlacken zu zählen, deren Zusammensetzung der Analyse²¹⁾ nach die folgende ist:

	I.	II.
Kieselsäure	50,00	55,20
Tonerde	18,60	19,20
Kalk	26,40	19,20
Magnesia	2,00	1,40
Manganoxyd	—	1,40
Eisenoxydul	2,40	3,40
Kali u. Schwefel	Spuren	Spuren
	99,40	99,80

Sie werden als stark basische Metasilicate aufgefaßt²²⁾; auffallend und vielleicht einiges Licht auf den Härtungsprozeß aller hydraulischen Mörtel werfend ist die Tatsache, daß diese Hochofenschlacken bei langsamer Ab-

kühlung zerfallen, dagegen rasch abgekühlt hydraulische Funktionen erhalten. Hier wird eine Analogie mit dem Härtingsprozeß des Eisens bemerkbar insofern, als das im Zustande der festen Lösung befindliche Calciumoxyd bezw. Hydroxyd dieselbe Rolle wie bei dem zweiten Vorgange die Härtingkohle spielt.²³⁾

Der Wert der Hydratationsgeschwindigkeit der mit Hochofenschlacken hergestellten Mörtel ist ebenfalls gering; er kann indessen durch die Gegenwart positiver Katalysatoren erhöht werden; besonders wirksam hat sich Kalkmilch erwiesen.

3. Portlandzemente: Im Gegensatz zu den Puzzuolanen einerseits befinden sich die silicium- und tonhaltigen Bestandteile der Portlandzemente nicht in dem aufgeschlossenen, reaktionsfähigen Zustande von vornherein, in welchem jene sich befinden, müssen vielmehr, um in denselben zu gelangen, eine pyrochemische Phase durchlaufen; andererseits, im Gegensatz zu den Romanzementen, muß ihnen das zur Hydratation und Erhärtung notwendige Calciumoxyd hinzugefügt werden; es geschieht dies in der Form von Calciumcarbonat.

Demnach sind die Bestandteile des Rohmaterials der Portlandzemente Tone und tonhaltige Mergel und Kalkstein (Kreide, Wiesenkalk). Brauchbare Tone haben folgende Zusammensetzung²⁴⁾:

	I.	II.	III.
Kieselsäure	68,45	60,00	59,25
Tonerde	11,64	22,22	23,12
Eisenoxyd	14,80	8,99	8,53
Kalk	9,75	4,18	—
Magnesia	—	1,60	2,80
Kali	1,90	1,49	1,87
Natron	2,10	0,72	1,60
Gips	—	0,89	2,73

Ausnahmsweise können auch stark kalkhaltige Mergel ohne weiteren Zusatz von Calciumcarbonat angewendet werden. Die Kalksteine sollen keinen großen Gehalt an Magnesiumcarbonat aufweisen, da in dem fertigen Produkt der Gehalt an Magnesiumoxyd etwa 3 Proz. nicht überschreiten soll. In bezug auf den Hydratations- und Erhärtungsvorgang der Portlandzemente ist Magnesia dem Calciumoxyd nicht gleichwertig.

Aspdin war der erste, welcher empirisch das richtige Mischungsverhältnis zwischen Ton und Kalkstein ermittelte und Portlandzemente herstellte (1824); 1850 wurde in Deutschland das erste Portlandzementwerk von Gierón bei Stettin errichtet.

Die Rohmaterialien können drei verschiedenen Verfahren unterworfen werden; sie können als trocknes Pulver (trockenes Verfahren), zweitens nach dem Schlämmen des einen Bestandteiles mit dem trocknen Pulver des andern (halbnasses Verfahren) und drittens nach dem Schlämmen von Kalkstein und Ton gemischt werden (nasses Verfahren), alsdann werden Steine geformt, getrocknet und gebrannt.

Das Wesentliche ist dabei, daß eine gleichmäßige Mischung und Zerteilung der Rohmaterialien erreicht wird. Durch die Feinung wird eine Erhöhung der Reaktionsfähigkeit erzielt, und in der pyrochemischen Phase erfolgt der Aufschluß der Silicate um so leichter, je mehr Berührungsflächen derselben mit dem Calciumoxyd vorhanden sind.

Mischungen: Empirisch sind folgende Mischungen von Kalk und Ton als brauchbar gefunden worden:

Der Zement soll auf 80 Äquivalente SiO_2 210—230 Äquivalente CaO und 15—25 Äquivalente Al_2O_3 und Fe_2O_3 enthalten. Ein Zuviel an Calciumoxyd ist ebenso schädlich als ein Zuwenig; im ersten Fall tritt „Treiben“, im zweiten Zerfallen ein. Demnach sind die Mischungen auf 76—78 Proz. CaCO_3 und 20—24 Proz. Silicate einzustellen. Nach einer anderen empirisch geprüften Methode stellt man die Mischung so zusammen, daß auf das Siliciumdioxyd im Ton das Fünffache an Kalkstein, und auf die Tonerde im Ton das Zweifache an Kalkstein kommt. Dabei ist der Gehalt an Silicaten, $\text{SiO}_2 + \text{Al}_2\text{O}_3 + \text{Fe}_2\text{O}_3$, im Kalkstein zu berücksichtigen. Enthält der Ton CaCO_3 , so ist dieser Gehalt in Rechnung zu bringen. Besonders ist darauf zu achten, daß die Zemente die nötige Menge Fe_2O_3 , mindestens 3 Proz., enthalten. Tadellose Portlandzemente „bestehen“ der Analyse nach in der Regel aus:

Glühverlust:	0— 2	Proz.
SiO_2 :	15—20	„
Al_2O_3	3— 8	„
Fe_2O_3 :	3— 6	„
CaO :	58—64	„
MgO :	0— 4	„
K_2O etc.:	0— 2	„
SO_3	0— 2	„

Von größter Bedeutung ist, daß sich das Calciumoxyd, welches mit den siliciumhaltigen Bestandteilen des Rohmaterials in den Zustand der festen Lösung überführt worden ist, in der richtigen Konzentration vorfindet.

Im Werdegange der Portlandzemente bis zur abgeschlossenen Erhärtung müssen vier verschiedene Zustände unterschieden und streng voneinander getrennt betrachtet werden: a) der pyrochemische Zustand (S. 192); b) die Feinung und das Lagern (S. 193); c) die Hydratation, welchem sich der Erhärtungsvorgang anschließt (S. 195); d) das Gebiet der vollständigen Reaktionslosigkeit nach vollendeter Erhärtung (S. 203).

a) Die pyrochemische Phase. Die nähere Kenntnis über den pyrochemischen Reaktionsverlauf oder -verläufe, da infolge inkonstanter Temperatur, etwa 1400 bis 2000 °, verschiedenartige angenommen werden müssen, steht zurzeit noch aus und ist auf die oben angegebenen Vermutungen beschränkt. Besonders die Behauptungen über die Bildung wohl charakterisierter Verbindungen, welche später als Ursache des Erhärtungsvorgangs angesehen wird, ermangeln einer beweiskräftigen Begründung. In diesem Temperaturgebiete erfolgt die Sinterung. Die Eigenschaften der Stoffe im gesinterten Stadium sind aber wesentlich andere als im geschmolzenen. Die Sinterung ist nicht nur eine oberflächliche Schmelzung, sondern sie ist dadurch charakterisiert, daß Teile, sei es an einem einzelnen, homogenen Stoffe, sei es an einem inhomogenen Gemenge, sich bereits im geschmolzenen Aggregatzustande befinden, während andere Teile in der festen Formart noch verharren, und von den flüssigen durchtränkt werden; bei einem Gemenge, wie es die Rohmaterialien des Portlandzements darstellen, kommt hinzu, daß der bereits flüssige Anteil unter Schmelzpunkterniedrigung von der festen Substanz aufzunehmen vermag. Ein weiteres Kennzeichen ist, daß die Entfernung des Sinterungspunktes vom eigentlichen Schmelzpunkt bei einem

Stoffe, der von dem höchsten Schmelzpunkt eines Bestandteils eines Gemenges bald kleiner, bald größer, je nach der Natur der Stoffe sein kann.

Für die Wichtigkeit der während der Sinterungsphase sich abspielenden Vorgänge spricht es, daß in derselben der Höhepunkt der Erhärtungsfähigkeit erreicht wird, während sie bei Steigerung der Temperatur und Annäherung an die Schmelzpunkte wieder sinkt. Diese Vorgänge gipfeln aber in der Bildung der festen Lösung des Calciumoxyds in der Kieselsäure und der Tonerde.

Ferner verdient der Umstand Berücksichtigung, daß diese pyrochemischen Reaktionen nicht mit der Erreichung einer Maximaltemperatur ihr Ende finden, sondern noch jenseits dieser Grenze fort dauern. Nach dem Maupertuisschen Satze vom kleinsten Zwange, nach dem van't Hoff'schen Gleichgewichtsgesetze²⁵⁾, dessen mathematischer Ausdruck

$$\frac{d \ln K}{dT} = \frac{q}{2T^2}$$

ist, wird die Bildung von endothermischen Verbindungen angenommen werden müssen. Aber weitere Gesetzmäßigkeiten, welche diese Stoffe, im Übergangsstadium zwischen festem und flüssigem Aggregatzustande, betreffen, fehlen einstweilen noch.

Soviel steht nur fest, daß — außer der Dissoziation des Kalksteins —, die siliciumtonhaltigen Bestandteile infolge des Aufschlusses durch das Calciumoxyd in einen reaktionsfähigen Zustand gebracht werden, während ein Teil des Calciumoxyds eine feste Lösung mit ihnen bildet; es entsteht eine verdünnte feste Lösung des Calciumoxyds in den Silicaten, Ferraten, Aluminaten usw., und diese Bildung ist die spätere Ursache des Erhärtungsvorgangs.

Eine Ahnung dieses Tatbestands scheint bereits²⁶⁾ H. Frühling vorgeschwebt zu haben, wenn er über den erhärteten Zement aussagt, daß derselbe allgemein, und zwar chemisch wie physikalisch nur als ein dichtes Kalkhydrat wirkt. Es gelingt niemandem, die wasserhaltigen Kalksilicate, welche in der Natur vorkommen und welche man als Typen der erhärtenden Substanzen des Mörtels angenommen hat, durch Lösung eines Ammoniumsalzes zu zersetzen, während in der Regel der gesamte Kalkgehalt eines Zementmörtels, sei er aus Portland- oder Romanzement hergestellt, direkt zersetzend, dem Kalkhydrate ähnlich auf die Ammoniumsalzlösungen einwirkt. Dieses Verhalten in der Periode der Reaktionslosigkeit ist eben als notwendige Folge des in der pyrochemischen Phase erreichten Zustands anzusehen.

Das „Brennen“ der getrockneten Zementsteine geschieht entweder in periodischen Schachtföfen oder in Öfen mit kontinuierlichem Brande. Der Nachteil der ersteren besteht darin, daß sie oft ein Produkt liefern, welches noch freies, in der Modifikation des Ätzkalkes befindliches Calciumoxyd enthält; die Folge ist bei der Hydratation eine starke Erwärmung und ein mangelhafter Erhärtungsvorgang.

Die Öfen mit kontinuierlichem Brande (Etageöfen von Dietsch, Ringöfen von Hoffmann) haben den Vorzug, daß Brennmaterial gespart werden kann. Beide Arten haben den gemeinsamen Fehler, daß das Brenngut in direkter Berührung mit dem Brennmaterial, der Flamme, steht, so daß ein wenig kontrollierbarer Einfluß derselben auf die pyrochemischen Reaktionsvorgänge stattfinden muß.

b) Die Feinung und das Lagern: Die gebrannten Klinker werden

an Walz- oder Brechwerken zerkleinert, alsdann in Kugelmöhlen zu staubfeinem Pulver gemahlen und gesiebt. Die Korngröße des Pulvers ist für den Hydrations- und Erhärtungsvorgang von der allergrößten Bedeutung; es ist erwiesen²⁷⁾, daß Zementkörner, welche ein Sieb von 900 Maschen auf 1 qcm bei dem Absieben nicht mehr passieren können, für denselben nicht in Betracht kommen.

Andererseits sind Körnchen, welche ein Sieb von 5000 Maschen auf 1 qcm passiert haben, am reaktionsfähigsten. Daher ist die Leistungsfähigkeit ein und desselben Portlandzements — abgesehen von seiner sonstigen Zusammensetzung — in vielen Fällen von dem Grade seiner mehr oder weniger feinen Verteilung abhängig.

Es beruht dieser Umstand darauf, daß außer der durch die kleineren Zementpartikelchen bewirkten stärkeren Adhäsion die Reaktionsfähigkeit dem Wasser gegenüber eine viel größere geworden ist. Zugleich wird dadurch der Betrag der Hydrationsgeschwindigkeit erhöht, ungeachtet der sonstigen Zusammensetzung der Portlandzemente und etwaiger katalytischer Beeinflussung der ersteren. Wie nun überhaupt dem feinen zerteilten Portlandzementen ein höherer Lösungsdruck zuzuschreiben, welcher bei ihrer Hydratisierung insofern wesentlich eine Rolle spielt, als auch hier wie bei dem Gips die sich hydratisierenden Stoffe erst in Lösung gegangen sein müssen, ehe eine Wasserbindung erfolgen kann.

Aber auch für die in der Erhärtungsphase stattfindenden mechanischen Erhärtungsvorgänge — zwischen Stoffen im festen Aggregatzustande — ist der Grad der Feinung wertvoll; die Geschwindigkeit derselben muß mit zunehmender Feinung der festen Stoffe wachsen, demnach der erhärtete Zustand früher erreicht, und der Grad der Festigkeit (Druck- und Zugfestigkeit) erhöht werden.

An die Mahlung der Portlandzemente schließt sich in der Regel das längere und kürzere währende Lagern in Silos an. Es hat das den Vorteil und den Zweck, etwaigen allzu hohen Betrag der Hydrationsgeschwindigkeit zu mindern, was durch Aufnahme von Wasser und Kohlendioxyd geschieht. Doch wird der Wert der Lagerung für die Leistungsfähigkeit der Portlandzemente wohl oft überschätzt.

Zugleich findet eine Volumenänderung statt, welche mit einer Volumenverminderung beginnt und allmählich in ein Wachsen des Volumens übergeht.

Häufig nun hat sich der Übelstand herausgestellt, daß während des Lagerns der Betrag der Hydrationsgeschwindigkeit kleine oder große Änderungen aufwies, sogar der Sinn derselben sich umkehrte, so daß statt eines „Langsambinders“ ein „Schnellbinder“ an der Verwendungsstelle beobachtet wurde. Es liegt an der Verwendungsart des Portlandzements, daß meistens nur der eben beschriebene Fall die Aufmerksamkeit auf sich gezogen hat, obgleich das entgegengesetzte Verhalten (die Umwandlung eines „Schnellbinders“ in einen „Langsambinder“) sich nicht weniger häufig zeigen dürfte.

Als Ursachen sind bisher folgende Momente zur Geltung gebracht worden²⁸⁾: es kann während der Lagerung Selbstfeinung, ein weiterer, selbständiger Zerfall der Zementpartikelchen stattfinden; die Folge ist eine Beschleunigung der Hydrationsgeschwindigkeit (s. oben). Eine Zustandsänderung der Aluminate unter dem Einflusse der Luft kann die Veranlassung sein. Die Art der

Lagerung ist maßgebend, ob der Zement in dünnen Schichten, an trockner Luft oder in gewaltigen Massen bei größerer Luftfeuchtigkeit lagert. Endlich soll bei langandauernder Lagerung enormer Zementmassen eine größere Wärmeentwicklung und als Folge eine chemische Zersetzung stattfinden. Diese Beobachtungen weisen aber erst auf die Grundursache dieser Erscheinung hin, welche in der Bildung eines oder mehrerer positiver oder negativer Katalysatoren, welche den Lösungsdruck und damit die Hydratationsgeschwindigkeit ändern (s. später), zu suchen ist. Unterstützt wird diese Bildung durch die Selbstfeinung, durch die Unbeständigkeit der Aluminate, durch die Art und Weise der Lagerung, endlich durch die Wärmeentwicklung, und vielleicht auch durch den im Innern großer lagernder Zementmassen herrschenden Druck.

Schließlich ist lagernder Portlandzement in so ungeheurer Feinung kein im stabilen Gleichgewicht ruhendes Gebilde, etwa wie ein Kristallgemisch, sondern ununterbrochen ändert sich seine ‚Konstitution‘ infolge der in ihm stattfindenden Reaktionen.

Von den Stoffen, welche sich im lagernden Zement bilden und katalytisch wirksam sein können, kommen in erster Linie Alkali und Aluminiumverbindungen in Betracht.

Durch Zusatz oder Bildung von noch nicht 1 Proz. von Natroncarbonat oder Aluminiumsulfat wird ein „Langsambinder“ in einen „Raschbinder“ umgewandelt. Die Bildung des Natroncarbonats erfolgt aus alkalihaltigen Rohmaterialien; in der pyrochemischen Phase ist es in der Form des Oxyds vorhanden, und zwar ebenso wie ein Teil des nicht gebundenen Calciumoxyds im Zustande der festen Lösung. Während der Lagerung vollzieht sich infolgedessen die Umwandlung in das Carbonat mit geringerer Geschwindigkeit als gewöhnlich.

Die Regel von der gemeinsamen Wirksamkeit zwei oder mehrerer Katalysatoren hat für alle diese Fälle Gültigkeit.

Die Ursachen dieser katalytischen Beeinflussungen sind auch hier in der Änderung der Lösungstension des Portlandzements dem Wasser und den Salzlösungen gegenüber zu suchen. (Siehe später.)

c) Hydratations- und Erhärtungsvorgang. Nach dem Lagern sind die Portlandzemente zur Verwendung fertig, welche auf ihren Hydratations- und Erhärtungsprozesse beruht. Beide Vorgänge sind voneinander zu trennen, wenn auch die Gebiete beider sich teilweise überdecken.

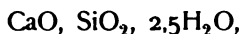
Über die Ursachen derselben sind zuerst von Fuchs²⁹⁾ Vermutungen ausgesprochen worden; nach demselben hat der Erhärtungsprozeß eine chemische Vereinigung zur Grundlage, welche zwischen der aufgeschlossenen Kieselerde und dem Kalkhydrat unter dem Einfluß des Wassers erfolgt; eine Theorie, welcher sich auch Pettenkofer anschloß.

Feichtinger³⁰⁾ ist der Ansicht, daß der Erhärtungsprozeß drei chemischen Wirkungen, welche alle drei eintreten müssen, zu verdanken ist, nämlich erstens der Hydratation der Kieselerde, der Silicate und des Ätzkalkes; zweitens der Verbindung der Silicate und der Kieselsäure mit Kalkhydrat, und drittens der Überführung des überschüssigen Calciumhydroxyds in Calciumcarbonat.

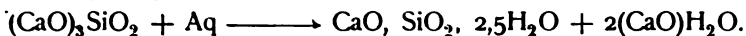
Nach Knapp³¹⁾ sind folgende Bedingungen notwendig, damit eine Erhärtung eintritt; 1. es muß Wasser gebunden werden; 2. es darf keine allzu

große Wärmeentwicklung stattfinden, damit der Prozeß langsam verläuft; 3. die Menge des gebundenen Wassers ist dabei maßgebend; 4. ferner die Menge der zum Anmachen des Zements verwendeten Wassers; 5. die Korngröße der gepulverten Masse; 6. die Zeit der Einwirkung des Wassers; 7. der mechanische, der Ausdehnung entgegenwirkende Widerstand; 8. die Raumerfüllung und das Volumengewicht.

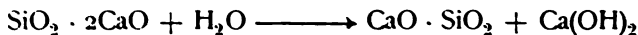
Le Chatelier³²⁾ bezeichnet eine bestimmte Reaktion als Ursache des Erhärtungsprozesses; nämlich die Umwandlung eines basischen Calciumsilicats mit Wasser in das wasserhaltige Silicat,



und Calciumhydroxyd, nach dem Schema:

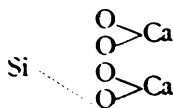


Um noch einige neuere Ansichten meist in der Praxis stehender Forscher zu erwähnen, so schließt Tomei³³⁾, daß die Stabilität der kalkhaltigen Zusammensetzungen mit der Zeit zunimmt, und daß in dem Mörtel ein Teil der Kieselsäure eine Verbindung mit dem Kalk eingeht; A. Hauenschild³⁴⁾ erklärt in ähnlicher Weise den Erhärtungsprozeß, indem er annimmt, daß die „Affinität“ des Kalkes zu der Kieselsäure mit der Zeit und zwar in dem Maße wächst, als die Silicate weniger basisch sind; nach Zulkowsky³⁵⁾ findet die hydraulische Abbindung durch die Einwirkung des Kalkes, welcher sich in freiem Zustande im Zement befindet, auf kalkhaltige Zusammensetzungen statt. Nach O. Rebuffat³⁶⁾ dagegen hat der Erhärtungsvorgang eher die Zersetzung eines basischen Produkts zur Grundlage, und Ljain³⁷⁾ zieht den Schluß, daß während der Erhärtungsperiode Kalkhydrat in mit der Zeit zunehmender Menge ausgeschieden wird. Doch warnt O. Rebuffat davor, aus den analytischen Daten über die Zusammensetzung der Portlandzemente Folgerungen auf ihre hydratischen und erhärtenden Eigenschaften zu ziehen. Dagegen betrachtet Zulkowsky³⁸⁾ das Dicalciummetasilicat als hydraulische Masse, deren Umwandlungsvorgang nach dem Schema:

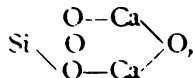


als Erhärtung verursachender angesehen wird. Bei der Tonerde zerfallen die beiden Verbindungen $\text{Al}_2\text{O}_3 \cdot 2\text{CaO}$ und $\text{Al}_2\text{O}_3 \cdot \text{CaO}$ in Kalkhydrat und Tonerdedi- oder -monohydrat. Das sind nach Zulkowsky die hydraulischen Bestandteile der Portlandzemente.

A. Meyer³⁹⁾ sieht, indem er ein Calciumsilicat als in zwei Formen existierend annimmt, einmal als Orthosilicat, schematisch dargestellt durch



und als Metasilicat



letztere Verbindung allein, weil sie Calciumoxyd als anhydridartiges Gebilde gebunden enthält, für hydratisierbar an.

Nach Jex⁴⁰⁾ bewirken den Erhärtungsprozeß im Portlandzement die Kalkorthosilicate von der Zusammensetzung Ca_2SiO_4 , welche sich aus den Kalk-

metasilicaten bei Gegenwart freien Kalkes bilden, in dem durch Einfluß des Wassers ein Molekül H_2O frei wird und ein Metasilicat entsteht.

Wie man erkennt, sind hinreichend Vermutungen über die Ursachen der Erhärtung des Portlandzements vorhanden; im allgemeinen gehen die Auffassungen der verschiedenen Forscher nach zwei Richtungen auseinander; während die einen die Ursachen des Erhärtungsprozesses in einer zunehmenden Vereinigungsfähigkeit der siliciumhaltigen und tonerdehaltigen Bestandteile mit dem Calciumoxyd und den daraus resultierenden, verschiedenen chemischen Verbindungen erblicken, finden die anderen eine zureichende Erklärung in der Zersetzung basischer Silicate und Abscheidung von Calciumhydroxyd. Allerdings haben die mikroskopischen Untersuchungen von Dünnschliffen des erhärteten Portlandzements ergeben, daß kristallisiertes Calciumhydroxyd vorhanden ist. Es würde zu weit führen, alle Versuche und Ansichten der Praktiker und Theoretiker an dieser Stelle wiederzugeben; sie haben meist ein negatives Resultat gehabt. Denn weder die zahlreichen vorliegenden Analysenresultate der Klinker und des erhärteten Portlandzements noch die Versuche, Calciumsilicate und andere Verbindungen für sich darzustellen und mit solchen im Portlandzement zu identifizieren, haben eine zureichende Antwort auf die Frage geben können, welchen Umständen der technisch so wichtige hydraulische Erhärtungsprozeß zu danken ist.

Bis jetzt galt das von Büsing und Schumann⁴¹⁾ gebrauchte Wort:

Die Ursachen des Erhärtungsvorgangs sind bis jetzt noch nicht genügend aufgeklärt, es ist noch nicht festgestellt, ob die Erhärtung von einer bestimmten chemischen Verbindung ausgeht und von welcher, und welche chemische Umsetzungen bei der Erhärtung stattfinden;
und

es gibt ebensoviel Ansichten über den Erhärtungsprozeß der Portlandzemente, als Spezialisten sich mit diesem Gegenstand beschäftigt haben.

Was nun die Beziehungen zwischen dem Betrage der Hydratationsgeschwindigkeit und die Zusammensetzung der Rohmaterialien anbetrifft, so ist erwiesen, daß im allgemeinen tonreiche Materialien „raschbindende“, siliciumreiche „langsambindende“ Zemente liefern. Außerdem spielt die Brenntemperatur insofern eine Rolle, als durch sehr hohes und scharfes Brennen meist „raschbindende“ Zemente erzielt werden.

Es ist nun die Aufgabe nachträglicher Zusätze, die Hydratationsgeschwindigkeit der Portlandzemente, welche für die meisten Zwecke „langsam bindend“ gewünscht werden, zu verzögern. Als billigster negativer Katalysator dient in der Praxis das Dihydrat des Calciumsulfats, welches in der festen Formart zur Verwendung gelangt. Es beruht auf der Ursache der Wirkung negativer Katalysatoren, daß die verzögernde Tendenz des Gipses weit hinter der gelöster anderer Salze zurückbleibt. Büsing und Schumann⁴²⁾ führen die Wirkung teils auf mechanische, teils auf chemische Ursachen zurück; einmal löst sich der Gips im Mörtelwasser, um sich dann in äußerst feiner Verteilung auf die Zementpartikelchen niederzuschlagen, so daß er als schützende Hülle die chemische Einwirkung des Wassers verzögert und infolgedessen das Abbinden verlangsamt; ferner bildet sich durch Reaktion des Gipses mit den Bestandteilen des Zements beim Erhärten in Wasser Tonerdekalksulfat, welches unter Aufnahme von Wasser kristallisiert und hierbei sich stark ausdehnt. Daher darf der Gipszusatz 2 Proz. nicht überschreiten, wie das auch die vom preußischen Ministerium bestätigten

„Normen“ vorschreiben. Bei Verwendung von Gips über 2 Proz. tritt unter Wasser übergroße Bildung von Tonerdekalksulfat ein, welches infolge Volumenvergrößerung eine Sprengung des im Erhärten begriffenen Zements hervorruft. Indessen trifft eine derartige Erklärung auf die übrigen positiven und negativen Katalysatoren nicht zu.

Außer einer großen Anzahl sich indifferent verhaltender Stoffe sind die folgenden, und zwar in verdünnten Lösungen, wirksam:

NaCl	0
LiCl	0
CaCl ₂	+
AlCl ₃	+
K ₂ Cr ₂ O ₇	—
K ₂ SO ₄	—
Al ₂ (SO ₄) ₃	+
AlK(SO ₄) ₂ + 12H ₂ O	+
K ₂ CO ₃	+
Na ₂ CO ₃	+
Na ₂ B ₄ O ₇ + 10H ₂ O .	—

Die Bedeutung der Zeichen ist die gleiche wie auf Seite 185. Die quantitativen Beziehungen, welche zwischen der Konzentration der verwendeten Lösungen und ihrer Wirkung auf die Hydratationsgeschwindigkeit bestehen, sind die folgenden: 1. es findet zwischen beiden eine angenäherte Proportionalität statt. 2. Besitzt die Hydratationsgeschwindigkeit an und für sich schon einen geringen Wert, so erzielt der Katalysator, möge er positiv oder negativ sein, eine größere Wirkung, als in den Fällen, in welchen die Hydratationszeit klein ist. 3. Die katalytische Beeinflussung ist für geringere und mittlere Zusätze relativ größer, als für sehr große Zusätze, gleichgültig, ob dieselben beschleunigender oder verzögernder Natur sind. 4. Einige dieser katalytischen Stoffe rufen, sobald eine bestimmte, von dem sich hydratisierenden Portlandzement und dem betreffenden Katalysator abhängige Grenze in bezug auf die Konzentration seiner Lösung erreicht ist, nunmehr statt einer Beschleunigung eine wiederum mit wachsender Konzentration der Lösungen steigende Verzögerung und umgekehrt hervor.

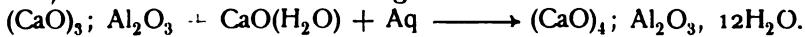
Positive Katalysatoren, wie Natroncarbonat und Aluminiumchlorid, welche in verdünnten Lösungen die Hydratationsgeschwindigkeit beschleunigen, werden von einer Konzentration von 6—7 Proz. an negativ, Natriumchlorid, in verdünnter Lösung indifferent, verzögert von 4proz. Lösungen an die Hydratationsgeschwindigkeit; Calciumchlorid, welches in verdünnter Lösung im negativen Sinne wirksam ist, wird in konzentrierten Lösungen von 9 Proz. positiv.⁴³⁾

Bei Gegenwart von zwei oder mehreren Katalysatoren gilt auch hier die Regel, daß ihre Wirkung teils additiv ist, teils die Katalysatoren sich gegenseitig abschwächen, in manchen Fällen so, daß Kompensation ihrer Wirkungen eintritt, endlich daß sie sich in ihrer Wirkung über die Summierung hinaus steigern können. Beispielsweise macht im Kali-Alaun der eine der Komponenten, Al₂(SO₄)₃, eine stark beschleunigende, der andere, K₂SO₄, eine verzögernde Beeinflussung geltend, so daß als Gesamtwirkung eine verminderte Beschleunigung der Hydratationsgeschwindigkeit erscheint.

Als Ursachen der Beschleunigung und Verzögerung der Hydratationsgeschwindigkeit durch diese katalytischen Substanzen, welche zugleich Elek-

trolyte sind, lassen sich Änderungen der Lösungstensionen der sich hydratierenden Portlandzemente erkennen, und zwar so, daß Lösungsdruckvergrößerung und Beschleunigung der Hydratationsgeschwindigkeit, Lösungsdruckverringerung und Verzögerung in Parallelismus stehen. Es werden demnach diejenigen Portlandzemente den größeren Betrag der Hydratationsgeschwindigkeit aufweisen, welchen die größere Lösungstension dem Wasser gegenüber zuzuschreiben ist (sog. Schnellbinder) und umgekehrt (sog. Langsambinder).

Außerdem können einzelne Verbindungen der Portlandzemente selbst, in diesem Sinne katalytisch wirksam, ihren Lösungsdruck ändern; z. B. die leichter löslichen Aluminate, nach Le Chatelier⁴⁴⁾ ein basisches Calciumaluminat, welches nach dem Schema gebildet wird:



Die Hydratationsreaktion selbst ist eine exothermische; die Erwärmung beträgt im höchsten Falle etwa 30°. Aus dem oben erwähnten Parallelismus ist auch hier der Schluß zu ziehen, daß der Portlandzement erst gelöst sein muß, ehe die Wasserbindungsreaktion erfolgt. Eine durchaus nicht naheliegende und selbstverständliche, aber mit zwingender Notwendigkeit aus den obigen Tatsachen sich ergebende Annahme.

Nach Überschreitung der verschiedenen Löslichkeitsprodukte erfolgt die zum Teil kristallinische Abscheidung der gelösten Stoffe, womit die Hydratisierung zu Ende geführt worden ist. Wahrscheinlich wird schon während der Hydratationszeit kolloidale Kieselsäure hydrolytisch abgespalten.

Einfluß der Temperatur: Die Hydratationsreaktion der Portlandzemente ist in bezug auf Temperaturänderung sehr empfindlich; ihre Geschwindigkeit wird mit ansteigender Temperatur beschleunigt, während eine Temperaturschwankung für die Erhärtungsreaktionen von geringer Bedeutung ist.

Meerwasser als Hydratationswasser: Die Bestandteile des Meerwassers, als einer verdünnten elektrolytischen Lösung, werden im einzelnen folgenden Einfluß auf die Hydratationsgeschwindigkeit haben: die Chloride der Alkalien verhalten sich indifferent, die Sulfate der Alkalien und alkalischen Erden verzögern die Hydratationsgeschwindigkeit. Das sekundär entstandene, infolge Umsetzung mit Magnesiumchlorid und Magnesiumsulfat entstandene Calciumchlorid und Calciumsulfat erweisen sich ebenfalls als Verzögerer. Die oben erwähnte Gesetzmäßigkeit über die gleichzeitige Wirksamkeit mehrerer Katalysatoren findet hier Anwendung. Das Meerwasser, als Hydratationswasser verwendet, verzögert bald mehr, bald weniger die Hydratationsgeschwindigkeit, indem es den Lösungsdruck der Portlandzemente verringert.

Einwirkung des Meerwassers auf den erhärteten Portlandzement. Die bisher angestellten Versuche über die Einwirkung des Meerwassers auf den erhärteten Portlandzement haben Resultate gehabt, welche eine eindeutige Lösung nicht gestatteten. Man übersah dabei die physikalisch-chemischen Ursachen der Einwirkung. Viel wesentlicher als die erwähnte Umsetzung der im Portlandzement enthaltenen Calciumsalze mit den Magnesiumsalzen des Meerwassers ist der verschieden große Lösungsdruck der Portlandzemente gegen die elektrolytische Lösung des Meerwassers, in welchem die Konzentration der verschiedenen Kationen- und Anionengattungen eine variable ist. Besondere Aufmerksamkeit verdient der zur Verzögerung

der Hydratationsgeschwindigkeit den Portlandzementen hinzugefügte Gips, welcher in verdünnten Lösungen von Natriumchlorid, je nach ihrer Konzentration, löslich ist. Es ist daher notwendig, Portlandzement oder Beton mit einem anderen negativen Katalysator zu versetzen, oder bei Anwendung von Gips die unter Süßwasser bereits erhärteten Portlandzement- und Betonblöcke zu Meeresbauten zu verwenden.⁴⁵⁾

Das Treiben der Portlandzemente: Als Ursachen des „Treibens“ sind zwei Ursachen im wesentlichen erkannt worden; einmal kann es daher rühren, daß der Gehalt an Magnesiumoxyd ca. 3 Proz. übersteigt; es findet dann eine Hydratisierung desselben mit geringer Geschwindigkeit statt. Zweitens kann in der pyrochemischen Phase bei ungenügender Temperatur ein unvollkommener Aufschluß der Silicate stattgefunden haben, so daß einige unbeständige Aluminatverbindungen gebildet werden, welche an der Luft zerfallen (Lufttreiben), oder es kann nicht genügend Calciumoxyd in den Zustand der festen Lösung mit den silicium- und tonerdehaltigen Bestandteilen überführt worden sein, so daß ein größerer Teil desselben in der Modifikation des gewöhnlichen Ätzkalkes vorhanden ist, welcher sich in Berührung mit Wasser „löscht“ und zugleich eine Volumenvermehrung hervorruft (Wasser-treiben) und Sprengung der zusammenhängenden Masse, wie bei einem Prozentgehalt von ca. 3 Proz. Magnesia, verursacht.

Auch die Geschwindigkeit, mit welcher sich die Erhärtungsvorgänge vollziehen, setzt mit einem hohem Betrage ein, um ganz allmählich den Nullwert zu erreichen; es können Jahre darüber vergehen, ehe vollständige Reaktionslosigkeit eingetreten ist. Diese Vorgänge bilden ein gutes Beispiel für Vorgänge zwischen Stoffen im festen Aggregatzustande überhaupt, welche so langsam verlaufen, daß eine experimentelle Untersuchung unmöglich wird, und Wochen und Jahre vergehen können, ehe eine Wirkung als Folge solcher Reaktionen sichtbar wird.⁴⁶⁾

Die Erfahrung hat gezeigt, daß bei den Portlandzementen, bei denen die Hydratationsgeschwindigkeit einen hohen Wert besitzt, die Geschwindigkeit der Erhärtungsreaktionen kleiner als jene ist.

Über den Verlauf der einzelnen Erhärtungsreaktionen bestehen die schon erwähnten Hypothesen: für die Erhärtungsphase ist noch nicht mit Sicherheit festgestellt worden, welche Umsetzungen, Verbindungen und Trennungen stattfinden, und welche bisher angenommenen stöchiometrischen Kombinationen, wie Aluminiumkalksilicat, Calciumtrisilicat, Aluminiumhydrosilicat usw. den integrierenden Bestandteil des Erhärtens bilden. Zweifellos aber findet eine Konstitutionsänderung im erhärtenden Portlandzement statt.

Dagegen läßt sich einiges Andere mit einiger Gewißheit sagen: bei dem Sinterungspunkt wird eine feste Lösung von freiem Calciumoxyd in den silicium- und tonerdehaltigen Bestandteilen der Portlandzemente gebildet; es findet eine gegenseitige molekulare Durchdringung statt in ähnlicher Weise, wie Kohlenstoff in Eisen eindringt. Das Prinzip der Erhärtung ist das gleiche wie bei der des Eisens.

Aus diesem Umstand erklärt sich die geringe Reaktionsfähigkeit des Calciumoxyds dem Wasser gegenüber ungezwungen; denn da es sich um keine Hydratation des gewöhnlichen Ätzkalkes handelt, so ist der Betrag der Hydratationsgeschwindigkeit ungewöhnlich klein. Eine bestimmte Menge von im Zustande der festen Lösung befindlichem Calciumoxyd muß im Portlandzement vorhanden sein, damit er den Grad der Festigkeit und die übrigen

Eigenschaften erlangt, welche ihn zu einem so wertvollen hydraulischen Bindemittel machen. Das Mehr oder Weniger über diese notwendige Menge hinaus bedingen dieselben.

Daher bezeichnete schon Frühling⁴⁷⁾ als Aufgabe der Zementfabrikation, möglichst viel Calciumoxyd in den Zement in einer Form zu bringen, in welcher er sich ohne Volumenvergrößerung langsam hydratisiert. Ferner machte er darauf aufmerksam, daß es sich nicht nachweisen läßt, daß sich Silicate überhaupt nach der Erhärtung gebildet haben. Vielmehr ist das Kalkhydrat die Grundlage der verkittenden Eigenschaften der Elemente. Kieselsäure und Tonerde sind dagegen Stoffe, welche bewirken, daß die Hydratbildung nicht plötzlich mit Volumenvergrößerung, sondern nur allmählich stattfindet.

Überhaupt ist die Tendenz der Kieselsäure, mit dem Kalk zu einer chemischen Verbindung zusammenzutreten, nicht sehr groß, da in der Natur verhältnismäßig selten kristallisierte, wasserhaltige Mineralien aus Kieselsäure und Kalk vorkommen, obgleich die Natur beiden Stoffen reichliche Gelegenheit, sich zu vereinigen, gegeben hat.

Es ist der Gedanke, daß die Bildung einer oder mehrerer normaler chemischer Verbindungen als zureichende Erhärtungsursache gelten könne, angesichts der Tatsache, daß es Zemente gibt, welche der Analyse nach von vortrefflichen Zementen nicht abweichen, auch im spezifischen Gewicht übereinstimmen, und doch nicht erhärten, abzuweisen.

Eine Gesetzmäßigkeit, welche sich auf alle mit Erhärtungsreaktionen verbundene Hydratationsreaktionen erstreckt, hat auch für den Erhärtungsprozeß der Portlandzemente Gültigkeit: sie sagt aus, daß die eigentlich aktive Masse, in möglichst großer Feinung, daher auch mit stärkerem Lösungsdruck und der größten Tendenz zur Hydratation und Erhärtung ausgestattet, im Verhältnis zur inaktiven Menge nur gering sein braucht; wie ja auch sonst bekannt ist, daß die Wirkung eines möglichst fein verteilten Stoffes in chemischer Beziehung zwar nicht der Art, wohl aber dem Grade derselben nach von der größerer Stücke abweicht. Demnach spielt die inaktive Menge dieselbe Rolle wie der Sand, Kieskorn bis zum Felsstück (siehe später unter Zementmörtel), die auch sonst zugesetzt werden, um seine Wetterbeständigkeit zu erhöhen. H. Klein und F. Peckhaus⁴⁸⁾ sind der Ansicht, daß alle wirksamen Bestandteile der Portlandzemente, welchen die Hydratations- und Erhärtungsreaktionen zu verdanken sind, diejenigen sind, welche sich glatt in 10 proz. Salzsäure auflösen.

Das sehr zahlreiche vorliegende Analysenmaterial (Tabelle) sowohl des nicht hydratisierten (Zementklinker) wie der hydratisierten Portlandzemente lassen über den Verlauf der Erhärtungsreaktionen nichts erkennen; allenfalls läßt sich aus ihnen herauslesen, daß an Tonerde oder an Alkalien reiche Portlandzemente einen großen Betrag der Hydratationsgeschwindigkeit aufweisen werden (Schnellbinder), während solche, welche einen größeren Gehalt an SiO_2 besitzen, das umgekehrte Verhalten zeigen.

Zement	A	B	C
Glühverlust			
($\text{CO}_2 + \text{H}_2\text{O}$)	2,47 ⁴⁹⁾	1,57 ⁴⁹⁾	1,90 ⁴⁹⁾
SiO_2	25,53	21,97	23,36
Al_2O_3	4,16	7,47	9,20
Fe_2O_3	3,72	2,70	5,12

Zement	A	B	C
Glühverlust			
CaO	58,53	63,51	57,18
MgO	2,10	1,02	1,62
K ₂ O etc.	1,82	0,96	1,28
SO ₃	1,44	0,98	0,64
	D	E	
Glühverlust			
(CO ₂ + H ₂ O)	2,45 ⁵⁰⁾	1,95 ⁵⁰⁾	
SiO ₂	20,90	19,90	
Al ₂ O ₃	11,30	8,52	
Fe ₂ O ₃	1,90	3,98	
CaO	58,87	62,45	
MgO	2,22	1,80	
SO ₃	0,60	0,40	
	F ⁴⁹⁾	G ⁴⁹⁾	H ⁴⁹⁾
Glühverlust			
(CO ₂ + H ₂ O)	1,19	0,93	—
SiO ₂	22,24	22,63	22,80
Al ₂ O ₃	8,30	7,06	7,70
Fe ₂ O ₃	3,37	2,42	3,40
CaO	62,05	60,81	62,89
MgO	0,91	2,89	1,20
K ₂ O etc.	1,58	2,83	1,30
SO ₃	0,36	0,47	0,71
	J ⁴⁹⁾	K ⁵⁰⁾	L ⁵⁰⁾
Glühverlust	1,47	2,58	0,70
SiO ₂	23,94	21,11	21,10
Al ₂ O ₃	6,82	7,09	7,86
Fe ₂ O ₃	3,08	3,36	2,31
CaO	61,67	61,35	61,88
MgO	1,10	1,86	1,55
K ₂ O etc.	0,62	—	—
SO ₃	0,94	1,23	1,70
unaufgeschlossener Rückstand	0,36	—	—

Die zahlreichen Versuche, mit Hilfe von Salzsäure ⁵¹⁾, Ammoniumchlorid und Acetat ⁵²⁾, 10 Proz. Zuckerlösung ⁵³⁾, Glycerinlösung ⁵⁴⁾ oder auch unter Vermeidung von Wasser, welches die Silicate hydrolysiert, mit äthylalkoholischer Jodlösung ⁵⁵⁾ die Menge des „freien“ Calciumoxyds zu bestimmen, müssen als gescheitert angesehen werden; doch soll nach ihnen bis zu 30 Proz. freies Calciumoxyd bzw. Hydroxyd im Portlandzement enthalten sein.

Aussichtsvoller erschien die kristallographische Untersuchung mit Hilfe von Dünnschliffen; es hat sich da herausgestellt, daß die Dünnschliffe von synthetisch hergestellten Di- und Tricalciumsilicaten, welche bei dem Erhärtungsprozeß von wesentlicher Bedeutung sein sollten, mit denen von Portlandzement nicht identisch sind. Andererseits ergaben mikroskopisch-kristallographische Untersuchungen ⁵⁶⁾⁵⁷⁾ die Identität des Bicalciumsilicats und eines gleichen, kristallisierten Stoffes im Portlandzementklinker. Dagegen

ließen die optischen und kristallinen Eigenschaften des Monocalciumsilicats erkennen, daß es an der Hydratation und Erhärtung des Portlandzements nicht teilnehmen kann.

Törnebohm⁵⁸⁾ erkannte in den Portlandzementklinkern besondere Mineralien, die er Alit, Belit, Celit und Felit nannte, und einen glasartigen Rest; der Celit, kein reines Monocalciumsilicat, besteht aus Kristallen des orthorhombischen Systems und hat die Zusammensetzung:

SiO ₂	19,48	Proz.
Al ₂ O ₃	7,83	"
CaO	67,60	"
MgO	3,00	"
Na ₂ O	0,90	"
K ₂ O	1,19	"

und soll eine isomorphe Mischung eines Tricalciumsilicats mit einem Calciumaluminate darstellen.

d) Reaktionslosigkeit. Ist der Versteinerungsprozeß zu Ende geführt, welcher mit dem Momente der Wasseraufnahme beginnt und die Hydratations- und Erhärtungsreaktionen umfaßt, so beginnt die Phase der Reaktionslosigkeit. Zwar wird sich selbst nach sehr langer Zeitperiode schwer der Punkt bestimmen lassen, an welchem vollständige Reaktionslosigkeit eingetreten ist. Bei allen Untersuchungen über die Portlandzemente, theoretischen wie praktischen, sind die Phasen der Hydratation und Erhärtung und der Reaktionslosigkeit streng voneinander zu trennen.

Die Substanzen, welche die Hydratationsgeschwindigkeit in dem ange deuteten Sinne beschleunigen oder verzögern, machen auch eine Beeinflussung auf den Festigkeitsgrad geltend, und zwar in dem Sinne, daß die Beschleuniger denselben verringern, die Verzögerer erhöhen.

Chemische und chemisch-physikalische Eigenschaften der Portlandzemente. Die Farbe derselben ist hell bis dunkelgrau, mit einem grünlich-blauen Ton.

Das spezifische Gewicht beträgt im Mittel 3,123.⁵⁹⁾ Durch längeres Lagern kann das spezifische Gewicht infolge von Aufnahme von Feuchtigkeit und Kohlendioxyd unter 3,1 sinken, durch Erhitzen auf seinen ursprünglichen Wert gebracht werden.

Bei dem Schütteln mit reinem Wasser zersetzt sich der Portlandzement bis auf einen ganz kleinen Rückstand. Es sind demnach fast alle wasserlösliche oder solche Verbindungen, welche durch das Wasser hydrolytisch gespalten und dann gelöst werden.

Was die Einwirkung der Säuren auf den erhärteten Portlandzement anbetrifft, so müßten äquivalente Lösungen von Schwefelsäure und Fluorwasserstoffsäure annähernd die gleiche Wirkung wie Salzsäure und Salpetersäure, diese alle aber eine stärkere als Essigsäure erzielen, da die Konzentration der Wasserstoffionen hier geringer ist als in den erstgenannten Säuren; denn für die Größe der Wirkung ist Bedingung, daß sich nicht dissoziierte Kieselsäure genügend bilden kann. Indessen haben die Beobachtungen ein anderes Verhalten in bezug auf den Portlandzement gezeigt; während Salzsäure, Salpetersäure, Essigsäure approximativ den gleichen Einfluß ausüben, stehen Schwefelsäure und Flußsäure diesen in der Wirkung bedeutend nach.

Die Ursache für das Verhalten der beiden letzten Säuren erblicken

Büsing und Schumann⁶⁰⁾ in dem Entstehen schwer löslicher Calciumsalze, welche in Verein mit der kolloidal abgeschiedenen Kieselsäure einen nicht mehr angreifbaren Überzug über den Zement bilden. Der Fall „Essigsäure“ ist bis jetzt noch nicht aufgeklärt; vielleicht liegt die Möglichkeit vor, daß nur die Reaktionsgeschwindigkeit durch einen bisher nicht beachteten Umstand beschleunigt wird. Wenigstens ist das entgegengesetzte Verhalten beobachtet worden; wie die Erfahrung gezeigt hat⁶¹⁾, verzögert die Gegenwart organischer Stoffe die Geschwindigkeit, mit welcher die Reaktion zwischen stark dissoziierten Säuren und dem Portlandzement erfolgt, in hohem Maße; dieselbe kann sogar ein Eintreten der Reaktion überhaupt verhindern.

Von den Farbstoffzusätzen unterstützt Ultramarin⁶²⁾ die Festigkeit; Portlandzement und Ultramarin haben beide die Eigenschaft gemeinsam, daß zwar über ihre Konstitution noch wenig bekannt ist, aber andererseits beide zu einem Härtungsvorgang befähigt sind. Tritt Ultramarin mit dem Portlandzement in Berührung, so vereinigen sich die auf dem Darstellungswege aufgeschlossenen siliciumhaltigen Bestandteile des Ultramarins mit dem nichtgebundenen Teil des Calciumoxyds bzw. Hydroxyds im Portlandzement; es erfolgt ein ähnlicher Erhärtungsvorgang wie der bei dem unter dem Namen Puzzuolane zusammengefaßten, natürlich aufgeschlossenen, vulkanischen Stoffen geschilderte Prozeß. Würde die Frage nach der Konstitution der Portlandzemente restlos beantwortet sein, so wäre auch die nach der Konstitution des Ultramarins ihrer Lösung nahe gebracht.

Analytisches: Es hat sich herausgestellt, daß es zweckmäßiger ist, den Portlandzement statt mit Alkalicarbonat mit Salzsäure zu zersetzen, und die Bestimmung des unlöslichen Rückstandes besonders vorzunehmen. Der Grund ist, daß, da bei Verwendung von Alkalicarbonaten die Bestimmung der Magnesia gefährdet wird⁶³⁾, das Analysenresultat zu niedrig ausfällt. Denn das Löslichkeitsprodukt der phosphorsauren Ammoniakmagnesia ist zwar in reinem Wasser klein genug, um der analytischen Bestimmung zu dienen, wird aber bei Gegenwart von größeren Mengen von Kali- und Natronsalzen erheblich vergrößert, so daß nicht mit Sicherheit eine exakte Bestimmung der Magnesia ausgeführt werden kann.

Normen: Es bieten die Analysen des Rohmaterials und der fertig gestellten Portlandzemente noch keine Garantie für ihre Brauchbarkeit. Der Wert eines Fabrikats wird noch ermittelt durch die seit dem 10. Nov. 1878 in Deutschland eingeführten und von anderen Ländern angenommenen Normenproben, welche sich auf Bestimmung der Hydratationsgeschwindigkeit (Abbindezeit), Volumenbeständigkeit, Feinheit der Mahlung, Zug- und Druckfähigkeit erstreckt. Die Bestimmung der Abbindezeit geschieht mit der Vicatschen Nadel.

Zementmörtel: Der Portlandzement wird in Verbindung mit Sand in zwei Formen, und ferner in Gemeinschaft mit Sand und gelöschtem Kalk angewendet.

1. Soll der Widerstand gegen Abnutzung, für Fußboden usw. erhöht oder ein hoher Grad von Wasserdichtigkeit erreicht werden, so kommt eine Mischung von Sand und Zement zur Anwendung, welche relativ eine große Menge von letzterem enthält (1 bis 2 Teile Sand auf 1 Teil Zement).

2. Betonierung: Mit diesem Namen wird der gemeinsame Gebrauch von Portlandzement mit geschlagenen Steinen (Schotter) verstanden, bei

welchem eine Mischung von geringerem Gehalt an Portlandzement verwendet wird (3 bis 4 Teile Schotter auf 1 Teil Zement).

Der Beton erscheint einmal als Stampfbeton, in noch nicht gehärtetem Zustande, und zweitens in Form gehärteter Betonblöcke, in welcher er besonders für Wasserbauten, Fundierungen im Wasser usw. und auch neuerdings bei Häuserbauten benutzt wird.

Beide Verwendungsarten bestätigen die oben erwähnte Gesetzmäßigkeit von dem Mengenverhältnis der aktiven Masse zur inaktiven Menge.

3. Endlich hat sich eine Mischung von Portlandzement, Sand und Kalkteig als praktisch erwiesen; sie kommt in dem Verhältnis: 1 Teil Zement, 2—6 Teile Sand, 0,5—2 Teile Kalkteig zur Anwendung.³⁴⁾

Umfang der Portlandzementfabrikation: In Deutschland hat in der Zeitperiode von 1877—1891 die Anzahl der Portlandzementwerke um das Zweiundeinhalbfache zugenommen, während zugleich die Menge des hergestellten Produktes sich verfünffacht hat.⁶⁵⁾

Kunststeine: Von den zahlreichen Erzeugnissen dieser Art, wie Magnesiaement, Metallzement, Marmorzement, Selenitmörtel, Kunststeinen usw. möge die Gattung Erwähnung finden, welche neuerdings größere Verbreitung gefunden hat: die Kunstsandsteine.

Dem Herstellungsverfahren liegt der Gedanke zugrunde, die Reaktionsgeschwindigkeiten zwischen Stoffen im festen Aggregatzustande derart zu erhöhen mit Unterstützung von erhöhter Temperatur und erhöhtem Druck, daß als Folge nach kurzer Zeit schon die Bildung eines neuen Stoffes wahrgenommen werden kann.

Die hier in Frage kommenden festen Stoffe sind Calciumhydroxyd, welches mit Wasser und Wasserdampf aus dem Oxyd gewonnen wird, und Siliciumdioxyd. Demnach wird scharfkantiger Sand mit 7—10 Proz. Kalk gemischt und in dampfdichten Kesseln drei bis vier Tage lang dem Wasserdampf unter einem Druck von drei bis vier Atmosphären ausgesetzt. Dadurch werden Calciumhydroxyd und Siliciumdioxyd zur Vereinigung gezwungen.

1) Vitruvius, 2. u. 5. Buch.

2) Bulletin de la Société d'Encouragement etc. 1890.

3) Ztschr. anorg. Chem. **31**, 28, 1899.

4) Dingl. polytechn. Journ. **196**, 344.

5) l. c.

6) van't Hoff, Zinn, Gips, Stahl vom physikalisch-chemischen Standpunkt. Vortrag. R. Oldenbourg, 1902.

7) Mitteilungen des deutschen Gipsvereins 1904.

8) Zeitschr. phys. Chem. **34**, 495, 1900; **37**, 385, 1901; **47**, 360, 1904.

9) P. Rohland, Der Stuck- und Estrichgips. Physikalisch-chemische Untersuchungen. Leipzig, Quandt & Händel 1904.

10) Journ. phys. Chem. **5**, 556, 643, 1901 und **5**, 655, 1903; Journ. russ. phys.-chem. Ges. **34**, 949.

11) F. Knapp, Lehrbuch der chemischen Technologie 1866.

12) Ztschr. anorg. Chem. **40**, 182, 1904.

13) D.R.P. No. 12284; 22400; 28874.

14) G. Feichtinger, Chemische Technologie der Mörtelmaterialien. 1885.

15) van't Hoff, Tonindustriezeitung **26**, 431, 1902.

16) Heusinger von Waldegg, Die Ziegel-, Röhren- und Kalkbrennerei. Leipzig 1892.

17) W. Michaelis, Tonindustriezeitung **28**, 60, 1904.

18) G. Feichtinger, Chemische Technologie der Mörtelmaterialien. Braunschweig 1885.

- 19) G. Feichtinger, Chemische Technologie der Mörtelmaterialien.
- 20) Tonindustrietzg. **15**, 3, 1891.
- 21) C. Zulkowski, Chem. Ind. **24**, 290, 1902.
- 22) G. Feichtinger, l. c.
- 23) P. Rohland, Der Portlandzement vom physikalisch-chemischen Standpunkte. 1903. Leipzig, Quandt & Händel.
- 24) W. Michaelis, Die hydraulischen Mörtel. 1869.
- 25) van't Hoff, Gesetze des chemischen Gleichgewichtes.
- 26) Wagners Jahresberichte d. chem. Technologie 1883, 645.
- 27) Büsing und Schumann, Der Portlandzement und seine Anwendung im Bauwesen. 2. Auflage. 1899.
- 28) Tonindustrietzg. **25**, 1441, 1901. Protokoll der Verhandlungen des Vereins deutscher Portlandzement-Fabrikanten 1901.
- 29) Fehling, Handwörterbuch der Chemie **2**, 482, 1875.
- 30) Amtlicher Ber. über die Wiener Weltausstellung **3**, 558, 1875.
- 31) G. Feichtinger, Technologie der Mörtelmaterialien 1885, 217.
- 32) Tonindustriezeitung **26**, 1032, 1902.
- 33) Ibidem **19**, 177, 1895.
- 34) Ibidem **19**, 239, 1895.
- 35) Zur Erhärtungstheorie der hydraulischen Bindemittel 1901.
- 36) Gaz. chim. ital. **18**, 1898.
- 37) Protokoll des Vereins Deutscher Portlandzementfabrikanten 1898.
- 38) Chem. Ind. **24**, 290 u. folg. 1901.
- 39) Tonindustriezeitung **26**, 1895, 1902.
- 40) Ibidem **24**, 1856, 1900.
- 41) Büsing und Schumann, Der Portlandzement und seine Anwendung im Bauwesen. 2. Auflage.
- 42) l. c.
- 43) Zeitschr. f. angew. Chem. Nr. 44, 1903.
- 44) Tonindustriezeitung **16**, 1032, 1892.
- 45) Tonindustriezeitung **27**, 2025, 1903.
- 46) W. Nernst, Theoretische Chemie. 3. Auflage.
- 47) Zeitschrift für Chemie **7**, 645, 1883.
- 48) Journ. Soc. Ind. **19**, 644, 1901.
- 49) Mitteilungen aus der Königl. Versuchsanstalt, Berlin 1883, 38; 1885, 91.
- 50) Mitteilungen aus dem Tonindustriellaboratorium Prof. Dr. Seger u. Cramer. Berlin 1899.
- 51) Tonindustriezeitung **22**, 285, 1898.
- 52) Ibidem **19**, 177, 1895.
- 53) Gaz. chim. ital. [6] **28**, 209, 1899.
- 54) Tonindustriezeitung **27**, 78, 1903.
- 55) Ibidem **29**, 659, 1899.
- 56) Le Chatelier, Recherches expérimentales sur la constitution des ciments et la théorie de leur prise. Compt. rend. 1882. t. XCIV. 867.
- 57) Mitteilungen aus der chem.-techn. Versuchsstation v. Dr. H. Passow, 1904.
- 58) Über die Petrographie des Portlandzements 1897.
- 59) Schumann, Tonindustrietzg. **4**, 366, 1880.
- 60) Büsing und Schumann, Der Portlandzement und seine Anwendung im Bauwesen.
- 61) Deutsche Bauzeitung 1883, 51, Nr. 4.
- 62) Siehe auch unter Ultramarin.
- 63) Tonindustriezeitung **17**, 1085, 1893.
- 64) Dyckerhoff, Protokoll des Vereins der Portlandzementfabrikanten 1882, 43, 44.
- 65) l. c. 1878—1893.

Strontium. Sr.

Vorkommen. Strontium kommt in der Natur ziemlich selten und nur als Verbindung vor, vornehmlich als Sulfat (Coelestin) und Carbonat (Strontianit), ferner gemeinsam mit Barium und Aluminium als Silicat (Brewsterit).

Geschichte. Daß im Strontianit eine von Kalk und Baryt verschiedene Erde enthalten sei, wurde 1790 von Crawford gefunden, und wohl unabhängig von diesem 1793 von Klaproth und Hoppe. Lowitz entdeckte 1795, daß auch in den meisten Schwerspaten Strontium enthalten sei.

Darstellung von Strontiummetall. Das Strontium wurde in ähnlicher Weise wie das Calcium zuerst von Davy¹⁾ durch Elektrolyse des Hydroxyds dargestellt, später von Matthiessen²⁾ und Hiller³⁾ durch Elektrolyse des geschmolzenen Chlorids. Borchers und Stockem⁴⁾ erhielten reines Strontium auf ähnliche Weise wie Calcium (vgl. S. 88). Da sich aber durch Elektrolyse bei Rotglut zunächst geschmolzenes Metall bildet und dieses annähernd dieselbe Dichte besitzt wie das Salz, so ist es nicht möglich, auf die beim Ca angewandte einfache mechanische Weise das Metall aus der Schmelze zu entfernen. Kühlt man dagegen den unteren Teil des Gefäßes bildenden Kathodenraum von außen, so finden sich nach Beendigung der Elektrolyse in der geschmolzenen Masse am Boden des Gefäßes Kugeln von reinem Strontiummetall von einem Durchmesser bis zu 10 mm. Für die Reduktion des Strontiums aus seinen Salzen durch metallisches Natrium gelten dieselben Betrachtungen wie beim Calcium, doch liegt das Gleichgewicht noch mehr auf seiten des Strontiumsalzes und metallischen Natriums, da Caron⁵⁾ die Reduktion durch Na allein überhaupt nicht gelang. Nur bei gleichzeitiger Anwendung von Blei oder Zinn erhielt er die entsprechende Legierung. Franz⁶⁾ erhielt durch Erwärmen einer gesättigten SrCl_2 -Lösung mit Natriumamalgam (250 g Na 1000 g Hg) auf 90° Strontiumamalgam, das beim Erhitzen im Wasserstoffstrom Strontium hinterließ. Cl. Winkler⁷⁾ erhitzte Strontiumoxyd mit metallischem Magnesium. Die Reduktion ging unter schwacher Glüherscheinung vor sich, führte jedoch ebenfalls nicht zu dem reinen Metall.

Eigenschaften des Metalls. Zuverlässige Angaben über die Eigenschaften des reinen Strontiums liegen wohl überhaupt noch nicht vor, da sämtliche Autoren, mit Ausnahme vielleicht von Borchers und Stockem, unreines Metall erhalten haben. Daher widersprechen sich die meisten ihrer Beobachtungen. Das reine Metall ist nach Davy weiß, nach Matthiessen messinggelb. Sein spez. Gew. ist nach Bunsen 2,5—2,58, nach Franz 2,4. Die höhere Zahl ist wohl richtiger, da das von Franz dargestellte Präparat wahrscheinlich Natrium enthielt. Es schmilzt bei Rotglut und ist nicht flüchtig.

Es verbrennt an der Luft und verbindet sich bei höheren Temperaturen mit den Halogenen und Schwefeldampf unter blendend weißer Lichterscheinung. Es zersetzt Wasser und verdünnte Säuren, und zwar heftiger als Calcium, wird aber von konzentrierter Salpetersäure fast gar nicht angegriffen.

Das Refraktionsäquivalent des Strontiums für die Linie A ist nach Kannonikow⁸⁾ $R_A = 11,25$.

Strontiumion. Strontium bildet nur eine einzige Art von Ionen, nämlich zweiwertige Kationen Sr^{++} . Ihre Bildungswärme aus dem Metall beträgt $119790 \text{ cal}^9)$, ihre elektrolytische Beweglichkeit nach Kohlrausch¹⁰⁾ $u = 54$ bei 18° . Das elektrolytische Potential berechnet Wilsmore^{10a)} zu $\epsilon_h = +2,77 \text{ V}$, die Elektroaffinität des Strontiums ist, nach seiner Stellung im periodischen System und der Löslichkeit des Hydroxyds zu schließen, etwas größer als die des Calciums; doch gilt für seine Komplexbildungstendenz und die Löslichkeitsverhältnisse seiner Salze ungefähr dasselbe wie für dieses.

Größere Unterschiede bestehen nur in der Löslichkeit des Fluorids, Oxalats, sowie des Sulfats und Chromats. Die der ersten beiden ist größer als beim Calcium, die der letzteren geringer. Als empfindlichste Reagenzien für Strontiumionen eignen sich daher CO_3^{--} - und SO_4^{--} -Ionen, wenn dieselben in großem Überschuß vorhanden sind, oder in Gegenwart von Alkohol. Im allgemeinen ist die Alkohollöslichkeit der Strontiumsalze geringer als die der Calciumsalze. Auch dies spricht für eine größere Elektroaffinität des Strontiums.

Strontiumionen sind farblos, die Lösungen der Strontiumsalze daher ebenfalls, wenn sie kein gefärbtes Anion enthalten.

Die quantitative Bestimmung des Strontiums erfolgt am besten durch Fällung mit Schwefelsäure bei Gegenwart von Alkohol. Die volumetrische Bestimmung des Strontiums erfolgt ähnlich wie die des Calciums nach dem Füllen desselben als Carbonat oder Oxalat bei Gegenwart von Alkohol (Peters¹¹⁾). Die Trennung des Strontiums von den Schwermetallen, dem Magnesium und den Alkalimetallen erfolgt, wenn möglich durch Schwefelsäure und wenn dies nicht angängig ist, durch Schwefelwasserstoff oder Schwefelammonium. Die Trennung von Barium und Calcium ist bei diesen Metallen besprochen.

Strontiumhydrid, SrH_2 ; M.-G. = $89,6$, wurde von Gautier¹²⁾ und Guntz¹³⁾ durch Erhitzen von metallischem Strontium, einer Strontiumlegierung oder Strontiumamalgam im Wasserstoffstrom auf Rotglut erhalten. Seine Eigenschaften und Reaktionen sind im allgemeinen dieselben wie die des Calciumhydrids, doch vermag es nach Gautier bei nicht zu hohen Temperaturen Wasserstoff zu absorbieren. Es ist an trockener Luft beständig und verbrennt erst bei Rotglut.

Strontiumfluorid, SrF_2 ; M.-G. = $125,6$, wird beim Behandeln von Strontiumhydroxyd oder Carbonat mit Flußsäure als weißes Pulver erhalten (Berzelius¹⁴⁾). Kristallinisch in regulären Oktaedern entsteht es beim Schmelzen von Chlorstrontium, Chlornatrium und Fluornatrium (Röder¹⁵⁾). Es ist im Wasser schwer löslich; seine Löslichkeit liegt mit $0,9 \text{ Millimol} = 117 \text{ mg}$ im Liter bei 18° ¹⁶⁾ zwischen der des Calcium- und Bariumfluorids. Seine Bildungswärme aus SrO und H_2F_2 ist von Guntz¹⁶⁾ zu 17900 cal , die aus den Elementen zu 111800 cal bestimmt worden.

Strontiumchlorid, $SrCl_2$; M.-G. = $158,5$, entsteht aus metallischem Sr und Strontiumoxyd durch Erhitzen im Cl-Strom, im letzteren Falle unter Entwicklung von O; ferner aus Sr-Carbonat und -Sulfat nach denselben Methoden

wie BaCl_2 (s. d.). Bei der Darstellung im großen geht man jedoch nicht vom Sulfat, sondern vom Carbonat aus. Andere Verfahren, die auf der Umsetzung von Strontiumcarbonat und Calciumchlorid beruhen, sind von Wackenroder¹⁷⁾ angegeben worden.

Reines SrCl_2 stellt man nach der von Bunsen und Kirchhoff angegebenen, beim CaCl_2 beschriebenen Methode dar, oder nach Marignac¹⁸⁾ und Dumas¹⁹⁾ durch Glühen der meist mit CaCl_2 verunreinigten Handelsware, Kochen der konzentrierten Lösung mit wenig Schwefelsäure und Ausfällen des SrCl_2 durch HCl -Gas. Zur weiteren Reinigung empfiehlt sich noch ein mehrmaliges Umkristallisieren aus wässrigem Alkohol (vgl. auch Barthe und Falières²⁰⁾).

Das wasserfreie Strontiumchlorid entsteht durch Erhitzen der kristallwasserhaltigen Salze über 100° . Es schmilzt bei 827° (Carnelley²¹⁾), nach Braun²²⁾ bei 910° , nach Mc Crae²³⁾ bei 854° . Nach dem Schmelzen reagiert es alkalisch aus denselben Gründen, die beim CaCl_2 und BaCl_2 erörtert sind. Sein spezifisches Gewicht beträgt bei mittlerer Temperatur 3,054 (Schröder²⁴⁾), beim Schmelzpunkt 2,77 (Quincke²⁵⁾).

Es kristallisiert mit 2 und 6 Mol. Kristallwasser. Das Dihydrat entsteht aus gesättigten Lösungen zwischen 60 und 100° in rektangulären Tafeln (Kremers²⁶⁾).

Das Hexahydrat, $\text{SrCl}_2 \cdot 6\text{H}_2\text{O}$, das bei gewöhnlicher Temperatur auskristallisiert, ist mit $\text{CaCl}_2 \cdot 6\text{H}_2\text{O}$ isomorph. Es bildet sechsseitige hexagonale Nadeln. Sein spezifisches Gewicht ist nach Schröder²⁷⁾ 1,954, nach Mühlberg²⁸⁾ bei $16,7^\circ$ 1,964. Die Dissoziationsspannungen s. w. u. S. 211.

Thermochemie des Strontiumchlorids.

Die Bildungswärme des wasserfreien SrCl_2 aus den Elementen beträgt nach Thomsen²⁹⁾ 184550 cal. Die Wärmetönung bei der Aufnahme des ersten Wassermoleküls ist gleich 5260 cal., bei der des zweiten = 3820 cal. (Die Verschiedenheit dieser Werte deutet auf die Existenz eines Monohydrats, für welches sich jedoch aus der Dampfspannung (siehe unten) keine Anhaltspunkte ergeben.) Daher ist die Hydratationswärme des Dihydrats, entsprechend der Reaktion $\text{SrCl}_2 + 2\text{H}_2\text{O} = 9080$ cal. Die Hydratationswärme des Hexahydrats ist 18640 cal. Die Lösungswärme des wasserfreien Salzes in 400 Mol H_2O beträgt 11140 cal. Das Hexahydrat löst sich daher unter Abkühlung auf und zwar (in 400 H_2O) unter Absorption von -7500 cal.

Die Lösungen des Strontiumchlorids. SrCl_2 ist in Wasser leicht löslich. Die Lösungen schmecken scharf und bitter. Die Löslichkeit ist von Mulder³⁰⁾ bestimmt worden.

100 Teile H_2O lösen bei

0°	44,2 Tl. SrCl_2	66,5 ⁰	88,8 Tl. SrCl_2
10	48,3 "	70	89,6 "
20	53,9 "	80	92,4 "
30	60,0 "	90	96,2 "
40	66,7 "	100	101,9 "
50	74,4 "	110	109,1 "
60	83,1 "	118	118,8 "
65	87,5 "		

Neuere Bestimmungen sind von Étard³¹⁾ ausgeführt. Die Zahlen bedeuten die gr SrCl_2 in 100 gr Lösung.

— 17 ⁰	26,5	80 ⁰	47,1
— 11	28,6	92	47,5
— 5	29,3	104	50,7
— 1	30,8	118	52,0
+ 2	31,3	132	54,7
+ 7	31,7	153	60,5
+ 18	33,7	175	64,1
21,5	34,7	215	65,4
35 ⁰	37,8	222	67,3
44,5	39,8		
54	42,8		
64	46,4		
70	46,1		

Zwischen 50 und 70⁰ geht die Löslichkeit scheinbar durch ein Maximum. Die Ursache hierfür ist wohl der Umstand, daß Étard nicht exakt festgestellt hat, mit welchem Hydrat die betr. gesättigten Lösungen im Gleichgewicht stehen. Nach seiner Angabe entstehen in diesem Temperaturgebiet sowohl Kristalle des Hexa- wie des Dihydrats. Da diese aber nur bei einer einzigen Temperatur nebeneinander stabil bestehen können (vgl. die Gleichgewichtsverhältnisse des CaCl_2 und seiner Hydrate), so ist wahrscheinlich die Umwandlungsgeschwindigkeit derselben gering. Jedenfalls sind die Löslichkeitszahlen in diesem Gebiete ohne Wert. Oberhalb 90⁰ hat Étard nur Kristalle des Dihydrats beobachtet.

In Lösungen anderer Chloride ist die Löslichkeit infolge der Zurückdrängung der elektrolytischen Dissoziation geringer. Die Löslichkeit von SrCl_2 in HCl ist von Engel³²⁾ bestimmt worden (bei 0⁰).

Mol HCl	Äquiv. $\frac{1}{2}\text{SrCl}_2$	Rel. Löslichkeitserniedr.
		$\frac{1}{n} \frac{C_0 - C}{C_0}$
0,00	$C_0 = 5,5$	0,20
0,61	$C = 4,82$	0,18
1,275	4,12	0,19
2,33	3,06	

Das spez. Gewicht von SrCl_2 -Lösungen ist nach Gerlach³³⁾ bei 15⁰, bez. auf Wasser bei 15⁰

in 100 Tl. $\cdot \text{H}_2\text{O}$.		d
$\text{SrCl}_2 + 6\text{H}_2\text{O}$	SrCl_2	
5	2,976	1,028
10	5,952	1,054
15	8,928	1,083
20	11,904	1,112
25	14,880	1,143
30	17,856	1,175
35	20,832	1,209
40	23,808	1,243
45	26,784	1,280
50	29,760	1,318
55	32,736	1,358
57	33,926	1,374

Bei 18° ist nach Kohlrausch³⁴⁾, bez. auf Wasser bei 18°, die Dichte:

8,401	5	1,0443
16,803	10	1,0932
25,204	15	1,1456
35,606	20	1,2023
36,967	22	1,2259

Die Dampfspannung der Hydrate des SrCl_2 ist von Lescoeur³⁵⁾, Frowein³⁶⁾ und Andreae³⁷⁾ gemessen worden. Aus ihren Messungen geht hervor, daß die Systeme von der Zusammensetzung $\text{SrCl}_2 \cdot 0-2\text{H}_2\text{O}$ und $2-6\text{H}_2\text{O}$ eine konstante Maximaltension besitzen, daß demnach nur die Hydrate mit 2 und 6 Mol. Kristallwasser existieren, während bei CaCl_2 auch ein Monohydrat bekannt ist. Die Maximaltension des Hexahydrats ist nach Andreae in mm Hg:

5,61	8,72	11,84	15,83	19,86
19,7°	25,6°	29,9°	34,1°	37,5°

Die Maximaltension ist größer als die des Calciumchloridhexahydrats, entsprechend der größeren Elektroaffinität des Sr; ein BaCl_2 -Hexahydrat ist überhaupt nicht bekannt, würde also vermutlich eine weit höhere H_2O -Tension als $\text{SrCl}_2 \cdot 6\text{H}_2\text{O}$ besitzen.

Lescoeur fand für die gesättigte Lösung, und daher auch für das Hexahydrat bei 20° einen Dampfdruck von 11,5 mm. Doch ist der Wert wohl zu hoch, da die Messungen Froweins mit denen von Andreae übereinstimmen.

Die Dampfdruckerniedrigungen $P-p$ der Lösungen sind nach Tammann³⁸⁾:

$P(\text{H}_2\text{O})$	$17,82 \text{ SrCl}_2 \cdot 6\text{H}_2\text{O}$ in 100 H_2O	$44,72 \text{ SrCl}_2 \cdot 6\text{H}_2\text{O}$	$69,15 \text{ SrCl}_2 \cdot 6\text{H}_2\text{O}$
27,2		3,0	4,4
58,1		6,2	8,6
84,6		7,2	11,5
112,4	3,4	9,5	14,6
160,4	5,0	13,8	21,4
212,1	5,6	17,6	26,3
285,3	7,4	22,8	35,1
382,5	10,3	30,3	47,7
488,4	13,2	38,9	59,8
599,2	15,5	46,7	73,0
760,1	21,0	57,4	91,1

Bei 100° ist nach Tammann³⁹⁾

gr Mol. in 1000 H_2O	$P-p$
0,5	16,8
1	38,8
2	91,4
3	156,8
4	223,3
5	281,5

Die Dampfdruckerniedrigungen verdünnter Lösungen sind bei 25° von W. Biltz⁴⁰⁾ bestimmt worden.

Die Siedepunkte der gesättigten Lösungen sind nach Kremers 114°

nach Mulder 118,8°, nach Legrand 117,45°. Die Siedepunkte von konzentrierten Lösungen sind von Gerlach⁴¹⁾ bestimmt:

gr $\text{SrCl}_2 \cdot 6\text{H}_2\text{O}$ in 100 H_2O	t
20	101 ⁰
40	102
60	103
81	104
103	105
126	106
150	107
175	108
203	109
234	110
310	112
430	114
650	116
819	117

Die Gefrierpunkte verdünnter Lösungen sind von Arrhenius⁴²⁾ und genauer von Loomis⁴³⁾, Jones und Chambers⁴⁴⁾, Jones und Getman⁴⁵⁾ bestimmt.

Mol im Liter	dt	$\frac{dt}{m}$	Mol im Liter	dt	$\frac{dt}{m}$
0,043	— 0,231 (Arrh.)	5,38	0,0100	0,0508 (Loom.)	5,08
0,107	— 0,523	4,88	0,0199	0,1015	5,08
0,214	1,053	4,93	0,0499	0,2445	4,90
0,356	1,791	5,03	0,0997	0,4834	4,85
			0,1994	0,9608	4,82
			0,4986	2,532	5,08

Nach Jones und Getman:

m	dt ⁰	dt
1,0	— 6,000	6,00
1,5	10,725	7,15
2,0	16,422	8,11

Die Gefrierpunkte konzentrierter Lösungen sind nach Rüdorff⁴⁶⁾ und de Coppet⁴⁷⁾:

gr $\text{SrCl}_2 \cdot 6\text{H}_2\text{O}$ in 100 H_2O	t (R)
10	— 1,75 ⁰
20	3,75
30	5,85
40	8,10
50	10,55
60	13,00

Die Oberflächenspannung α von SrCl_2 -Lösungen ist nach Timberg⁴⁸⁾ in mgr

t	d_4^{20}	α
6,2	1,3357	8,800
21,5	1,3282	8,130
44,1	1,3147	7,775
70,0	1,2994	7,049

Die Kompressibilität ist von Schuhmann⁴⁹⁾ bestimmt worden.
Die innere Reibung ist nach Wagner⁵⁰⁾ bei 25° ($\eta\text{H}_2\text{O} = 1$).

n	η
1,0	1,1411
0,5	1,0674
0,25	1,0338
0,125	1,0141

Das elektrische Leitvermögen von SrCl_2 -Lösungen ist von Kohlrausch und Grottrian⁵¹⁾, Mac Gregory⁵²⁾ und Jones und Chambers⁵³⁾ bestimmt worden:

g Äquiv. im Liter	λ (Äquiv. Leitv.) 18°	ν	μ (Mol. Leitv.) 25° (J. u. Ch.)
0,0001	(118,7) (K)	12800	270,0
0,0002	(117,6)	6400	260,0
0,0005	116,0	3200	252,5
0,001	114,5	1600	246,4
0,002	112,0	640	237,6
0,005	108,9	320	229,3
0,01	105,4	160	219,0
0,03	98,0	80	207,4
0,05	94,4	40	196,1
0,1	90,2	16	179,5
0,2	85,1	8	162,6
0,3	81,1	4	146,6
0,5	75,7	2	130,0
1,0	68,5	1	108,5
2,0	58,2		
3,0	49,7.		

Nach Jones und Getman (l. c.) ist bei 0°

o	μ_0
2,0	44,90
1,0	40,41
0,667	36,90
0,500	34,16
0,400	30,96

Die Überführungszahl für das Anion von SrCl_2 ist von Steele⁵⁴⁾ und Denison⁵⁵⁾ bestimmt worden.

n	$\frac{\nu}{u + \nu}$ (Steele)	$\frac{\nu}{u + \nu}$ (Denison)	
			in H_2O u. flüss. Gelatine
0,5	0,625	0,635	0,652
1,0	0,665	0,644	0,671
2,0	0,715	—	—

Dieselbe steigt ebenso wie bei CaCl_2 und BaCl_2 stark mit der Konzentration an.

In Äthylalkohol ist SrCl_2 schwer löslich. Nach Fresenius löst sich 1 Teil $\text{SrCl}_2 \cdot 6\text{H}_2\text{O}$ in 116,4 Teilen kaltem und 262 siedendem 99proz. Alkohol, also in der Wärme weniger als in der Kälte. Die Auflösung in Alkohol muß daher exotherm sein, was wohl zum Teil durch die exotherme

Reaktion des Kristallwassers mit dem Alkohol bedingt ist. In Wasseralkoholgemischen ist die Löslichkeit proportional dem Wassergehalt. Nach Gerardin⁵⁶⁾ lösen bei 18° 100 Teile des Gemisches vom spez. Gew.

d	Teile SrCl ₂	d	Teile SrCl ₂
0,990	49,8	0,939	26,8
0,985	47,0	0,909	19,2
0,973	39,6	0,846	4,9
0,966	35,9	0,832	3,2
0,953	30,4		

Die Eigenschaften dieser Lösungen sind nicht untersucht worden.

Strontiumchlorid absorbiert Ammoniak; die feste komplexe Verbindung bildet ein weißes Pulver.

Basische Salze des Strontiumchlorids sind von André⁵⁷⁾ dargestellt worden. Sie enthalten je ein Mol Chlorid und Hydroxyd und 8, 13 und 14 Mol H₂O. Sie sind sehr leicht zersetzlich. Es muß aber dahingestellt bleiben, ob dies wirklich chemische Individuen oder nicht vielmehr Gemische sind.

Strontiumbromid, SrBr₂. M.-G. 247,5.

Bildung und Darstellung. Es entsteht analog wie CaBr₂ aus Strontiumhydroxyd, -carbonat oder -sulfid und Bromwasserstoff, oder Brom unter Anwendung eines Reduktionsmittels.

Eigenschaften. Das wasserfreie SrBr₂ schmilzt nach Carnelley⁵⁸⁾ bei 630°, doch ist dieser Punkt wie alle Bestimmungen dieses Forschers wohl zu niedrig; sein spez. Gew. beträgt 3,962 (Bödeker⁵⁹⁾). Es kristallisiert in Nadeln mit 6 Mol H₂O. Die Existenz dieses Hexahydrats ist zuerst von Rammelsberg⁶⁰⁾, dann durch Dampfdruckmessungen von Lescœur⁶¹⁾ nachgewiesen. Das spez. Gew. desselben beträgt 2,358 (Favre und Valson⁶²⁾).

Die Bildungswärme des SrBr₂ aus den Elementen beträgt nach Jul. Thomsen 157700 cal, die Lösungswärme des wasserfreien Salzes pro Mol in 400 Mol H₂O + 16110 cal, des Hexahydrats — 7220 cal, mithin dessen Hydratationswärme 23330 cal.

In Wasser ist SrBr₂ leicht löslich. Die Löslichkeit ist von Kremers⁶³⁾ und Étaud⁶⁴⁾ bestimmt worden.

Es lösen sich in 100 Teilen H₂O nach ersterem

	bei 0°	20°	38°	59°	83°	110°
SrBr ₂	87,7	99	112	133	182	250

Es lösen sich zu 100 Teilen Lösung (Étaud)

bei	—11°	—1°	+7°	18°	20°	93°	97°	107°	
	43,1	46,7	48,2	51,7	51,8	68,5	68,7	69,8	Teile SrBr ₂

Das spez. Gewicht von SrBr₂-Lösungen ist nach Gerlach⁶⁵⁾ bei 19,5°, bez. auf H₂O derselben Temperatur

% SrBr ₂	5	10	15	20	25	30	35	40	45	50
d s =	1,046	1,094	1,146	1,204	1,266	1,332	1,410	1,492	1,59	1,69

Der Dampfdruck des Hexahydrats SrBr₂·6H₂O beträgt bei 20° 9,1 mm Hg (Lescœur⁶⁶⁾).

Die Dampfdruckerniedrigungen von SrBr₂-Lösungen sind von Tammann⁶⁷⁾ gemessen worden (P—p, in mm Hg).

o (reines H_2O)	29,07	61,98	103,34	193,17	g $\text{SrBr}_2 \cdot 6\text{H}_2\text{O}$ in 100 g H_2O
$P = 75,7$	$P - p = 3,1$	7,2	13,0	24,9	
113,0	5,2	10,8	18,5	35,9	
153,7	6,3	14,8	25,3	48,3	
198,2	7,6	17,8	32,4	61,8	
266,4	10,5	25,1	43,7	82,4	
329,5	12,2	30,3	53,7	101,1	
431,5	17,7	40,4	69,7	130,0	
550,0	22,3	50,6	88,7	164,6	
706,0	27,0	62,7	111,6	208,3	
774,2	29,9	71,8	121,0	225,7	

Bei 100° fand Tammann⁶⁸⁾

Mol in 1000 g H_2O	0,5	1	2	3	4
$P - p$ (mm Hg)	17,8	42,0	101,1	179,0	267,0

Die Gefrierpunkte verdünnter SrBr_2 -Lösungen sind nach Jones und Chambers⁶⁹⁾

n	t	$\frac{dt}{dn}$
0,052	$-0,262^0$	5,04
0,103	0,503	4,88
0,155	0,773	4,98
0,207	1,035	5,00
0,259	1,308	5,05
0,310	1,592	5,13
0,414	2,147	5,19
0,517	2,741	5,30
0,621	3,447	5,55

Das elektrische Leitvermögen von SrBr_2 -Lösungen ist nach Jones und Chambers (l. c.) bei 25°

o	μ (Mol Leitiv.)
4120,3	282,4
2060,2	272,5
1030,1	261,8
515,0	254,2
257,5	244,6
128,8	231,6
64,38	221,6
32,19	208,6
19,32	194,1
12,08	183,9
9,661	181,5
6,439	171,6
4,831	165,7
3,864	159,5
1,932	141,3

SrBr_2 ist in Alkohol löslich. Aus diesen Lösungen scheiden sich Kristalle $2\text{SrBr}_2 \cdot 5\text{C}_2\text{H}_6\text{O}$ aus.⁷⁰⁾ Es absorbiert NH_3 und bildet mit ihm die

Verbindung $2\text{SrBr}_2 \cdot \text{NH}_3$ (Rammelsberg⁷¹⁾). Mit AgCl setzt es sich zum Teil in AgBr und SrCl_2 um (Potilitzin⁷²⁾).

Das basische Strontiumbromid hat nach Tassily⁷³⁾ die Formel $\text{SrBr}_2 \cdot \text{SrO} \cdot 9\text{H}_2\text{O}$; es kristallisiert in Prismen. Durch wasserentziehende Mittel entsteht das Salz $\text{SrBr}_2 \cdot \text{SrO} \cdot 3\text{H}_2\text{O}$. Die Bildungswärme beträgt 45850, bez. 32500 cal.

Strontiumjodid, SrJ_2 . M.-G. = 341,3.

Bildung und Darstellung. SrJ_2 entsteht, analog CaJ_2 , aus Strontiumhydroxyd, -carbonat oder -sulfid und Jodwasserstoff, oder Jod und einem Reduktionsmittel (S, SO_2), ferner beim Erhitzen von metallischem Sr im Joddampf (Bunsen und Matthiessen⁷⁴⁾).

Eigenschaften. Das wasserfreie Salz schmilzt nach den meist zu niedrigen Angaben von Carnelley⁷⁵⁾ bei 507° , und zwar unersetzt nur unter Luftabschluß. Bei Gegenwart von (feuchter) Luft zersetzt es sich unter Bildung von Jod, das wahrscheinlich durch Oxydation des primär entstehenden Jodwasserstoffs entsteht ($\text{SrJ}_2 + 2\text{H}_2\text{O} = \text{Sr}(\text{OH})_2 + 2\text{HJ}$). Das spez. Gew. des wasserfreien SrJ_2 ist bei 10° 4,415 (Bödeker⁷⁶⁾). Es kristallisiert nach Croft⁷⁷⁾ in 6-seitigen Tafeln mit 6 Mol H_2O , nach Tassily⁷⁸⁾ bei 60° aus der gesättigten Lösung mit 7 Mol H_2O .

Die Lösungswärme dieses Salzes in viel H_2O beträgt —4740 cal, die des wasserfreien +20500 cal, mithin seine Hydratationswärme 25240 cal (Tassily).

Mit Benutzung dieser Werte berechnet sich die Bildungswärme des wasserfreien SrJ_2 aus den Elementen nach den Thomsenschen Zahlen zu 122960 cal. Tassily fand sie zu 112300 cal.

SrJ_2 ist in Wasser sehr leicht löslich. Die Löslichkeit ist von Kremers⁷⁹⁾ und Étard⁸⁰⁾ bestimmt worden. Es lösen sich in 100 Teilen H_2O (K.) bei

	0°	20°	40°	70°	100°
	164	179	196	250	370 Teile SrJ_2
in 100 Teilen Lösung (Étard) bei					
— 20°	60,0	Teile SrJ_2		63°	68,5 Teile SrJ_2
— 10°	60,3	" "		77°	70,5 " "
— 3°	62,2	" "		81°	74,0 " "
+ 7°	63,0	" "		97°	79,2 " "
+ 11°	63,4	" "		105°	79,4 " "
18°	63,5	" "		120°	80,8 " "
38°	64,8	" "		175°	85,6 " "
52°	66,0	" "			

Auch die molekulare Löslichkeit der Strontiumsalze steigt in der Reihenfolge SrCl_2 , SrBr , SrJ_2 , denn nach Kremers lösen sich z. B. bei 0° in 100⁰ g H_2O

2,79 Mole SrCl_2 , 3,54 Mole SrBr_2 , 4,81 Mole SrJ_2 .

Die Dichte von SrJ_2 -Lösungen ist bei $19,5^\circ$, bez. auf Wasser derselben Temperatur, nach Gerlach⁸¹⁾

Teile SrJ_2 in 100 H_2O	s
5	1,045
10	1,091
20	1,200

Teile SrJ_2 in 100 H_2O	s
30	1,330
40	1,491
50	1,695
60	1,955
65	2,150

Das elektrische Leitvermögen von wässrigen SrJ_2 -Lösungen ist von Jones und Caldwell⁸²⁾ bei 25° gemessen worden, ebenso das eines äquivalenten Gemisches von SrJ_2 und CdJ_2 . Die Leitfähigkeit des Gemisches ist in konzentrierten Lösungen geringer als in den entsprechenden SrJ_2 -Lösungen; daraus geht hervor, daß in diesen die beiden Salze komplexe Ionen (CdJ_4) bilden. Von Jones und Lindsay⁸³⁾ ist das Leitvermögen des SrJ_2 auch im Methyl-, Äthyl- und Propylalkohol und in Mischungen derselben mit Wasser bei 0 und 25° gemessen worden. Die Messungen in den reinen Lösungsmitteln ergeben folgende Zahlenreihen:

1. Wasser.

v	μ 0°	μ 25°	Temp.-Koeff.
32	113,1	205,3	3,29
64	117,7	214,4	3,87
128	122,1	223,1	4,04
256	126,0	231,8	4,23
512	129,8	240,2	4,42
1024	132,6	245,4	4,53

2. Methylalkohol.

32	75,82	101,4	1,02
64	85,01	115,3	1,21
128	94,76	128,6	1,35
256	104,4	141,4	1,48
512	114,0	153,9	1,60
1024	123,4	166,3	1,72

3. Äthylalkohol.

32	17,44	24,00	0,262
64	20,28	28,88	0,344
128	23,66	33,53	0,396
256	27,00	38,88	0,475
512	32,07	46,13	0,562
1024	36,01	51,25	0,610

4. Propylalkohol.

32	4,70	7,58	0,115
64	5,62	8,84	0,129
128	6,52	10,20	0,147
256	7,41	11,32	0,156

Auffallend ist das kontinuierliche Abnehmen des Temperaturkoeffizienten in der Reihe von Wasser bis Propylalkohol. Dies läßt darauf schließen, daß die Assoziation des Salzes mit dem Lösungsmittel in derselben Reihenfolge abnimmt. In den Mischungen von Methylalkohol mit Wasser sinkt das Leitvermögen, z. B. μ_{32} keineswegs mit steigendem Prozentgehalte des Alko-

hols, sondern erreicht bei einer gewissen Konzentration desselben ein Minimum, z. B. ist in Methylalkohol-Wasser μ_{32}

% Alkohol	bei 0°	bei 25°
0	113,1	205,3
20	63,06	131,3 (25 %)
50	50,19	103,8
75	55,53	98,09
100	75,82	101,4

Ein Strontiumoxyjodid wurde von Tassily⁸⁴⁾ auf dieselbe Weise wie das Oxybromid erhalten. Es hat die Formel $2\text{SrJ}_2 \cdot 5\text{SrO} \cdot 30\text{H}_2\text{O}$, seine Individualität darf aber als zweifelhaft gelten.

Strontiumpolyjodid wurde von Jul. Meyer⁸⁵⁾ auf dieselbe Weise wie CaJ_4 in fester Form dargestellt, es steht ihm auch in seinen Eigenschaften sehr nahe. Seine Existenz wird durch die erhebliche Herabsetzung des Joddampfdrucks in dem Gemisch erwiesen. Die quantitative Bestimmung desselben, sowie die nähere Charakterisierung der entstehenden Polyjodide steht jedoch noch aus. Die Löslichkeit des Jods in 100 ccm einer 10proz. SrJ_2 -Lösung beträgt 6,616 g J bei 13,5°.

Strontiumcyanid, $\text{Sr}(\text{CN})_2$, M.-G. = 139,6, entsteht wie Calciumcyanid aus Cyanwasserstoff und Strontiumhydroxyd und beim Schmelzen von Ferrocyanstrontium und Auslaugen der Schmelze mit Wasser (Schulz⁸⁶⁾). Seine Lösungen reagieren infolge Hydrolyse alkalisch und werden daher durch Säuren, auch CO_2 , leicht zersetzt. Beim Einengen der Lösungen im Vakuum entstehen nach Joannis⁸⁷⁾ orthorhombische Kristalle der Formel $\text{Sr}(\text{CN})_2 + 4\text{H}_2\text{O}$, die beim vollständigen Trocknen Wasser und Cyanwasserstoff abgeben.

Strontiumrhodanid, $\text{Sr}(\text{CNS})_2$, M.-G. = 203,8 (Meitzendorff⁸⁸⁾), ist in Wasser leicht löslich und kristallisiert mit 3 Mol H_2O .

Strontiumoxyd, SrO , M.-G. 103,6 und **Strontiumhydroxyd**, $\text{Sr}(\text{OH})_2$, M.-G. 121,6.

Das wasserfreie Strontiumoxyd kann durch starkes Glühen des Carbonats, Nitrats, Jodats oder Hydroxyds, ferner durch Zersetzung des Sulfids mit Wasserdampf dargestellt werden (Zionaczynski⁸⁹⁾). Technische Bedeutung kommt jedoch nur der Darstellung des Hydroxyds zu. Als Ausgangsmaterial für das letztere dient vornehmlich der Strontianit (SrCO_3) oder der Cölestin (SrSO_4). Ersterer wird durch Brennen — bei höherer Temperatur als Kalkstein — in das Oxyd verwandelt und dieses gelöscht. Strontiumsulfat wird entweder durch Kohle zu Sulfid reduziert oder durch Schmelzen mit Soda unter Druck in Carbonat verwandelt und dieses, wie beschrieben, weiter verarbeitet. Aus dem Sulfid wird das Hydroxyd auf feuchtem Wege durch stärkere oder schwächere Basen dargestellt. Die technischen Einzelheiten sind ähnliche, wie sie bei der Darstellung des $\text{Ba}(\text{OH})_2$ beschrieben werden (Claus⁹⁰⁾, Pattinson⁹¹⁾, de Lalande⁹²⁾, Trachsel⁹³⁾, Mactear⁹⁴⁾). Schließlich kann das Strontiumhydroxyd seiner Schwerlöslichkeit wegen auch aus den Lösungen aller löslichen Sr-Salze mit starken Basen gefällt werden. Elektrolytisch wurde es von Taquet⁹⁵⁾ ebenso wie $\text{Ba}(\text{OH})_2$ mit löslichen Metallanoden erhalten. Auch die Verfahren von Schultze und Frank (vgl. BaO) sind zur Darstellung von SrO geeignet.

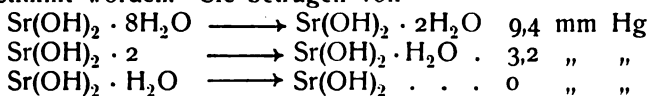
Eigenschaften. Das wasserfreie Strontiumoxyd ist eine weiße amorphe Masse vom spez. Gew. 3,93—4,61 (Clarke⁹⁶⁾, Filhol⁹⁷⁾). Kristallinisch ist es von Brügelmann⁹⁸⁾ in zwei Formen erhalten worden, je nachdem es

durch heftiges Glühen des Nitrats oder Carbonats dargestellt wurde, und zwar vom spez. Gew. 4,57 und 4,75. Es schmilzt nach Moissan⁹⁹⁾ schwerer als BaO, leichter als CaO, z. B. im elektrischen Ofen bei 500 Volt und 75 Amp.

Das Strontiumoxyd verbindet sich unter lebhafter Wärmeentwicklung mit Wasser zu Strontiumhydroxyd, welches in drei verschiedenen Hydraten bekannt ist. Das wasserreichste ist das Oktohydrat $\text{Sr}(\text{OH})_2 + 8\text{H}_2\text{O}$, welches aus der gesättigten Lösung in durchsichtigen, tetragonalen Kristallen entsteht (Brooke¹⁰⁰⁾, v. Foullon¹⁰¹⁾). Berthelot¹⁰²⁾ gibt wohl irrtümlich einen Gehalt von 9 Mol Kristallwasser an. Das spez. Gew. desselben beträgt 1,396 (Filhol, l. c.). Über Schwefelsäure und beim Verwittern verwandelt es sich in das Monohydrat $\text{Sr}(\text{OH})_2 \cdot \text{H}_2\text{O}$ (Bloxam¹⁰³⁾, Heyer¹⁰⁴⁾, Finkner¹⁰⁵⁾). Bei 100° geht dieses ebenso wie Oktohydrat in das kristallwasserfreie Strontiumhydroxyd, $\text{Sr}(\text{OH})_2$ über, welches die Dichte 3,625 besitzt. Dasselbe geht durch Glühen bei 700° in das Oxyd über (Herzfeld und Stiepel¹⁰⁶⁾).

Die Bildungswärme des wasserfreien Oxyds aus den Elementen beträgt nach Thomsen 128440 cal, die Hydratationswärme mit 1 Mol H_2O 17700 cal, mit weiteren 7 Mol H_2O 26280 cal. Die Lösungswärme des wasserfreien Oxyds in viel Wasser beträgt 29340 cal, dementsprechend die des wasserfreien Hydroxyds +11640 cal und die des Oktohydrats —14640 cal.

Die Dampfdrucke der einzelnen Hydrate sind von Müller-Erbach¹⁰⁷⁾ bei 15° bestimmt worden. Sie betragen von



Müller-Erbach nimmt daher die Existenz eines sonst nicht bekannten Hydrats $\text{Sr}(\text{OH})_2 \cdot 2\text{H}_2\text{O}$ an.

Das Oxyd oder das wasserfreie Hydroxyd nimmt bei 100° nach Scheibler¹⁰⁵⁾ trockenes Kohlendioxyd nicht auf, sondern erst bei höherer Temperatur (Raoult¹⁰⁹⁾); doch wird dasselbe durch das Hydrat $\text{Sr}(\text{OH})_2 \cdot \text{H}_2\text{O}$ schon bei tieferer Temperatur absorbiert. Es handelt sich im ersteren Falle wohl nur um eine große Langsamkeit der CO_2 -Aufnahme.

In Wasser ist Strontiumhydroxyd nur schwer löslich. Die Löslichkeit beträgt nach Scheibler¹¹⁰⁾ in 100 Teilen Lösung bei

t°	Teile SrO	$\text{Sr}(\text{OH})_2 \cdot 8\text{H}_2\text{O}$	t°	Teile SrO	$\text{Sr}(\text{OH})_2 \cdot 8\text{H}_2\text{O}$
0	0,35	0,90	60	3,03	7,77
10	0,48	1,23	70	4,35	11,16
20	0,68	1,74	80	6,56	16,83
30	1,00	2,57	90	12,00	30,78
40	1,48	3,80	100	18,60	47,71
50	2,13	5,46	101,2	19,40	49,75

Die Existenz eines Umwandlungspunktes der einzelnen Hydrate (Knickpunktes) geht aus der Löslichkeitskurve nicht hervor; die Löslichkeit bezieht sich daher wahrscheinlich auf das Oktohydrat, das bei der höheren Temperatur instabil sein muß.

Durch Basen wird die Löslichkeit bedeutend vermindert und zwar mehr, als durch die Zurückdrängung der Dissoziation erklärt werden kann. Sie beträgt nach Sackur¹¹¹⁾ bei 25° in Grammäquivalenten im Liter:

NaOH	$\frac{1}{2}\text{Sr}(\text{OH})_2$	KOH	$\frac{1}{2}\text{Sr}(\text{OH})_2$
0	0,164	0,106	0,097
0,097	0,107	0,212	0,063
0,226	0,065	0,637	0,027
0,484	0,032		
NH_3		$\frac{1}{2}\text{SrCl}_2$	
0,138	0,156	0,099	0,152
0,267	0,152	0,197	0,148
0,544	0,149	0,296	0,144
0,286	0,144	0,591	0,140
1,055	0,139		
$\frac{1}{2}\text{Sr}(\text{NO}_3)_2$			
0,157	0,152		
0,314	0,149		
0,628	0,147		

Die Löslichkeitsbeeinflussung durch Strontiumsalze, die doch auch ein gemeinsames Ion haben, ist außerordentlich gering, so daß man die Bildung von Komplexen (basischen Salzen) zwischen $\text{Sr}(\text{OH})_2$ und den Strontiumsalzen annehmen muß.

Leicht löslich ist Strontiumhydroxyd in Zuckerlösungen, in denen es ein Strontiumsaccharat bildet. Die Löslichkeit beträgt im Liter nach Scheibler¹¹²⁾

t^0	g Zucker	g SrO	g $\text{Sr}(\text{OH})_2 \cdot 8\text{H}_2\text{O}$
0^0	21,80	6,60	16,93
10^0	28,79	8,71	22,35
20^0	37,31	11,29	28,96
30^0	48,13	14,57	37,37
40^0	63,18	19,12	49,05
50^0	93,58	28,32	72,65

Das mol. Leitvermögen von $\text{Sr}(\text{OH})_2$ -Lösungen beträgt nach Ostwald¹¹³⁾ bei 25^0 umgerechnet¹⁰⁾ in Ω^{-1}

$\nu =$	32	64	128	256	512	1024
$\lambda =$	405	419	432	446	451	452

Strontiumhydroxyd ist also eine starke Base, da das Äquivalentleitvermögen bez. der Dissoziationsgrad mit wachsender Verdünnung nur wenig zunimmt.

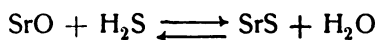
Strontiumsuperoxyd, SrO_2 . M.-G. 119,6.

Das Strontiumsuperoxyd ähnelt in seinem Verhalten mehr dem Calcium- als dem Bariumsuperoxyd, da es nicht wie letzteres durch Erhitzen des Oxyds an der Luft dargestellt werden kann. Dagegen erhielt Struve¹¹⁴⁾ kleine Mengen desselben durch Glühen von Strontiumcarbonat im Sauerstoffstrom. Das Superoxydhydrat wurde zuerst von Thénard¹¹⁵⁾, später von Convoy¹¹⁶⁾ und Schöne¹¹⁷⁾ aus Strontiumhydroxydlösungen mit Wasserstoff- oder Natriumsuperoxyd erhalten. Es kristallisiert mit 8 Mol H_2O in Kristallen, die dem entsprechenden Hydrat von BaO_2 isomorph sind. Convoy erhielt auch Hydrate mit 10 und 12 Mol H_2O . Es ist schwer löslich in Wasser und Alkalien, löslich in Säuren. Bei 100^0 gibt es sein Kristallwasser ab und

schmilzt bei Rotglut. Bei höherer Temperatur gibt es Sauerstoff ab, und zwar muß sein Dissoziationsdruck größer sein als der des BaO_2 , da ja die umgekehrte Reaktion wenigstens beim O_2 -Partialdruck der Luft praktisch nicht ausführbar ist. Die Bildungswärme des gelösten Strontiumsuperoxyds aus Strontium und Sauerstoff beträgt nach de Forcrand¹¹⁸⁾ 142075 cal.

Strontiumsulfid, SrS . M.-G. 110,7.

Strontiumsulfid entsteht ebenso wie Calciumsulfid durch Glühen des Sulfats mit Kohle (Berthier¹¹⁹⁾), des Carbonats mit Schwefelkohlenstoffdampf (Schöne¹²⁰⁾) und bei Erwärmen des Oxyds im Schwefelwasserstoffstrom. Bei Rotglut verläuft die letztere Reaktion in umgekehrter Richtung, d. h. das Sulfid wird durch Wasserdampf zersetzt



(Mourelot¹²¹⁾). Von Kern¹²²⁾ wurde es durch Glühen von Strontiumthiosulfat erhalten.

Eigenschaften. Strontiumsulfid ist gewöhnlich amorph. Kristallinisch ist es bis jetzt nur mit Hilfe des elektrischen Ofens erhalten worden (aus SrSO_4 und C), und zwar nach Mourslot¹²³⁾ und W. Müller¹²⁴⁾ in glattflächigen Hexaedern des regulären Systems von der Dichte 3,7, bez. 3,3.

Das Strontiumsulfid besitzt in noch höherem Grade als das Calciumsulfid die Eigenschaft der Phosphoreszenz, jedoch ebenfalls nur, wenn es nicht ganz rein ist. Die Wirkung verschiedener Beimengungen auf die Färbung und Intensität der Phosphoreszenz ist eingehend von Vermeuil¹²⁵⁾, Mourelot¹²⁶⁾ und Lenard und Klatt^{126a)} untersucht worden. Die letztere wird erhöht durch geringe Mengen Na_2CO_3 und NaCl , vermindert durch CaSO_4 , SrSO_4 , BaSO_4 . Zur Erregung der Phosphoreszenz sind die nicht sichtbaren Strahlen des Spektrums am wirksamsten. Das Maximum der Lichtstärke des Emissionsspektrums liegt nach Lommel¹²⁷⁾ zwischen Gelb und Grün.

Die Bildungswärme des Strontiumsulfids aus den Elementen beträgt nach Sabatier¹²⁸⁾ 49600 cal. In Wasser ist Strontiumsulfid unter Hydrolyse nur sehr wenig löslich. Mit heißem Wasser zersetzt es sich unter Bildung von Strontiumhydroxyd und

Strontiumhydroxysulfid, $\text{Sr}(\text{SH})_2$. Dieses entsteht außerdem ebenso wie die entsprechende Calciumverbindung (s. d.) durch Einleiten von H_2S in gesättigte Strontiumhydroxydlösung und Auflösen von SrS in H_2S -haltigem Wasser. Beim Verdunsten der Lösung im Vakuum entstehen säulenförmige Kristalle, die in trockenem Zustande an der Luft nicht verwittern. Beim Erhitzen schmelzen sie zunächst in ihrem Kristallwasser und zersetzen sich dann in H_2S und SrS .

Strontiumtetrasulfid, SrS_4 . Beim Kochen von Strontiummonosulfid und Schwefel mit Wasser entsteht eine Lösung, die beim Verdunsten im Vakuum unterhalb 16° einen dicken Sirup von der Zusammensetzung $\text{SrS}_4 \cdot 6\text{H}_2\text{O}$ hinterläßt. Derselbe erstarrt bei 8° kristallinisch (Schöne¹²⁹⁾). Diese Kristalle bilden rote Prismen, sind stark hygroskopisch und leicht löslich in Wasser und Alkohol; sie schmelzen bei 25° , und geben bei 100° 4 Mol H_2O ab. Engt man den bei 15° erhaltenen Sirup bei höherer Temperatur, etwa 25° , im Vakuum noch weiter ein, so erhält man hellgelbe Kristalle der Formel $\text{SrS}_4 + 2\text{H}_2\text{O}$.

An der Luft oxydiert sich sowohl das Dihydrat wie das Hexahydrat. Die entstehende rubinrote, in Rhomboiden kristallisierende Verbindung hält

Schöne (l. c.) für die Verbindung $\text{SrO} \cdot \text{SrS}_4 \cdot 12\text{H}_2\text{O}$, Geuther¹³⁰⁾ dagegen für Mischkristalle die Zusammensetzung $\text{SrS}_2\text{O}_3 + 5\text{SrS}_2 \cdot \text{H}_2\text{O} + 6\text{H}_2\text{O}$. Ein Strontiumdisulfid ist aber sonst nicht bekannt.

Eine kalte wässrige Lösung von Strontiumtetrasulfid nimmt noch soviel Schwefel auf, wie zur Bildung in die Verbindung SrS_3 notwendig ist. Doch ist dieselbe in festem reinem Zustande nicht bekannt, da beim Abdampfen eine Zersetzung und Schwefelabscheidung stattfindet (Berzelius, Schöne, l. c.).

Strontiumnitrid, Sr_3N_2 , wurde von Maquenne¹³¹⁾ durch Erhitzen von Strontiumamalgam im Stickstoffstrom als eine schmelzbare Masse erhalten, die bei hoher Temperatur dichte Dämpfe bildet. Mit Wasser zersetzt es sich unter Bildung von Strontiumhydroxyd und Ammoniak. Beim Erhitzen mit Kohle bildet es ebenso wie Ba_3N_2 zum Teil $\text{Sr}(\text{CN})_2$, doch in viel geringerem Maße. Mit CO bildet es kein Cyanid, sondern nur Strontiumoxyd, Kohle und Stickstoff.

Strontiumsilicid, SrSi_2 , ist von Bradley ebenso wie Calciumsilicid (s. d.) dargestellt worden.

Strontiumphosphid, Sr_3P_2 , wurde von Jaboin¹³²⁾ durch Reduktion von Triorthophosphat mit Kohle im elektrischen Ofen dargestellt. Seine Eigenschaften sind denen des Calciumphosphids analog. Seine Dichte beträgt bei 15° 2,68.

Strontiumselenid, SrSe , wurde von Fabre ebenso wie CaSe dargestellt (s. d.).

Strontiumarsenid, Sr_3As_2 , wurde von Lebeau¹³³⁾ durch Reduktion von Strontiumarsenid mit Kohle im elektrischen Ofen dargestellt. Seine Dichte beträgt bei 15° 3,6. Die Heftigkeit seiner Reaktionen steht zwischen der des Calcium- und Bariumarsenids.

Strontiumborid, SrB_6 , wurde von Moissan und William¹³⁴⁾ durch Reduktion von Strontiumborat mit Kohle im elektrischen Ofen dargestellt. Dichte = 3,28. Seine Eigenschaften sind dem des Calciumborids ähnlich, doch wird es durch Fluor nicht so leicht angegriffen wie dieses.

Strontiumcarbid, SrC_2 . M.-G. = 111,6.

Es entsteht wie die Carbide der anderen Erdalkalien im elektrischen Ofen aus Strontiumoxyd und Kohle (Moissan¹³⁵⁾). Seine Eigenschaften und Reaktionen sind dieselben wie die des Calciumcarbids (s. d.). Mit Wasser entwickelt es Acetylen. Sein spez. Gew. beträgt 3,19.

Strontiumchlorit, $\text{Sr}(\text{ClO}_2)_2$, wurde von Millon ebenso wie $\text{Ba}(\text{ClO}_2)_2$ dargestellt. Es zersetzt sich schon bei etwas niedrigerer Temperatur als dieses.

Strontiumchlorat, $\text{Sr}(\text{ClO}_3)_2$. M.-G. = 254,5. Die Darstellung des Strontiumchlorats ist analog der des entsprechenden Ca-Salzes (s. d.). Über die verschiedenen Modifikationen des Salzes und seinen Kristallwassergehalt liegen sich zum Teil einander widersprechende ältere Angaben vor (Wächter¹³⁶⁾, Souchay¹³⁷⁾), daher hat Potilitzin¹³⁸⁾ eine Neuuntersuchung unternommen. Er erhielt bei 20° aus der gesättigten Lösung wasserfreie rhombische Oktaeder; aus einer stark übersättigten Lösung, ferner bei 0° und -10° erhielt er drei andere, ebenfalls wasserfreie Modifikationen. Die Umwandlungspunkte und ihre Stabilitätsgrenzen sind jedoch nicht untersucht. Bei -40° kristallisiert ein Hydrat mit 3 Mol H_2O aus. Bei -65° erstarrt die 0,1-proz. Lösung zu einer festen Gallerte. Das wasserfreie Salz (spez. Gew. 3,152, Schröder¹³⁹⁾) kann bis 200° ohne Gewichtsver-

lust erhitzt werden. Bei dieser Temperatur tritt Sauerstoffabgabe ein. Es entsteht zunächst Chlorid und Perchlorat, das aber rasch wieder zersetzt wird (Potilitzin, l. c.). In Wasser ist das Salz leicht, in reinem Alkohol jedoch nur wenig löslich. Auf Kohle verpufft es mit roter Flamme.

Strontiumperchlorat, $\text{Sr}(\text{ClO}_4)_2$, M.-G. = 286,5, entsteht aus Strontiumhydroxyd und Überchlorsäure. Die Kristalle sind sehr zerfließlich, in Wasser und auch Alkohol löslich. Die letztere Lösung verbrennt mit purpurner Flamme (Serullas¹⁴⁰).

Strontiumbromat, $\text{Sr}(\text{BrO}_3)_2$, M.-G. = 338,5, entsteht beim Auflösen von Brom in Strontiumhydroxyd, es läßt sich jedoch nicht vollständig von dem gleichzeitig entstehenden Bromid trennen (Löwy¹⁴¹). Rein erhält man es durch Auflösen von SrCO_3 in HBrO_3 (Rammelsberg¹⁴²). Es kristallisiert in monoklinen Säulen mit 1 Mol Kristallwasser, vom spez. Gewicht 3,773. In Wasser ist es leicht löslich (1 Teil $\text{Sr}(\text{BrO}_3)_2$ in 3 Teilen kaltem H_2O). Bei 100° verliert es sein Kristallwasser und beginnt bei 240° sich zu zersetzen. Nach Potilitzin¹⁴³ steigt die Zersetzungsgeschwindigkeit mit der Temperatur; bei konstanter Temperatur geht sie durch ein stark ausgeprägtes Maximum hindurch. Es wird Sauerstoff und Brom entwickelt, und zwar sinkt die Bromabgabe mit wachsender Temperatur. Nach Beendigung der Zersetzung beträgt die Bromabgabe in Prozenten

bei 251°	18,8 Proz.	271°	1,85 Proz.
265°	2,10 „	287°	1,75 „

Diese Erscheinung läßt sich theoretisch so deuten: die Reaktion



geht nach Thomsen unter Wärmeaufnahme von statten, mithin muß sich das Gleichgewicht mit wachsender Temperatur zugunsten der endothermen Verbindungen (SrBr_2 und O) verschieben.

Strontiumjodat, $\text{Sr}(\text{JO}_3)_2$, M.-G. = 437,3. Da das Strontiumjodat in Wasser nur wenig löslich ist, so kann es außer nach den beim Bromat angegebenen Verfahren auch durch Ausfällen von SrCl_2 mit KJO_3 dargestellt werden. Nach Ditte¹⁴⁴ kristallisiert das Salz aus salpetersauren Lösungen bei 60 – 70° wasserfrei, bei gewöhnlicher Temperatur mit 1 Mol Kristallwasser aus. In der Kälte erhält man aus neutralen Lösungen ein Hexahydrat (Rammelsberg¹⁴⁵). Es löst sich in 342 Teilen Wasser von 15° und 100 Teilen von 100° . Das Kristallwasser ist nur schwierig zu entfernen. Bei weiterem Erhitzen gibt es Jod und Sauerstoff ab.

Strontiumperjodat. Das normale Perjodat, $\text{Sr}(\text{JO}_4)_2 \cdot 6\text{H}_2\text{O}$, entsteht aus Überjodsäure und Strontiumcarbonat. Über konzentrierter H_2SO_4 gibt es nur 4 Mol H_2O ab. Das restierende Dihydrat hat einen so geringen Dampfdruck, daß es erst bei 160° entwässert werden kann (Rammelsberg¹⁴⁶).

Ebenso wie das Calciumperjodat bildet auch das Strontiumperjodat eine Reihe von basischen Salzen, mit 1, 2 und 5 Mol SrO und 1, 3, 4 Mol H_2O , die auch von denselben Autoren dargestellt worden sind.

Strontiumhydrosulfit, SrS_2O_4 , entsteht wie das entsprechende Calciumsalz aus Strontiumhydroxyd und Schwefeldioxyd beim Erwärmen (Moissan).

Strontiumsulfat, SrSO_4 , ist in Wasser schwer löslich und kann daher durch Fällen von SrCl_2 -Lösung mit Na_2SO_3 dargestellt werden, ferner durch Erhitzen von Strontiumoxyd mit Schwefeldioxyd auf 230 – 290° (Birnbaum und Wittich¹⁴⁷). Es kristallisiert wasserfrei in flachen rechtwinkligen Prismen

(Rammelsberg¹⁴⁶). Beim Glühen zersetzt es sich in ein stark phosphoreszierendes Gemenge von SrS und SrSO_4 (Forster¹⁴⁹, Mourelo¹⁵⁰).

Strontiumthiosulfat, SrS_2O_3 , entsteht wie CaS_2O_3 durch Oxydation von SrS an der Luft oder Kochen von Strontiumhydroxyd, Schwefel und Schwefeldioxyd. Aus der konzentrierten wässrigen Lösung wird es durch Alkohol in Kristallen mit 1 und 5 Mol H_2O gefällt (Kessler¹⁵¹). Marignac¹⁵² beschreibt sehr große monokline Kristalle mit 5 Mol H_2O , die nur schwer vollständig entwässert werden können. Beim Glühen zersetzt es sich nach Mourelo (l. c.), in Sulfid, Sulfat und Schwefel nach der Gleichung $4\text{SrS}_2\text{O}_3 = \text{SrS} + 3\text{SrSO}_4 + 4\text{S}$. Es löst sich in 4 Teilen Wasser von 13° und 1,75 Teilen von 100°.

Strontiumsulfat, SrSO_4 , M.-G. 183,7, kommt wasserfrei in der Natur in schönen rhombischen Kristallen¹⁵³ als Cölestin vor. Künstlich entsteht es aus Strontiumoxyd und Schwefelsäure, ferner seiner Schwerlöslichkeit wegen aus den Lösungen aller Strontiumsalze mit Sulfaten und durch Schmelzen von Kaliumsulfat mit Strontiumchlorid. Die Kristallwinkel des gefällten weichen gewöhnlich von denen des natürlichen ab. Es ist mit Bariumsulfat isomorph und bildet mit ihm gemischt den Barytcölestin.

Das spez. Gew. des Cölestins beträgt 3,925, das des gefällten Salzes 3,71.¹⁵⁴ Bei starkem Erhitzen dissoziiert es in SrO und SO_3 (Boussingault¹⁵⁵). Daher wird es beim Glühen basisch und durch andere Säuren in die entsprechenden Sr-Salze umgewandelt.¹⁵⁶ Kohle, feuchtes Kohlenoxyd, Wasserstoff, Eisen und Zink reduzieren es zu Strontiumsulfid (Jaquemin¹⁵⁷, d'Heureuse¹⁵⁸). Bei Weißglut schmilzt es, jedoch nicht unzersetzt. Das entektische Gemisch mit NaNO_3 enthält 1,845 Proz. SrSO_4 (Guthrie¹⁵⁹).

Löslichkeit. Das Strontiumsulfat ist in Wasser nur schwer löslich, und zwar schwerer als CaSO_4 , leichter als BaSO_4 . Die neuesten und ausführlichsten Bestimmungen seiner Löslichkeit sind von Wolfmann¹⁶⁰ ausgeführt worden. Nach diesem lösen sich in 100 g H_2O bei

0—3°	10—12°	20°	30°	50°	80°	90°	95—98°
0,0083	0,0004	0,1479	0,1600	0,1629	0,1688	0,1727	0,1789 g SrSO_4

Holleman¹⁶¹ fand aus der Bestimmung der elektrischen Leitfähigkeit der gesättigten Lösung die Löslichkeit bei 16,1° zu 0,0993 g, bei 26,1° zu 0,0997 g im Liter. Kohlrausch und Rose¹⁶² fanden 0,114 g = 0,0006 Millimol Liter bei 18°.

Sicherlich ist ebenso wie beim Gips die Löslichkeit von der Korngröße des zur Sättigung benutzten Bodenkörpers abhängig. Die Löslichkeit ist in Lösungen von Alkalinitraten und Chloriden größer als in reinem Wasser (Virek¹⁶³). Nach Wolfmann (l. c.) beträgt sie in einer 10proz. Lösung der folgenden Elektrolyte in 1000 g

	20°	98°
NaNO_3	0,7032 g	0,8422 g
HNO_3	0,7000 ..	0,8744 ..
NH_4NO_3	0,7011 ..	0,8004 ..
$\text{Ca(NO}_3)_2$	0,4021 ..	0,4398 ..
NaCl	0,6302 ..	0,6013 ..
HCl	0,6003 ..	0,6004 ..
NH_4Cl	0,5304 ..	0,6002 ..
SrCl_2	0,1400 ..	0,2000 ..
CaCl_2	0,3134 ..	0,3579 ..

Die Erhöhung der Löslichkeit wird offenbar durch doppelten Umsatz und Komplexbildung verursacht; im allgemeinen wirken die Niträte ebenso wie beim CaSO_4 stärker als die Chloride. Es ist auffällig, daß auch Strontiumchlorid trotz des Einflusses der gleichen Ions die Löslichkeit erhöht; noch stärker wirkt Strontiumnitrat. Bei 20° ist nämlich die Löslichkeit von SrSO_4 in Lösungen von $\text{Sr}(\text{NO}_3)_2$

% $\text{Sr}(\text{NO}_3)_2$	1	5	10	20	30	40
g SrSO_4 im l	0,1573	0,1776	0,1984	0,1896	0,1903	0,1800

Es muß in diesen Lösungen eine sehr weitgehende, vermutlich kationische Komplexbildung stattfinden.

Auch in Säuren ist die Löslichkeit größer als in Wasser. Nach Ostwald und Banthisch¹⁶⁴) beträgt die Löslichkeitszunahme bei 20° in

n	HCl	HNO_3
0,2	0,29 mg	0,73
0,5	0,96 "	1,46
1	1,72 "	2,01
2	2,20 "	2,44
10	3,25 "	3,22

Vermindert wird die Löslichkeit durch Na_2SO_4 , verdünnte H_2SO_4 und Alkohol. In absolutem Alkohol ist es fast völlig unlöslich.

Die spezifische Leitfähigkeit der gesättigten Lösung beträgt nach Kohlrausch und Rose (l. c.) in reziproken Ohm

$t = 2,85^0$	10,18 ⁰	17,38 ⁰	32,26 ⁰
$\alpha \cdot 10^6 = 85,8$	105,5	126,7	173,1

Strontiumhydrosulfat, $\text{Sr}(\text{HSO}_4)_2$, ist von Schultz¹⁶⁵) aus einer gesättigten Lösung von heißer konzentrierter Schwefelsäure erhalten worden. An feuchter Luft sollen Kristalle mit 1 Mol. H_2O entstehen.

Strontiumpyrosulfat, SrS_2O_7 , entsteht durch Vereinigung von SrSO_4 mit SO_3 (Schulze¹⁶⁶)).

Doppelsalze des Strontiumsulfats mit K_2SO_4 und $(\text{NH}_4)_2\text{SO}_4$ (ohne Kristallwasser) sind von Rose¹⁶⁷) erhalten worden.

Strontiumdithionat, SrS_2O_6 , entsteht wie das entsprechende Calciumsalz und ist mit diesem isomorph. Es löst sich nach Heeren¹⁶⁸) in 4,5 Teilen Wasser von 16° und 1,5 Teilen von 100°. In Alkohol ist es schwer löslich.

Strontiumtetrathionat, SrS_4O_6 , entsteht durch Oxydation des Thiosulfats mit Jod (Fordes und Gelis¹⁶⁹)). Beim Eindunsten der Lösung kristallisiert es nur zum Teil aus; der andere Teil zersetzt sich in Schwefel, Schwefeldioxyd und Strontiumsulfat.

Strontiumhyponitrit, $\text{Sr}(\text{NO})_2$, wurde zuerst von Maquenne¹⁷⁰) durch Auflösen von Silberhyponitrit in verdünnter Salpetersäure, Zusatz von Strontiumchlorid und, nach dem Abfiltrieren des ausgeschiedenen Chlorsilbers, von überschüssigem Ammoniak dargestellt. Er erhielt Kristalle mit wechselnden Mengen H_2O . Kirschner¹⁷¹) gewann es durch Auflösen des Silbersalzes in konzentriertem Ammoniak und Zusatz von $\text{Sr}(\text{NO}_3)_2$. Es muß mit Alkohol und Äther getrocknet werden, da es sein Kristallwasser leicht abgibt. Es enthält dann 5 Mol. H_2O . Die wässrige Lösung reagiert schwach alkalisch, mit Säure entwickelt sie Stickoxydul.

Strontiumnitrit, $\text{Sr}(\text{NO}_2)_2$.

Die Darstellung ist dieselbe wie die des entsprechenden Bariumsalzes.

Vogel¹⁷²⁾ erhielt es rein aus AgNO_3 und SrCl_2 . Es kristallisiert in hexagonalen Kristallen mit 1 Mol. H_2O , und gibt dieses schwerer ab als $\text{Ba(NO}_3)_2$. Seine Löslichkeit beträgt bei 20°:

in 100 ccm H_2O	62,83 g $\text{Sr(NO}_3)_2 \cdot \text{H}_2\text{O}$
in 100 ccm 90proz. Alkohol	0,42 g $\text{Sr(NO}_3)_2 \cdot \text{H}_2\text{O}$
in 100 ccm 100proz. Alkohol	0,04 g $\text{Sr(NO}_3)_2 \cdot \text{H}_2\text{O}$.

Seine Löslichkeit steht also in der Mitte zwischen der des $\text{Ca(NO}_3)_2$ und $\text{Ba(NO}_3)_2$.

Strontiumnitrat, $\text{Sr(NO}_3)_2$; M.-G. = 211,7, kann ebenso wie Calciumnitrat aus Hydroxyd, -carbonat oder -sulfid und Salpetersäure hergestellt werden. Zur technischen Darstellung benutzt man seine viel geringere Löslichkeit und fällt es aus konzentrierten SrCl_2 -Lösungen mit NaNO_3 aus (Muck¹⁷³⁾).

Eigenschaften. Das Strontiumnitrat kristallisiert in der Wärme aus der gesättigten Lösung in wasserfreien Oktaedern oder Würfeloktaedern aus. Sein spez. Gew. beträgt im Mittel 2,93 (Clarke¹⁷⁴⁾). Es schmilzt bei 645° (Carnelley¹⁷⁵⁾) und zersetzt sich bei höherer Temperatur, zunächst unter Abgabe von Sauerstoff. Der Schmelzpunkt wird durch Zusatz von KNO_3 naturgemäß erniedrigt. Das Minimum, die eutektische Mischung, liegt bei 285° und einem Gehalt von 25,81 Proz. $\text{Sr(NO}_3)_2$.

Aus der kaltgesättigten Lösung kristallisiert das Hydrat $\text{Sr(NO}_3)_2 \cdot 4\text{H}_2\text{O}$ in monokliner Form aus, vom spez. Gew. 2,25 (15,5). Bei 100° verliert es vollständig sein Kristallwasser.]

Die Bildungswärme des $\text{Sr(NO}_3)_2$ aus den Elementen beträgt nach Thomson 219820 cal, die Lösungswärme des wasserfreien Salzes in 400 Mol. H_2O = 4620 cal, die des Tetrahydrats in derselben Wassermenge — 12300 cal, mithin seine Hydratationswärme + 7680 cal.

Die molare Löslichkeit des Strontiumnitrats (ca. 2,7 molar) steht in der Mitte zwischen der des Calcium- und Bariumnitrats (5,2 resp. 0,33). Sie ist von Kremers¹⁷⁶⁾, Mulder¹⁷⁷⁾ und Étard¹⁷⁸⁾ bestimmt worden. Es lösen sich

in 100 Teilen H_2O				in 100 Teilen Lösung			
bei	0°	39,5 Teile $\text{Sr(NO}_3)_2$ (M.)		bei	—6°	24,5 Teile $\text{Sr(NO}_3)_2$ (É.)	
"	5°	47,3	" "	"	14°	35,9	" "
"	10°	59,0	" "	"	20°	39,8	" "
"	20°	70,8	" "	"	32°	46,9	" "
"	30°	87,6	" "	"	53°	47,2	" "
"	40°	91,3	" "	"	76°	49,1	" "
"	50°	92,6	" "	"	94°	50,4	" "
"	60°	94,0	" "	"	110°	50,2 (?)	
"	70°	95,6	" "				
"	80°	97,2	" "				
"	90°	99	" "				
"	100°	101,1	" "				
"	105°	102,3	" "				
"	107,9°	102,9	" "				

Das spez. Gew. ist bei 19,5°, bezogen auf H_2O von 19,5° nach Gerlach¹⁷⁹⁾

% $\text{Sr}(\text{NO}_3)_2$ in 100 H_2O	s	% $\text{Sr}(\text{NO}_3)_2$ in 100 H_2O	s
5	1,041	25	1,235
10	1,085	29	1,292
15	1,131	35	1,354
20	1,181	40	1,422

Die thermische Ausdehnung von $\text{Sr}(\text{NO}_3)_2$ -Lösung ist von Lannoy¹⁸⁰⁾ untersucht worden; er fand, daß das spez. Volumen jeder Konzentration eine Funktion zweiten Grades der Temperatur ist, also $v = v_0 + at + bt^2$. Die Koeffizienten a und b wachsen mit der Konzentration.

Teile $\text{Sr}(\text{NO}_3)_2$ in 100 H_2O	t°	Teile $\text{Sr}(\text{NO}_3)_2$ in 100 H_2O	t°
12	100,5	81,4	104
24	101	89,6	104,5
34,8	101,5	97,6	105
45	102	105	105,5
54,4	102,5	112,2	106
63,6	103	116,5	106,3
72,6	103,5		

Die Siedepunktserhöhungen verdünnter Lösungen sind nach Smits¹⁸²⁾

Mol in 1000 g H_2O	dt	$\frac{dt}{n}$	i
n			
0,0429	0,050°	1,166	2,24
0,0848	0,098°	1,156	2,22
0,4142	0,493°	1,190	2,19
0,9005	1,094°	1,215	2,34

Die Gefrierpunkte konzentrierter Lösungen sind nach de Coppet¹⁸³⁾

% $\text{Sr}(\text{NO}_3)_2$ in 100 H_2O	t
10	— 2,0°
20	— 3,7°
25	— 4,6°
30	— 5,3°
35	— 6,25°

Die innere Reibung von $\text{Sr}(\text{NO}_3)_2$ -Lösungen ist nach Wagner¹⁸⁴⁾

Mol in Liter	η 25°	s 25°
1	1,150	1,0822
$\frac{1}{2}$	1,0491	1,0419
$\frac{1}{4}$	1,0240	1,0208
$\frac{1}{8}$	1,0114	1,0104

Das Äquivalentleitvermögen ist von Kohlrausch und Grüneisen¹⁸⁵⁾ bei 18° und Kahlenberg¹⁸⁶⁾ bei 0° bestimmt worden.

v	λ 18°	v	μ 0° (Mol. Leitv.)
0,0001	111,74	4096	68,0
2	111,07	2048	67,4
5	109,76	1024	66,1
0,001	108,31	512	64,5
2	106,35	256	63,1
5	102,71	128	61,0
0,01	99,04	64	58,4
			15°

v	λ 18°	v	λ 0°
0,02	94,52	32	55,5
5	87,30	16	51,3
0,1	80,93	8	47,8
2	73,80	4	43,2
5	62,72	2	38,4
1,0	52,07	1	32,1
		0,5	23,5

In flüssigem Ammoniak ist $\text{Sr}(\text{NO}_3)_2$ beträchtlich löslich und ein guter Elektrolyt (Franklin und Kraus¹⁸⁷⁾).

Das Äquivalentleitvermögen ist in diesem Lösungsmittel bei -35° (in reziproken Ohm)

v	λ	v	λ
151000	514,2	2677	240,8
107900	491,9	1797	221,9
74350	466,2	884,1	190,6
49900	431,4	593,3	173,7
20360	359,3	286,2	145,0
8108	299,0		
5441	275,8		

Der Grenzwert λ_∞ bei unendlicher Verdünnung ist viel größer als in wässrigen Lösungen, doch ist die elektrolytische Dissoziation geringer als in diesen, da das Leitvermögen mit wachsender Konzentration ziemlich rasch abnimmt.

In absolutem Alkohol ist $\text{Sr}(\text{NO}_3)_2$ nur schwer löslich. Nach Rose¹⁸⁸⁾ löst sich ein Teil $\text{Sr}(\text{NO}_3)_2$ in 8500 Teilen Alkohol und 60000 Teilen eines Gemisches aus gleichen Volumina Alkohol und Äther.

Strontium(dihydro)hypophosphit, $\text{Sr}(\text{H}_2\text{PO}_2)_2$, entsteht wie das entsprechende Calciumsalz beim Kochen von Strontiumhydroxydlösung mit Phosphor, oder durch Auflösen von Strontiumcarbonat in unterphosphoriger Säure (Rammelsberg). Es kristallisiert in luftbeständigen, kristallwasserfreien Blättchen. Seine Zersetzung beim Glühen ist analog der des Ca- und Ba-Salzes.

Strontiumhydrophosphit, SrHPO_3 , wurde von Rose und Rammelsberg ganz ebenso wie die entsprechenden Ca- und Ba-Salze dargestellt. Seine Eigenschaften sind denen dieser Verbindungen durchaus ähnlich. Es kristallisiert mit 1 Mol H_2O .

Strontiumorthophosphate.

Von den drei möglichen Salzen sind nur zwei in festem Zustande bekannt, nämlich das tertiäre, Strontiumphosphat, $\text{Sr}_3(\text{PO}_4)_2$, und das sekundäre, Strontiumhydrophosphat, SrHPO_4 .

Über ihre Löslichkeitsverhältnisse in Wasser und Säuren sowie ihre teilweise Zersetzung durch Wasser gilt dasselbe wie für die entsprechenden Salze des Calciums (vgl. S. 52). Exakte quantitative Bestimmungen liegen nicht vor, doch scheinen die Löslichkeitsprodukte der beiden Salze und daher auch ihre Löslichkeiten größer zu sein als bei den Calciumsalzen.

Auch die Darstellung ist dieselbe wie die der Ca-Salze; sie entstehen durch Fällern neutraler Sr-Lösungen mit den entsprechenden Alkaliphosphaten und beim Behandeln von Strontiumcarbonat mit wässriger Phosphorsäure.

Das tertiäre Salz entsteht immer amorph, das sekundäre kann auch kristallinisch erhalten werden, da sich der zuerst entstehende amorphe Niederschlag allmählich umwandelt (Joly¹⁸⁹)).

Die Wärmetönungen, die bei der Neutralisation von Phosphorsäure mit alkalischen Strontiumlösungen frei werden, sind von Berthelot¹⁹⁰) gemessen worden.

Strontiumkaliumorthophosphat, SrKPO_4 , und Strontiumnatriumorthophosphat, SrNaPO_4 , sind von Rose¹⁹¹) und Ouvrard¹⁹²) beim Schmelzen von Strontiumpyrophosphat mit Kalium- bez. Natriumcarbonat als in Wasser unlösliche Verbindungen erhalten worden.

Strontiumpyrophosphat, $\text{Sr}_2\text{P}_2\text{O}_7$, wird nach Schwarzenberg¹⁹³) durch Glühen von sekundärem Orthophosphat oder durch Fällen von $\text{Sr}(\text{NO}_3)_2$ mit Natriumpyrophosphat erhalten. Es kann amorph und kristallinisch mit 1 Mol H_2O erhalten werden. In Wasser ist es wenig, in Säuren leicht löslich. Mit Na und K bildet es ebenfalls Doppelverbindungen vom Typus $\text{SrK}_2\text{P}_2\text{O}_7$. Das Na-Salz ist nur amorph, das K-Salz kristallinisch in hexagonalen Blättchen erhalten worden (Bare¹⁹⁴), Ouvrard, l. c.).

Strontiummetaphosphat, $\text{Sr}(\text{PO}_3)_2$, wurde von Maddrell wie das entsprechende Ca-Salz erhalten. Polymer mit diesem ist das von Lüdert¹⁹⁵) als Strontiumhexametaphosphat, $\text{Sr}_3\text{P}_6\text{O}_{18}$, angesprochene Salz.

Lindbom¹⁹⁶) erhielt ein Doppelsalz, $\text{Sr}(\text{PO}_3)_2\text{Na}_2\text{PO}_3$.

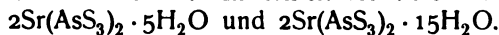
Strontiumarsenit, $\text{Sr}(\text{AsO}_2)_2$, kann aus Ammoniumarsenit und Strontiumsalzen dargestellt werden. Es ist ziemlich leicht löslich.

Strontiumarsenat, $\text{Sr}_3(\text{AsO}_4)_2$, wurde ebenso wie das Ca- und Ba-Salz von Kotschubey dargestellt. Salkowsky¹⁹⁷) erhielt jedoch aus Natriumarsenat und Strontiumchlorid stets ein Doppelsalz, NaSrAsO_4 , welches beim Kochen mit Wasser in das Pyroarsenat, $\text{Sr}_2\text{As}_2\text{O}_7$, überging.

Joly¹⁹⁸) erhielt ein Doppelsalz, $\text{SrNaAsO}_4 + 18\text{H}_2\text{O}$ und $\text{SrNaAsO}_4 + 9\text{H}_2\text{O}$.

Das Pyroarsenat wurde auch von Lefèvre¹⁹⁹) durch Schmelzen von Strontiumoxyd und Kaliummetaarsenat in orthorhombischen Prismen erhalten.

Strontiumsulfarsenite wurden ebenso wie die entsprechenden Ca- und Ba-Salze von Nilson untersucht. Er erhielt die Verbindungen



Strontiumcarbonat, SrCO_3 ; M.-G. = 147,6, kommt in der Natur als Strontianit vor.

Darstellung. Infolge seiner Schwerlöslichkeit entsteht SrCO_3 aus allen Lösungen von Strontiumsalzen beim Zusatz von Ammoniumcarbonat. Als Ausgangsmaterial für die Technik dient vornehmlich Cölestin, SrSO_4 . Er kann durch Schmelzen mit Soda (Urquhart und Rowell²⁰⁰)), oder durch Kochen mit einer konzentrierten Lösung von Ammoniumcarbonat direkt in Strontiumcarbonat übergeführt werden (Mebus und Decastro²⁰¹)). Die Reinigung von Alkalien wird nach Heyer²⁰²) durch nochmaliges schwaches Glühen ermöglicht. Nach einem Verfahren von Lieber²⁰³) wird Strontiumsulfat durch Schmelzen mit CaCl_2 , C und wenig Fe in SrCl_2 und dieses durch eine Lösung von Ammoniumcarbonat in SrCO_3 übergeführt. Nach Wackenroder²⁰⁴) wird gepulverter Cölestin in einer Lösung von Calciumsaccharat durch Kohlendioxyd in Carbonat verwandelt. Claus²⁰⁵) erhielt dasselbe durch Einleiten von Kohlendioxyd in eine Lösung von Strontiumsulfhydrat bei Gegenwart von Magnesiumchlorid. Doch ist es nach den älteren

Untersuchungen von Rivière und Scheurer-Kestner²⁰⁶⁾ nicht möglich, vollständig sulfidfreies Carbonat zu erhalten. Die nachträgliche Reinigung desselben vergl. bei Brock und Marsch.²⁰⁷⁾ Mit wasserfreiem Strontiumhydroxyd oder -oxyd reagiert CO_2 unter Bildung von Carbonat erst bei Rotglut (Scheibler²⁰⁸⁾, Raoult²⁰⁹⁾).

Eigenschaften. Der natürliche Strontianit kristallisiert in rhombischen Kristallen, die mit Aragonit isomorph sind. Das gefällte SrCO_3 ist amorph, kann aber nach Bourgeois²¹⁰⁾ durch Erhitzen mit Lösungen von Ammoniumsalzen oder Harnstoff, der sich bei dieser Temperatur in Ammoniumcarbonat umwandelt, auf $150-180^\circ$ im geschlossenen Rohr in die kristallinische Modifikation übergeführt werden, ebenso durch Eintragen in geschmolzenes NaCl und KCl . Man erhält auf diese Weise längliche Prismen, die stark doppelbrechend sind. Strontiumcarbonat wird durch Hitze in Oxyd und Kohlendioxyd zersetzt, und zwar ist der Dissoziationsdruck der Kohlensäure geringer als beim CaCO_3 . Jedoch ist die Zersetzung bei 1100° nach Conroy²¹¹⁾ vollständig, d. h. der Dissoziationsdruck übersteigt eine Atmosphäre. Die Zersetzung geht nur langsam vorwärts, wird jedoch durch mechanische Entfernung des gebildeten Kohlendioxyds, z. B. durch Wasserdampf, beschleunigt.

Das spez. Gew. des amorphen SrCO_3 beträgt 3,62, das des Strontianits 3,605—3,625 (Schröder²¹²⁾). Die Bildungswärme des Strontiumcarbonats aus den Elementen beträgt nach Thomsen 281170 cal , aus SrO und CO_2 55770 cal .

In Wasser ist Strontiumcarbonat nur sehr wenig löslich. Es lösen sich in einem Liter nach Bineau²¹³⁾ 10 mg, nach Holleman²¹⁴⁾ bei $8,8^\circ$ 8,2 mg, bei $24,3^\circ$ 10,4 mg, nach Kohlrausch und Rose²¹⁵⁾ bei 18° 11 mg. Diese Werte stimmen sehr gut überein, die wesentlich höheren Angaben von Fresenius und Kremers sind daher offenbar unrichtig. Das elektrische Leitvermögen der gesättigten Lösungen beträgt nach Kohlrausch²¹⁶⁾ in reziproken Ohm

bei $0,80^\circ$	$8,17 \cdot 10^{-6}$	bei $17,16^\circ$	$16,12 \cdot 10^{-6}$
„ $2,62^\circ$	8,79 „	„ $34,7^\circ$	29,3 „
„ $4,93^\circ$	9,69 „	„ $37,7^\circ$	32,1 „

Die gesättigte Lösung reagiert infolge von Hydrolyse alkalisch. Sie enthält also freie Hydroxylionen; dementsprechend ist die Löslichkeit in Ammoniaklösungen geringer, in Ammoniumsalzlösungen wegen Bildung von undissoziiertem NH_4OH jedoch größer als in reinem Wasser. In CO_2 -haltigem Wasser ist die Löslichkeit ebenfalls größer, weil in diesem mit wachsendem Partialdruck von CO_2 eine Vermehrung der Ionen HCO_3' und eine Verminderung der Ionen CO_3'' eintritt. Das Löslichkeitsprodukt des SrCO_3 ist aber nur durch die Konzentration der letzteren bestimmt (s. CaCO_3). Beim Erhitzen von SrCO_3 mit Schwefel und Wasser im geschlossenen Rohr tritt nach Geitner²¹⁷⁾ eine allerdings vorübergehende Blau- oder Grünfärbung ein.

Strontiumcarbonat löst sich nach Guthrie²¹⁸⁾ in geschmolzenem Natriumnitrat auf und zwar beträgt seine Löslichkeit bei der Temperatur des eutektischen Punktes 0,69 Proz.

Strontiumsilicate kommen in der Natur zusammen mit Bariumsilikaten vor (siehe diese). Nach Jordis und Kanter können sie ebenso wie diese und die entsprechenden Ca-Verbindungen dargestellt werden und haben ähnliche Eigenschaften.

Strontiumborate. Wasserfreie Strontiumborate der Formeln $\text{Sr}(\text{BO}_2)_2$,

$\text{Sr}_3\text{B}_4\text{O}_9$, $\text{SrB}_6\text{O}_{10}$, SrB_4O_7 wurden ebenso wie die entsprechenden Calciumverbindungen von Ditté dargestellt. Guertler²¹⁹⁾ bewies durch Schmelzpunktsbestimmung der Gemische von SrO und B_2O_3 die Existenz der Verbindungen $2\text{SrO} \cdot \text{B}_2\text{O}_3$, $\text{SrO} \cdot \text{B}_2\text{O}_3$, $\text{SrO} \cdot 2\text{B}_2\text{O}_3$.

Auf feuchtem Wege, d. h. durch Ausfällen von löslichen Strontiumsalzen mit Borax, erhält man stets kristallwasserhaltige Niederschläge verschiedener Zusammensetzung, die infolge von Hydrolyse um so ärmer an Borsäure sind, je heißer sie gefällt werden. Da sie aber meistens noch das zur Fällung notwendige Alkalimetall enthalten (Na), so kommt den berechneten Formeln keine Sicherheit zu (Rose²²⁰⁾, Laurent²²¹⁾).

Strontiumformiat, $\text{Sr}(\text{HCO}_2)_2$. Seine Lösungen entstehen durch Neutralisation von Ameisensäure mit Strontiumhydroxyd oder -carbonat. Aus denselben kristallisiert es nach Plathan²²²⁾ oberhalb $71,9^\circ$ wasserfrei, unterhalb dieser Temperatur in Kristallen mit 2 Mol H_2O , im rhombischen System, deren Hemiedrien von Gernez²²³⁾ bestimmt worden sind. Die Dichte des wasserfreien Salzes beträgt 2,67, des wasserhaltigen 2,25 (Schröder²²⁴⁾). Seine Löslichkeit ist von Plathan und Stanley bestimmt worden. Letzterer fand

	t^0	0^0	11,0	28,6	37,4	51,4	67,5
g $\text{Sr}(\text{HCO}_2)_2 \cdot 2\text{H}_2\text{O}$ in 100 H_2O		7,02	8,08	11,62	13,01	16,31	20,62
	t^0	81,5	86,0	91,7	100,0		
lösl. %		26,14	27,58	27,01	26,57		

Stanley gibt daher im Gegensatz zu Plathan den Umwandlungspunkt in die anhydrische Form zu 86° an.

Die Gefrierpunktserniedrigungen von Strontiumformiat-Lösungen sind von Calame²²⁵⁾ gemessen worden.

c (Mol in 1000 g H_2O)	dt	$i = \frac{dt}{c \cdot 1,86}$
0,510	2,390 ⁰	2,52
0,252	1,210 ⁰	2,58
0,126	0,630 ⁰	2,69
0,063	0,338 ⁰	2,89

Wie die letzte Tabelle zeigt, ist die elektrolytische Dissoziation sehr beträchtlich.

Das Refraktionsäquivalent des Strontiumformiats für die A-Linie ist nach Kannonikow²²⁶⁾

$$R_\alpha = 36,58 \quad R_A = 35,55.$$

Strontiumacetat, $\text{Sr}(\text{C}_2\text{H}_3\text{O}_2)_2$, kristallisiert in der Kälte mit 4 Mol H_2O , bei 15° mit 0,5 Mol. Die Existenzgrenzen sind nicht genauer bekannt.

Es ist wie die entsprechenden Ba- und Ca-Salze in Alkohol schwer, in Wasser leicht löslich.

Die Gefrierpunktserniedrigungen seiner Lösungen sind nach Calame²²⁷⁾

Mol in 1000 g H_2O	dt^0	$i = \frac{dt}{c \cdot 1,86}$	i ber.
0,510	2,535	2,67	1,76
0,255	1,245	2,62	1,84
0,126	0,635	2,71	2,02
0,063	0,335	2,86	2,18

Die unter „i ber.“ aufgeführten Werte sind aus den Messungen des elektrischen Leitvermögens von Mac Gregory²²⁸⁾ berechnet. Sie sind durchweg ebenso wie beim Calcium- und Bariumacetat viel kleiner als die nach der osmotischen Methode erhaltenen.

Das Äquivalentleitvermögen der Strontiumacetate berechnet sich aus den Werten von Mac Gregory²²⁹⁾ bei 18° in reziproken Ohm zu

c	λ	c	λ
0,0005	81,1	0,05	62,3
0,001	80,1	0,1	56,7
0,002	78,5	0,2	50,0
0,005	75,8	0,3	46,0
0,01	72,8	0,5	40,2
0,02	69,1	1,0	30,9
0,03	66,5		

Strontiumoxalat, SrC_2O_4 , kristallisiert in der Kälte mit $2\frac{1}{2}$ Mol H_2O , bei höherer Temperatur mit 1 Mol. Bei Temperaturerhöhung verhält es sich ebenso wie Calciumoxalat. Seine Löslichkeit ist jedoch beträchtlich größer. Kohlrausch und Rose²³⁰⁾ fanden das Leitvermögen der gesättigten Lösung

bei	1,35°	15,9°	31,70°	37,27°
$\kappa \cdot 10^6$	25,1	50,1	89,9	107,1

Daraus berechnen sie¹⁶²⁾ die Löslichkeit zu $0,046 \text{ g} = 0,26 \text{ Millimol}$ im Liter bei 18°.

Nach Herz und Muhs²³¹⁾ ist dieselbe größer, sie beträgt bei 26—27°

in Wasser	0,090 g $\text{SrC}_2\text{O}_4 \cdot \text{H}_2\text{O}$
„ 0,58 n Essigsäure	0,525 „ „
„ 1,45 „ „	0,621 „ „
„ 2,87 „ „	0,641 „ „
„ 3,86 „ „	0,599 „ „
„ 5,79 „ „	0,497 „ „
„ 16,26 „ „	0,061 „ „

Strontiumtartrat, $\text{SrC}_4\text{H}_4\text{O}_6$, wurde von Marignac²³²⁾ monoklin mit 3 Mol. H_2O erhalten. Die letztere Modifikation erhielten auch Herz und Muhs²³³⁾ beim Fällen von Strontiumchlorid mit Kaliumnatriumtartrat. Seine Löslichkeit in Wasser und Essigsäure beträgt nach ihnen bei 26—27° im Liter

in Wasser	2,269 g
„ 0,565 n Essigsäure	6,782 „
„ 1,425 „ „	8,636 „
„ 2,85 „ „	9,961 „
„ 3,77 „ „	10,52 „
„ 5,65 „ „	9,82 „
„ 16,89 „ „	1,837 „

Die Mengen beziehen sich auf Salz, welches bei 70° getrocknet ist; welchen Wassergehalt es besitzt, wird nicht angegeben.

Marignac (l. c.) hat Doppelsalze des Strontiumtartrats mit Natrium-, Kalium- und Ammoniumtartrat beschrieben.

1) Gilberts Ann. **32**, 369, 1808.

2) Ann. d. Chem. u. Pharm. **94**, 111, 1855.

3) Lehrbuch, S. 423.

- 4) Ztschr. f. Elektrochem. **8**, 759, 1902.
- 5) Jahr.-Ber. 1859, 129.
- 6) Journ. f. prakt. Chem. **107**, 253, 1869.
- 7) Ber. d. Deutsch. Chem. Ges. **23**, 122, 1890.
- 8) Journ. f. prakt. Chem. [2], **31**, 321, 1885.
- 9) Ostwald, Grundlinien 1900, S. 549.
- 10) Kohlrausch und Holborn, Leitvermögen der Elektrolyte, Leipzig 1898.
- 10a) Ztschr. physik. Chem. **35**, 318, 1900; s. a. Ztschr. f. Elektrochem. **7**, 254, 1900.
- 11) Ztschr. f. anorg. Chem. **29**, 145, 1902.
- 12) C. r. de l'Acad. d. sciences **134**, 100, 1902.
- 13) ibid. **133**, 1209, 1902.
- 14) Pogg. Ann. **1** 20.
- 15) Krist. Fluorverb. Göttingen 1863.
- 16) Ann. de chim. et de phys. [6], **3**, 5, 1884.
- 17) Dingl. Polyt. Journ. **253**, 440; **262** 143; D. R. P. 28062.
- 18) Jahresber. 1858, 124.
- 19) Ann. chim. phys. [3], **55**, 191, 1859.
- 20) Bull. de la Soc. Chim. de Paris **7**, 106, 1867.
- 21) Journ. Chem. Soc. **29**, 489, 1876; **33**, 273, 1878.
- 22) Pogg. Ann. **154**, 190, 1875.
- 23) Wied. Ann. **55**, 95, 1891.
- 24) Dichtigkeitsmessungen, Heidelberg 1878.
- 25) Pogg. Ann. **138**, 141, 1869.
- 26) Pogg. Ann. **92**, 499, 1854; **103**, 66, 1858.
- 27) Pogg. Ann. **92**, 429; **103**, 66.
- 28) Clarke, Amer. Chem. Journ. **5**, 240, 1883.
- 29) Thermochemische Untersuchungen III.
- 30) Scheikund. Verhandl. 1864, 116.
- 31) Ann. de chim. et de phys. [7], **2**, 535, 1894.
- 32) C. r. **102**, 619, 1886.
- 33) Ztschr. f. analyt. Chem. **8**, 252, 283, 1869.
- 34) Wied. Ann. **6**, 38, 1879.
- 35) C. r. de l'acad. des sciences **103**, 1260, 1886.
- 36) Zeitschr. f. physik. Chem. **1**, 5, 1889.
- 37) Zeitschr. f. physik. Chem. **7**, 248, 1891.
- 38) Wied. Ann. **24**, 527, 1883.
- 39) Ref. Zeitschr. f. physik. Chem. **2**, 45, 1888.
- 40) Zeitschr. f. analyt. Chem. **26**, 413, 1887.
- 41) Zeitschr. f. physik. Chem. **2**, 495, 1887.
- 42) Wied. Ann. **60**, 523, 1897.
- 43) Amer. Chem. Journ. **23**, 89, 1900.
- 44) Zeitschr. f. physik. Chem. **40**, 185.
- 45) Zeitschr. f. physik. Chem. **46**, 244.
- 46) Pogg. Ann. **145**, 599, 1872.
- 47) Wied. Ann. **30**, 545, 1882.
- 48) Zeitschr. f. physik. Chem. **5**, 31, 1890.
- 49) Ann. de chim. et de phys. [4], **25**, 502, 1872.
- 50) Wied. Ann. **31**, 14, 1882.
- 51) Leitverm. der Elektrolyte. Leipzig 1898.
- 52) Diss., Straßburg und Wied. Ann. **51**, 126, 1894.
- 53) Amer. Chem. Journ. **23**, 89, 1903.
- 54) Zeitschr. f. physik. Chem. **40**, 589, 1902.
- 55) Zeitschr. f. physik. Chem. **44**, 575, 1900.
- 56) Ann. de chim. et de phys. [1] **5**, 156, 1865.
- 57) Ann. de chim. et de phys. [6] **3**, 65, 1884.
- 58) Journ. Chem. Soc. **33**, 273, 1878.
- 59) Beziehungen zwischen Dichte und Zusammensetzung, 1860.
- 60) Pogg. Ann. **55**, 237, 1842; **122**, 216, 1869.
- 61) C. r. de l'Acad. des Sciences **103**, 1260, 1886.
- 62) C. r. de l'Acad. des Sciences **77**, 579, 1873.

- 63) Pogg. Ann. **103**, 65, 1858.
- 64) Ann. de chim. et de phys. [7] **2**, 535, 1894.
- 65) Zeitschr. f. analyt. Chem. **8**, 285, 1869.
- 66) l. c.
- 67) Wied. Ann. **24**, 527, 1883.
- 68) Ref. Zeitschr. f. physik. Chem. **2**, 45, 1888.
- 69) Amer. Chem. Journ. **23**, 89, 1900.
- 70) Fonzes Diacon
- 71) Jahr.-Ber. 1853, 339.
- 72) Ber. d. Deutsch. chem. Ges. 1883, 3051 (Ref.). [de phys. [7] **17**, 38, 1898.
- 73) C. r. de l'Acad. des sciences **120**, 1338, 1895; **122**, 812, 1896; Ann. de chim. et
- 74) Ann. d. Chem. u. Pharm. **94**, 111, 1855.
- 75) Journ. Chem. Soc. **33**, 273, 1878.
- 76) Beziehungen zwischen Dichte und Zusammensetzung 1860.
- 77) Journ. prakt. Chem. **68**, 402, 1856.
- 78) C. r. de l'acad. des sciences **122**, 82, 1896.
- 79) Pogg. Ann. **103**, 65, 1858.
- 80) Ann. de chim. et de phys. [7] **2**, 535.
- 81) Zeitschr. f. analyt. Chem. **8**, 285, 1869.
- 82) Amer. Chem. Journ. **25**, 349, 1901.
- 83) Amer. Chem. Journ. **28**, 329, 1902.
- 84) C. r. de l'acad. des sciences **120**, 1338, 1895.
- 85) Zeitschr. f. anorgan. Chem. **30**, 113, 1902.
- 86) Journ. f. prakt. Chem. **68**, 257, 1856.
- 87) Ann. d. chim. et de phys. [5] **26**, 496.
- 88) Pogg. Ann. **56**, 63.
- 89) Dingl. polyt. Journ. **248**, 249. D.R.P. 20276.
- 90) D.R.P. 7159, Ber. d. deutsch. chem. Ges. 1884. R. 242.
- 91) Ber. d. deutsch. chem. Ges. **19**, 3, 124, 1886.
- 92) D.R.P. 41991, 1887.
- 93) Journ. of Soc. Chem. Ind. **5**, 360, 1886; Dingl. polyt. Journ. **262**, 287.
- 94) Dingl. Journ. **262**, 287, 1886.
- 95) D.R.P. 71783.
- 96) Constants of nature, II. Aufl., 1885.
- 97) Ann. de chim. et de phys. [3] **21**, 415, 1847.
- 98) Wied. Ann. **2**, 466, 4277, 1878; Ztschr. f. amal. Chim. 1890, 123. [4, 136.
- 99) C. r. de l'acad. des sciences **115**, 1034, 1897; Ann. de chim. et de phys. [7].
- 100) Zitiert n. Gmelin-Kraut.
- 101) Zeitschr. f. Kristallogr. **12**, 531, 1887.
- 102) C. r. de l'acad. des sciences **76**, 1109, 1873.
- 103) Jahr.-Ber. 1859, 131.
- 104) Zeitschr. f. Rübenzuckerind. 1898, 833.
- 105) Ber. d. deutsch. chem. Ges. 1886, 2958.
- 106) Ber. d. deutsch. chem. Ges. 1886, 2684, 3222.
- 107) Ber. d. deutsch. chem. Ges. **20**, 1628, 1887; **22**, 3180, 1889.
- 108) Ber. d. deutsch. chem. Ges. 1886, 1973.
- 109) C. r. de l'acad. des sciences **92**, 1110, 1881.
- 110) N. Zeitschr. f. Rübenzucker [7] **49**, 257, 1881; Zeitschr. anal. Chem. **21**, 561, 1882.
- 111) A. Riedel, Dissertation, Breslau 1905.
- 112) N. Zeitschr. f. Rübenzuckerind. **10**, 229, 1883.
- 113) Journ. f. prakt. Chem. **33**, 312, 1886.
- 114) Ann. d. Chem. **11**, 22.
- 115) Ann. d. chim. **8**, 312.
- 116) Chem. News **27**, 291, 1873.
- 117) Ber. d. deutsch. Chem. Ges. **6**, 1172, 1873.
- 118) C. r. de l'acad. des sciences **130**, 1017, 1900.
- 119) Ann. chim. phys. **22**, 233; **24**, 275, 1823.
- 120) Pogg. Ann. **112**, 794, 1861.
- 121) C. r. de l'acad. des sciences **125**, 775, 1898.
- 122) Chem. News **32**, 137.

- 123) C. r. de l'acad. des sciences **127**, 408, 1899; Ann. chim. phys. [7] **17**, 510.
- 124) Centralbl. f. Miner., Geol. u. Paläontol. 1900, 176.
- 125) C. r. de l'acad. des sciences **102**, 600, 1886; **104**, 501, 1887. [427, 557.
- 126) C. r. de l'acad. des sciences **124**, 1237, 1521, 1897; **126**, 904, 127, 229, 372; **128**,
- 126a) Wied. Ann. **38**, 90, 1889.
- 127) Wied. Ann. **30**, 47, 1887.
- 128) Ann. de chim. et de phys. [5] **22**, 5, 1881.
- 129) Pogg. Ann. **117**, 59, 1862.
- 130) Ann. der Chem. **224**, 178, 1824.
- 131) Ann. de chim. et de phys. [6] **29**, 225, 1893.
- 132) C. r. de l'acad. des sciences **128**, 762, 1899. [470, 1902.
- 133) C. r. de l'acad. des sciences **129**, 47, 1899; Ann. de chim. et de phys. [7] **25**,
- 134) C. r. de l'acad. des sciences **125**, 629, 1897.
- 135) C. r. de l'acad. des sciences **118**.
- 136) Journ. f. prakt. Chem. **30**, 324, 1843.
- 137) Ann. d. Chem. u. Pharm. **102**, 381.
- 138) Journ. russ. phys.-chem. Ges. **1**, 451, 1889. — R. Ber. **22**, 3, 833.
- 139) Dichtigkeitsmessungen, Heidelberg 1873.
- 140) Ann. de chim. et de phys. **46**, 304, 1831.
- 141) Mag. Pharm. **33**, 7.
- 142) Pogg. Ann. **52**, 84.
- 143) Journ. russ. phys.-chem. Ges. **1**, 451, 1889. Ref. Ber. **22**, 3, 833.
- 144) Recherches sur l'acide jodique, Paris 1870, 65.
- 145) Chem. Abhandlungen, S. 36.
- 146) l. c.
- 147) Ber. d. deutsch. chem. Ges. 1880, 651.
- 148) Pogg. Ann. **67**, 249, 1866.
- 149) Pogg. Ann. **133**, 106, 1868.
- 150) C. r. de l'acad. des sciences **126**, 420, 1898.
- 151) Pogg. Ann. **74**, 281, 1848.
- 152) Recherch. 28. [Akad. Ber. [1] **59**, 549.
- 153) Eine kristallographische Monographie der Cölestins vgl. Auerbach, Wien.
- 154) Schröder, Pogg. Ann. **106**, 226, 1859.
- 155) Ann. de chim. et de phys. [4] **12**, 419, 1867.
- 156) z. B. Schweigg. Journ. **9**, 169.
- 157) C. r. de l'acad. des sciences **46**, 1164, 1863.
- 158) Pogg. Ann. **75**, 277, 1897.
- 159) Journ. of Chem. Soc. **47**, 94, 1885.
- 160) Österr.-ungar. Zeitschr. f. Zuckerind. **25**, 986, 997, 1897.
- 161) Zeitschr. f. physik. Chem. **12**, 125, 1893.
- 162) Zeitschr. f. physik. Chem. **12**, 234, 1893; **50**, 356, 1904.
- 163) Jahr.-Ber. 1862, 127.
- 164) Journ. f. prakt. Chem. [2] **29**, 52.
- 165) Pogg. Ann. **133**, 147, 1868.
- 166) Ber. d. deutsch. chem. Ges. **17**, 2, 707, 1884.
- 167) Pogg. Ann. **93**, 604, 1854.
- 168) Pogg. Ann. **7**, 177, 1826.
- 169) C. r. de l'acad. des sciences **15**, 920, 1842.
- 170) Ann. de chim. et de phys. [6] **18**, 551.
- 171) Zeitschr. f. anorg. Chem. **16**, 424, 1898.
- 172) Zeitschr. f. anorg. Chem. **35**, 385, 1903.
- 173) Ber. d. deutsch. chem. Ges. 1883, 2324. D.R.P. Nr. 23372.
- 174) Constants of nature, Washington 1888.
- 175) Journ. of Chem. Soc. **33**, 273, 1878.
- 176) Pogg. Ann. **92**, 499.
- 177) Scheikund. Verh. Rotterdam 1867, 114.
- 178) Ann. de chim. et de phys. [7] **2**, 535, 1894.
- 179) Zeitschr. f. analyt. Chem. **8**, 286, 1869.
- 180) Zeitschr. f. physik. Chem. **18**, 443, 1895.
- 181) Zeitschr. f. analyt. Chem. **26**, 413, 1887.

- 182) Zeitschr. f. physik. Chem. **39**, 418, 1902.
- 183) Ann. de chim. et de phys. [9] **25**, 502, 1872.
- 184) Zeitschr. f. physik. Chem. **5**, 31, 1890.
- 185) Sitz.-Ber. Berl. Ak. 1904, 1125.
- 186) Journ. of Phys. Chem. **5**, 339, 1901.
- 187) Amer. Chem. Journ. **23**, 277, 1900.
- 188) Pogg. Ann. **110**, 296, 1860.
- 189) C. r. de l'acad. des sciences **103**, 1129, 1887.
- 190) C. r. de l'acad. des sciences **103**, 911, 1887.
- 191) Pogg. Ann. **77**, 293, 1849.
- 192) C. r. de l'acad. des sciences **106**, 1599, 1888.
- 193) Ann. d. Chem. **65**, 144, 1818.
- 194) Pogg. Ann. **75**, 166, 1848.
- 195) Zeitschr. f. anorg. Chem. **5**, 15, 1894.
- 196) Ber. d. Deutsch. Chem. Ges. 122, 1875.
- 197) Journ. f. prakt. Chem. **104**, 148.
- 198) C. r. de l'acad. des sciences **104**, 905, 1887.
- 199) C. r. de l'acad. des sciences **108**, 1058, 1889.
- 200) D.R.P. Nr. 26241, 1883.
- 201) D.R.P. Nr. 31668, 1884.
- 202) D.R.P. Nr. 37597, 1886.
- 203) D.R.P. Nr. 22364, 1882.
- 204) D.R.P. Nr. 30205, 1884.
- 205) D.R.P. Nr. 27159, 1883.
- 206) Mulhouse Soc. Bull. **36**, 438, 448.
- 207) Ber. d. Deutsch. Chem. Ges. 1886, 1973.
- 208) C. r. de l'acad. des sciences **92**, 1110, 1881.
- 209) Chem. Ztg. **17**, 761, 1893.
- 210) Bull. d. l. Soc. chim. [2] **37**, 447, 1882; **47**, 81, 1887.
- 211) Journ. of Soc. Chem. Ind. 1891, 104.
- 212) Pogg. Ann. **106**, 226, 1859.
- 213) Ann. d. chim. et de phys. [3] **51**, 290.
- 214) Zeitschr. f. physik. Chem. **12**, 125, 1893.
- 215) Zeitschr. f. physik. Chem. **12**, 234, 1893.
- 216) Zeitschr. f. physik. Chem. **44**, 197, 1903.
- 217) Ann. d. Chem. u. Pharm. **129**, 350, 1864.
- 218) Journ. of Chem. Soc. **47**, 94.
- 219) Z. anorgan. Chem. **40**, 337, 1904.
- 220) Pogg. Ann. **87**, 10, 1852.
- 221) Jahr.-Ber. d. Chem. 1850, 257.
- 222) Dissert. Helsingfors 1897.
- 223) Jahr.-Ber. d. Chem. 1868, 1.
- 224) Ber. d. Deutsch. Chem. Ges. **14**, 21, 1881.
- 224a) Chem. News **89**, 193, 1904.
- 225) Zeitschr. f. physik. Chem. **27**, 401, 1898.
- 226) Journ. f. prakt. Chem. [2] **31**, 321, 1885.
- 227) Zeitschr. f. physik. Chem. **27**, 401, 1898.
- 228) Wied. Ann. **51**, 126, 1894.
- 229) Kohlrausch und Holborn, Leitverm. d. Elektrolyte. 1898.
- 230) Zeitschr. f. physik. Chem. **12**, 234, 1894; **44**, 197, 1903.
- 231) Ber. d. Deutsch. Chem. Ges. **36**, 3715, 1903.
- 232) Jahr.-Ber. d. Chem. 1859, 286.
- 233) Ber. d. Deutsch. Chem. Ges. **36**, 3715, 1903.

Sackur.

Atomgewicht des Strontiums, $\text{Sr} = 87,66$.

(Die internationale A.-G.-Kommission nimmt $\text{Sr} = 87,6$ an.)

A) Wahl des Atomgewichts.

Das H-Äquivalent des Strontiums ist eine Zahl von der Größenordnung 44.

Berzelius nahm, bevor er die Existenz der Sesquioxyde zuließ, das Vierfache des H-Äquivalents als Atomgewicht an ($44 \times 4 = 176$, wenn $\text{O} = 16$), indem er dem Strontiumoxyd die Formel SrO_2 gab. Später (1826) halbierte er das Atomgewicht. Als Äquivalent im Gmelinschen Sinne galt die Zahl $\text{Sr} = 43,75$.

a) Das Gesetz von Avogadro läßt sich auf Strontiumverbindungen direkt nicht anwenden, da wir von keiner derselben die Dampfdichte kennen. Betrachten wir jedoch die Ausdehnung desselben Gesetzes durch van't Hoff auf Lösungen, so finden wir, daß sich die Verbindungen des Strontiums als solche eines zweiwertigen Elements verhalten.

b) Die Regel von Dulong-Petit. Die Atomwärme des reinen metallischen Strontiums ist nicht bekannt, dagegen berechnet dieselbe Kopp aus den Verbindungen zu 6,4.

c) Mit der Lehre vom Isomorphismus befindet sich unser Atomgewicht des Strontiums im Einklange, da die Verbindungen der zweiwertigen Elemente Ca, Ba, Pb und die des Sr isomorph sind.

d) Mit dem periodischen Gesetz ist unser Atomgewicht ebenfalls im Einklange, denn die Eigenschaften des Strontiums und seiner Verbindungen sind Funktionen des Atomgewichts 87,66 und das Element steht in der sechsten Horizontalreihe der II. Gruppe (II—6).

B) Bestimmung des Atomgewichts.

Wir verdanken die jetzige richtige Zahl den Untersuchungen von Richards (1894) und können deshalb die ein historisches Interesse besitzenden älteren Bestimmungen nur kurz anführen.

1. Die erste Bestimmung des Atomgewichts wurde 1816 von Stromeyer¹⁾ ausgeführt. Er maß das Volum der aus dem Carbonat entwickelten Kohlensäure und fand $\text{Sr} = 87,3$.

Ich möchte hier noch bemerken, daß Berzelius in seiner Atomgewichtstafel vom Jahre 1814 eine Zahl anführt, welche, auf $\text{O} = 16$ umgerechnet $\text{Sr} = 89,4$ ergibt; vielleicht stützt sie sich auf die ältesten Analysen von Klaproth und Wollaston. Aus der Tafel vom Jahre 1818 ergibt sich $\text{Sr} = 87,57$.

2. Rose²⁾ fand zu derselben Zeit, daß 100 Teile Strontiumchlorid 181,25 Teile Silberchlorid liefern, woraus $\text{Sr} = 87,31$.

3. Salvétat³⁾ berechnet 1843 aus dem Gewichtsverlust des Strontiumcarbonats, beim Glühen und bei der Behandlung mit Schwefelsäure, daß das Atomgewicht $\text{Sr} = 88,0$ betragen muß.

4. Pelouze⁴⁾ titrierte im Jahre 1845 den Chlorgehalt des Strontiumchlorids mit Silber und findet als Mittel von zwei Versuchen, daß 100 Teile Ag 73,478 Teilen SrCl_2 (73,486—73,471) entsprechen, woraus $\text{Sr} = 87,70$.

5. Marignac⁵⁾ ging 1858 vom kristallisierten Strontiumchlorid aus. Er erhielt aus je 5 g desselben solche Mengen von Chlorsilber, welche 4,0515, 4,0495 und 4,0505 g Ag entsprachen. Im Mittel ergibt sich 100 Ag: 123,442 $\text{SrCl}_2 \cdot 6\text{H}_2\text{O}$. In der zweiten Reihe wurde das Strontiumchlorid zunächst getrocknet. Es verloren 5 g des Salzes 40,556, 40,568 und 40,566 Proz. Wasser, im Mittel 40,563.

In drei mit 10 g Salz ausgeführten Versuchen wurde 40,58, 40,59 und 40,58, im Mittel 40,583 Proz. Wasser erhalten. Die aus 5 g des getrockneten Salzes erhaltenen Rückstände gaben 4,0490, 4,0500 resp. 4,0490 g Ag entsprechende Mengen AgCl , im Mittel 100 Ag: 123,477 $\text{SrCl}_2 \cdot 6\text{H}_2\text{O}$. Endlich wurde das aus 10 g des Hexahydrats dargestellte wasserfreie Chlorid in das Sulfat umgewandelt. Es wurden aus 100 SrCl_2 erhalten 115,932, 115,949 resp. 115,927 Teile, im Mittel 115,936 Teile SrSO_4 .

Aus dem Verhältnis $\text{Ag}_2 : \text{SrCl}_2 \cdot 6\text{H}_2\text{O}$ ergibt sich $\text{Sr} = 87,49$.

Aus dem Verhältnis Proz. $\text{H}_2\text{O} : \text{SrCl}_2 \cdot 6\text{H}_2\text{O}$ ergibt sich $\text{Sr} = 87,41$.

Aus dem Verhältnis $\text{SrCl}_2 : \text{SrSO}_4$ folgt $\text{Sr} = 87,1$.

6. Dumas⁶⁾ 1859 bereitete das wasserfreie Strontiumchlorid durch Schmelzen des entwässerten Salzes im Chlorwasserstoffstrom und ermittelte nach der Pelouzeschen Methode, welche den Chlorgehalt zu hoch und das Atomgewicht zu niedrig zu finden gestattet, das Verhältnis zwischen dem Chlorid und dem Silber. (Näheres über diese Methode und ihre Fehler findet man beim Calcium und Barium.) Es wurden 3 Serien von zusammen 11 Versuchen ausgeführt, wobei 1,982—7,213 g SrCl_2 und 2,705—9,811 g Ag zur Verwendung gelangten. Im Mittel ergab sich das Verhältnis $\text{Ag} : \text{SrCl}_2 = 100 : 73,4079$ (Minimum: 73,2717, Maximum 73,5529, also recht große Differenzen). Daraus folgt das Atomgewicht $\text{Sr} = 87,53$, oder, wenn man die erste Serie ausschließt, $\text{Sr} = 87,60$.

Es wurde seit dieser Zeit bis 1894 das Atomgewicht des Strontiums allgemein zu 87,5 angenommen.

7. Die von Richards⁷⁾ im Jahre 1894 ausgeführte Bestimmung des Atomgewichts des Strontiums ist ein Glied in der langen Reihe seiner muster-gültigen Untersuchungen über Atomgewichte.

Richards verwendete alle erdenkliche Mühe, um ein völlig reines Material zu erhalten und studierte sehr sorgfältig die Bedingungen, unter welchen man das reine wasserfreie Bromid erhält. Dasselbe wurde in einem Strome eines Gemenges von Wasserstoff, Stickstoff und Bromwasserstoff bei ca. 630^0 geschmolzen.

Es wurde zunächst das Verhältnis zwischen dem Strontiumbromid und dem Silber bestimmt. In der ersten Serie (4 Versuche), welche die entschieden zu niedrige Zahl $\text{Sr} = 87,644$ ergab, wurde der Bromgehalt nach der Volhardschen Methode bestimmt. Deshalb kann dieselbe übergangen werden.

Die zweite Serie ergab die folgenden Resultate:

SrBr ₂ g	Ag g	SrBr ₂ : Ag ₂ = x : 100	Atomgewicht Sr =
1,49962	1,30762	114,683	87,645
2,41225	2,10322	114,693	87,667
5,24727	4,57502	114,694	87,668
6,15663	5,3680	114,691	87,663
Mittel: 114,6902			87,6608

(Richards berechnet aus der Summe der Gewichte 114,692 und 87,663.)

Dritte Serie:

SrBr ₂	Ag	SrBr ₂ : Ag ₂	Atomgewicht Sr =
2,9172	2,5434	114,697	87,675
3,8946	3,3957	114,692	87,665
4,5426	3,9607	114,692	87,664
5,2473	4,5750	114,695	87,671
Mittel: 114,694			87,6688

(Richards berechnet aus der Summe der Gewichte 87,668.)

Aus diesen zwei Versuchsreihen berechnet sich das Atomgewicht Sr = 87,6645.

Im zweiten Teile der Untersuchung wurde das im wasserfreien Strontiumbromid enthaltene Brom als Bromsilber gewogen.

Erste Serie.

SrBr ₂	AgBr	SrBr ₂ : 2AgBr = x : 100	Atomgewicht Sr =
1,6086	2,4415	65,886	87,669
1,8817	2,8561	65,884	87,662
4,5681	6,9337	65,883	87,657
Mittel: 65,8843			87,6627

(Richards berechnet aus der Summe der Gewichte 65,8834 und 87,660.)

Zweite Serie.

SrBr ₂	AgBr	SrBr ₂ : 2AgBr	Atomgewicht Sr =
1,49962	2,27625	65,881	87,652
2,41225	3,66140	65,883	87,660
2,56153	3,88776	65,887	87,674
6,15663	9,34497	65,882	87,654
Mittel: 65,8833			87,660

Aus diesen beiden Versuchsreihen berechnet sich das Atomgewicht Sr = 87,6612.

Als Mittel aus sämtlichen vier Versuchsreihen berechnet sich das Atomgewicht des Strontiums zu Sr = 87,6629, selbstverständlich bezogen auf den luftleeren Raum.

Wir können wohl annehmen, daß die Zahl Sr = 87,66 bis auf die zweite Dezimalstelle analytisch genau bestimmt ist, ohne jedoch zu wissen, wie groß die Unsicherheit ist, da das Atomgewicht von Richards nur aus einer Verbindung abgeleitet wurde.

Ich will an diesem, auch für andere Elemente gültigen Falle zeigen, daß durch Analyse des Bromids eine größere Genauigkeit des Atomgewichtes

$\pm 0,01$ nicht zu erreichen ist. Zwar ist das Atomgewicht des Strontiums nur von zwei von Stas auf das genaueste bestimmten Atomgewichten abhängig, dem des Silbers und des Broms. Das erstere beträgt $\text{Ag} = 107,93$. Das Atomgewicht des Broms ist aber mit einer kleinen Unsicherheit behaftet. Clarke berechnet $\text{Br} = 79,95$, die internationale Atomgewichtskommission $\text{Br} = 79,96$. Ich nehme jedoch im Einklange mit Richards bei allen Berechnungen $\text{Br} = 79,955$.

Das Molekulargewicht des SrBr_2 ergab sich nach Richards aus dem Verhältnis $\text{SrBr}_2 : 2\text{Ag} = 114,6921 : 100$ zu 247,575. Zieht man von dieser Zahl das Doppelte der oben angeführten Atomgewichtszahlen des Broms ab, so erhält man folgende Zahlen für das Atomgewicht des Strontiums:

$$\begin{array}{r r r} \text{SrBr}_2 = & 247,575 & 247,575 & 247,575 \\ - 2 \times 79,95 = & 159,90 & - 2 \times 79,955 = 159,91 & - 2 \times 79,96 = 159,92 \\ \text{Sr} = & 87,675 & 87,665 & 87,655 \end{array}$$

Der Einfluß der Unsicherheit beträgt hier $\pm 0,010$.

In geringerem Grade äußert sich diese Unsicherheit in dem aus dem Verhältnis $\text{SrBr}_2 : 2\text{AgBr} = 65,8837 : 100$ ermittelten Atomgewicht. Das Molekulargewicht des SrBr_2 ist dann bei den drei Br-Werten verschieden groß.

$$\begin{array}{r r r} \text{Br} = & 79,95 & 79,955 & 79,96 \\ \text{SrBr}_2 = & 247,565 & 247,571 & 247,578 \\ - 2 \text{ Br} = & - 159,90 & - 159,91 & - 159,92 \\ \text{Sr} = & 87,665 & 87,661 & 87,658 \end{array}$$

Hier ist der Einfluß der Unsicherheit kleiner als im vorigen Falle und beträgt $\pm 0,0035$.

Die Übereinstimmung der in beiden Versuchsreihen mit dem Atomgewicht $\text{Br} = 79,955$ als Atomgewicht des Strontiums erhaltenen Zahlen $\text{Sr} = 87,665$ und $87,661$ spricht dafür, daß diese Zahl der Wahrheit näher liegt, als die Atomgewichte 79,95 und 79,96.

Übersicht.

Name	Jahr	Verhältnis	Atomgew. Sr =
Stromeyer	1816	$\text{SrCO}_3 : \text{CO}_2$	87,3
Rose	1816	$\text{SrCl}_2 : 2\text{AgCl}$	87,31
Salvétat	1843	$\text{SrCO}_3 : \text{CO}_2$	88,0
Pelouze	1845	$\text{SrCl}_2 : 2\text{Ag}$	87,70
Marignac	1858	$\text{SrCl}_2 \cdot 6\text{H}_2\text{O} : 2\text{Ag}$	87,49
		$\text{SrCl}_2 \cdot 6\text{H}_2\text{O} : \text{H}_2\text{O}$	87,41
		$\text{SrCl}_2 : \text{SrSO}_4$	87,1
Dumas	1859	$\text{SrCl}_2 : 2\text{Ag}$	87,53
Richards	1894	$\text{SrBr}_2 : 2\text{Ag}$	87,66
		$\text{SrBr}_2 : 2\text{AgBr}$	87,66

Das Atomgewicht des Strontiums beträgt demnach

$$\text{Sr} = 87,66 \text{ (I—II)}$$

mit einer kleinen Unsicherheit in der zweiten Dezimalstelle.

Die Atomgewichtskommission berücksichtigte wohl zu sehr die weniger genauen älteren Bestimmungen und gelangte zu der zu niedrigen, abge-

rundeten Zahl $Sr=87,6$. Dagegen bedarf es noch einer Erklärung, warum Richards in seiner Tabelle die Zahl $Sr=87,68$ statt der von ihm selbst erhaltenen Zahl $Sr=87,66$ anführt.

-
- 1) Stromeyer, Schweigger **19**, 228, 1817.
 - 2) Rose, zitiert bei Stromeyer in 1).
 - 3) Salvétat, Compt. rend. **17**, 318.
 - 4) Pelouze, Compt. rend. **40**, 1047. [Oeuvres Complètes I, 568–572.
 - 5) Marignac, Bibl. Univ. Gen. Archives I, 1858, 209. Besser zugänglich in
 - 6) Dumas, Ann. chim. phys. [3], **55**, 29; Lieb. Ann. **113**, 34.
 - 7) Richards, Proc. Amer. Acad. 1894. Vol. XXII. 369–389.

Brauner.

Barium. Ba.

Vorkommen. Das Barium kommt in der Natur in metallischem Zustand gar nicht, in Form von Verbindungen nicht sehr häufig vor. Die verbreitetste derselben ist der Schwerspat (Bariumsulfat), seltener der Witherit (Carbonat). Ferner tritt es noch vereinzelt z. T. gemeinsam mit Strontium und Calcium als Carbonat, Sulfat, Phosphat oder Silicat auf. Auch in der Pflanzenasche ist es gefunden worden.

Geschichte. Die am längsten bekannte Bariumverbindung ist der Schwerspat. Im Jahre 1602 entdeckte ein Bologneser Schuster, Vincentius Casciorolus, seine Eigenschaft, nach dem Glühen mit verbrennlichen Substanzen phosphoreszierend zu werden. Der Entdecker gab dem Leuchtstein den Namen Lapis solaris; man nannte ihn jedoch gewöhnlich Bologneser oder Bononischen Stein. Das Mineral, welches den Leuchtstein lieferte, nannte man Bologneserspat und hielt ihn für eine Art von Gips. Marggraf entdeckte 1750, daß in ihm Schwefelsäure enthalten sei, seine Erde hielt er aber noch für Kalkerde.

Erst Scheele fand 1774 bei der Untersuchung von Braunsteinen, denen Baryt eingesprengt war, daß letztere eine von Kalk verschiedene Erde darstellt und beschrieb auch ihre hauptsächlichsten Eigenschaften. 1782 vermutete Bergman, daß die Baryterde auch in Verbindung mit Kohlensäure in der Natur vorkomme, und 1783 entdeckte Withering das nach ihm benannte Mineral bei Leadhills in Schottland.

Bergman hatte der neuen Erde den Namen Schwererde, terra pondera, gegeben, den Guyton de Morveau 1779 in Baryte (*βαρύς*) umwandelte. Das Metall, das der Erde zugrunde lag, nannte man Barium (Baryum), während Clarke 1816 an seine Stelle, da ja das Metall im Vergleich zu den (Schwer-)Metallen leicht wäre, den Namen Plutonium vorschlug. Die Konstitution des Baryts wurde ebenso wie die des Kalkes von Lavoisier vermutet und von Seebeck und Davy bewiesen, indem sie zuerst durch Elektrolyse das Amalgam und aus diesem das Metall darstellten.

Die Eigenschaft des Bariumoxyds, beim Glühen die Luft zu zersetzen und aus ihr den Sauerstoff zu entfernen, wurde schon 1798 von Humboldt gefunden, doch gelang erst Gay-Lussac und Thénard die Darstellung des Bariumsuperoxyds.

Darstellung von Barium. Barium wurde ähnlich wie Calcium und Strontium zuerst von Davy¹⁾ durch Elektrolyse dargestellt. Ein aus feuchtem Bariumcarbonat und -hydroxyd geformter Napf wurde auf ein Platinblech (Anode) gestellt und mit Quecksilber (Kathode) gefällt. Als Stromquelle diente eine Voltasche Säule von 500 Polpaaren. Das resultierende Amalgam wurde

in einer Wasserstoff- oder Kohlenwasserstoffatmosphäre durch Abdestillieren des Quecksilbers in Bariummetall übergeführt.

Bunsen²⁾ erhielt Bariumamalgam durch Elektrolyse eines wässrigen Bariumchloridbreis bei 100°, Matthiessen³⁾ und Hiller⁴⁾ direkt das Metall durch Elektrolyse von geschmolzenem Chlorbarium als eine feste braune Masse, die jedoch stets mit Tonerde und Kieselsäure verunreinigt war. Nach der neuen Untersuchung von Haber und Tolloczko⁵⁾ ist dies aber vermutlich das Subchlorid BaCl gewesen.

Auf rein chemischem Wege wurde Barium erhalten durch Reduktion von BaO , BaCl_2 , BaJ_2 mit Kalium- oder Natriumdampf, oder durch Glühen mit Kalium- oder Natriummetall im Wasserstoffstrom. Durch Ausziehen mit Quecksilber, in welchem sich Barium am leichtesten löst, kann man dieses von den Alkalien trennen (Davy, Régnault, Kern⁶⁾). Crookes⁷⁾ erhielt Bariumamalgam durch Erwärmen einer konzentrierten BaCl_2 -Lösung mit Natriumamalgam. Ein Versuch von Stansfield⁸⁾, Barium durch Reduktion mit Aluminium nach dem Goldschmidtschen Verfahren darzustellen, führte nicht zu reinem Metall, sondern nur zu Ba—Al-Legierungen. Ebenso erhielt Cl. Winkler⁹⁾ durch Reduktion von BaO mit Magnesium nur nicht näher untersuchte Gemenge. Zu beachten ist, daß diese Reduktion unter bedeutend heftigerer Wärmeentwicklung verläuft, als die analoge Reaktion zwischen Magnesium und Calcium- oder Strontiumoxyd.

Man ist daher zur Gewinnung des metallischen Bariums im wesentlichen angewiesen auf die Reindarstellung aus dem Amalgam. Diese ist nun Donath¹⁰⁾ und Maquenne¹¹⁾ überhaupt nicht gelungen, sondern erst Guntz¹²⁾ durch sehr langsames Erhitzen in einem elektrisch (durch Platindraht) erwärmten Rohr. Bei 850° erhielt er 90—100 prozentiges Amalgam, bei 1150° verdampfte reines Ba. Doch gelingt die Reindarstellung (die Analyse ergab 98 Proz. Ba) in größeren Quantitäten auch bei etwas tieferen Temperaturen. Das Fehlschlagen der älteren Versuche beruht nach Guntz auf der Flüchtigkeit des Bariums bei raschem Erhitzen.

Eigenschaften des metallischen Bariums. Die älteren Literaturangaben über die Eigenschaften des metallischen Bariums sind wegen der geringen Reinheit der Präparate wenig zuverlässig. Nach Bunsen ist es goldgelb, das quecksilberreiche silberweiß. Es ist weich wie Blei; sein spezifisches Gewicht liegt zwischen 3,75 und 4,0, so daß es in konzentrierter Schwefelsäure untersinkt. Es schmilzt nach älteren Angaben „schwerer als Gußeisen“, d. h. über ca. 1100° und läßt sich nicht destillieren. Nach Guntz (l. c.) schmilzt es jedoch schon unter 1000° und ist bei hohen Temperaturen sehr flüchtig. An der Luft oxydiert es sich sehr leicht, zersetzt lebhaft Wasser und auch Äthylalkohol (im Gegensatz zu Ca, cf. dieses).

Das Refraktionsäquivalent des Bariums für die A-Linie beträgt nach Kannonikow¹³⁾ $R_A = 15,28$.

Bariumionen. Barium bildet ebenso wie Ca und Sr in wässriger Lösung nur eine Art von Ionen, nämlich zweiwertige Kationen Ba^{++} . Ihre Bildungswärme aus dem Metall ist größer als die der Sr- und Ca-Ionen. Dementsprechend besitzt Barium von diesen drei Erdalkalimetallen, seinem hohen Atomgewicht entsprechend, die größte Elektroaffinität und die geringste Neigung, komplexe Ionen zu bilden. Komplexe Bariumionen sind daher noch nicht mit Sicherheit nachgewiesen worden.

Wilsmore¹⁴⁾ berechnet ihre Zersetzungsspannung aus normaler Lösung mit Hilfe der Bildungswärme der Salze zu ca. 2,8 Volt.

Die Löslichkeitsverhältnisse seiner Salze unterscheiden sich ungefähr so von denen der Strontiumsalze, wie diese von den Calciumsalzen. Daher ist das Oxalat schon ziemlich leicht löslich, dagegen das Sulfat sehr schwer löslich, so daß SO_4 -Ionen in äußerst verdünnten Lösungen einen Niederschlag von BaSO_4 hervorrufen. Auch das Chromat des Bariums ist im Gegensatz zu dem Sr und Ca in Lösungen, die wenig freie Wasserstoffionen enthalten, schwer löslich. Bariumionen sind ebenso wie Strontium- und Calciumionen farblos.

Die elektrolytische Beweglichkeit des Bariums ist nach Kohlrausch¹⁵⁾ $u = 55,94$ bei 18° .

Der Valsonsche Modul für die spezifischen Gewichte von Ba^{++} -Lösungen ist bei 18° 0,0739 (Bender^{16a)}.

Analytisches Verhalten des Bariums. Die quantitative Bestimmung erfolgt fast ausschließlich als Sulfat. Doch sind bei dieser Methode gewisse Vorsichtsmaßregeln notwendig, da das Bariumsulfat sehr leicht andere Stoffe aus der Lösung mit niederreißt (cf. BaSO_4).

Auch als Chromat kann das Barium aus neutraler oder schwach essigsaurer Lösung gefällt und als solches gewogen werden.

Zur volumetrischen Bestimmung des Bariums wird es als Chromat gefällt, der ausgewaschene Niederschlag mit Jodkalium und Salzsäure gelöst und das freigewordene Jod mit Thiosulfat titriert. Ferner kann man das Barium ebenso wie das Calcium als Carbonat fällen, dieses in Salzsäure auflösen und den Überschuß zurücktitrieren. Peters¹⁶⁾ empfiehlt die Fällung als Oxalat in alkoholischer Lösung, Auflösung des Niederschlags in Salzsäure und Titration der Oxalsäure mit Kaliumpermanganat nach Zusatz von Mangansulfat.

Die Trennung des Bariums von den meisten anderen Metallen gelingt durch seine Fällung als Sulfat; diejenigen, welche selbst schwerlösliche Sulfate bilden, werden, außer Calcium und Strontium, vorher durch Schwefelwasserstoff oder Schwefelammonium entfernt.

Zur Trennung von diesen beiden Metallen kann das Barium als Chromat in schwach essigsaurer Lösung gefällt werden (Robin¹⁷⁾). Ferner kann man die gemeinsame Lösung mit einer konzentrierten Lösung von Kaliumcarbonat und -sulfat versetzen; hierbei soll Barium als Sulfat, Strontium und Calcium quantitativ als Carbonate gefällt werden. Diese letzteren Salze werden in verdünnter Säure gelöst und dadurch vom Barium getrennt. Morgan¹⁸⁾ glaubte die Richtigkeit dieser Methoden theoretisch nachweisen zu können dadurch, daß er die bekannten Löslichkeitsprodukte der BaSO_4 , BaCO_3 , SrCO_3 in die Massenwirkungsgleichungen einsetzte. Doch stehen seine Berechnungen, wie F. W. Küster¹⁹⁾ nachweist, zum Teil in Widerspruch mit der Erfahrung, da er die Hydrolyse der sehr verdünnten Lösungen vernachlässigt hat.

Zur Trennung des Bariums vom Strontium allein verwandelt man ihre Salzgemische nach dem Eindampfen durch Glühen mit Chlorammonium in die Chloride und behandelt diese mit Alkohol. Dann löst sich nur Strontiumchlorid auf, während das Barium quantitativ zurückbleibt. Die elektrolytische Trennung von Ca und Sr ist beim Ca (S. 91) besprochen worden.

Bariumhydrid, BaH_2 , wurde von Guntz²⁰⁾ durch Erhitzen von Barium-

amalgam im Wasserstoffstrom auf 1400° erhalten. Seine Bildungstemperatur scheint demnach wesentlich höher zu liegen als die des Calcium- und Strontiumhydrids. Bei 1200° schmilzt es, bei 1400° läßt es sich im H-Strom unersetzt destillieren.

Seine chemischen Eigenschaften sind dieselben wie die von Strontiumhydrid (Gautier²¹). Durch Erhitzen im Stickstoffstrom wird es in Bariumnitrid übergeführt. Die Bildungswärme des BaH_2 beträgt nach Guntz²²) $+ 37,500$ cal.

Bariumcarbonyl, $\text{Ba}(\text{CO})_2$, wurde von Mentrel²³) als gelber Körper beim Einleiten von Kohlenoxyd in eine Lösung von Bariumammonium in flüssigem Ammoniak erhalten.

Bariumfluorid, BaF_2 ; M.-G. 175,4, entsteht durch Auflösen von Bariumcarbonat oder -hydroxyd in Flußsäure oder beim Zusammenbringen eines leicht löslichen Bariumsalzes mit einem Alkalifluorid (Gay-Lussac und Thénard²⁴), Berzelius²⁵), Moissan²⁶)). Es ist in Wasser schwer löslich, jedoch leichter löslich als Fluorcalcium, da es sich mit Ca-Salzen in Gegenwart von Wasser in Flußspat umsetzt. Nach Kohlrausch^{26a}) beträgt die Löslichkeit bei 18° $18,4$ mgr Äquiv. $= 1,630$ gr im Liter. Die Leitfähigkeit der gesättigten Lösung ist $\kappa = 0,0153$. In starker Säure ist es leicht löslich. Es bildet kleine, durchsichtige Kristalle, von spezifischem Gewicht $4,828$ (Schröder²⁷)), bei 4° , Schmp. 1280° (Ruff²⁸)). Seine Bildungswärme aus BaO und H_2F_2 ist von Guntz²⁹) zu 35700 cal bestimmt worden. Bei Rotglut zersetzt es sich nicht. Mit Bariumchlorid bildet es ein Doppelsalz, dem nach älteren Angaben die Formel BaFCl zukommt. Es scheidet sich aus konzentrierten gemischten Lösungen des Chlorids und Fluorids aus und wird durch viel Wasser wieder zersetzt (Berzelius).

Ferner bildet sich dasselbe auch beim Zusammenschmelzen von NaF , NaCl und BaCl_2 (Röder³⁰)). Dufacqz³¹) erhielt es bei zweistündigem Erhitzen von 10 Teilen CaF_2 mit 40 Teilen BaCl_2 mit 1000° , und auf entsprechende Weise Doppelsalze des BaF_2 mit BaBr_2 und BaJ_2 . Die Dichten dieser Verbindungen sind $4,51$, $4,96$ und $5,21$. Durch verdünnte Säuren werden sie zersetzt (d. h. nur BaCl_2 resp. $-\text{Br}_2$ oder $-\text{J}_2$ gelöst); konz. HCl und HNO_3 lösen die Doppelsalze unersetzt. Da das Molekulargewicht des festen Salzes nicht bekannt ist, ist die doppelte Formel $\text{BaF}_2\text{BaCl}_2$ wahrscheinlicher als die in älteren Handbüchern angegebene einfache, wenn es überhaupt als ein chemisches Individuum anzusehen ist.

Von den komplexen Fluoriden ist das Borfluorid $\text{Ba}(\text{BF}_4)_2 \cdot 2\text{H}_2\text{O}$ leicht, das Kieselfluorid schwer löslich (s. bei B resp. Si).

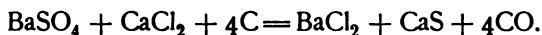
Bariumchlorid. BaCl_2 . M.-G. 208,3.

Bildung und Darstellung.

Bariumchlorid entsteht aus Bariumoxyd durch Glühen im Cl -Strom unter Bildung von Sauerstoff (Davy³²), Weber³³)), ferner durch Erwärmen mit Chlorwasserstoff unter starker Wärmeentwicklung und Ausstrahlung eines roten Lichtes; aus Bariumsulfat durch Schmelzen mit überschüssigem Chlorammonium (Rose³⁴)) oder durch Erhitzen auf Rotglut im HCl -Strom (Boussingault³⁵)). Eine wässrige Lösung von BaCl_2 erhält man durch Behandeln von Bariumhydroxyd, -carbonat oder -sulfid mit Salzsäure.

Zur Darstellung in größeren Mengen benutzt man entweder die letztere Methode oder bedient sich des Schwerspats (BaSO_4) als Ausgangsmaterial. Durch Schmelzen desselben mit CaCl_2 erhält man ein Gemisch von BaCl_2 ,

CaCl_2 , BaSO_4 und CaSO_4 . Rentabler ist daher das Schmelzen mit einem Gemisch von CaCl_2 und Kohle (oder Eisen) (Duflos³⁶), D'Heureuse³⁷), gemäß der Reaktionsgleichung



Das Gemenge wird so lange geschmolzen, als noch Flammen von CO entstehen. Die erkaltete Masse wird mit Wasser ausgezogen, nachdem durch Zusatz von Kalk das Calciumsulfid in das unlösliche Oxyd sulfid verwandelt ist (Godin³⁸). Kuhlmann³⁹) verwendet anstatt des Calciumchlorids Manganchlorür, den Rückstand der Chlordarstellung aus Braunstein. Das Entstehen eines Sulfids wird nach einem Patent von Bela-Lach⁴⁰) vermieden, wenn man über ein glühendes Gemenge von Schwerspat und Kohle Chlorwasserstoff leitet. Es entweicht CO und H_2S , während reines BaCl_2 zurückbleibt.

Zur Reindarstellung des Bariumchlorids verfährt man entweder nach der von Bunsen und Kirchhoff angegebenen, beim CaCl_2 beschriebenen Methode oder man fällt die wässrige Lösung wiederholt mit konzentrierter Salzsäure und dann mit Alkohol (Richards⁴¹)).

Eigenschaften. Das wasserfreie BaCl_2 schmilzt nach Mc Crae⁴²) bei 916° , nach Ruff bei 960° unter geringer Zersetzung an feuchter Luft; mit Wasserdampf gibt es Salzsäure. Die erkaltete Schmelze reagiert schwach alkalisch. Sie ist durchscheinend; ihr spezifisches Gewicht nach Quincke bei 0° 3,851, bei 17° 3,844 (Favre und Valson), andere Angaben schwanken zwischen 3,75 und 3,89.⁴³) Wird es im Hempelschen Ofen in Berührung mit Rauchgasen geschmolzen, so reagiert es mit diesen z. T. nach der Gleichung $\text{BaCl}_2 + \text{CO}_2 + \text{O} = \text{BaCO}_3 + \text{Cl}_2$ (Haber^{43a})).

Es schmeckt bitter und ist stark giftig. Mit Schwefel und Brom erleidet es bei höherer Temperatur eine teilweise Umsetzung.⁴⁴) An der Luft zieht es Wasser an und wird dadurch undurchsichtig. Es kristallisiert mit 1 und 2 Mol. Wasser. Ein Hydrat mit 6 Mol. H_2O wurde von Lescoeur vermutet (siehe weiter unten).

Monohydrat, $\text{BaCl}_2 \cdot \text{H}_2\text{O}$, wurde von Thomsen und Lescoeur bewiesen. Ersterer fand⁴⁵), daß die Wärmetönung bei der Bindung von 1 Mol H_2O durch wasserfreies BaCl_2 nicht halb so groß war, wie bei der von 2 Mol, letzterer erkannte sie aus der Konstanz der Dampfspannung eines Systems von BaCl_2 und 0—1 Mol H_2O (cf. CaCl_2).

Das Monohydrat entsteht beim Erhitzen des Dihydrats auf $60\text{--}65^\circ$ (Lescoeur⁴⁶)). Da sein H_2O -Druck bei 100° (s. u.) beträchtlich (> 200 mm) ist, so läßt es sich bei dieser Temperatur leicht entwässern.

Das Dihydrat, $\text{BaCl}_2 \cdot 2\text{H}_2\text{O}$, kristallisiert aus gesättigten Lösungen bei Zimmertemperatur in flachen, vierseitigen, farblosen Tafeln des rhombischen Systems. Ihr spezifisches Gewicht wird von verschiedenen Autoren zu 3,05 bis 3,08 angegeben.⁴⁷) Clarke⁴⁸) fand 2,66. Wegen seines höheren H_2O -Drucks läßt es sich leicht anhydrieren (s. u.).

Thermochemie des Bariumchlorids.

Die Bildungswärme des wasserfreien BaCl_2 aus den Elementen beträgt 194740 cal; die Hydratationswärme des Monohydrats ($\text{BaCl}_2, \text{H}_2\text{O}$) = 3170 cal, des Dihydrats ($\text{BaCl}_2, 2\text{H}_2\text{O}$) = 6970 cal. Die Lösungswärme des wasserfreien Salzes beträgt in 400 Mol H_2O = +2070, mithin die des Dihydrats —4900 cal (Thomsen l. c.).

Ein Vergleich mit den entsprechenden Daten des CaCl_2 und SrCl_2 ergibt, daß sowohl die Bildungswärme wie die Lösungswärme der wasserfreien Salze in der Reihe Ca, Sr, Ba zunimmt.

Die Lösungen des BaCl_2 .

BaCl_2 ist in Wasser leicht löslich. Seine Löslichkeit als Dihydrat bei den verschiedenen Temperaturen ist zuerst von Gay-Lussac⁴⁹⁾ untersucht worden, der sie der Formel

$$J_{0^{\circ}}^{105^{\circ}} = 30,62 + 0,2711 t$$

entsprechend fand. Dieselbe wurde von Mulder⁵⁰⁾ nach eigenen und Bestimmungen von Gerlach, Kersten, Kopp angegriffen, aber von Gerardin (für das wasserfreie Salz⁵¹⁾) bestätigt. Letzterer erhielt folgende Werte

			Mulder dagegen		
g BaCl_2 in 100 H_2O	t	t	BaCl_2 in 100 H_2O	t	BaCl_2 in 100 H_2O
33,2	0°	5°	32,2	50°	43,6
38,1	30°	10°	33,3	60°	46,4
40,0	37°	15°	34,5	70°	49,4
43,7	50°	20°	35,7	80°	52,4
45,9	58°	30°	38,2	90°	55,6
		40°	40,8	100°	58,8

Nordenskjöld⁵²⁾ fand zwischen 0° und 105° die Formel

$$\log y = 1,4916 + 0,3413 \cdot \frac{t}{100} - 0,0658 \cdot \left(\frac{t}{100}\right)^2$$

in Übereinstimmung mit der Erfahrung. Neue Bestimmungen liegen von Étard⁵³⁾ vor, der die g BaCl_2 in 100 g Lösung bestimmte.

Ein Knickpunkt, d. h. Umwandlungspunkt in das Monohydrat, ist von keinem Forscher beobachtet worden; wahrscheinlich ist aber bei höherer Temperatur das Dihydrat instabil; die analoge Überlegung erklärt, daß Gerardin und Gay-Lussac bei tiefen Temperaturen zu hohe Werte erhalten haben.

In Lösungen von Chloriden, z. B. HCl und NaCl , ist die Löslichkeit infolge der Zurückdrängung der Dissoziation naturgemäß geringer. In Salzsäure beträgt die Löslichkeit nach Engel⁵⁴⁾ bei 0°.

n (HCl)	n ($\frac{1}{2}$ BaCl_2)	t	NaCl in 100 H_2O	BaCl_2 in 100 H_2O
0	2,945	10°	9,8	21,2
0,11	2,78	20°	"	23,1
0,28	2,608	30°	"	25,1
0,5	2,34	40°	"	27,6
1,436	1,4	50°	"	30,1
1,878	1,02	60°	"	32,9
2,275	0,667	70°	"	35,9
3,2	0,274	80°	"	39,1
5,05	0,029	90°	"	42,4

In verdünnten NaCl -Lösungen ist die Löslichkeit von Precht und Wittgen⁵⁵⁾ bestimmt worden.

Über die Löslichkeit von BaCl_2 in Lösungen, die an $\text{Ba}(\text{NO}_3)_2$ gesättigt sind, vergl. unter $\text{Ba}(\text{NO}_3)_2$.

Die Dichte von BaCl_2 -Lösungen ist von Schiff⁵⁶⁾ und Kohlrausch⁵⁷⁾ bestimmt worden. Ersterer fand bei 21,5°

% BaCl_2	s	% BaCl_2	s
0,853	1,0073	14,494	1,1394
2,558	1,0222	16,199	1,1584
4,263	1,0374	17,904	1,1783
5,968	1,0530	19,609	1,1986
7,673	1,0692	21,314	1,2197
9,379	1,0861	23,019	1,2413
11,084	1,1034	24,724	1,2636
12,789	1,1211		

Kohlrausch erhielt bei 18°

% BaCl_2	s	% BaCl_2	s
5	1,0445	20	1,2047
10	1,0939	24	1,2559
15	1,1473		

Das Dichtemaximum von BaCl_2 liegt nicht, wie bei reinem Wasser, bei 4°, sondern bei tieferer Temperatur (de Coppet⁵⁸⁾)

n (BaCl_2),	d max bei	Δt	$\frac{\Delta t}{n}$
0,0002	3,982°		
0,0323	2,207°	0,775°	24,0
0,0499	2,785°	1,197°	24,0
0,0998	1,572°	2,410°	24,1
0,1995	—0,843°	4,825°	24,2

Die molekulare Erniedrigung des Dichtemaximums ist also konstant und beträgt 24,1°.

Der Gehalt einer BaCl_2 -Lösung nimmt beim Schütteln mit gepulvertem Quarz ab und zwar um eine der Oberfläche des festen Körpers proportionale Menge (Thoulet⁵⁹⁾), das Gleichgewicht stellt sich schon nach wenigen Minuten ein. Vielleicht bildet BaCl_2 mit dem Quarz eine feste Lösung. Zwischen dieser und der wässrigen verteilt sich das Salz nach dem Verteilungssatz; möglicherweise liegt aber nur eine Adsorption vor.

Die spezifische Wärme von Bariumchloridlösungen ist nach Plümcke⁶⁰⁾

% BaCl_2	C
5,12	0,951
9,92	0,898
14,85	0,842
20,23	0,781
20,80	0,754

Das Refraktionsäquivalent von BaCl_2 -Lösungen für die A-Linie ist nach Gladstone⁶¹⁾ nach der $n-1$ Formel berechnet für eine 24,17prozentige Lösung = 38,94.

Das spezifische Brechungsvermögen zwischen 23 und 25° für die D-Linie = 0,1797 (Förster⁶²⁾).

Dampfdruck der festen Hydrate und Lösungen.

Lescoeur⁶³⁾ hat die Dampfspannung über den festen Hydraten bestimmt. Er fand

bei 100° Zusammensetzung	Dampfdruck
BaCl ₂ + 2,0 H ₂ O	620 mm
" + 1,90 "	626 "
" + 1,20 "	615 "
" + 0,94 "	272 "
" + 0,18 "	270 "
bei 10° BaCl ₂ + 2,00 H ₂ O	2,7 "
" + 2,25 "	7,5 "
" + 2,40 "	7,5 "
" + 2,61 "	7,4 "

Aus dem beim CaCl₂ (siehe dieses) entwickelten Gründen geht aus der ersten Tabelle die Existenz der Hydrate BaCl₂ · 2H₂O und BaCl₂ · H₂O hervor. Die Dampfdruckwerte bei 10° sprechen nach Lescoeur dafür, daß bei dieser Temperatur noch ein höheres Hydrat existiert, da die Dampfspannung mit steigendem Wassergehalt nicht kontinuierlich zunimmt, sondern kurz nach 2 · H₂O auf einen konstanten Wert springt. Lescoeur hält daher die Existenz eines bisher unbekannten Hydrats BaCl₂ · 6H₂O, das mit CaCl₂ · 6H₂O isomorph ist, für wahrscheinlich, da übersättigte Lösungen von Calciumhexahydrat beim Zusatz von BaCl₂ sofort auskristallisieren und eine derartige Keimwirkung nur isomorphen Salzen zukommt. Der Schluß von Lescoeur auf ein höheres Hydrat entbehrt jedoch jeglicher Begründung; denn auch Systeme von BaCl₂ · 2H₂O + nH₂O müssen einen konstanten, mit n nicht wachsenden Dampfdruck besitzen. Sie bestehen ebenso wie die Gemische aus 2 festen Hydraten, aus 3 Phasen und 2 Bestandteilen, haben also nur eine Freiheit (die Temperatur).

Die relative Dampfspannungsniedrigung der beiden bekannten niederen Hydrate ist von Müller-Erbach⁶⁴⁾ gemessen worden. Sie beträgt für

$$\begin{aligned}\text{BaCl}_2 \cdot 2\text{H}_2\text{O} (17,5^\circ) &= 0,21 \\ \text{BaCl}_2 \cdot \text{H}_2\text{O} (16,7^\circ) &= 0,10.\end{aligned}$$

Die Abhängigkeit dieser Größe von der Temperatur hat Frowein⁶⁵⁾ bestimmt. Er erhielt für BaCl₂ · 2H₂O

t	p	p/P (rel. Dampfspannung)
18,25	2,97	0,1905
25,68	5,461	0,2227
28,85	7,125	0,2413
36,45	12,745	0,2812
37,30	13,478	0,2839
43,45	21,117	0,3204.

Die Dampfdruckerniedrigungen von Bariumchloridlösungen sind nach Tammann bei 100°⁶⁶⁾

0,5 n	16,4 mm
1,0 "	36,7 "
2,0 "	77,6 "

Für verschiedene Konzentrationen und Temperaturen erhielt Tammann für die Dampfdruckerniedrigung $P-p$ der Lösungen folgende Werte: (P ist der Dampfdruck des reinen Wassers bei der betreffenden nicht genau gemessenen Temperatur.⁶⁷⁾

P	13,27 g BaCl ₂ 2H ₂ O in 100 H ₂ O	39,10 BaCl ₂ 2H ₂ O in 100 H ₂ O	39,93 BaCl ₂ 2H ₂ O in 100 H ₂ O	50,97 BaCl ₂ 2H ₂ O in 100 H ₂ O
95,0	2,0	8,0	7,6	8,9
221,0	4,7	18,0	17,5	20,9
305,0	7,1	23,5	24,4	29,9
487,6	9,9	36,7	38,3	46,5
642,3	14,6	47,9	50,0	62,2
775,0	19,7	59,7	61,2	75,5

Wie die Ausrechnung zeigt, bestätigt sich weder das Wüllnersche noch das Babosche Gesetz. Neuerdings sind Dampfdruckbestimmungen auch verdünnter Lösungen von W. Biltz⁶⁸⁾ bei 25° bestimmt worden.

Siedepunktsbestimmungen verdünnter Bariumchloridlösungen nach einer Präzisionsmethode liegen nicht vor. Die Siedepunkte der konzentrierten Lösungen sind nach Gerlach⁶⁹⁾ und Kahlenberg⁷⁰⁾

BaCl ₂ 2H ₂ O in 100 H ₂ O	t (G)	g BaCl ₂ in 100 H ₂ O	dt (K)
15,0	101°	3,397	+ 0,208
31,1	102°	8,290	+ 0,496
		13,612	+ 0,839
47,3	103°	19,868	+ 1,293
		27,071	+ 1,909
63,5	104°	35,036	+ 2,517
		38,843	+ 2,877
71,6	104,5°	44,255	+ 3,362
		48,130	+ 3,737

Die Gefrierpunktserniedrigungen in verdünnten Lösungen sind von Loomis⁷¹⁾, Jones und Chambers⁷²⁾ und Jones und Getman⁷³⁾ bestimmt worden.

n (Mol im Liter)	dt (L)	$\frac{dt}{n}$
0,01	0,0499°	4,99
0,02	0,0990°	4,95
0,05	0,2385°	4,97
0,10	0,4690°	4,690
0,20	0,9310°	4,655
0,50	2,493° (J. u. G.)	4,99
0,750	3,857°	5,13

Wie auch bei den Ca- und Sr-Salzen wächst die molekulare Erniedrigung entgegen der Theorie bei steigender Konzentration.

Die Gefrierpunkte der konzentrierten Lösungen sind von Rüdorff⁷⁴⁾ und de Coppet⁷⁵⁾ bestimmt:

$\text{BaCl}_2 + 2\text{H}_2\text{O}$ in 100 H_2O	t
4	— 0,75
6	— 1,15
8	— 1,50
10	— 1,90
14	— 2,65
18	— 3,4
20	— 3,95
25	— 5,30
30	— 6,45
35	— 7,70
38	— 8,45

Der kryohydratische Punkt, bei dem Eis und festes $\text{BaCl}_2 \cdot 2\text{H}_2\text{O}$ miteinander und der gesättigten Lösung im Gleichgewicht stehen, liegt nach Rüdorff⁷⁶⁾ bei $-8,7^\circ$. Das ist demnach die tiefste Temperatur, die man durch Vermischen von Eis und BaCl_2 erhalten kann. Für Kältemischungen ist daher BaCl_2 nicht sehr geeignet.

Die innere Reibung einer 0,5 n BaCl_2 -Lösung ist von Arrhenius⁷⁷⁾ = 1,107 bei $17,6^\circ$ gefunden worden ($\text{H}_2\text{O} = 1$), nach Wagner⁷⁸⁾ bei 25° .

n	η
1,0	1,1228
0,5	1,0572
0,25	1,0263
0,125	1,0128

Die Kompressibilität von BaCl_2 -Lösungen ist von Schumann⁷⁹⁾ untersucht worden.

Das elektrische Leitvermögen von Bariumchloridlösungen ist

n	λ_{18°	(Äqu. Leitf.)	v	μ_{25° (Mol. Leitf.)
		(Kohlrausch und Grüneisen ⁸⁰⁾)	429,40	276,3
			214,70	270,3
0,0005	117,01		107,35	260,8
0,001	115,60		539,75	248,2
			268,4	237,6
			134,2	224,8
0,01	106,67		67,09	213,8
0,02	102,53		33,56	200,9
			20,13	191,2
0,05	96,04		12,58	184,9
0,1	90,78		11,06	170,6
0,12	85,18		6,71	161,1
0,5	77,29		5,03	158,4
1,0	70,14		4,03	148,4
			2,01	131,5

Bei 0° ist nach Jones und Getman⁸²⁾

v	$\mu_{0^{\circ}}$
20	116,05
10	103,79
4	95,94
2	89,24
1,33	85,27.

Die Abhängigkeit der spezifischen Leitfähigkeit von der Temperatur wird ausgedrückt durch die Gleichung (Kohlrausch⁸³)

$$\kappa = \kappa_{18} [1 + 0,0225 (t - 18) + 0,000083 (t - 18)^2].$$

Das Leitvermögen von BaCl_2 -Lösungen bei 0° und 95° ist von Kahlenberg⁸⁴) gemessen worden. Er erhielt für das Äquivalentleitvermögen folgende Werte (in reziproken Ohm).

v	$\lambda_{0^{\circ}}$	$\lambda_{95^{\circ}}$	Nach Wetham ⁸⁵) ist	
0,5	38,7		m*	$\lambda_{0^{\circ}}$
1	44,0	146,3	0,00001	74,6
2	47,0	171,1	0,00005	74,5
4	50,6	193,9	0,0001	74,2
8	53,8	218,5	0,0005	73,1
16	57,0	240,4	0,001	72,3
32	60,0	276,1	0,005	69,0
64	63,5	297,1	0,01	66,9
128	65,9	308,1	0,05	60,7
256	71,0	326,0	0,1	58,1
512	72,3	338,9	0,5	52,2
1024		352,8	1,0	49,6
2048		363,1		

*) m = g Äquivalent in 1000 g Lösung.

Die Überführungszahl in verdünnten Lösungen ist von Bein⁸⁵), Hopfgartner⁸⁶) und Noyes⁸⁷) bestimmt worden.

Für die Überführungszahl des Anions fand Bein mit steigender Konzentration (0,01—0,25 äqu. n) bei 10° 0,559—0,584, bei 26° 0,553—0,560, bei 97° 0,515—0,545, also ein Wachsen mit der Konzentration. Dasselbe fand Noyes mit seinen sehr genauen Bestimmungen, nämlich

bei 25° in 0,1 n-Lösung 0,5853

0,02 " 0,5578.

Er folgert hieraus die Existenz komplexer Ionen BaCl_3' oder BaCl_4'' . Denselben Gang zeigen die Werte von Steele⁸⁸) in konzentrierten Lösungen. Er erhielt in

0,5 n-Lösung 0,576

1,0 " 0,619

2,0 " 0,633.

Hopfgartner hatte in 0,1 n-Lösung 0,579 gefunden.

Nichtwässrige Lösungen. Außer in Wasser ist Bariumchlorid noch merklich löslich in Methylalkohol. Nach Lobry de Bruyn⁸⁹) lösen sich in 100 Teilen CH_3OH bei $15,5^{\circ}$ 2,18 Teile BaCl_2 . In reinem Äthylalkohol ist es schwer löslich.

BaCl_2 löst sich bei Siedehitze in 4800 Teilen, bei 15° in 7500 Teilen 99,3 Proz. Alkohol (Fresenius⁹⁰)). Die Löslichkeit in Wasser—Äthyl-

alkoholgemischen ist von Schiff⁹¹⁾ und Gerardin⁹²⁾ untersucht worden. Letzterer fand, daß für jede untersuchte Alkoholkonzentration die Löslichkeit des BaCl_2 eine lineare Funktion der Temperatur (wie in Wasser) ist, und erhielt folgende Löslichkeitsgleichungen:

d des Gemisches bei 0°	g BaCl_2 in 100 g Lösungsmittel	Temperaturgebiet
0,9904	25,1 + 0,246 t	14°—60°
0,9848	21,6 + 0,225 t	14°—63°
0,9793	17,3 + 0,206 t	11°—45°
0,9726	13,0 + 0,181 t	15°—50°
0,9573	8,18 + 0,139 t	13°—50°
0,9390	5,11 + 0,105 t	12°—47°
0,8967	2,38 + 0,051 t	12°—47°.

Untersuchungen über die Eigenschaften der alkoholischen Lösungen sind nicht bekannt.

Bariumsubchlorid, BaCl , ist von Guntz⁹³⁾ bei Einwirkung von metallischem Ba auf BaCl_2 bei 850° im Vakuum erhalten worden. Es zersetzt H_2O unter H-Entwicklung und bildet sich bei der Elektrolyse von geschmolzenem BaCl_2 an der Kathode (cf. Ca).

Haber^{93a)} erhielt BaCl bei Elektrolyse von festem BaCl_2 in quantitativer Ausbeute nach dem Faradayschen Gesetz. Hierbei zeigte es sich, daß BaCl_2 schon etwa 400° unter seinem Schmelzpunkte den elektrischen Strom als Leiter zweiter Klasse leitet. Während der Elektrolyse besteht an der Kathode Barium neben Bariumsubchlorid. Nach Unterbrechung des Stromes verschwindet jedoch das metallische Ba unter Reduktion des BaCl_2 zu BaCl . Hierbei sinkt das Potential der Elektrode bis auf den Wert des Potentialsprungs $\text{BaCl}_2/\text{BaCl}$. Die Bildungswärme des BaCl aus den Elementen wird von Haber zu 115800 cal berechnet. Die Potentiale sind für Ba/BaCl_2 : $\epsilon_h = 2,88$ V, für $\text{BaCl}/\text{BaCl}_2$: $\epsilon_h = 2,13$ V und für Ba/BaCl : $\epsilon_h = 3,63$ V (bezogen auf das Wasserstoffpotential in Säuren als Nullwert).

Bariumoxychloride. Aus einer konzentrierten Lösung von BaCl_2 und $\text{Ba}(\text{OH})_2$ kristallisieren nach Beckmann⁹⁴⁾ Mischkristalle von Bariumchlorid und Bariumhydroxyd aus, die sich je nach den Versuchsbedingungen als Mischungen eines Oxychlorids $\text{Ba}(\text{OH})\text{Cl} \cdot 2\text{H}_2\text{O}$ mit $\text{Ba}(\text{OH})_2 \cdot 8\text{H}_2\text{O}$ oder $\text{BaCl}_2 \cdot 2\text{H}_2\text{O}$ in rationalen Verhältnissen darstellen.

Ein Gemisch von der Zusammensetzung $\text{Ba}(\text{OH})_2 \cdot \text{BaCl}_2 \cdot 4\text{H}_2\text{O}$ verliert bei 120° 4 Mol. H_2O , während das letzte Mol erst bei Rotglut ausgetrieben werden kann. Ob aber tatsächlich ein Molekül $\text{BaCl}_2 \cdot \text{Ba}(\text{OH})_2$, oder $\text{BaCl}(\text{OH})$ existiert, ist damit wohl noch nicht sicher bewiesen. Nach André⁹⁵⁾ kristallisieren aus einer Lösung von Bariumchlorid und Baryt nach dem Sieden bei 50—60° Kristalle von komplizierter Zusammensetzung aus, die aber zweifellos keine chemischen Individuen darstellen. Bei Anwendung anderer Mengenverhältnisse (200 g BaCl_2 , 30 g $\text{Ba}(\text{OH})_2$, 500 g H_2O) erhielt André bei 25° dieselbe Verbindung wie Beckmann, nämlich $\text{BaCl}_2 \cdot \text{Ba}(\text{OH})_2 \cdot 4\text{H}_2\text{O}$. Ihre Bildungswärme beträgt nach Tassily⁹⁶⁾ aus $\text{BaCl}_2 + \text{BaO} + 5\text{H}_2\text{O}$ (flüssig) = 39,200 cal.

Bariumbromid. BaBr_2 . M.-G. = 297,3.

Bildung und Darstellung. Eine reine wässrige Lösung entsteht durch Neutralisation von Bariumhydroxyd, -carbonat oder -sulfid mit Bromwasser-

stoff. Aus BaS entsteht es auch durch Brom unter Abscheidung von Schwefel. Durch Einwirkung von Br auf Ba(OH)₂, bei Gegenwart von Wasser, entsteht ein Gemenge von Bariumbromid und -bromat, dem das erstere infolge seiner Löslichkeit in Alkohol entzogen werden kann (Henner und Hohenhauser⁹⁷). Das zurückbleibende Bariumbromat kann durch Glühen mit oder ohne Kohle in Bromid übergeführt werden. Ferner entsteht es ebenso wie CaBr₂ (siehe dieses) aus Eisenbromid und Ba(OH)₂ und aus BaCl₂ + Br₂ (Potilitzin⁹⁸). Über die Reindarstellung cf. Richards.⁹⁹)

Eigenschaften. Das wasserfreie BaBr₂ schmilzt nach Ruff (l. c.) bei 760°, nach Carnelley¹⁰⁰) bei 812°; seine Dichte beträgt 4,23 nach Schiff¹⁰¹), 4,79 nach Richards.⁹⁹) Aus den gesättigten Lösungen kristallisiert das Hydrat BaBr₂ + 2H₂O aus. Es ist mit BaCl₂ · 2H₂O isomorph und bildet wasserhelle, luftbeständige, rhombische Tafeln (Rammelsberg). Andere Autoren betrachten es jedoch als monoklin. Ihr spezifisches Gewicht ist bei 24° = 3,852 bez. auf H₂O von 4° (Richards⁹⁹). Beim Trocknen bei 75° geht das Dihydrat in das Monohydrat BaBr₂ · H₂O über, das sich erst durch scharfes Trocknen über 100° entwässern läßt, also das Wasser anscheinend fester als BaCl₂ gebunden enthält.

Die Bildungswärme des wasserfreien BaBr₂ beträgt nach Jul. Thomsen 169960 cal; seine Lösungswärme in 400 Mol H₂O + 4980 cal. Die Hydratationswärme (BaBr₂, 2H₂O) + 9110 cal, mithin die Lösungswärme des Dihydrats —4130 cal.

Die Lösungen des BaBr₂. Die Löslichkeit in H₂O ist von Kremers¹⁰²) und Étaud¹⁰³) bestimmt worden. Es lösen sich

bei 0°	104 g BaBr ₂ in 100 H ₂ O (Kremers)	
" 20	123	"
" 100	149	"
" —20	45,7 g BaBr ₂ in 100 g Lösung (Étaud)	
" —9	46,5	"
" +7	48,5	"
" 16	48,8	"
" 19	49,3	"
" 40	50,9	"
" 71	55,1	"
" 76	55,5	"
" 77	55,6	"
" 104	56,6	"
" 145	60,5	"
" 160	59,4	"
" 175	60,3	"

Die Löslichkeit hat scheinbar ein Maximum zwischen 104 und 160°; da die Lösungswärme wohl nicht ihr Vorzeichen ändert, wird diese Erscheinung wohl ähnlich zu erklären sein wie das Löslichkeitsmaximum des CaCl₂ · 6H₂O bei 29,9° (cf. S. 96).

Die Löslichkeit ist natürlich geringer in allen Lösungen, die Ba⁺⁺- oder Br⁻-Ionen enthalten, z. B. in Lösungen, die an BaJ₂ gesättigt sind. Die Löslichkeit in solchen Lösungen ist von Étaud¹⁰⁴) bestimmt worden.

t	g BaBr ₂ in 100 g Lösung	g BaJ ₂ in 100 g Lösung
— 16°	4,85	58,4

t	g BaBr ₂ in 100 g Lösung	g BaJ ₂ in 100 g Lösung
+ 60°	5,5	66,0
+ 135°	9,15	67,3
+ 170°	11,0	67,4
+ 210°	14,9	67,7.

Das spezifische Gewicht von BaBr₂-Lösungen ist nach Gerlach¹⁰⁵⁾ (nach Beobachtungen von Kremers interpoliert) bei 19,5° (bezogen auf Wasser von 19,5°)

g BaBr ₂ in 100 H ₂ O	s	g BaBr ₂ in 100 H ₂ O	s
5	1,045	30	1,329
10	1,092	35	1,405
15	1,144	40	1,485
20	1,201	45	1,580
25	1,262	50	1,685

Das Dichtemaximum liegt nach de Coppet¹⁰⁶⁾ bei

Mol in L.	t°	dt	$\frac{dt}{m}$
0,0403	2,969°	1,013	25,14
0,1631	— 0,304°	4,286	26,28.

Die Temperaturerniedrigung ist also proportional der Konzentration.

Die Dampfdruckerniedrigungen von BaBr₂-Lösungen sind nach Tammann¹⁰⁷⁾ in mm Hg

P Dampfdruck des reinen H ₂ O	30,75 g BaBr ₂ 6H ₂ O (?) in 100 H ₂ O	63,01 g BaBr ₂ 6H ₂ O	91,74 g BaBr ₂ 6H ₂ O	136,63 g BaBr ₂ 6H ₂ O
57,6	3,0	6,4	10,3	15,7
87,8	4,9	9,6	15,0	23,0
121,3	5,4	13,4	20,7	32,0
162,2	7,5	17,7	27,0	42,2
227,3	10,5	24,8	38,0	58,6
296,9	13,4	32,4	49,1	75,8
370,0	17,1	40,4	59,9	94,0
474,0	21,9	49,4	76,2	118,2
561,6	25,3	57,9	89,8	138,9
616,0	26,5	69,3	97,8	151,7
699,4	31,2	72,8	115	171,2

Die Quotienten $\frac{P-p}{c}$ steigen mit wachsender Konzentration und fallen mit steigender Temperatur.

Bei 100° ist nach Tammann¹⁰⁸⁾

Mol BaBr ₂ in 100 ccm Lösung:	0,5	1	2	3	4
P—p in mm Hg:	16,8	38,8	91,4	150,0	204,7

Wie die letzte Tabelle zeigt, ist die Dampfdruckerniedrigung keineswegs proportional der Konzentration, wie die Theorie verlangen würde. Die erste

Tabelle berechtigt wegen der angewendeten Konzentrationsrechnung nicht zu theoretischen Schlußfolgerungen.

Die Gefrierpunktserniedrigungen verdünnter BaBr_2 -Lösungen sind nach Jones und Chambers¹⁰⁹⁾

n (Mol im Liter)	dt	$\frac{dt}{n}$
0,10	0,506	5,06
0,15	0,737	4,91
0,20	1,001	5,00
0,40	2,039	5,09
0,50	2,591	5,18

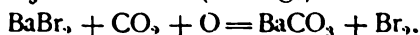
Die letzte Spalte zeigt, daß die Gefrierpunktserniedrigung in nicht ganz verdünnten Lösungen ebenso wie die Dampfdruckerniedrigung stärker wächst als die Konzentration.

Das elektrische Leitvermögen ist nach Jones und Chambers (l. c.)

v	μ_{25}°
6400	280,8
3200	270,8
1280	257,1
640	249,2
320	241,5
160	228,8
80	218,5
32	202,0
16	190,9
8	176,5
4	162,4
2	147,7

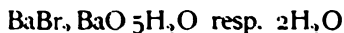
In Äthyl- und Methylalkohol ist BaBr_2 löslich. In 100 Teilen 87 Proz. Äthylalkohol lösen sich bei gewöhnlicher Temperatur 6 Teile BaBr_2 (Richards¹¹⁰⁾), in reinem Alkohol nur 3,1 Teile, in Methylalkohol 40–60 Proz. (Lobry de Bruyn¹¹¹⁾).

Leitet man durch eine BaBr_2 -Lösung CO_2 bei Gegenwart von Luft (O), so scheidet sich BaCO_3 und Br aus (Löwig), offenbar nach der Reaktion



Diese sehr interessante Reaktion ist wahrscheinlich ein Beispiel einer gekoppelten Reaktion.¹¹²⁾

Basische Salze des BaBr_2 sind von Tassily¹¹³⁾ beschrieben worden, und zwar kommt ihnen die Formel



zu. Die Bildungswärme beträgt 41200 bzw. 29600 cal.

Bariumjodid, BaJ_2 . M.-G. 391,1.

Bildung und Darstellung. BaJ_2 entsteht ebenso wie CaJ_2 und SrJ_2 aus Bariumhydroxyd, -carbonat oder -sulfid und Jodwasserstoff oder besser Jod bei Gegenwart eines Reduktionsmittels. Als solches kommt ebenso wie bei den genannten Salzen hauptsächlich Phosphor oder schweflige Säure zur Verwendung.

Eigenschaften. Das wasserfreie BaJ_2 hat das spezifische Gewicht 4,917 (Filhol¹¹⁴). Mit Wasser bildet es verschiedene Hydrate, wahrscheinlich mit 7, 6, 2 und 1 Mol. Die Stabilität der höheren Hydrate spricht dafür, daß die Tendenz zur H_2O -Bindung hier noch größer ist als beim Bromid, wofür die Differenz in der Elektroaffinität der Anionen verantwortlich zu machen sein dürfte. Die Gleichgewichts- und Umwandungsverhältnisse der einzelnen Hydrate sind noch nicht untersucht. Das Heptahydrat kristallisiert in Prismen (Beckmann¹¹⁵), das Dihydrat rhombisch; es ist mit dem entsprechenden $BaBr_2 \cdot 2H_2O$ isomorph (Werther¹¹⁶). Alle diese Hydrate sind an feuchter Luft zerfließlich, bei gelindem Erwärmen schmelzen sie und geben ihr Wasser ab, bis sie bei der Zusammensetzung des nächst niederen Hydrats wieder erstarren. Bei weiterer Temperatursteigerung schmelzen sie aufs neue usf. Sie zersetzen sich im Luftstrom unter Abgabe von J — infolge der Oxydation von primär gebildeter HJ —, aber nicht im H- oder CO_2 -Strom (Beckmann).

Die Bildungswärme des Heptahydrats aus Ba, J, $7H_2O$ beträgt nach Thomson 151370 cal, seine Lösungswärme in 500 Mol H_2O — 6850 cal; die Lösungswärme des wasserfreien Salzes nach Tassily¹¹⁷) + 10300 cal. Auch der Vergleich der Lösungswärme der drei anhydri-schen Bariumhaloide bestätigt den obigen Schluß der abgestuften H_2O -Bindungstendenz, da der wesentlichste Teil dieser Wärmetönung der Hydratationsreaktion zukommen dürfte; diese Größen betragen nämlich für das

Chlorid	Bromid	Jodid
+ 2070	+ 4980	+ 10300 cal.

In Wasser ist BaJ_2 sehr leicht löslich. Die Löslichkeit ist von Étard¹¹⁸) bestimmt worden. Es lösen sich

bei — 22° 58,8 Tl. BaJ_2 in 100 Tl. Lös.	67° 71,9 Tl. BaJ_2 in 100 Tl. Lösung
— 9° 60,0 " " "	87° 72,1 " " "
— 5° 60,9 " " "	96° 72,2 " " "
+ 15° 66,0 " " "	113° 73,6 " " "
+ 18° 66,3 " " "	140° 73,7 " " "
+ 32° 68,3 " " "	165° 74,1 " " "
+ 40° 69,8 " " "	

Die Löslichkeit in gesättigten $BaBr_2$ -Lösungen cf. S. 254. Die Dichte von BaJ_2 -Lösungen bei 19,5° ist nach Gerlach¹¹⁹), bezw. auf Wasser bei 19,5°.

g BaJ_2 in 100 H_2O	d	g BaJ_2 in 100 H_2O	d
5 ‰	1,045	35 ‰	1,412
10 ‰	1,091	40 ‰	1,495
15 ‰	1,143	45 ‰	1,596
20 ‰	1,201	50 ‰	1,704
25 ‰	1,265	55 ‰	1,825
30 ‰	1,333	60 ‰	1,970

Die Temperatur des Dichtemaximums ist nach de Coppet¹²⁰)

Mol/l	t°	dt	dt m
0,0395	2,827	1,155	29,23
0,0962	1,152	2,830	29,42

Auch in Äthylalkohol ist BaJ_2 leicht löslich.

Das basische Bariumjodid hat nach Tassily (l. c.) die Formel $BaJ_2 \cdot BaO \cdot 9H_2O$. Durch wasserentziehende Mittel entsteht aus diesem das Salz $BaJ_2 \cdot BaO \cdot 2H_2O$.

Bariumtetrajodid, BaJ_4 , ist von Jul. Meyer¹²¹⁾ auf dieselbe Weise wie CaJ_4 (siehe dieses) dargestellt worden. Seine Eigenschaften ähneln denen des CaJ_4 , doch scheint es nicht so beständig zu sein. Die Löslichkeit des Jods in 100 ccm einer 10prozentigen BaJ_2 -Lösung beträgt 6,541 g Jod bei 13,5°.

Komplexe Verbindungen von Bariumjodid mit Bariumsuperoxyd $BaJ_2 \cdot 2BaO_2$ und $BaJ_2 \cdot Ba_3O_4$ sind von Rammelsberg¹²²⁾ durch Erhitzen von BaO_2 und Ba_3O_4 mit Jod erhalten worden.

Bariumcyanid, $Ba(CN)_2$.

Es kann wie Calciumcyanid (siehe dieses) durch Einleiten von Cyanwasserstoff in Barytwasser und durch Auslaugen einer Schmelze von Ferrocyanbarium erhalten werden (Schulz¹²³⁾). Ferner entsteht es beim Glühen von Bariumhydroxyd und Kohle oder von Bariumcarbid an der Luft oder im Stickstoffstrom (Sourdeval¹²⁴⁾, Erlwein¹²⁵⁾). Seine Lösungen haben im wesentlichen dieselben Eigenschaften wie die des Calciumcyanids; in reinem Wasser ist es nach Schulz schwer löslich, dagegen leicht löslich bei Gegenwart von KCN. Das würde auf eine Komplexbildung deuten, doch bedarf die Angabe der Schwerlöslichkeit noch quantitativer Untersuchung.

Beim Eindunsten einer konzentrierten Lösung im Vakuum über Schwefelsäure entstehen nach Joannis¹²⁶⁾ sehr zerfließliche, prismatische Kristalle $Ba(CN)_2 \cdot 2H_2O$, die ihr Kristallwasser bei 100° abgeben. Bei 14° sind sie in 1,25 Teilen Wasser und 5,6 Teilen 70prozentigen Alkohols löslich.

Beim Erhitzen von Bariumcyanid im Wasserdampfstrom wird nach Marguerite und Sourdeval (l. c.) unter Hydrolyse der CN-Gruppe der gesamte Stickstoff als Ammoniak abgespalten.

Bariumrhodanid, $Ba(CNS)_2$.

Dasselbe wurde zuerst von Meitzendorff¹²⁷⁾ aus Bariumhydroxyd oder -carbonat und Rhodanwasserstoffsäure dargestellt. Zur technischen Darstellung benutzt man Rhodanammonium und Bariumsulfid.

Nach Hölbling¹²⁸⁾ wird Berliner Blau durch viel Bariumsulfid beim Erhitzen im Autoklaven unter 2—3 Atmosphären Druck glatt in Bariumrhodanid umgesetzt.

Das 1 Mol Kristallwasser enthaltende Salz (Tscherniac¹²⁹⁾) zersetzt sich beim Erhitzen an der Luft, schmilzt jedoch bei Luftabschluß ohne Zersetzung. In Alkohol ist es leicht löslich, und zwar lösen sich nach Tscherniac und Hölbling 30

bei 20° 300 g, $Ba(CNS)_2$

450 g, $Ba(CNS)_2 \cdot 3H_2O$

beim Siedepunkt 328 g, $Ba(CNS)_2$.

Von demselben Autor sind auch Kristallalkoholate dargestellt worden und zwar mit 1 und 2 Mol Äthylalkohol und mit 1 Mol Methylalkohol in prismatischen Nadeln.

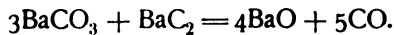
Das Salz wird in der Farbdrucktechnik verwendet.

Bariumoxyd, BaO ; M.-G. = 153,4, (Baryterde, Ätzbaryt) kommt in der Natur nicht vor. Es wurde von Scheele und Gahn zuerst von der Kalkerde unterschieden und als Hauptbestandteil des Schwerspats nachgewiesen.

Darstellung. In reinem Zustande entsteht Bariummonoxyd außer durch direkte Oxydation von metallischem Ba durch starkes Erhitzen von Bariumjodat und Nitrat. Aus letzterem wurde es von Brügelmann¹³¹⁾ bei sehr starkem Glühen in kristallinischer Form erhalten. Wird die Temperatur nicht sehr hoch gesteigert, so enthält das Produkt beträchtliche Mengen von Bariumsuperoxyd. Durch Glühen von reinem Bariumcarbonat, ebenso wie CaO in den Kalköfen, kann es nicht dargestellt werden, weil bei den technisch leicht erreichbaren Temperaturen seine Dissoziation zu gering ist. Wohl aber gelingt diese Methode bei Gegenwart von Kohlepulver; offenbar wird hierdurch das entstehende Kohlendioxyd reduziert und sein Partialdruck vermindert, so daß die Dissoziation weiter fortschreiten kann. Aus Bariumsulfid kann es durch Glühen mit Kupfer- oder Zinkoxyd erhalten werden.

Eine Zusammenstellung neuerer Verfahren zur Darstellung des BaO ist von Heinz¹³²⁾ gegeben worden.

Erwähnenswert sind zwei elektrische Verfahren, nach denen BaCO_3 oder BaSO_4 mit Kohle im elektrischen Lichtbogen geschmolzen wird. Doch enthalten die Schmelzen neben dem Oxyd beträchtliche Mengen von Carbid bzw. Sulfid.¹³³⁾ Technisch wertvoller scheint ein anderes Patent¹³⁴⁾ zu sein: BaCO_3 wird auf 360° erhitzt und trockener Schwefelwasserstoff darüber geleitet. Das hierbei entstehende Bariumsulfid geht mit Wasserdampf unterhalb Rotglut in Oxyd unter Regeneration des Schwefelwasserstoffes über. Nach Frank¹³⁵⁾ entsteht BaO beim Erhitzen von BaCO_3 mit BaC_2 unter Luftabschluß nach der Gleichung



Eigenschaften. Das amorphe BaO bildet ein weißes Pulver, dessen spezifisches Gewicht von verschiedenen Forschern zwischen 4,73 und 5,76, vermutlich abhängig von der Darstellungsart, angegeben wird.¹³⁶⁾ Es kristallisiert aus der Schmelze nach Brügelmann¹³⁷⁾ in Würfeln vom spezifischen Gewicht 5,72 und in hexagonaler Form (spezifisches Gewicht 5,32). Es schmilzt nach Moissan¹³⁸⁾ leichter als CaO und SrO im elektrischen Ofen bei Anwendung eines Stromes von 50 V. und 25 Amp. und verflüchtigt sich bei weiterer Temperatursteigerung. Die erstarrte Schmelze zeigt kristallinen Bruch. Die Bildungswärme des BaO aus seinen Elementen beträgt nach J. Thomsen +124240 cal.

Bariumhydroxyd, Ba(OH)_2 .

Bariumoxyd vereinigt sich ebenso wie CaO mit Wasser unter heftiger Wärmeentwicklung zu einem trockenen Pulver von Bariumhydroxyd. Es kristallisiert mit 16, 8, 3 und 1 Mol H_2O . Das Hydrat $\text{Ba(OH)}_2 \cdot 16\text{H}_2\text{O}$ ist von Artus¹³⁹⁾ erhalten worden.

Das Oktohydrat $\text{Ba(OH)}_2 \cdot 8\text{H}_2\text{O}$ kristallisiert aus den gesättigten Lösungen zwischen Zimmertemperatur und 109° aus (Beckmann¹⁴⁰⁾). Früher hatte man diesem Hydrat die Formel $\text{Ba(OH)}_2 \cdot 9\text{H}_2\text{O}$ zugeschrieben. Beim Stehen über konzentrierter H_2SO_4 geht es in das Monohydrat über. Sein spezifisches Gewicht beträgt 1,656 (Filhol¹⁴¹⁾). Es schmilzt nach Bauer¹⁴²⁾ bei 78° in seinem Kristallwasser. Nach Beckmann (l. c.) soll es schon bei

Erhitzen auf 75° alle 8 Mol H_2O abgeben. Es kristallisiert im tetragonalen System, nach Foullon¹⁴³⁾ sollen auch monokline Kristalle vorkommen.

Trihydrat, $\text{Ba}(\text{OH})_2 \cdot 3\text{H}_2\text{O}$. Lescœur¹⁴⁴⁾ hatte aus Dampfdruckmessungen (s. u.) gefolgert, daß zwischen dem Monohydrat und dem Oktohydrat bei 100° noch ein anderes Hydrat existieren müsse und hat ihm die Formel $3\text{Ba}(\text{OH})_2 \cdot 10\text{H}_2\text{O}$ beigelegt. Seine Darstellung gelang erst Bauer (l. c.).

Es kristallisiert aus gesättigten siedenden Lösungen, die mehr als 61,5 Proz. BaO enthalten (vergl. die Siedepunkte von $\text{Ba}(\text{OH})_2$ -Lösungen) und hat nach der Analyse die Zusammensetzung $\text{Ba}(\text{OH})_2 \cdot 3\text{H}_2\text{O}$. Es kristallisiert in sehr gut ausgebildeten wasserhellen Kristallen. Da seine Löslichkeit größer ist als die des Oktohydrats, so setzt es sich mit Wasser rasch in dieses um.

Das Monohydrat, $\text{Ba}(\text{OH})_2 \cdot \text{H}_2\text{O}$, dessen Existenz ebenfalls von Lescœur gefolgert wurde, wurde von Forcrand¹⁴⁵⁾ dargestellt durch Auflösen von BaO in wässrigem Methylalkohol und Trocknen der entstandenen Verbindung $\text{Ba}(\text{OH})_2 \cdot \text{H}_2\text{O} \cdot 2\text{CH}_3\text{O}$ im Vakuum. Es schmilzt nach Smith¹⁴⁶⁾ bei Rotglut unter Aufschäumen und geht in $\text{Ba}(\text{OH})_2$ über.

Das wasserfreie Bariumhydroxyd, $\text{Ba}(\text{OH})_2$, entsteht als amorphes weißes Pulver vom spezifischen Gewicht 4,495 (Filhol, l. c.). Bei Rotglut verliert es sein Hydratwasser nicht, sondern schmilzt unzersetzt. Die erkaltete Schmelze ist kristallinisch.

Außer durch Behandeln von Bariumoxyd mit Wasser kann man Bariumhydroxyd bzw. seine Lösungen aus allen löslichen Ba-Salzen, besonders dem Sulfid, mit konzentrierter Natron- oder Kalilauge darstellen (Mohr¹⁴⁷⁾), ferner mittels Durchleiten von Luft durch BaS -Lösung bei Gegenwart von Weldon-schlamm (Manganhydroxyd und -superoxyd) bei 38° . Ein Teil des Bariumsulfids wird in Hydroxyd verwandelt, ein Teil in schwerlösliches Thiosulfat. Das Hydroxyd wird durch Kristallisation nach dem Abfiltrieren erhalten (Pakinson¹⁴⁸⁾). Durch Einleiten von Wasserdampf über Bariumcarbonat, das über den Schmelzpunkt des Hydrats erhitzt ist, also durch Hydrolyse, kann das letztere wasserfrei erhalten werden (Leplay¹⁴⁹⁾). Auf elektrolytischem Wege kann es aus BaCl_2 mit löslichen Metallanoden kathodisch erhalten werden (Taquet¹⁵⁰⁾).

Die Dampfdrucke der einzelnen Hydrate sind, wie angegeben, von Lescœur (l. c.) bei 100° bestimmt worden. Sie betragen in einem System

von 1 Mol $\text{BaO} + 8,5$ Mol H_2O (flüssig und fest) 627 mm

"	5,8	"	"	578	"
"	4,33	"	"	522	"
"	3,46	"	"	518	"
"	3,15	"	"	520	"
"	2,72	"	fest	520	"
"	2,27	"	"	502	"
"	2,05	"	"	43	"
"	1,82	"	"	45	"
"	1,60	"	"	43	"
"	1,28	"	"	45	"
"	1,09	"	"	0	"

Die Dampfdrucke der einzelnen schon vorher bekannten Hydrate bei verschiedenen Temperaturen sind nach Lescœur¹⁵²⁾

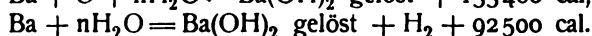
t°	$\text{Ba(OH)}_2 \cdot 8\text{H}_2\text{O}$	$\text{Ba(OH)}_2 \cdot \text{H}_2\text{O}$	Ba(OH)_2
13,5	4,5 mm	< 1 mm	0
20	5,5 "	1 "	0
35,5	20,5 "	1 "	0
58	84 "	1 "	0
70	124 "	1 "	0
74,5	213 "	14 "	0
100	520 "	45 "	0

Nach Müller-Erbach¹⁵¹⁾ abweichend bei 15°

$\text{Ba(OH)}_2 \cdot 8\text{H}_2\text{O}$	11,4 mm
" 3—7 "	2,46 "
" 2 "	1,3 "
" 1 "	0

Aus diesen Messungen wird die Existenz von Hydraten mit 1, 2, 7 und 8 Mol H_2O gefolgert.

Die Bildungswärme des Bariumhydrats aus dem Oxyd und 1 Mol H_2O beträgt nach J. Thomsen bei 18° + 22260 cal, bei der Addition von 8 Mol H_2O werden 27470 cal frei. Die Lösungswärme des wasserfreien Oxyds BaO beträgt 34520 cal, demnach die des Hydroxyds $\text{Ba(OH)}_2 = +12260$ cal und des Oktohydrats = -15210 cal. Die Bildungswärme von Ba(OH)_2 -Lösungen aus elementarem Ba ist von Guntz¹⁵³⁾ bestimmt worden und zwar



Die wässrige Lösung von Bariumhydroxyd ist eine starke Base (Barytwasser). Die Löslichkeit beträgt nach Rosenstein und Rühlmann¹⁵⁴⁾ in 100 g H_2O

bei 0°	1,5 g BaO	45°	9,12 g BaO
5°	1,75 "	50°	11,75 "
10°	2,22 "	55°	14,71 "
15°	2,89 "	60°	18,76 "
20°	3,84 "	65°	24,67 "
25°	4,19 "	70°	31,9 "
30°	5,0 "	75°	56,85 "
35°	6,17 "	80°	90,77 "
40°	7,36 "		

Die Löslichkeit wächst mit der Temperatur sehr beträchtlich. Die Siedepunkte konzentrierter Lösungen sind von Bauer¹⁵⁵⁾ bestimmt. Die siedende Lösung enthält in 100 Teilen

bei 103°	49,03 Teile BaO
" 104°	50,05 "
" 105°	52,43 "
" 106°	53,72 "
" 107°	55,35 "
" 108°	57,49 "
" $108,5^{\circ}$	58,74 "
" 109°	61,41 "

Wenn man durch weiteres Verdampfen der Lösung Wasser entzieht, bleibt der Siedepunkt eine Zeitlang konstant und es scheidet sich das Trihydrat $\text{Ba}(\text{OH})_2 \cdot 3\text{H}_2\text{O}$ aus. Die Lösung ist dann an diesem gesättigt.

Die Löslichkeit wird durch die Gegenwart von Neutralsalzen erhöht, z. B. durch NaCl (Karsten), da sich ja mit diesem sowohl undissoziiertes NaOH wie BaCl_2 , abgesehen von etwaigen Komplexen, bilden kann und das Ionenprodukt $(\text{Ba}^{++}) \cdot (\text{OH})^2$ konstant bleibt. Durch starke Basen (NaOH , KOH) wird die Löslichkeit sehr stark vermindert, und zwar stärker, als durch die Zurückdrängung der Dissoziation erklärt werden kann, weniger durch Ammoniak. Sackur¹⁵⁶⁾ fand bei 25° die Löslichkeit in Grammäquivalenten im Liter

Normalität					
NaOH	$\frac{1}{2} \text{Ba}(\text{OH})_2$	KOH	$\frac{1}{2} \text{Ba}(\text{OH})_2$	NH_3	$\frac{1}{2} \text{Ba}(\text{OH})_2$
—	0,552	—	—	—	—
0,085	0,486	0,096	0,470	0,127	0,534
0,182	0,428	0,206	0,408	0,251	0,524
0,564	0,261	0,505	0,270	0,499	0,5065
0,848	0,191	0,816	0,186	0,739	0,483
1,133	0,148	1,042	0,149	1,056	0,464

In BaCl_2 wird die Löslichkeit zunächst etwas vermindert, dann vermehrt; in $\text{Ba}(\text{NO}_3)_2$ -Lösungen ist sie durchweg größer als in Wasser. Da infolge der Zurückdrängung der Dissoziation eigentlich eine Löslichkeitsabnahme zu erwarten wäre, so muß die Bildung komplexer Ionen, und zwar von Kationen in diesen Lösungen angenommen werden. Nach Sackur (l. c.) beträgt die Löslichkeit bei 25° in Äquivalenten in

$\frac{1}{2} \text{BaCl}_2$	$\frac{1}{2} \text{Ba}(\text{OH})_2$	$\frac{1}{2} \text{Ba}(\text{NO}_3)_2$	$\frac{1}{2} \text{Ba}(\text{OH})_2$
0,324	0,538	0,286	0,571
0,625	0,533	0,572	0,615
0,868	0,542	0,715	0,625

Die Löslichkeit in Wasser-Acetongemischen ist von Herz und Knoch^{156a)} bei 25° bestimmt worden.

100 ccm der gesättigten Lösung enthalten

gr H_2O	gr $\text{Ba}(\text{OH})_2$
57,57	47,22
68,39	27,30
70,18	15,25
67,15	7,79
59,99	4,072
51,81	1,320
41,86	0,412
31,51	0,0725

Das spezifische Gewicht von Bariumhydroxydlösungen ist nach Kohlrausch¹⁵⁷⁾ bei 18°, bezogen auf Wasser von gleicher Temperatur

g $\text{Ba}(\text{OH})_2 \cdot 8\text{H}_2\text{O}$ in 100 g Lösung	Grammäquivalent im Liter	S_{18}°
2,30	0,148	1,0120
4,60	0,299	1,0252

Das molekulare Leitvermögen von Bariumhydroxyd ist nach Ostwald¹⁵⁸⁾ bei 25°

v	μ	v	μ
8	372	128	448
16	392	256	461
32	410	512	465
64	429	1024	469

Ba(OH)₂ ist also in verdünnten Lösungen sehr weitgehend dissoziiert, d. h. eine starke Base.

Das spezifische Leitvermögen konzentrierter Lösungen ist nach Kohlrausch¹⁵⁷⁾ bei 18° in reziproken Ohm

Normalität $\frac{1}{2}$ Ba(OH) ₂	κ
0,148	0,0250
0,299	0,979

Barytwasser ist ein sehr empfindliches Reagens für Kohlensäure, da es mit dieser das sehr schwer lösliche Bariumcarbonat bildet. Mit trockenem CO₂ reagiert wasserfreier Baryt jedoch auch bei 120° nicht, sondern erst bei Rotglut, dann aber unter Erhitzung bis zur Weißglut (Raoult¹⁵⁹⁾). Das Monohydrat Ba(OH)₂·H₂O nimmt schon bei niedriger Temperatur CO₂ auf (Beckmann, l. c., Scheibler¹⁶⁰⁾).

Mit Schwefelkohlenstoff reagiert Barytwasser bei 100° nach der Gleichung $\text{CS}_2 + 2\text{Ba(OH)}_2 = \text{BaCO}_3 + \text{Ba(SH)}_2 + \text{H}_2\text{O}$ (Chancel und Parmentier¹⁶¹⁾), mit Phosphoroxchlorid unter Bildung von Bariumphosphat und HCl schon bei gewöhnlicher Temperatur (Geuther¹⁶²⁾).

Bei der Elektrolyse von Bariumhydroxydlösungen entsteht Sauerstoff und Wasserstoff, jedoch nach Duter¹⁶³⁾ weniger Sauerstoff als dem entwickelten Wasserstoff entspricht. Es wird also vielleicht etwas Barium- oder Wasserstoffperoxyd dabei gebildet.

In Alkohol-Wassergemischen ist Bariumhydroxyd schwer löslich; nach Beckmann (l. c.) enthält eine gesättigte 50 prozentige alkoholische Lösung bei Zimmertemperatur 0,43 Proz. Bariumhydroxyd, es läßt sich also aus reinwässrigen Lösungen weitgehend durch Alkohol ausfällen.

Bariumsuperoxyd, BaO₂. M.-G. = 169,4.

Bariumsuperoxyd wird ausschließlich durch Oxydation von Bariumoxyd bei hohen Temperaturen dargestellt. Da aber die Oxydation unter Wärmeentwicklung von + 12100 cal (de Forcrand¹⁶⁴⁾) stattfindet, so muß die Bildung um so unvollständiger sein, je höher die Temperatur gesteigert wird.

Nach Le Chatelier¹⁶⁵⁾ gilt für die Dissoziation des BaO₂ in BaO und O dasselbe wie für die des CaCO₃ in CaO und CO₂, d. h. es entspricht jeder Temperatur ein bestimmter Dissoziationsdruck des Sauerstoffs. Dieser Druck beträgt bei

525°	20 mm Hg	735°	260 mm Hg
555°	25 "	750°	340 "
650°	65 "	775°	510 "
670°	80 "	785°	620 "
720°	210 "	790°	670 "

Zur raschen Einstellung des Gleichgewichts ist die Gegenwart von Wasserdampf erforderlich.

Die Oxydation des BaO bei Rotglut durch den Sauerstoff der Luft ist zuerst von Thénard¹⁶⁶⁾, dann von Rammelsberg¹⁶⁷⁾ und Boussingault¹⁶⁵⁾ studiert worden. Die Gegenwart gewisser Oxyde, wie CaO, MgO, CuO, scheint die Oxydation zu erleichtern (Liebig und Wöhler¹⁶⁹⁾, Wanklyn¹⁷⁰⁾). Zur technischen Darstellung erhitzt man nach Mond¹⁷¹⁾ BaCO₃, C, MgO im oberen Teile eines Ofens bis zu 1200°. Das hierbei entstehende BaO sinkt nach unten, wird durch einen Luftstrom auf 450 bis 550° abgekühlt und bei dieser Temperatur, bei der, wie obige Tabelle zeigt, die Dissoziationsspannung des O aus BaO₂ noch sehr klein ist, fast vollständig oxydiert.

Die Fähigkeit des Bariumoxyds, bei ca. 500° Sauerstoff aufzunehmen und ihn bei hoher Temperatur wieder abzugeben, wird zur technischen Darstellung des Sauerstoffs aus der Luft benutzt. Das Verfahren ist von Boussingault¹⁷²⁾ angegeben und von den Gebr. Brin¹⁷³⁾ vervollkommen worden. Es ist notwendig, die zu benutzende Luft vollständig von CO₂ und organischen Keimen, Staub usw. zu reinigen. Besonders geeignet ist poröses BaO, das nach dem Verfahren von Ch. Schenk-Bradley und Ch. Borrow Jacobs¹⁷⁴⁾ hergestellt ist.

Bariumsuperoxyd ist ein weißes Pulver; es wird beim Erhitzen durch H, H₂O, S, P, B, C, CO, SO₂ unter Wärmeentwicklung reduziert (Wöhler¹⁷⁵⁾, Thénard, Boussingault, l. c.). Mit Cl reagiert es unter Entwicklung von Sauerstoff (Baudrimont¹⁷⁶⁾).

Die Reduktion des BaO₂ durch Kohlenstoff oder Carbide geht unter so heftiger Wärmeentwicklung vor sich, daß durch die erreichten Temperaturen gleichzeitig vorhandene Metallsalze, selbst Aluminiumsalze reduziert werden (Schillbach¹⁷⁷⁾).

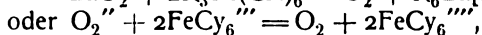
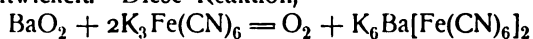
Bariumsuperoxyd verbindet sich mit Wasser unter geringer Wärmeentwicklung zu einem Hydrat, dem nach Thénard¹⁶⁶⁾, Schöne¹⁷⁸⁾, Convo¹⁷⁹⁾ und Grigorieff¹⁸⁰⁾ die Formel BaO₂ · 8H₂O, nach Berthelot¹⁸¹⁾ und de Forcrand¹⁸²⁾ die Formel BaO₂ · 10H₂O zukommt. Es entsteht in kristallisiertem Zustande (hexagonal) aus BaO₂ und H₂O und Ba(OH)₂ und H₂O₂, auch mit Acetylhyperoxyd (Erdmann¹⁸³⁾, Brodie¹⁸⁴⁾). Bei Anwesenheit von viel überschüssigem Wasserstoffsuperoxyd entsteht die Verbindung BaO₂ · H₂O₂, die man als Bariumsuperoxyd mit Kristallhydroperoxyd aufzufassen hat (Schöne, de Forcrand).

In Wasser ist Bariumsuperoxyd schwer, in Alkohol und Äther sehr schwer löslich. Die thermochemischen Daten sind von de Forcrand bestimmt worden. Die Bildungswärme des hydratisierten Superoxyds aus gelöstem Bariumhydroxyd beträgt 27110 cal.

Mit verdünnten Säuren (HCl) entwickelt es H₂O₂, mit konzentrierter Salzsäure dagegen Sauerstoff.

Die Wirkung von BaO₂ auf Metallsalze ist von Kaßner¹⁸⁵⁾ und Kwasnik¹⁸⁶⁾ untersucht worden.

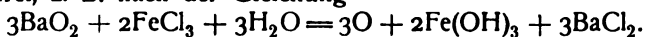
Ferricyankalium wird von BaO₂ reduziert und der gesamte Sauerstoff des letzteren entwickelt. Diese Reaktion,



geht quantitativ vor sich, so daß sie sich sowohl zur quantitativen Bestimmung von Ferricyankalium, wie zur Darstellung von reinem Sauerstoff im Laboratorium eignet. Ähnlich wie Ferricyankalium wirken die Salze von

Hg, Ag, Au, die unter Entwicklung von 2 Atomen Sauerstoff zu Metallen reduziert werden, z. B. $\text{HgCl}_2 + \text{BaO}_2 = \text{O}_2 + \text{Hg} + \text{BaCl}_2$.

Ferrisalze, ebenso wie Salze von Zn, Cd, Ni, Co, Pt, machen 1 Atom Sauerstoff frei, z. B. nach der Gleichung



Ferrosalze werden zu Ferrisalzen oxydiert, die Salze der Alkalien, Erdalkalien und des Magnesiums sind wirkungslos. Mit MnCl_2 reagiert fein zerstoßenes BaO_2 beim Erwärmen unter Bildung von Mn_2O_3 , BaCl_2 und Entwicklung von Sauerstoff (Spring und Lucien¹⁸⁷), mit Na_2CO_3 bildet es in wässriger Lösung BaCO_3 und Natriumsuperoxyd (Brodie¹⁸⁸).

Bariumsulfid, BaS. M.-G. = 169,46.

Darstellung. Bariumsulfid kann nach allen den beim Calciumsulfid (s. d.) angegebenen Methoden dargestellt werden; dieselben besitzen jedoch, besonders die Reduktion des Sulfats mit Kohle, eine größere technische Bedeutung als bei diesem, da das Bariumsulfid zur technischen Darstellung der meisten anderen Bariumverbindungen dient. Denn nicht das Carbonat, wie beim Calcium, sondern das Sulfat ist die in der Natur verbreitetste und daher billigste Verbindung des Bariums; und da dieses in Säuren unlöslich ist, muß es durch Reduktion zu Sulfid in eine lösliche Verbindung übergeführt werden. Daher sind eine große Anzahl von Verfahren ausgearbeitet worden, die diese Reduktion zu einer möglichst rationalen machen sollen. Sie unterscheiden sich jedoch nur durch technische Einzelheiten (cf. z. B. Graham-Otto, Lehrb. d. anorg. Chemie II, 3, 682, 1884).

Eigenschaften. Bariumsulfid ist ein nicht immer rein weißes Pulver. Im elektrischen Ofen schmilzt es und erstarrt zu regulären Kristallen (Mourlot¹⁸⁹) vom spezifischen Gewicht 4,0–4,3, bei noch höherer Temperatur reagiert es mit Kohle unter Carbidbildung. Beim Glühen im Wasserdampf entsteht Wasserstoff und Bariumsulfat (Regnault¹⁹⁰), Lauth¹⁹¹).

BaS ist im Wasser leicht löslich. Die Lösung ist hydrolytisch gespalten in Hydroxyd und Hydrosulfid. Sie enthält wahrscheinlich nur sehr wenig freie zweiwertige S'' -Ionen, sondern im wesentlichen nur einwertige SH' -Ionen. Durch Eindampfen im Vakuum bei Gegenwart von freiem Schwefel erhielt Schöne hexagonale Kristalle $\text{BaS} \cdot 6\text{H}_2\text{O}$. Sie verlieren beim Erwärmen auf 100° gleichzeitig Wasser- und Schwefelwasserstoff. In Alkohol sind sie unlöslich.

Bariumsulfid besitzt ebenso wie die entsprechenden Verbindungen des Ca und Sr die Fähigkeit der Phosphoreszenz, und zwar wurde diese Eigenschaft an ihm zum ersten Male beobachtet. Der Bologneser Schuhmacher Vincentius Casciorolus entdeckte nämlich am Anfang des 17. Jahrhunderts, daß mit Kohle geglühter Schwerspat eine im Dunkeln leuchtende Masse bildet. Der Einfluß von Verunreinigungen, Zusätzen und der Temperatur auf das Phosphoreszenzvermögen ist eingehend besonders von Lenard und Klatt^{191a}) untersucht worden.

Bariumsulfhydrat, $\text{Ba}(\text{SH})_2$.

Seine Lösungen entstehen beim Einleiten von H_2S in Barytwasser (Veley¹⁹²) und beim Auflösen von Bariumsulfid in H_2S -haltigem Wasser.

In festem Zustande kann es durch Einengen und Filtrieren unter Luftabschluß erhalten werden, auch durch Alkoholzusatz fällt es aus (H. Rose¹⁹³). Es bildet weiße undurchsichtige Säulen mit 4 Mol Kristallwasser, die beim Erhitzen ohne zu schmelzen ihr Wasser abgeben.

Die Lösungen des Bariumhydrosulfids besitzen einen ziemlich beträchtlichen Partialdruck von Schwefelwasserstoff.

Bariumpolysulfide.

Im Gegensatz zu Ca und Sr ist ein Trisulfid des Bariums bekannt. Dasselbe, BaS_3 , entsteht beim Zusammenschmelzen von BaS mit überschüssigem Schwefel und wird von diesem durch Überdestillieren desselben (nicht oberhalb 360°) getrennt (Schöne¹⁹⁴). Es entsteht auch beim Glühen von Bariumhydroxyd mit Schwefel gleichzeitig mit Bariumsulfat, von dem es durch Auflösung in Wasser gereinigt wird (Vauquelin¹⁹³). Es ist ein gelblich grünes Pulver, das bei 400° schmilzt und den überschüssigen Schwefel erst bei Rotglut vollständig abgibt. Es löst sich in warmem Wasser zu einer gelbroten, alkalisch reagierenden Lösung, die sich an der Luft leicht oxydiert.

Bariumtetrasulfid, BaS_4 . Eine konzentrierte Lösung desselben wurde unter bedeutender Wärmeentwicklung beim Zusammenreiben von 7 Teilen BaS, 4 Teile S und Wasser erhalten. Diese setzt beim Abkühlen unter Luftabschluß Kristalle von BaS_4 ab. Sie entstehen auch nach längerem Einengen einer Lösung von Bariumtrisulfid; doch meist mit Zersetzungsprodukten vermennt, ferner aus einer konzentrierten Lösung von Schwefel in $\text{Ba}(\text{HS})_2$ (Velej, Schöne, l. c.).

Die Kristalle enthalten 1 oder 2 Mol Kristallwasser, sie bilden lange rhombische Säulen, die in frisch vorbereitetem Zustande rot, später heller sind. Ihr spezifisches Gewicht beträgt 3,0 (Schöne). Beim Erwärmen über 100° geben sie zunächst Schwefel ab, dann Wasser und Schwefelwasserstoff.

BaS_4 löst sich in 2,53 Teilen Wasser von 15° zu einer roten Lösung. Es wird durch Wasser nicht irreversibel zersetzt, da es aus heißer Lösung umkristallisiert werden kann. Da diese an der Luft nach H_2S riecht, so muß sie infolge Hydrolyse einen beträchtlichen Partialdruck an diesem besitzen.

In Alkohol und Schwefelkohlenstoff ist es schwer löslich.

$\text{Ba}_4\text{S}_7 \cdot 25\text{H}_2\text{O}$. Schöne orangefarbene Kristalle dieser Zusammensetzung kristallisieren beim Einengen einer Lösung von Bariumtrisulfid aus, ehe sich das Tetrasulfid (siehe oben) abscheidet. Sie gehören dem monoklinen System an und haben die Eigenschaften der anderen Polysulfide; es ist nicht bekannt, ob sie ein chemisches Individuum oder eine isomorphe Mischung von BaS und BaS_4 darstellen (Schöne, l. c.).

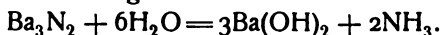
Bariumpentasulfid ist nur in amorphem Zustande bekannt; in diesem entsteht es durch Abdunsten einer konzentrierten Lösung von S in Bariumsulfid. Die gesättigte Lösung enthält beim Siedepunkt 5,28 Atome Schwefel auf 3 Atome Ba, also mehr als der Formel BaS_5 entspricht. Beim Erkalten kristallisiert zunächst Schwefel aus, bis das Gewichtsverhältnis $\text{Ba}:\text{S}_5$ erreicht ist. Beim weiteren Einengen entstehen jedoch Kristalle von BaS_4 und S (Schöne). Offenbar sind diese im Vergleich zu dem Pentasulfid die beständigen. Dasselbe kann daher nur entstehen, wenn keine Keime der Komponenten vorhanden sind, doch sind diese Verhältnisse zweifellos einer Neubearbeitung vom Standpunkte der Gleichgewichtslehre bedürftig.

Molekularverbindungen von Sulfiden und Oxyden des Bariums sind nicht bekannt.

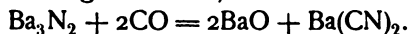
Bariumselenid BaSe wurde von Fabre ebenso wie CaSe dargestellt.

Bariumnitrid. Ba_3N_2 , **Stickstoffbarium.**

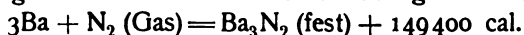
Dasselbe wurde von Maquenne¹⁹⁶⁾ durch Erhitzen von Bariumamalgalam im Stickstoffstrom auf helle Rotglut erhalten. Es bildet eine geschmolzene, kompakte Masse mit kristallinischem Bruch. Auf absoluten Alkohol wirkt es nicht zersetzend ein, jedoch auf Wasser und bildet Bariumhydroxyd und Ammoniak nach der Gleichung



Beim Erhitzen von Bariumnitrid mit Kohle im Stickstoffstrom erhielt Maquenne (l. c.) ein Gemenge von Bariumcyanid und -carbid. Kohlenoxyd wird bei Rotglut heftig absorbiert, nach der Gleichung

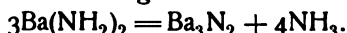


Die Bildungswärme des Bariumnitrids beträgt nach Guntz¹⁹⁷⁾



Nach Mentrel¹⁹⁵⁾ entsteht Bariumnitrid durch Erhitzen von Bariumamid über 650°.

Bariumamid, $\text{Ba}(\text{NH}_2)_2$, bildet sich nach Mentrel¹⁹⁸⁾ beim Überleiten von trockenem Ammoniak über metallisches Barium bei 280°. Es entsteht eine graue Flüssigkeit, die bei steigender Temperatur erst grün und dann rot wird. Bei 460° siedet sie unter Entwicklung von Wasserstoff und Stickstoff. Bei 650° geht sie in orangegelbes, festes Bariumnitrid Ba_3N_2 über. Bei der Abkühlung in einer Stickstoff- und Wasserstoffatmosphäre geht die umgekehrte Reaktion vor sich; es besteht immer ein Gleichgewicht gemäß der Gleichung



Bei steigender Temperatur verschiebt es sich von links nach rechts.

Oberhalb 28° reagieren nach Mentrel Barium und Ammoniak, wenigstens bei nicht zu hohen Temperaturen, nicht aufeinander. Unterhalb dieser Temperatur entsteht jedoch ein braunroter Körper, der bei weiterer Abkühlung auf -23° in eine blaue Flüssigkeit übergehen soll.

Die Zusammensetzung derselben soll $\text{Ba}(\text{NH}_3)_6$ sein, sie wird von Mentrel als Bariumammonium angesprochen. Sie ist unterhalb -15° beständig, oberhalb geht sie in Bariumamid über. Sie fängt an der Luft Feuer, zersetzt lebhaft Wasser, absorbiert Sauerstoff unter Bildung von BaO_2 , und NO_2 unter Bildung von $\text{Ba}(\text{NO}_2)_2$.

Leitet man Kohlenoxyd in seine Lösung in flüssigem Ammoniak, so entsteht Bariumcarbonyl $\text{Ba}(\text{CO})_2$, ein gelber Körper.

Bariumphosphid, Ba_3P_2 , wurde von Jaboin¹⁹⁹⁾ ebenso wie Ca_3P_2 durch Reduktion von Tribariumorthophosphat mit Kohle im elektrischen Ofen dargestellt. Seine Dichte beträgt 3,18. Durch Wasser wird es heftig zersetzt.

Bariumarsenid, Ba_3As_2 , wurde schon von Soubeiran²⁰⁰⁾ vermutet, aber erst von Lebeau²⁰¹⁾ durch Reduktion von Bariumarsenat mit Kohle im elektrischen Ofen dargestellt. Seine Dichte bei 15° beträgt 4,1. Seine Reaktionen sind denen des Calcium- und Strontiumarsenids analog, jedoch treten sie, entsprechend der größeren Positivität des Ba, viel leichter und heftiger ein als diese. So entzündet sich Ba_3As_2 im Sauerstoff schon bei 300° und verbrennt z. B. in flüssigem Brom mit blendendem Lichte.

Bariumcarbid, BaC_2 . M.-G. = 161,4.

Bariumcarbid wurde zuerst von Maquenne²⁰²⁾ durch Reduktion von BaCO_3 mit Magnesium, jedoch nicht in reinem Zustande, dargestellt. In

diesem wurde es erst von Moissan²⁰³⁾ im elektrischen Ofen analog dem Calciumcarbid aus Bariumoxyd und Kohle erhalten.

Es ist von den Erdalkalicarbiden am leichtesten schmelzbar; sein spezifisches Gewicht beträgt bei 18° 3,75.

Seine Eigenschaften sind ganz analog denen des CaC_2 , ebenso seine Reaktionen. Mit Wasser bildet es ebenfalls Acetylen.

Gegen atmosphärischen Stickstoff verhält sich Bariumcarbid anders als Calciumcarbid, indem es diesen zwar auch zu absorbieren vermag, jedoch nicht unter Bildung von Cyanamid, sondern von Cyanid nach der Gleichung $\text{BaC}_2 + \text{N}_2 = \text{Ba}(\text{CN})_2$.²⁰⁴⁾

Da jedoch auch das Cyanamid einer einfachen praktischen Verwertung zur Nutzbarmachung des Stickstoffs fähig ist (s. d.), so wird die technische Verwendung des Bariumcarbids wohl gegen die des Calciumcarbids auch bei dieser Reaktion zurückstehen.

Bariumsilicid, BaSi_2 , ist ebenso wie CaSi_2 (siehe dieses) von Bradley dargestellt worden. Es bildet mit verdünnten Säuren kein Silicoacetylen.

Bariumborid, BaB_6 , entsteht wie CaB_6 durch Reduktion von Bariumborat mit Kohle im elektrischen Ofen (Moissan und William²⁰⁵⁾). Es bildet kleine regelmäßige Kristalle vom spezifischen Gewicht 4,36.

Bariumhypochlorit ist in reinem Zustande nicht bekannt. Doch entsteht bei der Einwirkung von Chlor auf kristallisiertes Bariumhydroxyd ein dem Chlorkalk ähnliches, sehr leicht zersetzliches Produkt, das wohl jedenfalls Bariumhypochlorit enthält und sich allmählich in Bariumchlorat und -chlorid umwandelt (Grouvelle^{203a)}, Göpner²⁰⁶⁾, Königsl-Weisberg²⁰⁷⁾). Wasserfreier Baryt kann dagegen kein Chlor binden.

Bariumchlorit, $\text{Ba}(\text{ClO}_2)_2$, entsteht nach Millon²⁰⁸⁾ beim Einleiten von Chlorsäure- oder Unterchlorigsäureanhydrid in Barytwasser. Es ist in Wasser leicht löslich und sehr unbeständig, da es sich leicht in Chlorat und Chlorid umwandelt. Bei 230° zersetzt es sich in Chlorat und Chlorid.

Bariumchlorat, $\text{Ba}(\text{ClO}_3)_2$; M.-G. = 304,3, kann ebenso wie $\text{Ca}(\text{ClO}_3)_2$ durch Einleiten von Cl in Barytwasser oder durch dessen Neutralisation mit Chlorsäure hergestellt werden. Ferner kann man zu seiner Darstellung seine Schwerlöslichkeit in Alkohol benutzen, indem man Ammoniumchlorat mit Bariumcarbonat in Alkohol kocht. Da Ammoniumchlorat in diesem löslich ist, fällt ziemlich reines Bariumchlorat aus. Das Ammoniumchlorat kann man aus Kaliumchlorat und weinsurem oder schwefelsurem Ammonium darstellen. Da Kaliumsulfat und -tartrat in Alkohol schwer löslich sind, so erhält man bei Behandeln dieses Gemisches eine Lösung von chlorsaurem Ammonium (Pompyson²⁰⁹⁾). Brandau²¹⁰⁾ verwendet auf ähnliche Weise hergestelltes Ammoniumchlorat und zersetzt dies mit Bariumhydroxyd. Nach dem Abfiltrieren der Fäulde gibt die Lösung beim Einengen wasserhelle, monokline Säulen von Bariumchlorat mit 1 Mol Kristallwasser (Rammelsberg²¹¹⁾, Kopp²¹²⁾). Wächter²¹³⁾ will rhombische Kristalle erhalten haben. Ihr spezifisches Gewicht beträgt nach Bodeker²¹⁴⁾ 2,988, nach Schröder²¹⁵⁾ 2,99 (H_2O = 1). Die Zersetzung des entwässerten Salzes beginnt bei 300–310°. Ihre Geschwindigkeit ist zuerst gering, wächst dann bis zu einem Maximum und wird schließlich nach einer Abgabe von ca. 11 Proz. O_2 gleich Null. Derselbe Erscheinung zeigt sich bei höherer Temperatur; natürlich ist hier jedoch die absolute Geschwindigkeit größer. Der Rückstand besteht aus Perchlorat und Chlorid und geringen Spuren von Oxyd.

Ob dieses auch bei völliger Abwesenheit von Feuchtigkeit auftritt, ist nicht bekannt. Es ist möglich, daß das entwickelte Chlor sekundär durch Oxydation des durch geringe Spuren von Wasser aus BaCl_2 gebildeten HCl entsteht. Die Zersetzung erfolgt daher im wesentlichen nach der Gleichung



Die Bildungswärme des Bariumchlorats ($\text{Ba}(\text{ClO}_3)_2 \cdot \text{H}_2\text{O}$) aus den Elementen beträgt nach Thomsen 177570 cal, seine Lösungswärme in 600 Mol H_2O — 11240 cal.

Die Löslichkeit in Wasser ist von Kremers²¹⁷⁾ und Étard²¹⁸⁾ bestimmt worden. Nach ersterem lösen 100 Teile H_2O

bei 0°	22,8 Teile $\text{Ba}(\text{ClO}_3)_2$	60°	77,5 Teile $\text{Ba}(\text{ClO}_3)_2$
20°	37,0	80°	98,0
40°	52,1	100°	126,4

Nach Étard ist die Löslichkeit (g $\text{Ba}(\text{ClO}_3)_2$ in 100 g Lösung) zwischen 0 und 100° darstellbar durch die Gleichung

$$y = 19 + 0,382 t.$$

Die Dampfdruckerniedrigung beträgt nach Tammann²¹⁹⁾ bei 100° in mm Hg

Mol i. L.	0,5	1.	2.	3.
p—p ¹	15,8	33,3	70,5	108,2.

Das Refraktionsäquivalent von $\text{Ba}(\text{ClO}_3)_2$ -Lösungen für die A-Linie RA ist nach Gladstone²²⁰⁾, nach der n—1-Formel berechnet

°/o $\text{Ba}(\text{ClO}_3)_2$	R _t
22,70	54,09
23,75	52,72.

In Alkohol ist $\text{Ba}(\text{ClO}_3)_2$ nur schwer löslich.

Trockenes $\text{Ba}(\text{ClO}_3)_2$ verpufft mit Knall, wenn es mit leicht brennbaren Stoffen, z. B. Schwefel, vermischt ist. In der Feuerwerkerei wird es zur Herstellung von Grünfeuer verwendet.

Bariumperchlorat $\text{Ba}(\text{ClO}_4)_2$, M.-G. = 336,3, entsteht aus Bariumhydroxyd und Überchlorsäure, aus Barytwasser und überchlorsaurem Zink (gewonnen aus Zinkcarbonat, Kieselfluorwasserstoffsäure und Kaliumperchlorat) (Henry²²¹⁾), ferner durch Glühen von Bariumchlorat, allerdings nur im Gemisch mit Chlorid.

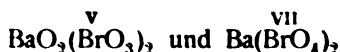
Aus Lösungen scheidet es sich mit 3 Mol. Kristallwasser ab (Potilitzin²²²⁾). Es ist isomorph mit Lithiumperchlorat und wie dieses hexagonal (Wyrouboff²²³⁾). 2 Mol H_2O werden schon bei Zimmertemperatur beim Stehen über konzentrierter Schwefelsäure abgegeben, das dritte jedoch erst gegen 100°.

Das Monohydrat hat also einen sehr geringen Dampfdruck. Das Trihydrat ist nur hygroscopisch, wenn es geringe Spuren freier Überchlorsäure enthält (Potilitzin). Es schmilzt nach Carnelley und O'Shea^{223a)} bei 505°, jedoch nicht ohne Zersetzung, die schon bei 460° eintritt. Der Rückstand enthält neben BaCl_2 auch geringe Spuren von BaO (cf. die Zersetzung von $\text{Ba}(\text{ClO}_3)_2$).

Bariumhypobromit ist in festem Zustande nicht bekannt. Eine Lösung desselben entsteht wahrscheinlich beim Lösen von Brom in Baryt-

wasser. Dieselbe wird von Knop²²⁴⁾ zur Bestimmung des Stickstoffs in Ammoniak empfohlen.

Barlumbromat, $\text{Ba}(\text{BrO}_3)_2$; M.-G. = 393,0, fällt, seiner Schwerlöslichkeit wegen, beim Vermischen von Brom mit Barytwasser aus. Am besten stellt man es nach Rammelsberg²²⁵⁾ dar durch Auflösen von trockenem essigsauerm Barium in einer konzentrierten siedenden Lösung von bromsaurem Kalium. Beim Abkühlen scheiden sich vierseitige Säulen ab; diese enthalten 1 Mol Kristallwasser, sehr fest gebunden, da sie es erst bei hoher Temperatur abgeben. Ihr spezifisches Gewicht beträgt 3,82. Beim Erhitzen auf $260-265^\circ$ beginnt die Zersetzung. Bei 300° zerfällt das Salz unter Knistern in ein weißes Pulver und es entwickelt sich Brom. Für die Zersetzungsgeschwindigkeit fand Potilitzin²²⁶⁾ zwei deutliche Maxima. Hieraus schließt er die Existenz zweier isomerer Perbromate. Die für diese angenommenen Formeln



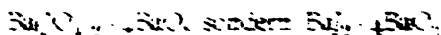
dürfen jedoch als eine wenig begründete Spekulation bezeichnet werden.

Bariumperbromat, $\text{Ba}(\text{BrO}_4)_2$, entsteht, wie angegeben, bei der Zersetzung des bromsauren Salzes, ferner kristallinisch aus einer alkoholischen BaCl_2 -Lösung bei Versetzen mit KJO_4 (Muir²²⁷⁾) und amorph aus BaCl_2 und überschüssiger HBrO_4 (Kämmerer²²⁸⁾).

Bariumjodat, $\text{Ba}(\text{JO}_3)_2$; M.-G. = 987,1, entsteht ebenso wie $\text{Sr}(\text{JO}_3)_2$ (s. d.); es ist jedoch nach Millon²²⁹⁾ zu beachten, daß die Lösung von Jodsäure und BaCl_2 gekocht werden muß, da der Niederschlag sonst $\text{Ba}(\text{OH})_2$ enthält.

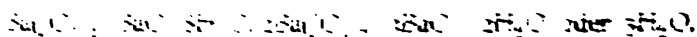
Die 1 Mol Kristallwasser enthaltenden Kristalle sind monoklin und mit chlorsaurem und bromsaurem Barium isomorph. Die Löslichkeit in Wasser ist gering, die Bestimmungen von Gay-Lussac, Rammelsberg und Kremers differieren nicht unbeträchtlich: bei 100° löst sich ein Teil des Salzes etwa in 150 Teilen Wasser, in der Kälte ist die Löslichkeit bedeutend geringer. In Säuren ist die Löslichkeit größer.

Beim Erhitzen zerfällt es sich unter Abgabe von Sauerstoff und Jod in Nitrat nach Rammelsberg²³⁰⁾ ein Körper zurück, der die Zusammensetzung $\text{Ba}_2\text{J}_2\text{O}_7$ hat. Dieser gibt im Wasser kein $\text{Ba}(\text{OH})_2$ ab, entwickelt aus HCl kein Cl_2 und gibt in verd. HNO_3 gelbes ohne Sauerstoffentwicklung die Reaktion der jodsauren Salze. Rammelsberg schreibt ihm daher nicht die Formel



zu. Von Kämmerer²³¹⁾ wird es vollständig zerlegt, verdünnte Schwefelsäure färbt das Ba und macht aus ihm Jodsäure frei.

Bariumperjodate. Das neutrale Salz $\text{Ba}_2(\text{JO}_4)_2$ ist nicht bekannt, sondern nur eine Reihe basischer Salze. Beim Glühen von Jodat entsteht, wie angegeben, ein Salz von der Forme $\text{Ba}_2(\text{JO}_4)_2$. Begleichen beim Erhitzen von $\text{Ba}_2\text{J}_2\text{O}_7$ mit BaO_2 beim Überleiten von überhitztem Dampf über Baryt und beim Erhitzen von $\text{Ba}_2\text{J}_2\text{O}_7$ mit BaO (Sackur und Oord²³²⁾). Auf flüssigem Jode entstehen, je nach der Art der Darstellung Salze von der Zusammensetzung



Es ist nicht unrichtig, aber wohl nicht als traglich zu gelten hat.

Bariumhydrosulfit, $\text{Ba}(\text{SO}_2)_2$, wurde ebenso wie $\text{Ca}(\text{SO}_2)_2$ von Moissan aus Bariumhydrid und Schwefeldioxyd dargestellt. Es ist in Wasser leicht löslich. Die Lösung hat stark reduzierende Eigenschaften.

Bariumsulfid, BaSO_3 , wird analog dem CaSO_3 (s. d.) dargestellt. Es wurde in zwei verschiedenen Kristallformen erhalten, nämlich von Muspratt²³²) in Prismen, von Fourcroy und Vauquelin²³³) in Tetraedern. Sie enthielten wechselnde geringe Mengen von Wasser. In reinem Wasser wie in Lösungen von Zucker ist es fast unlöslich (Weisberg²³⁴)), dagegen leicht löslich in allen Säuren, auch in schwefliger Säure. Beim Erhitzen der Lösung unter Luftabschluß zersetzt sich diese unter Bildung von Sulfat und einem Polythionat (St Pierre²³⁵)). Das trockene Salz zersetzt sich ebenso wie CaSO_3 und SrSO_3 in Sulfid und Sulfat. Durch Wasserstoffsuperoxyd wird es quantitativ zu Sulfat oxydiert (Claassen und Bauer²³⁶)).

Bariumthiosulfat, BaS_2O_3 , entsteht bei der langsamen Oxydation von Bariumsulfid an der Luft. Rein dargestellt wird es aus Natriumthiosulfat und Bariumchlorid (Forster²³⁷), Musnianski²³⁸)). Das so gewonnene Salz wird als Urtitersubstanz für die Jodometrie empfohlen. Nach Brodie²³⁹) entsteht es neben BaCO_3 beim Verreiben von Bariumsuperoxyd mit Schwefelkohlenstoff und Wasser. Es kristallisiert nach Rose²⁴⁰) und Letts²⁴¹) in Nadeln mit 1 Mol H_2O , das erst bei 170° entweichen soll. Beim weiteren Erhitzen zersetzt es sich in BaS , S , BaSO_4 .

In Wasser ist es ziemlich schwer löslich und wird durch Alkohol ausgefällt.

Bariumsulfat, BaSO_4 . M.-G. = 233,5.

Das Bariumsulfat kommt in der Natur als Schwerspat vor. Es ist die am längsten bekannte Bariumverbindung, die ihres hohen Gewichts wegen dem Metall den Namen gegeben hat ($\beta\alpha\rho\upsilon\varsigma$ schwer).

Künstlich erhält man Bariumsulfat auf trockenem Wege aus Bariumoxyd und Schwefelsäureanhydrid oder Schwefelsäure, doch nur, wenn geringe Feuchtigkeitsspuren vorhanden sind (Kuhlmann²⁴²)), ferner aus Bariumsuperoxyd und Schwefeldioxyd unter Wärme- und Feuererscheinung (Wöhler²⁴³)).

Nach Kuhlmann (l. c.) verhindert Äther, Methyl- und Äthylalkohol die Reaktion von Bariumoxyd und selbst wässriger Schwefelsäure.

Auf nassem Wege entsteht BaSO_4 aus allen Lösungen, in denen Ba^{++} - und SO_4^{--} -Ionen zusammentreffen, und zwar in amorpher oder feinkristallinischer Form, ferner durch Oxydation von BaS mit Salpetersäure.

De Schulten²⁴⁴) erhielt in maximo 0,5 mm lange Kristalle durch sehr langsames Füllen sehr verdünnter Lösungen, Sénarmont²⁴⁵) empfiehlt sehr langes Erhitzen der frisch gefällten Kristalle in Lösungen von HCl oder NaHCO_3 auf 250° im geschlossenen Glasrohr.

Der natürliche Schwerspat bildet rhombische Kristalle vom maximalen spezifischen Gewicht 4,487 (Schröder²⁴⁶)). Eine Beimengung des isomorphen Strontiumsulfats verringert die Dichte.

Das spezifische Gewicht des gefällten BaSO_4 beträgt nach de Schulten (l. c.) bei 18° 4,499.

Schwerspat zeigt nach Curie²⁴⁷) ein geringes eigenes elektrisches Leitvermögen. Die Abhängigkeit seiner Brechungsindices (n) von der Temperatur ist von Dafet²⁴⁸) bestimmt worden, und zwar ist die Größe

$$\frac{1}{n-1} \cdot \frac{dn}{dt}$$

für alle drei n ziemlich gleich 0,00004.

Beim Erhitzen zersetzt sich Bariumsulfat erst bei sehr hoher Temperatur²⁴⁹⁾, der Dissoziationsdruck des freien Schwefeltrioxyds ist also jedenfalls geringer als im Calcium- und Strontiumsulfat.

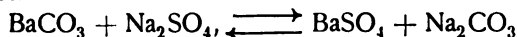
Im elektrischen Lichtbogen verflüchtigt es sich scheinbar unzersetzt.²⁵⁰⁾ Wasserstoff, Kohle und Kohlenoxyd reduzieren es bei hohen Temperaturen zu Bariumsulfid, selbst bei Weißglut (Berthier²⁵¹⁾), ähnlich wirkt Eisen und Zink (d'Heureuse²⁵²⁾). Durch andauerndes Behandeln mit HCl wird alle Schwefelsäure ausgetrieben (wahrscheinlich unterstützt durch mechanische Fortführung) und es bleibt BaCl₂ zurück.²⁵³⁾

Beim Glühen mit Chlorammonium und Chlorcalcium tritt teilweise Umsetzung ein (Rose²⁵⁴⁾), ebenso beim Zusammenschmelzen mit Alkalicarbonaten. Bei reichlichem Überschuß der letzteren (8–9 Mol auf 1 Mol BaSO₄) ist die Umsetzung praktisch vollständig, eine Tatsache, deren man sich ja in der analytischen Chemie bedient.

(Privatmitteilung von W. Meyerhoffer): Bezüglich des K₂CO₃ hat Meyerhoffer (Z. phys. Chem. **38**, 310, 1901) nachgewiesen, daß BaCO₃ + K₂SO₄ das stabile reziproke Salzpaar ist, BaSO₄ + K₂CO₃ wird daher beim Schmelzen in das erstere verwandelt. Der große Überschuß von K₂CO₃, den H. Rose anwandte, ist aus analytischen Gründen nötig, nämlich damit beim Auswaschen der Schmelze sich kein BaSO₄ zurückbildet. Im übrigen würde ein kleinerer Überschuß von K₂CO₃ genügen, um BaCO₃ + K₂SO₄ (+ etwas K₂CO₃) zu erzeugen, da BaCO₃ + K₂SO₄ beim Schmelzen nur sehr wenig abscheidet — etwa 5 % des vorhandenen Ba. W. M.

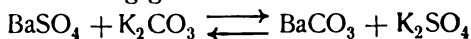
Bei Anwendung ungefähr äquivalenter Mengen stellt sich in der Schmelze ein Gleichgewicht zwischen BaCO₃, BaSO₄, Na₂SO₄, Na₂CO₃ ein, das bis jetzt noch nicht untersucht ist. Aus allen Angaben ist zu schließen, daß die Umsetzung in der Schmelze durch die Massenwirkung der Bestandteile geregelt wird. Man muß daher auch annehmen, daß die Schmelze homogen ist, d. h. daß ihre geschmolzenen Bestandteile sich gegenseitig lösen und mischen. Alle älteren Bestimmungen²⁵⁵⁾ geben nur die Zusammensetzung der erkalteten Schmelze an, die von der der flüssigen wahrscheinlich erheblich abweicht.

Die Reaktion



geht auch zwischen den festen Salzen vor sich, jedoch unter gewöhnlichen Umständen mit unmeßbar kleiner Geschwindigkeit. Spring²⁵⁶⁾ gelang es, sie durch Anwendung von Druck (6000 Atmosphären) zu beschleunigen. Nach wiederholten Kompressionen ging die Umsetzung immer weiter und schritt selbst nach Aufhebung des Druckes noch fort, da sich offenbar durch den Druck eine feste Lösung gebildet hatte. Die Umsetzung wurde jedoch nie vollständig, sondern machte bei einem Gleichgewicht von ungefähr 80 Proz. BaSO₄ und 20 Proz. BaCO₃ Halt, das unabhängig von der Richtung der Reaktion und der Art der Ausgangsstoffe war. Eine Temperaturerhöhung auf 120° und 160° schien die Reaktionsgeschwindigkeit merkwürdigerweise zu verringern.

Auch durch Lösungen von Alkalicarbonaten wird Bariumsulfat zum Teil in Bariumcarbonat verwandelt. Diese Reaktion ist von Dulong^{256a)}, Rose²⁵⁷⁾, Reinsch²⁵⁸⁾ und Guldberg und Waage²⁵⁹⁾ untersucht und von letzteren zur Begründung des Massenwirkungsgesetzes benutzt worden. Nach diesem muß bei der Reaktion



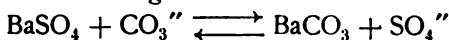
nach Erreichung des Gleichgewichts in Gegenwart von festem BaSO_4 und BaCO_3 das Verhältnis

$$\frac{C_{\text{K}_2\text{CO}_3}}{C_{\text{K}_2\text{SO}_4}}$$

in der Lösung konstant sein. Ist a die Menge des ursprünglich angewendeten K_2CO_3 (in Äquivalenten), b die entsprechende Menge K_2SO_4 und x das gebildete BaCO_3 , so erhielten sie bei 100°

a	b	$\frac{a-x}{b+x}$
3,5	0	3,9
1	0	4,7
2	0,25	4,0
2	0,50	4,0.

Die Übereinstimmung ist nicht sehr gut, weil die Reaktionsgleichung ohne Berücksichtigung der elektrolytischen Dissoziation aufgestellt wurde. Es gilt dann nämlich die Gleichung



und demgemäß

$$\frac{C_{\text{CO}_3''}}{C_{\text{SO}_4''}} = \text{konst.},$$

d. h. das Verhältnis der Carbonat- und Sulfat-Ionen, nicht das der ganzen Molekeln, muß konstant sein.

(Privatmitteilung von Meyerhoffer): Eine Wiederholung dieser Versuche von Guldberg und Waage ergab denn auch, daß die von diesen Autoren angenommene Konstanz von $\frac{C_{\text{K}_2\text{CO}_3}}{C_{\text{K}_2\text{SO}_4}}$ in Wirklichkeit nicht besteht, da Quotient vielmehr von der C_{K_2} abhängig ist, derart, daß mit steigender K_2 -Konzentration der Quotient abnimmt. Bezeichnet man mit ΣK_2 die Mole von $\text{K}_2\text{CO}_3 + \text{K}_2\text{SO}_4$ in 1000 Mol H_2O , so gelten hier bei resp. 25° , 80° und 100° :

25°			80°			100°		
ΣK_2	$\frac{C_{\text{K}_2\text{CO}_3}}{C_{\text{K}_2\text{SO}_4}}$	ΣK_2	$\frac{C_{\text{K}_2\text{CO}_3}}{C_{\text{K}_2\text{SO}_4}}$	ΣK_2	$\frac{C_{\text{K}_2\text{CO}_3}}{C_{\text{K}_2\text{SO}_4}}$	ΣK_2	$\frac{C_{\text{K}_2\text{CO}_3}}{C_{\text{K}_2\text{SO}_4}}$	ΣK_2
4,00	21	4,00	5,1	4,0	3,7			
11,11	15	8,30	4,4	7,30	3,1			
32,32	9,03	34,96	9,75	35,65	1,82			

Bei den untersten 3 Versuchen ist bereits Sättigung an K_2SO_4 eingetreten, die Bodenkörper sind demnach $\text{BaCO}_3 + \text{BaSO}_4 + \text{K}_2\text{SO}_4$. Daraus folgt weiter, daß auch bei diesen Temperaturen $\text{BaCO}_3 + \text{K}_2\text{SO}_4$ das stabile System ist. Von der zweiten Triade $\text{BaCO}_3 + \text{K}_2\text{SO}_4 + \text{K}_2\text{CO}_3$ ist die Löslichkeit bloß bei 25° untersucht worden. Sie beträgt in 1000 Molen H_2O 147,8 Mole K_2CO_3 und 0,05 Mole K_2SO_4 . W. M.

Auch A. Mikolajczak^{259a)} hat zeitlich nach, aber unabhängig von Guldberg und Waage diese Reaktion studiert und im Anschluß an Berthollet die richtigen Schlüsse daraus gezogen.

Die Bildungswärme des Bariumsulfats aus den Elementen beträgt nach J. Thomsen 338070 cal, aus Bariumoxyd und Schwefelsäureanhydrid 110590 cal.

Die Löslichkeit des BaSO_4 in Wasser ist außerordentlich gering. Sie beträgt nach einer älteren Angabe von Fresenius²⁶⁰⁾ 2,5 mg in einem Liter. Später gaben Fresenius und Hintz²⁶¹⁾ an, daß die Löslichkeit größer sei und ca. 10 mg betrüge. Doch ist diese Angabe, wie Küster²⁶²⁾ gezeigt hat, unrichtig und beruht auf einer falschen Bestimmungsmethode. Fresenius und Hintz bestimmten nämlich, wie viel BaSO_4 eine Lösung enthalten könnte, ohne freiwillig einen Niederschlag auszuscheiden; sie bestimmten daher nicht die Löslichkeit, d. h. die Konzentration, bei der die Lösung im Gleichgewicht mit dem festen Salz steht, sondern den erreichbaren Grad der Übersättigung. Küster berechnete die Löslichkeit aus der Leitfähigkeit der gesättigten Lösung bei 18,3° zu 2,35 mg im Liter.

Nach derselben Methode fand Holleman²⁶³⁾ bei 18,4° 2,33 mg und bei 37,7° 3,12 mg, Kohlrausch²⁶⁴⁾ 2,3 g bei 18°.

Alle diese Bestimmungen sind nach den Messungen von Hulett²⁶⁵⁾ an ziemlich grobkörnigem Material ausgeführt, da man durch feineres Zermahlen und Vergrößerung der Oberfläche eine größere Löslichkeit erhält. Ist die Teilchengröße nicht kleiner als $1,8 \mu$ ($1 \mu = 0,001 \text{ mm}$), so erhält man den von den oben genannten Autoren erhaltenen Wert von 2,29 mg bei 25°, bei Anwendung ganz fein gemahlenen Materials jedoch als Maximum 4,15 mg.

Diese Werte gelten für gefälltes Bariumsulfat; mit natürlichem Schwespat erhält man höhere Werte, nämlich 2,38 mg und als Maximum 6,18 mg. Ähnliche Differenzen zwischen dem gefällten und natürlichen Salz hatten auch Kohlrausch und Rose beobachtet; möglicherweise beruhen sie auf Verunreinigungen des natürlichen Minerals.

Der Theorie entsprechend ist die Löslichkeit noch geringer in Lösungen von Ba-Salzen und -Sulfaten, dagegen größer bei Anwesenheit von nicht gleichionigen Neutralsalzen und stärkeren Säuren als Schwefelsäure, wie u. a. Fresenius und Hintz feststellten. Doch haben ihre Angaben aus den oben besprochenen Gründen nur qualitative Bedeutung, ebenso wie diejenigen von Fraps²⁶⁶⁾, der die Zunahme der Löslichkeit in Lösungen von AlCl_3 , FeCl_3 und MgCl_2 bestimmte; das letztere Salz erhöht die Löslichkeit bedeutend weniger als die beiden ersten, jedenfalls weil diese infolge starker Hydrolyse erheblich sauer sind.

Nach Ostwald und Banthisch²⁶⁷⁾ ist die Löslichkeitszunahme bei 20° pro Liter in

n	HCl	HNO_3
0,2	0,017 mg	0,048 mg
0,5	0,055 "	0,084 "
1,0	0,088 "	0,106 "
2,0	0,130 "	0,137 "

Konzentrierte Lösungen wirken stärker lösend, besonders in der Wärme. Z. B. beträgt nach Haslam²⁶⁸⁾ die Löslichkeit in siedender 40 prozentiger HBr (5 n) 250 mg im Liter, in siedender 40 prozentiger HJ (3 n) 165 mg. Nach Schultz²⁶⁹⁾ sollen Säuren bei 100° mehr Bariumsulfat lösen als beim Sieden. In konzentrierter Schwefelsäure ist es leicht löslich, nämlich bis zu einem Gehalt von 10—12 Proz., was jedenfalls durch Bildung von Hydro-
zu erklären ist.

Beim Vermischen einer konzentrierten Bariumacetat- mit Aluminiumsulfatlösung erhielt Buchner²⁷⁰⁾ keinen Niederschlag von BaSO_4 , sondern eine dickliche, kleisterartige, durchscheinende Flüssigkeit, die ein klares Filtrat ergab. Dieses, sowie die ursprüngliche Lösung, schieden beim Verdünnen BaSO_4 aus. Buchner vermutet daher das Vorhandensein einer instabilen, kolloidalen, leichtlöslichen Modifikation des Bariumsulfats. Das Nichtausfallen des BaSO_4 wird aber vielleicht durch die Annahme erklärt, daß eine konzentrierte Aluminiumsulfatlösung hydrolytisch abgespaltene, kolloidal gelöste Tonerde enthält. Kolloidalen Lösungen (z. B. Gelatine, Eiweiß) kommt ja ganz allgemein die Fähigkeit zu, das Ausfallen schwerlöslicher Körper zu verhindern.²⁷¹⁾

Das elektrische Leitvermögen von gesättigten Bariumsulfatlösungen ist von Küster, Holleman, Hulett und Kohlrausch und Rose gemessen worden.

Nach letzteren beträgt es in reziproken Ohm

bei	0,80 ⁰	16,66 ⁰	18,85 ⁰	26,75 ⁰
$\times 10^6$:	1,11	2,14	2,44	3,30.

Für natürlichen Schwerspat ergaben sich etwas höhere Werte.

Bariumsulfat wird seiner Schwerlöslichkeit wegen zur gewichtsanalytischen Bestimmung von Barium wie von Schwefelsäure benutzt. Die Fällung ist aber nicht vollständig in Gegenwart der oben aufgeführten Stoffe, die die Löslichkeit erhöhen, ebenso von freiem Cl und Br und Metaphosphorsäure (Erdmann²⁷²⁾, Gutkowsky²⁷³⁾, Scheerer²⁷⁴⁾). Eine weitere Fehlerquelle ist die Fähigkeit des BaSO_4 , gelöste Stoffe mit niederzureißen und auch an viel Waschwasser nicht vollständig abzugeben. Bei Gegenwart von Eisen wird Ferrisulfat mit gerissen, das beim Glühen SO_3 abgibt. Daher kann unter Umständen die Schwefelsäurebestimmung bei Gegenwart von Eisen einen um 7 Proz. zu niedrigen Wert ergeben. Schneider²⁷⁵⁾ glaubt, daß sich eine feste Lösung des Eisensalzes im Bariumsulfat bildet und ein Verteilungsgleichgewicht zwischen festem Salz und Lösung eintritt. Richards²⁷⁶⁾, Ostwald²⁷⁷⁾ und Küster und Thiel²⁷⁸⁾ nehmen die Bildung eines anionischen Komplexes an, dem letztere die Formel $[\text{Fe}(\text{SO}_4)_2]^-$ erteilen.

Küster und Thiel beweisen ferner, daß die Bestimmung der Schwefelsäure auch bei Gegenwart von Eisen völlig richtige Werte ergibt, erstens wenn man für eine Beseitigung der Ferriionen während der Fällung Sorge trägt. Dies gelingt durch Ausfällen des Eisens durch Ammoniak und Auflösen des $\text{Fe}(\text{OH})_3$ nach Fällung des BaSO_4 , ferner durch den Zusatz von Oxalaten und Tartraten, welche die Bildung anionischer Fe^{+++} -Komplexe herbeiführen. Zweitens kann man die Bildung des anionischen Komplexes verhindern durch Fällung unter Abkühlen oder Einfließenlassen der heißen Sulfatlösung in BaCl_2 -Lösung. Lunge²⁷⁹⁾ schlägt zur Vermeidung von Fehlern das Ausfällen des Eisens durch Ammoniak und Trennung von der Lösung durch allerdings langwieriges Auswaschen vor.

Die Reduktion von Ferriionen zu Ferroionen verhindert das Ausfällen des Eisens nicht vollständig.

Nach Richards (l. c.) wird ebenso wie Eisen auch Chrom und Aluminium von BaSO_4 mitgerissen, auch Bariumchlorid, und zwar um so mehr, je konzentrierter die Lösung von Salzsäure ist.²⁸⁰⁾ Auch H. E. Patton^{280a)} hat die Adsorptionsfähigkeit von BaSO_4 für Metallsalze untersucht.

Die große Adsorptionsfähigkeit des Bariumsulfats erklärt wohl auch die von Vanino²⁸¹⁾ gemachte Beobachtung, daß gepulverter Schwerspat Kolloide aus ihren Lösungen sehr leicht ausfällt und daher als Reagens zur Unterscheidung kolloidaler und wirklicher Lösungen benutzt werden kann.

Von den Bariumsalzen der Polythionsäuren sind folgende dargestellt worden.

Bariumdithionat BaS_2O_6 , aus dem Mangansalz durch Bariumhydroxyd oder -sulfit (Gay-Lussac und Welter²⁸²⁾, Stas²⁸³⁾). Es kristallisiert rhombisch mit 2 und monoklin mit 4 Mol H_2O (Heeren²⁸⁴⁾).

Sein spezifisches Gewicht beträgt 3,142. Es ist leicht löslich in Wasser und zwar bei 18° in 4,04, bei 100° in 1,1 Teilen Wasser. Die gesättigte Lösung siedet bei 102°. In Alkohol ist es sehr schwer löslich.

Eine 10prozentige Lösung verändert sich nicht beim Kochen, sondern zersetzt sich erst bei 155° in Schwefeldioxyd und Sulfat (Deregibus²⁸⁵⁾). Durch Natriumamalgam wird es zu Sulfit reduziert (Otto²⁸⁶⁾).

Bariumtrithionat, BaS_3O_6 , entsteht durch Neutralisation von freier Trithionsäure mit Bariumhydroxyd als schwer lösliches, in Alkohol unlösliches Salz, ferner durch Einwirkung von Schwefelchlorür auf Bariumsulfid (Spring²⁸⁷⁾, Keßler²⁸⁸⁾). Es kristallisiert in glänzenden Blättchen mit 2 Mol H_2O . Die wässrige Lösung ist leicht zersetzlich.

Bariumtetrathionat, BaS_4O_6 , wurde von Keßler²⁸⁸⁾ durch Neutralisation von Tetrathionsäure mit Bariumhydroxyd und Fällung durch Alkohol dargestellt, ferner durch Oxydation des Thiosulfats mit Jod. Es kristallisiert in Tafeln mit 2 Mol H_2O , von denen eins im Vakuum entweicht (Plessy²⁸⁹⁾, Fordos und Gélis²⁹⁰⁾). Beim Erhitzen wird es zersetzt.

Bariumpentathionat, BaS_5O_6 , entsteht ebenfalls aus Pentathionsäure und Bariumcarbonat nach Zusatz von Alkohol, ferner durch Einwirkung von Schwefelchlorür auf Bariumthiosulfat (Spring, l. c.). Es kristallisiert in tetragonalen Prismen mit 2 oder 3 Mol H_2O (Lewes²⁹¹⁾). Es ist leicht löslich in Wasser, schwer löslich in Alkohol. Bei starkem Erhitzen entweicht Schwefel, Schwefeldioxyd und Schwefelwasserstoff; es bleibt nur Bariumsulfat zurück. Die wässrige Lösung entwickelt beim Kochen Schwefeldioxyd; durch Chlor, unterchlorige Säure und Permanganat in stark saurer Lösung wird es quantitativ zu Sulfat und Schwefelsäure oxydiert, nicht aber durch Jod.

Alle diese Ba-Salze der vom Schwefel abgeleiteten Säuren unterscheiden sich vom Sulfat durch ihre relativ hohe Löslichkeit.

Bariumhyponitrit, $\text{Ba}(\text{NO})_2$, wurde zuerst von Zorn²⁹²⁾ durch Vermischen konzentrierter Lösungen von Natriumhyponitrit und Ba-Salzen erhalten. Ferner von Maquenne und Kirchner nach der bei $\text{Ca}(\text{NO}_3)_2$ beschriebenen Weise. Es kristallisiert wasserfrei, nach Maquenne mit wechselnden Mengen, nach Kirchner mit 4 Mol H_2O , die aber leicht abgegeben werden. Es löst sich in starken Säuren unter stürmischer Stickoxydulentwicklung, dagegen unzersetzt in verdünnter Essigsäure und kann aus dieser Lösung durch Ammoniak und Bariumhydroxyd wieder gewonnen werden.

Setzt man zu einer Suspension des Salzes in Wasser verdünnte Schwefelsäure, so löst es sich und die Lösung bleibt neutral, bis sie nicht mehr als ein Äquivalent H_2SO_4 auf ein Äquivalent Ba enthält (Zorn). Es muß daher ein leicht lösliches saures Salz $(2\text{Ba}(\text{NO})_2 \cdot \text{H}_2\text{SO}_4)$ entstanden sein, welches keine merkliche Menge Wasserstoffionen abspaltet. In festem Zustande ist dieses Salz nicht erhalten worden.

Bariumnitrososulfat, $\text{BaSO}_3(\text{NO})_2$, wurde von Haga und Divers²⁹³) aus dem entsprechenden Na-Salz mit Bariumhydroxyd erhalten. Es ist in Wasser löslich und braust in Säuren unter Bildung von BaSO_4 auf.

Stickoxydschwefelsaures Barium wurde von Hantzsch²⁹⁴) als Doppelsalz mit dem entsprechenden K-Salze dargestellt. Es besitzt die Zusammensetzung $\text{K}_2\text{Ba}(\text{SN}_2\text{O}_5)_2$.

Bariumsalze der **Amido-** und **Imidoschwefelsäure** sind von Divers und seinen Mitarbeitern dargestellt worden (vergl. die entsprechenden Ca-Verbindungen).

Bariumnitrit, $\text{Ba}(\text{NO}_2)_2$, wurde zuerst durch schwaches Glühen von Bariumnitrat von Heß²⁹⁵) dargestellt, von Fritzsche²⁹⁶) durch Einleiten der beim Erwärmen von rauchender Salpetersäure entweichenden Dämpfe in Barytwasser, von Zorn²⁹⁷) durch Reduktion von Bariumnitratlösung mit schwammigem Blei beim Kochen, von Rammelsberg²⁹⁸) aus Silbernitrit und Bariumchlorid. Nach Arndt²⁹⁹) und Vogel³⁰⁰) ergibt nur die letzte Methode ein reines Präparat, wenn man die vom ausgeschiedenen AgCl abfiltrierte Lösung mit konzentriertem Alkohol fällt.

Matuschek³⁰¹) erhielt es durch Umsetzung äquivalenter Mengen von BaCl_2 und NaNO_2 bei Gegenwart von wenig Wasser; doch geht diese Umsetzung nicht vollständig vor sich, da mit dem entsprechenden NaCl gleichzeitig BaCl_2 ausfällt. Nach Witt und Ludwig³⁰²) wird dieser Übelstand vermieden, wenn man die äquivalenten Salzmengen anstatt mit Wasser mit konzentrierter NaNO_2 -Lösung behandelt. Hierdurch wird die Löslichkeit des Kochsalzes vermindert und die Umsetzung begünstigt. Von dem sehr leicht löslichen überschüssigen NaNO_2 wird das $\text{Ba}(\text{NO}_2)_2$ durch Kristallisation getrennt. Die von Meyerhoffer³⁰³) für diese Methode gegebene phasentheoretische Erklärung ist wohl nicht anwendbar, weil das Bariumnitrit bei der Umsetzung nicht als Bodenkörper auftritt, sondern in Lösung bleibt und erst durch nachträgliche Kristallisation erhalten wird.

Bariumnitrit kristallisiert nach Vogel hexagonal mit 1 Mol H_2O , doch enthält das Präparat häufig etwas weniger Wasser, 5–6 Proz. anstatt der berechneten 7,28 Proz.

Besonders schöne Kristalle erhält man, wenn man eine konzentrierte Lösung mit absolutem Alkohol überschichtet. Fock³⁰⁴) erhielt bei langsamem Verdunsten wasserfreie Kristalle.

Die Löslichkeit in 100 ccm Wasser beträgt nach Vogel

bei	g $\text{Ba}(\text{NO}_2)_2$	Dichte der gesättigten Lösung
0°	58	1,40
20°	63	1,45
25°	71	1,50
30°	82	1,52
35°	97	1,61

In Wasser-Alkoholgemischen beträgt die Löslichkeit in 100 ccm bei 20° in 10 prozentigem Alkohol 49,30 g $\text{Ba}(\text{NO}_2)_2 \cdot \text{H}_2\text{O}$

30	"	18,41	"
50	"	9,11	"
70	"	2,66	"
90	"	0,00	"

Die Dichte einer 15 prozentigen wässrigen Lösung ist bei 16° 1,1140.

Mit Kaliumnitrit kristallisiert es aus der gemeinsamen Lösung in feinen Nadeln von der Zusammensetzung $2\text{KNO}_2\text{Ba}(\text{NO}_3)_2$ aus.

Bariumnitrat, $\text{Ba}(\text{NO}_3)_2$. M.-G. = 261,5. Das salpetersaure Barium kommt in der Natur als Barytsalpeter vor. Dargestellt wird es durch Einwirkung von Salpetersäure auf Bariumhydroxyd oder -carbonat, auch -sulfid. Doch entstehen bei der letzteren Darstellungsweise infolge der reduzierenden Wirkung des entwickelten H_2S immer Spuren von Ammoniumnitrat. Ferner kann es auch, seiner geringen Löslichkeit wegen, im Gegensatz zu den anderen Erdalkalinitraten durch Vermischen einer konzentrierten BaCl_2 -Lösung mit einem Alkalinitrat³⁰⁵⁾ oder HNO_3 dargestellt werden.

Eigenschaften. Das wasserfreie Salz schmilzt nach Carnelley³⁰⁶⁾ und Le Chatelier³⁰⁷⁾ bei 593° . Gemenge mit NaNO_3 und KNO_3 haben natürlich einen geringeren Schmelzpunkt. In Gemisch mit letzterem liegt das Minimum bei $278,5^\circ$. Dies Eutektikum enthält³⁰⁸⁾ 29,53 Proz. $\text{Ba}(\text{NO}_3)_2$. Beim Glühen zersetzt es sich in Ba_3O_4 , O, N, N_2O_3 (Rivière³⁰⁹⁾, Rammelsberg³¹⁰⁾). Welche Zersetzungsprodukte entstehen, hängt jedenfalls von der Glüh-temperatur, der Abkühlungsgeschwindigkeit und dem Luftzutritt ab. Sein spezifisches Gewicht beträgt im Mittel aus verschiedenen Bestimmungen 3,23 (Clarke³¹¹⁾). Das Salz kristallisiert bei gewöhnlicher Temperatur aus der gesättigten Lösung ohne Kristallwasser in klaren oder mattweißen Würfeloktaedern. Zwischen 0 und 12° erhielt Hirzel³¹²⁾ Kristalle mit 2 Mol Kristallwasser.

Die Bildungswärme des Bariumnitrats aus den Elementen beträgt nach Thomsen 226240 cal, die Lösungswärme in 460 Mol H_2O — 9400 cal.

Im Wasser ist Bariumnitrat nicht sehr löslich.

Die Löslichkeit ist von Gay-Lussac³¹³⁾, Mulder³¹⁴⁾, Nordenskjöld³¹⁵⁾ und Étard³¹⁶⁾ bestimmt worden. Es lösen sich

in 100 g H_2O			zu 100 g Lösung		
bei	0°	5,2 g $\text{Ba}(\text{NO}_3)_2$ (M.)	$0,9^\circ$	4,3 g $\text{Ba}(\text{NO}_3)_2$ (É.)	
	10°	7,0 "	$2,1^\circ$	4,9 "	
	20°	9,2 "	6°	5,6 "	
	30°	11,6 "	10°	6,4 "	
	40°	14,2 "	18°	7,7 "	
	50°	17,1 "	$28,5^\circ$	9,7 "	
	60°	20,3 "	52°	14,9 "	
	70°	23,6 "	73°	19,4 "	
	80°	27,0 "	110°	27,4 "	
	90°	30,6 "	134°	32,5 "	
	100°	32,2 "	150°	34,9 "	
			171°	38,3 "	
			215°	45,8 "	

Das spezifische Gewicht ist nach Gerlach³¹⁷⁾ bei $19,5^\circ$

g $\text{Ba}(\text{NO}_3)_2$ in 100 g H_2O :	1	2	3	4	5	6	7
s =	1,009	1,017	1,025	1,034	1,042	1,050	1,060
	8	9	10				
	1,069	1,078	1,087				

Die Löslichkeit des Bariumnitrats ist infolge Zurückdrängens der Disso-

ziation geringer als in reinem Wasser in Gegenwart eines gleichionigen Salzes, also eines Bariumsalzes oder Nitrats. Daher gelingt seine Darstellung durch Ausfällen von BaCl_2 mit konzentrierter HNO_3 (siehe oben). Étard³¹⁸⁾ hat die Löslichkeit des $\text{Ba}(\text{NO}_3)_2$ in der gesättigten Lösung von BaCl_2 bestimmt.

Er fand in 100 g Lösung

bei — 7°	21,4 g BaCl_2	4,0 g BaN_2O_6
— 1°	23,0 "	4,0 "
+ 10°	24,7 "	6,1 "
+ 32°	26,6 "	7,7 "
+ 38°	26,7 "	7,8 "
+ 48°	28,1 "	8,0 "
+ 66°	28,0 "	10,0 "
+ 79°	30,3 "	11,2 "
+ 155°	32,5 "	23,1 "
+ 210°	32,5 "	31,9 "

Die Siedepunkte von $\text{Ba}(\text{NO}_3)_2$ -Lösungen sind von Smits³¹⁹⁾ und Gerlach³²⁰⁾ bestimmt worden.

Mol in 1000 H_2O	dt (Smits)	$\frac{dt}{m}$	i
0,0461	+ 0,065°	1,410	2,71
0,0868	+ 0,104°	1,210	2,33
0,4233	+ 0,466°	1,101	2,12
0,8890	+ 0,911°	1,025	1,92
g $\text{Ba}(\text{NO}_3)_2$ in 100 H_2O		t (Gerlach)	
12,5		100,5°	
26,0		101°	
27,5		101,1°	

Für die Gefrierpunktserniedrigungen sehr verdünnter Lösungen liegen Präzisionsbestimmungen von Hausrath³²¹⁾ vor.

Mol in 1000 H_2O	dt	$\frac{dt}{m}$
0,000383	— 0,002140°	5,58
0,000763	— 0,004007°	5,34
0,001259	— 0,006654°	5,28
0,001733	— 0,009112°	5,26
0,002200	— 0,01150°	5,22
0,002681	— 0,01401°	5,22
0,003158	— 0,01628°	5,16
0,003646	— 0,01892°	5,19
0,004185	— 0,02131°	5,15
0,008552	— 0,04311°	5,05

Die Gefrierpunkte konzentrierter Lösungen sind von de Coppet³²²⁾ bestimmt.

g $\text{Ba}(\text{NO}_3)_2$ in 100 H_2O	t
2,25	— 0,4°
4,5	— 0,7°

Die innere Reibung ist nach Wagner³²³⁾ bei 25°

Mol im Liter	η	S_{25}°
$\frac{1}{2}$	1,0437	1,0518
$\frac{1}{4}$	1,0214	1,0259
$\frac{1}{8}$	1,0084	1,0130.

Die Abhängigkeit desselben von der Temperatur ist ebenfalls von Wagner³²⁴⁾ bestimmt worden.

Das Äquivalentleitvermögen von $\text{Ba}(\text{NO}_3)_2$ ist bei 38° nach Kohlrausch und Grüneisen^{324a)}.

gr Äqu. i. Liter	0,0001	0,0002	0,0005	0,001	0,002
λ	115,32	114,05	113,30	111,72	109,50
gr Äqu. i. Liter	0,005	0,01	0,02	0,05	0,1
λ	105,29	100,96	95,66	86,81	78,94
gr Äqu. i. Liter	0,2	0,5			
λ	70,18	56,60			

Das Äquivalentleitvermögen bei 0° ist nach Kahlenberg³²⁵⁾

v	1	8	16	32	64	128	256	512	1024	2048
λ_0	41,9	45,6	50,4	55,2	59,3	62,6	64,9	66,7	67,9	68,0

Die Überföhrungszahl des Anions ist nach Noyes³²⁶⁾ in 0,02-Lösung 0,5441, in 0,1-Lösung 0,5450, also unabhängig von der Konzentration; es sind also im Gegensatze zu BaCl_2 (cf. dieses), wie allgemein bei den Nitraten, keine komplexen Ionen in einigermaßen verdünnten Lösungen vorhanden.

Das Bariumnitrat wird in der Feuerwerkerei zur Herstellung von Grünfeuer verwendet, ferner in der Sprengstofftechnik als Ersatz für Kalisalpeter. Es dient außerdem zur Darstellung von reinem BaO .

Ein Doppelsalz mit KNO_3 ist von Walbridge^{326a)} dargestellt worden.

Bariumhypophosphit, $\text{Ba}(\text{H}_2\text{PO}_2)_2$, entsteht ebenso wie das analoge Calciumsalz durch Zersetzung von Bariumphosphid mit Wasser oder Auflösung von Phosphor in einer Lösung von Bariumhydroxyd oder -Sulfid beim Kochen (Rose, Würtz).

Es kristallisiert mit 1 Mol H_2O in perlmutterglänzenden Nadeln oder in Prismen (Rammelsberg³²⁷⁾), oder aus sauren Lösungen wasserfrei (Würtz). Die wasserhaltigen Kristalle geben das Mol Kristallwasser bei 100° leicht ab. Bei Luftabschluß erhitzt, färbt sich das wasserfreie Salz, vielleicht durch Auftreten von Phosphor, rötlich, und beim Glöhen zersetzt es sich nach Rammelsberg in Bariumpyro- und -metaphosphat und selbstentzündlichen Phosphorwasserstoff, der entweicht. Es findet also Zerfall einer mittleren Oxydationsstufe des Phosphors (Hypophosphit) in eine höhere (Phosphat) und eine niedere (Phosphorwasserstoff) statt (s. allgem. Bd.: Theorie d. Oxydations- und Reduktionsprozesse).

In Wasser ist es leicht löslich, und zwar in 3,5 Teilen kaltem und 3 Teilen warmem Wasser, und wird aus der wässrigen Lösung durch Alkohol gefällt.

Bariumhydrophosphit hat nach Kraut³²⁸⁾ die Formel BaHPO_3 , im Gegensatz zu älteren Angaben, die auf den Analysen von mit Phosphat verunreinigten Präparaten beruhten. Dargestellt wird es aus dem entsprechenden Ammoniumsalz und Bariumchlorid.

Es kristallisiert wasserfrei und gibt beim Glöhen Wasserstoff und

Phosphor ab. In Wasser ist es schwer löslich, leicht in Ammoniumsalz-lösungen. Beim Kochen in Wasser zerfällt es hydrolytisch in ein unlösliches basisches Salz und ein gelöst bleibendes saures (Dulong).

Bariumdihydrophosphit, $\text{Ba}(\text{H}_2\text{PO}_3)_2$, entsteht beim Behandeln des vorigen Salzes mit phosphoriger Säure nach Eindunsten im Vakuum oder über Schwefelsäure (Rose³²⁹), ferner beim Neutralisieren von phosphoriger Säure mit einer ungenügenden Menge Bariumhydroxyd und der unvollständigen Zersetzung des neutralen Salzes mit Schwefelsäure (Würtz³³⁰).

Rammelsberg³³¹) hat ferner saure Salze von der Zusammensetzung $2(\text{BaHPO}_3)\text{H}_3\text{PO}_3 \cdot 8\text{H}_2\text{O}$ und $2(\text{BaHPO}_3)_2 \cdot 3(\text{H}_3\text{PO}_4)2\text{H}_2\text{O}$ dargestellt.

Beim Glühen aller dieser Salze entweicht zunächst Wasser, dann Wasserstoff und Phosphor-Wasserstoff, während ein Gemenge von Pyro- und Metaphosphaten zurückbleibt.

Bariumhypophosphat, BaPO_3 , wurde von Salzer³³²) durch Fällern des entsprechenden Natriumsalzes mit Bariumchlorid in wasserfreiem Zustande erhalten. Es ist in Wasser und schwachen Säuren schwer löslich, löslich in Salzsäure und Unterphosphorsäure. Die wässrige Lösung wird durch den Sauerstoff der Luft nicht oxydiert.

Saures Bariumhypophosphat, $\text{Ba}(\text{HPO}_3)_2$, wurde von Salzer aus der Lösung des neutralen Salzes in Unterphosphorsäure erhalten, ferner ebenfalls aus dem entsprechenden Na-Salze und BaCl_2 . Joly³³³) stellte es durch Behandeln der Oxydationsprodukte von Phosphor an der Luft mit dem vierten Teil der zur Neutralisation erforderlichen Menge Bariumcarbonat dar.

Das Salz entsteht zuerst gelatinös, geht aber bald, besonders beim Erwärmen, in den kristallinen Zustand über. Es bildet monosymmetrische Kristalle mit 2 Mol H_2O , die beim Kochen mit Wasser sich in neutrales Salz und Säure umwandeln. Ob das Salz auch bei gewöhnlicher Temperatur instabil ist, bedarf noch der Untersuchung.

Aus verdünnter HNO_3 läßt es sich leicht umkristallisieren. Beim Glühen entsteht Metaphosphat.

Bariumorthophosphat.

Es sind wie beim Calcium alle drei möglichen Salze wohl bekannt, nämlich

1. das Bariumdihydroorthophosphat, $\text{Ba}(\text{H}_2\text{PO}_4)_2$,
2. das Bariummonohydroorthophosphat, BaHPO_4 ,
3. das Bariumanhydroorthophosphat, $\text{Ba}_3(\text{PO}_4)_2$.

Über ihre Löslichkeit in Wasser und Säuren gilt dasselbe wie für die entsprechenden Calcium- und Strontiumverbindungen (s. d.). Ebenso wie diese zerfallen sie mit Wasser in einen sauren und einen basischen Bestandteil, z. B. das primäre Salz in sekundäres, welches seiner Schwerlöslichkeit wegen ausfällt, und freie Phosphorsäure. Der Betrag dieser Spaltung ist von Joly³³⁴) bei 15° untersucht worden, der eine gewogene Menge Bariumdihydrophosphat in 100 ccm Wasser auflöste, von dem sich ausscheidenden sekundären Salz abfiltrierte und in der Lösung sowohl das Barium wie die Phosphorsäure analysierte. Diese Größen waren einander nicht äquivalent.

g $\text{Ba}(\text{H}_2\text{PO}_4)_2$ in 100 g H_2O	in der Lösung		Mol im Liter		$\frac{\text{Mol } \text{P}_2\text{O}_5}{\text{Mol BaO}}$
	g BaO	g P_2O_5	BaO	P_2O_5	
0,96	0,395	0,39	0,0257	0,0275	1,07
2,83	1,05	1,10	0,0685	0,0775	1,13
5,53	1,40	1,84	0,0913	0,1296	1,42
10,28	2,33	3,28	0,152	0,231	1,52
20,22	3,86	6,13	0,252	0,432	1,71
30,30	5,12	8,88	0,334	0,625	1,87
45,60	7,26	13,15	0,473	0,926	1,96
72,40	11,20	20,73	0,731	1,460	2,00

Dieselben Zahlen ergeben gleichzeitig die Löslichkeit des sekundären Bariumhydrophosphats in Phosphorsäure, da ja dieses Salz den Bodenkörper bildet.

Die Löslichkeit desselben in reinem Wasser ist nicht genau bekannt, weil alle älteren Angaben aus den beim Ca (cf. S. 147) angeführten Gründen nicht zuverlässig genug sind. So gibt Malaguti³³⁵) an, daß es sich in 10000 Teilen H_2O , Bischof³³⁶) in 20570 Teilen bei 20° löst. Es löst sich wegen der Schwäche der Phosphorsäure leichter in verdünnten Säuren, auch in Kohlensäure (Setschenow³³⁷) und schwefliger Säure (Gerland³³⁸)), ferner in den Lösungen von Ammoniumsalzen, besonders bernsteinsaurem Ammonium, die nicht nur als ungleichionige Salze, sondern auch durch Komplexbildung und Erhöhung der Hydrolyse wirken. In konzentrierter HNO_3 (spez. Gew. 1,275) ist es schwer löslich.

Bariumanhydrophosphat ist in Wasser sehr schwer löslich.

Eigenschaften der einzelnen Salze und ihre Darstellung.

1. Bariumdihydrophosphat kristallisiert wasserfrei in triklinen, luftbeständigen Kristallen und sauren Bariumphosphatlösungen aus (Erlenmeyer³³⁹)). Bei Rotglut spaltet sich Wasser ab.

2. Bariumhydrophosphat. Entsteht zuerst amorph, dann kristallinisch durch Ausfällen einer neutralen Bariumlösung mit Natriumhydrophosphat (Joly, l. c., Skey³⁴⁰)).

Bariumanhydrophosphat entsteht beim Versetzen einer neutralen Ba-Lösung mit tertiären Alkaliphosphaten oder sekundären Alkaliphosphaten und Ammoniak. Es kristallisiert mit 1 Mol H_2O (Rammelsberg³⁴¹)).

Seine Bildungswärme ist wie die der anderen Salze aus der Neutralisationswärme von Berthelot³⁴²) und Joly³⁴³) bestimmt worden.

Bariumkaliumorthophosphat BaKPO_4 kristallisiert nach de Schulten³⁴⁴) in Würfeln mit 10 Mol H_2O . Es wird dargestellt beim Zusatz von Na_3PO_4 zu einer konzentrierten Lösung von Bariumhydroxyd und Kaliumsilicat. Zu seiner Bildung ist langsame Abkühlung notwendig.

Bariumnatriumorthophosphat, BaNaPO_4 , ebenfalls im regulären System mit 18 H_2O . Es fällt an Stelle des Bariumanhydrophosphats aus, wenn die Lösung einen großen Überschuß von Na-Ionen enthält (Villiers³⁴⁵)). In kaltem Wasser ist es schwer löslich, durch heißes wird es hydrolysiert.

Bariumapatit, $3\text{Ba}_3(\text{PO}_4)_2 \cdot \text{BaCl}_2$, ein Doppelsalz mit BaCl_2 , kommt in der Natur vor. Künstlich kann es nach Deville und Caron³⁴⁶) beim Zusammenschmelzen von $\text{Ba}_3(\text{PO}_4)_2$ und viel BaCl_2 , nach Erlenmeyer³⁴⁷) beim Eindampfen einer salzsauren Lösung von $\text{Ba}_3(\text{PO}_4)_2$ und BaCl_2 dargestellt werden.

Die Bariumsalze der Pyro- und Metaphosphorsäure können ebenso wie die entsprechenden Ca- und Sr-Salze dargestellt werden, d. h. durch Ausfällen von Bariumchloridlösungen mit den betreffenden Natriumphosphaten.

Bariumpyrophosphat, $\text{Ba}_2\text{P}_2\text{O}_7$, ist nach Schwarzenberg³⁴⁸⁾ ein weißes amorphes Pulver, in Wasser schwer, in Säuren leicht löslich. Aus diesen Lösungen kann es durch Alkalien oder Ammoniak nicht mehr gefällt werden. Sie enthalten daher keine Pyrophosphationen $\text{P}_2\text{O}_7^{4-}$ (Birnbauer³⁴⁹⁾). Beim Glühen im Wasserstoffstrom entwickelt sich Phosphorwasserstoff PH_3 (Struve³⁵⁰⁾).

Eine Verbindung $\text{Ba}_3(\text{PO}_4)_2 + \text{P}_2\text{O}_5(\text{Ba}_3\text{P}_4\text{O}_{13})$, sogenanntes Bariumtetraphosphat, soll als weißes Kristallpulver von Fleitmann und Henneberg³⁵¹⁾ dargestellt worden sein.

Bariummetaphosphat, $\text{Ba}(\text{PO}_3)_2$, wurde außer nach dem oben angegebenen Fleitmannschen Verfahren von Maddrell³⁵²⁾ durch Erhitzen von Bariumcarbonat mit Phosphorsäure dargestellt.

Polymere dieser Verbindung, Salze der Di-, Tri- und Hexametaphosphorsäure sind ebenfalls von Fleitmann und Henneberg (l. c.), ferner von Rose³⁵³⁾, Graham³⁵⁴⁾ und Lindbom³⁵⁵⁾ dargestellt worden. Doch kommt den von diesen Autoren angegebenen Formeln, infolge der Unkenntnis des wahren Molekulargewichts fester Stoffe, keine Sicherheit zu.

Bariumarsenit, BaHAsO_3 , kann durch Fällung von Bariumsalzen mit Natriumarsenit als weißes, in Wasser schwer lösliches Pulver erhalten werden.

Bariumarsenate.

Das neutrale Bariumanhydroorthoarsenat, $\text{Ba}_3(\text{AsO}_4)_2$, entsteht aus Barytwasser und Arsensäure oder aus Bariumchlorid und dem entsprechenden Natriumsalz (Field³⁵⁶⁾).

Es ist sehr schwer in Wasser und Ammoniak, etwas leichter löslich in verdünnter Essigsäure und Ammoniumchloridlösungen.

Das sekundäre Salz BaHAsO_4 entsteht ebenfalls wie das entsprechende Ca-Salz (Kotschubey (l. c.), Salkowsky (l. c.), Schiefer³⁵⁷⁾). Es kristallisiert mit 2 Mol H_2O , die bei 120° entweichen.

Das primäre Salz $\text{Ba}(\text{H}_2\text{AsO}_4)_2$ entsteht aus den sekundären und Arsensäuren.

Bariumsulfarsenite.

Ihre Lösungen entstehen beim Auflösen von Arsentrisulfid in Barytwasser. Nilson³⁵⁸⁾ hat durch Abdunsten verschiedener Lösungen unter verschiedenen Bedingungen folgende Verbindungen erhalten:

1. $\text{BaS} \cdot \text{As}_2\text{S}_3 \cdot 2\text{H}_2\text{O}$, dunkelrotbraune glänzende Masse,
2. $\text{BaS} \cdot 6\text{As}_2\text{S}_3$, aus 1. durch mehrstündiges Erhitzen mit HCl , (?)
3. $2\text{BaS} \cdot \text{As}_2\text{S}_3 \cdot 5\text{H}_2\text{O}$, a) graugrün, b) indigoblau, entsteht aus a) bei längerem Stehen mit der Mutterlauge,
4. $2\text{BaS} \cdot \text{As}_2\text{S}_3 \cdot 3\text{BaS} \cdot \text{As}_2\text{S}_3 \cdot 8\text{H}_2\text{O}$ entsteht aus der Mutterlauge von 3. in sehr großen luftbeständigen monoklinen Prismen,
5. $2\text{BaS} \cdot \text{As}_2\text{S}_3 \cdot 14\text{H}_2\text{O}$,
6. $2\text{BaS} \cdot \text{As}_2\text{S}_3 \cdot 15\text{H}_2\text{O}$.

Eine physikalisch-chemische Untersuchung dieser sehr interessanten Körperklasse steht noch aus.

Ferner hat Nilson auch

Bariumsulfarsenat, $\text{Ba}_3(\text{AsS}_4)_2$ und

Bariumpyrosulfarsenat, $\text{Ba}_2\text{As}_2\text{S}_7$, dargestellt.

Bariummetaantimonit, $\text{Ba}(\text{SbO}_3)_2$, wird durch Fällung von Kalium-

antimonitlösung mit Chlorbarium erhalten. Aus der kalten Lösung soll der Niederschlag kristallinisch, aus der siedenden amorph entstehen (Heffter³⁵⁹).

Bariumcarbonat, BaCO_3 . M.-G. = 197,4.

Bariumcarbonat kommt in der Natur als Witherit vor; den Namen erhielt es nach dem Forscher Withering, der im Jahre 1783 zuerst das natürliche Vorkommen in Schottland entdeckte.

Die Darstellung desselben ist völlig analog derjenigen des Strontiumcarbonats (siehe dieses), so daß sämtliche zur Darstellung des einen der beiden Salze geeignete Verfahren mutatis mutandis auch zur Herstellung des anderen dienen können.

Eigenschaften. Der natürliche Witherit kristallisiert im rhombischen System und ist mit Aragonit und Strontianit isomorph. Die von Rose³⁶⁰) und Bourgeois³⁶¹) künstlich erhaltenen Kristalle zeigen dieselbe Kristallform. Das spezifische Gewicht des Witherits beträgt 4,377, das des gefällten amorphen Salzes 4,275 (Schröder³⁶²)). Es schmilzt nach Le Chatelier³⁶³) bei 795°. Die Dissoziationstension des CO_2 nimmt erst bei sehr hohen Temperaturen bequem meßbare Werte an und ist erst bei starker Weißglut nahezu gleich 1 Atm., doch kann die CO_2 -Abspaltung naturgemäß durch ständige Verminderung des CO_2 -Partialdrucks infolge mechanischer Entfernung desselben auch schon bei tieferen Temperaturen vollständig gemacht werden (Abich³⁶⁴), Gay-Lussac und Thénard³⁶⁵), Rose³⁶⁶)).

Mit den Lösungen von Alkalisulfaten reagiert BaCO_3 unter teilweiser Bildung von BaSO_4 und Alkalicarbonat. Wie weit diese Umsetzung geht, kann nach dem Massenwirkungsgesetz aus der Konzentration und dem Dissoziationsgrade der Alkalicarbonate und -Sulfate berechnet werden (cf. BaSO_4). Dasselbe gilt von der Umsetzung mit Alkalioxalaten. Auch mit festem Na_2CO_3 tritt dieselbe Reaktion ein, wenn sie durch hohen Druck eingeleitet wird (cf. BaSO_4). Beim Erhitzen mit Phosphor entsteht nach Dragendorff³⁶⁷) zum Teil phosphorsaures Barium, Kohle und eine im Wasser lösliche Substanz, deren Natur nicht festgestellt werden konnte.

Die Bildungswärme des Bariumcarbonats beträgt nach J. Thomsen aus den Elementen + 283 420 cal, aus BaO und CO_2 + 62 220 cal; sie ist also gemäß der festeren Bindung von CO_2 an BaO größer als die entsprechenden Größen des Ca und Sr.

Die Löslichkeit des BaCO_3 in Wasser ist sehr gering, jedoch größer als die von CaCO_3 und SrCO_3 . Sie beträgt nach Bineau³⁶⁸) in 1000 g H_2O 21 mg, nach Fresenius³⁶⁹) jedoch bei 16—20° 71 mg, bei 100° nur 65 mg. Nach neueren Untersuchungen aus der Leitfähigkeit der gesättigten Lösungen beträgt sie

bei 8,8° 15,6 mg (Holleman³⁷⁰)
 bei 24,2° 26 „ „ „
 bei 18° 24 „ (Kohlrausch u. Rose³⁷¹)).

Die Leitfähigkeit der gesättigten Lösungen beträgt in reziproken Ohm nach Kohlrausch³⁷²)

bei 7,63° 16,24 · 10⁻⁶
 bei 17,60° 24,76 „

Gardner und Gerassimow^{372a}) erhielten etwas höhere Werte als Kohlrausch und Rose. Nach diesen Autoren darf die Löslichkeit des

BaCO_3 nicht aus der Leitfähigkeit der gesättigten Lösung berechnet werden, weil dieses Salz als Verbindung einer starken Base mit einer schwachen Säure beträchtlich hydrolytisch gespalten ist. Um die wahre Leitfähigkeit des leicht hydrolysierten BaCO_3 zu erhalten, bestimmten sie daher die Leitfähigkeit von BaCO_3 -Lösung in sehr verdünnter Natronlauge verschiedener Konzentration. Auf diese Weise verhinderten sie die Bildung undissoziierter Kohlensäure und erhielten durch Interpolation als Grenzwert für die Leitfähigkeit des BaCO_3 bei 18° den Wert $6,0 \cdot 10^{-6}$.

Die Löslichkeit von BaCO_3 wird erhöht durch alle Ammoniumsalze, ferner durch konzentrierte Lösungen von K_2CO_3 , Na_2SO_4 , MgSO_4 , ZnSO_4 , $\text{Ca}(\text{NO}_3)_2$, CaCl_2 , aber nicht durch ZnCl_2 (Karsten³⁷³) und besonders durch freie CO_2 , aus den beim CaCO_3 entwickelten Gründen (Bodländer³⁷⁴). Die Löslichkeit in Lösungen, die CO_2 unter verschiedenem Partialdruck enthalten, beträgt nach Schlösing³⁷⁵ bei 16°

Partialdruck von CO_2 in Atmosphären	mg BaCO_3 im Liter	Milliäquivalente $\frac{1}{2} \text{Ba}$ im Liter
0,000504	118,6	1,204
0,000808	144,6	1,465
0,00333	233,1	2,362
0,01387	387,3	3,923
0,0282	503	5,094
0,0499	615,6	6,237
0,1417	916,4	9,286
0,2529	1139,6	11,55
0,4217	1361	13,79
0,5529	1512	15,32
0,7292	1664	16,86
0,982	1857	18,81

Die Lösungen sind als Lösungen von Bariumbicarbonat, $\text{Ba}(\text{HCO}_3)_2$, aufzufassen. Dieses Salz ist jedoch in festem Zustande nicht bekannt. Dagegen will Boussingault³⁷⁶ ein saures Salz von der Formel $2\text{BaCO}_3 \cdot \text{CO}_2$ erhalten haben.

Das Löslichkeitsprodukt des Bariumcarbonats beträgt nach der Berechnung von Bodländer³⁷⁷ $(\text{Ba}^{++}) \cdot (\text{CO}_3^{--}) = 1,7 \cdot 10^{-9}$.

Eine gesättigte Lösung, bzw. eine Aufschwemmung von Bariumcarbonat reagiert alkalisch, d. h. enthält freie Hydroxylionen, da BaCO_3 als Salz einer schwachen Säure und einer starken Base hydrolytisch gespalten ist. Diese geringe, aber konstante Alkalität des aufgeschwemmten Bariumcarbonats wird in der analytischen Chemie zur Ausfällung solcher Hydroxyde benutzt, welche im Überschuß starker Alkalien löslich sind, und zur Trennung von den Metallen, die zu ihrer Ausfällung als Hydroxyde stärkerer Hydroxylionenkonzentration bedürfen. So wird Fe^{+++} , Cr^{+++} , Al^{+++} durch BaCO_3 gefällt, während Mn^{++} und Zn^{++} in Lösung bleiben (cf. H. Rose³⁷⁸, Bauch³⁷⁹). Auf der alkalischen Reaktion beruht wohl auch das Verhalten gegen Chlor, dessen wässrige Lösung aufgeschlemmtes Bariumcarbonat unter Bildung von Chlorat und Chlorid zu lösen vermag (Bolley³⁸⁰). Bei der Elektrolyse eines Gemenges von festem BaCO_3 mit festem BaCl_2 wird der Kathode Kohlenstoff abgeschieden. (Haber und Tolloczko^{93a}) cf. BaCl_2 .)

Bariumsilicat kommt in verschiedenen Mineralien in der Natur vor, nämlich im Brewsterit $\text{H}_4\text{SrBaAl}_2\text{Si}_6\text{O}_{18}$, Harmotom $\text{H}_2\text{K}_2\text{BaAl}_2\text{Si}_5\text{O}_{18}$, Hyalophan $\text{H}_2\text{BaAl}_9\text{Si}_{16}\text{O}_{48}$, jedoch nicht in reinem Zustande. In diesem ist es zuerst von Pisani³⁸¹⁾ und Le Chatelier³⁸²⁾ bei der monatelangen Einwirkung von Barytwasser auf Glas in orthorhombischen Prismen mit 6 Mol H_2O erhalten worden. Es entsteht ferner aus schmelzendem Bariumhydroxyd mit Kieselsäure (Bloxam³⁸³⁾, Bourgeois³⁸⁴⁾, Jordis und Kanter³⁸⁵⁾ erhielten es ebenso wie die Ca-Verbindung beim Kochen von Barytwasser mit SiO_2 , die mehr als 23 Proz. H_2O enthielt).

Nach diesem Verfahren entsteht das Monohydrat $\text{BaSiO}_3\cdot\text{H}_2\text{O}$. Seine Löslichkeit beträgt 1,5 g im Liter. Durch CO_2 wird die Lösung zersetzt.

Bariumsilicate, die mehr SiO_2 als der Formel BaSiO_3 entspricht, enthalten, entstehen in wechselnder Zusammensetzung beim Kochen von Barytwasser mit Kieselsäure, die weniger als 23 Proz. H_2O enthält, ferner beim andauernden Kochen von BaSiO_3 mit Wasser. Wieweit es sich dabei um Individuen oder vielmehr um Gemische oder feste Lösungen handelt, muß noch dahingestellt bleiben.

Bariumborate.

Bariummetaborat, $\text{Ba}(\text{BO}_2)_2$. Das Salz entsteht mit 2 Mol. Kristallwasser bei langsamer Abkühlung einer heißen Lösung von Borsäure in Barytwasser in vierseitigen Prismen (Atterberg³⁸⁶⁾).

Diese Kristalle geben ihren Wassergehalt erst bei sehr hoher Temperatur ab. Berzelius erhielt dasselbe Salz, allerdings amorph, beim Füllen von BaCl_2 -Lösung mit Kaliumborat. Das wasserfreie Salz wird durch Schmelzen von Chlorbarium mit Natriumborat erhalten (Benedikt³⁸⁷⁾).

Beim Schmelzen von Borsäure mit Baryt erhielt Ditté³⁸⁸⁾ sechsseitige Säulen, die wahrscheinlich die Zusammensetzung $\text{Ba}_2\text{B}_6\text{O}_{11} = 2\text{BaO}_3\text{B}_2\text{O}_3$ haben, ferner die Verbindung $\text{BaB}_4\text{O}_7 = \text{BaO}_2\text{B}_2\text{O}_3$. Guertler^{388a)} bewies dagegen nach seinem beim Ca-Borat beschriebenen Verfahren die folgenden 4 Salze: 1. $3\text{BaO} \cdot \text{B}_2\text{O}_3$, 2. $2\text{BaO} \cdot \text{B}_2\text{O}_3$, 3. $\text{BaO} \cdot \text{B}_2\text{O}_3 = \text{Ba}(\text{BO}_2)_2$, 4. $\text{BaO} \cdot 2\text{B}_2\text{O}_3 = \text{BaB}_4\text{O}_7$ (Typus Borax).

Beim Vermischen der Lösungen von Bariumsalzen und Borax entstehen wie beim Calcium Niederschläge, deren Zusammensetzungen je nach den Umständen variieren. Sie sind in Wasser schwer, leichter in Ammoniumsalzlösungen löslich (Rose³⁹⁰⁾, Tünnermann³⁹¹⁾, Laurent³⁹²⁾).

Bariumformiat, $\text{Ba}(\text{HCO}_2)_2$, kristallisiert aus seinen Lösungen, die durch Vermischen der freien Säure und Base erhalten werden, in rhombischen Kristallen aus, die mit Calcium- und Strontiumformiat isomorph sind. Ihre Dichte beträgt 3,212 (Schröder³⁹³⁾). Seine Löslichkeit ist von Plathan³⁹⁴⁾ und Krasnicki³⁹⁵⁾ bestimmt worden. Sie beträgt nach letzterem in 100 g H_2O :

	bei 1°	22,5°	28°	54°	63,6°	76°	
g $\text{Ba}(\text{HCO}_2)_2$:	27,8	30,6	34,3	38,0	39,4	40,0	
Dagegen erhielt Stanley ^{395a)}							
t	0°	10°	35°	54,5°	73,6°	93,2°	100°
‰ $\text{Ba}(\text{HCO}_2)_2$	30,28	30,41	32,32	36,36	39,31	40,25	48,88

Die Gefrierpunktserniedrigungen sind nach Calame³⁹⁶⁾

(Mol c in 1000 g H ₂ O)	dt°	$i = \frac{dt}{c \cdot 1,86}$
0,512	2,230	2,34
0,253	1,135	2,46
0,125	0,605	2,60
0,063	0,315	2,69

Der Dissoziationszustand des Bariumformiats ist demnach sehr nahe gleich dem des Calciumformiats.

Das Refraktionsäquivalent für die A-Linie ist nach Kannonikow³⁹⁷⁾

$$R\alpha = 41,13, R_A = 39,58.$$

Bariumacetat, Ba(C₂H₃O₂)₂, kristallisiert aus seinen Lösungen bei 0° monoklin mit 3 Mol H₂O, oberhalb 10° mit 1 Mol H₂O in platten Säulen des triklinen Systems. Ihre Dichte beträgt 2,19, die des wasserfreien Salzes 2,47 (Holzmann³⁹⁸⁾, Schröder³⁹⁹⁾).

Seine Lösungswärme in 800 Mol H₂O beträgt nach Thomsen⁴⁰⁰⁾ — 1070 cal.

Seine Löslichkeit ist nach Krasnicki⁴⁰¹⁾ in 100 g H₂O:

	bei 0,8°	10°	27,5°	49,5°	65,5°	80°
g Ba(C ₂ H ₃ O ₂) ₂ :	58,5	64,1	73,0	77,3	77,8	75,9

Ganz abweichende jedenfalls bessere Zahlen erhielten Walker und Fyffe^{401a)}, nämlich die folgenden:

Temp.	gr Ba(C ₂ H ₃ O ₂) in 100 H-H ₂ O	Bodenkörper
0,3	58,8	Ba(C ₂ H ₃ O ₂) ₂ ·3 H ₂ O
7,9	61,6	"
17,5	69,2	"
21,6	72,8	"
24,1	78,1	"
26,2	76,1	Ba(C ₂ H ₃ O ₂) ₂ ·H ₂ O
30,6	75,1	"
35,0	75,8	"
39,6	77,9	"
40,5	79,0	Ba(C ₂ H ₃ O ₂) ₂
41,5	78,7	"
44,5	77,9	"
51,8	76,5	"
63,0	77,6	"
73,0	74,5	"
84,0	74,0	"
99,2	74,8	"

Die graphische Darstellung ergibt zwei scharfe Knickpunkte bei 24,7° und 41°, die also als die Umwandlungspunkte der einzelnen Hydrate anzusehen sind. Die Richtungsänderungen der Löslichkeitskurven an diesen Punkten sind außerordentlich scharf. Dieselben Umwandlungspunkte konnten dilatometrisch festgestellt werden.

Das spezifische Gewicht von Bariumacetatlösungen ist von Franz⁴⁰²⁾ bei 17,5° bestimmt worden zu

g. Bariumoxalat	1	2	3	4	5	6	7	8	9	10
g.	100	170	2	32	100	100	100	100	100	100

Die Löslichkeitskoeffizienten α für die folgenden von Bariumoxalatlösungen sind nach GROSSCHUFF:

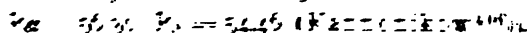
Mol. g. Lösung	α	$\alpha = 1 - \beta$	ber. aus Leitverm.
1.000	1.015	1.015	1.015
1.000	1.015	1.015	1.015
1.000	1.015	1.015	1.015
1.000	1.015	1.015	1.015

Die letzte Spalte „ber.“ ist aus den von WAT. GROSSCHUFF¹⁴⁸ gemessenen Leitvermögen von Bariumoxalatlösungen berechnet worden. Aus diesen Messungen berechnet sich das α für die entsprechenden β nach $\alpha = 1 - \beta$ und $\beta = 1 - \alpha$ der β in bezug auf den α .

1	2	3	4
1.000	1.015	1.015	1.015
1.000	1.015	1.015	1.015
1.000	1.015	1.015	1.015
1.000	1.015	1.015	1.015
1.000	1.015	1.015	1.015
1.000	1.015	1.015	1.015
1.000	1.015	1.015	1.015

Die aus den Leitvermögen berechneten Dissoziationsgrade sind beträchtlich geringer als die aus den Gefrierpunkten gefundenen, ganz ebenso wie beim Calcium- und Strontiumoxalat.

Die Kristallwassermenge beträgt für die A-Form:



Die Löslichkeit des Bariumoxalats in absolutem Alkohol beträgt nach HILGER¹⁴⁹ 0,003 g des wasserfreien Salzes.

Bariumoxalat bildet mit Essigsäure und mit Bariumnitrat kristallisierte Doppel-salze.

Bariumoxalat, BaC_2O_4 , kristallisiert nach älteren Angaben¹⁴⁸ in der Kälte mit 2 Mol. bei Zimmertemperatur mit 1 Mol. bei 100° mit 0,5 Mol. H_2O . GROSSCHUFF¹⁴⁹ dagegen konnte nur die Hydrate mit 0,5 Mol. mit 2 und mit 3,5 Mol. H_2O darstellen. Aus der Formel der Hydrate geht hervor, daß ihre Molekeln mindestens $2\text{BaC}_2\text{O}_4$ enthalten.

Die Löslichkeit ist für die verschiedenen Hydrate natürlich eine verschiedene; die Nichtberücksichtigung hiervon macht daher die älteren Literaturangaben wertlos.

GROSSCHUFFS Resultate sind folgende:

	g BaC_2O_4 in 1000 g Lösung		
1°	Bodenkörper: $\text{BaC}_2\text{O}_4 \cdot 3,5 \text{H}_2\text{O}$	$\text{BaC}_2\text{O}_4 \cdot 2 \text{H}_2\text{O}$	$\text{BaC}_2\text{O}_4 \cdot 0,5 \text{H}_2\text{O}$
0°	0,058	0,053	0,087
18°	0,112	0,089	0,124
30°	0,170	0,121	0,140

t°	Bodenkörper: BaC ₂ O ₄ · 3,5 H ₂ O	BaC ₂ O ₄ · 2 HO	BaC ₂ O ₄ · 0,5 H ₂ O
40°		0,152	0,151
55°		0,212	
60°			0,175
75°		0,285	0,188
100°			0,211

Da der beständigen Modifikation immer die geringste Löslichkeit zukommt, so ist das wasserreichste Hydrat mit 3,5 Mol H₂O oberhalb 0° überhaupt nicht stabil; das Dihydrat ist stabil zwischen 0° und 40°, und verwandelt sich oberhalb dieser Temperatur in das Hemihydrat um. Die Temperatur 40° stellt also einen Umwandlungspunkt (4 fachen Punkt) dar, bei welchem 4 Phasen miteinander im Gleichgewicht stehen können.

Der von Kohlrausch und Rose⁴¹⁰⁾ aus dem Leitvermögen der gesättigten Lösung berechnete Wert von 0,074 g BaC₂O₄ bei 18° stimmt mit dem von Groschuff für die bei dieser Temperatur beständige Modifikation (+ 2H₂O) von 0,089 angenähert überein.

Die Löslichkeit des Hemihydrats in Essigsäure ist von Herz und Muhs⁴¹¹⁾ bestimmt worden.

Bei 26—27° lösten sich in 1000 ccm Lösung

in Wasser	0,045 g BaC ₂ O ₄ + 0,5 H ₂ O
in 0,565 n Essigsäure	0,846 „ „
1,425 „ „	1,04 „ „
2,85 „ „	1,11 „ „
3,85 „ „	1,13 „ „
5,79 „ „	1,01 „ „
17,30 „ „	0,096 „ „

Das Maximum der Löslichkeit fällt hier ebenso wie beim Strontiumoxalat mit dem Maximum der spezifischen Leitfähigkeit zusammen; es liegt nämlich zwischen der 2,85 und 3,85 n-Essigsäure. Daraus geht hervor, daß die Löslichkeitserhöhung durch die Konzentration der H-Ionen bedingt wird. Es ist zu beachten, daß diese Löslichkeitsbestimmungen nicht mit der bei dieser Temperatur beständigsten Modifikation angestellt worden sind.

Das Leitvermögen der gesättigten Lösung beträgt nach Kohlrausch und Rose⁴¹⁰⁾ in reziproken Ohm

bei	— 0,07°	9,62°	18,18°	27,02°	34,61°
$\kappa \cdot 10^6 =$	28,5	47,3	71,0	101,4	134,6

Saures Bariumoxalat, Ba(HC₂O₄)₂, ist wasserfrei mit 1 und 2 Mol Kristallwasser dargestellt worden.⁴¹²⁾ Es ist löslicher in Wasser als das neutrale Salz, doch sind alle älteren Angaben unrichtig, da das saure Salz sich im Umwandlungsintervall befindet, d. h. bei jeder Temperatur durch Wasser zersetzt wird und sich nach Groschuff (l. c.) immer ein Gleichgewicht zwischen festem sauren Salz, neutralem Salz und Lösung einstellt. Da dieses System im Gleichgewicht aus 4 Phasen (2 Bodenkörper, Lösung, Gasraum) und 3 unabhängigen Bestandteilen (BaC₂O₄, H₂C₂O₄, H₂O) besteht, so besitzt es nur einen Freiheitsgrad, die Temperatur. Für jede Temperatur ist also die Zusammensetzung der Lösung bestimmt.

Die Lösung enthält nach Groschuff in 1000 g H₂O

t°	$g H_2C_2O_4$	$g BaC_2O_4$
0°	2,7	0,30
18°	6,6	0,70
38°	16,1	1,6
41°	18,2	1,8
53°	29,2	3,1
60°	36,0	4,0
80°	62,1	8,1
90°	79,6	11,1
99°	105,0	15,5

Bariumtartrat $BaC_2H_4O_6$ kristallisiert nach Dulk⁴¹³⁾ mit 1 Mol H_2O , von Herz und Muhs⁴¹¹⁾ wurde es nur amorph und wasserfrei erhalten. Seine Löslichkeit ist von diesen, sowie in älterer Zeit von Vogel und Reischauer⁴¹⁴⁾ bestimmt worden. Nach ersteren lösen sich in 1000 ccm Lösung bei $26-27^{\circ}$

in Wasser	0,655 g $BaC_4H_2O_6$
in 0,565 n Essigsäure	2,302 „ „
1,425 „ „	3,119 „ „
2,85 „ „	3,479 „ „
3,77 „ „	3,737 „ „
5,65 „ „	3,729 „ „
16,85 „ „	0,435 „ „

Die Gefrierpunktserniedrigungen von Bariumtartratlösungen sind von Tower⁴¹⁵⁾ bestimmt worden.

g in 100 ccm	dt°	i
0,7136	— 0,063 ⁰	1,32
0,3568	— 0,038 ⁰	1,58
0,1784	— 0,021 ⁰	1,76

Das Molar-Leitvermögen ist nach Tower bei 18°

v (Volumen, in dem 1 Mol gelöst ist)	$\mu 18^{\circ}$
32	66,8
64	81,2
128	98,5
256	117,3
512	136,2
1024	155,0

Aus dem starken Ansteigen des i-Wertes und des Leitvermögens geht hervor, daß das Salz nicht stark dissoziiert oder in konz. Lösungen selbstkomplex ist.

Von Bariumverbindungen mit organischen Basen ist nur ein Pyridinchlorhydrat des Bariumchlorids bekannt.⁴¹⁶⁾ Es besitzt die Formel $(BaCl_2)_3C_5H_5NHCl \cdot H_2O$.

1) Phil. Trans. 1808, 343.

2) Pogg. Ann. 91, 619; Ann. d. Chem. u. Pharm. 92, 248; Journ. f. prakt. Chem.

- 3) Journ. f. prakt. Chem. **67**, 494.
- 4) Lehrbuch S. 423.
- 5) Z. anorg. Chem. **41**, 407, 1904.
- 6) Chem. News **31**, 244, 1875.
- 7) Ibid. **6**, 194, 1862. [Nr. 4; Chem. Centr. 1902, I, 247.
- 8) Memoirs and Proceedings of the Manchester Literary a. Philos. Soc. **46**, 1
- 9) Ber. d. Dtsch. chem. Ges. 1890, 122.
- 10) Phil. Mag. (5) **8**, 84, 1879.
- 11) Bull. d. l. Soc. Chim. (3) **7**, 367, 1892. [Berlin 1903.
- 12) C. r. de l'acad. des sciences **133**, 872, 1901; 5. Int. Kongreß f. angew. Chem.
- 13) Journ. f. prakt. Chem. (2) **31**, 321, 1885.
- 14) Zeitschr. phys. Chem. **35**, 318, 1900.
- 15) Berl. Akad. Ber. 1904, 1215.
- 15a) Wied. Ann. **20**, 560, 1883.
- 16) Zeitschr. f. anorg. Chem. **29**, 145, 1902.
- 17) C. r. de l'acad. des sciences **137**, 258, 1903.
- 18) Journ. Amer. Chem. Soc. **21**, 522, 1899.
- 19) Zeitschr. f. anorg. Chem. **22**, 161, 1899.
- 20) C. r. de l'acad. des sciences **132**, 953, 1901.
- 21) Ibid. **134**, 1008, 1902.
- 22) Ibid. **136**, 1071, 1903.
- 23) Ibid. **135**, 740, 1904.
- 24) zitiert nach Dammer, Handbuch II 2.
- 25) Pogg. Ann. **1**, 18.
- 26) Bull. d. l. Soc. chim. (3) **5**, 152, 1891.
- 26a) Zeitschr. phys. Chem. **44**, 197; **50**, 355, 1904
- 27) Dichtigkeitsmessungen, Heidelberg 1873.
- 28) Ber. d. Dtsch. chem. Ges. **36**, 2357, 1903.
- 29) Bull. d. l. Soc. chim. (3) **5**, 152, 1891.
- 30) Krist. Fluorverb., Göttingen 1863, 9.
- 30a) Ann. de chim. et de phys. (6) **3**, 5, 1834.
- 31) C. r. de l'acad. des sciences **138**, 198, 1904.
- 32) zitiert nach Dammer, Handbuch II 2.
- 33) Pogg. Ann. **112**, 619, 1861.
- 34) Ibid. **74**, 569, 1868.
- 35) C. r. d. l'acad. des sciences **78**, 593, 1874.
- 36) Schweigg. Journ. **26**, 263.
- 37) Pogg. Ann. **75**, 276, 1848.
- 38) Dingl. Journ. **171**, 316, 1864.
- 39) C. r. d. l'acad. des sciences **47**, 403, 464, 674, 1858.
- 40) D. R.-P. 19188, 1881.
- 41) Zeitschr. f. anorg. Chem. **6**, 95, 1894.
- 42) Wied. Ann. **55**, 95, 1895.
- 43) Schröder, Pogg. Ann. **107**, 113, 1859.
- 43a) Zeitschr. anorg. Chem. **41**, 407, 1904.
- 44) Potilitzin, Journ. russ. phys.-chem. Ges. 1882, 182; Ref. Ber. **15**, 918.
- 45) Thermochem. Untersuchungen **3**, 1883.
- 46) C. r. de l'acad. des sciences **104**, 1511, 1887.
- 47) Hdb. von Gmelin-Kraut, **2**, I, 301, 1886.
- 48) Constants of nature I, Washington 1888.
- 49) Ann. d. chim. et phys. (2) **11**, 309, 1819.
- 50) Scheik. Verhandl. 1864, 42.
- 51) Ann. d. chim. et phys. (4) **5**, 142, 1865.
- 52) Pogg. Ann. **136**, 309, 1859.
- 53) Ann. chim. et phys. (7) **2**, 535, 1894.
- 54) C. r. d. l'acad. des sciences **102**, 619, 1885.
- 55) Ber. d. Dtsch. chem. Ges. **14**, II, 1667, 1881.
- 56) Ann. d. Chem. u. Pharm. **110**, 73, 1859.
- 57) Wied. Ann. **6**, 38, 1879.
- 58) C. r. d. l'acad. d. sciences **125**, 533, 1897.

- 59) Ibid. **100**, 1002, 1885.
- 60) Pogg. Ann. (2) **23**, 101, 1864.
- 61) Journ. Chem. Soc. **59**, 589, 1891.
- 62) Diss., Bern 1878, Beibl. z. Wied. Ann. **5**, 656, 1881.
- 63) C. r. d. l'acad. d. sciences **104**, 1511, 1887.
- 64) Zeitschr. f. phys. Chem. **19**, 135, 1896.
- 65) Ibid. **1**, 5, 1887.
- 66) Ibid. **2**, 42, 1888.
- 67) Wied. Ann. **24**, 527, 1885.
- 68) Zeitschr. f. phys. Chem. **40**, 185, 1901.
- 69) Zeitschr. f. analyt. Chem. **26**, 413, 1887.
- 70) Journ. phys. Chem. **5**, 366, 1901.
- 71) Wied. Ann. **57**, 495, 1896.
- 72) Amer. Chem. Journ. **23**, 89, 1900.
- 73) Zeitschr. f. phys. Chem. **46**, 244, 1903.
- 74) Pogg. Ann. **145**, 599, 1872.
- 75) Ann. de chim. et de phys. (4) **25**, 502, 1877.
- 76) Pogg. Ann. **122**, 337, 1864.
- 77) Zeitschr. f. phys. Chem. **1**, 295, 1886.
- 78) Ibid. **5**, 30, 1890.
- 79) Pogg. Ann. (2) **31**, 14.
- 80) Akad. Ber. Berlin 1904, 1215.
- 81) Amer. Chem. Journ. **23**, 89, 1900.
- 82) Zeitschr. f. phys. Chem. **46**, 254, 1903.
- 83) Sitz-Ber. d. kgl. preuß. Akad. d. Wiss. 1901, 1026.
- 84) Proc. Royal Soc. London **71**, 332, 1903.
- 85) Zeitschr. f. phys. Chem. **27**, 1, 1898.
- 86) Ibid. **25**, 115, 1898.
- 87) Ibid. **36**, 74, 1901.
- 88) Journ. Chem. Soc. **79**, 414, 1901.
- 89) Zeitschr. f. phys. Chem. **10**, 781, 1892.
- 90) Ann. d. Chem. **59**, 127.
- 91) Ann. d. Chem. u. Pharm. **118**, 365, 1891.
- 92) Ann. d. chim. et d. phys. (4) **5**, 142, 1895.
- 93) Bull. de la soc. chim. (3) **29**, 400, 1903.
- 94) Zeitschr. anorg. Chem. **41**, 407, 1904.
- 95) Ber. d. Dtsch. chem. Ges. 1881, 2151. Habilitationsschrift, Leipzig 1882.
- 96) C. r. d. l'acad. d. sciences **93**, 58, 1881; **98**, 572, 1884; Ann. d. chim. et d. phys. (4) **3**, 66, 1884.
- 97) C. r. d. l'acad. d. sciences **122**, 812, 1896.
- 98) Dingl. Polyt. Journ. **173**, 340, 1864.
- 99) Ber. d. Dtsch. chem. Ges. **7**, 733; **8**, 778, 1884; Ref.
- 100) Zeitschr. f. anorg. Chem. **3**, 441, 1893.
- 101) Journ. Chem. Soc. **33**, 273, 1876.
- 102) Ann. Chem. Pharm. **108**, 21, 1866.
- 103) Pogg. Ann. **29**, 25, 1866.
- 104) Ann. chim. phys. (2) **2**, 335, 1824.
- 105) Ann. chim. phys. (3) **3**, 257, 1824.
- 106) Zeitschr. f. phys. Chem. **8**, 285, 1894.
- 107) C. r. d. l'acad. d. sciences **134**, 1206, 1902.
- 108) Wied. Ann. **24**, 527, 1885.
- 109) Zeitschr. f. phys. Chem. **2**, 45, 1886.
- 110) Amer. Chem. Journ. **23**, 89, 1900.
- 111) Zeitschr. f. phys. Chem. **3**, 41, 1893.
- 112) Zeitschr. f. phys. Chem. **10**, 781, 1892.
- 113) C. r. d. l'acad. d. sciences **42**, 143, 1856.
- 114) C. r. d. l'acad. d. sciences **122**, 812, 1896.
- 115) Ann. chim. phys. (3) **2**, 335, 1824.
- 116) Ann. chim. phys. (3) **2**, 335, 1824.
- 117) Ann. **91**, 337, 1851.

- 117) C. r. de l'acad. d. sciences **120**, 734, 1895.
- 118) Ann. de chim. et de phys. (7) **2**, 535, 1894.
- 119) Zeitschr. f. analyt. Chem. **8**, 279, 1869.
- 120) C. r. de l'acad. d. sciences **134**, 1208, 1902.
- 121) Zeitschr. f. anorg. Chem. **20**, 113, 1902.
- 122) Pogg. Ann. **137**, 313, 1869.
- 123) Journ. f. prakt. Chem. **68**, 257, 1856.
- 124) C. r. de l'acad. des sciences **50**, 1100, 1860.
- 125) Zeitschr. f. Elektrochem. **9**, 842, 1903.
- 126) Ann. d. chim. et de phys. (5) **26**, 482, 1882.
- 127) Pogg. Ann. **56**, 63
- 128) Zeitschr. f. angew. Chem. 1897, 297.
- 129) Ber. d. Deutsch. chem. Ges. **25**, 2, 627, 1892.
- 130) Ibid. **16**, 348, 1883.
- 131) Wied. Ann. **2**, 466, 1877; **4**, 272; Zeitschr. analyt. Chem. 1890, 123.
- 132) Chem. Zeitg. **25**, 199, 1901; Chem. News **95**, 206.
- 133) D. R.-P. 108599, D. R.-P. 111667.
- 134) D. R.-P. 100969.
- 135) D. R.-P. 135330, 1902.
- 136) Clarke, Constants of nature, II. Aufl. 1888.
- 138) Ann. de chim. et de phys. (7) **4**, 136, 1899.
- 139) Journ. f. prakt. Chem. **6**, 172.
- 140) Habilitationsschrift, Leipzig 1882.
- 141) Ann. de chim. et de phys. (3) **21**, 415, 1847.
- 142) Zeitschr. f. angew. Chem. **16**, 341, 1903.
- 143) Jahrb. der geolog. Reichsanstalt **35**, 727, 1885.
- 144) C. r. de l'acad. d. sciences **96**, 1578, 1883.
- 145) C. r. de l'acad. d. sciences **103**, 59, 1888.
- 146) Pogg. Ann. **39**, 196, 1836.
- 147) Ann. der Pharm. (2) **88**, 38.
- 148) Ber. d. Dtsch. chem. Ges. **19**, 3, 124, 1886.
- 149) Dingl. Journ. **254**, 436.
- 150) D. R.-P. 71783.
- 151) ibid. **20**, 1628, 1887; **22**, 3181, 1889.
- 152) C. r. de l'acad. d. sciences **103**, 1260, 1887.
- 153) Ibid. **136**, 1071, 1903.
- 154) Chem. Centrbl. 1870, 684.
- 155) Zeitschr. f. angew. Chem. **16**, 341, 1903.
- 156) cf. Riedel, Dissertation, Breslau 1905.
- 156a) Zeitschr. anorg. Chem. **41**, 315, 1904.
- 157) Wied. Ann. **6**, 1, 1879.
- 158) Journ. f. prakt. Chem. **33**, 352, 1886; zit. nach Kohlrausch und Holborn, [Leitvermögen. Leipzig 1898.
- 159) C. r. de l'acad. d. sciences **92**, 1160, 1881.
- 160) Ber. d. Dtsch. chem. Ges. 1886, 1973.
- 161) C. r. de l'acad. d. sciences **99**, 892, 1884.
- 162) Ann. der Chem. **123**, 119, 1862.
- 163) C. r. d. l'acad. d. sciences **104**, 354, 1887.
- 164) Ibid. **130**, 1017, 1900.
- 165) Ibid. **115**, 659, 1892.
- 166) Ann. de chim. **8**, 308, 1791.
- 167) Pogg. Ann. **44**, 588, 1838.
- 168) Ann. de chim. (3) **35**, 5, 1852.
- 169) Pogg. Ann. **26**, 172, 1832.
- 170) Ber. d. Dtsch. chem. Ges. **7**, 73.
- 171) Ber. d. Dtsch. chem. Ges. 1883, 980.
- 172) Dingl. polyt. Journ. **120**, 120, 416, 1851.
- 173) D. R.-P. 15298.
- 174) Ann. d. Chem. **78**, 125, 1851.
- 175) D. R.-P. 142051, 1603.
- 176) C. r. de l'acad. d. sciences **62**, 829, 1866.

- 177) Zeitschr. f. angew. Chem. 1080, 1903.
- 178) Ber. d. Dtsch. chem. Ges. 6, 1172, 1873.
- 179) Chem. News 27, 291, 1873.
- 180) Bull. de la soc. de chim. (2) 35, 177, 1881.
- 181) Ann. de chim. et de phys. (5) 21, 157, 1880.
- 182) C. r. de l'acad. d. sciences 130, 778, 834, 1900.
- 183) Anl. zur Darst. chem. Präp. 1891, 21.
- 184) Pogg. Ann. 121, 372, 1869.
- 185) Arch. d. Pharm. 228, 182, 432, 1890.
- 186) Ber. d. Dtsch. chem. Ges. 25, 67, 1892.
- 187) Bull. de l. soc. chim. (3) 3, 4.
- 188) Jahr.-Ber. 1865, 316.
- 189) C. r. de l'acad. des sciences 126, 643, 1898.
- 190) Ann. chim. phys. 62, 386, 1836.
- 191) Bull. d. l. soc. chim. 5, 249, 1866.
- 191a) Ann. d. Phys. (4) 15, 225, 425, 1904.
- 192) Journ. of Chem. Soc. 49, 369, 1886.
- 193) Pogg. Ann. 55, 415, 1842.
- 194) Ibid. 112, 200, 1861.
- 195) Ann. chim. phys. 6, 10. [29, 215.
- 196) C. r. de l'acad. d. sciences 114, 220, 1892; Ann. de chim. et de phys. (6)
- 197) Ibid. 136, 1071, 1903.
- 198) Ibid. 135, 740, 1902.
- 199) Ibid. 129, 762, 1899.
- 200) Ann de chim. et de phys. (2) 43, 412, 1827. [470, 1902.
- 201) C. r. de l'acad. d. sciences 129, 47, 1899; Ann. de chim. et de phys. (7) 25.
- 202) Ann. chim. phys. (6) 28, 257
- 203) C. r. de l'acad. d. sciences 118, 683, 1894.
- 204) Ertwe n Zeitschr f. Elektrochem. 9, 842, 1903.
- 205) C. r. de l'acad. d. sciences 125, 629, 1897.
- 205a) Ann. de chim. et de phys. 17, 40, 1821.
- 206) Dingl. polyt. Journ. 209, 204, 1873.
- 207) Ber. d. Dtsch. chem. Ges. 1879, 346, 511.
- 208) Ann. de chim. et de phys. (31) 7, 327, 1893.
- 209) Phil. Mag. (3) 31, 510.
- 210) Ann. Pharm. 151, 361, 1869.
- 211) Pogg. Ann. 90, 16, 1853.
- 212) Einl. in die Kristallogr. 304.
- 213) Journ. prakt. Chem. 30, 323, 1843.
- 214) Bez. zw. Dichte u. Zusammensetzung, Leipzig 1860.
- 215) Dichtigkeitsmessungen, Heidelberg 1873.
- 216) Journ. russ. phys. Chem. Ges. 1887 (1) 339; Ref. Ber. 3, 769, 1887.
- 217) Pogg. Ann. 99, 93, 1856.
- 218) Ann de chim. et de phys. (7) 2, 535, 1894.
- 219) Ref. Zeitschr. f. phys. Chem. 2, 45, 1888.
- 220) Journ. Chem. Soc. 59, 589, 1891.
- 221) Journ. de Pharm. 59, 268.
- 222) l. c. (216).
- 223) Bull. soc. minéralog. 1883, Nr. 3.
- 223a) Journ. Chem. Soc. 45, 409, 1884.
- 224) Ber. d. Dtsch. chem. Ges. 3, 91, 1870.
- 225) Pogg. Ann. 90, 16, 1853.
- 226) Journ. russ. phys. chem. Ges. 1, 454, 1890.
- 227) Journ. of Soc. Chem Ind. (2) 12, 325.
- 228) Journ. f. prakt. Chem. 90, 190, 1863.
- 229) Ann. chim. phys. (3) 9, 460.
- 230) Pogg. Ann. 137, 313, 1869.
- 231) Journ. Chem. Soc. 35, 118, 1878.
- 232) Ann. d. Chem. 50, 273, 1840.
- 233) Ann. d. chim. et de phys. 24, 301, 1823.

- 234) Bull. de l'association de sucre **4**, 560, 1897.
- 235) C. r. de l'acad. d. sciences **74**, 52, 1872.
- 236) Ber. d. Dtsch. chem. Ges. 1883, 1061.
- 237) Pogg. Ann. **133**, 228, 1868.
- 238) Zeitschr. f. analyt. Chem. **36**, 220, 1892.
- 239) Pogg. Ann. **121**, 372, 1863.
- 240) Ibid. **21**, 437, 1831.
- 241) Dissert. Göttingen 1873.
- 242) Ann. d. Chem. u. Pharm. **27**, 22, 1838.
- 243) Ibid. **78**, 125, 1851.
- 244) C. r. d. l'acad. d. sciences **136**, 1444, 1903.
- 245) Ann. de chim. et de phys. (3) **32**, 155, 1851.
- 246) Jahrbuch f. Mineral. 1874, 943.
- 247) C. r. de l'acad. d. sciences **103**, 928, 1891.
- 248) Séances Soc. phys. 1885, 132; Beibl. z. Wied. Ann. **10**, 398.
- 249) Bunsen, Ann. der Chem. u. Pharm. **111**, 256. Boussingault, Ann. de chim. (4) **12**, 419, 1867.
- 250) Jeremin, Journ. russ. phys. chem. Ges. 1881, 244.
- 251) Ann. de chim. (4) **12**.
- 252) Pogg. Ann. **75**, 273, 1848.
- 253) Boussingault, C. r. d. l'acad. d. sciences **78**, 593, 1874.
- 254) Ibid. **74**, 569, 1848.
- 255) Berthier, l. c. (251).
- 256) Bull. de la Soc. Chim. **42**, 166, 1885; **46**, 299, 1886.
- 256a) Ann. chim. phys. **82**, 275, 1812.
- 257) Pogg. Ann. **94**, 482, 1855.
- 258) N. Jahrb. d. Pharm. **33**, 204; **34**, 11, 1870. [Klassiker, No. 104.]
- 259) Zitiert nach Nernst, Lehrb. d. theor. Chem. 2. Aufl. 499; vergl. Ostwalds
- 259a) Dissertation Breslau 1874. cf. Abegg, Zeitschr. f. Elek. **11**, 2, 1905.
- 260) Zeitschr. f. anal. Chem. **9**, 52, 1870.
- 261) Ibid. **35**, 170, 1896.
- 262) Zeitschr. f. anorg. Chem. **12**, 261, 1896.
- 263) Zeitschr. f. physik. Chem. **12**, 125, 1893.
- 264) Ibid. **12**, 234, 1893; **44**, 197, 1903; **50**, 55, 1904.
- 265) Ibid. **37**, 385, 1901.
- 266) Amer. Chem. Journ. **27**, 288, 1902.
- 267) Journ. f. prakt. Chem. (2) **29**, 52, 1884.
- 268) Chem. News **53**, 87.
- 269) Pogg. Ann. **133**, 146.
- 270) Chem. Zeitg. **17**, 878, 1898.
- 271) Müller, Ber. d. Dtsch. chem. Ges. **37**, 11, 1904.
- 272) Journ. f. prakt. Chem. **75**, 214, 1858.
- 273) Ber. d. Dtsch. chem. Ges. **5**, 330, 1872.
- 274) Journ. f. prakt. Chem. **75**, 113, 1858.
- 275) Zeitschr. f. physik. Chem. **10**, 425, 1892.
- 276) Jannasch u. Richards, Journ. f. prakt. Chem. (2) **39**, 321; Richards, Zeitschr. f. anorg. Chem. **23**, 383, 1900.
- 277) Ref. Zeitschr. f. physik. Chem. **29**, 340, 1899.
- 278) Zeitschr. f. anorg. Chem. **19**, 97; **21**, 73; **22**, 434; **25**, 319, 1898–1900.
- 279) Ibid. **19**, 454; **21**, 494, 1899.
- 280) Richards u. Parker, ibid. **8**, 420, 1894. Hulets, Zeitschr. anorg. Chem.
- 280a) Journ. Amer. Chem. Ser. **25**, 186, 1903.
- 281) Ber. d. Dtsch. chem. Ges. **35**, 662, 1902.
- 282) Ann. d. chim. et de phys. **10**, 312, 1819.
- 283) Atomgew. **117**.
- 284) Pogg. Ann. **7**, 172, 1826.
- 285) Ann. de chim. et de phys. (4) **3**, 329, 1864.
- 286) Ann. der Chem. **147**, 187, 1868.
- 287) Ber. d. Dtsch. chem. Ges. **6**, 1108, 1873.
- 288) Pogg. Ann. **74**, 249, 1848.

- 289) Ann. de chim. et de phys. (3) **20**, 162, 1847. [66, 1848.
 290) C. r. de l'acad. d. sciences **15**, 920, 1842; Ann. de chim. et de phys. (3), **22**,
 291) Chem. News **43**, 41, 1881.
 292) Ber. d. Dtsch. chem. Ges. 1882, 1007.
 293) Journ. of Chem. Soc. **47**, 364, 1885.
 294) Ber. d. Dtsch. chem. Ges. **27**, 3271, 1894.
 295) Pogg. Ann. **12**, 257, 1828.
 296) Ibid. **40**, 134, 1840.
 297) Untersalpetrige Säure, Habilitationsschrift, Heidelberg, 1878, 11.
 298) Pogg. Ann. **118**, 287.
 299) Zeitschr. f. anorgan. Chem. **27**, 341, 1901.
 300) Ibid. **35**, 385, 1903.
 301) Chem. Industrie **25**, 207, 1902.
 302) Ber. Dtsch. chem. Ges. **30**, 4387, 37, 382.
 303) Ibid. **37**, 201.
 304) Zeitschr. f. Kristallogr. u. Miner. **17**, 177, 1890.
 305) Chem. Ztg. **18**, 67, 1893.
 306) Journ. Chem. Soc. **33**, 273, 1878.
 307) Bulletin de la Soc. Chim. (2) **47**, 300, 1887.
 308) Guthrie, Phil. Magaz. (5) **17**, 462, 1884.
 309) Mühlhaus, Soc. Bull. **36**, 438.
 310) Chem. Abhand. 73.
 311) Constants of nature, Washington 1888.
 312) Z. f. Pharm. 1854, 49.
 313) Ann. de chim. et de phys. **11**, 313, 1791.
 314) Scheikund. Verhand., Rotterdam 1864, 272.
 315) Pogg. Ann. **138**, 300, 1860.
 316) Ann. de chim. et de phys. (7) **2**, 535, 1804.
 317) Zeitschr. f. analyt. Chem. **8**, 260, 1869.
 318) Ann. de chim. et de phys. (7) **13**, 275, 1804.
 319) Zeitschr. f. physik. Chem. **39**, 418, 1902.
 320) Zeitschr. f. analyt. Chem. **28**, 413, 1887.
 321) Drudes Ann. **9**, 522, 1902.
 322) Ann. de chim. et de phys. (7) **25**, 302, 1872.
 323) Zeitschr. f. physik. Chem. **5**, 31, 1890.
 324) Wied. Ann. **18**, 250, 1883.
 324a) Berl. Akad. Ber. 1904, 1215.
 325) Journ. of Phys. Chem. **5**, 348, 1901.
 326) Zeitschr. f. physik. Chem. **36**, 75, 1901.
 326a) Amer. Chem. Journ. **30**, 154, 1903.
 327) Ber. d. kgl. preuss. Akad. d. Wiss. 1872, 40.
 328) Ann. d. Chem. **177**, 274, 1875.
 329) Pogg. Ann. **9**, 235, 1827.
 330) Ann. d. Chem. **52**, 10, 1809.
 331) Pogg. Ann. **132**, 400, 1867.
 332) Ann. d. Chem. **194**, 24, 1875.
 333) C. r. de l'acad. d. sciences **101**, 1146; **102**, 1122, 1880.
 334) Ibid. **98**, 1274, 1884.
 335) Ann. d. chim. et de phys. (5) **51**, 246, 1857.
 336) Schweigger Journ. **67**, 20.
 337) Chem. Centralbl. 1855, 7.
 338) Journ. f. prakt. Chem. **1**, 4, 135, 1851.
 339) Chem. nach Dumas, Gmelin, **1**, 1, 391.
 340) Chem. News **22**, 11, 1870.
 341) Pogg. Ann. **64**, 281, 1852; **88**, 285, 1856.
 342) C. r. de l'acad. d. sciences **103**, 111, 1886.
 343) Ibid. **104**, 1122, 1887.
 344) Ibid. **105**, 1122, 1888.
 345) Ibid. **106**, 1122, 1889.
 346) Ann. chim. phys. (5) **67**, 25, 1902.

- 347) l. c. (339).
- 348) Ann. de Chem. **65**, 143, 1848.
- 349) Jahr.-Ber. 1847, 345.
- 350) Journ. f. prakt. Chem. **70**, 348, 1860.
- 351) Ann. d. Chem. **65**, 331, 1848.
- 352) Ibid. **61**, 61, 1847.
- 353) Pogg. Ann. **32**, 68, 1834.
- 354) Ibid. **70**, 3, 1849.
- 355) Ber. Dtsch. chem. Ges. **8**, 122, 1875.
- 356) Chem. Centralbl. 1858, 737.
- 357) Zeitschr. f. ges. Naturwiss. **23**, 347, 1864.
- 358) Journ. f. prakt. Chem. (2) **14**, 44.
- 359) Jahr.-Ber. 1852, 382.
- 360) Pogg. Ann. **42**, 360, 1837.
- 361) Bull. d. l. soc. chim. (2) **37**, 447, 1882; **47**, 81, 1887.
- 362) Pogg. Ann. **106**, 226, 1859.
- 363) Bull. d. l. soc. chim. (2) **47**, 300, 1887.
- 364) Pogg. Ann. **26**, 314, 1831.
- 365) Recherch. **2**, 180.
- 366) Pogg. Ann. **88**, 105, 1852.
- 367) Chem. Centralbl. 1861, 865.
- 368) Ann. d. chim. et de phys. (3) **51**, 290.
- 369) Ann. d. Pharm. **50**, 117.
- 370) Zeitschr. f. physik. Chem. **12**, 125, 1893.
- 371) Ibid. **12**, 234, 1893.
- 372) Ibid. **44**, 197, 1903.
- 372a) Ibid. **48**, 359, 1903.
- 373) Phil. d. Chem. Berlin 1843, 190.
- 374) Zeitschr. f. physik. Chem. **35**, 23, 1900.
- 375) C. r. de l'acad. des sciences **75**, 73.
- 376) Ann. d. chim. et de phys. **20**, 288, 1825.
- 377) l. c. (374).
- 378) Pogg. Ann. **83**, 133, 1852.
- 379) Salzsolen von Colberg, Göttingen 1860, 52; Jahr.-Ber. 1860, 654.
- 380) Schweiz. Polyt. Ztg. **4**, 82.
- 381) C. r. de l'acad. des sciences **83**, 1056, 1876.
- 382) Ibid. **92**, 931, 1881.
- 383) Journ. Chem. Soc. **14**, 143, 1862.
- 384) Ann. de chim. et de phys. (5) **20**, 445, 1883.
- 385) Zeitschr. f. anorg. Chem. **35**, 336, 1903.
- 386) Ofvers. af K. Vetensk. Akad. Förh. 1874, Nr. 6, 27.
- 387) Ber. d. Dtsch. chem. Ges. **7**, 703, 1874.
- 388) C. r. de l'acad. des sciences **77**, 892.
- 388a) Zeitschr. anorg. Chem. **40**, 337, 1904.
- 389) Guertler, Zeitschr. anorg. Chem. **40**, 337, 1904.
- 390) Pogg. Ann. **87**, 1, 1852.
- 391) Kestners Archiv **20**, 50.
- 392) Ann. de Pharm. **70**, 263, 1850.
- 393) Ber. d. Dtsch. chem. Ges. **14**, 21, 1881.
- 394) Dissert. Helsingfors 1897.
- 395) Monatshefte der Chem. **8**, 598, 1897.
- 395a) Chem. News **88**, 193, 1904.
- 396) Zeitschr. f. physik. Chem. **27**, 401, 1898.
- 397) Journ. f. prakt. Chem. (2) **31**, 321, 1885.
- 398) Arch. d. Pharm. **236**, 412.
- 399) Ber. d. Dtsch. chem. Ges. **14**, 21, 1881.
- 400) Jahr.-Ber. d. Chem. 1873, 69.
- 401) l. c. (395).
- 401a) Journ. Chem. Soc. **83**, 173, 1903.
- 402) Journ. f. prakt. Chem. (2) **5**, 296, 1872.

- 403) Zeitschr. f. physik. Chem. **27**, 401, 1898.
 - 404) Wied. Ann. **51**, 126, 1894.
 - 405) Leitverm. der Elektrolyte, Leipzig, 1898.
 - 406) Journ. f. prakt. Chem. (2) **31**, 32, 1885.
 - 407) Zeitschr. f. analyt. Chem. **38**, 221.
 - 408) Souchay und Lenssen, Ann. d. Chem. **99**, 31, 1856.
 - 409) Ber. d. Dtsch. chem. Ges. **34**, 3313, 1901.
 - 410) Zeitschr. f. physik. Chem. **12**, 234, 1894; **44**, 197, 1903.
 - 411) Ber. d. Dtsch. chem. Ges. **36**, 3715, 1903.
 - 412) Souchay und Lenssen, l. c.; Bérard, Ann. d. Chem. **73**, 263, 1850;
Bergman, opusc. **1**, 251; **3**, 364, 370; Loschmidt, Jahr-Ber. d. Chem. **375**, 1865.
 - 413) Zitiert nach Beilstein, Handb. d. organ. Chem.
 - 414) Jahr-Ber. d. Chem. 1859, 288.
 - 415) Journ. Am. Chem. Soc. **24**, 1012, 1902.
 - 416) Pinkussohn, Zeitschr. f. anorg. Chem. **14**, 387.
-

Atomgewicht des Bariums¹⁾, $Ba = 137,43$.

Die internationale A.-G.-Kommission nimmt $Ba = 137,4$ an.

a) Wahl des Atomgewichts.

Das H-Äquivalent des Bariums in seinen gewöhnlichen Verbindungen ist eine Zahl von der Größenordnung 68. Im Subchlorid $BaCl$ muß man das Äquivalent $Ba = 137$ annehmen. Berzelius nahm anfangs aus dem schon öfters erwähnten Grunde für das Bariumoxyd die Formel BaO_2 an, so daß das Atomgewicht des Bariums dem vierfachen Äquivalent (274) gleich war; später (1826) halbierte er diese Zahl.

Das Gmelinsche Äquivalent war durch die Zahl $Ba = 68,5$ repräsentiert. Das Atomgewicht wurde durch die Zahl $Ba = 137$ ausgedrückt, da man dem Bariumoxyd als starker Base gleich den Oxyden des Calciums und Strontiums die Formel RO zuschrieb.

1. Unsere jetzige Zahl stützt sich nicht auf das Gesetz von Avogadro, da wir die Dampfdichte keiner flüchtigen Verbindung des Bariums kennen. Dagegen befindet sich das Verhalten der Lösungen der Bariumverbindungen als Verbindungen eines zweiwertigen Elements resp. zweiwertiger Ionen im Einklange mit der Ausdehnung des Avogadroschen Gesetzes auf Lösungen durch van't Hoff.

2. Auch auf die Regel von Dulong und Petit stützt sich unser Atomgewicht des Bariums nicht, da die Atomwärme des Bariummetalls bisher nicht ermittelt wurde. Nur auf indirektem Wege ist für dieselbe von Kopp der Wert 6,4 berechnet worden.

3. Mit der Lehre vom Isomorphismus steht unser Atomgewicht im völligen Einklange — das Ba ist isomorph mit Ca , Sr , Pb — und ebenfalls

4. mit dem periodischen Gesetz, da die Eigenschaften des Bariums und seiner Verbindungen Funktionen des Atomgewichts 137 sind und dieses einem zweiwertigen Element der II. Gruppe, 8. Reihe (II—8) zukommen muß.

b) Bestimmung des Atomgewichts.

Dasselbe wurde seit Beginn des 19. Jahrhunderts von vielen Chemikern bestimmt, doch besitzen diese Bestimmungen meist nur ein historisches Interesse, da dieselben durch die wunderbar genauen Resultate der Arbeiten von Richards sozusagen beiseite geschoben wurden, weshalb sie nur kurz angeführt werden können.

1. Die ältesten Bestimmungen. Berzelius²⁾ erhielt 1811 durch Analyse des Bariumcarbonats zwischen $Ba = 134,2$ — $143,3$ schwankende Zahlen. Im Jahre 1818 fand er, daß 100 Teile $BaCl_2$ 138,07 Teilen $AgCl$

entsprechen, woraus $Ba = 136,8$. Ferner erhielt er durch die weniger genaue Methode der Umwandlung des Chlorids in das Sulfat aus 100 Teilen $BaCl_2$ 112,175 Teile $BaSO_4$, woraus $Ba = 135,6$. In seinen ersten zwei Atomgewichtstabellen finden wir die Zahlen (umgerechnet auf $O = 16$), $Ba = 136,7$ (1814) und $Ba = 137,11$ (1818).

Wollaston und Klaproth³⁾ erhielten durch Analyse des Carbonats die Zahl $Ba = 139,2$.

2. Turner⁴⁾ erhielt 1829 aus 100 Teilen $BaCl_2$ 112,19 Teile $BaSO_4$, woraus $Ba = 135,4$. Ferner erhielt er aus 100 Teilen $BaCl_2$ 137,61 Teile $AgCl$, woraus $Ba = 137,3$. Turner kam zu dem Schlusse, daß das Atomgewicht des Bariums von der Zahl $Ba = 137,45$ nicht weit entfernt ist.

Im Jahre 1833 fand Turner⁵⁾, daß 100 Teile $BaSO_4$ aus 112,03 Teilen $Ba(NO_3)_2$ erhalten werden können, woraus $Ba = 137,0$.

Die Angaben von Thomson⁶⁾, daß er durch Ermittlung der Verhältnisse $BaCl_2 : 2AgCl$ und $BaCl_2 : BaSO_4$ die Zahl $Ba = 136$ erhielt — er setzte auch $Ba = 140$ — erwähne ich nur ganz kurz.

Zu der Zahl $Ba = 136$ gelangte auch Salvétat⁷⁾ 1843.

3. Pelouze⁸⁾ bestimmte 1845 das Atomgewicht durch Titration einer Bariumchloridlösung mit Silberlösung, welche bekanntlich in der von ihm angewandten Form zu niedrigen Resultaten führt (siehe beim Calcium sowie weiter unten). Er fand als Mittel von 3 Versuchen, wobei 2,895–5,790 g $BaCl_2$ und 3,001–6,003 g Ag verwendet wurden, das Verhältnis 100 $Ag : 96,4573 BaCl_2$ woraus $Ba = 137,30$.

4. Marignac⁹⁾ führte 1848, gelegentlich einer Bestimmung der Atomgewichte von Cer, Lanthan und Didym, ebenfalls die Bestimmung des Atomgewichts des Bariums nach derselben Methode wie Pelouze (siehe 3) aus. Er führte 11 Versuche aus, in denen 3,3190–8,2650 g $BaCl_2$ und 3,4445 bis 8,5750 g Ag verwendet wurden und findet im Mittel das Verhältnis 100 $Ag : 96,360 BaCl_2$ (Max. 96,377, Min. 96,345), woraus $Ba = 137,09$.

5. Struve¹⁰⁾ bestimmte 1851 die Menge des aus dem Bariumchlorid zu erhaltenden Sulfats. Er fand 100 $BaCl_2 : 112,0938 BaSO_4$, woraus $Ba = 137,0$.

Andrews¹¹⁾ gibt ohne jegliche Data $Ba = 137,6$ an.

6. Marignac¹²⁾ ermittelte 1858 das Verhältnis zwischen dem kristallisierten Bariumchlorid und dem Silber, wobei stets 5 g des Salzes verwendet wurden. Es wurden 6 Versuche ausgeführt und im Mittel das Verhältnis 100 $Ag : 113,110 BaCl_2 \cdot 2H_2O$ gefunden (Max. 113,135, Min. 113,060), woraus $Ba = 137,22$.

In derselben Arbeit bestimmte Marignac die Menge des aus 10 g $BaCl_2 \cdot 2H_2O$ zu erhaltenden wasserfreien Chlorids und des Bariumsulfats. Er erhielt in 3 Versuchen 8,519–8,520 g $BaCl_2$ und 9,542–9,544 g $BaSO_4$ oder im Mittel das Verhältnis 100 $BaCl_2 : 112,011 BaSO_4$.

Marignac erblickt in diesen Versuchen eine Bestätigung seines für das Atomgewicht früher gefundenen Wertes $Ba = 137,04$.

7. Dumas¹³⁾ bestimmte 1859 das Verhältnis zwischen dem Silber und dem im Chlorwasserstoffstrome geschmolzenen Bariumchlorid. Die Resultate mußten, aus bereits wiederholt angeführten Gründen, zu niedrig ausgefallen sein.

Es wurden 16 Versuche ausgeführt, wobei 1,6625–8,6975 g $BaCl_2$ und 1,7270–9,0310 g Ag verwendet wurden. Im Mittel ergab sich das Verhältnis

100 Ag : 96,316 BaCl₂ (Min. 96,265, Max. 96,37₂), woraus Ba = 137,00, wie es die Prout-Dumassche Hypothese verlangte.

Diese Zahl, oder genauer Ba = 137,1, galt über 30 Jahre, d. i. bis zum Erscheinen der Arbeiten von Richards, als das richtige Atomgewicht des Bariums. Ostwald berechnete Ba = 137,04.

8. Die erste Arbeit von Richards¹⁴⁾ bezieht sich auf die Ermittlung der Verhältnisse BaBr₂ : 2Ag und BaBr₂ : 2AgBr. Es ist kaum nötig, hier besonders darauf hinzuweisen, daß Richards auf die Reindarstellung des Materials alle nur denkbare Sorgfalt verwendete. Zur Darstellung des Bariumbromids wurden mehrere, voneinander verschiedene Methoden benutzt, doch brachte dies nicht die geringste Abweichung der Resultate voneinander hervor.

Es mag hier jedoch hervorgehoben werden, daß im Gegensatz zu seinen späteren Arbeiten über die Atomgewichte des Strontiums und des Calciums Richards das wasserfreie Bariumbromid nicht im Bromwasserstoffstrom oder einem Gemisch desselben mit Wasserstoff und Stickstoff zum Schmelzen, sondern in Platintiegeln auf eine mehr oder weniger hohe Temperatur an der Luft erhitzte. Es trat dabei eine sehr geringe Zersetzung ein, so daß die Lösung eine sehr schwache Alkalität besaß. Dieselbe wurde jedoch in allen Fällen mit titrierter Bromwasserstoffsäure auf das genaueste ermittelt und auf Grund davon wurden entsprechende Korrekturen angebracht, so daß das Gewicht des reinen wasserfreien Brombariums genau berechnet werden konnte. In bezug auf die Einzelheiten muß ich auf die hochinteressante Originalabhandlung verweisen.

a) Ermittlung des Verhältnisses zwischen Bariumbromid und Silber.

BaBr ₂ g	Ag g	100 Ag : xBaBr ₂
2,28760	1,66074	137,746
3,47120	2,52019	137,736
2,19940	1,59687	137,732
2,35971	1,71323	137,735
2,94207	2,13584	137,748
1,61191	1,17020	137,747
2,10633	1,52921	137,740
2,19682	2,11740	137,755
2,37290	1,72276	137,738
1,84822	1,34175	137,747
5,66647	4,11360	137,750
3,52670	5,56010	137,756
4,31690	3,13430	137,731
3,36635	2,44385	137,748
3,46347	2,51415	137,759
		Mittel 137,745

Aus sämtlichen 15 Versuchen berechnet sich das Atomgewicht Ba = 137,427.

Richards verwirft die Resultate der ersten zwei Versuche, doch wird das Resultat dadurch nicht geändert.

b) Ermittlung des Verhältnisses zwischen Bariumbromid und Silberbromid.

BaBr ₂ g	AgBr g	100 AgBr : xBaBr ₂
2,28760	2,89026	79,149
3,47120	4,38635	79,136
3,81086	4,81688	79,133
2,35971	2,98230	79,124
2,94207	3,71809	79,129
2,10633	2,66191	79,128
2,91682	3,68615	79,129
2,37290	2,99868	79,131
1,84822	2,33530	79,143
1,90460	2,40733	79,116
5,66647	7,16120	79,127
3,52670	4,45670	79,133
2,87743	3,13644	79,127
3,46347	4,37669	79,135
		Mittel 79,132

Aus dieser Reihe folgt das Atomgewicht Ba = 137,431.

Aus beiden Reihen ergibt sich das Mittel Ba = 139,429.

In seiner zweiten großen Arbeit ging Richards¹⁵⁾ vom Chlorbarium aus. Er verwendete die größte Sorgfalt, um ein spektroskopisch reines Material zu erhalten und bereitete das Chlorid nach verschiedenen Methoden. Er studierte sorgfältigst die Änderung der Zusammensetzung, resp. der Neutralität des Chlorids beim Erhitzen. In bezug auf die sehr lehrreichen Einzelheiten muß ich wiederum auf die mustergültige Originalabhandlung verweisen.

a) Ermittlung des Verhältnisses zwischen dem Chlorbarium und dem Chlorsilber.

In der ersten Versuchsreihe wurde das Chlorbarium bei dunkler Rotglut in Luft oder Stickstoff geglüht, in der zweiten Reihe wurde es im Chlorwasserstoffstrome geschmolzen, in der dritten Reihe wurde das kristallisierte Dihydrat gewogen und daraus das Gewicht des wasserfreien Chlorids berechnet, nachdem in zwei Proben des Salzes durch Schmelzen im HCl-Strome der Wassergehalt des Dihydrats ermittelt worden ist.

Beim Wägen des Chlorsilbers wurden auch die geringen, in das Filtrat gelangenden Mengen desselben berücksichtigt. Die Gewichte sind selbstverständlich auf den luftleeren Raum reduziert.

1. Reihe. BaCl ₂	AgCl	2AgCl : BaCl ₂ = 100 : x	Atomgewicht Ba
6,3697	8,7673	72,653	137,435
3,7765	5,1979	72,654	137,440
3,5846	4,9342	72,648	137,423
1,5085	2,0765	73,646	137,417
3,2163	4,4271	72,650	137,429
		Mittel: 72,649	137,428
2. Reihe. 1,52384	2,09751	72,650	137,429
5,36010	7,37610	72,669	137,481
3,92244	5,39906	72,650	137,429
		Mittel: 72,6563	137,446

3. Reihe. BaCl_2	AgCl	$2\text{AgCl} : \text{BaCl}_2$ $= 100 : x$	Atomgewicht Ba
5,79123	8,2189	72,6524	137,435
3,28410	4,5199	72,6587	137,444
		Mittel: 72,6555	137,444

Aus diesen drei Reihen ergibt sich im Mittel das Atomgewicht $\text{Ba} = 137,439$. ($100 \text{ AgCl} = 72,6531 \text{ BaCl}_2$).

b) Bestimmung des Verhältnisses zwischen Chlorbarium und Silber.

Da das Chlorsilber in den Flüssigkeiten, aus denen dasselbe gefällt wurde, in bedeutendem Grade löslich ist, was bekanntlich von Pelouze, Marignac, Dumas u. a. nicht berücksichtigt und erst von Mulder und Stas entdeckt wurde, so wurde bei der Bestimmung des Endpunktes besondere Rücksicht auf diese Löslichkeit genommen.

In der ersten Reihe wurde die über dem Chlorid stehende Flüssigkeit mit Silberionen und Chlorionen „hin und zurück“ titriert und das Mittel zwischen diesen beiden Enden als definitiver Endpunkt angenommen.

In der zweiten Reihe wurde ein geringer Silberüberschuß hinzugefügt, die Filtrate von der Hauptsilbermenge abgedampft und von der geringen Menge des darin gelöst gewesenen Chlorsilbers abfiltriert. Aus dem nun erhaltenen Filtrate wurde das Silber als Bromsilber gefällt und gewogen und der aus seinem Gewicht berechnete Silberüberschuß von der angewandten Menge Silber abgezogen.

In der dritten Reihe wurde das Filtrat vom Chlorsilber in zwei Teile geteilt. Aus der einen Hälfte wurde nach dem Eindampfen mit Bromwasserstoffsäure das Bromid erhalten, aus der anderen mit Silbernitrat das Chlorsilber. Die geringen Mengen Brom- und Chlorsilber wurden „durch Reduktion und Benutzung der Volhardschen Methode bestimmt“. (?)

In der vierten Reihe wurde das Verhältnis zwischen den in der Lösung verbliebenen Chlor- und Silberionen mittels des später beschriebenen „Nephelometers“, d. i. aus der nach Zusatz von Silber- und Chlorionen beobachteten relativen Trübung bestimmt:

1. Reihe. BaCl_2	Ag	$2\text{Ag} : \text{BaCl}_2$ $= 100 : x$	Atomgewicht Ba
5,9717	6,1872	96,517	137,431
5,4597	5,6580	96,495	137,383
3,4728	3,5988	96,499	137,389
9,0726	9,4010	96,507	137,408
0,6950	0,7199	96,541	137,482
		Mittel: 96,511	137,419
2. Reihe. 6,36974	6,59993	96,512	137,419
5,36010	5,55229	96,539	137,476
3,92244	4,06380	96,522	137,440
		Mittel: 96,524	137,445
3. Reihe. 4,2815	4,4355	96,528	137,453
2,6488	2,7440	96,531	137,459
5,9712	6,1865	96,520	137,436
3,2841	3,4023	96,526	137,449
		Mittel: 96,526	137,449

4. Reihe. BaCl_2	Ag	$11\text{Ag} : \text{BaCl}_2$ = 100 : x	Atomgewicht Ba
6,50022	6,7342	96,525	137,448
10,25305	10,6023	96,523	137,442
	Mittel:	96,524	137,445
	Gesamtmittel:	96,5204	137,439

Aus diesen vier Versuchsreihen ergibt sich das Atomgewicht des Barium: $\text{Ba} = 137,439$.

Wie ich oben unter 3., 4., 6. und 7. angeführt habe, bedienten sich Pelouze, Marignac und Dumas der Gay-Lussacschen Titriermethode mit einer Silberlösung von bekanntem Silbergehalt, um die Menge des Chlors im Chlorbarium zu bestimmen, also einer Methode, welche im Prinzip auch von Richards angewandt wurde. Die genannten Chemiker setzten die Silberlösung zu der Chloridlösung so lange zu, bis die Grenze der Chlorsilberfällung erreicht war. Mulder und Stas zeigten beinahe, daß dabei mehr Silber verbraucht wird als dem in Lösung befindlichen Chlor entspricht, da das Chlorsilber in der über demselben stehenden Flüssigkeit löslich ist. Je nachdem, ob das Silberchlorid weniger lange geschüttelt wurde, also flockig ist, oder länger geschüttelt wurde und pulverig ist, löst ein Liter Wasser 10 mg bis 15 mg AgCl auf. Es muß nun auf jedes in Lösung vorhandene Ag- oder Cl-Ion die dreifache Menge Ag-Ionen (oder Cl-Ionen) zugesetzt werden, um die Grenze der Fällbarkeit des Chlorsilbers zu erreichen. Die Löslichkeit des Chlorsilbers erreicht bei dieser Art der Fällung selten den von Kohlrausch beobachteten Minimaxwert, erstens deshalb, weil das flockige Chlorsilber löslicher ist, als das pulverförmige. Zweitens wird das Chlorsilber bei den angeführten Grenzzuständen, wenn seine Ionen aus der gelösten Form in die ungelöste Form (AgCl) übergehen, in einem Zustande der feinsten Verteilung (Organisation) ausgeschieden, der wahrscheinlich metastabil ist, was eine gewisse Übersättigung der Lösung mit sich bringen könnte. Sollte das AgCl auch kolloidal sein? Dieses interessante Problem bedarf noch einer Aufklärung.

In welcher Weise der angeführte Mehrverbrauch von Silber auf das Atomgewicht des Bariums sich äußert, läßt sich leicht aus den von Richards auf Seite 111 seiner zweiten Abhandlung angeführten Versuchszahlen berechnen, welche bei Gelegenheit der Bestimmung des Verhältnisses $\text{BaCl}_2 : 11\text{Ag}$ erste Reihe, Stas zweite Methode erhalten wurden. Ich setze neben die Data von Richards die Silbermengen, welche Richards selbst nach der alten Methode verbraucht hat, um das Silberende zu erreichen und zurechnet die nach der alten Methode berechneten Atomgewichte. Δ ist der Unterschied zwischen den extremen Silbermengen, δ zwischen dem „Chlorende“ und dem „Silberende“ und die von Richards verbrauchte Menge Silber aus Γ gibt die von Stas verbrauchte.

BaCl_2	Ag	Ag	Ag	Atomgewicht des Ba	Atomgewicht des Ba
Richards	Richards	Richards	alte Methode	Richards	alte Methode
6,5007	1,572	1,572	1,588	137,431	137,376
6,5007	1,569	1,569	1,587	137,433	137,120
6,5007	1,568	1,568	1,587	137,432	137,246
6,5007	1,569	1,569	1,588	137,432	137,230
6,5007	1,569	1,569	1,587	137,432	137,063

Der Vergleich der letzten von Reimer der Atomgewichtszahlen wirkt ein klares Licht darauf, warum Pelouze, Marignac und Debus das Atomgewicht des Bariums mittels der Gay-Lussacschen Methode zu niedrig und ungemein groß finden mußten.

Richards bestimmte nach vorher die Menge des aus Chlorbarium zu erhaltenden Bariumsulfats und fand, daß 100 Teile BaCl_2 112,073 Teile BaSO_4 liefern. Er findet jedoch, daß sich dabei die verschiedenen Fehler nahezu kompensieren, so daß das Resultat $\text{Ba} = 137.43$ zufällig dem wirklichen Wert nahe kommt. Die Zahl besitzt keine größere Genauigkeit als 12. Er führt die experimentellen Daten nicht an, doch finden sich dieselben bei Clarke¹⁶⁾ mitgeteilt.

Aus sämtlicher Versuchsreihen von Richards ergeben sich vier Mittelwerte für das Atomgewicht des Bariums:

	Atomgewicht	Anzahl von Richards
1. $\text{BaCl}_2 : 2\text{AgCl}$	137.430	137.445
2. $\text{BaCl}_2 : 2\text{Ag}$	137.430	137.440
3. $\text{BaBr}_2 : 2\text{AgBr}$	137.431	137.430
4. $\text{BaBr}_2 : 2\text{Ag}$	137.427	137.435
Gesamtmittel:	137.434	137.441

Obwohl Richards selbst aus seinen vertrauenswürdigsten Resultaten das Mittel $\text{Ba} = 137.44$ zieht, so finden wir in den von ihm herausgegebenen Atomgewichtstabellen¹⁷⁾ als Atomgewicht des Bariums die auch aus unserer Berechnung sich ergebende Zahl $\text{Ba} = 137.43$ angeführt, so daß wir derselben den Vorzug geben müssen.

Bei der Korrektur erfahre ich, dass Richards und Wells soeben das Atomgewicht des Chlors zu $\text{Cl} = 35.467$ gefunden haben. (Bisher nahm ich mit Richards die Stasssche Zahl $\text{Cl} = 35.455$ an). Mit dieser neuen Zahl berechnen sich aus den obigen Verhältnissen 1. und 2. die folgenden Atomgewichtszahlen:

1. $\text{BaCl}_2 : 2\text{AgCl}$ $\text{Ba} = 137.431$ (früher 137.430)
2. $\text{BaCl}_2 : 2\text{Ag}$ $\text{Ba} = 137.415$ (früher 137.430)

Es bleiben, wie früher, un geändert:

3. $\text{BaBr}_2 : 2\text{AgBr}$ $\text{Ba} = 137.431$
4. $\text{BaBr}_2 : 2\text{Ag}$ $\text{Ba} = 137.427$

Gesamtmittel: $\text{Ba} = 137.426$ (früher 137.434).

Die zweite Dezimalstelle der früheren Zahl $\text{Ba} = 137.43$ bleibt also unverändert.

Übersicht

Chemiker	Jahr	Verhältnis	Atomgew. Ba
Berzelius	1818	$\text{BaCl}_2 : 2\text{AgCl}$	130.8
		$\text{BaCl}_2 : \text{BaSO}_4$	135.0
Turner	1829	$\text{BaCl}_2 : \text{BaSO}_4$	135.4
		$\text{BaCl}_2 : 2\text{AgCl}$	137.3
		wahrscheinlichste Zahl	137.45
Turner	1833	$\text{Ba}(\text{NO}_3)_2 : \text{BaSO}_4$	137.0
Pelouze	1845	$\text{BaCl}_2 : 2\text{Ag}$	137.30
Marignac	1848	$\text{BaCl}_2 : 2\text{Ag}$	137.00

Struve	1851	$\text{BaCl}_2 : \text{BaSO}_4$	137,0
Marignac	1858	$\text{BaCl}_2 \cdot 2\text{H}_2\text{O} : 2\text{Ag}$	137,22
		$\text{BaCl}_2 : \text{BaSO}_4$	137,04
Dumas	1859	$\text{BaCl}_2 : 2\text{Ag}$	137,00
Richards	1893	$\text{BaBr}_2 : 2\text{Ag}$	137,43
		$\text{BaBr}_2 : 2\text{AgBr}$	137,43
		$\text{BaCl}_2 : 2\text{AgCl}$	137,44
		mit dem neuen Wert $\text{Cl} = 35,467$	137,43
		$\text{BaCl}_2 : 2\text{Ag}$	137,44
		mit dem neuen Wert $\text{Cl} = 35,467$	137,42
		$\text{BaCl}_2 : \text{BaSO}_4$	137,43 $\pm 0,2$
Richards		Gesamtmittel	137,43

Das Atomgewicht des Bariums ist demnach

$$\text{Ba} = 137,43 \text{ (I—II),}$$

d. i. mit einer kleinen Unsicherheit in der zweiten Dezimalstelle.

Die internationale A.-G.-Kommission hat die zweite Dezimalstelle gestrichen und setzt $\text{Ba} = 137,4$.

- 1) Allgemeine Bemerkungen über Atomgewichte siehe bei Beryllium S. 26.
- 2) Berzelius, Gilb. Ann. **1**, 267—287, 1811; Schweigger **23**, 117, 118; Pogg. Ann. **8**, 189. Siehe auch seine Atomgewichtstabellen.
- 3) Wollaston, Phil. Trans. 1814, 20.
- 4) Turner, Phil. Trans. 1829, 296.
- 5) Turner, Phil. Trans. 1833, 538.
- 6) Thomson, System of Chemistry **1**, 425, 1831.
- 7) Salvétat, Compt. rend. **17**, 318.
- 8) Pelouze, Compt. rend. **20**, 1047 [plètes **1**, 219.
- 9) Marignac, Arch. Sc. Phys. Nat. **8**, 271. Besser zugänglich in Oeuvres complètes **1**, 559.
- 10) Struve, Lieb. Ann. **80**, 204. Besser zugänglich in Oeuvres complètes **1**, 559.
- 11) Andrews, Brit. Assoc. Rep. 1852. Besser zugänglich in Oeuvres complètes **1**, 559.
- 12) Marignac, Archives Soc. Phys. Nat. **1**, 209. Besser zugänglich in Oeuvres complètes **1**, 559.
- 13) Dumas, Ann. Chim. Phys. (3), **55**, 129; Lieb. Ann. **113**, 22. [471, 1893.
- 14) Richards, Proc. Amer. Acad. **28**, 1893; Zeitschr. f. anorg. Chem. **3**, 441 bis 471, 1893.
- 15) Richards, Proc. Amer. Acad. **29**, 55, 1893; Zeitschr. anorg. Chem. **6**, 89 bis 127, 1894.
- 16) Clarke, Recalculation, New Edition. S. 123.
- 17) Richards, Proc. Amer. Acad. April 1901.

Brauner.

Radium.

Das Radium ist bisher fast ausschließlich hinsichtlich seiner interessantesten, physikalischen Eigenschaft, der Radioaktivität, studiert worden. Gerade diese Eigenschaft aber empfiehlt es sich in einem besonderen Kapitel zu besprechen, in welchem alle radioaktiven Stoffe im Zusammenhang abgehandelt werden sollen. An dieser Stelle sollen daher nur die wenigen Tatsachen aufgeführt werden, welche im übrigen zur Charakterisierung dieses kostbaren Stoffes, der noch niemals in größerer Menge als einigen Dezigrammen in den Händen eines Forschers vereinigt war, dienen können.

Das Radium ist im Jahre 1898 von P. und S. Curie in Gemeinschaft mit G. Bémont¹⁾ entdeckt worden. Die Entdeckung war eine Folge der von dem Ehepaar Curie gemachten Beobachtung, daß manche Uranminerale mehrfach stärker radioaktiv sind, als das Uran selbst. Dadurch wurden sie veranlaßt zu untersuchen, ob in diesen Mineralien nicht noch unbekannte Stoffe von stärkerem Strahlungsvermögen enthalten wären. Diese Vermutung fand sich bestätigt und insbesondere erwies sich das aus diesen Mineralien abgeschiedene Barium, das übrigens nur in äußerst geringer Menge darin vorkommt, stark und konstant radioaktiv.

Das Radium ist bisher nur als Begleiter des Urans in Mineralien aufgefunden worden und zwar scheint²⁾ der Gehalt der Gesteine an Radium direkt von dem Urangehalt abhängig zu sein. Beobachtungen von Elster und Geitel³⁾ über die Radioaktivität des Erdbodens machen es allerdings sehr wahrscheinlich, daß das Radium spurenweise in der festen Erdrinde überall enthalten ist. Die Radioaktivität der Thermalquellen berechtigt zu der Vermutung, daß der Radiumgehalt der Erdrinde nach dem Inneren hin zunimmt.

Zur Reindarstellung von Radiumsalzen hat bisher nur die Joachimsthaler Pechblende das Material geliefert. Dieses Mineral wird in größerem Maßstabe in der Joachimsthaler Hütte auf Uranverbindungen verarbeitet. Die Rückstände von dieser Fabrikation enthalten neben viel Gangart, Eisen-, Blei-, Kupfer-, Wismutsalzen u. a. m. eine sehr geringe Menge von radiumhaltigem Bariumsulfat. Zu dessen Abscheidung verfährt man so, daß man die ganze Masse zunächst mit Alkali auskocht, um den größten Teil der Sulfate zu zersetzen. Von diesen bleibt dabei im wesentlichen nur das Barium-Radiumsulfat unangegriffen. Den Laugrückstand zieht man mit Salzsäure aus, wobei die Oxyde der Schwermetalle und Kalk in Lösung gehen. Was ungelöst geblieben ist, wird nun zur Umwandlung des Barium-Radiumsulfats in Carbonat mit konzentrierter Sodalösung gekocht, die Lösung sorgfältig gewegewaschen

und der Rückstand mit reiner, schwefelsäurefreier Salzsäure behandelt. Dabei geht das Gemisch der Barium-Radiumsalze in Lösung und wird nach den für Bariumsalze üblichen, analytischen Methoden gereinigt.

Nach den Angaben der Frau S. Curie⁴⁾ soll eine Tonne der Joachimsthaler Rückstände bei solcher Behandlung 8 kg Barium-Radiumsalz liefern. Dieser Wert übertrifft aber die Durchschnittsausbeute noch um ein Vielfaches. Der Gehalt dieses Salzes an Radiumsalz ist noch sehr gering. Er beträgt schätzungsweise 0,3 Promille.⁵⁾

Die Trennung des Radiums vom Barium gestaltet sich dadurch sehr schwierig, weil diese beiden Stoffe sich in allen chemischen Reaktionen durchaus gleichen. Wahrscheinlich bilden alle Salze der beiden Metalle in jedem Verhältnis Mischkristalle. Um solche durch Kristallisation zu trennen, muß man bekanntlich ein der fraktionierten Destillation nachgebildetes Fraktionierverfahren anwenden. Durch ein solches ist es Frau Curie gelungen, nach Verarbeitung mehrerer Kilo des Gemenges der Chloride in den schwerer löslichen Anteilen das Radiumchlorid soweit anzureichern, daß in den schließlich verbliebenen wenigen Dezigrammen Salz bei spektroskopischer Prüfung nur noch spurenweise Barium nachzuweisen war. Dieses Salz kann wohl als annähernd reines Radiumchlorid angesehen werden, obwohl ein sicheres Kriterium für den Reinheitsgrad fehlt. Übrigens gelingt die Anreicherung des Radiumbromids aus dem Gemenge mit Bariumsalz nach Giesel schneller als diejenige des Chlorids.

Das reinste, von Frau Curie gewonnene Radiumchlorid diente zur Ermittlung des Atomgewichtes. In dem wasserfreien Salz wurde der Chlorgehalt durch Wägung des aus der Lösung gefällten Chlorsilbers ermittelt. Unter der Voraussetzung, daß dem Salz bei seiner völligen Analogie mit dem Barium die Formel RaCl_2 zukommt, wurde das Atomgewicht im Mittel

$$\text{Ra} = 225$$

gefunden.

Radiumsalze färben die Flamme des Bunsenbrenners rot.⁶⁾ Das Bunsenflammenspektrum zeigt zwei rote Bänder und eine helle, blaue Linie. Es ist von Runge und Precht⁷⁾ eingehend untersucht worden, welche die Linie 4826 als charakteristischste hervorheben. Das Funkenspektrum haben Demarçay⁸⁾ und Runge⁹⁾ beschrieben. Hier zeigt sich als hellste Linie diejenige von der Wellenlänge 3814,7 im Ultraviolett. Durch Vergleich des Funkenspektrums mit demjenigen der übrigen alkalischen Erden finden Runge und Precht¹⁰⁾ die Zugehörigkeit des Radiums zu dieser Elementengruppe zwar bestätigt, berechnen¹¹⁾ aber das Atomgewicht des Metalles zu 258.

Alle Salze des Radiums gleichen durchaus denen des Bariums und sind wohl durchweg mit ihnen isomorph. Für das Radiumbromid hat Rinne¹²⁾ dies durch Messung bestätigt. Die Kristalle sind monoklin ($1,4485:1:1,1749$, $ac = 65^{\circ}24'$). Löslichkeitsbestimmungen für Radiumsalze liegen zwar nicht vor, doch ergibt sich aus dem oben erwähnten Verhalten der Gemische von Radiumchlorid und -bromid mit den entsprechenden Bariumsalzen bei der Kristallisation aus wässrigen Lösungen, daß diese Radiumsalze schwerer löslich sein müssen als die zugehörigen Bariumsalze.

Im Gegensatz zu dem diamagnetischen Bariumchlorid ist das Radiumchlorid paramagnetisch. Seine Magnetisierungszahl¹³⁾ beträgt $K = 1,05 \cdot 10^{-6}$.

Das Leitvermögen des Radiumbromids fanden Kohlrausch und Henning¹⁴⁾ in Lösung von 1/12000- bis 1/20-normal völlig entsprechend den anderen alkalischen Erden. Die Ionenbeweglichkeit in Wasser beträgt unter Annahme des Atomgewichtes 225 für $\frac{1}{2}$ Ra 57,4.

Während das zur Trennung des Radiums vom Barium benutzte Verfahren, welches in der fraktionierten Kristallisation der Salze besteht, auf statischen Verhältnissen beruht, ist neuerdings auch ein dynamischer Unterschied zwischen den beiden Elementen aufgefunden worden. Bei der Einwirkung von Natriumamalgam auf eine Radium- und Bariumchlorid enthaltende, wässrige Lösung entsteht nach W. Marckwald¹⁵⁾ ein Barium-Radiumamalgam, in welchem das Verhältnis von Radium zu Barium um ein Vielfaches größer ist als in der Lösung. Ganz analog beobachtete Coehn¹⁶⁾, daß sich bei der Elektrolyse einer Radiumbariumchloridlösung unter Anwendung einer Quecksilber- bzw. Zinkamalgamkathode das Radium verhältnismäßig reichlicher als das Barium abscheidet.

Vielleicht wird sich auf dieses Verhalten in Zukunft eine bequemere Methode zur Tennung des Radiums vom Barium begründen lassen.

- 1) C. r. d. l'Acad. des sciences **127**, 1215, 1898.
- 2) Mc. Coy, Ber. Deutsch. chem. Ges. **37**, 2641, 1904.
- 3) Physikalische Zeitschr. **5**, 11, 1903.
- 4) Ann. Chim. Phys. [7] **30**, 99, 1903.
- 5) F. Giesel, Ber. Deutsch. chem. Ges. **35**, 3608, 1902. [1902.
- 6) F. Giesel, Ber. Deutsch. chem. Ges. **35**, 3608, 1902. — Physik. Ztschr. **3**, 578,
- 7) Ann. der Physik [4] **10**, 655, 1903.
- 8) C. r. d. l'Acad. des sciences **121**, 716, 1899.
- 9) Ann. der Physik [4] **2**, 742, 1900.
- 10) Phys. Zeitschr. **4**, 285, 1903.
- 11) Vergl. das Kapitel über Spektralregelmäßigkeiten.
- 12) Centr.-Bl. f. Min. u. Geol. 1903, 134.
- 13) P. Curie und Cheneveau, Soc. franç. de phys. 3. Avril 1903.
- 14) Verh. d. Deutsch. phys. Ges. **6**, 144.
- 15) Ber. Deutsch. chem. Ges. **37**, 88, 1904.
- 16) Ber. Deutsch. chem. Ges. **37**, 811, 1904. — Vergl. Wedekind, Chem.-Ztg. **28**, 269, 1904.

W. Marckwald.

Atomgewicht des Radiums ¹⁾, Rd oder Ra = 225.

Dieses sehr seltene, nur in kleinen Mengen in der Form von Verbindungen zugängliche Element ist in bezug auf seinen chemischen Charakter nur sehr wenig studiert worden und aus demselben Grunde liegt sozusagen nur der erste Versuch einer Atomgewichtsbestimmung vor.

Im Jahre 1899 fand Frau Curie ²⁾, welche Ende 1898 das Radium entdeckte, nachdem sie eine größere Quantität radiumhaltiges Bariumchlorid bereitet hatte, durch Bestimmung seines Chlorgehalts, daß das „Atomgewicht“ oder besser Verbindungsgewicht des in demselben enthaltenen Gemisches der Elemente $R^{II} = 140,0, 140,9$ beträgt und bei weiterer Reinigung auf $R^{II} = 145,8$ steigt.

Im Jahre 1900 trieb Frau Curie ³⁾ die Reinigung des bariumhaltigen Radiums viel weiter und gelangte zu Fraktionen, in welchen das Elementgemisch das „Atomgewicht“ $R^{II} = 173,6$ bis 174 zeigte. Infolge der spektroskopischen Prüfung schien darin das Radium vor dem Barium etwas vorzuwalten.

Im Jahre 1902 erhielt Frau Curie ⁴⁾ durch möglichst weit getriebenes fraktioniertes Reinigungsverfahren eine geringe Menge Radiumchlorid, welches nach einer spektroskopischen Prüfung durch Demarçay eine so geringe Beimischung von Barium enthielt, daß sie auf die Atomgewichtsbestimmung keinen Einfluß ausüben konnte. Die bei dieser Atomgewichtsbestimmung erhaltenen analytischen Data wurden erst 1903 publiziert. ⁵⁾

Frau Curie bestimmte die Menge des Chlorsilbers, das sie aus dem bei 100° getrockneten wasserfreien (?) Radiumchlorid erhielt. Das Radiumchlorid gewann sie durch Eindampfen der wässrigen Lösung bei 100° und regenerierte es nach der ersten Bestimmung aus den durch Salzsäure vom Silber befreiten Filtraten zweimal. Sie bediente sich bei der Berechnung der etwas eigentümlichen Atomgewichte $Ag = 107,8$ und $Cl = 35,4$, wobei sie das Atomgewicht $Rd = 225,3, 225,8$ und $224,0$ erhielt.

Ich habe die Resultate mit $Ag = 107,93$ und $Cl = 35,455$ umgerechnet.

RdCl ₂ g	AgCl g	Atomgewicht Rd =
0,09192	0,08890	225,60
0,08936	0,08627	226,13
0,08839	0,08589	224,21

Mittel: 225,31

Mit Recht hält Frau Curie den abgerundeten Wert $Rd = 225$ als etwa bis auf eine Einheit genau.

Brauner ⁶⁾ konnte schon Ende 1901 auf Grund von auf das periodische

System gestützten Betrachtungen vorhersagen, dass die bisher leere Stelle in der II. Gruppe der von Brauner als 10 bezeichneten Reihe vom Radium mit dem Atomgewicht 225 eingenommen werden wird (damals war die höchste erhaltene Zahl $Rd = 174$).

Watts⁷⁾ studierte die Relationen zwischen den Wellenlängen der Spektra und den Quadraten der Atomgewichte und findet durch Vergleich der Spektra des Radiums und des Bariums, daß das Atomgewicht des Radiums $Rd = 225,05$ betragen muß. Aus dem analogen Vergleich mit dem Quecksilber findet er $Rd = 224,63$, im Mittel $Rd = 224,89$.

Runge und Precht⁸⁾ finden dagegen durch Vergleich der harmonischen Spektrallinien mit den Atomgewichten, daß das Atomgewicht des reinen Radiums $Rd = 257,8$ sein muß. Dies ist eine Extrapolation mit ihren bekannten Schwächen, denn die genannten Forscher nehmen an, daß die Kurve, welche fast einer geraden gleichkommt, auch in ihrem oberen Ende in der gleichen Richtung wie in den unteren Teilen verläuft; doch ist nicht einzusehen, warum dies bei einem so „abnormen“ Element wie das Radium, dessen spektrales Verhalten möglicherweise von anderen Atomschwingungen bedingt ist, als dasjenige der „normalen“ Elemente mit kleinerem Atomgewicht unbedingt der Fall sein müßte. Meiner Ansicht nach sind die Spektra der in den paaren Reihen der II. Gruppe stehenden Elemente Be, Ca, Sr, Ba, Rd miteinander zu vergleichen, wie dies bei den unteren Gliedern Hartley tat (s. Beryllium), und nicht Mg, Ca, Sr, Ba, Rd, wie dies Runge und Precht taten.

Runge⁹⁾ wendet sich scharf gegen die Schlußfolgerungen Watts. Die Diskussion wird fortgesetzt. Auch Rudolf^{9a)} gelangt auf Grund von Spektralregelmäßigkeiten und vom Standpunkte des periodischen Systems zum Atomgewicht $Rd = 225$.

Wenn wir dem Radium das Doppelte des 112 betragenden H-Äquivalents zuschreiben, so geschieht es nur auf Grund von Analogien, da wir über diesen Punkt weder auf Grund des Gesetzes von Avogadro oder auf Grund des Verhaltens in Lösungen, noch auf Grund der Regel von Dulong und Petit urteilen können. Es scheint zwar, daß zwischen den Radium- und Bariumverbindungen Isomorphismus besteht, doch wissen wir darüber wenig.^{9b)} Auch die oben angeführte Analogie der Spektra kann nicht als ein entscheidendes Argument für $Rd = 225$ angesehen werden. Dagegen geht die Analogie zwischen den Reaktionen des Radiums und des Bariums beinahe in Identität über, denn das Radium unterscheidet sich vom Barium bisher nicht qualitativ, sondern nur quantitativ, wie durch verschiedene Löslichkeit des Chlorids oder Bromids. Es liegt hier ein Fall wie bei den seltenen Erden vor, ohne daß man jedoch bisher versucht hätte, die Frage zu beantworten, welches von beiden Elementen die stärkere Basis gibt. Eine weitere Analogie ist die, daß das Radium in derselben Horizontalreihe steht mit anderen radioaktiven Elementen wie Th und U.

Ein wichtiges Argument zugunsten des Atomgewichts $Rd = 225$ lieferte die neuerdings veröffentlichte Arbeit von Kohlrausch und Henning¹⁰⁾ über die Leitfähigkeit des Radiumbromids in wässriger Lösung. Das äquivalente Leitvermögen zwischen $n/20$ und $n/12000$ ist, unter Annahme von $Rd = 225$ normal und analog dem des Bariumchlorids. Λ ist etwa 125, woraus sich die Beweglichkeit des (halben) Radiumions ($\frac{1}{2} Rd$) zu 57, ähnlich dem des $\frac{1}{2} Ba$ (56) und des Sr und Ca (53) ergibt. Dagegen würden sich mit dem Runge

und Prechtschen Wert $Rd = 258$ die viel unwahrscheinlicheren Werte $A = 135$ und die Beweglichkeit $= 67$ ergeben.

Das Atomgewicht des Radiums ist bis auf weiteres

$$Rd = 225 \text{ (III)}$$

mit einer Unsicherheit in den Einheiten.

Brauner.

-
- 1) Allgemeine Bemerkungen über Atomgewichte siehe beim Beryllium. S. 26.
 - 2) Sklodowska-Curie, Compt. rend. **129**, 760—762.
 - 3) Curie, Compt. rend. **131**, 382.
 - 4) Curie, Compt. rend. **135**, 161.
 - 5) Curie, Ann. chim. phys. (7), **30**, 140.
 - 6) Brauner, Journ. der russ. phys. chem. Ges. **34**, 142; später in Zeitschr. anorg. Chem. **32**, 24.
 - 7) Watts, Phil. Mag. (6), **6**, 64.
 - 8) Runge u. Precht, Phys. Zeitschr. **4**, 285.
 - 9) Runge, Phil. Mag. (6), **6**.
 - 9a) Rudorf, Zeitschr. phys. Chem. **50**, 100, 1904.
 - 9b) Vergl. Rinne, Centralbl. f. Mineralogie 1903, 134.
 - 10) Kohlrausch u. Henning, Verh. d. dtsh. phys. Ges. **6**, 144—446 (1904).
-

Zink.

Zinkmetall. Das Zink, $\text{Zn} = 65,4$, als reines Metall seit einigen Hundert Jahren, in Legierungen, z. B. Messing, schon im Altertume bekannt, findet sich in der Natur sehr reichlich in Gestalt verschiedener Mineralien. In gediegenem Zustande sehr selten auftretend¹⁾, bildet es als Sulfid (Blende) Carbonat (Galmei), Silicat (Kieselzinkerz) und auch als Oxyd ergiebige Lager, an denen in Europa zwei Gebiete besonders reich sind: Oberschlesien und die deutsch-belgischen Grenzlande.

Die Gewinnung des Zn aus seinen Erzen richtet sich naturgemäß nach deren Zusammensetzung. ZnO kann durch Kohle reduziert werden, wobei Zn destilliert.²⁾ Für die anderen Zn -Erze, Carbonat, Sulfid, Silicat, ist dasselbe Verfahren gebräuchlich, sie werden vor der Reduktion geröstet, dem Silicat kann zum Zwecke der Kieselsäurebindung CaO zugeschlagen werden. Außer diesem älteren Verfahren sind in neuerer Zeit elektrochemische Methoden aufgekomen, welche gute Ausnutzung der nötigen Energie gestatten. Es ist dafür zu sorgen, daß das Bad einerseits an Zn^{++} -Ionen möglichst hoch konzentriert ist, sofern nicht dadurch die Beschaffenheit des abgeschiedenen Metalls ungünstig beeinflußt wird, anderseits müssen Wasserstoffionen möglichst verdünnt sein, damit sich nicht zuviel H_2 neben Zn abscheidet. Man benutzt daher nicht saure, sondern neutrale Lösungen, und profitiert überdies von dem Umstande, daß H_2 zu seiner Abscheidung an Zn -Kathoden einer erheblichen Überspannung bedarf, die ca. 0,7 Volt beträgt³⁾; dadurch wird der zugunsten der H_2 -Abscheidung bestehende Unterschied in den elektrolytischen Potentialen von Zn und H mehr als ausgeglichen. In alkalischen Zinkatlösungen, wo durch die geringe H^+ -Konzentration die H_2 -Abscheidung noch erschwert wird, ist aber auch die Konzentration der Zn^{++} -Ionen so klein⁴⁾, daß die Verhältnisse wesentlich dieselben bleiben wie in neutraler Lösung.

Der Aufschluß der Erze für die Elektrolyse kann beim Oxyd und Carbonat durch Lösen in Säuren, beim Sulfid praktisch unter Oxydation erfolgen, um die Entwicklung von H_2S zu vermeiden. Als Oxydationsmittel kann z. B. Chlor dienen und, wenn man die Elektrolyse so leitet, daß das Cl an der Anode abgeschieden wird, wieder benutzt werden. Zu diesem Zwecke elektrolysiert man nicht wässriges, sondern geschmolzenes ZnCl_2 .

Das rohe Zn zu reinigen, ist eine Aufgabe, die durch die Mannigfaltigkeit der beigemischten Stoffe einigermaßen kompliziert wird. Außer Pb , Fe , Cd enthält es häufig As und dessen Verwandte, in sehr kleinen Mengen auch andere Stoffe wie S und C . Die beiden letztgenannten Elemente sind bei niederen Temperaturen nicht merklich löslich in Zn , und daher vielleicht

nur mechanisch beigemischt, denn sie können durch Umschmelzen und sorgfältiges Filtrieren so gut wie völlig entfernt werden.⁵⁾ As und P werden entfernt durch Destillieren mit KNO_3 , wobei Zn übergeht, oder mit MgCl_2 oder NH_4Cl , wobei außer etwas ZnCl_2 die Chloride von P und As verdampfen⁶⁾ oder durch Bildung von Alkaliverbindungen durch Schmelzen mit KOH oder Kalk.⁷⁾ Pb empfiehlt Rontschewsky⁸⁾ durch Elektrolyse einer Salzlösung, welche Chlorat enthält, als PbO_2 abzuscheiden.

Ein hochreines Zn stellten Mylius und Fromm⁹⁾ dar. Fraktionierte Kristallisation entfernte Pb sehr schnell, Cd langsamer, Fe dagegen konzentrierte sich im Zn.^{9a)} Durch Elektrolyse schon hochgereinigtes Metall enthielt dann nach Destillation im Vakuum mehr als 99,999 Proz. Zn. Die bei der Elektrolyse auftretende Schwammbildung soll nach Förster und Günther¹⁰⁾ durch Zusatz von $(\text{NH}_4)_2\text{S}_2\text{O}_8$ vermieden werden.

Das metallische Zn besitzt ausgezeichnete Kristallisierfähigkeit und gehört, wie auch viele seiner Derivate, zu den polymorphen Stoffen, denn es kann reguläre oder hexagonale Kristalle bilden. Das gewöhnliche rohe Zn-Metall, wie es aus der Hütte oder dem Walzwerk kommt, scheint ein Gemisch von Kristallen und nichtkristallinen Partien zu sein, denn es zeigt eine gewisse Biegsamkeit. Durch Erhitzen auf 150° ändert sich dies und das Material wird hämmerbar, oberhalb 200° jedoch wieder so spröde, daß es im Mörtel zerstampft werden kann. Es scheint dabei eine Umwandlung in den Zustand vollkommener Kristallstruktur zu erfolgen: ein Schluß, der dadurch bekräftigt wird, daß nach der Erhitzung das spez. Gewicht ein wenig zugenommen hat (s. u.).¹¹⁾

Duktill ist das Metall auch, wenn seine Schmelze sehr schnell abgekühlt wird, d. h. größtenteils amorph oder feinkristallin erstarrt.¹¹⁾

In regulären Kristallen erhielten das Zn G. Rose¹²⁾ und Nicklès.¹³⁾ Die anscheinend stabilere hexagonale Form weist äußerst nahe Isomorphiebeziehungen zu Cd auf. Das Verhältnis der Achsen beträgt $a:c = 1:1,356425^{14)}$ nach Williams und Burton, $1:1,356$ nach Termier, oder, auf eine andere Grundform bezogen, $1:1,6355$ nach Ortloff.

Das spez. Gewicht ist sehr häufig bestimmt worden. Sein Wert variiert mit dem Zustande, und daher schwanken ältere Angaben beträchtlich¹⁵⁾, etwa zwischen 7,2 und 6,9 (6,861 Brisson, 6,925 Karsten, 7,18—7,11 Bolley, 7,24 Böckmann, 6,970 Schiff). Der Unterschied dürfte schon durch die Art des Erkalten von geschmolzenem Zn verursacht werden, denn je langsamer das Erkalten, desto besser bilden sich die Kristalle aus, damit aber nimmt die Dichte zu. Wird das Metall gehämmert, gewalzt oder gepreßt, so steigt das spez. Gewicht und erreicht ungefähr den Wert 7,2.^{16), 15)} Erhitzen auf 300° bewirkt eine geringe Zunahme (von 7,1812 auf 7,1841.¹⁷⁾ Man kann d_{40}^{20} für ungepreßtes Metall zu 6,9225 annehmen.¹⁸⁾

Geschmolzenes Zn ist schwerer als festes. Nach Nies und Winkelmann¹⁹⁾ beträgt der Unterschied beim Schmelzpunkte 2‰ .

Von der Temperatur hängt das spez. Volum in folgender Weise ab. Nach Kopp²⁰⁾ beträgt der kubische Ausdehnungskoeffizient pro Grad $\alpha = 8,9 \cdot 10^{-5}$ zwischen 10° und 40° , der lineare γ also $2,96 \cdot 10^{-5}$, während ältere Autoren fanden²⁰⁾: $3,10 \cdot 10^{-5}$ (Smeaton), $2,97 \cdot 10^{-5}$ (Horner), 3,05 (Guyton-Morveau), $2,98 \cdot 10^{-5}$ (Daniell).

Fizeau²¹⁾ fand bei 40^0 $\gamma = 2,918 \cdot 10^{-5}$ und den Temperaturkoeffizienten $\frac{\Delta \gamma}{\Delta t^0} = -1,27 \cdot 10^{-8}$, so daß die Längenausdehnung zwischen 0^0 und 100^0 der Formel gehorcht:

$$l_t = l_0 (1 + 2,918 \cdot 10^{-5} t - 1,27 \cdot 10^{-8} \cdot t^2).$$

Die Volumenausdehnung beträgt nach Matthiessen²²⁾

$$V_t = V_0 (1 + 8,222 \cdot 10^{-5} t + 7,06 \cdot 10^{-8} \cdot t^2).$$

Das Zn ist auch im festen Zustande merklich plastisch, so konnte Spring²³⁾ zwei Metallstücke bei 385^0 unter ganz leichtem Drucke zusammenschweißen. Messungen über die Plastizität zwischen 150^0 und 250^0 hat Tammann²⁴⁾ publiziert. Durch die Kompression erwärmt sich das Metall.^{24a)}

Der Schmelzpunkt liegt bei $418,2^0$ (Stansfield²⁵⁾), $418,96^0$ (Heycock und Neville²⁶⁾), 419^0 (V. Meyer und Riddle²⁷⁾), 419^0 (Holborn und Day²⁸⁾), $421,23^0$ (Griffith²⁹⁾). Abgesehen von der letzten Zahl und einigen älteren Daten³⁰⁾ ist also die Übereinstimmung sehr gut.

Der Dampfdruck des Zn ist schon bei relativ niedriger Temperatur merklich, und die Sublimation des Metalls im Vakuum wurde schon bei 184^0 nachgewiesen.³¹⁾ Unter Atmosphärendruck dagegen siedet Zn bei 930^0 (Violle³²⁾), 932^0 (Becquerel³⁰⁾), 920^0 (D. Berthelot³³⁾), 920^0 (Holborn und Day³⁴⁾), 916^0 (Callendar³⁵⁾), endlich nach einer rohen Messung 1040^0 (Deville und Troost³⁶⁾). Der letzte Wert ist vielleicht dadurch entstellt, daß in CO_2 -Atmosphäre gearbeitet wurde, denn in H_2 fanden die Autoren Zahlen zwischen 916^0 und 948^0 .

Barus³⁷⁾ variierte den Druck. Er fand den Siedepunkt bei t^0 , wenn ein Druck von p mm Hg auf dem Dampfe lastete.

p	t^0	p	t^0	p	t^0
10	582	42	710	26	675
40	710	35	699	67	731
65	732	28	684	158	792
96	757	62	736	264	833
101	778	99	758	375	864
156	785	166	802	473	884
271	837	264	838	570	904
345	857	368	863	654	916
425	873	477	884	771	933
555	897	557	900		
764	933	653	914		
		773	925		

Im Dampfzustande ist das Zn von normaler Dichte, also einatomig³⁸⁾, und zwar schon vom Siedepunkte ab bis 1740^0 . Die gefundenen Werte, bezogen auf $\text{O}_2 = 32$, sind 2,41 und 2,36 bei ca. 1400^0 , während sich 2,25 berechnet.

Die spez. Wärme ist sehr häufig bestimmt worden. Die Versuche ergaben bei t^0

0,093	$t^0 = 33$	Kopp ³⁹⁾
0,0935	$t^0 = 50$	Bunsen ⁴⁰⁾
0,0956	$t^0 = 55$	Regnault ³⁹⁾⁴⁰⁾
0,094	$t^0 = 50$	Dulong u. Petit ³⁹⁾
0,102	$t^0 = 150$	" " " ³⁹⁾
0,0956		Person ⁴¹⁾
0,0836	$t^0 = -85$	Schmitz ⁴²⁾
0,0931	$t^0 = +60$	"
0,105	$t^0 = 140$	bis 300 Le Verrier ⁴³⁾
0,122	$t^0 = 300$	" 400 "
0,096	$t^0 = 0$	" 110 "
0,094	$t^0 = 100$	" 18 Behn ⁴⁴⁾
0,0893	$t^0 = +18$	bis -79 Behn
0,0798	$t^0 = -79$	" -186 "
0,09547		Waterman ⁴⁵⁾
0,0940		Kahlbaum, Roth und Siedler ⁴⁶⁾
0,0938	$t^0 = 0$	bis 100 Tomlinson ^{46a)}

Die Temperaturabhängigkeit stellt sich dar als

$$w = 0,0883 + 44,10^{-6} t \quad (\text{Dulong und Petit})$$

$$w = 0,0865 + 44,10^{-6} t \quad (\text{Béde})$$

$$w = 0,09070 (1 + 48,95 \cdot 10^{-6} t) \quad \text{Naccari.}^{47)}$$

Am meisten Vertrauen verdienen wohl die Zahlen von Behn und Naccari.

Die Schmelzwärme fanden Heycock und Neville⁴⁸⁾ aus Bestimmungen der Gefrierpunkte von Zn-Legierungen unter Benutzung des Raoult-van't Hoff'schen Depressionssatzes zu 28,33 cal pro g. Auf anderem Wege ergaben sich die Werte 28⁴⁹⁾, 28,13.⁵⁰⁾

Die Verdampfungswärme des festen Zn fand sich zu 27 cal⁵¹⁾ pro g.

Die Oberflächenspannung des geschmolzenen Zn maß Quincke.^{51a)}

Der spez. Widerstand für Elektrizität beträgt nach Dewar und Fleming⁵²⁾ bei 0° 5751 C.G.S.-Einheiten, der Temperaturkoeffizient 406,10⁻⁵ nach Dewar und Fleming, 402,10⁻⁵ nach Jaeger und Diesselhorst⁵³⁾

Die Wärmeleitfähigkeit bei 0° (mm, mg, sec, Cent.-Grade) fand H. F. Weber (Landolt-Börnstein⁵⁴⁾) zu 30,56.

Der Brechungsexponent für Na-Licht beträgt nach Drude⁵⁵⁾ 2,12.

Die Schallgeschwindigkeit in Zn beträgt 3725 m pro sec.⁵⁶⁾

Kolloidales Zink. Zuerst hat Bredig⁵⁷⁾ bei Zerstäubungsversuchen mit Metallen, welche unedler als Wasserstoff sind, in Leitfähigkeitswasser wenigstens vorübergehend auch das Auftreten eines Zinkhydrosols, welches aber noch unbeständig ist als das nach gleicher Methode gewonnene Cadmiumhydrosol, beobachten können. Später hat dann auch Billitzer⁵⁸⁾ durch Zerstäubung eines elektrolytischen Zinkniederschlags, der also eine für diesen Zweck besonders geeignete, sehr aufgelockerte Oberfläche besitzt, dieses Zinkhydrosol erhalten. Auch er hebt seine Unbeständigkeit hervor, welche bewirkt, daß sogar oft während des Versuchs Gelbildung eintritt (Lottermoser).

Zinkion. Das Zink bildet nur eine Reihe von Salzen, denn sein Ion tritt stets als zweiwertiges Kation auf. Es ist jedoch hochgradig befähigt zur Betätigung von Nebenvalezen, indem das Kation Zn^{++} als ein Ion von verhältnismäßig geringer Elektroaffinität durch Addition von Neutralteilen und

vielleicht auch durch Selbstassoziation komplexe Kationen zu bilden vermag. Andererseits existiert auch eine Reihe mehr oder minder stark komplexer Zn-Anionen, von denen ZnO_2^{--} und ZnCy_4^{--} besonders wichtig sind.

Der Versuch, den Lösungsdruck des Zn zu bestimmen, scheint zuerst von Babinet unternommen worden zu sein, der in einer fast vergessenen Abhandlung⁵⁹⁾ Angaben über den Grenzdruck des aus Säuren entwickelten H_2 gemacht hat. Seine zahlenmäßigen Ergebnisse entfernen sich sehr weit von den später gewonnenen, es verdient aber Beachtung, daß seine vielleicht durch Berthollet beeinflusste theoretische Auffassung mit der heute herrschenden in allen wesentlichen Punkten übereinstimmt.

Genauer gelang die Bestimmung dieses Grenzdruckes Nernst und Tamman.⁶⁰⁾ Nach ihnen entwickelt Zn aus Lösungen der nachgenannten Anfangskonzentrationen (Äquiv. pro Liter) H_2 bis zum Drucke von p Atmosphären

H_2SO_4	+	ZnSO_4	p
0,13	+	1,3	18
0,11	+	1,2	23,5
0,29	+	1,7	25,6
0,20	+	0,36	57
0,35	+	1,15	29
0,34	+	1,16	40

Diese immer noch ziemlich ungenau bestimmten Drucke, die von den theoretisch zu berechnenden Gleichgewichtsdrucken (ca. 10^{18} Atm.) noch sehr weit entfernt sind, stellen sich durchaus nicht sehr rasch ein. Vielmehr zeigt gerade Zn in hohem Maße die Abhängigkeit der Entwicklungsgeschwindigkeit des H_2 aus Säuren von der Beschaffenheit des Materials, insbesondere von der Reinheit des Metalls. Nachdem diese Erscheinung schon vor langer Zeit beobachtet und diskutiert worden war⁶¹⁾, haben neuerdings einige Forscher eingehende Studien unternommen. Die gebräuchlichste Auffassung ist diejenige, welche das Phänomen mit der Entladungsgeschwindigkeit des H^+ -Ions in Zusammenhang bringt. An einer Zn-Kathode bedarf es nämlich zur Entladung des H^+ -Ions einer gewissen Überspannung, da das Zn weit weniger als z. B. Pt befähigt ist, der sich ausbildenden H_2 -Polarisation durch Wegschaffung des entladenen H_2 entgegenzuwirken. Ein Stück reines Zn kann daher seinen Lösungsdruck nicht voll entfalten, sondern ein erheblicher Teil davon wird zur Überwindung einer solchen Überspannung in dem kurzgeschlossenen Elemente — Zn-Anode — Flüssigkeit — H_2 an Zn-Kathode — verbraucht. Enthält das Stück dagegen Verunreinigungen, insbesondere Metalle, die edler sind als H_2 , so bilden sich Lokalelemente aus, deren elektromotorische Kraft den Lösungsdruck des Zn unterstützt. Dazu kann kommen, daß das Fremdmetall eine größere Lösefähigkeit für H_2 besitzt; diese macht sich in einer Erleichterung der Blasenbildung geltend und dadurch erfährt die Gegenkraft der H_2 -Polarisation eine Schwächung. Auf der Anschauung der Lokalelemente baut sich nun eine Theorie der Auflösungs geschwindigkeit des Zn in Säuren auf⁶²⁾, welche sich den Erscheinungen gut anschließt, vielleicht aber noch einiger Ergänzungen bedürfen wird. Denn es darf einerseits vermutet werden, daß nicht lediglich die Reinheit, sondern auch die sonstige Beschaffenheit des Metalls in Frage kommt, z. B. hat man eine auch anderwärts beobachtete „Induktionszeit“ im Anfange des Prozesses festgestellt, die zum Teil in der Oberflächenbeschaffenheit des Metalls begründet sein dürfte. Andererseits aber nimmt die Theorie

nicht Bezug auf die Eigenschaften der Flüssigkeit, während manche Gründe dafür sprechen, daß auch diese eine Rolle spielen. Insbesondere müssen die Diffusionsverhältnisse, die mit der Viskosität in Zusammenhang stehen, ferner die Löslichkeiten der entstehenden Salze u. a. Berücksichtigung finden. In allerletzter Zeit hat E. Brunner^{62a)} diesen Verhältnissen theoretische Betrachtungen gewidmet, die ihn zu dem Schlusse führen, daß die Palmaersche Theorie nicht genügt.

Der von Spring und van Aubel^{62b)} durch Extrapolation gezogene Schluß, daß die Auflösungsgeschwindigkeit bei -70° den Wert 0 annehme, darf nicht als streng richtig gelten. Denn wäre sie bei dieser oder überhaupt irgendeiner Temperatur oberhalb des absoluten Nullpunktes absolut gleich Null, so dürfte Zn dort keine Potentialdifferenz z. B. gegen HCl zeigen, eine Konsequenz, deren Unwahrscheinlichkeit wohl klar hervortritt und auch durch den experimentellen Befund in dem analogen Falle des Na (nach Pictet und Dorn und Völlmer) sehr nahe gelegt wird.

Was nun den Lösungsdruck des Zn betrifft, wie er aus elektrischen Messungen festgestellt werden kann, so dürfte sich kaum ein zweites Metall finden, das so oft in den verschiedensten Lösungen untersucht worden wäre als Zn. Daß das Metall, soviel bekannt ist, stets als zweiwertiges Ion in Lösung geht, muß bei Anwendung der Nernstschen Formel beachtet werden. Zur Charakterisierung des Lösungsdruckes in wässriger Lösung ist von Wilsmore^{62c)} folgende Tabelle zusammengestellt worden, die unter c die Konzentration in Äquivalenten, unter π die gefundene, unter π' die berechnete Potentialdifferenz angeben, welche Zn gegen die Lösung zeigt. Die Ionenkonzentration z ist aus Leitfähigkeitsmessungen geschätzt.

Zn in ZnSO_4		c	z	π	π'	Beobachter
	6,22	0,22?	(0,508?)	0,512		
	4,0	0,204	(0,523)	0,513		Wright u. Thompson
	3,0	0,20	0,529	0,513		"
	1,0	0,114	0,524	0,520		B. Neumann
	0,11	0,022	0,537	0,541		Wright u. Thompson
	1,0		0,522			Labendziński. ¹¹²⁾
Zn in ZnCl_2		c	z	π	π'	Beobachter
	26,7	0,53?	0,495?	0,501?		Helmholtz
	1,18	0,27	0,510	0,509		Chrutschoff u. Sitnikoff
	1,18	0,27	0,522	0,509		Czapski
	1,1	0,26	0,506	0,510		Wright u. Thompson
	1,0	0,24	0,502	0,511		B. Neumann
	0,28	0,089	0,508	0,523		Wright u. Thompson
	1,0		0,502			Labendziński. ¹¹²⁾

Betreffs der zahlreichen anderen Ergebnisse kann einerseits auf die Abschnitte der einzelnen Zn-Salze verwiesen werden, andererseits diene zur Orientierung die Literaturzusammenstellung der Anmerkung.^{62d)}

Umfangreiche Potentialmessungen von Speyers⁶³⁾ an Ketten mit einem homogenen Elektrolyten in Lösung zwischen den Elektroden Zn und Hg sind wegen mangelnder Definition der Zink- und Quecksilber-Ionenkonzentration nicht diskutabel.

Der Potentialsprung $\text{Zn}-\text{H}_2\text{SO}_4$ (m Äquiv. pro Liter) beträgt, wenn n Mol ZnSO_4 zugesetzt sind^{62c)},

n	m	π	n	m	π
1	0	0,498	2	0	0,541
1	0,001	0,508	2	0,001	0,503
1	0,01	0,504	2	0,01	0,532
1	0,1	0,501	2	0,1	0,526

Die Lösungswärme für 1 Äquiv. = $\frac{1}{2}$ Zn \cdot in $\frac{1}{2}$ H₂SO₄ aq beträgt 18865 cal, in HCl aq 17100 cal.⁶⁴⁾

Was das spez. Volum der Zn-Salze in wässriger Lösung betrifft, so berechnet sich für 19,5⁰, auf H₂O von 19,5 bezogen, daß Lösungen von 1 Mol Salz in 1000 g H₂O folgende spez. Volumina v zeigen

	v	V	φ	ψ
ZnCl ₂	0,8993	0,344	0,445	0,331
ZnBr ₂	0,8796	0,237?	0,417	0,337?
ZnI ₂	0,8026	0,213	0,410	0,338
ZnSO ₄	0,8658	0,294	0,428	0,330
Zn(NO ₃) ₂	0,8636	?	?	?
Zn(CH ₃ COO) ₂	0,9036	0,543	0,639	0,413

Die spez. Volumina der Komponenten bei derselben Temperatur sind 1 für H₂O und V für die wasserfreien Salze. Die Kontraktion beträgt also $1 + V - v = \varphi$ absolut oder $1 \frac{\varphi}{1 + V} = \psi$ relativ. (Vgl. die einzelnen Salze.)

Wenn ein Mol $\frac{1}{2}$ Zn \cdot -Ion im Liter enthalten ist, so zeigt eine Zn-Elektrode den Potentialsprung 0,493 Volt gegen die Lösung⁶⁵⁾, so daß also dem Lösungsdruck bei 18⁰ etwa eine Lösung von $4,10^{17}$ Mol $\frac{1}{2}$ Zn pro Liter das Gleichgewicht halten würde, die einen osmotischen Druck der Zn-Ionen von $9,10^{18}$ Atmosphären aufweisen müßte (Lösungsdruck).

Ionisierungswärme. Der Übergang von 1 Mol $\frac{1}{2}$ Zn in 1 Mol $\frac{1}{2}$ Zn \cdot -Ion entwickelt 16300 cal nach Ostwalds⁶⁶⁾ Berechnung.

Beweglichkeit. Die Beweglichkeit des Zn-Ions kann aus Überföhrungszahlen berechnet werden. Wie später zu sehen ist, hat sich für $\frac{1}{2}$ Zn die Beweglichkeit in unendlicher Verdünnung bei 18⁰ gefunden:

Aus:	u $\frac{1}{2}$ Zn \cdot
$\frac{1}{2}$ ZnCl ₂	44
$\frac{1}{2}$ ZnBr ₂	45
$\frac{1}{2}$ ZnI ₂	45

Kohlrausch⁶⁷⁾ nimmt an

$$u_{\frac{1}{2} \text{ Zn} \cdot} = 46 (1 + 0,0256 (t - 18) + 0,000133 (t - 18)^2).$$

Als analytisch verwertbare Reaktionen des Zn \cdot -Ions werden benutzt die Fällung als Sulfid in neutraler oder schwach saurer Lösung, die Fällung als Oxyd resp. Hydroxyd, welche quantitativ erfolgt, wenn kein großer Überschuß von Alkali vorhanden ist, oder als Gemisch von Hydroxyd und Carbonat, das sich bei dem Zusatz von Alkalicarbonat zu einer Zn \cdot -Salzlösung ausscheidet. Weiterhin können unter gewissen Kautelen das Cyanid und das Rhodanid, besonders aber das Zinkeisencyanid quantitativ niedergeschlagen werden. In Analogie zum Mg kann es auch als Ammonzinkphosphat für quantitative Zwecke gefällt werden.

Als Wägungsformen sind gebräuchlich ZnO (aus Zn(OH)₂, ZnCO₃ etc.), ZnS, ZnSO₄, Zn₂P₂O₇, Zn(CNS)₂.

Die maßanalytischen Verfahren der Technik bedienen sich teils der Fällung mit Alkalisulfid oder Thiosulfat, teils mit Hydroxyd. Man hat auch vorgeschlagen, Zn als HgZnCy_4 zu fällen und den Rest des Cyanids mit Ag zu titrieren.

Sehr gut läßt sich Zn trotz seines hohen Lösungsdruckes auch aus wässriger Lösung elektrolytisch abscheiden. Um gute Kohärenz zu erzielen, wählt man für das Bad Salze mit geringer aktueller Zn-Ionenkonzentration, wie Phosphat, Acetat, Formiat, Tartrat, Citrat, Laktat, Oxalat, meist als Ammonodoppelsalze etc., auch Ammonodoppelsulfat, am besten jedoch solche Stoffe, die hochkomplexe Zn-Anionen enthalten, wie K_2ZnCy_4 oder auch K_2ZnO_2 . —

Auch kann man als Kathode Hg benutzen, da dann die Entladespannung des Zn bedeutend kleiner, die des H größer ist.⁶⁸⁾

Zinkhaloide. Es sind bekannt

ZnF_2	ZnCl_2	ZnBr_2	ZnJ_2	ZnCy_2	Zn(CNS)_2
—	$\text{ZnCl}_2 \cdot \text{H}_2\text{O}$	—	—	—	—
—	$2\text{ZnCl}_2 \cdot 3\text{H}_2\text{O}$	—	—	—	—
—	$\text{ZnCl}_2 \cdot 2\text{H}_2\text{O}$	$\text{ZnBr}_2 \cdot 2\text{H}_2\text{O}$	$\text{ZnJ}_2 \cdot 2\text{H}_2\text{O}$	—	—
—	$2\text{ZnCl}_2 \cdot 5\text{H}_2\text{O}$	—	—	—	—
—	$\text{ZnCl}_2 \cdot 3\text{H}_2\text{O}$	$\text{ZnBr}_2 \cdot 3\text{H}_2\text{O}$	—	—	—
$\text{ZnF}_2 \cdot 4\text{H}_2\text{O}$	$\text{ZnCl}_2 \cdot 4\text{H}_2\text{O}$	—	$\text{ZnJ}_2 \cdot 4\text{H}_2\text{O}?$	—	—

	Schmp.	Sp.	Sp. Gew.	Molarvol.	Krist.	Bildgsw.
ZnF_2	734 ⁰	?	4,84 ?	21,4	monokl.	140000
ZnCl_2	ca. 290 ⁰	730 ⁰	2,91	46,9	hexag.	97210
ZnBr_2	394 ⁰	650 ⁰	3,64 ?	61,9	rhomb.	75930
ZnJ_2	446 ⁰	?	4,70	68,0	regul.	49230

	Lösgsw.	Löslichk.	Zers.-Sp.	Ionenkonzentration	
				I	II
ZnF_2	?	$1,10^{-7}?$	2,73	?	?
ZnCl_2	+ 15630	0,61	2,187	0,37	0,48
ZnBr_2	+ 15030	0,47	1,763	?	?
ZnJ_2	+ 11310	0,25	1,290	?	?

Anmerkungen.

Bildungswärme: bei 18⁰ für den Zustand der Elemente bei dieser Temperatur.

Lösungswärme: bei 18⁰ für hohe Verdünnung.

Löslichkeit: bei 40⁰ in Mol pro Mol H_2O .

Ionenkonzentration: I Aus Leitfähigkeit, II aus elektromotorischen Kräften für 1 Mol ZnX_2 pro Liter und $\text{ZnX}_2 = \text{Zn}^{++} + 2\text{X}'$ berechnet.

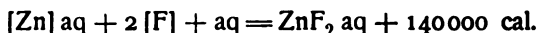
Zersetzungsspannung: Differenz der Entladungsspannungen für $\frac{1}{2}\text{Zn}^{++}$ und Anion, wenn je ein Äquivalent Ion vorhanden.

Zinkfluorid. Das Zinkfluorid, $\text{ZnF}_2 = 103,4$, kennt man als Anhydrid und als Tetrahydrat. Pyrochemisch entsteht ZnF_2 aus ZnO und HF bei Rotglut, aus $\text{ZnCl}_2 + \text{HF}$ schon bei gewöhnlicher Temperatur. Bei 700⁰ verdampft es in HF-Atmosphäre und erstarrt zu weißen Nadeln. In H_2 wird es reduziert, durch O_2 oder H_2O in ZnO übergeführt.⁶⁹⁾ Sein Schmelzpunkt

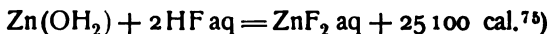
liegt bei $734^{0,70}$) Seine Kristallform, wenn es wie oben erhalten wird, ist monoklin (oder triklin?)⁶⁹⁾, das spez. Gewicht $4,84^{69)}$ oder $4,556$ bei 17^0 , $4,612$ bei 12^0 ⁷¹⁾ (die Differenz der beiden letzten Zahlen scheint etwas groß).

Es ist ein schwer lösliches Salz, die gesättigte Lösung enthält nur etwa $5 \cdot 10^{-5}$ Mol/Liter⁷²⁾, dagegen wird es von Säuren wegen der Schwäche von HF leichter gelöst. Auch in Ammoniak löst es sich, wie andere Zn-Salze, leicht⁷³⁾, indem NH_3 -haltige Kationen entstehen.

Seine Bildungswärme⁷⁴⁾ beträgt in wässriger Lösung bei 15^0



Die Neutralisationswärme ist



Das Tetrahydrat, $\text{ZnF}_2 \cdot 4 \text{H}_2\text{O}$, kristallisiert rhombisch⁷⁶⁾ mit dem spezifischen Gewichte $d_{10^0} = 2,567$ ($d_{18^0} = 2,535$).⁷¹⁾ Es ist ebenfalls schwer löslich.

Man kann ZnF_2 durch Erhitzen mit PBr_3 in ZnBr_2 überführen⁷⁷⁾, jedenfalls weil PF_3 als sehr flüchtig aus der Reaktion entweicht, daher keine genügende Massenwirkung geltend machen kann.

Zinkchlorid. Das feste Zinkchlorid, $\text{ZnCl}_2 = 136,3$, wird gewöhnlich als eine geschmolzene Masse erhalten, die jedoch kristallinische Struktur erkennen läßt. Es ist jedoch auch kristallinisch zu gewinnen, und auch verschiedene Hydrate, die es im festen Zustande bildet, sind in Kristallform bekannt.

Das Anhydrid kristallisiert hexagonal, zeigt das spez. Gewicht $d_{4^0}^{85)} = 2,907$, korrigiert für das Vakuum⁷⁸⁾ und schmilzt bei 262^0 nach Braun⁷⁹⁾, während Schultze⁷⁹⁾ fand, daß ganz reines, von ZnO , HCl , H_2O freies Salz bei 290^0 — 297^0 erstarrt.

Es siedet bei $730^{0,80)}$ und hat im Dampfzustande die Dichte $4,53$ bei 891^0 und $4,61$ bei 907^0 , während sich für die Formel ZnCl_2 $4,70$ berechnet.⁸¹⁾

Die Bildungswärme beträgt $[\text{Zn}] + [\text{Cl}_2] \longrightarrow [\text{ZnCl}_2] + 97200 \text{ cal}^{82)}$ oder $97210 \text{ cal.}^{83)}$

Ein Monohydrat, $\text{ZnCl}_2 \cdot \text{H}_2\text{O}$, isolierte Dietz⁸⁴⁾ aus 86prozentiger Lösung als sehr hygroskopische, dünne, sechseckige Tafeln, die bei $+28^0$ z. T. schmelzen und ZnCl_2 abscheiden. Dies Salz ist unter gewöhnlichen Verhältnissen instabil.

$2\text{ZnCl}_2 \cdot 3\text{H}_2\text{O}$ erhielt zuerst wohl Schindler, später Engel⁸⁵⁾; Dietz⁸⁴⁾ erhielt es aus hochkonzentrierter Lösung bei 20^0 . Es bildet große Prismen und schmilzt bei 26^0 zu klarer Flüssigkeit.

Das Dihydrat, $\text{ZnCl}_2 \cdot 2\text{H}_2\text{O}$, erhielten Engel⁸⁵⁾ und Dietz⁸⁴⁾ aus 79prozentiger Lösung bei 0^0 , Étard⁸⁶⁾ bei -20^0 . Ganz neuen Ergebnissen zufolge existiert es nicht.⁸⁷⁾ ^{88a)}

Der häufigst beschriebene dieser Stoffe ist das Trihydrat, $\text{ZnCl}_2 \cdot 3\text{H}_2\text{O}$. Nach Engel⁸⁵⁾ entsprechen dieser Formel die aus 70,5prozentiger Lösung bei 0^0 entstehenden Kristalle. Ljubarski⁸⁸⁾ erhielt dasselbe bei -21^0 . Der Schmelzpunkt liegt bei 4^0 (Ljubarski⁸⁸⁾) resp. bei 7^0 (Dietz⁸⁴⁾).

Ferner beschreibt Dietz⁸⁴⁾ noch $2\text{ZnCl}_2 \cdot 5\text{H}_2\text{O}$ als große rhombische Platten, die bei 13^0 schmelzen, endlich entsteht unter -30^0 aus Lösung mit 65,4 Proz. Salz das Tetrahydrat $\text{ZnCl}_2 \cdot 4 \text{H}_2\text{O}$.^{88a)}

Betreffs der Beständigkeitsgrenzen der vorgenannten Stoffe liegt folgendes Material vor. Lescoeur⁸⁹⁾ stellte im Vakuum bei 140^0 folgende Dampfdrucke p in mm Hg fest.

$\text{ZnCl}_2 \cdot 2\text{H}_2\text{O}$ geschmolzen	ca.	230
" 1,2 " und fest "		145
" 0,85 fest		145
" 0,42 "		140
" 0,30 "		120
" 0,15 "		44

Weiterhin hat man die Löslichkeiten studiert. Dietz⁸⁴⁾ fand in 100 g der bei t^0 gesättigten Lösung a Gramm ZnCl_2 resp. b Mol H_2O auf 1 Mol ZnCl_2 . (* deutet den Schmelzpunkt der festen Phase an.)

ZnCl_2			$\text{ZnCl}_2 \cdot \text{H}_2\text{O}$			$2\text{ZnCl}_2 \cdot 3\text{H}_2\text{O}$		
t^0	a	b	t^0	a	b	t^0	a	b
+15	79,12	1,99	0	74,33	2,60	0	67,45	3,64
20	81,19	1,75	11	78,25	2,10	10	73,65	2,69
41	82,21	1,63	27	84,61	1,37	20	80,08	1,88
60	83,51	1,49				26*	83,43	1,55
100	86,01	1,23						

$\text{ZnCl}_2 \cdot 2\text{H}_2\text{O}$			$2\text{ZnCl}_2 \cdot 5\text{H}_2\text{O}$			$\text{ZnCl}_2 \cdot 3\text{H}_2\text{O}$		
t^0	a	b	t^0	a	b	t^0	a	b
0	67,56	3,62	0	67,42	3,65	-5	64,50	4,24
10	73,70	2,69	8	71,96	2,94	0	67,58	3,62
19*	79,07	2,00	13*	75,14	2,50	+7*	71,57	3,00

Da für tiefere Temperatur nur die zweifelhaften Zahlen Étards⁸⁵⁾ vorliegen, müssen diese hier angeführt werden.

t^0	-10	-14	-20
a	56,5	55,4	54,7

Es folgt aus den Zahlen, daß steigende Temperatur wie meist so auch hier in das Gebiet niederer Hydrate führt, übrigens stellen die Ergebnisse die Individualität sämtlicher Hydrate noch nicht außer Zweifel, denn die Unterschiede sind gering.

Den Dampfdruck der an $\text{ZnCl}_2 \cdot \text{H}_2\text{O}$ gesättigten Lösung fand Lescoeur⁸⁹⁾ zu p mm Hg.

t^0	20	90	100	110	120	130	140	150	160
p	[<2]	22	35	57	86	118	145	193	258

Für die Beurteilung der Konstitution wäre der sichere Nachweis der Hydrate mit 3 und 5 H_2O : 2ZnCl_2 von erheblicher Wichtigkeit; denn daraus ergäbe sich mit Notwendigkeit, daß ZnCl_2 mindestens in diesen Hydraten, aber wahrscheinlich auch sonst, zu Doppelmolekeln assoziiert ist, die nach dem Verteilungsgesetz auch in der Lösung, aus der sie sich abscheiden, zu endlichem Betrage vorhanden sein müssen. Für solche Selbstkomplexbildung sprechen auch eine Reihe von Messungen, die weiter unten zu behandeln sein werden.

Wässrige Lösung. Die Lösung des ZnCl_2 zeigt folgende spez. Gewichte, wenn in 100 g H_2O a Gramm ZnCl_2 gelöst sind.⁹⁰⁾

a	16,7	38,8	56,3	92,4
$d_{19,5}^{19,5}$	1,1331	1,2714	1,3677	1,5336

Dijken¹²⁸⁾ fand für c Gramm ZnCl_2 pro kg Lösung

c	d_{18}^{18}
0,5994	1,000560
2,3163	1,002163
5,0406	1,004708
9,8988	1,009243
19,4914	1,018228

Wenn das spez. Volum bei $19,5^0$ gleich 1 gesetzt wird, so ist ⁹¹⁾ bei t^0

t^0	$a = 23,7$	51,2	88,2	142,8
0	0,99300	0,99048	0,98943	0,98906
19,5	1,00000	1,00000	1,00000	1,00000
40	1,01012	1,01173	1,01224	1,01237
60	1,02234	1,02478	1,02537	1,02528
80	1,03658	1,03931	1,03962	1,03912
100	1,05255	1,05519	1,05495	1,05362

Der Wärmeausdehnungskoeffizient einer Lösung von c Mol ZnCl_2 pro Liter beträgt nach Forch ⁹²⁾ α zwischen t_1^0 und t_2^0

t_1^0	t_2^0	c =	0,25	0,5	1
0	5	$\alpha =$	$0,44 \cdot 10^{-4}$	$1,18 \cdot 10^{-4}$	$2,71 \cdot 10^{-4}$
5	10		$1,06 \cdot 10^{-4}$	$1,73 \cdot 10^{-4}$	$3,15 \cdot 10^{-4}$
10	15		$1,64 \cdot 10^{-4}$	$2,28 \cdot 10^{-4}$	$3,54 \cdot 10^{-4}$
15	20		$2,16 \cdot 10^{-4}$	$2,79 \cdot 10^{-4}$	$3,98 \cdot 10^{-4}$
20	25		$2,65 \cdot 10^{-4}$	$3,23 \cdot 10^{-4}$	$4,34 \cdot 10^{-4}$
25	30		$3,09 \cdot 10^{-4}$	$3,67 \cdot 10^{-4}$	$4,67 \cdot 10^{-4}$
30	35		$3,51 \cdot 10^{-4}$	$4,10 \cdot 10^{-4}$	$5,04 \cdot 10^{-4}$
35	40		$3,96 \cdot 10^{-4}$	$4,47 \cdot 10^{-4}$	$5,26 \cdot 10^{-4}$

ZnCl_2 ist in Lösung stark dissoziiert, zeigt dabei aber, wenn auch in schwächerem Grade als das entsprechende Cd-Salz, erhebliche Selbstkomplexbildung. Die Hydrolyse ⁹³⁾ beträgt in $1/168$ normaler Lösung etwa 0,09%, in $1/336$ normaler etwa 0,12%.

Die osmotischen Methoden zeigen folgendes Bild. Aus der vorliegenden direkten Messung des osmotischen Druckes ⁹⁴⁾ läßt sich nicht viel schließen, da sie nur relativ ausgeführt wurde.

Die Dampfdruckdepression bei 100^0 beträgt Δp mm Hg für n Mol ZnCl_2 auf 1 kg H_2O ⁹⁵⁾

n	0,5	1	2	3	4	5	6
Δp	9,2	18,7	46,2	75,0	107	153	195
$\frac{\Delta p}{p}$	0,0121	0,0246	0,0608	0,0988	0,141	0,202	0,257

Moser ⁹⁶⁾ fand bei $20,2^0$ für n Gramm ZnCl_2 auf 1 kg H_2O

a	250	500	750	1000	1250
Δp	1,44	2,93	5,15	7,51	9,85
$\frac{\Delta p}{p}$	0,082	0,166	0,292	0,426	0,560

Mehrfach wurde die Gefrierdepression ⁹⁷⁾ bestimmt. Die verdünntesten Lösungen untersuchte H. C. Jones ⁹⁸⁾, sie zeigten für c Mol ZnCl_2 pro Liter die Depression Δ

c	Δ	$i = \frac{\Delta}{1,89 \cdot c}$
0,00100	0,0055	2,91
0,00299	0,0161	2,84
0,00496	0,0261	2,78
0,00691	0,0361	2,76
0,00884	0,0458	2,74
0,0200	0,1035	2,74
0,0380	0,1910	2,66
0,0542	0,2602	2,54
0,0688	0,3283	2,52
0,0819	0,3854	2,49

W. Biltz⁹⁹⁾ fand für n Mol auf 1000 g H₂O und das spez. Gewicht d die molare Depression E

n	d	Δ	E	$\frac{\Delta}{1,85 \cdot n}$
0,0199	1,002	0,101	5,07	2,74
0,0821	1,008	0,406	4,95	2,67
0,3234	1,032	1,629	5,04	2,72
0,4572	1,045	2,340	5,12	2,70
0,6298	1,058	3,213	5,10	2,74

Weiter ist nach Chambers und Frazer¹⁰⁰⁾ für c Mol ZnCl₂ pro Liter

c	Δ
0,0493	0,263
0,0986	0,509
0,197	1,020
0,296	1,543
0,394	2,098
0,592	3,221

Endlich fanden Jones und Getman^{100a)}

c	Δ
1,787	10,850
3,574	25,500

Die Gefriermessungen für verdünnte Lösungen sind untereinander ziemlich abweichend. Die Berechnung des Dissoziationsgrades daraus wäre aber auch deshalb schon unsicher, weil man über die Art der Ionen, als welche nur zum Teil Zn⁺⁺ und Cl⁻, außerdem noch komplexe in variabler Menge anzunehmen sind, nicht genau orientiert ist. Vgl. unten.

Ähnliches gilt auch von der Benutzung der Leitfähigkeitsdaten. In der folgenden Tabelle¹⁰¹⁾ sind daher die γ -Werte des Dissoziationsgrades nur als ungefähre Annäherungen zu betrachten.

Wenn c Mol $\frac{1}{2}$ ZnCl₂ im Liter gelöst sind, so beträgt die äquivalente Leitfähigkeit Δ bei 18°

c	Δ	γ
0,0001	110	0,98
0,002	109	0,97
0,005	108	0,96
0,001	107	0,95
0,002	105	0,94

c	Λ	γ
0,005	101	0,90
0,01	98	0,87
0,02	94	
0,03	91	
0,05	87	
0,1	82	
0,2	76	
0,3	71	
0,5	65	
1	55	
2	40	
3	30	
4	23	
5	19	
7	12,5	
10	7,3	

Λ_0 ergibt sich, vielleicht wegen der wenn auch schwachen Hydrolyse, nicht durch direkte Messung, wohl aber aus Überföhrungszahlen. Es betrögt die Überföhrungszahl n_A des Anions nach Hittorf¹⁰²⁾ für Lösungen mit a Gramm H_2O auf 1 g $ZnCl_2$

a	n_A
2,7736	1,08
332,87	0,700.

Nach späteren ohne Diaphragma ausgeföhrten Messungen¹⁰³⁾ ist bei 18° für 1 Mol in 0,2813 Litern $n_A = 1,241$, in verdünnteren Lösungen aber nach Kümmell¹⁰⁴⁾ für c Mol $\frac{1}{2}ZnCl_2$ pro Liter

c	n_A
0,0026	0,583
0,0052	0,621
0,0103	0,604

also im Mittel 0,603. Es geht aus Hittorfs Zahlen deutlich hervor, daß in konzentrierteren Lösungen große Mengen von Zn in komplexen Anionen zur Anode wandern. Aus der Messung von Konzentrationsketten fand Kümmell $n_{Cl} = 0,585$ zwischen 0,1 und 0,001 Normalität.

Setzt man mit Kohlrausch¹⁰⁵⁾ die Chlorbeweglichkeit v_{Cl} mit 65,4 an, so wird unter Benutzung des Kümmellschen Mittelwertes die Beweglichkeit des Zn^{++} -Ions $u_{\frac{1}{2}Zn^{++}} = \frac{0,397}{0,603} \cdot 65,4 = 43,1$, während Kohlrausch¹⁰⁵⁾ 46,6 an-

nimmt. Ferner ergibt sich daraus $\Lambda_0 = u_{\frac{1}{2}Zn^{++}} + v_{Cl} = \frac{v_{Cl}}{n_A} = 109$.

Die oben gegebenen $\gamma = \frac{\Lambda}{\Lambda_0}$ sind mit $\Lambda_0 = 112$ für das Schema $ZnCl_2 = Zn^{++} + 2Cl^-$ berechnet.

Das eben angegebene Schema ist zwar willkürlich angenommen, indessen wird es sich in verdünnten Lösungen von der Wahrheit nicht weit entfernen. Denn nach A. A. Noyes¹⁰⁶⁾ folgt aus der Messung der Löslichkeitsdepression von $TiCl_3$ resp. $PbCl_2$ durch $ZnCl_2$ und $CaCl_2$, daß diese beiden Salze gleichstarke Wirkung ausüben, mithin ungefähr gleichviel Cl^- enthalten, und da derselbe Autor¹⁰⁷⁾ weiter fand, daß in 0,2 äquivalent normaler Lösung von

BaCl₂, die Überföhrungszahl n_A 0,585, in 0,04 normaler 0,558 betrügt, während man den Grenzwert auf ca. 0,535 schätzen darf, so folgt in Anbetracht der zwischen Ba und Ca bestehenden Verwandtschaft, daß die obige Annahme nicht ganz unbegründet dasteht.

Daß die Ionen des ZnCl₂ in schwach konzentrierter Lösung wirklich größtenteils Zn und Cl sind, außerdem aber mindestens noch ein komplexes Anion und vielleicht noch etwas ZnCl⁺ enthalten, folgt aus der Geringfügigkeit der Differenz zwischen den Konzentrationen des Cl⁻-Ions, welche sich aus der Leitfähigkeit unter der Annahme des Schemas $\text{ZnCl}_2 \rightleftharpoons \text{Zn}^{2+} + 2\text{Cl}^-$ und aus der Gefrierdepression ohne diese Annahme berechnen lassen. Über die Theorie dieser Vergleichung cf. Drucker.^{107a)} Die folgende Tabelle enthält (interpoliert) unter c_1 diese Konzentration nach kryoskopischen Messungen von Jones (s. o.), unter c_2 nach Kohlrausch-Holborn (s. o.) aus der Leitfähigkeit. C bedeutet Mol/Liter ZnCl₂.

C	c_1	c_2	C	c_1	c_2
0,01	0,018	0,0168	0,05	0,078	0,073
0,02	0,034	0,0320	0,06	0,092	0,086
0,03	0,050	0,0461	0,07	0,107	0,099
0,04	0,65	0,060	0,08	0,119	0,112

Godlewski^{114a)} (s. u.) fand i aus Potentialmessungen, während die Leitfähigkeit i_1 ergibt

C	i	i_1
0,01	2,732	2,728
0,1	2,500	2,446
1	2,508	1,970

Der relative Abfall des Äquivalentleitvermögens mit steigender Konzentration ist bei ZnCl₂ fast übereinstimmend mit dem der Erdalkalichloride und des MgCl₂, so daß man die Ionenkonstitution all dieser Chloridlösungen als nahezu gleich ansehen darf. Die sicher vorhandene Selbstkomplexbildung ist aber geringer als z. B. bei CdCl₂, dessen Äquivalentleitvermögen und Überföhrungszahl noch viel stärker mit der Konzentration variiert. Die weiter unten folgenden Potentialmessungen geben analoge Anhaltspunkte für die Ionenkonstitution der ZnCl₂-Lösungen.

Was den Temperaturkoeffizienten der Leitfähigkeit angeht, so beträgt er α bei a Gramm ZnCl₂ auf 100 g H₂O und dem spez. Gewichte d bei t⁰

Nr.	a	d_t^{10}	t ⁰	5 ⁰ —15 ⁰	10 ⁰ —20 ⁰	18 ⁰ —26 ⁰	30 ⁰ —40 ⁰	40 ⁰ —50 ⁰	50 ⁰ —60 ⁰
1	74,548	1,0617	23,12	$\alpha = -$	0,0229	0,0184	0,0101	0,0104	0,0102
2	23,362	1,0209	23,30	—	0,0243	0,0216	0,0136	0,0118	0,0104
3	8,047	1,0069	22,70	—	0,0252	0,0228	0,0148	0,0134	0,0125
4	4,726	1,0037	21,53	0,0240	—	0,0231	0,0193	0,0167	0,0157

Die Zahlen für 18⁰—26⁰ sind von Long¹⁰¹⁾ bestimmt.

Die Abhängigkeit vom Drucke zeigt folgende einen Teil der Resultate Lussanas enthaltende Tabelle¹⁰⁸⁾, in welcher P den Druck in Atmosphären, $\delta = \frac{1}{P} \cdot \frac{W_{P=1} - W_P}{W_{P=1}}$ die relative Änderung des Widerstands W angibt. Wie man sieht, nimmt der Widerstand im allgemeinen mit steigendem Drucke ab, und zwar um so stärker je tiefer die Temperatur.

$t = 5^0$		
P	Nr. 1	Nr. 2
150	+ 46,12	12,15
300	+ 39,38	11,33
450	38,09	10,19
600	30,60	9,50
750	27,85	8,87
880	29,93	8,38
1000	24,44	8,00

$t = 30^0$		
150	15,18	6,76
300	15,18	6,87
450	14,90	6,94
600	14,60	7,05
750	14,50	7,11
880	14,31	7,07
1000	14,21	6,81

$t = 60^0$		
150	13,50	7,09
300	52	6,85
450	44	7,22
600	35	6,93
750	41	6,94
880	23	7,07
1000	16	7,06

Nach Piesch¹⁰⁹⁾ ändert sich der Widerstand einer Lösung von 4,97 g ZnCl_2 in 100 g Lösung nach

$$w = w_0 (1 - 1,2744 \cdot 10^{-4} x + 13,103 \cdot 10^{-7} x^2),$$

wo x den Druck in Atmosphären angibt.

Des weiteren liegen vielfache Messungen von elektrischen Potentialsprüngen vor, für welche die Konzentration des ZnCl_2 von maßgebender Bedeutung ist.

Für die Kombination erster Art $\text{Zn} - \text{ZnCl}_2$ hat sich folgendes ergeben. Wright und Thompson¹¹⁰⁾ finden für die Konzentrationskette mit m und n Mol ZnCl_2 auf 100 Mol H_2O mit Zn -Amalgamelektroden π Millivolt mit dem Fehler $\leq +1$.

m	n =	9,8	6,1	3,3	2,04	0,754	0,25	0,172
24,4	$\pi =$	112,0	186,3	207,1	218,1	239,7	254,1	259,0
9,8		—	74,3	95,1	106,1	127,7	142,1	147,0
6,1		—	—	20,8	31,8	53,4	67,8	72,7
3,3		—	—	—	11,0	32,6	47,0	51,9
2,04		—	—	—	—	21,6	36,0	40,9
0,754		—	—	—	—	—	14,4	19,3
0,25		—	—	—	—	—	—	4,9

Neumann¹¹¹⁾ fand für Zn in äquivalent normaler Lösung gegen die Calomelnormalelektrode den Wert 1,063 Volt.

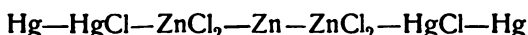
Labendziński¹¹²⁾ maß dieselbe Kette für c Mol pro Liter:

$\frac{1}{100} c = 100$	π	$\frac{1}{100} \cdot c_e$	$\frac{1}{100} \cdot c_e$	γ/γ'
	1,062	12	50	0,24
10	1,090	2,5	7,4	0,34
1	1,104	1	0,89	1,12

Unter c_e stehen hier die aus diesen Zahlen zu berechnenden Zn^{++} -Ionenkonzentrationen, wobei in der $\frac{1}{100}$ normalen Lösung alles Zink als in Form von Ionen Zn^{++} vorhanden angenommen wurde. Man sieht, daß die Konzentration dieser einfachen Zn^{++} -Ionen viel langsamer als die Zn-Salzkonzentration wächst; ferner zeigen die Werte c_e , die aus der Leitfähigkeit berechnet sind, beträchtlich höhere Ionenkonzentrationen, so daß ein erheblicher Teil davon nicht einfache Ionen Zn^{++} , sondern primäre ($ZnCl^+$) oder selbstkomplexe sein müssen.

Von Ketten zweiter Art ist die wichtigste die von Helmholtz konstruierte Calomelkette $Hg-HgCl-ZnCl_2-Zn$. Aus den vielen diese Kombination betreffenden Untersuchungen sei hervorgehoben, daß bei 15° die Spannung gerade 1 Volt beträgt, wenn die $ZnCl_2$ -Lösung das spez. Gewicht 1,409 hat¹¹³⁾ (resp. 1,391 Carhart).

Konzentrationsketten ohne Überführung, kombiniert wie



maß Goodwin.¹¹⁴⁾ Sie zeigten übereinstimmend mit dem oben Gesagten, daß in konzentrierteren Lösungen die Leitfähigkeit mehr Ionen anzeigt, als in Gestalt einfacher Metallionen vorhanden sein können.

Godlewski^{114a)} fand für h Gramm $ZnCl_2$ pro Gramm H_2O bei 25° π Volt, wenn die eine Lösung stets $h = 0,68 \cdot 10^{-4}$ ($= 0,001$ Mol/Liter) war

$h \cdot 10^4$	π
3,4	0,0602
6,8	857
11	0,1017
20	1207
34	1306
68	1584
100	1704
150	1829
250	1986
340	2081
500	2200
682	2303
1379	2528
3717	2839
4500	2928
5500	3024
6500	3126
7500	3228
8348	3297

$h \cdot 10^4$	π
10000	3411
11057	3522
12000	3606
13000	3642
14428	3806
15500	3902
16667	4050
17500	4174
18264	4301

Sehr ausgedehnt sind auch die Bestimmungen der Temperaturkoeffizienten.

Nach Bouty¹¹⁵⁾ ändert sich die Spannung von Zn—ZnCl₂ bis 60° fast unabhängig von der Konzentration um 0,74 Millivolt pro Grad. Ebeling¹¹⁶⁾ fand bei 20° für a-prozentige Lösung:

a	Millivolt/Grad
69	0,184
48,4	0,548
16,7	0,576
6,6	0,469

Gockel¹¹⁷⁾ maß Lösung von c Mol ZnCl₂ pro Liter

c	Millivolt/Grad
1	0,428
0,5	0,562

Der Temperaturkoeffizient der Helmholtzkette ist nach Gockel¹¹⁸⁾ für c Mol $\frac{1}{2}$ ZnCl₂ pro Liter

$$c = 5,5 \quad 3,5 \quad 2 \quad 1 \quad 0,2$$

Millivolt/Grad 0,833 0,676 0,438 0,675 0,799

Oberflächenspannung. Bei 15° steigt in einer Röhre von 0,5 mm Durchmesser eine Lösung von a Gramm ZnCl₂ in 100 g H₂O h mm¹¹⁹⁾

a	0	5	10	15	20	25	30
h	60,6	58,7	56,9	55,3	53,9	52,6	51,6

Innere Reibung. J. Wagner¹²⁰⁾ fand bei t° für Lösungen von a Gramm ZnCl₂ auf 100 g Lösung das Verhältnis der inneren Reibung zu der von H₂O zu η .

t	a = 33,752	23,487	15,334
15	$\eta = 1,5170$	1,1150	0,9361
25	1,1790	0,8662	0,7274
35	0,8997	0,6977	0,5782
45	0,7264	0,5749	0,4821

oder für c Mol $\frac{1}{2}$ ZnCl₂ pro Liter bei 25° bezogen auf H₂O von 25°

c	η
1	1,1890
0,5	1,0959
0,25	1,0526
0,125	1,0238

Die Diffusionsgeschwindigkeit ist wenig untersucht worden.¹²¹⁾

Spez. Wärme. Marignac¹²²⁾ fand die spez. Wärme w für Lösungen von 1 Mol $\frac{1}{2}\text{ZnCl}_2$ auf a Mol H_2O zu

a	10	15	25	50	100	200
w	0,6212	0,7042	0,7960	0,8842	0,9330	0,9590

Ausführliche Tabellen gibt Blümcke.¹²³⁾ Es bedeutet M das Molar-
gewicht von ZnCl_2 , m das von H_2O , γ die spez. Wärme von H_2O , n die
Anzahl Mol H_2O pro Mol ZnCl_2 , a die Anzahl Gramm ZnCl_2 auf 100 g
Lösung, c die spez. Wärme der Lösung, γmn die Molarwärme des in der
Lösung enthaltenen H_2O , $c(M + mn)$ die der Lösung, $\alpha = c(M + mn) - \gamma mn$
die des gelösten Salzes.

a	n	$c_{\text{beob.}}$	$c_{\text{ber.}}$	$M + mn$	$c(M + mn)$	γmn	α
4,7	152,8	0,972	0,972	2886,4	2805,6	2786,2	+19,4
24,1	23,8	0,805	0,802	564,4	454,3	434,0	20,3
38,5	12,3	0,685	0,680	357,4	244,8	224,3	20,5
58,5	5,4	0,514	0,500	233,2	119,9	98,3	21,6
68,5	3,6	0,437	0,417	200,8	87,8	65,6	22,1

Verdünnungswärme. Zusatz von m Mol H_2O zu einer Lösung von
1 ZnCl_2 in 5 Mol H_2O entbindet bei 18° w cal.¹²⁴⁾

$m =$	10	20	50	100	200	400
w	1849	3152	5317	6809	7632	8020

Lösungswärme. Wenn 1 ZnCl_2 in 300 Mol H_2O gelöst wird, so
entwickeln sich bei 18° 15630 cal.¹²⁴⁾

Die erhebliche Wärmeentwicklung bei Lösung und Verdünnung spricht
im Sinne starker Hydratation der gelösten Molekeln in Übereinstimmung mit
der Existenz fester Hydrate.

Neutralisationswärme. Zn(OH)_2 und 2HCl , beide in großer Ver-
dünnung, entwickeln bei der Neutralisation 19881 cal.¹²⁵⁾

Die spez. Wärme des geschmolzenen ZnCl_2 beträgt nach Regnault¹²⁶⁾
0,1362.

Die Wärmeleitfähigkeit wurde mehrfach untersucht.¹²⁷⁾

Refraktion. Eine Lösung von a Gramm ZnCl_2 in 1000 g Lösung zeigt
die Brechungsexponenten n_a , n_β , n_D für H_a , H_β und Na , die Äquivalentrefraktion
($n - 1$ Formel) R für Na , die Dispersion $D = \frac{n_a - n_\beta}{n_D - 1}$ ¹²⁸⁾ bei 16° .

a	n_a	n_β	n_D	R	D
65,760	—	—	1,013827	$138,6 \cdot 10^{-4}$	—
32,822	1,006914	1,007127	1,006979	$140,2 \cdot 10^{-4}$	$30,5 \cdot 10^{-3}$
16,489	—	—	1,003507	$140,3 \cdot 10^{-4}$	—
8,249	1,001751	1,001807	1,001770	$141,4 \cdot 10^{-4}$	$31,1 \cdot 10^{-3}$
4,128	—	—	1,000889	$142,1 \cdot 10^{-4}$	—
2,0687	1,0004451	1,0004581	1,000449	$143,2 \cdot 10^{-4}$	$30,7 \cdot 10^{-3}$
1,0283	—	—	1,000226	$144,9 \cdot 10^{-4}$	—

v. d. Willigen¹²⁹⁾ fand für höhere Konzentrationen (für die Linien
A, B usw.):

a =	359,8	310,5	230,0
t ⁰ =	26,6 ⁰	24,6 ⁰	26,4 ⁰
d ₄ ⁰ =	1,35949	1,30045	1,20930
A	1,39690	1,38662	1,37038
B	884	852	210
C	977	939	292
D	40222	39177	515
E	532	472	789
b	590	531	842
F	797	729	38026
G	41297	40203	465
H	738	609	845

Nichtwässrige Lösungen. Wie sehr viele Stoffe, welche zur Komplexbildung neigen, läßt auch ZnCl_2 eine unzweifelhafte Verwandtschaft zu organischen Stoffen erkennen. Soweit sich diese in der Bildung von selbständig existierenden, isolierten Additionsverbindungen äußert, ist an anderer Stelle das Nötige zu erwähnen. Es liegen jedoch Untersuchungen vor, welche die Lösungen von ZnCl_2 in nichtwässrigen Lösungsmitteln betreffen, und auf diese soll hier eingegangen werden.

Es löst sich z. B. ZnCl_2 in Alkohol, Äther, Benzonitril¹³⁰⁾, Äthylacetat¹³⁰⁾, Methylal¹³⁰⁾, Glycerin¹³¹⁾, Aceton¹³²⁾, Urethan¹³³⁾, Pyridin¹³⁴⁾, Anilin¹³⁴⁾, Chinolin¹³⁴⁾, Furfurol¹³⁵⁾, Methylpropylketon¹³⁵⁾, Acetophenon¹³⁵⁾, Äthylmonochloracetat¹³⁵⁾, Äthylacetacetat¹³⁵⁾, Äthyloxalat¹³⁵⁾ u. a. m.

In diesen Lösungen ist oft merkliche elektrische Leitfähigkeit vorhanden, die Molargewichte wurden nach osmotischen Methoden z. T. bestimmt. So untersuchte Lespieau¹³⁶⁾ ätherische Lösung, Castoro¹³³⁾ fand in Urethan normale Gefrierdepression.

In Alkohol löst sich ZnCl_2 unter Entwicklung von 977 cal.¹³⁷⁾ Es zeigt darin die molare Leitfähigkeit $6,4 \cdot 10^{-8}$ bei 18⁰ in der Konzentration von 0,001 Mol/Liter¹³⁸⁾, während die Kette $\bar{\text{Zn}}/\text{ZnCl}_2 \frac{n}{10}$ in Alkohol/ $\text{ZnCl}_2 \frac{n}{10}$

in $\text{H}_2\text{O} \cdot \text{Zn} + 0,195$ Volt zeigt, woraus sich nach Jones und Smith¹³⁹⁾ der Dissoziationsgrad von 6 Proz. für die Alkohollösung berechnet; doch ist wegen Unkenntnis der E.M.K. zwischen den beiden Lösungen die Berechnung nicht sicher.

Die Überföhrungszahl n_{Cl} in Alkohol bestimmte Hittorf¹⁴⁰⁾ zu 1,998 für 1,7355 g $\text{C}_2\text{H}_5\text{OH}$ pro g ZnCl_2 und für 6,788 zu 1,538; sie erweist starke Komplexbildung.

Die spez. Wärme in alkoholischer Lösung beträgt nach Blümcke¹⁴¹⁾

a	n	c _{beob.}	c _{ber.}	(M + m n)	c(M + m n)	γ m n	α
8,55	31,8	0,625	0,636	1592,4	995,3	994,8	+0,5
20,12	11,8	0,557	0,537	676,4	376,7	369,1	7,6
30,89	6,6	0,493	0,510	438,3	216,1	206,4	9,7
40,40	4,4	0,448	0,462	337,5	151,2	137,6	13,6
44,20	3,7	0,428	0,441	305,5	130,7	115,7	15,0

Über die Lösungswärme in Alkohol vergl. Pickering.¹³⁷⁾

In Glycerin¹⁴²⁾ beträgt die spez. Leitfähigkeit der Lösung l, die des Lösungsmittels L, die des Salzes l' = 1 - L, die molare Leitfähigkeit des

Salzes λ , a die Anzahl Gramm ZnCl_2 auf 100 g Glycerin, ϵ und β die Konstanten der Formel $k = k_1 (1 - \epsilon t + \beta t^2)$.

a	$l_{15} \cdot 10^3$	$\Gamma_{15} \cdot 10^3$	$\lambda_{15} \cdot 10^3$	ϵ	β	$L \cdot 10$
0,0055	0,0409	0,0293	2,03	0,0443	0,0079	0,0116

Folgende Potentialsprünge wurden gemessen¹⁴³⁾, unter Vernachlässigung der Diffusionskette.

$\text{Zn} \longrightarrow \text{ZnCl}_2$	$\frac{n}{10}$ in Pyridin	+0,272 Volt
" \longrightarrow "	gesättigt in Anilin	+0,383 "
" \longrightarrow "	" in Chinolin	-0,071 "
" \longrightarrow "	$\frac{n}{10}$ in Alkohol	+0,339 "

Geschmolzenes Zinkchlorid. ZnCl_2 erweist sich auch in geschmolzenem Zustande als ein guter Elektrolyt. Es enthält meist etwas H_2O und HCl ; von diesen kann es durch Elektrolyse befreit werden¹⁴⁴⁾ und gibt dann reines Zn an der Kathode.

Die elektrische Leitfähigkeit der Schmelze wurde zuerst wohl von F. Braun¹⁴⁵⁾, später von Graetz¹⁴⁶⁾ und Schultze¹⁴⁷⁾ untersucht. Es fand sich ein ziemlich scharfer Knick beim Schmelzpunkte.

Den Zersetzungspunkt an Kohleelektroden fand R. Lorenz¹⁴⁸⁾ zu 1,50 Volt bei ca. 500°, Garrard¹⁴⁹⁾ bei 467° zu 1,505 Volt.

Den Potentialsprung der Kette $\text{Zn} - \text{ZnCl}_2 - \text{Cl}_2$ (Kohle) fand Suchy¹⁵⁰⁾ zu $\pi = 1,662 - 7,51 \cdot 10^{-4} (t - 430^\circ)$, ferner maß derselbe Autor $\text{Zn} - \text{ZnCl}_2 - \text{PbCl}_2 - \text{Pb}$ ($\pi = 0,276 - 0,96 \cdot 10^{-4} (t - 520^\circ)$).¹⁵¹⁾

Über die Oberflächenspannung vgl. Bottomley^{152a)} und Motylewski.^{152a)}

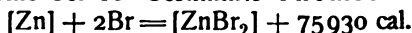
Nach Helfenstein¹⁵²⁾ löst sich Zn in geschmolzenem ZnCl_2 .

Zinkbromid. Auch das Zinkbromid, $\text{ZnBr}_2 = 225,3$, ist außer als Anhydrid in mehreren Hydratstufen bekannt.

Das Anhydrid kristallisiert rhombisch mit den Achsenverhältnissen 0,924:1:1,264¹⁵³⁾, es bildet sich aus Zn und Br_2 bei Rotglut.¹⁵⁴⁾ Die konzentrierte Lösung ist sehr leicht übersättigt zu erhalten und kann durch ZnCl_2 geimpft werden¹⁵⁵⁾, die Salze sind also isomorph.

Das spez. Gewicht beträgt 3,643 nach Bödeker¹⁵⁶⁾, nach Richards und Rogers¹⁵⁷⁾ dagegen ist $d_4^{24} = 4,22$; ZnBr_2 ist sehr hygroskopisch, es schmilzt bei 394°¹⁵⁸⁾ und siedet bei 650°.¹⁵⁹⁾

Die Bildungswärme bei 18° bestimmte Thomsen¹⁶⁰⁾ zu



Ein Hydrat mit $2\text{H}_2\text{O}$ erhielt Dietz¹⁶¹⁾ durch Abkühlen von 86prozentiger Lösung auf 0° in rhombischen Kristallen vom Schmelzpunkt +37°.

Das Trihydrat $\text{ZnBr}_2 \cdot 3\text{H}_2\text{O}$ bildet sich nach Dietz¹⁶¹⁾ aus 80prozentiger Lösung bei -25° in prismatischen Kristallen vom Schmelzpunkte -5°, Ljubarski¹⁶²⁾ gibt an, daß es bei -2,5° unter Bildung eines niederen Hydrats schmelze und daß es mit $\text{ZnCl}_2 \cdot 3\text{H}_2\text{O}$ isomorph sei.

Die Dampfdrucke bei 100° zeigen folgendes Bild.¹⁶³⁾

	p mm Hg
$\text{ZnBr}_2 + 1,1 \text{ H}_2\text{O}$ fest	ca. 74
" + 0,5 " "	" 74
" + 0,2 " "	" 74
" + 0,05 " "	" 25

Die bei t^0 gesättigten Lösungen von ZnBr_2 zeigten bei t^0 die Dampfdrucke p

t^0	20	40	90	100	110	120
p	[<2]	3	52	74	98	120 mm Hg.

Die Löslichkeiten haben nach Dietz¹⁶⁴⁾ folgende Werte, a in Gramm ZnBr_2 auf 100 g Lösung, b in Mol H_2O pro Mol ZnBr_2 ausgedrückt (* bezeichnet den Schmelzpunkt).

ZnBr_2			$\text{ZnBr}_2 \cdot 2\text{H}_2\text{O}$			$\text{ZnBr}_2 \cdot 3\text{H}_2\text{O}$		
t^0	a	b	t^0	a	b	t^0	a	b
35	83,45	2,13	—8	79,06	3,31	—15	77,13	3,70
40	85,53	2,11	0	79,55	3,21	—10	78,45	3,43
60	86,08	2,02	+3	80,76	2,98	—5*	80,64	3,00
80	86,57	1,94	25	82,46	2,66			
100	87,05	1,86	30	84,08	2,36			
			37*	86,20	2,00			

Auch hier also sieht man mit steigender Temperatur die weniger wasserhaltige Verbindung stabiler werden.

Lösungswärme. Es werden bei 18^0 15030 cal entwickelt, wenn 1 ZnBr_2 in 400 H_2O gelöst wird.^{164a)}

Die wässrige Lösung von ZnBr_2 zeigt die spez. Gewichte $d_{19,5^0}^{19,5^0}$, wenn a Gramm ZnBr_2 in 100 g H_2O gelöst sind.¹⁶⁵⁾

a	20,6	42,6	91,4	150,3	224,7	318,3
$d_{19,5^0}^{19,5^0}$	1,1715	1,3270	1,6101	1,8797	2,1441	2,3914

Die folgenden spez. Volumina zeigen Lösungen bei t^0 , wenn die bei $19,5^0$ gefundenen Werte gleich 1 gesetzt werden.¹⁶⁶⁾

t ⁰	a=	19,9	41,2	67,5	98,8	128,2	189,2
0		0,99419	0,99120	0,98980	0,98913	0,98880	0,98842
19,5		1,00000	1,00000	1,00000	1,00000	1,00000	1,00000
40		1,00906	1,01132	1,01228	1,01268	1,01281	1,01296
60		1,02052	1,02421	1,02561	1,02608	1,02620	1,02622
80		1,03421	1,03890	1,04042	1,04066	1,04056	1,04016
100		1,05011	1,05526	1,05640	1,05623	1,05573	1,05456

Der Ausdehnungskoeffizient steigt also mit wachsendem Salzgehalte.

Über die Dissoziationsverhältnisse liegt zurzeit nur äußerst dürftiges Material vor. Gefrierdepressionen scheinen gar nicht gemessen worden zu sein; betreffs der Leitfähigkeit können nur folgende Daten angegeben werden¹⁶⁷⁾, welche für 22^0 gelten, und die äquivalenten Leitfähigkeiten (für v Liter pro Mol $\frac{1}{2}\text{ZnBr}_2$) in reziproken Ohm anzeigen.

v	λ
40	164,6
80	166,6
160	168,5
320	160,3
640	154,2

Diese Zahlen dürften kaum Zutrauen verdienen.

Zusatz von 1 Volumprozent Nichtelektrolyt erniedrigt die Leitfähigkeit um p Proz. bei 25^0 , wenn n Mol $\frac{1}{2}\text{ZnBr}_2$ im Liter gelöst sind.¹⁶⁸⁾

n	CH_3OH	$\text{C}_2\text{H}_5\text{OH}$	$\text{isoC}_3\text{H}_7\text{OH}$	$\text{C}_4\text{H}_{10}\text{O}$	$(\text{CH}_3)_2\text{O}$
0,025	p = 1,86	25,2	28,0	21,4	17,7
0,0025	1,86	25,5	28,2	21,6	—

Die Überführungszahl n_{Br} des Br fand Kümmell¹⁶⁹⁾ für c Mol $\frac{1}{2}\text{ZnBr}_2$ pro Liter zu

c	n
0,0027	0,584
0,0053	0,609
0,0103	0,607

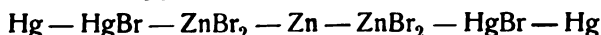
Das Mittel 0,600 ergibt für A_0 , wenn die Beweglichkeit des Br' bei 18° $v_{\text{Br}'} = 67$ gesetzt wird

$$A_0 = \frac{67}{0,60} = 112$$

und die Beweglichkeit

$$u_{\frac{1}{2}\text{Zn}^{++}} = 112 - 67 = 45.$$

Konzentrationsdoppelketten ohne Überführung¹⁷⁰⁾, wie



zeigten für die Normalitäten c_1 und c_2 des ZnBr_2 folgende Potentialdifferenzen bei 25°

c_1	c_2	π
0,2	0,02	0,0793
0,1	0,01	0,0808
0,02	0,002	0,0860
0,01	0,001	0,0863

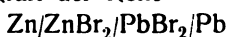
Der Potentialsprung $\text{Zn} - \text{ZnBr}_2$ ändert sich für 0,5 Mol pro Liter um 0,675 Millivolt pro Grad.¹⁷¹⁾

Auch ZnBr_2 löst sich gut in nichtwässrigen Flüssigkeiten, wie schon lange bekannt ist, z. B. in Alkohol, Äther, Eisessig.¹⁷²⁾

Die äquivalente Leitfähigkeit des Salzes in einer Lösung von 0,001 Mol $\frac{1}{2}\text{ZnBr}_2$ pro Liter Äthylalkohol beträgt bei 18° $18 \cdot 10^{-8}$ reziproke Ohm.¹⁷³⁾

Im geschmolzenen Zustande leitet ZnBr_2 die Elektrizität gut, nach Graetz¹⁷⁴⁾ liegt beim Schmelzpunkt 390° kein Knick in der Leitfähigkeits-Temperaturkurve.

Die elektromotorische Kraft der Kette



fand Czepinski¹⁷⁵⁾ zu π Volt bei t^0

t^0	434	483	553	632	673
π	0,2286	0,2127	0,2038	0,1861	0,1418.

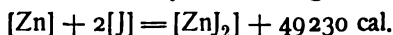
Über Oberflächenspannung vgl. Motylewski.^{152a)}

Zinkjodid. Das Anhydrid des Zinkjodids, $\text{ZnJ}_2 = 319,1$, kristallisiert regulär¹⁷⁶⁾, hat das spez. Gewicht 4,696¹⁷⁷⁾ und schmilzt bei 446° .¹⁷⁸⁾ Es ist hygroskopisch.

Ein Dihydrat erhielt Dietz¹⁷⁹⁾ aus bei 100° an ZnJ_2 gesättigter Lösung durch Abkühlung auf -8° in prismatischen Kristallen, die sehr hygroskopisch sind und bei $+27^\circ$ unter Schmelzen in ZnJ_2 übergehen.

Ein Tetrahydrat beschreibt Ljubarski.¹⁸⁰⁾ Er nimmt auch die Existenz eines labilen Trihydrats an, weil die Kristallisation von $\text{ZnJ}_2 \cdot 4\text{H}_2\text{O}$, welche spontan nicht erfolgte, durch $\text{ZnCl}_2 \cdot 3\text{H}_2\text{O}$ ausgelöst wurde. Dietz¹⁷⁹⁾ konnte das Tetrahydrat nicht wieder erhalten.

Die Bildungswärme des Anhydrids beträgt nach Thomsen¹⁸¹⁾



Die Löslichkeit bestimmte Dietz¹⁸²⁾ für a Gramm ZnJ_2 auf 100 g Lösung und b Mol H_2O pro Mol ZnJ_2 zu

$\text{ZnJ}_2 \cdot 2\text{H}_2\text{O}$			ZnJ_2		
t^0	a	b	t^0	a	b
-10	80,50	4,29	0	81,11	4,13
-5	80,77	4,22	+18	81,20	4,10
0	81,16	4,12	40	81,66	3,98
+10	82,06	3,87	60	82,37	3,79
22	83,12	3,60	80	83,05	3,63
27	89,52	3,00	100	83,62	3,48

Die Kurven scheinen sich nahe unter 0^0 zu schneiden, dort würde dann der Umwandlungspunkt beider Bodenkörper liegen.

Lösungswärme.^{182a)} Bei der Auflösung von 1 ZnJ_2 in 400 H_2O entwickeln sich 11310 cal bei 18^0 .

Das spez. Gewicht der wässrigen Lösung von a Gramm ZnJ_2 auf 100 g H_2O beträgt bei $19,5^0$ ¹⁸³⁾

a	21,5	46,4	85,0	126,3	232,0
19,5	1,1715	1,3486	1,5780	1,7815	2,1853

und das spez. Volum, auf das von $19,5^0$ bezogen, hat bei t^0 den Wert ¹⁸⁴⁾

t^0	a = 18,8	46,6	80,8	109,0	198,4
0	0,99403	0,99053	0,98913	0,98841	0,98736
19,5	1,00000	1,00000	1,00000	1,00000	1,00000
40	1,00877	1,01157	1,01278	1,01332	1,01392
60	1,01960	1,02461	1,02658	1,02744	1,02815
80	1,03249	1,03914	1,04161	1,04247	1,04269
100	1,04751	1,05522	1,05766	1,05823	1,05756

Der Ausdehnungskoeffizient wächst also mit steigender Konzentration.

Die äquivalente elektrische Leitfähigkeit bei 22^0 gibt G. Jaeger¹⁸⁵⁾ für v Liter pro Mol $\frac{1}{2}\text{ZnJ}_2$ auf λ an.

v	λ	γ
40	103,1	0,85
80	105,1	0,86
160	110,6	0,91
320	115,5	0,95

Die Überföhrungszahl des Jods fand Hittorf¹⁸⁶⁾ in Lösungen von n Gramm H_2O pro g ZnJ_2 zu

n	n_f
0,6643	1,157
2,457	0,727
112,886	0,675

Aus diesen Zahlen ist deutlich die erhebliche, mit der Konzentration steigende Komplexbildung zu erkennen. Nach Kümmeil¹⁸⁷⁾ beträgt der Grenzwert für n_f im Mittel 0,589 bei 0,0025 bis 0,0098 Mol $\frac{1}{2}\text{ZnJ}_2$ pro Liter, damit ergibt sich, wenn für 22^0 die Jodbeweglichkeit $v_j = 72$ angenommen wird:

$$\lambda_0 = \frac{72}{0,59} = 122$$

und

$$u_{1/2\text{Zn}^{2+}} = 50 \quad (22^0)$$

oder für 18^0

$$u_{1/2\text{Zn}^{2+}} = 45.$$

(Es ist hierbei zu beachten, daß die Zahlen Küssmells noch immer einen kleinen Gang mit der Verdünnung zeigen:

c	η_f
0,00976	0,602
0,00488	0,586
0,00248	0,579).

Mit $A_0 = 122$ sind die oben gegebenen Dissoziationsgrade γ für $\text{ZnJ}_2 \rightleftharpoons \text{Zn}^{2+} + 2\text{J}'$ berechnet.

Elektrometrische Bestimmungen ergaben, daß die 0,5 molare Lösung mit $\frac{n}{1} \text{KNO}_3$ Zusatz die 1,27fache Zn^{2+} -Ionenzahl enthält als ZnSO_4 in 0,5 molarer Lösung¹⁸⁸⁾, dies ist ein sehr wenig wahrscheinlicher Wert.

Laurie¹⁸⁹⁾ untersuchte folgende Kombinationen, welche zu dem von Herroun¹⁹⁰⁾ konstruierten Jodvoltmeter in Beziehung stehen.

1. Zn/ZnJ_2 -Lösung/ J_2/Pt bei 20^0

a Gramm J_2 gelöst in 1 ccm einer Lösung von 0,33 g ZnJ_2 pro g H_2O

a	0,309	0,155	0,077	0,037	0,018	0,005	0,0006
π	1,287	1,271	1,271	1,268	1,259	1,238	1,221

2. b Gramm ZnJ_2 in 1 g einer Lösung, welche pro ccm 0,014 g J_2 enthält,

b	3,870	0,118	0
π	1,075	1,303	1,594

3. Zn/ZnJ_2 -Lösung/ CuJ/Cu

c Gramm ZnJ_2 in 1 g H_2O

c	3,90	3,64	2,87	2,72	2,49	1,86	0,596	0,236
π	0,415	0,419	0,425	0,440	0,454	0,488	0,545	0,607

c	0,118	0,059	0,029	0,003	0
π	0,637	0,656	0,696	0,771	0,894.

π bedeutet Volt.

Die Anordnungen 1. und 2. sind zwischen 10^0 und 50^0 von der Temperatur weniger als um 0,1 Millivolt pro Grad abhängig.

Temperaturkoeffizienten. Gockel¹⁹¹⁾ fand, daß sich der Potentialsprung $\text{Zn}-\text{ZnJ}_2$ für 0,5 Mol pro Liter um 0,602 Millivolt pro Grad ändert.

Oberflächenspannung. Nach Valson¹⁹²⁾ beträgt die Steighöhe einer Lösung von a Gramm ZnJ_2 in 100 g H_2O in einer Röhre von 0,5 mm Durchmesser bei 15^0 h mm

a	0	5	10	15	20	25
h	60,6	58,2	56,2	54,4	52,8	51,2

Zur Berechnung der Oberflächenspannung muß hierbei noch das variable spez. Gewicht der Lösungen berücksichtigt werden, und es folgt aus dem angegebenen Werte des Röhrendurchmessers, daß $h \cdot \frac{1}{8}$, multipliziert mit dem spez. Gewicht, die Oberflächenspannung in mg/mm ausdrückt.

In alkoholischer Lösung von 0,001 Mol $\frac{1}{2}\text{ZnJ}_2$ pro Liter beträgt bei 18^0 die äquivalente Leitfähigkeit des Salzes $28,6 \cdot 10^{-8}$ rez. Ohm.¹⁹³⁾ Die Überführungszahl η_f des Anions beträgt nach Hittorf¹⁹⁴⁾ für a Gramm $\text{C}_2\text{H}_5\text{OH}$ pro g ZnJ_2 :

a	0,5197	0,7072	1,5335	1,5341	4,9334	16,144
n ₃	2,161	2,008	1,711	1,705	1,254	0,747

Die Komplexbildung ist hier also noch erheblich stärker als in wässriger Lösung.

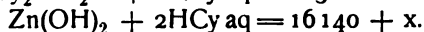
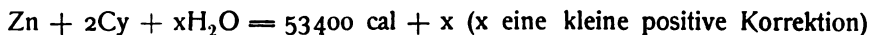
Die elektrische Leitfähigkeit von geschmolzenem ZnJ_2 zeigt beim Schmelzpunkte eine plötzliche Änderung.¹⁹⁵⁾

Über Oberflächenspannung vergl. Motylewski.^{152a)}

Zinkcyanid. Das Zinkcyanid, $\text{ZnCy}_2 = 117,5$, wurde zuerst vermutlich von Wöhler¹⁹⁶⁾ und von Oppermann¹⁹⁷⁾ dargestellt. Es kann aus ZnSO_4 oder ZnCl_2 , nicht aber $\text{Zn}(\text{CH}_3\text{COO})_2$ ¹⁹⁸⁾, durch Fällen mit KC_y erhalten werden, entsteht bei Reduktion von $\text{CO}(\text{NH}_2)$ oder $(\text{CNOH})_3$ mit Zn ¹⁹⁹⁾, und bildet sich auch aus ZnO - und KC_y -Lösung.¹⁹⁸⁾ Durch Umkristallisieren aus konzentrierter $\text{Zn}(\text{CH}_3\text{COO})_2$ -Lösung mit Zusatz von ZnSO_4 wurde es in rhombischen Prismen erhalten.²⁰⁰⁾ Im amorphen Zustande neigt es zu kolloidaler Aufschlammung und geht beim Waschen leicht durch das Filter.²⁰¹⁾ Aus der Messung von Lösungswärmen in verdünnten starken Säuren, in denen es als Salz einer schwachen Säure löslich ist, während reines H_2O und $\text{C}_2\text{H}_5\text{OH}$ so gut wie nichts aufnehmen, ergab sich die Bildungswärme:



J. Thomsen²⁰²⁾ findet



ZnCy_2 ist ein Salz, das als Neutralteil mit CN' und einem der Ionen der Zinkacetats Komplexe bildet, wie schon aus seinen oben erwähnten Löslichkeitsverhältnissen in anderen Salzen folgt. Die Entstehung aus dem schwer löslichen ZnO mit KCN würde ergeben, daß seine Löslichkeit erheblich unter der des ZnO liegt. Sein Zustand in wässriger Lösung ist infolge der geringen Löslichkeit bisher der Untersuchung nicht zugänglich gewesen und fast die einzige physikochemische Angabe besteht in den Zahlen, welche den Potentialsprung von Zn gegen KC_y von der Normalität c in Volt ausdrücken.²⁰³⁾ Er variiert darnach zwischen den Grenzen

$$c = 1 \quad 10^{-6}$$

$$\pi = 0,956 \quad 0,355$$

Da aber der Zinkgehalt hier nicht definiert war, so läßt sich den Daten lediglich qualitativ entnehmen, daß die Lösungstension gegen Cyanidlösung offenbar wegen Komplexbildung größer ist als gegen andere Lösungen und gleichzeitig mit der Konzentration des komplexbildenden Anions CN' abnimmt.

Über den Zustand des Komplexes vergl. Zinkdoppelpcyanide.

Zinkrhodanid. Zinkrhodanid $\text{Zn}(\text{CNS})_2 = 181,6$, schließt sich den Haloiden an. Dargestellt wurde es von Meitzendorff.²⁰⁴⁾

Über die Löslichkeit liegen keine Angaben vor.

Zinkverbindungen mit den Elementen der Sauerstoffgruppe.

Zn , Oxyd, Sulfid etc.

	Sp. Gew.	Bild.-W.	Löslichk.	Molarvol.	Summe der Einzelmolarvolumme
Zn(OH) ₂	3,05	82680	2<10 ⁻⁵ ?	32,7	
ZnO	5,65	85400	2<10 ⁻⁴ ?	14,4	
ZnS	4,0	41580	?	24,4	24,8
ZnSe	5,40	40400	?	26,8	26,8
ZnTe	6,34	37300	?	30,4	29,4
Löslichkeit: Mol pro Liter					

Zinkhydroxyd und Zinkate. Das Zinkhydroxyd, Zn(OH)₂ = 99,4, gehört bereits zu den amphoteren Hydroxyden, die in Lösung unter Umständen auch Säurefunktion ausüben. Es kann gut kristallisieren und wird auch kristallin in der Natur gefunden. Die Kristallform ist rhombisch^{205) 207)}, das spez. Gewicht beträgt etwa 3, z. B. 3,053 nach Filhol²⁰⁶⁾, 2,677 aber nach Nicklès.²⁰⁷⁾

Künstlich ist es sehr häufig aus dem Metalle dargestellt worden, indem man dieses in eine alkalische Lösung brachte und zur Erleichterung der Entladung ein positiveres Metall mit ihm verband. Diese alte, an das Metallpaar von Gladstone erinnernde Anordnung wurde schon von Runge in der Form Zn—Fe mit NH₄OH, KOH oder NaOH, von Schindler und anderen älteren Autoren benutzt und liefert nach Nicklès²⁰⁷⁾, Cornu²⁰⁸⁾ und anderen kristallisiertes Zn(OH)₂. Neuerdings ist auch anstatt des Lösungsdruckes des Zn-Metalls die Elektrolyse von Alkalisalzen mit Zn-Anode benutzt worden, wobei das Zn an der Anode gelöst und durch das an der Kathode entstehende Alkalihydroxyd gefällt wird.

Z. B. untersuchte Strecker²⁰⁹⁾ die Kombination Zn—NaCl—Zn und bekam an der Anode Hydroxyd mit 0,6 Volt und 0,5 Amp./qdm. Der Theorie entsprach qualitativ sein Befund, daß Metallkathoden mit geringerem Lösungsdrucke als Zn eine geringe Spannung erfordern.²⁰⁹⁾

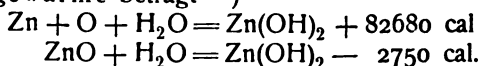
Auch auf andere Weise kann man das Zn(OH)₂ darstellen. Außer der bekannten Fällung durch hydroxylhaltige Stoffe kennt man Umwandlungen wie ZnSO₄-Lösung + AgO → Ag₂SO₄ + Zn(OH)₂, welche quantitativ verläuft²¹⁰⁾, und ZnCO₃ + 0,1 normal KOH → Zn(OH)₂ + K₂CO₃.²¹¹⁾

Fällt man Zn-Salze mit Alkali, so ist der Niederschlag nicht immer reines Zn(OH)₂. Dieses ist nach Euler^{211a)} aus Nitrat zu gewinnen.

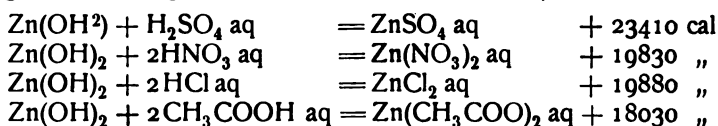
Zn(OH)₂ kann, wenn es aus Lösungen gefällt ist, je nach der Behandlung sich gegen Reagenzien verschieden verhalten, wie es auch das ZnO tut. Man hat daher gelegentlich versucht, die Existenz verschiedener Modifikationen und verschiedener Hydrate anzunehmen, es liegt aber für diese Ansicht bisher kein zwingender Grund vor. Die Hydrate des Oxyds und Hydroxyds, welche z. B. de Forcrand²¹²⁾ erhielt, brauchen durchaus nicht als Individuen anerkannt zu werden und wenn nach der Lösungsgeschwindigkeit in derselben Flüssigkeit²¹³⁾ verschiedene Präparate unterschieden werden müssen, so haben sich sprunghafte und stets wiedergefundene Unterschiede bisher nicht gezeigt, es fehlt also das Kriterium der chemischen Individualität. Die Unterschiede dürfen vielleicht mit Oberflächenerscheinungen in Zusammenhang gebracht werden.

In oktaedrischen Kristallen erhielt Becquerel²¹⁴⁾ aus Na-Zinkat ein Hydrat Zn(OH)₂ · 2 H₂O.

Die Bildungswärme beträgt²¹⁵⁾



Folgende Lösungswärmen wurden bestimmt²¹⁵⁾



Die Löslichkeit des Zn(OH)_2 in H_2O ist sehr gering und wird von Herz²¹⁶⁾ zu $2,6 \cdot 10^{-5}$ bei Zimmertemperatur berechnet, während Labendzinski²¹⁷⁾ aus allerdings noch unsicheren Grundlagen den zweifellos zu hohen Wert für das Löslichkeitsprodukt $\text{Zn}^{2+} \times (\text{OH}')^2$ zu $2,4 \cdot 10^{-1}$ ausrechnet. Salzlösungen dagegen nehmen zum Teil merkliche Mengen auf. Eine 1 prozentige Lösung löst bei t^0 a mg Zn pro Liter²¹⁸⁾

	NaCl	KCl	CaCl ₂	MgCl ₂	BaCl ₂	K ₂ SO ₄	MgSO ₄
t^0	18	20	16	16	18	20	21
a	51	43	57,5	65	38	37,5	27
	KNO ₃	NaNO ₃	Ba(NO ₃) ₂	K ₂ CO ₃	NH ₄ Cl	NH ₄ NO ₃	(NH ₄) ₂ SO ₄
t^0	15,5	15,5	21	15	20	20	20
a	17,5	22	25	0	95	77	88

Die stärkste Löslichkeit findet sich also in den Ammonsalzen, die sich unter Bildung von Ammoniak und Zn-Salz²¹⁶⁾ bis zu einem Gleichgewicht umsetzen; dann folgen die Chloride, da mit ihnen sich jedenfalls undissoziiertes ZnCl_2 und eventuell dessen Komplexe in merklichem Maße bilden; die stets stark dissoziierten und kaum komplexbildenden Nitrate haben das geringste noch nachweisbare Lösungsvermögen; Carbonat vermag natürlich wegen der noch kleineren Löslichkeit des ZnCO_3 gegenüber Zn(OH)_2 nichts Merkliches in Lösung zu bringen.

Die Fähigkeit des Zn(OH)_2 , starken Basen gegenüber als Säure zu fungieren, tritt sehr deutlich in den Kombinationen mit KOH und NaOH zutage, während das Ammoniak ein abweichendes Verhalten zeigt, da seine OH' -Konzentration zu gering ist; es bildet vielmehr komplexe Zn-NH_3 -Kationen.

Kaliumzinkate sind schon ziemlich lange bekannt. Die ersten Beweise für ihre Existenz finden sich in einigen Arbeiten von Laux, Sander u. a.²¹⁹⁾, aus denen die Formel K_2ZnO_2 abzuleiten ist, welche auch heute als die normale gilt. Dieser Stoff wird in heißer Lösung zu $\text{K}_2\text{Zn}_2\text{O}_3$ hydrolysiert.^{219) 220)} Quantitative Studien wurden später von Prescott²²¹⁾ ausgeführt und ergaben folgendes.

Bei 17^0 braucht 1 ccm molarnormaler ZnSO_4 -Lösung 8 ccm normaler KOH zur Wiederlösung des Niederschlags. Hierzu können 4 ccm $\frac{1}{2}$ molare H_2SO_4 gesetzt werden, ehe der Niederschlag wieder fällt. Der Säurezusatz kann ersetzt werden durch Verdünnen auf das 13 fache Volumen.

ZnSO_4 (0,1 normal) braucht für 10 ccm $12,6 \text{ ccm } \frac{n}{1} \text{ KOH}$.

Wenn KOH 0,1 normal zu ZnSO_4 in normaler Lösung gesetzt wird, so löst sich der Niederschlag nicht mehr, die schwächste Lösung, die ihn noch zu lösen vermag, ist 0,292 normal. Bei 50^0 ist dreimal soviel KOH nötig als bei 17^0 , um Zn(OH)_2 in Lösung zu halten.

Die ersten Versuche lassen sich folgendermaßen berechnen: Die Konzentrationen von Zn (resp. ZnSO_4), KOH und H_2SO_4 (resp. K_2SO_4), welche zugleich bestehen, wenn eben keine Fällung eintritt, seien a, b, c.

Nr.	a	b	c
1	0,111	0,892	0
2	0,00854	0,0685	0
3	0,0769	0,613	0,308
4	0,0443	0,556	0

Zur weiteren Berechnung eignen sich diese Zahlen wegen der Gegenwart des K_2SO_4 nicht.

Ausführlicher wurde die Lösung des Na-Zinkats untersucht. Comey und Loring Jackson²²²⁾ haben aus der Lösung mit Alkohol zwei Präparate erhalten, eine weiße bei 100° schmelzende Masse von $H_2Na_4Zn_3O_6 \cdot 17H_2O$ (?) und Kristalle von $HNaZnO_2 \cdot \frac{7}{2}H_2O$, die bei 300° nicht schmelzen und nach

Förster und Günther²²³⁾ nicht $\frac{7}{2}$, sondern $3H_2O$ enthalten. Dazu stimmt die Angabe von Jordis²²⁴⁾ nicht, daß Na_2ZnO_2 bei 150° zerfällt.

Löslichkeitsversuche ergaben folgende Zahlen.²²⁵⁾ In 20 ccm an $Zn(OH)_2$ gesättigter Lösung befinden sich a Gramm Zn und b Gramm Na (die Verdünnung des NaOH beträgt also v Liter).

a	0,0040	0,0150	0,0442	0,1771	0,9630	0,2481	0,3700
b	0,1012	0,1978	0,4278	0,6670	0,9660	1,4951	2,9901
v	4,55	2,33	1,07	0,70	0,48	0,31	0,16

Auch diese Zahlen gestatten leider keine Berechnung, da nur die konzentrierteste Lösung stabil ist, während die anderen langsam $Zn(OH)_2$ wieder abscheiden. Es scheint sich hier um einen jener interessanten Zwischenzustände zu handeln, von denen man zurzeit noch nicht weiß, ob man sie den kolloidalen zurechnen soll oder nicht (s. u.).

Daß wenigstens ein Teil des gelösten $Zn(OH)_2$ in irgendeiner Form als Salz und nicht völlig als Kolloid gelöst ist, zeigt die Tatsache, daß die Zn^{++} -Ionenkonzentration endliche, wenn auch sehr kleine Werte hat, und daß etwas Zinkatanion mit diesem in der Lösung koexistieren muß; denn die Zinkatlösungen geben z. B. mit Schwefel-Ionen ZnS -Niederschlag. Weiterhin spricht dafür das von Kremann^{227b)} bei Überführungsversuchen gewonnene Resultat (vergl. dazu Bonsdorff^{211a)} u. ²³⁰⁾).

Nach Wilsmore²²⁶⁾ hat eine Lösung von $1KOH + nK_2ZnO_2$ pro Liter die Potentialdifferenz π gegen Zn bei 25°

n	π	Z
0	$0,959 \pm 0,004$	
0,01	$0,966 \pm 0,007$	$2,10 \cdot 10^{-17}$

Aus π folgt eine Konzentration des Zn^{++} -Ions von etwa z.

Hantzsch²²⁷⁾ nimmt an, daß außer in hochkonzentrierten Lösungen fast gar kein Zinkat, sondern meist kolloidales Hydroxyd vorhanden ist, und stützt sich auf folgende Experimente. Eine Lösung von $1ZnSO_4 + 9NaOH = Na_2SO_4 + Zn(OH)_2 + 7NaOH$ hat fast die gleiche spez. Leitfähigkeit wie $Na_2SO_4 + 7NaOH$; wenn die Verdünnung mehr als 200 Liter beträgt. Mit steigender Konzentration ist sie anfangs etwas kleiner, es ist also vermutlich Zinkat vorhanden, sie steigt aber schnell an und es fällt $Zn(OH)_2$ aus. Kochen oder NaCl-Zusatz bewirkt Fällung, eine Erscheinung, die entweder als eine gewöhnliche Kolloidfällung durch Salzzusatz oder aber als eine Folge von (vielleicht mit einer Hydrolyse in Zusammenhang stehenden) Massen-

wirkung des Na-Ions aufgefaßt werden kann. Eine Entscheidung dieser Alternative läßt sich möglicherweise durch Variation des zugesetzten Salzes herbeiführen.

Die Verseifung von Äthylacetat erfolgt bei 15° in einer Lösung von $1\text{ZnSO}_4 + 12\text{NaOH}$ in 100 Litern ebenso schnell als in $1\text{Na}_2\text{SO}_4 + 10\text{NaOH}$ bei gleicher Verdünnung, aus der Zn-Lösung fällt rasch ein Niederschlag.^{227b)}

Da mithin die Gegenwart des Zn-Hydroxyds in der Lösung auf deren OH' -Konzentration sowie Leitfähigkeit^{227a)} keinerlei Einfluß ausübt, so erscheint der Schluß von Hantzsch für die Hauptmenge des gelösten Zn gerechtfertigt.^{227b)} Man wird aber, wie das prinzipiell für jeden Stoff geschehen muß, der kolloidal in Lösung gehen kann, neben einem kolloiden Anteil einen andern, wenn auch vielleicht sehr kleinen Teil im gewöhnlichen Lösungszustand annehmen dürfen, und es muß der Zukunft überlassen bleiben, die für dieses wichtige Gebiet geltenden Gleichgewichtsbeziehungen aufzudecken.

Kunschert^{228a)} hat die elektromotorischen Kräfte von Konzentrationsketten gemessen, die $\text{Zn}(\text{OH})_2$ in NaOH als Elektrolyten und Zn Elektroden enthielten. Er fand für c Mol Zn und z_1 und z_2 Mol NaOH pro Liter π_1 Millivolt. π_2 enthält die unter Berücksichtigung der Flüssigkeitspotentialdifferenz korrigierten Werte. An Zn_1 und Zn_2 sind kleine Korrekturen für die Menge des durch Zn gebundenen OH angebracht (rund 1 Proz.). Aus den Zahlen berechnet Kunschert den Quotienten $\frac{n}{m}$, der das Verhältnis der Molarexponenten der Gleichgewichtsgleichung angibt. In verdünnten Lösungen nähert sich $\frac{n}{m}$ dem Werte 3, entsprechend $\text{Zn}'' + 3\text{OH}' = \text{HZnO}_2 + \text{H}_2\text{O}$, in konzentrierten 4, entsprechend $\text{Zn}'' + 4\text{OH}' = \text{ZnO}_2'' + 2\text{H}_2\text{O}$. Für dieses Gleichgewicht ergab sich $\frac{c_{\text{Zn}''} \cdot c_{\text{OH}'}}{c_{\text{ZnO}_2''}} = 4 \cdot 10^{-13}$ und die Spannung Zn Elektrode

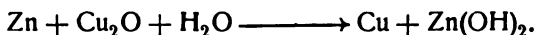
gegen die Lösung $\pi_1 = 1,130 - 0,029 \log \frac{c_{\text{ZnO}_2}}{c_{\text{OH}'}}$ Volt gegen H-Elektrode.

c	z_1	z_2	π_1	π_2	$\frac{n}{m}$
0,0097	1,93	0,95	22	29	4,0
0,0097	0,95	0,46	22	32	3,8
0,0097	0,95	0,36	31	44	4,0
0,0097	0,95	0,176	47	71	3,5
0,00484	0,945	0,965	28	36	5,1
0,00484	0,965	0,475	18	28	3,4
0,00484	0,965	0,181	52	76	3,7
0,00484	0,965	0,088	59	94	3,3
0,0024	0,9676	0,906	60	94	3,3
0,012	0,453	0,208	30	41	4,4
0,0097	0,36	0,186	16	25	3,2

Andere Zinkate hat Bertrand^{228b)} beschrieben. Er erhielt aus gemeinschaftlicher ammoniakalischer Lösung neben $\text{Sr}(\text{OH})_2$ und $\text{Zn}(\text{OH})_2$ $\text{Sr}(\text{HZnO}_2)_2 \cdot 7\text{H}_2\text{O}$ und analog $\text{Ba}(\text{HZnO}_2)_2 \cdot 7\text{H}_2\text{O}$, ferner auch $\text{Ca}(\text{HZnO}_2)_2 \cdot 4\text{H}_2\text{O}$.

Den Zinkatlösungen resp. alkalischen Zn-Lösungen kommt eine gewisse praktische Bedeutung zu, die sich hauptsächlich, wie bei analog verwerteten Lösungen andrer Metallsalze, auf den äußerst geringen Gehalt an Metallkationen gründet. Denn einmal kommen dadurch die Vorteile zur Geltung, welche z. B. eine Lösung von guter Leitfähigkeit, geringem Gehalte an aktuellen und großem an potentiellen Kationen für die Elektrolyse und Galvanostegie besitzt, Vorteile, die bekanntlich in hohem Maße den komplexen Cyaniden innewohnen; andererseits aber kann umgekehrt diese geringe und praktisch konstante Konzentration der aktuellen Zn⁺⁺-Kationen vermöge der durch sie bedingten Erhöhung des Reduktionspotentials der mit ihrem Metalle kombinierten Lösung mit Vorteil ausgenutzt werden. So sind denn einerseits die Zinkatlösungen als Bäder für elektrolytische Zn-Gewinnung, andererseits für Reduktionszwecke, z. B. für die Indigoküpe, in Vorschlag und in Anwendung gekommen. Besondere Erwähnung verdient die Konstruktion des seinerzeit als Akkumulator vorgeschlagenen Cupronelements.

Der stromliefernde Prozeß dieser Kette beruht anscheinend auf der Abscheidung von Cu durch Zn nach dem Schema



Als Elektrolyt ist NaOH mit Vorteil verwendbar, weil es die Zn⁺⁺-Ionen auf einen sehr kleinen Betrag reduzieren und gut konstant halten kann, so daß die Lösungstension des Zn höher ist als gegen andere Elektrolyte.

Indessen reicht auch die Löslichkeit des Zn(OH)₂ in anderen Salzen, z. B. NaCl (s. S. 339), hin, um eine definierte Zn⁺⁺-Ionenkonzentration zu schaffen und zu erhalten. Über die Spannungsverhältnisse des Elements macht R. Lorenz²²⁹⁾ folgende Angaben.

Ein Element Zn — 1 n NaCl — Cu₂O zeigte bei der Schließung durch Ω Ohm folgende Klemmenspannungen π in Volt und Einzelpotentiale a am Zn \longrightarrow NaCl, b am Cu₂O \longrightarrow NaCl.

Ω	π	a	b
1000	0,903	+0,525	—0,378
100	0,802	+0,500	—0,302
10	0,442	+0,447	+0,005
1	0,218	+0,409	+0,191
0,1	0,054	+0,370	+0,316

Die Spannung hängt also, wie zu erwarten, sehr stark von der Beanspruchung ab, nach Lorenz verträgt das Element 0,5 Amp./qdm Elektrodenfläche.

Ein eigentliches Cupronelement mit NaOH statt NaCl hat eine bedeutend höhere elektromotorische Kraft und verträgt auch stärkere Beanspruchung aus den oben gegebenen Gründen; zum Vergleiche mögen folgende Daten dienen (I für NaCl, II für NaOH):

Ω	π_{I}	π_{II}	$\frac{\pi_{\text{II}}}{\pi_{\text{I}}}$
170	0,737	1,038	1,41
10	0,593	0,918	1,55
1	0,290	0,765	2,64
0,1	0,047	0,288	6,1

Nach Wilsmore²²⁶⁾ beträgt der Potentialsprung vom Zn zu einer an KOH normalen, an K_2ZnO_2 n Äquivalente enthaltenden Lösung π Volt.

n	π
0	0,959
0,01	0,966

Wesentlich anders gegen $Zn(OH)_2$ als die Alkalien verhält sich NH_4OH . Wir haben hier mit gewissen, sonst nicht häufigen Isomerieverhältnissen zu tun. Denn die Fähigkeit des Zn, in Gestalt seines Hydroxyds eine wenn auch sehr schwache Säure zu bilden, konkurriert mit seiner Neigung zur Bildung komplexer Metallkationen, deren es gerade mit NH_3 mehrere bilden kann. Während man nun die Löslichkeit des $Zn(OH)_2$ in KOH usw. ohne Bedenken durch Bildung des Zinkatanions ZnO_2^{2-} erklären durfte, event. mit der oben besprochenen Einschränkung, konnte vor Anwendung physikochemischer Methoden für den Zustand der ammoniakalischen Lösung des $Zn(OH)_2$ eine Entscheidung nicht getroffen werden. Nachdem aber neuerdings eine Anzahl Untersuchungen gerade auf diesen Punkt gerichtet worden sind, kann es als höchstwahrscheinlich gelten, daß das Zn in dieser Lösung im wesentlichen in Form komplexer Zinkammoniakationen existiert.

Zunächst wird dies durch Überführungsversuche bewiesen, denn Zn wandert zur Kathode.²³⁰⁾

Löslichkeiten nach W. Herz²³¹⁾ enthält die folgende Tabelle, welche unter c die Normalität des NH_4OH , unter z die von Zn (Mol Zn pro Liter) ausdrückt, für 17^0 — 19^0 gilt und mit $Zn(OH)_2$ gewonnen wurde, welches bei 60^0 — 70^0 getrocknet war.

c =	0,0942	0,236	0,707
z =	0,0011	0,011	0,059
$\frac{c}{z}$ =	85,5	21,4	12,0

Wie die dritte Zeile unter $\frac{c}{z}$ deutlich erkennen läßt, und wie zu erwarten, wächst die Löslichkeit relativ stark mit c.²³²⁾

H. Euler²³³⁾ untersuchte verschiedene Präparate von $Zn(OH)_2$, A enthielt 74, B 55, C 71 Proz. H_2O , D war bei 110^0 getrocknet. Ihre Löslichkeit war, wie die folgende Tabelle zeigt, um so größer, je wasserreicher das Präparat.

$t^0 = 15^0 - 17^0$			$t^0 = 21^0$		
	c	z		c	z
A	0,485	0,013	C	0,500	0,0097
	0,97	0,034		0,253	0,0029
B	0,485	0,010	D	0,518	0,0070
				0,259	0,0022

Nach Bonsdorff^{230)211a)} lösen sich bei 25^0 pro Liter c-normalen NH_3 a Gramm ZnO

c	a
0,321	0,34
0,643	0,845
1,215	2,70
1,928	5,07
2,570	7,01
3,213	10,16

Euler²³⁴⁾ bestimmte weiter die Potentialdifferenzen von Ketten des Schemas $\text{Zn} - \text{ZnSO}_4 (c = 0,05) - \text{NH}_4\text{OH} + \text{Zn}(\text{OH})_2 - \text{Zn}$ und berechnete nach der Nernstschen Formel $\pi = 0,0588 \cdot \log \frac{c_1}{c_2}$ die Zn^{++} -Ion-Konzentration der Ammoniaklösung. Er fand unter der Annahme der Reaktion $\text{Zn}^{++} + 4\text{NH}_3 \rightleftharpoons \text{Zn}(\text{NH}_3)_4^{++}$ die Komplexkonstante

$$k = \frac{C_{\text{Zn}^{++}} \cdot C_{\text{NH}_3}^4}{C_{\text{Zn}(\text{NH}_3)_4^{++}}} = 2,6 \cdot 10^{-10}.$$

Darnach besäße das komplexe Kation die Formel $\text{Zn}(\text{NH}_3)_4^{++}$.

Dagegen kommt Bonsdorff²³⁵⁾ ebenfalls auf Grund von Potentialmessungen zu dem Schlusse, daß das komplexe Kation nach der Formel $\text{Zn}(\text{NH}_3)_3^{+}$ zusammengesetzt sei.

Derselbe Autor maß auch Leitfähigkeiten und fand für Lösungen, die bezüglich $\frac{1}{2}\text{Zn}(\text{OH})_2$ 0,01 und bezüglich NH_3 c normal waren, bei 18° die Werte unter π . Zum Vergleiche ist eine Reihe mit $\frac{1}{2}\text{Ba}(\text{OH})_2 = 0,01$ (III) sowie die spez. Leitfähigkeit der reinen NH_3 -Lösung (I) beigegeben.

c	I	II	III
0,5	$7,0 \cdot 10^{-4}$	$8,4 \cdot 10^{-4}$	$22,1 \cdot 10^{-4}$
1	9,0 "	10,8 "	23,1 "
2	10,6 "	13,1 "	23,5 "
3	10,9 "	13,8 "	23,4 "
4	10,7 "	13,6 "	22,2 "
7	8,2 "	11,2 "	17,6 "
10	5,4 "	8,2 "	13,5 "

Die sämtlichen Resultate Bonsdorffs sind (π = spez. Leitfähigkeit bei 18°, z = Äquivalente $\text{Zn}(\text{OH})_2$ pro Liter)

c	z =	0	0,01	0,02	0,03	0,04
0,25	$\pi \cdot 10^4 =$	5,6	6,4	—	—	—
0,5		6,8	8,6	10,2	—	—
1		8,9	11,1	13,5	15,6	17,0
1,5		9,9	12,6	15,2	17,5	19,5
2		10,6	13,4	16,2	18,8	21,1
2,5		10,9	13,8	—	—	—
3		10,9	14,0	17,0	19,6	22,3
4		10,8	13,7	16,8	19,5	22,3
5		10,1	—	16,0	19,0	21,5
7		8,1	10,8	13,9	16,5	19,2
10		5,4	8,1	10,2	12,1	14,2

c	z	$\pi \cdot 10^4 (\text{NH}_3)$	$\pi \cdot 10^4 (\text{Zn}(\text{OH})_2 + \text{NH}_3)$
2,5	0,1	10,9	32,7
2,5	0,05	10,9	24,3
2,5	0,025	10,9	18,3
2,5	0,0125	10,9	14,5
2,5	0,0063	10,9	11,2

Durch Untersuchung ihres katalytischen Effekts auf die Acetonkondensation ergab sich für die Hydroxylionen einer Lösung von 0,234 Mol

$\frac{1}{2}\text{Zn}(\text{OH})_2$ und 2,36 Mol NH_3 pro Liter das Resultat, daß ungefähr 3,5 mal soviel OH^- vorhanden ist als in normaler NH_3 -Lösung.

Für die Annahme komplexer Zn-NH_3 -Kationen sprechen auch einige andere Gründe. Nach Herz²³⁶⁾ diffundiert im Dialysator aus der ammoniakalischen Lösung etwas Zn, was in Alkalilösung nicht geschah. Ferner maß Herz²³⁷⁾ folgende Löslichkeiten in substituierten Ammoniakten statt NH_3 (s. o.)

in $\text{CH}_3\text{NH}_2\text{OH}$			in $\text{C}_2\text{H}_5\text{NH}_2\text{OH}$		
c	z	$\frac{c}{z}$	c	z	$\frac{c}{z}$
0,0944	0,0005	189	0,068	0,0003	230
0,472	0,0081	58	0,51	0,0045	113
0,944	0,03	31	0,68	0,0098	69

Die Löslichkeit ist also bedeutend kleiner als in NH_4OH . Die beiden entsprechenden Dialkylamine lösen $\text{Zn}(\text{OH})_2$ fast gar nicht.

Daraus darf man schließen, daß es im wesentlichen nicht die Zinkatbildung ist, welche die Löslichkeit in NH_4OH erhöht, denn die substituierten Ammoniakte sind stärkere Basen als NH_4OH , aber offenbar weniger befähigt zur Komplexbildung.

Auf elektrischem Wege entsteht ZnO nach Saxén^{238b)}, wenn verdünntes ZnSO_4 zwischen Zn-Elektroden mit hoher Spannung elektrolysiert wird.

Zinkoxyd. Das Zinkoxyd, $\text{ZnO} = 81,4$, wird in der Natur gefunden und bildet sich reichlich in Zinkhüttenöfen. Es zeigt, wenn es kristallisiert ist, deutlich den kristallographischen Charakter seines Metalls, indem es im wesentlichen hexagonal, gelegentlich aber auch regulär auftritt.²³⁸⁾ Die Achsen des hexagonalen Kristalls zeigen $a:c = 1:1,622$ bis $1:1,603$.^{238a)}

Über sein spez. Gewicht liegen viele Angaben vor. Filhol²³⁹⁾ fand 5,612, Boullay²⁴⁰⁾ 5,600, Karsten²⁴⁰⁾ 5,734, Brügelmann²⁴¹⁾ 5,78 für aus $\text{Zn}(\text{NO}_3)_2$ durch Glühen erhaltenes, dagegen 5,52 wenn es aus $\text{Zn}(\text{OH})_2$, und 5,42 wenn es aus ZnCO_3 dargestellt war. Beim Glühen von $\text{Zn}(\text{NO}_3)_2$ bleiben übrigens Stickstoffoxyde zurück.²⁴²⁾

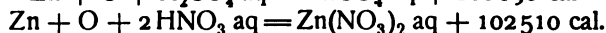
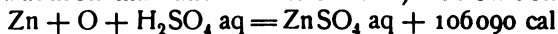
Künstlich kann das amorphe ZnO zum Kristallisieren gebracht werden, wenn es sehr stark im O_2 -Strome geglüht wird.²⁴³⁾ Es hält sehr hohe Hitzgrade aus, ohne sich zu verändern²⁴⁴⁾; dagegen genügt bei Anwesenheit reduzierender Stoffe schon mäßige Hitze zur Zersetzung.

So kann es durch H_2 ²⁴⁵⁾²⁴⁶⁾ CO ²⁴⁵⁾ und andere Stoffe zu Zn reduziert werden, die Temperatur merklicher Reduktion liegt²⁴⁷⁾ für H_2 bei etwa 450° . Dagegen entsteht aus Zn und H_2O ZnO .²⁴⁸⁾ Die Angaben von Hampe und Schnabel²⁴⁹⁾ über die Reaktion $\text{ZnSO}_4 + \text{CO} \rightleftharpoons \text{ZnO} + \text{SO}_2 + \text{CO}$ fordern zu weiteren Untersuchungen auf.

Über die Bildungswärme des ZnO aus $\text{Zn} + \text{O}$ liegen viele Angaben vor. Die Zahlen 84408 cal von Dulong²⁵⁰⁾, 86900 von Andrews²⁵⁰⁾, 84500 von Favre und Silbermann²⁵⁰⁾, 85300 von Marignac²⁵⁰⁾, 85500 von Woods²⁵¹⁾, 85430 von Thomsen²⁵²⁾ stimmen untereinander. Dagegen fand Ditte²⁵³⁾ für verschieden stark geglühte Präparate Lösungswärmen, aus denen de Forcrand auf verschiedene Modifikationen mit verschiedener Bildungswärme schloß^{252a)}, obwohl Marignac²⁵³⁾ längst die Fehlerhaftigkeit der Ditteschen Zahlen nachgewiesen hatte.

Von den oben gegebenen Daten verdienen das meiste Vertrauen die von Thomsen, Marignac und Woods.

Lösungswärmen maß auch Berthelot.²⁵⁴⁾ Thomsen²⁵²⁾ berechnet



Die spezifische Wärme des festen ZnO beträgt²⁵⁵⁾ nach Regnault 0,1248, nach Neumann 0,132.

Die Löslichkeit in H₂O bei 18° berechnen Dupré und Bialas²⁵⁶⁾ nach Leitfähigkeitsmessungen zu 1 Teil in $2,36 \cdot 10^5$ Teilen H₂O.

Zinkperoxyd. Ein Zinkperoxyd scheint zu existieren, wie schon Thénard²⁵⁷⁾ und Haas²⁵⁸⁾ zeigten. de Forcrand²⁵⁹⁾ beschrieb eine ganze Reihe Peroxyde der verschiedensten Formeln, mit und ohne H₂O-Gehalt (Zn₄O₇, Zn₃O₅ usw.), darunter auch ZnO₂, und maß auch deren Lösungswärmen in Säuren²⁶⁰⁾, doch wurden diese Stoffe von Kuriloff²⁶¹⁾ für Gemische von ZnO mit ZnO₂ erklärt.

Aus Zn(OH)₂ und H₂O₂ erhielt Kuriloff²⁶²⁾ kleine Kristalle von H₂ZnO₄, die bei 180° zerfallen und mit Säure H₂O₂ ergeben.

Zinksulfid. Das Zinksulfid, ZnS = 97,5, findet sich als Blende und Würtzit in der Natur und ist eines der wichtigsten Zn-Erze. Wie viele andere Zinkderivate zeigt es die Eigenschaft der Dimorphie und erscheint, wie das metallische Zn, teils regulär (Blende), teils hexagonal (Würtzit). Der Würtzit scheint die, wenigstens bei hoher Temperatur, stabilere Form zu sein, denn bei künstlicher Darstellung entstehen meistens, zumal durch Sublimation in indifferenten Gasen, hexagonale Kristalle.

Die Blende findet sich häufiger natürlich als der Würtzit, den man auch überhaupt noch nicht lange kennt. Seinen Namen erhielt dieser von Friedel²⁶³⁾, der einen natürlichen ZnS-Kristall hexagonal fand. Fast gleichzeitig gelang seine künstliche Darstellung durch Sublimieren von ZnS in H₂ bei lebhafter Rotglut.²⁶⁴⁾ Die Entdecker dieses Verfahrens nahmen zur Erklärung dieser Umwandlung eine Zwischenreaktion mit H₂ an, die wohl möglich, aber durchaus nicht notwendig ist, da ja für dies Eintreten der Umwandlung der Unterschied in den chemischen Potentialen beider ZnS-Modifikationen eine vollkommen ausreichende Begründung bildet.

Eine Zwischenreaktion könnte zwar den Umwandlungsprozeß beschleunigen, aber es gelang Sidot²⁶⁵⁾, die Umwandlung anstatt in H₂ in H₂S, S, SO₂ und auch in N₂-Atmosphäre durchzuführen, eine Zwischenreaktion mit Stickstoff aber wird man nicht gern annehmen. Die Würtzitkristalle wurden auch aus ZnO oder Silicat in S-Dampf bei Rotglut erhalten²⁶⁶⁾, wobei zu beachten ist, daß bei tieferer Temperatur ZnS durch Oxydation mit O₂ aufgeschlossen werden kann.

Der Würtzit wurde noch nach verschiedenen anderen Methoden dargestellt von Hautefeuille²⁶⁷⁾ direkt aus amorphem ZnS, von R. Lorenz²⁶⁸⁾ aus Zn-Dampf und H₂S, von Mourlot²⁶⁹⁾ durch Sublimation im elektrischen Ofen, von Viard²⁷⁰⁾ durch Überleiten von ZnCl₂-Dampf über Sulfide, speziell SnS, aus der Schmelze von ZnSO₄, BaS und CaF₂ von Deville und Troost.²⁶⁴⁾

Besonders die Bereitungsweise Mourlots zeigt, daß hohe Temperatur die Bildung der hexagonalen Modifikation begünstigt.

Die regulären Blendekristalle sind auch künstlich erhalten worden, zum Beispiel aus ZnCl₂-Dampf und H₂S²⁷¹⁾ und auf nassem Wege von Sénarmont²⁷²⁾ durch Erhitzen von ZnS mit H₂S und H₂O im geschlossenen Rohre. Es läßt sich vermuten, daß das erstgenannte Verfahren nur durch Zufall Blende anstatt des Würtzits ergeben hat.

Außer nach anderen pyrochemischen Verfahren, wie z. B. kristallinisch aus K_2S und Zn-Salz bei $175^{0,273)}$, oder aus $ZnO + CS_2$ bei Weißglut²⁷⁴⁾, bildet sich das Zn-Sulfid auch auf nassem Wege durch Fällung von Zn-Salzen mit H_2S oder Alkalisulfiden (s. u.). Bei 200^0 erfolgte angeblich quantitativ die Reaktion $ZnS + J_2 \longrightarrow ZnJ_2 + S$.²⁷⁵⁾

Es hat stets die Zusammensetzung ZnS (sofern nicht, wie bei der natürlichen Blende, fremde Metalle beigemischt sind), mit Ausnahme der Form des Voltzits, den Fournet²⁷⁶⁾ als Zn_5S_4 vom spezifischen Gewichte 3,66 beschreibt, und des von Schiff²⁷⁷⁾ aus Zn-Salzen mit K_2S_3 gefällten ZnS_3 , das von Säuren unter S-Abscheidung gelöst wird. Eine Formel ZnS_2 dagegen, die Arfvedson²⁷⁸⁾ aufstellte, beruht auf einem Rechenfehler.²⁷⁹⁾

Die spezifischen Gewichte der beiden Formen des ZnS schwanken für beide um 4,0, ebenso ist auch die Härte beider fast dieselbe, etwa 3,5 bis 4 nach Mohs, das Achsenverhältnis des Würtzits beträgt etwa 1:0,935. Die Daten schwanken bei den Mineralien wegen der häufigen Beimischung isomorpher Sulfide.²⁸⁰⁾ Der kubische Ausdehnungskoeffizient der Blende zwischen 15^0 und 45^0 beträgt $3,6 \cdot 10^{-5}$ pro Grad.²⁸¹⁾ Nach Cussak²⁸⁰⁾ schmilzt Blende bei 1049^0 . ZnS entsteht kristallinisch aus $Zn + S$ unter starkem Druck.^{282) 284)}

Bildungswärme. Thomsen²⁸³⁾ berechnet: $Zn + S = ZnS + 41\,580\text{ cal}$ (bei 18^0).

Die spezifische Wärme der Blende fand Neumann zu 0,1145, Regnault zu 0,1230, Kopp zu 0,120.²⁸⁵⁾

Das ZnS gehört wie andere Sulfide zu den wenigst löslichen Salzen seines Metalls und daher fällt es aus den meisten Zn-haltigen Lösungen schon durch H_2S , falls keine großen Mengen freier Säure vorhanden sind, z. B. fällt es aus Sulfat, Nitrat usw. nicht quantitativ, wohl aber aus Acetat, und Thomsen macht darauf aufmerksam, daß im letzten Falle die Wärmetönung positiv, im ersten negativ ist. Wie gering seine Löslichkeit ist, folgt daraus, daß eine an ZnS gesättigte wässrige Lösung von $NaHS$ (0,39 Mol pro Liter) ca. 10^{-17} mal soviel Zn-Ionen enthält als 0,5 molare $ZnSO_4$ -Lösung.²⁸⁶⁾ Das ZnS löst sich bedeutend weniger in H_2O als Carbonat und Oxyd, daher wandeln sich diese in wässriger Suspension bei Zutritt von H_2S in ZnS um.²⁸⁷⁾

Wenn jedoch die Lösungen sauer sind oder wegen der Stärke des Anions des benutzten Zn-Salzes bei der Fällung durch H_2S sauer werden würden, so unterbleibt die Reaktion entweder ganz oder doch zu einem Teile. Die Mengenverhältnisse spielen natürlich dabei die ausschlaggebende Rolle, zum Beispiel fällt aus einer Lösung, die pro Gramm $ZnSO_4$ a Gramm H_2O enthält, bei dauernder Sättigung mit H_2S von gewöhnlichem Drucke der Bruchteil γ des Salzes als ZnS .²⁸⁸⁾

a	1,575	3,038	4,973	10,22	20,11	76,95
γ	0,0864	0,1719	0,2215	0,2427	0,33301	0,5096.

Je mehr also die Lösung $ZnSO_4$ enthält, desto weniger vollständig erfolgt die Fällung, denn da sich die Dissoziation der H_2SO_4 mit wachsender Verdünnung verhältnismäßig wenig ändert, so kommt die Steigerung der Verdünnung, vorausgesetzt, daß stets H_2S bis zur Sättigung zugeführt wird, im wesentlichen auf eine Abschwächung der Massenwirkung der H_2SO_4 hinaus.

Ausführliche Studien über dieses Gleichgewicht verdankt man Ostwald.^{288a)} Eine Säure von v Liter/Mol löst soviel ZnS , daß die Lösung n Proz. H_2S derjenigen Menge von H_2S enthält, die der anwesenden Säure

äquivalent sein würde. (Temperatur anscheinend die des Zimmers, Druck des H_2S über der Lösung nicht reguliert.)

v	HCl	HNO_3	H_2SO_4	$HCl + NaCl$	$HKSO_4$	$HNaSO_4$	HNH_4SO_4	$H(Mg^{1/2})SO_4$
1	n=4,11	3,19	2,38	6,66	1,55	1,67	1,70	1,94
2		3,80	3,20	2,37	4,45	1,72	1,84	1,85
4		3,45	3,17	2,40	3,70	1,85	1,95	2,06
8		3,17	3,01	2,41	2,21	1,89	1,96	2,16
								2,22

Weiteres Material für diese Beziehungen enthalten die Abhandlungen von v. Zotta²⁸⁹) und besonders von Schürmann²⁹⁰), der sich mit dem Teilungsgleichgewicht von H_2S und H_2SO_4 zwischen Zn und einem zweiten Metall beschäftigt.

Obwohl das ZnS zu den schwerst löslichen Salzen des Zn gehört und sogar aus K_2ZnCy_4 durch Na_2S unter Umständen gefällt werden kann²⁹¹), so ist es doch möglich, wässrige Flüssigkeiten zu bereiten, die reichliche Mengen von ZnS enthalten. Es handelt sich dabei jedoch um kolloidale Löslichkeit. Denn das ZnS neigt, wie viele Sulfide, diesem Zustande zu. Wenn es aus einer Flüssigkeit gefällt wird, in der seine wahre Löslichkeit sehr geringfügig ist, so bildet es einen amorphen Niederschlag, während es kristallin ausfällt resp. unter der Lösung kristallin wird, sofern es sich darin etwas besser lösen kann, also z. B. wenn eine schwache Säure zugegen ist.²⁹²) Das amorph gefällte ZnS aber geht leicht kolloidal in Lösung, so wenn H_2S dauernd durch seine wässrige Suspension streicht; desgleichen löst es sich in NaHS-Lösung²⁹³), doch kann in diesem Falle wahre Löslichkeit die Ursache bilden. Der Kolloidzustand kann auch eintreten, wenn die Fällung aus alkalischer Lösung erfolgt, wogegen die Gegenwart von Salzen, wie bei anderen Kolloiden, sofort Präzipitation bewirkt.^{292,294})

Das ZnS im Zustande eines definierten Hydrats zu fällen, ist mehrfach versucht worden, jedoch ohne Erfolg.²⁹⁵) Auch den Wärmetönungen, die nach Berthelot²⁹⁶ bei der Fällung entwickelt werden, kann vorläufig noch nicht viel Bedeutung zugeschrieben werden.

NaHS von 0,39 Äquivalent pro Liter, welches an ZnS gesättigt ist, enthält $9,6 \cdot 10^{-19}$ mal soviel $\frac{1}{2}Zn$ pro Liter²⁹⁷) als 0,1 äquivalentes $ZnSO_4$.

Der Aufschluß des ZnS für die Metallgewinnung kann in verschiedener Weise erfolgen. In den letzten Jahren sind mehrfach Verfahren vorgeschlagen worden, welche sich auf die Überführung in ein lösliches Salz mit nachfolgender Elektrolyse gründen. Diese Überführung kann durch Oxydation mit Chlor oder anderen Oxydationsmitteln geschehen, oder auch durch Rösten unter Luftzutritt.

Das ZnS wird in der Analytik als Wägungsform für Zn benutzt. Anstatt der Gewichtsanalyse sind jedoch auch Titrationsverfahren angegeben worden, so z. B. die jodometrische Oxydierung des H_2S durch J.²⁹⁸)

Anhangsweise mögen noch Versuche über die Bildung von Doppelsulfiden²⁹⁹) Erwähnung finden. Obwohl es nicht ganz feststeht, ob hier wirklich Individuen gewonnen worden sind, die einen selbständigen Abschnitt verlangen würden, soll doch nicht behauptet werden, daß die Annahme von Gemischen mehr Wahrscheinlichkeit für sich habe.

Es wurde ZnS mit viel S und K_2CO_3 bei Hellrotglut geschmolzen und aus der Schmelze farblose rhombische (?) Blättchen isoliert, die beim Glühen in Luft oder H_2 sich nicht veränderten, auch in H_2O sich nicht lösten und

der Formel $K_2Zn_3S_4$ entsprachen (das Na-haltige Präparat gleicher Zusammensetzung gab an H_2O Na_2S ab). Mit $AgNO_3$ entstand daraus schwarzes $Ag_2Zn_3S_4$. Auch mit Cu wurde ein Doppelsulfid erhalten.

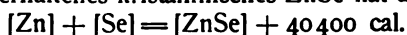
Kolloidales Zinksulfid. Das Hydrosol des Zinksulfids ist von Winsinger^{299a)} auf zwei Arten dargestellt worden. Einmal nach einer Methode, welche ähnlich auch von Spring und Prost zur Gewinnung des Kupfersulfid- und Cadmiumsulfidhydrosols angewendet worden ist. Sie besteht darin, daß das Gel des Zinksulfids aus neutraler oder besser ammoniakalischer Zinksulfatlösung durch Schwefelwasserstoff gefällt und dieses dann durch Dekantieren mit Schwefelwasserstoffwasser in das Hydrosol übergeführt wird. Es tritt also durch die Einwirkung des Schwefelwasserstoffs auf das von Elektrolyten befreite Gel Peptisierung desselben ein. Die andere Methode beruht darauf, daß das reine Zinkhydroxyd in Wasser suspendiert und durch Einleiten von Schwefelwasserstoff in das Sulfidsol übergeführt wird. Hier wird die Bildung des Hydrosols von vornherein durch die Abwesenheit von Elektrolyten begünstigt. Der überschüssige Schwefelwasserstoff läßt sich aus dem Hydrosol durch Erhitzen desselben zum Sieden entfernen, doch ist allzu langes Kochen zu vermeiden, weil sonst leicht Gelbildung eintritt. Das ausgefällte Gel kann aber neuerdings wieder durch Schwefelwasserstoff peptisiert werden. Durch sämtliche Elektrolyte wird das Hydrosol gelatiniert. Nach Arthur Müller^{299b)} begünstigen Medien mit hoher innerer Reibung in bedeutendem Maße die Hydrosolbildung; es ist ihm deshalb gelungen^{299c)}, ein wenn auch nur wenige Tage haltbares Hydrosol des Zinksulfids durch Mischen von Zinksulfatlösung mit Glycerin und Schwefelammonium darzustellen. Hierbei tritt zunächst anscheinend keine Veränderung ein, erst allmählich zeigt sich eine milchartige Trübung, bis schließlich nach einigen Tagen Flocken des Zinksulfidgels sich ausscheiden. Durch die hohe innere Reibung des Glycerins wird die Reaktionsgeschwindigkeit des Gelbildungsvorgangs, die unter gleichen Verhältnissen in wässriger Lösung unendlich groß ist, ganz bedeutend verringert.

Das Zinksulfidhydrosol erscheint in stark verdünntem Zustande und in dünner Schicht bei durchfallendem Lichte vollkommen ungefärbt, in konzentrierterem Zustande oder starker Schicht erkennt man einen orangeroten Farbenton; daher zeigt das Absorptionsspektrum desselben eine starke Schwächung der violetten, blauen und grünen Strahlen, während die gelben und roten unvermindert bleiben. Im auffallenden Lichte erscheint das Hydrosol namentlich in konzentriertem Zustande als eine weiße, milchähnliche Flüssigkeit (Lottermoser).

Zinkselenid und Tellurid. Aus Zn und H_2Se entsteht bei Rotglut unter großer Wärmeentwicklung $ZnSe = 144,6$ in dunkelroten Kristallen des regulären Systems.³⁰⁰⁾

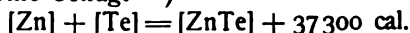
Es kann auch aus $ZnSeO_4$ durch Reduktion mit C und H_2 in hexagonalen Kristallen erhalten werden.³⁰¹⁾ Es hat das spezifische Gewicht $d_{15} = 5,40$ ³⁰⁰⁾ und löst sich in konzentrierter HCl ³⁰¹⁾, ist darnach also wohl schwerer löslich als das schon in verdünnter Säure lösliche ZnS .

Aus Zn und Se erhaltenes kristallinisches $ZnSe$ hat die Bildungswärme³⁰²⁾



In ganz ähnlicher Weise erhielt Margottet³⁰⁰⁾ $ZnTe = 143,0$ in regulären Kristallen vom spezifischen Gewicht $d_{15} = 6,34$.

Die Bildungswärme beträgt³⁰³⁾



Zinknitrid. $\text{Zn}_3\text{N}_2 = 224,3$ entsteht bei schwacher Rotglut aus $\text{Zn}(\text{NH}_2)_2$ als graues Pulver, das unter Abschluß von O und H_2O hitzebeständig ist, jedoch mit H_2O sofort $\text{Zn}(\text{OH})_2$ und NH_3 bildet.³⁰⁴⁾ Auch bei der Elektrolyse von Ammonsalz mit Zn-Elektroden soll sich ein Nitrid bilden.³⁰⁵⁾ Zn und HN_3 geben anscheinend $\text{Zn}(\text{N}_3)_2$, das aber rasch zerfällt.³⁰⁶⁾

Zinkphosphide und Arsenide. Auf pyrochemischem Wege sind mehrere Zinkphosphide aufgefunden worden, deren Formeln jedoch zum Teil vermuten lassen, daß es keine Individuen sind. Hvoslef³⁰⁷⁾ schmolz Zn mit Na-Phosphat und bekam graues kristallines ZnP_2 (51,5 Proz. Zn), Reduktion von $\text{ZnO} + \text{H}_3\text{PO}_4$ durch Kohle gab Zn_3P_2 (76,25 Proz. Zn).

Aus ZnS , Alkaliphosphat und Kohle entstand bei Weißglut bleigraues Zn_3P_2 ³⁰⁸⁾ in Kristallnadeln vom spezifischen Gewicht 4,21 (im Mittel 75,9 Proz. Zn), gelegentlich gemengt mit ZnP (69,2 Proz. Zn).

Wenn Zn_3P_2 mit verdünnten Säuren behandelt wurde, blieb gelbes ZnP_4 (34,3 Proz. Zn) zurück.³⁰⁸⁾

Das einzige wahrscheinlich individuelle dieser Produkte, Zn_3P_2 , wurde auch von anderen Autoren erhalten.³⁰⁹⁾

ZnHP erhielten E. Drechsel und B. Finkelstein.³¹⁰⁾

Mit As im Verhältnis $\text{As}:\text{Zn} = 2:3$ gemischt, gibt Zn unter 6500 Atmosphären Druck eine homogene, kristalline Masse.³¹¹⁾ Das Arsenid Zn_3As_2 entsteht in Oktaedern beim Überleiten von As-Dampf in H-Atmosphäre über erhitztes Zn.³¹²⁾

Nach Cooke^{312a)} existieren Individuen Zn_3Sb_2 (spezifisches Gewicht 6,48), ZnSb (rhombisch), doch rechtfertigt die Analyse diese Formeln nicht ausreichend.

Zinksilicid. Zn und Si verbinden sich nach älteren Angaben nicht miteinander.^{312b)} In 100 Teilen Zn lösen sich sich bei t^0 a Teile Si³⁸⁶⁾

t^0	600	650	730	800	850
a	0,06	0,15	0,57	0,92	1,62.

Zinksalze der Sauerstoffsäuren.

Es sind beschrieben (unterstrichen das bei 18° Beständige):

<u>$\text{Zn}(\text{ClO}_3)_2$</u>	<u>$\text{Zn}(\text{BrO}_3)_2$</u>	<u>$\text{Zn}(\text{JO}_3)_2$</u>	<u>ZnSO_4</u>
<u>$\text{Zn}(\text{ClO}_3)_2 \cdot 2\text{H}_2\text{O}$</u>	<u>—</u>	<u>$\text{Zn}(\text{JO}_3)_2 \cdot 2\text{H}_2\text{O}$</u>	<u>$\text{ZnSO}_4 \cdot \text{H}_2\text{O}$</u>
<u>$\text{Zn}(\text{ClO}_3)_2 \cdot 4\text{H}_2\text{O}$</u>	<u>—</u>	<u>—</u>	<u>$\text{ZnSO}_4 \cdot 2\text{H}_2\text{O}?$</u>
<u>$\text{Zn}(\text{ClO}_3)_2 \cdot 6\text{H}_2\text{O}$</u>	<u>$\text{Zn}(\text{BrO}_3)_2 \cdot 6\text{H}_2\text{O}$</u>	<u>—</u>	<u>$\text{ZnSO}_4 \cdot 6\text{H}_2\text{O}$</u>
<u>—</u>	<u>—</u>	<u>—</u>	<u>$\text{ZnSO}_4 \cdot 7\text{H}_2\text{O}$</u>
			dimorph
<u>ZnSO_3</u>	<u>ZnSeO_4</u>	<u>ZnSeO_3</u>	<u>$\text{Zn}(\text{NO}_3)_2$</u>
<u>$\text{ZnSO}_3 \cdot 2\text{H}_2\text{O}?$</u>	<u>$\text{ZnSeO}_4 \cdot 2\text{H}_2\text{O}$</u>	<u>$\text{ZnSeO}_3 \cdot \text{H}_2\text{O}$</u>	<u>—</u>
<u>$2 \text{ZnSO}_3 \cdot 5\text{H}_2\text{O}$</u>	<u>—</u>	<u>—</u>	<u>$\text{Zn}(\text{NO}_3)_2 \cdot 3\text{H}_2\text{O}$</u>
<u>$\text{ZnSO}_3 \cdot 5\text{H}_2\text{O}$</u>	<u>$\text{ZnSeO}_4 \cdot 5\text{H}_2\text{O}$</u>	<u>—</u>	<u>—</u>
<u>—</u>	<u>$\text{ZnSeO}_4 \cdot 6\text{H}_2\text{O}$</u>	<u>—</u>	<u>$\text{Zn}(\text{NO}_3)_2 \cdot 6\text{H}_2\text{O}$</u>
<u>—</u>	<u>—</u>	<u>—</u>	<u>$\text{Zn}(\text{NO}_3)_2 \cdot 9\text{H}_2\text{O}$</u>

$\text{Zn}(\text{NO}_2)_2$	$\text{Zn}_3(\text{PO}_4)_2$	$\text{Zn}_3(\text{AsO}_4)_2$
$\text{Zn}(\text{NO}_2)_2 \cdot \text{H}_2\text{O}$	$\text{Zn}_3(\text{PO}_4)_2 \cdot \text{H}_2\text{O}$	—
—	—	—
—	$\text{Zn}_3(\text{PO}_4)_2 \cdot 4\text{H}_2\text{O}$	$\text{Zn}_3(\text{AsO}_4)_2 \cdot 3\text{H}_2\text{O}$
—	—	—
—	—	—
—	—	—

Chlorat. Zinkchlorat, $\text{Zn}(\text{ClO}_3)_2 = 232,3$, existiert nach Meusser³¹³) in drei Hydratstufen, mit 6, 4 und 2 H_2O . Die Löslichkeiten, ausgedrückt in a Gramm $\text{Zn}(\text{ClO}_3)_2$ auf 100 g Lösung oder b Mol auf 100 Mol H_2O , betragen bei t^0 ³¹³)

$\text{Zn}(\text{ClO}_3)_2 \cdot 6\text{H}_2\text{O}$			$\text{Zn}(\text{ClO}_3)_2 \cdot 4\text{H}_2\text{O}$		
t^0	a	b	t^0	a	b
—18	55,62	9,70	+18	66,52	15,39
0	55,19	11,08	30	67,66	16,20
+8	60,20	11,72	40	69,06	17,29
15	67,32	15,96	55	75,44	24,00

Wie hieraus folgt und durch direkten Versuch bestätigt wurde, geht also oberhalb $14,5^0$ — 15^0 das Hexahydrat in das andere über.

Das Dihydrat bildet sich oberhalb 55^0 , dem Schmelzpunkte des Tetrahydrats. Das Hexahydrat scheint monoklin zu kristallisieren.³¹³)

Die Gefrierkurve hat folgenden Verlauf ³¹³):

t^0	a	b
—13	30,27	3,36
—9	26,54	2,80

Perchlorat. Zinkperchlorat erhielt Serullas³¹⁴) in hygroskopischen alkohollöslichen Prismen.

Bromat. Das Zinkbromat, $\text{Zn}(\text{BrO}_3)_2 = 321,3$, kristallisiert als Hexahydrat kubisch ³¹⁵), hat das spez. Gewicht 2,506 ³¹⁶) und löst sich bei 15^0 in seinem eigenen Gewichte H_2O (nach Rammelsberg³¹⁷)).

Jodat. Das von Gay-Lussac³¹⁸) entdeckte Zinkjodat $\text{Zn}(\text{JO}_3)_2 = 415,1$ hat nach Rammelsberg³¹⁹) 2 H_2O , Ditte³²⁰) stellte daraus bei 200^0 das Anhydrid dar. Das Dihydrat löst sich kalt in 100, heiß in 75 Teilen H_2O ³¹⁹); doch ist diese Angabe sehr unsicher, zumal da die Lösung nach Mylius und Funk³²¹) sehr starke Übersättigungserscheinungen zeigt.

Von diesem Salze resp. von dem Perjodate $\text{Zn}(\text{JO}_4)_2$ leiten sich einige „Perjodate“ ab, die auch als „basische Salze“ aufgefaßt werden können, da über ihre Konstitution keine Angaben vorliegen. Ihre Individualität ist mindestens zweifelhaft und für einige selbst vom Entdecker nicht behauptet worden. Dasjenige unter ihnen, welches noch am wenigsten unsicher erscheint, hat nach Rammelsberg³²²) die Zusammensetzung $\text{Zn}_2\text{J}_2\text{O}_9 \cdot 6\text{H}_2\text{O}$ oder $\text{Zn}(\text{JO}_4)_2 \cdot \text{ZnO} \cdot 6\text{H}_2\text{O}$.

Zinksulfat, $\text{ZnSO}_4 = 161,5$. Dieses wichtigste aller Zinksalze hat zu vielen ausgedehnten Untersuchungen Anlaß gegeben. Es ist im festen Zustande in mehreren Hydratationsstufen bekannt, deren Existenzgebiete z. T. scharf definiert werden können. Das normale Salz kristallisiert mit 7 H_2O und gehört in eine Klasse mit den Vitriolen der Ferrogruppe, auch hat es enge Beziehung zum entsprechenden Magnesiumsalze, wie sich an anderer

Zinknitrid. $\text{Zn}_3\text{N}_2 = 224,3$ entsteht bei schwacher Rotglut aus als graues Pulver, das unter Abschluß von O und H_2O hitzebeständig jedoch mit H_2O sofort $\text{Zn}(\text{OH})_2$ und NH_3 bildet.³⁰⁴⁾ Auch bei der Erzeugung von Ammonsalz mit Zn-Elektroden soll sich ein Nitrid bilden.³⁰⁵⁾ HN_3 geben anscheinend $\text{Zn}(\text{N}_3)_2$, das aber rasch zerfällt.³⁰⁶⁾

Zinkphosphide und Arsenide. Auf pyrochemischem Wege sind mehrere Zinkphosphide aufgefunden worden, deren Formeln jedoch vermuten lassen, daß es keine Individuen sind. Hvoslef³⁰⁷⁾ schmelzte mit Na-Phosphat und bekam graues kristallines ZnP_2 (51,5 Proz. Zn), Reichenow³⁰⁸⁾ von $\text{ZnO} + \text{H}_3\text{PO}_4$ durch Kohle gab Zn_3P_2 (76,25 Proz. Zn).

Aus ZnS , Alkaliphosphat und Kohle entstand bei Weißglut blaues Zn_3P_2 ³⁰⁸⁾ in Kristallnadeln vom spezifischen Gewicht 4,21 (im Mittel 4,23 Proz. Zn), gelegentlich gemengt mit ZnP (69,2 Proz. Zn).

Wenn Zn_3P_2 mit verdünnten Säuren behandelt wurde, blieb gelbes Pulver zurück.³⁰⁹⁾

Das einzige wahrscheinlich individuelle dieser Produkte, Zn_3P_2 , ist auch von anderen Autoren erhalten.³⁰⁹⁾

ZnP erhielten E. Drechsel und B. Finkelstein.³¹⁰⁾

Mit As im Verhältnis $\text{As}:\text{Zn} = 2:3$ gemischt, gibt Zn unter 6500 Atmosphären Druck eine homogene, kristalline Masse.³¹¹⁾ Das Arsenid Zn_3As_2 entsteht in Oktaedern beim Überleiten von As-Dampf in H-Atmosphäre erhitztes Zn.³¹²⁾

Nach Cooke^{312a)} existieren Individuen Zn_3Sb_2 (spezifisches Gewicht 6,1) und ZnSb (rhombisch), doch rechtfertigt die Analyse diese Formeln nicht.

Zinksilicid. Zn und Si verbinden sich nach älteren Angaben miteinander.^{312b)} In 100 Teilen lösen sich bei t^0 a Teile Si³⁸⁶⁾

t^0	600	650	730	800	850
a	0,06	0,15	0,57	0,92	1,62.

Zinksalze der Sauerstoffsäuren.

Es sind beschrieben (unterstrichen das bei 18° Beständige):

<u>$\text{Zn}(\text{ClO}_3)_2$</u>	<u>$\text{Zn}(\text{BrO}_3)_2$</u>	<u>$\text{Zn}(\text{JO}_3)_2$</u>	<u>ZnSO_4</u>
<u>$\text{Zn}(\text{ClO}_3)_2 \cdot 2\text{H}_2\text{O}$</u>	<u>—</u>	<u>$\text{Zn}(\text{JO}_3)_2 \cdot 2\text{H}_2\text{O}$</u>	<u>$\text{ZnSO}_4 \cdot \text{H}_2\text{O}$</u>
<u>$\text{Zn}(\text{ClO}_3)_2 \cdot 4\text{H}_2\text{O}$</u>	<u>—</u>	<u>—</u>	<u>$\text{ZnSO}_4 \cdot 2\text{H}_2\text{O}?$</u>
<u>$\text{Zn}(\text{ClO}_3)_2 \cdot 6\text{H}_2\text{O}$</u>	<u>$\text{Zn}(\text{BrO}_3)_2 \cdot 6\text{H}_2\text{O}$</u>	<u>—</u>	<u>$\text{ZnSO}_4 \cdot 6\text{H}_2\text{O}$</u>
<u>—</u>	<u>—</u>	<u>—</u>	<u>$\text{ZnSO}_4 \cdot 7\text{H}_2\text{O}$</u>
			dimorph
<u>ZnSO_3</u>	<u>ZnSeO_4</u>	<u>ZnSeO_3</u>	<u>$\text{Zn}(\text{NO}_3)_2$</u>
<u>$\text{ZnSO}_3 \cdot 2\text{H}_2\text{O}?$</u>	<u>$\text{ZnSeO}_4 \cdot 2\text{H}_2\text{O}$</u>	<u>$\text{ZnSeO}_3 \cdot \text{H}_2\text{O}$</u>	<u>—</u>
<u>$2 \text{ZnSO}_3 \cdot 5\text{H}_2\text{O}$</u>	<u>—</u>	<u>—</u>	<u>$\text{Zn}(\text{NO}_3)_2 \cdot 3\text{H}_2\text{O}$</u>
<u>$\text{ZnSO}_3 \cdot 5\text{H}_2\text{O}$</u>	<u>$\text{ZnSeO}_4 \cdot 5\text{H}_2\text{O}$</u>	<u>—</u>	<u>—</u>
<u>—</u>	<u>$\text{ZnSeO}_4 \cdot 6\text{H}_2\text{O}$</u>	<u>—</u>	<u>$\text{Zn}(\text{NO}_3)_2 \cdot 6\text{H}_2\text{O}$</u>
<u>—</u>	<u>—</u>	<u>—</u>	<u>$\text{Zn}(\text{NO}_3)_2 \cdot 9\text{H}_2\text{O}$</u>

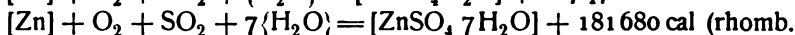
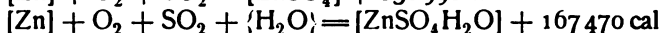
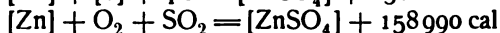
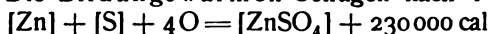
Stelle zeigen wird. Ferner steht die Existenz eines Hexahydrats fest und die eines Pentahydrats ist auf Grund der Mischbarkeit mit $\text{CuSO}_4 \cdot 5\text{H}_2\text{O}$ sowie anderer Tatsachen nicht unwahrscheinlich, jedoch nicht direkt nachgewiesen. Endlich finden sich auch Angaben über ein Monohydrat und unsichere Hinweise auf die Existenz eines Dihydrats. Auch wasserfrei ist das Salz wohl bekannt und verhältnismäßig stabil.

Man kennt das Zinksulfat schon sehr lange. Eine historische Darstellung der Analysen des Salzes in älterer Zeit (von Bergman, Kirwau, Berzelius, Trommsdorff, Mitscherlich, Thomson) findet sich bei Kühn^{322a}) und es geht aus ihr hervor, daß man gelegentlich auch die niederen Hydrate in Händen gehabt zu haben scheint.

Das Heptahydrat ist unterhalb 39^0 stabil (s. u.) und wird also bei Kristallisation aus der Lösung unterhalb dieser Temperatur erhalten. Es findet sich als Goslarit natürlich, kristallisiert sehr gut und gehört dem rhombischen Systeme an. Die Achsenverhältnisse betragen $a:b:c = 1:0,9804:0,5631$ (Brooke³²³)). Das spez. Gewicht fand sich zu $2,036^{324)}$, $1,953^{325)}$, $1,954^{326)}$, $1,957^{327)}$, die spez. Wärme $^{325)}$ zu $0,328$ resp. $0,347$, der Schmelzpunkt soll bei 50^0 liegen.³²⁹⁾ Man kennt auch monoklines Heptahydrat, das aber sehr wenig beständig ist.³³⁰⁾ Es kann aus bei 100^0 gesättigter Lösung bei 19^0 durch Einsäen eines monoklinen Vitriolkristalls, z. B. $\text{CoSO}_4 \cdot 7\text{H}_2\text{O}$, erhalten werden³³¹⁾ und wandelt sich bei 40^0 um.³³¹⁾ In Mischkristallen ist es wohl bekannt (s. u.).

Wenn vom Heptahydrate die Rede sein wird, so ist im allgemeinen das rhombische gemeint.

Die Bildungswärmen betragen nach Thomsen³³²⁾:



Die erste Berechnung der Bildungswärme dürfte von Heß³³³⁾ stammen.

Hexahydrat. Daß man aus warmer ZnSO_4 -Lösung ein Hydrat mit $6\text{H}_2\text{O}$ bekommt, ist schon lange bekannt (vergl. oben Kühn). Es ist monoklin und isomorph mit $\text{MgSO}_4 \cdot 6\text{H}_2\text{O}$ ³³⁴⁾ und zeigt $a:b:c = 1,3847:1:1,6758$; $\beta = 81^0 48'$.

Andere Hydrate. $\text{ZnSO}_4 \cdot 5\text{H}_2\text{O}$ fand Pierre³³⁵⁾, $\text{ZnSO}_4 \cdot 2\text{H}_2\text{O}$ Baigny und Péchard³³⁶⁾ durch Verwittern über H_2SO_4 ; $\text{ZnSO}_4 \cdot \text{H}_2\text{O}$ wurde mehrfach beobachtet. Nach Graham³³⁷⁾ entsteht es bei 100^0 aus dem Heptahydrate; aus Dampfdruckmessungen schloß auf seine Existenz Lescœur³³⁸⁾, sein spez. Gewicht beträgt $3,25$ — $3,08$.³³⁹⁾ Es bildet sich durch CH_3OH aus $\text{ZnSO}_4 \cdot 7\text{H}_2\text{O}$ (vergl. S. 365).

Die spez. Wärme³²⁸⁾ für $\text{ZnSO}_4 \cdot 2\text{H}_2\text{O}$ fand sich zu $0,224$, für $\text{ZnSO}_4 \cdot \text{H}_2\text{O}$ zu $0,202$.

Beim Lösen von $\frac{1}{2} \text{ZnSO}_4 \cdot \text{H}_2\text{O}$ in $1 \text{ l H}_2\text{O}$ werden 2812 cal entwickelt³⁴⁰⁾ (vergl. auch Seite 353 Frowein).

Das Anhydrid findet sich in der Natur als Zinkosit und entsteht aus dem Monohydrat oberhalb 240^0 .³⁴¹⁾ Es ist für sich sehr hitzebeständig und kann daher als Wägungsform für Zn dienen³⁴²⁾, dagegen unterliegt es sehr leicht der Reduktion. Z. B. geht es, mit Kohle gemischt, bei Dun-

kelrotglut in ZnO , bei Kirschrotglut in Zn über.³⁴³⁾ Sein spez. Gewicht beträgt 3,40³⁴⁴⁾, die spez. Wärme 0,174 (Pape)³²⁸⁾, seine Kristallform ist rhombisch.³⁴⁵⁾

Über die Existenzgebiete aller vorgenannten Salze ist Erschöpfendes noch nicht zu sagen, sehr gut hingegen sind wir über die Beziehungen der beiden höchsten Hydrate unterrichtet und zwar darum, weil diesen eine große praktische Bedeutung zukommt, welche zu dem vielgebrauchten Clarkelement in Beziehung steht.

Es kommen auch hier die meist anderweit herangezogenen Eigenschaften in erster Linie in Betracht: Dampfdruck und Löslichkeit der festen Salze und elektromotorische Kräfte von Elementen, in denen die Salze als Bodenkörper auftreten.

Dampfdruck. Nach Lescoeur³⁴⁶⁾ scheint die Existenz des Penta- und Dihydrats unwahrscheinlich, denn er fand einen Sprung in der Dampfdruckkurve der festen Salze erst bei $\text{ZnSO}_4 \cdot \text{H}_2\text{O}$. Es hat sich auch über diesen Punkt zwischen Müller-Erbach³⁴⁷⁾ und C. R. Schulze³⁴⁷⁾ eine Diskussion entsponnen, indem der erstgenannte auf Grund seiner Messung der Verdampfungsgeschwindigkeit die Existenz verschiedener Zwischenstufen behauptete, während Schulze die Beweiskraft der Versuche bestritt.

G. Wiedemann³⁴⁸⁾ gab folgende Drucke p in mm Hg bei t° , während der Dampfdruck des H_2O p_{aq} beträgt:

t°	p	p_{aq}	t°	p	p_{aq}
16,5	7,3	14,0	60	113,9	148,8
22	12,6	19,7	66	145,5	195,5
30	20,2	31,5	70	170,8	233,1
34,5	28,5	40,7	75	221,2	288,5
40	44,2	54,9	78,8	258,5	337,8
45	57,5	71,4	85,5	376,4	441,6
50	73,1	92,9	88	427	486,7
55	90,6	117,5			

Die Kristalle waren ein wenig verwittert, enthielten also wohl zwischen 6 und 7 H_2O . Es folgt aus der Tabelle, daß in einer an H_2O gesättigten Atmosphäre Verwitterung nicht eintritt.

Andere Messungen lieferten Linebarger³⁴⁹⁾ und Frowein³⁵⁰⁾, welcher nachwies, daß Wiedemanns Angaben nicht den theoretischen Forderungen entsprechen und daß folgende Werte insofern bedeutend bessere Erfüllung der Theorie ergeben, als die aus ihnen berechneten Bildungswärmen mit den direkt gemessenen sehr gut, die älteren dagegen gar nicht übereinstimmen.

$\text{ZnSO}_4 \cdot 6,021 \text{ H}_2\text{O}$		$\text{ZnSO}_4 \cdot 5,940 \text{ H}_2\text{O}$	
t°	p	t°	p
18,00	8,406	17,85	7,633
20,45	10,075	20,45	9,475
25,15	14,697	25,15	13,286
28,35	19,135	28,90	17,448
29,95	21,389	29,95	18,826
		31,70	21,075

Die erste Serie entspricht also einem Gemisch von Heptahydrat und Hexahydrat, die zweite einem solchen von Hexahydrat mit niederem, und die aus diesen Zahlen berechneten Wärmetönungen stimmen mit den direkt bestimmten recht gut überein (vergl. unten).

In zweiter Linie und als für die Feststellung der Umwandlungsgrenze der beiden höchsten Hydrate besonders wichtig kommt die Löslichkeit in Betracht. Die älteren Bestimmungen von Poggiale³⁵¹⁾, Tobler³⁵²⁾, Michel und Krafft³⁵³⁾, v. Hauer³⁵⁴⁾, Étard³⁵⁵⁾, Mulder³⁵⁶⁾, Tilden³⁵⁷⁾ u. A.³⁵⁸⁾ können übergangen werden, da die neueren Bestimmungen von Callendar und Barnes³⁵⁹⁾ (B) und Cohen³⁶⁰⁾ (C) sehr gut übereinstimmen. Es enthält die bei t^0 gesättigte Lösung a Gramm ZnSO_4 in 100 g H_2O .

t^0	$\text{ZnSO}_4 \cdot 7\text{H}_2\text{O}$		$\text{ZnSO}_4 6\text{H}_2\text{O}$		
	B	C	C	A	A'
—5	—	39,30	47,08	22,75	18,98
+ 0,1	41,85	41,93	49,48	21,43	18,11
9,1	46,96	47,09	54,20	19,08	16,53
15,0	50,74	50,88	57,15	17,65	15,67
25,0	57,95	57,90	63,74	15,46	14,16
30,0	61,92	—	65,82	14,47	13,65
35,0	66,61	66,61	67,99	13,54	13,18
39,0	70,05	70,05	70,08	12,79	12,79

Die Zahlen für $\text{ZnSO}_4 \cdot 7\text{H}_2\text{O}$ lassen sich durch die Formel

$$a = 41,80 + 0,522t + 0,00496t^2$$

nach Cohen ausdrücken.

Ferner führen Zahlen, welche Cohen und Büchner³⁶¹⁾ für das Hexahydrat zwischen $+40$ und 50^0 bestimmten, zu

$$a = 59,34 + 0,0054t + 0,00695t^2.$$

Die vorstehende Tabelle gibt noch unter A die Anzahl Mole H_2O pro 1 ZnSO_4 für das Heptahydrat, unter A' für das Hexahydrat, welche die gesättigte Lösung enthält.

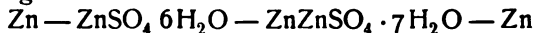
Für höhere Temperaturen liegen nur die nicht einwandfreien Daten von Étard³⁵⁵⁾ vor.

Es bedeutet L die Anzahl g in 100 g Lösung

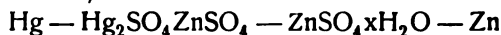
t^0	55	62	70	77	100	111	125	137	144	169	171
L	43,4	45,0	47,0	46,5	44,7	43,0	40,7	38,0	37,4	30,0	29,0

Aus den Löslichkeitsdaten ergibt sich, daß oberhalb $39,0^0$ das Hexahydrat, unterhalb das andere Salz stabil ist. Man hatte einen Umwandlungspunkt schon früher in dieser Gegend vermutet. Haidinger³⁶²⁾ hatte ihn noch roh zu 52^0 , G. Wiedemann³⁶³⁾ dagegen zu 40^0 angegeben. Er wurde auch noch auf anderem Wege bestätigt.

Cohen³⁶⁴⁾ bestimmte ihn dilatometrisch zu $38,5^0$, und aus dem Studium des „Umwandlungselements“



resp. der Kombinationen, welche nach Art des Clark-Elements



aufgebaut sind, folgt³⁶⁵⁾ nach Cohen $39,0^0$, nach Jaeger $39,0^0$, nach Callendar und Barnes $37,75^0$. Cohen³⁶⁵⁾ fand durch Vergleichen der gesättigten Lösungen durch Leitfähigkeitsmessung $39,0^0$.

Die beiden Hydrate wandeln sich nicht momentan mit dem Überschreiten der Grenze um, sondern können labil existieren, die Umwandlungsgeschwindigkeit bestimmte Cohen.³⁶⁶⁾³⁶⁷⁾

Die Lösungswärme $\text{ZnSO}_4 \cdot 7\text{H}_2\text{O} + 393\text{H}_2\text{O} \longrightarrow \text{ZnSO}_4 \text{ aq}$ bei 39° fand Cohen³⁶⁸⁾ zu -4215 cal , Thomsen³⁶⁹⁾ bei 18° zu -4260 cal . Die Schmelzwärme fand Cohen bei 39° zu -3752 cal , Thomsen bei 18° zu -3609 cal .

Das Clarkelement, früher als zuverlässigste Spannungsnormale benutzt, ist konstruiert von Latimer Clark³⁷⁰⁾ nach dem Schema



Es ist sehr gut definiert, hat jedoch einen großen Temperaturkoeffizienten, weshalb man ihm jetzt das analoge Cd-Element (Weston) vorzieht. Dagegen erfordert es nicht wie dieses eine bestimmte Konzentration des Amalgams, man wählt dieses etwa 10 prozentig. Infolge einer großen Zahl von Untersuchungen ist man in der Lage, seine elektromotorische Kraft genau angeben zu können, es seien hier lediglich die von verschiedenen Autoren gefundenen Formeln mitgeteilt, nach denen die elektromotorische Kraft bei t° π_t internationale Volt beträgt.

I. $\pi_t = 1,4328 - 0,00119 \cdot (t - 15^\circ) - 0,000007 (t - 15^\circ)^2$ Jaeger und

Kahle³⁷¹⁾

II. $\pi_t - \pi_{15^\circ} = 0,001200 \cdot (t - 15) - 0,0000062 (t - 15)^2$ Callendar und
 $- 0,00006 (t - 15)^3$ Barnes³⁷²⁾

I gültig zwischen 0° und 30° , II zwischen 15° und 39° .

Beim Umwandlungspunkte 39° ist $\pi = 1,4005$.

Es sei noch zum Vergleiche die folgende Tabelle mitgeteilt³⁷³⁾, welche eine Zusammenstellung nach verschiedenen Beobachtern über π_{15° des Elements liefert.

1872	Clark	1,4378	1,4334.
1882	Carhart	29	
1884	Rayleigh	1,4345	
1884	Ettingshausen	4	
1892	Glazebrook und Skinner	44	
1896	Kahle	22	
1898	Jaeger und Kahle	28	
1899	"	29	
1899	Carhart und Guthe	33	

Über das spez. Gewicht der Lösung liegen eine Reihe von Angaben vor.³⁷⁴⁾ Bei $13,6^\circ$ ist für c Mol $\frac{1}{2} \text{ ZnSO}_4$ pro Liter.³⁷⁵⁾

c	$d_{13,6}^{13,6}$	c	$d_{13,6}^{13,6}$
0,001309	1,0001126	0,01039	1,000886
0,002616	1,0002258	0,09818	1,008189
0,005212	1,0004451	0,18842	1,015587

Bei 15° ³⁷⁶⁾

c	d_4^{15}	c	d_4^{15}
0,7366	1,0593	3,535	1,2709
1,1376	1,0905	4,100	1,3100
1,5629	1,1236	4,706	1,3532
2,0124	1,1574	5,350	1,3786
2,490	1,1933	6,030	1,4451
2,998	1,2315		

Endlich ergab sich bei $18,5$ für a Gramm ZnSO_4 pro 100 g Lösung³⁷⁷⁾

a	29,22	25,14	21,28	17,08	11,20	8,44
d _{18,5}	1,3718	1,3091	1,2528	1,1957	1,1220	1,0894
a	6,65	3,82	3,18	1,46	0,577	
d _{18,5}	1,0696	1,0387	1,0318	1,0138	1,0045	

Jones und Getman^{100a)} fanden (anscheinend bei 0°) für c Mol ZnSO₄/Liter das Gewicht w von 25 ccm Lösung.

c	w
0,051	25,2065
0,102	25,4097
0,203	25,7940
0,406	26,5929
0,609	27,3614
1,015	28,8954
1,421	20,3779
1,624	31,0909
1,827	31,7850
2,032	32,5002

In wässriger Lösung ist ZnSO₄ ein Elektrolyt. Seine Stärke steht hinter der der Alkalisalze merklich zurück, doch muß es noch den stark dissoziierten Stoffen zugerechnet werden. Es zeigt schwache Hydrolyse, die in $\frac{1}{16}$ molarer Lösung nur 0,03 Proz.³⁷⁸⁾, in 0,5 molarer 0,0075 Proz.³⁷⁹⁾ beträgt.

Osmotische Methoden. Die direkte osmotische Messung Tammanns³⁸⁰⁾ ist nur in relativem Maße angegeben. Die Dampfdruckdepression fand Tammann³⁸¹⁾ in mm Hg bei 100° zu Δp , wenn n Mol ZnSO₄ in 1 kg H₂O gelöst waren.

n	0,5	1	2	3	4
Δp	4,9	10,4	21,5	42,1	66,2
$\frac{\Delta p}{p}$	0,0065	0,0137	0,0283	0,0555	0,0872

Die Erhöhung des Siedepunkts bestimmte Kahlenberg³⁸²⁾; sie beträgt Δ° für a Gramm ZnSO₄ in 100 g H₂O.

p = 742,0 mm	
a	Δ
30,47	0,899
32,89	0,995
35,18	1,122
37,36	1,240
39,83	1,381
44,30	1,459
44,56	1,671

p = 743,0 mm	
a	Δ
2,886	0,080
6,65	0,169
10,14	0,266
13,39	0,372
17,71	0,461
22,20	0,591
25,20	0,690
28,25	0,811

Die Gefrierdepression ist mehrfach bestimmt worden.³⁸³⁾ Hier seien folgende Daten von Arrhenius angeführt. Es bedeutet Δ die Depression, c die Anzahl Mol pro Liter, a die Anzahl g Salz in 100 g H_2O .

c	Δ	i
0,0689	0,169	1,30
0,172	0,367	1,13
0,430	0,799	0,98
0,718	1,296	0,96

Diese älteren Zahlen sind möglicherweise weniger genau als folgende von Kahlenberg:

a	Δ
1,602	0,258
5,026	0,625
8,962	1,030
10,93	1,246
13,68	1,493
16,94	1,922

Jones und Getman^{100a)} fanden für c Mol/Liter

c	Δ	$\frac{\Delta}{c}$
0,051	0,094	1,84
0,102	0,194	1,90
0,203	0,372	1,83
0,406	0,697	1,71
0,609	1,027	1,69
1,015	1,753	1,72
1,421	2,715	1,91
1,624	3,327	2,05
1,827	3,976	2,18
2,032	4,990	2,46

Der kryohydratische Punkt, $-6,4^\circ$, entspricht 1,5907 g $ZnSO_4$ in 5,0587 g Lösung.³⁸⁴⁾

Die genauesten Zahlen sind wohl von Hausrath bestimmt.

c	Δ	$i - 1$
0,001081	0,00350	0,748
0,001695	0,00546	0,743
0,001853	0,00583	0,702
0,002776	0,00858	0,670
0,002850	0,00868	0,646
0,004019	0,01192	0,580
0,004412	0,01309	0,602
0,005160	0,01499	0,569
0,006259	0,01786	0,541
0,006510	0,01862	0,546
0,00995	0,02740	0,480
0,01391	0,03701	0,437

Zur Berechnung von i ist hier die Depressionskonstante 1,850 angenommen, c bedeutet übrigens hier die Anzahl Mol auf 1000 g H_2O .

a	20,22	25,14	21,28	17,08	11,20	8,44
$d_{18,5}$	1,3718	1,3091	1,2528	1,1957	1,1220	1,0894
a	6,65	3,82	3,18	1,46	0,577	
$d_{18,5}$	1,0696	1,0387	1,0318	1,0138	1,0045	

Jones und Getman^{100a)} fanden (anscheinend bei 0°) für c Mol ZnSO_4 /Liter das Gewicht w von 25 ccm Lösung.

c	w
0,051	25,2065
0,102	25,4097
0,203	25,7940
0,406	26,5929
0,609	27,3614
1,015	28,8954
1,421	20,3779
1,624	31,0909
1,827	31,7850
2,032	32,5002

In wässriger Lösung ist ZnSO_4 ein Elektrolyt. Seine Stärke steht hinter der der Alkalisalze merklich zurück, doch muß es noch den stark dissoziierten Stoffen zugerechnet werden. Es zeigt schwache Hydrolyse, die in $\frac{1}{16}$ molarer Lösung nur 0,03 Proz.³⁷⁸⁾, in 0,5 molarer 0,0075 Proz.³⁷⁹⁾ beträgt.

Osmotische Methoden. Die direkte osmotische Messung Tammanns³⁸⁰⁾ ist nur in relativem Maße angegeben. Die Dampfdruckdepression fand Tammann³⁸¹⁾ in mm Hg bei 100° zu Δp , wenn n Mol ZnSO_4 in 1 kg H_2O gelöst waren.

n	0,5	1	2	3	4
Δp	4,9	10,4	21,5	42,1	66,2
$\frac{\Delta p}{p}$	0,0065	0,0137	0,0283	0,0555	0,0872

Die Erhöhung des Siedepunkts bestimmte Kahlenberg³⁸²⁾; sie beträgt Δ^0 für a Gramm ZnSO_4 in 100 g H_2O .

p = 742,0 mm	
a	Δ
30,47	0,899
32,89	0,995
35,18	1,122
37,36	1,240
39,83	1,381
44,30	1,459
44,56	1,671

p = 743,0 mm	
a	Δ
2,886	0,080
6,65	0,169
10,14	0,266
13,39	0,372
17,71	0,461
22,20	0,591
25,20	0,690
28,25	0,811

Die Gefrierdepression ist mehrfach bestimmt worden.³⁸³⁾ Hier seien folgende Daten von Arrhenius angeführt. Es bedeutet Δ die Depression, c die Anzahl Mol pro Liter, a die Anzahl g Salz in 100 g H_2O .

c	Δ	i
0,0689	0,169	1,30
0,172	0,367	1,13
0,430	0,799	0,98
0,718	1,296	0,96

Diese älteren Zahlen sind möglicherweise weniger genau als folgende von Kahlenberg:

a	Δ
1,602	0,258
5,026	0,625
8,962	1,030
10,93	1,246
13,68	1,493
16,94	1,922

Jones und Getman^{100a)} fanden für c Mol/Liter

c	Δ	$\frac{\Delta}{c}$
0,051	0,094	1,84
0,102	0,194	1,90
0,203	0,372	1,83
0,406	0,697	1,71
0,609	1,027	1,69
1,015	1,753	1,72
1,421	2,715	1,91
1,624	3,327	2,05
1,827	3,976	2,18
2,032	4,990	2,46

Der kryohydratische Punkt, $-6,4^\circ$, entspricht 1,5907 g $ZnSO_4$ in 5,0587 g Lösung.³⁸⁴⁾

Die genauesten Zahlen sind wohl von Hausrath bestimmt.

c	Δ	$i - 1$
0,001081	0,00350	0,748
0,001695	0,00546	0,743
0,001853	0,00583	0,702
0,002776	0,00858	0,670
0,002850	0,00868	0,646
0,004019	0,01192	0,580
0,004412	0,01309	0,602
0,005160	0,01499	0,569
0,006259	0,01786	0,541
0,006510	0,01862	0,546
0,00995	0,02740	0,480
0,01391	0,03701	0,437

Zur Berechnung von i ist hier die Depressionskonstante 1,850 angenommen, c bedeutet übrigens hier die Anzahl Mol auf 1000 g H_2O .

Die elektrische Leitfähigkeit, welche sehr oft gemessen wurde³⁸⁵⁾, führt zu folgenden Zahlen für c Mol $\frac{1}{2}\text{ZnSO}_4$ pro Liter (Λ äquiv. Leitfähigkeit in rez. Ohm).

18° ³⁸⁷⁾		
c	Λ	$\gamma = \frac{\Lambda}{\Lambda_0}$
5	9,0	(0,078)
4	11,9	(0,103)
3	15,6	(0,136)
2	20,1	(0,175)
1	26,2	(0,228)
0,5	(32,3)	(0,281)
0,3	(36,8)	(0,320)
0,2	39,08	(0,347)
0,1	45,43	0,395
0,05	52,68	0,458
0,03	(59,5)	0,517
0,02	63,73	0,555
0,01	72,76	0,633
0,005	81,76	0,711
0,002	92,05	0,801
0,001	98,39	0,855
0,0005	103,16	0,898
0,0002	107,46	0,935
0,0001	109,53	0,953

Den Endwert Λ_0 erhält man aus der Überföhrungszahl. Hittorf³⁸⁸⁾ fand für Konzentrationen von a g H_2O auf 1 g ZnSO_4 die Überföhrungszahl n des Anions

a	n
2,5244	0,778
4,0518	0,760
267,16	0,636,

also eine starke Abhängigkeit von der Konzentration. KümmeU³⁸⁹⁾ untersuchte verdünnte Lösungen und fand $n=0,664$, im Mittel, für Lösungen von 0,01109 bis 0,00275 Äquivalentnormalität. Gans³⁹⁰⁾ endlich berechnet als Grenzwert 0,699. Konzentrationsketten ohne Überföhrung ergaben, nach KümmeU, keine sicheren Zahlen.

Legen wir $n=0,664$ zugrunde, so ergibt sich, wenn mit Kohlrausch die Beweglichkeit von $\frac{1}{2}\text{SO}_4$ bei 18° zu 69 angenommen wird, $\Lambda_0 = \frac{69}{0,664} = 104$.

Da dies kleiner ist als die letzten Λ für endliche Konzentrationen, so ist entweder die Überföhrungszahl 0,664 noch nicht der Grenzwert, oder es ist die Hydrolyse daran schuld.

Setzen wir jedoch mit Kohlrausch³⁹¹⁾ $u_{\frac{1}{2}\text{Zn}}=46$, so wird $\Lambda=115$. Damit sind die obigen γ berechnet. Es scheint aber dieser Wert 115 zu groß zu sein. (Kohlrausch³⁸⁷⁾ gibt $\Lambda=114,7$.

Den Temperaturkoeffizienten von Λ für $c=0,01$ berechnet Kohlrausch³⁹²⁾ zu 0,0237.

Für 0° und 95° liegen noch Messungen von Kahlenberg³⁹³⁾ vor; es bedeutet hier v die Anzahl Liter pro $\frac{1}{2}\text{ZnSO}_4$.

v	A_0	A_{95}
0,25	7,1	—
0,50	12,6	—
1	16,3	64,2
2	21,7	76,7
4	24,7	87,8
8	28,3	104,0
16	32,2	123,2
32	37,0	149,4
64	41,9	172,0
128	47,5	202,9
256	52,9	232,1
512	56,8	257,4
1024	61,0	268,4
2048	64,4	277,6
4096	65,4	—
8192	65,9	—

Die Endwerte sind hier kaum anzugeben, die Temperaturkoeffizienten der Einzelionen nach Kohlrausch führen für 0° zu $A_0 = 62$.

Dagegen nehmen Jones und Getman^{100a)} den Grenzwert 54,5 bei 0° an. (Anscheinend in Siemenseinheiten, dies würde 58,0 rez. Ohm entsprechen.)

Die Leitfähigkeit hängt vom Drucke folgendermaßen ab.³⁹⁴⁾ Wenn a Gramm ZnSO_4 in 100 g Lösung vorhanden sind, so nimmt unter P Atmosphären Druck die Leitfähigkeit um q Proz. zu gegenüber dem Werte für $P = 1$.

a	t°	$P = 109$	200	300	400	500
0,96	0°	$q = 2,82$	5,33	7,58	9,81	11,74
9,67	"	2,60	4,60	6,58	8,72	10,52
23,50	"	1,52	2,74	3,90	4,82	5,78
29,64	"	0,81	1,54	2,17	2,73	3,24
0,96	$17,8^{\circ}$	2,21	4,09	5,96	7,83	9,33
9,67	"	2,22	3,85	5,64	7,34	8,78
23,5	"	1,24	2,06	3,02	3,90	4,71
29,64	"	0,82	1,42	1,89	2,47	2,91

Für c Mol $\frac{1}{2}\text{ZnSO}_4$ pro Liter erhält man³⁹⁵⁾:

c	P	$q_{t=0^{\circ}}$	$q_{t=18^{\circ}}$
2,0	1514	33,9	27,3
1,0	997	27,8	19,9
0,5	541	14,4	11,6
0,1	115	3,2	2,5
0,01	11	0,3	0,2

Zusätze zur Lösung beeinflussen die Leitfähigkeit. Lüdeking untersuchte gelatinierte Lösungen.³⁹⁶⁾

Zusätze von Nichtelektrolyten bewirken bei 25° in 0,05 normaler Lösung die prozentuale Depression Δ der Leitfähigkeit, wenn der Zusatz 1 Vol. Prozent beträgt.³⁹⁷⁾

CH_3OH	$\text{C}_2\text{H}_5\text{OH}$	$(\text{C}_2\text{H}_5)_2\text{O}$	$(\text{CH}_3)_2\text{CO}$
$\Delta = 2,60$	3,47	3,21	2,72

Ausführlicher sind folgende Zahlen³⁹⁸⁾, welche für die Normalität 0,0282 Mol $\frac{1}{2}\text{ZnSO}_4$ pro Liter und n Mol Zusatz bei 25° die spez. Leitfähigkeiten κ_2 ergeben, während κ_1 berechnet wurde für den Zusatz n = 0, ferner ist $d = \frac{\kappa_1 - \kappa_2}{\kappa_1} \cdot 100$, $D = \frac{d}{n}$. Es ist $\kappa_1 = 1,978 \cdot 10^{-3}$.

1. $\text{C}_2\text{H}_5\text{OH}$.

n	κ_2	d	D
1,874	$1,258 \cdot 10^{-3}$	36,4	19,4
0,937	1,580 "	20,1	21,5
0,468	1,768 "	10,6	22,7
0,234	1,870 "	5,3	22,7

2. CH_3COOH .

Für CH_3COOH allein würde sich κ_3 ergeben, $\kappa_4 = \kappa_1 + \kappa_3$,
 $d = \frac{\kappa_4 - \kappa_2}{\kappa_4} \cdot 100$.

n	κ_3	κ_4	κ_2	d	D
1,874	$1,827 \cdot 10^{-3}$	$3,805 \cdot 10^{-3}$	$3,184 \cdot 10^{-3}$	31,4	16,8
0,937	1,480 "	3,458 "	3,087 "	18,8	20,0
0,468	1,122 "	3,100 "	2,870 "	11,6	24,8
0,234	0,811 "	2,789 "	2,668 "	6,1	26,1

3. Weinsäure.

n	κ_3	κ_4	κ_2	d	D
1,874	0,010237	0,01222	0,01191	15,6	8,3
0,937	0,007840	0,009818	0,009686	6,7	7,1
0,468	0,005660	0,007638	0,007591	2,4	5,1
0,234	0,004022	0,006000	0,005968	1,6	6,9

Elektromotorische Kräfte. Außer der bereits besprochenen Clarkkette hat man noch viele andre Kombinationen untersucht, in welchen Zn/ZnSO_4 vorkommt. Sie können nicht alle einzeln angeführt werden.

Der Potentialsprung Zn/ZnSO_4 ist neuerdings sorgfältig studiert worden.³⁹⁹⁾ Die Kombination mit der Kalomelnormalelektrode ergab für c Mol $\frac{1}{2}\text{ZnSO}_4$ und n Mol $\frac{1}{2}\text{Na}_2\text{SO}_4$ pro Liter die Gesamtkraft π Volt.

c	n	π
1	0	1,082 ⁴⁰⁰⁾
0,1	0	1,100
0,01	0	1,118
1	1	1,091
0,1	1	1,119
0,01	1	1,148
0,1	0,1	1,106
0,01	0,01	1,222.

Hieraus berechnen sich unter Berücksichtigung der Diffusionskette folgende Dissoziationsgrade der reinen ZnSO_4 -Lösung, wenn für c = 0,01 totale Dissoziation angenommen wird, was allerdings den oben angeführten Ergebnissen anderer Methoden nicht entspricht.

c	γ	γ'
1	0,10	0,18
0,1	0,30	0,35
0,01	1,0	0,64,

während γ' aus der Leitfähigkeit berechnet ist (s. o.).

Die Konzentrationskette $\text{Zn}/\text{ZnSO}_4/\text{ZnSO}_4/\text{Zn}$ ergab nach Wright und Thompson⁴⁰¹⁾ für die Konzentrationen m und n Mol ZnSO_4 auf 100 Mol H_2O bei 18° folgende Potentialdifferenzen π in Millivolt.

m	n = 3,95	3,10	2,00	0,96	0,50	0,237
5,25	$\pi = 6,8$	12,4	18,4	24,7	29,2	35,0
3,95	—	5,6	11,6	17,9	22,4	28,2 Fehler $\pm 0,5$
3,10	—	—	6,0	12,3	16,8	22,6
2,00	—	—	—	6,3	10,8	16,6
0,96	—	—	—	—	4,5	10,3
0,50	—	—	—	—	—	5,8

Ferner ist das Daniellelement $\text{Zn}/\text{ZnSO}_4/\text{CuSO}_4/\text{Cu}$ häufig untersucht worden. Hier seien folgende Zahlen angeführt.⁴⁰²⁾ Die CuSO_4 -Lösung ist bei 15° gesättigt, a = Gramm $\text{ZnSO}_4 \cdot 7\text{H}_2\text{O}$ auf 100 g H_2O , die Gesamtkette gibt bei 15° π Volt.

a	$1/12$	$1/6$	$1/2$	1	2	4	6	10	30	150,65
II	1,146	1,144	1,135	1,131	1,125	1,119	1,116	1,112	1,104	1,081

Andere Kombinationen, z. T. mit Elektroden zweiter Art, wurden auch untersucht⁴⁰³⁾; im übrigen hat die Halbkette Zn/ZnSO_4 öfters Anwendung als Hilfselektrode gefunden, ein Zweck, für den sie sich, falls das Salz nicht in sehr verdünnter Lösung angewandt wird und das Metall gut amalgamiert ist, recht wohl eignet. Als nachteilig könnte vom theoretischen Standpunkte vielleicht die verschiedene Beweglichkeit der beiden Ionen angesehen werden.

Den Temperaturkoeffizienten des Potentialsprunges fand Bouty⁴⁰⁴⁾ unabhängig von der Konzentration und konstant bei variabler Temperatur bis 60° zu 0,77 Millivolt pro Grad; Ebeling⁴⁰⁵⁾ bei 20° für n Prozent Salz zu π Millivolt pro Grad

n	π
33,3	0,72
14,4	0,76
2,9	0,73

Gockel⁴⁰⁶⁾

n	π
25	— 0,77
1,8	+ 0,89

oder für 0,5 Mol pro Liter 0,760

Brander⁴⁰⁷⁾ für Lösung vom spez. Gewicht $d_{18^\circ} = 1,060$ $\pi = 0,74$, für $d_{17,9} = 1,205$ $\pi = 0,77$.

Die Abhängigkeit des Potentialsprunges Zn/ZnSO_4 vom Druck untersuchten Gans⁴⁰⁸⁾ und R. Ramsey⁴⁰⁹⁾, sie hat bis 300 Atmosphären linearen Charakter.

Die Oberflächenspannung des Wassers wird durch ZnSO_4 verändert. Man kann sie bekanntlich nach verschiedenen Methoden messen. Dorsey⁴¹⁰⁾ fand nach der Stimmgabelmethode bei 18° die Oberflächenspannung γ in Dynen pro cm für c Mol $1/2\text{ZnSO}_4$ pro Liter:

c	γ	c	γ	c	γ	c	γ
0	73,21	0	73,39	0	73,31	0	73,20
0,115	73,58	0,0199	73,17	0,0435	73,30	0,18	73,30
0,173	72,74	0,066	73,30	0,0887	73,38	0,37	74,05
0,210	73,80	0,108	73,44	0,133	73,69	0,555	74,35
0,263	73,48	0,152	73,52	0,35	74,09	0,736	74,54
		0,286	73,90			0,919	74,81
0	73,31	0,33	73,62	0	73,12		
0,120	73,43	0,372	73,79	0,283	73,39		
0,257	73,60	0,414	73,91	0,567	73,71		
0,30	73,75						

Volkmann⁴¹¹⁾ maß die sogenannte scheinbare (a^2) und wahre (α) Kohäsion nach der Steighöhenmethode unter Annahme eines Randwinkels von 0° bei 15° . a^2 ist in qmm, $\alpha = \frac{1}{2} a^2 \cdot d_{15}$, in mg/mm ausgedrückt.

a^2 ist bekanntlich gleich der Steighöhe, ausgedrückt in mm, in einer Röhre vom Radius 1 mm, α gleich der Oberflächenspannung.

d_{15}	1,3981	1,2830	1,1798	1,1639	1,0400
a^2	11,69	12,30	13,10	13,82	14,54
α	8,17	7,89	7,73	7,63	7,56

Nach Quincke⁴¹²⁾ ist der Randwinkel von Null verschieden. Quincke⁴¹³⁾ fand α_1 aus der Methode der Steighöhe, α_2 mit dem Luftblasenverfahren

d	1,4539	1,4168	1,2187	1,0910
α_1	8,091	7,971	7,499	7,487
α_2	9,020	8,992	8,472	8,292

l. Traube⁴¹⁴⁾ fand aus Steighöhen für 15° und b Gramm $\text{ZnSO}_4 \cdot 7\text{H}_2\text{O}$ in 100 ccm

b	d_{15}	a^2	α
0	—	14,77	7,385
10	1,0579	14,122	7,470
20	1,1129	13,543	7,537

b	2,5	5	10	15	20
a^2	14,570	14,389	14,122	13,823	13,543

Wie auch sonst bei Oberflächenspannungen der Fall, bestehen zwischen den angeführten Resultaten merkliche Diskrepanzen, indessen stimmen alle qualitativ darin überein, daß die Oberflächenspannung der Lösung größer ist als die des Wassers.

Innere Reibung. J. Wagner⁴¹⁵⁾ fand bei t^0 die Zähigkeit einer Lösung von a Gramm ZnSO_4 in 100 g Lösung und dem spez. Gewichte d bei Zimmertemperatur zu η , bezogen auf die von H_2O von 0° .

t	η		
	a = 23,09 d = 1,2814	a = 16,64 d = 1,1953	a = 7,12 d = 1,1064
15	2,3282	1,5603	0,9706
25	1,7741	1,1861	0,7926
35	1,3523	0,9420	0,6266
45	1,0811	0,7346	0,5153

Ferner ist bei 25° für eine Lösung von c Mol $\frac{1}{2}\text{ZnSO}_4$ pro Liter $\eta^{416)}$, bezogen auf H_2O von 25° ,

c	d	η
1	1,0792	1,3671
0,5	1,0402	1,2726
0,25	1,0198	1,0824
0,125	1,0094	1,0358
0,0625	1,0047	1,0137

Der Temperaturkoeffizient Δ_R der inneren Reibung ist (umgekehrt) gleich dem der elektrischen Leitfähigkeit Δ_L ⁴¹⁷⁾

Proz. Salz	Δ_R	Δ_L
7,41	—0,02427	0,02427
11,08	—0,02414	0,02414
19,61	—0,02553	0,02557
22,61	—0,02413	0,02413

Diffusion. Seitz ⁴¹⁸⁾ fand den Diffusionskoeffizienten k in $\frac{\text{cm}^2}{\text{Tag}}$ für die Normalität c bei t^0 zu

c	t^0	k
0,312	17,91	0,2082
0,312	0,10	0,1162
1,00	14,77	0,2355

In Gelatinelösung ⁴¹⁹⁾ ist der Koeffizient ein wenig kleiner.

Nach Thover ⁴¹⁸⁾ ist der Diffusionskoeffizient D (in absoluten Einheiten) für c Mol/Liter bei t^0

t	c	$D \cdot 10^5$
19,5	2,95	0,38
8	2,75	0,20
8	1,25	0,23
8	0,75	0,26
19,5	0,55	0,42
8	0,375	0,31
8	0,125	0,33
19,5	0,05	0,54
6,5	0,025	0,41
10,5	0,005	0,47

Refraktion. Wenn bei 16^0 a Gramm ZnSO_4 in 1 kg Lösung vorhanden sind, so betragen die Brechungsexponenten für H_a , H_β und Na Linie n_a , n_β , n_D , die äquivalente Refraktion R (nach Gladstone berechnet), die Dispersion $\frac{n_a - n_\beta}{n_D - 1} = D$.

a	n_a	n_β	n_D	R	D
79,888	—	—	1,014666	$147,4 \cdot 10^{-4}$	—
40,039	1,007246	1,007358	1,007300	146,8 "	$15,3 \cdot 10^{-3}$
19,919	—	—	1,003639	147,1 "	—
10,039	1,001841	1,001871	1,001852	148,4 "	16,2 "
5,0114	—	—	1,000932	150,1 "	—
2,4914	1,0004680	1,0004748	1,0004712	152,3 "	14,2 "
0,6284	—	—	1,0001203	153,8 "	—

Hallwachs ⁴²¹⁾ fand für 1 Mol $\frac{1}{2}\text{ZnSO}_4$ in v Litern bei t^0 die äquivalenten Refraktionen $R = \frac{n-1}{d} \cdot 80,7$ und $\frac{n^2-1}{n^2+2} \cdot 80,7 = R'$.

t^0	v	R	R'
13,5	5,05	13,55	7,55
13,5	10,10	13,49	7,50
13,6	121,3	13,56	7,51
13,6	242,6	13,54	7,48

Es liegt ferner noch eine Serie von Jones und Getman^{100a)} vor, jedoch ohne Temperaturangabe.

Kannonikoff⁴²²⁾ berechnet die Atomrefraktion für Zn nach $\frac{n-1}{d}$ zu 9,38 aus folgenden Zahlen, in denen A und B die Konstanten der Formel von Cauchy bedeuten.

t^0	d_{20}^0	n_a	n_D	n_F	A	B
19,8	1,1265	1,3521	1,3536	1,3587	1,3441	0,3437

Verdünnungswärme. Eine Lösung, welche 1 Mol $ZnSO_4$ auf 20 Mol H_2O enthält, entwickelt beim Verdünnen mit m H_2O bei 18° w cal.⁴²³⁾

m + 20	50	100	200
w	+318	377	390

Hydratations- und Lösungswärme. Bei der Auflösung von 1 Mol Salz zu einer Lösung von in Summa 400 Mol H_2O werden bei 18° w cal entwickelt, so daß die Hydratationswärme $[ZnSO_4] + x[H_2O] = [ZnSO_4 \cdot xH_2O]$ w' beträgt.⁴²³⁾

	w	w'	Diff. w'
$ZnSO_4$	10434	—	8484
$ZnSO_4 \cdot H_2O$	9950	8484	2346
" $2H_2O$	7604	10830	2346
" $3H_2O$	5258	13176	1745
" $4H_2O$	3513	14921	2178
" $5H_2O$	1335	17099	2178
" $6H_2O$	—843	19277	3417
" $7H_2O$	—4260	22694	3417

(—2280 Frowein³⁵⁰⁾ s.S. 353)
(—3440 " " " 353)

Andere Reaktionswärmen (Avidität).

Zusatz von n Mol Säure zu 1 Mol Salz, beide in hoher Verdünnung, entbindet folgende Wärmemengen⁴²⁴⁾ w

	n	w
1. $ZnSO_4 + H_2SO_4$	1	—880 cal
	$\frac{3}{2}$	—1050 "
2. $ZnCl_2 + H_2SO_4$	1	+1124 "
3. $ZnSO_4 + HCl$	2	—2464 "

Diese Zahlen gestatten die Berechnung des Aviditätsverhältnisses von HCl und H_2SO_4 .

Die Neutralisationswärme von $Zn(OH)_2$ und H_2SO_4 , beide in verdünnter Lösung, würde sich zu 23410 cal ergeben, wenn man sie direkt messen könnte.

Wärmeleitfähigkeit. Für 3,7 g $ZnSO_4$ in 100 g Lösung beträgt bei 28,6° die Wärmeleitfähigkeit $0,0920 \frac{g}{cm. min.}$ ⁴²⁵⁾

Wärmeausdehnung. Der Ausdehnungskoeffizient α beträgt für eine Lösung von v Liter pro Mol $ZnSO_4$ ⁴²⁶⁾

v	α_{50°	α_{100°
6,876	$4,59 \cdot 10^{-4}$	$8,69 \cdot 10^{-4}$
2,574	4,59 "	8,18 "
1,098	4,74 "	7,87 "
0,63	4,74 "	7,24 "

oder zwischen t_1^0 und t_2^0 ⁴²⁷⁾

t_1^0	t_2^0	v =	4	2	1
0	5	$\alpha =$	$0,54 \cdot 10^{-4}$	$1,10 \cdot 10^{-4}$	$1,95 \cdot 10^{-4}$
5	10		1,14 "	1,60 "	2,30 "
10	15		1,68 "	2,07 "	2,62 "
15	20		2,20 "	2,50 "	2,95 "
20	25		2,65 "	2,89 "	3,27 "
25	30		3,07 "	3,27 "	3,52 "
30	35		3,49 "	3,63 "	3,82 "
35	40		3,83 "	3,92 "	4,11 "

Die spez. Wärme s einer Lösung von 1 Äquivalent Salz auf a H₂O beträgt nach Marignac ⁴²⁸⁾

a	50	100	200
s	0,8420	0,9106	0,9523

Nichtwässrige Lösungen. In wässrigem Äthylalkohol von p Gewichtsprozent C₂H₅OH bei 15° beträgt die Löslichkeit von ZnSO₄ · 7H₂O a Gramm auf 100 g Lösung ⁴²⁹⁾

p	0	10	20	40
a	54,5	51,1	39	3,48

100 g CH₃OH lösen bei 18° 0,65 g ZnSO₄. ⁴³⁰⁾ ZnSO₄ · 7H₂O löst sich in CH₃OH, es fällt jedoch später ZnSO₄ · H₂O aus. ⁴³⁰⁾

Die elektromotorische Kraft π (in Volt) von Zn in alkoholischem ZnSO₄ bestimmte Luther. ⁴³¹⁾ Es bedeutet p den Prozentgehalt des Alkohols, c die Normalität.

		CH ₃ OH		C ₂ H ₅ OH	
p	c =	0,05	0,005	0,05	0,005
0	$\pi =$	-0,579	-0,593	-0,579	-0,593
10		-0,603	-0,709	-0,592	-0,615
20		-0,734	-0,747	-0,616	-0,631
30		-0,731	-0,749	-0,621	-0,632
50		-0,729	-0,751	-0,619	-0,646

Die Oberflächenspannung maß I. Traube ⁴³²⁾ für verdünnten Äthylalkohol. Bei 16° ist für Alkohol von 10 Volumprozent (I) und 5,3 Volumprozent (II) und b Gramm Salz in 100 ccm

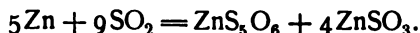
b	I			II		
	d ₁₆	a ²	α	d ₁₆	a ²	α
0	0,9859	10,436	5,144	0,9916	11,750	5,826
5	1,0155	9,983	5,068	1,0270	11,289	5,797
10	1,0435	9,609	5,013	1,0598	10,923	5,787

Zinksulfit. Das Zinksulfit, ZnSO₃ = 145,5, kann aus Zn-Salzen gefällt werden, bildet sich aber auch aus wässrigem SO₂ und Zn. Wenn ZnSO₄ und Na₂SO₃ in normalen Lösungen zusammengebracht werden, so fällt lang-

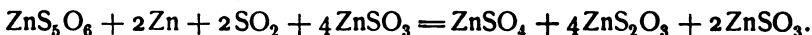
sam. $\text{ZnSO}_3 \cdot 2\text{H}_2\text{O}$ ⁴³³⁾, bei sehr tiefer Temperatur fällt es noch aus 0,1 normaler Lösung. Wählt man die Konzentrationen passend, so erfolgt die Kristallisation sehr langsam und liefert schöne trikline Prismen von $\text{ZnSO}_3 \cdot 5\text{H}_2\text{O}$.⁴³⁴⁾ $(\text{NH}_4)_2\text{SO}_3$ gibt keine Fällung.⁴³⁵⁾

Die direkte Bildung aus Zn und H_2SO_3 soll nach Fordos und Gélis⁴³⁶⁾ $\text{ZnSO}_3 \cdot 2\text{H}_2\text{O}$ liefern. Diese Angabe wird aber von Rammelsberg⁴³⁷⁾ bestritten, obwohl Muspratt⁴³⁸⁾ sie ebenfalls für ein aus ZnCO_3 und H_2SO_3 erhaltenes Produkt annimmt. Rammelsberg⁴³⁹⁾ und auch Marignac^{439a)} erhielten aus ZnO und H_2SO_3 kleine luftbeständige Kristalle von $2\text{ZnSO}_3 \cdot 5\text{H}_2\text{O}$. Marignac bekam dasselbe Präparat aus ZnCl_2 und $(\text{NH}_4)_2\text{SO}_3$, man muß daher annehmen, daß er mit anderen Konzentrationen gearbeitet hat als Berthier.⁴³⁵⁾

Das Resultat von Fordos und Gélis wird auch dadurch in Frage gestellt, daß verschiedene Forscher die Reaktion zwischen Zn, SO_2 und H_2O durchaus nicht einfach fanden. Es entsteht vielmehr bei diesem alten, schon von Berthollet, von Fourcroy, Thénard und Berzelius untersuchten Prozesse nicht nur Sulfit, sondern auch Sulfat und Thiosulfat. Risler-Beunat⁴⁴⁰⁾ nimmt auf Grund experimenteller Ergebnisse an, daß sich zunächst Sulfit und Pentathionat bilden, also etwa nach



Das Pentathionat soll, wenn SO_2 fast verbraucht ist, zerfallen in Sulfat, Thiosulfat und Schwefel, vielleicht nach



Es würden also die Endprodukte Sulfat, Sulfit und Thiosulfat sein.

Die Ausbeute an den verschiedenen Produkten dürfte eine Konzentrationsfunktion sein.

Das ZnSO_3 ist nicht sehr beständig und unterliegt auch, wie es scheint, in etwas erhöhten Temperaturen der Hydrolyse, wenigstens erhielt Seubert⁴³³⁾ durch Erwärmen der Lösung basische Salze, deren eines er als $\text{Zn}_5(\text{OH})_6(\text{SO}_3)_2$ formuliert und als chemisches Individuum aufzufassen scheint.

Zinkthiosulfat. $\text{ZnS}_2\text{O}_3 = 177,5$, Zinkthiosulfat, ist ein sehr wenig beständiger Stoff, aus dessen Lösung beim Konzentrieren ZnS fällt.

Zinkdithionat. Zinkdithionat, $\text{Zn}(\text{S}_2\text{O}_6) = 225,5$, kristallisiert als Hexahydrat im triklinen System und hat das spezifische Gewicht 1,915.⁴⁴¹⁾ Über seine Darstellung vergl. Klüß.⁴⁴²⁾ Seine Auflösung in H_2O entwickelt bei 18° $\text{ZnS}_2\text{O}_6 \cdot 6\text{H}_2\text{O} + 394\text{H}_2\text{O} = \text{ZnS}_2\text{O}_6 \text{ aq} - 2420 \text{ cal}$, verläuft also endotherm⁴⁴³⁾, ferner ist $\text{Zn} + \text{O}_2 + 2\text{SO}_2 + 6\text{H}_2\text{O} = \text{ZnS}_2\text{O}_6 \cdot 6\text{H}_2\text{O} + 173850 \text{ cal}$.⁴⁴³⁾

Zinktetrathionat. Ein saures Tetrathionat, $\text{Zn}(\text{HS}_4\text{O}_6)_2 = 515,9$, kristallisiert wasserfrei in Nadeln aus Alkohol, ist hygroskopisch, reagiert stark sauer und ist sehr leicht löslich. Über 100° zerfällt es, seine konzentrierte Lösung scheidet auf OH' -Zusatz S aus, H' -Ionen haben diese Wirkung erst beim Kochen.⁴⁴⁴⁾

Zinkselenat. Das Zinkselenat, $\text{ZnSeO}_4 = 208,6$, existiert in mehreren Modifikationen⁴⁴⁵⁾ als Hexa-, Penta- und Dihydrat. Das erste hat das spezifische Gewicht 2,325 und kristallisiert im quadratischen System mit $a:c = 1:1,8949$, isomorph mit $\text{NiSeO}_4 \cdot 6\text{H}_2\text{O}$.⁴⁴⁵⁾⁴⁴⁶⁾

Das zweite vom spezifischen Gewicht 2,591⁴⁴⁷⁾ gehört zum triklinen System und ist isomorph mit den entsprechenden Mn- und Co-Salzen.

Das zweifelhafte Dihydrat bildet sich namentlich oberhalb 50° , das Pentahydrat zwischen 30° und 50° , das Hexahydrat bei 0° , während das von Mitscherlich bezeichnete Heptahydrat nicht wiedergefunden wurde.⁴⁴⁷⁾

Zinkselenite. Zinkselenit, $\text{ZnSeO}_3 = 192,6$, bildet als Monohydrat ein weißes, noch bei 100° luftbeständiges Pulver.⁴⁴⁸⁾ Es löst sich nicht merklich in H_2O ⁴⁴⁸⁾, also anscheinend weniger als das Sulfit, entsprechend der größeren Schwäche des Selenit-Ions. Das Anhydrid bildet gelbe Tafeln und entsteht, wenn $\text{ZnSeO}_3 \cdot \text{H}_2\text{O}$ mit SeO_2 erhitzt wird. Auch ein kristallines Dihydrat ist bekannt.⁴⁴⁸⁾

Zinknitrat. Zinknitrat, $\text{Zn}(\text{NO}_3)_2 = 189,5$, ist bekannt in drei Formen, als $\text{Zn}(\text{NO}_3)_2 \cdot 3\text{H}_2\text{O}$, $\text{Zn}(\text{NO}_3)_2 \cdot 6\text{H}_2\text{O}$ und $\text{Zn}(\text{NO}_3)_2 \cdot 9\text{H}_2\text{O}$. Zwar hat Ditte⁴⁴⁹⁾ ein Hydrat mit $1,5 \text{ H}_2\text{O}$ beschrieben, doch findet sich dieses Salz sonst nicht wieder. Das gewöhnliche Salz ist das Hexahydrat. Dieses zeigt das spezifische Gewicht $d_4^{15} = 2,067$ ⁴⁵⁰⁾ und schmilzt bei $36,4^{\circ}$.⁴⁵¹⁾ Über die Existenzgebiete geben die folgenden Bestimmungen Auskunft.

Bildungswärme. Thomsen⁴⁵²⁾ berechnet $\text{Zn} + \text{O}_2 + 2\text{NO}_2 + 6\text{H}_2\text{O} = \text{Zn}(\text{NO}_3)_2 \cdot 6\text{H}_2\text{O} + 142180 \text{ cal.}$

Den Dampfdruck p in mm Hg bei 20° bestimmte Lescoeur⁴⁵³⁾ zu:

Gesätt. Lösung	$\text{Zn}(\text{NO}_3)_2 \cdot 6\text{H}_2\text{O}$	$\text{Zn}(\text{NO}_3)_2 \cdot 4,5\text{H}_2\text{O}$	$\text{Zn}(\text{NO}_3)_2 \cdot 3\text{H}_2\text{O}$
$p =$	9,6	10,0	10,0
			< 2

Bei 100° geht das Hexahydrat in Trihydrat über⁴⁵⁴⁾, beginnt aber zugleich zu zerfallen.

Die Löslichkeit wurde eingehend untersucht von Funk⁴⁵⁵⁾ und ist hier ausgedrückt als a Gramm $\text{Zn}(\text{NO}_3)_2$ in 100 g Lösung und b Mol H_2O auf 1 $\text{Zn}(\text{NO}_3)_2$, gemessen bei t° :

$\text{Zn}(\text{NO}_3)_2 \cdot 3\text{H}_2\text{O}$			$\text{Zn}(\text{NO}_3)_2 \cdot 6\text{H}_2\text{O}$		
t	a	b	t	a	b
+37	66,38	5,33	−18	44,63	13,05
40	67,42	5,08	−15	45,26	12,73
41	68,21	4,90	−13	45,51	12,60
43	69,26	4,67	−12	45,75	12,48
43,5	77,77	3,00	0	48,66	11,20
			+12,5	52,00	9,71
			18	53,50	9,14
			25	55,90	8,30
			Schm.-P. 36,4	63,63	6,00

$\text{Zn}(\text{NO}_3)_2 \cdot 9\text{H}_2\text{O}$			Gefrierkurve		
t	a	b	t	a	b
−25	40,12	15,70	−16	30,00	24,55
−22,5	40,75	15,30	−23,5	35,00	19,54
−20	42,03	14,51	−29,5	39,65	16,02
−18	43,59	13,62	−34	42,85	14,03

Es muß also das Trihydrat oberhalb 37° weniger beständig sein als das Hexahydrat und der Schmelzpunkt muß mit dem Umwandlungspunkte nahe zusammenfallen. Das $\text{Zn}(\text{NO}_3)_2 \cdot 9\text{H}_2\text{O}$ muß bei ca. -18° aus dem Hexahydrat entstehen; und beide Schlüsse bestätigte der direkte Versuch.

Die wässrige Lösung des $\text{Zn}(\text{NO}_3)_2$ zeigt nach Franz⁴⁵⁶⁾ folgende spezifische Gewichte bei $17,5^{\circ}$ für p Gramm Salz auf 100 g, reduziert auf

das Vakuum (Tab. I), die für $17,3^0$ geltenden Zahlen von Barnes und Scott⁽⁴⁷⁾ (Tab. II) weichen davon ab und dürften zuverlässiger sein.

I.

p	d	p	d	p	d	p	d	p	d
1	1,0099	11	1,1070	21	1,2147	31	1,3396	41	1,4707
2	198	12	172	22	270	32	524	42	844
3	297	13	274	23	393	33	652	43	981
4	396	14	376	24	516	34	780	44	1,5118
5	496	15	476	25	640	35	906	45	258
6	590	16	586	26	766	36	1,4039	46	403
7	684	17	696	27	892	37	172	47	548
8	778	18	806	28	1,3018	38	305	48	693
9	872	19	916	29	144	39	438	49	838
10	968	20	1,2024	30	1,3268	40	1,4572	50	1,5984

II.

p	d	p	d
1,210	1,0087	19,65	1,1830
1,574	118	29,21	1,2933
5,923	491	30,86	1,3136
7,091	597	41,32	1,4579
11,36	988	47,28	1,5504
14,39	1,1284		

Nach Jones und Getman^(49a) ist das Gewicht von 25 ccm Lösung, die pro Liter c Mol $\text{Zn}(\text{NO}_3)_2$ enthält, ϖ (anscheinend für 0^0).

c	ϖ
0,005	25,2226
0,129	25,4949
0,258	25,9845
0,516	27,0477
1,200	29,9201
1,548	30,8447
1,800	31,7873
2,004	32,7542
2,580	34,5175

Döken⁽⁴⁷⁾ fand für 1 Gramm $\text{Zn}(\text{NO}_3)_2$ pro kg Lösung

a	d_{18}^{18}
0	1,000000
0,0050	1,000814
2,0001	1,001040
4,1535	1,003413
8,1824	1,007733
17,770	1,014702
34,502	1,028800
68,078	1,058044

$\text{Zn}(\text{NO}_3)_2$ ist, wie andere Nitrate, ein Salz von ziemlich normalem Verhalten.

Tammann⁴⁵⁹⁾ hat dagegen folgende Dampfdruckdepressionen bei 100° für n-Mol in 1 kg H_2O gemessen (Δp in mm Hg):

n	0,5	1	2	3	4
Δp	16,6	39	93,5	157,5	223,8
Δp	0,0218	0,0514	0,123	0,207	0,308.
p					

Es würde darnach eine 0,5 normale Lösung rund zu 50—60 Proz. dissoziiert sein.

Derselbe Autor⁴⁶⁰⁾ verglich die osmotischen Drucke von $\text{Zn}(\text{NO}_3)_2$ und Ferrocyankalium und fand beide Salze fast gleichstark wirkend. Auch daraus folgt, daß das Salz stark dissoziiert sein muß.

Dies folgt auch aus dem kryoskopischen Befunde von Jones und Getman^{100a)}, wonach für c Mol/Liter $\text{Zn}(\text{NO}_3)_2$

c	Δ	$\frac{\Delta}{c}$
0,065	0,322	4,95
0,129	0,633	4,90
0,258	1,281	4,96
0,516	2,812	5,45
1,290	8,930	6,92
1,548	11,800	7,69
1,806	14,720	8,15
2,064	18,240	8,83
2,580	27,000	10,46

(weiteres s. u.).

Die Kette $\text{Hg} \mid \text{HgO} \mid \text{Zn}(\text{OH})_2 \mid \text{c-molar } \frac{1}{2} \text{Zn}(\text{NO}_3)_2 \mid \text{Normalkalomel-elektrode}$ ergab⁴⁶¹⁾ bei 18°

Nr.	c	π	q	q'
1	1	1,027	1 : 3 0,45	0,55
2	0,1	1,072	2 : 3 0,55	0,80
3	0,01	1,102		

Aus π berechnet sich mit Berücksichtigung der Diffusionspotentialdifferenz das Verhältnis q der Dissoziationsgrade. Aus der Leitfähigkeit darf man etwa q' erwarten. Die Übereinstimmung zwischen q und q' ist immerhin erheblich besser als bei den Zn-Salzen mit schwächeren Anionen, so daß man hiernach auf ziemlich normale Ionenbildung schließen darf.

Es können hier gleich noch andere Messungen von elektromotorischen Kräften angefügt werden. Labendzinski⁴⁶¹⁾ fand die Potentialsprünge der Kette $\text{Hg} \mid \text{HgO} \mid \text{Zn}(\text{OH})_2 \mid \text{n-molar } \frac{1}{2} \text{Zn}(\text{NO}_3)_2 + \text{m-molar } \text{KNO}_3 \mid \text{Normal-elektrode}$, ausgedrückt in Volt, zu

n	m	π
1	0	1,027
0,1	0	1,072
0,01	0	1,102
1	1	1,033
0,1	1	1,078
0,01	1	1,114
0,1	0,1	1,075
0,01	0,01	1,102

Durch das obige Resultat wird der Schluß, daß $\text{Zn}(\text{NO}_3)_2$ ein verhältnißmäßig normales Salz sei, wiederum bekräftigt, indessen darf auf Potentialmessungen wie die vorstehenden selbst bei großer Genauigkeit vorläufig allzu hoher Wert gelegt werden, weil nach Vogel und Reischauer ZnO in $\text{Zn}(\text{NO}_3)_2$ merklich löslich ist, woraus folgen würde, daß die Ionenkonstitution der gemeinschaftlichen Lösungen nicht ganz mit der übereinstimmt, die zur Berechnung der Potentialdifferenzen hier angenommen ist.

Andere elektromotorische Untersuchungen zeigten, daß der Temperatureffizient der Halbkette $\text{Zn} | \text{Zn}(\text{NO}_3)_2$ bis 60° von der Konzentration nahezu unabhängig 0,63 Millivolt pro Grad beträgt (Bouty⁴⁶³), während Ebeling bei 20° eine deutliche Konzentrationsabhängigkeit fand⁴⁶⁴), wie folgende Zahlen zeigen (π in Millivolt pro Grad, p = Prozentgehalt):

p	π
35	0,74
23,3	1,08
11,9	0,91

Für die Beweglichkeit des Zn^{++} -Ions im Nitrat liegen nur wenige Angaben vor. Da Überföhrungszahlen nicht gemessen sind, so sei folgende Bestimmung der absoluten Beweglichkeit wiedergegeben⁴⁶⁵), es deutet hier c die Normalität von $\text{Zn}(\text{NO}_3)_2$, v_0 in mm/sec die absolute Beweglichkeit des Zn^{++} unter dem Potentialfalle von 1 Volt pro mm.

c	v_0
0,2	0,091
0,1	0,111
0,04	0,095
0,02	0,077
0,01	0,084
0,005	0,051
0,0025	0,052
0,00125	0,051

Jones und Getman^{100a}) fanden bei 0° für v Liter pro Mol $\text{Zn}(\text{NO}_3)_2$ die Molarleitfähigkeit⁴⁵⁸) Λ (in Siemenseinheiten)

v	Λ
0,38	27,69
0,48	36,03
0,55	42,24
0,64	46,53
0,77	52,43
0,88	53,89

v	A
1,93	73,00
3,87	82,50
7,75	90,56
15,38	93,40

A_0 nehmen sie zu 114,0 an, wir wollen für die folgende Rechnung $A_0 = 110$ als vermutlich richtiger benutzen.

Aus den Leitfähigkeiten und Gefrierdepressionen ergibt sich (vgl. ZnCl_2) für C, c_1 und c_2

C	c_1	c_2
0,1	0,162	0,154
0,09	0,146	0,140
0,08	0,131	0,126
0,07	0,115	0,112
0,06	0,098	0,097

Das Salz ist also sehr normal dissoziiert.

Die innere Reibung der Lösung bestimmte J. Wagner.⁴⁶⁶⁾ Es bedeute p den Prozentgehalt an Salz, t^0 die Temperatur, dann ist das Verhältnis η der Viskosität zu der von H_2O von 0^0 :

p	$t^0 =$	15	25	35	45
44,500	$\eta =$	1,6790	1,3060	1,0540	0,8791
30,626		1,0472	0,8572	0,6952	0,5769
15,955		0,8073	0,6428	0,5260	0,4376

Für n-Mol $\frac{1}{2}\text{Zn}(\text{NO}_3)_2$ ist bei 25^0 η , auf H_2O von 25^0 bezogen,

n	η
1	1,1642
0,5	1,0857
0,25	1,0390
0,125	1,0186

Bei der Neutralisation von $\text{Zn}(\text{OH})_2$ mit 2HNO_3 , beide hoch verdünnt, würden sich 19829 cal⁴⁶⁷⁾ entwickeln.

Verdünnungswärme. Wenn eine Lösung, welche 1 Mol $\text{Zn}(\text{NO}_3)_2$ und 10 Mol H_2O enthält, durch m Mol H_2O verdünnt wird, so werden bei 18^0 w cal entwickelt.⁴⁶⁸⁾

$10 + m =$	15	20	50	100	200
w =	913	1148	1203	1111	1071

Lösungswärme.⁴⁶⁹⁾ Es ist $\text{Zn}(\text{NO}_3)_2 \cdot 6\text{H}_2\text{O} + \text{aq} = \text{Zn}(\text{NO}_3)_2 \text{ aq} - 5800 \text{ cal}$.

Die spezifische Wärme s einer Lösung von 1 Mol $\text{Zn}(\text{NO}_3)_2$ auf a Mol H_2O beträgt⁴⁷⁰⁾

a	10	15	25	50	100	200
s	0,5906	0,6410	0,7176	0,8234	0,8990	0,9461

In 0,5 äquivalent-normaler Lösung beträgt die Hydrolyse⁴⁷¹⁾ 0,019 Proz.

Optisches Verhalten. Wenn g Gramm Salz in 1 kg Lösung enthalten sind, so beträgt bei 16^0 der Brechungsexponent n_D und die Äquivalent-

refraktion $R_D = (n_D - 1) \cdot \frac{1}{2} \cdot \frac{189,5}{g}$ ⁴⁷²⁾

g	n_D	R_D
107,420	1,016659	$146,5 \cdot 10^{-4}$
53,800	1,008119	142,5 "
29,736	1,004414	140,1 "
13,455	1,001993	139,9 "
6,5191	1,000968	140,2 "
3,3542	1,0004995	140,7 "
1,6723	1,0002538	143,3 "
6,8326	1,0001276	144,8 "

Die Dispersionskonstante $\frac{n_\beta - n_\alpha}{n_D - 1} = D$ beträgt ⁴⁷²⁾ für die Verdünnung v Liter

v	n_α	n_β	D
2	1,006914	1,007127	$30,5 \cdot 10^{-3}$
8	1,001751	1,001807	31,1 "
32	1,0004451	1,0004589	30,7 "

Zinknitrit. Zinknitrit entsteht als $\text{Zn}(\text{NO}_2)_2 \cdot \text{H}_2\text{O}$, wenn ZnSO_4 durch NaNO_2 gefällt wird. Es bildet rhombische Tafeln.⁴⁷³⁾

Konzentriert man die Lösung im Vakuum, so fällt ein basisches Salz von der Formel ⁴⁷⁴⁾ $\text{Zn}_2\text{N}_2\text{O}_5 = \text{ZnO}, \text{Zn}(\text{NO}_2)_2$.

Zinkphosphate, -phosphite etc. Das Zn bildet mit der Orthophosphorsäure analog den Alkalimetallen mehrere Salzstufen, von denen saure Salze verhältnismäßig wenig untersucht sind.

Graham gibt die Formel $\text{HZnPO}_4 \cdot \text{H}_2\text{O}$, doch konnte Heintz ⁴⁷⁵⁾ dieses Salz nach Grahams Vorschrift nicht wieder erhalten und es muß daher die Existenz bezweifelt werden.

$\text{H}_4\text{Zn}(\text{PO}_4)_2 \cdot 2\text{H}_2\text{O}$ entsteht in luftbeständigen triklinen Kristallen aus saurer Lösung, z. B. aus ZnO und überschüssiger H_3PO_4 -Lösung, wenn die Flüssigkeit nicht verdünnt ist ($d_{16} = 1,5$), denn durch H_2O wird Hydrolyse bewirkt.⁴⁷⁶⁾

Zahlreiche Untersuchungen beschäftigen sich mit dem normalen Zinkphosphat $\text{Zn}_3(\text{PO}_4)_2$.

Infolge seiner Glühbeständigkeit kann es direkt aus ZnCO_3 und H_3PO_4 bei 100° in rhombischen Kristallen erhalten werden⁴⁷⁷⁾ und entspricht dann der Formel $\text{Zn}_3(\text{PO}_4)_2 \cdot 4\text{H}_2\text{O}$, bei 190° dagegen $\text{Zn}_3(\text{PO}_4)_2 \cdot \text{H}_2\text{O}$.

Schulten ⁴⁷⁸⁾ erhielt das Anhydrid als kleine Prismen von $d_{15^\circ} = 3,998$ aus der Schmelze von $\text{Zn}_3(\text{PO}_4)_2 \cdot 4\text{H}_2\text{O}$ mit ZnCl_2 oder ZnBr_2 .

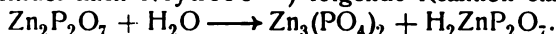
Auf nassem Wege entsteht das Tetrahydrat, wenn ZnSO_4 in essigsaurer Lösung mit Na_2HPO_4 gefällt wird.⁴⁷⁹⁾ Skey ⁴⁸⁰⁾ erhielt auf demselben Wege ein Pentahydrat, Reynoso ⁴⁸¹⁾ ein Hexahydrat.

Das Tetrahydrat findet sich in der Natur als Hopeit. Es ist imstande, mit Co- und Ni-Salz Mischkristalle zu bilden.⁴⁸⁰⁾ Das Anhydrid absorbiert H_2S bei 9° nicht merklich, bei 100° deutlich, bei 160° schnell.⁴⁸¹⁾ (Es steht nicht fest, inwieweit die Veränderung des Gleichgewichts und die Temperaturbeschleunigung hierfür maßgebend sind.) Die Absorptionsgeschwindigkeit geht dem Drucke des H_2S proportional.⁴⁸²⁾

0,025 molare Lösung von Na_2HPO_4 , welche mit $\text{Zn}_3(\text{PO}_4)_2$ gesättigt ist, enthält 0,018mal soviel Zn^{++} -Ionen als 0,5 molare ZnSO_4 -Lösung.⁴⁸³⁾

Das Pyrophosphat, $\text{Zn}_2\text{P}_2\text{O}_7 = 304,8$, hat dadurch Bedeutung erlangt, daß es aus dem NH_4ZnPO_4 beim Erhitzen entsteht und daher als Wägungsform für P oder Zn dienen kann.⁴⁸⁴⁾ Es bildet sich auch durch Fällung von ZnSO_4 mit $\text{Na}_4\text{P}_2\text{O}_7$ und bildet dann, aus wässriger schwefliger Säure umkristallisiert, ein kristallines Pulver von $2\text{Zn}_2\text{P}_2\text{O}_7 \cdot 3\text{H}_2\text{O}$, das schmelzbar ist und sich in Säuren und Basen, auch NH_4OH , lösen kann.^{485), 489)} Pahl⁴⁸⁶⁾ erhielt $\text{Zn}_2\text{P}_2\text{O}_7 \cdot 5\text{H}_2\text{O}$.

Bei 280° findet nach Reynoso⁴⁸⁷⁾ folgende Reaktion statt:



(Dieses saure Phosphat kann auch als Metaphosphat $\text{Zn}(\text{PO}_3)_2 \cdot \text{H}_2\text{O}$ aufgefaßt werden.)

Das spezifische Gewicht von $\text{Zn}_2\text{P}_2\text{O}_7$ beträgt $3,756$ ⁴⁸⁸⁾ bei 23° .

Metaphosphat. Infolge der Neigung der Metaphosphorsäure, in komplexer Gestalt Verbindungen einzugehen, sind auch außer dem normalen Zinkmetaphosphat, $\text{Zn}(\text{PO}_3)_2$, Zinksalze der komplexen Metaphosphorsäuren bekannt geworden. Die Konstitutionsformeln dieser Salze gründen sich lediglich auf Analogieschlüsse, da Untersuchungen ihrer wässrigen Lösungen noch nicht stattgefunden haben und eindeutige Ergebnisse wohl auch nicht leicht zu erhalten sind.

$\text{Zn}(\text{PO}_3)_2 \cdot 4\text{H}_2\text{O}$ wurde von Fleitmann⁴⁹⁰⁾ und Tammann⁴⁹¹⁾ dargestellt. Es geht beim Erhitzen in das Anhydrid über⁴⁹⁰⁾, ist sonst sehr beständig und muß mit konzentrierter H_2SO_4 oder durch die Carbonatschmelze aufgeschlossen werden. Ein Trimetaphosphat $\text{Zn}_3(\text{PO}_3)_6 \cdot 13\text{H}_2\text{O}$ dürfte mit dem obengenannten Tetrahydrate identisch sein, ein anderes⁴⁹¹⁾ hat die Formel $\text{Zn}_3(\text{P}_3\text{O}_9)_2 \cdot 9\text{H}_2\text{O}$, löst sich schwer in H_2O (0,1 g in 1 l H_2O von 20°), und kann auch als Dimetaphosphat $\text{Zn}(\text{PO}_3)_2 \cdot 3\text{H}_2\text{O}$ geschrieben werden. Bei Rotglut entstehen⁴⁹²⁾ Tetrametaphosphate $\text{Zn}_2(\text{P}_4\text{O}_{12}) \cdot 10\text{H}_2\text{O}$ und $\text{Zn}_2(\text{P}_4\text{O}_{12})$; auch diese kann man als $\text{Zn}(\text{PO}_3)_2 \cdot 5\text{H}_2\text{O}$ resp. $\text{Zn}(\text{PO}_3)_2$ schreiben.

Phosphit. Rammelsberg⁴⁹³⁾ erhielt aus $\text{ZnO} + \text{H}_2\text{O} + \text{PCl}_3$ feine Kristalle von $2\text{HZnPO}_3 \cdot 5\text{H}_2\text{O}$, die über H_2SO_4 in HZnPO_3 übergingen; während ohne H_2SO_4 bei 100° $\text{HZnPO}_3 \cdot 2\text{H}_2\text{O}$, bei 250° HZnPO_3 entstand. Das Anhydrid bildete sich auch beim Umkristallisieren aus H_3PO_3 -Lösung; wenn die Konzentration dieser Lösung sehr hoch stieg, bestanden die Kristalle aus $\text{H}_5\text{Zn}_2(\text{PO}_3)_3 \cdot x\text{H}_2\text{O}$, $\text{H}_9\text{Zn}_3(\text{PO}_3)_5 \cdot y\text{H}_2\text{O}$, $\text{H}_{11}\text{Zn}_2(\text{PO}_3)_5$, doch wird die chemische Individualität dieser sauren Salze von Rammelsberg nicht bestimmt behauptet.

Durch Glühen geht das Salz in Phosphid + Pyrophosphat über.⁴⁹³⁾

Hypophosphit. Aus einer mäßig konzentrierten Lösung bilden sich⁴⁹⁴⁾ schnell verwitternde Oktaeder von $\text{H}_4\text{Zn}(\text{PO}_2)_2 \cdot 6\text{H}_2\text{O}$, die bei 100° $4\text{H}_2\text{O}$ verlieren, ferner wurde ein Monohydrat $\text{H}_4\text{Zn}(\text{PO}_2)_2 \cdot \text{H}_2\text{O}$ in rhomboedrischen Kristallen erhalten.⁴⁹⁴⁾

Das spez. Gewicht von $\text{H}_4\text{Zn}(\text{PO}_2)_2 \cdot 6\text{H}_2\text{O}$ beträgt bei 20° $d_{20} = 2,020$.⁴⁹⁵⁾

Zinkarsenat. $\text{Zn}_3(\text{AsO}_4)_2 \cdot 8\text{H}_2\text{O}$ findet sich in der Natur als Kottigit.

Künstlich wurde $\text{Zn}_3(\text{AsO}_4)_2$ aus ZnCO_3 und H_3AsO_4 bei 200° gewonnen⁴⁹⁶⁾, ferner durch Schmelzen von H_4AsO_4 mit ZnCl_2 als Kristall von $d_{15} = 4,913$.⁴⁹⁷⁾

Salkowski⁴⁹⁸⁾ und Demel⁴⁹⁹⁾ erhielten $\text{HZnAsO}_4 \cdot \text{H}_2\text{O}$ ⁵⁰⁰⁾ und $\text{Zn}_3(\text{AsO}_4)_2 \cdot 3\text{H}_2\text{O}$, dieses durch Neutralisieren der HCl -Lösung mit Alkali.

$\text{Zn}_2\text{As}_2\text{O}_7$ bildet sich in der Schmelze von ZnO und KAsO_3 ⁵⁰¹⁾ und hat das spez. Gewicht $4,701$.⁵⁰¹⁾

Außerdem wurden dargestellt $\text{Zn}_2\text{OHAsO}_4$ von Coloriano⁵⁰³⁾, und aus 4ZnAsO_4 durch Hydrolyse $\text{Zn}_5\text{O}(\text{As}_2\text{O}_7)_2 \cdot 5\text{H}_2\text{O}$ ⁵⁰²⁾, doch steht die Individualität dieses letzten Stoffes nicht außer Zweifel, während $\text{Zn}_2\text{OHAsO}_4$ in der Natur (z. B. in Chañarcillo in Chile) vorkommt und von Friedel⁵⁰⁵⁾, der dieses Mineral zuerst analysierte, Adamin genannt wurde. Sein spez. Gewicht fand Friedel zu 4,338, Damour⁵⁰⁶⁾ zu 4,352, die Kristallform ist rhombisch.⁵⁰⁷⁾

$\text{Zn}_3(\text{AsO}_3)_2$ wird aus ZnSO_4 durch saures K-Salz gefällt, ferner auch aus ZnSO_4 , das in $\text{NH}_4\text{OH} + \text{NH}_4\text{Cl}$ gelöst, durch As_2O_3 -Lösung, und aus alkoholischer ZnCl_2 -Lösung durch K_3AsO_3 . Es bildet Kristallnadeln, die sich in H_2O schwer, in NH_4OH oder anderen Ammonsalzen leicht lösen.⁵⁰⁸⁾ Beim Erhitzen sublimiert As_2O_3 .

Zinkantimonat. ZnSO_4 wird durch K- oder Na-Antimonat gefällt, die Zusammensetzung des Niederschlags nach Heffter⁵⁰⁹⁾ läßt sich jedoch nicht sicher auf ein Individuum deuten.

Dagegen erhielten Ebel⁵¹⁰⁾ und Senderens⁵¹¹⁾ ein Metantimonat $\text{Zn}(\text{SbO}_3)_2$, das nach Ebel 5, nach Senderens $6\text{H}_2\text{O}$ enthält. Über H_2SO_4 verliert es $4\text{H}_2\text{O}$, den Rest bei 300° .⁵¹¹⁾ Bei Rotglut zerfällt es.⁵¹¹⁾

Zinkcarbonat. Das Zinkcarbonat, $\text{ZnCO}_3 = 125,4$, findet sich in der Natur als Zinkspat, es kristallisiert hexagonal mit den Achsen $a:c = 1:0,807$ ⁵¹²⁾, dem spez. Gewichte⁵¹³⁾ 4,3–4,6 und der Härte 5 (Mohs).⁵¹²⁾ Künstlich erhält man es bei der Fällung von Zn-Salzen, z. B. Sulfat, durch Alkalicarbonate nicht rein, sondern infolge der Hydrolyse mit Oxyd oder Hydroxyd gemischt und es ist daher eine große Zahl mehr oder minder zweifelhafter basischer Salze angegeben worden.⁵¹⁴⁾

Normales ZnCO_3 fällt bei Anwendung saurer Alkalicarbonate (Kraut⁵¹⁴⁾, Boussingault⁵¹⁵⁾, H. Rose⁵¹⁴⁾).

Der H_2O -Gehalt ist zweifelhaft, Kraut erhielt $\text{ZnCO}_3 \cdot \text{H}_2\text{O}$, Boussingault $2\text{ZnCO}_3 \cdot 3\text{H}_2\text{O}$.

Den Einfluß der Konzentration, der schon aus der letzterwähnten Tatsache hervorgeht, zeigen deutlich die Versuche von Wagner⁵¹⁶⁾, welcher gefälltes basisches Carbonat in H_2O , welches unter CO_2 -Druck stand, auflöste.

Nach Wagner löst sich ein Teil des „Niederschlags von $\text{ZnSO}_4 + \text{Na}_2\text{CO}_3$ “ in 188 Teilen „kohlen-sauren Wassers“. Lassaigue^{516a)} fand, daß bei 10° für 1 Teil ZnCO_3 1428 Teile von bei Atmosphärendruck mit CO_2 gesättigtem H_2O nötig sind.

Folgende Fällungswärmen bestimmte Berthelot⁵¹⁷⁾:



ZnCO_3 in K_2CO_3 -Lösung von 0,05 Äquiv./Liter enthält $8,9 \cdot 10^{-9}$ mal soviel Zn^{++} als ZnSO_4 (0,5 molar).⁵¹⁸⁾

Zinksilicat. Zinksilicate finden sich in der Natur in verschiedenen Zusammensetzungen als Kieselzinkerz, Williamit (Willemite, Kieselgalmei).

Zn_2SiO_4 erscheint in hexagonalen Kristallen vom Achsenverhältnis $c:a = 1:0,6775$ ⁵¹⁹⁾, $1:0,6697$ ⁵²⁰⁾, $1:0,737$ ⁵²¹⁾ sein spez. Gewicht bewegt sich zwischen 3,89 und 4,18⁵¹⁹⁾, es kommt auch wasserhaltig vor, z. B. als $\text{Zn}_2\text{SiO}_4 \cdot 3\text{H}_2\text{O}$.⁵²²⁾ Dem Troostit ZnMnSiO_4 ist es sehr eng verwandt.⁵²⁰⁾

Zn_3SiO_6 , auch $\text{Zn}_3\text{SiO}_6 \cdot 6\text{H}_2\text{O}$, gehört dem rhombischen System an und hat die Achsenverhältnisse $a:b:c = 1:0,7827:0,483$.⁵²³⁾

Auf pyrochemischem Wege sind dieselben Stoffe erhalten worden. $\text{ZnO} + \text{SiF}_4$ gab bei Rotglut hexagonale Prismen von Zn_3SiO_6 .⁵²⁴⁾

Zn_2SiO_4 wurde in hexagonalen Prismen vom spez. Gewichte 4,25 aus $\text{SiO}_2 + \text{ZnSO}_4 + \text{K}_2\text{SO}_4$ erhalten.⁵²⁵⁾

ZnSiO_3 entstand kristallinisch aus der Schmelze von ZnSO_4 mit Na_2SiO_3 und B_2O_3 .⁵²⁶⁾

Zinkborate. Ein $\text{Zn}_3\text{B}_2\text{O}_6$ entsteht in der Schmelze von ZnO mit HKF_2 und B_2O_3 .⁵²⁷⁾ Es ist triklin und isomorph mit dem Salze des Mg und des Mn.⁵²⁸⁾ Ein $\text{Zn}_3\text{B}_4\text{O}_9$ erhielt Le Chatelier.⁵²⁹⁾

Die Eigenschaften der Borsäure bringen es mit sich, daß vielfach Stoffe erhalten werden, die offenbar aus Gemischen eines Borats mit ZnO bestehen.⁵³⁰⁾

Einige komplizierte Verbindungen beschreiben Rousseau und Allaire.⁵³¹⁾ Bei schwacher Rotglut bilden sich aus ZnBr_2 und Ca-Borat weiße kleine Kristalle von $\text{Zn}_7\text{OBr}_2(\text{B}_2\text{O}_3)_8$, entsprechend aus ZnCl_2 ; auch auf nassem Wege, aus ZnCl_2 -Lösung und Borax bei 300°, $\text{Zn}_2\text{OCl}_2(\text{B}_2\text{O}_3)_8$.

Andere Anionen. Von Zinksalzen wenig bekannter Säuren müssen noch folgende erwähnt werden:

Wenn ZnSO_4 mit Na_3AsO_4 bis zur Wiederlösung behandelt wird, kristallisiert $\text{NaZnAsS}_3 \cdot 4\text{H}_2\text{O}$, das sich in heißem H_2O löst und beim Erkalten $\text{Zn}_3(\text{AsS}_4)_2$ abscheidet. Dieses Salz entsteht auch direkt in der Kälte.⁵³²⁾

Ein analoges $\text{Zn}_3(\text{PS}_4)_2$ entsteht aus ZnCl_2 und P_2S_5 in farblosen Kristallblättchen und löst sich so gut wie nicht in H_2O , $\text{C}_2\text{H}_5\text{OH}$, $(\text{C}_2\text{H}_5)_2\text{O}$, CS_2 , C_6H_6 , CH_3COOH , wohl aber, unter Zerfall, in Säuren und Basen. Beim Erhitzen zerfällt es zu ZnS und P_2S_5 .⁵³³⁾

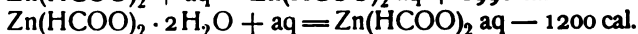
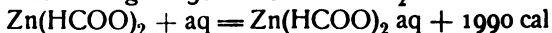
Thiophosphit, $\text{Zn}_3(\text{PS}_3)_2$, entsteht bei Rotglut aus Zn, S und P in hexagonalen Kristallen, die mit H_2O nicht verträglich sind und H_2S bilden. Analog werden erhalten und verhalten sich $\text{Zn}_2\text{P}_2\text{S}_6$ und das noch weniger beständige Thiopyrophosphat $\text{Zn}_2\text{P}_2\text{S}_7$.⁵³⁴⁾

Ein mit ZnO gemischtes Sulfantimonat $(\text{Zn}_3\text{SbS}_4)_2$ erhielt Rammelsberg⁵³⁵⁾, $\text{Zn}_3(\text{SbS}_3)_2$ Pouget.⁵³⁶⁾

Zinkformiat. Zinkformiat, $\text{Zn}(\text{HCOO})_2 = 155,4$, kristallisiert im monoklinen System (isomorph mit dem Mn- und Ba-Salze⁵³⁷⁾ mit $2\text{H}_2\text{O}$. Es hat das spez. Gewicht 2,205⁵³⁷⁾ resp. gepulvert 2,339.⁵³⁷⁾

Das ebenfalls bekannte Anhydrid hat das spez. Gewicht 2,368.⁵³⁸⁾

Bei der Auflösung in 50—100 Teilen H_2O entwickelt ein Mol⁵³⁹⁾



Der Gefrierpunkt des H_2O wird durch C Mol $\text{Zn}(\text{HCOO})_2$ pro 1 kg H_2O um Δ° erniedrigt.⁵³⁵⁾

C	Δ	γ
0,252	1,010	0,58
0,125	0,544	0,67
0,063	5,305	0,80

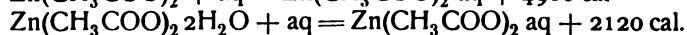
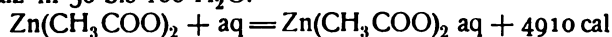
Unter Annahme des Schemas $\text{Zn}(\text{HCOO})_2 \rightleftharpoons \text{Zn}^{++} + 2(\text{HCOO})^-$ berechnet sich daraus der Dissoziationsgrad γ .

In 0,5 normaler Lösung beträgt der Diffusionskoeffizient⁵⁴¹⁾ $K = 0,4654 \frac{\text{cm}^2}{\text{Tag}}$ bei 19,04°.

Zinkacetat. Zinkacetat, $\text{Zn}(\text{CH}_3\text{COO})_2 = 183,5$, ist bekannt als Anhydrid und als Dihydrat, die ältere Angabe, daß es mit $3\text{H}_2\text{O}$ kristallisiere⁵⁴²⁾, fand später meist keine Bestätigung⁵⁴³⁾, nur Goldschmidt und Syngros⁵⁴⁹⁾ fanden $3\text{H}_2\text{O}$.

Das Dihydrat kristallisiert aus wässriger Lösung, das Anhydrid entsteht aus diesem bei 100° ⁵⁴⁴⁾ oder auch durch Umkristallisieren aus Eisessig in luftbeständigen Oktaedern, in Eisessigdampf absorbiert es ca. $\frac{1}{6}$ Äquivalent CH_3COOH .⁵⁴⁵⁾ Das Anhydrid schmilzt bei 241° , das Hydrat bei 236° . Es sublimiert unter 150 mm Hg-Druck unzersetzt bei etwa 200° (Franchimont⁵⁴³⁾). Das Dihydrat kristallisiert monoklin (Rammelsberg⁵⁴²⁾), die Angabe bezieht sich auf das vermeintliche Trihydrat. Die spez. Gewichte betragen 1,735 für das Dihydrat und 1,840 für das Anhydrid.⁵⁴⁶⁾

Berthelot⁵⁴⁷⁾ bestimmte folgende Lösungswärmen bei großer Verdünnung, 1 Teil Salz in 50 bis 100 H_2O .



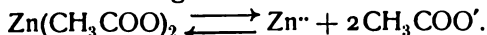
Die wässrige Lösung des $\text{Zn}(\text{CH}_3\text{COO})_2$ zeigt folgende spez. Gewichte, wenn in 1000 g H_2O n Mol $\frac{1}{2} \text{Zn}(\text{CH}_3\text{COO})_2$ gelöst sind.⁵⁴⁸⁾

n = 1	2	3
$d_{23,5^\circ} = 1,057$	1,106	1,148.

Zinkacetat ist ein ziemlich stark dissoziiertes Salz, das in der Konzentration von C Mol pro kg H_2O die Gefrierdepression Δ zeigt.⁵⁴⁹⁾

Calame			Goldschmidt und Syngros		
C	Δ	γ	C	Δ	γ
0,260	1,095	0,64	0,0401	0,219	1,02
0,130	0,597	0,74	0,0616	0,316	0,89
0,065	0,312	0,79	0,0890	0,431	0,81
			0,1217	0,561	0,75

γ ist berechnet als Dissoziationsgrad unter Annahme des Schemas:



Die kryohydratische Temperatur liegt bei $-5,90^\circ$.⁵⁵⁰⁾

Die äquivalente elektrische Leitfähigkeit bei 25° in rez. Ohm für 1 Mol

$\frac{1}{2} \text{Zn}(\text{CH}_3\text{COO})_2$ in v Liter beträgt⁵⁵¹⁾ Λ . (Für H_2O nicht korrigiert.)

v	Λ	γ
32	62,5	0,67
64	70,1	0,75
128	76,5	0,82
256	—	—
512	86,1	0,93
1024	90,4	0,97

Λ_0 ergibt sich ungefähr zu $53 + 40 = 93$, mithin $\gamma = \frac{\Lambda}{\Lambda_0}$. Die Leitfähigkeit zeigt also weit geringere Dissoziation an als die Gefrierdepression.

Mit dem Drucke von x Atmosphären ändert eine Lösung von a Gramm $\text{Zn}(\text{CH}_3\text{COO})_2$ in 100 g Lösung ihren Widerstand nach $w = w_0 (1 + \alpha x + \beta x^2)$, wo w_0 der Widerstand für $x = 0$ bei Zimmertemperatur ist und α und β folgende Werte haben.⁵⁵²⁾

a	α	β
15,25	$-3,673 \cdot 10^{-4}$	$+1,268 \cdot 10^{-7}$
6,10	$-4,532 \cdot 10^{-4}$	$+1,654 \cdot 10^{-7}$

Versuche, die Zn^{++} -Ionenkonzentration aus Konzentrationsketten zu ermitteln, ergaben ⁵⁵³⁾ für die Kette:

$\text{Zn} \mid \text{Zn}(\text{CH}_3\text{COO})_2 \mid \text{Normalcalomelektrode}$, und $c \text{ Mol } \frac{1}{2} \text{ Zn}(\text{CH}_3\text{COO})_2$ pro Liter π Volt

c	π	π ⁵⁵⁴⁾	γ
1	1,081	1,082	0,05
0,1	1,095	—	0,20
0,01	1,102	—	(1)

Hieraus sind die unter γ angegebenen normal- (in Zn^{++} -Ionen) dissoziierten Bruchteile berechnet, unter der Annahme, daß für die 0,01 n-Lösung $\gamma = 1$ sei. Die Kleinheit dieser γ -Werte für die konzentrierten Lösungen zeigt, daß in diesen außer den normalen noch viele selbstkomplexe Ionen enthalten sind.

Zusatz von c' Mol NaCH_3COO gibt folgende Potentiale der oben-erwähnten Kette ⁵⁵⁵⁾:

Nr.	c	c'	π
1	1	1	1,107
2	0,1	1	1,131
3	0,01	1	1,155
4	0,1	0,1	1,104
5	0,01	0,01	1,107

Der Potentialsprung $\text{Zn} \mid \text{Zn}(\text{CH}_3\text{COO})_2$ ändert sich nach Bouty ⁵⁵⁶⁾ bis 60° nahezu unabhängig von der Konzentration um 0,83 Millivolt pro Grad, nach Gockel ⁵⁵⁶⁾ für 0,5 Mol pro Liter um 0,693.

Diffusion. Eine doppelt normale Lösung hat bei t^0 den Diffusionskoeffizienten $k \frac{\text{cm}^2}{\text{Tag}}$ ^{556a)}

t	k
18,05	0,2095
0,04	0,1194

Die spez. Wärme w einer Lösung von a Mol H_2O auf 1 Mol $\frac{1}{2} \text{ Zn}(\text{CH}_3\text{COO})_2$ beträgt ⁵⁵⁷⁾:

a	50	100	200
w	0,9138	0,9548	0,9730.

Verdünnungswärme. Durch Verdünnen einer Lösung von 1 Mol $\text{Zn}(\text{CH}_3\text{COO})_2$ in 50 H_2O mit m Mol H_2O werden bei 18° w cal entwickelt ⁵⁵⁸⁾:

m + 50	100	200	400
w	1189	2248	3134.

Die Neutralisation von $\text{Zn}(\text{OH})_2$ durch $2\text{CH}_3\text{COOH}$, beide in hoher Verdünnung, entwickelt 18026 cal. ⁵⁵⁹⁾

Die Brechungsexponenten für H_α , D , H_β betragen für die Lösung vom spez. Gewicht d:

t^0	d_{20}^0	n_α	n_D	n_β	A	B
22	1,0736	1,3478	1,3497	1,3544	1,3399	0,3432

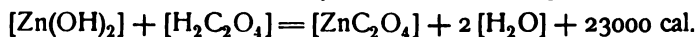
A und B bedeuten die Cauchyschen Konstanten. ⁵⁶⁰⁾

Zinkacetat löst sich gut in Aceton.⁵⁶¹⁾

Infolge der Schwäche der Essigsäure wird $\text{Zn}(\text{CH}_3\text{COO})_2$ wie auch Formiat durch H_2S quantitativ gefällt.

Zinkoxalat. Das Zinkoxalat, $\text{ZnC}_2\text{O}_4 = 153,4$, wird, als schwer lösliches Salz, aus neutraler oder schwach saurer Zn-Salzlösung durch Oxalate gefällt. Nach Analysen von Schindler und von Marchand^{561a)} kristallisiert es als Dihydrat. Das spez. Gewicht beträgt 2,572.^{561b)}

Die Bildungswärme des Anhydrids bei 15° beträgt nach Berthelot⁵⁶²⁾



Die Löslichkeit in Säuren hat ausführlich Ostwald studiert.⁵⁶³⁾ Bei t^0 sind in einer Säure von v Liter pro Äquivalent p Proz. derjenigen Menge $\text{Zn}(\text{COO})_2$ gelöst, die der vorhandenen Säuremenge äquivalent ist.

1. HNO_3

v	$t^0 =$	20	40	60	80	100
0,2	$p =$	3,67	5,06	6,73	8,91	—
0,4		4,82	6,87	9,18	12,11	—
0,6		5,14	7,25	9,92	13,18	—
0,8		5,34	7,50	10,25	13,81	—
1		5,43	7,63	10,53	13,92	18,43
2		5,67	7,98	11,03	14,78	19,12
4		5,95	8,40	11,62	15,59	20,15
8		6,46	9,17	12,37	16,49	21,64

2. HCl

v	$t^0 =$	20	40	60	80	100
0,4	$p =$	12,53	19,24	26,96	35,51	—
0,6		8,29	13,92	21,44	30,91	—
0,8		7,24	11,71	18,37	27,84	—
1		6,63	10,48	16,36	24,94	35,05
2		6,26	9,24	13,54	20,22	29,54
4		6,40	9,18	12,80	18,39	25,97
8		6,75	9,76	13,19	18,00	24,89

3. H_2SO_4

v	$t^0 =$	20	40	60	80	100
0,4	$p =$	3,19	4,20	5,51	7,19	—
0,8		3,70	4,76	6,19	7,95	—
1,2		3,89	5,03	6,38	8,18	—
1,6		3,97	5,13	6,56	8,43	—
2		4,02	5,21	6,64	8,51	10,90
4		4,41	5,60	7,08	9,08	11,48
8		4,93	6,23	7,75	9,82	12,43
16		5,72	7,27	9,01	11,15	13,71

Durch Zusatz einer der Säure äquivalenten resp. halbäquivalenten Menge eines ihrer Salze ändert sich p , wie folgende Tabellen zeigen.

1. $\text{HNO}_3 + \frac{1}{2} \text{MNO}_3$

$v =$	1	2	4	8
—	5,28	5,42	5,71	6,20
K	6,13	6,00	6,07	6,46
Na	5,72	5,76	5,95	6,37
NH_4	5,52	5,65	5,95	6,33
$\frac{1}{2} \text{Mg}$	5,29	5,62	5,96	6,45

2. $\text{HNO}_3 + \text{MNO}_3$

$v =$	1	2	4	8
—	5,27	5,40	5,68	6,16
K	6,88	6,39	6,37	6,69
Na	6,01	6,03	6,19	6,62
NH_4	5,82	5,82	6,09	6,45
$\frac{1}{2} \text{Mg}$	5,26	5,69	6,03	6,60

3. $\text{HCl} + \frac{1}{2} \text{MCl}$

$v =$	1	2	4	8
—	6,26	5,91	5,91	6,36
K	8,63	6,72	6,59	6,75
Na	8,03	6,53	6,33	6,70
NH_4	7,98	6,49	6,42	6,74
$\frac{1}{2} \text{Mg}$	7,38	6,30	6,43	6,51

4. $\text{HCl} + \text{MCl}$

$v =$	1	2	4	8
—	6,37	5,96	5,95	6,42
K	12,57	7,72	6,90	6,98
Na	10,70	7,23	6,79	7,03
NH_4	10,78	7,35	6,77	7,11
$\frac{1}{2} \text{Mg}$	9,11	6,78	6,69	6,96

Kunschert^{228a)} hat das Zinkoxalat in Lösungen von Alkalioxalaten untersucht. Die Löslichkeit beträgt bei 25° in z-molarem $(\text{NH}_4)_2(\text{COO})_2$ c Mol/Liter

z	c
0,25	0,0257
0,20	0,0174
0,15	0,01055
0,10	0,0055
0,05	0,0022

Aus den Messungen von Konzentrationsketten (vgl. $\text{Zn}(\text{OH})_2$) ergab sich: (z_1 und z_2 betreffen Kaliumoxalat)

z_1	z_2	c	π_1	π_2	$\frac{n}{m}$
0,4887	0,2385	0,00575	31,0	26,5	2,84
0,4919	0,1969	0,00404	44,5	37,7	2,76
0,2212	0,0962	0,0144	32,0	27,2	2,85
0,1106	0,0481	0,0072	29,5	24,3	2,34

m ist der Molarexponent des Zn in der Gleichung $C_{\text{Zn}}^m \cdot C_{\text{C}_2\text{O}_4}^n = k_1 \cdot C_{\text{Kompl.}}$ und ergibt sich, wenn man Konzentrationsketten mit beiderseits gleicher $\text{K}_2\text{C}_2\text{O}_4$ -Konzentration z, aber variablem Gehalte an Zinkkomplex (c_1 und c_2) mißt, nach folgender Tabelle:

z	c_1	c_2	π	m
0,25	0,00946	0,00473	11,0	0,87
0,25	0,00946	0,00189	20,1	1,00
0,125	0,00473	0,00236	8,5	1,02
0,125	0,00946	0,00189	18,5	1,10

m ist also nahe gleich 1. Hiernach nimmt Kunschert an, daß konzentrierte Lösungen den Komplex $\text{K}_4\text{Zn}(\text{C}_2\text{O}_4)_3$, verdünnte außerdem noch vielleicht $\text{K}_2\text{Zn}(\text{C}_2\text{O}_4)_2$ enthalten. Die oben erwähnten Löslichkeitsbestimmungen führen auf den Wert $n - m = 2$.

Weiter berechnet Kunschert $k_1 = \frac{C_{Zn} \cdot C^3 C_4 O_4}{C_{Zn(C_4 O_4)_3}} = 7,1 \cdot 10^{-9}$, und endlich ergibt sich aus den elektromotorischen Messungen, daß, da die Lösung mit Zn-Elektrode die Spannung $\pi = 1,006 - 0,029 \log \frac{C_{Zinksalz}}{C_{Oxalationen}}$ Volt gegen die Normalwasserstoffelektrode zeigt, die Lösung des Zinkalkalioxalats zur Zn-Abscheidung 0,236 Volt mehr erfordert als die gleichkonzentrierte Lösung des $ZnSO_4$.

Die Bildungswärme des komplexen Ions $Zn(C_2O_4)_3$ aus den Einzelionen beträgt 10900 cal.

Zinkoxalat löst sich in H_2O schwer. Die gesättigte Lösung des $ZnC_2O_4 \cdot 2H_2O$ zeigt bei 18° ein Leitvermögen von $8,0 \cdot 10^{-6}$.⁵⁶⁴⁾ Aus der für 25° geltenden Zahl berechnet Kunschert^{228a)} die Löslichkeit zu $7,7 \cdot 10^{-5}$ Mol pro Liter, aus elektromotorischen Messungen fand er $7 \cdot 10^{-5}$. Zu beachten ist, daß die Löslichkeit von unten rascher erreicht wird als von oben, daß also Übersättigung möglich ist.⁵⁶⁴⁾

Zink bildet mit Thioglykolsäure Salze und Doppelsalze, die sich in Alkali, Alkalicarbonat und auch in Ammoniak viel stärker lösen als in H_2O . Die Entdecker^{666a)} schließen daraus, daß das Zn hier komplex gebunden sei.

(Die Zusammenstellung der Zinkdoppelhaloide siehe nächste Seite.)

Zinkdoppelhaloide. Aus ZnF_2 und KF entstand in den Versuchen von R. Wagner⁵⁶⁵⁾ $KZnF_3$, während Poulenc⁵⁶⁶⁾ aus ZnF_2 und KHF_2 das schon von Berzelius entdeckte K_2ZnF_4 erhielt. Dieses kristallisiert quadratisch und entsteht sowohl aus der wässrigen Lösung wie aus der Schmelze. Es löst sich schwer in H_2O , beim Kochen mit HCl oder HNO_3 besser, fast gar nicht in Alkohol. Durch heißes H_2O wird ZnO abgeschieden, jedoch nicht quantitativ.

Analog dem K-Salze erhielt Wagner⁵⁶⁵⁾ $NaZnF_3$; das Ammonsalz $(NH_4)_2ZnF_4 \cdot 2H_2O$ dagegen durch Lösen von $Zn(OH)_2$ und NH_4F in konzentriertem NH_4OH . Nach Poulenc⁵⁶⁶⁾ entsteht dieses als Anhydrid im Schmelzflusse von $ZnCl_2$ oder ZnF_2 und NH_4F , ist leicht löslich in wässriger HCl, HNO_3 , HF und zerfällt bei 300° im CO_2 -Strome zu ZnF_2 und NH_4F .

Chloride. H. Die Existenz einer H-Zinkchlorwasserstoffsäure folgt aus Versuchen von Engel.⁵⁶⁷⁾ Wenn $ZnCl_2$ -Lösung mit HCl-Gas und Zn behandelt und dann auf 0° abgekühlt wird, so kristallisieren Rhomboeder von $HZn_2Cl_3 \cdot 2H_2O$ (I). Aus Lösung von 19,4 Proz. HCl und 55,8 Proz. $ZnCl_2$ fallen bei 0° lange Nadeln von $HZnCl_3 \cdot 2H_2O$. I ist für gewöhnlich beständiger. Bei 100° verliert es HCl und gibt festes $ZnCl_2$ und eine Flüssigkeit von 76,6 Proz. $ZnCl_2$, 4,9 Proz. HCl und 18,4 Proz. H_2O .

Die molare elektrische Leitfähigkeit einer Lösung von 1 $ZnCl_2$ in 32 l bei 25° beträgt $\Lambda = 177,5$, die von 1 $ZnCl_2 + HCl$ in 32 l $\Lambda' = 517,7$ ⁵⁶⁸⁾ (Siemenseinheiten).

K. Aus KCl und $ZnCl_2$ kristallisiert K_2ZnCl_4 ⁵⁶⁹⁾ in rhombischen Kristallen⁵⁷⁰⁾ vom spez. Gewichte 2,297⁵⁷¹⁾, deren spez. Wärme 0,152 beträgt.⁵⁷²⁾

In wässriger Lösung ist das Salz, wie seine nächsten Verwandten, schwach komplex. Bei der Dialyse gegen reines H_2O wandert KCl voraus.⁵⁷³⁾

Die Gefrierdepression beträgt nach Jones und Ota⁵⁷⁴⁾ für v Liter pro Mol K_2ZnCl_4 , ausgedrückt als molare Depression, G , mithin ist $i = G : 1,85$

Zinkdoppelhaloide. Es sind beschrieben:

	H	K	Na	NH ₄	Cs
F	?	K ₂ ZnF ₄ KZnF ₃	NaZnF ₃	(NH ₄) ₂ ZnF ₄ · 2H ₂ O	—
Cl	HZn ₂ Cl ₆ · 2H ₂ O HZnCl ₃ · 2H ₂ O	K ₂ ZnCl ₄	Na ₂ ZnCl ₄ · 3H ₂ O	(NH ₄) ₂ ZnCl ₄ (NH ₄) ₃ ZnCl ₅	Cs ₂ ZnCl ₄ Cs ₃ ZnCl ₅
Br	—	—	—	(NH ₄) ₂ ZnBr ₄ (NH ₄) ₃ ZnBr ₅	Cs ₂ ZnBr ₄ Cs ₃ ZnBr ₅
J	—	KZnI ₃	Na ₂ ZnI ₄ · 3H ₂ O	(NH ₄) ₂ ZnI ₄ NH ₄ ZnI ₃	Cs ₂ ZnI ₄ Cs ₂ ZnI ₅
Cy	—	K ₂ ZnCy ₄	2 NaZnCy ₃ · 5 H ₂ O NaZnCy ₃ · 8H ₂ O	—	—
CNS = Rh	—	K ₂ ZnRh ₄ · 3H ₂ O	—	—	Cs ₂ ZnRh ₄ · 2H ₂ O

	Rb	Ba	Sr	Ca	Mg	Ag, Tl, AgCs
F	—	—	—	—	—	—
Cl	Rb ₂ ZnCl ₄	BaZnCl ₄ · 4H ₂ O	—	—	MgZn · Cl ₄ · 6H ₂ O	—
Br	—	—	—	—	—	—
J	—	BaZn ₂ J ₆ BaZnCl ₄ · 2H ₂ O	—	—	—	—
Cy	—	—	Sr ₂ Zn ₃ Cy ₁₀ · H ₂ O	Ca ₂ Zn ₂ Cy ₈ · 7H ₂ O	—	—
CNS = Rh	—	—	—	—	—	—

Tl₂ZnCy₄
 CsAgZnRh₄ · H₂O
 Cs₂AgZnRh₅
 CsAg₃Zn₂Rh₈
 CsAg₄Zn₂Rh₉

v	2	4	8	16	32	64	128
G	12,12	12,05	12,27	12,49	13,00	13,10	13,12
i	6,55	6,51	6,63	6,75	7,03	7,08	7,10

es muß mithin schon in den konzentriertesten Lösungen der größte Teil dissoziiert sein, denn für totale Dissoziation nimmt i den Grenzwert 7 an. Diese Zahlen erscheinen aber doch etwas unsicher, um so mehr als über die befolgte Methode keine ausführliche Mitteilung gemacht wird. Sie entfernen sich auch ganz erheblich von den Leitfähigkeitsmessungen, welche bei 25^0 für v Liter pro Mol K_2ZnCl_4 folgende Werte der molaren Leitfähigkeit A_1 in rez. Ohm ergaben⁵⁷⁵), denen Zahlen von Mc Kay unter A_2 und die Summe der Einzelwerte von $ZnCl_2$ und $2KCl$ unter A' beigelegt sind.

v	A_1	A_2	A'
1	184,0	187,6	292,4
2	257,0	260,4	353,5
4	318,0	323,7	386,0
20	416,5	422,7	448,0
40	450,5	453,5	465,5
200	501,0	499,5	510
400	515,7	515,0	520
2000	544	537	541
4000	545	545	546
20000	552	546	563
40000	554	551	555

Es tritt also ein starker Rückgang in konzentrierter Lösung ein, und es ist zurzeit nicht entschieden, wieviel davon auf isohydrische Wirkung und wieviel auf Komplexbildung entfällt, auch ändert sich A weit mehr mit der Verdünnung als oben G.

Labendzinski⁵⁷⁶) fand die Potentiale der Kette $Zn | ZnCl_2 + KCl |$ Calomel-Normalelektrode für c Mol $\frac{1}{2} ZnCl_2$ und c' Mol KCl pro Liter zu π Volt.

c	c'	π
1	1	1,072
0,1	1	1,102
0,01	1	1,119
0,1	0,1	1,096
0,01	0,01	1,106

es sind mithin, wie ein Blick auf die entsprechende Tabelle für $c' = 0$ (Seite 328) zeigt, durch den Zusatz Zn^{++} -Ionen vermindert worden. —

Na. Das Na-Salz, $Na_2ZnCl_4 \cdot 3H_2O$, kristallisiert in kleinen hexagonalen Prismen, die etwas mehr hygroskopisch sind als das K-Salz und im Vakuum oder bei 100^0 alles H_2O verlieren.⁵⁷⁷) Die Gefrierdepression G und die molare Leitfähigkeit haben folgende Werte (vergl. K-Salz⁵⁷⁴)).

v	3,03	6,06	12,12	24,24	48,48
G	12,27	11,84	11,71	11,84	12,47
i	6,63	6,40	6,34	6,40	6,74

v	A	A'
1,14	153,4	292,3
2,28	224,0	332
3,02	255	327
6,04	304	353
12,08	342	366
24,16	372	410
48,32	400	427
96,6	417	442
193,3	441	466
773,1	475	483
1546	500	494

NH_4 . Für die Ammoniumzinkchloride sind mehrfach Formeln angegeben worden⁵⁷⁸⁾, welche den Tatsachen nicht entsprechen. Es sind bei Zimmertemperatur nur zwei Salze existenzfähig, $(\text{NH}_4)_2\text{ZnCl}_4$ und $(\text{NH}_4)_3\text{ZnCl}_5$, beide wasserfrei, wie Meerburg⁵⁷⁹⁾ auf Grund eingehender Studien über die Zusammensetzung koexistenter fester und flüssiger Phasen bei 0° , 20° und 30° nachgewiesen hat.

Es scheidet sich darnach aus der Lösung bei 30° zuerst NH_4Cl , mit steigendem ZnCl_2 -Gehalte $(\text{NH}_4)_3\text{ZnCl}_5$, dann dies zusammen mit dem anderen Doppelsalze, dann $(\text{NH}_4)_2\text{ZnCl}_4$ mit ZnCl_2 zugleich, zuletzt nur ZnCl_2 ab.

Bei 20° ist die Reihenfolge dieselbe, nur ist die letzte Stufe $(\text{NH}_4)_2\text{ZnCl}_4 + \text{ZnCl}_2$.

Bei 0° geht in gleicher Folge die Reihe nur bis NH_4ZnCl_4 allein, ohne ZnCl_2 .

$(\text{NH}_4)_2\text{ZnCl}_4$ wurde von Pierre⁵⁸⁰⁾ aus der Mischung der Komponenten dargestellt. Es schmilzt bei 150° ⁵⁸⁰⁾, hat das spez. Gewicht 1,879⁵⁸¹⁾ (1,72 bis 1,77 nach Bödeker⁵⁸²⁾, 1,77 nach Romanis⁵⁸³⁾) und kristallisiert nach Rammelsberg⁵⁸⁴⁾ und Marignac⁵⁸⁵⁾ im rhombischen System.

$(\text{NH}_4)_3\text{ZnCl}_5$ entdeckte Marignac⁵⁸⁵⁾ nach einem Verfahren, das durch die Resultate Meerburgs heute sofort jedem vorgeschrieben ist: durch fraktionierte Kristallisation.

Cs und Rb. Aus ZnCl_2 und CsCl erhielt Godeffroy⁵⁸⁶⁾ Cs_2ZnCl_4 , ein in H_2O sehr leicht, in konzentrierter HCl wenig lösliches Salz. Dasselbe erhielten Wells und Campbell⁵⁸⁷⁾, aus Lösungen, die mehr als 1 Zn auf 3 Cs enthielten, während monoklines Cs_3ZnCl_5 entstand, wenn $\text{Zn}:\text{Cs} = 1:3$ in der Lösung vorhanden war.

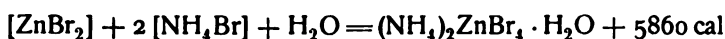
Rb_2ZnCl_4 ist auch von Godeffroy⁵⁸⁶⁾ gefunden worden.

Mg, Ba, Sr, Ca. Aus gemeinschaftlicher Lösung der Einzelsalze kristallisieren $\text{BaZnCl}_4 \cdot 4\text{H}_2\text{O}$ und $\text{MgZnCl}_4 \cdot 6\text{H}_2\text{O}$ ⁵⁸⁸⁾, zwei sehr hygroskopische Salze, die der Entdecker mit bekannten Salzen nach der Zerfließlichkeit in folgende (willkürliche) Skala ordnet:

CaCl_2	anhydr.	1,00
CaCl_2	krist. hydrat.	0,52
ZnCl_2	" "	1,00
BaZnCl_4	" "	0,40
MgZnCl_4	" "	0,59
MgCl_2	" "	0,42

Das spez. Gewicht von $\text{BaZnCl}_4 \cdot 4\text{H}_2\text{O}$ beträgt 2,845.⁵⁸⁸⁾

Bromide. NH_4 . Nach Bödeker⁵⁸⁹⁾ erhält man aus der Mischung von NH_4Br und ZnBr_2 große hygroskopische Kristalle von $(\text{NH}_4)_2\text{ZnBr}_4$, deren spez. Gewicht 2,625⁵⁸⁹⁾ und deren Lösungswärme in H_2O bei 5° —1800 cal beträgt⁵⁹⁰⁾, aus welcher Zahl die Bildungswärme



für das von André⁵⁹⁰⁾ angenommene Hydrat folgt.

Beim Versuche, dieses Salz darzustellen, bekamen Jones und Knight⁵⁹¹⁾ $(\text{NH}_4)_3\text{ZnBr}_5$, dessen molare elektrische Leitfähigkeit in rez. Ohm⁵⁹²⁾ bei 25° für v Liter pro Mol A beträgt, während A' der Summe der Einzelleitfähigkeiten gleichkommt.

v	A	A'
1,623	298	389
3,246	391	464
6,492	445	500
12,98	489	535
25,97	529	573
64,92	559	600
129,8	589	631
259,7	609	650
519,4	636	662
1039	662	679
2597	694	697
5194	720	715

Cs u. Rb. Analog den Chloriden bilden sich Cs_3ZnBr_5 und Cs_2ZnBr_4 .⁵⁹³⁾

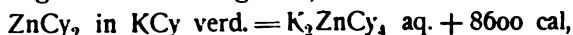
Jodide. Rammelsberg⁵⁹⁴⁾ erhielt KZnJ_3 , $\text{Na}_2\text{ZnJ}_4 \cdot 3\text{H}_2\text{O}$, das über H_2SO_4 verwittert, NH_4ZnJ_3 , $(\text{NH}_4)_2\text{ZnJ}_4$, BaZn_2J_6 .

Cs_3ZnJ_5 und Cs_2ZnJ_4 bilden sich nach Wells und Campbell⁵⁹⁵⁾ analog den Chloriden.

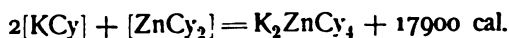
Die Lösung von ZnJ_2 (1,005 Äquiv Liter) in normalem KJ zeigt die elektromotorische Kraft 1,053 Volt gegen die Calomelnormalelektrode⁵⁹⁶⁾, mit KNO_3 statt KJ 1,0514 Volt.

Zinkdoppelyanide. K. Das von L. Gmelin entdeckte Kaliumzinkcyanid hat nach Rammelsberg⁵⁹⁷⁾ die Zusammensetzung K_2ZnCy_4 und bildet reguläre Oktaeder⁵⁹⁸⁾, deren spez. Wärme 0,100 beträgt⁵⁹⁹⁾

Die Lösungswärmen betragen⁶⁰⁰⁾



mithin die Bildungswärme⁶⁰⁰⁾



Die Lösungswärmen des K_2ZnCy_4 in Säuren sind gleichfalls gemessen worden.⁶⁰⁰⁾

In H_2O löst sich K_2ZnCy_4 gut, auf 100 g H_2O sind in gesättigter Lösung bei 20° 11 g Salz enthalten (Sharwood⁵⁹⁵⁾). Alkohol löst es wenig, die H_2O -Lösung neigt zur Übersättigung.

K_2ZnCy_4 ist ein ganz unzweifelhaftes Komplexsalz; daß es in Lösung, nicht in Gestalt der Einzelsalze resp. Ionen enthalten ist, folgt schon aus den Löslichkeitsverhältnissen.

ZnO löst sich gut in KCy, ebenso ZnCy_2 . Ferner wird K_2ZnCy_4 -Lösung durch $(\text{NH}_4)_2\text{S}$ nur unvollkommen⁶⁰¹⁾, vollständig nur durch K_2S oder Na_2S gefällt, ZnS dagegen löst sich in KCy.⁶⁰²⁾

Es liegen jedoch auch quantitative Beweise vor. So bestimmte H. Euler⁶⁰³⁾ aus der Messung von Konzentrationsketten die Komplexkonstante im Mittel zu

$$k = \frac{C_{\text{Zn}} \cdot C_{\text{Cy}}^4}{C_{\text{ZnCy}_4}} = 1,3 \cdot 10^{-17}.$$

Kunschert^{228a)} konnte keine sicheren Messungen mit Zn-Elektroden in Kaliumzinkcyanidlösung erhalten und benutzte darum Ketten zweiter Art, die nach dem Schema Ag-Kaliumsilbercyanid mit resp. ohne Kaliumzinkcyanid-Ag, zusammengesetzt waren. Nach seiner Überlegung folgt aus einer Abhängigkeit der Spannung dieser Kette von der Zinksalzkonzentration, daß in einer 0,0487 molaren Lösung des K_2ZnCy_4 7 Proz. Salz in KZnCy_3 und KCy gespalten sind. Wenn auch dieses Ergebnis an sich qualitativ nichts Unwahrscheinliches hat, ist es doch quantitativ nicht ganz sicher, da eine Abhängigkeit auch möglich ist, wenn das K_2ZnCy_4 überhaupt nicht durch seine Cy-Ionen wirkt. Denn die Cy-Ionenkonzentration des Ag-Salzes wird auch, was Kunschert nicht berücksichtigt, von der in der Lösung vorhandenen Menge der K-Ionen abhängen. Zu einer quantitativen Entscheidung kann man leicht kommen, wenn man dem Silbersalze ein K-Salz beimischt, das keine Cy-Ionen abspaltet.

An analog mit Hg und Hg-Salz statt Ag und Ag-Salz aufgebauten Ketten fand Kunschert ähnliche Ergebnisse.

Aus Ketten erster Art berechnet Kunschert die Formel $\pi_1 = 1,287 - 0,029 \log \frac{C_{\text{Zinkkomplexsalz}}}{C_{\text{Cy}}^4}$ Volt resp. $\pi_2 = 1,320 - 0,029 \log \frac{C_{\text{Zinkkomplexsalz}}}{C_{\text{Cy}}^4}$ Volt für die Spannung gegen die Normalwasserstoffelektrode. Die Gleichgewichtskonstante ist $k = \frac{C_{\text{ZnCy}_4}}{C_{\text{Cy}}^4 \cdot C_{\text{Zn}}} = 3,3 \cdot 10^{-17}$, daraus folgt die molare Bildungswärme des Komplexions 23300 cal.

E. Rieger⁶⁰⁴⁾ untersuchte die Überführungsverhältnisse, ohne aber die Überföhrungszahl quantitativ berechnen zu können.

Die äquivalente elektrische Leitfähigkeit Λ bei 25° bestimmte Walden⁶⁰⁵⁾ für v Liter pro Mol $\frac{1}{2} \text{K}_2\text{ZnCy}_4$ in rez. Ohm zu

v	Λ	γ
32	125,3	0,88
64	129,3	0,90
128	132,9	0,93
256	136,0	0,95
512	138,3	0,97
1024	141,1	0,99

Extrapoliert man $\Lambda_0 = 143,0$, so wird $\gamma = \frac{\Lambda}{\Lambda_0}$, die Beweglichkeit für $\frac{1}{2} \text{ZnCy}_4$ $v_{25^\circ} = 143,0 - 74,0 = 69,0$ und der Grenzwert der Überföhrungszahl $n_A = \frac{69,0}{143,0} = 0,48$. (Der Berechnung liegt das Dissoziationsschema $\text{K}_2\text{ZnCy}_4 \rightleftharpoons 2 \text{K}^+ + \text{ZnCy}_4^{2-}$ zugrunde.)

Das Ion ZnCy_4^{--} ist ziemlich schwach komplex und die Lösung des K_2ZnCy_4 zeigt darum infolge von Hydrolyse schwach alkalische Reaktion (Walden).

Wegen der sehr geringen aktuellen und großen potentiellen Zn^{++} -Ionenkonzentration kann das Salz mit Vorteil zur elektrolytischen Zn-Abscheidung benutzt werden.

Na. $2\text{NaZnCy}_3 \cdot 5 \text{H}_2\text{O}$ fand Rammelsberg⁶⁰⁶⁾, und diese Zusammensetzung wurde neuerdings bestätigt durch Loebe⁶⁰⁷⁾ und Sharwood.⁶⁰⁸⁾ Das Salz wird aus der Lösung beider Komponenten in rhombischen Kristallen erhalten, die bei Erwärmen schmelzen, bei 200° wasserfrei werden und sich in H_2O und $\text{C}_2\text{H}_5\text{OH}$ leicht lösen. Die Tendenz zur Komplexsalzbildung scheint also beim Na-Salze, da sie nur bis zur Bildung des Salzes mit 3 Cy führt, geringer zu sein als beim K-Salze.

Aus stark übersättigter Lösung bei tiefer Temperatur erhielt Loebe⁶⁰⁷⁾ noch $\text{NaZnCy}_3 \cdot 8\text{H}_2\text{O}$, in regulären Kristallen.

Tl. Tl_2ZnCy_4 beschreibt Fronmüller⁶⁰⁹⁾ als reguläre Kristalle, von denen 100 g H_2O bei 31° 29,6, bei 14° 15,2, bei 0° 8,7 lösen. Ein Li-Salz konnte Loebe⁶⁰⁷⁾ nicht erhalten.

Ba. Farblose große Kristalle von $\text{BaZnCy}_4 \cdot 2\text{H}_2\text{O}$, die nicht luftbeständig sind, erhielt Weselsky.⁶¹⁰⁾ Nach Loebe⁶¹¹⁾ entsteht dieses Salz aus ZnCy_2 und BaCO_3 mit wenig H_2O durch Einleiten von HCN . Es löst sich gut in H_2O und bildet mit CO_2 BaCO_3 .

Sr. Loebe⁶¹¹⁾ erhielt in langen dünnen Nadeln $\text{Sr}_2\text{Zn}_3\text{Cy}_{10} \cdot \text{H}_2\text{O}$, ein in H_2O und Alkohol gut lösliches Salz, das beständiger ist als $\text{BaZnCy}_4 \cdot 2\text{H}_2\text{O}$, jedoch mit CO_2 allmählich auch SrCO_3 gibt.

Ca. Ein äußerst leicht lösliches Salz erhielt Loebe⁶¹¹⁾ als rhombische oder monokline Kristalle der Zusammensetzung $\text{Ca}_2\text{Zn}_2\text{Cy}_8 \cdot 7\text{H}_2\text{O}$. Dasselbe Salz wird aus seiner alkoholischen Lösung durch Äther gefällt.

Bei der „Zersetzung“ durch CO_2 handelt es sich jedenfalls um eine partielle Bildung von undissoziiertem HCy aus den H^+ -Ionen der Kohlensäure, wobei CO_3^{--} -Ionen entstehen und zur Ausfällung der schwer löslichen Erdalkalicarbonate Anlaß geben. Beim Einleiten von CO_2 wird dessen Wirksamkeit vermutlich noch dadurch erhöht, daß es die flüchtige HCy fortspült, die sich dann immer wieder zur Neuherstellung des Gleichgewichts nachbilden muß.

Zinkdoppelrhodanide. K. Walden⁶¹²⁾ erhielt $\text{K}_2\text{Zn}(\text{CNS})_4 \cdot 3\text{H}_2\text{O}$ in farblosen Nadeln, die sich in Alkohol lösen.

Cs, Ag. Aus den Salzen von Cs und Zn erhielt Wells⁶¹³⁾ $\text{Cs}_2\text{Zn}(\text{CNS})_4 \cdot 2\text{H}_2\text{O}$ in farblosen Kristallen.

Verbindungen mit Cs und Ag sind wie folgt beschrieben⁶¹³⁾ worden.

$\text{CsAgZn}(\text{CNS})_4 \cdot \text{H}_2\text{O}$, aus 11 g CsCNS + 43 g $\text{Zn}(\text{CNS})_2$ + 1,25 AgCNS in 100 ccm.

$\text{Cs}_2\text{AgZn}(\text{CNS})_5$ in weißen Nadeln aus 46 g CsCNS + 5,4 g $\text{Zn}(\text{CNS})_2$ + 2,5 g AgCNS in 125 ccm.

$\text{CsAg}_3\text{Zn}_2(\text{CNS})_8$ aus 138 g CsCNS + 21,5 $\text{Zn}(\text{CNS})_2$ + AgCNS (gesättigt).

$\text{CsAg}_4\text{Zn}_2(\text{CNS})_9$.

Der Nachweis, daß es sich nicht um Mischkristalle handelt, ist nicht sicher geführt.

Hg. Mit Hg bildet sich eine wohlcharakterisierte Doppelverbindung $\text{HgZn}(\text{CNS})_4$ ⁶¹⁴⁾ von so geringer Löslichkeit, daß man Zn-Salze mit $\text{Hg}(\text{CNS})_2$ fällen und den Rest des Rhodanids mit Ag scharf titrieren kann.⁶¹⁵⁾

Zinkdoppelsulfate, Sulfite, Selenate.

Beschrieben sind, abgesehen von komplizierteren Salzen,

	K	Na	NH ₄	Mg
SO ₄	K ₂ Zn(SO ₄) ₂ · 6H ₂ O K ₂ Zn ₂ (SO ₄) ₃	Na ₂ Zn(SO ₄) ₂ · 6H ₂ O Na ₂ Zn(SO ₄) ₂ · 4H ₂ O	(NH ₄) ₂ Zn(SO ₄) ₂ · 6H ₂ O	ZnMg(SO ₄) ₂ · 14H ₂ O ZnMg ₂ (SO ₄) ₃ · 21H ₂ O
SO ₃	K ₂ Zn ₃ (SO ₃) ₄ · 7,5H ₂ O	Na ₂ Zn ₃ (SO ₃) ₄ · 7,5H ₂ O	(NH ₄) ₄ Zn(SO ₃) ₂	—
SeO ₄	K ₂ Zn(SeO ₄) ₂ · 6H ₂ O K ₂ ZnSeO ₄ · 2H ₂ O K ₂ ZnSO ₄ SeO ₄ · 6H ₂ O	—	(NH ₄) ₂ Zn(SeO ₄) ₂ · 6H ₂ O	Rb Rb ₂ Zn(SeO ₄) ₂ · 6H ₂ O
SeO ₃	—	—	—	—
	Fe	Ni	Mn	Cu
SO ₄	ZnFe(SO ₄) ₂ · 14H ₂ O	ZnNi(SO ₄) ₂ · 13H ₂ O	ZnMn(SO ₄) ₂ · 10H ₂ O ZnMn(SO ₄) ₂ · 14H ₂ O dimorph.	Mischkristalle. Als Mineral Zn ₃ Cu(SO ₄) ₄ · 28H ₂ O
SO ₃	—	—	—	—
	Cs	H		
SeO ₄	Cs ₂ Zn(SO ₄) ₂ · 6H ₂ O	—		CuZn ₃ (SO ₄) ₃ SeO ₄ · 28H ₂ O
SeO ₃	—	H ₂ Zn(SeO ₃) ₂ · 2H ₂ O H ₆ Zn(SeO ₃) ₄	—	—

Zinkdoppelsulfate. H. Ein saures Sulfat $\text{H}_2\text{Zn}(\text{SO}_4)_2 \cdot 8\text{H}_2\text{O}$ v. Kobell^{615a)} gefunden. Es ist luftbeständig, kristallisiert monoklin $a:b:c = 0,3606:1:1,4550$, wenig in kaltem, gut in heißem H_2O löslich, verliert beim Erhitzen H_2SO_4 und H_2O . Die Doppelsulfate des Zinkes und der Alkalimetallen bieten eine für stöchiometrische Studien vorzüglich geeignete Reihe. Es mögen daher aus den speziellen Mitteilungen über die Eigenschaften dieser Salze die Ergebnisse einiger Untersuchungen herausgehoben werden, gerade auf diesen Punkt gerichtet sind.⁶¹⁶⁾

Tutton beschäftigte sich mit der Kristallographie der Salze des Zinkes und Cs, die alle drei dem monoklinen System angehören.

Achsenverhältnisse und Winkel

	a :	b :	c	β
$\text{K}_2\text{Zn}(\text{SO}_4)_2 \cdot 6\text{H}_2\text{O}$	0,7413	1	0,5044	$75^\circ 12'$
$\text{Rb}_2\text{Zn}(\text{SO}_4)_2 \cdot 6\text{H}_2\text{O}$	0,7373	1	0,5011	$74^\circ 7'$
$\text{Cs}_2\text{Zn}(\text{SO}_4)_2 \cdot 6\text{H}_2\text{O}$	0,7274	1	0,4960	$72^\circ 59'$
$(\text{NH}_4)_2\text{Zn}(\text{SO}_4)_2 \cdot 6\text{H}_2\text{O}$	0,7375	1	0,5009 ⁶¹⁷⁾	
$(\text{NH}_4)_2\text{Zn}(\text{SO}_4)_2 \cdot 6\text{H}_2\text{O}$	0,7352	1	0,4996	$73^\circ 16'$

Der mittlere Brechungsexponent für das Vakuum beträgt

$$\begin{aligned} \text{K} & \quad 1,4690 + \frac{609571}{\lambda^2} - \frac{34447 \cdot 10^8}{\lambda^4} \dots \\ \text{Rb} & \quad 1,4742 + \frac{602511}{\lambda^2} - \frac{33236 \cdot 10^8}{\lambda^4} \\ \text{Cs} & \quad 1,4914 + \frac{539594}{\lambda^2} - \frac{2103 \cdot 10^9}{\lambda^4} \end{aligned}$$

Auch hier bleibt die Reihenfolge immer die gleiche, und dies wiederholt sich bei den anderen gemessenen (resp. berechneten) Kristallkonstanten (optischen Achsen, topischen Achsen, Achsenwinkeln etc.). Die Refraktionsverhältnisse nach Tutton geben folgende Tabellen, in denen n die Brechungsindizes für die Linien Li, Ha, Na, Tl, H β und H γ nach den Achsen a , b , c des optischen Geschwindigkeitsellipsoids, $\frac{n^2-1}{n^2+2} \frac{1}{d} = n$ die spezifische, $m = n^2$ die molare Refraktion bedeuten.

K						
	a		b		c	
	Tutton	Perrot	Tutton	Perrot	Tutton	P
Li	$n = 1,4748$	—	1,4805	—	1,4938	
Ha	52	1,4749	09	1,4811	42	1,
Na	75	75	33	36	69	
Tl	97	—	57	—	94	
H β	1,4826	1,4826	89	88	1,5027	1,
H γ	66	—	1,4929	—	67	

Rb						
	a		b		c	
	Tutton	Perrot	Tutton	Perrot	Tutton	P
Li	$n = 1,4807$	—	1,4856	—	1,4949	
Ha	11	1,4806	60	1,4859	51	1,

	a		Rb		c	
	Tutton	Perrot	Tutton	Perrot	Tutton	Perrot
Na	33	33	84	82	75	75
Tl	57	—	1,4908	—	1,5001	—
H β	86	83	38	1,4942	33	1,5030
H γ	1,4929	—	80	—	38	—

	a		Cs		c	
	Tutton	Perrot	Tutton	Perrot	Tutton	Perrot
Li	n = 1,4994	—	1,5020	—	1,5064	—
H α	98	1,4997	24	1,5025	68	1,5070
Na	1,5022	1,5020	48	49	93	95
Tl	47	—	73	—	1,5119	—
H β	79	80	1,5104	1,5107	52	1,5152
H γ	1,5125	—	51	—	99	—

		K		c	
		a	b		
n	H α	0,1258	0,1271	0,1301	
	H γ	0,1283	0,1295	0,1328	
m	H α	55,72	56,29	57,61	
	H γ	56,86	57,48	58,84	
n _{Hγ} — n _{Hα}		0,0025	0,0027	0,0027	
m _{Hγ} — m _{Hα}		1,14	1,19	1,23	
n — 1 d . M H α		94,02	95,14	97,77	

		Rb		c	
		a	b		
n	H α	0,1102	0,1112	0,1130	
	H γ	0,1125	0,1135	0,1154	
m	H α	59,02	59,53	60,48	
	H γ	60,25	60,78	61,79	
n _{Hγ} — n _{Hα}		0,0023	0,0023	0,0024	
m _{Hγ} — m _{Hα}		1,23	1,25	1,31	
n — 1 d . M H α		99,77	100,78	102,67	

		Cs		c	
		a	b		
n	H α	0,1026	0,1031	0,1038	
	H γ	0,1048	0,1053	0,1061	
m	H α	64,69	64,98	65,46	
	H γ	66,08	66,36	66,88	
n _{Hγ} — n _{Hα}		0,0022	0,0022	0,0023	
m _{Hγ} — m _{Hα}		1,39	1,38	1,42	
n — 1 d . M H α		109,98	110,56	111,52	

Perrot gibt folgende Übersicht über die drei Indices für α, β, γ für die Linien A B C etc. bei t^0 und dem spez. Gewichte d_t .

		A	B	C	D	b	F	G	t^0	d_t
$K_2Zn(SO_4)_2 \cdot 6H_2O$	α	1,49204	1,49323	1,49402	1,49667	1,50038	1,50237	1,50728	15°	2,245
	β	1,47939	1,48025	1,48114	1,48360	1,48601	1,4880	1,49369		
	γ	1,47350	1,47439	1,47481	1,47749	1,48002	1,48256	1,48675		
$Rb_2Zn(SO_4)_2 \cdot 6H_2O$	α	—	1,49417	1,49449	1,49755	1,50119	1,50301	1,50772	20—25°	2,59
	β	1,48446	1,48535	1,48591	1,48822	1,49101	1,49425	1,49930		
	γ	1,47950	1,48043	1,48061	1,48326	1,48644	1,48827	1,49191		
$Cs_2Zn(SO_4)_2 \cdot 6H_2O$	α	1,50517	1,50614	1,50702	1,50954	1,51340	1,51545	1,52031	20°	2,88
	β	1,50078	1,50169	1,50255	1,50496	1,50869	1,51070	1,51487		
	γ	1,49845	1,49889	1,49966	1,50203	1,50589	1,50803	1,51263		
$(NH_4)_2Zn(SO_4)_2 \cdot 6H_2O$	α	1,49568	1,49623	1,49715	1,49958	1,50350	1,50560	1,51035	18°	1,931
	β	1,48885	1,48974	1,49040	1,49342	1,49722	1,49930	1,50411		
	γ	1,48537	1,48578	1,48616	1,48897	1,49265	1,49460	1,49874		
$Tl_2Zn(SO_4)_2 \cdot 6H_2O$	α	1,60896	1,61083	1,61210	1,61711	1,62498	1,62909	—	18°	3,7?
	β	1,60177	1,60315	1,60458	1,60941	1,61678	1,62040	—		
	γ	1,58624	1,58769	1,58950	1,59341	1,59999	1,60374	1,6125		

K. Das Kaliumzinksulfat, $K_2Zn(SO_4)_2 \cdot 6H_2O$, wurde von Graham⁶¹⁹) entdeckt. Seine kristallographischen Daten enthält die obige Tabelle. — Das spez. Gewicht beträgt $d_4^{20^\circ} = 2,2413$ im kristallisierten⁶²⁰), 2,946 im geschmolzenen Zustande (Anhydrid⁶²¹)), der kubische Ausdehnungskoeffizient zwischen 0° und 100° $8,24 \cdot 10^{-3}$ (Joule und Playfair⁶²⁰), vgl. auch Tutton⁶²⁰)), die spez. Wärme 0,270 nach Kopp.⁶²²)

Das Salz verliert sein Kristallwasser nach Pierre⁶¹⁹) bei 180°, nach Graham⁶¹⁹) bei 120°, und über H_2SO_4 im Vakuum bei 25° 5 aq.

Mallet⁶²³) erhielt $K_2Zn_2(SO_4)_3$ ein Salz, das an der Luft 13 H_2O aufnimmt.

Die Löslichkeit des $K_2Zn(SO_4)_2$ in H_2O , die nach Pierre⁶¹⁹) stark mit der Temperatur steigt, ist nicht sehr genau bestimmt, die folgenden Daten nach Tobler⁶²⁴) bedeuten die bei t^0 in 100 g H_2O gelösten Gramme a des wasserfreien Salzes.

t	0	10	15	25	36	45	50	58	65	70
a	12,6	18,7	22,5	28,8	39,9	51,2	54,0	67,6	81,3	87,9

Nach Locke^{624a}) löste sich bei 25° 131,9 g $K_2Zn(SO_4)_2$ in 1 l H_2O .

Die Gefrierdepression bestimmte Raoult⁶²⁵), doch dürfte sein Resultat, das die normale Depression ergibt, bedeutend fehlerhaft sein. Die kryohydratische Temperatur liegt bei $-1,0^\circ$ und dem Gehalte von 0,887 g $K_2Zn(SO_4)_2$ in 1 g Lösung.⁶²⁶)

Auch die elektrische Leitfähigkeit ist kaum untersucht. Wenn p Gramm $K_2Zn(SO_4)_2 \cdot 6H_2O$ in 100 g Lösung vorhanden sind, so beträgt die spez. Leitfähigkeit bei 18° l in rez. Ohm und das spez. Gewicht d_{18}^{627}), und daraus folgt die Anzahl c Mol K_2ZnSO_4 pro Liter und die molare Leitfähigkeit Λ , während der Summe der Komponenten Λ^1 entspricht.

p	d ₁₈	l	c	A	A'	$\frac{A}{A'}$
13,0	1,0872	543.10 ⁻⁴	0,318	167,5.10 ⁻³	239.10 ⁻³	0,700
9,1	1,0613	411.10 ⁻⁸	0,222	185,1.10 ⁻³	255.10 ⁻³	0,726

Der Temperaturkoeffizient ist 0,022.

Die molare Refraktion ist $R = (n-1) \frac{M}{d}$ für die Strahlen H α , D und H β bei Lösungen von a g K₂Zn(SO₄)₂ in 100 g Lösung.⁶²⁸⁾

a	H α	D	H β
11,94	95,77	95,94	98,08
8,41	95,95	96,03	98,01

Oberflächenspannung. Die scheinbare (a²) und wahre (α) Kohäsion einer Lösung von c Gramm K₂Zn(SO₄)₂ · 6H₂O in 100 ccm und dem spez. Gewicht d₁₅ beträgt⁶²⁹⁾ bei 15°

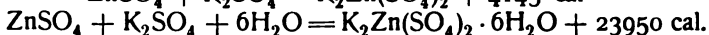
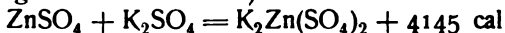
c	d ₁₅	a ²	α
10	1,0678	14,012	7,481

Lösungswärme. Wenn 1 Mol Salz in 600 Mol H₂O gelöst wird, so entwickeln sich bei 18° w cal.

	w	w'	Diff. w'
K ₂ Zn(SO ₄) ₂	+ 7909	—	
" H ₂ O	+ 4055	3854	3854
" 2H ₂ O	+ 446	7463	3609
" 3H ₂ O	— 263	10543	3080
" 4H ₂ O	— 5010	12910	2376
" 5H ₂ O	— 9176	17085	4166
" 6H ₂ O	— 11900	19809	2724

so daß w' der Reaktion $[K_2Zn(SO_4)_2] + x[H_2O] = [K_2Zn(SO_4)_2 \cdot xH_2O]$ entspricht.⁶³⁰⁾

Die Bildungswärmen sind⁶³⁰⁾ bei 18°



Na. Das Natriumsalz, Na₂Zn(SO₄)₂ · 4H₂O, erhielt Graham⁶³¹⁾ aus ZnSO₄ und NaHSO₄, während das neutrale Na-Salz nicht dargestellt werden konnte. Dies gelang jedoch Bucholz.⁶³²⁾ Dagegen kristallisiert Na₂Zn(SO₄)₂ · 6H₂O aus äquivalenten Lösungen von ZnSO₄ und NaCl oberhalb 10°, bei 0° aber Na₂SO₄.⁶³³⁾ Unter seiner Lösung kann es bei — 18° nicht gesehen werden, weil die Brechungsindizes gleich sind.⁶³⁴⁾

NH₄. Das Ammonsalz, (NH₄)₂Zn(SO₄)₂ · 6H₂O, ist dem K-Salz nahe verwandt. Es kann aus den Einzelsalzen erhalten werden und wurde so von Pierre⁶¹⁹⁾ und anderen dargestellt, nach Tröger und Ewers^{635a)} und André^{635b)} kristallisiert es aber auch aus einer Lösung von Zn(OH)₂ in wässrigem (NH₄)₂SO₄. Das Salz hat 6H₂O, nur Pierre schreibt ihm wie dem K-Salze 7 zu.

Sein spezifisches Gewicht beträgt 1,910 nach Schiff⁶²⁰⁾, 1,922 nach Schröder⁶²¹⁾, das des Anhydrids fand Schröder⁶²¹⁾ zu 2,29.

Die Löslichkeit des (NH₄)₂Zn(SO₄)₂ beträgt (vergl. K-Salz) nach Tobler⁶²⁴⁾:

t°	0	10	13	15	20	30	45	60	75	85
a	7,3	8,8	10,0	12,5	12,6	16,5	21,7	29,7	37,8	46,2.

1 l H₂O löst bei 25° 140,8 g (WH₄)₂Zn(SO₄)₂ (Locke^{624a)}).

In Lösung zeigt es sich als echtes Doppelsalz von geringem Komplexgrade; denn seine Gefrierdepression ⁶³⁶⁾ beträgt für β Mol $(\text{NH}_4)_2 \text{Zn}(\text{SO}_4)_2$ in 1000 g H_2O Δ^0

β	Δ	$\Delta/1,85^\circ$	i
0,196	1,092	0,59	3,0
0,0991	0,61	0,33	3,33
0,0439	0,307	0,166	3,8
(0,0)	—	—	(5)

Die daraus zu berechnenden i-Werte zeigen deutliche Annäherung mit der Verdünnung an den für 5 Ionen charakteristischen Wert $i=5$ und übersteigen schon in höheren Konzentrationen den i-Wert $i=3$, der dem rein komplexen Salz zukäme, in dem pro Mol nur ein Anion $\text{Zn}(\text{SO}_4)_2^{--}$ sein würde.

Die Refraktion der Lösung wurde von Gladstone und Hibbert wie beim K-Salze bestimmt.

a	H_a	D	H_β
11,86	102,47	103,10	104,23
6,13	102,26	103,46	104,23.

Das Ammonzinksulfat hat in der Praxis der Galvanostegie Anwendung gefunden, da sich aus seiner Lösung Zn besser als aus der des ZnSO_4 abscheidet.

Für die Doppelsalze des Rb, Cs und Tl hat Locke ^{624a)} die Löslichkeit bestimmt (vgl. K Salz). Er fand für Rb 101, für Cs 386,3, für Tl 86.

Diejenigen Zinkdoppelsulfate, welche hier noch Erwähnung finden müssen, gehören, da Ba, Ca, Sr ausscheiden, zur Gruppe der gemischten Vitriole und enthalten außer Zn noch Mg, Fe, Ni, Co, Mn, Be, denen sich noch, etwas außer der Reihe stehend, Cu anschließt.

Infolge ihrer hochgradigen Isomorphie sind die echten Vitriole sehr gut miteinander mischbar und es existieren daher zahlreiche Angaben über Mischkristalle von bestimmten rationalen Molarverhältnissen, die nicht immer ganz einwandfrei dastehen.

Mg. Von Magnesiumdoppelsalzen sind viele ⁶³⁷⁾ angegeben worden, doch dürfen als Individuen nach einer Untersuchung von Hollmann ⁶³⁸⁾ nur $\text{ZnMg}(\text{SO}_4)_2 \cdot 14 \text{H}_2\text{O}$ mit dem spez. Gewicht ⁶³⁹⁾ 1,817 und $\text{ZnMg}_2(\text{SO}_4)_3 \cdot 21 \text{H}_2\text{O}$ gelten, während die anderen Gemische sind. Die Dampfdrucke bei 20° betragen für a Molarprozent Zn, welche in den Kristallen vorhanden sind, p mm Hg ⁶⁴⁰⁾

a	0,0	9,9	18,4	28,0	34,0	36,5	45,5
p	8,0	7,8	7,7	8,2	8,7	8,3	8,7
a	51,2	56,0	68,3	76,4	88,8	10,0	
p	9,8	9,6	9,4	9,5	9,9	10,5	

Die ausgezeichnete Mischbarkeit der Sulfate des Zn und Mg zeigt sich deutlich an der folgenden Tabelle, welche unter b die Molarprocente Mg-Salz, unter A den gemessenen, unter A' den nach der Mischungsregel berechneten äußeren Winkel der optischen Achsen enthält ⁶⁴¹⁾

a	100	80,8	75,5	42,75	40,95	29,8	0
A	78°18'	76°55'30"	76°36'	74°15'	74°9'	73°16'	70°57'
A'	—	76°58'	76°37'	74°16'	74°8'40"	73°17'20"	—

Die kryohydratische Temperatur der Lösungen hängt natürlich wegen der Isomorphie der Salze von der Zusammensetzung der Flüssigkeit und der

festen Phase ab. So liegt diese Temperatur nach Bruni⁶⁴²⁾ bei einem Gehalte der flüssigen Phase von a Molarprozent MgSO_4 bei

a	100	69,5	58,8	37,5	19,6	0
t°	-5,2	-5,5	-5,5	-6,0	-6,2	-6,4.

Die bezüglich $\text{ZnMg}(\text{SO}_4)_2 \cdot 14\text{H}_2\text{O}$ bei 18° — 20° gesättigte Lösung enthält 35,36 g Gesamtsalz in 100 g.⁶⁴³⁾

Fe. Auch hier liegen mannigfache Untersuchungen vor.^{643a)} Graulich⁶⁴⁴⁾ gibt für $\text{ZnFe}(\text{SO}_4)_2 \cdot 14\text{H}_2\text{O}$ die Achsenverhältnisse

$$1,1711 : 1 : 1,5339, \beta = 103^\circ 55'$$

an. Die Isomorphie ist weniger vollkommen als bei Mg, und die Mischungsreihe zeigt eine Lücke, es fehlt das Gebiet von 25,11 bis 10,87 Molarprozent Fe-Salz.⁶⁴⁵⁾

Die Kristalle von 0 bis 10,87 % Fe gehören nach Retgers⁶⁴⁵⁾ zum rhombischen System.

Lösungswärmen dieser Gemische bestimmte Sommerfeldt.⁶⁴⁶⁾

Co. Am Cobaltzinksulfat wurde die Beobachtung gemacht, daß es im magnetischen Felde in der Richtung der Kraftlinien kristallisiert.⁶⁴⁷⁾

Ni. Das Salz $\text{NiZn}(\text{SO}_4)_2 \cdot 13\text{H}_2\text{O}$ erhielt Pierre⁶⁴⁸⁾, Lecocq de Boisbaudran⁶⁴⁹⁾ erhielt verschiedene Salze: ein triklines mit 12 (I), ein triklines mit 14 (II), ein quadratisches mit 12 (III) und ein rhombisches mit 14 H_2O (IV), sehr leicht entsteht das zweite. Alle diese kristallisierten aus äquivalenten Gemischen der Komponenten. Eine Lösung von 1 Ni auf 2,5 Zn gab bei 13° — 15° erst I, dann II, III, IV.

Mn. Ältere Untersuchungen⁶⁵⁰⁾ haben nicht viel positive Ergebnisse geschaffen. Hollmann⁶⁵¹⁾ erhielt 3 Salze; ein triklines $\text{ZnMn}(\text{SO}_4)_2 \cdot 10\text{H}_2\text{O}$ (I), ein monoklines $\text{ZnMn}(\text{SO}_4)_2 \cdot 14\text{H}_2\text{O}$ (II) und ein rhombisches $\text{ZnMn}(\text{SO}_4)_2 \cdot 14\text{H}_2\text{O}$ (III), deren Dampfdrucke bei 20° für a Molarprozent Zn p mm Hg betragen

I		II		III	
a	p	a	p	a	p
0,0	13,4	29,8	12,7	76,0	10,3
4,2	13,1	32,8	12,4	83,7	10,2
9,6	12,6	41,7	11,9	89,4	10,2
		53,5	11,6	94,8	10,3
		63,6	11,3	98,1	10,4
				100,0	10,5

Nach Klatzo^{651a)} existiert ein monoklines Berylliumdoppelsalz.

Cu. Da die Mischkristalle von Zn- und Cu-Sulfat neuerdings ausführlich studiert worden sind, so braucht die ältere Literatur⁶⁵²⁾ nicht ausführlich mitgeteilt zu werden.

Die Kupferzinksulfate bilden eine isopolymorphe Reihe dreier Typen, die man ableiten kann von dem triklinen $\text{CuSO}_4 \cdot 5\text{H}_2\text{O}$ und dem monoklinen, sowie dem rhombischen $\text{ZnSO}_4 \cdot 7\text{H}_2\text{O}$. Die Reihe der Mischkristalle zeigt zwei Lücken, und es können je nach der Konzentration der Lösung Kristalle mit a Molarprozent Cu erhalten werden.⁶⁵³⁾

I. Farblose rhombische Kristalle mit 2 mal $7\text{H}_2\text{O}$ mit $a = 0$ bis $a = 2,32$.

II. Blaßblaue monokline Kristalle mit $16,65 < a < 34,41$.

III. Blaue trikline Kristalle mit $92,02 < a < 100$

oder, nach Stortenbeker⁶⁵⁴⁾, in gleicher Folge:

$$\begin{aligned} 0 &< a \leq 1,97 \\ 14,9 &\leq a \leq 31,9 \\ 82,8 &\leq a \leq 100. \end{aligned}$$

Footé⁶⁵⁵⁾ erhielt bei t^0 folgende mit der Lösung koexistierende feste Phasen (a gibt wieder die Molarprocente Cu der Mischkristalle, „bis“ deutet die Differenz bei verschiedenen gleichen Versuchen an):

$$t = 12^0$$

Triklines 5 Hydrat ($a = 86,7$ bis $89,5$) und monoklines 7 Hydrat ($a = 38,6$).
Monoklines 7 Hydrat ($a = 15,9$ bis $19,7$) und rhombisches 7 Hydrat ($a = 2,7$ bis $3,8$).

$$t = 25^0$$

Triklines 5 Hydrat ($a = 76,0$ bis $81,7$) und monoklines 7 Hydrat ($a = 27,1$ bis $29,7$).

Monoklines 7 Hydrat ($a = 12,3$ bis $14,5$) und rhombisches 7 Hydrat ($a = 2,5$).

$$t = 35^0$$

Triklines 5 Hydrat ($a = 67,5$ bis $68,9$) und monoklines 7 Hydrat ($a = 24,6$ bis $25,9$).

Monoklines 7 Hydrat ($a = 10,5$ bis $13,4$) und rhombisches 7 Hydrat ($a = 2,0$ bis $2,7$).

$$t = 40^0$$

Triklines 5 Hydrat ($a = 58,7$) und monoklines 7 Hydrat ($a = 23,3$ bis $26,5$).
Monoklines 7 Hydrat ($a = 14,2$ bis $15,3$) und 6 Hydrat ($a = 3,8$).

$$t = 45^0$$

Triklines 5 Hydrat ($a = 45,1$ bis $52,1$) und 6 Hydrat ($a = 4,5$ bis $6,0$).

Die mit diesen festen Phasen koexistenten Lösungen enthielten auf 100 Mol H_2O a-Mol $CuSO_4$ und b-Mol $ZnSO_4$

t^0	a	b	t^0	a	b
	5 Hydrat + monokl. 7 Hydrat			monokl. + rhomb. 7 Hydrat	
12	1,424	3,695	12	0,570	4,997
25	1,339	4,796	25	0,641	5,927
35	1,297	5,903	35	0,613	6,947
40	1,237	6,614			
	5 Hydrat + 6 Hydrat			monokl. 7 + 6 Hydrat	
45	1,227	7,105	40	0,887	7,113

Die Dampfdrucke der festen Gemische bei 20^0 maß Hollmann⁶⁵⁶⁾
(a = $\frac{0}{100}$ Cu)

I, 5 Hydrat		II, monokl. 7 Hydrat		III, rhomb. 7 Hydrat	
a	p	a	p	a	p
0,0	5,8	64,7	9,4	97,8	9,8
2,8	4,8	74,6	9,3	100	10,5
11,6	3,8	85,3	—		

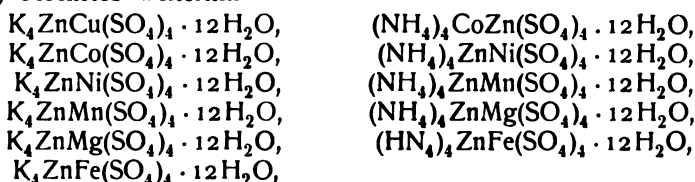
Die Lösungswärmen von Mischkristallen untersuchten Favre und Valson.⁶⁵⁷⁾

Lefort⁶⁵⁸⁾ schreibt einem Minerale der Gruben von Chessy die Formel $CuZn_3(SO_4)_4 \cdot 28H_2O$ zu.

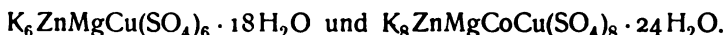
Die Mischbarkeit des Zinksulfats mit anderen Sulfaten beschränkt sich nicht auf binäre Mischsalze. Man hat vielmehr eine Anzahl von gemischten Sulfaten beschrieben, die außer Zn noch mehr als ein Metall enthalten. Über

diese seien nachfolgend einige Angaben gemacht, jedoch mit dem Vorbehalte, daß die der Literatur entnommenen Formeln auf Grund gerade der Mischbarkeit nicht auf Treu und Glauben als Formeln chemischer Individuen angenommen zu werden brauchen. Die enge Isomorphiebeziehung aber, welche die bisher angeführten Untersuchungen klar hervortreten ließen, wird durch die Existenz dieser komplizierten Gemische nur noch sicherer stabilisiert, und sie zeigt sich auch darin, daß ganz verschiedene Mischkristalle, wie $\text{Zn}(\text{NH}_4)_2\text{SO}_4$ -Hydrat und $\text{NiK}_2(\text{SO}_4)_2$ -Hydrat, einander überwachsen können.⁶⁵⁹⁾

Es fand zum Beispiel Étard⁶⁶⁰⁾ Kristalle von $\text{H}_2\text{ZnFe}(\text{SO}_4)_3 \cdot x\text{H}_2\text{O}$, $\text{H}_2\text{ZnNi}(\text{SO}_4)_3 \cdot x\text{H}_2\text{O}$, $\text{H}_2\text{ZnCu}(\text{SO}_4)_3 \cdot x\text{H}_2\text{O}$; ferner Weltzien⁶⁶¹⁾ $(\text{NH}_4)_8\text{Zn}_3\text{Cu}(\text{SO}_4)_8 \cdot 24\text{H}_2\text{O}$ und Vohl⁶⁶²⁾ $(\text{NH}_4)_4\text{ZnCu}(\text{SO}_4)_4 \cdot 12\text{H}_2\text{O}$. Vohl⁶⁶²⁾ beschrieb weiterhin



die die Farben der Komponenten zeigen, (Fe grün, Ni grün, Mn rosa, Co blau), endlich



Nach Fock⁶⁶³⁾ sind $(\text{NH}_4)_2\text{Zn}(\text{SO}_4)_2$ und $(\text{NH}_4)_2\text{Cu}(\text{SO}_4)_2$ miteinander vollkommen mischbar. Er fand bei 13°–14° y_1 Molarprozent Cu-Salz, y_2 desgl. Zn-Salz in Lösung (oder c_1 Mol Cu und c_2 Mol Zn auf 100 Mol H_2O), in den Kristallen x_1 Molarprozent Cu, x_2 desgl. Zn (wobei $y_1 + y_2 = 100$ und $x_1 + x_2 = 100$ zu verstehen ist).

y_1	y_2	c_1	c_2	x_1	x_2
4,97	95,03	0,0422	0,8069	2,39	97,61
10,65	89,35	0,0666	0,5638	4,52	95,48
19,24	78,76	0,1218	0,5115	9,03	90,97
30,19	69,81	0,2130	0,4924	14,67	85,33
44,44	55,56	0,3216	0,4022	22,61	77,38
100,00	0	1,035	0	100	0

Zinkdoppelsulfite usw. Berglund⁶⁶⁴⁾ erhielt $\text{K}_2\text{Zn}_3(\text{SO}_3)_4 \cdot 7,5\text{H}_2\text{O}$, $\text{Na}_2\text{Zn}_3(\text{SO}_3)_4 \cdot 7,5\text{H}_2\text{O}$ und $(\text{NH}_4)_2\text{Zn}(\text{SO}_3)_2$.

Aus konzentrierter Lösung von ZnJ_2 und $\text{Na}_2\text{S}_2\text{O}_3$ wird durch Fällung mit Alkohol ein Öl abgeschieden, das über H_2SO_4 zu einer hygroskopischen zähen Masse erstarrt, welche unter ZnS -Bildung zerfällt und der Formel $\text{Na}_6\text{Zn}_3(\text{S}_2\text{O}_3)_3 \cdot 10\text{H}_2\text{O}$ entsprechen soll.⁶⁶⁵⁾

Klüß⁶⁶⁶⁾ erhielt kleine monokline Kristalle von $\text{Zn}_2(\text{NH}_4)_{18}(\text{S}_2\text{O}_6)_{11} \cdot 16,5\text{H}_2\text{O}$ (?) und prismatische Kristalle von $\text{Zn}(\text{NH}_4)_{10}(\text{S}_2\text{O}_6) \cdot 9\text{H}_2\text{O}$. (Der Analysenfehler beträgt rund 1 Proz.)

Rosenheim und Davidsohn⁶⁶⁷⁾ erhielten $\text{K}_2\text{Zn}(\text{S}_2\text{O}_3) \cdot \text{H}_2\text{O}$ und $(\text{NH}_4)_2\text{Zn}(\text{S}_2\text{O}_3)_2 \cdot \text{H}_2\text{O}$ in langen weißen Prismen.

Doppelsalze des von Bernthsen und von Nabl charakterisierten Zinkhydrosulfits, ZnS_2O_4 , beschreibt Bazlen.^{667a)} Das Zink zeigt in ihnen seine Ionenreaktionen, sie sind demnach höchstens schwach komplex.

Zinkdoppelselenate. Den Sulfaten des Zinks verhalten sich die Selenate ganz analog. Auch sie zeigen Isomorphiebeziehungen sehr regelmäßiger

Art und sind nicht nur untereinander, sondern sogar mit den Sulfaten mischbar, wie weiter unten zu behandeln. Diese Beziehungen sind so auffallend, daß sie mit zu dem ersten Material gehören, das Mitscherlich bei der Begründung der Isomorphielehre benutzte.

Zunächst seien Kristallmessungen von Tutton⁶⁶⁵⁾ u. a. angeführt, welche ganz wie die bei den Sulfaten erwähnten ausgeführt und tabelliert sind, so daß bezüglich der Bezeichnungen auf jenen Abschnitt verwiesen werden kann. Die Alkalisalze gehören sämtlich zum monoklinen System.

Achsen und Winkel (Tutton):

	a	b	c	β	d_1^{20}
$K_2Zn(SeO_4)_2 \cdot 6H_2O$	0,7458	1	0,5073	$75^0 48'$	2,5537
$Rb_2Zn(SeO_4)_2 \cdot 6H_2O$	0,7431	1	0,5019	$74^0 44'$	2,8604
$Cs_2Zn(SeO_4)_2 \cdot 6H_2O$	0,7314	1	0,4971	$73^0 49'$	3,1153

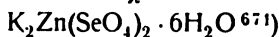
Desgl. Topsoe und Christiansen⁶⁶⁹⁾:

	a	b	c	β	$d^{670)}$
$K_2Zn(SeO_4)_2 \cdot 6H_2O$	0,7441	1	0,5075	$75^0 46'$	2,538
$(NH_4)_2Zn(SeO_4)_2 \cdot 6H_2O$	0,7416	1	0,5062	$73^0 49'$	2,200

Die Übereinstimmung für das K-Salz läßt nichts zu wünschen übrig.

Mittlerer Brechungsindex (für Vakuum) nach Tutton:

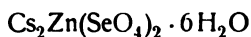
$$\begin{aligned}
 K & 1,5010 + \frac{694100}{\lambda^2} - \frac{30057 \cdot 10^8}{\lambda^4} \\
 Rb & 1,5067 + \frac{592314}{\lambda^2} - \frac{13976 \cdot 10^8}{\lambda^4} \\
 Cs & 1,5187 + \frac{704232}{\lambda^2} - \frac{28776 \cdot 10^8}{\lambda^4}
 \end{aligned}$$



	a	b	c
$n \mid H_\alpha$	0,1170	0,1181	0,1210
$\mid H_\gamma$	0,1199	0,1211	0,1242
$m \mid H_\alpha$	62,76	63,37	64,93
$\mid H_\gamma$	64,33	64,98	66,65
$n_{H_\gamma} - n_{H_\alpha}$	0,0029	0,0030	0,0032
$m_{H_\gamma} - m_{H_\alpha}$	1,57	1,61	1,72
$(n - 1) \frac{d}{M} H_\alpha$	107,00	108,24	111,41



	a	b	c
$n \mid H_\alpha$	0,1051	0,1062	0,1080
$\mid H_\gamma$	0,1078	0,1089	0,1108
$m \mid H_\alpha$	66,13	66,77	67,92
$\mid H_\gamma$	67,80	68,47	69,70
$n_{H_\gamma} - n_{H_\alpha}$	0,0027	0,0027	0,0028
$m_{H_\gamma} - m_{H_\alpha}$	1,66	1,70	1,78
$(n - 1) \frac{d}{M} H_\alpha$	112,90	114,20	116,53



	a	b	c
$n \begin{cases} \text{H}_\alpha \\ \text{H}_\gamma \end{cases}$	0,0991 0,1016	0,0996 0,1022	0,1004 0,1030
$m \begin{cases} \text{H}_\alpha \\ \text{H}_\gamma \end{cases}$	71,73 73,58	72,14 73,98	72,69 74,58
$n_{\text{H}_\gamma} - n_{\text{H}_\alpha}$	0,0025	0,0026	0,0026
$m_{\text{H}_\gamma} - m_{\text{H}_\alpha}$	1,85	1,84	1,89
$(n-1) \frac{d}{M} \text{H}_\alpha$	123,06	123,89	125,03

Ein triklinisches Salz ⁶⁷²⁾ $\text{K}_2\text{Zn}(\text{SeO}_4)_2 \cdot 2\text{H}_2\text{O}$ hat $a : b : c = 0,7060 : 1 : 0,4335$, $\beta = 83^\circ 52'$.

Doppelt gemischt sind folgende Stoffe: $\text{K}_2\text{Zn}(\text{SeO}_4\text{SO}_4) \cdot 6\text{H}_2\text{O}$ ⁶⁷³⁾ und $\text{CuZn}_3\text{SeO}_4(\text{SO}_4)_3 \cdot 28\text{H}_2\text{O}$. ⁶⁷⁴⁾ Auch dieses Salz ist monoklin, scheint aber, dem H_2O -Gehalt nach zu schließen, zu den Vitriolen zu gehören. Es entsteht, wenn ZnSO_4 mit CuSeO_4 im Verhältnis 3:1 in Lösung vorhanden ist, als zweite Fraktion, zuerst kristallisiert Kupfersulfat.

Zinkdoppelselenite. Ein saures Zn-Selenit, $\text{H}_2\text{Zn}(\text{SeO}_3)_2 \cdot 2\text{H}_2\text{O}$, bildet triklinische Kristalle, verliert sein H_2O bei 100° und geht in neutrales Selenit über, wenn die H_2O -Lösung gekocht wird. ⁶⁷⁵⁾

$\text{H}_6\text{Zn}(\text{SeO}_3)_4$ fällt in leichtlöslichen luftbeständigen Kristallen aus hochkonzentrierter Lösung von ZnSeO_3 und H_2SeO_3 in der Kälte, oberhalb 40° scheidet die Lösung (wie oben) ZnSeO_3 aus. ⁶⁷⁶⁾

Zinkdoppelnitrite. Ein Salz $\text{K}_2\text{Zn}(\text{NO}_2)_4 \cdot \text{H}_2\text{O}$ bildet gelbe hygroskopische Prismen, die in trockenem Zustand schon unter 100° zerfallen und in Lösung Stickoxyd entwickeln. Durch H_2S wird Zn quantitativ gefällt. ⁶⁷⁷⁾

$\text{K}_3\text{Zn}(\text{NO}_2)_5 \cdot 3\text{H}_2\text{O}$ soll sich ähnlich verhalten. ⁶⁷⁸⁾

Zinkdoppelposphate. K. ZnO gibt mit $\text{K}_4\text{P}_2\text{O}_7$ oder K_3PO_4 KZnPO_4 , nach $2\text{ZnO} + \text{K}_4\text{P}_2\text{O}_7 = 2\text{KZnPO}_4 + \text{K}_2\text{O}$ oder $\text{ZnO} + \text{K}_3\text{PO}_4 = \text{KZnPO}_4 + \text{K}_2\text{O}$ als triklinische, sehr lösliche Prismen, die von Alkalichlorid nicht angegriffen werden. ⁶⁷⁹⁾ Dasselbe Produkt entsteht durch Erhitzen von K_2SO_4 mit Zn-Phosphat oder Pyrophosphat. ⁶⁸⁰⁾

Na. Scheffer ⁶⁸¹⁾ schmolz Phosphorsalz mit ZnO und erhielt dadurch NaZnPO_4 . Aus Zn und Na_3PO_4 entsteht dasselbe Salz ⁶⁷⁹⁾, verwendet man $\text{Na}_4\text{P}_2\text{O}_7$, so resultieren kubische Kristalle von $\text{Na}_2\text{Zn}(\text{PO}_4)_2$. ⁶⁷⁹⁾ (?) NaZnPO_4 kristallisiert rhombisch. ⁶⁷⁹⁾

NH_4 . Das Ammonsalz ist das wichtigste aller Zinkdoppelposphate, weil es, wie schon erwähnt, infolge seiner Schwerlöslichkeit gleich dem Mg-Salze zur Abscheidung des Zn dienen und dann in $\text{Zn}_2\text{P}_2\text{O}_7$ übergeführt und gewogen werden kann. Andererseits benutzt man seine Lösung aber auch, um das Zn elektrolytisch abzuscheiden.

NH_4ZnPO_4 fällt aus Zn-Lösungen, auch aus ammoniakalischer, durch $(\text{NH}_4)_2\text{HPO}_4$ (oder Na_2HPO_4) ⁶⁸²⁾, das Fällungsmittel muß im Überschuße zugefügt werden, weil sonst etwas $\text{Zn}_3(\text{PO}_4)_2$ mitfällt. Es ist bekannt als NH_4ZnPO_4 und als $\text{NH}_4\text{ZnPO}_4 \cdot \text{H}_2\text{O}$. Da es in $\text{NH}_4\text{Cl} + \text{NH}_4\text{OH}$ löslich ist, kann es von Ca und Mg getrennt werden. ⁶⁸³⁾ Die Analyse kann auch durch alkalimetrische Titration bewirkt werden, da die Reaktion $\text{NH}_4\text{ZnPO}_4 + \text{H}_2\text{SO}_4 \longrightarrow \text{ZnSO}_4 + (\text{NH}_4)_2\text{HPO}_4$, oder $\text{PO}_4''' + 2\text{H} \longrightarrow \text{H}_2\text{PO}_4''$, quantitativ verläuft. ⁶⁸⁴⁾

P_2O_7 . $K_2ZnP_2O_7$ bildet sich in der Hitze aus Zn und KPO_3 , ist schmelzbar und säurelöslich.⁶⁸⁵⁾

$Na_2ZnP_2O_7$ erhielt Wallroth⁶⁸⁶⁾ aus der Schmelze von ZnO in Phosphorsalz. Eine ganze Reihe von nicht sicher individuellen Stoffen beschreibt Pahl⁶⁸⁷⁾: $Na_6Zn(P_2O_7)_2 \cdot 12 H_2O$; $Na_8Zn_2(P_2O_7)_3$ mit 2,5, 3, 3,5, 8 H_2O , $Na_{16}Zn_{10}(P_2O_7)_9 \cdot 20 H_2O$; $Na_4Zn_8(P_2O_7)_5 \cdot 12 H_2O$.

AsO_4 . $KZnAsO_4$ und $Na_2ZnAs_2O_7$ entstehen in prismatischen Kristallen aus ZnO und $KAsO_3$ resp. $NaAsO_3$, wenn noch KCl oder NaCl in der Lösung zugegen ist, sonst bildet sich in der Wärme $NaZnAsO_4$.⁶⁸⁸⁾

Hinsichtlich des NH_4ZnAsO_4 walten fast dieselben Verhältnisse ob wie bei dem Phosphate. Man kann dieses Salz in Lösung (HCl) angeblich auch jodometrisch nach der Reaktion $As_2O_5 + 4J + 4H \longrightarrow As_2O_3 + 2J_2 + 2H_2O$ titrieren.⁶⁸⁹⁾

Doppelformiate. $Ba_2Zn(HCOO)_6 \cdot 4 H_2O$ bildet sich aus den Einzelsalzen und ist isomorph mit dem BaCu-Salze⁶⁹⁰⁾, die ältere Angabe von Heußer⁶⁹¹⁾, welcher bedeutend weniger Ba fand, bestätigt sich nicht.

Organische Zinkdoppelsalze. Den Komplex und Doppelsalzen des Zn mit Metallsalzen schließen sich diejenigen an, welche mit organischen Salzen gebildet werden. Hauptsächlich sind es auch hier wieder die Haloide, wie $ZnCl_2$, welche zahlreiche Doppelverbindungen ergeben, ja für viele organische Stoffe ist das $ZnCl_2$ mit anderen Salzen, wie Goldchlorid u. a., ein Gruppenreagens geworden, dessen Hilfe entweder für die Analyse oder für präparative Zwecke in Anspruch genommen wird, das zweite darum, weil die Doppelsalze häufig besser kristallisieren als die Komponenten.

Es können hier nicht die zahllosen Verbindungen dieser Art alle aufgezählt werden, auch in diesem Falle handelt es sich meist um Stoffe, die N, P, O, S oder andere Elemente von fakultativer Mehrwertigkeit, also um „ungesättigte“ Stoffe. Die Verbindungsverhältnisse zeigen größtenteils ein Zn mit zwei organischen Radikalen kombiniert, doch kommen auch Fälle vor, wo mehr addiert wird, wie es z. B. bei den von Base⁶⁹²⁾ entdeckten Toluidinen ($C_6H_4CH_3NH_2$)₃ $ZnCl_2$ u. a.) der Fall ist. Die Kristallisation erfolgt teils mit, teils ohne H_2O .

Zinkadditionsverbindungen. Dem Charakter des Zinks als eines sehr additionsfähigen Stoffes entspricht es, daß nicht nur zahllose Salze mit komplexen Zn-Kationen bekannt sind, sondern sogar das Metall selbst Verbindungen bildet, die nicht den Charakter von Salzen haben. Es gehören hierher die vielen Stoffe, in denen Zn mit organischen Verbindungen gepaart ist und in denen es stets zweiwertig auftritt, wie das Zinkmethyl und seine Homologen. Von nicht kohlenstoffhaltigen Stoffen dieser Art sind in erster Linie die Stickstoffverbindungen zu nennen, doch kennt man auch andere Kombinationen.

Ganz allgemein scheinen diese Komplexe stärkere Ionen zu sein als Zn, und ihr Komplexgrad erreicht bisweilen ganz erhebliche Beträge. So versagen bei ihnen manche Reaktionen des Zn-Ions, und die Verbindung des ZnJ_2 mit Äthylendiamin $Zn(C_2H_4(NH_2)_2)_2$ z. B. wird von CO_3 nicht gefällt, durch KOH nur beim Kochen (vermutlich weil das Äthylendiamin zunächst verdampft), H_2S oder $(NH_4)_2S$ dagegen wirken fällend.⁶⁹³⁾

Zinkammoniak (Amid). Aus ZnO und $NaNH_2$ entsteht nach Weyl⁶⁹⁴⁾ ein sehr wenig beständiges Zinkammoniak $Zn(NH_3)_2$.

Stabiler ist das von Frankland⁶⁹⁵⁾ entdeckte Amid $Zn(NH_2)_2$, welches aus ätherischer Lösung von $Zn(C_2H_5)_2$ durch NH_3 gefällt wird und noch

bei 200° sich nicht zersetzt, während es durch H_2O in $\text{Zn}(\text{OH})_2$ und NH_3 gespalten wird.

Ein Imid ist nicht bekannt.

Von substituierten Ammoniaken und Aminen ist eine große Zahl mit Zn kombiniert worden.

Zinkammoniaksalze. Cl. Zinkammoniakchloride sind sehr häufig beschrieben worden und man kennt eine stattliche Zahl definierter Verbindungen dieser Gruppe, von 1, 2, 4, 5 und 6 NH_3 auf 1 Zn.

ZnNH_3Cl_2 war bereits Berzelius bekannt. Dehérain⁶⁹⁶) erhielt es aus ZnCl_2 und NH_3 , Kwasnik⁶⁹⁷) und Kane⁶⁹⁹) durch Erhitzen von $\text{Zn}(\text{NH}_3)_2\text{Cl}_2$ als Destillationsprodukt. Es ist sehr hygroskopisch und im übrigen beständig, wie der Umstand beweist, daß sein Dampfdruck bei 216° nur 0,7 mm Hg beträgt.⁶⁹⁸) Es verträgt sogar Rotglut.⁶⁹⁹)

Bedeutend besser ist $\text{Zn}(\text{NH}_3)_2\text{Cl}_2$ bekannt. Aus ZnCl_2 und NH_4OH erhielten es Kane⁶⁹⁹) und Thoms⁷⁰⁰), aus $\text{ZnCl}_2 + \text{NH}_3$ auf trockenem Wege Dehérain⁶⁹⁶), aus $\text{Zn} + \text{NH}_4\text{Cl}$ -Lösung Ritthausen⁷⁰¹), aus ZnO mit NH_4Cl -Lösung Bonnet⁷⁰²), Thoms⁷⁰⁰) und andre, aus ZnCl_2 durch Einleiten von NH_3 Kwasnik⁶⁹⁷) und André⁷⁰³), der verschiedene Hydrate höchst zweifelhafter Art annimmt. Es bildet sich im Leclanché-Elemente.⁷⁰⁴) Seine Kristallform ist rhombisch mit $a:b:c = 0,9161:1:0,9508$ (Marignac⁷⁰⁵), Jaeger⁷⁰⁴)).

Auch dieses Salz ist sehr beständig, doch weniger als das erste. Es löst sich reichlich in Säuren, mit denen es in Doppelsalze übergeht. Sein Dampfdruck liegt schon bedeutend höher als der des ZnNH_3Cl_2 und beträgt bei 216° 43,6 mm Hg (Kuriloff⁶⁹⁹)).

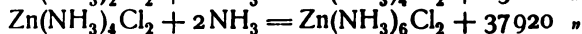
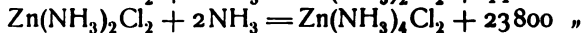
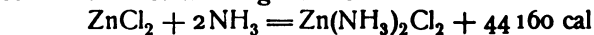
$\text{Zn}(\text{NH}_3)_4\text{Cl}_2$ dürfte zuerst von Kane⁷⁰⁶) erhalten worden sein. Auch dieses Salz kann aus ZnCl_2 und NH_4OH entstehen, nur bedarf es höherer Konzentrationen; später wurde es auch von André⁷⁰⁷) dargestellt. Es ist ebenfalls gut wasserlöslich und wird von viel H_2O zersetzt, sein Dampfdruck beweist aber, daß es unter gewöhnlichen Verhältnissen wohl kaum für sich existieren kann, denn er beträgt bei 78° 402,2 mm Hg (Kuriloff⁶⁹⁹)). Isambert⁷⁰⁸) fand denn auch, daß es in $\text{Zn}(\text{NH}_3)_2\text{Cl}_2$ übergeht. Thoms⁷⁰⁹) erhielt aus ZnCl_2 -Lösung und NH_3 -Gas das Hydrat $\text{Zn}(\text{NH}_3)_4\text{Cl}_2\text{H}_2\text{O}$, dasselbe Salz bekam auch Base.⁷¹⁰)

$\text{Zn}(\text{NH}_3)_5\text{Cl}_2$. Diesen Stoff entdeckte Divers.⁷¹¹) Man löst, um ihn zu erhalten, ZnCl_2 in konzentriertem kalten NH_4OH , worauf große Oktaeder auskristallisieren. Auch kann man NH_3 durch die Lösung leiten (Thoms⁷⁰⁹)). Es zerfließt an der Luft und verliert NH_3 .

$\text{Zn}(\text{NH}_3)_6\text{Cl}_2$ wurde auf nassem Wege nicht mehr erhalten. Isambert⁷¹²) erhielt es aus ZnCl_2 und NH_3 .

Unter gewöhnlichen Verhältnissen ist es nicht stabil, denn sein Dampfdruck beträgt bei 78° 1634,7 mm Hg (Kuriloff⁶⁹⁹)).

Zuletzt seien noch die Bildungswärmen nach Isambert⁷¹³) mitgeteilt:



Br. Hauptsächlich kennt man nur das Salz mit 2 NH_3 . Aus konzentrierter ZnBr_2 -Lösung erhielt Rammelsberg⁷¹⁴) oktaedrische Kristalle von $\text{Zn}(\text{NH}_3)_2\text{Br}_2$, die von H_2O zu ZnO und NH_4OH zerlegt werden. (Aus dieser Beobachtung ist ein Einwand gegen die zahlreichen, insbesondere von

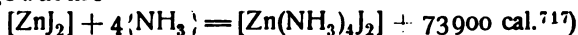
André und Tassilly [s. u.] angegebenen Ammoniakoxybromide herzustellen, Stoffe, die auch nach den gegebenen Formeln sehr zweifelhaft erscheinen.) Nach André⁷¹⁵) enthält das Salz Kristallwasser.

Außerdem hat André⁷¹⁵) noch $\text{Zn}(\text{NH}_3)_5\text{Br}_2$ in der Weise erhalten, wie Divers das entsprechende Chlorid gewann; er bestimmte die Lösungswärme dieses Salzes in verdünnter HBr bei 5° zu 37500 cal, seine Bildungswärme aus $[\text{ZnBr}_2] + 5(\text{NH}_3)$ zu 82200 cal.

J. Hier sind nur das Tetra- und Pentasalz bekannt. Rammelsberg⁷¹⁶) erhielt durch Lösen von ZnJ_2 in NH_4OH , Tassilly⁷¹⁷) auf verschiedene Arten $\text{Zn}(\text{NH}_3)_4\text{J}_2$, ein rhombisches Salz von $a:b:c = 0,7922:1:0,5754$ ⁷¹⁸), das von H_2O zu ZnO zerlegt wird.⁷¹⁶)

$\text{Zn}(\text{NH}_3)_5\text{J}_2$, aus ZnJ_2 und NH_3 erhalten⁷¹⁶), wird ebenfalls von H_2O völlig zerlegt; andere Autoren nehmen die Formel $\text{Zn}(\text{NH}_3)_6\text{J}_2$ an.

Bildungswärme



Cy. $\text{Zn}(\text{NH}_3)_2\text{Cy}_2$ wurde aus gesättigter alkoholischer ZnJ_2 -Lösung durch NH_3 gefällt.⁷¹⁹) Es verliert an der Luft NH_3 und löst sich leicht in wässrigem und alkoholischem NH_3 . Als Monohydrat erhielt es derselbe Autor aus wässrigem NH_3 . Im NH_3 -Strome verliert es H_2O , ohne mehr NH_3 aufzunehmen. Durch Säuren wird ZnCy_2 gefällt.⁷²⁰) Die Kristallform des Hydrats ist anscheinend monoklin oder triklin.⁷²⁰) Ein zweites Salz von der Formel $7\text{ZnCy}_2 \cdot 2\text{NH}_3$ beschreibt Loebe.⁷²⁰)

CNS. $\text{Zn}(\text{NH}_3)_2(\text{CNS})_2$ entsteht nach Meitzendorff⁷²¹) aus der Lösung von $\text{Zn}(\text{CNS})_2$ in NH_4OH , nach Fleischer⁷²²) durch Lösen von ZnO in NH_4CNS . Es kristallisiert rhombisch.⁷²¹)

OH. Ein Oxysalz $\text{Zn}_2(\text{OH})_4\text{CINH}_4$ beschreibt Allan.⁷²³)

NO_3 . Durch Einleiten von NH_3 in $\text{Zn}(\text{NO}_3)_2$ -Lösung, bis der Niederschlag wieder aufgenommen ist, entsteht nach André⁷²⁴) beim Kristallisieren $3\text{Zn}(\text{NH}_3)_4(\text{NO}_3)_2 \cdot 2\text{H}_2\text{O}$, ein sehr leicht lösliches Salz, das von H_2O zerlegt wird. Die Formel kann aber in Anbetracht der geringen analytischen Genauigkeit auch $\text{Zn}(\text{NH}_3)_4 \cdot (\text{NO}_3)_2 \cdot \text{H}_2\text{O}$ lauten (z. B. ist das Verhältnis $\text{Zn}:\text{NH}_3 = 1:4,12$ statt $1:4$ gefunden worden).

BrO_3 . Aus $\text{Zn}(\text{BrO}_3)_2$ und NH_4OH entstehen kleine Prismen von $\text{Zn}(\text{NH}_3)_2(\text{BrO}_3)_2 \cdot 3\text{H}_2\text{O}$, aus denen durch H_2O $\text{Zn}(\text{OH})_2$ gebildet wird.⁷²⁵)

JO_3 . Aus $\text{Zn}(\text{JO}_3)_2$ und NH_4O entstehen weiße vierseitige Säulen⁷²⁶), deren Formel anscheinend $\text{Zn}(\text{NH}_3)_3(\text{JO}_3)_2$ ist, die jedoch auch ein Gemisch mit ZnO sein können (Analyse $\text{Zn}:\text{NH}_3 = 1:2,81$). Sie verlieren an der Luft NH_3 und werden durch H_2O zersetzt.

Ditte⁷²⁷) erhielt aus der ammoniakalischen Lösung des Zn-Jodats $\text{Zn}(\text{NH}_3)_2(\text{JO}_3)_2$ und $\text{Zn}(\text{NH}_3)_2(\text{JO}_3)_2 \cdot 2\text{H}_2\text{O}$ als „unlösliche“ luftbeständige Prismen.

SO_4 . Man hat Verbindungen des ZnSO_4 mit 2 und 4 NH_3 gefunden. Kane⁷²⁸) leitete NH_3 durch heiße, konzentrierte ZnSO_4 -Lösung bis zur Wiederlösung des Niederschlags und erhielt daraus $\text{Zn}(\text{NH}_3)_2\text{SO}_4 \cdot \text{H}_2\text{O}$ (I), aus dem Filtrate noch $\text{Zn}(\text{NH}_3)_4\text{SO}_4 \cdot 4\text{H}_2\text{O}$ (II), das durch Erwärmen in I übergeht. Auch I ist nicht luftbeständig. Das Salz I fand auch G. Müller⁷²⁹), sowie André⁷³⁰), der es aber als Trihydrat bezeichnet.

Nach Isambert⁷³¹) existiert auch $\text{Zn}(\text{NH}_3)_5\text{SO}_4$.

Festes ZnSO_4 absorbiert 5 NH_3 .⁷³²)

Die Verteilung⁷³³) von NH_3 zwischen CHCl_3 und ZnSO_4 -Lösung regelt sich nach folgenden für 20° geltenden Zahlen.

Die Molarität von ZnSO_4 sei c , pro Volumeinheit seien g Gramm NH_3 in CHCl_3 und g' Gramm in H_2O vorhanden.

$c = 0$			$c = 0,025$		
$\frac{g'}{g} = 26,3$			g	g'	$\frac{g'}{g}$
			0,2021	6,205	30,7
			0,2591	7,722	28,8
			0,3165	9,232	29,2
$c = 0,05$			$c = 0,1$		
g	g'	$\frac{g'}{g}$	g	g'	$\frac{g'}{g}$
0,1714	6,213	36,2	0,1727	7,832	45,3
0,2260	7,684	34,0	0,2204	8,861	40,2
0,2679	8,610	32,2	0,2306	9,349	40,5
0,2868	9,357	32,6	0,2876	11,001	38,2
0,3230	10,100	31,2			
0,3455	10,883	31,5			

Diese Zahlen können nur durch Annahme der Existenz komplexer Ionen in der Salzlösung erklärt werden. Welche Formel den Komplexionen zukommt, ist zurzeit noch nicht festgestellt, man wird zunächst $\text{Zn}(\text{NH}_3)_2^{++}$ vermuten⁷³⁴⁾, oder mit Dawson und Mc Crae⁷³⁵⁾ 3 bis 4 Mol gebundenes NH_3 annehmen.

SO_3 usw. ZnSO_3 , in NH_4OH gelöst, gibt ZnNH_3SO_3 , ein unbeständiges Produkt, das von H_2O in ZnSO_3 und NH_4OH zerlegt wird.⁷³⁵⁾

Auf dieselbe Weise wurde $\text{Zn}(\text{NH}_3)_2\text{S}_2\text{O}_3$ ⁷³⁶⁾ und $\text{Zn}(\text{NH}_3)_4\text{S}_2\text{O}_6$ erhalten.⁷³⁷⁾

SeO_3 . Aus ZnSeO_3 und NH_4OH bildet sich $\text{ZnNH}_3\text{SeO}_3$ in bei 100° beständigen rhombischen Prismen.⁷³⁸⁾

PO_4 . Ein eigentümliches Salz entsteht nach Bette⁷³⁹⁾ aus ammoniakalischer Lösung von ZnCl_2 und NH_4Cl durch $\text{Na}_4\text{P}_2\text{O}_7$. Seine Formel ist $(\text{Zn}_2\text{P}_2\text{O}_7)_3(\text{NH}_3)_4(\text{H}_2\text{O})_9$ oder $(\text{HZnPO}_4)_3(\text{NH}_3)_2(\text{H}_2\text{O})_3$, die chemische Individualität scheint sehr unsicher (Heintz).

CO_3 , CS_3 . Frisch gefälltes, daher eventuell etwas basisches ZnCO_3 , in konzentrierter $(\text{NH}_4)_2\text{CO}_3$ -Lösung gelöst, gab wasserlösliche, luftbeständige, anscheinend quadratische Kristalle von ZnNH_3CO_3 , die durch viel H_2O in ZnCO_3 übergeführt werden.⁷⁴⁰⁾

Aus ammoniakalischer Lösung von ZnSO_4 entstand durch CS_2 -Zusatz $\text{Zn}(\text{NH}_3)_2 \cdot \text{CS}_3$ in lachsfarbenen Prismen.⁷⁴¹⁾

CH_3COO . Bei 100° getrocknetes $\text{Zn}(\text{CH}_3\text{COO})_2 \cdot 3\text{H}_2\text{O}$ verliert $2\text{H}_2\text{O}$ und gibt mit trockenem NH_3 $\text{ZnNH}_3 \cdot (\text{CH}_3\text{COO})_2 \cdot \text{H}_2\text{O}$.⁷⁴²⁾ Auch Valerat und Lactat addieren NH_3 , das erste 2, das zweite 3.

Borsäure. $\text{Zn}(\text{NH}_3)_4\text{B}_4\text{O}_6 \cdot 6\text{H}_2\text{O}$ bildet gerade rhombische Prismen, die leicht verwittern und sich in NH_4OH und in Säuren lösen.⁷⁴³⁾ Die mitgeteilte Analyse führt jedoch auf eine ganz andre Formel ($\text{ZnO} = 20,12$ Proz., $\text{B}_2\text{O}_3 = 35,07$ Proz., $\text{NH}_3 = 17,66$ Proz., $\text{H}_2\text{O} = 27,15$ Proz. ergibt $\text{ZnO} : \text{B}_2\text{O}_3 : \text{NH}_3 : \text{H}_2\text{O} = 0,247 : 0,200 : 1,04 : 1,50$ oder $\text{Zn} : \text{B}_2\text{O}_4 : \text{NH}_3 : \text{H}_2\text{O} = 0,198 : 0,246 : 1,04 : 1,50$. Es müssen also wohl auf ein Zn 5 NH_3 kommen).

Von den zahllosen Additionsverbindungen organischer Stoffe mit Zn-Salzen, insbesondere mit ZnCl_2 , kann nur eine Übersicht gegeben werden. Auch hier beträgt das Verhältnis des addierten Stoffes zum Zn meist 2; die

vorhandenen Angaben beschränken sich in der großen Mehrzahl auf die notwendigsten Charakteristika, während Untersuchungen mit physikochemischen Methoden nur in geringem Umfange vorliegen. Die Stoffe lösen sich meistens gut oder merklich in organischen Medien, z. B. Alkohol, ebenso aber in verdünnten Säuren unter Bildung von Doppelsalzen.

Andere Additionsverbindungen. Von den Zn-Haloiden, insbesondere dem ZnCl_2 als gebräuchlichsten dieser Salze, kennt man viele Additionsverbindungen, die fast durchweg das Molarverhältnis $\text{Zn}:\text{X} = 1:2$ zeigen. Sie gehören allen Gruppen der organischen Chemie an, besonders zahlreich sind jedoch die stickstoffhaltigen Basen, Hydroxylamine, Aniline usw. und überhaupt diejenigen Stoffe, welche Elemente mit Supplementärvalenzen, wie O, S usw., enthalten. In H_2O lösen sie sich z. T. unter Bildung von ZnO .

So sind von ZnCl_2 Verbindungen mit Anilin, Toluidinen, Picolinen, Lutidinen, Chinolin, Hydrazin, Phenylhydrazin, Hydroxylamin, Strychnin usw. bekannt.⁷⁴⁴⁾ Sie gehören alle zu dem erwähnten Typus $1:2$, desgleichen⁷⁴⁵⁾ die Verbindung $\text{Zn}(\text{JCl}_3)_2 \cdot 8\text{H}_2\text{O}$.

Einen Stoff $\text{Zn}(\text{NOCl}) \cdot \text{Cl}_2$, also vom Typus $1:1$, beschreibt Sudborough⁷⁴⁶⁾, nach Stoehr⁷⁴⁷⁾ addiert ZnCl_2 Pyrazin ebenfalls $1:1$.

Daß ZnJ_2 SO_2 addieren kann, fand Schönbein.^{747a)}

Für die Bromide gilt im ganzen das gleiche wie für die Chloride, doch scheinen hier die höheren Verbindungsstufen häufiger aufzutreten. Z. B. beschreibt Werner⁷⁴⁸⁾ $\text{Zn}(\text{C}_2\text{H}_4(\text{NH}_2)_2)_3\text{Br}_2$, Moitessier⁷⁴⁹⁾ ein gemischtes Salz $\text{Zn}_3(\text{C}_6\text{H}_5\text{NH}_2)_5(\text{C}_6\text{H}_5\text{N}_2\text{H}_3)_2 \cdot \text{Br}_6$.

Dies gilt in noch höherem Grade von den Jodsalzen. Moitessier⁷⁴⁹⁾ führt z. B. an $\text{Zn}(\text{C}_6\text{H}_5\text{NH}_2)(\text{C}_6\text{H}_5\text{N}_2\text{H}_3)_2\text{J}_2$, $\text{Zn}(\alpha\text{C}_{10}\text{H}_7\text{NH}_2)(\text{C}_6\text{H}_5\text{N}_2\text{H}_3)_2\text{J}_2$ und $\text{Zn}(\beta\text{C}_{10}\text{H}_7\text{NH}_2)_2(\text{C}_6\text{H}_5\text{N}_2\text{H}_3)_4\text{J}_2$.

Von anderen Salzen seien nur Nitrat, Sulfat, Sulfit, Carbonat, Acetat, Hypophosphit, Oxalat erwähnt.

Außer dem Verhältnis $1:2$ kommen beim Nitrat auch höhere Stufen vor, z. B. $\text{Zn}(\text{C}_6\text{H}_5\text{N}_2\text{H}_3)_3 \cdot (\text{NO}_3)_2$ ⁷⁵⁰⁾, die anderen gehören auch meist zum Typus $1:2$.⁷⁵¹⁾

Untersuchungen physikochemischer Art sind recht spärlich zu finden. Tombeck⁷⁵²⁾ maß einige Dampfdrucke, welche aus folgenden Tabellen zu ersehen sind ($p = \text{mm Hg}$ bei t°).

Anilin über		o-Toluidin über	
$\text{Zn}(\text{C}_6\text{H}_5\text{NH}_2)_2\text{J}_2$		$\text{Zn}(\text{oC}_6\text{H}_4\text{CH}_3\text{NH}_2)_2 \cdot \text{Br}_2$	
t°	p	t°	p
5	2,5	15	5,0
20	12,5	43	27,5
47	67,5	61	65,0
63	147,5	80	165,0
75	245,0	88	225,0
83	340,0	95	277,5
91	475,0	100	340,0
100	645,0	105	382,5
111	887,5	112	483,5
Schmilzt bei 271° unter		120	592,5
ca. 5 Atmosphären Druck.		128	722,5
		135	840,0
		Schmilzt bei 219° unter	
		ca. 3,5 Atmosphären Druck.	

Werner⁷⁵³⁾ ⁷⁵⁴⁾ bestimmte folgende Zahlen für Siedeerhöhungen.

In Piperidin ($E=2,84$ für 1 Mol pro 1000 g Pip.):

g ZnCl_2	g Pip.	Δ^0	Molargew. des ZnCl_2
0,1408	14,42	0,205	135,4
0,1875	13,12	0,275	147,7
0,3381	13,12	0,435	168,4

In Pyridin ($E=3,01$ für 1 Mol pro 1000 g Pyr.):

g ZnCl_2	g Pyr.	Δ^0	Molargew. des ZnCl_2
0,1595	16,63	0,230	125,1
0,2220	13,43	0,380	130,6
0,2615	16,63	0,365	129,2
0,3228	13,43	0,540	133,6
0,3512	16,63	0,500	126,7
0,4316	13,43	0,703	137,2
0,5010	16,63	0,715	126,4

g ZnBr_2	g Pyr.	Δ^0	Molargew. des ZnBr_2
0,1615	18,65	0,122	213,0
0,3161	18,65	0,245	207,8
0,3487	18,65	0,270	207,8
0,4107	18,65	0,317	208,4
0,5703	18,65	0,440	208,5

In Methylsulfid ($E=1,85$ für 1 Mol pro kg Methylsulfid):

g ZnCl_2	g Methylsulfid	Δ^0	Molargew. des ZnCl_2
0,1530	17,85	0,125	126
0,3885	17,85	0,315	127
0,5145	17,85	0,407	131
0,6080	17,85	0,487	129
0,7430	17,85	0,592	130

g ZnBr_2	g Methylsulfid	Δ^0	Molargew. des ZnBr_2
0,139	15,02	0,07	245
0,345	15,02	0,195	218
0,458	15,02	0,254	222
0,617	15,02	0,359	211

g ZnJ_2	g Methylsulfid	Δ^0	Molargew. des ZnJ_2
0,268	16,81	0,095	310
0,704	16,81	0,245	316
1,002	16,81	0,353	312
1,186	16,81	0,413	316

Außer in Piperidin zeigen also die drei Salze normales Molargewicht. Für wässrige Lösung ergaben sich folgende Resultate.⁷⁵⁴⁾

Gefrierdepressionen. m — g Salz, L = g Wasser.

1. Zn (Triäthylendiamin)₃ SO₄ (Molargew. 341,0):

m	L	Δ	i
0,1289	28,9	0,048	2,0
0,2466	28,9	0,093	2,0
0,3667	28,9	0,138	2,0
0,0981	29,9	0,035	2,0
0,1686	29,9	0,060	2,0
0,2767	29,9	0,100	2,0

2. Zn (Triäthylendiamin)₃ (NO₃)₂ (Molargew. 369,0):

m	L	Δ	i
0,0973	34,8	0,045	3,2
0,2100	34,8	0,095	3,1
0,0884	28,0	0,050	3,2
0,2073	28,0	0,115	3,1
0,3482	28,0	0,190	3,0

3. Zn (Triäthylendiamin)₃ Cl₂ (Molargew. 315,9):

m	L	Δ	i
0,1071	26,4	0,075	3,1
0,1760	26,4	0,120	3,1
0,2176	26,4	0,145	3,0
0,0984	25,6	0,075	3,5 (?)
0,1941	25,6	0,140	3,1

4. Zn (Triäthylendiamin)₃ Br₂ (Molargew. 405,0):

m	L	Δ	i
0,0752	27,6	0,040	3,2
0,1466	27,6	0,075	3,1
0,0856	29,1	0,040	3,0
0,1811	29,1	0,085	3,0

Das Sulfat zeigt darnach zwei Ionen in Lösung, die anderen Salze 3.

Die molare Leitfähigkeit des Nitrats für v Liter pro Mol beträgt
(Temperatur? Einheiten?)

v	Δ	v	Δ
125	186,8	125	187,3
250	192,5	250	195,0
500	209,2	500	202,7
1000	213,0		
2000	226,0		

Kahlenberg⁷⁵⁵) maß elektromotorische Kräfte (π_1 Total, π_2 erste Hälfte der Kette, Konzentration meist 0,1, K = Kalomelnormalelektrode):

	π_1	π_2
Zn \longrightarrow ZnCl ₂ in Pyridin \longrightarrow K	+0,832	+0,272
Zn \longrightarrow ZnCl ₂ in H ₂ O \longrightarrow ZnCl ₂ in Pyridin — Zn	+0,247	+0,546
Zn \longrightarrow Zn(NO ₃) ₂ in Pyridin \longrightarrow ZnCl ₂ in H ₂ O \longrightarrow Zn	+0,026	+0,496

	π_1	π_2
$\text{Zn} \longrightarrow \text{ZnCl}_2$ in Pyridin \longrightarrow K	+1,079	+0,519
$\text{Zn} \longrightarrow \text{Zn}(\text{NO}_3)_2$ in Pyridin $\longrightarrow \text{ZnCl}_2$ in Pyridin \longrightarrow Zn	+0,234	+0,506(?)
$\text{Zn} \longrightarrow \text{Zn}(\text{NO}_3)_2$ in Pyridin \longrightarrow Pyridin \longrightarrow Ag	+1,087	+0,514
$\text{Zn} \longrightarrow \text{ZnCl}_2$ in Anilin (gesätt.) $\longrightarrow \text{ZnCl}_2$ in Pyridin \longrightarrow Zn	+0,111	+0,383
$\text{Zn} \longrightarrow \text{Zn}(\text{NO}_3)_2$ in Anilin (gesätt.) \longrightarrow Anilin \longrightarrow Ag	+0,916	+0,174
$\text{Zn} \longrightarrow \text{ZnCl}_2$ in Chinolin \longrightarrow K	+0,494	-0,066
$\text{Zn} \longrightarrow \text{ZnCl}_2$ in Chinolin $\longrightarrow \text{ZnCl}_2$ in $\text{H}_2\text{O} \longrightarrow$ Zn	+0,598	-0,076(?)
$\text{Zn} \longrightarrow \text{ZnCl}_2$ in Alkohol \longrightarrow K	+0,910	+0,350
$\text{Zn} \longrightarrow \text{ZnCl}_2$ in Alkohol $\longrightarrow \text{ZnCl}_2$ in $\text{H}_2\text{O} \longrightarrow$ Zn	+0,195	+0,327

H. Euler maß die Kette $\text{Zn} | 0,05 \text{ ZnSO}_4 + 0,01 \text{ H}_2\text{SO}_4 + \text{Pyridin} | \text{Zn}$ und fand, daß das Komplexion die Formel $\text{Zn}(\text{Py})_2 \cdots$ hat; für die Beständigkeitskonstante ergab sich $8 \cdot 10^{-2}$.

Oxysalze. Von den zahlreichen in der Literatur angegebenen basischen Salzen kann die Mehrzahl mit ziemlich großer Wahrscheinlichkeit aus der Reihe der sicher charakterisierten Individuen gestrichen werden, denn wenn auch der Möglichkeit der Existenz komplizierter Verbindungen des Zinks durchaus kein Einwand entgegengehalten werden kann, so gehen doch die Angaben der Entdecker sehr weit auseinander, und vielfach sind auch Formeln aufgestellt worden, die in Anbetracht der analytischen Genauigkeit⁷⁵⁶⁾ als ganz willkürlich bezeichnet werden müssen. Daß je nach der Arbeitsweise ganz verschiedene Produkte entstehen, weiß man ganz allgemein bei Stoffen wie Carbonat, es liegt aber auch bei kristallinisch erhaltenen Präparaten die Möglichkeit fester Lösungen vor, so daß auch der Kristallzustand keine Gewähr für die chemische Individualität bietet.

So lassen sich Stoffe wie $\text{Zn}_7\text{O}_5\text{Cl}_4 \cdot 26 \text{ H}_2\text{O}$ (André), $\text{Zn}_7\text{O}_6\text{Br}_2 \cdot 35 \text{ H}_2\text{O}$ (André), $\text{Zn}_{11}\text{O}_9\text{Cl}_4 \cdot 12 \text{ H}_2\text{O}$ (Habermann), $\text{Zn}_{10}\text{O}_5\text{Cl}_2$ (Schindler) mit großer Wahrscheinlichkeit als Zufallsprodukte ansehen.

Dargestellt werden die meisten Verbindungen dieser Art aus ammoniakalischer Lösung des Salzes durch Verdünnen oder aus rein wässriger Lösung durch Digerieren mit ZnO .

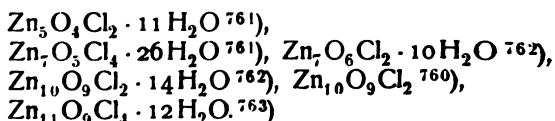
Die Beständigkeit der Stoffe nimmt von Cl zu J zu.

Cl. Auf die Existenz mindestens eines definierten Zinkoxychlorids läßt sich mit Wahrscheinlichkeit aus der Tatsache schließen, daß Gemische von ZnO und ZnCl_2 in feuchtem Zustand eine anfangs plastische, später hart werdende Masse bilden, ein Verhalten, welches zu technischen Zwecken ausgenutzt worden ist. Durch FeCl_2 , MnCl_2 , NiCl_2 , CoCl_2 werden ebenfalls mit ZnO Kittmassen von großer Festigkeit erhalten⁷⁵⁷⁾, und auch Alkalisalze scheinen Verbindungen dieser Art einzugehen, denn in wässrigem NaCl löst sich etwas ZnO auf.⁷⁵⁸⁾ Man kann auf Grund der letzten Tatsache sogar vermuten, daß ein komplexes Zinkanion bei diesen Erscheinungen eine Rolle spielt. FeCl_2 -Lösung wird zur Aufschließung von Zn-Erz verwendet.

Das Verhältnis $\text{Cl}:\text{O} = 1:1$ findet sich merkwürdigerweise nicht in der Literatur, 3:1 und 4:1 scheinen am häufigsten beobachtet zu sein.

Beschrieben sind:

$\text{Zn}_3\text{O}_2\text{Cl}_2 \cdot 4 \text{ H}_2\text{O}$, erhalten aus ZnCl_2 , H_2O , ZnO bei 200° ⁷⁵⁹⁾,
 $\text{Zn}_4\text{O}_3\text{Cl}_2 \cdot 2 \text{ H}_2\text{O}$ von Schindler⁷⁶⁰⁾, $\text{Zn}_4\text{O}_3\text{Cl}_2 \cdot 5 \text{ H}_2\text{O}$ ⁷⁶¹⁾,
 $\text{Zn}_4\text{O}_3\text{Cl}_2 \cdot 8 \text{ H}_2\text{O}$ ⁷⁶¹⁾,



Bildungswärmen dieser jedenfalls zum größten Teile nicht individuellen Präparate maß André.⁷⁶⁴⁾

Nach Friderich, Mallet und Guye^{764a)} tritt $\text{Zn}(\text{OCl})_2$ als Zwischenprodukt bei dem Prozesse der Alkalichloratbildung aus ZnO , NaCl , Cl_2 , H_2O auf.

Br. $\text{Zn}_5\text{O}_4\text{Br}_2 \cdot 10\text{H}_2\text{O}$ und $\text{Zn}_5\text{O}_4\text{Br}_2 \cdot 19\text{H}_2\text{O}$ beschreibt André.⁷⁶⁵⁾

$\text{Zn}_5\text{O}_4\text{Br}_2 \cdot 13\text{H}_2\text{O}$ erhielt derselbe Autor in Kristallen, und er berechnet die Bildungswärme dieser Verbindung zu $[\text{ZnBr}_2] + 4[\text{ZnO}] + 13\text{H}_2\text{O} = [\text{Zn}_5\text{O}_4\text{Br}_2 \cdot 13\text{H}_2\text{O}] + 3400 \text{ cal.}$

$\text{Zn}_6\text{O}_5\text{Br}_2 \cdot 6\text{H}_2\text{O}$ erhielt er in Kristallen aus ZnO und konzentrierter ZnBr_2 -Lösung bei 200° .

$\text{Zn}_7\text{O}_6\text{Br}_2 \cdot 35\text{H}_2\text{O}$ ist das komplizierteste der von ihm erhaltenen basischen Salze.

Die Oxybromide lösen sich in KOH und in NH_4OH , aber schwerer als die Oxychloride.

Lösungswärmen usw. maß André.⁷⁶⁵⁾

J. Aus ZnJ_2 , ZnO und H_2O entsteht bei 150° $\text{Zn}_{10}\text{O}_9\text{J}_2 \cdot 24\text{H}_2\text{O}$ ein wasserunlöslicher Stoff, der aber von KOH , von NH_4OH und von Säuren leicht aufgenommen wird und bei 180° J verliert.⁷⁶⁶⁾

$\text{Zn}_6\text{O}_5\text{J}_2 \cdot 11\text{H}_2\text{O}$ entsteht durch Füllen von NH_4OH mit ZnJ_2 .⁷⁶⁷⁾

Lösungswärmen bestimmte Tassilly.⁷⁶⁶⁾

Cy. Ein Oxycyanid Zn_4OCy_6 entsteht aus ZnO und HCN .⁷⁶⁷⁾

NO_3 . Aus $\text{Zn}(\text{NO}_3)_2$ und H_2O entstehen bei 310° kleine weiße Nadeln von $\text{Zn}_2(\text{OH})_3\text{NO}_3$ ⁷⁶⁸⁾, die sich nicht in H_2O , wohl aber in Säuren lösen, bei 180° H_2O verlieren und bei 220° zerfallen.⁷⁶⁸⁾

$\text{Zn}_4(\text{NO}_3)_2\text{O}_3 \cdot 4\text{H}_2\text{O}$ erhielten aus $\text{Zn}(\text{NO}_3)_2$, Zn und H_2O durch Kochen Athanasesco⁷⁶⁹⁾ und durch unvollständiges Füllen von $\text{Zn}(\text{NO}_3)_2$ mit NH_4OH Grouvelle.⁷⁶⁹⁾

$\text{Zn}_5(\text{NO}_3)_2\text{O}_4 \cdot 5\text{H}_2\text{O}$ entsteht aus Zn und $\text{Zn}(\text{NO}_3)_2$ als schwer löslicher kristallinischer Stoff.⁷⁷⁰⁾ Dasselbe Präparat entstand aus dem normalen Nitrate und CaCO_3 bei 100° als Hexahydrat $\text{Zn}_5(\text{NO}_3)_2\text{O}_4 \cdot 6\text{H}_2\text{O}$.⁷⁷¹⁾

$\text{Zn}_6(\text{NO}_3)_2\text{O}_5 \cdot 8\text{H}_2\text{O}$ und $\text{Zn}_6(\text{NO}_3)_2\text{O}_5 \cdot 7\text{H}_2\text{O}$ erhielt Riban⁷⁷²⁾, beide in Kristallen, das letztgenannte rhombisch oder triklin.

SO_4 . Zn_2OSO_4 ist bereits von Schindler⁷⁷³⁾ beschrieben worden.

$\text{Zn}_2\text{OSO}_4 \cdot \text{H}_2\text{O}$ (oder $\text{Zn}_2(\text{OH})_2\text{SO}_4$) entsteht aus ZnSO_4 und H_2O bei 200° bis 250° in feinen, anscheinend rhombischen Nadeln.⁷⁷⁴⁾

Aus ZnSO_4 , H_2O und ZnO entsteht bei 160° schwer lösliches $\text{Zn}_4\text{O}_3\text{SO}_4 \cdot 7\text{H}_2\text{O}$, das erst bei hoher Temperatur H_2O abgibt (Athanasesco⁷⁷⁴⁾). $\text{ZnO}_3\text{SO}_4 \cdot 2\text{H}_2\text{O}$ erhielt Schindler⁷⁷³⁾, $\text{Zn}_4\text{O}_3\text{SO}_4 \cdot 5\text{H}_2\text{O}$ Habermann⁷⁷⁵⁾ als sehr schwer lösliches Salz, das bei 100° im Vakuum einen Teil seines H_2O verliert.

Zn_2OSO_4 und $\text{Zn}_2\text{OSO}_4 \cdot \text{H}_2\text{O}$ können mit einiger Wahrscheinlichkeit als Individuen gelten, die anderen kaum.

Als Anhang zu den Oxysalzen mögen noch einige eigentümliche kupferhaltige Verbindungen erwähnt werden, die, sofern ihre Individualität in Zukunft ganz sichergestellt werden sollte, vermutlich mehr zur Gruppe des Cu als des

Zn zu rechnen sein werden. Indessen kann man vorläufig diese Stoffe auch so formulieren, daß sie sich den Zn-Additionsverbindungen anschließen.

Aus ZnCl_2 und $\text{Cu}_4\text{O}_3(\text{OH})_2$ entsteht durch Kochen $\text{Zn}(\text{CuO})_3\text{Cl}_2 \cdot 4\text{H}_2\text{O}$, ein blaues Kristallpulver.⁷⁷⁶⁾ Analog entsteht ein grünes Pulver von $\text{Zn}(\text{CuO})\text{Br}_2 \cdot 4\text{H}_2\text{O}$, während CuO und ZnBr_2 grünes Kristallpulver von $\text{Zn}(\text{CuO})_3\text{Br}_2 \cdot 2\text{H}_2\text{O}$ bilden.⁷⁷⁶⁾ Aus $\text{Zn}(\text{NO}_3)_2$ entstanden hexagonale Lamellen von $\text{Zn}(\text{CuO})_3(\text{NO}_3)_2 \cdot 3\text{H}_2\text{O}$.⁷⁷⁷⁾ Auch die Verbindungen $\text{Zn}(\text{CuO})_3\text{SO}_4$, $\text{Zn}(\text{CuO})_2\text{SO}_4$ und $\text{Zn}_2(\text{CuO})_3(\text{SO}_4)_2$ in verschiedenen Hydratstufen wurden dargestellt.⁷⁷⁸⁾

Diese Mannigfaltigkeit erscheint der Annahme der chemischen Individualität nicht eben günstig. Allerdings wird nach Recoura⁷⁷⁹⁾ $\text{Zn}(\text{CuO})_3\text{SO}_4$ von kochendem Na_2CO_3 kaum angegriffen.

HgO verhält sich dem CuO ähnlich.⁷⁸⁰⁾ Aus ZnCl_2 und HgO entstand nur $\text{Zn}_2\text{O}_3\text{Cl}_2 \cdot 3\text{H}_2\text{O}$, aus ZnBr_2 dagegen lange trikline Prismen von $\text{Zn}(\text{HgO})\text{Br}_2 \cdot 8\text{H}_2\text{O}$ und aus $\text{Zn}(\text{NO}_3)_2$ $\text{Zn}(\text{HgO})(\text{NO}_3)_2\text{H}_2\text{O}$, das Nitrat wird durch H_2O in HgO und $\text{Zn}(\text{NO}_3)_2$ zerlegt.

März 1905.

Literatur.

- 1) Z. B. gefunden bei Melbourne, vgl. Phipson, C. r. **55**, 218, 1862.
- 2) Die für die Praxis nicht in Betracht kommende Reduktion durch H_2 verlangt sehr hohe Temperatur, vgl. Ditte, C. r. **75**, 110, 1871.
- 3) Caspari, Zeitschr. phys. Chem. **30**, 95, 1899.
- 4) Kunschert, Zeitschr. anorg. Chem. **41**, 346, 1904.
- 5) Funk, Zeitschr. anorg. Chem. **11**, 49, 1896; Berl. Ber. **28**, 3129, 1895.
- 6) L'Hôte, Ann. chim. phys. [6] **3**, 142, 1884; auch Selmi, Berl. Ber. **12**, 138, 1879; C. r. **98**, 1491, 1884; Lescoeur, C. r. **120**, 836, 1895.
- 7) Vgl. Zenger, ref. Berl. Ber. **6**, 629, 1873.
- 8) Zeitschr. f. Elektr. **7**, 25, 1890.
- 9) Zeitschr. anorg. Chem. **9**, 144, 1895.
- 9a) Vgl. dazu Heycock und Neville, J. Ch. Soc. **71**, 383, 1897.
- 10) Zeitschr. f. Elektr. **5**, 18, 1898/99.
- 11) Bolley, Lieb. Ann. **94**, 294, 1855.
- 12) Pogg. Ann. **83**, 129, 1851; **107**, 448, 1859.
- 13) Pogg. Ann. **74**, 442, 1849. — Ann. chim. phys. [3] **22**, 37, 1848.
- 14) Williams und Burton, Am. Chem. Journ. **11**, 219, 1889. — Ferner Termier, C.-Bl. 1900, I, 1262. — Ältere Literatur: Nöggerath, Pogg. Ann. **39**, 324, 1836. — Stolba, Journ. pr. Chem. **96**, 178, 1865. — Kammerer, Berl. Ber. **7**, 1724, 1874. — Brögger und Flink, Zeitschr. f. Kryst. **9**, 236, 1884. — Laurent und Holms, Ann. chim. phys. **60**, 333, 1835. — Williams, Am. Chem. Journ. **14**, 273, 1892. — G. Rose, vgl. Ortloff, Zeitschr. phys. Chem. **19**, 203, 1896.
- 15) Bolley, Lieb. Ann. **94**, 294, 1855. — Schröder, Pogg. Ann. **52**, 282, 1841; **107**, 119, 1859.
- 16) Z. B. Spring, Berl. Ber. **16**, 2723, 1883. — Brisson, s. 15).
- 17) Kalischer, Berl. Ber. **14**, 2747, 1881.
- 18) Kahlbaum, Roth und Siedler, Zeitschr. anorg. Chem. **29**, 284, 1902.
- 19) Wied. Ann. **13**, 58, 1881; **18**, 364, 1883; vgl. auch Roberts und Wrightson, Pogg. Ann. Suppl. **5**, 817, 1871.
- 20) Kopp, Lieb. Ann. **81**, 30, 1851. — Pogg. Ann. **86**, 156, 1852. — Vgl. auch Schröder, Pogg. Ann. **52**, 282, 1841, und ferner Calvert und Johnson, J.-Ber. 1859, 10.
- 21) C. r. **68**, 1125, 1869.
- 22) Pogg. Ann. **130**, 50, 1867. — J.-Ber. 1866, 23.
- 23) Zeitschr. phys. Chem. **15**, 70, 1894.
- 24) Werigin, Lewkojeff und Tammann, Drud. Ann. **10**, 647, 1903.
- 24a) Burton und Marshall, J.-Ber. 1891, 99.
- 25) Phil. Mag. [5] **46**, 59, 1898.
- 26) Journ. Chem. Soc. **67**, 160, 1895.
- 27) Berl. Ber. **26**, 2446, 1893.
- 28) Drud. Ann. **2**, 505, 1900.
- 29) J.-Ber. 1890, 269. Beibl. **15**, 188, 1891.
- 30) Z. B. Person, J.-Ber. 1847/48, 81, ferner Guyton-Morveau, sowie Silbermann und Jacquelin, endlich E. Becquerel, Ann. chim. phys. [3] **68**, 49, 1863. Andere Zitate bei Ortloff, Zeitschr. phys. Chem. **19**, 204, 1896 und Haber, Habilitationsschrift Karlsruhe 1896.

- 31) Demarçay, C. r. **94**, 184, 1882; ferner Schuller, Wied. Ann. **18**, 317, 1883.
 — Spring, Berl. Ber. **15**, 70, 1882. — Krafft und Bergfeld, Berl. Ber. **38**, 254, 1905.
 32) Berl. Ber. **15**, 1079, 1882. — C. r. **94**, 720, 1882. — **89**, 702, 1879.
 33) C. r. **131**, 381, 1900.
 34) Wied. Ann. **68**, 817, 1899.
 35) Phil. Mag. [5] **48**, 419, 1899.
 36) C. r. **90**, 727 und 772, 1880.
 37) Phil. Mag. [5] **29**, 150, 1890.
 38) V. Meyer und J. Mensching, Berl. Ber. **19**, 3298, 1886. — H. Biltz, Zeitschr. phys. Chem. **19**, 415, 1896.
 39) Lieb. Ann. III. Suppl. 289, 1864/65.
 39a) Carnelley, Phil. Mag. [5] **29**, 108, 1890.
 40) Pogg. Ann. **141**, 1, 1870.
 41) J.-Ber. 1847/48, 81.
 42) Centr.-Bl. 1903, II, 101. Beibl. **28**, 95, 1904.
 43) C. r. **114**, 907, 1892.
 44) Drud. Ann. **1**, 261, 1900.
 45) Phys. Rev. **4**, 161, 1895.
 46) Zeitschr. anorg. Chem. **29**, 284, 1902.
 46a) Vgl. Landolt-Börnstein, Tab. 1894.
 47) Beibl. **12**, 326, 1888.
 48) Journ. Chem. Soc. **71**, 383, 1897; s. a. Zeitschr. phys. Chem. **24**, 379, 1897.
 49) Mazzotto, J.-Ber. 1887, 2516.
 50) Person, J.-Ber. 1847/48, 81.
 51) Sutherland, Phil. Mag. [5] **46**, 345, 1898. — Ref. Zeitschr. phys. Chem. **27**, 688, 1898.
 51a) Pogg. Ann. **135**, 671, 1868 und Wied. Ann. **61**, 280, 1897.
 52) Phil. Mag. [5] **36**, 293, 1893.
 53) Vgl. Streintz, Drud. Ann. **8**, 847, 1902. — Ältere Untersuchungen stammen von Matthiessen, Pogg. Ann. **103**, 429, 1858; **110**, 205, 1860; Matthiessen und e, Pogg. Ann. **115**, 391, 1862; E. Becquerel, C. r. **22**, 417, 1846; Pogg. Ann. **70**, 243, 1847; Wiedemann, Pogg. Ann. **108**, 393, 1859; Calvert und Johnson, C. r. **47**, 1072, 1858; Berget, C. r. **110**, 76, 1890; Péciot, C. r. **8**, 631, 1839; Benoit, C. r. **76**, 342, 1873; Oberbeck und Bergmann, Wied. Ann. **31**, 792, 1887; Mayrhofer, Zeitschr. f. Instrk. **11**, 50, 1891; Kirchhoff und Hansemann, Wied. Ann. **13**, 406, 1881; De la Rive, C. r. **57**, 698, 1863 (zum Teil nach Landolt-Börnstein, Tab. 1894).
 54) F. E. Neumann, Ann. chim. phys. [3] **66**, 183, 1862; Phil. Mag. [4] **25**, 63, 1863; Berget, s. o.; H. F. We Berl. Monatsber. 1880, 457; Kirchhoff und Hansemann, s. o.
 55) Landolt-Börnstein, Tab. 1894.
 56) Ref. Masson, Pogg. Ann. **103**, 272, 1858.
 57) Zeitschr. phys. Chem. **32**, 127, 1900.
 58) Ber. **35**, 1929—1935, 1901.
 59) Pogg. Ann. **12**, 323, 1828; vgl. die Bemerkungen dazu von Berzelius, J.-Ber. 1830, 69 und L. Meyer, Pogg. Ann. **104**, 189, 1858.
 60) Ztschr. phys. Chem. **9**, 8, 1892.
 61) Zuerst wohl von de la Rive, Ann. chim. phys. **43**, 425, 1830; ferner Barbot, Mahier, Begemann (vgl. unten Spring u. van Aubel), v. d. Vliet, Pogg. Ann. **48**, 315, 1839; Millon, C. r. **21**, 39, 1845 und Pogg. Ann. **66**, 449, 1845; Mills und McKay, J.-Ber. 1883, 12; Calvert und Johnson, J.-Ber. 1866, 218; Ball, Journ. Chem. Soc. **71**, 642; Weeren, Berl. Ber. **24**, 1785, 1891; Pullinger, Journ. Chem. Soc. **57**, 815, 1890; Reynolds und Ramsay, Journ. Ch. Soc. **52**, 854, 1887; Baudrimont, C. r. **21**, 254, 1845; Deville, C. r. **70**, 20 und 550, 1870; Gladstone und Tribe, Berl. Ber. **5**, 299, und 814, 1871; Grove, C. r. **8**, 1023, 1839; d'Almeida, C. r. **68**, 442, 1869; Guldberg und Waage, Ostw. Klassiker 104. Kajander ref. Berl. Ber. **14**, 2053, 1881. Weitere Literatur bei Comey, Dict. of solubilities.
 62) Palmaer und Ericson-Aurén, Zeitschr. phys. Chem. **39**, 1901; **45**, 182, 1903; Ericson-Aurén, Ztschr. anorg. Chem. **27**, 209, 1901.
 62a) Z. ph. Ch. **51**, 95, 1905.

- 62b) Ztschr. phys. Chem. **1**, 465, 1887.
 62c) Zeitschr. phys. Chem. **35**, 291, 1900 und **36**, 91, 1901.
 62d) Ostwald, Zeitschr. phys. Chem. **1**, 520 und 601, 1887. — Pellat, C. r. **104**, 1099, 1887. — Paschen, Wied. Ann. **41**, 42 und 186, 1890; **43**, 556, 1891. — Nernst, Zeitschr. phys. Chem. **2**, 23, 1888. — Koosen, Wied. Ann. **32**, 508, 1887. — Jahn, Wied. Ann. **34**, 755, 1888. — Warburg, Wied. Ann. **38**, 321, 1889. — Enright, Phil. Mag. [5] **29**, 56, 1890; ref. Zeitschr. phys. Chem. **5**, 91, 1890. — Le Blanc, Zeitschr. phys. Chem. **5**, 473, 1890; **8**, 299, 1891; **12**, 333, 1893. — Beetz, Wied. Ann. **26**, 15, 1885. — G. Meyer, Wied. Ann. **56**, 680, 1895; Zeitschr. phys. Chem. **7**, 482, 1891. — Englich, Wied. Ann. **50**, 88, 1893. — Noll, Wied. Ann. **53**, 894, 1894. — Abt, Drud. Ann. **2**, 274, 1900. — Bouty, C. r. **90**, 918, 1880. — Reinders, Zeitschr. anorg. Chem. **25**, 125, 1900. — Kahlenberg, Journ. phys. Chem. **3**, 388, 1899. — Ebeling, Wied. Ann. **30**, 530, 1887. — Salvadori, Gazz. Chim. Ital. **29**, I, 498, 1899. — Wolff, Beibl. **12**, 700, 1888. — Oberbeck und Edler, Wied. Ann. **42**, 208, 1891. — Rothmund, Zeitschr. phys. Chem. **15**, 22, 1894. — Richards und Lewis, Zeitschr. phys. Chem. **28**, 11, 1899. — Lehfeldt, Zeitschr. phys. Chem. **35**, 257, 1900. — Cady, Journ. phys. Chem. **2**, 553, 1898. — Kunschert, Zeitschr. anorg. Chem. **41**, 350, 1904. — Vgl. auch ZnSO_4 , Clark — Daniell —, ZnCl_2 etc.
 63) Amer. Chem. Journ. **12**, 254, 1890.
 64) Thomsen, Th. U. III, 272, 1883. — Dasselbst Literatur.
 65) Die Normalelektrode zu $-0,560$ angenommen.
 66) Ostwald, Zeitschr. phys. Chem. **11**, 501, 1893. — Vgl. auch H. Jahn, Zeitschr. phys. Chem. **18**, 399, 1895. — Wied. Ann. **28**, 21 u. 491, 1886.
 67) Zeitschr. phys. Chem. **43**, 510, 1903. — Vgl. auch Berl. Akad. Ber. 1904. 28. Juli.
 68) Vgl. Coehn und Dannenberg, Zeitschr. phys. Chem. **38**, 616, 1901.
 69) Poulenc, C. r. **116**, 581, 1893 und Ann. chim. phys. [7] **2**, 33, 1894.
 70) Carnelley, Journ. Chem. Soc. **33**, 278, 1878.
 71) Clarke, J.-Ber. 1877, 269.
 72) Bodlaender, Ztschr. phys. Chem. **27**, 63, 1898; vergl. auch F. Kohlrausch, Ztschr. phys. Chem. **44**, 263, 1903.
 73) Berzelius, Pogg. Ann. **1**, 26, 1824.
 74) Berthelot, Thermochimie II, 719, 1897.
 75) E. Petersen, Ztschr. phys. Chem. **4**, 384, 1889.
 76) Marignac, Ann. chim. phys. [3] **60**, 301, 1860.
 77) Moissan, Ann. chim. phys. [6] **19**, 286, 1890; J.-Ber. 1890, 500.
 78) Baxter und Lamb, Amer. Chem. Journ. **31**, 229, 1904; C.-Bl. 1904, I, 1062; vergl. auch Bödeker, J.-Ber. 1860, 17.
 79) Braun, Pogg. Ann. **154**, 190, 1874; Graetz, Wied. Ann. **40**, 26, 1890; Schultze, Ztschr. anorg. Chem. **20**, 331, 1899.
 80) F. Frey und V. Meyer, Berl. Ber. **25**, 632, 1892.
 81) V. und C. Meyer, Berl. Ber. **12**, 1197, 1879.
 82) Berthelot, J.-Ber. 1878, 102.
 83) Thomsen, Th. U. III, 273, 1883.
 84) Ztschr. anorg. Chem. **2**, 240, 1892.
 85) C. r. **102**, 1111, 1886.
 86) Ann. chim. phys. [7] **2**, 536, 1894.
 87) Berl. Ber. **38**, 922, 1905. [Chem. **17**, 234, 1898.
 88) Ref. Z. phys. Chem. **23**, 557, 1897; vergl. auch Kurnakow, ref. Ztschr. anorg.
 88a) Mylius und Dietz, Z. anorg. Ch. **44**, 209, 1905.
 89) Ann. chim. phys. [7] **2**, 85, 1894.
 90) Kremers, Pogg. Ann. **104**, 155, 1858. — Ferner vergl. Long, Wied. Ann. **11**, 37, 1880; J. Wagner, Wied. Ann. **18**, 267, 1883 und Ztschr. phys. Chem. **5**, 40, 1890; Mendelejeff, J.-Ber. 1884, 117; Ostwald, Wied. Ann. **2**, 249, 1877, Journ. pr. Ch. (2) **16**, 385, 1877.
 91) Kremers, Pogg. Ann. **105**, 374, 1858.
 92) Wied. Ann. **55**, 119, 1895; vergl. auch Wüllner, Pogg. Ann. **133**, 1, 1868; Frankenheim, Pogg. Ann. **72**, 422, 1847.
 93) Ley, Ztschr. phys. Chem. **30**, 226, 1899.
 94) Tammann, Wied. Ann. **34**, 307, 1888.
 95) Tammann, Ref. Ztschr. phys. Chem. **2**, 43, 1888.

- 96) J.-Ber. 1878, 54.
- 97) Ältere Messungen, vergl. Arrhenius, Ztschr. phys. Chem. **1**, 635, 1887.
- 98) Ztschr. phys. Chem. **11**, 547, 1893. — i ist mit der Depressionskonstanten 1,89 berechnet, da die Δ -Werte jedenfalls zu hoch gefunden sind.
- 99) Zeitschr. phys. Chem. **40**, 199, 1902.
- 100) Amer. Chem. Journ. **23**, 512, 1900.
- 100a) Z. phys. Ch. **49**, 384, 1904.
- 101) Kohlrausch-Holborn nach Messung von Long, Wied. Ann. **11**, 37, 1880.
- 102) Pogg. Ann. **106**, 550, 1859.
- 103) Hittorf, Zeitschr. phys. Chem. **39**, 629, 1901; **43**, 239, 1903.
- 104) Wied. Ann. **64**, 665, 1898. Andere Untersuchungen wurden ausgeführt von Moser, Wien. Ak. Ber. IIa, **92**, 652, 1885; Chassy, Ann. chim. phys. [6] **21**, 241, 1890.
- 105) Berl. Ak. Ber. 1904, 28. Juli.
- 106) Zeitschr. phys. Chem. **9**, 617, 1892.
- 107) Zeitschr. phys. Chem. **36**, 63, 1901.
- 107a) Z. phys. Ch. **38**, 602, 1901. Zeitschr. f. Elektroch. **11**, 1905.
- 108) Lussana, N. Cim. [4] **5**, 357 und 441, 1897.
- 109) Wien. Ak. Ber. IIa, **103**, 784, 1894.
- 110) Phil. Mag. [5] **17**, 377, 1884.
- 111) Zeitschr. phys. Chem. **14**, 272, 1894.
- 112) Diss. Breslau 1904 und Zeitschr. f. Elektr. **10**, 76, 1904. — Ferner Immerwahr, Zeitschr. f. Elektr. **7**, 482, 1901.
- 113) Ostwald, Zeitschr. phys. Chem. **1**, 403, 1887. — Carhart, ref. Zeitschr. phys. Chem. **13**, 571, 1894. — Ferner Moser, Wien. Ak. Ber. **92**, 2, 1885; **94**, 2, 1886. — Leffeldt, Zeitschr. phys. Chem. **35**, 273, 1900. — Kümmell, Wied. Ann. **64**, 665, 1898.
- 114) Zeitschr. phys. Chem. **13**, 631, 1894. — Bei Goodwin, sowie bei Gockel, Wied. Ann. **50**, 699, 1893 und Gilbert, C. r. **113**, 465, 1891, Daten über das Warren de la Rue-Element Zn—ZnCl₂—AgCl—Ag.
- 114a) Bull. Ac. Crac. 1902, 146.
- 115) C. r. **90**, 917, 1880.
- 116) Wied. Ann. **30**, 530, 1887; vgl. auch Hagenbach, Wied. Ann. **53**, 461, 1894.
- 117) Wied. Ann. **28**, 634, 1885 und **40**, 462, 1890.
- 118) Wied. Ann. **50**, 699, 1893. — Ferner Hibbert, ref. Zeitschr. f. Elektr. **3**, 124 und 338, 1896/97. — Carhart, ref. Zeitschr. phys. Chem. **13**, 133, 1894. — Richards, Zeitschr. phys. Chem. **24**, 53, 1897.
- 119) Valson, Ann. chem. phys. [4] **20**, 376, 1870. — C. r. **74**, 104, 1872. — Ferner Klupathy, Beibl. **12**, 750, 1888. — Sentis, C. r. **118**, 1132, 1894.
- 120) Wied. Ann. **18**, 267, 1883, und Zeitschr. phys. Chem. **5**, 40, 1890. — Ferner Arrhenius, Zeitschr. phys. Chem. **1**, 295, 1887.
- 121) Vergl. Graham, J.-Ber. 1851, 7. — J. C. Graham, Z. phys. Ch. **50**, 257, 1904.
- 122) Ann. chim. phys. [5] **8**, 410, 1876.
- 123) Wied. Ann. **23**, 161, 1884.
- 124) Thomsen, Th. U. III, 39, 1883; vergl. auch Wright und Thompson, Phil. Mag. [5] **17**, 377, 1884; ferner André, Ann. et phys. [6] **3**, 85, 1884; Theoretische Betrachtungen bei Happart vgl. Beibl. **28**, 165, 1904.
- 125) Thomsen, Th. U. I, 348, 1882.
- 126) Vergl. Kopp, Lieb. Suppl. III, 289, 1864/65.
- 127) Beetz, Wied. Ann. **7**, 456, 1879. — Bredig, Ztschr. phys. Chem. **23**, 546, 1897. — G. Jäger, J.-Ber. 1890, 260.
- 128) Dijken, Ztschr. phys. Chem. **24**, 81, 1897. — Ferner Gladstone und Hibbert, Journ. Chem. Soc. **67**, 831, 1895. — Wüllner, Pogg. Ann. **133**, 1, 1868. — Buchkremer, Ztschr. phys. Chem. **6**, 176, 1890. — Valson, C. r. **76**, 224, 1873. — Fouqué, C. r. **64**, 121, 1867.
- 129) Vergl. Landolt-Börnstein, Tab. 1894.
- 130) A. Naumann, Berl. Ber. **32**, 1000, 1899.
- 131) Cattaneo, s. u. 138)
- 132) Krug und Elroy, J.-Ber. 1892, 1554; Eidmann, Diss. Giessen 1899.
- 133) Castoro, Gazz. **28**, II, 317, 1898.
- 134) Kahlenberg, Journ. phys. Chem. **3**, 388, 1899.
- 135) Lincoln, Journ. phys. Chem. **3**, 460, 1899.

- 136) C. r. **125**, 1095, 1897.
- 137) Pickering, J.-Ber. 1888, 322.
- 138) Cattaneo, Acc. Linc. [5] **4**, II, 63, 1895.
- 139) Am. Chem. Journ. **23**, 397, 1899.
- 140) Pogg. Ann. **106**, 553, 1859.
- 141) s. o. bei Wasser S. 330.
- 142) Cattaneo, Acc. Linc. [5] **2**, II, 112, 1893.
- 143) Kahlenberg, loc. cit.
- 144) R. Lorenz, Ztschr. anorg. Chem. **10**, 86, 1895.
- 145) Pogg. Ann. **154**, 190, 1874 und Berl. Ber. **7**, 960, 1874.
- 146) Wied. Ann. **40**, 26, 1890.
- 147) Ztschr. anorg. Chem. **20**, 331, 1899.
- 148) Ztschr. anorg. Chem. **11**, 274, 1896.
- 149) Ztschr. anorg. Chem. **25**, 307, 1900.
- 150) Ztschr. anorg. Chem. **27**, 152, 1901; vgl. auch Buscemi, Jahrb. f. Elektroch. **8**, 272, 1901.
- 151) Vergl. auch Czepinski, Ztschr. anorg. Chem. **19**, 221, 1899.
- 152) Ztschr. anorg. Chem. **23**, 285, 1900.
- 152a) Bottomley, Proc. Ch. Soc. **19**, 272 C. Bl. 1901 I, 139; Motylewski, Z. anorg. Ch. **38**, 410, 1904.
- 153) Nordenskjöld nach Ortloff, Ztsch. phys. Chem. **19**, 210, 1896.
- 154) Rammelsberg, Pogg. Ann. **55**, 240, 1842. — Berthémot, J.-Ber. 1860, 17.
- 155) Ljubarski, ref. Bull. [3] **16**, 1753, 1896.
- 156) J.-Ber. 1860, 17.
- 157) Ztschr. anorg. Chem. **10**, 6, 1895.
- 158) Carnelley, Journ. Chem. Soc. **33**, 277, 1878.
- 159) F. Freyer und V. Meyer, Berl. Ber. **25**, 632, 1892.
- 160) Th. U. III, 275, 1883; vergl. auch Berthelot, J.-Ber. 1878, 103.
- 161) Ztschr. anorg. Chem. **20**, 247, 1899.
- 162) Ref. Ztsch. phys. Chem. **23**, 557, 1897. -- Bull. [3] **16**, 1753, 1896; vergl. auch Kurnakow, Ztschr. anorg. Chem. **17**, 234, 1898.
- 163) Lescoeur, Ann. chim. phys. [7] **2**, 101, 1894.
- 164) loc. cit. — Ältere ungenaue Bestimmungen stammen von Étard, Ann. chim. phys. [7] **2**, 541, 1894.
- 164a) Thomsen, Th. U. III, 201, 1883.
- 165) Kremers, Pogg. Ann. **104**, 155, 1858; vergl. auch Mendelejeff, J.-Ber. 1884, 117.
- 166) Kremers, Pogg. Ann. **108**, 122, 1859.
- 167) G. Jaeger, Wien. Monatsh. **8**, 723, 1887.
- 168) Arrhenius, Ztsch. phys. Chem. **9**, 487, 1892.
- 169) Wied. Ann. **64**, 665, 1898.
- 170) Goodwin, Ztsch. phys. Chem. **13**, 632, 1894; ferner vergl. auch Braun, Wied. Ann. **16**, 579, 1882 und **17**, 629, 1882; Immerwahr, Ztsch. f. Elektr. **7**, 482, 1901.
- 171) Gockel, Wied. Ann. **24**, 634, 1885.
- 172) Berthémot, Ann. chim. phys. **44**, 388, 1830.
- 173) Cattaneo, Acc. Lin. [5] **4**, II, 63, 1895.
- 174) Wied. Ann. **40**, 26, 1890.
- 175) Ztschr. anorg. Chem. **19**, 241, 1899.
- 176) Rammelsberg, Pogg. Ann. **38**, 665, 1836.
- 177) Bödeker, J.-Ber. 1860, 17.
- 178) Carnelley, Journ. Chem. Soc. **33**, 278, 1878.
- 179) Ztschr. anorg. Chem. **20**, 250, 1899.
- 180) Ref. Ztschr. anorg. Chem. **18**, 387, 1898 und Ztschr. phys. Chem. **23**, 557, 1897; s. a. Kurnakow, Ztschr. anorg. Chem. **17**, 234, 1898.
- 181) Th. U. III, 275, 1883; vergl. auch Berthelot, J.-Ber. 1878, 102.
- 182) loc. cit. Die Angaben von Étard (Ann. chim. phys. [7] **2**, 544, 1894) sind nicht einwandfrei.
- 182a) Thomsen, Th. U. III, 201, 1883.
- 183) Kremers, Pogg. Ann. **104**, 156, 1858.
- 184) Kremers, Pogg. Ann. **111**, 67, 1860.

- 185) Wien. Monatsh. **8**, 723, 1887. — Die Zahlen sind sehr unsicher.
 186) Pogg. Ann. **106**, 549, 1859.
 187) Wied. Ann. **64**, 666, 1898.
 188) Immerwahr, Ztschr. f. Elektr. **7**, 482, 1901; ferner s. Braun, Wied. Ann. **16**, 579, 1882 und **17**, 631, 1882.
 189) Phil. Mag. [5] **21**, 289, 1886; vergl. auch Ztschr. f. Elektr. **2**, 34, 1895/96.
 190) Phil. Mag. [5] **40**, 91, 1895; vgl. auch Danneel, Z. f. Elektroch. **4**, 153, 1897.
 191) Wied. **24**, 634, 1885.
 192) Ann. chim. phys. [4] **20**, 361, 1870. — C. r. **74**, 103, 1872.
 193) Cattaneo Acc. Linc. [5] **4**, II. 63, 1895.
 194) loc. cit.
 195) Graetz, Wied. Ann. **40**, 26, 1890.
 196) Berzelius' J.-Ber. **20**, 152.
 197) J.-Ber. 1860, 226; vergl. auch Rammelsberg, Lieb. Ann. **64**, 300, 1847.
 198) Loebe, Diss. Berlin 1902.
 199) Aufschläger, Wien. Mtsh. **13**, 268, 1892.
 200) Joannis, Ann. chim. phys. [5] **26**, 500, 1882.
 201) Sharwood, J. Am. Chem. Soc. **25**, 570, 1903. [711, 1899.
 202) Th. U. III, 475, 1883. Andre Reaktionswärmen vergl. Berthelot, C. r. **128**,
 203) Christy, C.-Bl. 1901, II, 1033; vergl. auch Paschen, Wied. Ann. **41**, 42, 1890.
 204) Pogg. Ann. **56**, 74, 1842.
 205) Bodeker will reguläre Oktaeder erhalten haben; Lieb. Ann. **94**, 358, 1855;
 vergl. auch Ville, C. r. **101**, 375, 1885.
 206) ref. Lieb. Ann. **64**, 155, 1848.
 207) Ann. chim. phys. [3] **22**, 31, 1848.
 208) J.-Ber. 1863, 237; vergl. auch Malagati und Sarzeau, Ann. chim. phys.
 [3] **9**, 446, 1843.
 209) ref. Ztschr. f. Elektr. **5**, 132. Vergl. auch R. Lorenz, Ztschr. anorg. Chem. **12**,
 439, 1896. Es muß beachtet werden, daß die Spannung von der Metallionenkonzentration
 abhängt, mithin die Spannungsreihe der Metalle nicht notwendig dieselbe zu sein braucht
 wie bei anderen Flüssigkeiten.
 210) Vitali, J.-Ber. 1891, 608.
 211) Ville, C. r. **101**, 375, 1885.
 211a) Berl. Ber. **36**, 3400, 1903; vgl. auch Bonsdorff, Z. anorg. Ch. **41**, 132, 1904.
 212) C. r. **135**, 36, 1902; Ann. chim. phys. [7] **27**, 26, 1902.
 213) Vergl. W. Herz, Ztschr. anorg. Chem. **28**, 474, 1901; Massol, Bull. [3] **15**,
 1104, 1896.
 214) Ref. Lieb. Ann. **94**, 358, 1855.
 215) Thomsen, Th. U. III, 275, 1883. Vergl. dazu Massol, ref. Berl. Ber. **28**,
 IV, 1099, 1896; Andrews, Pogg. Ann. **66**, 40, 1845; de Forcrand, C. r. **135**, 36, 1902.
 216) Ztschr. anorg. Chem. **23**, 227, 1900.
 217) Ztschr. f. Elektr. **10**, 77, 1904; Diss. Breslau 1904.
 218) Snijders, Berl. Ber. **11**, 940, 1878.
 219) Lieb. Ann. **9**, 176, 1834.
 220) Frémy, C. r. **15**, 1106, 1842.
 221) Ch. N. **42**, 30, 1880. Vergl. ferner Herz, Ztschr. anorg. Chem. **28**, 475, 1901.
 222) Am. chem. Journ. **11**, 145, 1889; auch Berl. Ber. **21**, 1589.
 223) Ztschr. f. Elektr. **6**, 301, 1899.
 224) Ztschr. f. Elektr. **7**, 469, 1900/01.
 225) Rubenbauer, Ztschr. anorg. Chem. **30**, 332, 1902; ferner auch den bereits
 erwähnten analog durchgeführte Versuche von Prescott [loc. cit]; Förster und
 Günther, Ztschr. f. Elektr. **6**, 302, 1899/1900.
 226) Ztschr. phys. Chem. **35**, 318, 1900; **36**, 91, 1901. Vgl. auch Immerwahr,
 Ztschr. für Elektr. **7**, 482, 1901; vgl. auch Kunschert, 228a).
 227) Ztschr. anorg. Chem. **30**, 298, 1902.
 227a) Das Resultat von Carrara und Vespignani (Gazz. **30**, II, 35, 1900), welches
 auf Grund von Leitfähigkeitsmessungen zu der Annahme führt, daß in Lösung K_2ZnO_2
 vorhanden ist, wird von Hantzsch aus experimentellen Gründen bezweifelt.
 227b) Zu dem gleichen Ergebnis kommt W. Herz (Ztschr. anorg. Chem. **31**, 454,
 1902) auf Grund von Dialyseversuchen, sein Schluß kann jedoch als zwingend nicht

anerkannt werden, weil die alkalische Zn-Lösung gegen reines H₂O diffundiert. Dadurch muß wegen der Verschiedenheit der Diffusionsgeschwindigkeiten das Gleichgewicht in der Lösung gestört werden, so daß man bezüglich des Betrages der ursprünglich kolloidal vorhanden gewesenen Hydroxymengen zu falschen Ergebnissen geleitet werden kann. Es hätte eine NaOH-Lösung von gleicher Alkalieszenz benutzt werden müssen. Vgl. darüber R. Kremann, Z. anorg. Ch. **33**, 87, 1903; **35**, 54, 1903.

225a) Kunschert, Z. anorg. Ch. **41**, 337, 1904.

225b) C. r. **115**, 999 und 1028, 1892.

229) Ztschr. f. Elektr. **4**, 306, 1897/98; ferner Schoop, Ztschr. f. Elektr. **1**, 205 und 247, 1894/95; Nernst und Haagen, Ztschr. f. Elektr. **2**, 494, 1895/96; Jordis, Ztschr. f. Elektr. **7**, 469, 1900/01.

239) Bonsdorff, Berl. Ber. **36**, 2322, 1903. — Der Autor schreibt „nur zur Kathode“, dies ist natürlich willkürlich, denn zur Beobachtung kommt nur eine Differenz.

231) Ztschr. anorg. Chem. **30**, 280, 1902.

232) Vergl. auch Kuriloff, C.-Bl. 1901, II, 1222; Prescott, Chem. News **42**, 39, 1842.

233) Berl. Ber. **36**, 3400, 1903.

234) C.-Bl. 1903, II, 1105.

235) Berl. Ber. **36**, 2322, 1903. — Zeitschr. anorg. Chem. **41**, 132, 1904.

236) Ztschr. anorg. Chem. **32**, 358, 1902.

237) Ztschr. anorg. Chem. **30**, 280, 1902.

238) Weber, J.-Ber. 1858, 182.

238a) Vergl. z. B. Miller, Phil. Mag. [4] **16**, 292, 1858; H. Traube, Jahrb. f. Mineral. Beil. **9**, 147, 1894; auch Ortloff, Ztschr. phys. Chem. **19**, 209, 1896.

238b) Wied. Ann. **47**, 64, 1892.

239) Ref. Lieb. Ann. **64**, 155, 1848.

240) Vergl. Schroeder, Pogg. Ann. **107**, 127, 1859.

241) Berl. Ber. **13**, 1741, 1880; Wied. Ann. **4**, 283, 1878.

242) Richards und Rogers, ref. Z. anorg. Ch. **6**, 80, 1899; dagegen Morse und Burnton, Journ. Am. Chem. Soc. **10**, 311, 1888.

243) Moissan, C. r. **115**, 1036, 1892; Bull. [3] **9**, 959, 1893; Ann. chim. phys. [7] **4**, 143, 1895. — Sidot, C. r. **69**, 202, 1869.

244) Read, Journ. Chem. Soc. **65**, 313, 1894.

245) Despretz, Pogg. Ann. **18**, 160, 1830.

246) Deville, Ann. chim. phys. [3] **43**, 477, 1855; ferner W. Müller, Pogg. Ann. **153**, 334, 1874.

247) Glaser, Ztschr. anorg. Chem. **36**, 1, 1903.

248) Regnault, Ann. chim. phys. **62**, 350, 1836.

249) Ztschr. f. Elektrochem. **4**, 346, 1897/98.

250) Lieb. Ann. **88**, 149, 1853.

251) Lieb. Ann. **84**, 138, 1852.

252) Th. U. III, 275, 1883.

252a) C. r. **134**, 1426, 1902.

253) J.-Ber. 1871, 73.

254) Ann. chim. phys. [5] **4**, 189, 1875.

255) Vergl. Kopp, Lieb. Ann. Suppl. III, 289, 1864/65.

256) Ztschr. angew. Chem. **16**, 54, 1903; s. a. Bineau, J. pr. Chem. **67**, 219, 1856.

257) Ann. chim. phys. [2] **9**, 55, 1818.

258) Berl. Ber. **17**, 2250, 1884.

259) Compt. rend. **134**, 601, 1902.

260) Compt. rend. **135**, 103, 1902.

261) Compt. rend. **137**, 618, 1903.

262) Ann. chim. phys. [6] **23**, 429, 1891.

263) Compt. rend. **52**, 983, 1861.

264) Deville u. Troost, Compt. rend. **52**, 920, 1861. Ann. chim. phys. [4] **5**, 118, 1805; vergl. ferner Verneuil, Compt. rend. **106**, 1105 und **107**, 101, 1888.

265) Compt. rend. **63**, 188, 1866.

266) Sidot, Compt. rend. **62**, 699, 1866. — Friedel, Compt. rend. **62**, 1001, 1866.

267) Compt. rend. **93**, 824, 1881.

- *268) Berl. Ber. **24**, 1507, 1891.
 269) Compt. rend. **123**, 56, 1896. Ann. chim. phys. [7] **17**, 532, 1899. Bull. soc. chim. [3] **15**, 1149, 1896.
 270) Bull. soc. chim. [3] **29**, 454, 1903.
 271) Durocher, Compt. rend. **32**, 823, 1851.
 272) Compt. rend. **32**, 409, 1851; vergl. auch Stanek, Ztschr. anorg. Chem. **17**, 117, 1898.
 273) Sénarmont, Ann. chim. phys. [3] **30**, 129, 1850.
 274) Gautier, J.-Ber. 1888, 536.
 275) Filhol u. Mellies, J.-Ber. 1871, 212.
 276) Pogg. Ann. **31**, 63, 1834.
 277) Lieb. Ann. **115**, 74, 1860.
 278) Pogg. Ann. **1**, 62, 1824.
 279) Rammelsberg, Pogg. Ann. **64**, 188, 1845.
 280) Spezielle Angaben nebst Literatur vergl. Ortloff, Ztschr. phys. Chem. **19**, 208, 1896.
 281) Kopp, Lieb. Ann. **81**, 37, 1851.
 282) Centralbl. 1899, I, 799.
 283) Th. U. III, 453, 1883.
 284) Spring, Berl. Ber. **16**, 1000, 1883.
 285) Vergl. Kopp, Lieb. Ann. Suppl. III, 289, 1864 65.
 286) Immerwahr, Elektrochem. Ztschr. **7**, 482, 1901.
 287) Naudin u. Montholon, Compt. rend. **83**, 60, 1876.
 288) Wernicke, Pogg. Ann. **110**, 655, 1860.
 288a) Journ. pr. Ch. [2] **19**, 468, 1879.
 289) Wien. Monatsh. **10**, 807, 1889.
 290) Lieb. Ann. **249**, 326, 1888.
 291) Vergl. Berthelot, Compt. rend. **128**, 710, 1899.
 292) Nach Villiers wird amorphes ZnS auch kristallin, wenn man die Lösung gefrieren läßt. Compt. rend. **120**, 98, 150, 188 u. 498, 1895. Bull. soc. chim. [3] **13**, 322, 1895.
 293) J. Thomsen, Berl. Ber. **11**, 2044, 1878. — v. Zotta, loc. cit. 289) und Becher, J.-Ber. 1887, 383.
 294) Donnini, Gazz. chim. ital. **24**, I, 219, 1894.
 295) z. B. Souchay, Ztschr. anal. Chem. **7**, 78, 1868.
 296) Compt. rend. **128**, 710, 1899. Ann. chim. phys. [5] **4**, 187 u. 191, 1875.
 297) Immerwahr, Ztschr. f. Elektroch. **7**, 482, 1901.
 298) Vergl. z. B. v. Berg, Ztschr. anal. Chem. **26**, 23, 1887. — Pouget, Compt. rend. **129**, 47, 1899.
 299) Schneider, J. pr. Chem. [2] **8**, 33, 1873.
 299a) Bull. soc. chim. **49**, 452—457.
 299b) Ber. **37**, 11—16.
 299c) Chem. Zeitg. **28**, 357—358.
 300) Margottet, Compt. rend. **84**, 1293, 1877.
 301) Fonzes-Diacon, Compt. rend. **130**, 832, 1900 und Bull. soc. chim. [3] **23**, 366, 1900.
 302) Fabre, Ann. chim. phys. [6] **10**, 529, 1887.
 303) Fabre, Ann. chim. phys. [4] **21**, 52, 1870.
 304) Frankland, Phil. Mag. [4] **15**, 149, 1858.
 305) Warren, J.-Ber. 1887, 2516.
 306) Curtius u. Rissom, J. pr. Chem. [2] **58**, 292, 1898.
 307) Lieb. Ann. **100**, 99, 1856.
 308) Renault, Ann. chim. phys. [4] **9**, 162, 1866. Compt. rend. **76**, 283, 1873.
 309) Vigier, J.-Ber. 1861, 116. — Schrötter, J.-Ber. 1849, 249; besonders Emmerling, Berl. Ber. **12**, 154, 1879.
 310) Berl. Ber. **4**, 352, 1871.
 311) Spring, Berl. Ber. **16**, 324, 1883.
 312) Descamps, Compt. rend. **88**, 1066, 1878.
 312a) J.-Ber. 1854, 359; 1855, 389; vergl. dazu Heycock u. Neville, J. Chem. Soc. **71**, 383, 1897.
 312b) Cl. Winkler, J. pr. Chem. **91**, 200, 1864; vergl. auch Vigoureux, Ann. chim. phys. [7] **12**, 159, 1897. Compt. rend. **123**, 116, 1896.

- 313) Berl. Ber. **35**, 1416, 1902; vergl. auch Mylius u. Funk, Berl. Ber. **30**, 1718, 1897.
 314) Ann. chim. phys. **46**, 305, 1831.
 315) Dufet, Bull. soc. minéral. **10**, 77, 1887.
 316) Ortloff, Ztschr. phys. Chem. **19**, 211, 1896.
 317) Pogg. Ann. **52**, 89, 1841.
 318) Gilb. **41**, 256, 1812.
 319) Pogg. Ann. **44**, 563, 1838.
 320) Ann. chim. phys. [6] **21**, 163, 1890.
 321) Berl. Ber. **30**, 1718, 1897.
 322) Berl. Ber. **1**, 73, 1868. — Pogg. Ann. **134**, 511, 1868. — Andere Formeln bei Langlois, Ann. chim. phys. [3] **34**, 269, 1852 und J. pr. Chem. **56**, 36, 1852.
 322a) Schweigg. **60**, 330, 1830.
 323) Nach Graulich u. v. Lang, Wien. Akad. Ber. **27**, 23, 1857. — Andere Daten, z. T. kristalloptische, vergl. Topsoe u. Christiansen, Ann. chim. phys. [5] **1**, 1, 1874.
 — Sénarmont, Ann. chim. phys. [3] **33**, 406, 1851; Pogg. Ann. **86**, 35, 1852.
 324) Filhol, Ref. Lieb. Ann. **64**, 155, 1848.
 325) Schiff, Lieb. Ann. **107**, 72, 1858.
 326) Joule u. Playfair; vergl. Schroeder, J. pr. Chem. [2] **19**, 274, 1879.
 327) Buignet, J.-Ber. 1861, 15.
 328) Pape, J.-Ber. 1863, 51; vergl. auch Kopp, Lieb. Ann. Suppl. III, 289, 1864/65.
 329) Tilden, J. Chem. Soc. **45**, 266, 1884; J.-Ber. 1884, 178.
 330) Lecoq de Boisbaudran, Ann. chim. phys. [4] **18**, 263, 1869.
 331) Hollmann, Ztschr. phys. Chem. **40**, 574, 1902.
 332) Th. U. III, 275, 1883.
 333) Pogg. Ann. **56**, 597, 1842. [[3] **2**, 502, 1889.
 334) Maignac, J.-Ber. 1855. 389. — Wyruboff, Bull. soc. min. **12**, 306; Bull.
 335) Ann. chim. phys. [3] **16**, 246, 1846.
 336) Compt. rend. **115**, 173, 1892.
 337) Pogg. Ann. **38**, 132, 1836; vergl. auch Löwel, Ann. chim. phys. [3] **43**, 405, 1855; Cohen, Ztschr. phys. Chem. **34**, 181, 1900.
 338) Ann. chim. phys. [6] **21**, 511, 1890.
 339) Schroeder, J. pr. Chem. [2] **19**, 274, 1879.
 340) Favre u. Valson, J.-Ber. 1873, 73.
 341) Graham, Pogg. Ann. **38**, 132, 1836.
 342) Callendar u. Barnes, Proc. Roy. Soc. **62**, 147, 1897. — Cohen, Ztschr. phys. Chem. **34**, 179, 1900. — W. Euler, Ztschr. anorg. Chem. **25**, 262, 1900.
 343) Gay-Lussac, Ann. chim. phys. **63**, 432, 1836; J. pr. Chem. **11**, 64, 1837.
 344) Vergl. Kopp, Lieb. Ann. Suppl. III, 289, 1864/65.
 345) Schulten, Compt. rend. **107**, 405, 1888.
 346) Ann. chim. phys. [6] **21**, 540, 1890.
 347) Wied. Ann. **23**, 607, 1884; **26**, 417, 1885; **31**, 204 u. 1040, 1887; Ztschr. phys. Chem. **2**, 546, 1888; **19**, 150, 1896.
 348) J. pr. Chem. [2] **9**, 346, 1874 u. Pogg. Jubelband 481, 1874.
 349) Ztschr. phys. Chem. **13**, 506, 1894.
 350) Ztschr. phys. Chem. **1**, 1, 1887.
 351) Ann. chim. phys. [3] **8**, 463, 1843.
 352) Lieb. Ann. **95**, 193, 1855.
 353) J.-Ber. 1854, 296.
 354) J. pr. Chem. **98**, 147, 1866 u. **103**, 117, 1868.
 355) Ann. chim. phys. [7] **2**, 551, 1894; Compt. rend. **106**, 207 u. 740, 1887.
 356) Scheikund. Verhandelingen 1864, 74, vgl. 358).
 357) J.-Ber. 1884, 178.
 358) Vgl. Comey, Dict. of Solubilities.
 359) Proc. Roy. Soc. **62**, 147, 1897; J. phys. Chem. **4**, 1, 1900.
 360) Ztschr. phys. Chem. **34**, 179, 1900.
 361) Cohen u. Büchner, Versl. Amst. Ak. **9**, 560, 1900.
 362) Pogg. Ann. **6**, 192, 1826.
 363) Wied. Ann. **17**, 572, 1882.
 364) Ztschr. phys. Chem. **14**, 75, 1894 u. **25**, 304, 1898; vergl. auch Barnes u. Cooke, J. phys. Chem. **6**, 79 u. 172, 1902.

- 365) Cohen, Ztschr. phys. Chem. **31**, 164, 1899.
 366) Versl. Amst. Ak. **7**, 400, 497, 1890.
 367) Ztschr. phys. Chem. **30**, 165, 1899.
 368) Ztschr. phys. Chem. **34**, 179, 1899.
 369) Th. U. III, 139, 1883.
 370) Proc. Roy. Soc. **20**, 144, 1872.
 371) Wied. Ann. **65**, 926, 1898.
 372) Barnes, J. phys. Chem. **4**, 1, 1900.
 373) Carhart, Phys. Rev. **12**, 129, 1901 nach Ztschr. phys. Chem. **41**, 120, 1902. — Da die Untersuchungen der letzten Zeit hinreichend Klarheit geschaffen haben, so bedarf es einer Diskussion älterer Angaben nicht. Es werden daher hier nur die wichtigsten Abhandlungen zitiert werden und im übrigen sei auf die Monographie von W. Jaeger: Die Normalelemente, Halle [1902] verwiesen. Hier seien genannt: Kahle, Wied. Ann. **51**, 174, 1884; **59**, 573, 1896; **67**, 35, 1899. — Jaeger u. Kahle, Wied. Ann. **65**, 926, 1898. — Jaeger, Wied. Ann. **63**, 354, 1897; Ztschr. f. Elektrochem. **8**, 485, 1902. — Cohen, Ztschr. phys. Chem. **34**, 65 u. 619, 1900; **28**, 723, 1897. — Barnes, J. phys. Chem. **4**, 1, 1900. — Callendar u. Barnes, Proc. Roy. Soc. **62**, 117, 1897. — Barnes u. Cooke, J. phys. Chem. **6**, 172, 1902. — Carhart, Phys. Rev. **12**, 129, 1901; Phil. Mag. [5] **28**, 420, 1889. — Carhart u. Guthe, Phys. Rev. **9**, 288, 1899. — Glazebrook u. Skinner, Phil. Trans. **183**, 567, 1892. — Threlfall u. Pollock, Phil. Mag. [5] **28**, 353, 1889. — Marek, Drud. Ann. **1**, 617, 1900. — W. Jaeger, Drud. Ann. **14**, 726, 1904.
 374) Außer den besonders genannten vergl. Nicol, J.-Ber. 1883, 57. — Mc Gregor, J.-Ber. 1887, 78. — Favre u. Valson, J.-Ber. 1874, 92. — Wright u. Thompson, Phil. Mag. [5] **17**, 282, 1884. — Ostwald, Wied. Ann. **2**, 429, 1877. — Ferner: Gerlach, J.-Ber. 1866, 129. — Regnault, J.-Ber. 1864, 99. — Schiff, Lieb. Ann. **110**, 72, 1858. — Mc Gregor, Beibl. **14**, 728, 1890. — Charpy, Ann. chim. phys. [6] **29**, 1, 1893.
 375) Kohlrausch u. Hallwachs, Wied. Ann. **53**, 27, 1894; vergl. auch Wied. Ann. **50**, 118, 1893. Ferner Ostwald, Journ. pr. Ch. [2] **16**, 385, 1877.
 376) Gerlach, Ztschr. anal. Chem. **8**, 260, 1869.
 377) Barnes u. Scott, J. phys. Chem. **2**, 542, 1898.
 378) Ley, Berl. Ber. **30**, 2194, 1897 u. Ztschr. phys. Chem. **30**, 225, 1899.
 379) Carrara u. Vespignani, Gazz. chim. ital. **30**, II, 35, 1900.
 380) Wied. Ann. **34**, 307, 1888.
 381) Ref. Ztschr. phys. Chem. **2**, 46, 1888; vergl. auch Konowalow, Wied. Ann. **31**, 145, 1887. — Tammann, Wied. Ann. **33**, 265, 1888. — Emden, Wied. Ann. **31**, 145, 1887. — Moser, Berl. Akad. Ber. 1878, 868. — Schüller, Beibl. **15**, 192, 1891.
 382) J. phys. Chem. **5**, 348, 1901.
 383) Raoult, Compt. rend. **98**, 1047 u. Ann. chim. phys. [6] **2**, 84, 1884; [6] **4**, 407, 1885. — Ztschr. phys. Chem. **2**, 489, 1888. — Arrhenius, Ztschr. phys. Chem. **1**, 636, 1887; **2**, 497, 1888. — Kahlenberg, J. phys. Chem. **5**, 348, 1901. — Hausrath, Diss. Göttingen 1901 u. Drud. Ann. **9**, 522, 1902. — De Coppet vgl. Journ. phys. Chem. **8**, 531, 1904.
 384) Bruni, Gazz. chim. ital. **27**, I, 537, 1897.
 385) Vergl. Kohlrausch, Wied. Ann. **26**, 196, 1885. — Beetz, Pogg. Ann. **117**, 1, 1862. — Kohlrausch, Wied. Ann. **6**, 1 u. 145, 1879. — Freund, Wied. Ann. **7**, 48, 1879. — Trötsch, Wied. Ann. **4**, 270, 1878. — Jaeger, Wien. Mtsh. **8**, 723, 1887. — Tollinger, Wied. Ann. **1**, 1, 514, 1877. — Kohlrausch, Wied. Ann. **50**, 387, 1893.
 386) Moissan u. Siemens, Compt. rend. **138**, 657, 1904. Centrabl. 1904, I, 1059.
 387) Kohlrausch und Grüneisen, Berl. Akad. Ber. 1904, 28. Juli.
 388) Pogg. Ann. **106**, 337, 1859. Andere Messungen bei Daniell und Miller, Pogg. **64**, 18, 1844. — Chassy, Ann. Chim. Phys. [6] **21**, 241, 1890. — Straneo, ref. Zeitschr. phys. Chem. **44**, 640, 1903.
 389) Wied. Ann. **64**, 655, 1898. Vgl. auch Moser, Wien. Ak. Ber. IIa **92**, 652, 1885.
 390) Drud. Ann. **6**, 315, 1901.
 391) Berl. Akad. Ber. 1901, 1026. Wied. Ann. **26**, 196, 1885.
 392) Berl. Akad. Ber. 1901, 31. Oktober. Wied. Ann. **26**, 196, 1885.
 393) Journ. Phys. Chem. **5**, 348, 1901.
 394) Fink, Wied. Ann. **26**, 481, 1885.
 Abegg, Handb. d. anorgan. Chemie II.

- 395) Tammann, Ztschr. phys. Chem. **14**, 441, 1894; vergl. ferner Barus, J.-Ber. 1890, 260. — Tammann, Ztschr. phys. Chem. **20**, 16, 1896. — Piesch, Wien. Akad. Ber. IIa, **103**, 734, 1894.
- 396) Wied. Ann. **37**, 172, 1889.
- 397) Arrhenius, Ztschr. phys. Chem. **9**, 493, 1892.
- 398) Wolf, Ztschr. phys. Chem. **40**, 251, 1902.
- 399) Labendzinski, Diss. Breslau 1904 und Ztschr. f. Elektr. **10**, 77, 1904.
- 400) B. Neumann, Ztschr. phys. Chem. **14**, 218, 1899, fand 1,064.
- 401) Phil. Mag. [5] **17**, 282, 1884; **19**, 1, 102, 1897, 1885. — Vergl. auch Paschen, Wied. Ann. **41**, 42 u. 177, 1890. — Moser, Wien. Akad. Ber. **92**, 2, 1885.
- 402) Cohen und Commelin, Ztschr. f. Elektr. **9**, 431, 1903; s. a. Beetz, Wied. Ann. **20**, 15, 1885. — Wright und Thompson, loc. cit. — G. Meyer, Wied. Ann. **53**, 265, 1888. — J. Thomsen, Wied. Ann. **11**, 259, 1880 und Th. U. — Kittler, Wied. Ann. **17**, 865, 1882. — Cattaneo, Beibl. **12**, 374, 1886.
- 403) Vergl. Goodwin, Ztschr. phys. Chem. **13**, 366, 1894.
- 404) C. r. **90**, 917, 1880.
- 405) Wied. Ann. **30**, 539, 1887.
- 406) Wied. Ann. **24**, 634, 1885 und **40**, 460, 1890.
- 407) Wied. Ann. **37**, 457, 1889; ferner H. Jahn, Ztschr. phys. Chem. **18**, 399, 1895. — Hagenbach, Wied. Ann. **53**, 463, 1894. — Gill, Wied. Ann. **40**, 13, 1890. — Bagard, C. r. **114**, 980, 1892 und **118**, 27, 1893. — Andere Temperaturkoeffizienten für Elektroden zweiter Art finden sich bei Goodwin, loc. cit., Gockel, Wied. Ann. **50**, 700, 1893.
- 408) Drud. Ann. **6**, 315, 1901.
- 409) Ref. Ztschr. phys. Chem. **41**, 121, 1902.
- 410) Phil. Mag. [5] **44**, 392, 1897. Dieselbe Methode benutzte Brümmer, Beibl. **20**, 57, 1904.
- 411) Wied. Ann. **17**, 353, 1882.
- 412) Wied. Ann. **2**, 161, 1877.
- 413) Pogg. Ann. **160**, 373, 1877.
- 414) Journ. prakt. Chem. [2] **31**, 177, 1885. — Andere Autoren sind: Valson, Ann. chim. phys. [4] **20**, 376, 1870 und C. r. **74**, 104, 1872. — Sentis, C. r. **118**, 1132, 1894. — Klupathy, Beibl. **12**, 750, 1888.
- 415) Wied. Ann. **18**, 271, 1883; s. a. Grottrian, Pogg. Ann. **160**, 254, 1877.
- 416) J. Wagner, Ztschr. phys. Chem. **5**, 35, 1890; vergl. ferner Arrhenius, Ztschr. phys. Chem. **1**, 285, 1887.
- 417) L. Großmann, Wied. Ann. **18**, 131, 1883.
- 418) Wied. Ann. **64**, 759, 1898; vergl. auch Graham, J.-Ber. 1851, 7. — Colman, Phil. Mag. [5] **23**, 1, 1887. — Weber, Wied. Ann. **7**, 469, 1879. — Thovert, Ann. chim. phys. [7] **28**, 366, 1902.
- 419) Tietzen-Hennig, Wied. Ann. **35**, 467, 1888.
- 420) Dijken, Ztschr. phys. Chem. **24**, 96, 1897.
- 421) Wied. Ann. **47**, 380, 1892 und **53**, 10, 1894; ferner Valson, C. r. **76**, 224, 1873. — Gladstone und Hibbert, Journ. Chem. Soc. **67**, 831, 1895. — Walter, Wied. Ann. **38**, 107, 1889.
- 422) Beibl. **8**, 750, 1888.
- 423) Thomsen, Th. U. III, 37 und 139, 1883; vergl. auch Wright und Thompson, Phil. Mag. [5] **17**, 377, 1884. Favre und Valson, J.-Ber. 1873, 73.
- 424) Thomsen, Th. U. I, 135ff., 1882.
- 425) Graetz, Wied. Ann. **18**, 92, 1883; ferner Weber, Wied. Ann. **10**, 304 und 472, 1880. — Bredig, Ztschr. phys. Chem. **23**, 546, 1897.
- 426) De Launoy, Ztschr. phys. Chem. **18**, 464, 1895.
- 427) Forch, Wied. Ann. **55**, 119, 1895.
- 428) Ann. chim. phys. [5] **8**, 410, 1876.
- 429) Schiff, Lieb. Ann. **118**, 365, 1861.
- 430) Lobry de Bruyn, Ztschr. phys. Chem. **10**, 734, 1892. — Rec. Trav. Pays-Bas. **11**, 112, 1892.
- 431) Ztschr. phys. Chem. **19**, 565, 1896.
- 432) Vergl. S. 362; vergl. auch Quincke, Drud. Ann. **9**, 1, 1902.
- 433) Seubert, J.-Ber. 1891, 559.

- 434) Denigès, Bull. [3] 7, 570, 1892.
 435) Berthier, Ann. chim. phys. [3] 7, 81, 1843.
 436) C. r. 16, 1071, 1843.
 437) Pogg. Ann. 67, 252, 1846.
 438) Lieb. Ann. 50, 283, 1844.
 439) Ann. d. mines [5] 12, 37, 1857.
 439a) Aus ZnO und SO₂ bildet sich in der Hitze keine Verbindung (Schiff, Lieb. Ann. 117, 94, 1860).
 440) Pogg. Ann. 116, 470, 1862; s. ferner Koene, Pogg. Ann. 63, 245 und 431, 1844; Mitscherlich, Pogg. Ann. 8, 442, 1826.
 440a) Fordos u. Gélis, Ann. chim. phys. [3] 8, 350, 1843.
 441) Topsoë, J.-Ber. 1872, 163.
 442) Lieb. Ann. 246, 296, 1888.
 443) Thomsen, Th. U. III, 201 u. 275, 1883.
 444) Curtius u. Henkel, J. pr. Chem. [2] 37, 147, 1888.
 445) Mitscherlich, Pogg. Ann. 11, 328, 1827; 12, 144, 1828.
 446) Kopp, Berl. Ber. 12, 903, 1879.
 447) Topsoë u. Christiansen, Ann. chim. phys. [5] 1, 1, 1874. Pogg. Ann. Erg.-Band 6, 499, 1873. — Schroeder, J. pr. Chem. [2] 19, 275, 1879.
 448) Butzureau, Ann. chim. phys. [6] 18, 289, 1889.
 449) Ann. chim. phys. [5] 18, 335, 1879.
 450) Laws, J.-Ber. 1877, 43.
 451) Ordway, J.-Ber. 1859, 113. — Tilden, J.-Ber. 1884, 178.
 452) Th. U. III, 275, 1883.
 453) Ann. chim. phys. [7] 7, 421, 1896.
 454) s. auch Graham; Müller-Erbach, Berl. Ber. 19, 2876, 1886. — Vogel u. Reischauer, J.-Ber. 1859, 196.
 455) Ztschr. anorg. Chem. 20, 398, 1899; vergl. auch Mylius u. Funk, Berl. Ber. 30, 1718, 1897.
 456) J. pr. Chem. [2] 5, 292, 1872.
 457) J. phys. Chem. 2, 545, 1898; vergl. auch Oudemans, Ztschr. anal. Chem. 7, 419, 1868 für 14°. — Ostwald, Wied. Ann. 2, 429, 1877 für 20°; Journ. pr. Ch. [2] 16, 385, 1877.
 458) Andere Daten bei Freund, Wied. Ann. 7, 48, 1879; ferner vergl. Bouty, Ann. chim. phys. [6] 3, 433, 1884; 14, 36, 1888. Über den Druckeinfluß auf die Leitfähigkeit vergl. Piesch, Wien. Akad. Ber. IIa, 103, 784, 1894. Wirkung von Zusätzen: Arrhenius, Ztschr. phys. Chem. 9, 487, 1892.
 459) Ref. Ztschr. phys. Chem. 2, 45, 1888.
 460) Wied. Ann. 34, 307, 1888.
 461) Labendzinski, Diss. Breslau und Ztschr. f. Elektrochem. 10, 77, 1904. Ältere Messungen vergl. Neumann, Ztschr. phys. Chem. 14, 212, 1894 und Tower, Ztschr. phys. Chem. 20, 205, 1896.
 462) J.-Ber. 1859, 196.
 463) Compt. rend. 90, 917, 1880.
 464) Wied. Ann. 30, 539, 1887.
 465) C. L. Weber, Ztschr. phys. Chem. 4, 187, 1889. Die Überführungsmessungen von Chassy, Ann. chim. phys. [6] 21, 241, 1890 beziehen sich auf Gemische und sind zurzeit unverwertbar.
 466) Ztschr. phys. Chem. 5, 40, 1890 und Wied. Ann. 18, 270, 1883.
 467) Thomsen, Th. U. I, 351, 1882.
 468) Thomsen, Th. U. III, 37, 1883.
 469) Thomsen, J. pr. Chem. [2] 17, 170, 1878.
 470) Marignac, Ann. chim. phys. [5] 8, 410, 1876.
 471) Walker u. Aston, J. Chem. Soc. 67, 576, 1895.
 472) Dijken, Ztschr. phys. Chem. 24, 97, 1897. Weitere Messungen ohne Temperaturangabe siehe 100a). Über Absorptionsspektren vgl. Hartley, Journ. Ch. Soc. 81, 556, 1902 und 83, 221, 1903.
 473) Matuschek, Centralbl. 1902, I, 1266; II, 85.
 474) Hampe, Lieb. Ann. 125, 344, 1863. J. pr. Chem. 90, 376, 1863. — S. auch F. Vogel, Ztschr. anorg. Chem. 35, 400, 1903. — Terreil, Bull. soc. chim. [3] 7, 553, 1892.

- 475) Lieb. Ann. **143**, 356, 1867.
 476) Demel, Berl. Ber. **12**, 1171, 1879.
 477) Friedel, Berl. Ber. **9**, Ref. 794, 1876. — Friedel u. Sarasin, J.-Ber. 1892, 519; ferner Debray, Compt. rend. **52**, 46, 1861; **59**, 40, 1864. Ann. chim. phys. [4] **9**, 162, 1866.
 478) Bull. soc. chim. [3] **2**, 300, 1889.
 479) Heintz, Lieb. Ann. **143**, 356, 1867.
 480) Chem. News **22**, 61, 1870.
 481) Compt. rend. **34**, 795, 1852.
 482) Colson, Compt. rend. **126**, 1137, 1898.
 483) Immerwahr, Ztschr. f. Elektroch. **7**, 482, 1901.
 484) Zuerst ist dieses Verfahren von Tamm benutzt worden, vergl. Chem. News **24**, 148, 1871; ferner s. Dakin, Ztschr. anal. Chem. **39**, 273, 1900. — M. Austin, Ztschr. anorg. Chem. **21**, 212, 1899.
 485) Schwarzenberg, Lieb. Ann. **65**, 151, 1848.
 486) Berl. Ber. **6**, 1465, 1873.
 487) Ann. chim. phys. [3] **45**, 107, 1855.
 488) Lewis, J.-Ber. 1877, 45.
 489) Stromeyer, Schweigg. **58**, 129, 1830.
 490) Pogg. Ann. **78**, 258 u. 350, 1849.
 491) J. pr. Chem. [2] **45**, 421, 1892.
 492) Glatzel, vergl. Knorre, Ztschr. anorg. Chem. **24**, 376, 1900.
 493) Pogg. Ann. **131**, 263 u. 359, 1867; **132**, 480, 1867. — J. pr. Chem. **100**, 19 u. **101**, 184, 1867. — Das Verfahren stammt von H. Rose, Pogg. Ann. **9**, 32, 1827, und dieser erhielt auch dasselbe Produkt. Ferner vergl. Drawe, Berl. Ber. **21**, 3401, 1888. — Reinitzer u. H. Goldschmidt, J.-Ber. 1880, 274.
 494) Würtz, Compt. rend. **21**, 151, 1845. — Ann. chim. phys. [3] **16**, 195, 1846. — Lieb. Ann. **58**, 53, 1846. — Ferner s. H. Rose, Pogg. Ann. **12**, 92, 1828. — Beckenkamp, Centralbl. 1903, II, 863.
 495) Nye, Berl. Ber. **12**, 1398, 1879.
 496) Friedel, Berl. Ber. **9**, 794, 1876, (Ref.).
 497) Schulten, Bull. soc. chim. [3] **2**, 300, 1889.
 498) J. pr. Chem. **104**, 162, 1868 u. Berl. Ber. **12**, 1446, 1879.
 499) Berl. Ber. **12**, 1279, 1879.
 500) Vergl. auch Debray, Compt. rend. **59**, 40, 1864. — Coloriano, Compt. rend. **103**, 273, 1886.
 501) Lefèvre, Compt. rend. **110**, 405, 1890.
 502) Salkowski, loc. cit.; Demel, loc. cit.
 503) Compt. rend. **103**, 273, 1886.
 504) Lewis, J.-Ber. 1877, 45.
 505) Compt. rend. **62**, 692, 1866.
 506) Compt. rend. **67**, 1124, 1868.
 507) Compt. rend. **62**, 695, 1866.
 508) Reichard, Berl. Ber. **27**, 1032, 1894 u. **31**, 2167, 1898. — Stavenhagen, J. pr. Chem. [2] **51**, 21, 1895. — Bloxam, J.-Ber. 1862, 160.
 509) Pogg. Ann. **86**, 450, 1852.
 510) Berl. Ber. **17**, 3044, 1889.
 511) Bull. soc. chim. [3] **21**, 57, 1899.
 512) Kopp, Pogg. Ann. **52**, 264, 1841; vergl. auch Ortloff, Ztschr. phys. Chem. **19**, 215, 1896.
 513) Kopp, loc. cit. — Schroeder, J.-Ber. 1879, 506.
 514) z. B. Kraut, Ztschr. anorg. Chem. **13**, 1, 1897, der jedoch die chemische Individualität seiner Präparate durchaus nicht bestimmt behauptet. — Terreil, Compt. rend. **49**, 553, 1859. — H. Rose, Pogg. Ann. **85**, 107, 1852. — Moody, C. Bl. 1904 I. 153.
 515) Ann. chim. phys. **29**, 284, 1825.
 516) J. pr. Chem. **102**, 236, 1867; vergl. auch Cossa, Gazz. chim. ital. **1**, 43, 1871.
 516a) Journ. pr. Ch. **44**, 247, 1867.
 517) Ann. chim. phys. [5] **4**, 168, 1875.
 518) Immerwahr, Ztschr. f. Elektroch. **7**, 482, 1901.
 519) Dana nach Ortloff, Ztschr. phys. Chem. **19**, 224, 1896.

- 520) Retgers, Ztschr. phys. Chem. **16**, 623, 1895.
 521) Rinne, Ztschr. phys. Chem. **16**, 536, 1895.
 522) Monheim, J.-Ber. 1847/48, 1187.
 523) Graulich u. v. Lang, Wien. Akad. Ber. **27**, 42, 1857. Über verschiedene andre Messungen vergl. Schrauf, Wien. Akad. Ber. **38**, 789, 1860. — Rammelsberg, Pogg. Ann. **72**, 97, 1847. — Köhler, Pogg. Ann. **17**, 149, 1829.
 524) Deville u. Caron, Compt. rend. **48**, 764, 1858. — Deville, Compt. rend. **52**, 1304, 1861. — Daubrée, Compt. rend. **39**, 137, 1854.
 525) Gorgeu, Compt. rend. **104**, 122, 1887.
 526) H. Traube, Berl. Ber. **26**, 2735, 1893.
 527) Ouvrard, Compt. rend. **130**, 335, 1900.
 528) Mallard, Compt. rend. **105**, 1260, 1887.
 529) J.-Ber. 1891, 458 über ein Salz mit noch mehr Bor vgl. Holdermann, C.-Bl. 1905 I, 140.
 530) Z. B. Rose, Pogg. Ann. **88**, 299, 1852.
 531) Compt. rend. **116**, 1446, 1893; **118**, 1256, 1894; **119**, 72, 1894.
 532) Preis, Lieb. Ann. **257**, 201, 1890.
 533) Glatzel, Ztschr. anorg. Chem. **4**, 194, 1893.
 534) Friedel, Compt. rend. **119**, 262, 1894. — Ferrand, Compt. rend. **122**, 622 u. 888, 1896; Ann. chim. phys. [7] **17**, 424, 1899; Bull. [3] **13**, 116, 1895.
 535) Pogg. Ann. **52**, 233, 1841.
 536) Compt. rend. **129**, 103, 1899.
 537) Heusser, Pogg. Ann. **83**, 58, 1851. — Handl, Wien. Akad. Ber. **62**, 747, 1861.
 538) Schroeder, Berl. Ber. **14**, 23, 1882; **8**, 199, 1875; ferner vergl. Howard Breen, Berl. Ber. **12**, 1399, 1879.
 539) Berthelot, Compt. rend. **77**, 24, 1873. — Ann. chim. phys. [5] **4**, 90, 1875.
 540) Calame, Ztschr. phys. Chem. **27**, 405, 1898.
 541) Seitz, Wied. Ann. **64**, 759, 1898.
 542) Rammelsberg, Pogg. Ann. **90**, 25, 1853. — Bödeker, J.-Ber. 1860, 17. — Lutschak, Berl. Ber. **5**, 30, 1872.
 543) Franchimont, Berl. Ber. **12**, 12, 1879. — Ley, Ztschr. phys. Chem. **30**, 243, 1899. — Reitzenstein, Ztschr. anorg. Chem. **32**, 311, 1902. Dasselbst zitiert Dibbits, Maandblad v. Natuurw. 1872 und Berthelot, Ann. chim. phys. [4] **30**, 190, 1875.
 544) Peter u. de Rochefontaine, Bull. [2] **42**, 573, 1884; J.-Ber. 1884, 1093.
 545) Villiers, Compt. rend. **85**, 756, 1877.
 546) Schroeder, Berl. Ber. **14**, 1610, 1881; vergl. auch Bödeker 542, Favre u. Valson, J.-Ber. 1874, 95.
 547) Compt. rend. **77**, 24, 1873. — Ann. chim. phys. [5] **4**, 90, 1875.
 548) Favre u. Valson, J.-Ber. 1874, 95; ferner Regnauld, J.-Ber. 1864, 99.
 549) Calame, Ztschr. phys. Chem. **27**, 406, 1898. — H. Goldschmidt u. Syn-gros, Ztschr. anorg. Chem. **5**, 134, 1894.
 550) Guthrie, J.-Ber. 1878, 56.
 551) Ley, Ztschr. phys. Chem. **30**, 244, 1899.
 552) Piesch, Wien. Akad. Ber. IIa, **103**, 784, 1894.
 553) Labendzinski, Elektrochem. Ztschr. **10**, 77, 1904 und Diss. Breslau 1904.
 554) B. Neumann, Ztschr. phys. Chem. **14**, 272, 1894; ferner vergl. Braun, Wied. Ann. **16**, 577, 1882; **17**, 573, 1882. — Mauri, N. Cim. [4] **7**, 196, 1898, nach Z. phys. Ch. **27**, 376, 1898.
 555) Labendzinski, Zeitschr. f. Elektroch. **10**, 77, 1904.
 556) Compt. rend. **90**, 917, 1880; vergl. dazu Gockel, Wied. Ann. **24**, 634, 1885 und **40**, 461, 1890. — Fousserieau, Compt. rend. **104**, 1265, 1887.
 556a) Seitz, Wied. Ann. **64**, 759, 1898.
 557) Marignac, Ann. chim. phys. [5] **8**, 410, 1876.
 558) Thomsen, Th. U. III, 38, 1883.
 559) Thomsen, Th. U. I, 356, 1882.
 560) Kannonikoff, Beibl. **8**, 493, 1884.
 561) Krug u. Elroy, J.-Ber. 1892, 1554.
 561a) Pogg. Ann. **38**, 144, 1836.
 561b) Wilson, Berl. Ber. **12**, 1398, 1876.
 562) Ann chim. phys. [5] **4**, 108, 1875.

- 573) J. pr. Chem. [2] **23**, 209 u. 523, 1881.
 574) F. Kohlrausch, Ztschr. phys. Chem. **44**, 244, 1903.
 575) Berl. Ber. **19**, 577, 1886.
 576) Ann. chim. phys. [7] **2**, 33, 1894; vergl. auch v. Helmholtz, Ztschr. anorg. Chem. **3**, 135, 1893.
 577) Compt. rend. **102**, 1066, 1886. — Ann. chim. phys. [6] **17**, 370, 1889.
 578) Hantzsch, Ztschr. anorg. Chem. **30**, 318, 1902.
 579) Pierre, Ann. chim. phys. [3] **10**, 245, 1846 und Compt. rend. **21**, 1426, 1845.
 579) Rammelsberg, Pogg. Ann. **94**, 506, 1855; vergl. auch Marignac, Ann. mines [5] **12**, 15, 1857.
 571) Schiff, Lieb. Ann. **100**, 58, 1859.
 572) Kopp, Lieb. Ann. Suppl. II, 289, 1864 65.
 573) Rüdorff, Berl. Ber. **21**, 4 u. 3044, 1888.
 574) Vergl. Jones u. Knight, Am. Chem. J. **22**, 110, 1899.
 575) Jones u. Ota, Am. Chem. J. **22**, 8, 1899. Die Reduktion auf rez. Ohm ist durch Multiplikation der Zahlen mit 1,066 ausgeführt worden.
 576) Ztschr. f. Elektroch. **10**, 77, 1904 und Diss. Breslau 1904; vergl. auch Immerwahr, Ztschr. f. Elektroch. **7**, 482, 1901.
 577) Marignac, Ann. mines [5] **12**, 15, 1857.
 578) z. B. von Berthelot u. André, Ann. chim. phys. [6] **11**, 308, 1887. — André, Compt. rend. **94**, 673, 1882. Ann. chim. phys. [6] **3**, 96, 1884. — Dehérein, Compt. rend. **52**, 734, 1861. — Hautz, Lieb. Ann. **68**, 287 u. 289, 1845.
 579) Ztschr. anorg. Chem. **37**, 199, 1903. — Die gleichen beiden Salze erhielt auch Base, Am. Chem. J. **20**, 660, 1898.
 580) Ann. chim. phys. [3] **10**, 249, 1846; s. a. Divers, Chem. News **42**, 13 u. 250, 1882.
 581) Lieb. Ann. **100**, 68, 1859.
 582) J.-Ber. 1860, 17.
 583) J.-Ber. 1884, 79.
 584) Pogg. Ann. **94**, 509, 1855.
 585) Ann. des mines [5] **12**, 1, 1857. —
 586) Berl. Ber. **8**, 9, 1875.
 587) Ztschr. anorg. Chem. **5**, 275, 1894. Am. Journ. Sc. [3] **40**, 431, 1893.
 588) Warner, Chem. News **27**, 271 u. **28**, 186, 1873.
 89) J.-Ber. 1860, 17.
 590) Compt. rend. **66**, 104, 1883. Ann. chim. phys. [6] **3**, 66, 1884.
 591) Am. Chem. J. **22**, 110, 1899.
 592) Die Reduktion ist durch Multiplikation mit 1,066 ausgeführt.
 593) Wells u. Campbell, Ztschr. anorg. Chem. **5**, 275, 1894. Am. Journ. Sc. [3] **40**, 431, 1893.
 594) Pogg. Ann. **38**, 665, 1836 und **43**, 665, 1838.
 595) Ztschr. anorg. Chem. **5**, 275, 1899. J. americ. Soc. [3] **40**, 431, 1893.
 596) Immerwahr, Elektrochem. Ztschr. **7**, 482, 1901.
 597) Pogg. Ann. **38**, 371, 1836.
 598) Loebe, Diss. Berlin 1902; Sharwood, J. Am. Chem. Soc. **25**, 570, 1903.
 599) Kopp, Lieb. Ann. Suppl. III, 289, 1864 65.
 600) Berthelot, C. r. **128**, 640, 711, 1899; Ann. chim. phys. [7], **17**, 467, 1899.
 601) Wöhler, Lieb. Ann. **89**, 376.
 602) Fresenius u. Haidlen, Lieb. Ann. **43**, 134, 1842.
 603) Berl. Ber. **30**, 3400, 1903. — Andere Potentialmessungen liegen vor von Hittorf, Ztschr. phys. Chem. **10**, 619, 1892; Immerwahr, Ztschr. f. Elektr. **7**, 482, 1901; Morgan, Z. ph. Ch. **17**, 513, 1895.
 604) Ztschr. f. Elektr. **7**, 874, 1901.
 605) Ztschr. anorg. Chem. **23**, 374, 1900.
 606) Pogg. Ann. **42**, 112, 1837.
 607) Diss. Berlin 1902.
 608) J. Am. Chem. Soc. **25**, 570, 1903.
 609) Berl. Ber. **11**, 91, 1878.
 610) Berl. Ber. **2**, 589, 1869; vergl. auch Rammelsberg, Pogg. Ann. **42**, 112, 1837.
 611) Diss. Berlin 1902.

- 612) Ztschr. anorg. Chem. **23**, 374, 1900.
 613) Am. Chem. Journ. **28**, 268, 1902.
 614) Cleve, J.-Ber. 1864, 305.
 615) R. Cohn, Berl. Ber. **34**, 3504, 1901.
 615a) Journ. pr. Ch. **28**, 492, 1843.
 616) Tutton, Journ. Chem. Soc. **69**, 374, 1896; **71**, 235, 1897; Ztschr. f. Krist. **21**, 505, 1893; **27**, 138, 1897. — Perrot, C. r. **111**, 967, 1890; Arch. sc. phys. et nat. **25**, 669, 1891. — Pope, Journ. Chem. Soc. **69**, 1530, 1896. — Sénarmont, Pogg. Ann. **86**, 64, 1852.
 617) Murmann u. Rotter, nach Ortloff, Ztschr. phys. Chem. **19**, 218, 1896.
 618) Marignac, Ann. des mines [5] **12**, 51, 1857.
 619) Pogg. Ann. **38**, 133, 1836. — s. a. Pierre C. r. **21**, 1425, 1845. — Ann. chim. phys. [3] **16**, 242, 1846.
 620) Tutton, Ztschr. f. Krist. **27**, 138, 1897. — Journ. Chem. Soc. **69**, 374, 1896. — Vergl. auch Perrot, Arch. sc. phys. et nat. **25**, 669, 1891. — Joule u. Playfair, J.-Ber. 1847/48, 59. — Schiff, Lieb. Ann. **107**, 64, 1858.
 621) Schroeder, J. pr. Ch. [2] **19**, 270, 1879.
 622) Lieb. Ann. Suppl. III, 289, 1864/65.
 623) Journ. Chem. Soc. **77**, 220, 1900.
 624) Lieb. Ann. **95**, 193, 1855.
 624a) Am. Chem. Journ. **27**, 455, 1902.
 625) C. r. **99**, 914, 1884.
 626) Bruni, Gazz. **27**, I, 537, 1897.
 627) Trötsch, Wied. Ann. **41**, 273, 1890.
 628) Gladstone und Hibbert, Journ. Chem. Soc. **67**, 831, 1895.
 629) J. Traube, Journ. pr. Chem. [2] **31**, 177, 1885.
 630) Thomsen, Th. U. III, 147, 275, 1883.
 631) Pogg. Ann. **38**, 133, 1836.
 632) J.-Ber. 1866, 222.
 633) Keßler, C. r. **48**, 1153, 1859. — J.-Ber. 1859, 198.
 634) Tomlinson, J.-Ber. 1870, 163. — Pogg. Ann. **141**, 626.
 635a) Centralbl. 1898, I, 658.
 635b) Compt. rend. **104**, 989, 1887.
 636) Kistiakowsky, Ztschr. phys. Chem. **6**, 110, 1890.
 637) Schäuuffele, J. pr. Chem. **55**, 371, 1852. — Rammelsberg, Pogg. Ann. **91**, 321, 1854 und J. pr. Chem. **62**, 70, 1854. — Pierre, Ann. chim. phys. [3] **16**, 244, 1846.
 638) Ztschr. phys. Chem. **40**, 576, 1902.
 639) Schiff, Lieb. Ann. **107**, 73, 1858.
 640) Hollmann, Ztschr. phys. Chem. **37**, 204, 1901.
 641) Dufet, Compt. rend. **91**, 286, 1880. — Bull. Soc. Mineral. **12**, 22, 1889.
 642) Gazz. chim. ital. **27**, I, 537, 1897.
 643) v. Hauer, J. pr. Chem. **98**, 147, 1866.
 643a) Vergl. Schäuuffele, loc. cit. — Rammelsberg, loc. cit. — Bastick, J.-Ber. 1853, 363. — Scott, J. Chem. Soc. **71**, 566, 1897.
 644) Vgl. Tutton, Zeitschr. f. Kryst. **24**, 1, 1895. — Andere krist. Daten z. B. bei Wyruboff, J.-Ber. 1880, 187.
 645) Retgers, Ztschr. phys. Chem. **15**, 561, 1894.
 646) Centralbl. 1901, I, 759.
 647) St. Meyer, Wien. Akad. Ber. IIa, **108**.
 648) Ann. chim. phys. [3] **16**, 244, 1846.
 649) Ann. chim. phys. [4] **18**, 278, 1869.
 650) Schäuuffele, J. pr. Ch. **55**, 371, 1852. — Rammelsberg, Pogg. **91**, 321, 1854, u. J. pr. Ch. **62**, 70, 1854.
 651) Vergl. Mg-Salz.
 651a) J.-Ber. 1868, 205.
 652) z. B. v. Hauer, Pogg. Ann. **125**, 638, 1865. J. pr. Chem. **103**, 117, 1868. — Lecoq de Boisbaudran, Ann. chim. phys. [4] **18**, 284, 1869. — Rammelsberg, loc. cit. — Weltzien, Lieb. Ann. **91**, 293, 1854. — Lefort, Compt. rend. **26**, 186, 1848. Ann. chim. phys. [3] **23**, 100, 1848. — Scott, loc. cit. — Bloxam u. J. M. Thomson, J.-Ber. 1882, 70.

- 653) Retgers, Ztschr. phys. Chem. **15**, 561, 1894.
- 654) Ztschr. phys. Chem. **22**, 62, 1897.
- 655) Am. Chem. J. **26**, 418, 1901.
- 656) Vergl. Mg-Salz.
- 657) J.-Ber. 1872, 74.
- 658) C. r. **26**, 186, 1848.
- 659) v. Hauer, J. pr. Chem. **80**, 225, 1860.
- 660) Compt. rend. **87**, 602, 1878.
- 661) Lieb. Ann. **91**, 293, 1854.
- 662) Lieb. Ann. **94**, 57, 1855.
- 663) Ztschr. Krist. **28**, 394, 1896.
- 664) Berl. Ber. **7**, 469, 1874.
- 665) Vortmann u. Padberg, Berl. Ber. **22**, 2640, 1889.
- 666) Lieb. Ann. **246**, 296, 1888.
- 667) Z. anorg. Ch. **41**, 238, 1904.
- 667a) B. Ber. **38**, 1060, 1905 und Privatmitteilung.
- 668) Ztschr. Krist. **33**, 1, 1900.
- 669) Ann. chim. phys. [5] **1**, 1, 1874.
- 670) Wyruboff, Bull. soc. min. **14**, 233, 1891. Ztschr. phys. Chem. **20**, 497, 1896.
- 671) Vergl. dazu Pope, J. Chem. Soc. **69**, 1530, 1896. — Tutton, J. Chem. Soc. [71, 235, 1897.
- 672) Wyruboff, loc. cit. und J.-Ber. 1892, 521.
- 673) Vongerichten, Lieb. Ann. **168**, 214, 1873.
- 674) Wohlwill, Lieb. Ann. **114**, 187, 1860.
- 675) Butzureano, Ann. chim. phys. [6] **18**, 289, 1889.
- 676) Wöhler, Lieb. Ann. **63**, 279, 1847.
- 677) Lang, J. pr. Chem. **86**, 301, 1862.
- 678) Rosenheim u. Oppenheim, Ztschr. anorg. Chem. **28**, 174, 1899.
- 679) Ouvrard, Compt. rend. **106**, 1730, 1888.
- 680) Grandeau, Ann. chim. phys. [6] **8**, 193, 1896.
- 681) Lieb. Ann. **145**, 53, 1868.
- 682) Austin, Ztschr. anorg. Chem. **21**, 212, 1899. — Clark, C.-Bl. 1897, I, 308. —
 Ältere Literatur bei Bette, Lieb. Ann. **15**, 129, 1835. — Heintz, Lieb. Ann. **143**, 361,
 1867. — Schweikert, Lieb. Ann. **145**, 57, 1868. — Debray, C. r. **59**, 40, 1864.
- 683) Stone, zit. Ztschr. anorg. Chem. **4**, 155, 1889.
- 684) Journ. Am. Chem. Soc. **23**, 468, 1901.
- 685) Ouvrard, C. r. **106**, 1730, 1888.
- 686) J.-Ber. 1883, 318.
- 687) Berl. Ber. **6**, 1465, 1873.
- 688) Lefèvre, C. r. **110**, 405, 1890.
- 689) Meade, Journ. Am. Chem. Soc. **22**, 353, 1900.
- 690) Lossen und Voß, Lieb. Ann. **266**, 43, 1891.
- 691) Pogg. Ann. **83**, 58, 1851.
- 692) Am. Chem. Journ. **20**, 646, 1898.
- 693) Werner, Ztschr. anorg. Chem. **21**, 224, 1899.
- 694) Pogg. Ann. **123**, 350, 1864.
- 695) Phil. Mag. [4] **15**, 149, 1858.
- 696) C. r. **52**, 734, 1861.
- 697) J.-Ber. 1891, 560.
- 698) Kuriloff, ref. Ztschr. anorg. Chem. **15**, 344, 1897.
- 699) Ann. chim. phys. **72**, 290, 1839.
- 700) Berl. Ber. **20**, 743, 1887.
- 701) Journ. prakt. Chem. **60**, 473, 1853.
- 702) Lieb. Ann. **9**, 170, 1834.
- 703) Ann. chim. phys. [6] **3**, 66, 1884.
- 704) Divers, Chem. News **42**, 259, 1882. — Priwoznik, Berl. Ber. **9**, 613, 1871.
- F. M. Jaeger, Berl. Ber. **35**, 3405, 1902.
- 705) Ann. des mines [5] **12**, 8, 1857.
- 706) Ann. chim. phys. **72**, 290, 1830.
- 707) Ann. chim. phys. [6] **3**, 66, 1884.
- 708) C. r. **66**, 1261, 1868.

- 709) Berl. Ber. **20**, 783, 1887.
 710) Am. Chem. Journ. **20**, 660, 1898.
 711) Chem. News **18**, 13, 1868 und Journ. prakt. Chem. **105**, 316, 1868.
 712) C. r. **86**, 1261, 1868.
 713) C. r. **86**, 968, 1878.
 714) Pogg. Ann. **55**, 240, 1842.
 715) Ann. chim. phys. [6] **3**, 66, 1884; vergl. auch Tassilly, Ann. chim. phys. [7] **17**, 92, 1899.
 716) Pogg. Ann. **48**, 152, 1839.
 717) loc. cit. und Bull. [3] **15**, 345, 1895.
 718) Rammelsberg, Pogg. Ann. **90**, 19, 1853.
 719) Varet, Ann. chim. phys. [7] **10**, 6, 1897.
 720) Loebe, Diss. Berlin 1902.
 721) Pogg. Ann. **56**, 74, 1842.
 722) Lieb. Ann. **179**, 233, 1875.
 723) Lieb. Ann. **60**, 107, 1846.
 724) C. r. **100**, 639, 1885.
 725) Rammelsberg, Pogg. Ann. **52**, 90, 1841.
 726) Rammelsberg, Pogg. Ann. **44**, 564, 1838.
 727) Ann. chim. phys. [6] **21**, 163, 1890.
 728) Ann. chim. phys. **72**, 304, 1839.
 729) Lieb. Ann. **149**, 73 u. 151, 1869.
 730) C. r. **100**, 241, 1885.
 731) Ref. Berl. Ber. **3**, 246, 1870.
 732) H. Rose, Pogg. Ann. **20**, 149, 1830.
 733) Dawson und Mc. Crae, Journ. Chem. Soc. **77**, 1244, 1900.
 734) Vergl. auch W. Herz, Ztschr. anorg. Chem. **23**, 225 1900; ferner die Dampfdruckmessung von NH_3 über der Lösung nach Gaus, Ztschr. anorg. Chem. **25**, [236, 1900].
 735) Rammelsberg, Pogg. Ann. **67**, 254, 1846.
 736) Rammelsberg, Pogg. Ann. **56**, 305, 1842.
 737) Rammelsberg, Pogg. Ann. **58**, 297, 1843.
 738) Butzureau, Ann. chim. phys. [6] **18**, 289, 1889.
 739) Lieb. Ann. **15**, 129, 1835, ferner Heintz, Lieb. Ann. **143**, 356, 1867.
 740) Favre, Ann. chim. phys. [3] **10**, 478, 1844.
 741) K. Hofmann, Ztschr. anorg. Chem. **14**, 277, 1897.
 742) Lutschak, Berl. Ber. **5**, 30, 1872.
 743) Büscher, Lieb. Ann. **151**, 234, 1869.
 744) Von speziell auf diese Verbindungen gerichteten Untersuchungen seien erwähnt: Tombeck, C. r. **124**, 961 u. 1532, 1897. — Ann. chim. phys. [7] **21**, 390, 1900. — C. r. **126**, 968, 1898. — Lachowicz und Bandrowski, Wien. Monatsh. **9**, 510, 1888. — Graefinghoff, Journ. prakt. Chem. **95**, 221, 1865. — Reitzenstein, Ztschr. anorg. Chem. **18**, 296, 1898. — Goldschmidt und Syngros, Z. anorg. Ch. **5**, 129, 1894. — H. Großmann, Berl. Ber. **37**, 559, 1904. — Monari, J.-Ber. 1884, 629. — Lang, Berl. Ber. **21**, 1578, 1888. — Schiff, Lieb. Ann. **131**, 112, 1864. — Varet, C. r. **112**, 622, 1891; **124**, 1156, 1897. — Borsbach, Berl. Ber. **23**, 431, 1890.
 745) Weinland und Schlegelmilch, Ztschr. anorg. Chem. **30**, 140, 1902.
 746) Journ. Chem. Soc. **59**, 656, 1891.
 747) Journ. prakt. Chem. [2] **51**, 457, 1895.
 747a) Journ. prakt. Chem. **56**, 359, 1852.
 748) Ztschr. anorg. Chem. **21**, 224, 1899.
 749) C. r. **128**, 1336, 1899.
 750) Moitessier, C. r. **125**, 184, 1897.
 751) Vergl. außer den genannten z. B. Schjerning, Journ. prakt. Chem. [2] **47**, 81, 1893. — Moitessier, C. r. **125**, 64, 1897. — Pastureau, C. r. **127**, 486, 1898. — Reitzenstein, Ztschr. anorg. Chem. **32**, 309, 1902. — Goldschmidt und Syngros, Ztschr. anorg. Chem. **5**, 135, 1894. — Moitessier, Bull. [3] **21**, 337, 1899.
 752) Ann. chim. phys. [7] **21**, 435, 1900.
 753) Ztschr. anorg. Chem. **5**, 7, 1894.
 754) Werner, Ztschr. anorg. Chem. **21**, 221, 1899; vergl. auch H. Goldschmidt und Syngros, Ztschr. anorg. Chem. **5**, 128, 1894.

- 755) Journ. phys. Chem. **3**, 388, 1899; vergl. auch Salvadori, Gazz. chim. ital. **29**, I, 498, 1899.
- 756) Die Analysen sind zudem häufig genug unvollständig ausgeführt, indem nur Zn und das Säureradikal bestimmt wurden.
- 757) Sorel, C. r. **41**, 784, 1855; **46**, 454, 1858.
- 758) Siersch, Journ. prakt. Chem. **100**, 507, 1867; Wien. Akad. Ber. **55**, II, 97, 1867.
- 759) Habermann, Wien. Monatsh. **4**, 447, 1883.
- 760) Tassilly, Ann. chim. phys. [7] **17**, 72, 1899.
- 761) André, Ann. chim. phys. [6] **3**, 94, 1884; C. r. **106**, 854, 1888.
- 762) Kane, Ann. chim. phys. **72**, 295, 1839.
- 763) Habermann, Wien. Monatsh. **4**, 447, 1883.
- 764) C. r. **94**, 1524, 1882; Ann. chim. phys. [6] **3**, 126, 1884; vergl. auch Tassilly, loc. cit.
- 764a) C.-Bl. 1904, I, 821.
- 765) Ann. chim. phys. [6] **3**, 102, 1894 und C. r. **96**, 704, 1883; vergl. auch Tassilly, Ann. chim. phys. [7] **17**, 74, 1899.
- 766) Tassilly, C. r. **122**, 323, 1896; Ann. chim. phys. [7] **17**, 76, 1899; Bull. [3] **15**, 345, 1895; vergl. auch Müller, Journ. prakt. Chem. **26**, 441, 1842.
- 767) Joannis, Ann. chim. phys. [5] **26**, 500, 1882.
- 768) Athanasesco, Bull. [3] **15**, 1079, 1895.
- 769) Ann. chim. phys. [2] **19**, 137, 1821.
- 770) Terreil, Bull. [3] **7**, 553, 1892; Habermann, Wien. Monatsh. **5**, 447, 1884.
- 771) Rousseau und Tite, C. r. **114**, 1185, 1892.
- 772) C. r. **114**, 1357, 1892; ferner Gerhardt, J.-Ber. 1847/48, 436. — Bertels, J.-Ber. 1874, 274.
- 773) Vergl. Kane, Ann. chim. phys. **72**, 310, 1839.
- 774) Athanasesco, C. r. **103**, 271, 1886; vergl. auch Thugutt, Ztschr. anorg. Chem. **2**, 151, 1892.
- 775) Wien. Monatsh. **5**, 446, 1884. — Andere Literatur vergl. Reindel, Journ. prakt. Chem. **106**, 371, 1869. — Kühn, Schweigg. **60**, 337, 1830. — Kühnen, Lieb. Ann. **9**, 167 ff., 1834.
- 776) Mailhe, C. r. **133**, 228, 1901; vergl. auch André, C. r. **106**, 855, 1888.
- 777) Mailhe, C. r. **134**, 234, 1902.
- 778) Mailhe, C. r. **134**, 44, 1902.
- 779) C. r. **132**, 1414, 1901.
- 780) Mailhe, C. r. **132**, 1273, 1901.

Atomgewicht des Zinks¹⁾, $\text{Zn} = 65,40$.

a) Wahl des Atomgewichts.

Das H-Äquivalent ist eine Zahl von der Größenordnung 33. Berzelius nahm aus wiederholt angeführten Gründen anfangs das Vierfache dieser Zahl als Atomgewicht an, indem er das Oxyd ZnO_2 schrieb.

Das Gmelinsche Äquivalent wurde durch die Zahl 32,5 ausgedrückt. Wir nehmen das doppelte Äquivalent als Atomgewicht des Zinks an und stützen dasselbe auf:

1. Das Gesetz von Avogadro. Das Gewicht des Normalvolums des Zinkdampfes ($\text{O}_2 = 32$), oder nach Ostwald, die Dichte, ist eine Zahl, die der Atomgewichtszahl des Zinks gleich ist, d. h. die Molekel des Zinks ist gleich derjenigen der anderen Metalle einatomig. Auch die Dichte des Dampfes des Zinkchlorids ist durch Zahlen (131,2–133,5) ausgedrückt, welche von derselben Größenordnung sind wie sein Molekulargewicht (136,4), in Übereinstimmung mit dem Atomgewicht $\text{Zn} = 65,4$, als der kleinsten in der Molekel enthaltenen Menge. Dasselbe gilt vom Zinkäthyl u. a.

In wässriger Lösung sind zwar Zinksalze hydrolysiert, doch widerspricht ihr Verhalten nicht der Ausdehnung des Avogadroschen Gesetzes auf Lösungen durch van't Hoff.

2. Die Regel von Dulong und Petit. Für die Atomwärme des Zinks wurden zwischen 6,09–6,25 schwankende Zahlen erhalten.

3. Die Lehre vom Isomorphismus. Das Zink besitzt eine Anzahl mit denen entschieden zweiwertiger Elemente, wie Fe^{II} , Mg^{II} , Mn^{II} isomorpher Verbindungen.

4. Das periodische Gesetz. Die Eigenschaften des Zinks und seiner Verbindungen sind Funktionen des Atomgewichts 65, eines in der zweiten Gruppe, fünfte Reihe (II–5) stehenden Elementes.

b) Bestimmung des Atomgewichts.

1. Die ältesten Bestimmungen. Gay-Lussac²⁾ fand durch Oxydation des Zinks mit Salpetersäure und Messen des in verdünnten Säuren freierwerdenden Wasserstoffgases $\text{Zn} = 65,55$.

Berzelius³⁾ erhielt 1811 durch Auflösen von Zink in Salpetersäure, Eindampfen und Glühen $\text{Zn} = 65,57$.

Nach Berzelius und Gay-Lussac⁴⁾ nehmen 100 Teile Zink bei der Umwandlung in Zinkoxyd 24,8 Teile Sauerstoff auf, woraus $\text{Zn} = 64,51$. Diese Zahl fungiert (nach Umrechnung auf $\text{O} = 16$) in den Atomgewichtstabellen von Berzelius aus 1814 und 1818.

2. Jacquelinain⁵⁾ führte 1842 zunächst das Metall in das Nitrat und

letzteres im Platintiegel in das Oxyd über. Zwei Versuche, bei denen 9,917—9,809 g Zn 12,3138—12,1800 g ZnO lieferten. Ferner wurde in anderen zwei Versuchen statt Salpetersäure Schwefelsäure angewandt und etwa ein Drittel der vorigen Zinkmenge. Mit Rücksicht auf die Verunreinigungen des Zinkmetalls (Pb, Fe) wurden Korrekturen angebracht. 80,541 Zn gaben 100 ZnO, woraus $\text{Zn} = 66,23$.

3. Erdmann⁶⁾ 1844 bereitete zunächst reines Zink, löste es in Salpetersäure auf und glühte das Nitrat im Porzellantiegel. Er erhielt als Mittel von 4 Versuchen 80,260 Zn = 100 ZnO, woraus $\text{Zn} = 65,05$.

4. Favre⁷⁾ 1844 arbeitete nach zwei Methoden. Erstens löste er metallisches Zink in verdünnter Schwefelsäure, verbrannte den entwickelten Wasserstoff und wog das Wasser. Drei Versuche mit 25,389—31,776 g Zn und 6,928—8,671 g H₂O im Mittel 366,319 Zn : 100 H₂O, woraus $\text{Zn} = 65,99$.

Zweitens wurde Zinkoxalat verbrannt und die erhaltene CO₂ gewogen. Drei Versuche mit 5,2065—7,796 g ZnO und 5,588—8,365 g CO₂ im Mittel 93,169 ZnO : 100 CO₂, woraus $\text{Zn} = 66,02$. In beiden Methoden gehen die Fehler in der Richtung des höheren Atomgewichts.

Bis zu Anfang der achtziger Jahre nahm man fast allgemein $\text{Zn} = 65,2$ an. In Frankreich nahm man $\text{Zn} = 66$ an (Dictionnaire von Wurtz).

5. Baubigny⁸⁾ 1883 entwässerte sorgfältig gereinigtes Zinksulfat bei 440° (in Schwefeldampf), bis sein Gewicht konstant wurde und führte es bei der Schmelztemperatur des Goldes in das Oxyd über. Er erhielt aus 6,699 und 8,776 g ZnSO₄ 3,377 und 4,4245 g ZnO. Verhältnis 100 ZnSO₄ : 50,413 ZnO, woraus $\text{Zn} = 65,402$, also genau unsere heutige beste Zahl.

Richards⁹⁾ beanstandet diese Zahl, da er fand, daß das Zinkoxyd, nach dem Behandeln mit Schwefelsäure und Glühen bis zum Schmelzpunkt des Goldes für 1 g ZnO 0,00025 g an Gewicht zunimmt, doch ist es fraglich, ob er genau unter denselben Bedingungen arbeitete, wie Baubigny. Vielleicht nahm das Oxyd in Richards' Versuchen etwas Schwefel aus dem Leuchtgase an. Es ist schwer, anzunehmen, daß in Baubignys sehr einfacher Methode 1 mg einer Verunreinigung zurückgehalten worden wäre und dieser Fehler sich durch einen genau gleichen in entgegengesetzter Richtung gehenden Fehler ausgeglichen haben würde. Ich halte die Methode der Überführung des neutralen oder normalen Sulfats in das Oxyd, wo sie sich anwenden läßt, für eine der einfachsten und genauesten Methoden der Atomgewichtsbestimmung, da sie die denkbar einfachsten Manipulationen erfordert. Siehe auch beim Magnesium unter 9.

6. Marignac¹⁰⁾ wählte 1883 eine ziemlich komplizierte Methode zur Ermittlung des Atomgewichtes des Zinks. Er bestimmte das Verhältnis vom Zink zum Chlor im Doppelsalz K₂ZnCl₄. Das Salz wurde zwar durch Umkristallisieren gereinigt, doch es zerfloß an der Luft und zersetzte sich dabei. Die durch Zerfließen erhaltene Flüssigkeit enthielt einen Überschuß von Zinkchlorid, die feste Kruste an der Oberfläche enthielt einen Überschuß von Chlorkalium. Marignac mußte in der durch Zerfließen erhaltenen Flüssigkeit sowohl das Chlor, als auch, nach der Fällung durch Natriumcarbonat, den Gehalt an Zink bestimmen. Das Atomgewicht des Zinks wurde nach einer ziemlich komplizierten Formel berechnet. Da diese Atomgewichtsbestimmung ein mehr historisches Interesse besitzt und die von Marignac erhaltene Zahl durch die Richardssche Zahl verdrängt wurde, so führe ich

die zahlreichen analytischen Data nicht an, sondern verweise auf die Originalabhandlung.

Nach dieser Methode erhielt Marignac für das Atomgewicht des Zinks die Zahlen 65,26, 65,22, 65,37, 65,31, 65,28, oder im Mittel $Zn = 65,29$. Marignac hält diese Zahl für eher zu niedrig.

In einer zweiten Versuchsreihe analysierte Marignac das reine, trockene Doppelchlorid und erhielt, aus der Bestimmung des Chlorgehaltes allein, die Zahlen 65,28, 65,39 und 65,32 oder im Mittel $Zn = 65,33$. Auch diese Zahl betrachtet Marignac, da das Doppelsalz einen kleinen Überschuß an Chlorzink erhalten haben konnte, für eher zu niedrig.

7. Van der Plaats¹¹⁾ 1885, bestimmte direkt das Verhältnis zwischen dem Zink und dem Wasserstoff, indem er das Volum des Wasserstoffs maß, welches beim Behandeln einer gewogenen Menge reines Zink mit verdünnter Schwefelsäure erhalten wird. Er wendete in 3 Versuchen 6,6725—13,8758 g Zink an und erhielt 1,1424—2,3767 Liter Wasserstoff.

Van der Plaats berechnete aus diesem Volum das Gewicht des Wasserstoffs mit Hilfe der ungenauen Regnaultschen Data und erhielt daraus $Zn = 65,34$ ($O = 16$). Rechnet man mit dem neuen Werte von Morley um, so erhält man das Atomgewicht $Zn = 65,48$.

8. Reynolds und Ramsay¹²⁾ arbeiteten 1887 nach derselben Methode wie van der Plaats. Auf die Reindarstellung des Zinkmetalls und die genaue Messung des entwickelten Wasserstoffs wurde viel Mühe verwendet. Es wurden im ganzen 29 Bestimmungen ausgeführt, von denen jedoch alle, bis auf fünf, verworfen werden mußten! In jedem Versuch wurde das Volum des Wasserstoffs achtmal abgelesen und aus den Ablesungen das Mittel gezogen. Mit Hilfe des Regnaultschen Wertes: 1 Liter $H = 0,0896$ g, und wenn man die auf die unrichtige Grundlage $O = 15,9633$ bezogenen Originalzahlen auf $O = 16$ umrechnet, berechnen sich die folgenden Atomgewichtszahlen:

$Zn = 65,655, 65,627, 65,595, 65,602, 65,564$ oder im Mittel $Zn = 65,629$. Das Minimum aus den einzelnen Ablesungen des Volums ist 65,555, das Maximum 65,723.

Die Verfasser befinden sich offenbar im großen Irrtum, wenn sie behaupten, daß „diese Methode ein sehr exaktes Mittel zur Bestimmung der Atomgewichte anderer Elemente vorstellt“. (Siehe weiter unten.)

Rechnet man den Mittelwert mit dem Morleyschen Wert für die Dichte des Wasserstoffs um, so erhält man die noch höhere Zahl $Zn = 65,78$.

9. Mallet¹³⁾ 1890, bestimmte, gelegentlich seiner Atomgewichtsbestimmung des Goldes, das Volum des von einem Gramm reinem Zinkmetall gelieferten Wasserstoffs. Er erhielt in 4 Versuchen 341,85—342,04 cm^3 Wasserstoff und berechnet, mit dem Regnaultschen Werte im Mittel $Zn = 65,142$ ($H = 1$, $O = 15,96$), welche Zahl, auf $O = 16$ bezogen, $Zn = 65,29$ wird. Mit der Morleyschen Dichte für Wasserstoff umgerechnet erhält man $Zn = 65,53$.

10. Viel näher der Wahrheit als die Resultate der äußerst mühsamen und eine große Genauigkeit anstrebenden Versuche von Reynolds und Ramsay sowie von Mallet liegen die Werte für das Atomgewicht des Zinks, welche von Studierenden an amerikanischen Universitäten bei Gelegenheit praktischer, ohne komplizierte Apparate ausgeführter Laboratoriumsübungen erhalten worden sind. Morse und Keiser¹⁴⁾ führen 51 solche Bestimmungen an, aus denen sich, mit Morleys Wert für Wasserstoff, das Atomgewicht

65,30 ergibt. Torrey¹⁵⁾ führt 15 derartige Bestimmungen an, woraus $Zn = 65,25$.

Die Bestimmungen des Atomgewichtes des Zinks von Reynolds und Ramsay sowie von Mallet, welche mit Rücksicht auf die verwendete große Mühe ein sehr wenig befriedigendes, vom richtigen Werte weit entferntes Resultat ergeben haben, liefern ein wichtiges Argument zur Beurteilung der Frage, ob die Wasserstoffeinheit $H=1$ oder die Sauerstoffbasis $O=16$ als Urmaß für die übrigen Atommassen angewendet werden soll. Das Zink bildet eines der wenigen Elemente, welches direkt mit dem Wasserstoffmaße gemessen werden kann. Da man hier aber das Gewicht des Zinks mit dem Volum des Wasserstoffs vergleichen muß, so ist zunächst das Volum genau zu messen, mit Hilfe der aus den Gesetzen von Boyle und Gay-Lussac für jedes Gas ungleich großen Koeffizienten auf das Normalvolum zu korrigieren und aus diesem Volum ist das Gewicht des Gases zu berechnen, unter der Annahme, daß das bei dem Versuch erhaltene Wasserstoffgas ebenso rein ist, als der von Morley nach Überwindung unzähliger Schwierigkeiten erhaltene Wasserstoff. Wird nur der eine dieser Faktoren unrichtig bestimmt, zeigt sich z. B. nur eine geringe Abweichung in der Bestimmung des Volums des Sammelgefäßes oder in der Länge der Barometerskala, so führt dieser Umstand zu einem unrichtigen Atomgewicht, und es müßte von einem bloßen Zufall abhängen, wenn sich die zahlreichen Fehlerquellen untereinander ausgleichen sollten.

Wenn man dagegen die Messung der Atommäße des Zinks mit Hilfe der Atommasse $O=16$ ausführt, d. h. wenn man zu dieser Messung die mit der Sauerstoffbasis sehr genau verglichenen Atomgewichte des Silbers und des Broms verwendet, so erhält man ein der Wahrheit viel näher liegendes Resultat, wie die weiter unten angeführten Ergebnisse der Versuche von Richards unzweifelhaft beweisen. Ein Vergleich seiner Resultate mit denen von Ramsay und Reynolds beweist das Gesagte auf das deutlichste.

Reynolds und Ramsay $Zn = 65,555 - 65,723$, Differenz 0,168

Richards $Zn = 65,398 - 65,404$, Differenz 0,006

Differenz vom richtigen Werte 0,157 0,319.

Ein eklatanter Beweis dafür, wie die Wasserstoffeinheit $H=1$ der Sauerstoffbasis $O=16$ als praktisches Urmaß der Atomgewichte nachsteht, läßt sich kaum noch bringen.

11. Morse und Burton¹⁶⁾ 1888, gingen vom reinen, destillierten Zinkmetall aus und führten dasselbe in das Nitrat und dann in das Oxyd über. Es wurden 15 Versuche mit 0,91112—1,17038 g Zn und 1,13446—1,45726 g ZnO ausgeführt. Das Verhältnis ist im Mittel 100 ZnO:80,3115 Zn (Min. 80,305, Max. 80,316) Atomgewicht: $Zn = 65,27$.

Diese Zahl mußte zu niedrig ausgefallen sein, da, wie erst 1893 Richards und Rogers¹⁷⁾ fanden, das durch Glühen des Nitrats erhaltene Zinkoxyd okkludierte Gase enthält. Richards und Rogers fanden im 1 g ZnO 0,00057 g absorbiertes Gas und korrigierten die Zahl von Burton und Morse zu $Zn = 65,46$.

12. Gladstone und Hibbert¹⁸⁾ bestimmten 1889 unter Annahme der absoluten Gültigkeit des Faradayschen Gesetzes, das elektrolytische Äquivalent des Zinks im Vergleich mit dem des Silbers und des Kupfers, indem sie die Zinkmengen, welche gelöst wurden, mit den Silber- resp. Kupfermengen ver-

glichen, welche durch denselben Strom niedergeschlagen wurden. In der Silberreihe wurden 12 Versuche ausgeführt, wobei die Zinkmenge 0,2277 bis 0,9347 g und die Silbermenge 0,7517—3,0809 g betrug. Im Mittel ergibt sich das Verhältnis 100 Ag_2 :30,318 Zn (Min. 30,241, Max. 30,401) Atomgewicht: Zn=65,44.

In der Kupferreihe kamen in 10 Versuchen 0,2277—0,9347 g Zn und 0,2209—0,9038 g Cu zur Verwendung. Verhältnis 100 Cu:103,22 Zn (Min. 103,05, Max. 103,42). Atomgewicht Zn=65,65.

13. Das zuverlässigste Resultat ergab die 1895 von Richards und Rogers¹⁹⁾ ausgeführte Bestimmung des Atomgewichts des Zinks. Die Verfasser gingen in dieser Untersuchung, welche ein weiteres Glied der von Richards und seinen Mitarbeitern auf diesem Gebiete ausgeführten klassischen Arbeiten bildet, vom wasserfreien Zinkbromid aus. Das reine umkristallisierte oder umsublimierte Zinkbromid, welches aus sehr sorgfältig gereinigtem Material dargestellt war, wurde in einer Atmosphäre von reinem und trockenem Stickstoff, der mit Bromwasserstoff gemischt war, erhitzt. Die Bestimmung des Broms wurde unter Beobachtung der größten Vorsichtsmaßregeln ausgeführt.

A. Ermittlung des Verhältnisses zwischen Zinkbromid und Bromsilber.

ZnBr ₂ , g	AgBr, g	Atomgewicht Zn
1,69 616	2,82 805	65,469
1,98 198	3,30 450	65,470
1,70 920	2,84 949	65,487
2,35 079	3,91 941	65,470
2,66 078	4,43,751	65,400

Mittel 65,459

B. Ermittlung des Verhältnisses zum Silber und Bromsilber.

ZnBr ₂ , g	Ag, g	AgBr, g	Atomgewicht des Zn aus	
			ZnBr ₂ : Ag ₂	ZnBr ₂ : 2AgBr
2,33 882	2,24 063	3,90 067	65,409	65,400
1,97 142	1,88 837	3,28 742	65,444	65,434
2,14 985	2,05 971	3,58 539	65,396	65,402
2,00 966	1,92 476	3,35 074	65,472	65,463

Mittel 65,430

65,425

Richards vermutet in den angewandten Zinkbromidproben noch geringe Spuren Feuchtigkeit. Er führte nun die Arbeit selbst weiter fort. Er bereitete Zinkbromid aus elektrolytischem Zink und Brom, reinigte das Bromid durch Sublimation oder Destillation und schmolz es im Kohlensäure- und Bromwasserstoffstrom, so daß es frei von Wasser oder Oxybromid erhalten wurde. In der ersten Versuchsreihe der „endgültigen Bestimmungen“ wurde das Verhältnis zwischen Bromid und Silber teils durch Hin- und Zurücktitrieren, teils mit Hilfe des Nephelometers bestimmt.

Bestimmung des Verhältnisses zwischen Zinkbromid und Silber.

ZnBr ₂ , g	Ag, g	ZnBr ₂ : 2Ag	Atomgewicht Zn:
6,23 833	5,97 66	104,379	65,403
5,26 449	5,04 36	104,380	65,404
9,36 283	8,97 02	104,377	65,398

Mittel 104,379

65,402

Bestimmung des Verhältnisses zwischen Zinkbromid und Bromsilber:

ZnBr ₂	Ag	ZnBr ₂ : 2AgBr	Atomgewicht Zn:
2,65847	4,43358	59,9622	65,410
2,30939	3,85149	59,9606	65,404
5,26449	8,77992	59,9606	65,404
Mittel 59,9611			65,406

Als Mittel der endgültigen Bestimmungen von Richards ergibt sich das Atomgewicht $\text{Zn} = 65,404$.

14. Morse und Arbuckle²⁰⁾ veröffentlichten 1898 eine Untersuchung über das Atomgewicht des Zinks, welche als Fortsetzung und Richtigstellung der unter Nr. 11 angeführten Arbeit von Morse und Burton aus dem Jahre 1888 (siehe Zitat 15) angesehen werden muß. Es ist schon unter 11. angeführt worden, daß Richards und Rogers in dem aus dem Nitrat durch Glühen dargestellten Zinkoxyd okkludierte Gase fanden und unter Berücksichtigung dieser Okklusion die Zahl von Burton und Morse korrigierten. Morse und Arbuckle führten neuerdings die Überführung des Zinkmetalls in das Oxyd aus und ermittelten in jeder Probe des erhaltenen Zinkoxyds das Volum der okkludierten Gase, ihren Gehalt an Stickstoff und Sauerstoff, das Gewicht derselben und zogen das letztere von dem Gewicht des erhaltenen Zinkoxyds ab. Es wurden 10 Versuche ausgeführt, in denen 1,0381—1,26618 g Zn angewandt und 1,28707—1,57619 g ZnO erhalten wurden. Nach Anbringung der Korrektur wurden zwischen 65,440—65,489 schwankende, im Mittel $\text{Zn} = 65,457$ (im Vakuum) ergebende Werte für das Atomgewicht erhalten. Der Wert $\text{Zn} = 65,457$ kommt merkwürdig nahe dem von Richards und Rogers korrigierten Wert von Morse und Burton: $\text{Zn} = 65,458$, aber auch dem, nach Richards nicht ganz einwandfreien Resultat der Serie A von Richards und Rogers.

Da nach Versuchen, die in meinem Laboratorium ausgeführt wurden, das Volum der in Oxyden okkludierten Gase sich in der Regel etwas größer ergibt, als den wirklich vorhandenen Gasen entspricht, so muß sich, da vom Gewicht des erhaltenen Zinkoxyds zu viel abgezogen wird, ein zu hohes Atomgewicht ergeben. Wir können deshalb keiner von den in den Untersuchungen 1. bis 14. erhaltenen Zahlen vor derjenigen von Richards den Vorzug geben. Die mit einfachen Mitteln erhaltene Zahl von Baubigny (siehe 5.) $\text{Zn} = 65,404$ kommt ihr merkwürdigerweise am nächsten.

Übersicht

Name	Jahr	Verhältnis	Atomgew. Zn =
Gay-Lussac	1809	Zn:ZnO und	
		Zn:H ₂	65,55
Berzelius	1811	Zn:ZnO	65,57
Berzelius u. Gay-Lussac	1811	Zn:ZnO	64,51
Jacquelain	1842	Zn:ZnO	66,23
Erdmann	1844	Zn:ZnO	65,05
Favre	1844	Zn:H ₂ :H ₂ O	65,99
		ZnC ₂ O ₄ :2CO ₂	66,02
Baubigny	1883	ZnSO ₄ :ZnO	65,40
Marignac	1883	Analyse d. K ₂ ZnCl ₄	65,29
		zweite Reihe	65,33

Name	Jahr	Verhältnis	Atomgew. Zn =
Van der Plaats . . .	1885	Zn : H ₂	65,48
Reynolds und Ramsay	1887	Zn : H ₂	65,78
Morse und Burton .	1888	Zn : ZnO	65,27
			korrigiert 65,46
Gladstone und Hibbert	1889	Zn : 2Ag	65,44
" " "	1889	Zn : Cu	65,65
Mallet	1890	Zn : H ₂	65,53
Richards und Rogers .	1895	ZnBr ₂ : 2Ag	65,43
		ZnBr ₂ : 2AgBr	65,43
Richards	1895	ZnBr ₂ : 2Ag	65,402
		ZnBr ₂ : 2AgBr	65,406
Morse u. Arbuckle .	1898	Zn : ZnO korrigiert für Okklusion	65,46

Das Atomgewicht des Zinks beträgt

$$\text{Zn} = 65,40 \text{ (I—II)}^{21)}$$

mit einer kleinen Unsicherheit in der zweiten Dezimalstelle.

- 1) Allgemeine Bemerkungen über Atomgewichte siehe beim Beryllium S. 26.
- 2) Gay-Lussac, Mém. d'Arceuil. 2, 174.
- 3) Berzelius, Gilb. Ann. 37, 460.
- 4) Berzelius, Pogg. Ann. 8, 184.
- 5) Jacquelin, Compt. rend. 14, 636.
- 6) Erdmann, Pogg. Ann. 62, 611.
- 7) Favre, Ann. chim. phys. (3) 10, 163.
- 8) Baubigny, Compt. rend. 97, 906.
- 9) Richards, Zeitschr. anorg. Chem. 10, 4.
- 10) Marignac, Arch. Sc. Phys. Nat. (3) 10, 193. Leichter zugänglich in Oeuvres complètes II, 731—741.
- 11) Van der Plaats, Compt. rend. 100, 52.
- 12) Reynolds und Ramsay, Journ. Chem. Soc. Trans. 1887, 854.
- 13) Mallet, Amer. Chem. Journ. 12, 205.
- 14) Morse und Keiser, Amer. Chem. Journ. 6, 347, 1884.
- 15) Torrey, Amer. Chem. Journ. 10, 74, 1888.
- 16) Morse und Burton, Amer. Chem. Journ. 10, 311.
- 17) Richards und Rogers, Proc. Amer. Acad. 1893, 200.
- 18) Gladstone und Hibbert, Journ. Chem. Soc. 1889, 443.
- 19) Richards und Rogers, Zeitschr. anorg. Chem. 10, 1—24.
- 20) Morse und Arbuckle, Amer. Chem. Journ. 20, 195.
- 21) In der von der intern. Atomgew.-Kommission empfohlenen Zahl: Zn = 64,4 kommt eine zehnmal größere „Unsicherheit“ zum Ausdruck als in der von mir empfohlenen Zahl: Zn = 65,40!

Brauner.

Cadmium. Cd.

Cadmiummetall. Das Cadmium gehört zu den verhältnismäßig spät bekannt gewordenen Elementen, eine Tatsache, die in Anbetracht seines Charakters als unedlen Metalls und seiner weiten Verbreitung als fast ständiger Begleiter des längst bekannten Zinks etwas auffällig erscheint, jedoch dadurch begründet ist, daß es niemals in hoher Konzentration auftritt.

Die Zinkblenden und der Galmei Belgiens, Spaniens, Böhmens, des Oberharzes und Oberschlesiens enthalten gewöhnlich nicht über ein Prozent Cd, doch sind in einzelnen Fällen bis 5 Proz. beobachtet worden. Für sich allein tritt das Cd, jedoch sehr selten, z. B. in Schottland, Siebenbürgen, Böhmen, als Greenockit (CdS) auf.¹⁾

Das Element wurde im Jahre 1817 von Stromeyer²⁾ entdeckt, der die Geschichte der Auffindung folgendermaßen erzählt. Bei der Ausübung seines Nebenberufes als Apothekenrevisor entdeckte er ein Präparat von ZnO, das, als es wegen seiner arsenverdächtigen gelben Farbe analysiert wurde, sich als ZnCO₃ erwies. Eine Anfrage an die Fabrik, von der das Präparat bezogen war, wurde von dieser ganz offen dahin beantwortet, daß keine Verwechslung vorliege, sondern daß sie absichtlich ZnCO₃ statt ZnO liefere. Dies geschehe darum, weil das Carbonat beim Glühen ein braunes Oxyd ergebe, welches dann als eisenhaltig von den Konsumenten zurückgewiesen werde, obwohl analytisch ein Eisengehalt nicht nachweisbar sei. Daraufhin untersuchte Stromeyer den Stoff näher und fand, daß er ein neues, dem Zn verwandtes Element enthalten müsse. Diesem, das er isolierte und ausführlich beschrieb und von dem er eine Reihe Salze darstellte, erteilte er den Namen Cadmium.

Fast gleichzeitig wurde die Existenz des neuen Elements von Hermann³⁾ und Karsten³⁾ festgestellt.

Bezüglich des Namens herrschte anfangs, wenigstens solange die Entdeckung noch nicht ganz außer Zweifel stand und solange noch die Möglichkeit einer Identität mit einem von v. Vest³⁾ entdeckten Elemente vorlag, einige Verwirrung. Gilbert³⁾ schlug vor Vestium oder Vestalium, v. Vest lunonium, Karsten Melinum wegen des quittengelben Sulfids, auch der Name Klaprothium war in Vorschlag gekommen. Die Entdeckung v. Vests beruhte übrigens jedenfalls auf einem Irrtume, und so wurde der von Stromeyer erteilte Name akzeptiert.

Cd kommt, wie die Spektralanalyse zeigt, auf der Sonne vor.⁴⁾

Dargestellt wird das Cd stets als Nebenprodukt der Zinkhüttenindustrie, da der Greenockit als Ausgangsmaterial nicht in Betracht kommt. Es ist wie Zn destillierbar und zwar noch leichter als dieses, so daß es sich in den

ersten Partien des Destillats anreichert und durch Fraktionieren vom Zn getrennt werden kann. Auf diese Weise wird bereits sehr reines Metall mit mehr als 99,5 Proz. Cd erhalten. Die Reinigung von den letzten Spuren fremder Metalle bleibt dann dem Laboratoriumsbetriebe vorbehalten und muß in gewissen Fällen vorgenommen werden, insbesondere wenn das Material zur Herstellung von Normalelementen dienen soll. Diese Reinigung kann durch elektrolytische Fällung eines hochreinen Salzes⁵⁾, besonders aber durch wiederholte Sublimation des Metalls im Vakuum erfolgen, in dem die Sublimation schon bei 164° nachweisbar ist⁶⁾, auch in H₂-Atmosphäre gelang die Darstellung spektroskopisch reinen Metalls.⁷⁾

Das Cadmium kann in scharf charakterisierten Kristallen erhalten werden, die dem hexagonalen Systeme zugehören und das Achsenverhältnis $a:c = 1:1,6355$ nach Williams⁸⁾, $1:1,669$ nach Termier⁹⁾, $1:1,671$ nach Roth¹⁰⁾ aufweisen (auf andere Grundformen bezogen $1:1,324$ ⁸⁾, $1:1,335$ ⁹⁾, $1:1,274$ ¹⁰⁾). Die Isomorphie mit Zn geht also sehr weit.

Der Schmelzpunkt wurde mehrfach bestimmt. Holborn und Day¹¹⁾ fanden 321,7°, E. Becquerel¹²⁾ 315,8°, Person¹³⁾ 320,7°, Wood¹⁴⁾ 315°, Vicentini und Omodei¹⁵⁾ 318°, Griffith¹⁶⁾ 321,67°. Der erste und der letzte Wert sind mit besonderer Sorgfalt festgestellt und sind die höchsten; es darf daher 321,7° als der nicht durch Unreinheiten erniedrigte richtige Wert angenommen werden. Der Siedepunkt liegt nach Czepinski¹⁷⁾ bei 780°, nach D. Berthelot¹⁸⁾ bei 778°. Barus¹⁹⁾ gibt nachstehende Tabelle für den Siedepunkt unter p mm Hg-Druck.

p	t°	p	t°	p	t°	p	t°	p	t°
0,0	444	22	549	355	724	63	606	636	770
27,5	526	25	552	381	729	84	622	656	772
52,5	549	26	565	489	745	226	686	755	785
77,0	562	32	574	517	750	274	704		
		75	620	624	760	342	722		
		105	639	650	766	510	752		
		157	667	756	772	563	760		
		189	681						
		262	702						
		292	706						

Von Angaben über das spez. Gewicht sei folgendes erwähnt. Stromeyer²⁰⁾ fand für festes gehämmertes Metall 8,6944, für geschmolzenes 8,6040. Children²¹⁾ für geschmolzenes 8,67 (gehämmert 9,05), Schroeder²²⁾ für geschmolzenes 8,540 und 8,566 (gehämmert 8,667). Andere Bestimmungen gaben 8,63 (Kopp²³⁾), 8,638 (Karsten²²⁾), 8,677 (Herapath²²⁾). Matthiessen²³⁾ fand $d_{18,8} = 8,655$. Quincke^{23a)} erhielt den Wert 8,627. Die Angaben von Ditte und Metzner²⁴⁾ scheinen stark fehlerhaft zu sein. Bei 0° fanden Vicentini und Omodei²⁵⁾ $d_0 = 8,6681$, beim Schmelzpunkt 8,3665 für das feste, 7,989 für das flüssige. Kahlbaum, Roth und Siedler²⁶⁾ fanden für ungepreßtes Metall $d_4^{20} = 8,64819$ nach der Pressung $d_4^{20} = 8,64766$; während Spring²⁷⁾ $d_{17} = 8,642$, nach Komprimieren unter 20000 Atmosphären $d_{17} = 8,667$ erhielt. Übrigens ist bei der Kompression eine Wärmeentwicklung beobachtet worden, die sich bei 300 Atmosphären auf 0,3° belief.²⁸⁾

Nach einer neuen Untersuchung Springs^{28a)} hat Cd, wenn es unter hohem Drucke aus enger Öffnung geflossen ist, $d_{16} = 8,6558$; hierauf wieder durch Erwärmen in den gewöhnlichen Zustand übergeführt zeigt es 8,6633; gewalzt hat es 8,6603.

Spezifische Wärme. Regnault²⁹⁾ fand bei 13° 0,0567, Bunsen³⁰⁾ bei 50° 0,0548, Kopp²⁹⁾ bei 37° 0,0542, De la Rive und Marcet³¹⁾ bei 10° 0,058, Naccari³²⁾ 0,0546 ($1 + 443 \cdot 10^{-6} t$), Kahlbaum, Roth und Siedler²⁶⁾ 0,0560 bei 20°, endlich Behn³³⁾ 0,056 zwischen +100° und +18°, 0,0537 zwischen +18° und -79°, 0,0498 zwischen -79° und -186°.

Hieraus folgt für die Atomwärme, wenn wir die Zahlen von Naccari, Behn und Kahlbaum benutzen, $w = 112,4 \times 0,0555 = 6,25$.

Die spez. Schmelzwärme beträgt 13,66 cal³⁴⁾, die Verdampfungswärme 28,0 cal.³⁵⁾

Den linearen Ausdehnungskoeffizienten bestimmte Fizeau³⁶⁾ bei 40° zu $\alpha = 3,069 \cdot 10^{-5}$, und die Längenänderung zwischen 0° und 100° zu $l = 100 (3,069 \cdot 10^{-5} + 3,26 \cdot 10^{-7} [t^0 - 40^0])$, außerdem liegt noch eine ältere Angabe von Calvert und Johnson³⁷⁾ vor, sowie eine spätere von Glatzel³⁸⁾, welche $\alpha = 3,121 \cdot 10^{-5}$ ergab.

Der kubische Ausdehnungskoeffizient ist nach Kopp³⁹⁾ gleich 0,000094 zwischen 10 und 40°, stimmt also zu dem linearen. Eine spätere Angabe weicht indessen davon ab.⁴⁰⁾ Vicentini und Omodei⁴¹⁾ fanden für geschmolzenes Cd beim Schmelzpunkte 0,0000948.

Die Wärmeleitfähigkeit beträgt 57,7 Proz. von der des Silbers.⁴²⁾ Was die Leitfähigkeit für Elektrizität anlangt, so ist sie mehrfach untersucht worden. In Proz. der Silberleitfähigkeit für gleiche Temperatur ausgedrückt beträgt sie 24,58 bei 0°, 24,55 bei 100° (E. Becquerel⁴³⁾). Matthiessen und v. Bose⁴⁴⁾ fanden für t^0 $100 - 0,36871 (t^0 - 0^0) + 0,0007575 (t^0 - 0^0)^2$. In C.G.S.-Einheiten fand sich der Widerstand bei 0° zu 10023.⁴⁵⁾ Den Temperaturkoeffizienten zwischen 0° und 100° bestimmten dieselben Autoren zu $4,19 \cdot 10^{-3}$, E. Becquerel⁴³⁾ zu $4,04 \cdot 10^{-3}$, Jaeger und Diesselhorst⁴⁶⁾ zu $4,24 \cdot 10^{-3}$.

Über andere Untersuchungen vgl. Anmerkung 55.

Das feste Cd ist deutlich plastisch: Spring⁴⁷⁾ vereinigte bei 295° durch ganz leichten Druck zwei Flächen, und Tammann⁴⁸⁾ konnte zwischen 100° und 250° die Ausflußgeschwindigkeit des Metalls unter Druck messend verfolgen.

Die Oberflächenspannung α und die „spezifische Kohäsion“ a^2 des geschmolzenen Cd wurde von Siedentopf⁴⁹⁾ bestimmt.

t^0	d_t^0	a^2	α
365	7,9252	20,991 qmm	83,18 $\frac{\text{mg}}{\text{mm}}$
431	7,9252	20,633 "	80,835 "

In CO₂ wurde a^2 zu 16,84, α zu 70,65 gefunden.⁵⁰⁾

Die Dampfdichte⁵¹⁾ fand sich bei 1040° zu 3,94, mithin das Molekulargewicht zu $3,94 \cdot 28,9 = 114$. Dem Cadmiumdampfe kommt somit in Übereinstimmung mit anderen Metallen die Formel Cd zu. Dasselbe gilt auch für Lösungen von Cd in anderen Metallen, wie mehrfach bei Untersuchungen über die Schmelzpunkte von Legierungen konstatiert wurde; hier sei insbesondere die Abhandlung von Ramsay⁵²⁾ erwähnt, welche die Dampfdruckdepression von siedendem Hg betrifft.

Der Brechungsexponent für Na-Licht ist 1,13 nach Drude.⁵³⁾

Kolloidales Cd erhielt Bredig⁵⁴⁾ durch Zerstäubung im Lichtbogen unter Wasser.

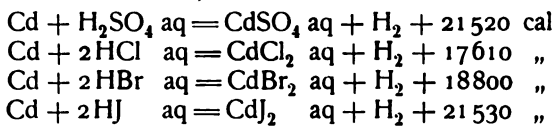
Hydrosol des Cadmiummetalles. Auf chemischem Wege ist das Cadmium bis jetzt noch nicht als Hydrosol dargestellt worden; es würde überhaupt, da es unedler als Wasserstoff ist, meist nur durch ein Reduktionsmittel, welches selbst Wasser zersetzt, gewonnen werden können; und dabei müßte noch die Reaktionsgeschwindigkeit der Wasserzersetzung gegenüber der der Metallabscheidung sehr klein sein. Bredig⁵⁶⁾ ist es dagegen durch elektrische Zerstäubung einer Cadmiumkathode im Lichtbogen unter stark gekühltem Leitfähigkeitswasser bei Anwendung von Cadmiumstäben von 7 mm Dicke als Elektroden und eines elektrischen Stromes von 5—10 Amp. und 30—40 Volt gelungen, ein Cadmiumhydrosol von tiefbrauner Farbe zu gewinnen, welches sich bei Luftzutritt rasch oxydiert, bei Luftabschluß aber sehr beständig ist. Wie alle Metallhydrosole wird es, und zwar unter Farbumschlag von Braun in Blaugrau durch Elektrolyte in das Gel verwandelt, welches als fein verteiltes Metall niederfällt. Bei Zusatz von H_2O_2 verwandeln Säuren das Hydrosol in die entsprechenden Cadmiumsalzlösungen; Salpetersäure und schweflige Säure bewirken schon ohne H_2O_2 -Zusatz diese Umwandlung. Aus der Lösung durch schweflige Säure fällt infolge der Zersetzung des entstandenen Cadmiumhydrosulfits bald Cadmiumsulfid aus.

Lottermoser.

Lösungsdruck. Nach Nernst und Tammann⁵⁷⁾ beträgt der maximale Partialdruck von H_2 , welcher aus Cd und Lösung von 0,62 Mol $HCl + 0,3$ Mol $CdCl_2$ entwickelt wird, 44 Atmosphären.

Nach Neumann⁵⁸⁾ und Labendzinski⁵⁹⁾ ist das elektrolytische Potential des Metalls gegen eine 1 molare Nitratlösung, deren Konzentration wegen ihrer normalen Ionenbildung (im Unterschied zu den Haloidsalzen) annähernd mit der Konzentration der Cd^{++} -Ionen übereinstimmt, gegen die Normal-El. $\epsilon_c = +0,687$ Volt, also, bezogen auf $H_2 / 1\text{ n-H}$ als Nullpunkt, $\epsilon_h = +0,404$ Volt. Daraus berechnet sich, daß Cd-Metall aus einer Lösung, die pro Liter 1 Mol H- und zugleich 1 Mol Cd^{++} -Ionen enthält, Wasserstoff mit einem Druck von $10^{13,7}$ Atm. entwickeln würde. Die von Nernst und Tammann gefundene Druckgröße ist darnach sicherlich noch weit vom Gleichgewichtsdruck entfernt gewesen.

Die Ionisierungswärme. Der Übergang von 1 Atom Cd-Metall in Cd^{++} -Ion entbindet 2×8060 cal nach Jahn⁶⁰⁾, 2×8300 nach Ostwald⁶¹⁾ und es werden entwickelt aus⁶²⁾:



Beweglichkeit. Wie weiter unten zu sehen ist, berechnen sich für das Ion $\frac{1}{2}Cd^{++}$ in unendlicher Verdünnung bei 18° aus Überführungszahlen die Werte u für die elektrolytische Beweglichkeit.

Aus	$u_{\frac{1}{2}Cd^{++}}$
$\frac{1}{2}CdCl_2$	49
$\frac{1}{2}CdBr_2$	50
$\frac{1}{2}CdJ_2$	53
$\frac{1}{2}CdSO_4$	42

Die Haloide führen also zu anderen Werten als das Sulfat.

Das Cd verhält sich in H_2O -Lösung häufig anders als seine Verwandten, und man pflegt die Erscheinungen damit zu erklären, daß häufig statt oder neben Cd^{++} komplexe Ionen gebildet werden. Es darf als ausgemacht gelten, daß Cd sowohl komplexe Kationen (z. B. in Verbindung mit NH_3) als auch komplexe Anionen zu bilden befähigt ist, z. B. CdJ_3^- und $CdCy_4^{--}$. In bezug auf die Stärke der Assoziationstendenz findet es in Hinsicht auf seine nächsten Verwandten seinen Platz zwischen Zn und Hg, so daß die Reihenfolge die gleiche ist wie für die Lösungsdrucke, die Atomvolumina, die Schmelz- und Siedepunkte, die Löslichkeit der Sulfide und Jodide in H_2O usw.

Die auf H_2O von gleicher Temperatur bezogenen spez. Volumina der Salzlösungen bei $19,5^\circ$ betragen für 1 Mol auf 1000 g H_2O v, die der festen Anhydride V, mithin die absolute Kontraktion $\varphi = 1 + V - v$, die relative

$$\psi = \frac{\varphi}{1 + V}$$

	v	V	φ	ψ
$CdCl_2$	0,868	0,247	0,375	0,301
$CdBr_2$	0,825	0,192	0,367	0,308
CdJ_2	0,783	0,168	0,385	0,330
$CdSO_4$	0,840	0,212	0,372	0,307
$Cd(NO_3)_2$	0,829			

(Die Kurven für v bei variablem Gehalte sind übrigens, was die Haloide angeht, nach dem hier gebrauchten Konzentrationsmaße fast identisch bis zu sehr hohen Konzentrationen.)

Der analytische Nachweis von Cd kann mit Hilfe der Fällung durch H_2S geführt werden, dasselbe Verfahren eignet sich auch zur Abscheidung bei quantitativen Bestimmungen, da CdS sowohl in Alkalien wie in verdünnten Säuren und sogar in KCN praktisch unlöslich ist. Ferner ist die Fällung als Oxyd resp. Hydroxyd oder „basisches Carbonat“ in Gebrauch, denn das Hydroxyd (usw.) löst sich, im Gegensatz zu $Zn(OH)_2$, nicht merklich in Alkalien (wohl aber in NH_4OH oder Ammonsalzen). Als andere Wägungsformen kommen noch das Pyrophosphat wegen der Schwerlöslichkeit des Ammoncadmiumphosphats und das Sulfat wegen seiner Hitzebeständigkeit in Betracht.

Außerdem ist es möglich, Cd elektrolytisch abzuscheiden, und man bedient sich für die analytische Bestimmung sowohl als auch für die Reinigung des Metalls oder für praktische Zwecke der Galvanostegie solcher Lösungen, die nur relativ wenig Cd-Ionen, also Cd-Salze organischer Säuren oder einen KCN -Zusatz enthalten, weil dadurch eine bessere Kohärenz des abgeschiedenen Metalls erzielt wird.

Cadmiumhaloide. Man kennt

CdF_2	$CdCl_2$	$CdBr_2$	CdJ_2	$CdCy_2$
—	$CdCl_2 \cdot H_2O$	$CdBr_2 \cdot H_2O$	—	—
—	$CdCl_2 \cdot 2H_2O?$	—	—	—
—	$CdCl_2 \cdot \frac{5}{2}H_2O?$	—	—	—
—	$CdCl_2 \cdot 4H_2O$	$CdBr_2 \cdot 4H_2O$	—	—
—	$CdCl_2 \cdot 5H_2O$	—	—	—

Schmelzpunkt	Siedepunkt	Spez. Gewicht	Molarvolum	Bildungswärme	Lösungswärme	Löslichkeit	Zersetzungsspannung	Ionenkonzentr.	Spez. Vol. d. Lösung
CdF_2	520°	?	22,6	257500	?	0,0053	2,24	?	
CdCl_2	560°	964°	45,3	93240	+3010	>0,133	1,84	0,1	1,0771
CdBr_2	580°	860°	54,4	75200	+440	>0,102	1,41	0,1	1,1155*
CdI_2	404°	713°	61,1	48830	-960	0,046	0,94	0,1	1,1495
CdCy_2	?			33960	?	gering		?	

Anmerkungen:

Löslichkeit: Ausgedrückt in Mol pro Mol H_2O (CdF_2 bei 25°, die andern bei 40°, CdCl_2 und CdBr_2 sind nicht untersucht, die Zahlen sind vermutlich größer als die zitierten, welche den Monohydraten zukommen).
 Ionenkonzentration: Bezogen auf 1-molare Lösung nach Leitfähigkeiten; nur roh berechenbar, Schema $\text{CdX}_2 = \text{Cd}^{++} + 2\text{X}'$.

Spez. Volum der Lösung: Bezogen auf äquiv.-normale Lösung bei 18°.

Lösungswärme: Bei 18°, 1 CdX_2 in 400 Mol H_2O .

Bildungswärme: Für 18° und den Zustand der Komponenten bei dieser Temperatur.

Zersetzungsspannung: Für Lösungen, welche je 1 Äquivalent-Ion von $1/2 \text{ Cd}^{++}$ und Anion im Liter enthalten, als Differenz der Einzelentladungsspannungen gebildet.

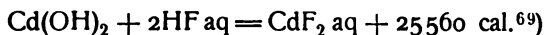
Cadmiumfluorid. Das Cadmiumfluorid, $\text{CdF}_2 = 150$, ist ein wenig erforschtes Salz. Dargestellt wurde es durch Berzelius.⁶³⁾ Außer auf nassem Wege aus Basis und Säure kann es auch durch verschiedene andere Reaktionen erhalten werden⁶⁴⁾, so aus $\text{Cd} + \text{HF}$ -Gas in der Hitze, ferner ebenso aus $\text{CdCl}_2 + \text{HF}$, jedoch schwerer. $\text{CdO} + \text{HF}$ gibt bei Rotglut quantitativ CdF_2 . Obwohl es selbst bei 1200° noch wenig flüchtig ist⁶⁴⁾, kann es doch, dem Massenwirkungsgesetze entsprechend, durch Glühen mit HCl in CdCl_2 , mit H_2S in CdS , bei Rotglut durch H_2O oder O_2 in CdO und durch H in Cd übergeführt werden.⁶⁴⁾ Kristalline Struktur ist nicht festgestellt. Es schmilzt bei 520° ⁶⁵⁾ und hat das spez. Gewicht 6,64, nach Clarke und Kebler⁶⁶⁾ 5,994.

Wasser löst bei 25° 0,289 Mol pro Liter⁶⁷⁾, in 1,08 n HF ist die Löslichkeit, wahrscheinlich wegen Bildung von Hydrofluorid, erheblich höher, nämlich 0,372 Mol/l.

Bildungswärme.⁶⁸⁾ Bei 15° ist für gelöstes Salz



Die Neutralisation entwickelt



Cadmiumchlorid. Das Cadmiumchlorid, $\text{CdCl}_2 = 183,3$, von Stromeyer⁷⁰⁾ zuerst beschrieben, ist in mehreren Formen und Hydratisierungsstufen bekannt. Man unterscheidet außer dem Anhydrid ein Mono-, ein Di-, ein Tetra-, ein Pentahydrat. Das Anhydrid ist ein stabiler Stoff, der bei Rotglut im H_2 -Strome zwar reduziert⁷¹⁾, durch O_2 oxydiert⁷²⁾ wird, andererseits aber gegen NO_2 sich indifferent verhält.⁷³⁾ Es schmilzt bei 566° — 570° ⁷⁴⁾, siedet bei 964° .⁷⁴⁾ Die Schmelzwärme beträgt ca. 10500 cal⁷⁴⁾, die Verdampfungswärme, indirekt bestimmt, 26000 cal.⁷⁴⁾ Sein spez. Gewicht ist $d_{40}^{25} = 4,049$ ⁷⁵⁾ auf das Vakuum bezogen.

Das Monohydrat erhält man aus konzentrierter Lösung durch Fällern mit HCl oder H_2SO_4 ⁷⁶⁾ (s. u.), ferner in langen Nadeln durch Verdunsten von 58prozentiger Lösung bei 40° .⁷⁷⁾ Es wird bei 120° völlig entwässert. Das Dihydrat erhielt von Hauer⁷⁸⁾ durch Trocknen über H_2SO_4 .

Es kristallisiert monoklin⁷⁹⁾ mit $a:b:c = 0,4181:1:?$, $\beta = 88^\circ 33'$ und hat das spez. Gewicht⁷⁵⁾ 3,339 bei $18,2^\circ$, 3,320 bei $23,2^\circ$, 3,314 bei $23,6^\circ$. Dietz⁷⁷⁾ fand es nicht wieder, dagegen ein Hydrat mit $\frac{5}{2}\text{H}_2\text{O}$, dessen Existenz er aber nicht als über alle Zweifel erhaben hinstellt. Dieses soll sich aus 58prozentiger Lösung bei Zimmertemperatur monoklin⁸⁰⁾, aus 50—52prozentiger über H_2SO_4 rhombisch abscheiden und bei 38° in $\text{CdCl}_2 \cdot \text{H}_2\text{O}$ übergehen. Das Tetrahydrat $\text{CdCl}_2 \cdot 4\text{H}_2\text{O}$ erhielten Lescoeur⁷⁶⁾ und Dietz⁷⁷⁾, dieser bei -10° aus 58prozentiger Lösung in großen Prismen, die beim Reiben in $\text{CdCl}_2 \cdot \frac{5}{2}\text{H}_2\text{O}$ übergingen.

Das Pentahydrat⁸¹⁾ endlich scheidet sich bei -14° aus 50prozentiger Lösung in Nadeln ab, die bei $+21^\circ$ schmelzen und bei $+22^\circ$ $\text{CdCl}_2 \cdot 2\text{H}_2\text{O}$ abscheiden.

Weitere Aufklärung liefern die Dampfdruckmessungen von Lescoeur und Löslichkeitsbestimmungen von Dietz (s. o.). Der Druck p in mm Hg betrug

$t = 20^0$			$t = 60^0$			$t = 100^0$		
		p			p			p
Gesätt. Lösung	ca.	12,2	Gesätt. Lösung	ca.	118	$\text{CdCl}_2 + 0,98 \text{ H}_2\text{O}$	ca.	151
$\text{CdCl}_2 + 4,5 \text{ H}_2\text{O}$	"	11,0	$\text{CdCl}_2 + 1,7 \text{ H}_2\text{O}$	"	120	" + 0,18	"	152
" + 3,5	"	10,5	" + 0,98	"	<20	" + 0,05	"	<20
" + 1,9	"	8,9						
" + 1,5	"	7						
" + 1,07	"	6,5						
" + 1,01	"	6,2						
" + 0,96	"	<2						

Hieraus ist zu schließen, daß das Monohydrat deutlich charakterisiert ist. Die höheren Hydrate zeichnen sich bei 20^0 nicht deutlich aus. Über das Monohydrat liegt noch eine Reihe vor:

t	$\text{CdCl}_2 \cdot \text{H}_2\text{O}$	p	Gesättigte Lösung
10			ca. 7,4
20			" 12,2
60			" 118
70			" 182
77			" 258
80	ca. 50		
90	" 84		
100	" 151		
110	" 232		

Die Löslichkeiten, in a Gramm CdCl_2 pro 100 g Lösung resp. b Mol H_2O pro Mol wasserfreies Salz ausgedrückt, fand Dietz zu

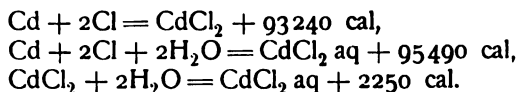
$\text{CdCl}_2 \cdot 4\text{H}_2\text{O}$			$\text{CdCl}_2 \cdot \frac{5}{2}\text{H}_2\text{O}$ rhomb.			$\text{CdCl}_2 \cdot \text{H}_2\text{O}$		
t^0	a	b	t^0	a	b	t^0	a	b
-9	43,58	13,16	-10	44,35	12,76	+10	57,47	7,52
0	49,39	10,42	0	47,37	11,15	+20	57,35	7,56
+10	55,58	8,12	+18	52,53	9,15	+40	57,51	7,51
+15	59,12	7,03	+30	56,27	7,90	+60	57,77	7,43
			+36	57,91	7,39	+80	58,41	7,24
						+100	59,52	6,90

Der Umwandlungspunkt von $\text{CdCl}_2 \cdot \frac{5}{2}\text{H}_2\text{O}$ in $\text{CdCl}_2 \cdot \text{H}_2\text{O}$ liegt hiernach bei $+34^0$. Dies trifft zusammen mit dem von Cohen⁸²⁾ für $\text{CdCl}_2 \cdot 2\text{H}_2\text{O} \leftrightarrow \text{CdCl}_2 \cdot \text{H}_2\text{O}$ elektrisch ermittelten Punkte $34,1^0$, und es sind demnach vielleicht die Hydrate mit 2 und $\frac{5}{2}\text{H}_2\text{O}$ identisch.

Für höhere Temperaturen bestimmte Étard⁸³⁾ Löslichkeiten.

Nach der Lösungswärme unterscheiden sich die Hydrate sehr deutlich. Sie beträgt⁸⁴⁾ für CdCl_2 3380 cal, für $\text{CdCl}_2 \cdot \text{H}_2\text{O}$ 625 cal, für $\text{CdCl}_2 \cdot 2\text{H}_2\text{O}$ -2280 cal, dagegen nach Berthelot⁸⁵⁾ 3000 cal für CdCl_2 bei 10^0 , nach J. Thomsen⁸⁶⁾ bei 18^0 für 1 CdCl_2 auf 400 H_2O +3010 cal, resp. +760 cal für 1 $\text{CdCl}_2 \cdot 2\text{H}_2\text{O}$ +398 H_2O .

Die Bildungswärmen berechnet Thomsen⁸⁶⁾ zu



Die wässrige Lösung des CdCl_2 zeigt folgende spez. Gewichte:

1. $d_{19,5}^{19,5}$, $a =$ Gramm Salz in 100 g H_2O .⁸⁷⁾

a	13,0	26,9	41,1	55,8	72,5
d	1,1063	1,2106	1,3100	1,4060	1,5060

2. d_{18} , $m =$ Mol $\frac{1}{2}\text{CdCl}_2$ pro Liter.

m	d_{18} (Wershoven ⁸⁸⁾⁾	m	d_{18} (Grottrian ⁸⁹⁾⁾
$5,512 \cdot 10^{-3}$	0,99910	0,0937	1,0062
10,95 "	0,99958	0,574	1,0437
21,94 "	1,00044	1,203	1,0923
43,89 "	1,0022	1,874	1,1436
66,00 "	1,0039	2,603	1,1984
84,88 "	1,0057	4,373	1,3302
110,2 "	1,0075	6,558	1,4899
		9,067	1,6697

m	d_{25} (J. Wagner ⁹⁰⁾⁾	m	d_{25} (J. Wagner ⁹¹⁾⁾
$2 \cdot 0,672$	1,1093	0,1250	1,0098
$2 \cdot 1,052$	1,1813	0,250	1,0197
$2 \cdot 1,785$	1,3199	0,500	1,0394
		1,000	1,0779

Die Zahlen Wagners gelten für 25° .

Kremers⁹²⁾ gibt folgende Tabelle für das spez. Volum v bei t° , bezogen auf das von $19,5^\circ$ (a vergl. oben).

t°	$a =$	19,2	38,4	60,7	78,2	124,8
0°	$v =$	0,99545	0,99353	0,99213	0,99150	0,99080
19,5		1,00000	1,00000	1,00000	1,00000	1,00000
40		1,00785	1,00930	1,01037	1,01083	1,01128
60		1,01809	1,02053	1,02225	1,02302	1,02369
80		1,03062	1,03368	1,03582	1,03678	1,03736
100		1,04524	1,04853	1,05074	1,05166	1,05199

Bei der Neutralisation von $\text{Cd}(\text{OH})_2$ und 2HCl in hoher Verdünnung entwickeln sich 20295 cal.⁹³⁾

Die Lösung von CdCl_2 ist stark dissoziiert, doch lassen osmotische und elektrische Methoden die für das Jodid charakteristische Komplexbildung an ihr schon erkennen.

Die äquivalente elektrische Leitfähigkeit Λ bei 18° (in reziproken Ohm) fand sich⁹⁴⁾ für m Mol $\frac{1}{2}\text{CdCl}_2$ pro Liter.

m	1
9	1,4
7	3,0
5	5,3
4	7,2
3	9,9
2	14,4
1	22,4
0,5	30,8

m	Λ	γ
0,2	41,2	
0,1	50,0	
0,05	59	0,51
0,02	73	0,63
0,01	83	0,72
0,005	91	0,79

Der Temperaturkoeffizient (Wershoven) beträgt 0,022 bis 0,023. Dagegen fanden Jones und Knight⁹⁵⁾ bei 25° für 1 Mol CdCl_2 in v Liter, bezogen auf $\Lambda_{\text{KCl}} = 50,1 = 129,7$ (d. h. in Siemenseinheiten ausgedrückt) folgende Molarleitfähigkeiten

v	μ	v	μ	γ
0,932	28,1	74,75	150,3	0,61
1,864	44,9	149,50	171,7	0,69
3,728	62,8	299,0	192,3	0,78
7,456	82,5	598,0	206,5	0,83
14,91	101,5	1495	227,6	0,92
37,375	129,6	2990	242,6	0,98
		5980	255,3	—

Hieraus ist deutlich zu erkennen, daß der Endwert Λ_0 erst bei viel höheren Verdünnungen erreicht wird als bei anderen Salzen. Annähernd kann man ihn, wenn man in den hochverdünnten Lösungen nur Cd^{++} und Cl^- annimmt, aus der Überföhrungszahl des Anions erhalten. Diese variiert stark mit der Verdünnung (s. u.). Ihr Grenzwert kann zu 0,56 angenommen werden. Da die Beweglichkeit von Cl^- bei 18° 65,5 beträgt, so wird $\Lambda_0 = 115$ für $m=0$, daraus ergibt sich die Beweglichkeit $u_{1/2}\text{Cd}$ von $1/2\text{Cd}^{++}$ zu ca. 49. Bei 25° würde sich Λ_0 für $1/2\text{CdCl}_2$ zu 132 ergeben, $u_{1/2}\text{Cd}$ zu 57. Die damit berechneten Dissoziationsgrade γ sind oben beigefügt und gelten für das Schema $\text{CdCl}_2 \rightleftharpoons \text{Cd}^{++} + 2\text{Cl}^-$. (Für die letzte Tabelle ist $\mu_0 = 248$).

Osmotische Bestimmungen ergaben folgendes:

Die Dampfdruckdepression⁹⁶⁾ bei 100° in mm Hg hat für a Mol CdCl_2 auf 1 kg H_2O die Werte

a	0,5	1	2	3	4	5
Δp	9,6	18,8	36,7	57,0	77,3	99.
Δp_{760}	0,0126	0,0248	0,0483	0,0750	0,102	0,130
$\Delta p_{760} \cdot a$	0,0252	0,0248	0,0241	0,0250	0,250	0,0260

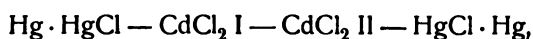
Gefrierdepressionsbestimmungen, deren Ergebnisse jedoch besonders für verdünnte Lösungen zweifelhaft sind, führten für m Mol CdCl_2 pro Liter zu

m	$\Lambda^{97)}$	γ	m	Λ	γ	m	$\Lambda^{98)}$
0,00100	0,0049	0,82	0,0380	0,1664	0,68	0,214	0,727
0,00299	0,0145	0,81	0,0542	0,2226	0,61	0,322	1,022
0,00496	0,0238	0,80	0,0688	0,2735	0,58	0,429	1,298
0,00691	0,0329	0,79	0,0819	0,3211	0,56	0,643	1,832
0,00884	0,0416	0,77				0,858	2,329
0,0200	0,0926	0,75				1,072	2,947

Die Dissoziationsgrade γ gelten für das Schema $\text{CdCl}_2 \rightleftharpoons \text{Cd}^{++} + 2\text{Cl}'$.

Ein Vergleich der γ -Werte beider Methoden zeigt starke Differenzen mit dem Hinweise auf bessere Übereinstimmung bei kleinen Konzentrationen. Man kann daraufhin vermuten, daß für konzentrierte Lösungen des obige Dissoziationsschema unvollständig ist. Einen weiteren Hinweis auf Neigung zur Assoziation bilden die Resultate der Löslichkeitsdepression von TiCl und PbCl_2 durch CdCl_2 .⁹⁹⁾ Die Wirkung ist in 0,5 normaler Lösung nur ca. halb so stark als die verwandter ternärer Haloide und wächst (relativ) stark mit Abnahme der Konzentration.

Ganz analoge Resultate erhielt Goodwin¹⁰⁰⁾ bei der Messung von Konzentrationsketten der Art



resp. der analogen mit Ag und AgCl. Die Potentialdifferenzen π in Volt ergaben sich für die Konzentrationen I und II in Mol/Liter bei 25° zu

I	II	π_{Hg}	π_{Ag}	π ber.
0,2	0,02	0,0584	0,0576	0,0657
0,1	0,01	0,0634	0,0621	0,0695
0,02	0,002	0,0747	0,0760	0,0771
0,01	0,001	0,0801	0,0794	0,0794

Die letzte Kolumne ist mit Hilfe von Leitfähigkeitsdissoziationsgraden berechnet und man sieht, daß diese erst bei der größten Verdünnung zu Resultaten führen, die mit den nach der osmotischen Methode gewonnenen übereinkommen.

Sehr ausgedehnte Messungen der Konzentrationsdoppelkette $\text{Hg}|\text{HgCl}|\text{CdCl}_2\text{I}|\text{Cd}|\text{CdCl}_2\text{II}|\text{HgCl}|\text{Hg}$ hat Godlewski¹⁰²⁾ ausgeführt. CdCl_2I war stets 0,001 molar, d. h. enthielt 0,00009 Gramm CdCl_2 pro Gramm H_2O . Wenn h die Anzahl Gramm CdCl_2 pro Gramm H_2O bedeutet, so ist die Potentialdifferenz in Millivolt π ($t = 25^\circ$).

$h \cdot 10^3$	π
0,41	4,0
0,55	5,5
0,92	7,0
3,64	96,4
9,18	114,4
15,0	123,9
25,0	133,0
37,8	139,7
45,0	143,2
55,0	147,9
65,0	152,8
75,0	157,9
85,0	162,0
91,42	165,4
150,0	175,8
200,0	180,6
277,8	185,1
400,0	189,8

$h \cdot 10^3$	π
500,0	192,9
600,0	195,4
722,6	199,0
800,0	201,2
900,0	204,2
974,3	206,5
1050,0	208,4
1132,7	210,1

Für eine andere Kette, $\text{Cd} - \text{CdCl}_2 \text{ I} - \text{CdCl}_2 \text{ II} - \text{Cd}$, fanden sich nach Wright und Thompson¹⁰¹⁾, wenn m_1 und m_2 die Konzentrationen in Mol CdCl_2 pro 100 Mol H_2O bedeuten, die Potentialdifferenzen π in Millivolt bei 18° (mit einem wahrscheinlichen Fehler $f \leq \pm 0,5$) zu

m_1	m_2					
	8,0	4,45	3,1	2,1	0,67	0,25
11,1	16,1	23,8	26,4	33,1	43,3	54,4
8,0		7,7	10,3	17,0	27,2	38,3
4,45			2,6	9,3	19,5	30,6
3,1				6,7	16,9	28,0
2,1					10,2	21,3
0,67						11,1

Vergleicht man das aus den beiden Lösungen $m_1 = 0,67$, $m_2 = 0,25$ berechnete Verhältnis der Dissoziationsgrade mit Leitfähigkeitswerten, so fehlt auch hier die Übereinstimmung.

Auch die Potentialmessungen von Neumann⁵⁸⁾ und Labendzinski¹⁰³⁾ zeigen, daß die Cd^{++} -Ionenkonzentration in CdCl_2 -Lösung erheblich geringer als in den jedenfalls normal ionisierten Nitratlösungen gleicher Konzentration sind; z. B. ist

$$\begin{aligned} \text{für } \text{Cd} / 1 \text{ n } \text{CdCl}_2 & : \varepsilon_c = 0,726 \text{ Volt} \\ \text{„ } \text{Cd} / 1 \text{ n } \text{Cd}(\text{NO}_3)_2 & : \varepsilon_c = 0,687 \end{aligned}$$

wonach das Chlorid nur den etwa zwanzigsten Teil an einfachen Cd^{++} -Ionen, wie das Nitrat, enthält, also im wesentlichen komplexe Ionen bildet.

Labendzinski¹⁰⁴⁾ fand für die Kette $\text{Cd} - \text{CdCl}_2 - \text{Calomelelektrode}$ die Potentialdifferenz π , wenn c Mol $\frac{1}{2} \text{CdCl}_2$ im Liter enthalten waren.

Nr.	c	π	Nr.	q	q'
1	10	0,686			
2	1	0,726	2 : 4	0,06	0,27
3	0,1	0,738	3 : 4	0,25	0,60
4	0,01	0,749			

Daraus berechnen sich für das Verhältnis der Dissoziationsgrade unter Berücksichtigung der Diffusionspotentialdifferenz die Werte q . Die Leitfähigkeit liefert q' , so daß von Übereinstimmung keine Rede sein kann. Daher muß auf Vorhandensein komplexer Ionen geschlossen werden.

Auch aus Godlewskis Resultaten (s. o.) folgen für i bei c Mol/Liter Werte, die von denen der Leitfähigkeit i' stark abweichen:

c	i	i'
0,01	2,370	2,378
0,1	1,741	1,841
1	2,035	1,467

Nach Goodwin¹⁰⁵⁾ ergaben gleichkonzentrierte Lösungen von CdCl_2 einerseits, CdBr_2 , CdJ_2 , $\text{Cd}(\text{NO}_3)_2$ andererseits in der Kette $\text{Cd} - \text{CdCl}_2 - \text{CdX}_2 - \text{Cd}$ die Potentialdifferenzen π , mithin das Verhältnis φ der Cd -Ionenkonzentration für $\text{CdCl}_2 : \text{CdX}_2$

	π	φ
$\text{Cl} - \text{Br}$	+0,005	1,5
$\text{Cl} - \text{J}$	+0,015	3,6
$\text{Cl} - \text{NO}_3$	-0,024	0,14

Entscheidend tritt aber die Messung der Überföhrungszahlen hinzu. Nach der von Kohlrausch und Holborn ausgeföhrten Interpolation¹⁰⁶⁾ entsprechen den Konzentrationen von m Mol $\frac{1}{2}\text{CdCl}_2$ pro Liter bei mittlerer Temperatur folgende Überföhrungszahlen des Anions (Grenzwert ca. 0,55 s. o.).

m	0,01	0,02	0,1	0,2	0,5	1	1,5	2	3	5	7
n _{Cl}	0,57	0,58	0,59	0,62	0,65	0,69	0,72	0,745	0,767	0,865	0,995.

Hiernach ist für konzentrierte Lösungen die Existenz komplexer Anionen bewiesen.

Neuerdings ist das Zahlenmaterial vermehrt worden. Goldhaber und Bukschnewski¹⁰⁶⁾ fanden für v-Liter pro Mol CdCl_2 bei 18°:

v 15,87 23,99 31,99 47,92 63,1 79,7 99,8 119,9 176,8 230,9 312,4
n 0,571 0,569 0,568 0,571 0,569 0,569 0,570 0,573 0,568 0,570 0,570
also völlige Konstanz schon in 0,05 molarer Lösung; während Hittorf¹⁰⁶⁾ bei vier Versuchen ohne Diaphragma in konzentrierter Lösung bei t° zu folgenden Zahlen kam:

v	0,243	0,524	0,7533	2,692
n	1,137	0,801	0,724	0,589
t°	22	18,6	19	17

Tierische Membranen als Diaphragmen liefern erheblich andere Zahlen.

Auch aus den von Kümmell¹⁰⁶⁾ aus der Messung von Konzentrationsketten abgeleiteten Überföhrungswerten ergibt sich, daß bereits in ca. 0,1 normaler Lösung Konstanz von n nahezu erreicht ist. Es fand sich bei Kombination der Lösungen von c Mol $\frac{1}{2}\text{CdCl}_2$:Liter

c	n
0,1—0,01	0,575
0,05—0,005	0,568
0,02—0,002	0,562
0,01—0,001	0,583

Indessen scheint es, daß der Mittelwert 0,570 doch noch ein wenig zu hoch ist, da Kümmell direkt 0,552 fand.

Die Temperaturkoeffizienten von Ketten mit CdCl_2 -Lösung sind gleichfalls untersucht worden. Für 19prozentige Lösung gab die Kette $\text{Cd} | \text{CdCl}_2, \text{AgCl} | \text{Ag}$ einen Temperaturkoeffizienten von -0,000252.¹⁰⁷⁾ Hagenbach¹⁰⁸⁾ fand die Potentialdifferenz der Kette $\text{Cd} - \text{CdCl}_2^{\text{kalt}} - \text{CdCl}_2^{\text{warm}} - \text{Cd}$ in Volt für 70° Unterschied und die Verdünnungen v zu:

v	1	10	100	1000
π	0,0591	0,0585	0,0561	0,0540

Der Gang mit der Verdünnung kann nur als qualitativ sichergestellt gelten.

Bouty¹⁰⁹⁾ fand einen ähnlichen Wert: 0,000615 Daniell pro Grad, Proportionalität bis 60° und Unabhängigkeit von der Verdünnung.

Der Temperaturkoeffizient der Halbkette $\text{HgHgCl} - \text{CdCl}_2$ wurde gefunden zu¹¹⁰⁾

v =	1	10	100
$\frac{d\pi}{dt}$ =	+0,00068	0,00082	0,00097
resp. für m Mol $\frac{1}{2}\text{CdCl}_2$ pro Liter ¹¹¹⁾			
m	2,7	1,4	0,5
$\frac{d\pi}{dt}$	+0,000681	0,000702	0,000721
und für die analoge Silberkette ¹¹¹⁾			
m	1,5	1,0	0,3
$\frac{d\pi}{dt}$	+0,000353	+0,000310	+0,000458.

Die Zersetzungsspannung ist nach Le Blanc¹¹²⁾ ca. 1,74 Volt für CdCl_2 -Lösung.

Bezüglich der Viskosität ist folgendes festgestellt. Bezeichnet η die auf H_2O bezogene innere Reibung bei m Mol $\frac{1}{2}\text{CdCl}_2$ pro Liter, so ist¹¹³⁾

m	1,0	0,5	0,25	0,125
η	1,1342	1,0631	1,0310	1,0202
und bei verschiedenen Temperaturen und dem Prozentgehalte p an CdCl_2 , wenn die innere Reibung von H_2O bei 0° $\eta_0 = 1$ ist ¹¹⁴⁾ (d = spez. Gewicht bei Zimmertemperatur):				

d	p	$t^0 = 15$	25	35	45
1,3199	24,79	$\eta = 1,0402$	0,8037	0,6458	0,5358
1,1813	16,30	$\eta = 0,8894$	0,7047	0,5755	0,4721
1,1093	11,09	$\eta = 0,7746$	0,6053	0,4910	0,4073

Die Oberflächenspannung wurde mittels der Steighöhenmethode gemessen. Es betrug die Höhe h in mm der Säule vom Radius 0,25 bei 15° und a Gramm CdCl_2 in 100 ccn H_2O ¹¹⁵⁾:

a	0	5	10	15	20	25
h	60,6	58,5	56,3	54,5	53,0	51,9
oder ¹¹⁶⁾ für 1 Mol $\frac{1}{2}\text{CdCl}_2$ pro Liter H_2O und das spez. Gewicht $d_{15^\circ} = 1,078$, $h = 57,2$, mithin $d \cdot h = 61,8$. D. h. die Oberflächenspannung beträgt für diese Lösung $\frac{h \cdot d}{8} = 7,15$ Milligramm pro Millimeter, während reines Wasser in absoluten Einheiten nach Valsons Zahl 7,00 ergibt.						

Die Diffusionsgeschwindigkeit bei 12,5° ist von Coleman¹¹⁷⁾ gemessen, jedoch nicht in allgemein vergleichbarem Maße ausgedrückt worden.

Spezifische Wärme.¹¹⁸⁾ Enthält die Lösung p⁰ CdCl_2 , so sind n Mol H_2O pro Mol CdCl_2 vorhanden, beträgt das Molargewicht des Lösungsmittels m, das des Salzes M, die spezifische Wärme der Lösung c, des Lösungsmittels γ , so ist $\alpha = (M + m \cdot n) c - m \cdot n \cdot \gamma$ die Molarwärme des gelösten Stoffes. (c ist gemessen zwischen den angegebenen Grenzen) ($\gamma_{30 \rightarrow 0} = 0,98555$, $\gamma_{50 \rightarrow 0} = 0,98514$, $\gamma_{70 \rightarrow 0} = 0,98966$ für H_2O) für das feste Salz ist die spezifische Wärme in der Tabelle angegeben

p	n	c_{30-0}	α	c_{50-0}	α	c_{70-0}	α
—	—	0,09362	17,08	0,09533	17,39	0,09701	17,70
47,65	11,16	0,56910	20,35	0,56367	18,37	0,56577	18,26
32,15	21,44	0,70187	18,82	0,69174	13,22	0,69419	12,87
77,12	49,18	0,83149	15,62	0,80956	-7,40	0,87409	-6,56

Optische Eigenschaften. Über die Refraktion besitzen wir Messungen von Jahn¹¹⁹⁾, Le Blanc und Rohland¹²⁰⁾, Gladstone und Hibbert¹²¹⁾, Bender¹²²⁾, de Muynck.¹²³⁾ Jahn gibt folgende Tabelle des Exponenten für die α - und β -Linie von H_2 und für die D-Linie, wobei a die Anzahl g pro ccm, A und B die Konstanten der Formel von Cauchy bedeuten:

a	$d_{20}^{20^\circ}$	n_α	n_D	n_β	A	B	S
0,3765	1,3200	1,3884	1,3908	1,3964	1,3788	0,4174	1,1862
0,5007	1,2776	1,3799	1,3828	1,3876	1,3705	0,4044	1,1494
0,2956	1,1751	1,3629	1,3650	1,3700	1,3543	0,3695	1,1146
0,1954	1,1550	1,3577	1,3599	1,3646	1,3494	0,3578	1,1637

Nach Bender ist bei t^0 und dem Gehalte von m Mol $\frac{1}{2}CdCl_2$ pro Liter bei 15^0

m	n_α	t^0	n_D	t^0	n_β	t^0	n_γ	t^0
3	1,36940	18,9	—	—	1,37670	18,9	1,38086	19,0
4	1,38117	20,1	1,38333	20,9	1,38898	20,1	1,39312	20,5
5	1,39299	19,9	—	—	1,40129	20,1	1,40586	20,3

De Muynck gibt für 15^0 und die Konzentration a Gramm pro 100 g Lösung:

a	57,524	41,547	29,977	21,431	14,761
n_D	1,47314	1,41950	1,38938	1,37127	1,35835
$d_4^{18^\circ}$	1,852	1,515	1,330	1,210	1,142

Die elektromagnetische Drehung der Polarisationssebene ist ebenfalls von Jahn (l. c.), sowie von Oppenheimer¹²⁴⁾ bestimmt worden. Die Resultate Jahns enthält die obige Tabelle unter S als spezifische, auf die von H_2O bezogene Drehung. Oppenheimer fand bei $20,5^0$ und m Mol pro Liter

m	3,80	2,61	1,76	1,29	0,93	0,52
$d_{20,5}$	1,5645	1,3941	1,2435	1,1977	1,1404	1,0801
S	1,15	1,14	1,18	1,12	1,14	1,14

Nach Kahlenberg u. a. soll die Lösung von 0,5 Mol $\frac{1}{2}CdCl_2$ pro Liter bei 55^0 zu 0,024 Proz. hydrolysiert sein. Dieser abnorm hohe Betrag wurde jedoch aus Inversionsmessungen¹²⁵⁾ abgeleitet und erscheint sehr zweifelhaft, da $CdCl_2$ -Zusatz die Inversion durch HCl beschleunigt.¹²⁶⁾ Daß bei höherer Temperatur merkliche Hydrolyse Platz greift, wird auch von Bein¹²⁷⁾ für möglich gehalten.

Wir besitzen ferner Daten über das Verhalten von $CdCl_2$ in nicht-wässrigen, resp. nicht reinwässrigen Lösungsmitteln. Es beträgt die prozentuale Depression der Leitfähigkeit bei 25^0 durch Zusatz von 1 Volumprozent Nichtleiter zum Wasser für die Äquivalentverdünnungen v ¹²⁸⁾

v	CH_3OH	C_2H_5OH	Iso C_3H_7OH	$(C_2H_5)_2O$	$(CH_3)_2CO$
6	2,38	3,05	3,28	2,63	2,21
60	2,24	2,85	3,09	2,46	2,08

In 100 g Methylalkohol lösen sich 1,71, in Äthylalkohol 1,52 g CdCl_2 bei $15,5^\circ$ (Lobry de Bruyn^{128a}), Die Leitfähigkeit in CH_3OH bestimmte Coffetti^{128b}), die Überführungszahl in $\text{C}_2\text{H}_5\text{OH}$ Carrara^{128c}), elektromotorische Kräfte alkoholischer Lösungen Campetti.^{128d})

CdCl_2 löst sich in Urethan mit normalem Molargewichte¹²⁹), es löst sich ferner in Äthylacetat¹³⁰), in Aceton¹³¹), jedoch wenig, ferner in anderen organischen Stoffen, jedoch ohne elektrische Leitfähigkeit zu zeigen.¹³²) Die Löslichkeit in 100 g CH_3OH bei $15,5^\circ$ beträgt 1,71 g, in $\text{C}_2\text{H}_5\text{OH}$ ebenso 1,52 g.¹³³) Die elektromagnetische Drehung der Polarisationssebene in C_2H_5 hat Jahn¹³⁴) bestimmt.

Das geschmolzene CdCl_2 ist insbesondere hinsichtlich seines elektrochemischen Verhaltens mehrfach studiert worden. Die spez. Leitfähigkeit k in S.E. ist bei t° ¹³⁵)

t°	$k \cdot 10^8$	t°	$k \cdot 10^8$	t°	$k \cdot 10^8$	t°	$k \cdot 10^8$
580	1470	530	980	470	43	410	16
570	1390	520	620	460	36	400	13
560	1320	510	330	450	30	390	10
550	1240	500	100	440	26	380	8,5
540	1156	490	75	430	22	370	7
538	1140	480	55	420	19		

Da der Schmelzpunkt 538° keine auffällige Änderung in k verursacht, so dürfte das Präparat nicht rein gewesen sein, so daß es schon vorher flüssige Teile enthielt. Der Schmelzpunkt der reinen Substanz liegt nach Weber (s. S. 440) in der Tat erheblich höher.

Die Schmelze zeigt nach Garrard¹³⁶) zwei Zersetzungspunkte bei der Elektrolyse: bei 0,715 Volt und 1,225 Volt.

Die elektromotorische Kraft der Kette $\text{Cd} - \text{CdCl}_2 - \text{Cl}_2$ gibt Weber¹³⁷) zu $\pi = 1,3680 - 0,000580 \cdot (t^\circ - 590^\circ)$ zwischen 590° und 780° an.

Die Oberflächenspannung des geschmolzenen Salzes hat Motylewski^{137a}) studiert.

Nach Morse und Jones¹³⁸) löst CdCl_2 in geschmolzenem Zustande Cd und bildet Cd_4Cl_7 (analog Cd_4Br_7 , das Jodid soll $\text{Cd}_{12}\text{J}_{23}$ sein und ist darum recht zweifelhaft).

Cadmiumbromid. Cd und Br wirken kalt nicht merklich aufeinander, wohl aber entsteht $\text{CdBr}_2 = 272,3$ bei Rotglut.¹³⁹) Auch durch Kochen von beiden Komponenten mit H_2O kann es erhalten werden.¹³⁹) Es schmilzt bei 571° ¹⁴⁰), oder nach neuerer Angabe bei 580° ¹⁴¹), siedet bei 863° ¹⁴¹), nach älteren Messungen schon bei $806-812^\circ$ ¹⁴²) und ist, da es im Dampfzustande normales Molargewicht zeigt¹⁴³), bei Rotglut unzersetzt flüchtig.¹³⁹) Die Schmelzwärme, indirekt bestimmt, beträgt $5000-5200 \text{ cal}$ ¹⁴¹), die Bildungswärme aus Cd und Br_2 76300 cal ¹⁴⁴), resp. 75200 cal ¹⁴⁵), das Hydrat:¹⁴⁵) $\text{Cd} + \text{Br}_2 + 4\text{H}_2\text{O} = \text{CdBr}_2 \cdot 4\text{H}_2\text{O} + 82930 \text{ cal}$ resp. $\text{CdBr}_2 + 4\text{H}_2\text{O} = \text{CdBr}_2 \cdot 4\text{H}_2\text{O} + 7730 \text{ cal}$. Es wird bei Rotglut durch H_2 leicht reduziert¹⁴⁶), durch O_2 oxydiert¹⁴⁷), gegen NO_2 ist es nur wenig empfindlich.¹⁴⁸)

Das spez. Gewicht des festen CdBr_2 beträgt $d_{20}^{150} = 5,196$, korrigiert für das Vakuum.¹⁴⁹) Im festen Zustande ist CdBr_2 teils als Anhydrid, teils in verschiedenen Hydratstufen bekannt. Nachdem schon Croft¹⁵⁰) angegeben, daß $\text{CdBr}_2 \cdot 4\text{H}_2\text{O}$ existiere, aber in trockner Luft alles H_2O verliere, Rammelsberg¹⁵¹) dagegen das Tetrahydrat in langen Nadeln erhalten hatte, die bei 100° ca. die Hälfte, bei 200° alles H_2O verloren, sind in neuerer Zeit von Lescoeur¹⁵²) Dampfdruckmessungen ausgeführt worden, die folgendes Resultat ergaben, wenn p den Druck in mm Hg bedeutet:

$t = 20^0$		$t = 60^0$	
	P		P
Gesättigte Lösung	ca. 10	Gesättigte Lösung	ca. 122
$\text{CdBr}_2 + 4,5 \text{ H}_2\text{O}$	9	$\text{CdBr}_2 + 3,5 \text{ H}_2\text{O}$	130
" + 1,06 "	9	" + 1,8 "	124
" + 0,1 "	8,8	" + 0,13 "	< 20
" + 0,01 "	< 2		

Die (an CdBr_2 ?) gesättigte Lösung hat

t^0	10	20	30	40	60	70	80
p	ca. 6	10	16	40	122	188	270.

Endlich hat Dietz¹⁵³⁾ durch Löslichkeitsbestimmungen die Grenzen der Existenzgebiete verschiedener Hydrate zum Teil festgelegt. Er erhielt bei 38^0 $\text{CdBr}_2 \cdot \text{H}_2\text{O}$, unter 36^0 $\text{CdBr}_2 \cdot 4\text{H}_2\text{O}$, das bei 145^0 alles Wasser verlor. Bedeutet nun a die in 100 g der Lösung enthaltenen Gramme CdBr_2 , b die Anzahl Mol H_2O auf 1 CdBr_2 , so ist

		$\text{CdBr}_2 \cdot 4\text{H}_2\text{O}$				$\text{CdBr}_2 \cdot \text{H}_2\text{O}$				
t^0	0	18	30	38	35	40	45	60	80	100
a	37,92	48,90	56,9	61,84	60,29	60,65	60,75	61,10	61,29	61,63
b	24,74	16,10	11,45	9,32	9,95	9,80	9,76	9,62	9,54	9,41

Hiernach liegt der Umwandlungspunkt bei etwa 36^0 , und in der Tat geht $\text{CdBr}_2 \cdot \text{H}_2\text{O}$ unter H_2O in das Tetrahydrat über.¹⁵⁴⁾ Ein Hydrat mit $\frac{3}{2} \text{H}_2\text{O}$ wie das bei CdCl_2 vermutete konnte Dietz nicht erhalten, wohl aber $\text{Cd}_2\text{Cl}_2\text{Br}_2 \cdot 5\text{H}_2\text{O}$.

Für höhere Temperaturen fand Étaud¹⁵⁵⁾ den Gehalt

t^0	104	155	170	215	232	245
a	61,8	63,7	65,2	69,9	70,1	71,5

Lösungswärme. Die Auflösung von 1 CdBr_2 in 400 H_2O entwickelt +440 cal bei 18^0 , die von 1 $\text{CdBr}_2 \cdot 4\text{H}_2\text{O}$ in 596 H_2O verbraucht 7290 cal.¹⁵⁶⁾

Das spez. Gewicht der CdBr_2 -Lösungen beträgt bei $19,5^0$, wenn a Gramm in 100 g H_2O gelöst sind:¹⁵⁷⁾

a	29,8	64,3	91,1
$d_{19,5}^{19,5}$	1,2337	1,4690	1,6496

für verdünntere Lösungen, welche m Mol $\frac{1}{2} \text{CdBr}_2$ im Liter enthalten, bei 18^0

m	$d_4^{18 \text{ } 158)}$	m	$d_4^{18 \text{ } 159)}$
$2,386 \cdot 10^{-3}$	0,99900	$75,1 \cdot 10^{-3}$	1,0073
5,517 "	0,99935	390 "	1,0437
11,34 "	1,00002	813 "	1,0916
18,67 "	1,0010	1781 "	1,2004
37,43 "	1,0031	2936 "	1,3288
75,15 "	1,0075	4904 "	1,5464

Das spez. Volum bei t^0 , bezogen auf das von $19,5^0$, findet Kremers¹⁶⁰⁾ zu

t^0	a = 24,3	44,5	68,1
0	0,99426	0,99226	—
19,5	1,00000	1,00000	1,00000
40	1,00872	1,01013	1,01122
60	1,01944	1,02172	1,02341
80	1,03216	1,03481	1,03690
100	1,04665	1,04942	1,05157

Den Gleichgewichtszustand des Salzes in wässriger Lösung zu beurteilen gestatten, wenn auch nicht eben mit großer Genauigkeit, die Leitfähigkeit und das osmotische Verhalten. Die äquivalente elektrische Leitfähigkeit bei 18° in reziproken Ohm geben Kohlrausch und Holborn¹⁶¹⁾ an wie folgt, wenn m Mol $\frac{1}{2}$ CdBr₂ in 1 Liter gelöst sind:

m	Λ	γ
5	5,3	
4	7,0	
3	9,1	
2	13,3	
1	18,3	0,16
0,5	25,3	0,22
0,2	36,2	0,31
0,1	44,6	0,39
0,05	53,2	0,46
0,02	65,5	0,56
0,01	76,3	0,66
0,005	86,5	0,75
0,002	99	0,85

Für Λ_0 erhält Wershoven 125, aus dem Grenzwerte der Überföhrungszahl des Anions $n=0,57$ (s. u.) und der Beweglichkeit des Br' $v=66,5$ berechnet sich 116. Diese Zahl föhrt zu den oben verzeichneten $\gamma = \frac{\Lambda}{\Lambda_0}$. Den Temperaturkoeffizienten fand Wershoven zu 0,0235 im Mittel. Weiterhin fanden bei 25° Jones und Knight¹⁶²⁾ für m Mol $\frac{1}{2}$ CdBr₂ pro Liter

m	Λ	γ
0,770	22,0	0,17
0,3844	30,6	0,23
0,1922	40,3	0,30
0,0961	50,8	0,38
0,0480	61,5	0,46
0,01922	77,0	0,58
0,00961	88,6	0,67
0,00480	100,5	0,76
0,002406	111,5	0,88
0,001201	122,0	0,92
0,000601	129,2	0,97
0,000300	136,9	—

Λ_0 berechnet sich wieder aus der Überföhrungszahl $n=0,58$ und $v_{Br'}=76,5$ (ca.) zu $\Lambda_0 = \frac{76,5}{0,57} = 132$, mit dem Temperaturkoeffizienten 0,0235 (s. o.) zu $116 \cdot (1 + 7 \cdot 0,0235) = 136$. Zur Berechnung von γ ist hier $\Lambda_0 = 133$ benutzt.

Von osmotischen Bestimmungen seien zuerst die Dampfdruckdepressionen Δp erwähnt¹⁶³⁾, die durch m Mol CdBr₂ in 1 kg H₂O bei 100° bewirkt werden, ausgedrückt in mm Hg.

m	0,5	1	2	3	4
Δp	8,6	17,8	36,7	55,7	80
$\frac{\Delta p}{p}$	0,0113	0,0234	0,0483	0,0734	0,105

Des weiteren liegen einige Serien von Gefrierdepressionen vor. Es fand Jones¹⁶⁴⁾ für m Mol CdBr_2 pro Liter:

m	Δ	$\gamma = \frac{i-1}{2}$
0,00125	0,0066	0,93
0,00325	0,0163	0,86
0,00522	0,0247	0,79
0,00719	0,0331	0,75
0,00913	0,0419	0,74
0,01252	0,0562	0,71
0,0363	0,1393	0,54
0,0626	0,2166	0,44
0,0720	0,2438	0,42
0,0809	0,2689	0,40
0,0894	0,2938	0,39
0,0974	0,3201	0,39
0,1051	0,3349	0,36
0,1124	0,3564	0,36

Später fanden Jones und Chambers¹⁶⁵⁾ für höhere Konzentrationen

m	Δ
0,22	0,652
0,44	1,213
0,66	1,738
0,88	2,277

Aus dem Vergleiche beider Methoden läßt sich vorläufig nicht viel schließen, nur soviel scheint sicher, daß CdBr_2 wie das Chlorid ein Elektrolyt von mittlerer Stärke ist, und daraufhin darf vermutet werden, daß das einfache Dissoziationsschema $\text{CdBr}_2 \rightleftharpoons \text{Cd}^{++} + 2\text{Br}^-$, welches hier angenommen ist, den Tatsachen nicht entspricht.

Zu demselben Schlusse leitet die Bestimmung der Überführungszahl des Anions, welche nach konzentrierten Lösungen hin (29 Proz. CdBr_2) daselbe Ansteigen (bis nahezu 0,2) zeigt wie die des CdCl_2 ¹⁶⁶⁾, während für 0,010 bis 0,0026 Mol $\frac{1}{2}$ CdBr_2 pro Liter der Wert 0,584 gefunden wurde¹⁶⁷⁾, so daß der Grenzwert vermutlich 0,57 erreicht. In konzentrierten Lösungen trat übrigens eine auffallend große Temperaturabhängigkeit zutage, die zwar von Gordon selbst als zweifelhaft angesehen wird¹⁶⁶⁾, aber qualitativ durchaus nichts Unwahrscheinliches hat, da diese Erscheinung auch bei anderen Elektrolyten, insbesondere solchen, die zur Komplexbildung neigen, vorkommt. Im Mittel ist für eine Lösung, die 29 g CdBr_2 in 100 g enthält, bei t^0

t_2	n
8	0,894
40	1,040
75	0,970

Die vollständigste Serie haben Goldhaber und Bukschnewski¹⁶⁸⁾ geliefert ($t=18^0$), es ist darnach n_{Anion} für v Liter pro Mol

v	1,99	3,98	8,00	11,99	16,01	23,99	32,02	48,02
n	0,782	0,650	0,601	0,577	0,570	0,567	0,566	0,569
v	63,88	79,75	99,95	119,8	179,0	240,1	299,2	
n	0,570	0,569	0,573	0,567	0,571	0,573	0,576	

der Grenzwert $n=0,569$ ist also schon bei mäßiger Verdünnung erreicht.

Daß CdBr_2 ein etwas schwächeres Salz ist als CdCl_2 , beweist die Messung der Kette $\text{Cd} - \text{CdCl}_2 - \text{CdBr}_2 - \text{Cd}^{169}$, welche einige Millivolt Potentialdifferenz zeigte.

Gegen Zusatz von KBr ist die Cd^{169} -Ionenkonzentration der Lösung stark empfindlich.¹⁶⁹⁾

Die Abhängigkeit des Gleichgewichtes in der Lösung von der Temperatur (s. o.) scheint auch aus der Abhängigkeit des Temperaturkoeffizienten der Halbkette $\text{Cd} - \text{CdBr}_2$ von der Verdünnung hervorzugehen. Hagenbach¹⁷⁰⁾ fand für 70° Differenz und die Verdünnung v Liter den Potentialsprung der Kette $\text{Cd}_{\text{Amalg.}} - \text{CdBr}_2 \text{ kalt} - \text{CdBr}_2 \text{ warm} - \text{Cd}_{\text{Amalg.}}$ zu π Volt.

v	10	100	1000	10000	100000
π	0,0617	0,0599	0,0551	0,523	0,589?

Der Gang scheint qualitativ sichergestellt.

Für die Neigung zur Komplexbildung spricht auch das Resultat Wildermanns¹⁷¹⁾, nach welchem CdBr_2 in wässriger Lösung Br addiert.

Die Oberflächenspannung hat Valson¹⁷²⁾ bestimmt. Er fand die kapillare Steighöhe in der Röhre vom Durchmesser 0,5 mm bei 15°, wenn in 100 ccm H_2O a Gramm CdBr_2 gelöst waren, zu h mm

a	0	5	10	15	20	25	30	35
h	60,6	58,2	56,0	54,0	52,3	51,0	50,2	49,0

und für 1 Mol $\frac{1}{2} \text{CdBr}_2$ im Liter H_2O bei 15° $h = 55,0$, das spez. Gewicht $d = 1,113$, also $d \cdot h = 61,2$ und die Oberflächenspannung daher zu 7,66.

Die spezifische Wärme studierte Helmreich¹¹⁸⁾ (Bezeichnungen vergl. CdCl_2)

p	n	c_{30-0}	α	c_{50-0}	α	c_{70-0}	α
—	—	0,06561	17,8	0,06690	18,14	0,06809	18,47
41,98	20,87	0,60533	21,64	0,60066	18,79	0,60204	17,99
31,88	32,27	0,69693	21,78	0,68799	14,41	0,68968	13,23
16,13	78,52	0,84123	24,60	0,83002	6,34	0,83357	5,99

Optische Eigenschaften.

Der Brechungsexponent für die D-Linie bei 15°, wenn die Lösung p Gramm in 100 enthält, ist¹⁷³⁾

p	41,961	32,289	23,973	20,552	11,983	6,543	3,734	1,927
n	1,41386	1,39215	1,37180	1,36555	1,35125	1,34309	1,33916	1,33665

Jahn¹⁷⁴⁾ fand bei 20° für a Gramm pro ccm die n für D, H_α und H_β , sowie die Konstanten A und B der Cauchyschen Formel zu

a	n_D	n_{H_α}	n_{H_β}	A	B	S
0,3935	1,3793	1,3817	1,3876	1,3692	0,4346	1,2960
0,1918	1,3550	1,3572	1,3621	1,3464	0,3718	1,3128

Nach Hallwachs¹⁷⁵⁾ übertrifft der Brechungsexponent n_D , wenn 1 Mol $\frac{1}{2} \text{CdBr}_2$ in v Litern gelöst ist, bei 18,5° den von H_2O um ρ , und die äquivalente Refraktion beträgt AR.

v	ρ	AR	$d_{18,5}^{18,5}$
1,0590	0,016082	24,267	1,108078
4,2438	0,004128	24,313	1,027283
17,008	0,001047	24,39	1,006846
34,059	0,0005277	24,52	1,003422

Bender¹⁷⁶⁾ maß n_a , n_D , n_β , n für 4 Mol $\frac{1}{2}\text{CdBr}_2$ pro Liter bei t^0 zu

n_a	t^0	n_D	t^0	n_β	t^0	n_γ	t^0
1,39574	19,7	1,39835	20,2	1,40484	19,9	1,40996	20,0

und berechnete daraus den Modul $3,8 \cdot 10^{-3}$ für $\frac{1}{2}\text{Cd}$ (bezogen auf KCl).

Die Refraktion für Na-Licht wurde auch von Le Blanc und Rohland untersucht.¹⁷⁷⁾

Die elektromagnetische Drehung der Polarisationssebene war Gegenstand der Untersuchungen von Jahn¹⁷⁸⁾ und Forchheimer.¹⁷⁹⁾ Die obenstehende Refraktionstabelle Jahns enthält unter S die spezifische auf H_2O bezogene Drehung. Forchheimer fand die spezifische Drehung σ und die molare M für m Mol CdBr_2 pro Liter bei 20^0 zu

m	σ	M
2,774	1,336	20,18
1,997	1,329	20,07
0,973	1,321	19,95
0,5138	1,335	20,17

Nichtwässrige Lösungsmittel. Die prozentuale Erniedrigung des Leitvermögens bei 25^0 durch Zusatz von 1 Volumprozent Nichtleiter zum Wasser für 0,05 Mol $\frac{1}{2}\text{CdBr}_2$ pro Liter wurde gefunden¹⁸⁰⁾ zu

CH_3OH	$\text{C}_2\text{H}_5\text{OH}$	$(\text{C}_2\text{H}_5)_2\text{O}$	$(\text{CH}_3)_2\text{CO}$
2,3 Proz.	2,82 Proz.	2,52 Proz.	2,05 Proz.

Die molare Leitfähigkeit bei 18^0 in $\text{C}_2\text{H}_5\text{OH}$ für 0,001 Mol $\frac{1}{2}\text{CdBr}_2$ pro Liter ist¹⁸¹⁾ $14 \cdot 10^{-9}$, in Propionitril wurde sie von Dutoit und Aston¹⁸²⁾ gemessen.

Nach Cattaneo beträgt die molare Leitfähigkeit μ , wenn in 1 Liter äthylalkoholischer Lösung c Mol CdBr_2 vorhanden sind (korrigiert für die Leitfähigkeit des Alkohols). Die Temperatur ist 18^0 das spezifische Gewicht d_{18} (Siemensseinheiten)

c	d_{18}	μ
0,3607	0,832	11,6
0,1973	0,814	11,4
0,0990	0,804	11,0
0,0099	0,795	10,9
0,0058	0,794	9,5
0,0015	0,794	12,8

Die spezifische Wärme in Alkohol bestimmte Helmreich.¹¹⁸⁾

Refraktion und elektromagnetische Drehung in $\text{C}_2\text{H}_5\text{OH}$ bestimmte Jahn¹⁸³⁾ (vergl. oben) d = spez. Gewicht.

a	d	n_a	n_D	n_β	A	B	S
0,27097	1,0464	1,3950	1,3970	1,4027	1,3856	0,4037	1,3688
0,16088	0,94361	—	—	—	—	—	1,3880

An geschmolzenem CdBr_2 bestimmte Graetz¹⁸⁴⁾ die spez. Leitfähigkeit k bei t^0 in Siemensseinheiten. Auch hier ist aus den S. 449 bei CdCl_2 angegebenen Gründen anzunehmen, daß das Präparat unrein war.

t^0	620	610	600	590	585	580	570	560	550	540	530	520	510
$k \cdot 10^5$	302	296	288	283	280	235	120	50	25	12,5	7	4	2,8

mit schwachem Knick beim Schmelzpunkte.

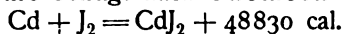
Garrard¹⁸⁵⁾ fand in der Kurve der Zersetzungsspannungen bei 591^0 zwei Knickpunkte: bei 0,62 und 0,91 Volt.

Die elektromotorische Kraft der Kette $\text{Cd} - \text{CdBr}_2 - \text{Br}$ wurde zwischen 610° und 780° zu $\pi = 1,1319 - 0,000486 \cdot (t - 610)$ gefunden.¹⁸⁶⁾

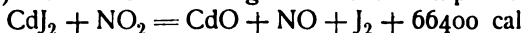
Über die Kapillarität des geschmolzenen Salzes vergl. Motylewski.^{137a)}

Cadmiumjodid. Cadmiumjodid, $\text{CdJ}_2 = 366,1$, ist seit Stromeyer¹⁸⁷⁾ bekannt und bisher in festem Zustande nur wasserfrei beobachtet worden. Es kristallisiert hexagonal mit dem Achsenverhältnisse $a:b = 0,8599:1$ ¹⁸⁸⁾ und hat das spez. Gewicht $d_4^{18} = 5,9857$, $d_4^{13,5} = 5,9738$ ¹⁸⁹⁾, $d_{10}^{10} = 4,576$.¹⁹⁰⁾ Diese Differenz veranlaßte Clarke und Kebler¹⁹¹⁾ zu einer Untersuchung, die sie zu dem Schlusse der Existenz zweier isomerer Modifikationen, β leicht und α schwer führte. Je nach dem Darstellungsverfahren resultierte β , bräunlich, von $d = 4,688$, das durch Trocknen bei 50° immer schwerer wurde, und α , weiß, beständig bei 250° , von $d = 5,543$ bis $5,660$. Es muß als wahrscheinlich gelten, daß die β -Form lediglich ein unreines Präparat darstellt, den gleichen Schluß zieht auch Short.¹⁹²⁾ Fullertons Zahlen verdienen als die größten das meiste Vertrauen.

Die Bildungswärme beträgt nach Thomsen¹⁹³⁾



Der Schmelzpunkt liegt bei 404° ¹⁹⁴⁾, der Siedepunkt bei 708° bis 719° ¹⁹⁵⁾, den linearen Ausdehnungskoeffizienten fand Fizeau¹⁹⁶⁾ zu $2,9161 \cdot 10^{-5}$. Im Dampfzustande ist CdJ_2 partiell dissoziiert¹⁹⁷⁾ und leitet die Elektrizität.¹⁹⁸⁾ Es wird bereits bei gewöhnlicher Temperatur von NO_2 nach



oxydiert, im Gegensatz zu CdBr_2 und CdCl_2 .¹⁹⁹⁾

Bei Rotglut wird es durch H_2 reduziert.²⁰⁰⁾

Die Löslichkeit in H_2O hat Dietz²⁰¹⁾ gemessen. Die gesättigte Lösung enthält bei t° a Gramm CdJ_2 in 100 g, resp. b Mol H_2O auf 1 CdJ_2 .

t°	0	18	50	75	100
a	44,39	46,02	49,35	52,65	56,08
b	25,41	23,85	20,87	18,29	15,92

Für höhere Temperaturen fand sich²⁰²⁾

t°	135	140	165	185	202	255
a	62,9	63,1	68,1	70,7	73,3	81,5

Lösungswärme. Bei 18° entwickelt die Auflösung von 1 CdJ_2 in 400 $\text{H}_2\text{O} - 960 \text{ cal.}$ ²⁰³⁾

Die spez. Gewichte der Lösungen bei 18° sind für m Mol $\frac{1}{2}\text{CdJ}_2$ pro Liter

m	d_{18}^{18} (Wershoven ²⁰⁴⁾)	m	d_{18}^{18} (Grotrian ²⁰⁵⁾)
0,00235	0,99908	0,0562	1,0073
0,00550	0,99956	0,278	1,0413
0,01120	1,0005	0,599	1,0885
0,02195	1,0021	0,913	1,1354
0,03302	1,0038	1,274	1,1890
0,04411	1,0056	2,138	1,3171
0,05522	1,0072	3,254	1,4821
		3,770	1,5576

Bei a Gramm auf 100 g H_2O ist²⁰⁶⁾

a	21,4	43,7	88,5
$d_{19,5}^{19,5}$	1,1681	1,3286	1,6139

Das spez. Volum, bezogen auf das von $19,5$ ist bei t° ²⁰⁷⁾

a	t°					
	0	19,5	40	60	80	100
22,6	0,99461	1,00000	1,00863	1,01935	1,03218	1,04667
46,4	—	1,00000	1,01027	1,02198	1,03523	1,04995

Das CdJ_2 nimmt unter seinen Verwandten eine besondere Stellung ein, indem es als Verbindung zweier Stoffe, die beide eine Tendenz zur Assoziation besitzen, Lösungen bildet, welche erhebliche Mengen komplexer Ionen enthalten. Die äquivalente Leitfähigkeit bei 18° beträgt nach Kohlrausch und Holborn²⁰⁸⁾ für m Mol $\frac{1}{2}$ CdJ_2 pro Liter in reziproken Ohm Λ , die molare bei 25° nach Zelinsky und Krapivin²⁰⁹⁾ ($v = l/\text{CdJ}_2$) μ in Siemens-Einheiten

m	Λ	$\gamma = \frac{\Lambda}{\Lambda_0}$	v	μ
4	7,9		8	49,03
3	9,9		16	62,98
2	12,1		32	81,96
1	15,4	0,13	64	104,7
0,5	18,3	0,15	128	129,0
0,2	24,2	0,20	256	153,6
0,1	31,0	0,26	512	178,6
0,05	40,1	0,33	1024	201,9
0,02	53,9	0,45	2048	221,8
0,01	65,6	0,55	4096	238,1
0,005	76,7	0,64	8192	249,7
0,002	92	0,76	16384	260,2
			32768	272,2

Man erkennt, daß der Grenzwert noch bei $m = 0,002$ keineswegs erreicht ist, Wershoven gibt ihn zu 121 an. Der Grenzwert der Überföhrungszahlen ist unsicher (s. u.), setzen wir ihn zu 0,553 an, so wird $\Lambda_0 = 120$. Damit sind die γ -Werte berechnet, nach denen die Dissoziation sich als die eines nur mittelstarken Elektrolyten darstellt. Die der Berechnung zugrunde gelegte Annahme des Dissoziationsschemas $\text{CdJ}_2 \rightleftharpoons \text{Cd}^{++} + 2\text{J}^-$ ist jedoch wegen der Komplexbildung um so weniger zutreffend, je konzentrierter die Lösungen sind.

Den Temperaturkoeffizienten der Leitfähigkeit ermittelte Wershoven zu 0,0274 für $m = 0,05$, nach Carrara und Levi ist er für 1 Mol/106,5 Liter^{209a)} im Mittel etwa 0,028.

Osmotische Messungen.

Die Dampfdruckdepression von m Mol CdJ_2 in 1000 g H_2O bei 100° beträgt²¹⁰⁾ Δp mm Hg.

m	0,5	1	2	3
Δp	7,6	14,8	33,5	52,7
Δp				
760 · m	0,020	0,0195	0,0221	0,0232

und bei 30°, wenn a Gramm CdJ_2 in 1000 g H_2O gelöst sind, in mm H_2O ²¹¹⁾

a	100	200	400	800
Δp	2,6	4,0	9,7	21,0
m	0,27	0,54	1,09	2,18
Δp				
31,5 · 13,5 · m	0,0226	0,0173	0,0209	0,0226

Beide Autoren finden also ein Minimum in der relativen Depression ungefähr an derselben Stelle.

Die Gefrierdepression, schon von Rüdorff²¹²⁾ untersucht, wurde später genauer bestimmt. Arrhenius²¹³⁾ fand für m Mol CdJ_2 pro Liter

m	Δ^0	i	$\gamma = \frac{i-1}{2}$
0,0544	0,161	1,57	0,29
0,136	0,320	1,24	0,12
0,342	0,715	1,11	0,06
0,684	1,523	(1,16)	(0,08)

Weiterhin ist nach Jones²¹⁴⁾

m	Δ	i	$\gamma = \frac{i-1}{2}$
0,00105	0,0048	2,40	0,70
0,00210	0,0093	2,38	0,69
0,00419	0,0180	2,31	0,66
0,00626	0,0251	2,16	0,58
0,00832	0,0327	2,12	0,56
0,01053	0,0404	2,07	0,54
0,02064	0,0725	1,90	0,45
0,03034	0,0927	1,65	0,33
0,03966	0,1175	1,58	0,29
0,0486	0,1313	1,46	0,23
0,06318	0,1599	1,37	0,19
0,07118	0,1766	1,34	0,17
0,07887	0,1913	1,31	0,16
0,08624	0,2046	1,28	0,14
0,09332	0,2164	1,25	0,13
0,1001	0,2286	1,24	0,12

Für konzentrierte Lösungen liegt noch folgende Reihe²¹⁵⁾ vor:

m	0,133	0,222	0,333	0,444	0,666	0,888
Δ	0,314	0,479	0,710	0,997	1,564	2,227

Wie man sieht, divergieren Leitfähigkeits- und Gefrierdepressionswerte schon bei geringen Konzentrationen, was beim Zutreffen des Dissoziationschemas $\text{CdJ}_2 \rightleftharpoons \text{Cd}^{++} + 2\text{J}'$ nicht zu erwarten ist. Den obigen γ kommt daher, wenigstens in den höheren Konzentrationen, eine reelle Bedeutung nicht zu.

Siedepunkterhöhungen maß Beckmann.^{215a)} Für m Mol CdJ_2 pro kg H_2O ist, wenn man die Konstante $E = 0,519$ setzt,

m	Δ	i
0,1190	0,062	(1,00)
0,1285	0,073	1,10
0,231	0,121	(1,01)
0,262	0,143	1,05
0,348	0,181	(1,00)
0,390	0,212	1,05
0,578	0,303	(1,01)
0,651	0,353	1,05

b	0,1	1,0	5,0	11,4	30,0	50,0	70,0	81
c	0,0008	0,0032	0,0071	0,0095	0,0113	0,0151	0,0202	0,0300
π	1,119	1,087	1,081	1,072	1,057	1,046	1,036	1,034

3. Anwesenheit einer konstanten Menge J_2 (also $c < 0,0008$, s. oben).

b	0,1	0,49	1,1	5,1	10,0	20,0	30,0	40,0
π	1,084	1,060	1,045	1,025	1,018	1,008	1,001	0,994
	b	50,0	60,0	70,0	80,0	81,0		
	π	0,985	0,980	0,975	0,974	0,974		

Die Oberflächenspannung von CdJ_2 in H_2O bewirkt in einer Röhre vom Durchmesser 0,5 mm bei 15° und der Konzentration von a Gramm pro 100 ccm H_2O die Steighöhe h mm ²²⁰⁾

a	0	5	10	15	20	25
h	60,6	58,0	55,8	53,9	52,1	50,5

resp. für 1 Mol $\frac{1}{2}CdJ_2$ pro Liter $h = 53,2$ und, da $d^{15} = 1,142$, $d \cdot h = 60,7$. ²²¹⁾
Das Salz erhöht also die Oberflächenspannung des Wassers.

Über die Diffusionsgeschwindigkeit liegen Daten von Lenz vor, vergl. unten. ²²⁹⁾

Die spezifische Wärme bestimmte Helmreich ¹¹⁸⁾ (vgl. $CdCl_2$)

p	n	c_{30-0}	α	c_{50-0}	α	c_{70-0}	α
—	—	0,05264	19,20	0,05274	19,23	0,05277	19,25
45,70	24,13	0,57953	35,41	0,57220	29,75	0,56936	25,54
29,99	47,41	0,72725	45,30	0,71462	30,28	0,70932	20,0
15,16	113,66	0,87235	87,20	0,84841	30,30	0,83952	—0,30(?)

Optische Eigenschaften.

Die Brechungsexponenten für H_α , H_β , H_γ bei der Konzentration m Mol $\frac{1}{2}CdJ_2$ pro Liter bei t° sind ²²²⁾

m	n_α	t°	n_β	t°	n_γ	t°
3,2083	1,40708	19,8	1,41866	19,9	1,42563	19,9
3,7431	1,41990	19,4	1,43277	19,6	1,44033	19,7

Daraus folgen für $\frac{1}{2}Cd$ die Moduln (bezogen auf KCl)

0,0038 0,0040 0,0041.

Für Na-Licht wurde gefunden ²²³⁾, wenn a Gramm in 100 g Lösung vorhanden, bei 15°

a	39,959	31,123	18,728	12,733	3,379	3,095
n_D	1,41332	1,38999	1,36370	1,35329	1,33885	1,33822

und ²²⁴⁾ bei 20°

a 10,97 16,93
 n_D 1,3488 1,3582

Die gleichen Werte hat H. Jahn bei 20° bestimmt ²²⁵⁾ für a Gramm pro ccm

a	d_{20}^{20}	n_α	n_D	n_β	A	B	S
0,6353	1,5181	1,4142	1,4176	1,4263	1,3995	0,6332	2,0731
0,3410	1,2791	1,3755	1,3782	1,3847	1,3643	0,4815	2,0002
0,1874	1,1541	1,3556	1,3580	1,3634	1,3461	0,4084	1,9667

A und B sind die Konstanten der Formel von Cauchy.

Die Dispersion B berechnet sich nach der Formel von Cauchy $A + \frac{B}{\lambda^2} = C$ für b Gramm CdJ_2 pro Liter zu ²²⁶⁾

b	98,8	197,7	289,5	400
C beob.	0,400	0,453	0,503	0,568
C ber.	—	0,453	—	0,563

Die elektromagnetische Drehung der Polarisationssebene nach Jahn enthält die obige Tabelle unter S als spez. Drehung bezogen auf H_2O . Forchheimer²²⁵⁾ fand bei 20° die spezifische (σ) und die molare (μ) Drehung für m Mol CdJ_2 pro Liter

m	σ	μ
1,924	2,159	43,86
0,951	2,162	42,70
0,447	2,094	42,54
0,211	2,086	42,37

μ ist demnach von m nur wenig abhängig.

Nichtwässrige Lösungen. Der Assoziationstendenz des CdJ_2 entspricht seine erhebliche Löslichkeit in allerlei nichtwässrigen Flüssigkeiten, und es liegt daher ein ziemlich umfangreiches Beobachtungsmaterial über derartige Lösungen vor. Davon sei zunächst noch die Bestimmung der prozentualen Depression des Leitvermögens von 0,05 äquivalent normaler Lösung bei 25° durch Zusatz von 1 Volumprozent Nichtleiter angegeben.²²⁵⁾

CH_3OH	C_2H_5OH	iso C_3H_7OH	$(CH_3)_2CO$
2,59 Proz.	3,33 Proz.	3,53 Proz.	2,42 Proz.

Über Gemische von Wasser mit Äthylalkohol als Lösungsmittel hat Lenz²²⁹⁾ gearbeitet. Wenn statt H_2O $H_2O + C_2H_5OH$ von v Volumprozent (bei 12,5°) C_2H_5OH benutzt wird, so sind für m Mol $\frac{1}{2}CdJ_2$ pro Liter bei 18° die auf die H_2O -Lösung bezogene äquivalente Leitfähigkeit A , die Überführungszahl des Anions n und die pro Tag durch 1 qcm diffundierte Menge (ebenfalls auf H_2O -Lösung bezogen) l.

m = 0,25		m = 0,5		m = 1,0		m = 0,125	
v	A	v	A	A		v	A
0	1	0	1	1		0	1
5,5	0,850	6,0	0,842	0,818		34,5	0,316
10,7	0,697	15,2	0,637	0,630		65,0	0,1988
19,2	0,545	23,3	0,521	0,540		93,5	0,1227
29,7	0,399	34,5	0,3902	0,4035			
40,4	0,308	43,7	0,3280	0,3440		m = 0,0625	
49,6	0,2588	56,2	0,2714	0,2807		v	A
58,8	0,2437	65,0	0,2453	0,2561		0	1
69,8	0,2101	75,4	0,2217	0,2305		34,5	0,2954
79,5	0,1910	85,1	0,1962	0,2068		65,0	0,1743
89,5	0,1517	93,5	0,1484	0,1523		93,5	0,1147

m	v =	0	5	10	15	20	25	30	35	40	45
1	n =	1,135	1,110	1,089	1,073	1,072	1,077	1,088	1,108	1,130	1,160
0,5		1,044	1,021	1,017	1,022	1,032	1,044	1,057	1,070	1,088	1,120
0,25		0,929	0,914	0,915	0,922	0,934	0,952	0,974	1,000	1,028	1,058
0,125		0,808	0,818	0,831	0,851	0,876	0,899	0,928	0,959	0,989	1,019

m	v =	50	55	60	65	70	75	80	85	90	95
1		1,193	1,226	1,262	1,300	1,338	1,378	1,417	1,460	1,502	1,549
0,5		1,159	1,192	1,229	1,265	1,305	1,344	1,384	1,427	1,471	1,515
0,25		1,089	1,121	1,160	1,198	1,239	1,282	1,329	1,375	1,421	1,470
0,135		1,052	1,088	1,127	1,170	1,212	1,262	1,306	1,357	1,404	1,458

Auf Grund dieser Tabelle für n läßt sich vermuten, daß die Beständigkeit der komplexen Ionen mit dem Alkoholgehalte stark zunimmt.

	l	
v	m = 1	m = 0,5
o	1	1
27,9	0,477	0,542
51,0	0,438	0,391
74,7	0,464	0,382

Die Überföhrungszahl in Äthyl- und Amylalkohol hat Hittorf²³⁰⁾ gemessen. n_{Anion} ist für a Teile Alkohol auf 1 Teil Salz Äthylalkohol.

a	1,107	1,394	1,695	2,190	2,466	8,375	37,229
n	2,102	2,001	1,909	1,848	1,823	1,552	1,318

In Amylalkohol war $n = 2,3$ bei $a = 3,179$.

Refraktion und elektromagnetische Drehung der Polarisations-ebene in $\text{C}_2\text{H}_5\text{OH}$ hat Jahn untersucht (Bezeichnung vergl. oben).

a	d_{20}^{20}	n_a	n_D	n_D	A	B	S
0,3567	1,1007	1,4059	1,4083	1,4152	1,3945	0,4902	1,9716
0,1817	0,94898	1,3834	1,3864	1,3920	1,3730	0,4485	1,9670

Das spez. Gewicht in CH_3OH bei 25° ist von Carrara und Levi²³¹⁾ gemessen worden. Wenn d_4^{25} des CH_3OH $Q = 0,78862$, das Äquivalentgewicht von CdJ_2 $A = 183,1$, S das spez. Gewicht d_4^{25} der Lösung, m die

Anzahl Mol $\frac{1}{2}\text{CdJ}_2$ pro Liter, $\varphi = \frac{A}{Q} - 1000 \cdot \frac{S}{m}$ ist, so ergibt sich

m	1,221	0,610	0,305	0,152	0,076	0,038	0,019
S	0,89047	0,84026	0,81480	0,80185	0,79559	0,79227	0,79062
φ	126,28	124,70	123,49	121,67	115,75	110,26	98,57

Die molare Leitfähigkeit für v Liter pro Mol CdJ_2 bestimmten Zelinsky und Krapiw²³²⁾ bei 25° (I). Unter II sind die Bestimmungen derselben Autoren für wässrige Lösung, unter III die von Jones und Lindsay^{232a)} mit 50 Proz. Alkohol als Lösungsmittel beigefügt (Siemens-Einheiten)

v	I	II	III	I II
16	13,07	62,98	20,31	0,210
32	13,59	81,96	24,22	0,166
64	14,16	104,7	31,17	0,135
128	14,78	129,3	42,03	0,114
256	15,44	153,6	50,43	0,100
512	18,41	178,6	—	0,103
1024	21,93	201,9	—	0,109

Die molare Leitfähigkeit in Äthylalkohol studierte Cattaneo¹⁶¹⁾ (vgl. CdBr_2)

c	d_{18}	μ
0,4290	0,863	7,18
0,1730	0,823	6,76
0,0870	0,810	6,71
0,0108	0,796	5,60
0,0065	0,796	5,40
0,0021	0,796	4,95

Weitere Studien über Leitfähigkeit in Methyl- resp. Äthylalkohol enthalten Abhandlungen von Jones und Carroll^{232b)} und Coffetti^{128b)}; elektromotorische Kräfte von Ketten mit wässriger und alkoholischer Lösung hat Campetti^{128a)} gemessen.

Lösungswärme und Löslichkeit in CH_3OH , $\text{C}_2\text{H}_5\text{OH}$ und $\text{C}_3\text{H}_7\text{OH}$ hat Timofejew gemessen²³³⁾, desgleichen die spezifischen Wärmen dieser Lösungen. Die spezifische Wärme hat auch Helmreich bestimmt.¹¹⁸⁾

Was andere organische Lösungsmittel angeht, so seien zunächst Leitfähigkeitsbestimmungen erwähnt. μ sei die molare Leitfähigkeit in reziproken Ohm, v die molare Verdünnung, s die spezifische Leitfähigkeit der Lösung, s' die des Mediums.

$t = 20^\circ$				²³⁴⁾			
1. $\text{CH}_3\text{COC}_2\text{H}_5$		2. Propionitril		3. $(\text{CH}_3)_2\text{CO}$		4. $\text{CH}_3\text{COC}_3\text{H}_7$	
v	μ	v	μ	v	μ	v	μ
64	5,58	64	15,9	4	10,4	64	2,13
128	5,48	128	17,0	8	11,7	128	1,55
		256	19,1	16	11,4		
		512	19,2	32	11,5		
				64	11,6		
				128	11,9		
				256	12,0		
5. Acetophenon				6. Acetonitril ²³⁵⁾			
t°	v	s	μ	t°	v	s	μ
25 ⁰	128	0,016	2,0	25 ⁰	48,9	0,69	33,7
	256	0,008	2,1		97,7	0,37	36,4
50 ⁰	128	0,015	1,9				
	256	0,008	2,1				

Kahlenberg und Ruhoff²³⁶⁾ fanden bei 25⁰ in reziproken Ohm für 1 Mol in v Liter Amylamin die molare Leitfähigkeit

v	0,781	0,891	1,095	1,237	1,450	1,738	2,473	5,482
μ	0,465	0,534	0,542	0,480	0,346	0,187	0,034	0,002

In Äther bei 18⁰ beträgt die Leitfähigkeit $5,56 \cdot 10^{-3}$ für 0,095 g in 100 g Äther und hat den Temperaturkoeffizienten $-0,029$.²³⁷⁾

In Aceton löst sich CdJ_2 bei 18⁰ im Gewichtsverhältnisse 1:4 (Nau-
mann^{237a)}).

In Aceton gelöst bewirkt CdJ_2 folgende Erhöhungen Δ des Siedepunktes²³⁸⁾ (a = Gramm CdJ_2 auf 1000 g $(\text{CH}_3)_2\text{CO}$, n Mol pro 1000 g).

a	32,25	36,66	43,39	64,80	67,04	80,50	94,27	149,19
n	0,0881	0,1002	0,1186	0,177	0,183	0,220	0,2576	0,4076
Δ^0	0,124	0,140	0,160	0,234	0,236	0,282	0,330	0,504
$\Delta_{\text{ber.}}$	0,152	0,174	0,206	0,306	0,316	0,381	0,445	0,705

wobei für $\Delta_{\text{ber.}}$ die Konstante des Acetons zu 1,73 angenommen ist.

Über die Refraktion in $\text{C}_2\text{H}_5\text{OH}$ und $(\text{CH}_3)_2\text{CO}$ vergl. man Le Blanc und Rohland.²³⁹⁾

Kahlenberg²⁴⁰⁾ fand den Potentialsprung der Kette $\text{Cd} - \text{CdJ}_2 \text{ I}$ $\text{CdJ}_2 \text{ II} - \text{Cd}$ mit Acetonitril als Lösungsmittel zu 0,032 Volt, wo I die Verdünnung $v = 48,9$, II $v = 214,7$ zukam. Die molaren Leitfähigkeiten beider Lösungen bei 25⁰ gibt er zu 33,7 (I) und 37,7 (II) an.

In S_2Cl_2 und in $S(OCI)_2$ löst sich CdJ_2 mit gelber Farbe.²⁴¹⁾ Über Reaktionen in Äthylacetat vergl. Naumann²⁴²⁾, über die Beeinflussung des Multirotationsrückganges der Glykose in CH_3OH vergl. Trey²⁴³⁾, über die Beeinflussung der Entmischungstemperatur von $CH_3COOC_2H_5$, C_2H_5OH und H_2O , welche CdJ_2 in Gegensatz zu anderen Salzen stellt, vergl. Pfeiffer.²⁴⁴⁾

Trey fand die Wirkung von CdJ_2 weit stärker als die von KJ , Pfeiffer, daß die Cadmiumhaloide sich anders verhalten als die von Ba , Sr , Ca .

Im geschmolzenen Zustande leitet CdJ_2 die Elektrizität gut. Graetz²⁴⁵⁾ fand die spez. Leitfähigkeit k bei t^0 in S.E. zu

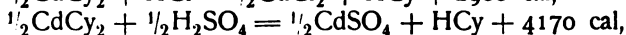
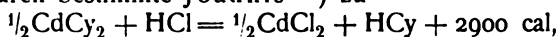
t^0	440	430	420	410	404	400	390	380	370	360
$k \cdot 10^8$	3470	3070	2780	2600	2490	2440	2310	2175	2050	1970
t^0	350	340	330	320	310	300	290	280	270	
$k \cdot 10^8$	1850	1700	1475	750	130	55	15	6	2,5	

Dem Erstarrungspunkte entspricht also kein ausgezeichneter Wert.

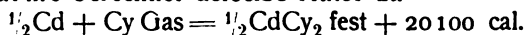
Garrard²⁴⁶⁾ fand bei 468^0 zwei Zersetzungspunkte, bei $0,515$ und bei $0,68$ Volt.

Das kapillare Verhalten der Schmelze untersuchte Motylewski.^{137a)}

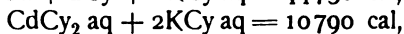
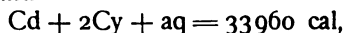
Cadmiumcyanid. Cadmiumcyanid, $CdCy_2 = 164,5$, wurde dargestellt von Rammelsberg²¹⁷⁾, Schüler²⁴⁸⁾, Loebe.²⁴⁹⁾ Es ist ein gut charakterisiertes Salz, ein wenig in Wasser, aber wegen der Neigung zur Bildung komplexer Salze in KCN -Lösung stark löslich. Seine Lösungswärme in verdünnten Säuren bestimmte Joannis²⁵⁰⁾ zu



die Bildungswärme berechnet derselbe Autor zu



Thomsen²⁵¹⁾ fand



Über die Überführungszahl hat Rieger^{251a)} Versuche angestellt.

In der Lösung der Cyaniddoppelsalze ist mit Hilfe von H_2S das Cd -Ion durch Fällung von CdS nachweisbar und dadurch vom Kupfer analytisch zu trennen.

Cadmiumhydroxyd. Das Cadmiumhydroxyd, $Cd(OH)_2 = 146,4$, war bereits Stromeyer²⁵²⁾ bekannt, der es auf interessante Weise aus $CdO + H_2O$ erhielt, indem er dem H_2O KOH zufügte. Es stellt sich in der Regel als ein amorphes Pulver dar, soll jedoch, wenn es aus NH_4OH -Lösung ausgeschieden wird, kristallin erhalten werden.²⁵³⁾ Dies wäre wegen der Langsamkeit des Abscheidungsprozesses sehr wohl möglich, da ja die Umwandlung des amorphen in kristallines selbst unter KOH erfolgt (Stromeyer). Es entsteht bei der Elektrolyse von $NaCl$ oder $NaClO_3$ ²⁵⁴⁾, auch KCl ²⁵⁵⁾ an der aus Cd bestehenden Anode. Eine Umwandlung $CdSO_4 + Ag_2O \rightleftharpoons Cd(OH)_2 + Ag_2SO_4$ hat Vitali²⁵⁶⁾ beobachtet.

Die Bildungswärme berechnet Thomsen²⁵⁷⁾ zu



Das spez. Gewicht bei 15^0 gibt de Schulten²⁵⁸⁾ zu $4,79$ an.

Bei der Neutralisation mit Säuren werden entwickelt²⁵⁷⁾

$\text{Cd}(\text{OH})_2$	+ 2HCl aq	: 20290 cal
"	+ 2HBr aq	: 21560 "
"	+ 2HJ aq	: 24210 "
"	+ H_2SO_4 aq	: 24200 "
"	+ 2HNO_3 aq	: 20620 "
"	+ $\text{H}_2\text{S}_2\text{O}_6$ aq	: 20360 "

Die Löslichkeit in H_2O beträgt nach Herz²⁵⁹⁾ $2,6 \cdot 10^{-4}$ Mol pro Liter, berechnet aus Gleichgewichten mit Ammonsalzen. Wegen der an anderer Stelle zu besprechenden Komplexbildungen mit NH_3 erscheint diese Zahl unsicher. Dagegen berechnet Labendzinski²⁶⁰⁾ das Löslichkeitsprodukt $\text{Cd} \cdot \text{OH}^2$ zu $1,3 \cdot 10^{-3}$, was aber wohl zu groß ist.

In Salzlösungen löst sich $\text{Cd}(\text{OH})_2$ stärker als in H_2O . Bei t° zeigt eine mit $\text{Cd}(\text{OH})_2$ gesättigte normale Lösung die folgende in Prozent des Salzgehaltes ausgedrückte Alkaleszenz.²⁶¹⁾

Salz	25 ⁰	50 ⁰	79 ⁰	99,5 ⁰
KCl	0,540	0,560	0,578	0,581
NaCl	0,536	0,560	0,580	0,582
KBr	0,892	0,935	0,980	0,980
NaBr	0,910	0,930	0,960	0,990
KJ	1,445	1,650	1,850	1,970
NaJ	1,440	1,648	1,800	1,952
KCNS	0,800	0,750	0,660	0,532
NaCNS	0,780	0,740	0,650	0,510

Diese Erscheinung wird dadurch erklärt, daß die Anionen der Salze die Cd -Ionen mehr oder weniger weitgehend zur Bildung undissoziierter Molekeln und komplexer Ionen verbrauchen, bis die äquivalente Menge von OH -Ionen aus dem festen $\text{Cd}(\text{OH})_2$ dessen Löslichkeitsprodukt wieder herstellt. Daher zeigt sich auch hier das Jodid als das wirksamste.

Wilsmore²⁶²⁾ maß den Potentialsprung von Cd gegen $\frac{n}{1}$ KOH zu 0,437.

Daraus berechnet sich eine Cd -Ionenkonzentration von $3 \cdot 10^{-11}$.

Cadmiumoxyd. Das normale Cadmiumoxyd, $\text{CdO} = 128,4$, ist seit Stromeyer²⁶³⁾ bekannt. Es findet sich als Mineral z. B. in regulären Oktaedern²⁶⁴⁾ vom spez. Gewichte 6,15 und der Härte ca. 3 und kann, da es als ein sehr hitzebeständiger²⁶⁵⁾ Stoff bei pyrochemischen Reaktionen im Rückstand bleibt und andererseits wie andere Schwermetalloxyde in Wasser nur wenig löslich ist, auf verschiedenen Wegen künstlich dargestellt werden. Durch Glühen von $\text{Cd}(\text{NO}_3)_2$ erhält man dunkelfarbige Oktaeder²⁶⁶⁾, die vermutlich Stickoxyde enthalten. In braunen Nadeln erhielt Poulenc²⁶⁷⁾ das CdO aus der Schmelze von CdF_2 in Alkalicarbonat. Als dunkelrote kubische Kristalle wurde es aus amorphem CdO durch Glühen bei Hellrotglut in O_2 -Atmosphäre erhalten.²⁶⁸⁾ In NO bei 300° entsteht CdO aus Cd .²⁶⁹⁾ Das spez. Gewicht des kristallisierten CdO beträgt²⁷⁰⁾ 8,111.

CdO kann beim Glühen verschiedene Umwandlungen erfahren. In Cl_2 erhitzt gibt es leicht CdCl_2 .²⁷¹⁾ In H_2 wird es oberhalb 270° lebhaft reduziert²⁷²⁾, jedoch kann diese Reaktion, wenn sie in stagnierender Gasatmosphäre erfolgt, wenigstens bei höherer Temperatur nicht quantitativ zu Ende gehen, da andererseits H_2O mit Cd -Dampf die Gegenreaktion ergibt.²⁷³⁾

Durch Mg wird CdO schon bei mäßiger Hitze lebhaft reduziert.²⁷⁴⁾

Die Bildungswärme, vermehrt um die Hydratationswärme, berechnet Berthelot pro Mol zu 66400 cal²⁷⁵⁾, Thomsen zu 65780 cal (vergl. Cd(OH)₂).

Dirte²⁷⁶⁾ unterscheidet nach der Lösungswärme des CdO in H₂SO₄ verschiedene Modifikationen, die durch verschieden starkes Glühen entstehen sollen; es erscheint indessen kaum zweifelhaft, daß, soweit nicht durch Verunreinigung der Präparate, für deren Annahme bestimmte Gründe vorliegen, Unterschiede bedingt waren, die geringfügigen Differenzen auf Verschiedenheit der Präparate bezüglich des Verhaltens bei der Auflösung, speziell der Geschwindigkeit, zurückgeführt werden dürfen. Dieselben Erscheinungen wurden an ZnO beobachtet.

Cadmiumsuboxyd und Peroxyde. Durch Glühen von Cd(COO)₂ entsteht eine gelbe Masse, die, im verschlossenen Gefäße erhitzt, ein grünes Pulver von Cd₂O liefert.²⁷⁷⁾ Die Individualität dieses Stoffes ist aber bezweifelt und er ist von verschiedenen Autoren²⁷⁸⁾ für ein Gemisch von Cd und CdO erklärt worden, obwohl ihm durch Hg kein Cd entzogen wird²⁷⁷⁾; auch Tanatar und Levin²⁷⁹⁾ geben an, ihn dargestellt zu haben. Morse und Jones²⁸⁰⁾ erhielten aus Cd₄Cl₇ + H₂O gelbes Cd₂O, das beim Erhitzen in Cd + CdO überging. Ein grünes Pulver von Cd₄O soll durch langsames Erhitzen von CdC₂O₄ in CO₂ gewonnen werden²⁸¹⁾, die Bildungswärme 7000 cal und d₁₉ = 8,19 zeigen und durch HNO₃ oxydiert werden.

Ein Cd₃O₂ ist gleichfalls beschrieben worden.²⁷⁹⁾

Aus H₂O₂ und Cd(OH)₂ erhielt Haas²⁸²⁾ Stoffe, die zwar nicht reines CdO₂ sind, wohl aber vermöge ihrer Beständigkeit den Schluß auf die Existenz höherer Oxyde rechtfertigen. Auf gleiche Weise stellte Kuriloff²⁸³⁾ gelbe mikroskopische Kristalle von H₂CdO₄ dar, die, in NH₄OH unlöslich, mit Säuren H₂O₂ entwickeln und bis 180° hitzebeständig sind.

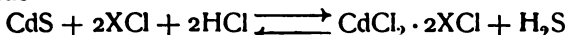
Cadmiumsulfid. Das Cadmiumsulfid, CdS = 144,5, ist entdeckt von Stromeyer²⁸⁴⁾ und als Mineral bekannt unter dem Namen Greenockit. Künstlich erhält man es bei der Fällung von Cd-Salzen mit H₂S, durch Elektrolyse von Na₂S₂O₃ mit Wechselstrom zwischen Cd-Elektroden²⁸⁵⁾, sowie von einem Alkalisalze mit Cd-Anode und CuS-Kathode.²⁸⁶⁾ Aus Cd und S entsteht es bei starker Kompression und wird kristallinisch.²⁸⁷⁾ Weiter wurde es erhalten aus Cd + SO₂ bei 200°²⁸⁸⁾ (dabei entsteht auch CdSO₄²⁸⁹⁾). Greenockit bildet sich aus CdCl₂ + H₂S bei Rotglut²⁹⁰⁾, aus CdO + S bei Rotglut.²⁹¹⁾ Aus amorphem CdS durch kurzes Glühen im elektrischen Ofen²⁹²⁾, oder aus SnS durch Überleiten von CdCl₂-Dampf²⁹³⁾ erhalten ist es hexagonal, zeigt rotgelbe Farbe und das spez. Gewicht ca. 4,8. Greenockit entstand auch in der Schmelze von CdS + S + K₂CO₃²⁹⁴⁾ (jedoch nur bei bestimmten Gewichtsverhältnissen und nicht mit Na₂CO₃ statt K₂CO₃²⁹⁵⁾) und hat die Härte 3,5 (Mohs) und das spez. Gewicht 4,5.²⁹⁴⁾ In langen gelben Kristallen entsteht es hexagonal und, anscheinend als neue Modifikation, monoklin, wenn H₂S auf Cd-Dampf reagiert.²⁹⁶⁾ Der natürliche Greenockit gehört dem hexagonalen System an, zeigt das Achsenverhältnis a:c = 1:1,6218²⁹⁷⁾, den Brechungsindex des ordentlichen Strahles 2,5517 für rot, 2,6882 für mittleres Grün und sehr geringe Doppelbrechung.²⁹⁸⁾

Die Existenz verschiedener Modifikationen ist mehrfach vermutet worden. Nach Buchner²⁹⁹⁾ existiert eine gelbe (α) und eine rote (β) Form, α hat das spez. Gewicht 3,906, β 4,513.³⁰⁰⁾ Beide sind hexagonal, β bisweilen

monoklin (s. o.).³⁰⁰⁾ Nach den vorhandenen Angaben scheint es nicht ausgeschlossen, daß die gelbe und rote hexagonale Form weder poly-, iso- oder metamer zueinander sind, wie Klobukow³⁰⁰⁾ annimmt, sondern daß die rote lediglich ein größeres Korn hat. Man kann z. B. aus heißer HCl-Lösung β , aus kalter neutraler Lösung α erhalten³⁰¹⁾, ferner geht zwar α in β über, nicht aber β in α .³⁰⁰⁾

CdS ist ein sehr stabiler Stoff und wegen seiner Schwerlöslichkeit gegen viele Reagenzien indifferent. Es zeigt jedoch beim Glühen einen merklichen Dissoziationsdruck. Unzersetzt sublimiert es bei Rotglut, wenn Cd-Dampf übergeleitet wird³⁰²⁾, ohne dieses dissoziiert es sich unter 600°³⁰³⁾, im hohen Vakuum (0,01 mm) scheidet sich Cd ab.³⁰³⁾ Ferner kann es im H₂-Strom nicht ohne Verlust geglüht werden³⁰⁴⁾, und im HCl-Strom liefert es CdCl₂.³⁰⁵⁾

In verdünnten Säuren löst es sich nur sehr wenig, desgleichen in KCN.³⁰⁶⁾ Daß aber die Löslichkeit nachweisbar ist, zeigt der Umstand, daß man es bei HCl-Gegenwart jodometrisch als H₂S titrieren kann.³⁰⁷⁾ Zu einem Gleichgewichtszustande



kommt man bei Anwendung konzentrierter Alkalichloride³⁰⁸⁾ mit HCl-Zusatz.

Über die Fällbarkeit von CdS aus Sulfatlösung und die Verteilung von H₂S zwischen Cd²⁺ und anderen Kationen liegt ein ziemlich umfangreiches Versuchsmaterial vor³⁰⁹⁾, das noch nicht berechnet worden zu sein scheint.

Die Löslichkeit des CdS in Sulfiden, insbesondere (NH₄)₂S, ist mehrfach untersucht und diskutiert worden. Während K₂S und Na₂S eine erhebliche Lösewirkung nicht ausüben³¹⁰⁾, löst sich frisch gefälltes CdS in (NH₄)₂S zunehmend mit steigender Temperatur und kann so kristallisiert erhalten werden.³¹⁰⁾ Indessen wird andererseits angegeben³¹¹⁾, daß die Löslichkeitsangaben von Ditte zu hoch sind, und nach Fresenius sind folgende Daten bei 60° anzunehmen:

1 l (NH ₄) ₂ S	löst	0,0706 g CdS,
1 l NH ₄ HS	"	0,0677 " "
1 l (NH ₄) ₂ S ₂	"	0,0773 " "

Diese abnorme Löslichkeit kann kaum auf Bildung komplexer Sulfide, wohl aber von NH₃-Komplexen beruhen; doch ist die Möglichkeit nicht von vornherein abzuweisen, daß das Sulfid sich wenigstens zum Teile in Pseudolösung befindet. Anhaltspunkte für eine solche Auffassung liefert die Tatsache, daß in H₂O suspendiertes CdS durch H₂S in kolloidale Lösung gebracht wird.³¹²⁾

Das Hydrosol des Cadmiumsulfids ist 1887 von Prost³¹³⁾ dargestellt worden und zwar nach einer Methode, die der von Spring und Winssinger für Gewinnung der Hydrosole des CuS, HgS und ZnS angewendeten ganz analog ist. Zu dem Zwecke wird zunächst aus ammoniakalischer Cadmiumsulfatlösung das Gel des CdS durch Schwefelwasserstoff gefällt und dieses, nachdem es rein ausgewaschen ist, in Wasser suspendiert. Diese Suspension wird nun durch Einleiten von Schwefelwasserstoff derart verändert, daß das ursprünglich grobflockige Gel in das vollkommen homogen erscheinende flüssige Hydrosol übergeht, also durch diese Behandlung peptisiert wird. Dieses ist schön goldgelb gefärbt und erscheint im durchfallenden Lichte vollkommen klar, während sich im auffallenden Lichte auch ohne weitere optische Hilfsmittel durch starke Opaleszenz die Heterogenität desselben zu erkennen gibt. Durch das Hydrosol werden vom Spektrum des

Sonnenlichtes die grünen, blauen und violetten Strahlen von der Fraunhoferschen Linie F an vollkommen absorbiert, während die übrigen Teile des Spektrums nicht geschwächt werden. Der überschüssige Schwefelwasserstoff läßt sich dann durch Kochen des Hydrosols verjagen, ohne daß letzteres verändert wird, auch die Papierfaser eines Filters wirkt nicht gelbildend auf dasselbe ein. Es scheidet dagegen nach längerem Stehen, namentlich wenn es konzentriert ist, das Gel aus, wobei zu bemerken ist, daß Gewitter die Gelbildung befördern, eine Erscheinung, die gewiß nicht zufälligerweise auch bei der Milch, als dem flüssigen Hydrosol des Caseins, eintritt. Alle Elektrolyte verwandeln das Hydrosol in das Gel, ein Übergang, der bestimmten Gesetzmäßigkeiten unterliegt. Zum Studium dieser Gesetzmäßigkeiten wendete Prost das von Schulze³¹⁴⁾ beim Hydrosol des Arsensulfids zum erstenmal benutzte Verfahren an, welches darin besteht, daß zu einer Elektrolytlösung von bekanntem Gehalt 1—3 Tropfen des Hydrosols zugesetzt und die Konzentration der Lösung so lange systematisch verändert wird, bis eine Konzentration gefunden worden ist, in welcher der Elektrolyt gerade noch gelbildend wirkt, während bei geringerer Konzentration keine Gelbildung mehr zu beobachten ist. Dieser Punkt ist also als Grenzkonzentration des Gelbildungsvermögens eines Elektrolyten zu bezeichnen. Bei Vergleich der Grenzwerte stellte sich nun beim CdS wie auch bei allen anderen nach demselben Verfahren untersuchten Hydrosolen das Gesetz heraus, daß bei starken Säuren erst bei viel größerer Verdünnung die Grenzkonzentration erreicht wird, als bei schwachen, d. h. die starken oder stark elektrolytisch dissoziierten Säuren ein bedeutend stärkeres Gelbildungsvermögen zeigen als die schwachen oder nicht so weitgehend dissoziierten Säuren. Das Gelbildungsvermögen der Salze richtet sich in der Hauptsache nach der Wertigkeit des Kations derselben, indem dasselbe von den Salzen mit einwertigem Kation zu denen mit dreiwertigem ganz bedeutend zunimmt, mit der einen Ausnahme, daß Cadmiumsalze das bedeutendste Gelbildungsvermögen für das CdS-Hydrosol besitzen. Indessen ist auch das Anion des betreffenden Salzes nicht ohne Einfluß, das Gelbildungsvermögen wächst in der Reihenfolge Nitrat, Sulfat, Chlorid. Lottermoser.

Die Bildungswärme berechnet Thomsen³¹⁵⁾ zu $\text{Cd} + \text{S} = \text{CdS} + 34360 \text{ cal.}$ Von Reaktionen des CdS sei noch die Überführung in CdSO_4 durch Ozon erwähnt.³¹⁶⁾

CdS_x fällt aus Cd-Salzlösungen durch Zusatz von K_2S_x .³¹⁷⁾

Cadmiumselenid. Das Cadmiumselenid, $\text{CdSe} = 191,6$, bildet sich in der Hitze direkt aus Cd und Se³¹⁸⁾, aus CdCl_2 im H_2Se -Strome³¹⁹⁾, auf nassem Wege aus CdSO_4 -, CdCl_2 - usw. Lösung durch Na_2Se (nach Fabre³¹⁹⁾ und nach Uelsmann³²⁰⁾). Es bildet rot bis schwarz gefärbte hexagonale oder reguläre Kristalle, über deren spez. Gewicht zwei stark verschiedene Angaben vorliegen. Nach Margottet³²¹⁾ und Fonzes-Diacon³¹⁹⁾ beträgt es 5,80, dagegen nach Little³¹⁸⁾ 8,789(?).

Die Bildungswärme beträgt nach Fabre³²²⁾ für aus Cd und Se direkt erhaltenes CdSe



Cadmiumtellurid. Cadmiumtellurid, $\text{CdTe} = 240,0$, bildet schwarze reguläre oder hexagonale Kristalle vom spez. Gewichte 6,20³²³⁾; seine Bildungswärme beträgt nach Fabre³²⁴⁾



Cadmiumnitrid. Grove³²⁵⁾ erhielt durch Elektrolyse von NH_4Cl Lösung mit Cd-Anode und Pt-Kathode eine Verbindung von Cd und N-am Pt.

Curtius und Rissom³²⁶⁾ stellten $\text{Cd}(\text{N}_3)_2$, also das Salz der Stickstoffwasserstoffsäure dar.

Cadmiumphosphide und -arsenide. Ein Phosphid wurde bereits von Stromeyer³²⁷⁾ dargestellt und als graue, spröde, schwer schmelzbare, verbrennliche Masse beschrieben.

Cd_3P_2 entsteht beim Überleiten von P-Dampf über CdO oder CdCO_3 , als schwer in Wasser, leichter in Säuren unter Entwicklung von Phosphorwasserstoff löslicher Stoff von metallischem Aussehen.³²⁸⁾ Es kann durch Schlag zur Explosion gebracht werden und geht mit PbS in $\text{CdS} + \text{P} + \text{Pb}$ über. Direkt aus den Dämpfen der Komponenten kann es auch erhalten werden.³²⁹⁾ Auf nassem Wege entsteht durch Kochen von $\text{Cd}(\text{OH})_2$ in Alkalilösung mit P (und ein wenig Benzol zur Beschleunigung) ein braunes Pulver, das in H_2 geglüht graues kristallines Cd_3P_2 gibt.³³⁰⁾

Emmerling³³¹⁾ erhielt Cd_2P aus der Schmelze der Komponenten. Dies bildet rote oder blaue Kristalle, wenn es durch Schmelzen von $\text{CdCO}_3 + \text{C}$ mit einem Phosphate dargestellt ist, und löst sich leicht in HCl .³²⁸⁾

Cd mit As im Verhältnis 3:2 gemischt gibt unter hohem Drucke eine spröde metallglänzende Masse.³³²⁾ Cd_2AsO_4 (?) mit KCN reduziert gibt weißrötliche Körner von Cd_3As , die das spez. Gewicht 6,26 zeigen.³³³⁾

Cadmiumchlorat. Cadmiumchlorat, $\text{Cd}(\text{ClO}_3)_2 = 279,3$, ist beschrieben von Wächter³³⁴⁾, dessen Angaben neuerdings bestätigt wurden. Es kristallisiert als Dihydrat vom Schmelz- und Erstarrungspunkte $79,0$ ³³⁵⁾, und beginnt bei dieser Temperatur zu zerfallen. Seine Löslichkeit³³⁵⁾ beträgt a Gramm auf 100 g Lösung resp. b Mol / 100 Mol H_2O .

t^0 .	—20	—15	0	+18	+49	+65
a	72,18	72,53	74,95	76,36	80,08	82,95
b	22,47	22,87	25,92	27,98	34,82	42,14

Von der Gefrierkurve sind folgende Punkte bestimmt worden.³³⁵⁾

t^0	—13	—6,5
a	52,36	26,18
b	9,52	3,07

Wenn 0,5 Mol $\text{Cd}(\text{ClO}_3)_2$ in kg H_2O gelöst sind, so beträgt die absolute Dampfdruckdepression bei 100^0 17,5 mm, die relative also $\frac{17,5}{760} = 0,023$.³³⁶⁾

Cadmiumbromat. $\text{Cd}(\text{BrO}_3)_2 \cdot \text{H}_2\text{O}$ erhielt Rammelsberg³³⁷⁾ als ein Salz von großer Löslichkeit, es braucht ungefähr sein eigenes Gewicht H_2O von gewöhnlicher Temperatur zur Sättigung. Sein spez. Gewicht beläuft sich auf 3,758, es kristallisiert rhombisch mit $a:b:c = 1:0,98845:0,7392$.³³⁸⁾

Cadmiumjodate und Perjodate. $\text{Cd}(\text{JO}_3)_2$ erhielt Rammelsberg³³⁹⁾ als ein wasserfrei kristallisierendes, in H_2O schwer, leichter in verdünnter HNO_3 und in NH_4OH lösliches Salz. Nach Ditte³⁴⁰⁾ enthält es 1 H_2O , das bei 200^0 weggeht.

Es sind ferner einige Salze komplexer Jodsäuren beschrieben worden³³⁹⁾, die indessen, falls überhaupt ihre Individualität sicherstehen sollte, vielleicht auch als basische Salze aufgefaßt werden können. Sie leiten sich ab von dem $\text{Cd}(\text{JO}_4)_2$ ³³⁹⁾ und werden erhalten, wenn die Mutterlauge, aus der dieses

Salz kristallisiert, weniger HJO_4 -Überschuß enthält, als das neutrale Salz erfordert. So fand Rammelsberg $\text{Cd}_4\text{J}_2\text{O}_{11} \cdot 3\text{H}_2\text{O}$ (Analysefehler 1,5 Proz.), aus der Mutterlauge dieses Salzes bildete sich $\text{Cd}_2\text{J}_2\text{O}_9 \cdot 9\text{H}_2\text{O}$ in kleinen Kristallen. Ein drittes Salz bezeichnet Rammelsberg selbst als vermutlich nicht rein.

Ein Salz von der Zusammensetzung HCdJO_5 ³⁴¹⁾ ist vielleicht als $\text{Cd}(\text{OH})\text{JO}_4$ aufzufassen.

Cadmiumsulfat. Das Cadmiumsulfat, $\text{CdSO}_4 = 208,5$, ist das wichtigste und meist untersuchte aller Cadmiumsalze. Entdeckt wurde es von Stromeyer ³⁴²⁾, dessen Analyse fast genau zu der Formel $\text{CdSO}_4 \cdot 4\text{H}_2\text{O}$ führt. Indessen wurde die Richtigkeit dieser Formel später in Zweifel gezogen und heute kann sie mit Sicherheit als widerlegt gelten. Das gleiche gilt von der ersten Formel Rammelsbergs ³⁴³⁾, $\text{CdSO}_4 \cdot 3\text{H}_2\text{O}$, die später von Retgers ³⁴⁴⁾ verteidigt wurde. Die ersten richtigen Angaben stammen von v. Hauer ³⁴⁵⁾ und führen zu der auffälligen Formel $3\text{CdSO}_4 \cdot 8\text{H}_2\text{O}$. Diese ist sodann von Rammelsberg ³⁴⁶⁾, Follenius ³⁴⁷⁾, Worobieff ³⁴⁸⁾, Mylius und Funk ³⁴⁹⁾, Kohnstamm und Cohen ³⁵⁰⁾ bestätigt worden. Rammelsberg ³⁴⁶⁾ hielt das $\frac{8}{3}$ -Hydrat auf Grund von Kristallmessungen für isomorph mit dem Yttrium- und Didymsulfat, jedoch widerspricht H. Kopp ³⁵¹⁾ dieser Ansicht.

Das spez. Gewicht von $3\text{CdSO}_4 \cdot 8\text{H}_2\text{O}$ beträgt nach Buignet ³⁵²⁾ 2,939, nach Bödeker ³⁵³⁾ 3,05, die spezifische Wärme ³⁵⁴⁾ bei ca. 17° 0,2225.

Aus der Formel dieses Hydrats geht mit Sicherheit hervor, daß in einer Molekel des festen Sulfats mindestens 3CdSO_4 enthalten sind, und dies steht jedenfalls in innerem Zusammenhang mit der Komplexbildungstendenz, die das Cd in all seinen Salzen zeigt.

Andere Hydrate sind ebenfalls bekannt. Zwar konnten Mylius und Funk (l. c.) das von H. Rose ³⁵⁵⁾ und Weber ³⁵⁶⁾ angegebene $\text{CdSO}_4 \cdot \frac{5}{2}\text{H}_2\text{O}$ nicht wiedererhalten, auch ist das $\frac{4}{3}$ -Hydrat sehr zweifelhaft (s. u.), jedoch scheint ein Monohydrat $\text{CdSO}_4 \cdot \text{H}_2\text{O}$ sicher nachgewiesen. Es fällt aus heiß konzentrierter Lösung ³⁵⁷⁾, aus der mit H_2SO_4 versetzten Lösung bei 40° bis 50° ³⁵⁸⁾, und bildet ³⁵⁹⁾ luftbeständige monokline Kristalle vom Achsenverhältnis $a:b:c = 0,5488:1:1,718$, $\beta = 90^\circ 13'$ und $d_{15^\circ} = 3,786$. Ferner erhielt Worobieff ³⁵⁹⁾ monokline Kristalle von $\text{CdSO}_4 \cdot \frac{4}{3}\text{H}_2\text{O}$, die bei 103° in $\text{CdSO}_4 \cdot \text{H}_2\text{O}$ übergingen.

Beim Schmelzen des Kryohydrats $\text{CdSO}_4 + x\text{H}_2\text{O}$ (s. u.) hinterbleibt ³⁶⁰⁾ $\text{CdSO}_4 \cdot 7\text{H}_2\text{O}$ in großen Kristallen, die aus der bei -16° gehaltenen Lösung durch Impfen in größerer Menge erhalten werden können, und, da man auch mit $\text{FeSO}_4 \cdot 7\text{H}_2\text{O}$ impfen kann, vielleicht mit diesem Salze isomorph sind.

Endlich ist auch das Anhydrid als wohlcharakterisierter Stoff bekannt. Es entsteht aus der Lösung bei Zusatz von viel H_2SO_4 , ist luftbeständig, verträgt Rotglut und bildet orthorhombische Prismen von $d_{15^\circ} = 4,72$ ³⁶¹⁾, resp. 4,447. ³⁶²⁾ Auf trockenem Wege entsteht es aus $\text{Cd} + \text{SO}_2$ neben CdS . ³⁶³⁾ Durch H_2 wird es bei Rotglut zu CdS und sogar zu Cd reduziert. ³⁶⁴⁾

Dampfdrucke der Hydrate. Abgesehen von den älteren ³⁶⁵⁾, unzuverlässigen Daten ³⁶⁶⁾ liegen Bestimmungen von Lescoeur ³⁶⁷⁾ vor, die folgende Drucke p in mm Hg ergaben. („Gesättigt“ bezieht sich auf $\text{CdSO}_4 \cdot \frac{8}{3}\text{H}_2\text{O}$.)

Cadmium

von ...
auf ...

...

Cadmium

von ...
auf ...

...

...

...

...

Cadmium

von ...
auf ...

...

Von

W

Dampf

Cadm

Salz ...
von ...
auf ...

Cadm

...

...

...

Die Nadeln aus der Lösung abscheidet.³⁷²⁾ Sein Existenzgebiet liegt jedenfalls oberhalb des dem $\frac{8}{3}$ -Hydrat zukommenden, wie aus den Dampfdruckkurven hervorgeht.

Die Hydrate sind ziemlich stabile Stoffe, hat man sie aber aus saurer, besonders H_2SO_4 -haltiger Lösung abgeschieden, so unterliegen sie der Zersetzung bereits bei Temperaturen, unter denen sie sonst haltbar sind.⁶³⁰⁾ Lösungswärmen. Es werden bei der Auflösung von 1 Mol $\text{CdSO}_4 \cdot \frac{8}{3}\text{H}_2\text{O}$ in soviel H_2O , daß die Lösung $x\text{H}_2\text{O}$ auf 1 CdSO_4 enthält, bei t° entwickelt.³⁷³⁾ Direkt gemessen bei 15° , für die anderen Temperaturen berechnet.

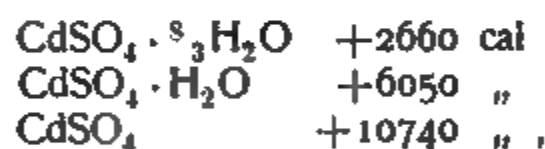
x	$t^\circ =$	5	10	15	20	25
13,6	S =	1061	966	870	775	679
15,6		1405	1332	1258	1185	1111
20,6		1657	1645	1633	1621	1609
30,6		1835	1876	1918	1959	2001
50,6		2013	2065	2118	2170	2223
100		2118	2203	2288	2373	2458
200		2194	2306	2418	2530	2642
400		2075	2303	2530	2758	2985

Die „theoretische“ Lösungswärme, die bei der Lösung von 1 Mol Salz in der gesättigten Lösung entwickelt werden müßte, ist

$$+219 \quad +165 \quad +3 \quad -620 \quad -1221$$

Die Kurven schneiden sich bei 15° , und Holsboer bringt diese Erscheinung mit der von Cohen und Kohnstamm behaupteten Umwandlung in Zusammenhang.³⁷⁴⁾

Von anderen Bestimmungen sind die J. Thomsens³⁷⁵⁾ zu erwähnen. Er fand bei 18° die Wärmetönung für Auflösung zu 400 H_2O auf 1 CdSO_4



woraus folgt



Die Bildungswärme berechnet Thomsen³⁷⁵⁾ auf Grund älterer Daten zu



Wässrige Lösung. Zunächst seien thermische Daten mitgeteilt. Holsboer³⁷³⁾ bestimmte die spez. Wärmen S zwischen 12° und 16° für Lösungen von 1 Mol CdSO_4 auf n Mol H_2O zu

a	500	200	150	100	50	25	20	17	14,9	14,4
S	0,972	0,940	0,925	0,893	0,813	0,696	0,656	0,638	0,615	0,610

Nach demselben Autor betragen die Verdünnungswärmen³⁷⁷⁾ w cal, wenn eine Lösung von n Mol H_2O pro Mol CdSO_4 mit m Mol H_2O verdünnt wird.

n	m	w
13,6	2	388
15,6	5	375
6	10	285

n	m	w
30,6	20	200
50,6	49,4	170
100	100	130
200	200	112
400	100	38

Spezifisches Gewicht. Wenn m Mol $\frac{1}{2}$ CdSO_4 im Liter enthalten sind, so beträgt $d_4^{18^\circ}$

m	$d_4^{18^\circ}$ (Wershoven ³⁷⁸))	m	$d_4^{18^\circ}$ (Grottrian ³⁷⁹))
0,002779	0,99893	0,0272	1,0015
0,004820	0,99915	0,0983	1,0085
0,009610	0,99961	0,514	1,0495
0,0272	1,0015	1,076	1,1039
0,04792	1,0034	3,727	1,2955
0,09543	1,0084	5,133	1,4756

Bei $18,2^\circ$ ist ³⁸⁰) für eine Lösung von p ‰ CdSO_4

p	d_{18°	p	d_{18°
0,464	1,0033	13,27	1,1437
1,45	1,0132	18,35	1,2084
2,52	1,0242	24,17	1,2901
6,12	1,0619	26,85	1,3310
7,46	1,0704	31,53	1,4080
9,97	1,1045	39,86	1,5639

Bei $18,5^\circ$ ist $d_4^{18,5^\circ}$, auf das Vakuum reduziert, für Lösungen von n Mol H_2O auf 1 CdSO_4 ³⁸¹)

n	424,4	260,4	162,9	95,6	49,4	32,4
$d_4^{18,5^\circ}$	1,02461	1,040795	1,06537	1,11082	1,21020	1,31285
		n	18,10	18,07	15,81	
		$d_4^{18,5^\circ}$	1,52724	1,52829	1,59169.	

Bei 0° beträgt nach Jones und Getman ³⁷⁶) das Gewicht von 25 ccm Lösung w , wenn c Mol CdSO_4 im Liter sind.

c	w
0,063	25,3901
0,125	25,8190
0,250	26,7706
0,500	28,4801
0,625	29,3056
0,875	30,9872
1,000	31,8010
1,250	33,4343

Über den Zustand des Salzes in der wässrigen Lösung gestatten reichlich vorhandene Experimentaldaten einige Schlüsse zu ziehen. Was zunächst die elektrische Leitfähigkeit betrifft, so ist bei 18° ³⁸²) für m Mol $\frac{1}{2}\text{CdSO}_4$ pro Liter die äquivalente Leitfähigkeit A in reziproken Ohm:

m	A
5	8,5
4	11,0
3	14,2

m	Λ	γ
2	17,9	
1	23,58	
0,5	28,74	
0,2	35,89	0,31
0,1	42,21	0,37
0,05	49,60	0,43
0,02	60,95	0,53
0,01	70,34	0,61
0,005	79,70	0,69
0,002	90,9	0,79
0,001	97,7	0,85
0,0005	102,9	0,89
0,0002	107,6	0,93
0,0001	109,8	0,95

Bei 25° wurde die molare Leitfähigkeit μ für die molare Verdünnung v des CdSO_4 gefunden ³⁸³⁾.

v	μ
0,75	34,6
1,50	48,5
3,00	60,9
7,50	76,5
15,0	90,0
30,0	106,4
75,0	122,9
150,0	138,8
300	176,1
750	203
1500	223
3000	240,5

Kahlenberg ³⁸⁴⁾ bestimmte bei 0° und 95° für v Liter pro $\frac{1}{2}\text{CdSO}_4$ die Äquivalentleitfähigkeit

v	Λ_{0°	Λ_{95°
0,25	6,7	—
0,5	11,4	—
1,0	15,0	52,5
2	18,3	63,6
4	21,3	74,6
8	25,0	88,6
16	29,5	109,7
32	34,3	131,2
64	40,3	152,2
128	45,6	185,6
256	50,5	225,1
512	56,2	261,7
1024	59,4	300,2
2048	62,4	357,0
4096	63,4	—

Jones und Getman ³⁷⁶⁾ fanden bei 0° für v Liter pro Mol CdSO_4 die Molarleitfähigkeit μ .

v	μ
0,80	21,8
1,00	28,9
1,14	33,6
1,60	36,45
2,00	41,0
4,00	50,05
8,00	60,05
16,00	71,5

Zwischen diesen Zahlen für 0° besteht eine die Experimentalfehler weit überschreitende Diskrepanz. Die Zahlen von Jones und Getman erscheinen viel zu groß.

Die Berechnung der Dissoziationsgrade γ kann nur mit sehr geringer Wahrscheinlichkeit erfolgen, da der Grenzwert Δ_0 noch weniger genau bekannt ist als bei anderen Cd-Salzen. Wenn man die kleinste bis jetzt gemessene Überföhrungszahl des $\frac{1}{2}\text{SO}_4$ benutzt, die (s. u.) den Wert $n=0,620$ hat, so wird, mit $v_{\frac{1}{2}\text{SO}_4}=69$, bei $18^\circ \Delta_0=111$, mithin $u_{\frac{1}{2}\text{Cd}}=42$, also bedeutend kleiner als bei den Haloiden. Wir wählen darum den von Kohlrausch und Grüneisen³⁸²⁾ extrapolierten Wert 115,5. Mit dieser Zahl sind die hier gegebenen γ_{18° berechnet.

Man erkennt, daß das CdSO_4 ein relativ schwach dissoziiertes Salz ist, das dem CdJ_2 ungefähr gleichkäme, falls man von der das ganze Bild verzerrenden Komplexbildung absehen dürfte.

Den Temperaturkoeffizienten der Leitfähigkeit gibt Wershoven zu 0,0220 an.

Dampfdruckdepression³⁸⁵⁾: Wenn eine Lösung n Mol CdSO_4 pro kg H_2O enthält, so beträgt die absolute Dampfdruckdepression bei $100^\circ \Delta p$ mm Hg.

n	0,5	1	2
Δp	4,1	8,9	18,1
$\frac{\Delta p}{p}$	0,0054	0,0117	0,0238
$\frac{\Delta p}{pn}$	0,0108	0,0117	0,0119

Die Gefrierdepression wurde früher gemessen von Raoult,³⁸⁶⁾ Arrhenius³⁸⁷⁾ und Rüdorff.³⁸⁸⁾ Hier seien neuere Daten mitgeteilt:

a Gramm CdSO_4 in 1000 g H_2O ³⁸⁹⁾			1 Mol Salz in v Litern ³⁸³⁾			m Mol CdSO_4 auf 1000 g H_2O ³⁹⁰⁾		
a	Δ	$i-1$	v	Δ	$i-1$	m	Δ	$i-1$
30,7	0,313	0,15	7,54	0,263	0,07	0,000239	0,000842	0,90
86,1	0,742	<0	3,75	0,505	0,02	0,000704	0,002358	0,81
156,4	1,322		2,50	0,714	<0	0,001511	0,004817	0,72
226,5	1,968		1,876	0,933	<0	0,002685	0,008189	0,64
261,2	2,330		1,500	1,175		0,006560	0,01858	0,53
			1,000	1,774		0,01151	0,03094	0,45
			0,7502	2,526		0,01950	0,04957	0,37
						0,03120	0,07556	0,31

Jones und Getman³⁷⁶⁾ fanden für c Mol CdSO_4 pro Liter

c	Δ
0,063	0,201
0,125	0,356
0,250	0,658
0,500	1,259
0,625	1,588
0,875	2,388
1,000	2,870
1,250	4,160

Aus der starken Differenz der aus Gefrierdepressionen und Leitfähigkeiten berechneten Dissoziationsgrade, insbesondere aber aus dem Umstande, daß schon bei 0,4 molarer Lösung $i < 1$ ist, folgt mit ziemlich großer Wahrscheinlichkeit der Schluß, daß die Lösung schon bei geringen Konzentrationen reichliche Mengen komplexer Verbindungen enthält.³⁹¹⁾

Die Siedepunkterhöhung Δ ist ebenfalls von Kahlenberg³⁹²⁾ gemessen worden (a = Gramm CdSO_4 auf 1000 g H_2O):

a	Δ	a
		208
45,63	0,105	0,219
109,7	0,215	0,526
150,9	0,287	0,725
206,6	0,356	0,994
247,6	0,385	1,19
277,7	0,494	1,33
329,3	0,604	1,58
367,6	0,699	1,76
412,8	0,820	1,98
473,8	0,988	2,28
534,7	1,164	2,56

Die Berechnung ergibt auch hier stets $i < 1$, was zu dem Früheren stimmt. Übrigens muß bei genauen Versuchen Rücksicht auf die Hydrolyse genommen werden, welche in 0,2 normaler Lösung 0,017 Proz. beträgt³⁹²⁾ und die Leitfähigkeit merklich beeinflussen kann.

Die Überföhrungszahl des Anions beträgt für die verdünntesten³⁹³⁾ der Untersuchung unterworfenen Lösungen $n_{1/2\text{SO}_4} = 0,619$ für 0,0109 bis 0,00356 Mol $\frac{1}{2}\text{CdSO}_4$ pro Liter. Außerdem liegen Messungen konzentrierter Lösungen bei verschiedenen Temperaturen vor.³⁹⁴⁾

ca. 11,6 Proz. CdSO_4				ca. 34,8 Proz. CdSO_4			
$t^0 = 8^0 - 10^0$	40^0	$79^0 - 80^0$		$t^0 = 8^0 - 10^0$	$39^0 - 40^0$	$68^0 - 70^0$	
$n_{1/2\text{SO}_4} = 0,672$	0,717	0,719		$n_{1/2\text{SO}_4} = 0,803$	0,810	0,797	

Diese Unterschiede überschreiten kaum die Versuchsfehler.

Die ausführlichsten Angaben macht Redlich.³⁹⁵⁾ Er fand für v Liter pro Mol CdSO_4 bei 18^0

v	1,00	2,00	3,99	7,99	11,96	15,92	24,02	35,05	48,07
n_{SO_4}	0,746	0,706	0,677	0,659	0,646	0,638	0,632	0,628	0,621

Der Umstand, daß erst bei $v = 50$ der Grenzwert 0,62 erreicht wird, deutet darauf, daß die Konstitution des Salzes in Lösung nicht weniger abnorm ist als die der Haloide.

Absolute Ionengeschwindigkeit³⁹⁵⁾ Eine Lösung von c Mol CdSO_4 pro Liter zeigt für das Cd^{++} -Ion die absolute Geschwindigkeit v in $\frac{\text{mm}}{\text{sec}}$, wenn es unter dem Potentialgefälle von 1 Volt pro mm steht.

c	v
0,1	0,023
0,04	0,029
0,02	0,026
0,01	0,036
0,005	0,045
0,0025	0,051

Auch diese Zahlen weisen auf die komplizierte Zusammensetzung der Lösung hin.

Sehr ausgedehnte Untersuchungen liegen ferner über die elektromotorischen Kräfte von Ketten vor, welche CdSO_4 enthalten. Die wichtigste dieser Kombinationen, das Cadmiumnormalelement, wird weiter unten besprochen werden.

Konzentrationsketten nach $\text{Cd}_{\text{Amalg.}} - \text{CdSO}_4 \text{ I} - \text{CdSO}_4 \text{ II} - \text{Cd}_{\text{Amalg.}}$ ergaben:

1. mit 3 Proz. Amalgam und c_1 resp. c_2 Mol/Liter³⁹⁶⁾

c_1	c_2	π Volt	π ber.
1	0,5	0,0063	0,0059
1	0,25	0,01242	0,0124
1	0,125	0,0186	0,0192,

2. mit flüssigem Amalgam und m resp. n Mol H_2O auf 1 CdSO_4 bei 18° (π in Millivolt)³⁹⁷⁾

Flüssiges Amalgam				Amalgamiertes Cd			
m	$n=2,01$	1,02	0,235	m	$n=2,01$	1,02	0,235
6,10	20,6	26,3	35,9	6,10	14,5	19,6	24,5
2,01	—	5,7	15,3	2,01	—	5,1	10,0
1,02	—	—	9,6	1,02	—	—	4,9

Die beiden letzten Tabellen zeigen, wie wesentlich die Definition der Metallelektrode ist. Der ersten sind als $\pi_{\text{ber.}}$ die aus der Nernstschen Formel unter Vernachlässigung der Diffusionspotentialdifferenz berechneten Werte beschrieben, wozu die Dissoziationsgrade aus der Leitfähigkeitstabelle (s. o.) entnommen sind.

Den Potentialsprung $\text{Cd} \longrightarrow \text{CdSO}_4 \frac{1}{2}$ äquivalent fand Neumann³⁹⁸⁾ zu +0,162 Volt (bezogen auf die Calomelektrode mit 0,560 Volt).

Labendzinski³⁹⁹⁾ maß Ketten des Schemas $\text{Cd} - \text{CdSO}_4 - \text{Calomel}$ -elektrode (0,560 Volt) und fand für c Mol $\frac{1}{2}\text{CdSO}_4$ pro Liter

Nr.	c	π	Cd^{++}	α
1	1	0,712	2,5	33
2	0,1	0,720	1	6
3	0,01	0,721	(1)	(1)

Daraus folgt unter Berücksichtigung der Diffusionspotentialdifferenz, daß die 0,1 und 0,01 normalen Lösungen fast die gleiche Konzentration an Ionen Cd^{++} besitzen, die 1 normale nur 2,5mal soviel, während die Leitfähigkeit α

auf das 6- resp. 23fache der verdünntesten Lösung ansteigt, also im wesentlichen von anderen Ionenarten als Cd^{+2} , nämlich von komplexen, wie etwa $[\text{CdSO}_4 \cdot \text{SO}_4]^{--}$ und $[\text{Cd} \cdot \text{CdSO}_4]^{+}$ herrühren muß.

Andere Messungen liegen vor von Braun⁴⁰⁰⁾ und Immerwahr.¹⁰⁴⁾

Die dem Westonelemente zugrunde liegende Kombination $\text{Cd}_{\text{Amalg}} | \text{CdSO}_4, \text{Hg}_2\text{SO}_4, \text{Hg}$ hat Godlewski⁴⁰¹⁾ bei 25° gemessen. In der Schaltung als Doppelkette, wobei die eine Konzentration stets 0,001 Mol CdSO_4 /Liter war, ergab sich für h Gramm CdSO_4 pro g H_2O die Spannung π Millivolt

$h \cdot 10^4$	π
10,4	21,2
25	26,0
40,6	29,3
70	34,3
104	38,0
150	41,5
200	44,4
250	46,7
350	50,4
411	52,4
500	54,8
600	57,0
700	58,9
800	60,5
900	62,0
1044	63,8
1500	68,1
2114	72,2
2500	74,4
3000	76,9
3219	77,9
3800	80,4
4347	82,8
4600	84,2
5000	86,6
5516	90,1

Der Temperaturkoeffizient des Potentialsprunges $\text{Cd} - \text{CdSO}_4$ wurde für 0,5 molare Lösung zu $+6,69 \cdot 10^{-4}$ Volt pro Grad gefunden.⁴⁰²⁾ Eine Untersuchung von Hagenbach⁴⁰³⁾ ergab den Potentialsprung für 70° Temperaturdifferenz bei v Liter pro Mol zu π Millivolt,

v	π	$\frac{d\pi}{dt}$	v	π	$\frac{d\pi}{dt}$
1	66,70	0,954	128	62,93	0,900
2	67,32	0,964	256	61,72	0,883
4	66,75	0,955	512	61,00	0,871
8	66,36	0,949	1024	59,67	0,854
16	65,42	0,935	2048	58,40	0,835
32	64,48	0,920	4096	55,84	0,798
64	63,01	0,901			

und da nach Bouty⁴⁰⁴⁾ die Kurve für jede einzelne Lösung bis 60° linear

verläuft, so ergeben sich daraus die obenstehenden $\frac{d\alpha}{dt}$, die von der Verdünnung nur verhältnismäßig wenig abhängen.

Den Temperaturkoeffizienten der Kette $\text{Hg} - \text{HgSO}_4 - \text{CdSO}_4 \text{ kalt} - \text{CdSO}_4 \text{ warm} - \text{HgSO}_4 - \text{Hg}$ bestimmte Gockel.⁴⁶⁵⁾

Zähigkeit Wagner⁴⁶⁶⁾ fand bei t° die relative (auf H_2O von 0° bezogene) Zähigkeit η an Lösungen von p Proz. Salz zu

t°	$p = 22,011$	14,660	7,140
15	$\eta = 1,2081$	0,9017	0,7890
25	0,9185	0,7236	0,6181
35	0,7345	0,5808	0,4990
45	0,6013	0,4878	0,4131

Bei 25° ist η für $\frac{1}{2}\text{CdSO}_4 = v$ Liter, bezogen auf H_2O von 25°

v	1	2	4	8
η	1,3476	1,1574	1,0780	1,0335

Oberflächenspannung. Die kapillare Steighöhe in einer Röhre vom Radius 0,25 mm beträgt bei 15° für Lösungen von a Gramm CdSO_4 in 100 g H_2O h mm.⁴⁶⁷⁾

a	0	5	10	15	20	25
h	60,6	57,8	55,6	53,6	51,7	50,2

Enthält die Lösung 1 Mol $\frac{1}{2}\text{CdSO}_4$ pro Liter, so ist $h = 56,0$ und da $d_{15^\circ} = 1,098$, so wird $h \cdot d = 61,5$.⁴⁶⁸⁾ Für diese Lösung ist also die Oberflächenspannung im Verhältnis $\frac{61,5}{60,6} = 1,015$ größer als die des H_2O .

Andere Bestimmungen bei 15° nach derselben Methode stammen von J. Traube.⁴⁶⁹⁾ Bezeichnet r den Radius und sind g Gramm CdSO_4 in 100 g H_2O , so ist $r \cdot h = a^2$ und die Oberflächenspannung $\alpha = \frac{a^2 \cdot d_{15^\circ}}{2}$

	g	d ₁₅	a ² _{qmm}	α	
	10	1,0790	13,827	7,460	
	20	1,1522	13,021	7,501	
g=	2,5	5	10	15	20
a ² =	14,559	14,299	13,827	13,455	13,021

Für H_2O ergab sich $a^2 = 14,77$, $\alpha = 7,385$.

Die Neutralisationswärme von H_2SO_4 und $\text{Cd}(\text{OH})_2$ in verdünnter Lösung beträgt 23824 cal.⁴¹⁰⁾

Die Diffusionsgeschwindigkeit war Gegenstand der Untersuchungen von Seitz⁴¹¹⁾ und Coleman.⁴¹²⁾

Optische Eigenschaften. Das Brechungsvermögen für die D-Linie ergab sich für a Gramm CdSO_4 in 100 g Lösung bei 15° zu⁴¹³⁾

a	25,121	18,172	9,942	5,639
$d_{15^\circ}^{4^\circ}$	1,297	1,200	1,101	1,055
n_D	1,37345	1,36149	1,34811	1,34223

Jones und Getman³⁷⁶⁾ haben eine Reihe von 0,06 bis 1,2 Mol pro Liter gemessen, jedoch geben sie die Temperatur nicht an.

Kannonikoff⁴¹⁴⁾ fand bei $21,6^\circ$ für H_∞ , D , H_β

d_{20°	n_∞	n_D	n_β	A	B
1,0965	1,3442	1,3461	1,3506	1,3365	0,3330

wo A und B die Konstanten der Cauchyschen Formel sind; H. Jahn⁴¹⁵⁾ gibt für b Gramm CdSO_4 pro ccm

b	d_{20}^{20}	n_D	n_D	n_D	A	B	S
0,2211	1,1781	1,3549	1,3568	1,3613	1,3470	0,3370	0,42163
0,1130	1,0908	1,3435	1,3454	1,3497	1,3360	0,3242	0,47334

S bedeutet hier die auf H_2O bezogene spezifische elektromagnetische Drehung der Polarisationssebene. Die gleiche Eigenschaft wurde von Schönrock⁴¹⁶⁾ untersucht.

Über das Verhalten des CdSO_4 in nichtwässriger resp. nicht reinwässriger Lösung ist zunächst zu erwähnen, daß die Löslichkeit in verdünnter H_2SO_4 von Engel⁴¹⁷⁾ untersucht wurde. Bei a Mol $\frac{1}{2}\text{H}_2\text{SO}_4$ in 10 g H_2O lösen sich b Mol $\frac{1}{2}\text{CdSO}_4$ und die Lösung zeigt das spez. Gewicht d

a	0	3,87	12,6	28,1	43,3	47,6	53,8	71,5
b	71,6	70,9	62,4	50,6	40,8	37,0	32,7	23
d	1,609	1,591	1,545	1,476	1,435	1,421	1,407	1,379

Die relative Depression der Leitfähigkeit bei 25° durch Zusatz von 1 Volumprozent Nichtleiter beträgt für m Mol $\frac{1}{2}\text{CdSO}_4$ pro Liter⁴¹⁸⁾

m	CH_3OH	$\text{C}_2\text{H}_5\text{OH}$	iso $\text{C}_3\text{H}_7\text{OH}$	$(\text{C}_2\text{H}_5)_2\text{O}$	$(\text{CH}_3)_2\text{CO}$
1,5	0,0311	0,0400	0,0416	0,0364	0,0342
0,1	0,0301	0,0390	0,0424	0,0365	0,0325
0,01	0,0263	0,0353	—	0,0329	0,0273

Den Potentialsprung $\text{Cd} - \text{CdSO}_4$ in CH_3OH und $\text{C}_2\text{H}_5\text{OH}$ fand Luther⁴¹⁹⁾ für p Proz. Alkoholgehalt zu

m	p =	0	10	20	30	50
CH_3OH	0,05	—0,208	—0,225	—	—0,254	—0,263
	0,005	—0,207	—0,223	—	—0,261	—0,266
$\text{C}_2\text{H}_5\text{OH}$	0,05	—0,208	—0,323	—	—0,372	—0,364
	0,005	—0,207	—0,329	—0,377	—0,382	—0,380

Die Oberflächenspannung in verdünnten $\text{C}_2\text{H}_5\text{OH}$ bestimmte J. Traube.⁴²⁰⁾ Er fand bei 16°

10 Volumprozent $\text{C}_2\text{H}_5\text{OH}$				5,3 Volumprozent $\text{C}_2\text{H}_5\text{OH}$			
g	d_{16}	a^2	α	g	d_{16}	a^2	α
10	1,0647	9,376	4,991	10	1,0707	10,688	5,723
5	1,0266	9,879	5,071	5	1,0324	11,233	5,798
0	0,9859	10,436	5,144	0	0,9916	11,750	5,826

Vielleicht ist hier noch auf eine eigentümliche Verbindung hinzuweisen, die Baskerville beschreibt.⁴²¹⁾ Es entstand nämlich aus $3\text{CdSO}_4 \cdot 8\text{H}_2\text{O}$, wenn bei 150° HCl darüber geleitet wurde, $3\text{CdSO}_4 \cdot 4\text{HCl} \cdot 4\text{H}_2\text{O}$. Indessen steht die Individualität dieses Stoffes nicht fest und es läßt sich dagegen die Beobachtung desselben Autors anführen, daß bei 200° $3\text{CdSO}_4 \cdot 8\text{HCl}$ entsteht, welches allmählich in CdCl_2 übergeht, denn es folgt aus dieser, daß vielleicht nur gerade zufällig die betr. Molarverhältnisse abgefangen wurden. Für die Existenz von derartigen Stoffen könnte man dagegen die Beobachtung anführen, daß durch CdSO_4 -Zusatz der Siedepunkt einer NaCl -Lösung, also auch die darin befindliche Molekelzahl, stark erniedrigt wird.⁴²²⁾

Die Chemie des Cadmium-Normalelements.⁴²³⁾ Das Cadmium-Normalelement, in einer Spezialkonstruktion auch Weston-Element genannt,

hat sowohl aus vorverhältnismäßig kurzer Zeit konstruiert, als Spannungsnormal für die Metallreihe große Bedeutung erlangt und steht auf dem Punkte, das bisher benutzte Lanthan-Cer-Element ganz zu verdrängen. Sein Hauptvorteil vor diesem ganz analog konstruierten Elemente besteht in der geringen Größe des Temperaturkoeffizienten.

Es wurde konstruiert von Weston im Jahre 1891 und entspricht dem Schema $\text{Cd} - \text{CdSO}_4 - \text{H}_2\text{SO}_4 - \text{Hg}$. Das Cd wird als Amalgam angewendet und zwar in der Konzentration von 10 bis 15 Gewichtsprozent Cd in das früher benutzte 14,3-prozentige Amalgam Veranlassung zu bei Temperaturschwankungen unmerklichen Unregelmäßigkeiten gibt deren Natur noch nicht ganz aufgeklärt ist. Indessen scheint es auch nützlich, ein geringes konzentriertes Amalgam zu verwenden, da das elektrochemische Verhalten von der Konzentration mit der es ja um den vierten Betrag der zwischen Hg und Cd bestehenden Spannungsdifferenz variiert und in dem Bereich von 5 bis etwa 14 Proz. Cd praktisch unabhängig ist¹²⁶. Das 13-prozentige Amalgam bildet kein homogenes Gefüge, sondern zwei Phasen.

Was die Lösung des CdSO_4 anlangt, so unterscheidet man in der Praxis zwei Typen, das von der Reichsanstalt eingehend untersuchte Element mit sehr geringiger Lösung von als Bodenkörper zuzusetzendem $\text{CdSO}_4 \cdot \frac{1}{2} \text{H}_2\text{O}$, und das von der Westinghousgesellschaft in der Handel gebrachte, welches kein festes $\text{CdSO}_4 \cdot \frac{1}{2} \text{H}_2\text{O}$ enthält, sondern nur die bei 4° geringige Lösung. Der Vorteil der zweiten Form besteht im wesentlichen darin, daß der Temperaturkoeffizient praktisch gleich Null ist, während die Gegenwart des festen $\text{CdSO}_4 \cdot \frac{1}{2} \text{H}_2\text{O}$ eine merkliche, wenn auch sehr geringe Größe der Temperaturabhängigkeit bedingt. Das Element mit festem Salz zeigt die elektrochemische Kraft

$$E_0 = 1.0186 - 0.00095(t^\circ - 20^\circ) - 0.00000065(t^\circ - 20^\circ)^2,$$

das andere praktisch konstant 1.0190 in (internat.) Volt.¹²⁷

Wenn die insbesondere von der Reichsanstalt gegebenen Vorschriften für Konstruktion und Behandlung eingehalten werden, so stellt sich das Element als das zurzeit zuverlässigste Normalelement dar. Es muß indessen erwähnt werden, daß dies eine Zeitlang zweifelhaft war, weil die Behauptung vorlag, daß sowohl das feste Cd-Salz als auch das Amalgam gewisse Umwandlungen erlitten. Soweit dies den von Cohen u. a. vermuteten Umwandlungspunkt des $\text{CdSO}_4 \cdot \frac{1}{2} \text{H}_2\text{O}$, der bei ca. 15° liegen sollte, betrifft, sind die einschlägigen Arbeiten im Abschnitt CdSO_4 angeführt. Was dagegen die Abnormität des Cd-Amalgams mit 14,3 Proz. Cd angeht, so genügt die Bemerkung, daß, da die Mischungsreihe der Amalgame nicht ohne Unstetigkeit verläuft, das Element allerdings zwar bei gewissen Konzentrationen der oben gegebenen Spannungsformel nicht gehorcht, sehr wohl aber bei richtig gewählten Verhältnissen, und daß es zwischen 0° und 40° gebraucht werden kann. Über die Eigenschaften der Amalgame finden sich nähere Angaben bei B. J. 114.

Der Einfluß des Druckes auf das Element wurde von R. Ramsey¹²⁸ untersucht. Bei einer 10proz. Lösung von CdSO_4 ergab sich pro cm Höhe eine Polarisation von $1.75 \cdot 10^{-5}$ Volt, bei 46proz. Lösung $4.78 \cdot 10^{-5}$. Die motorische Kraft steigt linear mit dem Drucke an (bis 300 Atmosphären).

Cadmiumsulfid. Das Cadmiumsulfid $\text{CdSO}_3 = 192.5$ wird von Ramsey¹²⁹ als ein undeutlich kristallisierendes Salz von der Formel CdSO_3

u. er erhielt es aus $\text{CdCO}_3 - \text{SO}_2$. Denigès¹³⁰ konnte gute

Kristalle dadurch erhalten, daß er die Lösung sauer hielt, wodurch die Geschwindigkeit der Fällung verlangsamt werden muß. Er schreibt dem Salze die Formel $\text{CdSO}_3 \cdot \frac{3}{2}\text{H}_2\text{O}$ zu, dagegen entsteht nach Seubert und Elten⁴²⁹⁾ in der Kälte $\text{CdSO}_3 \cdot 2\text{H}_2\text{O}$, heiß das Anhydrid. Die Formulierung als Dihydrat stimmt auch zu den Analysen der anderen Forscher.

An der Luft oxydiert es sich langsam (Rammelsberg).

Cadmiumthiosulfat. Durch Umsatz von CdSO_4 mit BaS_2O_3 ⁴³⁰⁾ oder SrS_2O_3 in konzentrierter Lösung erhält man ein dickes Öl, das kristallinisch zu $\text{CdS}_2\text{O}_3 \cdot 2\text{H}_2\text{O}$ erstarrt. Die Kristalle gehören dem monoklinen System an, färben sich allmählich gelb und verlieren über H_2SO_4 kein H_2O .⁴³¹⁾

Eine neutrale Cd^{++} -Salzlösung gibt, mit $\text{Na}_2\text{S}_2\text{O}_3$ versetzt, beim Kochen CdS .⁴³²⁾

Cadmiumdithionat, $\text{CdS}_2\text{O}_6 \cdot 6\text{H}_2\text{O}$, kristallisiert triklin und hat das spez. Gewicht 2,272.⁴³³⁾

Cadmiumselenat, $\text{CdSeO}_4 \cdot 2\text{H}_2\text{O}$, bildet luftbeständige, sehr leicht lösliche Kristalle, verliert bei 100° 1 H_2O ⁴³⁴⁾, kristallisiert rhombisch mit $a:b:c = 1:0,9753:0,8764$ ⁴³⁵⁾ und hat das spez. Gewicht 3,632.

Seine Lösung läßt sich stark übersättigen.⁴³⁴⁾

Cadmiumselenit. Cadmiumselenit, $\text{CdSeO}_3 = 239,6$, bildet als Anhydrid kleine rhombische Prismen, die sich in H_2O nicht merklich lösen.⁴³⁶⁾ Man erhält es als $\text{CdSeO}_3 \cdot \frac{3}{2}\text{H}_2\text{O}$ aus CdCl_2 und Na_2SeO_3 , oder aus dem sauren Salze bei 200° als Anhydrid.⁴³⁷⁾

Das Selenit kann saure Salze bilden, wenn es aus Lösungen kristallisiert, die freie Säure enthalten. So erhält man $\text{H}_2\text{Cd}_3(\text{SeO}_3)_4$, $\text{H}_2\text{Cd}_3(\text{SeO}_3)_4\text{H}_2\text{O}$ und Anhydride dieser Salze, z. B. CdSe_2O_6 , in großen, gelben, rhombischen Kristallen.⁴³⁷⁾

Ein anderes Salz, $\text{H}_2\text{Cd}_2(\text{SeO}_3)_3$, bildet trikline Kristalle, ist bei 100° beständig und geht, mit H_2O auf 200° erhitzt, in neutrales Selenit über.⁴³⁷⁾

Cadmiumnitrat. Cadmiumnitrat, $\text{Cd}(\text{NO}_3)_2 = 236,5$, wird im allgemeinen als Tetrahydrat $\text{Cd}(\text{NO}_3)_2 \cdot 4\text{H}_2\text{O}$ erhalten.⁴³⁸⁾

d_4^{14} beträgt 2,450, $d_4^{20} = 2,460$.⁴³⁹⁾

Über das Verhalten des Salzes bei verschiedenen Temperaturen kann folgendes bemerkt werden. Der Schmelzpunkt liegt bei $59,5^\circ$ ⁴⁴⁰⁾, der Siedepunkt bei 132° .⁴⁴¹⁾ Von 0° bis $+59,5^\circ$ erstreckt sich die Löslichkeitskurve von $\text{Cd}(\text{NO}_3)_2 \cdot 4\text{H}_2\text{O}$. Bei 65° erhält man kleine Nadeln von $\text{Cd}(\text{NO}_3)_2 \cdot 2\text{H}_2\text{O}$.⁴⁴²⁾ Der kryohydratische Punkt⁴⁴²⁾ liegt bei -16° , das geschmolzene Kryohydrat hat die Zusammensetzung $\text{Cd}(\text{NO}_3)_2 \cdot 9\text{H}_2\text{O}$ und wird von Funk als Individuum aufgefaßt. Es sei t° die Celsius-temperatur, L die Löslichkeit in g $\text{Cd}(\text{NO}_3)_2 \cdot 4\text{H}_2\text{O}$ auf 100 g Lösung, L_2 die Anzahl Mol H_2O auf 1 Mol $\text{Cd}(\text{NO}_3)_2$, so ist (nach Funk)

t°	L_1	L_2
0	52,31	11,96
+18	55,90	10,34
+30	58,40	9,34
+40	61,42	8,24
+59,5	76,54	4,00

Für das Hydrat mit $9\text{H}_2\text{O}$ verläuft die Kurve wie folgt:

t^0	L_1	L_2
—13	37,37	21,98
—1	47,33	14,59
+ 1	52,73	11,76

bei —16 schließt sich die Eiskurve an, vgl. unten.

Der Dampfdruck des H_2O über den Kristallen beträgt⁴¹³⁾ bei 20° in mm Hg

$Cd(NO_3)_2 \cdot 4H_2O$ trocken	9,3
$Cd(NO_3)_2 \cdot 2,5H_2O$	8,4
$Cd(NO_3)_2 \cdot 2,1H_2O$	<3

Der in der Kurve anscheinend vorhandene Knick deutet auf das Vorhandensein des Dihydrats hin.

Bei 100° im Vakuum zerfällt das Tetrahydrat und im Rückstande bleiben $Cd(NO_3)_2 \cdot 2H_2O$ und CdO .⁴⁴⁴⁾

Die wässrige Lösung von $Cd(NO_3)_2$ zeigt bei 17,5° folgende auf das Vakuum reduzierte spez. Gewichte⁴⁴⁵⁾ (p = Gewichtsprozent Salz):

p	$d_{17,5}$	p	$d_{17,5}$	p	$d_{17,5}$
1	1,0106	22	1,2418	44	1,6252
3	1,0318	24	1,2702	46	1,6701
5	1,0528	26	1,2987	48	1,7155
7	1,0708	28	1,3277	49	1,7382
9	1,0888	30	1,3566	50	1,7608
10	1,0978	32	1,3890		
12	1,1194	34	1,4214		
14	1,1410	36	1,4572		
16	1,1640	38	1,4972		
18	1,1888	40	1,5372		
20	1,2134	42	1,5812		

Sind C Äquivalente $\frac{1}{2}Cd(NO_3)_2$ pro Liter in Lösung, so ist⁴⁴⁶⁾

C	d_{18}	C	d_{18}
$4,179 \cdot 10^{-3}$	0,99904	$86,8 \cdot 10^{-3}$	1,0070
8,492 "	0,99945	444 "	1,0416
21,23 "	1,0007	930 "	1,0875
29,51 "	1,0025	2047 "	1,1926
81,46 "	1,0065	3345 "	1,3124
		4957 "	1,4589
		6580 "	1,6034

Bei 0° ist nach Jones und Getman³⁷⁶⁾ für c Mol $Cd(NO_3)_2$ pro Liter das Gewicht von 25 ccm w.

c	w
0,0845	25,4292
0,1691	25,8508
0,3382	26,6982
0,6764	28,4477
1,0146	30,1584
1,6910	33,5444
2,7056	38,4807

Das $Cd(NO_3)_2$ ist, wie die Nitrate im allgemeinen, ein normales Salz von starker Dissoziation und läßt von der bei den Cadmiumhaloiden hervor-

tretenden Neigung zur Komplexbildung wenig erkennen. Dies beweisen die Messungen des Dissoziationsgrades.

Die äquivalente elektrische Leitfähigkeit Λ fand sich bei 18° wie folgt⁴⁴⁷⁾, wenn m die Konzentration von $\frac{1}{2}\text{Cd}(\text{NO}_3)_2$ pro Liter bei 18° bedeutet:

m	Λ	γ
7	10,0	0,09
5	17,9	0,16
4	23,8	0,21
3	31,5	0,28
2	41,2	0,37
1	54,3	0,48
0,5	63,9	0,57
0,2	74,2	0,66
0,1	80,8	0,72
0,05	86,4	0,77
0,02	92,5	0,82
0,01	96	0,86
0,005	100	0,89

Nimmt man Λ_0 (annähernd)⁴⁴⁸⁾ zu $50 + 62 = 112$ an, so ergeben sich die Dissoziationsgrade γ für das Schema $\frac{1}{2}\text{Cd}(\text{NO}_3)_2 \rightleftharpoons \frac{1}{2}\text{Cd}^{2+} + \text{NO}_3^-$, welche natürlich nur als rohe Werte betrachtet werden dürfen.

Bei 0° ist nach Jones und Getman³⁷⁶⁾ für v Liter pro Mol $\text{Cd}(\text{NO}_3)_2$ die Molarleitfähigkeit in reziproken Ohm

v	μ
0,29	11,30
0,32	14,35
0,37	20,87
0,42	29,15
0,59	41,0
0,98	60,9
1,48	68,9
2,95	86,4
5,91	98,8
11,83	106,2

Der Temperaturkoeffizient der Leitfähigkeit beträgt nach Wers-hoven im Mittel 0,0228.

Die Dampfdruckdepression des H_2O beträgt, wenn n Mol $\text{Cd}(\text{NO}_3)_2$ in 1 kg H_2O gelöst sind, bei 100° Δp ⁴⁴⁹⁾

n	0,5	1	2	3
Δp	15,9	36,1	78,0	122,2
$\frac{\Delta p}{p}$	0,021	0,047	0,102	0,161
$\frac{\Delta p}{p \cdot n}$	0,042	0,047	0,051	0,054

Gefrierpunktsbestimmungen⁴⁵⁰⁾ ergaben die Depressionen Δ für m Mol/Liter

m	Δ	$i-1=\gamma$
0,00100	0,0054	0,96
0,00298	0,0159	0,95
0,00492	0,0262	0,94
0,00690	0,0362	0,92
0,00876	0,0457	0,91
0,02000	0,1035	0,90
0,03600	0,1852	0,89
0,0488	0,2508	0,89

Jones und Getman³⁷⁶⁾ fanden für c Mol $\text{Cd}(\text{NO}_3)_2$ pro Liter die Depression Δ .

c	Δ
0,0845	0,443
0,1691	0,865
0,3382	1,802
0,6764	2,028
1,0146	6,540
1,6910	12,930
2,7056	26,000

Nach Funk⁴³⁹⁾ verläuft die Eiskurve für L_1 Gramm $\text{Cd}(\text{NO}_3)_2$ auf 100 g Lösung resp. L_2 Mol H_2O pro Mol $\text{Cd}(\text{NO}_3)_2$ wie folgt:

t	L_1	L_2
— 9,5	30,68	29,64
— 13	35,62	23,70
— 14,5	35,91	23,41

Die Kette $\text{Hg}/\text{HgO}/\text{Cd}(\text{OH})_2/\text{Cd}(\text{NO}_3)_2$ -Lösung von c Mol $\frac{1}{2}\text{Cd}(\text{NO}_3)_2$ pro Liter — Calomelektrode (0,560) ergab folgende Werte (π_1 für die ganze Kette, $\pi_2 = \pi_1 - 0,560$)⁴⁵¹⁾

Nr.	c	π_1	π_2	q	q'
1	1	0,695	0,135 ⁴⁵¹⁾	1:3	0,20 0,57
2	0,1	0,732	0,172	2:3	0,40 0,84
3	0,01	0,761	0,211		

so daß das Verhältnis der Dissoziationsgrade, berechnet unter Berücksichtigung der Diffusionspotentialdifferenz, q beträgt, während die Leitfähigkeit q' ergibt. Die Übereinstimmung ist zwar schlecht, doch immer noch besser als für CdCl_2 . Es muß auch berücksichtigt werden, daß der Kombination wegen der Verbindungsfähigkeit des $\text{Cd}(\text{NO}_3)_2$ mit den beiden benutzten Oxyden nicht sehr viel Zuverlässigkeit zugeschrieben werden darf. Zusatz von n Mol KNO_3 ergab folgende Werte:

c	n	π_1
1	1	0,695
0,1	1	0,732
0,01	1	0,761
0,1	0,1	0,723
0,01	0,01	0,749

Von anderen Ketten ist $\text{Cd} - \text{CdCl}_2 - \text{Cd}(\text{NO}_3)_2 - \text{Cd}$ gemessen⁴⁵²⁾ und es ergab sich dabei bedeutend höhere Cd^{++} -Ionenkonzentration in $\text{Cd}(\text{NO}_3)_2$ als in CdCl_2 .

Thermoketten vom Schema $\text{Cd}_{\text{Amalg.}} - \text{Cd}(\text{NO}_3)_2 \text{ I} - \text{Cd}(\text{NO}_3)_2 \text{ II} -$

Cd Amalg. gaben für 70° Temperaturdifferenz der beiden Lösungen die Potentialdifferenzen π in Volt bei der Verdünnung v Liter.⁴⁵³⁾

v	10	100	1000	10000
π	0,0640	0,0612	0,0519	0,0553

Der Brechungsexponent n für D-Linie ist (p = Gewichtsprozent auf Lösung bezogen):

p	$n_D^{454)}$
7,89	1,3426
12,14	1,3482

De Muynck⁴⁵⁵⁾ fand bei 15°

p	54,027	43,716	30,879	21,353	14,899	8,683
n_D	1,42920	1,40453	1,37904	1,36323	1,35386	1,34518

Eine Serie von 0,08 bis 3,4 Mol/Liter findet sich bei Jones und Getman³⁷⁶⁾, jedoch ohne Temperaturangabe.

Oberflächenspannung. Die Steighöhe h in mm in einer Röhre vom Durchmesser 0,5 mm beträgt bei 15° für eine Lösung von 1 Mol $\frac{1}{2}$ Cd(NO₃)₂ in 100 ccm H₂O $h=56,2$, das Produkt mit dem spez. Gewichte $d=1,091$ ist $d \cdot h=61,7$.⁴⁵⁶⁾

Viskosität. Lösungen vom Gehalte p Gramm Cd(NO₃)₂ auf 100 g Lösung resp. m Mol $\frac{1}{2}$ Cd(NO₃)₂ pro Liter zeigen bei t^0 die relative (auf H₂O von 0° bezogene) Zähigkeit η .⁴⁵⁷⁾

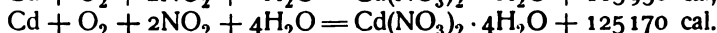
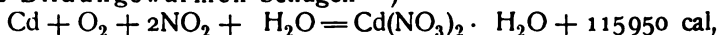
t^0				$t^0=25^0$, η auf H ₂ O bei 25° bezogen.	
	$p=22,36$	15,71	7,81	m	η
15	$\eta=0,8511$	0,7180	0,6195	1,000	1,1648
25	0,6903	0,5875	0,5013	0,500	1,0742
35	0,5729	0,4876	0,4112	0,250	1,0385
45	0,4753	0,4131	0,3404	0,125	1,0177

Hydrolyse. In 0,5 äquivalentnormaler Lösung beträgt die Hydrolyse 0,014 Proz.⁴⁵⁸⁾

Die Neutralisation von Cd(OH)₂ und 2HNO₃, beide in hochverdünnter Lösung, würde 20243 cal entwickeln, wenn man sie direkt messen könnte.⁴⁵⁹⁾

Lösungswärme. Die Auflösung von 1 Cd(NO₃)₂ H₂O in 399 H₂O entwickelt bei 18° +4180 cal, die von 1 Cd(NO₃)₂ · 4H₂O in 396 H₂O dagegen —5040.⁴⁶⁰⁾

Die Bildungswärmen betragen⁴⁶⁰⁾



Cadmiumnitrit, Cd(NO₂)₂, geht sehr leicht, z. B. über H₂SO₄ im Vakuum oder durch Behandeln mit H₂O, in basisches Cd(NO₂)₂ · CdO über.⁴⁶¹⁾

Cadmiumphosphate. Die komplizierten Gleichgewichtsverhältnisse der verschiedenen Phosphat-Ionen in wässriger Lösung, die das Auftreten einheitlicher Salzindividuen selbst bei stärkeren Basen, wie Ca (s. S. 145 ff.), erschwert, läßt für die Cd-Phosphate wegen der größeren Schwäche ihres Kations, der erheblich geringeren Löslichkeit des Hydroxyds und der dadurch gesteigerten Hydrolysierbarkeit schon a priori noch kompliziertere Verhältnisse vorhersehen; denn die Fällung von Cd-Salzlösungen mit Alkaliphosphat, d. h. mit einer Lösung, die neben den drei Ionen PO₄'''', HPO₄'' und H₂PO₄' infolge Hydrolyse noch OH'-Ionen enthält, gibt Gelegenheit zum Auftreten aller

vier möglichen Cd-Kombinationen, von denen je nach den Löslichkeitsprodukten mehrere gleichzeitig entstehen können. Da aber sowohl die ionen- wie die phasen-theoretische Behandlung noch aussteht, die übrigens hier durch die Wahrscheinlichkeit der Existenz Cd-komplexer Ionen noch verwickelt werden dürfte, so ist die Individualität der in der Literatur beschriebenen Verbindungen noch sehr zweifelhaft. Es mögen daher die einzelnen in der Literatur erwähnten Verbindungen gemeinsam abgehandelt werden.

Der erste Versuch zur Darstellung eines Cd-Phosphats stammt von Stromeyer.⁴⁶²⁾ Das gewonnene Präparat enthielt 69,28 Proz. CdO und 30,71 Proz. P_2O_5 und stimmt sonach fast genau zu der Formel $(CdO)_5(P_2O_5)_2$ oder $CdO \cdot 2Cd_2P_2O_7$. Indessen darf nicht bestimmt behauptet werden, daß hier ein scharf charakterisiertes Individuum vorliegt.

Das neutrale Orthophosphat wird aus Cd-Lösungen durch Na_2HPO_4 ⁴⁶³⁾ gefällt, mit Na_3PO_4 erhält man $Cd_3(PO_4)_2$ ⁴⁶³⁾, doch muß auf Grund der vom Darsteller mitgeteilten Analysen angenommen werden, daß das letztgenannte Salz mit Oxyd vermischt war, daß also das $Cd_3(PO_4)_2$ unter gewöhnlichen Bedingungen nicht rein erhalten wird. Der aus $CdCl_2$ oder $CdSO_4$ mit Na_2HPO_4 heiß gefällte Niederschlag gibt⁴⁶³⁾ in H_3PO_4 gelöst und mit Alkali gefällt, $H_2Cd_5(PO_4)_4 \cdot 4H_2O$, einen Stoff vom spez. Gewicht $d_{15^\circ} = 4,15$, dieser geht bei Rotglut in $Cd_5P_4O_{15}$ über, d. h. in das oben erwähnte Stromeyersche Präparat. Er kann aus H_3PO_4 -Lösung durch Erwärmen wieder abgeschieden werden, konzentriert man diese Lösung jedoch ohne Erhitzen, so fällt das gewöhnliche saure Salz $Cd(H_2PO_4)_2 \cdot 2H_2O$ aus. Dies bildet große trikline Prismen vom spez. Gewichte $d_{15^\circ} = 2,742$, verliert bei 100° $2H_2O$ und wird durch viel H_2O hydrolysiert. Schwarzenberg⁴⁶⁴⁾ stellte durch Füllen von $CdSO_4$ mit $Na_4P_2O_7$ ein weißes schweres Pulver dar, das aus SO_2 aq umkristallisiert werden konnte und der Formel $(H_2CdPO_4)_2 \cdot H_2O$ entsprach.⁴⁶⁵⁾ Es löste sich in $Na_4P_2O_7$ -Lösung, in Säuren und in NH_4OH , nicht in KOH.

Das Pyrophosphat, $Cd_2P_2O_7$, welches aus der Ammonverbindung NH_4CdPO_4 durch Glühen erhalten werden kann⁴⁶⁶⁾, wurde auch durch Schmelzen von $CdBr_2$ mit $Cd_3(PO_4)_2$ dargestellt⁴⁶⁷⁾, wobei es um so reichlicher entsteht, je weniger $CdBr_2$ vorhanden ist. Es bildet, so erhalten, schiefwinklige Lamellen von $d_{15^\circ} = 4,965$.

Das Metaphosphat, $Cd(PO_3)_2$, wurde von Fleischmann⁴⁶⁸⁾ dargestellt, ferner auch von Glatzel⁴⁶⁹⁾, der es auch als Pentahydrat erhielt.

Man hat diese Präparate auch als Salze von Polymetaphosphorsäuren aufgefaßt.

Des weiteren sind auch gemischte Phosphate bekannt.

Durch Füllen von Cd-Salz in NH_4OH -Lösung mittels Na_2HPO_4 entsteht $NH_4CdPO_4 \cdot H_2O$, dessen Fällung quantitativ nur dann erfolgt, wenn Na_2HPO_4 oder $(NH_4)_2HPO_4$ im Überschuß zugegen ist.⁴⁷⁰⁾

Bei 110° verliert es sein H_2O .⁴⁷⁰⁾

Ein diesem entsprechendes K-Salz ist ebenfalls bekannt⁴⁷¹⁾, desgl. das Na-Salz, beide jedoch wasserfrei: $KCdPO_4$ und $NaCdPO_4$; ferner $Na_4Cd(PO_4)_2$. Ein gemischtes Pyrophosphat, $Na_2CdP_2O_7$, entsteht als weißer kristalliner Stoff beim Schmelzen von Phosphorsalz mit CdO⁴⁷²⁾, nach Ouvrard⁴⁷¹⁾ existiert ein $K_2CdP_2O_7$.

Ein gemischtes Metaphosphat $Na_4Cd(PO_3)_6$ beschreibt Wiesler.⁴⁷³⁾

Eine Lösung von $CdCl_2$ und Na_2HPO_4 von je $\frac{1}{2}$ Mol pro Liter enthält

$4,2 \cdot 10^{-3}$ mal soviel Cd^{++} -Ionen, als wenn das Na_2HPO_4 durch äquivalente KNO_3 -Lösung ersetzt ist⁴⁷⁴); demnach dürfte beträchtliche Komplexbildung anzunehmen sein.

Cadmiumsalze der niederen Phosphorsäuren. Für sie gilt das den Phosphaten Vorangeschickte in noch höherem Maße:

Phosphit. Wenn man PCl_3 mit Na_2CO_3 -Lösung neutralisiert, so fällt durch Zusatz von CdSO_4 ein weißes Pulver von $\text{HCdPO}_3 \cdot 3\text{H}_2\text{O}$, das über H_2SO_4 die Hälfte seines Kristallwassers verliert und das ganz entwässert werden kann.⁴⁷⁵)

CdHPO_3 enthält lufttrocken 1,5 H_2O und verliert die Hälfte davon über H_2SO_4 .⁴⁷⁶)

Über ein Hypophosphit mit dem Molarverhältnisse $\text{Cd} : \text{P} = 1,46 : 2$, das einem einfachen Salze nicht zukommen kann, sowie ein mit Ca -Salz gemischtes Hypophosphit vergl. H. Rose.⁴⁷⁷)

Von Salzen der zweiwertigen Unterphosphorsäure H_2PO_3 sind beschrieben $\text{CdPO}_3 \cdot \text{H}_2\text{O}$ als sehr schwer lösliches Salz, das, ebenso wie das folgende, aus Cd -Salzen durch NaHPO_3 gefällt wird.⁴⁷⁸) $\text{Na}_2\text{Cd}(\text{PO}_3)_2 \cdot 6\text{H}_2\text{O}$ ist ein schwaches Doppelsalz und ohne Überschuß der einen Komponente nicht unzersetzt löslich.⁴⁷⁹)

$\text{H}_4\text{K}_2\text{Cd} \cdot (\text{PO}_3)_4$ wurde analog erhalten und kristallisiert mit 2 bis 3 H_2O . Bei 120° beginnt es H_2O zu verlieren.⁴⁷⁹)

Cadmiumarsenate. Aus CdCO_3 und As_2O_5 in H_2O erhält man weiße Nadeln von $\text{HCdAsO}_4 \cdot \text{H}_2\text{O}$, die bei 100° beständig sind und sich leicht in verdünnter HCl lösen.⁴⁸⁰) Dasselbe Salz entsteht, wenn man Cd bei 200° in H_3AsO_4 löst und mit H_2O kocht.⁴⁸¹) Es hat das spez. Gewicht $d_{15} = 4,164$.⁴⁸²) Es verliert bei 120° kein H_2O ⁴⁸³) und wird auch erhalten⁴⁸²), wenn man das von Salkowski⁴⁸³) zuerst dargestellte Salz $\text{H}_2\text{Cd}_3(\text{AsO}_4)_4 \cdot 4\text{H}_2\text{O}$ in H_3AsO_4 -Lösung vom spez. Gewichte 1,3 löst und verdampft. Konzentriert man dagegen die Flüssigkeit kalt, so entstehen⁴⁸²) große trikline Kristalle von $\text{Cd}(\text{H}_2\text{AsO}_4)_2 \cdot 2\text{H}_2\text{O}$, welche mit dem entsprechenden Phosphate isomorph sein sollen und das spez. Gewicht $d_{15} = 3,241$ zeigen. Bei 70° — 80° verlieren sie alles Wasser.

Das gesättigte Salz $\text{Cd}_3(\text{AsO}_4)_2 \cdot x\text{H}_2\text{O}$ haben Salkowski⁴⁸³) und Demel⁴⁸⁰) dargestellt, nach Salkowski enthält es 1,5 H_2O .

Das Pyroarsenat $\text{Cd}_2\text{As}_2\text{O}_7$ entsteht analog wie das Phosphat, zeigt $d_{15} = 5,474$ und löst sich nur langsam in HNO_3 ⁴⁸²); es entsteht auch aus KAsO_3 mit CdO oder CdCO_3 .⁴⁸⁴)

Ein basisches Salz $(\text{Cd}_2\text{As}_2\text{O}_7)\text{CdO} \cdot 5\text{H}_2\text{O}$ wurde mehrfach erhalten (de Schulten⁴⁸²), Demel⁴⁸⁰)). Seine Formel kommt mit der des obengenannten Phosphats überein und wird vielleicht auch besser $\text{H}_2\text{Cd}_5(\text{AsO}_4)_4 \cdot 4\text{H}_2\text{O}$ geschrieben.

Cadmiumsalze niederer Arsensäuren. Wenn CdCl_2 in 50 prozentigem Alkohol gelöst, durch wässriges K_3AsO_3 , welches mit CH_3COOH neutralisiert ist, gefällt wird, so entsteht $\text{Cd}(\text{AsO}_3)_2$.⁴⁸⁵)

Durch Fällung von CdSO_4 mit saurem K -Arsenit wurde ein Präparat erhalten, das, bei 120° getrocknet, die Zusammensetzung $\text{Cd}_2\text{As}_2\text{O}_5$ aufwies, also als Pyroarsenit zu betrachten ist. Es wurde von Alkali nicht zerstört und löste sich leicht in Säuren.⁴⁸⁶) Das gleiche Produkt resultierte als weißes Pulver, wenn CdSO_4 mit $\text{Na}_2(\text{AsO}_2)_2$ gefällt wurde.⁴⁸⁷)

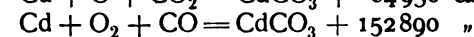
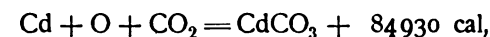
Cadmiummetantimonat, $\text{Cd}(\text{SbO}_3)_2 \cdot 5\text{H}_2\text{O}$, bildet ein weißes Pulver, das $3\text{H}_2\text{O}$ über H_2SO_4 , den Rest bei Rotglut ohne sonstigen Zerfall verliert.⁴⁸⁸⁾ Nach Ebel⁴⁸⁹⁾ hat es $6\text{H}_2\text{O}$.

Cadmiumcarbonat. Das Cadmiumcarbonat, $\text{CdCO}_3 = 172,4$, schon von Stromeyer dargestellt, ist infolge der Eigenschaften seiner beiden Komponenten stark der Hydrolyse unterworfen und wird daher bei Fällung eines Cd-Salzes durch Carbonate z. T. mit Oxyd vermischt erhalten.⁴⁹⁰⁾ Nach H. Rose⁴⁹¹⁾ soll die Anwendung von gesättigten Alkalicarbonaten wie K_2CO_3 Niederschläge erzeugen, die aus fast reinem CdCO_3 bestehen.

Kristallinisch und zwar in rhomboedrischer Form erhält man es durch Anwendung von NH_4Cl - oder NH_4NO_3 -Lösungen, in denen es sich beim Erwärmen merklich löst.⁴⁹²⁾ Es hat dann das spez. Gewicht $d_{15^\circ} = 4,960$.

Die Konzentration der Cd-Ionen einer Lösung von $\text{CdCl}_2 = 2 \text{ l}$ mit $\text{K}_2\text{CO}_3 = 2 \text{ l}$ fand Immerwahr⁴⁹³⁾ $5 \cdot 10^{-4}$ mal so groß als die von $\text{CdCl}_2 = 2 \text{ l}$ mit $\text{KNO}_3 = 1 \text{ l}$.

Die Bildungswärme berechnete Thomsen⁴⁹⁴⁾ zu



Ferner entwickelt



Cadmiumborat. Aus CdO und B_2O_3 entstehen in der Schmelze mit HKF_2 Kristalle von $\text{Cd}_3\text{B}_2\text{O}_6$, welche von heißem H_2O nicht verändert werden, sich aber in Säuren lösen.⁴⁹⁵⁾

Einige komplexe Verbindungen entstehen, wenn über Boronatrocalcit und Cd bei Rotglut Cl oder Br geleitet wird. Sie bilden kubische Kristalle und haben die Formeln⁴⁹⁶⁾ $\text{Cd}_7\text{Cl}_2\text{B}_{16}\text{O}_{30}$ resp. $\text{Cd}_7\text{Br}_2\text{B}_{16}\text{O}_{30}$ ($= \text{Cd hal}_2 \cdot 6\text{CdO} \cdot 8\text{B}_2\text{O}_3$), über ihre Individualität kann man aber zweifelhaft sein.

Das **Cadmiumformiat**, $\text{Cd}(\text{CO}_2\text{H})_2 \cdot 2\text{H}_2\text{O} = 238,4$, bildet monokline, luftbeständige, leicht lösliche Kristalle vom spez. Gewicht $2,441$ ⁴⁹⁷⁾ und hat verhältnismäßig selten den Gegenstand von Untersuchungen gebildet. In neuerer Zeit ist es mehrfach für die elektrolytische Cd-Abscheidung in Frage gekommen.

Die Refraktionsindices seiner Lösung zeigt die folgende Tabelle (A und B Konstante nach Cauchy⁴⁹⁸⁾)

t^0	d_{20}	n_a	n_D	n_B	A	B
21,6	1,0781	1,3427	1,3447	1,3490	1,3349	0,3333

Cadmiumacetat, $\text{Cd}(\text{CH}_3\text{COO})_2 \cdot 2\text{H}_2\text{O} = 266,5$, früher als Trihydrat angesehen, bildet monokline, etwas hygroskopische, über H_2SO_4 verwitternde Kristalle.⁴⁹⁹⁾ Schroeder⁵⁰⁰⁾ (wie auch Ley⁵⁰¹⁾) schreibt ihm nur $2\text{H}_2\text{O}$ und das spez. Gewicht $2,010$ zu, für das Anhydrid gibt er $2,341$ an.

Zuerst dargestellt wurde es von Stromeyer.

In Lösungen zeigt es sich als ein nicht ganz normales Salz. Dies folgt schon aus den starken Differenzen der Leitfähigkeits- und der Gefriermessungen.

Die äquivalente Leitfähigkeit A in reziproken Ohm bei 25° für v Liter fand Ley⁵⁰¹⁾

v	Δ	γ
32	54,8	0,58
64	64,1	0,68
128	72,3	0,76
256	78,9	0,83
512	84,8	0,89
1024	89,5	0,94
∞	93	1

Nimmt man Δ_0 zu $56 + 39 = 95$ an, so erhält man die Werte $\gamma = \frac{\Delta}{\Delta_0}$.

Die von Calame⁵⁰²⁾ bestimmten Gefrierdepressionen sind für C Mol pro kg H_2O Δ , woraus die Werte $i = \frac{\Delta}{1,85 \cdot C}$ und $\gamma = \frac{1}{2}(i-1)$ abgeleitet sind.

C	Δ	i	γ
0,276	0,985	1,93	0,46
0,137	0,537	2,12	0,56
0,069	0,305	2,38	0,69
0,034	0,170	2,70	0,85

Für den Vergleich von Leitvermögen und Gefrierpunkt sind nur die Lösungen $v = 32$ und $C = 0,034$ einigermaßen brauchbar, deren Konzentrationen sich etwa wie 1:2 verhalten. Darnach ist die Leitfähigkeit erheblich geringer als nach der bedeutenden Dissoziation zu erwarten wäre. Dies ist um so weniger erklärlich, als die in Lösung vorhandene Molzahl durch Komplexbildung verkleinert werden sollte. Und für das Vorhandensein von Komplexbildung spricht der große Wert von $\lambda_{1024} - \lambda_{32}$, der statt des normalen Betrages von etwa 21 von Ley zu etwa 35 gefunden worden ist, ebenso groß wie für das sicher komplexe Chlorid.

Elektromotorische Kräfte von Ketten mit $Cd(CH_3COO)_2$ maß Braun.⁵⁰³⁾ Der Temperaturkoeffizient des Potentialsprunges $Cd - Cd(CH_3COO)_2$ beträgt für $\frac{1}{2}$ Mol im Liter 0,503 Millivolt pro Grad.⁵⁰⁴⁾

Cadmiumoxalat. Das Oxalat des Cadmiums CdC_2O_4 wird als Trihydrat $CdC_2O_4 \cdot 3H_2O$ durch Fällen von $CdCl_2$ mit $H_2C_2O_4$ oder $(NH_4)_2C_2O_4$ in der Kälte erhalten, es verliert alles H_2O bei 100° und kristallisiert auch aus warmer Lösung wasserfrei. In diesem Falle bildet es große Prismen, im anderen kleine dünne Tafeln.⁵⁰⁵⁾ Das spez. Gewicht von $Cd(COO)_2$ ist⁵⁰⁶⁾ $d_{18} = 3,320$. Es braucht zur Lösung kalt 13 000, heiß 11 000 Gewichtsteile H_2O ⁵⁰⁵⁾ und kann daher zur quantitativen Abscheidung von Cd verwendet werden.⁵⁰⁷⁾

Das Cadmiumoxalat bildet Verbindungen mit Salzen anderer Anionen. Löst man es in kalt gesättigter KCl-Lösung, so scheiden sich anscheinend quadratische Kristalle von $K_4Cd_2(C_2O_4)_3Cl_2 \cdot 6H_2O$ ⁵⁰⁸⁾, aus denen durch H_2O CdC_2O_4 abgeschieden wird. Analog entstehen und verhalten sich $(NH_4)_3Cd_4(C_2O_4)_3Cl_6 \cdot 2H_2O$ und $K_4Cd_2(C_2O_4)_3Br_2 \cdot 2H_2O$ ⁵⁰⁹⁾

Ferner wurde erhalten $K_4Cd_2(C_2O_4)_3(NO_2)_2 \cdot H_2O$ ⁵⁰⁹⁾

$Cd_2(C_2O_4)_3(NO_3)_2 \cdot 6H_2O$ kristallisiert triklin aus HNO_3 saurer Lösung des Oxalats bei 35° und hat das spez. Gewicht 2,725.⁵¹⁰⁾

Andere Salze. Anhangsweise seien noch folgende Cd-Salze erwähnt.

Aus Cd, S und P wurde bei heller Rotglut $Cd_2P_2S_7$, Thiopyrophosphat, er-

halten. Es bildet ein weißes Kristallpulver, das sich an der Luft nicht hält, von Säuren dagegen, selbst warmer konzentrierter HNO_3 , nur wenig angegriffen wird.⁵¹¹⁾

Ein Thiohypophosphat, CdPS_3 , bildet sich auf ähnliche Weise, ist jedoch weniger beständig.⁵¹¹⁾

Wird $\text{Cd}_3(\text{PO}_4)_2$ mit viel CdCl_2 geschmolzen, so entstehen hexagonale Prismen von $\text{Cd}_3(\text{PO}_4)_6\text{Cl}_2$, die das spez. Gewicht $d_{15} = 5,46$ zeigen. Ein analoges Produkt entsteht aus CdBr_2 .

Dieselben Formeln kommen zwei Arsenaten zu, welche ebenso erhalten wurden. Das Chlorid hat das spez. Gewicht $d_{15} = 5,865$, das Bromid $d_{15} = 6,017$.⁵¹²⁾

$\text{Cd}_3(\text{SbS}_4)_2$ erhielt Rammelsberg.⁵¹³⁾

Mit CH_3COSH geben Cd-Salze in nicht stark saurer Lösung einen weißen Niederschlag von $\text{Cd}(\text{CH}_3\text{COS})_2$. Dieses Thioacetat ist sehr wenig stabil, es geht schon durch Belichten, rascher noch durch Einwirkung von NH_4OH und anderen Reagenzien, sowie durch Kochen in CdS über.⁵¹⁴⁾

Cadmiumdoppelfluoride. CdF_2 löst sich sehr beträchtlich in HF-Lösung. 1,08fach normale HF nimmt bei 25° 0,372 Mol CdF_2 pro Liter auf (H_2O nur 0,289), es muß also eine komplexe Säure oder Hydrofluorid vorhanden sein.⁵¹⁵⁾ Im ersteren Sinne spricht, daß man auch Alkalidoppelsalze kennt: Aus HKF_2 und CdF_2 oder CdCl_2 entsteht K_2CdF_4 als kleine in H_2O sehr leicht lösliche Tafeln⁵¹⁶⁾, aus NH_4F durch Kochen mit $\text{Cd}(\text{OH})_2$, sehr schwer lösliche Kristalle von NH_4CdF_3 .⁵¹⁷⁾

Cadmiumhalogenwasserstoffsäuren. Wenn in kalt gesättigte CdCl_2 -Lösung HCl -Gas eingeleitet wird, so erhält man Kristalle von $\text{H}_2\text{CdCl}_4 \cdot 7\text{H}_2\text{O}$, die jedoch wenig beständig sind, an der Luft rauchen und zerfallen. Auch in der Hitze absorbiert CdCl_2 noch HCl , und dementsprechend zerfällt der obengenannte Stoff beim Erhitzen nicht vollständig. Die Bildungswärme $\text{CdCl}_2 + 2\text{HCl Gas} + 7\text{H}_2\text{O}$ (flüssig) beträgt +40200 cal.⁵¹⁸⁾

Mit HBr und HJ erhält man ebenfalls Additionsverbindungen⁵¹⁸⁾, insbesondere entspricht die Jodverbindung, die bei $-4,7^\circ$ aus gesättigter Lösung beider Komponenten kristallisiert und nur unter der Mutterlauge oder in HJ -Atmosphäre existieren kann, vermutlich der Formel $\text{HCdJ}_3 \cdot 3\text{H}_2\text{O}$.⁵¹⁹⁾

J. Wagner⁵²⁰⁾ fand für Lösungen von a Gramm CdCl_2 in b Gramm $\frac{n}{1}$ HCl folgende Depressionen Δ des Gefrierpunktes der Salzsäure:

a	b	Δ	(Δ)
0,271	25,38	0,14 ⁰	(0,19 ⁰)
0,356	25,39	0,15 ⁰	(0,21 ⁰)
0,753	25,43	0,32 ⁰	(0,37 ⁰)
0,093	25	0,02 ⁰	(0,08 ⁰)
0,436	25	0,2 ⁰	

Diese Depressionen sind erheblich geringer als die von äquivalenten CdCl_2 -Lösungen in reinem Wasser, dabei ist allerdings zu beachten, daß ein solcher Unterschied nach dem Massenwirkungsgesetz zu erwarten ist, weil die Dissoziation des CdCl_2 in HCl Lösung kleiner sein muß als in H_2O . Bemerkenswert ist dabei die Beobachtung, daß die sofort nach dem CdCl_2 -Zusatz bestimmten (Δ) größer als die erst allmählich sich einstellenden Δ sind; darnach müßte sich eine langsame Reaktion in den Lösungen abspielen, die die Molzahl verringert, also vermutlich die Komplexbildung. Hierzu stimmt eine Angabe von M. Goldstein^{521a)}, daß die Steighöhe der CdJ_2 -Lösung in Capillaren sich nicht augenblicklich einstellt.

Cadmiumdoppelhaloide. Die Literatur weist folgende Formeln auf:

F	Cl	Br	J	Cy	CNS
K_2CdF_4	$H_2CdCl_4 \cdot 7H_2O$	$KCdBr_3 \cdot H_2O$	$HCdJ_3 \cdot 3H_2O$		
	$KCdCl_3 \cdot H_2O$	$K_2CdBr_4 (?)$	$KCdJ_3 \cdot H_2O$		
	$K_2CdCl_1 (?)$	$K_2CdBr_1 (?)$	K_2CdJ_4	K_2CdCy_1	$K_2Cd(CNS)_4 \cdot 2H_2O$
	K_1CdCl_6	$NaCdBr \frac{5}{2}H_2O$	$NaCdJ_3 \frac{5}{2}H_2O$		
NH_4CdF_3	$Na_2CdCl_1 \cdot 3H_2O$	Na_4CdBr_6	Na_2CdJ_4	$NaCdCy_3 \frac{3}{2}H_2O$	$NaCd(CNS)_3 \cdot 3H_2O$
	NH_4CdCl_3	$Na_2Cd_3Br_8 \cdot 6H_2O$	$NH_4CdJ_3 \cdot H_2O$		$(NH_4)_2Cd(CNS)_4 \cdot 2H_2O$
	$(NH_4)_2CdCl_4 (?)$	$NH_4CdBr_3 \cdot \frac{1}{2}H_2O$	$(NH_4)_2CdJ_1 \cdot 2H_2O$		
	$(NH_4)_4CdCl_6$	$(NH_4)_4CdBr_6$			
	$RbCdCl_3$				
	Rb_1CdCl_6				
	$CsCdCl_3$	$CsCdBr_3$	$CsCdJ_3 \cdot H_2O$		$Rb_2Cd(CNS)_4 \cdot 2H_2O$
	Cs_2CdCl_4	Cs_2CdBr_4	Cs_2CdJ_4		$CsCd(CNS)_3$ $Cs_4Cd(CNS)_6$
	$LiCdCl_3 \frac{7}{2}H_2O$			$Ca_4CdCy_6 \cdot 20H_2O$	
	$Ca_2CdCl_6 \cdot 7H_2O$			$Sr_2CdCy_6 \cdot 3H_2O$	
	$SrCd_2Cl_6 \cdot 7H_2O$			$BaCdCy_4 \cdot H_2O$	$Ba_4Cd(CNS)_{10} \cdot 10H_2O$
	$BaCd_1Cl \cdot 4H_2O$			$Ba_2Cd_3Cy_{10} \cdot 10H_2O (?)$	
	$BaCd_2Cl_6 \cdot 5H_2O$	$BaCdBr_4 \cdot 4H_2O$	$SrCdJ_4 \cdot 8H_2O$ $BaCdJ_4 \cdot 5H_2O$		$Cs_2Ag_2Cd(CNS)_6$ $Cs_2Ag_2Cd(CNS)_6 \cdot 2H_2O$ $Cs_2Ag_4Cd(CNS)_8 \cdot 2H_2O$ $(?)Cs_4Ag_{10}Cd_3(CNS)_{20} \cdot 6H_2O$
	$Mg_2CdCl_2 \cdot xH_2O$				
	$Mg_2CdCl_6 \cdot 12H_2O$				
	$MnCd_2Cl_6 \cdot 12H_2O$				
	$CoCd_2Cl_6 \cdot 12H_2O$				
	$NiCd_2Cl_6 \cdot 12H_2O$				
	$FeCd_2Cl_6 \cdot 12H_2O$				
	$CuCdCl_4 \cdot 4H_2O$				

Kaliumcadmiumchloride. Die Angaben über die Existenz von gemischten Kaliumcadmiumchloriden gehen verhältnismäßig weit zurück. Croft⁵²¹⁾ beschrieb ein K_2CdCl_4 , in regulären Rhomboedern kristallisierend, von dem sich bei 15,5° 33,45 Teile in 100 Teilen H_2O lösen sollten. Dagegen erhielt v. Hauer⁵²²⁾ das Salz $K_4CdCl_6 \cdot \frac{1}{2}H_2O$, das indessen nach späteren Untersuchungen⁵²³⁾ $KCdCl_3 \cdot H_2O$ formuliert werden muß. Aus der Mutterlauge gewann v. Hauer dann K_4CdCl_6 . $KCdCl_3 \cdot H_2O$ ist monoklin (H. Traube⁵²³⁾), K_4CdCl_6 hexagonal mit dem Achsenverhältnis $a:c=1:0,615$.⁵²⁴⁾ Die Löslichkeiten beider Salze bestimmte Rimbach.⁵²⁵⁾ Es sind in 1000 g Lösung bei t° a g wasserfreies Salz enthalten:

$KCdCl_3 \cdot H_2O$		K_4CdCl_6	
t	a	t	a
2,6°	218,7	4,0°	217,9
15,9°	266,0	23,6°	312,0
41,5°	356,6	50,2°	407,0
60,6°	406,7	108,8°	521,5
105,1°	516,7	109,0°	522,8

Ein Umwandlungspunkt konnte bisher nicht nachgewiesen werden, doch fand Rimbach, daß bei tiefer Temperatur K_4CdCl_6 mit H_2O in $KCdCl_3 \cdot H_2O$ übergeht.

Daß die Lösung ein oder mehrere komplexe Ionen enthält, darf als sehr wahrscheinlich gelten. Zwar fanden sich beim Vermischen von Lösungen der Einzelsalze nur ziemlich geringfügige Wärmetönungen⁵²⁵⁾:

$CdCl_2$ (4 l pro Mol) + $2KCl$ (2 l pro Mol) \longrightarrow 20 cal bei 17°,
 $2CdCl_2$ (4 " " ") + $2KCl$ (2 " " ") \longrightarrow 28 " " 17°,
indessen beträgt die molare Gefrierdepression⁵²⁶⁾ von Lösungen, die 1 $KCdCl_3$ in v Liter enthalten, G, so daß statt 5 Mol Ionen nur m vorhanden sind.

v	2	4	8	16	32	64	128
G	5,21	5,81	6,37	7,07	7,90	8,44	9,21
m	2,82	3,14	3,44	3,82	4,26	4,55	4,98

Die Werte von m machen also eine Komplexbildung wahrscheinlich.

Die molare elektrische Leitfähigkeit μ in reziproken Ohm von $KCdCl_3$ -Lösungen im Vergleiche zu der Summe μ' der Einzelsalzleitfähigkeiten bei 25° zeigt folgende Tabelle⁵²⁷⁾, v bedeutet wie oben die molare Verdünnung.

v	2	4	8	16	32	64	128	256	512	1024
μ	124,2	154,1	183,1	211,7	238,4	267,8	295,0	323,5	347,5	370,1
μ'	169,0	190,4	215,4	240,0	264,4	288,3	314,2	336,0	354,0	370,3

Eine spätere Bestimmung⁵²⁸⁾ ergab dasselbe μ .

Auf Komplexzustand deutet auch die Tatsache, daß eine Lösung von 0,5 Mol $CdCl_2$ + 1 Mol KNO_3 pro Liter 5mal soviel Cd -Ionen enthält, als wenn das KNO_3 durch KCl ersetzt ist.⁵²⁹⁾

Die Kette $Cd/CdCl_2 + KCl/Calomelektrode$ (= 0,560 Volt) ergibt⁵³⁰⁾ bei 18° für n Mol $\frac{1}{2}CdCl_2$ und m Mol KCl pro Liter die Potentialdifferenz π .

Nr.	n	m	π
1	1	1	0,760
2	0,1	1	0,790
3	0,01	1	0,817
4	0,1	0,1	0,751
5	0,01	0,01	0,749

Hier zeigt sich also die auffällige Tatsache, daß bei der Verdünnung derselben Lösung π abnimmt, mithin die Konzentration der Cd-Ionen nicht nur nicht abnimmt, sondern sogar wächst (z. B. Nr. 1, 4, 5), eine Tatsache, die kaum anders als aus dem Zerfall von Komplexen erklärt werden kann⁵³⁰), wenn auch vielleicht ein Teil des Effekts der Veränderung der Flüssigkeitskette zugeschrieben werden kann.

Natriumcadmiumchlorid, $\text{Na}_2\text{CdCl}_4 \cdot 3\text{H}_2\text{O}$, beschreibt Croft⁵³¹) als nicht regulär kristallisierendes Salz, das bei $15,5^\circ$ zu $71,32$ g in 100 g H_2O löslich ist, sich auch in Alkohol löst, aber weniger als CdCl_2 . Es ist⁵³²) luftbeständig, schmelzbar und verliert bei 100° $2\text{H}_2\text{O}$, das dritte über 150° . Durch H_2S wird es aus konzentrierter Lösung nicht gefällt⁵³³), sein Komplexgrad ist also ziemlich hoch, doch wird es bei der Dialyse⁵³⁴) gegen reines H_2O getrennt, wobei NaCl voraus wandert. Die Nichtfällbarkeit durch H_2S erscheint sehr auffällig, da sie nicht einmal bei K_2CdCy_4 auftritt.

Rubidiumcadmiumchlorid. Man nahm früher⁵³⁵) ein Rb_2CdCl_4 , sowie zwei Hydrate von RbCdCl_3 , $\text{RbCdCl}_3 \cdot \frac{1}{2}\text{H}_2\text{O}$ und $\text{RbCdCl}_3 \cdot \frac{1}{4}\text{H}_2\text{O}$ an, indessen sind nach Rimbach⁵³⁶) diese Angaben nicht zutreffend und es existieren nur die beiden wasserfrei kristallisierenden Salze RbCdCl_3 und Rb_4CdCl_6 , jenes rhombisch mit $a:b:c=0,5969:1:0,5244$, dieses hexagonal mit $a:c=1:0,6323$ und isomorph mit K_4CdCl_6 . Rimbach hat die Löslichkeitsverhältnisse studiert und gibt folgendes an, wobei unter a die Anzahl Gramm in 100 g Lösung zu verstehen sind.

1. RbCdCl_3

t°	1,2	14,5	41,4	57,6	103,9
a { Cl	4,53	5,88	8,86	10,78	16,37
Cd	4,80	6,20	9,34	11,40	17,14
Rb	3,63	4,75	7,14	8,63	13,39
RbCdCl_3	12,97	16,80	25,31	30,83	46,62

Zwischen 0 und 100° läßt sich demnach im obengenannten Maße die Löslichkeit des Salzes darstellen durch

$$L_{100}^{100} = 12,17 + 0,3279 (t - 0)^\circ.$$

2. $\text{RbCdCl}_3 + \text{Rb}_4\text{CdCl}_6$

t°	0,7	8,8	13,8	42,4	59,0	108,4
a { Cl	0,65	1,07	1,32	3,21	4,61	8,94
Cd	6,52	7,37	7,86	11,35	13,41	18,57
Rb	14,73	16,13	16,93	22,45	25,31	31,15
a_{Cd}	0,441	0,457	0,465	0,505	0,530	0,595
a_{Rb}						

Auf einen Umwandlungspunkt führen diese Zahlen nicht.

3. $\text{RbCl} + \text{Rb}_4\text{CdCl}_6$

t°	0,4	14,8	17,9
a { Cd	—	—	—
Cl	12,86	13,62	14,00
Rb	30,97	32,81	33,71

Es geht mithin nur RbCl in Lösung. Rimbach weist auch nach, daß CdCl_2 durch RbCl quantitativ als Rb_4CdCl_6 gefällt wird.

Cäsiumcadmiumchlorid. Wells und Walden⁵³⁷⁾ erhielten aus der Lösung der Einzelsalze Cs_2CdCl_4 ; wenn das Verhältnis $\text{CdCl}_2 : \text{CsCl}$ in der Lösung über 18 : 50 stieg, fiel CsCdCl_3 als weißes Kristallpulver, das, wie zu erwarten, sich auch durch Hydrolyse des erstgenannten erhalten ließ. Godeffroy⁵³⁸⁾ stellte es aus salzsaurer Lösung dar.

Lithiumcadmiumchlorid, $2\text{LiCdCl}_3 \cdot 7\text{H}_2\text{O}$, entsteht in Nadeln aus der Lösung von 1CdCl_2 mit 2LiCl . Es ist hygroskopisch, kann bei 120° ganz entwässert werden und löst sich in Alkohol.⁵³⁹⁾

Ammoniumcadmiumchloride. Von den verschiedenen beschriebenen Verbindungen sind sicher nachgewiesen die Salze mit 1 und mit 4 NH_4 auf 1 Cd, ein anderes mit 2 NH_4 findet sich in der älteren Literatur als dimorphes Salz von der Formel $(\text{NH}_4)_2\text{CdCl}_4$ angegeben.⁵⁴⁰⁾

Die ältere Literatur⁵⁴¹⁾ braucht hier nur kurz erwähnt zu werden, da neuerdings eingehende Untersuchungen ausgeführt wurden.

NH_4CdCl_3 ist kristallisiert rhombisch mit den Achsen $a:b:c=0,6056:1:0,7869$.⁵⁴²⁾ Außer durch Vereinigung der Einzelsalze kann es auch durch Umsetzung von $\text{Cd}(\text{OH})_2$ mit NH_4Cl erhalten werden (Tassilly⁵⁴¹⁾, Großmann⁵⁴³⁾).

In gleicher Weise wurde auch $(\text{NH}_4)_4\text{CdCl}_6$ dargestellt. Dieses Salz kristallisiert hexagonal mit $a:c=1:1,5704$ (Schrauf⁵⁴¹⁾).

Über die Gleichgewichtsverhältnisse in Lösung belehren Löslichkeitsbestimmungen von Rimbach.⁵⁴⁴⁾

Bei t^0 enthalten darnach 1000 g Lösung a Gramm Salz.

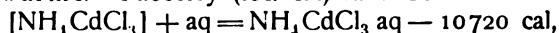
NH_4CdCl_3		$(\text{NH}_4)_4\text{CdCl}_6$	
t^0	a	t^0	a
2,4	299,4	3,9	212,9
16,0	334,5	16,1	353,9
41,2	389,6	40,2	433,7
63,8	439,9	58,2	483,8
105,9	522,3	112,8	592,3
		113,9	605,2

Der Umwandlungspunkt ergibt sich aus folgenden Zahlen, welche unter a die Anzahl Gramm der drei Komponenten in der gesättigten Lösung angeben, wobei für I NH_4CdCl_3 und $(\text{NH}_4)_4\text{CdCl}_6$, für II $(\text{NH}_4)_4\text{CdCl}_6$ und NH_4Cl die Bodenkörper bildeten.

I				II			
t^0	a			t^0	a		
	Cd	Cl	NH_4		Cd	Cl	NH_4
1,1	5,34	17,62	7,27	1,0	2,82	17,1	7,82
14,0	7,12	19,86	7,84	13,2	2,76	18,84	8,71
40,7	10,24	23,82	8,85	40,1	3,16	22,56	10,49
58,5	12,50	26,53	9,35	58,2	3,51	25,21	11,72

Bei -20° etwa geht hiernach $(\text{NH}_4)_4\text{CdCl}_6$ in NH_4CdCl_3 über.

Lösungswärme. Tassilly (loc. cit.) fand bei 16°



bei 16°



Calciumcadmiumchlorid. CaCl_2 und CdCl_2 im Verhältnis 3 : 4 gemischt geben aus konzentrierter Lösung $\text{CaCd}_2\text{Cl}_6 \cdot 7\text{H}_2\text{O}$ ein sehr hygroskopisches und leicht lösliches Salz, das bei 100° nur wenig H_2O verliert. Beim Lösen

entwickelt es Wärme. Aus CaCl_2 und CdCl_2 im Verhältnis 1 : 2 oder 1 : 3 kristallisiert zuerst dasselbe Salz, später jedoch große Kristalle von $\text{Ca}_2\text{CdCl}_6 \cdot 12\text{H}_2\text{O}$. Auch dieses Salz ist stark hygroskopisch und löst sich unter Wärmeentwicklung und stark verschieden bei verschiedenen Temperaturen. Es schmilzt bei 100° unter Verlust von $6\text{H}_2\text{O}$, bei 125° gehen weitere 4 weg, der Rest oberhalb 150° . Es verwittert über CaCl_2 . Die Anhydride beider Salze binden Wärme beim Auflösen.⁵⁴⁵⁾

Die Kristallform von $\text{CaCd}_2\text{Cl}_6 \cdot 7\text{H}_2\text{O}$ ist monoklin.⁵⁴⁶⁾

Bei der Vermischung der Einzellösungen erfolgt Wärmeentwicklung⁵⁴⁷⁾ 2CdCl_2 (4 Liter pro Mol) + 1CaCl_2 (4 Liter pro Mol) $\longrightarrow + 30 \text{ cal}$ bei 17° .

Strontiumcadmiumchlorid, $\text{SrCd}_2\text{Cl}_6 \cdot 7\text{H}_2\text{O}$, entsteht in großen farblosen Säulen aus der Mischung von 1SrCl_2 mit 1 oder 2 CdCl_2 . Es ist schwach hygroskopisch und verwittert über H_2SO_4 oder CaCl_2 . Bei 100° verliert es $2\text{H}_2\text{O}$, bei 125° — 130° das dritte, bei 170° wieder 2, den Rest oberhalb 180° , ohne die Kristallform zu verlieren. Bei höherer Temperatur schmilzt es unter Zerfall.⁵⁴⁸⁾ Es kristallisiert im monoklinen Systeme.⁵⁴⁹⁾ Sein spez. Gewicht beträgt $d_{24} = 2,718$.⁵⁵⁰⁾

Die molare elektrische Leitfähigkeit⁵²⁶⁾ bei 25° in reziproken Ohm für v Liter pro Mol beträgt μ , während die Einzelleitfähigkeiten zusammen μ' geben:

v	μ	μ'	v	μ	μ'
2,18	135,5	206,2	279,0	540,5	600,0
4,36	196,2	258,5	558,1	599,5	655,0
8,72	254,5	316,4	1116,1	654,4	695,0
17,44	312,3	275,7	2232	701,0	730,0
34,88	370,3	429,0	4465	749,0	770,5
69,76	429,0	487,5	8930	788,0	812,0
139,5	486,0	546,0			

Hieraus muß man wohl auf die Existenz komplexer Ionen schließen, wenn auch ein Teil des Unterschiedes auf den Masseneffekt der Cl-Ionen entfällt.

Bariumcadmiumchlorid. BaCl_2 und CdCl_2 im Verhältnis 1 : 1 gemischt, scheiden beim Konzentrieren der Lösung erst BaCl_2 aus, später $\text{BaCdCl}_4 \cdot 4\text{H}_2\text{O}$. Aus der Mischung $\text{BaCl}_2 : \text{CdCl}_2 = 1 : 2$ kristallisiert erst dieses Doppelsalz, sodann $\text{BaCd}_2\text{Cl}_6 \cdot 5\text{H}_2\text{O}$; direkt fällt dieses, wenn die Lösung im Verhältnisse 1 : 3 gemischt ist. $\text{BaCd}_2\text{Cl}_6 \cdot 5\text{H}_2\text{O}$ bildet luftbeständige Oktaeder und Tetraeder und verliert bei 100° $2\text{H}_2\text{O}$, bei 150° wieder 2, den Rest bei 160° .⁵⁵¹⁾ Das andere Salz verliert ebenfalls bei 100° $2\text{H}_2\text{O}$ und den Rest bei 160° .⁵⁵¹⁾, zeigt das spez. Gewicht⁵⁵²⁾ 2,952 bei 24° und hat nach Rammelsberg das Achsenverhältnis $a : b : c = 0,8405 : 1 : 0,5128$ im triklinen⁵⁵³⁾ Systeme. Die Löslichkeit beider Salze bei t° , in g wasserfreien Salzes pro 1000 g Lösung ausgedrückt, beträgt a⁵⁵³⁾

$\text{BaCdCl}_4 \cdot 4\text{H}_2\text{O}$		$\text{BaCd}_2\text{Cl}_6 \cdot 5\text{H}_2\text{O}$	
t	a	t	a
22,5	418,8	22,6	456,0
32,9	446,7	41,3	491,4
41,4	468,1	53,9	510,4
53,4	503,0	62,2	530,8
62,0	522,8	69,5	544,7
97,8	620,5	107,2	623,8
108,3	648,3		
109,2	653,1		

Ein Umwandlungspunkt wurde nicht beobachtet.

Daß das Salz nicht stark komplex ist, könnte man aus den Dialyseversuchen von Rüdorff⁵⁵⁴) und Rimbach (loc. cit.) folgern; auch die geringe Mischungswärme⁵⁵⁵) deutet darauf hin

bei 17° 1CdCl_2 (4 Liter pro Mol) + 1BaCl_2 (4 Liter pro Mol) \longrightarrow + 20 cal,

2CdCl_2 (4 " " ") + 1BaCl_2 (4 " " ") \longrightarrow + 32 "

jedoch ist es nicht sehr wahrscheinlich, daß die Komplexität in äquivalenten Lösungen verschiedener Chloride nennenswerte Unterschiede aufweist. So muß das Ausbleiben gewisser Cd-Ionenreaktionen (s. NaCdCl_3 S. 493) z. B. mit H_2S als Beweis für starke Komplexität gelten, falls diese Angabe Bestätigung findet.

Magnesium-, Nickel-, Cobalt-, Mangan-, Eisen-, Kupfer-, Cadmium-chloride. Alle diese Salze sind, wie die meisten vorher erwähnten, von v. Hauer⁵⁵⁶) zuerst erhalten worden und kristallisieren nur aus konzentrierten Lösungen.

Mg. $\text{Mg}_2\text{CdCl}_6 \cdot 12\text{H}_2\text{O}$ fällt aus Lösungen vom Molarverhältnisse $\text{Mg}:\text{Cd} = 2:1$ in großen hygroskopischen, nach Graulich und v. Lang⁵⁵⁷) rhombischen Tafeln mit $a:b:c = 1:0,126:0,3431$. Über CaCl_2 wird es trocken und verliert bei 100° nur wenig H_2O . Es löst sich nach Rimbach⁵⁵⁸) folgendermaßen:

t°	2,4	20,8	45,5	67,2	121,8
a	456,1	496,9	535,1	581,4	654,8

und geht ebenfalls zersetzt durch den Dialysator (Rimbach⁵⁵⁸)).

$\text{Cd}:\text{Mg} = 1:1$ oder $2:1$ gibt $\text{Cd}_2\text{MgCl}_6 \cdot x\text{H}_2\text{O}$ (wo $x > 6$ ist) in großen Kristallen, die über CaCl_2 verwittern. Das Salz verliert bei 100° 6 H_2O , löst sich unter Wärmebindung und ändert seine Löslichkeit stark mit der Temperatur. v. Hauer beobachtete, daß HCl die Kristallisation beider Mg-Salze zu hindern scheint.

Mn. $\text{MnCl}_2:\text{CdCl}_2 = 1:2$ gibt große weiße Säulen von $\text{MnCd}_2\text{Cl}_6 \cdot 12\text{H}_2\text{O}$, die über H_2SO_4 oder CaCl_2 verwittern, über CaO trocken werden, bei 100° ca. 10 H_2O , den Rest bei 160° verlieren. Wenn mehr MnCl_2 vorhanden, so kristallisiert vor diesem Salze erst MnCl_2 .

Co. Ni. $\text{CoCd}_2\text{Cl}_6 \cdot 12\text{H}_2\text{O}$ entsteht aus der Lösung von $\text{CoCd}_2:\text{CdCl}_2 = 3:4$ in großen, etwas hygroskopischen Säulen, von der Farbe des CoCl_2 , die schwach schon über CaO verwittern, bei 100° 10 H_2O , den Rest bei 150° unter Bläuung verlieren, mit dem entsprechenden Mg-Salze isomorph sind⁵⁵⁹) und sich leicht lösen. Das analog erhaltene Nickelsalz, $\text{NiCd}_2\text{Cl}_6 \cdot 12\text{H}_2\text{O}$, bildet grüne Säulen, verwittert über CaCl_2 , nicht über CaO , ist dem Co-Salze isomorph und verhält sich auch sonst wie dieses. Außerdem wurde noch ein hexagonales $\text{Ni}_2\text{CdCl}_6 \cdot 12\text{H}_2\text{O}$ beobachtet, das aus der gleichzusammengesetzten Lösung kristallisierte.

Fe. Ganz ähnlich den verwandten Salzen ist das aus äquimolarer Mischung erhaltene $\text{FeCd}_2\text{Cl}_6 \cdot 12\text{H}_2\text{O}$.

Cu. Ein Kupfersalz von der Formel $\text{CuCdCl}_4 \cdot 4\text{H}_2\text{O}$ erhielt v. Hauer aus äquimolarer Mischung. Es kristallisiert schwierig, verwittert über CaO , schmilzt nicht im Kristallwasser, sondern verliert dieses ohne seine Form zu ändern und zeigt trocken blaue, feucht grüne Farbe.

In allen diesen Salzen bleiben sonach die Eigenschaften der Komponenten erkennbar, man darf daraus vielleicht schließen, daß sie sich in Lösung wie schwach komplexe Salze verhalten werden.

Kaliumcadmiumbromid. Aus konzentrierter Lösung der Komponenten erhielt Croft⁵⁶⁰⁾ K_2CdBr_4 , während nach v. Hauer⁵⁶¹⁾ aus $2KBr + CdBr_2$ -Lösung erst Nadeln von ziemlich luftbeständigem $KCdBr_3 \cdot \frac{1}{2}H_2O$, sodann K_4CdBr_6 auskristallisiert. Dieses Salz erhielt auch Eder⁵⁶²⁾, der aber dem anderen die Formel $KCdBr_3 \cdot H_2O$ zuschreibt. Dieselbe Formel fand Rimbach⁵⁷¹⁾, der (nach Fock) das Kristallsystem als rhombisch mit $a:b:c = 1,4592:1:2$ angibt. Die molare Leitfähigkeit μ in der Verdünnung von v Liter pro Mol des einen dieser Salze bei 25° im Vergleiche mit der Summe μ' der Einzelleitfähigkeiten ist in rez. Ohm aus der folgenden Tabelle zu sehen.⁵⁶³⁾

KCdBr ₃					
v	μ	μ'	v	μ	μ'
0,938	81,0	—	75,0	256,4	282,4
1,876	102,1	—	150,0	284,4	310,0
3,750	130,9	175,8	300,0	313,6	336,3
7,50	160,1	199,9	600	340,1	363,0
15,0	189,0	224,3	1200	367,0	386,5
30,0	214,8	248,8	1500	374,3	396,0
37,5	228,0	258,2	3000	395,6	415,0
			6000	413,4	430,0

K_4CdBr_6 kann nach Rimbach zwischen 0,4° und 112,5° nicht existieren, da $KCdBr_3$ durch Wasser nicht zerlegt wird, vielmehr sich unzersetzt nach

$$P = 55,108 + 0,218 t$$

löst, wobei P den Prozentgehalt an $KCdBr_3$ bezeichnet.

Eine Lösung von 0,44 Mol $CdBr_2$ pro Liter + KBr (= normal) enthält nur 2 Proz. der Cd -Ionen, welche ohne KBr -Zusatz vorhanden sind.⁵⁶⁴⁾

Das Tetrasalz ist nicht darstellbar, da die Lösung von entsprechender Zusammensetzung nur mit $CdBr_2$ und NH_4Br koexistiert⁵⁷¹⁾.

Natriumcadmiumbromid, $Na_2Cd_2Br_6 \cdot 5H_2O$, wurde von Croft⁵⁶⁵⁾ und Eder⁵⁶⁶⁾ erhalten, von Eder auch Na_4CdBr_6 . Beim Versuche, die Darstellung zu wiederholen, der nicht gelang, entstand ein Salz $Na_2Cd_3Br_8 \cdot 6H_2O$, das bis jetzt kein Analogon hat. Die Entdecker⁵⁶⁷⁾ bestimmten auch die molare Leitfähigkeit μ (in rez. Ohm) bei 25° in den Verdünnungen v, während die Summe der Einzelleitfähigkeiten μ' beträgt.

v	μ	μ'	v	μ	μ'
4,88	200,0	288,2	390,9	666,0	727,5
9,77	264,4	346,7	781,8	748,0	805,0
19,54	336,5	415,0	1563	832,5	889,0
39,09	412,2	483,0	3909	914,0	959,5
78,18	487,8	555,0	7818	970,0	1010
97,7	510,0	576,0	15635	1024	1058
195,4	585,0	651,0			

Rubidiumcadmiumbromid. Nach Rimbach⁵⁷¹⁾ existieren $RbCdBr_3$ und Rb_4CdBr_6 . Das erste löst sich zwischen 0° und 107° nach

$$P = 35,34 + 0,393 t$$

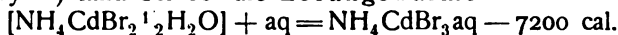
(P = Prozentgehalt). Das andere kristallisiert im hexagonalen Systeme rhomboedrisch hemiedrisch mit $a:c = 1:0,6231$ und löst sich zwischen 0° und 115° nach

$$P = 50,88 + 0,2637 t$$

Cäsiumcadmiumbromid, Cs_3CdBr_6 , wurde in rechtwinkligen Tafeln aus Lösungen mit CsBr Überschuß erhalten (80 g CsBr + 4,5 g CdBr_2 in 120 ccm), durch H_2O wird es in CsCdBr_3 übergeführt. Ebenfalls CsCdBr_3 , jedoch von anderer Kristallform, bildete sich aus H_2O und Cs_2CdBr_4 , einem Salze, das aus Lösung von 3 g CdBr_2 + 52 g CsBr in 120 ccm entstand, dessen Analyse jedoch etwas unsicher ausfiel.⁵⁶⁸⁾

Ammoniumcadmiumbromid. Eder⁵⁶⁹⁾ stellte 1876 $(\text{NH}_4)_4\text{CdBr}_6$ und $(\text{NH}_4)_2\text{Cd}_2\text{Br}_6 \cdot \text{H}_2\text{O}$ dar, Großmann⁵⁷⁰⁾ erhielt diese Salze gleichfalls. Der letztgenannte Autor kochte $\text{Cd}(\text{OH})_2$ mit konzentrierter NH_4Br -Lösung, worauf zunächst $\text{Cd}(\text{NH}_3)_2\text{Br}_2$, aus dem Filtrate NH_4Br , dann $(\text{NH}_4)_4\text{CdBr}_6$ ausfiel, die Mutterlauge enthielt dann noch ein wenig $(\text{NH}_4)_2\text{Cd}_2\text{Br}_6 \cdot \text{H}_2\text{O}$. Tassilly dagegen erhielt $\text{NH}_4\text{CdBr}_3 \cdot \frac{1}{2}\text{H}_2\text{O}$, nach Rimbach⁵⁷¹⁾ enthält das Salz überhaupt kein Wasser.

Tassilly⁵⁴¹⁾ fand bei 16° die Lösungswärme



Die Löslichkeit (in g pro 100 g Lösung) des $\text{CdH}_4\text{CdBr}_3$ zwischen 0° und 1° und 110° beträgt

$$P = 54,47 + 0,197 (t^0 - 0^0).$$

Das Tetrasalz hat auch nach Rimbach⁵⁷¹⁾ kein Kristallwasser und kann aus der Lösung nur dann unzersetzt ausfallen, wenn ein Überschuß von CdBr_2 vorhanden ist. Die Zusammensetzung der Lösung über dem festen Salz hat Rimbach ausführlich studiert. Das Tetrasalz kristallisiert hexagonal mit $a:c = 1:0,6269$, isomorph dem Rb -Salze.

Kaliumcadmiumjodid. Daß KJ mit CdJ_2 ein komplexes Salz K_2CdJ_4 gibt, dürfte zuerst von Croft⁵⁷²⁾ beobachtet worden sein, von dem es als ein sehr leicht in H_2O , in Alkohol schwerer als das CdJ_2 lösliches, wasserfrei kristallisierendes Salz beschrieben wird. Die letzte Angabe bedarf indessen noch einer Berichtigung insofern, als Eder⁵⁷²⁾ und Leonard⁵⁷³⁾ ein $\text{K}_2\text{CdJ}_4 \cdot 2\text{H}_2\text{O}$ untersuchten, dessen spez. Gewicht d_{20} nach Leonard 3,371 bis 3,346 beträgt. Eder erhielt auch $\text{KCdJ}_3 \cdot \text{H}_2\text{O}$, diese Formel wurde von Rimbach⁵⁷¹⁾ bestätigt.

Auf die Eigenschaft des Kaliumcadmiumjodids, daß sein Komplexzustand in Lösung stark von der Konzentration abhängt, wies mit Nachdruck zuerst Hittorf⁵⁷⁴⁾ hin, der bei der Bestimmung der Überführungszahl fand, daß in konzentrierten Lösungen das Cd stark zur Anode wandert, während an der Kathode Cd , am anderen Pole J abgeschieden wird.

Den gleichen Schluß gestatten auch die Messungen von Leitfähigkeit und Gefrierpunkterniedrigung.

Nach Grotrian und Wershoven⁵⁷⁵⁾ beträgt bei 18° die molare Leitfähigkeit μ von K_2CdJ_4 , gelöst in v Litern,

v	1	2	5	10	20	40	100	200	400	1000	2000
μ	146	164	178	202	226	256	304	338	372	408	430
μ'	224	238	258	277	298	323	356	383	409	442	—

während sich μ' als Summe der Einzelleitfähigkeiten ergibt.

Der Temperaturkoeffizient beträgt nach Wershoven⁵⁷⁶⁾ $2,3 \cdot 10^{-2}$.

Gefrierdepressionen zeigen nach Jones und Caldwell⁵⁷⁷⁾ folgendes

v	2,302	2,762	5,524	9,207	13,81
Δ^0	3,878	3,177	1,557	0,960	0,664
n	4,7	4,7	4,6	4,8	4,9

so daß also statt 7 Mol, wie für ideale Verdünnung zu erwarten, nur n Mol vorhanden sind. Daß diese Zahlen nur zu einer rohen Schätzung verwendet werden können, bedarf keiner ausführlichen Begründung.

Nach Immerwahr⁵⁷⁸⁾ wird die Konzentration der Cd-Ionen einer Lösung von 1 Mol $\frac{1}{2}$ CdJ₂ pro Liter, nach Messung von Konzentrationsketten, durch Zusatz von 1—n KJ auf den 130. Teil reduziert.

McBain^{217a)} berechnet aus Leitfähigkeit, Überführung und Gefrierdepression, daß 0,025 normale Lösung folgende Konzentrationen aufweist: 87 Proz. des Kaliums als K⁺, 13 Proz. als KJ, 0,2 Proz. als KCdJ₃, vom Cd 0,5 Proz. als KCdJ₃, 7,5 Proz. als Cd²⁺, 53 Proz. als CdJ₂, 39 Proz. als CdJ₃'.

Was das spez. Gewicht d_4^{18} anlangt, so ist für m Mol $\frac{1}{2}$ K₂CdJ₄ pro Liter nach Grotrian⁵⁷⁹⁾ und Wershoven⁵⁷⁶⁾

$m \cdot 10^3$	d_4^{18}	$m \cdot 10^3$	d_4^{18}
0,942	0,99895	29,1	1,0068
1,713	0,99921	151	1,0387
2,310	0,99938	315	1,0821
2,872	0,99945	490	1,1280
7,191	1,0007	896	1,2338
14,41	1,0027	1362	1,3552
29,23	1,0067	1957	1,5086

Natriumcadmiumjodid. Croft⁵⁸⁰⁾ erhielt aus äquivalenter Mischung der Komponenten Na₂CdJ₄ · 6H₂O in hygroskopischen Prismen, Eder⁵⁸¹⁾ außer diesem Salze auch Na₂Cd₂J₆ · 5H₂O.

Cäsiumcadmiumjodid. 182 g CsJ + 6,5 g CdJ₂ in 200 ccm lieferten große Prismen von Cs₃CdJ₅, das durch H₂O in Cs₂CdJ₄ übergeführt wurde. Cs₂CdJ₄ ist gegen H₂O beständig und unzersetzt daraus umkristallisierbar, wiederum ein Zeichen für das Wachsen der Komplextendenz vom Cl zum J. Ein ebenfalls gegen H₂O beständiges Salz, CsCdJ₃ · H₂O, bilden die Einzelsalze, wenn das oben angegebene Mischungsverhältnis zugunsten von CdJ₂ abgeändert wird.⁵⁸²⁾

Ammoniumcadmiumjodide. Croft⁵⁸²⁾ beschreibt (NH₄)₂CdJ₄ · 2H₂O als isomorph dem entsprechenden K-Salze, dasselbe Salz erhielt Eder⁵⁸³⁾, der dann noch ein später von Tassilly⁵⁸⁴⁾ bestätigtes Salz (NH₄)₂Cd₂J₆ · H₂O darstellte. Großmann⁵⁸⁵⁾ fand darin das doppelte Quantum H₂O, so daß man NH₄CdJ₃ · H₂O schreiben kann. Nach Rimbach⁵⁷¹⁾ dagegen lautet die Formel des Monosalzes NH₄CdJ₃.

Nach Tassilly⁵⁸⁴⁾ ist die Lösungswärme bei 15° (NH₄CdJ₃)₂H₂O + aq = 2NH₄CdJ₃ aq — 15770 cal.

Das Disalz löst sich nach Rimbach unzersetzt in Wasser und die bei 14,5° gesättigte Lösung enthält 85,97 Proz. Salz.

Doppel-Bromide, Jodide, von Cadmium mit zweiwertigen Metallen. v. Hauer⁵⁵⁶⁾ erhielt BaCdBr₄ · 4H₂O in großen luftbeständigen Kristallen. Das spezifische Gewicht beträgt⁵⁸⁷⁾ 3,665 bei 24°.

Die molare elektrische Leitfähigkeit μ bei 25° und der Verdünnung v, verglichen mit der Summe μ' der Einzelleitfähigkeiten, ausgedrückt in rez. Ohm, beträgt⁵⁸⁸⁾:

v	μ	μ'	v	μ	μ'
1,97	134,3	197,0	156,2	381,3	408,8
3,94	177,0	225,8	312,3	418,6	445,5
7,88	219,4	258,7	624,6	457,0	477,5
15,76	259,8	293,6	1249	488,0	507,8
31,52	295,2	327,5	2498	514,5	532,0
63,04	330,0	359,5	3113	525,0	545,0
78,08	346,0	374,0	6226	553,0	570,2

Aus der Mischung der Komponenten im Verhältnisse 1:1 erhielt Croft⁵⁸⁹⁾ $\text{BaCdJ}_4 \cdot 5\text{H}_2\text{O}$, ein sehr stark hygroskopisches Salz, und das etwas beständigere $\text{SrCdJ}_4 \cdot 8\text{H}_2\text{O}$, dessen Leitfähigkeit bei 25° in gleicher Anordnung, wie oben aus der folgenden Tabelle zu ersehen ist.⁵⁹⁰⁾

$\text{SrCdJ}_4 \cdot 8\text{H}_2\text{O}$

v	μ	μ'	v	μ	μ'
1	97,0	—	40	250,6	305,7
2	129,7	202,0	80	288,8	334,0
4	153,9	224,5	200	346,0	380,7
8	173,7	243,6	400	381,0	412,0
10	213,0	274,5	800	406,0	436,6
			2000	454,7	464,0

Cadmiumdoppelcyanide. $\text{K}_2\text{CdCy}_4 = 294,9$, wurde zuerst beschrieben von Rammelsberg⁵⁹¹⁾ als luftbeständige Oktaeder, die das Licht stark brechen.⁵⁹²⁾ Es löst sich gut in H_2O und zeigt alle Eigenschaften eines hochgradig komplexen Salzes. Dies folgt aus den Überführungsversuchen von Rieger⁵⁹³⁾, aus Potentialmessungen nach Hittorf⁵⁹⁴⁾, Immerwahr⁵⁹⁵⁾ und H. Euler⁵⁹⁶⁾ und aus Dialyseversuchen von Rüdorff.⁵⁹⁷⁾ Speziell fand Rieger die Überföhrungszahl des CdCy_4'' für 0,772 Mol/Liter bei 18° zu 0,29. Euler berechnet die Komplekxkonstante $K = \frac{\text{Cy}_4'' \cdot \text{Cd}^{++}}{\text{CdCy}_4''}$ zu $1,4 \cdot 10^{-17}$. Ausführliche Daten über die äquivalente Leitfähigkeit λ des $\frac{1}{2} \text{K}_2\text{CdCy}_4$ bei 25° und der Verdünnung v gibt Walden.⁵⁹⁸⁾ (Siemens-Einheiten.)

v	32	64	128	256	512	1024	∞
λ	110,0	114,1	116,7	118,4	120,8	125,1	131,1

Die Beweglichkeit von $\frac{1}{2}\text{CdCy}_4$ wird zu $131,1 - 70,6 = 60,5$ berechnet. Es ist $\lambda_{1024} - \lambda_{32} = 15,1$. Für das entsprechende Zn-Salz fand sich 14,9, für das Hg-Salz 21,7. Man darf darnach wohl vermuten, daß die Komplexbeständigkeit des Cd- und Zn-Salzes erheblich geringer ist als die des Hg-Salzes. Gegen H_2S ist das Salz nicht beständig wegen des außerordentlich geringen Löslichkeitsproduktes des Sulfids. Es findet vielfach Anwendung zur elektrolytischen Cd-Abscheidung, aus denselben Gründen wie andere komplexe Schwermetallsalze.

Unter Luftabschluß kann es geschmolzen werden.⁵⁹²⁾

Na. Loebe⁵⁹⁹⁾ erhielt aus konzentrierter Lösung $\text{Na}_2\text{Cd}_2\text{Cy}_6 \cdot 3\text{H}_2\text{O}$ in großen Rhomboedern, welche sich in H_2O und in $\text{C}_2\text{H}_5\text{OH}$ lösen, an der Luft etwas H_2O aufnehmen und sich langsam zersetzen.

Ba etc. Weselsky⁶⁰⁰⁾ erhielt ein sehr wenig beständiges Salz der Zusammensetzung $\text{Ba}_2\text{Cd}_3\text{Cy}_{10} \cdot 10\text{H}_2\text{O}$; Loebe⁵⁹⁹⁾ konnte dieses nicht wieder

erhalten, vielmehr bildete sich aus CdCy_2 und Ba(OH)_2 mit wässriger Blausäure $\text{BaCdCy}_4 \cdot \text{H}_2\text{O}$, ein ebenfalls sehr wenig beständiges Salz, das sich in H_2O löst, jedoch stark hydrolytisch gespalten zu sein scheint, denn wenn HCN entfernt wird, so fallen CdCy_2 und Ba(OH)_2 wieder aus.

Das **Sr-Salz**, $\text{Sr}_2\text{CdCy}_6 \cdot 3\text{H}_2\text{O}$, kann aus H_2O unzersetzt umkristallisiert werden und bildet große Kristalle.⁵⁹⁹⁾

Die **Ca-Verbindung** $\text{Ca}_4\text{CdCy}_6 \cdot 20\text{H}_2\text{O}$ wird durch CO_2 an feuchter Luft zersetzt und löst sich ebenfalls in H_2O und Alkohol.

Cadmiumdoppelrhodanide. Wenn man Cd(OH)_2 mit NH_4CNS kocht⁶⁰¹⁾, so entsteht außer den NH_3 -haltigen Additionsprodukten $(\text{NH}_4)_2\text{Cd(CNS)}_4 \cdot 2\text{H}_2\text{O}$ als ein monoklines, hygroskopisches, bei 25° schmelzendes, in Alkohol kaum lösliches Salz. Dieser Typus ist weiter vertreten durch die Salze $\text{K}_2\text{Cd(CNS)}_4 \cdot 2\text{H}_2\text{O}$ ⁶⁰¹⁾ (reguläre Oktaeder) und $\text{Rb}_2\text{Cd(CNS)}_4 \cdot 2\text{H}_2\text{O}$.⁶⁰¹⁾ Na liefert hexagonales $\text{NaCd(CNS)}_3 \cdot 3\text{H}_2\text{O}$ ⁶⁰¹⁾, wiederum ein Beispiel für die Verschiedenheit der Alkalimetalle, wie sie bei den Komplexsalzen häufig hervortritt, mit Cs wurde jedoch auch CsCd(CNS)_3 in großen Prismen vom Schmelzpunkte 212° erhalten.⁶⁰²⁾

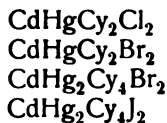
Außer $\text{Ba}_4\text{Cd(CNS)}_{10} \cdot 10\text{H}_2\text{O}$ ⁶⁰¹⁾ wurden noch folgende ziemlich komplizierte Salze beschrieben⁶⁰²⁾:

CsCd(CNS)_3 , große Kristalle vom Schmp. 213° , $\text{Cs}_4\text{Cd(CNS)}_6 \cdot 2\text{H}_2\text{O}$, das bei 90° H_2O verliert, über 110° schmilzt und sich sehr reichlich in H_2O löst, ferner $\text{Cs}_2\text{Ag}_2\text{Cd(CNS)}_6$, $\text{Cs}_2\text{Ag}_2\text{Cd(CNS)}_6 \cdot 2\text{H}_2\text{O}$, das an der Luft verwittert, $\text{Cs}_2\text{Ag}_4\text{Cd(CNS)}_8 \cdot 2\text{HO}$ und $\text{Cs}_4\text{Ag}_{10}\text{Cd}_3(\text{CNS})_{20} \cdot 6\text{H}_2\text{O}$, dieses bildete sich nur in sehr konzentrierter Lösung.

Sie zeigen alle, soweit untersucht⁶⁰¹⁾, die Ionenreaktionen aller Komponenten, sind also schwach komplex.

Quecksilbercadmiumhaloide. Es sind insbesondere durch Arbeiten von Varet⁶⁰³⁾ einige komplexe Salze bekannt geworden, die aus HgCd und zwei Halogenen, deren eines in der Regel das Cyan ist, bestehen. Da keine Studien betreffs des Verhaltens in Lösung vorliegen, so kann vorläufig über die Konstitution dieser Stoffe nichts Sicheres ausgesagt werden, denn wenn auch im allgemeinen bei derartigen Verbindungen vermutet werden darf, daß sie in Lösung komplexe Hg -Anionen bilden werden, daher also bei Hg abzuhandeln sind, so steht doch das Cd dem Hg in dieser Hinsicht nahe, und es erscheint daher die Annahme zulässig, daß in Lösung die komplexen Hg -Anionen nicht die einzigen komplexen Ionen sein werden, sondern daß auch Cd -haltige vorhanden sind. Es darf ein solches Verhalten um so eher als im Bereiche des Wahrscheinlichen liegend gelten, als die Formeln dieser Salze außer dem bei Zn vorkommenden Molarverhältnisse $\text{Hg}:\text{Zn} = 2:1$ auch gelegentlich weniger Hg aufweisen.

Z. B. wurden folgende Formeln gefunden



z. T. mit Kristallwasser, gelegentlich auch als NH_3 -Verbindungen.

Varet hat auch Lösungswärmen und Vermischungswärmen gemessen⁶⁰⁴⁾ die merkliche Werte haben; und daraus folgt, da dies auf Änderung der normalen Dissoziation wegen des Fehlens dieser Dissoziation bei Merkuri-

haloiden nicht gedeutet werden kann, daß beim Vermischen Änderungen des Komplexzustands eintreten.

Organische Doppelhaloide des Cadmiums. Als Anhang möge eine kurze, auf Vollständigkeit keineswegs Anspruch machende Zusammenstellung organischer Cadmiumdoppelhaloide folgen, in der verschiedene Typen vertreten sind. Doppelsalze mit Anilin und Toluidin vom Typus $\text{Cd}(\text{C}_6\text{H}_5\text{NH}_2)_2\text{Cl}_4$ beschrieb Tombeck⁶⁰⁵, eine analoge Cinchonaminverbindung Boutroux und Genvesse.⁶⁰⁶ Kakodylradikale ergaben denselben Typus.⁶⁰⁷

Dagegen finden sich bei Ragland⁶⁰⁸ sehr verschiedene Kombinationen, wie die folgende Tabelle zeigt.

$\text{Cd}(\text{CH}_3\text{NH}_2)_2\text{Cl}_4$	$\text{Cd}((\text{CH}_3)\text{NH}_2)\text{Br}_3$	$\text{Cd}((\text{CH}_3)_2\text{NH}_2)\text{J}_3$
$\text{Cd}((\text{CH}_3)_2\text{NH}_2)\text{Cl}_3$	$\text{Cd}((\text{CH}_3)_2\text{NH}_2)\text{Br}_3$	$\text{Cd}((\text{CH}_3)_3\text{NH})\text{J}_3$
$\text{Cd}_2((\text{CH}_3)_2\text{NH}_2)_3\text{Cl}_5 \cdot 2\text{H}_2\text{O}$	$\text{Cd}((\text{CH}_3)_2\text{NH}_2)_2\text{Br}_4$	$\text{Cd}((\text{CH}_3)_3\text{NH})_2\text{J}_4$
$\text{Cd}_2((\text{CH}_3)_2\text{NH}_2)_3\text{Cl}_7$	$\text{Cd}_4((\text{CH}_3)_2\text{NH}_2)\text{Br}_9$	$\text{Cd}((\text{CH}_3)_4\text{N})\text{J}_3$
$\text{Cd}((\text{CH}_3)_3\text{NH})\text{Cl}_3$	$\text{Cd}((\text{CH}_3)_3\text{NH})\text{Br}_3$	$\text{Cd}((\text{CH}_3)_4\text{N})_2\text{J}_4$
$\text{Cd}_2((\text{CH}_3)_3\text{NH})_3\text{Cl}_7$	$\text{Cd}_2((\text{CH}_3)_3\text{NH})_3\text{Br}_7$	
$\text{Cd}((\text{CH}_3)_4\text{N})\text{Cl}_3$	$\text{Cd}((\text{CH}_3)_4\text{N})\text{Br}_3$	
	$\text{Cd}((\text{CH}_3)_4\text{N})_2\text{Br}_4$	

Es können aber insbesondere die hier genannten Verbindungen mit 5, 7 und 9 Halogen nicht als zweifellos festgestellt gelten, da sie aus Mutterlaugen gleicher Zusammensetzung ausfielen.

Gemischte Cadmiumsulfate. Das Kaliumcadmiumsulfat, $\text{K}_2\text{Cd}(\text{SO}_4)_2 = 382,8$ wurde dargestellt⁶⁰⁹ aus der Lösung unter Zusatz von H_2SO_4 als monoklines Hexahydrat, das sehr schnell verwittert und dem das spez. Gewicht 2,438 zukommt.⁶¹⁰ Später wurde noch eine Reihe anderer Hydrate bekannt. v. Hauer⁶¹¹ erhielt das Dihydrat $\text{K}_2\text{Cd}(\text{SO}_4)_2 \cdot 2\text{H}_2\text{O}$ in triklinen Kristallen aus der neutralen Lösung bei äquivalentem Gehalte der Komponenten. Es verwittert sehr langsam. Kristallographisch ist es durch die folgenden Daten charakterisiert⁶¹²: $a:b:c = 0,8250:1:0,4242$. $\alpha = 88^\circ 26'$ $\beta = 89^\circ 26'$ $\gamma = 109^\circ 22'$.

Aus höher konzentrierter Lösung⁶¹¹ kristallisieren große monokline Säulen von $2\text{K}_2\text{Cd}(\text{SO}_4)_2 \cdot 3\text{H}_2\text{O}$. Die bei t^0 gesättigten Lösungen der beiden letzten Salze enthalten⁶¹³ auf 100 g H_2O a Gramm $\text{K}_2\text{Cd}(\text{SO}_4)_2$:

	$2\text{H}_2\text{O}$			$1,5\text{H}_2\text{O}$			
t^0	16	31	40	26	31	40	64
a	42,89	46,82	47,40	42,50	42,80	43,45	44,90

Die kristallographischen Daten eines Tetrahydrats sind⁶¹²: Monoklines System, $a:b:c = 1,0894:1:1,2365$ $\alpha = 77^\circ 1'$.

Natriumcadmiumsulfat. Aus hochkonzentrierter Lösung kristallisiert $\text{Na}_2\text{Cd}(\text{SO}_4)_2 \cdot 2\text{H}_2\text{O}$.⁶¹⁴

Ein Zusatz von m Mol $\frac{1}{2}\text{Na}_2\text{SO}_4$ zu einer Lösung von n Mol $\frac{1}{2}\text{CdSO}_4$ pro Liter ergibt folgende elektromotorische Kräfte der Kette $\text{Cd}-\text{CdSO}_4-\text{Na}_2\text{SO}_4$ -Calomelektrode ($= 0,560$ Volt).⁶¹⁵

n	m	π
1	1	0,725
0,1	1	0,754
0,01	1	0,780
0,1	0,1	0,732
0,01	0,01	0,738

Die beiden Doppelsulfate mit Rubidium und Cäsium kristallisieren monoklin mit $6\text{H}_2\text{O}$ und sind darum wichtig, weil sie als besonders schön kristallisierende Salze mehrfach die Objekte eingehender kristallometrischer Studien gebildet haben. Die ausführlichsten Untersuchungen stammen von Tutton⁶¹⁶⁾ und ergaben folgendes:

1. $\text{Rb}_2\text{Cd}(\text{SO}_4)_2 \cdot 6\text{H}_2\text{O}$.

$d_{40}^{20} = 2,6715$ $a:b:c = 0,7346:1:0,4931$ $\angle ac = 74^\circ 7'$, Brechungsindex der Richtung parallel zur Symmetrieachse, korr. für das Vakuum $\beta = 1,4706 + \frac{602672}{\lambda^2} - \frac{33274 \cdot 10^8}{\lambda^4} + \dots$ Je nach der Achse des optischen Geschwindig-

keitsellipsoids ist die Molarrefraktion $m = \frac{n^2 - 1}{n^2 + 2} \cdot \frac{M}{d}$, für H_2 und H_γ , die Molardispersion $m_{H_\gamma} - m_{H_\alpha}$.

		a	b	c
m	H_α	61,71	62,23	63,31
	H_γ	63,13	63,66	64,81
$m_{H_\gamma} - m_{H_\alpha}$				
(n-1) $\frac{M}{d}$	H_α	1,42	1,43	1,50
	H_γ	104,21	103,23	107,39

2. $\text{Cs}_2\text{Cd}(\text{SO}_4)_2 \cdot 6\text{H}_2\text{O}$.

$d_{40}^{20} = 2,9552$ $a:b:c = 0,7259:1:0,4906$ $\angle ac = 72^\circ 49'$ $\beta = 1,4876 + \frac{462311}{\lambda^2} - \frac{621,10 \cdot 10^9}{\lambda^4} + \dots$

		a	b	c
m	H_α	66,91	67,19	67,91
	H_γ	68,39	68,67	69,42
$m_{H_\gamma} - m_{H_\alpha}$		1,48	1,48	1,51
(n-1) $\frac{M}{d}$	H_α	113,59	114,16	115,58

Die Doppelbrechung ist bei beiden Salzen positiv.

Löslichkeit. Locke⁶¹⁵⁾ hat bei 25° in 1 Liter gesättigter Lösung 767 g $\text{Rb}_2\text{Cd}(\text{SO}_4)_2$ resp. 1399 g $(\text{Cs}_2\text{CdSO}_4)_2$ gefunden.

Ammoniumdoppelsulfat. v. Hauer⁶¹⁷⁾ erhielt aus äquivalenter Mischung der Komponenten $(\text{NH}_4)_2\text{Cd}(\text{SO}_4)_2 \cdot 6\text{H}_2\text{O}$, ein monoklines Salz vom spez. Gewichte 2,073⁶¹⁰⁾ und dem Achsenverhältnis $a:b:c = 0,7359:1:0,4972$ ⁶¹⁹⁾ (resp. 0,74315:1:0,4945 Rammelsberg⁶¹⁷⁾). Das Salz verwirrt über H_2SO_4 , und verliert alles H_2O bei 100° . Nach Locke⁶¹⁵⁾ enthält 1 Liter bei 25° gesättigter Lösung 723 g $(\text{NH}_4)_2\text{Cd}(\text{SO}_4)_2$. Der Komplexgrad ist der eines normalen Doppelsalzes, d. h. gering, wie aus der Tatsache hervorgeht, daß es nur aus wenig H_2O unverändert umkristallisiert werden kann.⁶¹⁷⁾ Bestätigt wird dieser Schluß durch die Dialyseversuche Rüdorffs⁶²⁰⁾, sowie durch die folgenden Gefriermessungen⁶²¹⁾, in denen v die Verdünnung pro Mol $(\text{NH}_4)_2\text{Cd}(\text{SO}_4)_2$ Δ die Depression bedeutet.

	v	1,635	2,043	2,725	4,087	8,173	16,35
	Δ	3,052	2,493	1,914	1,345	0,719	0,378
$\frac{1,850}{v} = \Delta'$		1,13	0,905	0,680	0,452	0,226	0,113

Wenn auch die Gefrierdepression bei einem so komplizierten Salze keinen Aufschluß über die Dissoziationsgleichgewichte gewährt, so zeigen die beigefügten theoretischen Depressionen doch, daß ein weitgehender Zerfall eintritt, der in den beiden verdünntesten Lösungen größer ist, als daß er durch quantitative Dissoziation in 3 Ionen (etwa $2\text{NH}_4 \cdot + \text{Cd}(\text{SO}_4)_2$ verursacht sein könnte.

Daraus folgt mit großer Wahrscheinlichkeit, daß auch CdSO_4 resp. Cd'' vorhanden sein muß. Die Cd'' -Ionen sind auch durch ihre Reaktionen nachweisbar.

Die molare elektrische Leitfähigkeit μ bei 25° ergab sich in Siemens-Einheiten wie folgt⁶²²⁾:

v	2	4	8	20	40	80	200	400	800	2000
μ	151,6	185,0	216,0	254,4	285,5	320,6	366,2	398,4	432,2	474,0
μ'	195,5	223,6	251,8	289,5	320,0	354,9	400,8	432,5	460,0	491,3

Sie ist nur wenig kleiner als die Summe μ' der Leitfähigkeiten der Einzelsalze und nähert sich ihr mit der Verdünnung.

Durch Kochen von CdO mit kaltgesättigter $(\text{NH}_4)_2\text{SO}_4$ -Lösung soll $\text{Cd}(\text{NH}_4)_6(\text{SO}_4)_4 \cdot 10\text{H}_2\text{O}$ entstehen⁶²³⁾, dagegen wird als Produkt dieses Verfahrens unter Anwendung von $\text{Cd}(\text{OH})_2$ von anderer Seite⁶²⁴⁾ $\text{Cd}(\text{NH}_4)_2\text{SO}_4 \cdot 6\text{H}_2\text{O}$ angegeben.

Magnesiumdoppelsulfat $\text{MgCd}(\text{SO}_4)_2 \cdot 6\text{H}_2\text{O}$ beschreibt Schiff⁶²⁵⁾ als vierseitige Säulen, die sich in H_2O lösen. Diese Formel hat das über H_2SO_4 getrocknete Salz; das frisch umkristallisierte ist $\text{MgCd}(\text{SO}_4)_2 \cdot 14\text{H}_2\text{O}$ und hat das spez. Gewicht 1,983.⁶²⁶⁾

Eisendoppelsulfat $\text{CdSO}_4 \cdot \frac{8}{3}\text{H}_2\text{O}$ bildet mit $\text{FeSO}_4 \cdot 7\text{H}_2\text{O}$ eine isodimorphe Reihe.⁶²⁷⁾

1. Farblose monokline Kristalle, dem Cd -Salz ähnlich. Der molare Prozentgehalt an Fe -Salz (beide Hydrate werden in dieser Form von Retgers, entsprechend seiner Annahme der Formel $\text{CdSO}_4 \cdot 3\text{H}_2\text{O}$, als Trihydrate geschrieben) steigt bis zum maximalen Werte 0,26 Proz.

2. Blaßgrüne, monokline, dem Fe -Salze ähnliche Kristalle. Der Maximalgehalt an CdSO_4 (beide Salze enthalten hier je $7\text{H}_2\text{O}$) beträgt 48,92 Proz., und die Kristalle trüben sich allmählich.

Was die Löslichkeit betrifft⁶²⁸⁾, so enthält eine Lösung des $\text{CdFe}(\text{SO}_4)_2 \cdot 16\frac{1}{3}\text{H}_2\text{O}$ 100 bis 79,8 Molarprozent Cd -Salz, wenn die Kristalle 79,8 bis 0 Proz. enthalten. Für $\text{CdFe}(\text{SO}_4)_2 \cdot 14\text{H}_2\text{O}$ koexistieren Kristalle mit 36,6 bis 0 Molarprozent Cd -Salz mit Lösungen von 100 bis 99,1.

Kupferdoppelsulfat. Für $\text{CdSO}_4 \cdot \frac{8}{3}\text{H}_2\text{O}$ und $\text{CuSO}_4 \cdot 5\text{H}_2\text{O}$ fand Retgers⁶²⁹⁾

1. farblose monokline Kristalle mit $\frac{8}{3}\text{H}_2\text{O}$ (auf 1SO_4). Maximaler Gehalt an Molarprozenten Cu -Salz 0,55 Proz.;

2. blaue triklin Kristalle mit $5\text{H}_2\text{O}$ (auf 1SO_4). Maximalgehalt an Cd -Salz 1,71 Proz.

Also liegt hier wie bei Fe eine unterbrochene isodimorphe Reihe vor.

Mangandoppelsulfat. Mit MnSO_4 mischt sich CdSO_4 gut.⁶³⁰⁾ Das Doppelsalz enthält $4\text{H}_2\text{O}$ und ist mit 10 Proz. Cd -Salz stabil, mit 70 Proz. Cd -Salz wandelt es sich allmählich um. Die großen Kristalle sind isomorph mit $\text{MnSO}_4 \cdot 4\text{H}_2\text{O}$.

Gemischte Cadmiumsulfite. Aus ammoniakalischer Lösung von

CdCl_2 fällt ein SO_2 -Strom rhombische Prismen von $(\text{NH}_4)_2\text{Cd}(\text{SO}_3)_2$, die in H_2O praktisch unlöslich sind.⁶³¹⁾

Über ein $\text{Na}_2\text{Cd}_3(\text{SO}_3)_4$ berichtet Berglund.⁶³²⁾

Gemischte Cadmiumthiosulfate. Cadmiumdoppeltthiosulfate mit Alkali- und Erdalkalimetallen sind ziemlich reichlich bekannt, jedoch kann infolge Fehlens physikochemischer Untersuchungen zurzeit nur eine Beschreibung der Darstellung und Eigenschaften der festen Salze gegeben werden. Die Molarverhältnisse variieren erheblich, über den Wassergehalt gehen die Angaben zum Teil auseinander. Die Löslichkeiten erreichen meist erhebliche Werte, so daß die Salze nur aus konzentrierten Lösungen kristallisieren.

Kaliumverbindungen sind zwei beschrieben.⁶³³⁾ Bei geringem Überschuß des $\text{K}_2\text{S}_2\text{O}_3$ in konzentrierter Lösung (bis $\text{K}_2:\text{Cd} = 4:1$) entsteht aus diesem Salze und Cd-Acetat $\text{K}_{10}\text{Cd}_3(\text{S}_2\text{O}_3)_8$, wenn jedoch $\text{K}_2:\text{Cd} > 6:1$, so erhält man bei Fällung durch Alkohol $\text{K}_6\text{Cd}(\text{S}_2\text{O}_3)_4 \cdot 2\text{H}_2\text{O}$ ein farbloses beständiges Salz, das über H_2SO_4 im Vakuum $1\text{H}_2\text{O}$ verliert.

Natrium. Jochum⁶³⁴⁾ erhielt aus konzentrierter Lösung durch Füllen mit Alkohol $\text{Na}_6\text{Cd}(\text{S}_2\text{O}_3)_4 \cdot 16\text{H}_2\text{O}$ in gelben, nicht hygroskopischen, über H_2SO_4 im Vakuum alles H_2O verlierenden Kristallen. Diese Formel fand von anderer Seite⁶³⁵⁾ Bestätigung, doch ergab sich bei einer dritten Untersuchung⁶³⁵⁾ der Wassergehalt nur zu $9\text{H}_2\text{O}$ und der Verlust über H_2SO_4 nur zu $4\text{H}_2\text{O}$, hier war zur Darstellung $\text{Cd}(\text{NO}_3)_2$ benutzt worden.

Ein zweites Salz, $\text{Na}_6\text{Cd}(\text{S}_2\text{O}_3)_4 \cdot 3\text{H}_2\text{O}$, fällt aus, wenn Na nicht, wie oben, im Überschuß angewandt wird.⁶³³⁾ Es ist gleichfalls gelb und verliert über H_2SO_4 nur $1\text{H}_2\text{O}$.

Endlich haben Vortmann und Padberg noch je nach den Mischungsverhältnissen $\text{Na}_2\text{Cd}_3(\text{S}_2\text{O}_3)_4 \cdot 9\text{H}_2\text{O}$ und $\text{Na}_2\text{Cd}_2(\text{S}_2\text{O}_3)_3 \cdot 7\text{H}_2\text{O}$, beide in gelbweißen Nadeln, erhalten. Die folgenden Salze sind sämtlich von Fock und Klüß angegeben.

Bis zum Verhältnisse $\text{Cd}:(\text{NH}_4)_2 = 1:7$ bildeten sich weiße Kristalle von $(\text{NH}_4)_6\text{Cd}(\text{S}_2\text{O}_3)_4 \cdot 3\text{H}_2\text{O}$, die über H_2SO_4 wasserfrei wurden. $(\text{NH}_4)_6\text{Cd}(\text{S}_2\text{O}_3)_4 \cdot x\text{H}_2\text{O}$ konnte nur einmal erhalten werden, endlich fiel das Anhydrid $(\text{NH}_4)_2\text{Cd}(\text{S}_2\text{O}_3)_2$ bei Alkoholgegenwart aus.

Auch mit Ba und Sr bildeten sich Doppelsalze. $\text{Cd}:\text{Ba} = 1:2$ gab gelbes $\text{Ba}_2\text{Cd}(\text{S}_2\text{O}_3)_3 \cdot 8\text{H}_2\text{O}$, wenn die Lösung in der Hitze verarbeitet wurde, in der Kälte durch Füllen mit Alkohol schwerlösliches gelbes $\text{Ba}_3\text{Cd}(\text{S}_2\text{O}_3)_4 \cdot 8\text{H}_2\text{O}$. Endlich gab $\text{Sr}:\text{Cd} = 4:1$ ein Öl, das über H_2SO_4 zu dicken Kristallen von $\text{Sr}_3\text{Cd}(\text{S}_2\text{O}_3)_4 \cdot 10\text{H}_2\text{O}$ erstarrte, die über H_2O leicht 5, später noch $2\text{H}_2\text{O}$ abgaben.

Die folgenden kristallometrischen Daten sind von denselben Autoren bestimmt worden.

	System	a : b : c	$\angle \beta$	α	γ
$\text{K}_{10}\text{Cd}_3(\text{S}_2\text{O}_3)_8$	monoklin	1,3203 : 1 : 0,95646	$87^\circ 34'$		
$\text{K}_6\text{Cd}(\text{S}_2\text{O}_3)_4 \cdot 2\text{H}_2\text{O}$	monoklin	1,5103 : 1 : 0,9631	$79^\circ 21'$		
$\text{Na}_6\text{Cd}(\text{S}_2\text{O}_3)_4 \cdot 16\text{H}_2\text{O}$	monoklin	1,136 : 1 : 0,3492	$76^\circ 45'$		
$\text{Na}_6\text{Cd}(\text{S}_2\text{O}_3)_4 \cdot 3\text{H}_2\text{O}$	triklin	—	—		
$(\text{NH}_4)_6\text{Cd}(\text{S}_2\text{O}_3)_4 \cdot 3\text{H}_2\text{O}$	monoklin	0,9760 : 1 : 1,0026	$83^\circ 45'$		
$(\text{NH}_4)_6\text{Cd}(\text{S}_2\text{O}_3)_4 \cdot x\text{H}_2\text{O}$	rhombisch	0,4317 : 1 : 0,4187	—		
$(\text{NH}_4)_2\text{Cd}(\text{S}_2\text{O}_3)_2$	monoklin	0,8216 : 1 : 1,5560	$82^\circ 15'$		
$\text{Ba}_2\text{Cd}(\text{S}_2\text{O}_3)_3 \cdot 8\text{H}_2\text{O}$	triklin	0,9871 : 1 : 0,8595	$91^\circ 37'$	$80^\circ 15'$	$57^\circ 50'$
$\text{Ba}_3\text{Cd}(\text{S}_2\text{O}_3)_4 \cdot 8\text{H}_2\text{O}$	triklin	0,6997 : 1 : 0,6441	$91^\circ 18'$	$94^\circ 18'$	$79^\circ 11'$

Cadmiumdoppelselenate. $K_2Cd(SeO_4)_2 \cdot 2H_2O$ bildet große luftbeständige trikline Kristalle vom Achsenverhältnisse $a:b:c=0,7239:1:0,4614$, die mit den Alkalidoppelsulfaten des Mn und Fe isomorph sind und sich „unzersetzt“ in H_2O lösen.⁶³⁶⁾

$(NH_4)_2Cd(SeO_4)_2 \cdot 6H_2O$ ist monoklin mit dem Achsenverhältnisse $a:b:c=0,7388:1:0,5001$ und dem spez. Gewichte 2,307.⁶³⁷⁾

$(NH_4)_2Cd(SeO_4)_2 \cdot 2H_2O$ kristallisiert triklin mit dem Achsenverhältnisse $a:b:c=0,7277:1:0,4418$ (Wyruboff⁶³⁶⁾).

Ein mit den einfachen Doppelsalzen isomorphes Salz $K_2CdSO_4SeO_4 \cdot 6H_2O$ beschreibt von Gerichten.⁶³⁸⁾

Kaliumcadmiumnitrit. Es sind eine Reihe von Doppelnitriten bekannt. $K_2Cd(NO_2)_4$ wurde von v. Lang⁶³⁹⁾, Hampe⁶⁴⁰⁾, Topsoë⁶⁴¹⁾, Laubenheimer⁶⁴²⁾, Kohlschütter⁶⁴⁴⁾ erhalten. Es bildet gelbe, rhombische Prismen von $a:b:c=0,5369:1:1,9237$ (Topsoë⁶⁴¹⁾, Fock⁶⁴³⁾). In H_2O löst es sich leicht, in Alkohol fast gar nicht.⁶³⁹⁾

Weiterhin existiert ein Salz $KCd(NO_2)_3$ ⁶⁴⁰⁾ von regulärer Kristallform⁶⁴³⁾, das aus der H_2O -Lösung des erstgenannten durch Alkohol gefällt wird.⁶⁴⁴⁾

$K_4Cd(NO_2)_6$ beschreibt v. Lang⁶³⁹⁾ als gelbe Tafeln von größerer Löslichkeit in H_2O als $K_2Cd(NO_2)_4$ und alkalischer Reaktion. Fock⁶⁴³⁾ konnte aber dieses Salz nicht wieder erhalten.

Über die Gleichgewichtsverhältnisse dieser interessanten Salze in Lösung weiß man so gut wie gar nichts. Es scheint nur, daß die Komplexkonstante des $KCd(NO_2)_3$ die des $K_2Cd(NO_2)_4$ übertrifft, da das letztgenannte erst aus konzentrierter Lösung erhalten werden kann.⁶⁴³⁾

Bezüglich des Komplexzustandes läßt sich, in Anbetracht des sonstigen chemischen Charakters des NO_2 -Ions, nur die Vermutung aufstellen, daß die Stoffe den schwach- oder halbkomplexen Salzen zuzurechnen sind.

Cadmiumdoppelphosphate usw. Das Ammonorthosalz ist $2NH_4CdPO_4 \cdot 3H_2O$; es löst sich leicht in Säuren und NH_4OH , dagegen sehr wenig in Wasser.^{643a)} Ein Ammondimetaphosphat, $(NH_4)_2Cd(P_2O_6)_2$, beschreibt Fleitmann.^{643b)} Das Kaliumorthosalz, $KCdPO_4$, verhält sich gegen H_2O und Säuren wie das Ammonsalz^{643c)}, ebenso das Pyrosalz, $K_2CdP_2O_7$, und die analog konstituierten Natriumsalze.^{643a)}

Cadmiumdoppelarsenate. Mischsalze sind durch Lefèvre⁶⁴⁵⁾ erhalten worden, $KCdAsO_4$ ist isomorph dem entsprechenden Zn-Salze und entsteht, wenn CdO mit $KAsO_3$ behandelt wird. $NaAsO_3$ gibt $Na_8Cd_2(As_2O_7)_3$, mit mehr CdO entsteht das mit Mn-Salzen isomorphe $Na_4CdAs_2O_8$.

Bariumcadmiumformiat. v. Hauer gab die Formel dieses Salzes zu $BaCd(HCOO)_4 \cdot 3/2 H_2O$ an und Handl⁶⁴⁶⁾ bezeichnete es als rhombisch. Beide Angaben dürften jedoch nicht zutreffen, denn nach Lossen und Voß⁶⁴⁷⁾ lautet die Formel richtiger $BaCd(HCOO)_4 \cdot 2H_2O$ (die H_2O -Gehalte betragen 7,77 resp. 7,92 %, es handelt sich also um sehr geringfügige Differenzen), und Brio⁶⁴⁸⁾ fand die Kristallform monoklin mit $a:b:c=0,8983:1:0,5400$ und $\angle \beta = 90^\circ 28'$.

Das spez. Gewicht bei $20,3^\circ$ beträgt 2,743.⁶⁴⁹⁾

Cadmiumdoppeloxalate. Wenn CdC_2O_4 in gesättigter $K_2C_2O_4$ -Lösung bis zur Sättigung gelöst wird, so resultieren kleine Quadratktaeder von $K_2Cd(C_2O_4)_2 \cdot 2H_2O$.⁶⁵⁰⁾ Das Salz wird bei 100° wasserfrei. Analog wurde $Na_2Cd(C_2O_4)_2 \cdot 2H_2O$ erhalten.⁶⁵⁰⁾ Das entsprechende Ammonsalz⁶⁵¹⁾

enthält $8\text{H}_2\text{O}$ und hat Bedeutung für die elektrolytische Abscheidung von Cd gewonnen.⁶⁵²⁾ Auch höher komplexe Ammondoppelsalze mit 12 und 32 NH_4 sind angegeben⁶⁵⁰⁾, jedoch kann ihre chemische Individualität nicht als festgestellt gelten. Die Komplexität ist nicht stark genug, um die Fällung von CdS mit H_2S zu verhindern.⁶⁵³⁾

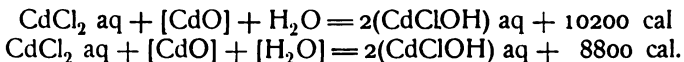
Rosenheim und Davidsohn⁶⁵⁷⁾ haben an Doppelverbindungen des Cadmiumthioglykolats hochgradige Komplexität insofern konstatiert, als die Cd-Reaktionen mit Ausnahme der Sulfidfällung versagten.

Basische oder Oxyalze. Es dürfte kaum ein Kapitel in der Beschreibung eines Schwermetalls geben, das mit soviel zweifelhaften und wertlosen Angaben belastet wäre wie das der basischen Salze. Wo nur irgendein Gemisch von Oxyd mit einem anderen Niederschlage vorlag, da wurde dieses wenigstens von einem Autor für ein neues Salz erklärt, und da man gewöhnlich auf den Analysenfehler nicht achtete, so konnte selbst bei gleicher Arbeitsweise eine Nachprüfung ein anderes Individuum zutage fördern. Man hat Beispiele, daß ein Autor ein kompliziertes Hydrat mit 35 H_2O entdeckte und der nächste nur 34 fand, während dieser Unterschied im ganzen vielleicht 1—2 pro Mille des Molargewichts betrug. Nun liegt gerade im Falle des Cd und Zn die Gefahr des Auftretens solcher Gemische vor, es braucht in dieser Hinsicht nur auf das allbekannte Verhalten des ZnCO_3 verwiesen zu werden. In die hier zu gebende Übersicht ist daher eine große Zahl von Literaturangaben, deren Wertlosigkeit klar zutage trat, nicht aufgenommen worden, wiewohl insbesondere bei Cd die Möglichkeit der Existenz komplexer Salze gewiß gegeben ist.

Cadmiumoxychloride. Die verschiedenen hier zu erwähnenden Untersuchungen führen fast ausschließlich auf ein Oxychlorid CdClOH . Langes Erhitzen von CdCl_2 -Lösung mit Marmor auf 200° ⁶⁵⁴⁾, Füllen von konzentriertem CdCl_2 durch NH_4OH ⁶⁵⁵⁾, Behandeln von Cd mit Überschuß von CdCl_2 -Lösung⁶⁵⁶⁾ ergaben alle diesen Stoff. Auf dem erstgenannten Wege erhielt man ihn gut kristallisiert in hexagonalen Prismen von starker Doppelbrechung und dem spez. Gewichte $d_{15} = 4,56$. Er löst sich in H_2O schwer, wird aber merklich hydrolysiert. Für sich ist er bei 280° beständig.

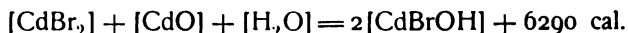
Canzoneri⁶⁵⁶⁾ gibt noch ein $\text{Cd}_3\text{O}_2\text{Cl}_2$ an.

Tassilly⁶⁵⁴⁾ fand bei 15°

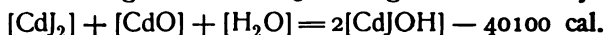


Cadmiumoxybromid. Auch hier hat man die Formel des Oxychlorids gefunden. Schulten⁶⁵⁴⁾ erhielt wie dieses das Bromid CdBrOH von dem spez. Gewichte $d_{15} = 4,87$. Tassilly⁶⁵⁴⁾ bekam dasselbe durch Füllen von CdBr_2 mit NH_4OH in der Hitze. Er fand aber auch noch das Hydrat $\text{CdBrOH} \cdot \text{H}_2\text{O}$, als er konzentrierte CdBr_2 -Lösung mit CdO auf 200° erhitze. CdBrOH ist ein sehr stabiler Stoff, der durch H_2O nur langsam verändert wird. Diese Langsamkeit dürfte übrigens, wie auch beim Chlorid, wohl auf geringe Löslichkeit oder auch Lösungsgeschwindigkeit zurückzuführen sein, denn Säuren lösen den Stoff schnell und leicht und Alkalien zerstören ihn, man wird also zur Annahme einer besonders großen Komplexstabilität nicht geführt.

Tassilly⁶⁵⁴⁾ fand bei 16°



Cadmiumoxyjodide. Hier wurde außer dem Hydrate $\text{CdJOH} \cdot \text{H}_2\text{O}$ auch CdJOH konstatiert, von denselben Autoren und auf dieselben Arten gewonnen. Seine Bildungswärme bei 13° beträgt nach Tassilly



Die Existenz eines Cadmiumoxycyanids von der Zusammensetzung $\text{Cd}_3\text{Cy}_4\text{O} \cdot 5\text{H}_2\text{O}$ wurde von Joannis⁶⁵⁹⁾ behauptet und von Loebe⁶⁶⁰⁾ mit der Änderung bestätigt, daß die Formel besser $\text{Cd}_3\text{Cy}_4(\text{OH})_2 \cdot 4\text{H}_2\text{O}$ zu schreiben ist, weil das letzte H_2O erst bei sehr hoher Temperatur unter Verlust von HCN entfernt wird. Das Salz bildet sich aus $\text{Cd}(\text{OH})_2$ oder CdCy_2 durch Einwirkung von wässriger HCN .

Ein anderes Salz, $\text{Cd}_4\text{Cy}_6(\text{OH})_2 \cdot 15\text{H}_2\text{O}$, entstand durch Hydrolyse des Sr-Doppelcyanids.⁶⁶⁰⁾

Cadmiumoxysulfat. Ein Salz, $\text{Cd}_2\text{SO}_4(\text{OH})_2$, ist aus CdSO_4 durch Kochen mit $\frac{1}{3}$ Äquivalent KOH ⁶⁶¹⁾, aus CdSO_4 mit NH_4OH ⁶⁶²⁾, in triklinen Nadeln durch Erhitzen von $\text{CdSO}_4 \cdot \text{H}_2\text{O}$ auf 200° — 250° ⁶⁶³⁾ erhalten worden. Es löst sich sehr schwer in H_2O .

Cadmiumoxynitrat. Auch hier findet sich die Formel der Oxyhaloide. Durch Kochen von $\text{Cd}(\text{NO}_3)_2$ -Lösung mit $\text{Pb}(\text{OH})_2$ oder $\text{Cd}(\text{OH})_2$ erhielt Schröder⁶⁶⁴⁾ $\text{CdOHNO}_3 \cdot \text{H}_2\text{O}$ in anscheinend rhombischen Tafeln. Das H_2O geht bei 130° weg.

Zwei andere Salze seien lediglich als Beispiele für die frühere Angabe mitgeteilt, daß sehr viel zweifelhafte Stoffe als Individuen gegolten haben.

Dies sind $\text{Cd}_5(\text{NO}_3)_4\text{O}_3 \cdot 8\text{H}_2\text{O}$, erhalten aus CaCO_3 und $\text{Cd}(\text{NO}_3)_2$ bei 350° ⁶⁶⁵⁾, und $\text{Cd}_6(\text{OH})_{11}\text{NO}_3$ ⁶⁶⁶⁾. Im letzten Falle beträgt die analytische Genauigkeit ca. 1 Proz., $1\text{H}_2\text{O}$ ist gleich 2 Proz. des Molargewichts.

Basische Mischsalze des Cd. Den basischen Salzen reihen sich noch einige eigentümliche Verbindungen an, die außer Cd noch ein zweites Metall (Hg oder Cu) enthalten und die vielleicht, rein formal betrachtet, als Additionsprodukte eines Cd-Salzes mit HgO oder CuO angesprochen werden dürfen und darum hier Erwähnung finden sollen.

$\text{Cu}_4\text{O}_3(\text{OH})_2$ z. B. bildet mit CdCl_2 ein graues Kristallpulver von $\text{Cd}(\text{CuO})\text{Cl}_2 \cdot 6\text{H}_2\text{O}$ ⁶⁶⁷⁾, mit CdSO_4 blaue Kristalle von $\text{Cd}_2(\text{CuO})_3(\text{SO}_4)_2 \cdot 12\text{H}_2\text{O}$ resp. grüne von $\text{Cd}_2(\text{CuO})_3(\text{SO}_4)_2 \cdot 10\text{H}_2\text{O}$ ⁶⁶⁸⁾, mit konzentrierter Lösung von $\text{Cd}(\text{NO}_3)_2$ dagegen grüne Kristalle von $\text{Cd}(\text{CuO})(\text{NO}_3)_2 \cdot 5\text{H}_2\text{O}$ ⁶⁶⁹⁾.

HgO bildet mit konzentrierter CdCl_2 -Lösung $\text{CdClOH} \cdot 3\text{H}_2\text{O}$, mit CdBr_2 ebenfalls ein Oxybromid, mit CdSO_4 nichts, mit $\text{Cd}(\text{NO}_3)_2$ aber weiße triklone Kristalle von $\text{Cd}(\text{HgO})(\text{NO}_3)_2 \cdot 3\text{H}_2\text{O}$ ⁶⁷⁰⁾.

Addition von neutralen Stoffen an Cadmiumsalze. Die ausgesprochene Neigung des Cadmiums zur Bildung komplexer Verbindungen dokumentiert sich augenfällig in der stattlichen Reihe solcher Stoffe, die aus gewöhnlichen Cadmiumsalzen durch Addition verschiedener Nichtelektrolyte entstehen. Es gehören hierher in erster Linie die Ammoniakverbindungen, sowie die der substituierten Ammoniake und anderer Anhydride stickstoffhaltiger Basen, wie Pyridin und seine Abkömmlinge, ferner kann auch der Stickstoff durch analoge Elemente vertreten sein. Was die Molarverhältnisse anbetrifft, so enthält die Mehrzahl 2 Radikale auf 1 Cd, doch sind auch andere Quotienten vorhanden. In Lösung scheinen größtenteils komplexe Kationen $(\text{CdX}_n)^+$ gebildet zu werden, doch läßt sich zurzeit noch wenig Sicheres über die Gleichgewichtsverhältnisse sagen.

Wichtig erscheint es jedoch zu beachten, daß die addierten Stoffe durchweg zu denjenigen gehören, die fakultativ mehrwertige Elemente wie N, S, O enthalten, also gewissermaßen ungesättigt sind.

1. Ammoniakverbindungen. Cl. Von den NH_3 -Verbindungen der Cd-Salze, speziell der Haloide, sind bei weitem am eingehendsten die Chlor-derivate untersucht worden. Man hat Salze mit 1, 2, 3, 4, 5, 6 NH_3 auf 1 CdCl_2 gefunden, das unter gewöhnlichen Verhältnissen stabilste scheint dasjenige zu sein, welches 2 NH_3 enthält.

CdNH_3Cl_2 bildet sich aus $\text{Cd}(\text{NH}_3)_2\text{Cl}_2$ durch Erhitzen und erscheint als ein hygroskopischer Stoff.⁶⁷¹⁾

$\text{Cd}(\text{NH}_3)_2\text{Cl}_2$ erhielt v. Hauer⁶⁷²⁾ aus ammoniakalischer CdCl_2 -Lösung, später wurde es auf ähnliche Weise durch Einleiten von NH_3 in verdünnte (ca. 0,1 normale⁶⁷³⁾) wässrige oder auch in alkoholische⁶⁷¹⁾ Lösung gewonnen. Es bildete im letzterwähnten Falle ein weißes, mikrokristallines Pulver, das sich in NH_4OH nicht löste. Nach Croft enthält es $\frac{1}{2}\text{H}_2\text{O}$.

$\text{Cd}(\text{NH}_3)_3\text{Cl}_2 \cdot \frac{1}{2}\text{H}_2\text{O}$ hat André⁶⁷⁴⁾ in großen Oktaedern erhalten, die durch H_2O zersetzt wurden; das Tetrammoniakat $\text{Cd}(\text{NH}_3)_4\text{Cl}_2 \cdot \frac{1}{2}\text{H}_2\text{O}$ beschreibt derselbe Autor als Produkt des zur Darstellung des vorgenannten Salzes beobachteten Verfahrens, wenn die Temperatur etwas geändert war. Dieses Verfahren besteht in der Behandlung von CdCl_2 mit NH_4OH -Überschuß und Wiederlösen des Niederschlags.

Aus der Lösung von CdCl_2 in 20prozentigem NH_4OH und Einleiten von NH_3 in der Kälte erhielt André $\text{Cd}(\text{NH}_3)_6\text{Cl}_2$.

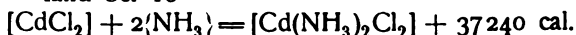
$\text{Cd}(\text{NH}_3)_6\text{Cl}_2$ ist mehrfach beschrieben worden.

Es fällt aus CdCl_2 in NH_4OH durch HCl -Zusatz⁶⁷⁵⁾, entsteht aber auch durch NH_3 -Absorption aus festem CdCl_2 ⁶⁷⁶⁾, löst sich schwer in H_2O ⁶⁷⁵⁾ und wird durch dieses in CdO verwandelt.⁶⁷⁷⁾ An der Luft geht es, entsprechend seinem Dampfdrucke, in $\text{Cd}(\text{NH}_3)_2\text{Cl}_2$ über.

Die NH_3 -Dampfdrucke p in mm Hg betragen⁶⁷⁸⁾ bei t°

	t =	20°	78°	216°
$\text{Cd}(\text{NH}_3)_6\text{Cl}_2$	p =	331,0	—	—
$\text{Cd}(\text{NH}_3)_4\text{Cl}_2$		100,5	1002	—
$\text{Cd}(\text{NH}_3)_2\text{Cl}_2$		24,6	—	361,1
CdNH_3Cl_2		2,0	—	4,53

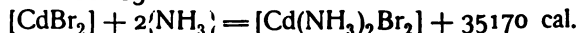
Tassilly⁶⁷⁷⁾ fand bei 16°



Br. $\text{Cd}(\text{NH}_3)_2\text{Br}_2$ erhielt Rammelsberg⁶⁷⁹⁾ durch Lösen von CdBr_2 in NH_4OH als Kristalle, $\text{Cd}(\text{NH}_3)_2\text{Br}_2$ Croft auf gleichem Wege als reguläre Oktaeder. Das zweite geht mit viel H_2O in CdO über (Croft, Tassilly). $\text{Cd}(\text{NH}_3)_3\text{Br}_2$ erhielt Tassilly aus der Lösung von CdBr_2 durch Sättigen mit NH_3 .

$\text{Cd}(\text{NH}_3)_4\text{Br}_2$ wurde von Croft und Rammelsberg aus CdBr_2 durch NH_3 -Absorption erhalten, die Formel steht jedoch nicht fest, und es wird möglicherweise auch eine höhere Stufe erreicht.

Tassilly fand bei 15°



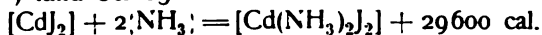
J. Von CdJ_2 -Verbindungen finden sich nur zwei in der Literatur. $\text{Cd}(\text{NH}_3)_2\text{J}_2$ erhielt Rammelsberg⁶⁸⁰⁾ aus ammoniakalischer Lösung von CdJ_2 in Kristallen, die von H_2O zerlegt werden, also eine bestimmte Minimal-konzentration von NH_3 in der Lösung für ihren Bestand erfordern. $\text{Cd}(\text{NH}_3)_6\text{J}_2$ erhielten Croft und Rammelsberg auf trockenem Wege durch NH_3 -Absorp-

tion. Auch dieses Salz wird von H_2O zerlegt, auch ist es nicht luftbeständig, sondern verliert NH_3 .

Daß mindestens eine dieser Verbindungen in wässriger Lösung z. T. vorhanden sein muß, folgt aus nachstehenden Zahlen⁶⁵¹⁾ über das Teilungsverhältnis von NH_3 zwischen CHCl_3 und CdJ_2 -Lösung bei 20°. Es bedeutet hier c die Molarität von CdJ_2 , g das Gewicht NH_3 pro Volumeinheit in CHCl_3 , g' dasselbe in H_2O

c	g	g'	$\frac{g'}{g}$
0,1	0,3572	12,688	35,5
0,05	0,2402	7,935	33,0
	0,2906	9,458	32,5
	0,3490	10,979	31,4
	0,4167	12,642	30,3
0	—	—	26,3

Tassilly⁶⁷³⁾ fand bei 15°



CN. Aus HCN und ammoniakalischem CdCy_2 bilden sich Kristalle von $\text{Cd}(\text{NH}_3)_2\text{Cy}_2$ (I), die leicht verwittern.⁶⁶⁰⁾

Ein anderes Salz, das an der Luft keine Veränderung erfährt und große, sehr wenig lösliche Kristalle bildet, hat die Zusammensetzung $\text{Cd}_2(\text{NH}_3)_3\text{Cy}_4 \cdot \text{H}_2\text{O}$ ⁶⁵²⁾ (II), ein drittes ist $\text{Cd}_4(\text{NH}_3)_5\text{Cy}_8 \cdot 2\text{H}_2\text{O}$ ⁶⁵²⁾ (III).

Diese Formeln entsprechen nur geringen Analysendifferenzen, nämlich folgenden Prozentgehalten.

	Cd	:	NH_3	:	Cy
I	56,47		17,40		28,55
II	56,46		12,95		26,39
III	57,54		10,87		26,81

Sie sind daher um so mehr mit Vorsicht aufzunehmen, als H_2O ganz und Cy z. T. aus Differenzberechnungen abgeleitet wurden.

CNS. $\text{Cd}(\text{NH}_3)_2(\text{CNS})_2$ erhielt Meitzendorff⁶⁵³⁾ durch Lösen von $\text{Cd}(\text{CNS})_2$ in NH_4OH als Kristalle, die von H_2O zersetzt werden. Auf dem umgekehrten Wege, durch Kochen von $\text{Cd}(\text{OH})_2$ mit NH_4CNS -Lösung, kam Großmann⁶⁵⁴⁾ zu $\text{CdNH}_3(\text{CNS})_2$, war jedoch NH_3 -Überschuß vorhanden, so erhielt er das erstgenannte Salz. $\text{CdNH}_3(\text{CNS})_2$ kristallisiert monoklin und unterliegt ebenfalls der Hydrolyse in hohem Grade.

$\text{BrO}_3 \cdot \text{JO}_3$. Ein Salz von anscheinend der Zusammensetzung $\text{Cd}(\text{NH}_3)_3 \cdot (\text{BrO}_3)_2$ erhielt Rammelsberg⁶⁵⁵⁾ aus $\text{Cd}(\text{BrO}_3)_2$ und NH_4OH durch Konzentrieren ohne Erwärmen. Verdünnen oder Kochen produziert $\text{Cd}(\text{OH})_2$.

$\text{Cd}(\text{JO}_3)_2 \cdot \text{H}_2\text{O}$ geht in NH_3 -Atmosphäre in $\text{Cd}(\text{NH}_3)_4(\text{JO}_3)_2$ über.⁶⁵⁶⁾ Löst man es dagegen in NH_4OH , so resultieren farblose, luftbeständige Kristalle von $\text{Cd}(\text{NH}_3)_2(\text{JO}_3)_2 \cdot \text{H}_2\text{O}$.

OH. Cadmiumammoniakhydroxyd. Daß CdO sich in NH_4OH löst, stellte bereits Stromeyer⁶⁵⁷⁾ fest. Man hat die Ursache in der Bildung eines komplexen Kations zu suchen, denn während beim Zink die Existenz von Alkalizinkaten anzunehmen gestattet, daß in NH_4OH -Lösung ein wenn auch recht geringer Bruchteil als ZnO_2^{--} -Ion vorhanden sei, fällt für $\text{Cd}(\text{OH})_2$ dieser Grund wegen der äußerst geringfügigen Löslichkeit in fixen Alkalien fort und man hat also praktisch keine komplexen Cd-Anionen in der Lösung.

Die Formel des Komplexions dürfte ziemlich wahrscheinlich $\text{Cd}(\text{NH}_3)_4^-$

lauten, denn aus Messungen der elektromotorischen Kräfte von Konzentrationsketten schließen Bonsdorff⁶⁸⁹⁾ und Euler⁶⁸⁹⁾ auf diese Konstitution.

Die Komplexbkonstante beträgt⁶⁸⁹⁾

$$\frac{[\text{Cd}^{++}] \cdot [\text{NH}_3]_4}{[\text{Cd}(\text{NH}_3)_4^{++}]} = 10^{-7}.$$

Leitfähigkeitsmessungen führen zu dem Schlusse⁶⁸⁸⁾, daß dieser Komplex ein stärkeres Kation vorstellt als $\text{Zn}(\text{NH}_3)_3^{++}$ (resp. $\text{Zn}(\text{NH}_3)_4^{++}$; vgl. dieses). Denn die spez. Leitfähigkeit bei 18° für NH_3 von der Konzentration c Mol/Liter wurde zu l_1 gefunden, die derselben Lösung mit Zusatz von stets 0,01 Äquivalent $\frac{1}{2}\text{Ba}(\text{OH})_2$ zu l_2 , l_3 entspricht den NH_3 -Lösungen mit Zusatz von je 0,01 $\cdot \frac{1}{2}$ $\text{Cd}(\text{OH})_2$.

c	$l_1 \cdot 10^4$	$l_2 \cdot 10^4$	$l_3 \cdot 10^4$
0,5	7,0	22,1	—
1	9,0	22,3	18,0
2	10,6	23,5	22,5
3	10,9	23,4	22,9
4	10,7	22,2	22,3
7	8,2	17,6	18,4
10	5,4	13,5	14,6

Ausführlicher sind folgende Tabellen Bonsdorffs ($c_1 = \text{Mol NH}_3$, c_2 Mol $\frac{1}{2}$ $\text{Cd}(\text{OH})_2$ pro Liter)

c_1	c_2	$l_2 \cdot 10^4$
5	0,04385	62,3
5	0,02195	35,5
5	0,01095	21,5
5	0,00548	15,0
5	0,00274	12,0
5	0	10,1

c_1	c_2	$l_1 \cdot 10^4$	$l_2 \cdot 10^4$
5	0,04385	10,1	62,3
2,5	0,02185	10,9	38,1
1,25	0,01095	9,5	22,5
0,63	0,00548	7,4	13,5
0,31	0,00247	5,6	7,8

c_1	$c_1 =$	0	0,0104	0,0208	0,0312	0,0416
0,93	1 =	—	17,7*)	—	—	—
1		8,9	—	—	—	—
1,31		—	—	29,7*)	—	—
1,5		9,9	21,5	—	—	—
1,8		—	—	34,9	—	—
2		10,6	22,5	—	—	—
2,5		10,9	22,8	35,5	—	—
3		10,9	22,9	35,5	48,0	—
3,6		—	—	—	—	60,0
4		10,8	22,3	34,9	47,2	59,5
5		10,1	21,0	33,2	45,5	57,5
7		8,1	18,4	33,0	41,2	52,4
10		5,4	14,6	25,2	34,8	43,5

*) $\text{Cd}(\text{OH})_2$ ausgefallen.

Die Löslichkeit von $\text{Cd}(\text{OH})_2$ in NH_4OH variiert mit dem Präparate. Euler⁶⁹⁰⁾ fand für $\text{Cd}(\text{OH})_2$, welches n Proz. H_2O enthält, bei t° eine Löslichkeit von c_1 Mol pro Liter bei einer NH_4OH -Konzentration von c_2 .

t	16°—17°			21°	
n	76	76	50	50	41
c_1	0,008	0,003	0,0023	0,0006	0,0022
c_2	0,87	0,47	0,51	0,26	0,51

Bei 25° lösen sich nach Bonsdorff⁶⁸⁸⁾ a Mol $\frac{1}{2}\text{Cd}(\text{OH})_2$ in 1 Liter c-normalem NH_3

c	a
0,5	0,00374
1	0,00966
1,8	0,02075
4,6	0,07670

SO_4 . H. Rose⁶⁹¹⁾ fand, daß 1 CdSO_4 6 Ammoniak absorbiert, G. Müller⁶⁹²⁾ löste CdSO_4 in NH_4OH und erhielt daraus $\text{Cd}(\text{NH}_3)_4\text{SO}_4 \cdot \frac{5}{2}\text{H}_2\text{O}$, während nach André⁶⁹⁶⁾ sowie Malaguti und Sarzeau⁶⁹³⁾ $\text{Cd}(\text{NH}_3)_4\text{SO}_4 \cdot 4\text{H}_2\text{O}$ zu schreiben ist. Isambert⁶⁹⁴⁾ maß folgende Dampfdrucke p des Salzes $\text{Cd}(\text{NH}_3)_6\text{SO}_4$ in mm Hg bei t°

t°	p
48,5	368
51,5	439
100	1365

Bei 100° bildete sich $\text{Cd}(\text{NH}_3)_2\text{SO}_4$.

Man hat also vermutlich 3 Salze anzunehmen.

CdSO_4 erniedrigt noch in 0,01 molarer Lösung den Partialdruck des NH_3 über seiner Lösung stark.⁶⁹⁵⁾

NO_3 . André⁶⁹⁶⁾ löste $\text{Cd}(\text{NO}_3)_2$ in 20prozentigem NH_4OH bis zur Sättigung und erhielt daraus $\text{Cd}(\text{NH}_3)_6(\text{NO}_3)_2 \cdot \text{H}_2\text{O}$, das beim Erhitzen sein H_2O verlor; leitete er durch jene Lösung NH_3 , so fiel $\text{Cd}(\text{NH}_3)_6(\text{NO}_3)_2$. Beide Salze sind nicht luftbeständig. Nach Konowalow⁶⁸²⁾ folgt aus der Messung des NH_3 -Partialdruckes über $\text{Cd}(\text{NO}_3)_2$ -Lösung, daß 1 Cd 4 NH_3 addiert.

NO_2 . Durch Reduzieren von NH_4NO_3 -Lösung mit Cd erhielt Morin⁶⁹⁷⁾ rhomboidale Prismen der Zusammensetzung $\text{Cd}(\text{NH}_3)_2(\text{NO}_2)_2\text{OH}$ oder $\text{Cd}(\text{NH}_3)_2(\text{NO}_2)_2\text{O} \cdot \text{H}_2\text{O}$.

SO_3 , S_2O_3 , SeO_2 . CdSO_3 in NH_4OH gelöst, gibt Kristalle von CdNH_3SO_3 .⁶⁹⁸⁾ Auf gleiche Weise ergab sich mit CdS_2O_3 ein Salz, dessen Zusammensetzung seiner Unbeständigkeit wegen nicht sicher angegeben werden kann, es scheint $\text{Cd}(\text{NH}_3)_4\text{S}_2\text{O}_3$ zu sein.⁶⁹⁹⁾ Butzureano⁷⁰⁰⁾ erhielt rhombische Kristalle von $\text{CdNH}_3\text{SeO}_2$, die bei 100° nicht verändert werden und auch gegen H_2O indifferent sind.

C_2O_4 . Ebenso wurde $\text{Cd}(\text{NH}_3)_2\text{C}_2\text{O}_4 \cdot 4\text{H}_2\text{O}$ erhalten, ein gleichfalls nicht luftbeständiges Salz.⁷⁰¹⁾

2. Pyridin etc. Die nachgenannten Verbindungen müssen als wahrscheinlich auch in Lösung vorhanden angesehen werden, besonders wenn, wie z. B. Pyridin, der addierte Stoff selbst das Medium bildet. Das Molargewicht der

Salze scheint sich dabei nur wenig von dem normalen zu unterscheiden.⁷⁰⁵⁾ Die Komplexkonstanten sind klein, denn wo man geprüft hat, zeigten sich die Reaktionen der Komponenten.

Von Verbindungen des CdCl_2 mit Pyridin ist bekannt: $\text{Cd(Py)}_2\text{Cl}_2$ ⁷⁰²⁾⁷⁰⁴⁾ als ein in H_2O schwer löslicher Stoff, der 1 Py bei 150° leicht, das zweite viel schwerer verliert.

$\text{Cd(Py)}_6\text{Br}_2$ hat man als kleine weiße Kristalle erhalten, die sich ebenfalls in H_2O schwer lösen.⁷⁰³⁾

Von Jodderivaten sind bekannt $\text{Cd(Py)}_2\text{J}_2$ ⁷⁰²⁾ und das nicht luftbeständige $\text{Cd(Py)}_6\text{J}_2$ ⁷⁰⁴⁾

Auch Piperidin und Chinolin sind mit Cd-Salzen kombiniert worden. Es ist beschrieben $\text{Cd(Pip)}_2\text{Cl}_2$ ⁷⁰⁵⁾, CdPipCl_2 ⁷⁰⁴⁾, $\text{Cd(Pip)}_3\text{Br}_2$ ⁷⁰⁴⁾⁷⁰⁵⁾, $\text{Cd(Pip)}_2\text{Br}_2$ ⁷⁰⁵⁾, CdPip-Br_2 ⁷⁰⁴⁾, $\text{Cd(Pip)}_2\text{J}_2$ ⁷⁰⁴⁾⁷⁰⁵⁾, $\text{Cd(Pip)}_3\text{J}_2$ ⁷⁰⁴⁾, $\text{Cd(Chin)}\text{Cl}_2$ ⁷⁰³⁾, Cd(Chin)Br_2 ⁷⁰³⁾

Im übrigen seien von den ungemein zahlreichen Stoffen dieser Klasse nur folgende erwähnt, die alle 2 Radikale enthalten.⁷⁰⁶⁾

Addiert werden Anilin, Nikotin, Cinchonin⁷⁰⁷⁾, Cinchonamin⁷⁰⁸⁾, Phenylhydrazin⁷⁰⁹⁾, Toluidin⁷¹⁰⁾, Äthylsulfid⁷⁰⁵⁾, Hydroxylamin.⁷¹¹⁾ Eine sehr umfangreiche Untersuchung rührt von Tombeck⁷¹²⁾ her, der mit folgenden Stoffen Verbindungen erhielt:

m-Xylidin, Monoäthylanilin, α -Picolin, α -Lutidin, Toluidin, Anilin.

Tombeck maß auch folgende Dampfdrucke p des addierten Stoffes bei t° , angegeben in mm Hg

$\text{Cd(C}_6\text{H}_5\text{NH}_2)_2\text{J}_2$		$\text{Cd(C}_6\text{H}_5\text{NH}_2)_2\text{Br}_2$		$\text{Cd(C}_5\text{H}_5\text{N)}_2\text{J}_2$	
t°	p	t°	p	t°	p
20	20	19	15,0	5	2,5
45	55	31	32,5	23	20,0
53	70	42	55,0	33	37,5
63	95	56	117,5	53	102,5
70	120	67	195,0	61	152,5
81	155	75	275,0	79	327,5
100	222,5	81	355,0	90	507,5
105	235	89	482,5	100	752,5
125	305	93	570,0		
142	385	100	750,0		
155	442,5	103	835,0		
166	510	215 Schm.-P. ca. 6 Atmosph.			
173	555				
177	580				
183	625				

Schmelzung

183	565
184	570
190	650
197	735
202	815

Unterkühlte Schmelze

170	445
155	335
132	182,5

Es handelt sich also um ziemlich hohe Drucke, doch sind die Stoffe bei gewöhnlicher Temperatur stabil.

Siedeerhöhungen in organischen Stoffen bestimmte Werner.^{712a)} Es bedeutet E die Konstante für 1 Mol pro kg Lösungsmittel, m das Gewicht des Salzes, L das des Lösungsmittels, M das gefundene Molargewicht.

In Piperidin ($E = 2,84$).

1. CdBr_2 $L = 14,64$.

m	Δ	M
0,3017	0,209	280,2
0,6014	0,402	290,4
0,984	0,622	307,2
1,386	0,817	329,4

2. CdJ_2 $L = 14,00$.

m	Δ	M
0,2451	0,145	343,1
0,4554	0,272	339,8
0,796	0,450	359,1
1,370	0,720	386,2
1,783	0,910	397,8

In Pyridin ($E = 3,01$).

CdJ_2 $L = 15,90$.

m	Δ	M
0,1257	0,060	395,9
0,2645	0,142	351,4
0,3839	0,220	329,2
0,4558	0,260	330,7
0,5496	0,310	334,5

In Methylsulfid ($E = 1,85$).

CdJ_2 $L = 18,5$.

m	Δ	M
0,238	0,072	346
0,592	0,163	372
1,017	0,288	361
1,413	0,418	346

In Äthylsulfid ($E = 3,23$).

CdJ_2 .

m	L	Δ	M
0,3328	19,46	0,155	356
0,8559	"	0,377	376
0,4261	19,98	0,185	372
0,7746	"	0,333	375
1,030	"	0,450	369
1,569	"	0,680	372

In wässriger Lösung zeigten sich folgende Gefrierdepressionen:

$\text{Cd}(\text{Triäthylendiamin})_3\text{Cl}_2$, M.-Gew. 362,7.

m	L	Δ	i
0,0917	30,1	0,045	2,9
0,1767	"	0,090	3,0
0,2643	"	0,135	3,0
0,0634	33,5	0,030	3,1
0,1373	"	0,065	3,0

 $\text{Cd}(\text{Triäthylendiamin})_3\text{Br}_2$, M.-Gew. 451,3.

m	L	Δ	i
0,1498	29,1	0,065	3,1
0,2441	"	0,105	3,1
0,3660	"	0,158	3,1
0,0982	27,4	0,045	3,1
0,1987	"	0,090	3,0
0,3978	"	0,180	3,0

 $\text{Cd}(\text{Triäthylendiamin})_3\text{J}_2$, M.-Gew. 544,9.

m	L	Δ	i
0,1082	32,0	0,035	3,0
0,1840	"	0,062	3,2
0,2560	"	0,085	3,1
0,0846	30,1	0,030	3,1
0,1407	"	0,050	3,2
0,2099	"	0,075	3,2

Die molare Leitfähigkeit des Jodids (Temperatur? Einheit?) beträgt für v Liter pro Mol

v	μ	v	μ
125	186,8	125	178,9
250	195,2	250	192,2
500	224,9	500	220,9
		1000	224,6
		2000	247,3

Über die Verteilung von Antipyrin zwischen CHCl_3 und wässrigem CdCl_2 hat de Schuyten^{713a)} gearbeitet.

Andere Anionen.

Auch mit CdSO_4 , $\text{Cd}(\text{CH}_3\text{COO})_2$, CdS_2O_3 , ja sogar mit $\text{Cd}(\text{NO}_3)_2$ hat man Additionsverbindungen erhalten.

So beschreibt Schjerning⁷¹⁵⁾ eine Phenylhydroxylverbindung $\text{Cd}(\text{C}_6\text{H}_5\text{-N}_2\text{H}_3)_2\text{SO}_4 \cdot \frac{1}{5}\text{H}_2\text{O}$, deren Lösung das Cd als schwach oder halbkomplex gebunden zeigt, wie durch H_2S Fällung nachgewiesen wird. Tombeck⁷¹⁶⁾ hat Anilin, Xylidin und Toluidin an das Sulfat und das Nitrat addiert, ebenfalls im Verhältnisse 2 : 1, Werner⁷¹⁸⁾ Äthylendiamin an CdSO_4 und $\text{Cd}(\text{NO}_3)_2$ beidemal im Verhältnisse 3 : 1.

Phenylhydrazin, $\text{Cd}(\text{NO}_3)_2$ (3 : 1), mit CdS_2O_3 und $\text{Cd}(\text{CH}_3\text{COO})_2$ (2 : 1) zu verbinden, gelang Moitessier⁷¹⁷⁾, derselbe Autor erhielt⁷¹⁹⁾ auch das wichtige $\text{Cd}_2 \cdot (\text{C}_6\text{H}_5\text{NH}_2)_3 \cdot (\text{C}_6\text{H}_5\text{N}_2\text{H}_3)_5 \cdot (\text{NO}_3)_4$, welches auf sehr komplizierte Valenzverhältnisse deutet.

Reitzenstein⁷²⁰⁾ stellte Pyridinsalze folgender Formeln her: $\text{Cd}(\text{Py})_3$ - $(\text{CH}_3\text{COO})_2$, $\text{Cd}(\text{Py})_3(\text{CH}_2\text{ClCOO})_2$, $\text{CdPy}_x(\text{CCl}_3\text{COO})_2$.

Die Potentialdifferenz der Kette $\text{Cd}-\text{Cd}(\text{NO}_3)_2$ 0,1 normal in Pyridin-Normalelektrode hat Kahlenberg⁷²¹⁾ zu 0,225 Volt gefunden, woraus sich für die Halbkette ohne die Normalelektrode ca. 0,225 Volt berechnet, gegen 0,122 für normale H_2O -Lösung.

Daraus würde eine Cd^{++} -Ionenkonzentration von ca. $1,2 \cdot 10^{-3}$ oder etwa 1 Proz. der Gesamtkonzentration folgen, also eine gar nicht unbeträchtliche Dissoziation, allerdings unter der sehr unsicheren und unkontrollierten Annahme, daß zwischen der wässrigen und der Pyridin-Lösung keine Potentialdifferenz bestände. Nach den oben zitierten ebullioskopischen Resultaten Werners zeigt CdJ_2 in Pyridin ein zu kleines Molargewicht.

SO₂. Eine Untersuchung der Löslichkeiten von SO_2 in Lösungen von Cd-Salzen unternahm Fox.⁷¹⁴⁾

Die Löslichkeit von SO_2 in Lösungen von c_1 Mol $\frac{1}{2}\text{CdX}_2$ pro Liter beträgt l , wenn l_0 der für reines H_2O geltende Wert ist.

I. $t = 25^\circ$, $l_0 = 32,76$.

$\frac{1}{2}\text{CdJ}_2$.

c	3	2,5	2	1,5	1	0,5
l	35,77	34,98	34,74	34,16	33,76	33,27
$l_0 - l$	— 3,01	— 2,22	— 1,98	— 1,40	— 1,00	— 0,51
$l_0 - l$	— 0,0919	— 0,0677	— 0,0605	— 0,0427	— 0,0305	— 0,0156
$\frac{1}{c} \cdot \frac{l_0 - l}{l_0}$	— 0,031	— 0,027	— 0,030	— 0,029	— 0,031	— 0,031

$\frac{1}{2}\text{CdBr}_2$.

c	3	2,5	2	1,5	1	0,5
l	27,46	28,15	29,27	30,17	31,01	31,91
$l_0 - l$	+ 5,30	+ 4,61	+ 3,49	+ 2,59	+ 1,75	+ 0,85
$l_0 - l$	+ 0,162	+ 0,141	+ 0,1065	+ 0,0791	+ 0,0535	+ 0,0260
$\frac{1}{c} \cdot \frac{l_0 - l}{l_0}$	+ 0,054	+ 0,056	+ 0,053	+ 0,053	+ 0,054	+ 0,052

$\frac{1}{2}\text{CdCl}_2$.

c	3	2,5	2	1,5	1	0,5
l	26,06	27,09	28,16	29,46	30,55	31,66
$l_0 - l$	+ 6,70	+ 5,67	+ 4,60	+ 3,30	+ 2,21	+ 1,10
$l_0 - l$	+ 0,204	+ 0,173	+ 0,1404	+ 0,1007	+ 0,0675	+ 0,0336
$\frac{1}{c} \cdot \frac{l_0 - l}{l_0}$	+ 0,068	+ 0,069	+ 0,070	+ 0,067	+ 0,068	+ 0,067

$\frac{1}{2}\text{CdSO}_4$.

c	3	2,5	2	1,5	1	0,5
l	23,76	25,14	26,58	28,24	29,71	31,11
$l_0 - l$	+ 9,00	+ 7,62	+ 6,18	+ 4,52	+ 3,05	+ 1,65
$l_0 - l$	+ 0,2745	+ 0,2325	+ 0,1887	+ 0,1380	+ 0,0931	+ 0,0503
$\frac{1}{c} \cdot \frac{l_0 - l}{l_0}$	+ 0,092	+ 0,093	+ 0,094	+ 0,092	+ 0,093	+ 0,101

II. Dasselbe bei 35° $l_0 = 22,43$.

c	3	2,5	2	1,5	1	0,5
l	24,30	23,99	23,71	23,38	23,06	22,75
$\frac{l_0 - l}{l_0}$	- 1,87	- 1,56	- 1,28	- 0,95	- 0,63	- 0,32
$\frac{l_0 - l}{l_0}$	- 0,0834	- 0,0695	- 0,0570	- 0,0423	- 0,0281	- 0,0143
$\frac{1}{c} \cdot \frac{l_0 - l}{l_0}$	- 0,028	- 0,028	- 0,029	- 0,028	- 0,028	- 0,028



c	3	2,5	2	1,5	1	0,5
l	19,17	19,70	20,66	20,84	21,46	21,88
$\frac{l_0 - l}{l_0}$	+ 3,26	+ 2,73	+ 1,83	+ 1,62	+ 0,97	+ 0,55
$\frac{l_0 - l}{l_0}$	+ 0,1453	+ 0,1218	+ 0,0815	+ 0,0722	+ 0,0432	+ 0,0245
$\frac{1}{c} \cdot \frac{l_0 - l}{l_0}$	+ 0,048	+ 0,049	+ 0,041	+ 0,048	+ 0,043	+ 0,049



c	3	2,5	2	1,5	1	0,5
l	18,68	19,23	20,02	20,55	21,23	21,73
$\frac{l_0 - l}{l_0}$	+ 3,75	+ 3,20	+ 2,41	+ 1,88	+ 1,20	+ 0,70
$\frac{l_0 - l}{l_0}$	+ 0,1672	+ 0,1426	+ 0,1074	+ 0,0838	+ 0,0535	+ 0,0312
$\frac{1}{c} \cdot \frac{l_0 - l}{l_0}$	+ 0,056	+ 0,057	+ 0,054	+ 0,056	+ 0,052	+ 0,062



c	3	2,5	2	1,5	1	0,5
l	16,25	17,41	18,31	19,42	20,43	21,45
$\frac{l_0 - l}{l_0}$	+ 6,18	+ 5,02	+ 4,12	+ 3,01	+ 2,00	+ 0,98
$\frac{l_0 - l}{l_0}$	+ 0,2755	+ 0,2240	+ 0,1837	+ 0,134	+ 0,0893	+ 0,044
$\frac{1}{c} \cdot \frac{l_0 - l}{l_0}$	+ 0,093	+ 0,090	+ 0,092	+ 0,089	+ 0,89	+ 0,087

Die relative äquivalente Löslichkeitsänderung ist also praktisch von c nicht abhängig und, soweit CdBr_2 , CdCl_2 und CdSO_4 in Frage kommen, eine Depression, wie bei anderen Salzen, wobei, wie sonst, der Effekt beim Sulfat größer ist als bei den Haloiden. Dagegen erhöht CdJ_2 die Löslichkeit und zwar merkwürdigerweise auch unter Konstanz des Ausdrucks $\frac{1}{c} \cdot \frac{l_0 - l}{l_0}$.

Diese Erhöhung kann nur auf erhebliche Komplexbildung gedeutet werden, die sich zwischen SO_2 und vielleicht den Ionen J' einstellt.

Die Verbindungswärme der SO_2 -Komplexe bei 30° berechnet Fox zu

$\frac{1}{2}\text{CdJ}_2$	$\frac{1}{2}\text{CdBr}_2$	$\frac{1}{2}\text{CdCl}_2$
+ 156 cal	- 506 cal	- 713 cal.

Die Lösungen zeigen bei 25° folgende spez. Leitfähigkeiten $\kappa \cdot 10^4$ für Salz allein (a) und Lösung mit SO_2 gesättigt (b).

c =		3	2,5	2	1,5	1	0,5
$\frac{1}{2}\text{CdJ}_2$	a	46,2	41,1	40,1	40	33,6	26,7
	b	80,2	82,2	85,2	86,6	81,2	73,2
$\frac{1}{2}\text{CdBr}_2$	a	49,9	44,5	41,9	39,1	38,1	33,0
	b	87,2	88,8	89,8	90,4	87,8	73,6
$\frac{1}{2}\text{CdCl}_2$	a	50,1	46,3	42,1	39,8	36,7	31,1
	b	80	81,1	86,8	88,8	86,5	78,8
$\frac{1}{2}\text{CdSO}_4$	a	59,8	53,2	52,1	50	40,0	23,2
	b	95,8	91,2	89,1	88	76,0	65,2

Mai 1905.

Literatur.

- 1) Über das Vorkommen vergl. Jensch, Das Cadmium, Sammlung Ahrens III, Heft 6.
- 2) Schweigg. Journ. **21**, 297, 1817.
- 3) Gilb. Ann. **59**, 95, 1818. Die Ansprüche Roloffs auf die Entdeckung wies Hermann als ganz unberechtigt zurück (Gilb. Ann. **66**, 276, 1820).
- 4) Norman-Lockyer, J.-Ber. 1878, 185.
- 5) Mylius u. Funk, Ztschr. anorg. Chem. **13**, 151, 1897.
- 6) Demarçay, C. r. **95**, 184, 1882; auch Schuller, Wied. Ann. **18**, 317, 1883; Kahlbaum, Beibl. **18**, 377, 1894; Krafft u. Bergfeld, Berl. Ber. **38**, 242 ff., 1905.
- 7) Hardin, Chem. News **75**, 61 u. 77, 1897; auch Kaemmerer, Berl. Ber. **7**, 1724, 1874.
- 8) Ztschr. f. Krist. **23**, 618, 1893.
- 9) C.-Bl. 1900, I, 1262.
- 10) Kahlbaum, Roth und Siedler, Ztschr. anorg. Chem. **29**, 284, 1902.
- 11) Drud. Ann. **2**, 505, 1900.
- 12) Ann. chim. phys. [3] **68**, 49, 1863.
- 13) J.-Ber. 1847/48, 77.
- 14) Chem. News **6**, 135, 1862.
- 15) J.-Ber. 1888, 155.
- 16) J.-Ber. 1890, 269.
- 17) Ztschr. anorg. Chem. **19**, 208, 1899.
- 18) C. r. **131**, 384, 1900.
- 19) Phil. Mag. [5] **29**, 150, 1890.
- 20) Schweigg. Journ. **22**, 362, 1818.
- 21) Ref. Schweigg. Ann. **24**, 441, 1818.
- 22) Pogg. Ann. **107**, 118, 1859.
- 23) Pogg. Ann. **110**, 26, 1860.
- 23a) Pogg. Ann. **135**, 621, 1868.
- 24) Ann. Chim. Phys. [7] **1**, 556, 1896.
- 25) J.-Ber. 1888, 155.
- 26) Ztschr. anorg. Chem. **29**, 284, 1902.
- 27) Berl. Ber. **16**, 2723, 1883.
- 28) Burton und Marshall, J.-Ber. 1891, 99.
- 28a) C. Bl. 1901, I, 777.
- 29) Lieb. Ann. III. Suppl., 289, 1864/65.
- 30) Pogg. Ann. **141**, 1, 1870.
- 31) Ref. Pogg. Ann. **52**, 141, 1841.
- 32) Ref. Beibl. **12**, 326, 1888; vergl. auch L. Lorenz, Wied. Ann. **13**, 422, 581, 1881.
- 33) Drud. Ann. **1**, 261, 1900.
- 34) Person, Pogg. Ann. **76**, 426, 1840.
- 35) Sutherland, Phil. Mag. [5] **46**, 345 1898; Ref. Ztschr. phys. Chem. **27**, 688, 1898.
- 36) C. r. **68**, 1125, 1869.
- 37) J.-Ber. 1859, 10.
- 38) Pogg. Ann. **160**, 504, 1877.
- 39) Lieb. Ann. **81**, 33, 1851.
- 40) Matthiessen, Pogg. Ann. **130**, 50, 1866.

- 41) J.-Ber. 1888, 155.
- 42) Calvert u. Johnson, C. r. **47**, 1072, 1858.
- 43) C. r. **22**, 417, 1846.
- 44) Pogg. Ann. **115**, 391, 1862.
- 45) Dewar und Fleming, Phil. Mag. [5], **36**, 294, 1893.
- 46) Streintz, Drud. Ann. **8**, 847, 1902; vergl. auch Vassura, Beibl. **16**, 545, 1892.
- 47) Ztschr. phys. Chem. **15**, 70, 1894.
- 48) Drud. Ann. **10**, 647, 1903.
- 49) Wied. Ann. **61**, 258, 1897.
- 50) Quincke, Pogg. Ann. **135**, 621, 1868.
- 51) Deville und Troost, C. r. **49**, 239, 1859.
- 52) Ztschr. phys. Chem. **3**, 360, 1899.
- 53) Vergl. Landolt-Börnstein, Tab. 1894.
- 54) Ztschr. phys. Chem. **32**, 125, 1900.
- 55) Benoit, C. r. **76**, 342, 1873; Oberbeck und Bergmann, Wied. Ann. **31**, 792, 1887; Mayrhofer, Ztschr. f. Instr.-K. **11**, 50, 1891; Vicentini und Omodei, Att. Acc. Tor. **25**, 30, 1889/90; Nuov. Cim. [3] **27**, 204, 1890. — Vasura, Nuov. Cim. [3] **31**, 25, 1892; H. F. Weber, Berl. Monatsber. 1880, 457; L. Lorenz, Wied. Ann. **13**, 422 und 582, 1881 (z. T. nach Landolt-Börnstein, Tab. 1894).
- 56) Ztschr. phys. Chem. **32**, 127, 1900.
- 57) Ztschr. phys. Chem. **9**, 8, 1892.
- 58) Ztschr. phys. Chem. **14**, 214, 1894.
- 59) Dissert. Breslau 1904; Ztschr. Elektrochem. **10**, 77, 1904.
- 60) H. Jahn, Ztschr. phys. Chem. **18**, 399, 1895.
- 61) Ztschr. phys. Chem. **11**, 501, 1893.
- 62) Thomsen, Th. U. III, 285, 1883.
- 63) Berzelius, Pogg. Ann. **1**, 25, 1824. [9, 751, 1893.
- 64) Poulenc, C. r. **116**, 582, 1893; Ann. chim. phys. [7] **2**, 38, 1894; Bull. [3]
- 65) Carnelley, Tr. Chem. Soc. **33**, 278, 1878.
- 66) J.-Ber. 1883, 51.
- 67) A. Jaeger, Ztschr. anorg. Chem. **27**, 34, 1901.
- 68) Berthelot, Thermochemie II, 719, 1897.
- 69) E. Petersen, Ztschr. phys. Chem. **4**, 384, 1889.
- 70) Schweigg. Journ. **22**, 371, 1818.
- 71) Berthelot, J.-Ber. 1878, 102.
- 72) Potilitzin, Berl. Ber. **12**, 695 u. 2172, 1879.
- 73) Thomas, Ann. chim. phys. [7] **13**, 222, 1898.
- 74) Weber, Ztschr. anorg. Chem. **21**, 344, 1899. Ältere Angaben bei Carnelley, Tr. Chem. Soc. **33**, 278, 1878, und Graetz, Wied. Ann. **40**, 24, 1890.
- 75) Baxter und Hines, Am. Chem. Journ. **31**, 220; C.-Bl. 1904, I, 1061.
- 76) Lescoeur, Ann. chim. phys. [7] **2**, 86, 1894. — Viard, C. r. **135**, 242 und
- 77) Dietz, Ztschr. anorg. Chem. **20**, 253, 1899. [Bull. [3] **27**, 1026, 1902.
- 78) Wien. Akad. Ber. **13**, 449, 1854.
- 79) Fock, Ztschr. f. Krist. **19**, 452; J.-Ber. 1891, 562.
- 80) Nach Mügge, Bömer und Sommerfeldt (C.-Bl. 1899, II, 245) ist $a : b : c = 1,1722 : 1 : 1,1134$ $\cdot \beta = 84^\circ 16'$. [1898.
- 81) Worobijeff, Ref. Bull. [3] **16**, 1755, 1896 u. Ztschr. anorg. Chem. **18**, 386,
- 82) Ztschr. phys. Chem. **14**, 73, 1894.
- 83) Ann. chim. phys. [7] **2**, 536, 1894.
- 84) Pickering, Journ. Chem. Soc. **52**, 75, 1887; Ref. Ztschr. phys. Chem. **2**, 857, 1888; vergl. auch Wright und Thompson, Phil. Mag. [5] **17**, 377, 1884.
- 85) J.-Ber. 1878, 102.
- 86) Th. U. III, 201 u. 284, 1883.
- 87) Kremers, Pogg. Ann. **104**, 155, 1858.
- 88) Ztschr. phys. Chem. **5**, 492, 1890.
- 89) Wied. Ann. **18**, 190, 1883.
- 90) Wied. Ann. **18**, 266, 1883.
- 91) Ztschr. phys. Chem. **5**, 36, 1890. — Ferner Mendelejeff, J.-Ber. 1884, 51. — Nicol, Phil. Mag. [5], **18**, 183, 1884. — Hallwachs ¹⁷³⁾ — Valson ¹⁷²⁾, — Goldhaber u. Bukschnewski ¹⁰⁶⁾, — Hittorf, Z. ph. Ch. **43**, 239, 1904.

- 92) Pogg. Ann. **105**, 374, 1858.
 93) Thomsen, Th. U. I, 348, 1882. [hoven s. o.
 94) Nach Kohlrausch-Holborn, Messungen von Grotrian und Wers-
 95) Am. Chem. Journ. **22**, 110, 1899; s. a. Jones u. Ota, ebenda **22**, 5, 1890;
 Fox Z. ph. Ch. **41**, 458, 1902.
 96) Tammann, Ref. Ztschr. phys. Chem. **2**, 45, 1888.
 97) H. C. Jones, Ztschr. phys. Chem. **11**, 542, 1893.
 98) Jones und Chambers, Am. Chem. Journ. **23**, 89, 1900. — Ältere Be-
 stimmungen von Raoult, Ann. chim. phys. [6] **8**, 335, 1886 und Kistiakowsky, Ztschr.
 phys. Chem. **6**, 108, 1890, sind hier nicht berücksichtigt.
 99) Noyes, Ztschr. phys. Chem. **9**, 620, 1892.
 100) Ztschr. phys. Chem. **13**, 632, 1894. — Vergl. auch Braun, Wied. Ann. **17**,
 635, 1882. — Czapski, Wied. Ann. **21**, 209, 1884.
 101) Phil. Mag. [5] **17**, 377, 1884.
 102) Bull. Ac. Cracovie März 1902.
 103) l. c.
 104) Diss. Breslau 1904; Ztschr. f. Elektr. **10**, 77, 1904. — Vergl. auch Immer-
 wahr, Ztschr. f. Elektr. **7**, 481, 1901.
 105) Ref. Ztschr. f. Elektr. **3**, 334, 1895.
 106) Messungen von Hittorf, Pogg. Ann. **106**, 547, 1859. — Bein, Wied. Ann.
46, 59, 1892; Ztschr. phys. Chem. **27**, 51, 1898 und **28**, 447, 1899. — Kümmeil, Wied.
 Ann. **64**, 666, 1898. — Ferner Goldhaber und Bukschnewski, Z. phys. Chem. **37**,
 698, 1901; Hittorf, Z. ph. Ch. **39**, 629, 1902, **43**, 239, 1904. — Des Coudres, Wied.
 Ann. **57**, 232, 1896.
 107) Gockel, Wied. Ann. **40**, 463, 1890.
 108) Wied. Ann. **58**, 33, 1895.
 109) C. r. **90**, 917, 1880; ferner Gockel, Wied. Ann. **24**, 634, 1885.
 110) Richards, Ztschr. phys. Chem. **24**, 53, 1897.
 111) Gockel, Wied. Ann. **50**, 699, 1893.
 112) Ztschr. phys. Chem. **8**, 322, 1891.
 113) J. Wagner, Ztschr. phys. Chem. **5**, 36, 1890.
 114) J. Wagner, Wied. Ann. **18**, 266, 1883.
 115) Valson, Ann. chim. phys. [4] **20**, 376, 1870. [239, 1890.
 116) Valson, C. r. **74**, 104, 1872. — Ferner Goldstein, Ztschr. phys. Chem. **5**,
 117) Phil. Mag. [5] **23**, 1, 1887.
 118) Helmreich, Beibl. **28**, 398, 1904.
 119) Wied. Ann. **43**, 280, 1891.
 120) Ztschr. phys. Chem. **19**, 282, 1896.
 121) Tr. Chem. Soc. **67**, 831, 1895.
 122) Wied. Ann. **39**, 89, 1890.
 123) Wied. Ann. **53**, 561, 1894.
 124) Ztschr. phys. Chem. **27**, 455, 1898.
 125) Journ. Am. Chem. Soc. **21**, 1, 1899. Über den vielleicht z. T. durch Komplex-
 bildungen erklärbaren Einfluß von CdCl_2 auf andere Reaktionen vergl. Ostwald,
 Ztschr. phys. Chem. **2**, 146, 1888; Schilow, Ztschr. phys. Chem. **27**, 62, 1898; Wag-
 ner, Ztschr. phys. Chem. **28**, 45, 1899.
 126) Spohr, Ztschr. phys. Chem. **2**, 201, 1888; vgl. auch Long, Journ. Am. Chem.
 Soc. **18**, Nr. 8, 1896, Z. phys. Chem. **22**, 140, 1897.
 127) Ztschr. phys. Chem. **27**, 51, 1898.
 128) Arrhenius, Ztschr. phys. Chem. **9**, 493, 1892. [1892.
 128a) Lobry de Bruyn, Rec. Trav. Pays-Bas **11**, 112, 1892; Z. phys. Chem. **10**, 784,
 128b) Gazz. **33**, I, 58, 1903.
 128c) Gazz. **33**, I, 241, 1903.
 128d) Atti Acc. Torino **29**, 61 u. 228, 1893.
 129) Castoro, Gazz. chim. ital. **28**, II, 408, 1898.
 130) A. Naumann, Berl. Ber. **32**, 1000, 1899.
 131) Krug und Elroy, J.-Ber. 1892, 155.
 132) Lincoln, Journ. phys. Chem. **3**, 461, 1899.
 133) Lobry de Bruyn, Ztschr. phys. Chem. **10**, 783, 1892.
 134) Wied. Ann. **43**, 280, 1891.

- 135) Graetz, Wied. Ann. **40**, 463, 1890.
- 136) Ztschr. anorg. Chem. **25**, 296, 1900.
- 137) Ztschr. anorg. Chem. **21**, 344, 1899.
- 137a) Z. anorg. Ch. **38**, 410, 1904.
- 138) Am. Chem. Journ. **12**, 488, 1890; vergl. auch Auerbach, Ztschr. anorg. Chem. **28**, 42, 1901. — Helfenstein, Ztschr. anorg. Chem. **23**, 294, 1900.
- 139) Berthénot, Ann. chim. phys. **44**, 387, 1830.
- 140) Carnelley, Tr. Chem. Soc. **33**, 278, 1878.
- 141) Weber, Ztschr. anorg. Chem. **21**, 359, 1899.
- 142) Carnelley und Williams, J.-Ber. 1880, 38. [411, 1888.
- 143) C. und V. Meyer, Berl. Ber. **12**, 1234, 1879. — Scott, Ref. Beibl. **12**,
- 144) Nernst, Ztschr. phys. Chem. **2**, 28, 1888.
- 145) J. Thomsen, Th. U. III, 284, 1883.
- 146) Potilitzin, Berl. Ber. **12**, 2172, 1879. — Berthelot, J.-Ber. 1880, 111.
- 147) Potilitzin, Berl. Ber. **12**, 695, 1879.
- 148) Thomas, Ann. chim. phys. [7] **13**, 222, 1898.
- 149) Baxter und Hines, Am. Chem. Journ. **31**, 220; C.-Bl. 1904, I, 1061; vergl. auch Bödeker, J.-Ber. 1880, 17; Knight, Berl. Ber. **16**, 51, 1883.
- 150) Phil. Mag. [3], **21**, 356, 1842.
- 151) Pogg. Ann. **55**, 241, 1842.
- 152) Ann. chim. phys. [7] **2**, 102, 1894.
- 153) Ztschr. anorg. Chem. **20**, 260, 1399.
- 154) Dietz, loc. cit.
- 155) Ann. chim. phys. [7] **2**, 541, 1894.
- 156) Thomsen, Th. U. III, 201, 1883.
- 157) Kremers, Pogg. Ann. **104**, 156, 1858.
- 158) Wershoven, Ztschr. phys. Chem. **5**, 493, 1890.
- 159) Grotrian, Wied. Ann. **18**, 190, 1883; vgl. auch Goldhaber und Buchnewski.¹⁰⁶⁾
- 160) Pogg. Ann. **108**, 121, 1859.
- 161) Messungen von Grotrian, Wied. Ann. **18**, 190, 1883, und Wershoven, Ztschr. phys. Chem. **5**, 493, 1890. — Neue Bestimmungen stammen von Cattaneo Atti Acc. Torino **28**, 617, 1892.
- 162) Am. Chem. Journ. **22**, 110, 1899; vgl. auch Fox, Z. phys. Ch. **41**, 458, 1902.
- 163) Tammann, Ref. Ztschr. phys. Chem. **2**, 45, 1888.
- 164) Ztschr. phys. Chem. **11**, 543, 1893.
- 165) Am. Chem. Journ. **23**, 89, 1900.
- 166) Gordon, Ztschr. phys. Chem. **23**, 480, 1897.
- 167) Kümmell, Wied. Ann. **64**, 667, 1898.
- 168) Goodwin, Ref. Ztschr. f. Elektrochem. **3**, 334, 1896/97.
- 169) Immerwahr, Ztschr. f. Elektrochem. **7**, 481, 1901.
- 170) Wied. Ann. **58**, 33, 1896; vergl. auch Gockel, Wied. Ann. **24**, 634, 1885.
- 171) Ztschr. phys. Chem. **11**, 406, 1893.
- 172) Ann. chim. phys. [4] **20**, 376, 1870; C. r. **74**, 104, 1872.
- 173) De Muynck, Wied. Ann. **53**, 561, 1894.
- 174) Wied. Ann. **43**, 280, 1891.
- 175) Wied. Ann. **68**, 30, 1899.
- 176) Wied. Ann. **39**, 93, 1890.
- 177) Ztschr. phys. Chem. **19**, 282, 1896; vergl. darüber Hallwachs, l. c. 173)
- 178) Wied. Ann. **43**, 280, 1891.
- 179) Ztschr. phys. Chem. **34**, 29, 1900.
- 180) Arrhenius, Ztschr. phys. Chem. **9**, 493, 1892.
- 181) Cattaneo, Linc. [5] **4**, II, 63, 1895.
- 182) C. r. **125**, 240, 1897.
- 183) Wied. Ann. **43**, 280, 1891.
- 184) Wied. Ann. **40**, 25, 1890. [1900.
- 185) Ztschr. f. Elektrochem. **6**, 214, 1890/1900 und Ztschr. anorg. Chem. **25**, 297,
- 186) Weber, Ztschr. anorg. Chem. **21**, 359, 1899.
- 187) Schweigg. Journ. **22**, 375, 1818.
- 188) Grailich, Wien. Akad. Ber. **27**, 181, 1857.

- 189) Fullerton, J.-Ber. 1877, 43.
- 190) Bödeker, J.-Ber. 1860, 17.
- 191) Berl. Ber. **16**, 2917, 1883 nach Am. Chem. Journ. **5**, 235, 1883.
- 192) J.-Ber. 1884, 424.
- 193) Th. U. III, 285, 1883; vergl. auch Berthelot, J.-Ber. 1878, 102.
- 194) Carnelley, Tr. Chem. Soc. **33**, 277, 1878.
- 195) Carnelley und Williams, J.-Ber. 1880, 38.
- 196) Journ. prakt. Chem. **100**, 507, 1867.
- 197) Scott, Ref. Ztschr. phys. Chem. **2**, 761, 1888.
- 198) Ztschr. phys. Chem. **13**, 158, 1894.
- 199) Thomas, Bull. [3] **15**, 1090, 1896.
- 200) Berthelot, J.-Ber. 1880, 111.
- 201) Ztschr. anorg. Chem. **20**, 262, 1899.
- 202) Étard, Ann. chim. phys. [7] **2**, 545, 1894.
- 203) Thomsen, Th. U. III, 201, 1883.
- 204) Ztschr. phys. Chem. **5**, 493, 1890.
- 205) Wied. Ann. **18**, 190, 1883.
- 206) Kremers, Pogg. Ann. **104**, 156, 1858.
- 207) Kremers, Pogg. Ann. **111**, 67, 1860.
- 208) Messungen von Grotrian und von Wershoven (s. a). — Die Resultate stimmen nicht sehr gut überein. Ältere Messungen bei Vicentini, Beibl. **9**, 678, 1885; Lenz, Beibl. **7**, 399, 1883; vgl. auch Fox, Z. ph. Ch. **41**, 458, 1902.
- 209) Ztschr. phys. Chem. **21**, 39, 1896.
- 210) Tammann, Ref. Ztschr. phys. Chem. **2**, 45, 1888.
- 211) Moser, Berl. Akad. Ber. 1878, 868 und J.-Ber. 1878, 54.
- 212) Vergl. Ostwald, Lehrbuch, 2. Aufl., I, 742.
- 213) Ztschr. phys. Chem. **2**, 496, 1888.
- 214) Ztschr. phys. Chem. **11**, 544, 1893.
- 215) Chambers und Frazer, Am. Chem. Journ. **23**, 512, 1900.
- 215a) Z. phys. Chem. **6**, 460, 1890.
- 216) Nach Messungen von Hittorf, Pogg. Ann. **106**, 549, 1859; Bein, Wied. Ann. **46**, 58, 1892; Ztschr. phys. Chem. **27**, 51, 1898, **28**, 447, 1899; Lenz, Beibl. **7**, 399, 1883; Kümmell, Wied. Ann. **64**, 667, 1898. — Vergl. ferner Gordon, Ztschr. phys. Chem. **23**, 481, 1897; Laurie, Tr. Chem. Soc. **49**, 700, 1886; Hittorf, Ztschr. phys. Chem. **39**, 629, 1902; **43**, 239, 1903; Redlich und Bukschnewski, Z. phys. Ch. **37**, 673, 1901.
- 217) Goodwin, Ref. Ztschr. f. Elektrochem. **3**, 334, 1896/97; vergl. auch Immerwahr, ebenda **7**, 481, 1901.
- 217a) Zeitschr. f. Elektroch. **11**, 222, 1905.
- 218) Wied. Ann. **58**, 33, 1896; vergl. auch Gockel, Wied. Ann. **24**, 634, 1885; Braun, Wied. Ann. **16**, 579, 1882 und **17**, 631, 1882.
- 219) Laurie, Tr. Chem. Soc. **49**, 700, 1886.
- 220) Valson, Ann. chim. phys. [4] **20**, 376, 1870.
- 221) Valson, C. r. **74**, 104, 1872.
- 222) Bender, Wied. Ann. **39**, 89, 1890.
- 223) De Muynck, Wied. Ann. **53**, 561, 1894.
- 224) Le Blanc und Rohland, Ztschr. phys. Chem. **19**, 282, 1896.
- 225) Wied. Ann. **43**, 280, 1891.
- 226) Barbier und Le Roux, C. r. **110**, 458, 1890.
- 227) Ztschr. phys. Chem. **34**, 29, 1900.
- 228) Arrhenius, Ztschr. phys. Chem. **9**, 493, 1892.
- 229) Ref. Beibl. **7**, 399, 1883. Über die Leitfähigkeit in C_2H_5OH vergl. auch Cattaneo, Linc. [5] **4**, II, 63, 1895.
- 230) Pogg. Ann. **106**, 551 und 554, 1859; Neuerdings hat Carrara die Alkohollösungen studiert. Gazz. **33**, I, 241, 1903.
- 231) Gazz. chim. ital. **30**, II, 197, 1900.
- 232) Ztschr. phys. Chem. **21**, 39, 1896.
- 232a) Am. Ch. Journ. **28**, 329, 1902.
- 232b) Am. Ch. Journ. **32**, 521, 1904.
- 233) C. r. **112**, 1224 und 1262, 1891.
- 234) Dutoit und Aston, C. r. **125**, 240, 1897.

- 235) Dutoit und Friderich, Bull. [3] **19**, 321, 1898.
 236) Journ. phys. Chem. **7**, 254, 1903.
 237) Cattaneo, Att. Acc. Linc. [5] **2**, I, 295, 1893.
 237a) Berl. Ber. **37**, 4328, 1904. [loc. cit.
 238) Jones, Am. Chem. Journ. **27**, 16, 1902; vergl. auch Dutoit und Friderich,
 239) Ztschr. phys. Chem. **19**, 282, 1896.
 240) Journ. phys. Chem. **4**, 711, 1900.
 241) Walden, Ztschr. anorg. Chem. **25**, 215, 1900.
 242) Berl. Ber. **32**, 1002, 1899.
 243) Ztschr. phys. Chem. **22**, 437, 1897.
 244) Ztschr. phys. Chem. **9**, 465, 1892.
 245) Wied. Ann. **40**, 25, 1890.
 246) Ztschr. f. Elektrochem. **6**, 214, 1899 und Ztschr. anorg. Chem. **25**, 298, 1900
 vergl. auch Gockel, Ztschr. phys. Chem. **34**, 529, 1900.
 247) Pogg. Ann. **38**, 365, 1836.
 248) Lieb. Ann. **145**, 238, 1868.
 249) Diss. Berlin 1902.
 250) Ann. chim. phys. [5] **26**, 506, 1882.
 251) Th. U. III, 473, 1883.
 251a) Zeitschr. f. Elektroch. **7**, 863 u. 871, 1901.
 252) Schweigg. Journ. **22**, 367, 1818.
 253) Nicklès, Ann. chim. phys. [3] **22**, 36, 1848.
 254) Strecker, Ref. Ztschr. f. Elektrochem. **5**, 132, 1888.
 255) Lorenz, Ztschr. anorg. Chem. **12**, 439, 1896.
 256) J.-Ber. 1891, 608.
 257) J. Thomsen, Berl. Ber. **16**, 2516, 1883; Th. U. III, 285, 1883.
 258) C. r. **101**, nach Landolt-Börnstein, Tabellen. 1894.
 259) Ztschr. anorg. Chem. **24**, 126, 1900.
 260) Ztschr. f. Elektrochem. **10**, 77, 1904; Diss. Breslau 1904.
 261) Bersch, Ztschr. phys. Chem. **8**, 392, 1891.
 262) Ztschr. phys. Chem. **35**, 318, 1900 und **36**, 91, 1901; vergl. auch Immerwahr,
 Ztschr. f. Elektrochem. **7**, 481, 1901.
 263) Schweigg. Journ. **22**, 307, 1818.
 264) Neumann und Wittich, Chem. Zeitg. **25**, 561, 1901.
 265) z. B. Read, Journ. Chem. Soc. **65**, 313, 1894.
 266) Schüler, Lieb. Ann. **87**, 43, 1853.
 267) Ann. chim. phys. [7] **2**, 39, 1894.
 268) Sidot, C. r. **69**, 202, 1869.
 269) Sabatier und Senderens, Bull. [3] **13**, 871, 1895.
 270) Werther, Journ. prakt. Chem. **55**, 118, 1852; vergl. auch Clarke nach
 Landolt-Börnstein, Tabellen. 1894.
 271) R. Weber, Pogg. Ann. **112**, 624, 1861.
 272) W. Müller, Pogg. Ann. **153**, 326, 1873. — Glaser, Ztschr. anorg. Chem.
36, 1, 1903. — Ditte, C. r. **73**, 110, 1871.
 273) Regnault, Ann. chim. phys. **62**, 351, 1836.
 274) Winkler, Berl. Ber. **23**, 128, 1890.
 275) J.-Ber. 1878, 102.
 276) J.-Ber. 1871, 75.
 277) Marchand, Pogg. Ann. **38**, 145, 1836.
 278) Vogel, J.-Ber. 1855, 390. — Souchay und Lenssen, Lieb. Ann. **103**,
 314, 1857.
 279) C.-Bl. 1902, II, 564.
 280) Am. Chem. Journ. **12**, 488, 1890.
 281) Tanatar, Ztschr. anorg. Chem. **27**, 433, 1901.
 282) Berl. Ber. **17**, 2252, 1884.
 283) Ann. chim. phys. [6] **23**, 429, 1891.
 284) Schweigg. Journ. **22**, 372, 1818.
 285) J. Richards und Roepper, Ref. Ztschr. f. Elektrochem. **6**, 275, 1899.
 286) R. Lorenz, Ztschr. anorg. Chem. **12**, 442, 1896.
 287) Spring, Berl. Ber. **16**, 1001, 1883; Ztschr. phys. Chem. **18**, 556, 1895.

- 288) Geitner, Lieb. Ann. **129**, 350, 1864.
- 289) Uhl, Berl. Ber. **23**, 2153, 1890.
- 290) Durocher, C. r. **32**, 823, 1851.
- 291) Sidot, C. r. **62**, 999, 1866 u. **63**, 188, 1866.
- 292) Mourirot, C. r. **123**, 56, 1896; Ann. chim. phys. [7] **17**, 535, 1899.
- 293) Viard, Bull. [3] **29**, 455, 1903.
- 294) Schüler, Lieb. Ann. **87**, 34, 1853.
- 295) Schneider, Journ. prakt. Chem. [2] **8**, 38, 1873.
- 296) R. Lorenz, Berl. Ber. **24**, 1508, 1891.
- 297) Vergl. Rinne, Ztschr. phys. Chem. **16**, 531, 1895; s. a. Ortloff, Ztschr. phys. Chem. **19**, 208, 1896.
- 298) Brewster, Pogg. Ann. **58**, 94, 1843.
- 299) Chem. Zeitg. **11**, 1087 u. 1107, 1887; J.-Ber. 1887, 536.
- 300) Klobukow, Journ. prakt. Chem. [2] **39**, 413, 1889.
- 301) Buchner, J.-Ber. 1891, 378.
- 302) Morse und White, Am. Chem. Journ. **11**, 348, 1889.
- 303) Colson, C. r. **129**, 825, 1899.
- 304) H. Rose, Pogg. Ann. **110**, 133, 1860.
- 305) Moyer, Journ. Am. Chem. Soc. **21**, 642, 1889; C.-Bl. 1899, II, 569.
- 306) Haidlen und Fresenius, Lieb. Ann. **42**, 134, 1842.
- 307) v. Berg, Ztschr. analyt. Chem. **26**, 23, 1887.
- 308) Cushman, Am. Chem. Journ. **17**, 379, 1895; Ztschr. analyt. Chem. **34**, 368, 1895.
- 309) Schürmann, Lieb. Ann. **249**, 327, 1888.
- 310) Ditte, C. r. **85**, 402, 1877.
- 311) Donath und Mayrhofer, J.-Ber. 1881, 1191. — R. Fresenius, Ztschr. analyt. Chem. **20**, 236, 1881.
- 312) Prost, Bull. Ac. Belg. [3] **14**, 312, 1887.
- 313) Bull. de l'Acad. des sciences de Bruxelles [3] **14**, 312, 1887.
- 314) Journ. prakt. Chem. [2] **25**, 431, 1882.
- 315) Th. U. III, 453, 1883.
- 316) Mailfert, J.-Ber. 1882, 225.
- 317) Schiff, Lieb. Ann. **115**, 74, 1860.
- 318) Little, Lieb. Ann. **112**, 211, 1859 und Journ. prakt. Chem. **79**, 254, 1860.
- 319) Fonzes-Diacon, C. r. **130**, 832, 1900 und **131**, 895, 1900.
- 320) Lieb. Ann. **116**, 126, 1860.
- 321) C. r. **84**, 1293, 1877.
- 322) Ann. chim. phys. [6] **10**, 532, 1887.
- 323) Margottet, C. r. **84**, 1293, 1877.
- 324) Ann. chim. phys. [6] **14**, 117, 1888.
- 325) Pogg. Ann. **54**, 104, 1841.
- 326) Journ. prakt. Chem. [2] **58**, 294, 1898.
- 327) Schweigg. Journ. **22**, 372, 1818.
- 328) Renault, C. r. **76**, 284, 1873.
- 329) Vigier, J.-Ber. 1861, 117.
- 330) Oppenheim, Berl. Ber. **5**, 979, 1872.
- 331) Berl. Ber. **12**, 154, 1879.
- 332) Spring, Berl. Ber. **16**, 324, 1883.
- 333) Descamps, C. r. **86**, 1066, 1878.
- 334) Wächter, Journ. prakt. Chem. **30**, 321, 1843.
- 335) Meußner, Berl. Ber. **35**, 1420, 1902.
- 336) Tammann, Ref. Ztschr. phys. Chem. **2**, 46, 1888.
- 337) Pogg. Ann. **55**, 566, 1838.
- 338) Topsoë, J.-Ber. 1872, 164.
- 339) Pogg. Ann. **134**, 516, 1868.
- 340) Ann. chim. phys. [6] **21**, 166, 1890.
- 341) Kimmins, Journ. Chem. Soc. **55**, 151, 1889.
- 342) Schweigg. Journ. **22**, 370, 1818.
- 343) Pogg. Ann. **24**, 513, 1852.
- 344) Ztschr. phys. Chem. **16**, 592, 1895.

- 345) Wien. Akad. Ber. **15**, 24, 1855 und **25**, 135, 1857 und Journ. prakt. Chem. **72**,
- 346) Pogg. Ann. **115**, 579, 1862. [372, 1857.]
- 347) Vergl. Wied. Ann. **65**, 348, 1898.
- 348) Ref. Ztschr. phys. Chem. **23**, 557, 1897.
- 349) Berl. Ber. **30**, 825, 1897.
- 350) Wied. Ann. **65**, 348, 1898.
- 351) Berl. Ber. **12**, 911, 1879.
- 352) J.-Ber. 1861, 15.
- 353) J.-Ber. 1860, 17.
- 354) Holsboer, Ztschr. phys. Chem. **39**, 701, 1902.
- 355) Pogg. Ann. **85**, 304, 1852.
- 356) Pogg. Ann. **85**, 304, 1852.
- 357) v. Hauer, Wien. Akad. Ber. **15**, 24, 1855.
- 358) Wyruboff, J.-Ber. 1889, 508. — Ferner Mylius und Funk, l. c., Les-coeur (s. u.), Worobieff (s. u.).
- 359) Ref. Bull. [3] **16**, 1754, 1896 und Ztschr. anorg. Chem. **18**, 387, 1898.
- 360) Mylius und Funk, l. c.
- 361) de Schulten, C. r. **107**, 405, 1888.
- 362) Schröder, Journ. prakt. Chem. [2] **19**, 290, 1879.
- 363) Uhl, Berl. Ber. **23**, 2153, 1890.
- 364) Schüler, Lieb. Ann. **87**, 34, 1853.
- 365) Kraut und Precht, Lieb. Ann. **178**, 129, 1875.
- 366) Pareau, Wied. Ann. **1**, 42, 1877.
- 367) Ann. chim. phys. [7] **4**, 221, 1895.
- 368) l. c.
- 369) Wied. Ann. **65**, 344, 1898.
- 370) Drud. Ann. **9**, 1046, 1902.
- 371) Ann. chim. phys. [7] **2**, 552, 1894.
- 372) Mylius und Funk, l. c.
- 373) Holsboer, Ztschr. phys. Chem. **39**, 691, 1902.
- 374) Man vergleiche dazu v. Steinwehr, Drud. Ann. **9**, 1046, 1902 und v. Stackelberg, Ztschr. phys. Chem. **41**, 96, 1902. [son s. J.-Ber. 1872.]
- 375) Th. U. III, 138 u. 285, 1883. — Ältere Bestimmungen von Favre und Val-
- 376) Zeitschr. phys. Ch. **49**, 385, 1904.
- 377) Vergl. auch Wright und Thompson, Phil. Mag. [5] **17**, 384, 1884.
- 378) Ztschr. phys. Chem. **5**, 494, 1890.
- 379) Wied. Ann. **18**, 191, 1883.
- 380) Barnes und Scott, Journ. phys. Chem. **2**, 543, 1898; vgl. auch Redlich, Z. phys. Ch. **37**, 707, 1901.
- 381) Wright und Thompson, Phil. Mag. [5] **17**, 388, 1884; vgl. ferner De Muynck ⁴¹³⁾, Wagner ⁴⁰⁶⁾, Jahn ⁴¹²⁾, Mc Gregor, Beibl. **16**, 491, 1892.
- 382) Kohlrausch und Grüneisen, Berl. Akad. Ber. 1904, 20. Juli; sowie für $m > 1$ Messungen von Grottrian und Wershoven (l. c.). Ältere unsichere Bestimmungen stammen von Vicentini (Att. Acc. Torino **20**, 869, 1885; Ref. Beibl. **9**, 677). Siehe a. A. Noyes, Z. ph. Ch. **6**, 265, 1890.
- 383) Jones und Caldwell, Am. Chem. Journ. **25**, 376, 1901.
- 384) Journ. phys. Chem. **5**, 348, 1901.
- 385) Tammann, Ref. Ztschr. phys. Chem. **2**, 46, 1888.
- 386) Ztschr. phys. Chem. **2**, 489, 1888.
- 387) Ztschr. phys. Chem. **2**, 497, 1888.
- 388) Vgl. Arrhenius, Z. ph. Ch. **1**, 631, 1887.
- 389) Kahlenberg, Journ. phys. Chem. **5**, 348, 1901.
- 390) Hausrath, Diss. Göttingen 1901 und Drud. Ann. **9**, 524, 1902.
- 391) Diesen Schluß hat schon Wershoven (l. c.) gezogen.
- 392) Carrara und Vespignani, Gazz. chim. ital. **30**, II, 35, 1901.
- 393) Kümmell, Wied. Ann. **64**, 675, 1898.
- 394) Gordon, Ztschr. phys. Chem. **23**, 477, 1897. Ältere Angaben von Chassy, Ann. chim. phys. (6) **21**, 241, 1890, sind hier nicht verwertbar.
- 395) C. L. Weber, Ztschr. phys. Chem. **4**, 187, 1889.
- 396) Mathieu, Drud. Ann. **9**, 340, 1902.

- 397) Wright und Thompson, Phil. Mag. [5] **17**, 282, 1884.
 398) Ztschr. phys. Chem. **14**, 214, 1894; vergl. auch Le Blanc, Ztschr. phys. Chem. **8**, 322, 1891 und **12**, 345, 1893; Jahn, Ztschr. phys. Chem. **26**, 407, 1898.
 399) Diss. Breslau 1904 und Ztschr. f. Elektrochem. **10**, 77, 1904.
 400) Wied. Ann. **16**, 575, 1882 und **17**, 629, 1882.
 401) Bull. Acad. Cracovie, März 1902.
 402) Gockel, Wied. Ann. **40**, 458, 1890.
 403) Wied. Ann. **58**, 32, 1896; s. auch **53**, 462, 1894; vgl. auch H. Jahn, Z. phys. Ch. **18**, 399, 1895.
 404) C. r. **90**, 917, 1880.
 405) Wied. Ann. **50**, 700, 1893.
 406) Wied. Ann. **18**, 268, 1883 und Z. phys. Ch. **5**, 31, 1890.
 407) Valson, Ann. chim. phys. [4] **20**, 376, 1870.
 408) Valson, C. r. **74**, 104, 1872.
 409) Journ. prakt. Chem. [2] **31**, 177, 1885.
 410) Thomsen, Th. U. I, 343, 1882.
 411) Wied. Ann. **64**, 759, 1898.
 412) Phil. Mag. [5] **23**, 1, 1887.
 413) De Muynck, Wied. Ann. **53**, 561, 1894.
 414) Ref. Beibl. **8**, 493, 1884.
 415) Wied. Ann. **43**, 280, 1891; vergl. ferner Valson, C. r. **76**, 224, 1873. — Le Blanc und Rohland, Ztschr. phys. Chem. **19**, 282, 1896.
 416) Ztschr. phys. Chem. **11**, 753, 1893.
 417) C. r. **104**, 506, 1887.
 418) Arrhenius, Ztschr. phys. Chem. **9**, 493, 1892.
 419) Ztschr. phys. Chem. **19**, 565, 1896.
 420) S. Seite 478.
 421) Journ. Am. Chem. Soc. **23**, 896, 1901.
 422) Gordon, Henderson und Harrington, Ztschr. phys. Chem. **27**, 426, 1898.
 423) Man vergleiche bezüglich technischer Einzelheiten und anderer Punkte, die im folgenden übergangen sind, die Monographie von W. Jaeger, Die Normalelemente. Halle 1902 (Knapp). Neu publiziert seitdem: Barnes und Lucas, Journ. Phys. Ch. **8**, 197, 1904; Jaeger, Drud. **14**, 726, 1904.
 424) W. Jaeger, Wied. Ann. **65**, 106, 1898; Ztschr. f. Elektrochem. **8**, 485, 1902.
 425) Jaeger und Wachsmuth, Elektrotechn. Ztschr. **15**, 507, 1894. — Wied. Ann. **59**, 575, 1896. — Jaeger und Kahle, Wied. Ann. **65**, 926, 1898. — Jaeger, Drud. Ann. **4**, 123, 1901. — Jaeger und Lindeck, Drud. Ann. **5**, 1, 1901. — Vergl. dagegen Barnes, Journ. phys. Chem. **4**, 339, 1900; ferner Barnes und Lucas ⁴²³⁾.
 425a) Z. phys. Ch. **41**, 641, 1903.
 426) Phys. Rev. **13**, 1, 1901; Ztschr. phys. Chem. **41**, 121, 1901.
 427) Pogg. Ann. **67**, 255, 1846; ferner Muspratt, Phil. Mag. [3] **30**, 414, 1847 und Lieb. Ann. **64**, 242, 1847. — Fordos und Gélis, C. r. **16**, 1072, 1843 und Ann. chim. phys. [3] **8**, 351, 1843. — Röhrig, Journ. prakt. Chem. [2] **37**, 237, 1888.
 428) Bull. [3] **7**, 571, 1892.
 429) Z. anorg. Ch. **4**, 62, 1893.
 430) Vortmann und Padberg, Berl. Ber. **22**, 2638, 1889. [7, 183, 1826.
 431) Fock und Klüß, Berl. Ber. **23**, 534, 1890; vergl. ferner Heeren, Pogg. Ann. **432** Vohl, Lieb. Ann. **96**, 242, 1855. — Orłowsky, J.-Ber. 1883, 1520.
 433) Topsoë, J.-Ber. 1872, 163.
 434) v. Hauer, Wien. Akad. Ber. **39**, 306, 1860.
 435) Topsoë und Christiansen, Ann. chim. phys. [5] **1**, 1, 1874.
 436) Nilson, J.-Ber. 1874, 208.
 437) Butzureau, Ann. chim. phys. [6] **18**, 289, 1888.
 438) Stromeyer, Schweigg. Journ. **22**, 370, 1818. — Lescoeur, Ann. chim. phys. [7] **7**, 423, 1896. — v. Hauer, Wien. Akad. Ber. **15**, 30, 1855. — Funk, Ztschr. anorg. Chem. **20**, 414, 1899.
 439) Laws, J.-Ber. 1877, 43. [J.-Ber. 1859, 115.
 440) Tilden, Journ. Chem. Soc. **45**, 266, 1884. — Funk, l. c. — Ordway,
 441) Ordway, l. c. — Funk, l. c.
 442) Funk, l. c.; desgl. die folgenden Zahlenangaben.

- 443) Lescoeur, l. c.
 444) Lescoeur, l. c.; vergl. auch Ditte, Ann. chim. phys. [5] **18**, 341, 1879.
 445) Franz, Journ. prakt. Chem. [2] **5**, 293, 1872.
 446) Wershoven, Ztschr. phys. Chem. **5**, 493, 1890 und Grottrian, Wied. Ann. **18**, 191, 1883; vgl. auch J. Wagner.⁴³⁷⁾
 447) Entnommen aus Kohlrausch-Holborn. Messungen von Grottrian, Wied. Ann. **18**, 191, 1883; Wershoven, Ztschr. phys. Chem. **5**, 493, 1890. — Bouty, Ann. chim. phys. [6] **3**, 433, 1884.
 448) Vergl. indessen Wershoven, l. c., über den Endwert.
 449) Tammann, Ref. Ztschr. phys. Chem. **2**, 45, 1888.
 450) Jones, Ztschr. phys. Chem. **11**, 545, 1893; ferner Rüdorff, vergl. Ostwald, Allgem. Chemie, 2. Aufl., I, 742. — Raoult, Ann. chim. phys. [6] **8**, 335, 1886.
 451) Labendzinski, Diss. Breslau 1904 und Ztschr. f. Elektrochem. **10**, 77, 1904; vergl. auch B. Neumann, Ztschr. phys. Chem. **14**, 214, 1894.
 452) Goodwin, Ref. Ztschr. f. Elektrochem. **3**, 334, 1896.
 453) Hagenbach, Wied. Ann. **58**, 33, 1896; ferner Bouty, C. r. **90**, 917, 1880.
 454) Le Blanc und Rohland, Ztschr. phys. Chem. **19**, 282, 1896.
 455) Wied. Ann. **53**, 561, 1894.
 456) Valson, C. r. **74**, 104, 1872.
 457) J. Wagner, Wied. Ann. **18**, 265, 1883; Zeitschr. phys. Ch. **5**, 31, 1890.
 458) Walker und Aston, Journ. Chem. Soc. **67**, 376, 1895.
 459) Thomsen, Th. U. I, 351, 1882.
 460) Thomsen, Th. U. III, 201 und 285, 1883.
 461) Hampe, Lieb. Ann. **125**, 345, 1862; Journ. prakt. Chem. **90**, 376, 1863. — Ferner F. Vogel, Ztschr. anorg. Chem. **35**, 402, 1903. — Lang, Journ. prakt. Chem. **86**, 299, 1862.
 462) Schweigg. Journ. **22**, 372, 1818.
 463) de Schulten, Bull. soc. chim. [3] **1**, 472, 1889.
 464) Lieb. Ann. **65**, 153, 1848.
 465) Es sei an dieser Stelle darauf hingewiesen, daß die hier benutzten Formeln nicht immer mit den von den Autoren gegebenen übereinstimmen. So schreibt z. B. Schwarzenberg das letztgenannte Salz als Pyrophosphat $\text{Cd}_2\text{P}_2\text{O}_7 \cdot 2\text{H}_2\text{O}$. Da aber, sofern keine physikalisch-chemischen Untersuchungen vorliegen, die Wahl zwischen den verschiedenen Konstitutionsformeln freisteht, so sind hier im Zweifelsfalle die Formeln gewählt, welche möglichst normalen Verhältnissen entsprechen. Im übrigen gehört die Diskussion dieser Frage in das Kapitel Phosphor.
 466) Carnot und Proromant, C. r. **101**, 59, 1885.
 467) Schulten, loc. cit.
 468) Pogg. Ann. **78**, 358, 1849.
 469) Vergl. v. Knorre, Ztschr. anorg. Chem. **24**, 377, 1900.
 470) Carnot und Proromant, loc. cit. — Miller und Page, Ztschr. anorg. Chem. **28**, 235, 1901. — Über die Benutzung der Schwerlöslichkeit dieses Salzes zur Cd-Bestimmung vergl. Austin, Ztschr. anorg. Chem. **21**, 218, 1899 und Miller und Page, ebenda **28**, 235, 1901. [1886.
 471) Ouvrard, C. r. **106**, 1730, 1888. — Grandeau, Ann. chim. phys. [6] **8**, 193,
 472) Wallroth, J.-Ber. 1883, 318.
 473) Ztschr. anorg. Chem. **28**, 235, 1901.
 474) Immerwahr, Ztschr. f. Elektrochem. **7**, 481, 1901. [9, 41, 1827.
 475) Rammelsberg, Pogg. Ann. **132**, 488, 1867; vergl. auch H. Rose, Pogg. Ann.
 476) Rammelsberg, Journ. prakt. Chem. **100**, 18, 1867.
 477) Pogg. Ann. **12**, 91 u. 294, 1828.
 478) Drawe, Berl. Ber. **21**, 3401, 1888.
 479) Bansa, Ztschr. anorg. Chem. **6**, 146, 1894.
 480) Demel, Berl. Ber. **12**, 1279, 1879.
 481) Coloriano, C. r. **103**, 273, 1886.
 482) de Schulten, Bull. [3] **1**, 472, 1889.
 483) Journ. prakt. Chem. **104**, 164, 1868; Berl. Ber. **12**, 1446, 1879.
 484) Lefèvre, C. r. **110**, 406, 1890.
 485) Stavenhagen, Journ. prakt. Chem. [2] **51**, 22, 1895.
 486) Reichard, Berl. Ber. **27**, 1033, 1894.

- 487) Reichard, Berl. Ber. **31**, 2168, 1898.
 488) Senderens, Bull. [3] **21**, 56, 1899.
 489) Berl. Ber. **22**, 3043, 1889; J.-Ber. 1889, 427.
 490) Vergl. z. B. H. Rose, Pogg. Ann. **85**, 304, 1852. — Lefort, C. r. **27**, 269,
 1848. — Kraut, Ztschr. anorg. Chem. **13**, 14, 1897.
 491) Pogg. Ann. **85**, 304, 1852.
 492) L. Bourgeois, J.-Ber. 1886, 2248. — de Schulten, Bull. [3] **19**, 34, 1898.
 493) Ztschr. f. Elektrochem. **7**, 481, 1901.
 494) Th. U. III, 285 u. 442, 1883. [1853.
 495) Ouvrard, C. r. **130**, 1337, 1900; vergl. auch H. Rose, Pogg. Ann. **88**, 299,
 496) Rousseau und Allaire, C. r. **118**, 1256, 1894 und **119**, 72, 1894.
 497) Schroeder, Berl. Ber. **14**, 23, 1881. — Howard Breen (Berl. Ber. **12**, 1399,
 1879) fand 2,421 bis 2,438 bei 20°.
 498) Kannonnikoff, Beibl. **8**, 493, 1884. [J.-Ber. 1859, 325.
 499) Haidinger, Wien. Akad. Ber. **16**, 131, 1855; J.-Ber. 1855, 502. — Handl,
 500) Berl. Ber. **14**, 1610, 1881.
 501) Ztschr. phys. Chem. **30**, 244, 1899.
 502) Ztschr. phys. Chem. **27**, 406, 1898.
 503) Wied. Ann. **16**, 577, 1882. [1883.
 504) Gockel, Wied. Ann. **24**, 634, 1885; vergl. auch Edlund, Wied. Ann. **19**, 297,
 505) Marchand, Pogg. Ann. **38**, 144, 1836. — Souchay und Lenssen, Lieb. Ann.
103, 314, 1857. — Kohlschütter, Berl. Ber. **35**, 484, 1902.
 506) Clarke, Berl. Ber. **12**, 1399, 1879.
 507) Vergl. z. B. v. Reis, Berl. Ber. **14**, 1175, 1881.
 508) Auf hochgradige Komplexbildung darf der Befund von Richards und
 Harrington (Ztschr. phys. Chem. **27**, 422, 1898) gedeutet werden, daß in HCl
 (1 Mol/Liter) ein Zusatz von $\frac{1}{10}$ Mol CdC_2O_4 pro Liter eine Siedepunktdepression
 von 0,101° bewirkt.
 509) Kohlschütter, Berl. Ber. **35**, 484, 1902.
 510) Wyruboff, Ztschr. f. Krist. **21**, 270, 1893. [13, 1081, 1895.
 511) Ferrand, C. r. **122**, 887, 1896; Ann. chim. phys. [7] **17**, 423, 1899; Bull. [3]
 512) Schulten, Bull. [3] **1**, 475, 1889.
 513) Pogg. Ann. **52**, 236, 1841.
 514) Tarugi, Gazz. chim. ital. **25**, I, 349, 1895.
 515) A. Jaeger, Ztschr. anorg. Chem. **27**, 35, 1901.
 516) Poulenc, Ann. chim. phys. [7] **2**, 39, 1894.
 517) v. Helmholtz, Ztschr. anorg. Chem. **3**, 136, 1893.
 518) Berthelot, C. r. **91**, 1024, 1880; Ann. chim. phys. [5] **23**, 87, 1881.
 519) Dobrosserdow, J. Russ. Ph. Chem. Ges. [4] **32**, 297, 1900.
 520) Ztschr. phys. Chem. **28**, 33, 1899.
 520a) Zeitschr. phys. Ch. **5**, 238, 1890.
 521) Phil. Mag. [3] **21**, 356, 1842.
 522) Wien. Akad. Ber. **15**, 33, 1855.
 523) H. Traube, Ztschr. f. Krist. **29**, 603, 1897; Rimbach, Berl. Ber. **30**, 3079, 1897.
 Weitere ausführliche Studien von Rimbach sind soeb. erschienen Berl. Ber. **38**, 1564, 1905.
 524) v. Lang, Ztschr. f. Krist. **35**, 208, 1902; s. a. Schrauf, Pogg. Ann. **112**, 594, 1861.
 525) Varet, C. r. **123**, 422, 1896.
 526) Jones und Knight, Am. Chem. Journ. **22**, 110, 1899. — Eine ältere Messung
 liegt vor von Kistiakowski, Ztschr. phys. Chem. **6**, 109, 1890.
 527) Jones und Ota, Am. Chem. Journ. **22**, 11, 1899.
 528) Lindsay, Am. Chem. Journ. **25**, 64, 1901.
 529) Immerwahr, Ztschr. f. Elektrochem. **7**, 481, 1901.
 530) Labendzinski, Diss. Breslau 1904; Ztschr. f. Elektrochem. **10**, 77, 1904.
 531) Phil. Mag. [3] **21**, 357, 1842.
 532) v. Hauer, Wien. Akad. Ber. **15**, 35, 1855.
 533) Cushman, Ztschr. anal. Chem. **34**, 368, 1895.
 534) Rüdorff, Berl. Ber. **21**, 4 und 3044, 1888.
 535) Godeffroy, Berl. Ber. **8**, 9, 1875 und J.-Ber. 1878, 237.
 536) Berl. Ber. **35**, 1301, 1902. Soeben sind weitere Studien von Rimbach pub-
 liziert worden Berl. Ber. **38**, 1564, 1905.

- 537) Ztschr. anorg. Chem. **5**, 269, 1894.
 538) Berl. Ber. **8**, 9, 1875.
 539) Chassevant, Ann. chim. phys. [6] **30**, 39, 1893.
 540) Croft, Phil. Mag. [3] **21**, 357, 1842.
 541) v. Hauer, Wien. Akad. Ber. **13**, 450, 1854. — Schrauf, Pogg. Ann. **112**, 594, 1861. — Tassilly, Ann. chim. phys. [7] **17**, 108, 1899.
 542) H. Traube, Ztschr. f. Krist. **29**, 602, 1897.
 543) Ztschr. anorg. Chem. **33**, 149, 1903.
 544) Berl. Ber. **30**, 3075, 1897 und **35**, 1298, 1902. Die neuesten Angaben Rimbachs ebenda **38**, 1564, 1905.
 545) v. Hauer, Wien. Akad. Ber. **17**, 331, 1855 und Journ. prakt. Chem. **68**, 385, 1856.
 546) Grailich, Wien. Akad. Ber. **27**, 3, 1857; J.-Ber. 1858, 182. [1850.
 547) R. Varet, C. r. **123**, 422, 1896.
 548) v. Hauer, vergl. Ca-Salz.
 549) Grailich, vergl. Ca-Salz.
 550) Knight, Berl. Ber. **11**, 1505, 1878. [68, 385, 1856.
 551) v. Hauer, Wien. Akad. Ber. **15**, 36 und **17**, 333, 1855 und Journ. prakt. Chem.
 552) Knight, Berl. Ber. **11**, 1505, 1878.
 553) Rimbach, Berl. Ber. **30**, 3082, 1898.
 554) Rüdorff, Berl. Ber. **21**, 4 und 3044, 1888.
 555) R. Varet, C. r. **123**, 422, 1896.
 556) loc. cit. und Journ. prakt. Chem. **69**, 121, 1856.
 557) Wien. Akad. Ber. **27**, 13, 1857.
 558) Vergl. $\text{BaCd}_2\text{Cl}_6 \cdot 5\text{H}_2\text{O}$.
 559) Grailich und v. Lang, loc. cit.
 560) Phil. Mag. [3] **21**, 356, 1842.
 561) Wien. Akad. Ber. **15**, 38, 1855.
 562) Phot. Corresp. Wien. **13**, 83, 1876; vgl. ⁵⁶⁹⁾.
 563) Jones und Knight, Am. Ch. Journ. **22**, 110, 1899.
 564) Immerwahr, Ztschr. f. Elektr. **7**, 481, 1901.
 565) J. pr. Chem. **68**, 399, 1856.
 566) Phot. Corresp. Wien **13**, 83, 1876; vgl. ⁵⁶⁹⁾.
 567) Jones und Knight, Am. Ch. Journ. **22**, 110, 1899.
 568) Wells und Walden, Ztschr. anorg. Chem. **5**, 269, 1894.
 569) Eder, Ztschr. anorg. Chem. **36**, 412, 1903.
 570) Z. anorg. Ch. **33**, 149, 1903.
 571) Rimbach, Berl. Ber. **38**, 1553, 1905.
 572) Vgl. K_2CdBr_4 .
 573) Berl. Ber. **12**, 1398, 1879.
 574) Pogg. Ann. **106**, 525, 1859. — Auch J. pr. Chem. **68**, 399, 1856.
 575) Interpoliert und umgerechnet auf rez. Ohm von Kohlrausch und Holborn, Jones und Caldwell, Am. Ch. Journ. **25**, 355, 1901, erhalten aus den angegebenen Daten für μ etwas andere, größtenteils um 1 bis 2 Proz. kleinere Werte.
 576) Ztschr. phys. Chem. **5**, 493, 1890.
 577) loc. cit. Seite 384.
 578) Ztschr. f. Elektr. **7**, 481, 1901.
 579) Wied. Ann. **18**, 191, 1883.
 580) J. pr. Chem. **68**, 399, 1856.
 581) Phot. Corresp. Wien **13**, 83, 1876.
 582) J. pr. Chem. **68**, 399, 1856.
 583) loc. cit.
 584) loc. cit.
 585) loc. cit.
 586) loc. cit.
 587) Ambler Harper, Berl. Ber. **2**, 1398, 1869.
 588) Jones und Knight, Am. Ch. Journ. **22**, 110, 1899.
 589) J. pr. Chem. **68**, 399, 1856.
 590) Jones und Caldwell, Am. Ch. Journ. **25**, 356, 1901.
 591) Pogg. Ann. **38**, 366, 1836.
 592) Loebe, Diss. Berlin 1902.

- 593) Ztschr. f. Elektrochem. **7**, 874, 1901.
 594) Ztschr. phys. Chem. **10**, 618, 1892.
 595) Ztschr. f. Elektrochem. **7**, 481, 1901.
 596) Berl. Ber. **36**, 3400, 1903.
 597) Berl. Ber. **21**, 3044, 1888.
 598) Ztschr. anorg. Chem. **23**, 374, 1900.
 599) Diss. Berlin 1902.
 600) Berl. Ber. **2**, 589, 1869.
 601) Großmann, Berl. Ber. **35**, 2665, 1902.
 602) Wells, C.-Bl. 1903 II, 715.
 603) C. r. **111**, 679, 1890; **112**, 535 und 1312, 1891; Ann. chim. phys. [7] **10**, 17, 1897; Bull. [3] **5**, 10, 1891; **6**, 226, 1891.
 604) C. r. **121**, 350, 399, 501, 1895; **123**, 497, 1896; Bull. [3] **13**, 1081, 1898.
 605) Ann. chim. phys. [7] **21**, 433, 1900.
 606) C. r. **125**, 467, 1897.
 607) Cahours, Ann. chim. phys. [3] **62**, 300, 1861.
 608) Am. Ch. Journ. **22**, 417. C.-Bl. 1900 I, 281. [29, 28 u. 121, 1893.
 609) v. Hauer, Wien. Akad. Ber. **15**, 42, 1855. — Perrot, Arch. sc. ph. et. nat.
 610) Schiff, Lieb. Ann. **107**, 64, 1858.
 611) Wien. Akad. Ber. **54**, II 209, 1866. — Pogg. Ann. **133**, 176, 1868.
 612) Wyruboff, J.-B. 1892, 521.
 613) Wyruboff, Bull. [3] **25**, 128, 1901.
 614) v. Hauer, Wien. Akad. Ber. **15**, 42, 1855.
 615) Labendzinski, Diss. Breslau 1904. — Zeitschr. f. Elektr. **10**, 77, 1904.
 616) Journ. Ch. Soc. **69**, 445, 1896; **71**, 235, 1897. — Ztschr. f. Krist. **21**, 557, 1893 und **27**, 203, 1897. — Ferner Pope, Journ. Chem. Soc. **69**, 1530, 1896. — Perrot, Arch. sc. ph. et nat. [3] **25**, 669, 1891.
 617) Wien. Akad. Ber. **15**, 40, 1855.
 618) Am. Ch. Journ. **27**, 455, C. Bl. 1902, II, 321.
 619) Vgl. Ortloff, Ztschr. phys. Chem. **19**, 218, 1896.
 620) Berl. Ber. **21**, 3044, 1888.
 621) Jones und Caldwell, Am. Ch. Journ. **25**, 385, 1901.
 622) Jones und Caldwell, l. c.
 623) André, C. r. **104**, 988, 1887.
 624) Tröger und Ewers, C.-Bl. 1898, I, 658.
 625) Lieb. Ann. **104**, 325, 1857.
 626) Schiff, Lieb. Ann. **107**, 73, 1858.
 627) Retgers, Ztschr. phys. Chem. **16**, 592, 1895.
 628) Stortenbeker, Ztschr. phys. Chem. **34**, 109, 1900.
 629) Ztschr. phys. Chem. **16**, 592, 1895.
 630) Mylius und Funk, Berl. Ber. **30**, 832, 1897.
 631) Schüler, Lieb. Ann. **87**, 34, 1853.
 632) Berl. Ber. **7**, 469, 1874.
 633) Fock und Klüß, Berl. Ber. **23**, 1753, 1890.
 634) Diss. Berlin 1885.
 635) Vortmann und Padberg, Berl. Ber. **22**, 2638, 1889.
 636) v. Hauer, J. pr. Chem. **99**, 471, 1866. — Krenner, J.-Ber. 1866, 225. — Wyruboff, Bull. soc. min. **14**, 233, ref. Ztschr. phys. Chem. **20**, 497, 1896. — J.-Ber. [1892, 521.
 637) vgl. Ortloff, Ztschr. phys. Chem. **19**, 220, 1896.
 638) Lieb. Ann. **168**, 214, 1873.
 639) J. pr. Chem. **86**, 299, 1862.
 640) Lieb. Ann. **125**, 344, 1863.
 641) Wien. Akad. Ber. **73**, II, 113, 1876.
 642) Berl. Ber. **11**, 305, 1878.
 643) Ztschr. f. Krist. **17**, 185, 1890.
 643a) Comey, Dict. of solubilities.
 643b) Pogg. **78**, 347, 1849.
 643c) Ouvrard, Ann. chim. phys. [6] **16**, 289, 1889.
 644) Kohlschütter, Berl. Ber. **35**, 484, 1902.
 645) C. r. **110**, 406, 1890.

- 646) J.-Ber. 1859, 325.
- 647) Lieb. Ann. **266**, 49, 1891.
- 648) Wien. Ak. Ber. **54**, II, 789; Pogg. Ann. **130**, 331, 1866.
- 649) Howard Breen, Berl. Ber. **12**, 1399, 1879.
- 650) Souchay und Lenssen, Lieb. Ann. **103**, 314, 1857.
- 651) Rammelsberg, Pogg. Ann. **95**, 177, 1855.
- 652) Vgl. z. B. Classen und v. Reis, Berl. Ber. **14**, 1628 und 2782, 1881. — Classen, Berl. Ber. **27**, 2071, 1894. — Classen und Thomälen, Ztschr. f. Elektr. **1**, 282, 1894. — Piloty, Berl. Ber. **27**, 282, 1894. — Eliasberg, Ztschr. f. anal. Chem. **24**, 548, 1885; und Spezialwerke.
- 653) Schäfer, Dissert. Breslau 1905. [82, 1896.
- 654) de Schulten, C. r. **106**, 1674, 1887. — Tassilly, Ann. chim. phys. [7] **17**,
- 655) Habermann, Wien. Mtsh. **4**, 449, 1883.
- 656) Canzoneri, Gazz. chim. ital. **27**, II, 486 nach Bull. soc. chim. [3] **20**, 382.
- 657) Z. anorg. Ch. **41**, 231, 1904.
- 658) loc. cit. und C. r. **124**, 1022, 1897; Bull. [3] **17**, 589, 1897.
- 659) Ann. chim. phys. [5] **26**, 205, 1882.
- 660) Loebe, Diss. Berlin 1902.
- 661) Kühn, J.-Ber. 1847/48, 436.
- 662) Habermann, Wien. Mtsh. **4**, 448, 1883.
- 663) Athanasesco, C. r. **103**, 271, 1886.
- 664) Berl. Ber. **14**, 610, 1881. — S. auch Klinger, Berl. Ber. **16**, 997, 1883.
- 665) Rousseau und Tite, C. r. **114**, 1185, 1892.
- 666) Habermann, Wien. Mtsh. **4**, 449, 1883.
- 667) Mailhe, C. r. **133**, 228, 1901.
- 668) Mailhe, C. r. **134**, 42, 1902. — Vergl. auch Recoura, C. r. **132**, 1415, 1901.
- 669) Mailhe, C. r. **134**, 235, 1902.
- 670) Mailhe, C. r. **132**, 1560, 1901.
- 671) Kwasnik, J.-Ber. 1891, 562.
- 672) Wien. Ak. Ber. **15**, 31, 1855.
- 673) Tassilly, C. r. **124**, 1023, 1897; Ann. chim. phys. [7] **17**, 83, 1899; Bull. [3] **17**, 588, 1897. — Auch von anderen Autoren, z. B. Croft, Rammelsberg, Pogg. Ann. **55**, 242, 1842. — André, vgl. Tassilly.
- 674) C. r. **104**, 908, 1887. — Die Angaben dieses namentlich bezüglich „basischer“ Salze sehr produktiv gewesenen Autors sind nicht über jeden Zweifel erhaben.
- 675) Schüler, Lieb. Ann. **87**, 34, 1853.
- 676) Croft, Phil. Mag. [3] **21**, 355, 1842.
- 677) Tassilly, loc. cit.
- 678) Kuriloff, ref. Ztschr. anorg. Chem. **15**, 344, 1897. — Vergl. auch Lang und Rigaut, C. r. **129**, 294, 1899.
- 679) Croft, Rammelsberg, Tassilly vergl. vorstehende Zitate.
- 680) Pogg. Ann. **48**, 153, 1839. — Vergl. Croft, Tassilly, loc. cit.
- 681) Dawson und Mc. Crae, Journ. Chem. Soc. **77**, 1246, 1900.
- 682) J.-Ber. 1899, **1**, 295; C.-Bl. 1900 I, 646.
- 683) Pogg. Ann. **56**, 81, 1842.
- 684) Berl. Ber. **35**, 2665, 1902.
- 685) Pogg. Ann. **55**, 74, 1842.
- 686) Ditte, Ann. chim. phys. [6] **21**, 166, 1890.
- 687) Schweigg, **22**, 367, 1818.
- 688) Berl. Ber. **36**, 2322, 1903; Z. anorg. Ch. **41**, 130, 1904.
- 689) Berl. Ber. **36**, 3400, 1903.
- 690) loc. cit. — Vergl. auch W. Herz, Ztschr. anorg. Chem. **24**, 125, 1900.
- 691) Pogg. Ann. **20**, 152, 1830.
- 692) Lieb. Ann. **149**, 71, 1869.
- 693) Ann. chim. phys. (3) **9**, 931, 1843.
- 694) ref. Berl. Ber. **3**, 246, 1870.
- 695) Gaus, Ztschr. anorg. Chem. **25**, 236, 1900.
- 696) C. r. **104**, 989, 1887.
- 697) C. r. **100**, 1497, 1885.
- 698) Rammelsberg, Pogg. Ann. **67**, 255, 1846.

- 699) Rammelsberg, Pogg. Ann. **58**, 298, 1843.
700) Ann. chim. phys. [6] **18**, 189, 1888.
701) Souchay und Lenssen, Lieb. Ann. **103**, 314, 1857.
702) Lang, Berl. Ber. **21**, 1584, 1888.
703) Varet, C. r. **112**, 390, 2891; Bull. [3] **5**, 844, 1891.
704) Varet, C. r. **115**, 465, 1892; **124**, 1155, 1897.
705) Werner, Ztschr. anorg. Chem. **15**, 7, 1897.
706) Eine Zusammenstellung speziell für Pyridin, Chinolin etc. s. bei Reitzenstein, Ztschr. anorg. Chem. **18**, 296, 1898.
707) Williams, J.-Ber. 1855, 551.
708) Boutroux und Genvresse, C. r. **125**, 467, 1897.
709) Ville und Moitessier, C. r. **124**, 1244, 1897; Moitessier, ebenda S. 1530.
710) Lachowicz, Wien. Mtsh. **10**, 897, 1889.
711) Petersen, Ztschr. anorg. Chem. **5**, 7, 1894. — Crismer, Bull. soc. chim. [3], **3**, 116, 1890. — Adams, Amer. Chem. Journ. **28**, 218, 1905. Das Jodid enthält 3 NH₂OH.
712) Ann. chim. phys. [7] **21**, 383, 1900. Dort historische Angaben.
712a) Werner, Z. anorg. Ch. **21**, 201, 1899.
713) Borsbach, Berl. Ber. **23**, 431, 1890.
713a) C.-Bl. 1904 I, 139.
714) Ztschr. phys. Chem. **41**, 458, 1902.
715) Journ. pr. Chem. [2] **47**, 83, 1893.
716) loc. cit. und C. r. **126**, 968, 1898.
717) Ztschr. anorg. Chem. **21**, 225, 1899.
718) C. r. **125**, 184, 611, 1897 und Bull. soc. chim. [3] **21**, 336, 1899.
719) C. r. **128**, 1337, 1899.
720) Ztschr. anorg. Chem. **32**, 312, 1902.
721) Journ. Phys. Chem. **3**, 389, 1899.
-

Atomgewicht des Cadmiums¹⁾ $\text{Cd} = 112,3$.

a) Wahl des Atomgewichts.

Das H-Äquivalent des Cadmiums in seinen gewöhnlichen Verbindungen ist eine Zahl von der Größenordnung 56. Im Oxydul Cd_2O besitzt das Cadmium das Äquivalent $\text{Cd} = 112$. Das Cadmiumoxyd wurde stets für CdO gehalten. Das Gmelinsche Äquivalent war $\text{Cd} = 56$.

Wir nehmen das Doppelte des H-Äquivalents des Cadmiums für das Atomgewicht an, denn es befindet sich im Einklang:

1. Mit dem Gesetz von Avogadro. Die Dampfdichte des Cadmiums ist eine Zahl, die mit derjenigen übereinstimmt, die auch das Atomgewicht ausdrückt. Die Molekel ist einatomig, was auch andere phys.-chem. Versuche bestätigt haben. Auch die Dampfdichte des Cadmiumjodids entspricht dem Atomgewicht $\text{Cd} = 112$. Auch mit der van't Hoff'schen Ausdehnung des Avogadroschen Gesetzes auf Lösungen steht die Annahme des Cadmiums als zweiwertigen Elements resp. Ions im Einklang.

2. Mit der Regel von Dulong und Petit. Für die Atomwärme des Cadmiums sind zwischen 6,08—6,36 liegende Werte erhalten worden.

3. Mit der Lehre vom Isomorphismus.

4. Mit dem periodischen Gesetz, da die Eigenschaften des Cadmiums und seiner Verbindungen Funktionen des Atomgewichts 112, eines in der II. Gruppe, 7. Reihe (II—7) stehenden Elements sind.

b) Bestimmung des Atomgewichts.

Obwohl eine große Reihe von Bestimmungen des Atomgewichts — 11 an der Zahl — ausgeführt wurde, so kann nicht einmal die erste Dezimalstelle als ganz sicher bestimmt angesehen werden.

1. Stromeyer²⁾ bestimmte 1818 das Atomgewicht des von ihm entdeckten Elements durch Überführen des Metalls in das Oxyd. Verhältnis 100 $\text{Cd} : 14,352 \text{ O}$, Atomgewicht $\text{Cd} = 111,49$.

2. Hauer³⁾ 1857 führte das wasserfreie Sulfat durch Erhitzen im Schwefelwasserstoffstrom in das Sulfid über. Er führte 9 Versuche aus, wobei 5,8245—8,1956 g CdSO_4 eingewogen und 4,0335—5,6736 g CdS erhalten wurde. 100 CdSO_4 lieferten 69,209—69,257, im Mittel 69,231 Teile CdS , woraus $\text{Cd} = 111,94$.

3. Dumas⁴⁾ 1859 ermittelte mittels der von ihm bekanntlich (aber unbewußt) unrichtig benutzten Silbertitrimethode die im wasserfreien, im Chlorwasserstoffstrom erhitzten Chlorcadmium enthaltene Chlormenge. (Siehe Mg , Ca , Sr , Ba). In 6 Versuchen wurde 2,369—6,177 g CdCl_2 eingewogen

und 2,791—7,260 g Ag verwendet. 100 Teile Silber entsprachen 84,618 bis 85,083 g CdCl_2 , im Mittel 84,843 Teile, woraus $\text{Cd} = 112,31$ (111,74—112,75).

4. Lenssen⁵⁾ 1860 führte kleine, 0,4017—0,6552 g betragende Mengen wasserfreies Cadmiumoxalat durch Glühen in das Oxyd über und erhielt in 3 Versuchen aus 100 Teilen 63,982—64,053, im Mittel 64,010 Teile CdO , woraus $\text{Cd} = 112,03$.

5. Huntington⁶⁾ führte 1881 in J. P. Cookes Laboratorium eine eingehende Untersuchung aus. Er sublimierte das bei 200° getrocknete Cadmiumbromid im Porzellanrohr und bestimmte A die Menge des zu erhaltenden Bromsilbers, B das Verhältnis zwischen $\text{CdBr}_2 : 2\text{Ag}$, indem jedoch nur das „Silberende“ der Reaktion ermittelt wurde, d. i. es wurde auf die geringe Löslichkeit des Bromsilbers in der über demselben stehenden, sauren Flüssigkeit (Cd und HNO_3 enthaltend) keine Rücksicht genommen. Dies mußte zu einem etwas kleineren Atomgewichtswerte führen. Mit 4 Präparaten wurden beide Bestimmungen gleichzeitig ausgeführt.

A. Ermittlung des Verhältnisses $\text{CdBr}_2 : 2\text{AgBr}$. 8 Versuche mit 1,5592 bis 3,7679 g CdBr_2 und 2,1529—5,2016 g AgBr . 100 Teile AgBr entsprachen 72,405—72,437 Teilen, im Mittel 72,4216 Teilen CdBr_2 , woraus $\text{Cd} = 112,23$.

B. Ermittlung des Verhältnisses $\text{CdBr}_2 : 2\text{Ag}$. 8 Versuche mit 1,9225 bis 5,0270 g CdBr_2 und 1,5248—3,9874 g Ag. 100 Teile Ag entsprachen 126,051—126,110 Teilen, im Mittel 126,076 Teilen CdBr_2 , woraus $\text{Cd} = 112,24$.

6. Partridge⁷⁾ 1890 führte die Atomgewichtsbestimmung nach drei Methoden aus. Die Wägungen sind auf das Vakuum reduziert.

A. Analyse des Oxalats, wie bei Lenssen. In 10 Versuchen wurde 1,09898—1,53510 g CdC_2O_4 verwendet und 0,70299—0,98197 g CdO erhalten, oder aus 100 Teilen Oxalat 63,957—63,971 Teile Oxyd, im Mittel 63,964 Teile, woraus $\text{Cd} = 111,80$.

B. Überführung des Sulfats in das Sulfid, wie bei v. Hauer. In 10 Versuchen wurde 1,67190—1,70462 g CdSO_4 verwendet und 0,97450 bis 1,17962 g CdS erhalten, oder aus 100 CdSO_4 : 69,185—69,205, im Mittel 69,199 Teile CdS , woraus $\text{Cd} = 111,72$.

C. Überführung des Cadmiumoxalats in das Sulfid. In 10 Versuchen wurde 1,18743—2,19276 g CdC_2O_4 verwendet und daraus 0,85463—1,57825 g CdS erhalten, oder aus 100 Teilen CdC_2O_4 71,968—71,979, im Mittel 71,973. Daraus $\text{Cd} = 111,64$. Als Mittel der drei Reihen ergibt sich $\text{Cd} = 111,73$.

7. Morse und Jones⁸⁾ 1892, gingen von im Vakuum fraktioniert destilliertem Cadmiummetall aus.

A. Gewogene Mengen Cadmiummetall wurden in Salpetersäure gelöst, eingedampft und durch Glühen des Rückstandes das Oxyd dargestellt, welches sie frei von Oxyden des Stickstoffs fanden. Damit ist aber nicht ausgeschlossen, daß das Oxyd Sauerstoff und Stickstoff okkludiert enthielt, eine von Richards und Rogers erst 1893 publizierte Erfahrung (siehe beim Zink). In 10 Versuchen wurde 1,57000—2,27297 g Cd verwendet und 1,79418 bis 2,59751 g CdO erhalten, oder 100 Cd aus 87,504—87,508 Teilen, im Mittel 87,5066 Teilen Cd . Daraus $\text{Cd} = 112,06$. Die Okklusion von Gasen kann diesen Wert vom wahren Werte um 0,2—0,3 entfernen (siehe weiter unten bei Morse und Arbuckle unter 11).

B. Das Oxalat wurde, wie bei Lenssen, in das Oxyd übergeführt. Das Oxalat ist etwas hygroskopisch. In 5 Versuchen wurde 1,53937—1,77483 g

Oxalat verwendet und 0,98526—1,13582 g Oxyd erhalten, oder 100 Teile CdC_2O_4 gaben 63,996—64,008 Teile CdO, im Mittel 64,003 CdO, woraus $\text{Cd} = 112,02$.

8. Lorimer und Smith⁹⁾ 1892 gingen von reinem, durch Glühen des Carbonats dargestellten Cadmiumoxyd aus, lösten gewogene Mengen derselben im Cyankalium und schlugen aus der Lösung durch Elektrolyse das Metall nieder. Nach dem Auswaschen wurde es bei 100° getrocknet und gewogen. Die Wägungen sind auf den luftleeren Raum reduziert. In 9 Versuchen wurde 0,34767—1,44362 g CdO verwendet und 0,30418—1,26329 g Cd erhalten. Das Atomgewicht schwankt zwischen 111,908—112,182 und beträgt im Mittel 112,055.

9. Bucher¹⁰⁾ publizierte 1895 eine eingehende Untersuchung über das Atomgewicht des Cadmiums. Er arbeitete nach verschiedenen Methoden und studierte dieselben auf ihre Anwendbarkeit, behauptet aber nicht, einen definitiven Wert für das Atomgewicht erhalten zu haben. Er geht vom im Vakuum neunmal destillierten Cadmiummetall aus und bereitete aus demselben die verwendeten Verbindungen. Die Wägungen verstehen sich im Vakuum.

A. Das bei 150° getrocknete Oxalat wurde unter Beobachtung verschiedener Vorsichtsmaßregeln in das Oxyd, wie bei Lenssen sowie Morse und Jones, übergeführt. In 8 Versuchen wurde 1,33313—2,01846 g CdC_2O_4 verwendet und 0,85308—1,29210 g CdO erhalten. 100 Teile Oxalat gaben 63,951—64,014 Teile, im Mittel 63,978 Teile Oxyd, woraus $\text{Cd} = 111,88$.

B. Das Oxalat wurde, wie bei Partridge (6) in das Sulfid übergeführt. 4 Versuche mit 2,11643—3,13105 g CdC_2O_4 und 1,52462—2,25582 g CdS, oder 100 Teile Oxalat lieferten 72,037—72,065 Teile im Mittel 72,051 Teile Sulfid, woraus $\text{Cd} = 112,11$.

C. Das wasserfreie Cadmiumchlorid wurde gelöst, mit Silbernitratlösung gefällt und das Chlorsilber gewogen. Wägungen auf das Vakuum reduziert. Es wurden 21 Versuche ausgeführt, wobei 1,10976—4,24276 g CdCl_2 verwendet und 1,73547—6,63598 g AgCl erhalten wurde. Das Verhältnis ist 100 AgCl:63,880—63,949 oder im Mittel 63,916 CdCl_2 , woraus $\text{Cd} = 112,38$.

D. Das wasserfreie Bromcadmium wurde im Vakuum sublimiert, mit Silberionen gefällt und das Bromsilber gewogen. 5 Versuche, $\text{CdBr}_2 = 3,18030$ — $4,39941$ g und AgBr $= 4,38831$ — $6,07204$ g. Verhältnis 100 AgBr: 72,454—72,480, im Mittel 72,464 CdBr_2 , woraus $\text{Cd} = 112,39$.

E. Cadmiummetall wurde in das wasserfreie Sulfat übergeführt. 1,15781 g Cd gaben 2,14776 g CdSO_4 , woraus $\text{Cd} = 112,36$.

F. Das metallische Cadmium wurde, wie bei Morse und Jones, in das Oxyd übergeführt und zwar teils im doppelten Porzellantiegel, teils war der innere Tiegel aus Platin. In 5 Versuchen wurde 0,99785—2,80966 g Cd verwendet und 1,14035—3,21152 g CdO erhalten.

Im Porzellantiegel erhielt Bucher das Verhältnis 100 CdO:87,508 Cd, woraus $\text{Cd} = 112,08$.

Im Platintiegel erhielt er 100 CdO:87,487 Cd, woraus $\text{Cd} = 111,87$. Man sieht, daß man im Platintiegel ein schwereres Oxyd erhält, was zu einem zu niedrigen Atomgewichtswert führt. Aber auch der im Porzellantiegel erhaltene Wert ist zu niedrig, da die Okklusion von Gasen im Oxyd nicht in Rechnung gezogen wurde. Doch zeigt der Wert 112,08 eine gute Übereinstimmung mit dem ebenfalls zu niedrigen Wert von Morse und Jones. Auch die in den Versuchsreihen A und B erhaltenen Werte sind entschieden zu

niedrig. Dagegen dürfte der aus den Versuchsreihen C, D und E erhaltene Mittelwert $\text{Cd} = 112,38$ der Wahrheit viel näher liegen.

10) Hardin¹¹⁾ 1896 elektrolysierte die mit Cyankalium versetzten Lösungen des aus im Wasserstoffstrome sublimiertem Cadmiummetall dargestellten Chlorids und Bromids. Die Wägungen sind auf das Vakuum reduziert.

A. Ermittlung des aus dem Chloride zu erhaltenden Metalls. In 10 Versuchen wurde 0,43140—1,52344 g CdCl_2 verwendet und 0,26422 bis 0,93314 g Cd erhalten. Verhältnis: 100 CdCl_2 : 61,236—61,252, im Mittel 61,244 Teilen Cd, woraus $\text{Cd} = 112,06$.

B. Cadmiummetall aus dem Bromid. In 10 Versuchen wurde 0,57745—2,15342 g CdBr_2 verwendet und 0,23790—0,88722 g Cd erhalten. Verhältnis: 100 CdBr_2 : 41,196—41,208, im Mittel 41,203 Teilen Cd, woraus $\text{Cd} = 112,06$.

C. Hardin ermittelte das elektrolitische Äquivalent des Cadmiums aus dem Vergleich mit dem des Silbers. Die mit Doppelcyanidlösungen beider Elemente angestellten Versuche waren nicht sehr befriedigend und Hardin wählte aus der großen Zahl derselben fünf aus, wobei 0,11032—0,22058 g Cd 0,21262—0,42520 g Ag entsprachen. Verhältnis: 100 Ag_2 : 51,852—51,887, im Mittel 51,876 Teilen Cd, woraus $\text{Cd} = 111,98$.

11. Die letzte Untersuchung über das Atomgewicht des Cadmiums ist die von Morse und Arbuckle¹²⁾ 1898 ausgeführte. Wie oben unter 7. angeführt ist, ermittelten Morse und Jones 1892 das Atomgewicht durch Überführung des Metalls in das Nitrat und dieses in das Oxyd, ohne jedoch die erst 1893 von Richards und Rogers beobachtete Okklusion von Sauerstoff und Stickstoff im Oxyd zu berücksichtigen. Morse und Arbuckle ermittelten, wie beim Zinkoxyd, die Menge dieser Gase in dem Cadmiumoxyd, welches sie durch neue Synthesen aus dem Metall erhielten. Es wurden 9 Versuche ausgeführt, wobei 1,40379—1,93188 g Cd verwendet und 1,60420—2,20764 g CdO erhalten wurden. Die erhaltenen Gasmengen schwankten zwischen 0,390—0,574 cm^3 und enthielten 18,56—25,16 Proz. O. Für das Atomgewicht wurden korrigierte Werte erhalten, welche zwischen 112,359—112,395 schwankten und im Mittel $\text{Cd} = 112,377$ ergaben, während der unkorrigierte Originalwert $\text{Cd} = 112,084$ betrug.

Ich halte den auf Grund der Ermittlung der Menge der okkludierten Gase korrigierten Wert von Morse und Arbuckle $\text{Cd} = 112,377$ für ein wenig zu hoch und zwar aus folgendem Grunde. Die große Analogie, die zwischen den „homologen“ Elementen Zink und Cadmium und ihren Verbindungen, speziell Oxyden besteht, erlaubt uns analoge Schlüsse aus dem Verhalten des Zinkoxyds auf das Verhalten des Cadmiumoxyds zu ziehen.

Wir haben allen Grund, das von Richards ermittelte Atomgewicht des Zinks $\text{Zn} = 65,40$ als richtig anzunehmen. Morse und Arbuckle fanden das Atomgewicht des Zinks durch Überführung des Metalls in das Oxyd, a) ohne Rücksicht auf Okklusion $\text{Zn} = 65,328$, b) mit Rücksicht auf Okklusion $\text{Zn} = 65,457$. Diese letztere zu hohe Zahl erklärt sich dadurch, daß, nach in meinem Laboratorium ausgeführten Versuchen, die Menge der in Oxyden okkludierten Gase in der Regel etwas zu hoch gefunden wird.

Wenn wir nun annehmen, daß auch bei der Ermittlung der im Cadmiumoxyd okkludierten Gase von Morse und Arbuckle ein gleicher Fehler begangen wurde, wie bei der Ermittlung der im Zinkoxyd okkludierten Gase, so können wir, auf Grund des Richardsschen Atomgewichts des

Zinks das Atomgewicht des Cadmiums aus dem von dem angeführten Plusfehler freien Cadmiumoxyd berechnen. Berechnen wir zunächst aus den drei Atomgewichten des Zinks die Menge des aus 100 Teilen Zink zu erhaltenden Oxyds.

Atomgewicht des Zn:	unkorrigiert	Richards	überkorrigiert
	65,328	65,404	65,457
100 Zn geben ZnO:	124,492	124,463	124,444
Differenz:	0,029	0,019	

Wenn wir nun annehmen, daß die Differenzen zwischen der wahren Menge des aus 100 Teilen Cadmium zu erhaltenden Oxyds und einerseits der unkorrigierten, andererseits der korrigierten Menge desselben den entsprechenden Differenzen beim Zinkoxyd proportional sind, so erhalten wir:

	unkorrigiert		überkorrigiert
100 Cd geben CdO . . .	114,275	diff.: 0,037	114,238
Verteilung der Differenz . .	0,0223		0,0147
100 Cd geben reines CdO		114,2527	
Atomgewicht des Cd . . .	112,084	112,295	112,377

Die auf Grund der Analogie mit dem richtigen Atomgewicht des Zinks laut obiger Berechnung korrigierte Zahl für das Atomgewicht des Cadmiums beträgt **Cd = 112,26** und ich glaube, daß diese Zahl der wahren Zahl viel näher liegt, als die überkorrigierte Zahl Cd = 112,38.

Übersicht.

Name	Jahr	Verhältnis	Atomgew. Cd =
Stromeyer	1818	Cd : CdO	111,49
v. Hauer	1857	CdSO ₄ : CdS	111,94
Dumas	1859	CdCl ₂ : 2Ag	112,31
Lessen	1860	CdC ₂ O ₄ : CdO	112,03
Huntington	1881	CdBr ₂ : 2AgBr	112,23
		CdBr ₂ : 2Ag	112,24
Partridge	1890	CdC ₂ O ₄ : CdO	111,80
		CdSO ₄ : CdS	111,76
		CdC ₂ O ₄ : CdS	111,64
		Mittel der 3 Reihen	111,73
Morse u. Jones	1892	Cd : CdO (unkorrigiert)	112,06
		CdC ₂ O ₄ : CdO	112,02
Lorimer u. Smith	1892	CdO : Cd (elektrolytisch)	112,06
Bucher	1895	CdC ₂ O ₄ : CdO	111,88
		CdC ₂ O ₄ : CdS	112,11
		CdCl ₂ : 2AgCl (Cl = 35,455)	112,38
		mit Cl = 35,467 umgerechnet	112,37
		CdBr ₂ : 2AgBr	112,39
		Cd : CdSO ₄	112,36
		Cd : CdO (Porz. uncorr.)	112,08
		Cd : CdO (Plat. uncorr.)	111,87
Hardin	1896	CdCl ₂ : Cd (elektrolytisch)	112,06
		mit Cl = 35,467 ungerechnet	112,09
		CdBr ₂ : 2Ag (elektrol.)	111,98
Morse u. Arbuckle	1898	Cd : CdO (überkorr.)	112,38
		Cd : CdO (korr. Brauner)	112,26

Schlußfolgerungen.

Wenn wir nur die mit modernen Mitteln und auf Grund von tadellosen „Verhältnissen“ ermittelten Atomgewichtszahlen des Cadmiums berücksichtigen so erhalten wir die folgende Übersicht:

	Atomgewicht des Cd:	
Huntington: $\text{CdBr}_2 : 2\text{AgBr}$	112,23	Mittel:
$\text{CdBr}_2 : 2\text{Ag}$	112,24	
Bucher: $\text{CdCl}_2 : 2\text{AgCl}$	112,38	
$\text{CdBr}_2 : 2\text{AgBr}$	112,39	
$\text{Cd} : \text{CdSO}_4$	112,36	
Morse u. Arbuckle $\text{Cd} : \text{CdO}$ korrigiert nach Brauner	112,26	112,31 (1—6)
(über-)korrigierte Originalzahl	112,38	121,33 (1—5,7)

Ich halte die letztere Zahl aus oben ausführlich mitgeteilten Gründen für ein Maximum und glaube, daß die aus den obigen sechs Zahlen abgeleitete Mittelzahl $\text{Cd} = 112,31$, welche in der Mitte zwischen den Zahlen von Huntington und Bucher, sowie der von mir korrigierten Zahl von Morse und Arbuckle liegt, dem wahren Atomgewicht des Cadmiums am nächsten kommt. Eine wenig abweichende Zahl, $\text{Cd} = 112,33$, erhält man, wenn man statt der von mir korrigierten Zahl die Originalzahl von Morse und Arbuckle ($\text{Cd} = 112,38$) beim Ziehen des Mittels benutzt.

Dagegen ist die Mittelzahl von Dumas, $\text{Cd} = 112,32$, wohl nur durch Zufall richtig. Die von Lorimer und Smith sowie von Hardin ausgeführten Atomgewichtsbestimmungen, bei welchen das Metall aus der Lösung des Oxyds, des Chlorids und des Bromids durch Elektrolyse abgeschieden wurde, haben übereinstimmend den zu niedrigen Wert $\text{Cd} = 112,06$ ergeben, so daß man sich fragen muß, ob nicht unnachweisbare kleine Mengen von Cadmium in der Lösung verblieben sind, etwa in der, dem Oxydul entsprechenden einwertigen Form. (Vergleiche: Quecksilber, Schlußfolgerungen.)

Ich halte die Zahl

$$\text{Cd} = 112,3 \text{ (II—III)}$$

für das wahrscheinlichste Atomgewicht des Cadmiums, mit einer Unsicherheit von etwa einer Einheit in der ersten Dezimalstelle.¹³⁾

- 1) Allgemeine Bemerkungen über Atomgewichte siehe beim Beryllium, S. 26.
- 2) Stromeyer, Schweigger **22**, 366.
- 3) v. Hauer, Wiener Akad. Ber. **25**, 118. — Journ. prakt. Chem. **12**, 338, 1858.
- 4) Dumas, Ann. chim. phys. [3] **55**, 158.
- 5) Lenssen, Journ. prakt. Chem. **79**, 281.
- 6) Huntington, Proc. Amer. Acad. **17**, 28.
- 7) Partridge, Amer. Journ. Sc. [3], **40**, 377.
- 8) Morse und Jones, Amer. Chem. Journ. **14**, 261.
- 9) Lorimer und Smith, Zeitschr. anorgan. Chem. **1**, 240—244.
- 10) Bucher, Dissertation, Baltimore 1895.
- 11) Hardin, Journ. Amer. Chem. Soc. **18**, 1016.
- 12) Morse und Arbuckle, Amer. Chem. Journ. **20**, 536.
- 13) Die von der Atomgewichtskommission empfohlene Zahl $\text{Cd} = 112,4$ halte ich für zu hoch.

Nachtrag.

Das am 4. März 1905 erschienene Heft der Ztschr. anorg. Chem. **44**, 158—167 enthält eine vorl. Mitteilung von Baxter und Hines über das Atomgewicht des Cadmiums. Es wird aus den Verhältnissen $\text{CdCl}_2 : 2\text{AgCl}$ und $\text{CdCl}_2 : 2\text{Ag}$ $\text{Cd} = 112,47$ gefunden ($\text{Cl} = 35,473$).

Brauner.

Quecksilber.

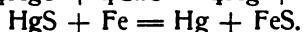
Vorkommen und Gewinnung des Quecksilbers. Das Quecksilber findet sich in der Natur teils gediegen, teils in Form von Verbindungen, von denen der Zinnober, HgS , die weitaus größte Bedeutung besitzt. Die Fundorte für gediegenes Quecksilber sind vorzugsweise einige Orte der Pfalz, Idria (Krain), Almaden, Kärnten, Kalifornien und Peru, doch ist diese Art des Vorkommens für die Gesamtproduktion von untergeordnetem Werte. Der für die Gewinnung wichtigste Zinnober kommt selten kristallisiert vor, häufiger eingesprengt oder als Anflug auf Gesteinen (Quecksilberlebererz, Ziegelerz, Korallenerz). Auch in einigen Fahlerzen kommt Quecksilber in wechselnden Mengen, bis 17 Proz. Hg , vor. Seltener Erze, die weniger den Hüttenmann, sondern mehr den Mineralogen interessieren, sind bei den einzelnen Verbindungen aufgeführt.

Die Gewinnung des Metalls aus dem Zinnober — die wenigen anderen Erze werden mit diesem zusammen verhüttet — ist eine verhältnismäßig einfache metallurgische Operation. Das Erz wird

1. entweder für sich bei Luftzutritt erhitzt:



2. geschieht die Erhitzung mit entschwefelnd wirkenden Zuschlägen; als solche wendet man Kalk, seltener Eisen an:



Wegen der Flüchtigkeit des Metalls sind natürlich die Öfen mit wirksamen Kondensationsvorrichtungen zu versehen, wozu neben den Vorschriften der Rentabilität besonders auch diejenigen der Hygiene auffordern.

Die Röstung geschieht vorzugsweise in Schachtöfen. Bei den in Idria gebrauchten Öfen (Leopoldiöfen) sind in einem hohen Schacht 3 übereinander liegende Roste angebracht, welche mit Erz beschickt werden. Die mit dem Ofen in Verbindung stehende Kondensationsvorrichtung besteht aus 12 großen miteinander verbundenen, gemauerten Kammern, die links und rechts vom Schachtofen angebracht sind. In Spanien wird seit etwa 2 $\frac{1}{2}$ Jahrhunderten mit den sog. Aludelöfen, d. h. Schachtöfen mit einem Rost, gearbeitet. Zur Kondensation werden die Metaldämpfe in die Aludeln geleitet, tönernen, kurzen, bauchig erweiterte Röhren, die ineinander gesteckt sind, und welche in Rinnen auf dem sog. Aludelplan liegen. Diese Gefäße haben im Bauche ein kleines Loch, aus dem das Metall in die Rinnen ausfließt. Den Aludeln schließt sich eine Kondensationskammer an, um die letzten Spuren zu verdichten.

Besser als die bisher genannten beiden Öfen mit unterbrochenem Betriebe

arbeiten solche mit kontinuierlichem Betriebe wie die Exelischen Schachtöfen, bei denen das Röstgut beständig in den Ofen gegeben wird. Die Kondensationsvorrichtung besteht hier aus 3 Reihen weiter, gebogener, gußeiserner Röhren, deren Schenkel unten offen sind und in Wasserbehälter eintauchen. Hier verdichtet sich die Hauptmenge des Quecksilbers; den Röhren schließen sich weiter Kondensationskammern an. Abänderungen des Exelofens rühren von Langer her.

Andere Öfen sind die in Kalifornien verwendeten Knox- und Livermoore-Öfen.

Das so gewonnene Rohmetall enthält meist noch fremde Metalle sowie mechanisch beigemengte Verunreinigungen; von letzteren wird es durch Pressen durch Leder oder Leinwand befreit.

Näheres über Metallurgie des Quecksilbers s. in den Spezialwerken wie B. Kerl, Grundriß der Metallhüttenkunde; Stölzel, Metallurgie; Ost, Chemische Technologie; Medicus, Chemische Technologie.

Reinigung des Metalls. Sind in dem Quecksilber keine fremden Metalle gelöst, sondern ist es nur mechanisch verunreinigt, so genügt eine ein- oder mehrmalige Filtration. Dazu wird es entweder durch ein mit feinen Löchern versehenes Papierfilter gegossen oder durch Leder filtriert. Hierauf hat Pfaundler (s. Lehrb. d. Physik v. Pouillet-Müller) einen zweckmäßigen Apparat für den Laboratoriumsgebrauch konstruiert, bei dem das Quecksilber durch eignen Druck durch ein gespanntes Stück Leder gepreßt wird. Um Quecksilber von Wasser zu befreien, wird es bis auf etwa 150° erwärmt oder im Vakuum getrocknet.

Hat sich das Quecksilber mit anderen Metallen, z. B. Zink, Blei, Kupfer, Natrium etc. amalgamiert, so muß man es zur Trennung von diesen einer energischeren Reinigung unterziehen.

a) Reinigung auf chemischem Wege. Im Prinzip beruhen die Methoden dieser Reinigung darauf, daß die als Oxydationsmittel wirkenden chemischen Agenzien das Quecksilber als edleres Metall nicht angreifen, während die genannten metallischen Verunreinigungen oxydiert werden. Hierzu ist erforderlich, daß das Quecksilber in sehr fein verteiltem Zustande durch die oxydierende Flüssigkeit geschickt wird.

Hat man kleinere Mengen des Metalls zu reinigen, so wird dasselbe am besten in einem starkwandigen Schütteltrichter mit verdünnter Salpetersäure, Eisenchloridlösung oder einer Mischung von Kaliumbichromat und verdünnter Schwefelsäure ¹⁾ kräftig durchgeschüttelt, mit Wasser gewaschen und getrocknet.

Bei größeren Mengen Quecksilber bedient man sich eines von Lothar Meyer ²⁾ angegebenen und von Karsten ³⁾ zweckmäßig modifizierten Apparats. Derselbe besteht aus einem ca. 1,3 m langen und ca. 3 cm weiten Glasrohre, dessen unteres Ende verengert und U-förmig umgebogen ist. Der untere gebogene Teil wird mit Quecksilber gefüllt, die lange offene Röhre mit einer geeigneten Oxydationsflüssigkeit beschickt (verdünnter HNO₃, saure Mercuronitrat- oder Eisenchloridlösung). Durch die Flüssigkeit läßt man das unreine Quecksilber in möglichst feinem Strahl hindurchfließen, was man auf verschiedene Weise erreichen kann. Entweder läßt man das Metall aus einem Glasrohr mit unterem keulenförmigen Ansatz austreten, in welchem sich sehr viele, feine Löcher befinden oder man benutzt den von Karsten (l. c.) angegebenen Vorschlag. Nach diesem läuft das Quecksilber zunächst aus einem

Glasrohr aus, in welches unten ein Stück spanisches oder Malakkarohr dicht eingesetzt ist, wodurch auch zugleich die mechanischen Verunreinigungen zurückgehalten werden.

Einen anderen sehr zweckmäßig erscheinenden Glasapparat hat neuerdings Palmaer⁴⁾ beschrieben; diese Vorrichtung gestattet ebenfalls, das Metall in Form eines feinen Regens durch die Flüssigkeit zu senden.

Nach Crafts⁵⁾ kann man Quecksilber von unedleren Metallen dadurch reinigen, daß man durch dasselbe längere Zeit einen Luftstrom saugt. Hierdurch werden Blei, Zink und Zinn oxydiert, Silber wird nicht beseitigt.

Zur Ausführung dieser Reinigung wird zweckmäßig durch das in einem dickwandigen Filtrierkolben (Saugflasche) befindliche Metall mit Hilfe einer Wasserstrahlpumpe in schnellem Tempo Luft gesaugt. Vorteilhaft ist es, die Luft an mehreren Stellen in das Metall eintreten zu lassen und zwischen Pumpe und Saugflasche noch ein leeres Gefäß einzuschalten. Besonders bei Anwesenheit von Blei wird man diese „trockene“ Reinigung vor der „nassen“ ausführen.

b) Reinigung durch Destillation. Im Vakuum erfolgt die Destillation schon bei verhältnismäßig niedriger Temperatur. Zur Ausführung dieser Operation ist eine große Anzahl von Apparaten beschrieben, zu denen alljährlich einige neue Typen hinzutreten. Die Apparate bestehen im allgemeinen aus einem Barometer mit erweiterter Barometerleere, in welcher das Quecksilber durch gelindes Erhitzen zum Verdampfen gebracht wird. In dem Maße, wie das verdampfte Quecksilber durch ein geeignet angebrachtes Rohr das Vakuum verläßt, tritt neues Quecksilber in dasselbe ein, so daß die Destillation zu einer kontinuierlichen gemacht wird. Verschiedene Konstruktionen s. bei Weinhold⁶⁾, Bohn⁷⁾, Karsten⁸⁾, Nebel⁹⁾, Clark¹⁰⁾, Dunstan und Dymond¹¹⁾, Smith¹²⁾, Morse¹³⁾, s. besonders Arendt (Technik der Experimentalchemie).

Die Trennung des Quecksilbers von den beigemengten Metallen durch Destillation ist vollständig, wenn, wie C. Michaelis (Diss. Berlin 1883) fand, der Destillationsapparat weitgehend evakuiert wird, und das Metall bei ruhiger Oberfläche destilliert. Ist das Vakuum weniger groß, so tritt unruhiges Kochen auf, wodurch stets unreines Quecksilber mechanisch mit übergerissen wird.

Hulett¹⁴⁾ hat ebenfalls über die Destillation von Amalgamen und die Reinigung des Quecksilbers systematische Versuche angestellt. Dieser Autor destilliert das Metall aus zwei ineinander gesteckten Destillierkolben bei dem Vakuum einer gewöhnlichen Wasserstrahlpumpe, während ein Strom indifferenten Gases mit Hilfe einer feinen Kapillare durch den Apparat gesaugt wird. Sehr verdünnte Amalgame (Zn, Cd) ließen sich so leicht destillieren und das übergehende Quecksilber erwies sich frei von den Beimengungen, während etwa vorhandenes Metalloxyd (ZnO, CdO) mechanisch mitgenommen wird.

Die Reinheit des Quecksilbers kontrolliert Hulett mit Hilfe einer „Prüfungskette“, durch Messung der E.M.K. der Zelle:

Zn/Elektrolyt/Hg;

als Elektrolyt wird eine gesättigte Lösung von Quecksilberoxyd in mit CO₂ bei 25° gesättigtem Wasser benutzt; E.M.K. = 1,445 Volt; geringe Verunreinigungen (Zn) sollen bedeutende Veränderungen der E.M.K. hervorbringen.

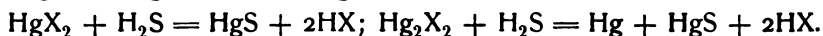
c) Reinigung durch Elektrolyse. Ein anderer Weg zur Reinigung ist durch Elektrolyse gegeben¹⁵⁾, indem das zu reinigende Quecksilber als Anode und als Elektrolyt eine saure Lösung von Mercuronitrat benutzt wird.

Analytischer Nachweis und Bestimmung des Quecksilbers. Der qualitative Nachweis des Metalls gelingt leicht unter Benutzung folgender Eigenschaften der Quecksilberverbindungen:

Alle Quecksilbersalze verflüchtigen sich beim Erhitzen meist unter Zersetzung; unzersetzt sublimieren nur die Halogenide. Werden die Quecksilberverbindungen wasserfrei mit getrocknetem Natriumcarbonat im Glührohr erhitzt, so tritt stets Zersetzung unter Entbindung von metallischem Quecksilber ein. Letzteres erscheint in Form kleiner Kügelchen, kann mikroskopisch leicht nachgewiesen und chemisch z. B. durch Überführung in das Jodid identifiziert werden.¹⁶⁾

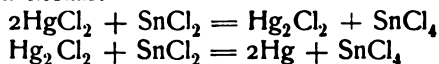
In den Lösungen der Quecksilbersalze läßt sich das Quecksilber durch Reduktion mittels anderer Metalle wie Kupfer und Aluminium ausscheiden. Durch den Farbenkontrast ist das Quecksilber auf einem blanken Kupferbleche leicht erkennbar. Wird ein Tropfen einer Quecksilbersalzlösung auf Aluminiumblech gegeben und nach kurz dauernder Einwirkung durch Abwaschen entfernt, so wachsen aus der betroffenen Stelle nach kurzer Zeit zarte und äußerst charakteristische säulenförmige Gebilde von Tonerdehydrat heraus, eine Erscheinung, die sich aus der Bildung von Aluminiumamalgam und aus der großen Zersetzlichkeit desselben durch die Feuchtigkeit der Luft erklärt. Diese und ähnliche Reaktionen (Reduktionen der Quecksilbersalze) sind in vielfältiger Weise modifiziert worden. (Näheres s. z. B. Fresenius, Qual. Analyse, woselbst Literaturangaben).

Alle Quecksilbersalzlösungen werden durch überschüssigen Schwefelwasserstoff gefällt, die Mercurisalze unter glatter Bildung von HgS , die Mercurosalze unter gleichzeitiger Ausscheidung von metallischem Quecksilber:



In der qualitativen Analyse spielt noch die Reaktion der Quecksilbersalze gegenüber Zinnchlorür eine Rolle. In den Oxydulsalzlösungen bewirkt Zinnchlorür eine weiße Abscheidung von Kalomel, welche aber bald in einen grauen Niederschlag von metallischem Quecksilber übergeht.

In Mercurisalzlösungen erzeugt Zinnchlorür in geringer Menge bei Gegenwart von Salzsäure Fällung von Kalomel, Zusatz einer größeren Menge bewirkt Reduktion zu Metall:



Die speziellen Ionenreaktionen sind bei den Ioneneigenschaften beschrieben.

Im Gang der Analyse treffen wir das Quecksilber mit Cu, Pb, Bi, Ag, As, Sb, Sn; mit diesen zusammen wird es als Sulfid aus saurer Lösung durch Schwefelwasserstoff gefällt. Von den Sulfiden der letzten drei Metalle unterscheiden sich HgS , wie auch CuS , PbS , Bi_2S_3 und Ag_2S durch ihre Unlöslichkeit in Schwefelammonium. Infolge der Nichtlöslichkeit des HgS in HNO_3 kann man weiter das Quecksilber von Cu, Pb, Bi und Ag trennen, deren Sulfide sich in jenem Reagens leicht lösen.

Quantitative Bestimmung des Quecksilbers. 1. Fast jede Quecksilberverbindung (eine Ausnahme soll HgI_2 machen) läßt sich durch Glühen

mit Ätzkalk unter Bildung von Metall zersetzen, welches letzteres unter Einhaltung bestimmter Bedingungen aufgefangen und zur Wägung gebracht wird.

2. Aus reinen Oxydulsalzlösungen fällt man das Metall am besten als Chlorür, indem man die kalte, verdünnte, nicht stark salpetersäurehaltige Lösung mit Kochsalz versetzt. Hierbei ist jedoch ein großer Überschuß von letzterem zu vermeiden, s. Richards und Archibald.¹⁷⁾

3. Liegt eine Oxydsalzlösung vor, so fällt man das Metall entweder ebenfalls als Chlorür durch NaCl oder HCl nach vorheriger Reduktion mit phosphoriger Säure, oder besser als Sulfid durch Einleiten von Schwefelwasserstoff. (Die Wägung des Quecksilbersulfids geschieht zweckmäßig im Gooch'schen Tiegel.)

Zur Bestimmung sehr kleiner Mengen des Metalls sind u. a. von Schumacher und Jung¹⁸⁾ und Richards und Singer¹⁹⁾ Verfahren ausgearbeitet worden.

Maßanalytische Methoden zur Bestimmung des Quecksilbers haben u. a. Hempel²⁰⁾, Denigès²¹⁾, C. A. Peters²²⁾ und J. Norton²³⁾ vorgeschlagen. Näheres s. Classen, *Ausgew. Method. d. analyt. Chemie*.

Quecksilber läßt sich ferner elektrolytisch bestimmen. Falls die Menge des Metalls nicht zu groß ist, scheidet es sich in Form feiner Tröpfchen aus, die jedoch fest an der Elektrodenschale haften, besonders wenn diese mattiert ist. Folgende Elektrolyte sind in Anwendung gebracht:

a) Lösung des Oxyd- resp. Oxydulsalzes (ca. 0,5 g HgCl_2) mit Zusatz von 4–5 g Ammonoxalat. Temperatur gewöhnlich. Stromdichte N.D 100 = 0,1 – 1 Amp. Elektrodenspannung: 2,5 – 5,5 Volt. (Classen, *Analyse*.)

b) Lösung des Oxyd- oder Oxydulsalzes (Chlorid, Sulfat, Nitrat) mit oder ohne Zusatz von Säure, H_2SO_4 , HNO_3 (1–2 Proz.).

c) Lösung von Quecksilberoxydsalz mit überschüssigem Cyankalium.

d) Lösung von Quecksilbersulfid in Na_2S und NaOH.

Schließlich werden auch unlösliche Quecksilberverbindungen wie das Sulfid zerlegt, falls man dieselben in salzsäure- oder kochsalzhaltigem Wasser suspendiert, der Wirkung des Stromes unterwirft.

Durch Regulierung der Spannung lassen sich ferner Trennungen des Quecksilbers von anderen Metallen bewirken, besonders leicht, wenn diese eine vom Quecksilber beträchtlich verschiedene Zersetzungsspannung aufweisen, was bei Fe, Cd, Ni, Co, Zn der Fall ist.

Quecksilber und Kupfer lassen sich trennen, wenn man die Lösung der Cyankaliumdoppelsalze benutzt.

Schließlich sei noch erwähnt, daß Methoden zur Trennung des Quecksilbers von As, Sb, Sn, Au, Mn und einigen Metallen der Platingruppe ausgearbeitet sind.

Näheres findet man in den Spezialwerken z. B. Classen, *Elektrolyse*; Neumann, *Analytische Elektrolyse*; Classen, *Ausgewählte Methoden der analytischen Chemie*.

Chemische und physikalische Konstanten des Elements. Die vielseitige Anwendung des Quecksilbers zu Instrumenten, welche der Präzisionsmessung dienen sollen, hat es nötig gemacht, eine Reihe von chemischen und physikalischen Konstanten mit besonderer Genauigkeit festzustellen.

Die Dichte des Quecksilbers beträgt bei 0° 13,5956 (= Gewicht von 1 ccm Hg in g²⁴⁾).

Bei verschiedenen Temperaturen ist die Dichte und das Volumen von 1 g Hg in ccm aus folgender Tabelle zu ersehen:

Temperatur	Dichte = Gewicht von 1 ccm in g	Volumen von 1 g Hg in ccm	Temperatur	Dichte = Gewicht von 1 ccm in g	Volumen von 1 g Hg in ccm
0	13,5956	0,07355	150	13,2331	0,07557
20	13,5463	0,07382	200	13,1150	0,07625
40	13,4974	0,07409	250	12,9976	0,07694
60	13,4488	0,07436	300	12,8807	0,07764
80	13,4005	0,07462	350	12,7640	0,07835
100	13,3524	0,07489			

berechnet aus dem Gew. von 1 ccm Hg bei 0°: 13,5956 g und seinem mittleren Ausdehnungskoeffizienten $= 10^{-9} (181792 + 0,175t + 0,035116t^2)$ nach Regnaults Messungen abgeleitet von Bock.²⁵⁾

Die kubische Ausdehnung des Quecksilbers ist nach folgenden Formeln berechenbar:

Ist V_0 das Volumen bei 0°, so ist dasselbe bei t^0

$$V_t = V_0 (1 + at + bt^2 + ct^3 + dt^4)$$

für das Intervall von 24—299° sind folgende Konstanten gegeben:

a	b	c	
0,0 ₃ 1790066	0,0 ₇ 2523		Regnault ²⁶⁾
0,0 ₃ 181163	0,0 ₇ 1155	0,0 ₁₀ 21187	Wüllner ²⁷⁾
0,0 ₃ 1801	0,0 ₇ 2		Mendelejeff ²⁸⁾
0,0 ₃ 18129	0,0 ₈ 32408	0,0 ₁₀ 45923	Levy ²⁹⁾
0,0 ₃ 181792	0,0 ₆ 175	0,0 ₁₀ 35116	Broch ³⁰⁾

Nach Bosscha³¹⁾ läßt sich die Ausdehnung durch eine Exponentialformel: $V_t = V_0 \cdot e^{0,00018077 \cdot t}$ darstellen (nach Messungen Regnaults).

Die Ausdehnung des Quecksilbers durch die Wärme ist der der Gase in dem Temperaturgebiet von 0—100° so nahe proportional, daß das Quecksilberthermometer mit dem Gasthermometer in diesem Intervall gut übereinstimmt. Genaue Vergleiche verschiedener Quecksilberthermometer mit dem Luftthermometer siehe bei Grunmach³²⁾ und Wiebe und Böttcher.³³⁾

Aggregatzustandsänderungen. Der Schmelzpunkt des Metalls liegt bei $-38,85^0$ (Vicentini und Omodei³⁴⁾). Nach anderen älteren Autoren wird derselbe niedriger, meist $-39,4^0$ angegeben. Bei dem Erstarrungsvorgange treten leicht Überkaltungserscheinungen auf. Das Festwerden erfolgt unter beträchtlicher Zusammenziehung:

die Dichte des flüssigen Hg ist bei $-38,85$: 13,690

 " " " festen " " " " 14,193
(bezogen auf Wasser von 4°).

Das feste Metall bildet reguläre Oktaeder von silberglänzender Farbe.

Unter verschiedenen Drucken wurde der Siedepunkt von Regnault³⁵⁾ bei folgenden Temperaturen gefunden:

Druck: 720 · 730 · 740 · 750 · 760 · 770 · 780 mm

Temperatur: 354,3 · 355,0 · 355,8 · 356,5 · 357,3 · 358,0 · 358,8°.

In den Angaben über die Tensionen der Quecksilberdämpfe finden sich bei den verschiedenen Autoren häufig beträchtliche Abweichungen. So sind die von Regnault³⁶⁾ bei verhältnismäßig niederen Temperaturen bis

ca. 180° ermittelten Tensionen weit größer als diejenigen späterer Autoren, Hertz, Young u. a. Die Angaben der letzteren verdienen den Vorzug.

Tension des Quecksilberdampfes von 0—100°

Temperatur	Tension in mm nach	
	Hertz ³⁷⁾	Ramsay u. Young ³⁸⁾
0°	0,00019	
10°	0,00050	
20°	0,0013	
30°	0,0029	
40°	0,0063	
50°	0,013	0,015
60°	0,026	0,029
70°	0,050	0,052
80°	0,093	0,092
90°	0,165	0,160
100°	0,285	0,270

Pfaundler³⁹⁾ ermittelte ebenfalls die Tension der Quecksilberdämpfe bei einigen Temperaturen zwischen 0 und 100°.

Temperatur	15°	56,3	98,8°
Tension in mm	0,00081	0,01801	0,26305

Diese Zahlen stimmen sehr gut mit den von Hertz ermittelten überein. Über neuere Messungen von Morley, welche ebenfalls bei höheren Temperaturen mit den Hertzschen Messungen übereinstimmen, siehe ^{39a)}.

Tension des Quecksilberdampfes bei höheren Temperaturen;
Ramsay und Young⁴⁰⁾

Temperatur	Tension in mm nach Ramsay und Young	Temperatur	Tension in mm nach Ramsay und Young
100	0,270	300	246,704
120	0,719	320	373,528
140	1,763	340	546,715
160	4,013	360	785,107
180	8,535	380	1096,22
200	17,015	400	1495,60
220	31,957	420	2000,21
240	56,919	440	2628,79
260	96,661	460	3399,50
280	157,378	480	4327,14
		500	5434,99
		520	6736,60

Thermische Konstanten. Die spezifische Wärme des Metalls wurde u. a. von Pettersson⁴¹⁾, Winkelmann⁴²⁾, Naccari⁴³⁾, Milthaler⁴⁴⁾ und neuerdings von Bartoli und Stracciati⁴⁵⁾ untersucht. Letztere drücken ihre Messungen durch folgende für den Bereich von 0°—30° gültige Formel aus:

$$C = 0,033583 - 0,000000333 T - 0,000000125 T^2 - 0,000000004165 T^3$$

(ausgedrückt in Grammkalorien, vergl. Nernst, Theor. Chem. 4. Aufl. S. 11).

Wie durch mehrere Beobachter erwiesen, nimmt die spezifische Wärme mit steigender Temperatur etwas ab. Ferner ist die spezifische Wärme des Quecksilbers im flüssigen und festen Zustande nicht sehr verschieden; bei —78 bis —40°: 0,0319 cal Regnault.⁴⁶⁾

Die Atomwärme des festen Quecksilbers ist demnach 6,4 cal; das Element gehorcht dem Dulong-Petitschen Gesetz.

Die latente Schmelzwärme ist nach Person⁴⁷⁾: 2,83 cal, die latente Verdampfungswärme nach demselben Autor: 62,0 cal. Für die molekulare Verdampfungswärme trifft annähernd die Troutonsche Regel zu, indem 200,62 das 19,7fache der absoluten Siedetemperatur 273 + 357° unter Normaldruck beträgt.

Die Dampfdichte des Quecksilbers auf H bezogen ist nach Versuchen V. Meyers^{48a)} bis zu Temperaturen von 1500°: 197, bei 1731°: 202, woraus die Einatomigkeit des Quecksilbermoleküls im Dampfzustande folgt. Vergl. Baker.⁴⁸⁾

Über die elektrische Leitfähigkeit des metallischen Quecksilbers s. Grunmach⁴⁹⁾, Grimaldi⁵⁰⁾, Vicentini und Omodei.⁵¹⁾ Die Abhängigkeit des spez. Leitungswiderstandes von der Temperatur kann durch folgende Formel wiedergegeben werden:

$$W_t = W_0 (1 + 0,000929t + 0,0000006t^2)$$

Rink.⁵²⁾

Über Leitfähigkeit von Legierungen (Amalgamen), welche kleiner ist als die der Komponenten, s. C. L. Weber⁵³⁾, Vicentini.⁵⁴⁾

Schließlich sei erwähnt, daß bei Quecksilberoberflächen die elektrische Polarisation einen gesetzmäßigen Einfluß auf die Oberflächenspannung hat, was bekanntlich im Lippmannschen Kapillarelektrometer benutzt wird.

Kolloidales Quecksilber. Das Hydrosol des Quecksilbers ist bis jetzt rein nur in einem Falle, aber hier in sehr stark verdünntem Zustande, sonst nur in Gemisch mit einem anderen beständigeren Kolloid, als Adsorptionsverbindung, gewonnen werden, da es in der Regel, namentlich in konzentrierterem Zustande, zu unbeständig ist, um für sich allein bestehen zu können; denn es geht äußerst leicht in das Gel, eine feine, graue Fällung, über. Demnach hat auch Bredig^{54a)} vergeblich versucht, durch elektrische Zerstäubung einer Quecksilberkathode das Hydrosol darzustellen, er erhielt nur eine graue trübe Flüssigkeit, die in kurzer Zeit alles Quecksilber absetzte; ebenso ist es neuerdings Gutbier^{54b)} nicht gelungen, durch Reduktion einer stark verdünnten Quecksilbersalzlösung mit Hydroxylaminchlorhydrat, Hydrazinhydrat oder phosphoriger Säure dieses Ziel zu erreichen, nur selten und dann ganz vorübergehend konnte er eine braune Färbung der Flüssigkeit beobachten. Dagegen haben Bredig und Haber^{54c)} gezeigt, daß eine Quecksilberkathode bei der Elektrolyse eines Alkalis (KOH) mit verhältnismäßig hoher Spannung (40–80 Volt), nachdem zunächst fast ohne Gasentwicklung Amalgambildung eingetreten war, plötzlich unter heftiger Gasentwicklung zerstäubt, indem das

zerstäubte Metall der Flüssigkeit „eine eigentümliche, bräunlichgraue Farbe erteilt“. Die Färbung der Flüssigkeit weist entschieden auf eine, wenn auch in der stark alkalischen Flüssigkeit erklärlicherweise vorübergehende Bildung des Quecksilberhydrosols hin. Später hat dann Billitzer⁵⁴⁾ durch Elektrolyse einer 0,004fach normalen Mercuronitratlösung bei einer Spannung von 220 Volt und einer Stromstärke von 0,2—0,3 Amp. zwischen Platinelektroden in einem U-Rohre neben einer Abscheidung gewöhnlichen Quecksilbers an der Kathode auch eine gelbe bis dunkelbraune Flüssigkeit erhalten, die nach ihrem Verhalten unzweifelhaft das Quecksilberhydrosol enthält. Dabei konnte er beobachten, daß diese Erscheinung um vieles leichter bei Anwendung einer großen Platinkathode als bei Benutzung einer kleinen eintrat. Durch weitere Versuche hat sich dann gezeigt, daß diese Hydrosolbildung nicht direkt durch Elektrolyse des Mercurosalzes stattfindet, sondern erst sekundär infolge Zerstäubung des zunächst an der Kathode elektrolytisch in aufgelockertem Zustande niedergeschlagenen metallischen Quecksilbers durch den verhältnismäßig hochgespannten Strom; denn die Darstellung eines im auffallenden Lichte dunkelbraunen bis schwarzen, im durchfallenden rehbraunen flüssigen Quecksilberhydrosols gelang Billitzer sehr schön, als er einen Lichtbogen zwischen einer am besten elektrolytisch mit Quecksilber überzogenen Eisen-, Zink- oder Bleikathode unter Wasser bildete. Hiernach tritt also nur dann eine elektrische Zerstäubung einer Quecksilberkathode zum flüssigen Hydrosol desselben ein, wenn sich dieses Metall im stark aufgelockerten Zustande befindet und es wird verständlich, warum Bredig, welcher eine kompakte Quecksilberkathode zu seinem ersten Versuche anwendete, die Hydrosoldarstellung mißlang. Ein nach dem Billitzerschen Verfahren dargestelltes flüssiges Quecksilberhydrosol ist so gut wie elektrolytfrei und ist namentlich frei von anderen Kolloiden, dagegen enthält es nur sehr geringe Mengen Metall. Das im folgenden zu beschreibende Präparat enthält zwar weit mehr Quecksilber, läßt sich auch in das feste Hydrosol überführen, es ist der höhere Gehalt und die größere Beständigkeit desselben aber nur möglich durch die Anwesenheit eines anderen beständigen Kolloids, der Zinnsäure, und es ist dasselbe als Quecksilberzinnsäureadsorptionsverbindung also als ein Analogon des Cassius-schen Goldpurpurs aufzufassen. Es wird durch Reduktion von Mercuronitratlösung, die nur die zur Vermeidung von Hydrolyse nötige Menge Salpetersäure enthält, mit einer ebenfalls möglichst neutralen Zinnoxidulsalzlösung (am besten Stannonitrat) dargestellt⁵⁵⁾, so zwar, daß letztere stets in geringem Überschusse bleibt. Hierbei entsteht bei Anwendung von 5—10prozentigen Salzlösungen eine undurchsichtige (in dünner Schicht oder verdünnterem Zustande aber rein braune und klar durchsichtige) im auffallenden Lichte schwarze Flüssigkeit (bei richtiger Leitung der Operation ohne grauen Schimmer), welche das flüssige Quecksilberhydrosol enthält. Dieses ist, wie bei Anwesenheit einer so konzentrierten Elektrolytlösung nicht verwunderlich ist, nicht lange haltbar, man kann es aber durch Zusatz von schwach wirkenden Elektrolyten, z. B. Ammoniumcitrat und Neutralisation mit Ammoniak oder auch durch bloße Neutralisation der Flüssigkeit mit Natronlauge (also Bildung von Natriumnitrat) nicht mit Ammoniak in das nun beständigere feste Hydrosol verwandeln, welches sich als feiner schwarzer Niederschlag leicht absetzt und durch Abgießen der überstehenden Flüssigkeit und Absaugen mit einer geeigneten Filtriervorrichtung, am besten einem porösen Tonfilter, von der Hauptmenge der Elektrolyten befreien. Verzichtet man auf eine weitergehende

Reinigung, so kann man das feste Hydrosol im Vakuum trocknen. Es bildet dann metallisch bleiartig glänzende Stücke, die sich leicht zu einem feinen schwarzen Pulver zerreiben lassen, und ist in diesem Zustande längere Zeit haltbar, d. h. gibt mit Wasser das braune flüssige Hydrosol. Um ein möglichst elektrolytarmes flüssiges Hydrosol zu gewinnen, kann man die von E. A. Schneider⁵⁶⁾ zur Reinigung des Silberhydrosols vorgeschlagene Alkoholreinigungsmethode anwenden, indem man das durch Absaugen gewonnene, unreine feste Hydrosol noch feucht wieder in Wasser zum flüssigen Hydrosol auflöst, dieses mit Alkohol in das nun gereinigte feste Hydrosol überführt und das letztere durch Abgießen und scharfes Absaugen mit einem Tonfilter möglichst von aller Flüssigkeit befreit. Zwar kann dieses gereinigte feste Hydrosol nicht getrocknet werden, ohne in das Gel überzugehen, man kann es aber in Wasser lösen und erhält dann ein verhältnismäßig beständiges flüssiges Hydrosol, welches erst nach längerer Zeit spontan in das Gel übergeht, indem sich braune Flocken unter vollständiger Entfärbung der Flüssigkeit zu Boden setzen. Im elektrischen Potentialgefälle wandert das in dem flüssigen Hydrosol enthaltene Kolloid zur Anode und scheidet sich dort größtenteils als Gel aus, von den meisten Elektrolyten, namentlich den Mineralsäuren wird es in das Gel, einen grauen Niederschlag, umgewandelt, nur Alkali- und Ammoniumsalze schwacher organischer Säuren bilden aus dem flüssigen das feste Hydrosol, eine Eigenschaft, welche bei der Darstellung des letzteren Anwendung findet. Reduzierbare Metallchloride, wie CuCl_2 , FeCl_3 , HgCl_2 , geben einen Teil ihres Chlorgehalts an das Kolloid ab, indem sie selbst zu Chlorüren reduziert werden, und es bildet sich Mercurochlorid; bei starker Verdünnung der angewendeten Elektrolyten bleiben dann eventuell die Chloride für den Fall, daß kein Kristalloid entsteht, wie beim FeCl_3 , im Zustande des flüssigen Hydrosols. Besonders charakteristisch zeigt sich dieses Verhalten bei Anwendung von Mercurichloridlösung, welches direkt zur Darstellung des Kalomelhydrosols Verwendung finden kann. Das Verhalten der Metallchloride ist ein Beweis, daß in dem flüssigen Hydrosol metallisches Quecksilber enthalten ist; den gleichen Beweis liefert die Einwirkung gelöster Halogene auf dasselbe; Chlor und Brom führen es zunächst in das Hydrosol des Mercurochlorids resp. -bromids über, welche durch weiteren Halogenzusatz in Lösungen der Kristalloide HgCl_2 resp. HgBr_2 umgewandelt werden. Auch Jod wirkt in ähnlichem Sinne, doch kann wohl kaum von einem flüssigen Hydrosol des HgJ_2 resp. HgI_2 die Rede sein; denn die entstandenen gelblichen resp. rötlichen, trüben Flüssigkeiten setzen sehr bald alles Halogenquecksilber ab. Von der Gegenwart des Zinns in allen den beschriebenen Präparaten kann man sich leicht durch Erhitzen derselben mit Salpetersäure überzeugen, welche das Quecksilber auflöst und Metazinnsäure ausscheidet. Ein Beweis für den Zustand desselben in den Präparaten durch Synthese ist noch nicht erbracht worden, doch kann man aus Analogie der Bildungsweise dieses Quecksilberhydrosols mit der des Cassiuschen Goldpurpurs schließen, daß dasselbe als Hydrosol der Zinnsäure vorhanden sein muß. Das durch Reduktion von Quecksilbersalzen mit Stannosalzen entstehende Produkt kann somit als Quecksilberpurpur bezeichnet werden. (Lottermoser.)

Das Quecksilber und seine Homologen im periodischen System.

Im periodischen System der Elemente treffen wir das Quecksilber als letztes Glied der Reihe: Be, Mg, Zn, Cd; es ist deshalb natürlich, daß wir im che-

mischen Charakter des Metalls Anklänge an das Verhalten der übrigen Repräsentanten dieser Gruppe finden:

1. So vermag das Quecksilber wie Be, Mg, Zn und Cd zweiwertig aufzutreten, seine Verbindungen und Salze sind denen der letztgenannten Metalle häufig ganz analog gebaut; diese Analogie erstreckt sich weiter auf eine Reihe von Doppel- und Komplexsalzen: Hg SO_4 bildet wie Mg SO_4 usw. mit $\text{K}_2 \text{SO}_4$ und mehreren anderen Alkalisulfaten ein Doppelsalz der Schönitreihe: $\text{Me SO}_4 \cdot \text{Me}_2 \text{SO}_4 \cdot 6\text{H}_2\text{O}$; $\text{Hg}(\text{NO}_2)_2$ vereinigt sich wie Mg-, Zn- und $\text{Cd}(\text{NO}_2)_2$ zu dem Komplexsalz $\text{K}_2 \text{Hg}(\text{NO}_2)_4$.

2. Im Dampfzustande besitzt das Molekül des Quecksilbers wie das des Zinks und Cadmiums den denkbar einfachsten Bau, es besteht aus einfachen Atomen.

Cadmium und Quecksilber sind auch insofern vergleichbar, als die Halogensalze in wässriger Lösung abnorme elektrolytische Dissoziation aufweisen, während sich jedoch dieses Verhalten beim Cadmium durch Assoziation der Moleküle Cd X_2 zu $(\text{Cd X}_2)_n$ erklärt, haben beim Quecksilber die einfachen Moleküle Hg X_2 geringe Neigung, Ionen zu erzeugen.

Neben diesen Analogien mit den übrigen Metallen der zweiten Nebenserie überwiegen an Zahl bedeutend solche Charakterzüge des Metalls, welche durchaus nicht an diejenigen der anderen Elemente der Gruppe erinnern. Die sehr geringe Tendenz des Quecksilbers, in seinen Verbindungen als Ion aufzutreten, verleiht vielen derselben Eigenschaften, die man bei denen der anderen Metalle gar nicht oder doch nur in beschränktem Maße wiederfindet; sie bedingt ferner Stoffe, denen man mehr die Eigenschaften von Metalloids als salzartigen Verbindungen zuschreiben kann. Im folgenden seien in Kürze die Eigenschaften zusammengestellt, welche das Metall und seine Salze im Gegensatz zu den übrigen Vertretern der Gruppe charakterisieren.

1. Das Metall selbst fällt sofort durch seinen niedrigen Schmelzpunkt auf, was auf eine den anderen Metallen nicht eigene Konstitution des flüssigen Quecksilbers deutet. Die Einatomigkeit des Metalls im Dampfzustande ist höchstwahrscheinlich teilweise im flüssigen Zustande erhalten. Aus den Beobachtungen über den Temperaturkoeffizienten der elektrischen Leitfähigkeit der Metalle und Legierungen entwickelt Liebenow eine Theorie der elektrischen Leitung in den Metallen und Legierungen sowie über die Konstitution letzterer beiden.⁵⁷⁾ Nach ihm besteht das flüssige Quecksilber aus einer Legierung von einatomigen Molekülen, wie sie im Dampfzustande vorkommen und aus mehratomigen Molekülen des festen Quecksilbers, wobei die ersteren im Überschuss vorhanden sind. Mit dieser Konstitution des flüssigen Quecksilbers steht höchstwahrscheinlich seine große Tendenz in Beziehung, sich mit anderen Metallen zu den genauer zu besprechenden Amalgamen zu vereinigen, eine Fähigkeit, welche in diesem Maße keinem anderen Metalle eigentümlich ist.

2. Im Gegensatz zu den übrigen Metallen seiner Gruppe tritt das Quecksilber in zwei Verbindungsstufen auf: neben den Mercurisalzen Hg X_2 bildet es die Mercuroverbindungen vom Typus Hg X_2 .

3. An vielen Salzen, besonders vom Typus Hg X_2 , überrascht die auffallende Löslichkeit in organischen Lösungsmitteln, wie Alkohol, Äther, Benzol usw., welche Eigenschaft von den anderen Metallen der Gruppe in weit geringerem Grade geteilt wird.⁵⁸⁾ Mit der geringen Dissoziation mancher Quecksilbersalze steht auch die Tatsache in Zusammenhang, daß organische

Lösungsmittel die Salze teilweise ihrer wässrigen Lösung entziehen unter Herstellung eines konstanten Teilungsverhältnisses, s. bei HgCl_2 .

4. Kein Metall der Gruppe besitzt wie das Quecksilber die Vorliebe, beständige Metall-Kohlenstoff- oder Metall-Stickstoffverbindungen zu bilden.

Quecksilberkohlenstoffverbindungen. Schon die Betrachtung der einfachsten Organometalle der Magnesiumgruppe wie $\text{Me}(\text{CH}_3)_2$ usw. läßt die Sonderstellung des Quecksilbers deutlich hervortreten. Mg-, Zn- und wahrscheinlich auch Cd-Alkyle sind höchst zersetzliche Verbindungen, in denen das Metall nur eine geringe Affinität zum Kohlenstoff bekundet. Anders die Organometalle des Quecksilbers: $\text{Hg}(\text{CH}_3)_2$ ist ein indifferenten Stoff, der von Wasser nur ganz wenig zersetzt wird. Neuere Untersuchungen haben gezeigt, daß man in viele aliphatische Verbindungen und Benzolkörper Quecksilber einführen kann, wodurch Verbindungen von großer Beständigkeit,

wie $\text{Hg} \begin{cases} \text{C}_6\text{H}_4\text{N}(\text{CH}_3)_2 \\ \text{C}_6\text{H}_4\text{N}(\text{CH}_3)_2 \end{cases}$ (aromatisches Quecksilber) gewonnen werden, s. Pesci und Schüler⁵⁹), Dimroth.⁶²)

Nicht minder leicht tritt das Metall in aliphatische Verbindungen ein, besonders werden beim Behandeln des aliphatischen Körpers mit Natronlauge und Quecksilberoxyd unter gewissen Bedingungen Wasserstoffatome durch Metall ersetzt, s. Hofmann und seine Mitarbeiter.⁶⁰)

Als charakteristische Verbindung sei von diesen Mercariden, wie Hofmann die Hg-substituierten Fettkörper nennt, ein Derivat der Mercuriessigsäure genannt: $\text{J} \cdot \text{Hg} \cdot \text{C}(\text{Hg}_2\text{O}) \cdot \text{CO}_2\text{H}$, in welcher sämtlicher Wasserstoff der Methylgruppe durch Quecksilber ersetzt ist. Der Eintritt des Metalls in den Kohlenstoffkern wird durch mehrfache Bindungen sehr erleichtert, z. B. die Gruppen: $\text{C}=\text{O}$, $\text{C}=\text{C}$, $\text{C}\equiv\text{N}$ ⁶¹) und erfolgt anscheinend vornehmlich so, daß ein Atom Wasserstoff durch die einwertige Gruppe $(\text{HgOH})'$ vertreten wird (Hofmann).

Es scheint, daß man jede organische Verbindung „mercurieren“⁶²) kann unter Bildung eines Körpers mit Quecksilber-Kohlenstoffbindung. Das Quecksilber verliert in diesen Körpern seine Metallnatur so gut wie völlig und hat in einigen Verbindungen eine gewisse Ähnlichkeit mit an Kohlenstoff gebundenem Wasserstoff, wie das Beispiel des Quecksilbernitroforms $\frac{\text{Hg}}{2} \cdot \text{C}(\text{NO}_2)_3$ zeigt, in welchem sich die Quecksilberverbindung bei ihrer in wässriger Lösung erfolgenden Umwandlung in die Isoform: $\frac{\text{Hg}}{2} \cdot \text{O} \cdot \text{NO} \cdot \text{C}(\text{NO}_2)_2$ genau wie die Wasserstoffverbindung, das Nitroform selbst, verhält.⁶³)

Quecksilberstickstoffverbindungen. Mit fast gleicher Leichtigkeit gelingt es, das Metall in Abkömmlinge des Ammoniaks sowie in dieses selbst einzuführen. So werden in NH_3 oder den NH_4 -Salzen in der verschiedensten Weise Wasserstoffatome gegen Hg , $(\text{HgOH})'$ und andere Gruppen ausgetauscht, wie in einem gesonderten Kapitel eingehend gezeigt wird. Für einige organische Derivate des Ammoniaks gehört es zu den charakteristischen Reaktionen, daß sich in ihnen ein Atom Wasserstoff durch Hg'_2 ersetzen läßt. So löst sich Quecksilberoxyd glatt in wässrigen Lösungen der sonst indifferenten Säureamide resp. Säureimide, als ob man es mit einer Salzbildung zwischen starken Säuren und Basen zu tun hätte. Zum Beleg seien die charakteristischen Verbind-

ungen: $\text{Hg}_2\text{NH} \cdot \text{COCH}_3$ und $\text{Hg}_2\text{N} \begin{cases} \text{CO}-\text{CH}_2 \\ | \\ \text{CO}-\text{CH}_2 \end{cases}$ aufgeführt. Diese und

ähnlich zusammengesetzte Verbindungen mit Quecksilberstickstoffbindung sind durch das Fehlen fast jeglicher elektrolytischer Dissoziation ausgezeichnet. Sie geben mit Natronlauge die charakteristische Ionenreaktion des Mercuriions nicht. Kaliumjodid erzeugt langsame und höchstwahrscheinlich unvollständige Fällung; nur durch Schwefelwasserstoff werden die Körper völlig vom Quecksilber befreit.

Die Fähigkeit, derartige Quecksilberstickstoff- resp. Kohlenstoffverbindungen zu bilden, scheint bis auf wenige, noch nicht näher studierte Fälle nur den Mercurisalzen zuzukommen. Näheres s. H. Ley und K. Schaefer.⁶⁴⁾

Dissoziation der Quecksilbersalze. Nach neueren Ansichten ist die Fähigkeit einer Verbindung, elektrolytisch zu dissoziieren, außer von der Haftintensität der Ionen noch abhängig von der Stärke der Bindung zwischen den einzelnen Atomen, der sog. Atomaaffinität.⁶⁵⁾ Gewisse Anhaltspunkte zur Beurteilung dieser letzteren Größe besitzen wir in den thermochemischen Daten, der Bildungswärmen der festen Verbindungen. Gerade bei den Quecksilbersalzen scheinen die Atomaaffinitäten zwischen dem Metall und den verschiedenen anderen Elementen resp. Atomgruppen der Quecksilberverbindungen sehr großen Variationen zu unterliegen, wodurch die Dissoziationsverhältnisse bei diesen Salzen ganz eigenartige werden.

Darnach scheint es, daß die Bindung zwischen Quecksilber und den Halogenen sowie Stickstoff, Kohlenstoff und Schwefel eine verhältnismäßig feste ist, während der Verband zwischen dem Metall- und sauerstoffhaltigen Radikalen wie NO_3 , ClO_3 , SO_4 , $\text{C}_2\text{H}_3\text{O}_2$, ferner zwischen F weit leichter gelöst und demnach die Atomaaffinität zwischen Quecksilber und Sauerstoff eine weit geringere genannt werden kann.

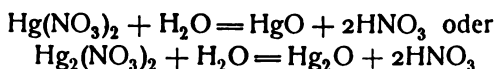
a) Die feste Bindung zwischen Quecksilber einerseits und stickstoff- und kohlenstoffhaltigen Atomgruppen andererseits geht schon aus der großen Beständigkeit der im vorigen Abschnitt charakterisierten Verbindungen mit Quecksilberstickstoff resp. -kohlenstoffverkettung hervor. Die Atomaaffinität zwischen den genannten Elementen ist natürlich im hervorragenden Grade von der jeweiligen Konstitution des Anions abhängig. So scheint es, daß bei den Quecksilberimidoverbindungen, wie $\text{Hg}_2 \cdot \text{N}(\text{COCH}_2)_2$, Quecksilbersuccinimid, die Bindung zwischen Quecksilber und Stickstoff weit stärker ist als bei den Quecksilberamidokörpern, wie $\text{Hg}_2 \text{NH} \cdot \text{COCH}_3$, Quecksilberacetamid.⁶⁶⁾

Eine große Atomaaffinität scheint ferner zwischen Quecksilber und Schwefel zu bestehen. Hierfür spricht z. B. die geringe Dissoziation des Quecksilber-rhodanids: $\text{Hg}(\text{SCN})_2$, in welcher höchstwahrscheinlich eine Metallschwefelbindung vorhanden ist, ferner die Existenz von Salzen einer Quecksilbersulfonsäure: $\text{Hg} \begin{cases} \text{SO}_3\text{H} \\ | \\ \text{SO}_3\text{H} \end{cases}$, in der die Bindung zwischen Quecksilber und Schwefel

ebenfalls keine Dissoziation unter Bildung eines Quecksilberions aufkommen läßt.

b) Für die geringe Atomaaffinität zwischen Quecksilber und Sauerstoff spricht die leichte Zersetzlichkeit des Oxyds und vielleicht auch die verschiedenartige Einwirkung des Wassers auf die gelösten Quecksilbersalze. Es ist

bekannt, daß nur die Quecksilber-Sauerstoffsalze eine beträchtliche Zersetzung durch das Wasser, Hydrolyse, erfahren, wodurch entweder Quecksilberoxyd abgeschieden oder nur eine teilweise Eliminierung des sauerstoffhaltigen Radikals unter Bildung eines basischen Salzes erfolgt. Aus derartigen Vorgängen, wie:



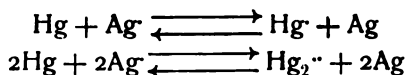
könnte man schließen, daß das Metall eine geringere Atomaffinität zu NO_3 besitzt, als der aus dem Wasser stammende Wasserstoff, weshalb ein Austausch in diesem Sinne erfolgt.

Schließlich sei daran erinnert, daß die Elektroaffinität der Metalle in der Nebenserie der zweiten Reihe abnimmt; Quecksilber demnach die geringste Elektroaffinität besitzt; im Gegensatz zu den Metallen der Hauptserie, wo diese Eigenschaft mit steigendem Atomgewicht zunimmt.

Die Eigenschaften der Quecksilberionen sowie einiger Quecksilbersalze. Das Quecksilber bildet zwei Arten von Ionen, die Mercuroionen, welche vorwiegend als zweiwertige Komplexe $(\text{Hg}_2)^{++}$ auftreten, und die zweiwertigen, einatomigen Mercuriionen $(\text{Hg})^{++}$.

I. Das Mercuroion und die Mercurosalsalze. Die Zweiwertigkeit der Mercuroionen ist einwandfrei durch Ogg bewiesen worden⁶⁷⁾, und zwar einerseits durch Messung von Konzentrationsketten geeigneter Art und Leitfähigkeitsmessungen bei Mercurosalsalzen, andererseits durch Untersuchung zweier Gleichgewichtszustände zwischen Metallen und ihren Salzlösungen. Letztere sollen schon hier wiedergegeben, erstere Messungen im Kapitel über „Elektrochemie des Quecksilbers“ abgehandelt werden; alle diese Untersuchungen sind für die Chemie der Mercurosalsalze fundamental.

1. Ogg studierte hierzu den Gleichgewichtszustand, welcher sich herstellt, wenn Quecksilber mit Silbernitrat längere Zeit in Berührung gebracht wird. Hierbei geht etwas Quecksilber in Lösung und andererseits scheidet sich etwas Silber ab, das sich mit dem Quecksilber legiert. Je nachdem nun die in der wässrigen Lösung vorhandenen Mercuroionen ein- oder zweiwertig sind, muß der Gleichgewichtszustand durch folgende Schemata darstellbar sein:



und die Gleichgewichtskonstante sich durch die Formeln ausdrücken lassen:

$$k = \frac{[\text{Hg}^+] \times [\text{Ag}]}{[\text{Ag}]} \quad \text{oder:} \quad k = \frac{[\text{Hg}_2^{++}] \times [\text{Ag}]^2}{[\text{Ag}]^2}$$

wo $[\text{Hg}^+]$ resp. $[\text{Hg}_2^{++}]$ und $[\text{Ag}]$ die Konzentrationen der in Lösung befindlichen Quecksilber- und Silberionen, $[\text{Ag}]$ die Konzentration des im Silberamalgam vorhandenen Silbers bedeutet.

Falls durch die Versuchsanordnung dafür gesorgt wird, daß die Konzentration des in Lösung befindlichen Quecksilbers genügend variiert wird, ließen sich die Versuchsergebnisse nur durch die zweite Formel darstellen, wodurch die Existenz der Moleküle $\text{Hg}_2(\text{NO}_3)_2$ bewiesen wurde. Die folgende Tabelle bringt die Ergebnisse zur Anschauung.

Temperatur 18°.

	Ag NO ₃ in der Lösung a g-Mol pro Liter	$\frac{1}{2}$ Hg ₂ (NO ₃) ₂ in der Lösung b g-Mol pro Liter	Ag im Amalgam c g-Ag in 1 ccm Hg	k = a bc	k = a/c \sqrt{b}
1	0,00391	0,1969	0,0062	3,20	1,42
2	0,00315	0,1995	0,0062	5,10	1,61
3	0,00191	0,0504	0,0067	5,65	1,27
4	0,00155	0,0261	0,0063	9,45	1,52

Übersteigt die Konzentration der angewandten Silberlösung ein gewisses Maß, so tritt der Sättigungspunkt des Quecksilbers für Silber ein, es scheidet sich festes Amalgam (Ag₃ Hg₄ s. weiter unten) aus; in der Gleichgewichtsgleichung ist dann c konstant zu setzen. Ogg bestimmte diese Konstante für verschiedene Temperaturen und fand:

$$K = \frac{a}{\sqrt{b}} = \begin{matrix} \text{bei } t = & 15^{\circ} & 18^{\circ} & 53^{\circ} & 90^{\circ} \\ & 0,00878 & 0,00963 & 0,0436 & 0,1656 \end{matrix}$$

2. Das gleiche Resultat hinsichtlich der Konstitution der Mercurosalze lieferte die Untersuchung des Gleichgewichtszustandes zwischen Quecksilber und den Nitraten des Quecksilbers. Wird eine Lösung von Mercurinitrat mit Quecksilber geschüttelt, so wird letzteres zu Mercuronitrat reduziert, jedoch nicht vollständig; vielmehr bildet sich ein Gleichgewichtszustand aus, der durch die beiden Formeln:

1. $\text{Hg}(\text{NO}_3)_2 + \text{Hg} = \text{Hg}_2(\text{NO}_3)_2$, oder $\text{Hg}^{\cdot\cdot} + \text{Hg} = \text{Hg}_2^{\cdot\cdot}$
2. $\text{Hg}(\text{NO}_3)_2 + \text{Hg} = 2\text{Hg}(\text{NO}_3)$, oder $\text{Hg}^{\cdot\cdot} + \text{Hg} = 2\text{Hg}^{\cdot}$

wiedergegeben ist, je nachdem das Mercuronitrat zwei- oder einwertige Ionen in die Lösung aussendet. Den beiden Möglichkeiten entsprechen die Bedingungen 1. $k = \frac{c}{c_1}$, 2. $k = \frac{c^2}{c_1}$ (wo c und c₁ die in der Tabelle angegebene Bedeutung haben). Der Versuch entschied die Gültigkeit der ersten Formel:

	$\frac{1}{2}$ Hg ₂ (NO ₃) ₂ c g-Mol pro Liter	Hg(NO ₃) ₂ c ₁ g-Mol pro Liter	k = $\frac{c}{c_1}$	k = $\frac{c}{\sqrt{c_1}}$
1	0,2435	0,00100	243,5	7,69
	0,1211	0,00052	232,8	5,31
2	0,2435	0,00126	193,2	6,85
	0,1209	0,00056	215,9	5,10
3	0,2420	0,00109	222,0	7,33
	0,1203	0,00052	231,3	5,27

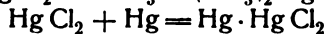
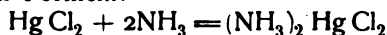
Abel⁶⁸⁾ fand ebenso die Konstante $\frac{c}{c_1} = 239,5$. Es ist demnach im Gleichgewicht mit metallischem Quecksilber die Mercuroionenkonzentration

im Mittel von Ogg und Abel stets etwa 235 mal so groß als die Mercuriionenkonzentration.

Erst bei sehr hohen Verdünnungen des Mercurosalzes treten Erscheinungen auf, die auf eine Spaltung in Ionen Hg^+ schließen lassen (Ogg, s. Kap. Elektrochemie des Quecksilbers).

Die Bildung des Mercurosalzes erfolgt durch „Reduktion“ der Mercurisalze bei Gegenwart von metallischem Quecksilber: Der Vorgang besteht nach dem vorhergehenden in einer Addition eines Quecksilberatoms an das Ion des Mercurisalzes: $\text{Hg}^{++} + \text{Hg} = \text{Hg}_2^{++}$.

Durch die beiden Formeln:



sind demnach analoge Prozesse versinnbildlicht.⁶⁹⁾ Das Mercuroion ist daher als Komplexion, als ein durch ein Quecksilberatom verstärktes Mercuriion aufzufassen, wobei jenes die Rolle des Neutralteils spielt.⁷⁰⁾ Das Mercuroion gehört zu den Ionen mit geringerer Haftintensität (s. Kap. Elektrochemie). Das Hg_2^{++} -Ion ist farblos. Durch die Addition des Neutralteils Hg an das Hg^+ -Ion ist seine Elektroaffinität merklich gestärkt worden. Parallel damit geht eine stärkere Dissoziation der Mercurosalze, sowie die geringere Neigung des Hg^{++} -Ions, Komplexionen zu bilden, im Vergleich zu den Mercuriverbindungen. Die Reihe der Komplexsalze ist bei den Mercurosalzen recht klein. An die schon gestreifte Unfähigkeit der Mercuroions in organische, nicht salzartige Verbindungen einzutreten, sei hier nochmals erinnert.

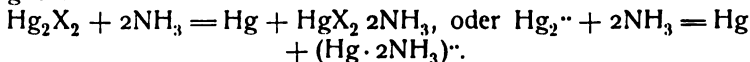
Die Mercurosalze sind im Gegensatz zu den Hg^+ -Salzen durchwegs schwer löslich. Leichter löslich sind nur die Salze mit den starken sauerstoffhaltigen, anorganischen Anionen wie NO_3' , ClO_3' , ClO_4' usw. Die Anionen SO_4'' , Cl' , Br' , J' und die meisten organischen Anionen, wie $\text{C}_2\text{H}_3\text{O}_2'$ usw. bilden mit Hg_2^{++} schwer lösliche Salze. In der Reihe Hg_2Cl_2 , Hg_2Br_2 , Hg_2I_2 ist ein deutlicher Einfluß der Haftintensität des Anions auf die Löslichkeit des Salzes bemerkbar, indem diese vom Chlorid zum Jodid konform mit einer Abnahme der Elektroaffinität des Anions kleiner wird (s. Abegg und Bodländer.⁷⁰⁾

Für eine Reihe von schwer löslichen Mercurverbindungen ist ferner die Hg_2^{++} -Ionenkonzentration in der gesättigten Lösung des Salzes bestimmt, auch hier haben sich Beziehungen zur Elektroaffinität ergeben⁷¹⁾ (s. Kapitel: Elektrochemie des Quecksilbers).

Die Mercurosalze sind in wässriger Lösung elektrolytisch und merklich hydrolytisch gespalten.

Zum Nachweis des Mercuroions kann man u. a. folgende Reaktionen benutzen:

1. Beim Behandeln der Hg_2^{++} -Salze mit Ammoniak tritt Schwärzung, d. h. Ausscheidung von Quecksilber und Bildung einer Mercuriammoniakverbindung ein:



2. Hydroxylionen (Na OH usw.) bewirken Fällung von schwarzem Oxydul:



Das Mercuriion und die Mercurisalze. Durch Einwirkung oxydierender Einflüsse wird das Mercuroion gespalten unter Bildung zweier zweiwertiger Mercuriionen. Das Mercuriion besitzt eine weit geringere Elektroaffinität als

das vorher besprochene und damit scheinen eine Reihe von wichtigen Eigenschaften der Mercurisalze in genetischem Zusammenhang zu stehen, welche an dieser Stelle aufgeführt werden sollen.

1. Die Dissoziationsverhältnisse der Mercurisalze. Bei wenigen anderen Salzen beeinflusst die Natur des Anions in so hohem Maße die elektrolytische Dissoziation der Verbindung, als bei den Hg-Salzen. Was die Größe der Leitfähigkeit der Mercurisalze betrifft — welche vergleichende Schlüsse auf den Grad der Dissoziation erlaubt —, so kann man 3 Klassen von Salzen unterscheiden.

1. Mercurisalze der starken anorganischen Sauerstoff-Säuren mit den Anionen NO_3' , ClO_4' etc.: starke elektrolytische Dissoziation neben weitgehender Hydrolyse; daher stark saure Reaktion. Elektrische Leitfähigkeit: A_{12} (äquiv.) ca. 100.

2. Mercurisalze der Halogenwasserstoffsäuren mit den mittelstarken Anionen: Cl, Br, J und der Rhodanwasserstoffsäure: in wässriger Lösung geringe elektrolytische und wegen der geringen Hg-Konzentration auch geringe hydrolytische Dissoziation, schwach saure Reaktion: A_{12} : ca. 1—2.

3. Mercurisalze der sehr schwachen Säuren, wie HCN , $\text{H} \cdot \text{NHCOCH}_3$ etc. mit Quecksilber-Stickstoff resp. Kohlenstoffbindung: Noch geringere Leitfähigkeit als die der vorigen Salze. Hydrolyse tritt auch bei höherer Temperatur anscheinend nicht merklich auf. Natronlauge bringt zum Unterschied von den Salzen der Klasse 2 keine Fällung hervor.

Von Interesse ist ferner das Verhalten der Salze organischer halbstarker Säuren mit Quecksilber-Sauerstoffbindung mit den Anionen: $\text{CH}_3\text{CO}_2'$, $\text{C}_2\text{H}_5\text{CO}_2'$ etc., indem hier die Leitfähigkeit der Salze derjenigen der freien Säuren parallel geht. (S. Kap. über „Elektroch. d. Quecks“.)

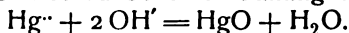
Auf Grund dieses verschiedenen Verhaltens ist in manchen Fällen die Entscheidung der Frage möglich, ob in einer Verbindung das Quecksilberatom an Sauerstoff oder Stickstoff gebunden ist, was für manche Probleme der organischen Chemie von nicht geringer Bedeutung ist.⁷²⁾ Die Dissoziation scheint wieder deutlich von der Elektroaffinität des Anions abhängig zu sein.

Die Haftintensität des Anions übt ferner wieder einen unverkennbaren Einfluß auf die Löslichkeit der Mercurisalze aus, was aus den weiter unten zu gebenden Tabellen ohne weiteres entnommen werden kann.

Die geringe Elektroaffinität des Hg-Ions bedingt wohl auch größtenteils die Vorliebe der Mercurisalze, sich mit anderen Salzen und gewissen indifferenten Verbindungen zu Komplexsalzen zu vereinigen, wobei wieder die Natur des Anions auf den Grad der Komplexität von wesentlicher Bedeutung ist. Durch diese Komplexbildung treten bei den Mercurisalzen in großer Zahl sogenannte anomale Reaktionen auf, von denen einige für die analytische Chemie von Interesse sind. Den Komplexsalzen des Mercuriions wird ein eigenes Kapitel gewidmet werden.

Das Mercuriion ist farblos; unter seinen Komplexionen gibt es jedoch einige farbige wie $\text{Hg}(\text{NO}_2)_4$. Zum speziellen Nachweis des Hg-Ions kann man sich u. a. folgender Reaktionen bedienen:

1. OH^- -Ionen im Überschuß bewirken Fällung von gelbem Oxyd.



In verdünnten Lösungen scheint die Reaktion durch das Auftreten von Übersättigungserscheinungen häufig sehr unempfindlich zu werden.

2. J^- -Ionen erzeugen, in geringer Menge zugefügt, zunächst Ausscheidung

von gelbem oder rotem HgJ_2 , das sich durch überschüssige Jodionen unter Komplekssalzbildung löst: $\text{Hg}^{++} + 2\text{J}' = \text{HgJ}_2$, $\text{HgJ}_2 + 2\text{J}' = (\text{HgJ}_4)''$.

Über die desinfizierende Wirkung der Mercurisalze, welche der Hg^{++} -Ionenkonzentration parallel geht, s. die interessante Studie von Paul und Krönig.^{72a)}

Thermochemie des Quecksilbers. Wegen der großen Anzahl der nicht oder wenig dissoziierten Verbindungen sind die thermochemischen Verhältnisse beim Quecksilber sehr mannigfaltig. Die große Tendenz der Quecksilbersalze zur Bildung von komplexen Verbindungen im Verein mit ihrer geringen Dissoziation läßt es selbstverständlich erscheinen, daß das Gesetz der Thermoneutralität hier in den meisten Fällen nicht erfüllt ist.

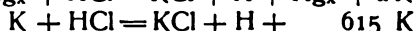
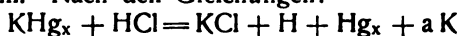
In größerem Umfang wurden thermochemische Versuche bei Quecksilberverbindungen von Thomsen⁷³⁾ angestellt. Thomsens Zahl der Bildungswärme des Hg_2O und die daraus abgeleiteten Zahlen waren jedoch mit einem Fehler behaftet. Nernst⁷⁴⁾ korrigierte später die Zahl und bestimmte für eine Anzahl elektrochemisch wichtiger Mercuroverbindungen die Bildungswärmen aus den Elementen.

Über die Bildungswärmen der Oxyhaloide des Quecksilbers stellte André⁷⁵⁾ Versuche an, desgleichen Berthelot⁷⁶⁾ über diejenigen der Haloiddoppelsalze.

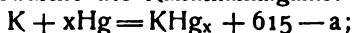
Sehr genaue Messungen von Bildungswärmen vieler Quecksilbersalze verdankt man neuerdings Varet⁷⁷⁾, welcher auch die Wärmetönungen bei der Umwandlung mancher Quecksilbersalze in ihre isomeren Modifikationen untersuchte⁷⁸⁾, sowie die Doppel- und Komplekssalzbildung beim Cyanid des Quecksilbers thermochemisch genau durchforschte.⁷⁹⁾

Die thermischen Erscheinungen bei der Bildung von Amalgamen wurden zuerst eingehend von Berthelot⁸⁰⁾ studiert.

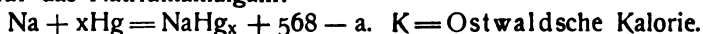
Die Amalgame des Kaliums und Natriums wurden mit verdünnter Salzsäure zersetzt und die hierbei entwickelte und auf ein Atom des Alkalimetalls bezogene Wärmetönung — ak mit derjenigen verglichen, welche dieselben Mengen der reinen Alkalimetalle geben, nämlich 568 K^{80a)} beim Natrium, 615 K beim Kalium. Nach den Gleichungen:



findet man als Bildungswärme des Kaliumamalgams:



ebenso für das Natriumamalgam:

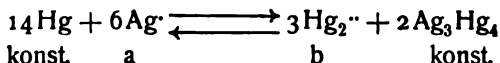


Berechnung der Bildungswärme der Amalgame auf elektrischem Wege. Eine jedenfalls vielfacher Anwendung fähige Methode ist von Richards und Lewis (s. Kap. Elektrochemie) zur Ermittlung der Bildungswärme des Zink- und Cadmiumamalgams benutzt worden. Sie ließen das Amalgam in einer geeigneten Konzentrationskette auf elektrischem Wege sich bilden und konnten durch Bestimmung der E. M. K. der Kette sowie des Temperaturkoeffizienten der E. M. K. nach der Helmholtzschen Formel die Wärmetönung der Reaktion, d. h. die Bildungswärme für das Amalgam berechnen.

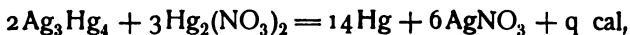
Anwendung des van't Hoff'schen Gesetzes zur Ermittlung der Bildungswärme des Amalgams. Die Wärmetönung bei der Entstehung des festen Silberamalgams, das, wie Ogg zeigte, die Zusammensetzung Ag_3Hg_4 besitzt (s. Kap.: Amalgame), läßt sich nach diesem Autor auf folgende Weise ermitteln.⁸¹⁾

Der von Ogg bestimmte Gleichgewichtszustand (s. S. 553) zwischen Queck-

silber und Silbernitrat ist für den Fall, daß das Quecksilber mit Silber gesättigt und Ausscheidung von Amalgam (Ag_3Hg_4) stattgefunden hat, in folgender Weise darzustellen:



Die Gleichgewichtsbedingung lautet in diesem Falle $K = \frac{a^6}{b^3}$ (früher = $\frac{a}{\sqrt[3]{b}}$ = konst. geschrieben). Schreiben wir die betrachtete Reaktion thermochemisch:



und nennen wir x die zu berechnende Bildungswärme für 1 Mol Ag_3Hg_4 , ferner $[\text{Ag}, \text{NO}_3, \text{aq}]$ und $[\text{Hg}, \text{HO}_3, \text{aq}]$ die Bildungswärme für Silber- resp. Mercuronitrat pro Mol in wässriger Lösung, so ist:

$q = 6[\text{Hg}, \text{NO}_3, \text{aq}] + 2x - 6[\text{Ag} \cdot \text{NO}_3 \cdot \text{aq}]$ und: $2x = q - 6 \times 5700 \text{ cal}$, da $[\text{Hg}, \text{NO}_3, \text{aq}] = 29000 \text{ cal}$ und $[\text{Ag}, \text{NO}_3, \text{aq}] = 23300 \text{ cal}$ ist. Nun ist q

mit Hilfe der van't Hoff'schen Formel: $\frac{d \cdot \ln K}{d \cdot T} = \frac{q}{RT^2}$ berechenbar, da die Gleichgewichtskonstante K bei verschiedenen Temperaturen bestimmt ist

(s. S. 32). Es ist $q = \frac{456 \cdot \log^{10} \frac{K_2}{K_1} T_2 \cdot T_1}{T_2 - T_1}$, wo K_2 und K_1 die zu den abs. Temperaturen T_2 und T_1 gehörigen Konstanten bedeuten: Ogg fand q (im Mittel) = 48672 cal und daraus $x = 7336 \text{ cal}$.

Elektrochemie des Quecksilbers. 1. Lösungstension des Metalls. Nach den Anschauungen von Abegg und Bodländer ist für jedes Metall die Größe seiner Lösungstension oder die Zersetzungsspannung der Ionen des Metalls eine fundamentale Konstante, welche ein direktes Maß für die Bindung von Materie an die elektrischen Ladungen ist. Aus den Werten der Zersetzungsspannungen erklären sich eine große Reihe chemischer und physikalischer Eigenschaften der Elektrolyte befriedigend, was sich auch, worauf schon in der Einleitung hingewiesen, teilweise bei den Quecksilberverbindungen ergeben wird.

Die Größe der Lösungstension des Quecksilbers und damit die Stellung des Metalls in der Spannungsreihe ist zuerst von Neumann⁸²⁾ bestimmt. Derselbe hat für eine größere Anzahl von Metallen in einer $\frac{1}{1}$ normalen Lösung ihrer gut dissoziierten Salze die Potentialsprünge gemessen, wobei er das Potential der Normalkalomelektrode = - 0,560 Volt setzte. Für Quecksilber und seine beiden Nachbarn in der Spannungsreihe fand er für $\frac{1}{1}$ normale bzw. gesättigte Lösungen:

	in Sulfat	in Nitrat
Kupfer	- 0,585	- 0,615
Quecksilber	- 0,980	- 1,028
Silber	- 0,974	- 1,055

Nach Nernst wird der Potentialsprung an jeder Elektrode durch die Formel

$$E = \frac{RT}{nF} \ln \frac{P}{p}$$

ausgedrückt, wo P die elektrolytische Lösungstension des Metalls, p den osmo-

tischen Gegendruck der Metallionen, n deren Wertigkeit, T die absolute Temperatur und R und F die Gas- resp. Faradaysche Konstante bedeuten.

Für eine ionennormale Lösung, worin der osmotische Druck der Ionen zu 22 Atmosphären angenommen wurde, berechnet sich bei 17°C die elektrolitische Lösungstension des Quecksilbers nach Neumann zu

$$1,1 \times 10^{-16} \text{ Atmosphären.}$$

Die Aufgabe, die Potentialsprünge einer großen Reihe von Metallen gegen ionennormale Lösungen zu ermitteln, wurde in letzter Zeit wieder von Wilsomore⁸³⁾ aufgenommen. Dieser Autor führt folgende Bezeichnung ein: Für jede umkehrbare Elektrode ist die Spannung: $E = \frac{RT}{n} \ln \frac{P}{p}$ (wobei die obigen Bezeichnungen gelten); oder

$$\frac{RT}{n} \ln P = E + \frac{RT}{n} \ln p.$$

$\frac{RT}{n} \ln P$, eine für jede Elektrode charakteristische Größe nennt Wilsomore elektrolitisches Potential ($E. P.$). Nimmt man als osmotischen Gegendruck p willkürlich denjenigen an, welcher in einer Normallösung (ein g-Mol resp. g-Ion pro l) und bei 18° herrscht = 23,9 Atm., so erhalten wir bei dieser Konzentration offenbar:

$$\frac{RT}{n} \ln P = E, \text{ oder:}$$

$$\frac{0,0577}{n} \log_{10} P = E$$

für das $E. P.$ einer Elektrode gegen eine Normallösung ihres Ions.

Nach einem von Nernst⁸⁴⁾ gemachten Vorschlage ist es zweckmäßig, die Potentiale auf das Potential des Wasserstoffs von Atmosphärendruck gegen eine n -Lösung von Wasserstoffionen = 0 zu beziehen.

Wilsomore gelang die Herstellung einer sehr gut arbeitenden Wasserstoffelektrode, so daß er das Potential einer „Normalkalomelektrode“ bezogen auf jene exakt bestimmen konnte.

Als Mittelwert aller vorliegenden Bestimmungen ergab sich für das nach Nernst definierte Potential der Normalkalomelektrode der Wert $-0,283 \pm 0,001$ Volt.

Indem Wilsomore die zuverlässigsten Messungen der EMK einer großen Anzahl von Ketten unter Benutzung der besten Angaben über Löslichkeiten der Elektrolyte berechnete, gelang es ihm, die zurzeit sichersten Werte für die $E. P.$ der Metalle festzustellen. Für das Quecksilber findet er:

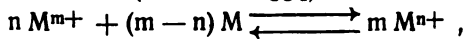
$$-0,750 \text{ Volt (H} = \pm 0,0).$$

Die für die Berechnung des $E. P.$ des Hg berücksichtigten Ketten sind, da ihre Kenntnis auch für andere Zwecke von gelegentlicher Bedeutung sein kann, in folgender Tabelle wiedergegeben.

In der letzten Rubrik bedeutet: Typus des Elements: d: Daniell-, c: Kalomelelement, o: gegen die Ostwaldsche Kalomelektrode gemessen; Beobachter: W. u. T.: Wright u. Thompson (Phil. Mag. (5) 17, 288; 19, 1), C. u. S.: Chrustschoff u. Sitnikoff (Compt rend. 108, 937), H.: Helmholtz (Berl. Akad. Ber. 2, 1882), C.: Czapsky (Wied. Ann. 21, 209), W. E.: Westonelement, Bd.: Behrend (Zeitschr. physik. Chem. 11, 466), N: (Neumann, Zeitschr. physik. Chem. 14, 193), O.: Ogg (Zeitschr. physik. Chem. 27, 285).

Elektroden M_1/M_2	Elektrolyte	Konzentrationen			Spannungsdifferenzen			Typus des Elements u. Beobachter
		Gesamtäqui- valente	M_1 Ionen	M_2	beobachtet	auf Normalionenkoncentr. korrigiert	Mittelwerte	
Z: Hg	Sulfate	3,98	0,204 (?)	$3,0 \times 10^{-6}$	1,477	1,586		c, W. u. T.
	"	3,00	0,200	$3,1 \times 10^{-6}$	1,453	1,592		"
	"	0,11	0,022	$2,8 \times 10^{-5}$	1,489	1,572		"
	"	6,22	0,22 (?)	$2,9 \times 10^{-6}$	1,433	1,574		"
	Chloride	0,28	0,089	$1,4 \times 10^{-15}$	1,104	1,503		"
	"	1,1	0,26	$1,7 \times 10^{-16}$	1,075	1,513		"
Cd: Hg	"	1,2	0,27	$1,5 \times 10^{-16}$	1,078	1,519		c, C. u. S.
	"	1,2	0,27	$1,5 \times 10^{-16}$	1,090	1,531		c, C.
	"	26,7	0,53 (?)	$4,1 \times 10^{-17}$	1,047	1,512	1,516 \pm 0,005	c, H.
	Sulfate	5,32	0,19 (?)	$3,0 \times 10^{-6}$	1,019	1,158		c, W. E.
	Chloride	0,28	0,052	$4,2 \times 10^{-15}$	0,799	1,177	1,168	c, W. T.
	Nitrat	0,53	0,15	$5,0 \times 10^{-16}$	0,734	1,152	1,152	c, C.
Fe: Hg	Nitrat	0,28	0,077	0,077	0,902	0,902	0,902	d, W. u. T.
	Sulfat	ges.	1,0	$7,8 \times 10^{-4}$	0,703	[0,793]		o, N.
	Chlorid	ges. in $\frac{1}{11}$ KCl	1,0	$8,1 \times 10^{-17}$	0,283	0,748		o, —
	Nitrat	ges.	1,0	?	0,751	?		o, N.
	Nitrat	0,1	1,0	0,062	0,706	0,748	0,748	- o, Bd.
	Sulfat	ges.	1,0	0,035	0,697	0,783		o, N.
Cu: Hg	Nitrate	0,28	0,096	0,077 (?)	0,426	0,423	0,423	d, W. u. T.
	"	0,28	0,077 (?)	0,202	0,004	0,012		"
	"	0,2	0,069	0,15	—	0,020		d, O.
	"	0,1	0,036	0,079	0,003	0,020		"
	"	0,1	0,036	0,079	0,003	0,020		"
	"	0,01	0,0043	0,0090	0,032	0,020	0,018 \pm 0,003	d, O.

II. Elektroaffinität des Mercurio- und Mercuriions. Da das Quecksilber in mehreren Wertigkeitsstufen auftreten kann, muß dem Mercurio- und Mercuriion eine verschiedene Haftintensität zukommen, das Quecksilber muß verschiedene Stellungen in der Spannungsreihe einnehmen. Die den beiden Ionen zukommenden Werte lassen sich mit Kenntnis des Gleichgewichts berechnen, welches zwischen Mercurio-, Mercuriion und Quecksilber besteht. Einen derartigen Gleichgewichtszustand kann man nach Abel⁸⁵⁾ durch folgende Gleichung ausdrücken (s. auch S. 554):



wo M das Metall ist, welches verschiedenwertige Ionen: M^{m+} und M^{n+} ($m > n$) zu bilden vermag. Für dieses Gleichgewicht gilt die Bedingung:

$$\frac{[M^{m+}]^n}{[M^{n+}]^m} = \text{konst.}$$

Ist ferner C_m die Lösungstension für die m-wertigen, C_n diejenige für die n-wertigen Ionen, so gilt für das Gleichgewicht die Beziehung, daß die Zersetzungsspannung der m-wertigen Ionen gleich der der n-wertigen sein muß:

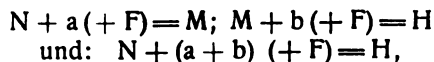
$$\frac{RT}{m} \ln \frac{C_m}{[M^{m+}]} = \frac{RT}{n} \ln \frac{C_n}{[M^{n+}]}$$

$$\text{oder } \frac{C_m^n}{C_n^m} = \frac{[M^{m+}]^n}{[M^{n+}]^m}$$

Diese Gleichung benutzt Abel, um die bis dahin noch unbekannte Haftintensität des Mercuriions festzustellen. Nach Wilsmore steht das Mercurioion mit einer Zersetzungsspannung von $-0,75$ Volt unmittelbar vor Silber. Da sich mit einer normalen Hg_2^{++} -Lösung eine ungefähr $0,008$ n- Hg^{+} -Lösung (aus der Beziehung $\frac{Hg_2^{++}}{Hg^{+}} = 235$ berechnet) mit dem Quecksilbermetall der Elektrode im Gleichgewicht befindet, so ist die Zersetzungsspannung einer normalen Hg^{+} -Lösung um $\frac{RT}{2} \ln 0,008 = -0,066$ Volt höher, also etwa $-0,81$ Volt.

Das Mercuriion ist demnach edler als das Mercurioion, worauf auch, wie schon des öfteren erwähnt, das ganze chemische Verhalten der Mercurverbindungen hinweist.

Das elektromotorische Verhalten eines Stoffes mit mehreren Oxydationsstufen ist ferner von Luther⁸⁶⁾ behandelt worden. Werden die Oxydationsstufen des Systems als: N: niedrigste, M: mittlere, H: höchste bezeichnet, dann ist:



wenn $F = 96540$ Coul. und a und b ganze positive Zahlen bedeuten.

Aus dem allgemeinen Prinzip der Energetik läßt sich entwickeln, daß die maximale Arbeit, welche nötig ist, den Stoff von der niedrigsten Oxydationsstufe bis zur höchsten zu oxydieren, gleich derjenigen ist, welche auf dem Umwege geleistet werden muß, nämlich den Stoff zunächst von der niedrigsten zur mittleren und von dort erst zur höchsten zu oxydieren. Da die maximale Arbeit durch die zugehörige elektrische Energie gemessen wird, so ist:

$$\pi_{N \rightarrow H} = \frac{a \pi_{N \rightarrow M} + b \pi_{M \rightarrow H}}{a + b}$$

Diese Formel besagt, daß die EMK, welche zur Oxydation der niedrigsten

Stufe direkt in die höchste erforderlich ist, in jedem Falle zwischen den EMK liegt, welche zur Oxydation der niedrigsten in die mittlere und der mittleren in die höchste Stufe nötig sind. Mit ihrer Hilfe berechnet sich die Tendenz des Übergangs von Mercurionen der Konzentration i in Mercurionen der Konzentration o zu $2\text{Hg}^{++} \longrightarrow \text{Hg}_2^{++} = +0,87 + 0,029 \log i^2/o$ Volt. Die Erwähnung dieser Formel geschieht, weil mit ihrer Hilfe der Potentialsprung: $\text{Hg} | \text{HgCl}_2$ ermittelt und dadurch indirekt die Dissoziationskonstante des Sublimats berechnet wurde.

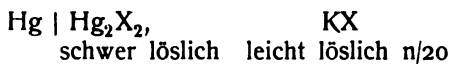
III. Ermittlung von Ionenkonzentrationen (Konzentrationsketten). Die Messung der EMK von Konzentrationsketten, die nach dem Schema:

Metall M	Metallsalzlösung		Metall M'
	Ionenkonzentration c_1	Ionenkonzentration c_2	

zusammengesetzt sind, läßt nach der Nernstschen Formel $E = \frac{RT}{n} \ln \frac{c_1}{c_2}$, falls eine Konzentration etwa c_1 bekannt ist, die andere c_2 berechnen. Da Hg-Elektroden besonders gut reversibel arbeiten, sind Konzentrations- und damit Löslichkeitsbestimmungen bei schwerlöslichen stark dissoziierten Mercurosalzen nach dieser Methode gut ausführbar. Die ersten auf Ostwalds Vorschlag unternommenen genauen Versuche in dieser Richtung rühren von Behrend⁸⁷⁾ und Goodwin⁸⁸⁾ her. Auf diese und andere hierher gehörigen Untersuchungen wird im speziellen Teile einzugehen sein.

In größerem Umfange wurden Messungen von Ionenkonzentrationen bei schwer löslichen Salzen verschiedener Metalle (Cu, Hg, Pb, Cd, Zn) auf elektrometrischem Wege von Cl. Immerwahr⁸⁹⁾ ausgeführt. Die Kenntnis der Metallionenkonzentration in den gesättigten Lösungen der schwer löslichen Salze hat für die analytische Chemie besonderes Interesse.

Bei den Mercurosalzen wurden die Potentiale von Elektroden



gegen eine Normalelektrode gemessen.

Die Herstellung der schwer löslichen Niederschläge Hg_2X_2 geschah im Element selbst, indem eine Mercuronitratlösung mit dem betreffenden Fällungsmittel versetzt wurde, so daß letzteres nach der Ausfällung des Niederschlags noch im Überschuß und zwar als $1/20$ -Normallösung verblieb. Die Angaben auf die Hg_2^{++} -Ionenkonzentration sind relative; es ist die Konzentration der Hg_2^{++} -Ionen in einer normalen $1/2 \text{Hg}_2(\text{NO}_3)_2$ -Lösung = 1 gesetzt.

Bei einigen Mercurosalzen wurden folgende Resultate erhalten:

Salz	Elektrolyt		Volt	Hg_2^{++} -Ionen- Konzentration
	Formel	Konzentration		
Hg_2CrO_4	K_2CrO_4	0,05	— 0,3070	$3,5 \times 10^{-6}$
$\text{Hg}_3(\text{PO}_4)_2$	Na_2HPO_4	0,05	— 0,1372	6×10^{-12}
Hg_2Cl_2	KCl	0,05	— 0,0768	$5,5 \times 10^{-14}$
$\text{Hg}_2(\text{SCN})_2$	KSCN	0,05	— 0,0264	$1,1 \times 10^{-18}$
Hg_2Br_2	KBr	0,05	+ 0,039	$6,5 \times 10^{-18}$
Hg_2I_2	KJ	0,05	+ 0,2264	$2,9 \times 10^{-24}$
$\text{Hg}_2(\text{CN})_2$	KCN	0,05	+ 0,5520	$2,7 \times 10^{-35}$
Hg_2S	KHS	0,05	+ 0,7440	$8,3 \times 10^{-42}$

(Die Werte für die Mercurohalogene sind anscheinend mit größeren Unsicherheiten behaftet.)

Diese Zahlen scheinen darauf hinzudeuten, daß die Löslichkeit der Mercurosalze mit abnehmender Elektroaffinität des Anions sinkt.

Schließlich soll noch erwähnt werden, daß die Bestimmung von Hg^{++} -Ionen in Mercuriverbindungen auf elektromotorischem Wege möglich ist, nämlich mit Hilfe des bekannten Verhältnisses $\text{Hg}_2^{++}; \text{Hg}^{++} = \text{konst}$ und des Potentialsprunges zwischen Quecksilber und der Mercurisalzlösung, der auf dem von Luther (S. 561) angegebenen Wege, indirekt bestimmbar ist; s. das für HgCl_2 durchgerechnete Beispiel.

Die von Ogg⁹⁰⁾ ausgeführte Messung der Konzentrationskette mit verschiedenen Ionenkonzentrationen nämlich:

Hg	konz. Mercuronitrat	verd. Mercuronitrat	Hg
----	------------------------	------------------------	----

erbrachte auch auf elektrochemischem Wege (s. S. 553) den wichtigen Nachweis der Zweiwertigkeit des Mercurioions. Ogg benutzte als Elektrolyt eine Lösung von Mercuronitrat in verdünnter Salpetersäure, um die Hydrolyse des ersteren zurückzudrängen.

Die EMK der Kette ist: $\frac{0,058}{n} \log \frac{c_1}{c}$, wo c_1 , c die Konzentrationen des Mercurosalzes, n die Wertigkeit des Mercurioions bedeutet. Waren nun letztere einwertig, so sollte die EMK derartig zusammengesetzter Kombinationen: 0,058 sein, da $\frac{c_1}{c} = 10$ gewählt wurde. Im Falle der Zweiwertigkeit sollte die EMK = 0,029 sein; letzteres entschied der Versuch:

				EMK
a)	Hg	$\frac{1/5 \text{ Hg}_2(\text{NO}_3)_2}{2}$ $1/10 \text{ HNO}_3$	$\frac{1/50 \text{ Hg}_2(\text{NO}_3)_2}{2}$ $1/10 \text{ HNO}_3$	Hg 0,0266
b)	Hg	$\frac{1/10 \text{ Hg}_2(\text{NO}_3)_2}{2}$ $1/10 \text{ HNO}_3$	$\frac{1/100 \text{ Hg}_2(\text{NO}_3)_2}{2}$ $1/10 \text{ HNO}_3$	Hg 0,0274
c)	Hg	$\frac{1/100 \text{ Hg}_2(\text{NO}_3)_2}{2}$ $1/10 \text{ HNO}_3$	$\frac{1/1000 \text{ Hg}_2(\text{NO}_3)_2}{2}$ $1/10 \text{ HNO}_3$	Hg 0,0290
d)	Hg	$\frac{1/1000 \text{ Hg}_2(\text{NO}_3)_2}{2}$ $1/10 \text{ HNO}_3$	$\frac{1/10000 \text{ Hg}_2\text{NO}_3}{2}$ $1/10 \text{ HNO}_3$	Hg 0,0304

Die im letzten Falle beobachtete, etwas höhere EMK deutet vielleicht darauf hin, daß in sehr hohen Verdünnungen die zweiwertigen Komplexionen Hg_2^{++} einen Zerfall in die einwertigen Ionen Hg⁺ erleiden.

Es fehlt allerdings der Nachweis, daß nicht durch die zugesetzte Salpetersäure, die bei den Versuchen c und d in großem Überschuß zugegen ist, die Konzentration der Mercurioionen z. T. auch durch Komplexbildung stark zurückgedrängt wird. Tatsächlich ist auch bei einigen Metallnitraten, wie Uranyl nitrat, Tendenz zur Komplexsalzbildung zu beobachten (Ley, unveröffentlicht).

Eine andere Art von Konzentrationsketten, die Amalgamketten, werden im Kap. Amalgame, S. 569, besprochen.

IV. Freie Bildungsenergie der Mercuroverbindungen. Die in verhältnismäßig wenigen Fällen der Bestimmung zugängliche Größe der freien Energie⁹¹⁾ ermittelte Bugarszky bei Bildung einer Anzahl schwer löslicher Quecksilberverbindungen, wie Hg_2Cl_2 , Hg_2Br_2 , Hg_2S etc. Die Bestimmung der freien Energie ist wichtig, weil diese Größe — nicht wie früher angenommen die Wärmetönung — ein Maß für die Tendenz eines chemischen Systems, sich in ein anderes umzuwandeln ist.

In der Helmholtzschen Fassung lautet die Beziehung zwischen der Abnahme der freien Energie F , der Gesamtenergie U , und der absoluten Temperatur T : $F - U = T \cdot \frac{dF}{dT}$.

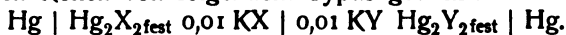
Die Bildung der unlöslichen Quecksilberverbindung ging nun in einer Kette von geeigneter Form vor sich; die hierbei gewonnene elektrische Energie $= E$ ist dann der Abnahme der freien Energie gleich: $E - U = T \cdot \frac{dE}{dT}$; nennt man $-T \cdot \frac{dE}{dT} = -T \cdot \frac{dF}{dT} = G$ die gebundene Energie des Systems, so ist $U = G + F$.

Werden U und F bezw. E in kalorischem Maß (in cal) ausgedrückt so sind

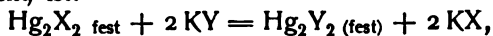
$$F = n \cdot 23117 \cdot E \text{ und } G = -n \cdot 23117 \cdot T \cdot \frac{dE}{dT}$$

aus den beobachteten Werten T , E und $\frac{dE}{dT}$ der direkten Messung zugänglich (n bedeutet die Anzahl der elektrochemischen Äquivalente).

Es wurden Ketten von folgendem Typus gewählt:

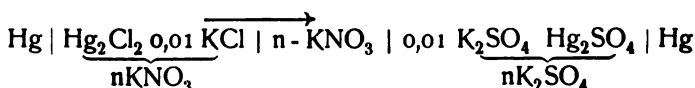


Der chemische Prozeß, welcher bei Betätigung des Elements in demselben vor sich geht, ist:



wenn $\text{Hg} | \text{Hg}_2\text{X}_2$ Kathode ist. Fließt der Strom von $\text{Hg} | \text{Hg}_2\text{X}_2$ zu $\text{Hg} | \text{Hg}_2\text{Y}_2$, dann spielt sich in der Kette die Reaktion: $\text{Hg}_2\text{Y}_{2\text{fest}} + 2\text{KX} = \text{Hg}_2\text{X}_{2\text{fest}} + 2\text{KY}$ ab. Zur Vermeidung von Potentialdifferenzen, welche infolge Berührung der Flüssigkeiten KX und KY entstehen können, wurde KX bezw. KY in einer konzentrierten Lösung eines indifferenten Elektrolyten KZ gelöst, welcher auch zwischen die beiden Einzelelektroden geschaltet wurde.

Als Beispiel sei die Kette:



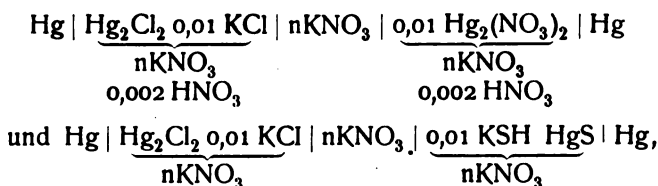
genannt; der Strom fließt im Element im Sinne des Pfeils; die in der Kette vor sich gehende Reaktion ist: $\text{Hg}_2\text{SO}_{4\text{fest}} + 2\text{KCl} = \text{Hg}_2\text{Cl}_{2\text{fest}} + \text{K}_2\text{SO}_4$.

Beobachtet wurde bei

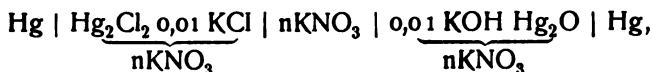
$T =$	$43,5^\circ \text{C}$	$18,7^\circ$	0°
$E =$	$0,2857$	$0,3015$	$0,3131 \text{ Volt}$
$\frac{dE}{dT} =$	$-0,000633$	$-0,000621$	

Daraus berechnet sich: $F = 13940$, $G = 8440$. Folglich $F + G = U = 22380$, während die von Varet beobachtete Wärmetönung der Reaktion: $Q = 23339 \text{ cal war.}$

Mit zwei Ausnahmen, nämlich bei den Ketten:



wo größere Abweichungen stattfanden, gibt die Summe der experimentell bestimmten Werte F und G mit guter Annäherung den Wert der Wärmetönung der Reaktion wieder. Von besonderem Interesse ist die Kette:



bei welcher der den Strom liefernde chemische Prozeß: $\text{Hg}_2\text{Cl}_2 + 2 \text{ KOH} = \text{Hg}_2\text{O} + \text{H}_2\text{O} + 2 \text{ KCl}$ endotherm ist: $Q = -3280$; hier ist die Änderung der freien Energie ungefähr 2 mal so groß als die der gesamten und dem Vorzeichen nach entgegengesetzt. $F = 7566$; $G = -11276$; $F + G = 3710 \text{ cal}$.

Gerade letztere Reaktion beweist schlagend, daß nur die Abnahme der freien Energie als Maß für die Affinitätskräfte gelten kann und den Sinn chemischer Vorgänge bestimmt.

Die mit Hilfe der verschiedenen Ketten ermittelten Werte der freien Bildungsenergien sollen im speziellen Teile bei den einzelnen Verbindungen aufgeführt werden.

V. Normalelektroden. Zur Messung einzelner Potentialsprünge bedient man sich nach dem Vorschlage Ostwalds der sog. Kalomelektrode, bestehend aus Hg, Hg_2Cl_2 in $\frac{1}{10} n$ oder $\frac{1}{10} n \text{ KCl}$ -Lösung. Als wahrscheinlichsten Wert der Potentialdifferenz: $\text{Hg}, \text{Hg}_2\text{Cl}_2, \frac{1}{10} n \text{ KCl}$ setzt man nach den Messungen von Paschen und Ostwald — 0,56 Volt, für die Elektrode $\text{Hg}, \text{Hg}_2\text{Cl}_2, \frac{1}{10} n \text{ KCl}$: — 0,616 Volt. Die Konstanz der Kalomelektrode sowie der Einfluß etwaiger Verunreinigungen des Quecksilbers sowie des Elektrolyten auf die EMK sind von Coggeshall⁹²⁾ untersucht. Eine eingehende Studie über die Elektrode sowie besonders über den Temperaturkoeffizienten des Potentials veröffentlichte Richards.⁹³⁾ Es wurden je zwei Elektroden von der Form $\text{Hg}, \text{Hg}_2\text{Cl}_2, \text{MCl}_n$ hergestellt, die Temperatur der einen Elektrode variiert und die EMK dieser Kombination gemessen. Als Elektrolyte: MCl_n kamen verdünnte Salzsäure, sowie verschiedene Chloride ein- und mehrwertiger Metalle in mehreren Konzentrationen zur Anwendung. Dabei erwiesen sich die „Dezinormalelektroden“ ($\text{KCl} = \frac{1}{10} \text{ norm.}$) als die zweckmäßigsten, da sich dieselben schnell mit der Temperatur einstellten. Die „Normalelektroden“ ($\text{KCl} = 1 \text{ norm.}$) sind nach Richards weniger zu empfehlen, da bei diesen eine Nebenreaktion, nämlich die Zersetzung des Kalomels: $\text{Hg}_2\text{Cl}_2 = \text{Hg} + \text{HgCl}_2$ besonders störend auftritt. Es wurde hierbei noch konstatiert, daß diese Nebenreaktion mit steigender Temperatur stärker hervortritt. (Siehe jedoch hierzu Ostwald-Luther, Messungen. S. 383.)

In der folgenden Tabelle sind einige von Richards unter verschiedenen Bedingungen ermittelte Koeffizienten angegeben.

Temperatur 0 und 30°.			
Temperaturkoeffizient mit			
	normaler —	$\frac{1}{100} n$ —	$\frac{1}{100}$ -n-Lösung
HCl	0,00033	0,00054	0,00066
LiCl	0,00063	0,00083	0,00100
NaCl	0,00056	0,00078	0,00095
KCl	0,00061	0,00079	0,00094
BaCl ₂	0,00053	0,00073	0,00092
CdCl ₂	0,00069	0,00082	0,00097

Somit nehmen die Temperaturkoeffizienten mit steigender Verdünnung zu, ferner ist ein Einfluß des Kations der gelösten Elektrolyte bemerkbar. Es gelang weiter, die von der Natur und der Konzentration des umgebenden Elektrolyten herrührenden Einflüsse auch theoretisch klar zu stellen. Mit Benutzung der Nernstschen Theorie wurde für den Temperaturkoeffizienten die Formel abgeleitet:

$$\frac{d\pi}{dT} = \frac{R}{E_0} \cdot \ln \frac{P}{p} = 0,00198 \log^{10} \frac{P}{p},$$

wo π die Potentialdifferenz, R die Gaskonstante $= 1,96 \times 4,24$ Volt-Coul. P den Lösungsdruck des Chlors in der Elektrode, p den osmotischen Druck der Cl-Ionen in dem zugesetzten Elektrolyten bedeuten. P wurde mit Hilfe zweier experimentell bestimmter Werte $\frac{d\pi}{dT}$ (aus der $\frac{n}{100}$ KCl und $\frac{n}{100}$ NaCl) berechnet.

Im allgemeinen war die Übereinstimmung zwischen Theorie und Beobachtung gut. Salzsäure sowie Chlorammonium nahmen eine anomale Stellung ein, indem die dabei erhaltenen Temperaturkoeffizienten des Elektrodenpotentials von ganz anderer Ordnung als die bei den übrigen Salzen erhaltenen waren. Weiteres über Normalelektroden s. in der Studie von L. Sauer.⁹⁴⁾

VI. Normalelemente. Die Möglichkeit, das Metall in einfacher Weise in chemisch reinem Zustande zu erhalten, sowie die natürliche Bildung einer ideal reinen, oxydfreien Oberfläche machen das Quecksilber besonders als Elektrodenmaterial in Normalelementen geeignet. Von diesen sollen genannt werden:

1. Das Clarkelement; bestehend aus Zink (oder etwa 10 prozentiges Zinkamalgam), Zinksulfat, Quecksilberoxydulsulfat, Quecksilber. Über Herstellung siehe Jaeger und Kahle.^{94a)} EMK bei 15° = 1,4328 Volt. Temperaturkoeffizient ersichtlich aus der Beziehung (Jaeger):

$$EMK_t = 1,4328 - 0,00119(t - 15) - 0,000007(t - 15)^2 \text{ Volt.}$$

s. a. Callendar und Barnes.^{94b)} Obige Bezeichnung ist gültig in dem Intervall von etwa 10° bis 30°.

2. Das Cadmiumelement; bestehend aus Cadmium (besser 10–13 prozentigem Cadmiumamalgam), Cadmiumsulfat (gesättigte Lösung mit überschüssigen Kristallen), Mercurosulfat, Quecksilber. Über Herstellung s. Jaeger und Kahle.⁹⁵⁾ EMK bei 20° = 1,0186 Volt.

$$EMK_t = 1,0186 - 0,000038(t - 20) - [0,0665(t - 20)^2] \text{ Volt.}$$

Über Konstanz und Reproduzierbarkeit s. besonders Jaeger und Lindeck.⁹⁶⁾

2a. Das von der Weston-Co. hergestellte Cadmiumelement unterscheidet sich von dem vorigen Elemente dadurch, daß es eine bei 4° gesättigte Cadmiumsulfatlösung enthält. Die EMK dieses Elements ist praktisch als von der Temperatur unabhängig anzusehen und beträgt 1,0190 Volt.

3. Das Helmholtzsche Kalomelement. Dasselbe wird zweckmäßig nach Ostwald⁹⁷⁾ aus Quecksilber, Kalomel, Zinkchloridlösung vom spez. Gew. 1,409 und amalgamiertem Zink aufgebaut. Das Element hat bei 15° ca. 1 Volt Spannung, sein Temperaturkoeffizient ist sehr klein: 0,00007 Volt pro Grad.

Näheres über Spannungsnormale s. W. Jaeger; Die Normalelemente. Halle 1902, ferner Ostwald-Luther, Messungen.

VII. Leitfähigkeitsmessungen. Schließlich mögen noch einige Messungen der Leitfähigkeit von Mercur- und Mercurisalzen Platz finden, durch welche Beiträge zur Konstitution dieser Salzlösungen geliefert sind.

Durch Bestimmung der äquiv. Leitfähigkeit des Mercuronitrats lieferte Ogg⁹⁸⁾ wiederum den Beweis, daß die Mercurioionen zweiwertig sind. Er machte dabei von dem Ostwaldschen Satze Gebrauch, daß sich die äquivalente Leitfähigkeit analog gebauter Salze in gleichen Verdünnungsintervallen um gleiche Beträge ändert. Er verglich die äquivalenten Leitfähigkeiten λ von $\text{Hg}_2(\text{NO}_3)_2$, $\text{Pb}(\text{NO}_3)_2$, AgNO_3 bei den Verdünnungen $v=5$ und $v=250$ und berechnete daraus die prozentische Zunahme der Leitfähigkeit in diesem Intervall: Δ ($t=18^\circ$).

	λ für		
	$\text{Hg}_2(\text{NO}_3)_2$	$\text{Pb}(\text{NO}_3)_2$	AgNO_3
	2	2	
$v=250$	69,58	102,16	84,04
$v=5$	51,85	76,82	63,55
Δ	34 Proz.	33 Proz.	27 Proz.

Alle drei Nitrate waren in 0,1 norm. HNO_3 gelöst. Das Resultat ist das erwartete.

Der Unterschied in der Dissoziation der Mercurisalze von Sauerstoff- und Nichtsauerstoffsäuren, welcher sich scharf in den Leitfähigkeitswerten ausprägt, wurde schon S. 556 hervorgehoben.

Die Messung der Leitfähigkeit des Mercuriperchlorats $\text{Hg}(\text{ClO}_4)_2$ läßt sich benutzen, um die sehr starke Hydrolyse der Mercurisalze mit starken, einbasischen Säuren angenähert zu berechnen, da dieses Salz fast das einzige ist, welches selbst bei hohen Verdünnungen keine basischen Salze ausscheidet.⁹⁹⁾

Schließlich sei darauf hingewiesen, daß sich die Leitfähigkeiten der Mercuri-Sauerstoffsalze in dieselbe Reihenfolge einordnen wie diejenigen der freien Säuren selbst, was aus folgender Tabelle ersichtlich ist (λ in rez. Ω bei 25°).⁹⁹⁾

v	$(\text{C}_2\text{H}_3\text{CO}_2)_2\text{Hg}$	$\text{C}_2\text{H}_3\text{CO}_2\text{H}$	$(\text{CH}_3\text{CO}_2)_2\text{Hg}$	$\text{CH}_3\text{CO}_2\text{H}$	$(\text{ClCH}_2\text{CO}_2)_2\text{Hg}$	$\text{ClCH}_2\text{CO}_2\text{H}$
	λ	λ	λ	λ	λ	λ
32	5,54	7,8	5,7	9,2	30,2	77,2
64	8,08	11,6	8,6	12,9	46,9	103,2

Diese Erscheinung erklärt sich teils aus der Hydrolyse der Salze, teils daraus, daß das Anion die elektrolytische Dissoziation der Mercurisalze

einflußt. Hg-Ion verhält sich demnach hinsichtlich der Dissoziation seiner Salze dem Wasserstoff analog. (Ähnliches ist bei den Magnesiumsalzen angedeutet, sowie bei den Uranylsalzen aufgefunden worden, s. d.)

Die Leitfähigkeitswerte wurden bei den betreffenden Verbindungen aufgeführt.

S. a. Grottrian und Wershofen (Ann. d. Phys. u. Chem. 18, 1803), ferner die Zusammenstellung in Kohlrausch-Holborn, Leitvermögen der Elektrolyte; Leipzig 1898.

Physiologisches etc. Quecksilber und die meisten Quecksilberverbindungen sind für den tierischen und pflanzlichen Organismus, besonders für manche Mikroorganismen, heftige Gifte.

Die Giftwirkung vieler Quecksilbersalze beruht höchstwahrscheinlich darauf, daß die Eiweißsubstanzen der Zellen durch die Quecksilberverbindungen koaguliert werden, worauf jene dann absterben.

Die desinfizierende Wirkung der Mercurisalze (Wirkung auf die Mikroorganismen, Bakterien) ist, wie Paul und König gefunden haben, jedenfalls zum Teil eine spezifische Wirkung des Quecksilberions; es desinfizieren die Mercurihalogene nach Maßgabe ihres Dissoziationsgrades.

Die Vergiftung kann entweder eine chronische (meist in technischen Betrieben vorkommende) oder akute sein.

Was das durch die Einführung von Quecksilberpräparaten in den menschlichen Organismus hervorgerufene Vergiftungsbild betrifft, so sind die sich allmählich einstellenden Erscheinungen etwa folgende: Die ersten Symptome sind Stomatitis und Speichelfluß, Rötung des Zahnfleisches sowie Lockerung der Zähne, sodann Absonderung größerer Mengen Speichel, Epithelmaceration und Geschwürsbildung. Bei schwereren Formen kommt es zu Periostitis und Nekrose des Kiefers, Kollaps und Tod. In einigen Fällen treten Reizungen des Knochenmarks und daher Störungen der Blutbildung auf. Charakteristisch ist noch die Wirkung auf das Nervensystem, die in Kopfschmerzen, Tremor, Palpitation und Schlaflosigkeit besteht. Bei chronischen Vergiftungen tritt häufig sog. Erethismus mercurialis auf. Endlich erhöht Quecksilbervergiftung die Disposition zu Phthise und Nephritis.

Den meisten löslichen Quecksilberverbindungen wie Sublimat, Quecksilberjodid kommen ferner örtlich stark ätzende Wirkungen zu.

Außer diesen allgemeinen Erscheinungen treten bei Vergiftung mit gewissen Organoquecksilberverbindungen wie Quecksilberdimethyl etc. sowohl bei Tieren wie Menschen noch schwere Nervenaffektionen und Wirkungen auf das Zentralnervensystem auf, die meistens bis zur völligen Verblödung des Individuums führen; der Tod tritt nach längerem Siechtum und chronischen Verdauungsstörungen ein. Charakteristisch ist, daß diesen schweren Erscheinungen eine in zwei beobachteten Fällen wochenlange Latenzperiode vorausgeht. (Vergl. P. Hepp, Arch. f. experim. Pathologie 23, 91.)

Quecksilber und seine Präparate finden ihre Hauptanwendung als Antisymphilitikum, besonders bei den Sekundärerkrankungen dieser Krankheit. Einige Quecksilberpräparate leisten ferner als Antiphlogistikum bei Entzündung seröser Häute gute Dienste. Calomel dient als Abführmittel namentlich bei Infektionskrankheiten.

Bei der Resorption der Quecksilberverbindungen spielen Eiweiß und Chlornatrium eine große Rolle.

Die wichtigsten officinellen Quecksilberpräparate sind Hg (in Form von

Salben, graue Salbe), HgCl_2 , HgI_2 , $\text{Hg}(\text{CN})_2$, $\text{HgO} \cdot \text{Hg}(\text{CN})_2$, $\text{Hg}_2(\text{NO}_3)_2$, Hg_2Cl_2 , Hg_2J_2 , HgO , $\text{HgCl} \cdot \text{NH}_2$, HgS ; von organischen Quecksilberverbindungen sind zu erwähnen: Mercuri-Oleat, Mercurio-Tannat, Quecksilber-Salizylsäure, Thymol-Quecksilberacetat. Einige organische Quecksilberverbindungen wie Quecksilberäthylchlorid, Quecksilbersuccinimid sowie einige Quecksilberpeptide haben die Eigenschaft, Eiweiß nicht zu fällen. Weiteres s. z. B. Kobert, Toxikologie.

Die Amalgame. Fast alle Metalle haben die Eigenschaft, sich mehr oder weniger leicht in Quecksilber zu lösen. Die je nach dem Prozentgehalt und der Natur des gelösten Metalls entweder flüssigen oder festen Legierungen wurden früher allgemein Amalgame genannt. [Zweckmäßiger erscheint es aber, diese Bezeichnung für gewisse aus den Quecksilberlösungen der Metalle isolierbare, nach festen stöchiometrischen Verhältnissen zusammengesetzte, meist schön kristallisierte Stoffe zu reservieren, welche nach neueren Untersuchungen als chemische Verbindungen zwischen Quecksilber und den Metallen $\text{Hg} \times \text{Mey}$ angesehen werden müssen.]

Zu dieser Erkenntnis gelangte man erst nach vielen Vorarbeiten. Die ersten Versuche beschäftigten sich mit der Beziehung zwischen der Zusammensetzung und dem Aggregatzustande der Quecksilberlegierungen bezw. Amalgame und enthalten viele widersprechende Angaben (Böttger¹⁰⁰), Gay-Lussac und Thénard¹⁰¹), Lampadius¹⁰²). Die ersten Amalgame im Sinne obiger Definition erhielten Kraut und Popp.¹⁰³) Es gelang ihnen, auf verschiedenen Wegen gut kristallisierte Verbindungen des K und Na mit Hg zu erhalten, welche sich, unabhängig vom Wege der Darstellung laut Analyse als identisch erwiesen. Sie isolierten die beiden schön kristallisierten Amalgame NaHg_6 und KHg_{12} . Siehe auch Crookewitt¹⁰⁴) und Löwig.¹⁰⁵) Spätere Versuche von Merz und Weith¹⁰⁶) förderten die Kenntnis der Natur dieser Stoffe nur unwesentlich. Auf Grund thermochemischer Versuche schloß Berthelot¹⁰⁷), daß K mit Hg die beiden charakteristischen Verbindungen KHg_4 und KHg_{12} bilde, ferner machten seine Versuche die Existenz einer Verbindung NaHg_6 wahrscheinlich. Die flüssigen Amalgame betrachtet Berthelot als Lösungen der festen Amalgame in überschüssigem Quecksilber.

Zustand der Metalle in der verdünnten Quecksilberlösung. Fast alle untersuchten Metalle lösen sich in überschüssigem Quecksilber derart, daß vorwiegend einatomige Molekeln entstehen, oder, was auch der Fall sein kann und wohl noch wahrscheinlicher ist, daß Verbindungen mit dem lösenden Quecksilber entstehen, deren Molekeln mit mehr oder weniger Atomen Hg verbunden nur je ein Atom des gelösten Metalls enthält. Diese Tatsache wurde auf drei verschiedenen Wegen ermittelt.

1. Untersuchung der aus Amalgamen aufgebauten Konzentrationsketten. Von G. Meyer¹⁰⁸) wurden Konzentrationsketten folgender Art gebildet:

konz. Amalgam Salzlösung verd. Amalgam.

Die EMK der Kette ist:

$$\pi = \frac{R}{nF} \cdot T \log \frac{c_1}{c_2}.$$

π bedeutet die beobachtete EMK der Kette, c_1 , c_2 die Konzentrationen des Metalls in Amalgam, T die absolute Temperatur, nF die mit einem Mol des Metalls wandernde Anzahl von Elektrizitätseinheiten. Dividiert man letztere Zahl durch $n' \cdot F$, der Anzahl der Elektrizitätseinheiten, welche an

einem g-Atom des Metalls haften ($n =$ der Wertigkeit des Metallions, $Zn = 2$, $Na = 1$ etc.), so ergibt sich die Anzahl der Atome im Molekül des in Quecksilber gelösten Metalls.

So wurde z. B. gefunden:

Zinkamalgame in Zinksulfat

t	c_1	c_2	π (beob.)	$\frac{n}{n'}$
11,6	0,003 366	0,0001 131	0,0419	1,01
58,2	0,002 280	0,0000 608	0,0474	1,06

Denselben Wert in bezug auf die Größe $\frac{n}{n'}$ lieferten folgende Amalgame:

Cadmiumamalgame in CdJ_2 ,			
Blei-	"	"	$Pb(C_2H_3O_2)_2$,
Zinn-	"	"	$SnCl_2$,
Kupfer-	"	"	$CuSO_4$,
Natrium-	"	"	$NaCl$, Na_2CO_3 und Na_2SO_4 .

Später wurde von Schöller^{105a)} die Einatomigkeit des Bariums im Bariumamalgame in ganz analoger Weise nachgewiesen. Die Anwendbarkeit der logarithmischen Formel auf die verdünnten Amalgame bedeutet, daß die im Quecksilber gelösten Metalle den Gasgesetzen gehorchen.

Zu demselben Resultat gelangten Richards und Lewis¹⁰⁹⁾, welche mit etwas verfeinerten Mitteln für Zinkamalgame (bis zu 3 Proz.) und Cadmiumamalgame (bis 1 Proz.) die Anwendbarkeit der Gasgesetze nachwiesen. Sie untersuchten zwei Arten von Konzentrationsketten:

Zn- oder Cd-Amalgame verd.	Zn- oder Cd- SO_4 $\frac{1}{1}$ norm.	Zn- oder Cd-Amalgame konz.
und		
Zn- oder Cd-Amalgame	Zn- oder Cd- SO_4 $\frac{1}{1}$ norm.	Zn- oder Cd-Metall

bei verschiedenen Amalgamekonzentrationen und bei variablen Temperaturen.

Nach einer neueren Untersuchung von Haber¹¹⁰⁾ sind jedoch die von Meyer aus der EMK der Konzentrationsketten gezogenen Schlüsse nicht bindend. Macht man nämlich mit Haber die Annahme, daß in der Lösung ein Teil des Quecksilbers mit dem gelösten Metall in Form einer Verbindung $Me_n Hg_m$ vorhanden ist, so muß bei der Betätigung des Amalgamelements auch ein Transport von Quecksilber aus einem Amalgame in das andere berücksichtigt werden, wodurch die Formel für die EMK eine andere wird. Da jedoch der Unterschied zwischen den nach der neuen und der Meyer'schen Formel berechneten EMK innerhalb der Fehlergrenzen liegt und die Frage nach der Existenz von bestimmten Hydrargyraten ebenso wenig gelöst ist wie die der Hydrate in den Lösungen der Salze, so sei nur an dieser Stelle auf die wichtigen Haberschen Entwicklungen verwiesen.

2. Dampfdruckerniedrigung des Quecksilbers durch gelöste Metalle. Die Einwertigkeit der meisten Metalle im Zustande der verdünnten Lösung in Quecksilber erkannte ferner Ramsay¹¹¹⁾ durch Bestimmung der Dampfdrucke dieser Lösungen. Wie bei anderen Medien ergab sich stets eine Depression des Dampfdrucks des Quecksilbers, nachdem die Metalle

darin gelöst waren. Die aus den Depressionen berechneten Molekulargewichte erwiesen sich bei

Li, Mg, Zn, Cd, Ga, Sn, Pb, Bi, Ag, Au

ziemlich identisch mit den Atomgewichten. Ein merkwürdiges Verhalten beobachtete Ramsay beim Natrium. In niederen Konzentrationen (0,86 Atome Na auf 100 Atome Hg) war das gefundene Molekulargewicht 21,6; mit Erhöhung der Konzentration gingen die Werte für die scheinbare Molekulargröße wider Erwarten herunter bis auf 15,1, bei 5,35 Atomen Na auf 100 Atome Hg. Nach derselben Seite liegen die Abweichungen, welche Ramsay bei K, Ba und Ca beobachtete. Alle diese Anomalien harren noch einer genügenden Erklärung.^{111a)} Mit einem ähnlichen Ergebnis schloß Tammann¹¹²⁾ seine Arbeit über

3. Gefrierpunktserniedrigungen von Quecksilber durch gelöste Metalle ab. Aus den beobachteten Depressionen und der aus der Schmelzwärme des Quecksilbers nach der van't Hoff'schen Formel berechneten molekularen Gefrierpunktserniedrigung wurden in bekannter Weise die Molekulargrößen bestimmt und bei Na, Tl und Sn mit den Atomgewichten in annähernder Übereinstimmung gefunden. Diese Resultate lassen uns demnach keinen Augenblick über den Zustand mancher in Quecksilber gelösten Metalle im Zweifel, sowie darüber, daß auf diese Lösungen, falls sie verdünnt sind, die für diese Systeme überhaupt gültigen Gesetze anwendbar sind.

In der Folgezeit beschäftigten sich wichtige Arbeiten mit der Natur der eigentlichen, d. h. festen, durch Kristallform wohldefinierten Amalgame, ob man es mit wirklichen chemischen Verbindungen oder bloß mit isomorphen Mischungen zu tun habe.

Natur der festen Amalgame.

a) Untersuchungen von Kerp. Dieses Problem wurde zuerst von Kerp¹¹³⁾ in Angriff genommen, welcher genaue Löslichkeitsbestimmungen bei einigen Amalgamen ausführte. Am genauesten wurde Natriumamalgam in dieser Richtung untersucht. Durch Zusammenschmelzen von Natrium und Quecksilber wurde ein etwa 3prozentiges Amalgam dargestellt und dessen Löslichkeit in Quecksilber bei verschiedenen Temperaturen ermittelt, wobei sowohl der feste Bodenkörper (Amalgam) als auch die überstehende Lösung analysiert wurde. Das Ergebnis dieser Versuche war, daß innerhalb eines großen Temperaturintervalls (0°—100°) ein und derselbe Bodenkörper NaHg₂ erhalten bleibt. Wenn auch die Zusammensetzung des Bodenkörpers in dem anfänglichen Intervall (0°—40°) nicht richtig angegeben — hier ist das schon von Kraut und Popp analysierte Amalgam NaHg₆ beständig —, so liegt doch in diesem Befunde der erste exakte Nachweis des Natriumamalgams als wirklichen chemischen Individuums.

Hinsichtlich der Molekularstruktur dieses Körpers erscheint Kerp die Annahme am plausibelsten, daß dem Amalgam eine chemische Verbindung von Quecksilber und Natrium zugrunde liegt, z. B. Na₂Hg resp. NaHg, welche mit Kristallquecksilber das eigentliche Amalgam Na₂Hg + 9Hg resp. NaHg + 4Hg bildet, ein Vorgang, der sofort an die Hydratbildung mancher Salze erinnert. Es lag deshalb die weitere Untersuchung nahe, ob analog manchen Hydraten bei Überschreitung einer gewissen Temperatur eine Änderung der Zusammensetzung des Bodenkörpers etwa in dem Sinne erfolgt, daß ein Hg-reicheres Amalgam als neuer Bodenkörper mit anderem Beständigkeitsintervall auftritt, was bei fortgesetzter Löslichkeitsbestimmung als

Knick in der Löslichkeitskurve zum Ausdruck kommt. In einer zweiten Arbeit¹¹⁴⁾ werden von Kerp gemeinschaftlich mit Böttger die Löslichkeitsbestimmungen bei Amalgamen fortgesetzt und die hierbei erhaltenen Resultate im Sinne der Phasenlehre gedeutet. Nach dieser sind die flüssigen Lösungen der Metalle in Quecksilber Systeme mit zwei Freiheitsgraden: Temperatur und Zusammensetzung der Phase. Wird nun eine der Freiheiten geändert, bis der Zustand metastabil und schließlich ausgelöst wird, so wird sich eine neue Phase bilden, die entweder den einen Bestandteil des flüssigen Amalgams oder beide nach bestimmten oder wechselnden Verhältnissen enthalten kann. Die bei diesen verschiedenen Möglichkeiten in Betracht kommenden Erscheinungen werden eingehend diskutiert und durch eine graphische Darstellung schematisch erläutert. Es war so möglich, jede in dem Gleichgewichtszustande: festes Amalgam \rightleftharpoons flüssige Lösung des Metalles in Hg auftretende Phase genau zu fixieren, zu entscheiden, ob sich die betreffende Phase durch ihre Konstanz trotz Änderung der Freiheiten des Systems als chemisches Individuum charakterisiert und wo das Existenzgebiet desselben liegt.

Die Löslichkeitsversuche wurden über ein großes Temperaturgebiet meist 0° — 100° ausgedehnt und sowohl mit übersättigten als auch mit ungesättigten Lösungen der Metalle in Quecksilber vorgenommen.

Zur Untersuchung gelangten von den Amalgamen der Alkalimetalle Natrium-, Lithium-, Kalium- und Rubidiumamalgam, von den Erdalkalien wurden Strontium und Barium, von anderen Metallen Zink und Cadmium auf ihre Amalgambildung untersucht. Die genaueren Angaben über Löslichkeitsbestimmungen werden im speziellen Abschnitt mitgeteilt, hier mögen nur die wichtigeren allgemeineren Ergebnisse der Kerp-Böttgerschen Arbeit Platz finden.

Amalgame der Alkalimetalle. Mit zunehmendem Verbindungsgewicht der Alkalimetalle nimmt die Löslichkeit in Quecksilber zu. Natrium und Lithium bilden quecksilberarme, feste Amalgame: NaHg_6 , NaHg_5 , LiHg_5 , wovon LiHg_5 und NaHg_5 in der Kristallform übereinstimmen. K und Rb vermögen sich mit Quecksilber zu Hg-reicheren Amalgamen zu vereinigen wie KHg_{14} , KHg_{12} , RbHg_{12} , deren gemeinschaftliche Kristallform der Würfel ist.

α) Natriumamalgame. NaHg_6 (welches Kerp in der ersten Abhandlung übersehen) ist in dem Gebiet von 0° bis ca. 41° beständig, zwischen 40° — 42° liegt der Umwandlungspunkt, von dort ab bildet sich das Amalgam NaHg_5 , das sich erst oberhalb 161° in einen Hg-ärmeren Bodenkörper umwandelt.

β) Lithiumamalgam kristallisiert aus reinen Quecksilberlösungen zwischen 0° und 100° als einzige Phase LiHg_5 unverändert aus.

γ) Kaliumamalgame. Die beim Kalium erhaltenen Resultate waren komplizierterer Natur. Zwischen 0° und 100° scheinen wenigstens zwei kristallisierte Amalgame zu existieren. Vom Amalgam KHg_{14} liegt die obere Existenzgrenze bei etwa 0° . Von hier ab tritt das Amalgam KHg_{12} auf, dessen obere Existenzgrenze bei der Temperatur 70 — 73° abschließt; an dieses scheint sich die Phase KHg_{10} mit einem sehr kleinen Existenzgebiet anzureihen, wenigstens wurde dieser Körper noch in schön kristallisiertem Zustande aufgefunden. Oberhalb 75° scheint der Bodenkörper nicht mehr nach einfachen Verhältnissen zusammengesetzt zu sein, sondern es scheint sich die feste Phase stetig mit der Temperatur zu verändern.

δ) Rubidiumamalgam. Bei diesem von den Verfassern neu dargestellten Amalgam wurden nur zwei Löslichkeitsbestimmungen bei 0° und 25°

gemacht. Es ließ sich nur eruieren, daß innerhalb dieses Intervalls ein Hg-ärmeres Amalgam als RbHg_{12} beständig ist. Es darf vorläufig nur die Existenz von RbHg_{12} als hinlänglich sichergestellt angesehen werden, das unterhalb 0° existenzfähig ist.

Amalgame der Erdalkalimetalle. Mit steigendem Atomgewicht nimmt die Leichtigkeit der Bildung und die Beständigkeit der Amalgame zu. Magnesium- und Calciumamalgam sind so zersetzlich, daß Kerp und Böttger vorläufig auf die Untersuchung dieser Stoffe verzichteten. Hingegen konnten bei Strontium- und Bariumamalgam genaue Bestimmungen ausgeführt werden.

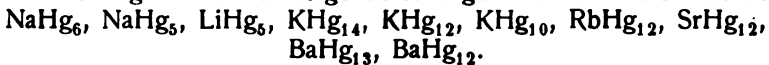
a) Strontiumamalgam. In dem Intervall 0° — 30° ist das Amalgam SrHg_{12} in Berührung mit flüssigem Amalgam stabil, hieran schließt sich ein Gleichgewichtsgebiet an, bei dem die feste und flüssige Phase beständig ihre Zusammensetzung ändern.

b) Bariumamalgam. Zwischen 0° und 100° sind zwei Phasen des Amalgams beständig. Von 0° bis 30° besteht BaHg_{13} , von da ab bis 100° BaHg_{12} .

Zink- und Cadmiumamalgam. Die beiden dem Quecksilber in vielen Beziehungen ähnlichen Metalle Zink und Cadmium besitzen eine weit größere Löslichkeit in jenem als alle übrigen Metalle; Cadmium ist löslicher als Zink.

Die Löslichkeit des Zinks in Quecksilber nimmt in dem Intervall von 0° — $81,5^\circ$ mit steigender Temperatur zu. Bei $89,5^\circ$ sowie bei 99° wurden jedoch kleinere Werte der Löslichkeit als bei $81,5^\circ$ gefunden; außerdem zeigten sich außerordentlich starke Schwankungen in der Zusammensetzung der festen Amalgame in Versuchsreihen, die bei gleicher Temperatur ausgeführt waren, so daß die erhaltenen Zahlen noch keine Deutung zuließen; ähnliches gilt vom Cadmiumamalgam.

Als chemische Verbindungen, d. h. innerhalb eines größeren Temperaturgebietes beständige, feste Phasen in dem Gleichgewichtszustande: festes Amalgam \longleftrightarrow gesättigte Lösung des Metalls in Quecksilber sind von Kerp und Böttger demnach folgende Amalgame charakterisiert worden:



„Diese besitzen alle Eigenschaften, welche eine chemische Verbindung charakterisieren: Unveränderliche Zusammensetzung, welche vom Wege der Darstellung unabhängig ist und unveränderliche Eigenschaften, welche von denen der Komponenten verschieden sind — — ferner können die genannten Amalgame aus Quecksilber umkristallisiert werden, sofern dabei die Bedingungen der Temperatur nicht überschritten werden, innerhalb deren sie beständig sind. Allen diesen Verbindungen ist eine charakteristische Kristallform eigentümlich.“

Ein nicht zu leugnender Nachteil der Methode der Löslichkeitsbestimmung ist die Tatsache, daß manche Amalgame nur unvollkommen von den ihnen anhaftenden Mutterlaugen befreit werden können, wodurch natürlich die analytischen Daten sehr unsicher werden; in der Tat haben die gleich zu beschreibenden Methoden, welche von dem genannten Mangel frei sind, auch erwiesen, daß die Existenz der quecksilberreichen Amalgame, z. B. KHg_{12} , sehr unwahrscheinlich ist. Vor der Erwähnung dieser Untersuchungen sollen zwei Methoden aufgeführt werden, welche bei der Untersuchung der Hydrate von Salzen treffliche Dienste geleistet, und die von Ogg mit Erfolg auch auf die den Hydraten ähnlichen Amalgame angewandt wurden.

b) Untersuchungen von Ogg. Dieser Forscher¹¹⁵⁾ übertrug zunächst die

bekannte von Müller-Erzbach ¹¹⁶⁾ zur Auffindung von Salzen mit bestimmtem Kristallwassergehalt angewendete Methode auf die Amalgame. Die Methode besteht darin, aus der relativen Geschwindigkeit der Verdunstung von reinem Quecksilber und Amalgam den relativen Dampfdruck des Quecksilbers in dem Amalgam zu ermitteln. Bei bestimmter Konzentration des Amalgams erfährt der relative Dampfdruck eine plötzliche Größenänderung, was auf die Existenz einer bestimmten Verbindung deutet.

Die Versuche wurden in der Weise angestellt, daß reines Quecksilber und festes Amalgam in kleinen Eimerchen bei 100° nebeneinander im Vakuum verdampft wurden. Jede Stunde wurden die Eimerchen herausgenommen und gewogen. Relativer Dampfdruck = $\frac{\text{Verlust von Quecksilber}}{\text{Verlust von Amalgam}}$. Zu Anfang

des Versuchs war die Zusammensetzung der festen Ag-Hg-Legierung $\text{AgHg}_{4,98}$ entsprechend. Der Dampfdruck des Quecksilbers war etwas größer als der des Amalgams und blieb ungefähr konstant, bis das rückständige Amalgam die Zusammensetzung Ag_3Hg_4 besaß. In der graphischen Darstellung

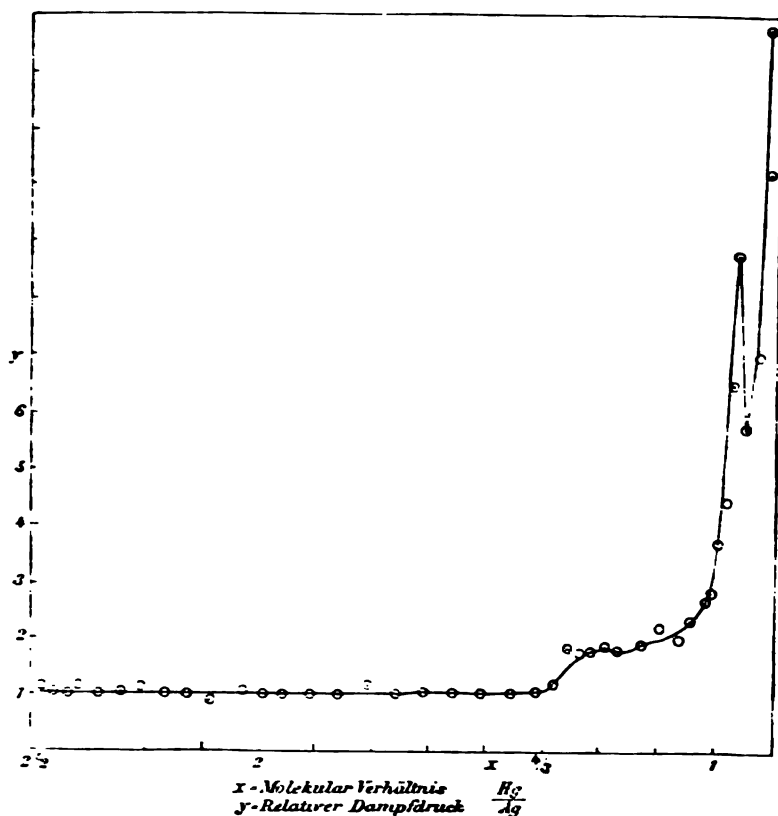


Fig. 1.

(Abszisse = Molekularverhältnis des Silbers zum Quecksilber, Ordinate = relativer Dampfdruck) zeigt sich an dieser Stelle ein wenn auch nicht sehr ausgesprochener Knick. Ein zweiter sehr starker Knick zeigt sich bei der

Zusammensetzung: AgHg . Damit kann die Existenz der Amalgame Ag_3Hg_4 und AgHg als ziemlich sicher angenommen werden.

Das erstere dieser beiden Silberamalgame wurde von Ogg noch auf einem anderen Wege nachgewiesen, indem er wieder von einer bei Untersuchung kristallwasserhaltiger Salze aufgefundenen Regel Gebrauch machte. Durch die Untersuchung von Andreae¹¹⁷⁾ wurden folgende Sätze experimentell bewiesen:

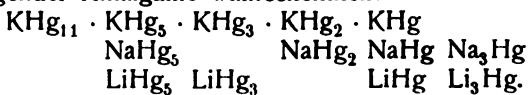
1. Die Dissoziationsspannungen zweier Salzmengen mit verschiedenem Wassergehalt sind gleich, wenn letzterer bei beiden oberhalb oder unterhalb einer gewissen Grenze liegt.

2. Die Dissoziationsspannungen zweier Salzmengen von verschiedenem Wassergehalt sind verschieden, wenn der Wassergehalt des einen Salzes oberhalb, der des anderen unterhalb der oben genannten Grenze liegt. Beide Sätze lassen sich in folgendem zusammenfassen: „Die Dissoziationsspannung kristallwasserhaltiger Salze ist diskontinuierlich abhängig vom Zersetzungszustande, d. h. von der Wassermenge, welche als Dampf fortgeht.“

Ogg wandte bei dem Silberamalgam die von Andreae benutzte „dynamische Methode“ in folgender Form an. In einem zweischenkligen Rohr befand sich in dem einen Schenkel mit Silber gesättigtes Quecksilber, in dem anderen reines Silberpulver. Mehrere derartig beschickter Röhren wurden verschiedene Zeit lang (5—49 Tage) auf 60° erwärmt. Das Silber amalgamiert sich, und das Quecksilber destilliert so lange zum Silber über, bis die Tensionen beider Stoffe gleich geworden sind. Der Gleichgewichtszustand trat ein, wenn die Zusammensetzung des Amalgams der Formel Ag_3Hg_4 entsprach.

Ogg knüpft hieran die Bemerkung, daß diese Methode uns in den Stand setzt, gewisse Amalgame im reinen Zustand frei von überschüssigem Quecksilber darzustellen.

c) Untersuchung von Maey. In ähnlicher Weise wie Berthelot (s. S. 557) die Änderung der Wärmetönung beim Zusammentreffen wechselnder Mengen von Quecksilber und Alkalimetall benutzte, um auf die Existenz bestimmter Verbindungen zwischen beiden Elementen zu schließen, studierte Maey¹¹⁸⁾ mit derselben Absicht die spezifischen Volumina der Kompositionen von Quecksilber und einigen Alkalimetallen. Es gelang ihm, diese physikalische Konstante innerhalb bestimmter und begrenzter Temperaturintervalle als lineare Funktion der Zusammensetzung der Legierung darzustellen, wodurch ein aus mehreren geraden Stücken bestehender Kurvenzug erhalten wurde. Eine einfache Rechnung ergab, welchen molekularen Verhältnissen zwischen Quecksilber und dem anderen Bestandteil die Schnittpunkte (Knicke) je zweier aneinander stoßender Geraden der Volumkurve entsprach. So machte Maey die Existenz folgender Amalgame wahrscheinlich:



Diese Methode ist beachtenswert, weil sie gestattet, alkalireiche Amalgame unter gewöhnlichen Verhältnissen der Temperatur zu untersuchen. In der Auffassung der Konstitution der Amalgame teilt Maey die Ansicht Kerps, indem er die Amalgame ebenfalls mit den Salzhydraten vergleicht.

Ferner sei die

d) Untersuchung von Kurnakow erwähnt¹¹⁹⁾, welcher die Schmelztemperaturen einer Reihe von Legierungen des K und Na mit Quecksilber unter-

suchte. Die erhaltenen Resultate wurden graphisch dargestellt (s. beisteh. Fig.), indem als Abszissen die Zusammensetzungen der Legierungen in Atomprozenten Hg, als Ordinaten die zugehörigen Schmelztemperaturen aufgetragen wurden. Es resultierten sowohl für die Kalium- als auch für die Natriumlegierung zwei aus mehreren einzelnen Zügen zusammengesetzte Kurvenbilder, welche beide durch ein ausgezeichnetes Temperaturmaximum charakterisiert waren. Die Na-Legierung hatte ein solches bei 346°, die K-Legierung bei 260,7°. Diesen entsprechen Verbindungen von der Formel NaHg_2 resp. KHg_2 . In diesem Maximalpunkte der Löslichkeitslinie treffen sich von links und rechts verlaufend zwei Kurven, welche einerseits die Schmelzpunktniedrigung des NaHg_2

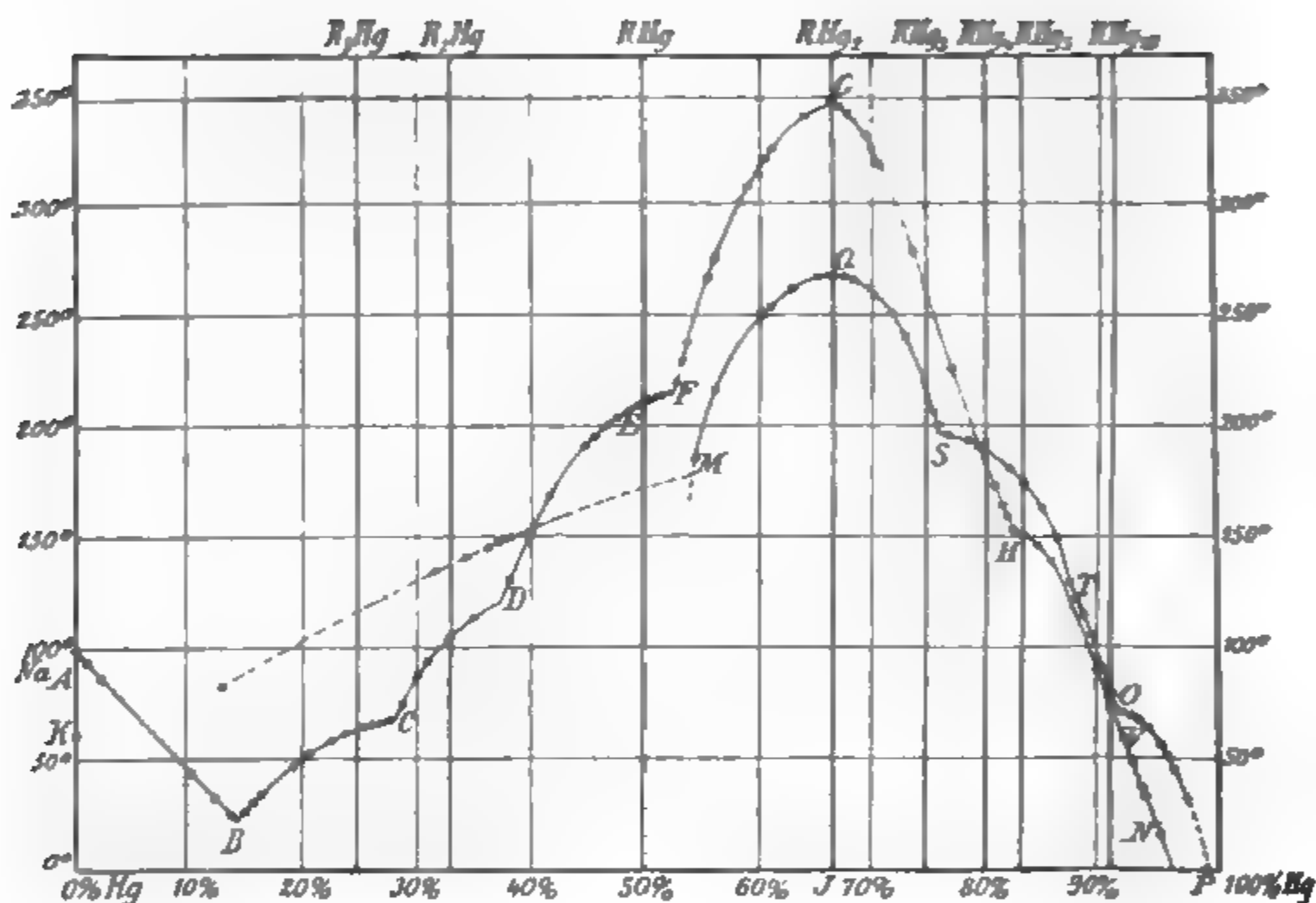


Fig. 2.

durch Zusatz von Na, andererseits durch Zusatz von Hg zum Ausdruck bringen.

Diesen letzteren beiden Linien schließen sich weiter links und rechts mehrere mit deutlichen Knicken ineinandergreifende Kurven an. Den Knicken entsprechen Übergangspunkte, aus deren Vorhandensein auf die Existenz bestimmter Verbindungen Na_xHg_y resp. K_xHg_y geschlossen wird.

Für die Na-Legierung wurden z. B. folgende Übergangspunkte (t) beobachtet, auf welche folgende Atomverhältnisse Na : Hg stimmen:

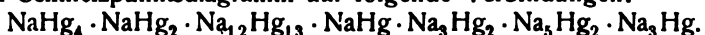
t:	21,25°	67°	209,7°	218°	246° (Max.)	155°
Na:Hg:	5,69:1	2,56:1	1,02:1	1:1,1	1:2	1:4,57

Kurnakow schließt aus seinen Untersuchungen auf das Vorhandensein folgender Amalgame:

Natrium	Kalium
$\text{NaHg}_n \quad n < 2,5$	
NaHg	KHg
$\text{NaHg}_n \quad 2 > n > 1$	
NaHg_2	KHg_2
$\text{NaHg}_n \quad 5 > n > 2 \quad (\text{NaHg}_3)$	$\text{KHg}_n \quad 3,28 > n > 1 \quad (\text{KHg}_3)$
$\text{NaHg}_6 \quad (\text{oder } \text{NaHg}_8)$	$\text{KHg}_n \quad 6,3 > n > 3,28 \quad (\text{KHg}_3 \text{ oder } \text{KHg}_6)$
	$\text{KHg}_n \quad 10,5 > n > 6,3 \quad (\text{KHg}_{10})$

Die Resultate der Untersuchungen von Kerp-Böttger, Maey und Kurnakow weichen in verschiedenen Punkten voneinander ab, was zum Teil durch die schon erwähnten der von Kerp-Böttger benutzten Methode anhaftenden Mängel bedingt wird.

Die Frage nach der Zusammensetzung der Natriumamalgame ist anscheinend durch eine Untersuchung Schüllers¹²⁰⁾ endgültig gelöst, welcher ebenfalls das Schmelzpunktsdiagramm der Na-Hg-Gemische genau untersuchte und dabei die von Tamman n ausgearbeitete Methode in Anwendung brachte. Die Resultate dieser Untersuchung, die hier nicht mehr ausführlich berücksichtigt werden konnte, stimmen im wesentlichen mit denen Kurnakows. Schüller, welcher durchwegs etwas höhere Schmelzpunkte erhalten, schließt aus dem Schmelzpunktsdiagramm auf folgende Verbindungen:



Kurnakows Untersuchungen sind von N. A. Puschin^{120a)} fortgesetzt und auf die Amalgame der Schwermetalle ausgedehnt worden, bei denen die Ergebnisse früherer Forschungen besonders widersprechend waren. Die Schmelzpunktskurven der Gemische des Quecksilbers mit Blei, Zinn, Wismut, Cadmium und Zink weisen insofern untereinander große Ähnlichkeit auf, als keine derselben charakteristische Maxima zeigte. Für die Systeme Hg-Zn und Hg-Bi wurden eutektische Punkte gefunden, Cd, Pb und Sn erniedrigen dagegen den Gefrierpunkt des Quecksilbers nicht, sondern scheiden sich schon oberhalb des Erstarrungspunktes desselben aus der flüssigen Phase aus, was früher schon von Tamman n¹¹²⁾ konstatiert worden ist. Von den eutektischen Punkten bezw. dem Gefrierpunkt des Quecksilbers verlaufen sämtliche Schmelzkurven fast geradlinig bis zum Erstarrungspunkt des anderen Metalls. Aus dem besonderen Verlauf der Kurven will der Autor folgern, daß Quecksilber mit Zink und Wismut mechanische Gemische, mit Cadmium, Blei und Zinn dagegen feste Lösungen bildet.

Die Hg-Cd-Kurve zeigte bei 63 Atomprozent Cd Andeutungen eines Wendepunktes, der konform mit der Untersuchung der Mikrostruktur der Stoffe als die Grenze des Ausscheidungsgebietes zweier polymorpher Modifikationen der Amalgame gedeutet wird.

Diese Schlüsse wurden bestätigt durch die Untersuchungen der EMK von Ketten, welche aus dem Metall A und der Legierung A + Hg als Elektroden, sowie der Salzlösung AX als Elektrolyt zusammengesetzt waren. Über derartige Messungen s. Laurie, Herschkowitsch.¹²¹⁾

Endlich waren auch durch die mikroskopische Untersuchung der Struktur der festen Legierungen keine Anhaltspunkte für die Existenz bestimmter chemischer Verbindungen zu erbringen. Das Gefüge der Legierungen war im allgemeinen dem der reinen Metalle ähnlich; Cd-Amalgame mit mehr als 63 Atomprozent Cd bilden kleine hexagonale Kristalle, solche mit weniger als 63 Atomprozent Cd blätterartige Gebilde.

Abseits von den bisher erwähnten Amalgamen steht infolge seines eigenartigen Charakters das Ammoniumamalgam, welches von Seebeck¹²²⁾ und gleichzeitig von Berzelius¹²³⁾ entdeckt und von letzterem mit Recht als die wesentlichste Stütze seiner Ammoniumtheorie angesehen worden. S. a. Davy, Gay-Lussac und Thénard.¹²⁴⁾ Über die Existenz des wirklichen Ammoniumamalgams $(\text{NH}_4)_x \text{Hg}_y$ und damit über die Metallnatur des Radikals NH_4 wurden früher häufig Zweifel laut, s. Landolt^{124a)}, die aber jetzt als endgültig beseitigt betrachtet werden können.

Das Amalgam bildet sich durch Elektrolyse von wässrigem Ammoniak oder besser von wässrigen Lösungen der NH_4 -Salze unter Benutzung einer Quecksilberkathode oder durch Zersetzung eines Ammoniumsalzes durch verschiedene Amalgame (K, Na, Ba usw.), wobei sich das Quecksilber resp. das Alkaliamalgam stark aufbläht.

Das Ammoniumamalgam bildet eine butterweiche, schwammige Masse von der Farbe des Quecksilbers. Bei gewöhnlicher Temperatur ist es höchst unbeständig, das unter starker Abkühlung dargestellte Amalgam ist etwas haltbarer, doch tritt selbst bei sehr niedriger Temperatur langsamer Zerfall in Quecksilber, Ammoniak und Wasserstoff ein, und zwar ist das Volumverhältnis der sich entwickelnden Gase NH_3 und H_2 wie 2 : 1, was der Zersetzung des Radikals NH_4 ($2\text{NH}_4 = 2\text{NH}_3$ (2 Vol) + H_2 (1 Vol)) entspricht. Überlegt man weiter, daß weder Ammoniak noch Wasserstoff für sich in Quecksilber merklich löslich sind und daß die Eigenschaften des neuen Körpers völlig von denen der Komponenten abweichen, so darf man diese Umstände schon als beweisend für die Existenz eines Ammoniumamalgams $(\text{NH}_4)_x \text{Hg}_y$ ansehen.

Der Beweis für die metallische Natur des in Quecksilber gelösten Komplexes NH_4 gelang u. a. A. Coehn¹²⁵⁾ durch einfache Versuche. War wirklich jenes Radikal ein zusammengesetztes Alkalimetall, so sollte das Ammoniumamalgam analog dem Kalium- oder Natriumamalgam aus Schwermetallsalzen das Metall ausfällen. Dieser Versuch wurde mit Ammoniumamalgam und Kupfersulfatlösung schon von Landolt (l. c.) jedoch mit negativem Erfolg angestellt, was ihn zu obigen Zweifeln über die Natur des Ammoniums veranlaßte. Coehn zeigte nun, daß allerdings bei gewöhnlicher Temperatur die Zerfallstendenz des Ammoniumamalgams so groß ist, daß dasselbe keine Reduktionswirkung ausüben kann, daß aber Ammoniumamalgam aus CuSO_4 -Lösung das Kupfer ausfällt, wenn das unter starker Abkühlung dargestellte Amalgam in die ebenfalls abgekühlte Lösung eingebracht wird.

Um dem Einwand zu begegnen, daß bei diesem Versuche etwa der unter starkem Druck austretende Wasserstoff die Reduktion des Kupfersalzes bewirkt habe, wies Coehn experimentell nach, daß durch Ammoniumamalgam auch solche Metalle aus ihren Salzlösungen gefällt werden, welche durch Wasserstoff nicht reduzierbar sind, z. B. Cadmium und Zink.

Zu demselben Resultat hinsichtlich der Natur des Ammoniumamalgams war schon früher Le Blanc¹²⁶⁾ gekommen, durch Untersuchung der bei der Elektrolyse von NH_4 -Salzen mittels Hg-Elektroden auftretenden Polarisationsspannungen. Es ergab sich nämlich, daß Ammoniumamalgam gegen wässrige Lösungen elektrische Differenzen von solcher Größe besitzt, wie sie nur die Alkaliamalgame aufweisen (vergl. hierzu Coehn, l. c.).

Darstellung der Amalgame. Die Darstellung der Amalgame geschieht im wesentlichen auf drei verschiedenen Wegen.

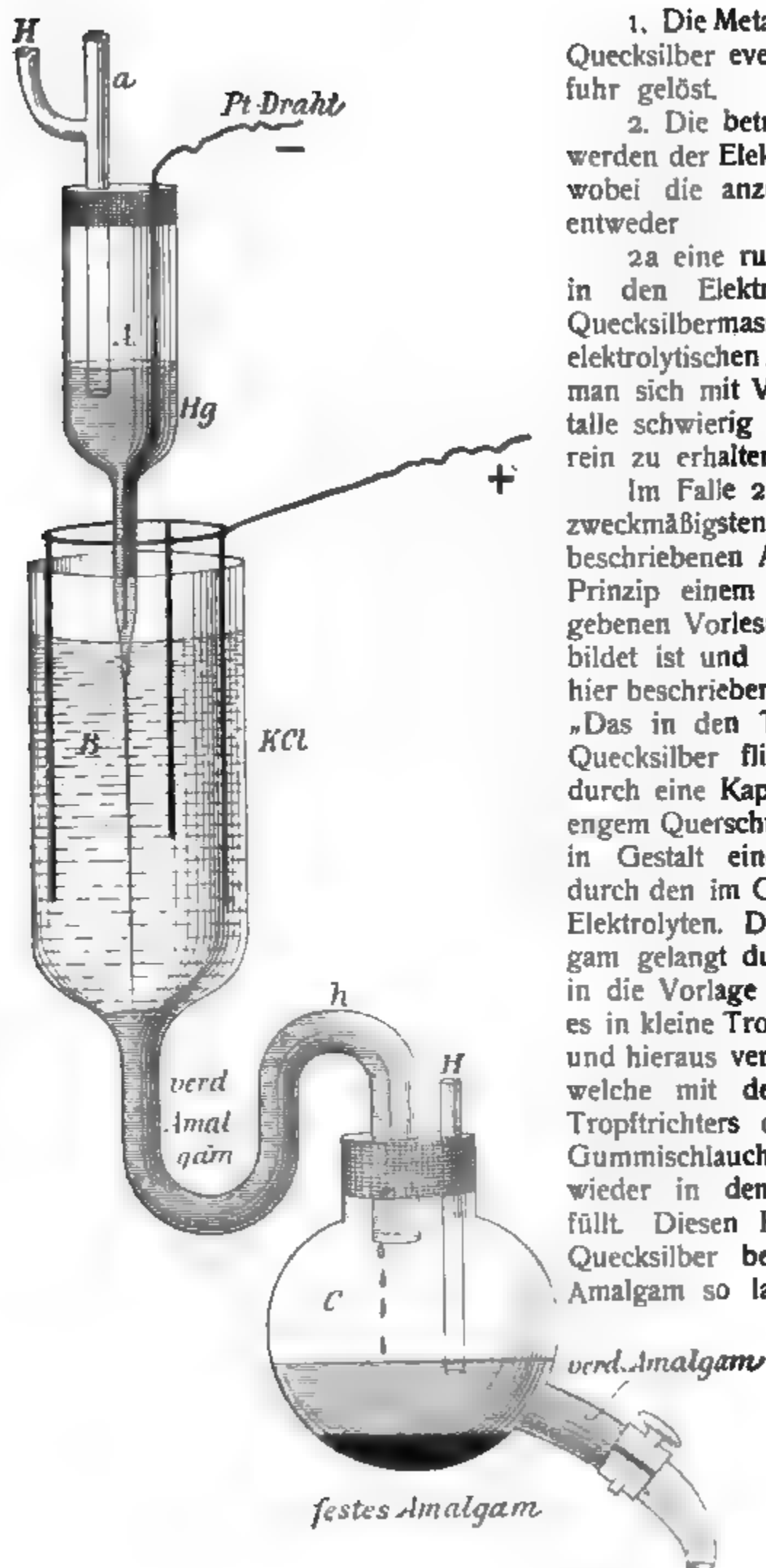


Fig. 3.

1. Die Metalle werden einfach in Quecksilber event. unter Wärmezufuhr gelöst.

2. Die betreffenden Metallsalze werden der Elektrolyse unterworfen, wobei die anzuwendende Kathode entweder

2a eine ruhende oder 2b eine in den Elektrolyten abtropfende Quecksilbermasse sein kann. Der elektrolytischen Abscheidung bedient man sich mit Vorteil, wenn die Metalle schwierig im freien Zustande rein zu erhalten sind.

Im Falle 2b benutzt man am zweckmäßigsten den von Kerp¹²⁷⁾ beschriebenen Apparat, welcher im Prinzip einem von Nernst angegebenen Vorlesungsapparat nachgebildet ist und welcher als wichtig hier beschrieben sei (s. beisteh. Fig.). „Das in den Trichter A gegebene Quecksilber fließt aus demselben durch eine Kapillare von möglichst engem Querschnitt — $\frac{1}{2}$ —1 mm — in Gestalt eines dünnen Fadens durch den im Gefäß B befindlichen Elektrolyten. Das entstandene Amalgam gelangt durch das Abflußrohr in die Vorlage C. Aus dieser wird es in kleine Tropftrichter abgezogen und hieraus vermittle der Röhre a, welche mit dem Abflußrohr des Tropftrichters durch einen kurzen Gummischlauch verbunden wird, wieder in den Trichter A eingefüllt. Diesen Kreislauf macht das Quecksilber bzw. das verdünnte Amalgam so lange, bis es wegen

seiner Konsistenz nur mehr in einzelnen Tropfen aus dem Trichter A, welcher inzwischen mit anderen von immer größeren Querschnitten der Rohrmündung vertauscht worden ist, herauskommt oder

bis die Wasserstoffentwicklung an dem durchfließenden Quecksilberflächen zu groß wird. Es ist daher zweckmäßig, das Quecksilber recht schnell hintereinander aufzugeben, damit der Elektrolyt durch die energische Zersetzung warm wird und das durchfließende Amalgam durch die erhöhte Temperatur möglichst lange dünnflüssig gehalten wird. In dem Maße, wie das Amalgam konzentrierter wird, setzt es in der Vorlage C festes Amalgam ab.* — „Damit das Amalgam durch Oxydation nicht leidet, wird sowohl in den Trichter A, wie in die Vorlage C und ebenso in die zum Transport des Amalgams von C nach A gebrauchten Tropftrichter während der ganzen Versuchsdauer gut getrockneter Wasserstoff eingeleitet. Die Kathode besteht aus einem Platindraht, welcher in das Quecksilber des Trichters A möglichst tief eintaucht, die Anode aus dünnen Kohlestäbchen, welche mit einem Ring von Kupferdraht verbunden sind.“ — „Die Krümmung des Abflußrohres von B ist so zu bemessen, daß das höchste Niveau desselben bei h etwas unter der Verengung des Elektrolyiergefäßes B bleibt.“

Von W. Kettembeil^{127a)} sind neuerdings systematische Versuche angestellt worden, welche Metalle durch Elektrolyse aus ihren Salzlösungen an Quecksilber abgeschieden werden können. Er teilt die Metalle darnach in 3 Gruppen ein:

a) Bei den Metallen der beiden ersten Gruppen des periodischen Systems wird die Lösungstension derartig erniedrigt, daß die Abscheidung der Amalgame aus wässriger Lösung gelingt. Einen Übergang dieser Klasse zur nächsten bilden Mg und Be, deren Amalgame zwar aus wässrigen Lösungen gebildet werden, aber sehr unbeständig sind.

β) Die drei- und vierwertigen Metalle der 3. und 4. Gruppe des periodischen Systems bilden in wässriger Lösung keine Amalgame (auch Zirkonium). Die zweiwertigen Metalle dieser Gruppen schließen sich der ersten Klasse an.

γ) Bei den übrigen Metallen erfolgt die Abscheidung an Quecksilber stets, doch haben diese Metalle (Fe, Co, Ni, Pt) nur geringe Löslichkeit in Quecksilber.

3. In manchen Fällen wird man zur Darstellung der Amalgame von dem Amalgam eines Metalls mit grosser Lösungstension ausgehen (Na, Zn) und dieses auf die zu reduzierenden Metallsalze, z. B. Kupfersulfat, einwirken lassen.

Es folgt jetzt eine Beschreibung der einzelnen Amalgame.

Lithiumamalgam wird nach Kerp¹¹⁴⁾ durch Elektrolyse einer Li Cl-Lösung mit tropfender Hg-Kathode dargestellt. Der Elektrolyt besteht aus einer gesättigten Li Cl-Lösung. Läßt man 1 kg Quecksilber bei 14–16 Volt Spannung etwa 100mal den Apparat passieren, so erhält man ein Amalgam, welches beim Abkühlen auf 0° 40–50 g festes Amalgam abscheidet. Letzteres kristallisiert in großen silberglänzenden Nadeln, die der Formel Li Hg_3 entsprechend zusammengesetzt sind. Dieselbe Zusammensetzung fanden Guntz und Feré¹²⁸⁾, die das Amalgam durch Elektrolyse einer gesättigten Lösung von harnsaurem Lithium darstellten. Der Schmelzpunkt liegt oberhalb 100°; bei 125° zerfällt das Amalgam in einen schwer beweglichen Kristallbrei, erst oberhalb 165° tritt völlige Schmelzung ein.

Nach Kerp und Böttger ist Li Hg_3 zwischen 0 und 100 die einzige beständige Phase, wie aus folgender Tabelle der Löslichkeiten hervorgeht.

Temperatur	Prozente Li gefunden		berechnet für
	im flüssigen Amalgam	im festen Amalgam	
0°	0,04	0,70	Li Hg ₅ 0,70 Proz. Li
64,5°	0,10	0,69	
81°	0,11	0,69	
99,8°	0,13	0,69	

Über die Existenz der Amalgame Li Hg₃ Li Hg und Li₃ Hg s. E. Maey.¹¹⁹⁾

Die spez. Volumina der Hg-Li-Amalgame sind nach Maey (l. c.) folgende (p: Prozentgehalt an Li, v: spez. Volumen in ccm):

p	v	p	v
0,0301	0,07407	1,299	0,08191
0,0316	0,07407	1,535	0,08427
0,464	0,07566	2,166	0,09153
0,503	0,07613	3,63	0,10771
0,546	0,07602	3,92	0,11100
0,591	0,07673	8,39	0,16540
0,800	0,07775	9,50	0,17834
0,946	0,07881	11,03	0,1988
		19,58	0,3395

Natriumamalgam. Ältere Lit.: Gay-Lussac und Thénard¹²⁹⁾, Mühlhäuser¹³⁰⁾, Böttger¹³¹⁾, Lampadius¹³²⁾, de Souza.¹³³⁾

Dieses für organisch-chemische Zwecke wichtige Reduktionsmittel wird durch Zusammenschmelzen der beiden Metalle bei etwas erhöhter Temperatur dargestellt, wobei die Vereinigung der beiden Stoffe unter Zischen und Feuererscheinung erfolgt.¹³⁴⁾ Bei ca. 1 Tl. Na auf 100 Tle. Hg ist das Amalgam dickflüssig, bei 80 Tln. Hg auf 1 Tl. Na breiartig, bei einer kleinen Menge Quecksilber wird es starr und kristallinisch. Die chemische Verbindung Na Hg₆ gewinnt man nach Kraut und Popp¹⁰³⁾, indem man ein 3prozentiges Amalgam unter Wasser oder einer Lösung von Na OH oder Na₂CO₃ stehen läßt. Na Hg₆ stellt lange silberglänzende Nadeln dar, welche bereits bei 39° zu einem Kristallbrei zerfallen, bei 58° vollständig schmelzen. Bei ca. 40—42° wandelt sich das Amalgam Na Hg₆ in Na Hg₅ um, welches äußerlich dem ersteren sehr ähnelt. Na Hg₅ ist mit seiner Hg-Lösung bis oberhalb 100° als feste Phase existenzfähig; bei ca. 160° scheint es sich zu zersetzen (Kerp).

(Die Tabelle der Löslichkeitsbestimmungen siehe nächste Seite oben.)

Das flüssige Amalgam wird durch Wasser und wässrige Lösungen von Natriumsalzen und Natriumhydroxyd sehr langsam zersetzt, was wohl dahin zu deuten ist, daß die chemischen Verbindungen Na Hg₆ und Na Hg₅ eine weit geringere Lösungstension besitzen als freies Natrium. Die Lösungsgeschwindigkeit des verdünnten Na-Amalgams (ca. 6,7 Proz. Na enthaltend) in verdünnter Natronlauge wird bedeutend, bis zur stürmischen Wasserstoffentwicklung, erhöht, wenn man der Natronlauge eine geringe Menge Zinksulfat- oder Bleiacetatlösung zusetzt, ein Vorgang, der vielleicht auf katalytische Ursachen zurückzuführen ist.

Löslichkeitsbestimmungen beim Na-Amalgam (Fery und Böttger).

Temperatur	Prozent Na gefunden im		Feste Phase	Löslichkeit in Quecksilber Proz. Na
	flüssigen Amalgam	fester Amalgam		
5 ¹	0.54	1.75		0.54
25 ¹	0.65	1.75		0.65
30	0.67	1.83	für NaHg ₂	1.68
35	0.70	1.77	ber. 1.88 ¹	0.71
37.7	0.71	1.74	Na	0.71
39.9	0.72	1.74		0.72
40	0.72	—		0.72
40.5	0.72	1.74		0.72
		1.68		
42	0.72	1.66		0.73
45.3	0.73	2.07		0.74
50	0.74	2.00		0.75
56.7	0.79	2.16		0.80
64.9	0.85	2.16	für NaHg ₃	0.86
81	0.92	2.04	ber. 2.25 ¹	0.93
90.4	0.99	2.15	Na	1.00
99.8	1.10	2.15		1.11
124	1.47	2.21		1.49
139	1.69	2.28		1.72
161	2.01	2.33		2.05

Die Bildungswärmen für Na-Amalgam sind nach Berthelot (vergl. S. 557).
Quecksilber auf 1 Natrium Bildungswärme i. K. Zustand

25	188	flüssig
13.5	189	breiig
6.0	211	fest
4.55	211	"
2.30	180	"
2.0	178	"
1.04	103	"

Über Na Hg₂, Na Hg, Na Hg₃ vergl. Kurnakow¹³⁵), s. auch die Kurve, s. 576.

Über andere Amalgame, deren chemische Individualität noch nicht sicher feststeht, wie Na Hg, s. Guntz und Féréé.¹³⁶)

Die spezifischen Volumina der Hg-Na-Legierungen resp. Amalgame sind nach Maey (l. c.) aus folgender Tabelle zu ersehen (s. S. 575).

p	v	p	v
0,103	0,07436	5,82	0,1031
0,260	0,07524	6,90	0,1109
0,292	0,07540	8,00	0,1198
0,597	0,07713	9,60	0,1314
0,620	0,07716	9,67	0,1324
1,021	0,07878	11,50	0,1485

p	v	p	v
1,360	0,07952	17,51	0,2013
1,507	0,08038	24,30	0,2610
1,755	0,08117	27,15	0,2865
1,828	0,08151	27,25	0,2872
1,900	0,08168	30,57	0,3207
2,63	0,08545	34,33	0,3594
3,20	0,08834	39,50	0,4132
3,32	0,08940		
4,85	0,09752		
5,08	0,0990		

Die Schmelztemperaturen der Hg-Na-Systeme sind nach Kurnakow (l. c.) folgende (vergl. hierzu die Kurve von S. 576):

Atomprozent Na	Schmelzpunkt	
100	96,45°	
99,27	91,95	
98,11	87,65	
89,30	44,90	
87,34	32,4	
85,54	23,4	
85,05	21,25	Eutektisches Gemisch (B)
84,43	25,15	sechseckige plattenförmige Kristalle.
83,77	30,0	
82,80	33,65	
80,46	47,0	
78,73	53,5	
77,13	59,3	
75,70	62,6	
74,06	65,0	
73,52	65,5	
73,06	66,0	
72,31	66,3	
71,90	67,0	Übergangspunkt (C)
71,10	75,0	oktaedrische körnige Kristalle
69,95	85,8	
68,80	92,1	
66,54	105,5	
64,43	114,6	
61,68	129,9	
60,80	152,2	
58,09	169,7	
54,93	194,4	
54,14	198,5	
53,43	201,2	
52,59	204,8	
51,78	207,4	
50,92	209,0	
50,60	209,7	

50,23	210,8	
49,64	212,7	
49,07	215,0	
48,50	216,2	
47,92	217,5	
47,60	218,0	Übergangspunkt (F)
47,38	221,0	
46,86	229,9	
46,31	238,0	
44,25	269,0	
43,76	276,5	
41,94	302,0	
38,93	324,0	
35,91	341,0	
33,26	346,0	Na Hg ₂
32,79	345,9	
32,43	345,8	
31,29	339,5	
30,41	330,5	
30,11	328,0	
26,01	281,0	
19,38	172,5	
18,45	160,0	
17,95	155,0	Übergangspunkt H
17,27	151,8	
16,95	149,5	
16,24	145,9	
13,80	126,4	
13,18	120,5	
11,66	91,0	
8,65	61,0	
6,33	37,0	
4,97	16,45	

Die Abhängigkeit der elektrischen Potentiale der Na-Amalgame von der Amalgamkonzentration ist eingehend von Haber und Sack^{136a)} (vergl. Sack^{136b)} und Kettem beil^{127a)} gemessen. Als Elektrolyt diente eine methylalkoholische Chlorlithiumlösung, Temp. — 80°. Die Potentiale sind bezogen auf die Elektrode: Hg Hg₂O n-KOH,

‰ Na im Amalgam	Potential	‰ Na im Amalgam	Potential
1,78	0,45	2,45	1,46
1,82	0,47	2,55	1,66
Hg ₆ Na 1,83		2,76	1,65
2,03	0,6 bis 0,8	2,77	1,89
2,1	0,7 bis 1,1	Hg ₄ Na 2,8	
2,22	1,22	2,94	1,70
Hg ₅ Na 2,25			
2,26	0,6 bis 1,44	3,34 bis 15	1,8 bis 2,05.

Über 2,3 ‰ Na sind die Amalgame unedel, unter 1,8 ‰ Na sind sie etwa so edel wie Quecksilber, dazwischen werden die Potentialwerte undefiniert.

Die natriumarmen Amalgame unter 1,8 % sind bei gewöhnlicher Temperatur um etwa 1,5 Volt unedler als in der Kälte.

Kallumamalgam. Ältere Lit.: H. Davy; Böttger¹³⁷⁾, Crookewitt.¹³⁸⁾ Kalium verbindet sich mit Quecksilber schon bei gewöhnlicher Temperatur und kann daher durch Zusammenschmelzen erhalten werden. Um so ein Amalgam von bestimmter Zusammensetzung zu erhalten, verfährt man zweckmäßig nach der von Reuter gegebenen Vorschrift.^{139b)} Kerp stellt dasselbe in ebenfalls einfacher Weise mit seinem S. 579 beschriebenen Apparate her. Bei 8—10 Volt lassen sich 1000 g Quecksilber in 4—5 Stunden, während deren das verdünnte Amalgam den Elektrolyt etwa 150mal passiert, etwa in 800 g 0,45proz. flüssiges und 200 g 1,5proz. festes Amalgam überführen.

Bei 100—140 Teilen Hg ist das Amalgam hart, bei 180 Teilen bröcklich, bei 200 Teilen Hg flüssig.

Die Verbindung(?) KHg_{12} wird nach Kraut und Popp (l. c.) erhalten, indem man 3proz. Natriumamalgam unter einer Lösung von KOH oder K_2CO_3 stehen läßt: in der Verbindung mit Hg erweist sich demnach das Natrium bei diesen Konzentrationen unedler als das Kalium. Über diese Reaktion, welche auch umkehrbar ist s. Kettembeil.^{127a)}

Nach Kerp und Böttger¹¹⁴⁾ kristallisiert aus den Lösungen des Kaliums in Quecksilber unter 0° das Amalgam KHg_{14} aus, welches jedoch außerordentlich unbeständig ist und schon durch Druck, z. B. beim Zerdücken der Kristalle auf dem Filter mit einem Pistill, in das K-reichere Amalgam KHg_{12} übergeht. Der Umwandlungspunkt letzterer Reaktion liegt bei ca. 0°. Aus der folgenden der Arbeit von Kerp und Böttger entnommenen Tabelle sind die Löslichkeiten des Metalls in Quecksilber sowie die bei den verschiedenen Temperaturen existenzfähigen Amalgame zu ersehen.

Löslichkeitsbestimmungen beim K-Amalgam.

Temperatur	Proz. K gefunden im		Feste Phase	Löslichkeit in Quecksilber Proz. K
	flüss. Amalg.	festen Amalg.		
0°	0,31	1,56	$\text{KHg} (?)$ ber. 1,60 Proz. K	0,31
20°	0,47	1,55		0,48
25°	0,53	1,55		0,54
30°	0,56	1,57		0,56
45,8	0,80	1,57		0,80
56,1	0,88	1,59		0,89
60	1,02	1,58		1,03
65	1,23	1,61	KHg_{10} 1,91 Proz. K	1,25
71	1,41	1,61		1,43
73,5	1,64	1,86		1,67
74	1,71	1,88		1,74
75	1,85	2,05		1,88
81	1,89	2,16		1,93
90	2,01	2,43		2,05
99,8	2,08	2,39		2,12

Das Amalgam KHg_{12} stellt harte glänzende Würfel mit Rhombendodekaeder und einzelnen Oktaederflächen dar. Auch KHg_{10} wird von Kerp als chemisches Individuum angesehen; es bildet kleine metallglänzende Würfel. Aus der Tabelle ist ersichtlich, daß oberhalb 75° der Bodenkörper nicht mehr nach einfachen Verhältnissen zusammengesetzt ist.

KHg_2 ist wie NaHg_2 durch einen hohen Schmelzpunkt ausgezeichnet. Über die Existenz anderer Amalgame siehe die allgemeinen Bemerkungen S. 577 und die Arbeiten Kurnakows, Maey's und besonders Schüllers. Spez. Volumina der KHg -Legierungen nach Maey.

p	v	p	v
0,184	0,07479	6,17	0,1068
0,378	0,07584	7,77	0,1183
0,950	0,07747	8,44	0,1222
1,162	0,07832	9,35	0,1290
1,310	0,07858	12,87	0,1561
1,611	0,07940	16,05	0,1823
1,96	0,08142	16,98	0,1929
2,82	0,08650	18,61	0,2111
4,27	0,09515		
5,14	0,10055		

Schmelzpunkte der K-Hg-Legierungen nach Kurnakow (vgl. die Kurve S. 576).

Atomprocente K	Schmelzpunkte
86,73	82,4
85,09	88,4
76,09	115,4
67,70	135,4
64,28	142,7
62,48	148,7
45,24	175,0
43,39	215,0
39,04	251,5
34,45	269,5
34,19	269,2
33,34	269,7 Punkt R
32,11	268,0
27,64	239,5
24,24	203,5
23,35	195,0 Übergangspunkt S
22,38	194,5
16,53	174,0
14,27	151,0
13,61	129,0 Übergangspunkt T
11,70	112,5
10,42	89,5
9,52	76,5
9,03	73,5

Atomprocente K	Schmelzpunkte
8,65	70,3 Übergangspunkt O
7,71	69,4
6,76	66,0
4,90	52,0

Den Messungen von Haber und Sack analoge Messungen von Elektrodenpotentialen an Kaliumamalgamen hat Reuter^{138a)} ausgeführt. Die Resultate sind denen der ersten Untersuchung analog. Unter den gleichen Versuchsbedingungen wurden folgende Werte erhalten

Atomproz. K im Amalgam	Gewichtsproz. K	Potential bezogen auf $H_2 \longrightarrow H^+ = 0$
Spur		— 0,14
7,55	1,57	+ 0,352
7,95	1,66	+ 0,417
8,40	1,76	+ 1,558
9,02	1,90	+ 1,670
11,3	2,42	+ 1,853
19,5	4,5	+ 2,45
27,9	7,6	+ 2,226
50,8	16,8	+ 2,334
83,6	49,9	+ 2,48
95,1	79,3	+ 2,6
98,9	94,4	+ 2,71
100	100	+ 3,035

Bei 7,7 Atomproz. K (entsprechend KHg_{12}) erleidet das Potential eine plötzliche Änderung. Legierungen mit mehr K als der Verbindung entsprechen, sind also unter den Versuchsbedingungen (— 80°) unedel, Legierungen mit weniger Kalium edel. Von Interesse ist ferner, daß geringe Mengen von Quecksilber das Potential des Kaliums stark herabdrücken, was übrigens auch für Natrium gilt.

Rubidiumamalgam wird nach Kerp und Böttger¹³⁹⁾ ohne Schwierigkeit durch Elektrolyse einer Chlorrubidiumlösung in dem Kerp'schen Apparat dargestellt. Das flüssige Amalgam setzte nach längeren Versuchen in einer Kältemischung Kristalle, gut ausgebildete, silberglänzende Würfel ab, welche die der Formel $RbHg_{12}$ entsprechende Zusammensetzung besaßen und dem analogen Kaliumamalgam außerordentlich glichen. Aus den Löslichkeitsbestimmungen ging hervor, daß dieses Amalgam schon bei 0° nicht mehr existenzfähig ist, sondern in Hg-ärmere Verbindungen zerfällt, so daß vorläufig — es stand nur wenig Amalgam zur Verfügung — nur die Existenz von $RbHg_{12}$ als hinlänglich sichergestellt betrachtet werden kann.

Löslichkeit des Rb in Quecksilber

	flüssigen Amalgam	festen Amalgam	ber. für $RbHg_{12}$
T = 0°	0,92	3,56	3,43 Proz. Rb
T = 25°	1,37	3,80	

Amalgame der Erdalkalimetalle. Die Beständigkeit der Amalgame sowie die Leichtigkeit ihrer Bildung nimmt in der Reihe der Erdalkalimetalle

mit steigendem Atomgewicht zu. Magnesium- und Calciumamalgam sind nach Kerp und Böttgers Erfahrungen schwer im Zustand der für die Löslichkeitsversuche erforderlichen Reinheit zu erhalten.

Wie A. Coehn und W. Kettembeil^{139a)} nachwiesen, erfolgt die elektrolytische Abscheidung der Erdalkalimetalle an Quecksilberkathoden bei Spannungen, die sich um mehrere Zehntel Volt voneinander unterscheiden. Aus einer gemischten BaCl_2 - SrCl_2 -Lösung läßt sich eine quantitative Trennung der Metalle durch Amalgambildung ausführen, falls man unterhalb der für das höher sich entladende Metall geltenden Spannung elektrolysiert.

Magnesiumamalgam wurde von Klauer¹⁴⁰⁾ durch die Einwirkung von Natriumamalgam auf eine Bittersalzlösung erhalten, eine nach dem späteren sehr zweifelhafte Angabe. Wanklyn und Chapman¹⁴¹⁾ stellten fest, daß oxydfreies Magnesium und Quecksilber sehr langsam in der Kälte, heftig jedoch beim Siedepunkt des Quecksilbers aufeinander einwirken. Das Amalgam ist sehr unbeständig, selbst bei einem Gehalte von 0,5 Proz. Mg verliert es an der Luft augenblicklich seinen Glanz. Wasser wird unter starker Erwärmung zersetzt.

Diese Reaktionsfähigkeit des Magnesiumamalgams wirkt um so über-raschender, als im allgemeinen, wie bei den Alkaliamalgamen erwähnt, der elektropositive Charakter der Metalle beim Lösen in Quecksilber verringert zu werden scheint.

Kerp und Böttger heben hervor, daß die Darstellung des Amalgams auf elektrolytischem Wege nicht gelang; sie stellten dasselbe durch Erhitzen von oxydfreiem Magnesiumband mit Quecksilber auf über 300° dar und konnten die von Wanklyn und Chapman gemachten Beobachtungen in bezug auf die Unbeständigkeit des Amalgams sowie die große Empfindlichkeit gegen Wasser und Luft bestätigen. Die Löslichkeit des Metalls in Quecksilber ist selbst bei der hohen Temperatur gering und beträgt etwa 1 Proz.; exakte Löslichkeitsbestimmungen scheiterten an den unangenehmen Eigenschaften des Stoffes.

Über ein durch Elektrolyse zu erhaltendes Berylliumamalgam s. Ramsay.^{141a)}

Calciumamalgam. Ältere Literatur: Berzelius und Pontin¹⁴²⁾, Klauer.¹⁴³⁾ Nach Ferée¹⁴⁴⁾ erhält man durch Elektrolyse von CaCl_2 eine verdünnte Lösung von Calcium in Quecksilber und daraus durch Abdestillieren des letzteren im Vakuum ein festes Amalgam von der Zusammensetzung Ca_3Hg_4 in Gestalt einer grauen, porösen Masse.

Schürger¹⁴⁵⁾ stellte ein gut kristallisierendes Amalgam dar, indem er 1 Teil Ca mit 20–22 Teilen Quecksilber in einer mit Kohlensäure gefüllten Röhre bei 200–220 zusammenschmolz und nachher langsam erkalten ließ. Das Amalgam stellt rhombische Säulen von der Zusammensetzung CaHg_3 dar und gleicht in seinen chemischen Eigenschaften dem Natriumamalgam. Es zersetzt Ammoniak und Phosphorwasserstoff bei höherer Temperatur. Bei ersterer Reaktion bilden sich anscheinend CaH_2 und Ca_3N_2 , bei letzterer entstehen Phosphorcalcium- und Quecksilberphosphid.

Strontiumamalgam. Ältere Literatur: Davy¹⁴²⁾, Böttger¹³⁷⁾, Franz.¹⁴⁶⁾ Nach Kerp und Böttger¹¹⁴⁾ zeigen die Lösungen des Strontiums und mehr noch die des Bariums in Quecksilber im hohen Grade die Eigenschaft, übersättigt zu bleiben. Die bei höherer Temperatur dargestellten Amalgame können bis auf 0° abgekühlt werden, ohne daß eine Ausscheidung

erfolgt. Wird ein Kristall des Amalgams eingesät, so beginnt die Abscheidung der festen Phase, vollzieht sich aber nur sehr langsam, so daß oft Tage nötig sind, bis sich der Gleichgewichtszustand völlig eingestellt hat. Auf diesen Umstand war bei den Löslichkeitsbestimmungen Rücksicht zu nehmen.

Nach Kerp wird das Amalgam in dem genannten Apparate durch Elektrolyse einer gesättigten SrCl_2 -Lösung bei einer Spannung von 8 Volt und 5 Amp. erhalten, wobei der Elektrolyt häufig zu erneuern ist.

Das isolierte Amalgam besitzt die Zusammensetzung SrHg_{12} und bildet überaus harte, silberglänzende Kristalle, welche bei 60° zu zerfallen beginnen und bei 70° vollständig geschmolzen sind. Gegen Luft und Feuchtigkeit sind die Kristalle äußerst empfindlich.

Für die Löslichkeitsversuche stellten Kerp und Böttger noch ein höherprozentiges Amalgam her, indem sie von dem vorigen Amalgam im Vakuum Quecksilber abdestillierten.

In einem Falle war das zurückbleibende Amalgam ca. 15proz.; was etwa der Formel Sr_2Hg_3 entsprechen würde. Dieser Körper zersetzt das Wasser stürmisch unter Aufzischen und oxydiert sich energisch unter starker Erhitzung. Das Amalgam SrHg_{12} ist etwa bis 30° als chemisches Individuum mit flüssigem Amalgam im Gleichgewicht; oberhalb dieser Temperatur scheint sowohl feste als flüssige Phase kontinuierlich ihre Zusammensetzung zu ändern, wie nachfolgende Tabelle im Detail zeigt.

Löslichkeitsbestimmungen beim Strontiumamalgam
(Kerp und Böttger)

Temperatur	Proz. Sr gefunden im		Feste Phase	Löslichkeit in Quecksilber Proz. Sr
	flüss. Amalg.	festen Amalg.		
0°	0,73	3,40	} SrHg_{12} ber. 3,51 Proz. Sr.	0,73
20°	1,02	3,33		1,04
30°	1,25	3,42		1,27
46°	1,33	3,98		1,35
56°	1,52	4,96		1,54
$64,5^\circ$	1,76	5,33		1,79
81°	—	5,37		—

Die von Guntz und Ferée¹⁴⁷⁾ beschriebenen Körper SrHg_{11} und SrHg_{14} sind nach Kerp und Böttger nicht als chemische Individuen zu betrachten.

Bariumamalgam. Ältere Literatur: Davy¹⁴⁸⁾, Bunsen¹⁴⁹⁾, Böttger¹³⁷⁾, Crookes.¹⁵⁰⁾

Bariumamalgam bildet sich nach Kerp¹¹³⁾ sehr leicht durch Elektrolyse einer gesättigten Chlorbariumlösung nach der gewöhnlichen Methode mit ruhender Hg-Kathode, wobei zweckmäßig ebenfalls der Elektrolyt häufig erneuert wird.

Es werden zwei Amalgame isoliert:

BaHg_{13} , welches etwa zwischen 0 und 30° beständig ist und meist als Konglomerat von silberglänzenden, würfelförmigen Kristallen erhalten wird, und

BaHg_{12} , das in schönen silberglänzenden Würfeln mit vielfach abgestumpften Ecken und Kanten auftritt. BaHg_{12} oxydiert sich an der Luft sehr

energisch, wird jedoch vom Wasser äußerst langsam zersetzt, siehe auch Guntz und Ferée.¹⁵³⁾

Die folgende Tabelle enthält die von Kerp und Böttger ermittelten Löslichkeitsverhältnisse des Bariumamalgams.

Löslichkeitsbestimmungen beim Bariumamalgam.

Temperatur	Proz. Ba gefunden im		Feste Phase	Löslichkeit in Quecksilber Proz. Ba
	flüss. Amalg.	festen Amalg.		
0°	0,15	4,60	BaHg ₁₃ ber. 5,00 Proz. Ba	0,15
20°	0,32	4,73		0,33
25°	0,34	4,95		0,34
27,6°	0,35	4,75		0,35
28,1°	0,36	4,77		0,37
29,2°	0,38	4,80		0,38
30°	0,43	5,21	BaHg ₁₂ ber. 5,39 Proz. Ba	0,43
		5,29		
35°	0,46	5,34		0,46
46°	0,52	5,23		0,52
56°	0,68	5,26		0,69
65°	0,83	5,26		0,84
81°	0,97	5,26		0,98
89,5°	1,06	5,26		1,07
99°	1,26	5,34		1,28

Das Amalgam BaHg₁₆, welches Guntz und Ferée¹⁵¹⁾ beschrieben haben, existiert nach Kerp und Böttger oberhalb 0° nicht.

Amalgame des Cu, Ag, Au. **Kupferamalgam** wird leicht erhalten, wenn man blankes, oxydfreies Metall zuerst mit einigen Tropfen Mercuronitratlösung verquicht und dann mit überschüssigem Quecksilber, etwa 3 Teilen, bei 60—70° zusammenreibt (Pettenkofer¹⁵²⁾). Sehr gut eignet sich hierzu das sogen. Gattermannsche Kupferpulver, welches man durch Reduktion von Kupfersulfatlösung mit Zinkstaub erhält.

Ferner erhält man das Amalgam durch Behandeln einer Kupfersulfatlösung mit verdünntem, etwa $\frac{1}{2}$ — $\frac{3}{4}$ proz. Natriumamalgam in der Kälte, wo die Bildung von Kupferoxydul so gut wie vollständig ausbleibt. H. Ley (unveröffentl. Beob.). Auch durch Elektrolyse einer Kupfersulfatlösung mit Quecksilberkathode ist die Legierung darstellbar.

Das Amalgam ist silberweiß bis hellrot. Das erwärmte Amalgam wird durch Reiben im Mörser weich und plastisch, nach einiger Zeit wieder fest und sehr hart, ohne daß es sein Volumen ändert.

Ein Amalgam CuHg soll durch Elektrolyse einer CuSO₄-Lösung unter bestimmten Bedingungen entstehen, s. darüber Grove¹⁵³⁾, Joule¹⁵⁴⁾, Schumann.¹⁵⁵⁾ Über weitere kristallisierte Amalgame s. Becquerel¹⁵⁶⁾, de Souza.¹⁵³⁾

Silberamalgam findet sich natürlich als Arguerit und Amalgam, beide im regulären System kristallisierend, aber meist nach wechselnden Verhältnissen zusammengesetzt. Für ersteres wird meist die Formel AgHg₁₂, für

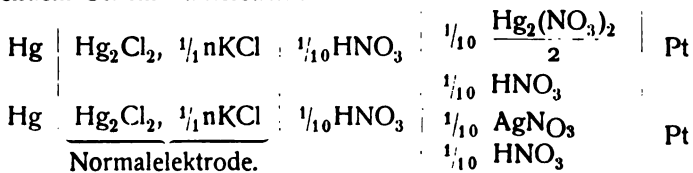
letzteres Ag_3Hg_4 angegeben. S. Domeyko und Berthier¹⁵⁷⁾, Klaproth¹⁵⁸⁾, Cordier.¹⁵⁹⁾

Die Vereinigung beider Metalle erfolgt leicht; so durch Erhitzen des Silbers mit Quecksilber beim Siedepunkt des letzteren oder durch Reduzieren von Silbernitratlösung mit Quecksilber (arbor Dianae), ferner beim Behandeln von Natriumamalgam mit Silbernitrat. Dumas¹⁶⁰⁾ erhielt ein schön kristallisiertes Amalgam durch Filtrieren von silberhaltigem Quecksilber nach 37jährigem Stehen. Die Analyse ergab für die Zusammensetzung des Amalgams die Formel Ag_2Hg_3 ; höchstwahrscheinlich handelt es sich um das von Ogg erhaltene Amalgam Ag_3Hg_4 , welches durch anhaftendes Quecksilber verunreinigt war.

Eingehende Versuche, die Zusammensetzung der Silberamalgame zu bestimmen, wurden von Ogg¹¹⁵⁾ unternommen. Ogg fand die Löslichkeit des Silbers im Quecksilber sehr gering. Zunächst wurde das bei der Reaktion zwischen Silbernitrat und Quecksilber (s. S. 553) erhaltene feste Amalgam vom überschüssigen Quecksilber durch Filtration durch Leder getrennt und der Analyse unterworfen. Letztere ergab das Verhältnis $\text{Ag} : \text{Hg} = 2 : 4,98$. Da jedoch das Amalgam sehr hartnäckig Quecksilber zurückhält, wurde die Zusammensetzung des Amalgams nach den indirekten, schon im allgemeinen Teil (S. 574 u. 575) erwähnten Methoden ermittelt. Dieselben ergaben mit Sicherheit die Existenz von Ag_3Hg_4 und AgHg . Die Bildungswärme für 1 Mol Ag_3Hg_4 wurde durch Untersuchung des Gleichgewichtszustands: $14\text{Hg} + 6\text{Ag} \rightleftharpoons 3\text{Hg}_2 + 2\text{Ag}_3\text{Hg}_4$ zu 7336 g-cal ermittelt (vergl. S. 558).

Ogg wies ferner nach, daß die Zersetzungsspannungen von Silber- und Mercuronitratlösungen sehr naheliegen und bei einer gewissen Konzentration (ca. $\frac{1}{10}$ äquiv.) einander gleich werden.

Aus einer gemischten Lösung von Mercur- und Silbernitrat scheiden sich beide Metalle als Amalgam ab, und zwar bei niedriger Spannung, als sie den reinen Metallen zukommt. Zum Nachweis dieser Tatsache wurden Ketten von folgendem Schema untersucht:



Die Ketten wurden eine Minute kurz geschlossen und darauf die E.M.K. gemessen. Der Strom fließt in der Kette von links nach rechts und schlägt das Hg resp. Ag auf dem Platin (Platinspitze) nieder. In der folgenden Tabelle sind die EMK der Silber- und der gemischten Silber-Quecksilberelektrode gegen die Normalelektrode verzeichnet.

AgNO_3 in $\frac{1}{10}\text{nHNO}_3$	Volt	$\frac{1}{23}\text{HgNO}_3$ in $\frac{1}{10}\text{HNO}_3$	Volt
$\frac{1}{293.4}$ norm.	0,3850	$\frac{1}{119.6}$ AgNO_3	0,4461
$\frac{1}{18.12}$ "	0,4178	" + $\frac{1}{227.6}$ "	0,4479
$\frac{1}{14.94}$ "	0,4386	" + $\frac{1}{64.43}$ "	0,4500
$\frac{1}{6.92}$ "	0,4611	" + $\frac{1}{16.02}$ "	0,4591
$\frac{1}{2.98}$ "	0,4813	" + $\frac{1}{9.46}$ "	0,4766
		" + $\frac{1}{5.26}$ "	0,4830
		" + $\frac{1}{3.92}$ "	0,4894
			0,4937

Ferner sind die EMK der Ag- sowie Ag-Hg-Elektrode, bezogen auf eine Wasserstoffelektrode = 0, wiedergegeben, wobei die an den Berührungsstellen der Säuren und Salzlösungen auftretenden EMK in Rechnung gezogen wurden. Für die H-Elektrode in normaler HCl wurde = 0,310 Volt angenommen (Neumann).

AgNO ₃ in $\frac{1}{10}$ HNO ₃	Volt	$\frac{1}{25}$ HgNO ₃ in $\frac{1}{10}$ HNO ₃	Volt
$\frac{1}{293,4}$ norm.	— 0,6776	" + $\frac{1}{418,6}$ AgNO ₃	— 0,7387
$\frac{1}{48,12}$ "	— 0,7104	" + $\frac{1}{227,3}$ "	— 0,7426
$\frac{1}{11,94}$ "	— 0,7312	" + $\frac{1}{64,43}$ "	— 0,7517
$\frac{1}{6,92}$ "	— 0,7537	" + $\frac{1}{16,02}$ "	— 0,7692
$\frac{1}{2,98}$ "	— 0,7740	" + $\frac{1}{9,46}$ "	— 0,7756
		" + $\frac{1}{5,26}$ "	— 0,7820
		" + $\frac{1}{3,32}$ "	— 0,7863

In der graphischen Darstellung (Abszisse: Verdünnungen des AgNO₃) bezieht sich die punktierte Linie auf den Fall, daß aus den Mischungen die reinen Metalle ausgeschieden werden. Die Betrachtung der Kurven läßt besonders deutlich ersehen, daß das Amalgam, da es bei niedriger Spannung ausgeschieden wird, ein edleres Metall ist als jedes seiner Bestandteile.

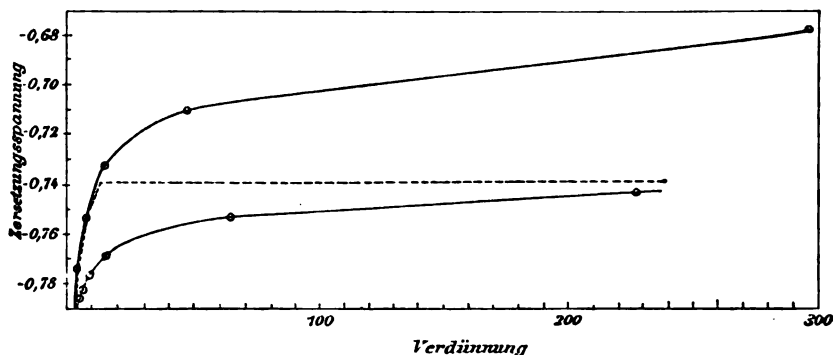


Fig. 4.

Über andere Amalgame, z. B. Ag₂Hg₄, deren Existenz aber noch nicht genügend sicher steht, s. Littleton^{160a}), Berthelot.^{160b})

Goldamalgam. Gold amalgamiert sich schon in der Kälte. Beim Erhitzen beider Metalle bis zum Kochen des Quecksilbers erfolgt sehr leicht die Bildung eines teigförmigen Amalgams, das bekanntlich zur heißen Vergoldung dient. Bei vorsichtigem Erhitzen des Amalgams bleibt das Gold meistens kristallinisch zurück.

Von chemischen Verbindungen(?) der beiden Metalle sind beschrieben: Au₈Hg, vierseitige glänzende Prismen, Henry¹⁶¹), Au₂Hg₃, Sonnenschein¹⁶²), AuHg₂, Crookewitt.¹⁶³)

Zink- und Cadmiumamalgam. Die dem Quecksilber in mancher Hinsicht nahe stehenden Metalle Zink und Cadmium lösen sich beträchtlich leichter in Quecksilber als die übrigen Schwermetalle und diese kristallisierten Amalgame besitzen eine weit größere Metallkonzentration als die bis jetzt aufgeführten.

Zinkamalgam. Ältere Literatur: Regnault¹⁶⁴), Damour¹⁶⁵), Bischof.¹⁶⁶) Die Vereinigung beider Metalle erfolgt schon in der Kälte, rascher beim Erwärmen. Die Darstellung des Amalgams geschieht nach Kerp und Böttger¹¹⁹) am besten durch Elektrolyse einer gesättigten Zinksulfatlösung mit Quecksilber als Kathode. Das so gewonnene Amalgam stellt eine silberweiße, dickflüssige, mit harten Kristallen durchsetzte Masse dar, welche sich an der Luft nicht verändert und von verdünnter Salzsäure nur langsam angegriffen wird. Aus der folgenden von Kerp und Böttger mitgeteilten Tabelle

Löslichkeitsbestimmungen bei Zinkamalgam

Temperatur	Konzentration der flüssigen Amalgame Proz. Zn	Löslichkeit in Quecksilber Proz. Zn
0°	1,59	1,62
25°	2,10	2,15
46,5°	2,94	3,03
56°	3,09	3,20
64,5°	3,33	3,44
81,5°	4,87	5,12

geht hervor, daß die Löslichkeit des Zinks im Quecksilber bis zur Temperatur 81,5° stetig ansteigt. Bei 89,5° und 99° wurden dagegen für die Löslichkeit geringere Werte gefunden als bei 81,5°. Die Analysen der bei den verschiedenen Temperaturen beständigen Bodenkörper ergaben überaus regellose Zahlen, was sich teilweise daraus erklärt, daß die festen Amalgame äußerst hartnäckig die Mutterlauge zurückhalten, so daß eine saubere Trennung mit Schwierigkeiten verknüpft ist. Vorläufig lassen sich die von Kerp und Böttger erhaltenen Zahlen noch nicht weiter verwerten.

Die Schmelzpunkte, d. h. die Temperaturen der beginnenden Kristallisation, der Zn-Hg-Legierungen sind nach Puschin (s. S. 577) folgende:

Atomproz. Hg	Schmelzpunkt
5,1	396
15,1	354
20,4	334
25,0	317
33,3	285 (die Leg. erstarrt vollständig unter 200°)
40,0	262,3
56,8	196,7 (die Leg. erstarrt vollständig unter 100°)
66,6	155,0
71,4	134,8 (die Leg. erstarrt vollständig unter 70°)
82,0	88,25
87,4	51,5
97,4	ca. —41,5

Der eutektische Punkt (ca. 4 Atomproz. Zn) liegt bei —42,5°.

Cadmiumamalgam. Ältere Literatur: Gangoin¹⁶⁷), Wood.¹⁶⁸) Cadmium löst sich in Quecksilber schon bei gewöhnlicher Temperatur unter beträchtlicher Wärmeabsorption.

Außer auf diesem direkten Wege kann das Amalgam auch durch Einwirkung von Natriumamalgam auf Cadmiumsulfat oder durch Elektrolyse einer gesättigten Cadmiumsulfatlösung gewonnen werden. Das so erhaltene körnig-kristallinische, silberglänzende und luftbeständige Amalgam besitzt annähernd die der Formel Cd_2Hg_7 entsprechende Zusammensetzung; wie die Zinklegierung hält es die Mutterlauge hartnäckig zurück. Wird bei der Darstellung des Amalgams mit einem stärkeren Strome bis zum Sieden der Lösung elektrolysiert, so erhält man ein bedeutend konzentrierteres Amalgam, welches sich in drei Schichten absondert, die einen verschiedenen Prozentgehalt an Metall aufweisen (Kerp und Böttger¹¹⁹). Die Lösungen des Cadmiums bleiben beim Abkühlen längere Zeit übersättigt.

(Die Tabelle über Löslichkeit des Cadmiums in Quecksilber nach Kerp und Böttger siehe nächste Seite oben.)

Die Annahme Kerps, daß Quecksilber mit Cadmium eine bestimmte chemische Verbindung Cd_2Hg_7 mit abgegrenztem Beständigkeitsintervall bilde,

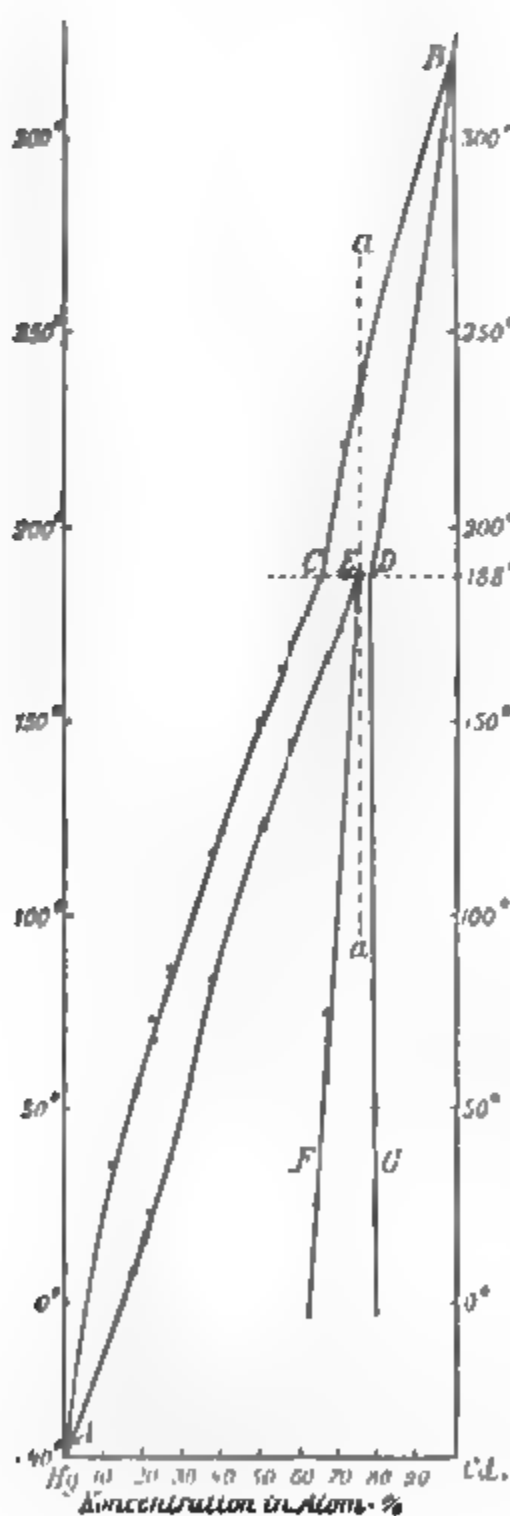


Fig. 5.

hat sich zufolge neuerer Untersuchungen von Puschin und Biyl¹⁶⁹) als nicht richtig erwiesen, von denen besonders letzterer die Erstarrungsfigur der Cadmium-Quecksilber-Legierungen durch sorgfältige Messungen klar gestellt hat. Da diese Untersuchung für die Theorie des Cadmiumelements von Bedeutung ist, möge sie hier etwas genauer besprochen werden. Darnach bilden Quecksilber und Cadmium zwei Reihen von Mischkristallen, welche eine Lücke einschließen. In dem beistehenden Diagramm bedeuten AC und CB die thermometrisch und dilatometrisch ermittelten Anfangserstarrungspunkte der flüssigen Gemische mit dem Knickpunkt C bei 188° . AE und BD geben die dilatometrisch gefundenen Enderstarrungspunkte der Legierungen. Alle flüssigen Mischungen längs AC sind koexistent mit festen Mischungen, deren Cadmiumkonzentrationen durch die entsprechenden Punkte der Linie AD dargestellt werden; das gleiche gilt von den flüssigen und festen Gemischen längs CB und BD. Im Punkte C, bei 188° , können hingegen mit dem flüssigen Gemisch zwei Arten von Mischkristallen von der Konzentration D und E mit etwa 75 und 77° Cadmium im Gleichgewicht sein, hier ist also eine Lücke zwischen den beiden Mischungsreihen vorhanden. Durch Bestimmung der EMK von Ketten (s. Fig. 6):

Cd-Amalgam	765,4 g CdSO_4	Cd-Amalgam
variabl. Zu-	$\frac{8}{3} \text{H}_2\text{O}$	12,04 Atom-
sammensetzung	auf 1 Liter	proz. Cd

wurde konstatiert, daß auch bei niederen Temperaturen ein Entmischungsgebiet besteht, das

Löslichkeit des Cadmiums in Quecksilber nach Kerp und Böttger (l. c.).

Temperatur	Konzentration der flüssigen Amalgame Proz. Cd	Löslichkeit in Quecksilber Proz. Cd
0°	3,17	3,27
25°	5,58	5,91
35°	6,99	7,52
40,5°	7,78	8,44
56,8°	10,34	11,53
73°	13,71	15,89
89°	17,45	21,14
99°	19,63	24,42

durch die Linien FE und GD begrenzt wird. Bewegen wir uns also unterhalb 188° auf einer Horizontalen zur Konzentrationsachse, so kommen wir aus dem Gebiet der flüssigen Gemische nach Überschreitung von AD in das erste Entmischungsgebiet, das heterogene System fest + flüssig, von hier aus

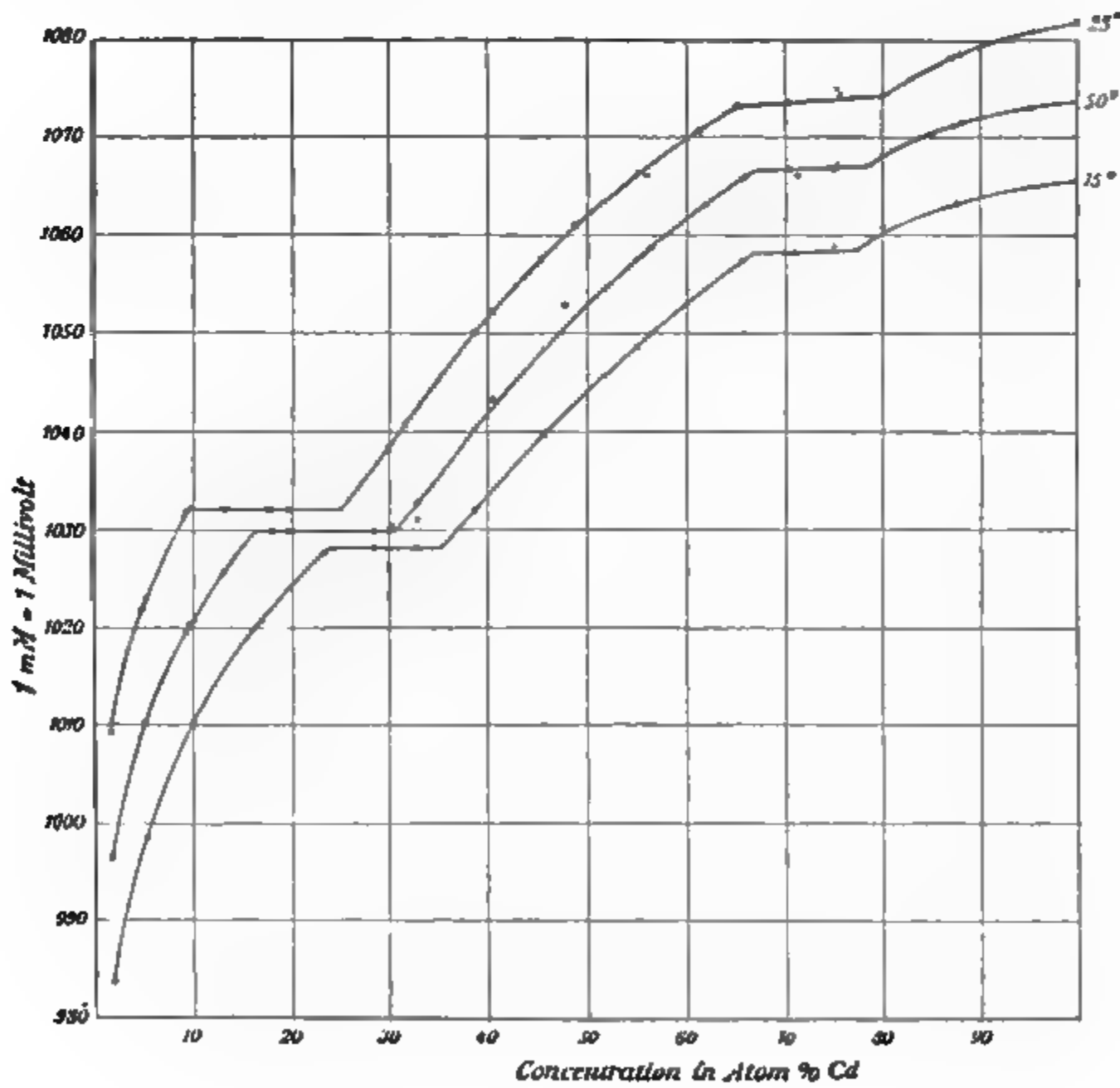


Fig. 6.

über das feste Gebiet in das zweite Entmischungsgebiet zwischen den Schnittpunkten der Horizontalen mit EF und DG. Alle Mischungen müssen also hier ein Konglomerat zweier Arten von Mischkristallen darstellen.

Mit Hilfe der Erstarrungsfigur sowie mit Kenntnis der Abhängigkeit der EMK von der Zusammensetzung der Amalgame bei verschiedenen Temperaturen ist es möglich, die bei den Cadmiumelementen von Jaeger, Cohen u. a. beobachteten Unregelmäßigkeiten zu erklären.

Die von Biyl beobachteten Anfangserstarrungspunkte der verschiedenen flüssigen Amalgame sind folgende:

Atomproz. Cd	Erstarrungspunkt	Atomproz. Cd	Erstarrungspunkt
0	—38,8	27,22	84,6
0,47	—36,4	40,04	121,6
0,94	—34,6	50,28	149,6
5,52	—1,6	55,10	163,6
12,44	—34,0	64,33	190,8
18,39	54,4	70,90	214,6
22,21	68,8	74,58	237,3
		84,96	273,4
		100	320,8

Aluminiumamalgame. Das Amalgam wurde von Cossa¹⁷⁰⁾ durch Zusammenschmelzen der beiden Metalle in einem indifferenten Gase erhalten. Infolge der Amalgamierung ist anscheinend die Lösungstension des Metalles stark vergrößert worden. Amalgamiertes Aluminium verliert an der Luft rasch seinen Glanz, erweist sich als äußerst empfindlich gegen Luftfeuchtigkeit, zersetzt das Wasser lebhaft, das Metall ist „aktiv“ geworden. Es genügen kleine Mengen von Quecksilber, um große Mengen von Aluminium zu aktivieren (H. Wislicenus¹⁷¹⁾). Von H. Wislicenus und Kaufmann¹⁷²⁾ ist amalgamiertes Aluminium als neutrales Reduktionsmittel für organisch-chemische Zwecke vorgeschlagen worden.

S. ferner Lieben¹⁷³⁾, Tissier¹⁷⁴⁾, Neesen.¹⁷⁵⁾

Ceramalgam wurde von Muthmann und Beck^{175a)} durch Eintragen von Cer in siedendes Quecksilber erhalten. Die Legierungen sind flüssig, wenn der Cergehalt nicht über 3 Proz. steigt, bei 3—8 Proz. Cer erhält man Produkte von teigiger Konsistenz, höherprozentige (bis 16 Proz. Cer) sind bei gewöhnlicher Temperatur fest. Die Legierungen reagieren mit Wasser sofort unter Wasserstoffentwicklung und sind gegen feuchte Luft sehr empfindlich, s. a. Cl. Winkler.^{175b)} Amalgame des Ce, Di, Y, Zr und Th durch Elektrolyse der Salzlösungen an Quecksilberkathoden darzustellen, gelang nicht (Kettembeil¹⁷⁷⁾).

Thalliumamalgame. Beide Metalle legieren sich leicht zu einem kristallisierbaren Amalgam.

HgTl₂ Carstanjen¹⁷⁶⁾, Hg₅Tl₂, Hg₁₀Tl₂ Regnault.¹⁷⁷⁾

Die Existenz bestimmter Verbindungen dürfte jedoch hier wie bei anderen Schwermetallen fraglich sein.

Zinnamalgame. Zinn und Quecksilber vereinigen sich schon bei gewöhnlicher Temperatur unter Bindung von Wärme. Es ist leicht nach den gewöhnlichen Methoden darstellbar. Die festen Zinnamalgame sind weiß wie Zinn, spröde und kristallisieren in Würfeln. Die spezifischen Gewichte der kristallisierten Legierungen, für welche auch bestimmte Formeln angegeben sind, wurden von Kupffer¹⁷⁸⁾ und Matthiessen¹⁷⁹⁾ bestimmt. Beim

Schütteln der Amalgame mit verdünnter Schwefelsäure bei Gegenwart von Luft bildet sich Wasserstoffsuperoxyd (Schönbein¹⁸⁰). Das Amalgam findet für Spiegelbelegungen Verwendung.

Die folgende Tabelle enthält die Schmelzpunkte (Temperaturen bei beginnender Kristallisation einiger Hg-Sn-Legierungen nach Puschin¹⁸¹):

Atomproz. Hg	Schmelzpunkt	Atomproz. Hg	Schmelzpunkt
0	231,5	54,6	122,75
0,7	229,4	60,1	114,0
3,0	224	66,7	105
7,8	215,5	69,2	101,5
16,2	199,75	74,6	93,5
26,4	180,0	87,4	81,5
30,9	170,5	93,2	ca. 72
36,2	159,25	97,4	ca. 45
45,7	140,5		

Über Amalgampotentiale bei Zinn-Quecksilber-Legierungen s. Backhuis-Roozeboom.¹⁸²)

Bleiamalgam entsteht aus den beiden Metallen unter Wärmeabsorption und ist auch durch Einwirkung von Natriumamalgam auf Bleiacetat, sowie elektrolytisch darstellbar. Nach Puschin¹⁸¹) bildet Blei mit Quecksilber keine chemischen Verbindungen, sondern isomorphe Mischungen, worauf besonders die Tatsache hindeutet, daß die tatsächlich beobachteten Schmelzpunkte der bleireicheren, mehr als 60 Proz. Pb enthaltenden Legierungen mit den nach der Mischungsregel berechneten gut übereinstimmen; hiernach scheint die Ansicht von H. Fay und E. North¹⁸³), daß in den Legierungen mit mehr als 65 Proz. Blei eine Verbindung Pb_2Hg vorhanden sei, nicht zuzutreffen.

Puschin (l. c.) bestimmte folgende Schmelzpunkte der Blei-Quecksilber-Legierungen:

Atomproz. Hg	Schmelzpunkt	Atomproz. Hg	Schmelzpunkt
2,6	318,5	54,7	149,5
6,3	305,25	63,5	129,5
11,0	288,0	68,4	120,25
16,6	267,6	75,0	110,5
27,0	232	83,0	101
35,8	204	86,4	96,75
40,6	189,5	89,7	90,75
50,0	162,5	98,2	unter 23

Über spezifische Gewichte der Bleiamalgame s. Matthiessen¹⁸⁴); über elektrisches Leitvermögen Weber.¹⁸⁶)

Ältere Literatur s. bes. Schumann¹⁸⁵), Bauer.¹⁸⁴)

Wismut amalgam entsteht aus den Elementen schon bei gewöhnlicher Temperatur, leichter beim Eintragen von heißem Quecksilber in geschmolzenes Wismut.

Schmelzpunkte der Hg-Bi-Legierungen nach Puschin (l. c.).

Atomproz. Hg	Schmelzpunkt	Atomproz. Hg	Schmelzpunkt
2,7	261,75	50,0	156,75
6,2	254,0	60,0	133,75
10,0	245	66,7	117,25
12,1	240,5	73,0	104,5
15,7	233	79,4	90,0

Atomproz. Hg	Schmelzpunkt	Atomproz. Hg	Schmelzpunkt
20,0	224	83,7	81,75
25,0	213,25	95,8	ca. 44,0
33,3	195,75	98,6	18
40,0	182,0		
45,0	169,5		

Die Dichten der Wismutamalgame sind von Calvert und Johnson¹⁸⁷⁾, die elektrischen Leitfähigkeiten von Michaelis¹⁸⁸⁾ und Matthiessen¹⁸⁹⁾ bestimmt.

Ältere Literatur: Crookewitt¹⁹⁰⁾, Schönbein.¹⁹¹⁾

Schließlich sei daran erinnert, daß für manche technische Zwecke Legierungen hergestellt werden, welche außer Quecksilber zwei und mehr Metalle enthalten.

So wird das aus 2 Tln. Hg, 1 Tl. Zn und 1 Tl. Sn bereitete Kienmayersche Amalgam für die Reibzeuge der Elektrisiermaschinen angewendet.

Eine aus Blei, Antimon und etwas Quecksilber bestehende Legierung (Marinemetall) wurde zum Beschlagen der Schiffe benutzt.

Die aus 100 Tln. Hg, 310 Tln. Pb, 497 Tln. Bi und 177 Tln. Sn bestehende, bei gewöhnlicher Temperatur feste Legierung ist durch einen sehr niedrigen Schmelzpunkt (ca. 77°) ausgezeichnet. Literatur: Jordan¹⁹²⁾, Doebereiner¹⁹³⁾, Phipson¹⁹⁴⁾, Brame.¹⁹⁵⁾

Eine sehr ausführliche Zusammenstellung der Literatur über Amalgame und Legierungen des Quecksilbers findet man bei Sack.¹⁹⁶⁾

Mercurosalze.

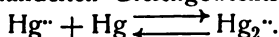
Die Salze der Mercuroreihe sind nach der Formel Hg_2X_2 zusammengesetzt. In wässriger Lösung der Salze besteht das zweiwertige Ion Hg_2^{++} , nur in ganz verdünnter Lösung scheinen auch Hg-Ionen existenzfähig zu sein, womit natürlich ein Wertigkeitswechsel eintritt. Im Gegensatz zu dem Mercuriion ist das Ion Hg_2^{++} durch größere Elektroaffinität ausgezeichnet, womit eine Reihe von Eigenschaften in Beziehung zu stehen scheinen, vor allem die wenig ausgesprochene Neigung des Mercurioions zur Bildung von Komplex- und Doppelsalzen. Infolge der größeren Stärke der den Salzen zugrunde liegenden Base: $Hg_2(OH)_2$ sind die Mercurosalze weniger hydrolytisch gespalten als diejenigen der anderen Wertigkeitsstufe (s. bei Mercuroperchlorat).

Die Löslichkeitsverhältnisse wurden schon früher kurz angedeutet. Die Halogenide und das Rhodanid sind schwer löslich außer dem Mercuriofluorid, schwer löslich ist ferner das Sulfat, leicht löslich sind die Salze mit einigen sauerstoffhaltigen Anionen, wie NO_3' , ClO_3' und besonders ClO_4' .

Nach der Hg_2^{++} -Ionenkonzentration in der gesättigten Lösung einiger schwer löslicher Mercurosalze ordnen sich dieselben in folgende Reihe ein:

Chromat,
Phosphat,
Carbonat,
Chlorid,
Rhodanid,
Bromid,
Oxyd,
Jodid (Immerwahr, l. c. s. S. 562).

Die Mercurosalze werden erhalten, indem man Hg_2O oder Hg_2CO_3 in der betreffenden Säure auflöst oder durch Behandeln des entsprechenden Mercurisalzes mit metallischem Quecksilber; letztere Reaktion führt zu dem auf S. 554 ausführlich behandelten Gleichgewichtszustande:



Bei schwer löslichen Salzen führt häufig doppelter Umsatz zum Ziel, indem man Mercuronitrat mit dem erforderlichen Alkalisalz fällt.

Nichtexistenz einzelner Mercurosalze. Letztere Reaktion liefert manchmal statt des zu erwartenden Mercurosalzes ein Gemisch von Mercurisalz und metallischem Quecksilber, während das Mercurosalz in analytisch nachweisbaren Mengen nicht gebildet ist. Die Reaktion wird in diesem Sinne in obiger Formel von rechts nach links verlaufen, wenn die Konzentration der Mercuriionen durch Schwerlöslichkeit des Salzes, Komplexbildung oder anomale Dissoziation sehr gering ist.

Aus diesem Grunde erhält man beim Versetzen einer Mercuronitratlösung mit Alkali-Cyanid oder H_2S statt des zu erwartenden Mercurocyanids resp. -sulfids die entsprechenden Mercurisalze neben dem Metall. Den gleichen Verlauf nimmt die Reaktion zwischen Mercuronitrat und einigen Säureamiden, z. B. Succinimid und Acetamid, da die in Frage kommenden Mercuristickstoffsalze äußerst wenig dissoziiert sind.

Anomale Salze, d. h. solche mit äußerst geringem Hg_2^{++} -Dissoziationsgrad, kommen anscheinend nicht vor. Alle jetzt zu behandelnden Mercurosalze geben die früher (S. 562) aufgeführten Hg_2^{++} -Ionenkonzentrationen.

Mercuriofluorid, Hg_2F_2 , ist durch Lösen von frisch gefälltem Mercurcarbonat in wässriger Flußsäure oder durch Umsetzung von Silberfluorid mit Kalomel erhalten worden (Finkener¹⁹⁷). Es bildet ein gelbliches Kristallpulver, welches aus verdünnter Flußsäure umkristallisiert werden kann.

Der schwächer sauren Natur der Flußsäure und seiner größeren Löslichkeit entsprechend, wird Mercuriofluorid im Gegensatz zu den anderen Mercurohalogenen durch Behandeln mit Wasser in HF und Hg_2O hydrolysiert. Am Licht färbt sich das Salz schwarz.

Mercuriochlorid, Kalomel, Hg_2Cl_2 , kommt in der Natur als Quecksilberhornerz, im quadratischen System kristallisierend, vor.

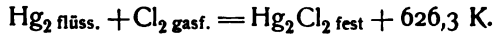
Die Darstellung des Kalomels geschieht entweder auf trockenem Wege, wie es die Pharmakopöe verlangt, durch Sublimation eines fein geriebenen Gemenges von Quecksilber und Sublimat oder auf nassem Wege durch Fällern einer verdünnten Mercuronitratlösung mit Kochsalz.

Das sublimierte Kalomel stellt meist eine weiße, fasrige Masse dar, das gefällte besteht aus mikroskopischen Nadelchen; die Dichte schwankt zwischen 6,56—7,41. Beim Erhitzen färbt es sich gelb, bei Glühhitze verdampft es, ohne vorher zu schmelzen. Die Dampfdichte wurde von Mitscherlich¹⁹⁸, Deville und Troost¹⁹⁹, Fileti²⁰⁰ oberhalb 400° der Formel HgCl entsprechend gefunden. Über den Zustand des Kalomeldampfes ist viel diskutiert worden; höchstwahrscheinlich ist er im Sinne der Gleichung: $\text{Hg}_2\text{Cl}_2 = \text{Hg} + \text{HgCl}_2$ zerfallen, denn ein in den Dampf gebrachtes Goldblättchen wird sofort amalgamiert; vergl. Harris und V. Meyer²⁰¹), dagegen Fileti.²⁰²) Der Versuch von Brereton Baker^{202a}), wonach die Dampfdichte bei absoluter Trockenheit der Formel Hg_2Cl_2 entspricht, entscheidet wohl im Sinne der Dissoziation in $\text{Hg} + \text{HgCl}_2$ unter gewöhnlichen Umständen, zumal bei dieser Trockenheit auch die Amalgamation von Gold ausbleibt.

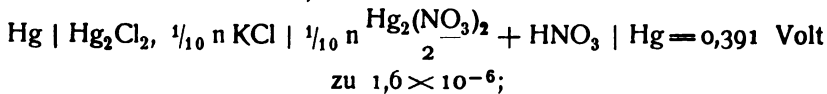
Der Dampfdruck des festen Kalomels wurde von Niederschulte^{202b)} nach der Mitführungsmethode bestimmt (s. a. Arctowski^{202c)}).

Temperatur	Dampfdruck in mm Hg
90	0,004
100	0,0089
120	0,016
140	0,038
160	0,15
180	0,45

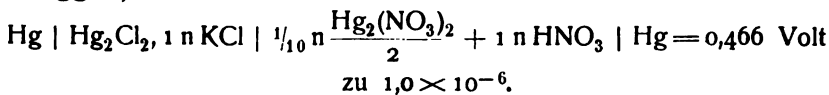
Die Bildungswärme des festen Salzes ist nach Varet²⁰³⁾:



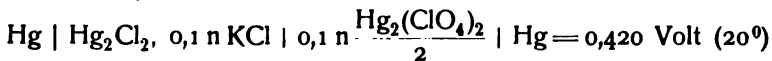
Die Hg_2^{++} -Ionenkonzentration in der gesättigten, rein wässrigen Kalomellösung ist von verschiedenen Seiten auf elektromotorischem Wege bestimmt worden, so von Behrend²⁰⁴⁾ mit Hilfe der Kette:



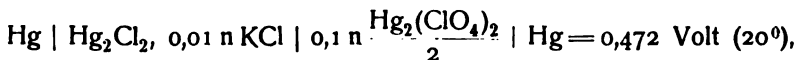
Ogg²⁰⁵⁾ berechnet dieselbe GröÙe aus der Kette:



Ähnliche, ebenfalls kleinere Werte finden Ley und Heimbucher²⁰⁶⁾ mit Hilfe der Ketten:



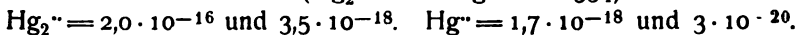
und



nämlich: $0,72 \times 10^{-6}$ resp. $0,79 \times 10^{-6}$.

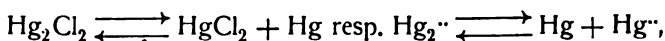
(Die Konzentration der Hg_2^{++} -Ionen in der $\frac{1}{10}$ äquiv. Mercuroperchloratlösung wurde zu 0,035 angenommen.)

Für die Ionenkonzentration in der Decinormal- und Normalelektrode ergeben sich daraus die Werte ($\text{Hg}_2^{++} = 120 \text{ Hg}^{+}$ s. S. 554)



Die Leitfähigkeit der gesättigten Kalomellösung beträgt bei 18° nach Kohlrausch²⁰⁷⁾ $\kappa = 1,2 \times 10^{-6}$. Versucht man daraus die Löslichkeit des Stoffes zu berechnen, so ergibt sich der Wert: $6,5 \times 10^{-6}$. Dieser Wert ist aber zu hoch, teils wegen Hydrolyse des Kalomels, die sicher in geringem Betrage vorhanden, teils wegen Spaltung des Kalomels in $(\text{Hg} + \text{HgCl}_2)$ und daraus entstehender Hydrolyse des Sublimats. Das Löslichkeitsprodukt $\text{Hg}_2^{++} \cdot \text{Cl}^{-2} = 3,5 \cdot 10^{-18}$ bei 25°.³⁴⁰⁾

Kalomel färbt sich, wie die anderen Mercurohalogene, im Licht dunkel, höchstwahrscheinlich unter Zersetzung in Metall und Sublimat. Konzentrierte Lösungen von Chloriden, wie HCl, NaCl, NH_4Cl usw., wirken merklich lösend auf Mercurochlorid ein. Die Reaktion erklärt sich aus dem Gleichgewichtszustand



indem die Zahl der Hg^{+} -Ionen durch Komplexsalzbildung wie K_2HgCl_4 u. a.

stark vermindert wird. Die verschiedenen Chloride wirken je nach ihrer Cl^- -Ionenkonzentration etwas verschieden, z. B. lösen sich in 1 l 5 n NaCl, HCl, $\frac{1}{2}\text{CaCl}_2$ nach Richards u. Archibald¹⁷⁾ 0,64 resp. 0,50 resp. 0,36 g HgCl_2 aus Hg_2Cl_2 auf. Kalomel wirkt seiner Dissoziation in $\text{Hg} + \text{HgCl}_2$ entsprechend wie eine schwerlösliche Modifikation des Sublimats von der Löslichkeit ca. $3 \cdot 10^{-6}$ Mol/l (Abegg³⁴⁰⁾). Näheres s. S. 637.

Mercurobromid, Hg_2Br_2 , ist entweder durch Umsetzung eines löslichen Mercurosalzes mit einem Bromid oder durch längere Einwirkung von Bromwasserstoffsäure auf das Metall darstellbar.

Das sublimierte Bromid stellt eine weiße, fasrige Masse, das gefällte ein weißes Kristallpulver dar; durch Lösen des letzteren in heißer Mercuronitratlösung wird das Bromid in weißen, perlmutterglänzenden, tetragonalen Blättchen gewonnen. Spezifisches Gewicht: 7,037.

Mercurobromid verflüchtigt sich bei schwacher Glühhitze. Die von Mitscherlich²⁰⁸⁾ bestimmte Dampfdichte entspricht ebenfalls der einfachen Formel: HgBr oder wahrscheinlicher (s. Hg_2Cl_2 S. 599) $\text{Hg} + \text{HgBr}_2$.

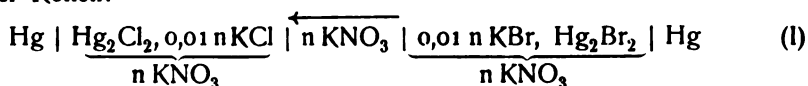
Bildungswärme: $\text{Hg}_2 \text{flüss.} + \text{Br}_2 \text{flüss.} = \text{Hg}_2\text{Br}_2 \text{fest} + 490,5 \text{ K}$

(Varet, l. c.). Aus der freien Bildungsenergie (nach der Thomsonschen Regel) und den Zersetzungsspannungen berechnet sich nach Bodländer²⁰⁹⁾ die Ionenkonzentration in der gesättigten Lösung zu $0,83 \times 10^{-7}$ Mole, während aus der von Goodwin²¹⁰⁾ gemessenen Kette

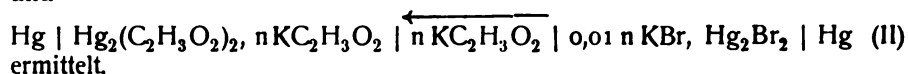
$\text{Hg} | \text{Hg}_2\text{Br}_2, 0,1 \text{ n KBr} | 0,1 \text{ n KCl}, \text{Hg}_2\text{Cl}_2 | \text{Hg} = 0,1338 \text{ Volt} (17^0)$

ein kleinerer Wert, nämlich $[\text{Hg}_2^{2+}] = 0,20 \times 10^{-7}$, folgt. (Die Abweichung beruht wohl darauf, daß die Thomsonsche Regel auf diesen Fall nicht anwendbar ist.) Das Löslichkeitsprodukt (25^0) ist $\text{Hg}_2^{2+} \cdot \text{Br}'^2 = 1,3 \cdot 10^{-21}$.

Die freie Energie der Bildung des Mercurobromids aus Mercurochlorid resp. Mercuroacetat und KBr ist von Bugarszky (l. c.) durch Messung der EMK der Ketten:



und



Für Kette I ist bei $t = 43,3^0$	18^0	0^0	$\frac{d\varepsilon}{dt}$
$\varepsilon = 0,2149$	0,1285	0,1311 Volt,	$-0,000144$
Für Kette II ist bei $t = 18,5^0$	0^0		$\frac{d\varepsilon}{dt}$
$\varepsilon = 0,2474$	0,2667	Volt,	$-0,00104$

Mit Beibehaltung der Bezeichnungsweise von S. 564 ist

für I: $F = 2971$; $G = 964$; $F + G = 3935$, während $Q = 4010 \text{ cal}$ gefunden [wurde,

für II: $F = 5717$; $G = 6906$; $G + F = 12620$; $Q = 1200$.

In seinem sonstigen Verhalten gleicht das Mercurobromid dem vorigen Salze und kann analog als eine Modifikation des Mercuribromids von der Löslichkeit $3 \cdot 10^{-6}$ aufgefaßt werden.

Mercurjodid, Hg_2I_2 , wird entweder erhalten durch Zusammenreiben

der beiden Elemente unter Befeuchten mit Alkohol oder nach einer der beim Chlorid und Bromid genannten Methoden. Je nach der Darstellung wechselt die Farbe von gelb bis gelbgrün und grün. Diese Farbenverschiedenheiten sind nicht verschiedenen Modifikationen zuzuschreiben, sondern sind die Zeichen einer Zersetzung des Mercurojodids. Die Farbenunterschiede entstammen vielleicht nur mehr oder weniger weitgehender Zersetzung in $\text{HgJ}_2 + \text{Hg}$, einer Zersetzung, die auch durch Auswaschen fortwährend gefördert wird, indem sehr fein verteiltes, gelbes HgJ_2 sich bildet und einen durch die äquivalente Menge Quecksilbermetall dunkler gefärbten Rest hinterläßt, so daß man Hg_2J_2 als nur in Gegenwart seiner Dissoziationsprodukte $\text{Hg} + \text{HgJ}_2$ beständig anzusehen hat, und somit über seine Farbe nichts Sicheres aussagen kann.

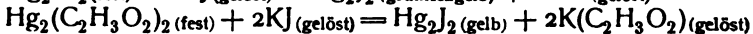
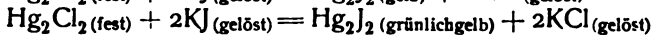
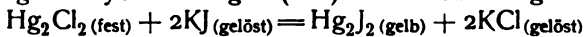
Das spezifische Gewicht schwankt zwischen 7,64 und 7,75. Beim Erwärmen bis 70° färben sich die Kristalle rötlich, bei ca. 200° sind sie granatrot. Schon bei ca. 190° beginnt die Sublimation.

Bildungswärme nach Varet²⁰³):



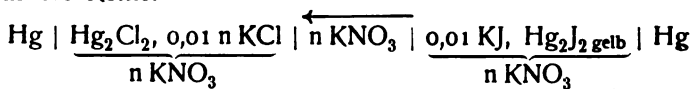
Die Hg_2^{++} -Ionenkonzentration in der gesättigten Lösung des Quecksilberjodürs berechnet sich aus der Komplexkonstante des Komplexions HgJ_4^{2-} annähernd zu $3,1 \times 10^{-10}$ (s. S. 647), das Löslichkeitsprodukt $\text{Hg}_2^{++} \cdot \text{J}^{2-} = 1,2 \cdot 10^{-28}$ bei 25° .

Bugarszkys Messungen (l. c.) der freien Energie der Reaktionen:



ergaben folgendes Resultat:

1. Für die Kette:

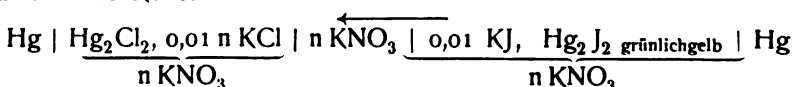


$$T: \quad 43,3^\circ \qquad 18,5^\circ \qquad 0^\circ \qquad \frac{d\varepsilon}{dT} =$$

$$\varepsilon: \quad 0,3117 \qquad 0,3086 \qquad 0,3131 \qquad -0,00027$$

$$F = 7134; G = 1819; F + G = 8953; Q_{\text{beob.}} = 9310 \text{ cal.}$$

2. Für die Kette:

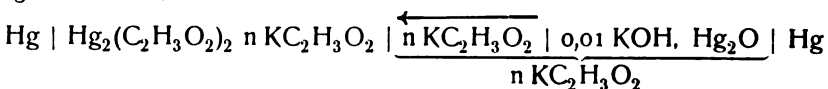


$$T: \quad 43,3^\circ \qquad 18,5^\circ \qquad 0^\circ \qquad \frac{d\varepsilon}{dT} =$$

$$\varepsilon: \quad 0,3017 \qquad 0,3083 \qquad 0,3131 \qquad -0,000265$$

$$F = 7127; G = 1786; F + G = 8913; Q_{\text{beob.}} = 9160 \text{ cal.}$$

3. Für die Kette:



$$T: \quad 18,5^\circ \qquad 0^\circ \qquad \frac{d\varepsilon}{dT} =$$

$$\varepsilon: \quad 0,4277 \qquad 0,4498 \qquad -0,00118$$

$$F = 9883; G = 7951; G + F = 17834; Q_{\text{beob.}} = 17275 \text{ cal.}$$

Mercurojodid verhält sich im übrigen den beiden vorigen Salzen ziemlich ähnlich; durch Alkalijodid wird es wie diese, und zwar noch bedeutend leichter, in Hg und Komplexsalze des Mercurijodids zerlegt. Es verhält sich in dieser Hinsicht, wie eine Modifikation des Mercurijodids von der Löslichkeit ca. $3 \cdot 10^{-6}$ Mol/l (Abegg³⁴⁰).

Kolloidale Halogenquecksilberverbindungen. Das Hydrosol des Mercurochlorids^{210a}) entsteht als Adsorptionsverbindung mit Zinnsäure, wenn das Hydrosol des durch Reduktion von Mercurosalsen mit Zinnoxidulsalzen dargestellten Quecksilberzinnsäurepurpurs mit der der Gleichung $\text{Hg} + \text{Cl} = \text{HgCl}$ entsprechenden Menge Chlorwasser oder mit der nach der Gleichung $\text{Hg} + \text{HgCl} = 2\text{HgCl}$ nötigen Menge einer verdünnten Mercurichloridlösung behandelt wird. Man gewinnt so eine milchartige, im durchfallenden Lichte rötlichgelb erscheinende Flüssigkeit, die von allen Elektrolyten in das Gel übergeführt, durch überschüssiges Chlor in eine wahre Lösung des Kristalloids HgCl_2 verwandelt wird. In neuester Zeit ist dieses flüssige Hydrosol als Adsorptionsverbindung mit organischen Kolloiden von Galewsky^{210b}) durch Umsetzung von Mercuronitrat mit Chlornatrium bei Gegenwart von Eiweißsubstanzen gewonnen und nach längerer Dialyse durch vorsichtiges Eindampfen oder Füllen mit Alkohol in einen festen, haltbaren Körper übergeführt worden, der, außer von Wasser, auch von Alkohol, Äther, ja sogar Benzol in ein flüssiges Sol verwandelt wird. Durch Säure entsteht aus dem flüssigen Hydrosol ein Gel, welches rein ausgewaschen von schwach alkalischem Wasser (genau so wie die Paalschen Adsorptionsverbindungen mit Lysalbin- resp. Protalbinsäure) wieder in das flüssige Hydrosol zurückverwandelt werden kann. Das Präparat wird medizinisch verwendet und als Kalomelol in den Handel gebracht. Auf ganz analoge Weise läßt sich das Hydrosol des Mercurobromids aus dem Quecksilberzinnsäurehydrosol^{210a}) gewinnen, welches in jeder Beziehung dem oben beschriebenen Mercurochloridhydrosol gleicht.

Durch Behandlung des Hydrosols der Quecksilberzinnsäure-Adsorptionsverbindung mit alkoholischer Jodlösung entstehen gelbe resp. rötliche Flüssigkeiten^{210a}), die bald alles HgJ resp. HgJ_2 absetzen, also nicht als Hydrosole der Quecksilberjodide angesehen werden können. Dieses Verhalten läßt sich offenbar durch schnellen Übergang der Jodide in den kristallinen Zustand erklären (Lottermoser).

Mercurorhodanid, $\text{Hg}_2(\text{CNS})_2$, wird als weißer, kristallinischer Niederschlag durch Füllen einer Mercuronitratlösung mittels Kaliumrhodanid gewonnen (Wöhler²¹¹).

Die Hg_2^{++} -Ionenkonzentration in der gesättigten Lösung des Rhodanids berechnet sich aus den Komplexkonstanten (s. S. 657) zu $1,7 \times 10^{-7}$ resp. $1,9 \times 10^{-7}$, das Löslichkeitsprodukt (25°) ist $\text{Hg}_2^{++} \cdot \text{CNS}^{2-} = 1,4 \cdot 10^{-20}$ (Großmann³⁹³). Das Rhodanür ist also etwas löslicher als das Bromür.

Mercurocyanat, $\text{Hg}_2(\text{CNO})_2$, soll nach Wöhler²¹¹) aus Mercuronitrat und Bariumcyanat als weißer, nach dem Trocknen leicht sich zersetzender Niederschlag entstehen.

Mercuroformiat, $\text{Hg}_2(\text{HCO}_2)_2$, entsteht durch Fällung von Mercuronitrat mit Natriumformiat. Es bildet weiße Schuppen, löst sich in ca. 250 Tln. Wasser von 17° und wird beim Kochen mit Wasser völlig in metallisches Quecksilber, Ameisensäure und Kohlendioxyd gespalten, eine Reaktion, die in der Aldehydnatur der Ameisensäure ihre Erklärung findet. $\text{Hg}_2(\text{CHCO}_2)_2 = \text{Hg}_2 + \text{H}_2\text{CO}_2 + \text{CO}_2$ (Göbel²¹²); vergl. Liebig²¹³).

Mercuracetat, $\text{Hg}_2(\text{CH}_3\text{CO}_2)_2$, bildet ebenfalls weiße Schuppen, die beständiger als das vorige Salz sind (Lefort²¹⁴); löslich in 133 Tln. Wasser von 12–15°. Beim Erhitzen auf 250–300° entwickelt es Ameisensäure und Aceton (Heintz²¹⁵).

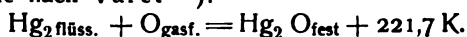
Mercurooxalat, $\text{Hg}_2\text{C}_2\text{O}_4$, ist ein schwerlösliches weißes Salz, das in Oxalatüberschuß nicht nachweisbar löslich ist.^{215a})

Mercurhydroxyd, $\text{Hg}_2(\text{OH})_2$. Die den Mercurosätzen zugrunde liegende Base ist bei gewöhnlicher Temperatur nicht beständig. Vielleicht besteht der hellgelbe Niederschlag aus dieser Verbindung, welchen Bird²¹⁶ beim Fällen einer alkoholischen Lösung von Mercuronitrat mit einer auf –42° abgekühlten, alkoholischen Lösung von Kali erhielt. Dieser zuerst hellgelb ausfallende Körper färbt sich unter dem Einfluß höherer Temperatur sehr bald dunkler und geht anscheinend unter Wasserverlust in

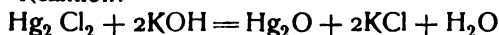
Mercurooxyd, Hg_2O , über. Diese Verbindung wird leicht durch Fällen von Mercuronitrat mittels überschüssiger Natronlauge oder aus Kalomel und Alkali im Dunkeln erhalten. Das Oxyd stellt ein schwarzes, unbeständiges Pulver dar, das sich beim Aufbewahren, schneller im Licht in Quecksilber und Quecksilberoxyd zersetzt. Nach einigen Autoren soll auch der im Dunkeln dargestellte Niederschlag stets freies Quecksilber und Oxyd enthalten (Bruns und v. d. Pfordten²¹⁷, Barfoed²¹⁸).

Das spez. Gew. soll je nach der Darstellung zwischen 8,95 und 10,69 schwanken.

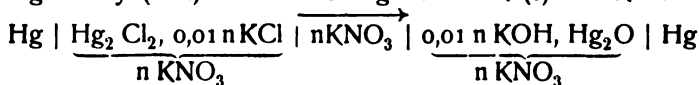
Bildungswärme nach Varet²⁰³):



Durch Reduktion mit geeigneten Mitteln, z. B. phosphoriger Säure, wird es leicht zu Metall reduziert. Die freie Energie der Bildung des Hg_2O aus Hg_2Cl_2 nach der Reaktion:



ist von Bugarszky (l. c.) durch Messung der EMK (ϵ) der Kette:

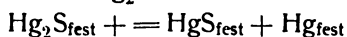


ermittelt. Es ergab sich für $t = 43,3^\circ$ $18,5^\circ$ 0°
 $\epsilon = 0,1846$ $0,1636$ $0,1483$

$$\text{woraus: } \frac{d\epsilon}{dt} = + 0,000837;$$

ferner ist hiernach: $F = +7566 \text{ g cal}$; $G = -11276 \text{ g cal}$, $F + G = -3710 \text{ g cal}$, während die Wärmetönung der Reaktion sich aus den Bildungswärmen der Stoffe zu $Q = -3280 \text{ g cal}$ berechnet. S. S. 564.

Mercurosulfid, Hg_2S , ist unter gewöhnlichen Temperatur- und Druckverhältnissen nicht existenzfähig. Wird eine Lösung von Mercuronitrat mit H_2S oder NaSH -Lösung gefällt, so erhält man ein Gemisch von HgS und S , indem sich das zu erwartende Hg_2S im Sinne der Gleichung:



zersetzt. An diese Tatsache knüpft Abel²¹⁹) folgende Betrachtung: Aus der Phasenregel folgt, daß ein zwischen den drei genannten Stoffen bestehendes Gleichgewicht nur bei bestimmter Temperatur existieren kann. Temperaturänderung hat vollständige Umwandlung im einen oder anderen Sinne im Gefolge. Denken wir uns nun im ersten Moment Hg_2S ausgefällt, dem eine gewisse Löslichkeit zukommt, so muß dieses dann so weit zerfallen, daß

$\frac{\text{Hg}_2^{++}}{\text{Hg}^{++}} = \text{ca. } 120$ ist (s. S. 554). Sind ferner im Gleichgewicht alle drei Stoffe als Bodenkörper vorhanden, so gilt:

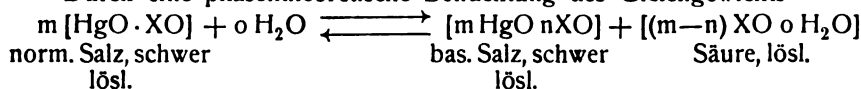
$$\frac{\text{Hg}_2^{++}}{\text{Hg}^{++}} = \frac{[\text{Hg}_2^{++}][\text{S}^{--}]}{[\text{Hg}^{++}][\text{S}^{--}]} = \frac{\text{Löslichkeitsprodukt von Hg}_2\text{S}}{\text{Löslichkeitsprodukt von HgS}} = \frac{[\text{Löslichkeit von Hg}_2\text{S}]^2}{[\text{Löslichkeit von HgS}]^2} = 120.$$

„Wäre also das Sulfid gerade $\sqrt{120} = 11$ mal so schwer löslich als das Sulfür, so würde H_2S aus einer Mercuronitratlösung sowohl Hg_2S als auch $\text{Hg} + \text{HgS}$ fallen und beide Sulfide wären miteinander (in fester Form oder in gesättigter Lösung) im Gleichgewicht. Da dies nun nicht eintritt, sondern alles Quecksilber als $\text{HgS} + \text{Hg}$, nicht als Hg_2S ausfällt, so muß die Löslichkeit des Quecksilbersulfids notwendig noch kleiner sein, als der zehnte Teil der Löslichkeit des Quecksilbersulfürs.“ Diese größere Löslichkeit des Mercurosulfids würde im Einklang mit der von Abegg und Bodländer betonten Tatsache stehen, daß dem Ion mit größerer Haftintensität, hier dem unedleren Mercuroion, die größere Löslichkeit zukommt als dem edleren Mercuriion.

Es ist natürlich nicht ausgeschlossen, daß bei anderen Temperaturen Hg_2S beständig ist, so soll nach Antony und Sestini²²⁰⁾ unterhalb 0° aus einer Mercuronitratlösung durch Schwefelwasserstoff Mercurosulfid ausgefällt werden.

Mercurosalze der Halogensauerstoffsäuren. Infolge der größeren Elektroaffinität der Anionen sind die Salze dieser Kategorie durch verhältnismäßig größere Löslichkeit ausgezeichnet als die vorhin erwähnten und zwar scheint diese Eigenschaft in der Reihe: $\text{Hg}_2(\text{ClO}_3)_2$, $\text{Hg}_2(\text{BrO}_3)_2$, $\text{Hg}_2(\text{IO}_3)_2$ also wieder vom Chlor zum Jod hin deutlich abzunehmen. In wässriger Lösung reagieren diese Salze, sofern ihre Löslichkeit einigermaßen beträchtlich merklich sauer, wodurch Hydrolyse angezeigt wird. Diese unter Freiwerden von Säure verlaufende Reaktion vollzieht sich entweder unter direkter Bildung des Oxyds, oder wie beim Sulfat und Nitrat unter Bildung basischer Salze $m\text{HgO} \cdot n\text{XO}$ ($\text{XO} = \text{Säureanhydrid}$), die man vielleicht im Sinne Werners resp. Abegg-Bodländers als durch Hg_2O resp. $\text{Hg}(\text{OH})_2$ verstärkte Neutralsalze auffassen kann, und die deshalb auch eigentlich bei den Komplexsalzen abgehandelt werden müßten. Da diese Stoffe aber zu den neutralen Salzen infolge ihrer Bildungsweise — die basischen Salze sind manchmal die einzigen faßbaren Produkte bei der Einwirkung von Säure und Base, s. Mercuriperjodat — in naher Beziehung stehen, werden sie gleich nach den neutralen Salzen aufgeführt. Die Isolierung der basischen Salze ist häufig mit Schwierigkeiten verbunden, teils weil diese Zwischenprodukte häufig amorph sind, teils weil man zwecks Feststellung ihrer Zusammensetzung von einer Reinigung durch Auswaschen mit Wasser aus leicht begreiflichen Gründen Abstand nehmen muß. Das Problem der Auffindung der bestimmte chemische Individuen darstellenden basischen Salze ist aber mittels der Phasenregel zu lösen (Hoitsema^{220a)}, Lash Miller und B. Kenrick²²¹⁾, Abegg²²²⁾, Cox²²³⁾).

Durch eine phasentheoretische Betrachtung des Gleichgewichts



kann man ableiten, daß bei allmählicher Verdünnung des Systems die Lösung sich nicht ändert, falls zwei feste Phasen (norm. Salz und bas. Salz, norm. Salz und Oxyd usw.) am Boden liegen, daß hingegen die Konzentration in

der Lösungsphase variabel wird, falls ein Individuum Bodenkörper ist. Man ist also hierdurch imstande, die einzelnen Individuen systematisch aufzusuchen. Ein weiteres Postulat der Phasenlehre ist, daß jedes einzelne Salz, um beständig zu sein, eine Minimalkonzentration der hydrolytisch abgespaltenen Säure fordert; mit Kenntnis dieser Konzentration ist auch eine Reindarstellung des betreffenden Salzes resp. basischen Salzes möglich (Gouy²²⁴), Cox²²⁵).

In wässriger Lösung findet bei vielen Salzen der Halogensauerstoffsäuren neben der angedeuteten Hydrolyse sehr weitgehende elektrolytische Dissoziation statt, so daß sich diese Salze den stark dissoziierten ternären Salzen wie $\text{Ba}(\text{NO}_3)_2$ ziemlich analog verhalten, wie eine beim Mercuriochlorat ausgeführte Bestimmung der elektrischen Leitfähigkeit bewies.

Wie zu erwarten, werden die trockenen Salze bei höheren Temperaturen, 200—300°, total zersetzt.

Mercurchlorat, $\text{Hg}_2(\text{ClO}_3)_2$, wird durch Lösen von frisch gefälltem Mercurioxyd in wässriger Chlorsäure und Kristallisierenlassen über Schwefelsäure erhalten. Es bildet große, rhombische, wasserfreie Prismen, die an der Luft Durchsichtigkeit und Glanz verlieren (Wächter²²⁵). In Wasser und Alkohol lösen sich die Kristalle leicht. Mit brennbaren Substanzen gemischt, explodiert das Salz ebenso heftig wie das Silbersalz. Bis ca. 250° erhitzt, tritt Zersetzung unter Sauerstoffentwicklung und Bildung von HgCl_2 und HgO ein.

Mercuriochlorat, $\text{Hg}_2(\text{ClO}_4)_2$, wird analog dem vorigen durch Lösen von Hg_2O in wässriger Überchlorsäure in Form feiner Nadeln erhalten, welche sehr hygroskopisch sind und anscheinend mit 6 Molen Kristallwasser kristallisieren (Roscoe²²⁶). Aus den Leitfähigkeitsmessungen erhellt, daß das Salz merklich hydrolysiert ist (zum Vergleich seien die Werte für $\text{Ba}[\text{ClO}_4]_2$ aufgeführt).

Äquiv. Leitf. des $\text{Hg}_2(\text{ClO}_4)_2$ bei 25°. rec. Ω

v	A	
5	101,7	
10	109,9	
20	118,6	
32	122,1	$\Delta = A_{1024} - A_{32} = 53,8$
64	129,2	
128	139,1	
256	146,8	
512	159,1	
1024	175,9	

Äquiv. Leitf. des $\text{Ba}(\text{ClO}_4)_2$ bei 25°

v	A	
10	100,5	
32	110,9	
64	115,1	$\Delta = A_{1024} - A_{32} = 19,2$
128	119,7	
256	123,3	
512	126,9	
1024	130,1	

Mit Hilfe der Zuckerinversion wurden folgende Werte der prozentischen Hydrolyse (p) bei den Verdünnungen v (1 g Äquiv. auf v-Litern) gefunden:

v	5	10	20	} 25°
p	3,2	3,4	4,1	

Die Werte sind wegen der kleinen zu messenden Drehungswinkel nicht sehr genau (Ley und Heimbucher²²⁷).

Mercuroperchlorat scheidet beim Verdünnen seiner konzentrierten Lösung keine unlöslichen basischen Salze aus; s. die analoge Beobachtung beim Mercuriperchlorat.

Mercurobromat, $\text{Hg}_2(\text{BrO}_3)_2$. Durch Fällern von Mercuronitrat mit einem löslichen Bromat wird ein Salz obiger Zusammensetzung in Form eines gelbweißen Pulvers erhalten, welches aus wässriger Bromsäure in weißen Blättchen kristallisiert. Beide Formen kristallisieren wasserfrei (Rammelsberg²²⁸). Beim Behandeln mit heißem Wasser bildet sich das basische Salz: $\text{Hg}_2\text{O} \cdot \text{Hg}_2(\text{BrO}_3)_2$ als zitronengelbes, körniges Pulver.

Mercuriodat, $\text{Hg}_2(\text{JO}_3)_2$. Jodsäure und lösliche Jodate fällen aus Mercuronitrat weißes, in Wasser fast unlösliches Mercuriodat. Bei 250° zersetzt sich das Salz vollständig (Rammelsberg²²⁹, Lefort²³⁰).

Mercuroperjodat, $\text{Hg}_2(\text{JO}_4)_2$, scheint in wässriger Lösung sofort in basische Salze zu zerfallen, denn der aus Mercuronitrat bei Gegenwart von wenig überschüssiger Salpetersäure durch NaJO_4 oder $\text{Na}_4\text{J}_2\text{O}_9$, $3\text{H}_2\text{O}$ entstehende Niederschlag wird als basisches Salz: $4\text{Hg}_2\text{O} \cdot \text{Hg}_2(\text{JO}_4)_2$ nach Lautsch²³¹ oder $3\text{Hg}_2\text{O} \cdot \text{Hg}_2(\text{JO}_4)_2$ nach Rammelsberg²³² beschrieben. Gelber Niederschlag, der sich leicht in Salpetersäure und Salzsäure löst.

Mercurosalze der Schwefel- und Selsauerstoffsäuren stellen weiße, unlösliche Stoffe dar, welche je nach der Stärke der Säure mehr oder weniger leicht durch Wasser zerlegt werden.

Mercurosulfit, Hg_2SO_3 , ist nicht bekannt. Durch Einleiten von SO_2 in eine Suspension von HgO in Wasser bis zum Weißwerden des gelben Oxyds wird ein weißer Niederschlag erhalten, dem nach Rammelsberg²³³ die Zusammensetzung $2\text{Hg}_2\text{O} \cdot 3\text{SO}_2$ oder $3\text{Hg}_2\text{O} \cdot 4\text{SO}_2$ zukommt. Die Verbindung ist äußerst leicht veränderlich und zu Hg_2SO_4 oxydierbar.

Mercurosulfat, Hg_2SO_4 , wird durch Auflösen des Metalls in $\frac{1}{2}$ —1 Teil Vitriolöl in der Hitze oder durch Fällern von Mercuronitrat mittels eines löslichen Sulfats, schließlich auch aus dem Mercurisulfat durch Zusammenreiben mit Quecksilber und zwar wasserfrei erhalten. Nach Hulett²³⁵ gewinnt man es im Zustande großer Reinheit auch durch Elektrolyse von Schwefelsäure mittels Quecksilberanode. Es stellt ein schweres Kristallpulver oder kleine monokline Prismen dar; in Wasser ist es schwer löslich. Nach Drucker²³⁴ ist die Löslichkeit L in reinem Wasser und in Lösungen von H_2SO_4 und K_2SO_4 folgende.

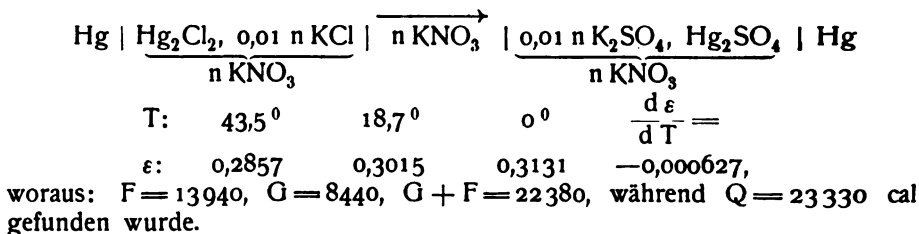
	c	L
H_2O		$11,71 \times 10^{-4}$
$\frac{1}{2} \text{H}_2\text{SO}_4$	0,0400	$8,31 \times 10^{-4}$
$\frac{1}{2} \text{H}_2\text{SO}_4$	0,1000	$8,78 \times 10^{-4}$
$\frac{1}{2} \text{H}_2\text{SO}_4$	0,2000	$8,04 \times 10^{-4}$
$\frac{1}{2} \text{K}_2\text{SO}_4$	0,2000	$9,05 \times 10^{-4}$

Hulett²³⁵) ermittelte folgende Löslichkeitskurve des Hg_2SO_4 in H_2SO_4 von variabler Konzentration:

[Verdünnung = Liter, in denen 1 Mol H_2SO_4 gelöst, s. Fig. 7 folgende Seite].

Die Hg_2 -Ionenkonzentration in der gesättigten Lösung ist aus Messungen von Wright und Thompson abgeleitet: $9,5 \times 10^{-4}$ (Wilsmore).

Die freie Energie der Bildung von Mercurosulfat aus dem Chlorid ist von Bugarszky mit Hilfe folgender Kette berechnet.



Mercurosulfat färbt sich am Lichte grau, auch durch Bestrahlung mit ultravioletten und Radiumstrahlen tritt Dunkelfärbung ein (Skinner^{235a}). Beim Behandeln mit Wasser färbt es sich, indem durch Hydrolyse basische Salze gebildet werden. Es dient zur Herstellung anderer Mercuroverbindungen; erwähnt sei ferner seine Verwendung als Depolarisator in Normalelementen; hierüber s. die interessante Studie von Hulett. Durch Wasser erleidet das neutrale Hydrolyse, wobei sich als einziges Produkt basisches Mercurosulfat: $\text{Hg}_2\text{O} \cdot \text{Hg}_2\text{SO}_4 \cdot \text{H}_2\text{O}$ bildet. Durch systematische Auslaugungen des neu-

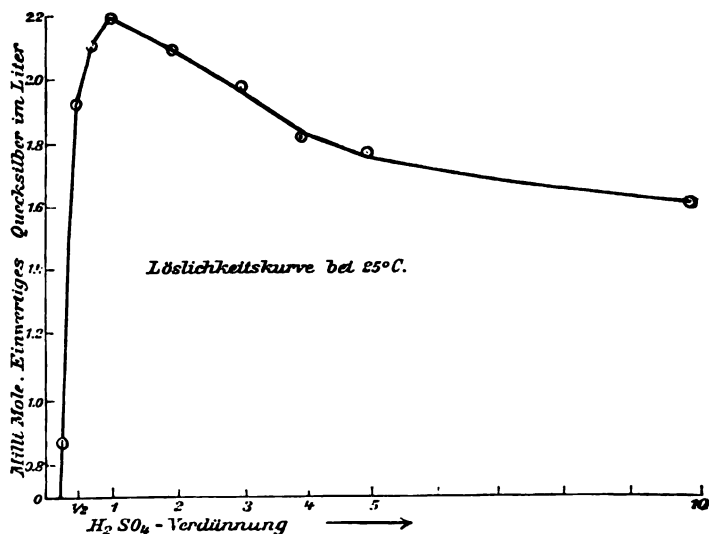


Fig. 7.

tralen Sulfats mit Wasser wurde festgestellt, daß die auf das Salz bei 25° nicht zersetzend einwirkende Schwefelsäure eine Minimalkonzentration von 0,0042 Äquiv. haben muß; für das basische Sulfat ist dieser Wert bei 25° 0,00056.²³⁶)

Das basische Salz stellt ein grügelbes Pulver dar, das sich in etwa 25000 Tln. Wasser von 25° löst und sich oberhalb 100° zersetzt.

Mercurodithionat, $\text{Hg}_2\text{S}_2\text{O}_6$, wird nach Rammelsberg²³⁷) durch Lösen von frisch gefälltem Hg_2O in der wässrigen Säure und Abdampfen als farblose Kristallmasse erhalten. Das Salz ist in kaltem Wasser wenig löslich, durch heißes wird es zersetzt.

Mercuroselenit, Hg_2SeO_3 , und **Mercuroselenat**, $6\text{Hg}_2\text{O} \cdot 5\text{SeO}_3$, wurden von Köhler²³⁸) als weiße, schwerlösliche Niederschläge beschrieben,

die aus Mercuronitrat und den Natriumsalzen der entsprechenden Säuren entstehen sollen.

Mercurosalze der Sauerstoffsäuren des Stickstoffs und der Homologen. Die schwach basischen Eigenschaften der Mercurobase offenbaren sich besonders beim Nitrat, der wichtigsten Verbindung dieser Gruppe. Von diesem leichtlöslichen Salz läßt sich nur eine sehr konzentrierte Lösung herstellen; versucht man diese zu verdünnen, so scheiden sich durch Hydrolyse basische Salze ab. Mercuronitrat und -nitrit sind leichtlöslich, die Mercurosalze der Phosphor- und Arsensäuren äußerst schwerlöslich.

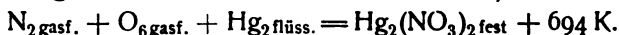
Mercuronitrit, $\text{Hg}_2(\text{NO}_2)_2$. Versuche zur Darstellung s. bei Péligot²³⁹), Veley²⁴⁰), Marignac²⁴¹), Divers und Shimidzu.²⁴²) Nach Ray²⁴³) erhält man das Salz durch Einwirkung verdünnter Salpetersäure (Verdünnung 1:4, spez. Gew. 1,041) auf überschüssiges Quecksilber bei gewöhnlicher Temperatur. Zur Reinigung wird das Salz in wässriger Lösung einige Zeit zum Sieden erhitzt, wodurch sich ein Teil zersetzt, der größere Teil jedoch in Lösung geht und beim Erkalten kristallinisch und zwar wasserfrei ausfällt. In wässriger Lösung und beim Erhitzen für sich zersetzt sich das Salz leicht im Sinne der Gleichung $\text{Hg}_2(\text{NO}_2)_2 \rightleftharpoons \text{Hg} + \text{Hg}(\text{NO}_2)_2$.

In seinem Verhalten gleicht es dem Silbernitrit, indem durch Einwirkung von Jodäthyl auf Mercuronitrit neben Äthylnitrit auch der echte Nitrokörper, Nitroäthan, beide allerdings nur in geringen Mengen, entstehen.

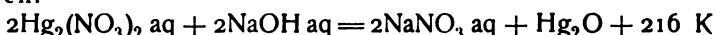
Mercuronitrat, $\text{Hg}_2(\text{NO}_3)_2 \cdot 2\text{H}_2\text{O}$, entsteht leicht durch Einwirkung von mit 2 bis 3 Teilen Wasser verdünnter Salpetersäure auf überschüssiges Quecksilber bei mäßiger Wärme, wobei ziemlich heftige Reaktion auftritt. Man kann auch das Metall in konzentrierter Säure lösen und das gebildete Oxydsalz durch Behandeln mit metallischem Quecksilber reduzieren.

Das Salz bildet kurze, monokline Säulen. Kristallformen s. bei Marignac.²⁴⁴) An der Luft verwittert das Salz allmählich, im Vakuum verliert es das Wasser rasch. In wenig Wasser löst es sich vollständig, beim Verdünnen werden basische Salze (s. u.) abgeschieden. Kalomel löst sich in der warmen Lösung in reichlicher Menge.

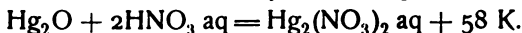
Die Bildungswärme des Salzes ist nach Varet²⁰³)



Die Wärmetönung bei der Zersetzung des Nitrats durch Natron (nach Abzug der durch überschüssige Salpetersäure verursachten Wärmetönung ist nach Thomsen:

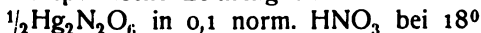


die Neutralisationswärme des Mercuroxyds mit Salpetersäure:



Das Salz schmilzt bei 70°. In der Hitze zerfällt es analog anderen Nitraten wie $\text{Pb}(\text{NO}_3)_2$ in N_2O_4 bzw. NO_2 und HgO .

Canzoneri²⁴⁵) bestimmte die durch Mercuronitrat in verdünnter Salpetersäure bewirkten Gefrierpunktsdepressionen und fand für diese ähnliche Zahlen wie für Calcium- und Bleinitrat, woraus er die Formel $\text{Hg}_2(\text{NO}_3)_2$ ableitete. Dasselbe folgerte bekanntlich Ogg²⁰⁵) aus der Leitfähigkeit des Salzes. Es wurde hierzu die spezifische Leitfähigkeit einer 0,1 n HNO_3 bestimmt, etwas $\text{Hg}_2(\text{NO}_3)_2$ hinzugesetzt und wiederum die Leitfähigkeit ermittelt; die Differenz gibt die spezifische Leitfähigkeit des Salzes.



Verdünnung v	μ
225	69,58
130	64,80
70	62,25
32	55,50
16	54,87
9	53,70
5	51,85

(weiteres s. S. 567).

In wässriger Lösung erleidet das Salz starke Hydrolyse, die in ziemlich komplizierter Weise zur Bildung mehrerer basischer Salze führt, von denen folgende aufgezählt werden:

a) $\text{Hg}_2\text{O} \cdot 3\text{Hg}_2(\text{NO}_3)_2 \cdot \text{H}_2\text{O} = 4\text{Hg}_2\text{O} \cdot 3\text{N}_2\text{O}_5 \cdot \text{H}_2\text{O}$ entsteht durch Einwirkung von verdünnter Salpetersäure auf überschüssiges Metall in der Wärme unter besonderen Bedingungen. Marignac²⁴⁶⁾, s. a. Lefort²⁴⁷⁾ Farblose luftbeständige Nadeln oder Prismen, welche dem rhombischen System angehören. Messungen s. bei Marignac.

b) $2\text{Hg}_2\text{O} \cdot 3\text{Hg}_2(\text{NO}_3)_2 \cdot 2\text{H}_2\text{O} = 5\text{Hg}_2\text{O} \cdot 3\text{N}_2\text{O}_5 \cdot 2\text{H}_2\text{O}$ entsteht ebenfalls durch längeres, gelindes Erwärmen von Quecksilber mit überschüssiger verdünnter Salpetersäure oder aus dem neutralen Mercuronitrat beim Behandeln mit wenig heißem Wasser (Lefort²⁴⁷⁾; Gerhardt²⁴⁸⁾). Glänzende, farblose Prismen nach Marignac (l. c.) triklin.

c) $\text{Hg}_2\text{O} \cdot \text{Hg}_2(\text{NO}_3)_2 \cdot \text{H}_2\text{O}$ oder $\text{Hg}_2(\text{OH})_2 \cdot \text{Hg}_2(\text{NO}_3)_2$ entsteht aus dem Salze a) oder aus dem neutralen Mercuronitrat durch längeres Behandeln mit kaltem Wasser, bis eine hell zitronengelbe Masse entstanden ist (Kane²⁴⁹⁾). Bei längerem Kochen mit Wasser zersetzt es sich unter Ausscheidung von Quecksilber und Bildung von Mercuronitrat. Es liegt höchstwahrscheinlich das einfachste basische Salz: $\text{Hg}_2\text{O} \cdot \text{OH} \cdot \text{NO}_3$ vor, das sich nach der Gleichung $\text{Hg}_2(\text{NO}_3)_2 + \text{H}_2\text{O} = \text{Hg}_2\text{O} \cdot \text{OH} \cdot \text{NO}_3 + \text{HNO}_3$ bildet.

Eine neuere Untersuchung von Cox²²³⁾ hat mit ziemlicher Sicherheit die Existenz folgender Salze (mit den charakteristischen Konzentrationen [s. S. 605 u. 606] für $\text{HNO}_3 = c$ für 25°) festgestellt:

- | | |
|---|----------------|
| 1. $\text{Hg}_2(\text{NO}_3)_2 \cdot 2\text{H}_2\text{O}$ | $c = 2,95$ |
| 2. $5\text{Hg}_2\text{O} \cdot 3\text{N}_2\text{O}_5 \cdot 2\text{H}_2\text{O}$ | $c = 0,293$ |
| 3. $2\text{Hg}_2\text{O} \cdot \text{N}_2\text{O}_5$ (?) | $c = 0,110$ |
| 4. $3\text{Hg}_2\text{O} \cdot \text{N}_2\text{O}_5 \cdot 2\text{H}_2\text{O}$ | $c = 0,0017$. |

Mercurioorthophosphat, $(\text{Hg}_2)_3(\text{PO}_4)_2$, bildet sich beim Eintragen von Mercuronitratlösung in überschüssige Na_2HPO_4 -Lösung als weißer, amorpher Niederschlag (Gerhardt²⁴⁸⁾; Haack^{249a)}). Die Spannung der Elektrode: $\text{Hg} \cdot \text{Hg}_6\text{P}_2\text{O}_8$, Na_2HPO_4 0,05 n gegen die Normalelektrode beträgt nach Immerwahr —0,1372 Volt. Mit überschüssigem Mercuronitrat bildet das Salz zwei von Gerhardt beschriebene Doppelsalze, deren Einheitlichkeit aber fraglich zu sein scheint.

Mercuriopyrophosphat, $(\text{Hg}_2)_2\text{P}_2\text{O}_7$, in analoger Weise erhalten, ist ebenfalls ein schweres, weißes, in Salpetersäure lösliches Kristallpulver, das sich, frisch gefällt, in überschüssigem Natriumpyrophosphat löst (Schwarzenberg²⁵⁰⁾).

Mercuriohexametaphosphat, $\text{Hg}_6\text{P}_6\text{O}_{18}$, wurde aus Natriumhexameta-

phosphat und Mercuronitrat als schweres, graues, in Wasser unlösliches und in Säuren schwerlösliches Pulver erhalten (Lüder²⁵¹)).

Mercurorthoarsenit, $(\text{Hg}_2)_3(\text{AsO}_3)_2$, entsteht aus Mercuronitrat und arseniger Säure in wässrig-alkoholischer Lösung als gelbstichiger Niederschlag, der in Wasser wenig, in Säuren leichtlöslich ist (Stavenhagen²⁵²)).

Mercurmetaarsenit, $\text{Hg}_2(\text{AsO}_2)_2$, gelblicher am Licht sich zersetzender Niederschlag, Reichard²⁵³)

Mercurorthoarsenat, $(\text{Hg}_2)_3(\text{AsO}_4)_2$. Fügt man eine Lösung von Natriumarsenat zu Mercuronitrat, so wird zuerst ein weißes Doppelsalz von Mercurioarseniat mit Mercuronitrat gefällt, welches, besonders schnell in der Wärme, durch Gelb und Orange in rotes, reines Mercurioarsenat übergeht (Simon²⁵⁴), Haack^{249a})). Braunrotes oder orangerotes Kristallpulver, aus feinen Nadeln bestehend, das unter Umständen auch mit 1 Mol H_2O zu kristallisieren scheint und in Salpetersäure löslich ist.

Mercurmetaarsenat, $\text{Hg}_2(\text{AsO}_3)_2$, wird beim Eindampfen des vorigen Salzes mit wässriger Arsensäure und Ausziehen des Trockenrückstandes mit Wasser als weißes, nicht kristallinisches wasserfreies Pulver erhalten (Simon, l. c.).

Ein Mercurioantimoniat ist von Berzelius beschrieben.

Mercurcarbonat, Hg_2CO_3 , entsteht durch Behandeln von Mercuronitrat mit Na_2CO_3 oder NaHCO_3 -Lösung (Setterberg²⁵⁵), Lefort²⁵⁶)). Gelbes Pulver, das sich am Licht schwärzt und leicht CO_2 verliert, besonders beim Erwärmen in wässriger Lösung. Die EMK der Elektrode: $\text{Hg}|\text{Hg}_2\text{CO}_3$, K_2CO_3 0,046 n bezogen die Normalelektrode beträgt nach Immerwahr⁸⁹) —0,0930 Volt.

Die Komplex- und Doppelsalze der Mercurreihe sind mit wenigen Worten erledigt. Wie schon des öfteren hervorgehoben, ist die Tendenz des Hg^{+2} -Ions zur Bildung von Komplexionen im Gegensatz zu den Mercurverbindungen außerordentlich gering. Besonders ist dieser Gegensatz in den Reihen der Halogenide ausgeprägt. Während die Mercurihalogene HgX_2 mit fast allen anderen Halogeniden zusammentreten, um mehr oder weniger komplexe Gebilde zu erzeugen, sind vom Mercurchlorid nur einige wenige Doppelverbindungen mit SnCl_2 , SnCl_4 , sowie mit AgCl bekannt. Außerdem sind noch vom Mercuronitrat einige Doppelsalze dargestellt.

$\text{Hg}_2\text{Cl}_2 \cdot 2\text{AgCl}$, vielleicht das Silbersalz einer komplexen Säure $\text{H}_2(\text{Hg}_2\text{Cl}_4)$ soll durch Einwirkung von festem Quecksilberchlorid auf reduziertes Silber bei Gegenwart von wenig Wasser entstehen (Jones²⁵⁷)).

$\text{Hg}_2\text{Cl}_2\text{SnCl}_2$ vielleicht: $\text{Hg}_2(\text{SnCl}_4)$ entsteht durch Erhitzen eines Gemenges von Zinnamalgam mit Kalomel auf 250° als weiße kristallinische Masse, welche durch Wasser infolge Freiwerdens von SnCl_2 unter Abscheidung von Quecksilber zersetzt wird (Capitaine²⁵⁸)).

$\text{Hg}_2\text{Cl}_2 \cdot \text{SnCl}_2$ bildet sich beim gelinden Erwärmen von Mercurichlorid mit Schwefel als blaßgelbe Nadeln und Säulen.

Vom Mercuronitrat kennt man folgende Verbindungen:

$\text{Hg}_2(\text{NO}_3)_2 \cdot 4\text{NH}_4\text{NO}_3 \cdot 5\text{H}_2\text{O}$ (Rammelsberg²⁵⁹)). Das Salz bildet sich beim Abdampfen der Lösungen der beiden Salze.

Von Städeler²⁶⁰) sind schließlich einige Salze beschrieben, welche auf den folgenden Typus zu beziehen sind: $2\text{Hg}_2(\text{NO}_3)_2 \cdot \text{Me}''(\text{NO}_3)_2$, $\text{Me}'' = \text{Sr}, \text{Ba}, \text{Pb}$. Ihrem ganzen Verhalten nach sind diese Verbindungen, wie bei der bedeutenden Elektroaffinität des NO_3^- -Ions zu erwarten, Doppelsalze in Ostwalds Sinne und leicht zum Zerfall geneigt. Wasser zieht aus allen Salzen

das Nitrat $\text{Mer}(\text{NO}_3)_2$ aus unter Zurücklassung von basischem Mercuronitrat. Die Doppelsalze bilden sich direkt durch Vermischen der Lösungen der Einzelsalze.

Mercurisalze.

Die Mercurisalze: HgX_2 entstehen aus den vorigen: Hg_2X_2 durch oxydierende Einflüsse, so Mercurinitrat $\text{Hg}(\text{NO}_3)_2$ aus $\text{Hg}_2(\text{NO}_3)_2$ oder metallischem Quecksilber durch überschüssige Salpetersäure. Die löslichen Salze dieser Reihe können leicht durch Einwirkung der betreffenden Säure auf Mercurioxyd erhalten werden. Die Mercurisalze enthalten in wässriger Lösung das zweiwertige Ion Hg^{+2} , dessen Eigenschaften schon im einleitenden Teil gegeben sind. Gegenüber den Mercurosalsen sind die Mercurisalze durch die auffallend große Tendenz zur Bildung von Komplex- und Doppelsalzen ausgezeichnet, was sich nach Abegg und Bodländer durch die geringere Haftintensität des Hg^{+2} -Ions im Gegensatz zum Hg_2^{+2} -Ion erklärt (s. Elektroch. d. Quecks. S. 561). Auch die Löslichkeitsverhältnisse der Mercurisalze sind andere als in der Mercuroreihe. Im allgemeinen sind die Salze: HgX_2 resp. HgY usw. weit löslicher als die entsprechenden Verbindungen: Hg_2X_2 , Hg_2Y usw. Die Löslichkeit der Salze HgX_2 steht mit der Elektroaffinität des Anions X häufig wieder in der Beziehung, daß mit abnehmender Stärke des Anions X auch die zuerst genannte Eigenschaft dieselbe Änderung erleidet, wofür die Reihe HgCl_2 , HgBr_2 , HgI_2 einen Beleg gibt. Von schwerlöslichen Mercurisalzen sei das Sulfat, Phosphat, Carbonat und besonders das Sulfid genannt. Der eigenartigen elektrolytischen Dissoziation der Mercurisalze wurde ebenso schon in der Einleitung (S. 555) gedacht. Die den Salzen zugrunde liegende Base $\text{Hg}(\text{OH})_2 = \text{HgO} + \text{H}_2\text{O}$ ist sehr schwach, wie schon aus der stark sauren Reaktion der weitgehend dissoziierten Salze z. B. des Nitrats, Perchlorats u. a. hervorgeht. Die genannte Klasse von Mercurisalzen mit starken sauerstoffhaltigen Anionen wie NO_3 , SO_4 , CO_3 , ClO_4 usw. und ebenfalls das Fluorid sind weitgehend hydrolytisch gespalten.

Durch die Hydrolyse bilden sich häufig gut definierte schwerlösliche basische Salze, die meist durch eine gelbe Färbung ausgezeichnet sind, so daß hieran leicht der Eintritt jener hydrolytischen Zersetzung erkannt werden kann. Nur aus einigen Mercurisalzen, z. B. dem Perchlorat, entstehen leichtlösliche basische Salze, die auch bei hohen Verdünnungen nicht ausfallen, was vielleicht auch mit der großen Elektroaffinität des ClO_4 -Anions zusammenhängen mag.

Mercurifluorid, $\text{HgF}_2 \cdot 2\text{H}_2\text{O}$, weicht in vielen Punkten von den übrigen Mercurihaloiden ab. Wie die Existenz von Fluorjodaten (s. diese) beweist, kann häufig F_2 an Stelle von O treten, ohne daß die Eigenschaften der Verbindung wesentlich geändert werden. Auch $\text{Hg} \begin{smallmatrix} \text{F} \\ < \\ \text{F} \end{smallmatrix}$ zeigt vielfach Ähnlichkeit mit einem Salz mit Quecksilber-Sauerstoff-Bindung und starkem Anion $\text{Hg} \begin{smallmatrix} \text{O} \\ < \\ \text{O} \end{smallmatrix}$. So muß nach allem, wenn auch noch keine direkten Versuche darüber vorliegen, HgF_2 stark elektrolytisch dissoziiert sein, denn es zeigt, wie z. B. $\text{Hg}(\text{NO}_3)_2$, starke Hydrolyse und damit die Tendenz zur Bildung basischer Salze. Auch Ammoniak wirkt auf Mercurifluorid in derselben Weise wie auf gut dissoziierte Quecksilber-Sauerstoffsalze ein (s. S. 669).

Das Salz wird durch Lösen von Mercurioxyd in wässriger Flußsäure als weiße Masse gewonnen (Finkener²⁶¹)). Wasser zersetzt es schon in der Kälte nahezu vollständig in Säure und Base. Die Löslichkeit von rotem Quecksilberoxyd in Flußsäure verschiedener Konzentration wurde von Jäger²⁶²) bestimmt, welcher folgende Zahlen erhielt:

Normalität der Flußsäure	Auf 1000 ccm Lösung		berechnet gefunden
	gefundene g-Atome	berechnete Hg	
0,12	0,01258	0,06	4,8
0,24	0,0247	0,12	4,9
0,57	0,0629	0,285	4,5
1,11	0,1168	0,555	4,8
2,17	0,2586	1,085	4,2

Hiernach ist unabhängig von der Verdünnung nur $1/4,5 = 0,22$ der möglichen Salzmenge gebildet, also 78 Proz. der Säure noch in freier Form vorhanden. Aus diesem hydrolytischen Gleichgewicht folgt die Konstitutionsformel H_2F_2 der Flußsäure und eine Beziehung zwischen ihrer Dissoziationskonstante und der des HgF_2 (Abegg und Cox^{262a})).

Durch Zusatz von KF wird die Löslichkeit des Quecksilberoxyds in Flußsäure weiter herabgedrückt, was sich durch die Verminderung der H-Dissoziation der Säure durch den Zusatz des gleichionigen Elektrolyten (durch die Bildung von saurem Fluorid KHF_2) erklärt.

Ein basisches Fluorid:

$\text{HgF}_2 \cdot \text{HgO} \cdot \text{H}_2\text{O}$ soll durch Eintragen von überschüssigem, frisch gefälltem, gelbem Quecksilberoxyd in konz. Flußsäure als orangegelbes, kristallinisches Pulver entstehen, das sich durch Einwirkung von Wasser wie das vorige zersetzt (Finkener²⁶¹)). Nach einer neueren Untersuchung von Cox²²³) ist jedoch die Existenz dieses basischen Salzes wenigstens bei mittleren Temperaturen zweifelhaft. Bei 25° verläuft die Hydrolyse des Fluorids vielmehr nach der Gleichung: $\text{HgF}_2 + \text{H}_2\text{O} \rightleftharpoons \text{HgO} + \text{H}_2\text{F}_2$, d. h. unter direkter Bildung des Oxyds.

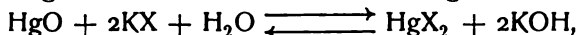
Die charakteristische Minimalkonzentration der Flußsäure (s. S. 606) ist für das Mercurifluorid nach obigem $> 2,17$ bei 25° .

Die drei übrigen Mercurihaloide HgCl_2 , HgBr_2 , HgJ_2 verhalten sich chemisch sehr ähnlich, in ihren physikalischen Konstanten tritt meist eine Abstufung auf; einige derselben seien hier kurz zusammengestellt.

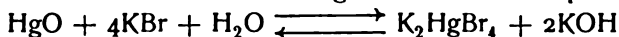
	HgCl_2	HgBr_2	HgJ_2 (rot)
Löslichkeit in Wasser (100 Tle H_2O bei			
ca 15 lösen Tle.	6,6	ca. 1,2	ca. 0,7
Spez. Gew.	5,4	5,7	6,2
Bildungswärme in K	533	407	252
Mol. Leitfähigkeit bei 25° und $v = 128$	5,1	1,3	—

Alle drei Halogenide kristallisieren wasserfrei, Hydrate konnten im festen Zustande nicht erhalten werden, auch hierin unterscheiden sie sich charakteristisch vom Fluorid $\text{HgF}_2 \cdot 2\text{H}_2\text{O}$. Infolge der geringen Dissoziation der drei Stoffe, die vom Chlorid zum Jodid abnimmt, wird die wässrige Lösung durch äquivalente Mengen OH-Ionen nur unvollständig zerlegt, andererseits löst

sich Mercurioxyd in den Lösungen der Alkalihalogene auf unter Bildung der entsprechenden Quecksilberhalogenide resp. der Komplexsalze und Hydroxylionen. Auf beiden Wegen stellt sich im wesentlichen folgendes Gleichgewicht her:



wobei bemerkt werden soll, daß die Gleichung nur den Hauptvorgang zur Darstellung bringt; tatsächlich vereinigt sich stets ein mehr oder weniger großer Teil des Mercuri- und Alkalihalogens zu einem Komplexsalz, z. B.



(Bugarszky, siehe HgBr_2).

Diese Verhältnisse sind eingehend von Bersch untersucht.²⁶³⁾ Derselbe bestimmte die Löslichkeit von gelbem Quecksilberoxyd in den Lösungen verschiedener Alkali- und Erdalkalihalogenide und Rhodanide. (Auch $\text{Hg}(\text{SCN})_2$ ist wenig dissoziiert und geneigt, Komplexsalze zu liefern; schließt sich somit den Halogeniden an.) Die benutzten Lösungen waren sämtlich normal und wurden bis zum eingetretenen Gleichgewicht mit überschüssigem Oxyd geschüttelt; die hierbei schließlich gefundenen Mengen von freiem Alkali in Prozenten bei verschiedenen Temperaturen sind in der folgenden Tabelle verzeichnet.

Lösungen	25°	50°	79°	99,5°
KCl	0,240	0,410	0,538	0,880
KBr	6,36	6,80	7,00	7,20
KJ	76,0	55,4	58,8	61,0
KSCN	8,78	6,45	5,60	

Infolge der geringen Dissoziation der drei Mercurihalogene bilden sich diese Stoffe stets, wenn Hg^{++} -Ionen selbst in sehr geringer Menge mit den Ionen Cl' , Br' und J' zusammentreten. Aus diesem Grunde lösen sich auch eine Reihe schwerlöslicher Mercurisalze (meist von Sauerstoffsäuren) in den Lösungen von NaCl , NaBr , NaJ usw. Derartige schwerlösliche Salze sind Mercuriphosphat, -arsenat, -sulfat, -jodat u. a. Andererseits geben natürlich die Ionen $(\text{HPO}_4)''$ $(\text{HASO}_4)''$ usw., z. B. die betreffenden Natriumsalze, mit HgCl_2 -Lösungen keine Niederschläge.

Mercurichlorid, Sublimat, HgCl_2 wird leicht nach den allgemeinen Methoden erhalten; kristallisiert rhombisch. Das spezifische Gewicht beträgt 5,41. Nach Poggiale^{263a)} lösen 100 Tle. Wasser

bei 0° 10° 20° 30° 40° 50° 60° 70° 80° 90° 100°

5,73 6,57 7,39 8,43 9,62 11,34 13,86 17,29 24,30 37,05 53,96 Tle. HgCl_2
Löslichkeit in Essigester (Linebarger²⁶⁴⁾).

100 Mole $\text{CH}_3\text{CO}_2\text{C}_2\text{H}_5$ lösen:

bei 0° 13° 30° 40,5° 50,2°

15,4 15,9 16,0 16,1 16,3 Mole HgCl_2 .

Die bei 18° gesättigte Lösung (1 g HgCl_2 in 3,5 g Äthylacetat enthaltend) besitzt das spez. Gew. 1,10 auf Wasser von 4° bezogen (Naumann²⁶⁵⁾).

Das Salz löst sich in ca. 3 Teilen Alkohol, etwa 4 Tln. Äther und 14 Tln. Glycerin bei gewöhnlicher Temperatur. Bei 25° löst 1 Liter Benzol 0,0197 Mol, 1 Liter Wasser 0,263 Mol HgCl_2 (Sherrill³⁴⁰⁾). Reichlich wird es ferner von warmem Benzol und vielen anderen organischen Lösungsmitteln aufgenommen.

Die Löslichkeit des Salzes in Äther steigt auf mehr als das Doppelte, wenn dem Äther Wasser zugesetzt wird. Strömholm^{265a)}, welcher diese

Verhältnisse untersuchte (s. folg. Tab.), nimmt in Äther beständige Hydrate des Mercurichlorids an.

Löslichkeit des HgCl_2 in wasserhaltigem Äther
(die Zahlen bedeuten Mole pro Liter)

H_2O	HgCl_2
0,39222	0,31003
0,32668	0,28487
0,26111	0,25890
0,19555	0,23387
0,13111	0,20694
0,06556	0,17948
0	0,15151

Nach McIntosh²⁶⁶⁾ sollen Alkoholate des Sublimats existieren. Aus methylalkoholischer Lösung kristallisiert unterhalb $38,8^0$ $\text{HgCl}_2 \cdot \text{CH}_3\text{OH}$, oberhalb $38,8^0$ reines Mercurichlorid; bei dieser Temperatur zeigt die Löslichkeitskurve des Sublimats eine deutliche Richtungsänderung. Der Umwandlungspunkt sinkt, wenn der Alkohol mit Wasser verdünnt wird; so liegt der Punkt für eine Mischung von 100 g Alkohol und 19,2 g Wasser bei $22,0^0$.

Die spez. Gew. der wässrigen Sublimatlösungen sind nach Schröder²⁶⁷⁾

	4,72 ‰	3,75 ‰	2,42 ‰	1,22 ‰
bei 0^0	1,04070	1,03050	1,02035	1,01008
bei 10^0	1,04033	1,03022	1,02013	1,00990
bei 20^0	1,03856	1,02855	1,01856	1,00835
bei 30^0	1,03566	1,02577	1,01585	1,00575

Dichten einiger Sublimatlösungen nach Schönrock^{267a)}

HgCl_2 in Wasser

‰ : 4,5256	d_4^{16} : 1,03806
" 4,2224	" 1,03491

HgCl_2 in Alkohol

‰ : 23,5489	d_4^{16} : 0,99885
" 11,8801	" 0,88572

HgCl_2 in Pyridin

‰ : 17,5312	d_4^{16} : 1,15228
" 6,5675	" 1,03884

HgCl_2 in Aceton

‰ : 36,2488	$d_4^{21,7}$: 1,15854
-------------	------------------------

HgCl_2 in Amylalkohol

‰ : 10,9948	d_4^{16} : 0,89550
-------------	----------------------

Die spezifische Wärme beträgt 0,0689. Für die Bildungswärme gilt die Gleichung: $\text{Hg}_{(\text{fest})} + \text{Cl}_{2\text{gasf.}} = \text{HgCl}_{2\text{fest}} + 533 \text{ K (Varet}^{77})$.

Über die normalen Gefrierpunkts- und Dampfspannungserniedrigungen von Sublimatlösungen s. Raoult.²⁶⁸⁾

Im Gegensatz zu dem Cadmiumsalze scheint dem Mercurichlorid nur geringe Neigung zur Assoziation zuzukommen. Die Gefrierpunktserniedrigungen in Urethan²⁶⁹⁾ sowie die Siedepunkterhöhungen in Methylalkohol und Äther²⁷⁰⁾ ergaben für das gelöste HgCl_2 einfaches Molekulargewicht.

Die molekulare Leitfähigkeit der wässrigen Sublimatlösungen beträgt bei 25° nach Ley²⁷¹⁾

v	Λ (rec. Ω)
32	2,17
64	3,77
128	4,91
256	7,54
512	12,0

v auf gr Mole und Liter bezogen. Λ in rez. Ω (blanke Elektroden).

Nach Kahlenberg^{271a)} beträgt die Leitfähigkeit bei 95°

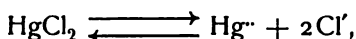
v (Liter)	Λ (rez. Ω)
2	1,93
4	2,12
8	3,98
16	5,24
32	8,78
64	14,40
128	18,60
256	28,77
512	45,90
1024	77,07

Die wässrigen Sublimatlösungen reagieren deutlich sauer.

Nach Lasczynky²⁷²⁾ beträgt die Leitfähigkeit des Sublimats in Aceton bei 18°

v(Liter)	Λ (rez. Ω)
2,26	0,075
4,52	0,149
9,04	0,279
18,08	0,476
36,16	0,734

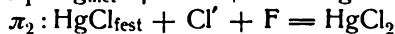
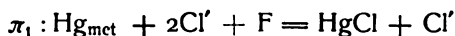
Die Dissoziationskonstante des Sublimats im Sinne der Formel



deren Kenntnis in physiologischer Beziehung von Bedeutung ist, ist von Luther auf zwei verschiedenen Wegen ermittelt worden.

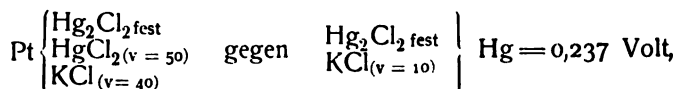
1. Die EMK der Kette: $\text{Hg} | \text{HgCl}_2(\text{C}_1) | \text{Hg}(\text{NO}_3)_2(\text{C}_2) | \text{Hg}$ gibt sofort über die unbekannte Hg^{++} -Ionenkonzentration im Sublimat Aufschluß.

a) Den Potentialsprung $\text{Hg} | \text{HgCl}_2(\text{C}_1)$ berechnet Luther mit Hilfe der zwischen den 3 EMK:



bestehenden Beziehung: $\pi_3 = \frac{\pi_1 + \pi_2}{2}$. (Luther, S. 561).

π_1 und π_2 sind experimentell bestimmbar, letzteres mit Hilfe einer unangreifbaren Elektrode. Nach Drucker²⁷³⁾ ist die EMK der Kette:



wobei die Pt-Elektrode positiv war. Die Messungen sind auf die Normalkalomelektrode $-0,56$ Volt bezogen.

Die EMK $\text{Hg}|\text{HgCl}, \text{KCl}_{(v=10)}$ ist zuletzt von Calame²⁷⁴⁾ $= -0,616$ Volt gemessen; daraus ergibt sich $\text{EMK Hg}|\text{Hg}_2\text{Cl}_2, \text{KCl}_{v=40} = -0,648$ Volt. Wir haben demnach:

$$\begin{array}{rcl} \pi_1 : \text{Hg}|\text{HgCl}, \text{KCl}_{v=40} & = & -0,648 \text{ Volt} \\ \pi_2 : \text{Pt}|\text{HgCl}, \text{HgCl}_{2v=50}, \text{KCl}_{v=40} & = & -0,853 \text{ Volt,} \\ \hline \text{daraus } \pi_3 : \text{Hg}|\text{HgCl}_{2v=50}, \text{KCl}_{v=40} & = & -0,750 \text{ Volt.} \end{array}$$

b) Der Potentialsprung $\text{Hg}|\text{Hg}(\text{NO}_3)_2$ läßt sich mittels der von Ogg (S. 554) ermittelten Beziehung: $\frac{1/2 \text{Hg}_2^{++}}{\text{Hg}^{++}} = \text{konst.} = \text{ca. } 223$ finden. Eine Mercurosalzlösung hat gegen Quecksilber die gleiche Spannung wie eine 223mal so verdünnte Mercurisalzlösung. Nach Ogg ist ferner die EMK einer Kette:

$$\text{Hg}|\text{Hg}_2(\text{NO}_3)_{2(v=5)}, \text{Ag}(\text{NO}_3)_{(v=5)}|\text{Ag} = 0,005 \text{ Volt,}$$

wobei der Hg-Pol positiv ist. Um diese Zahlen mit Hilfe der Normalelektrode auf die Druckerschen zu beziehen, bedienen wir uns einer Neumannschen Messung: $\text{Ag}|\text{AgNO}_3_{(v=1)} = -1,055$ Volt, woraus sich $\text{Ag}|\text{AgNO}_3_{(v=5)} = -1,022$ Volt berechnet. Durch Kombination mit der drittletzten Gleichung und der Beziehung: $1/2 \text{Hg}_2^{++} : \text{Hg}^{++} = 223$ ergibt sich:

$$\text{EMK: Hg}|\text{Hg}_2(\text{NO}_3)_{2(v=5)} = \text{Hg}|\text{Hg}(\text{NO}_3)_{2(v=1115)} = -1,016.$$

Nimmt man die $1/1115$ norm. Mercurinitratlösung als vollständig dissoziiert an, so lautet die Nernstsche Gleichung der in Frage kommenden Konzentrationskette: $\text{Hg}|\text{Hg}(\text{NO}_3)_2; \text{HgCl}_{2(v=50)}, \text{KCl}_{(v=40)}|\text{Hg}$

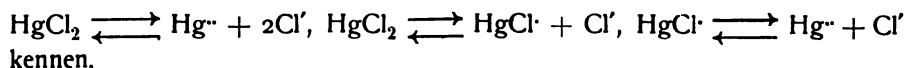
$$(1,016 - 0,750) = 0,0285 \cdot \log \frac{1}{1115 \cdot x};$$

folglich: $x = 4,8 \times 10^{-13}$. Unter der weiteren Voraussetzung, daß in der Lösung: $\text{HgCl}_{2(v=50)}, \text{KCl}_{(v=40)}$ keine erhebliche Komplexsalzbildung stattfindet, berechnet sich die Dissoziationskonstante des Sublimats:

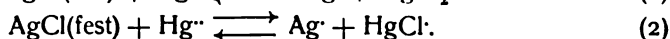
$$\frac{\text{Hg}^{++} \times (\text{Cl}')^2}{\text{HgCl}_2} = \frac{4,8 \times 10^{-13} \times 50}{40^2} = 1,5 \times 10^{-14}.$$

2. Wegen der geringen Dissoziation des Sublimats müssen Mercuriionlösungen, z. B. $\text{Hg}(\text{NO}_3)_2$, ebenso imstande sein, schwerlösliche Chloride, z. B. AgCl , zu lösen, wie Säuren imstande sind, schwerlösliche Basen oder Salze schwacher Basen zu lösen.

Die diesbezügliche genauere Untersuchung, welche von Morse²⁷⁵⁾ angestellt wurde, lehrte sämtliche Dissoziationskonstanten des Sublimats entsprechend den Gleichungen:



Für die Lösung des Chlorsilbers in Mercurinitrat kommen folgende Reaktionen in Frage:



Die möglichen Gleichgewichte sind folgende:

Gleichgewichte:	entsprechende Konstante
I. $\text{HgCl}_2 \rightleftharpoons \text{Hg}^{++} + 2\text{Cl}'$	$\frac{\text{Hg}^{++} \times \text{Cl}'^2}{\text{HgCl}_2} = K_1$
II. $\text{HgCl}_2 \rightleftharpoons \text{HgCl}' + \text{Cl}'$	$\frac{\text{HgCl}' \times \text{Cl}'}{\text{HgCl}_2} = K_2$
III. $\text{HgCl}' \rightleftharpoons \text{Hg}^{++} + \text{Cl}'$	$\frac{\text{Hg}^{++} \times \text{Cl}'}{\text{HgCl}'} = \frac{K_1}{K_2} = K_3$
IV. $\text{Hg}^{++} + \text{HgCl}_2 \rightleftharpoons 2\text{HgCl}'$	$\frac{\text{Hg}^{++} \times \text{HgCl}_2}{\text{HgCl}'^2} = \frac{K_1}{K_2^2} = K_4$

Erfolgt die Auflösung im Sinne der Gleichung (1), so muß K_1 konstant sein, erfolgt sie gemäß der zweiten Gleichung, so ist Konstanz von K_3 zu erwarten. Sind beide Reaktionen zu berücksichtigen, so war K_4 zu ermitteln letzteres geschah durch Verteilungsversuche.

Infolge Hydrolyse der Mercurinitratlösung wurde letztere in salpetersaurer Lösung verwendet und der Grad der elektrolytischen Dissoziation des Mercurinitrats zu 0,4 (bei allen untersuchten Konzentrationen) angenommen (siehe $\text{Hg}(\text{NO}_3)_2$).

Die Löslichkeitsbestimmungen wurden so angestellt, daß entweder reines Chlorsilber mit Mercurinitratlösungen von verschiedener Konzentration, oder, daß wechselnde Mengen von HgCl_2 , $\text{Hg}(\text{NO}_3)_2$ und AgNO_3 bis zum Eintritt des Gleichgewichts zusammen geschüttelt werden. Die Zahlen bedeuten Mole pro Liter.

HNO_3	$\text{Hg}(\text{NO}_3)_2$	HgCl_2	AgNO_3
Vers. 1. Mit wechselnder HgCl_2 -Konzentration.			
0,05	0,04063	0,00439	0,00878
	0,04219	0,00776	0,00552
	0,04788	0,01212	0,00425
	0,04823	0,01677	0,00353
	0,04852	0,02145	0,00289
	0,04857	0,03103	0,00206
	0,04911	0,04089	0,00178
Vers. 2. Mit wechselnder Silbernitratkonzentration.			
0,05	0,04706	0,00294	0,01586
	0,04783	0,00217	0,02434
	0,04849	0,00151	0,03300
	0,04879	0,00121	0,04240
	0,04897	0,00103	0,05205
Vers. 3. Mit Überschuß an Silbernitrat und wechselnder Mercurinitratkonzentration.			
0,025	0,02389	0,00117	0,02233
0,035	0,03354	0,00146	0,02293
0,050	0,04816	0,00184	0,02368
0,060	0,0587	0,00214	0,02428
0,080	0,07235	0,00265	0,02530
0,100	0,09682	0,00319	0,02638

Vers. 4. Mit wechselnder Mercurinitratkonzentration (Chlorsilber in der Lösung gefällt).

0,020	0,01694	0,00307	0,00614
0,030	0,02631	0,00369	0,00739
0,040	0,03581	0,00419	0,00838
0,050	0,04501	0,00490	0,00980
0,060	0,05497	0,00503	0,01006
0,070	0,06412	0,00597	0,01093

Vers. 5. Mit wechselnder Mercurinitratkonzentration (durch Auflösen von Chlorsilber).

1,00	0,97600	0,02402	0,04805
0,10	0,09305	0,00695	0,01390
0,05	0,04543	0,00457	0,00914
0,025	0,02155	0,00345	0,00691
0,0125	0,01001	0,00249	0,00499
0,0100	0,00784	0,00216	0,00432

Das Löslichkeitsprodukt des Chlorsilbers wurde zu $[1,35 \times 10^{-5}]^2$ angenommen. Die Berechnung der K_1 - und K_3 -Werte aus diesen Zahlen ergab, daß bei wechselnder Mercurichloridkonzentration (Versuch 1) sowohl K_1 als auch K_3 nicht konstant war, während bei den übrigen Versuchen K_3 eine gute Konstanz aufwies. Hieraus folgt, daß bei Überschuß von Mercurinitrat das Chlor fast nur in Form von HgCl -Ionen vorhanden sein kann. Ferner zeigte die Konstanz von K_3 bei wechselnder Silbernitratkonzentration, daß der Betrag der Komplexbildung zwischen Mercurinitrat und Chlorsilber nur verschwindend klein sein konnte. Auf die Kompleksalzbildung wurde weiter keine Rücksicht genommen.

Das Gleichgewicht: $\text{Hg}^{++} + \text{HgCl}_2 \rightleftharpoons 2\text{HgCl}^+$ wurde durch Messung der Verteilung des Sublimats 1. zwischen Toluol und reinem Wasser, 2. zwischen Toluol und Mercurinitratlösung bestimmt, wobei angenommen wurde, daß die vom Mercurinitrat gebundenen Sublimatmengen in Form des fast völlig dissoziierten Salzes HgClNO_3 [$\text{HgClNO}_3 \rightleftharpoons \text{HgCl}^+ + (\text{NO}_3)^-$] vorhanden waren. Für die Verteilung von Mercurichlorid zwischen Wasser und Toluol fand Morse fast denselben Wert wie Hantzsch und Vagt²⁷⁶⁾

Verteilung: Wasser \longleftrightarrow HgCl_2 \longrightarrow Toluol.

C_1 Wasser	C_2 Toluol	% in Wasser	% in Toluol	$\frac{C_1}{C_2}$
0,18140	0,01590	92,05	7,95	11,6
0,09133	0,00807	91,93	8,07	11,4
0,04590	0,00410	91,80	8,20	11,1
0,02289	0,00211	91,55	8,45	10,8
0,01142	0,00108	91,35	8,65	10,5
0,00573	0,00057	90,90	9,10	10,0

Verteilung: Mercurinitratlösung \longleftrightarrow HgCl_2 \longrightarrow Toluol.

$\text{Hg}(\text{NO}_3)_2$	HgCl_2	C_1 Wasser	C_2 Toluol	$\frac{C_1}{C_2}$	HgCl_2 gebunden %	HgCl_2 frei %
0,025	0,050	0,0472	0,0028	16,5	34	66
0,050	0,050	0,0476	0,0024	19,5	45	55
0,100	0,050	0,0485	0,0015	31,0	66	34
0,250	0,050	0,0491	0,0009	55,0	80	20
0,500	0,050	0,0494	0,0005	85,0	88	12
0,050	0,025	0,02417	0,00083	10,4	64	36
0,100	0,025	0,02440	0,00060	40,5	75	25
0,250	0,025	0,02470	0,00030	83,0	88	12
0,500	0,025	0,02484	0,00016	155,0	93	7
0,025	0,010	0,00972	0,00028	34,0	70	30
0,050	0,010	0,00981	0,00019	52,0	80	20
0,100	0,010	0,00989	0,00011	87,0	88	12
0,050	0,005	0,00494	0,00006	83,0	88	12
0,100	0,005	0,00497	0,000025	200,0	95	5

Letztere Tabelle erlaubt die Konstante $K_4 = \frac{\text{Hg}^+ \times \text{HgCl}_2}{[\text{HgCl}]^2}$ zu berechnen; das Mittel aus den sehr gut übereinstimmenden Einzelwerten ist: $K_4 = 0,13$. Ein ähnlicher Wert wurde erhalten durch Messung der Löslichkeitszunahme des Sublimats in Mercurinitratlösung:

die Löslichkeit der HgCl_2 in reinem Wasser beträgt bei 25° 71,17 g pro Liter
 " " " " " 0,1 n Mercuri-
 nitratlösung " " 25° 105,0'g " "

Hieraus berechnet sich die Menge des gebundenen Sublimats zu 34 Proz., der entsprechende Verteilungsversuch ergibt 37 Proz.

Mit Hilfe der Konstanten K_4 ließen sich die tatsächlich vorhandenen Mengen an HgCl -Ionen zur genauen Berechnung der Konstanten K_3 ermitteln. Der Mittelwert aus den Versuchen 1—5 ist:

$$K_3 = \frac{K_1}{K_2} = 3,5 \times 10^{-8}.$$

Durch Kombination der Konstanten K_4 und K_3 ($K_3^2 = K_4 \cdot K_1$) erhält man K_1 und damit sämtliche Dissoziationsisothermen des Sublimats:

$$\begin{array}{ccc} K_1 = & K_2 = & K_3 = \\ \frac{\text{Hg}^+ \times \text{Cl}'^2}{\text{HgCl}_2} & \frac{\text{HgCl} \times \text{Cl}'}{\text{HgCl}_2} & \frac{\text{Hg}^+ \times \text{Cl}'}{\text{HgCl}} \\ 1,0 \times 10^{-14} & 2,8 \times 10^{-7} & 3,5 \times 10^{-8} \end{array}$$

Die Übereinstimmung der beiden auf verschiedenen Wegen erhaltenen K_1 -Werte ist sehr bemerkenswert.

Die Existenz des Ions HgCl sowie von Silberhalogenkomplexen²⁷⁾ wurde von Morse auch durch qualitative Überführungsversuche nachgewiesen.

Daß Chlorsilber in Mercurinitrat- resp. Acetatlösung löslich ist, war schon Wackenroder²⁷⁸⁾ und Stas²⁷⁹⁾ bekannt. Nach Morse lassen sich die Silberhalogenide zweckmäßig aus Mercurinitratlösung umkristallisieren.

Daß die Hydrolyse der Sublimatlösungen nur gering sein kann, geht schon aus den sehr kleinen Werten der Leitfähigkeit hervor. Auf Grund der Tatsache, daß Sublimatlösungen deutliche H-Ionenreaktion geben, wurde angenommen, daß die gesamte Leitfähigkeit von der hydrolytisch abgespaltenen Salzsäure herrühre. Die so berechneten oberen Grenzwerte für die Hydrolyse sind nach Ley²⁷¹⁾ folgende:

v auf Äquivalente bezogen	16	32	64	128	256
Proz. Hydrolyse	0,26	0,39	0,58	0,90	1,43.

Unter Berücksichtigung der elektrolytischen Dissoziation $\text{HgCl}_2 = \text{HgCl}^+ + \text{Cl}^-$ läßt sich nach Luther²⁸⁰⁾ überschlagen, daß bei der Lösung $v = 16$ ca. 70 Proz. der Leitfähigkeit durch die Hydrolyse bedingt werden, welche letztere zufolge der Gleichung: $2\text{HgCl}_2 + \text{H}_2\text{O} = (\text{HgCl}_2\text{HgO}) + 2\text{H}^+ + 2\text{Cl}^-$ verläuft. Schließlich ist die Hydrolyse auch direkt mittels Rohrzuckerinversion gemessen, wobei sich folgende Zahlen ergaben:

Äquiv. HgCl_2	5	10 Liter
Proz. Hydrolyse	0,08	0,09 (H. Ley und Heimbucher ²⁸¹⁾).

In der gesättigten Sublimatlösung sind nach Luther (l. c.) im wesentlichen 6 verschiedene Molekül- resp. Ionenarten vorhanden und zwar bei 25° in folgenden Konzentrationen:

(HgCl_2)	$(\text{HgCl})^+$	H^+	Cl^-	Hg^{++}	$(\text{HgCl}_4)^{--}$
$2,6 \times 10^{-1}$	$1,5 \times 10^{-4}$	$3,3 \times 10^{-4}$	$4,8 \times 10^{-4}$	1×10^{-8}	5×10^{-6} .

Sublimat ist somit ein Salz, welches sowohl geringe elektrolytische als auch hydrolytische Dissoziation zeigt. Falls man von der ersteren absieht, muß sich Quecksilberchlorid qualitativ wie eine Salzsäure von äußerst geringer Dissoziationskonstante verhalten, es muß deshalb sowohl die H-Ionenkonzentration durch Cl-Ionen als auch die Cl-Ionenkonzentration durch H-Ionen zurückgedrängt werden können, was auch in der Tat der Versuch entscheidet (Luther).

Aus der geringen elektrolytischen Dissoziation des Sublimats erklärt sich seine große Beständigkeit und Indifferenz gegen manche Reagenzien. So wird der Stoff weder von konz. Schwefelsäure noch von Salpetersäure wesentlich angegriffen und kann aus kochender Schwefelsäure unverändert verflüchtigt werden. Die Sublimatlösungen werden ziemlich leicht zu Kalomel reduziert. So tritt schwache Reduktion wässriger Sublimatlösungen schon durch andauernde Belichtung derselben auf; leicht erfolgt die Reaktion durch Zinnchlorür: $2\text{HgCl}_2 + \text{SnCl}_2 = \text{SnCl}_4 + \text{Hg}_2\text{Cl}_2$, resp. durch Überschuß von Zinnsalz: $\text{HgCl}_2 + \text{SnCl}_2 = \text{SnCl}_4 + \text{Hg}$. Die Bildung von Kalomel mit Hilfe von phosphoriger Säure, H_3PO_3 , ist bekanntlich eine in der Analyse häufig benutzte Reaktion. Interessant ist schließlich noch die Reduktion mittels Oxalsäure und Oxalate, welche im Dunklen mit sehr geringer, durch Belichtung jedoch mit meßbarer Geschwindigkeit vor sich geht, so daß von Eder²⁸²⁾ auf diese Reaktion ein chemisches Aktinometer gegründet ist. Die Reaktion verläuft nach der Gleichung: $2\text{HgCl}_2 + (\text{NH}_4)_2\text{C}_2\text{O}_4 = 2\text{NH}_4\text{Cl} + 2\text{CO}_2 + \text{Hg}_2\text{Cl}_2$. Näheres s. Roloff.²⁸³⁾

Über Reaktionen des in indifferenten Lösungsmitteln (Essigester, Pyridin etc.) gelösten Sublimats s. Naumann²⁸⁴⁾ sowie die Dissertationen seiner Schüler (Gießen seit 1900).

Die Dampfdrucke des festen Sublimats sind nach Messungen von Niederschulte^{252a} und Arctowski^{254a} folgende:

Temperatur	Druck in mm Hg
60	0.003
70	0.01
80	0.02
90	0.05
100	0.10
110	0.19
120	0.35
130	0.77
140	1.35
150	2.37
160	3.57
170	6.25
180	9.50

Sublimat ist für alle Organismen ein heftiges Gift, weshalb es in der Medizin als Desinfektionsmittel in sehr ausgedehntem Maße Anwendung findet. Es hat sich gezeigt, daß die desinfizierende Wirkung des Sublimats der Anzahl der vorhandenen Mercuri-Ionen proportional ist. Der Zusatz von Kochsalz, wodurch die Löslichkeit und Haltbarkeit des Sublimats (Sublimatpastillen) vergrößert wird, hat stets eine Verringerung der Giftwirkung im Gefolge. Vergl. hierzu die ausführliche Studie von Paul und Krönig.²⁵⁵)

Mercurioxychloride. Mit Mercurioxyd bildet Sublimat eine Reihe von Verbindungen, welche nach der allgemeinen Formel $m\text{HgCl}_2 \cdot n\text{HgO}$ zusammengesetzt sind. Diese Salze entstehen entweder durch direkte Einwirkung einer wässrigen oder weingeistigen Sublimatlösung auf rotes oder gelbes Quecksilberoxyd (Roucher), durch unvollständige Zersetzung des Chlorids mittels Alkalien oder Alkalicarbonaten (Millon) oder durch Schmelzen von HgCl_2 und HgO (André). Mit zunehmendem Gehalt an Oxyd geht die Farbe der Verbindungen von gelb zu braun bis schwarz über. Es scheint die Existenz folgender Oxychloride ziemlich sicher zu sein:

$2\text{HgCl}_2 \cdot \text{HgO}$, kleine farblose Kristalle oder schwach gelbliche Nadeln (Roucher²⁵⁶) und Thümmel²⁸⁷), Schoch^{257a}).

$\text{HgCl}_2 \cdot 2\text{HgO}$ existiert in einer schwarzen und einer roten bis violetten Modifikation. Erstere entsteht durch Fällen einer Sublimatlösung mit einer Lösung von Kaliumbicarbonat unter gewissen Bedingungen (Millon²⁸⁸), Thümmel, l. c.), letztere beim Kochen von wässrigem Quecksilberchlorid und rotem Oxyd oder durch Stehenlassen einer Sublimatlösung mit Natriumacetat (Volhard²⁸⁹).

$\text{HgCl}_2 \cdot 3\text{HgO}$ entweder als ziegelrotes amorphes Pulver (Millon, l. c.) oder als gelber amorpher oder kristallinischer Niederschlag erhalten (Millon, Thümmel).

$\text{HgCl}_2 \cdot 4\text{HgO}$ kommt wie der vorletzte Körper auch in mehreren Modifikationen vor, in einer amorphen oder kristallinischen braunen Form und als kristallinische schwarze Masse.

Alle diese Verbindungen werden durch die meisten Säuren in die Komponenten gespalten, durch Kalilauge werden sie bei gewöhnlicher Temperatur mehr oder weniger leicht in gelbes Quecksilberoxyd verwandelt. Diese im übrigen wenig charakteristischen Doppelverbindungen bilden sich unter nur sehr geringer Wärmetönung, welche von André²⁹⁰) durch Lösen der Oxychloride in

Salzsäure gemessen wurde. Die bei der Lösung erhaltenen Reaktionswärmen und die auf die Komponenten, HgCl_2 und HgO , bezogenen Bildungswärmen sind in der folgenden Tabelle enthalten.

	Reaktionswärme	Bildungswärme
$\text{HgCl}_2 \text{ HgO}$	140 K	14 K
$\text{HgCl}_2 \cdot 2 \text{ HgO}$	314 K	30 K
$\text{HgCl}_2 \cdot 3 \text{ HgO}$	501 K	33 K
$\text{HgCl}_2 \cdot 4 \text{ HgO}$	786 K	—63 K (?)

Neuerdings sind die Mercurioxychloride von Schoch^{287a)} einer eingehenden Untersuchung unterzogen. Hiernach sind sämtliche isomeren Oxychloride durch geringe Differenzen in der Dichte unterschieden; so hat von den Verbindungen $\text{HgCl}_2 \cdot 2 \text{ HgO}$, bei denen die Isomerie am auffälligsten ist, die rote Modifikation die Dichte 8,16, die schwarze die Dichte 8,53. Schoch fand weiter, daß alle Oxychloride bei Einwirkung von Natronlauge bei gewöhnlicher Temperatur die quadratischen Tafeln des gelben Oxyds, hingegen bei höherer Temperatur die roten prismatischen Kristalle dieses Oxyds liefern (s. Mercurioxyd).

Mercuribromid, HgBr_2 , entsteht leicht aus den Elementen unter Wärmeentwicklung: $\text{Hg}_{\text{flüss.}} + \text{Br}_2 = \text{HgBr}_{2\text{fest}} + 405 \text{ K}$; (Nernst⁷⁴⁾ nach Varet²⁹¹⁾ beträgt die Bildungswärme 407 K. Das Salz kristallisiert aus wässriger Lösung in zarten, silberglänzenden Blättchen, aus alkoholischer in Form weißer, rhombischer Prismen. Spez. Gew. 5,74. Es löst sich in 94 Teilen Wasser von 9° und in 4—5 Teilen Wasser von 100°; bei 25° lösen sich in Wasser 0,017, in Benzol 0,0194 Mol HgBr_2 im l (Sherrill³⁴⁰⁾); löslich ist es ferner in Alkohol, Äther und einigen anderen organischen Lösungsmitteln. Die Leitfähigkeit der wässrigen Lösung ist geringer als diejenige des Sublimats (μ_{128} : 1,3 bei 25°; Ley⁹⁹⁾).

Die Dampfdrucke des festen Bromids sind nach Niederschulte^{202b)} und Arctowski^{202c)} folgende:

Temperatur	Druck in mm Hg
90	0,045
100	0,09
110	0,18
120	0,31
130	0,72
140	1,33
150	2,30
160	3,65
170	6,30
180	9,80

vergl. Stelzner.^{291a)}

Die Löslichkeit des Bromsilbers in Mercurinitrat ist nach Morse²⁷⁵⁾ bei 25° (vergl. S. 624).

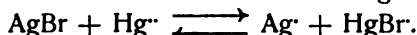
$\text{Hg}(\text{NO}_3)_2$ resp. HNO_3	AgBr
Mol pro l	g pro l
1,000	6,878
0,100	1,640
0,050	1,200
0,025	0,863
0,0125	0,618
0,0100	0,575
	Mol pro l
	0,03660
	0,00873
	0,00639
	0,00459
	0,00329
	0,00306

Der Verteilungskoeffizient für: Wasser \longleftrightarrow HgBr_2 \longrightarrow Toluol ist annähernd: 1, derjenige für: $0,1 \text{ Hg}(\text{NO}_3)_2$ \longleftrightarrow HgBr_2 \longrightarrow Toluol ist annähernd: 13,5.

Die Löslichkeit des HgBr_2 in reinem Wasser: ca. 4 g pro Liter.

Die Löslichkeit des HgBr_2 in $0,1 \text{ n Hg}(\text{NO}_3)_2$: ca. 20 g pro Liter.

AgBr löst sich demnach in Mercurinitrat vorwiegend nach dem Schema:



Aus den Löslichkeits- und Verteilungsversuchen werden folgende Konstanten berechnet:

$$\frac{\text{Hg}^{2+} \times \text{Br}^-}{\text{HgBr}^{+}} \quad \frac{\text{HgBr}^{+} \times \text{Br}^-}{\text{HgBr}_2} \quad \frac{\text{Hg}^{2+} \times \text{Br}^{2-}}{\text{HgBr}_2} \quad \frac{\text{Hg}^{2+} \times \text{HgBr}_2}{\text{HgBr}^{2+}}$$

$$0,4 \times 10^{-9} \quad 5,0 \times 10^{-9} \quad 2,0 \times 10^{-18} \quad 0,08.$$

Die Zahlen sind nur Näherungswerte, da auf eine sicher vorhandene Komplexsalzbildung zwischen $\text{Hg}(\text{NO}_3)_2$ und AgBr keine Rücksicht genommen wurde.

Die Neigung zur Bildung komplexer Verbindungen ist beim Mercuribromid größer als beim Chlorid. In seinem chemischen Verhalten gleicht das Salz dem Sublimat in den meisten Stücken.

Mercurioxybromide. In ähnlicher Weise wie die entsprechende Chlorverbindung ist $\text{HgBr}_2 \cdot 3 \text{ HgO}$ erhalten worden und zwar entweder als gelbes Kristallpulver oder als dunkelbraunes Pulver. Die Bildungswärmen einiger Körper vom Typus $m \text{ HgBr}_2 \cdot n \text{ HgO}$ aus $m \text{ HgBr}_2 + n \text{ HgO}$ sind ebenfalls von André²⁹²⁾ durch Lösen der Stoffe in überschüssiger Bromwasserstoffsäure untersucht worden (HgBr_2 entwickelt mit überschüssiger HBr 38 K, HgO 352 K)

	Reaktionswärme	Bildungswärme
$\text{HgBr}_2 \cdot \text{HgO}$	355 K	33 K
$\text{HgBr}_2 \cdot 2 \text{ HgO}$	606 K	44 K
$\text{HgBr}_2 \cdot 3 \text{ HgO}$	1029 K	73 K
$\text{HgBr}_2 \cdot 4 \text{ HgO}$	1366 K	78 K.

Die Bildungswärmen der Oxybromide sind etwas größer als die der entsprechenden Chloride.

Mercurijodid, HgI_2 , entsteht mit größter Leichtigkeit aus den Elementen oder durch Fällen eines löslichen Mercurisalzes durch J^- -Ionen. Das Salz kommt in zwei enantiotropen Formen, einer roten und einer bei höherer Temperatur beständigen gelben Form vor, welche ineinander überführbar sind und deren Umwandlungspunkt nach neueren Messungen von Gernez²⁹³⁾ durch Beobachtung der Umwandlungsgeschwindigkeit der gelben und roten Modifikation ineinander zu 126° ermittelt wurde (s. auch Kastle und Reed²⁹⁴⁾). Nach Reinders²⁹⁵⁾ ist der Umwandlungspunkt $129,5^\circ$.

a) Rotes Jodid. Durch Zusammenreiben der Elemente bei Gegenwart von wenig Alkohol oder durch Fällen einer Mercurinitrat- oder -acetatlösung mit einem löslichen Jodide zu erhalten. Das Salz bildet rote tetragonale Kristalle, welche sich wenig in Wasser (in ca. 150 Teilen H_2O bei gewöhnlicher Temperatur), leichter in warmem Alkohol, Schwefelkohlenstoff und Essigäther und vielen anderen organischen Flüssigkeiten lösen. Sherill³⁴⁰⁾ gibt die Löslichkeit in Benzol zu $0,00493 \text{ Mol HgI}_2/\text{l}$, Morse die in Wasser zu ca. $0,00013 \text{ Mol/l}$, beides für 25° . Mercurijodid löst sich ferner in vielen anorganischen Säuren wie heißer Salzsäure und Salpetersäure, sowie in Mercurinitrat- und Jodkaliumlösung und kann aus den genannten Medien vorteilhaft umkristallisiert werden. Die Löslichkeitsverhältnisse

des Salzes in verschiedenen organischen Solventien wurden genauer von Beckmann und Stock²⁹⁶⁾ untersucht:

Löslichkeiten des HgJ_2 bei 23°

		Farbe der Lösung	Farbe d. Niederschlags
Chloroform	0,071 Proz.	violett	grün
Benzol	0,247 "	rot	grün
Äther	0,551 "	braun	grüngelb
Aceton	2,01 "	braun	gelb
Äthylalkohol	2,00 "	braun	gelb
Methylalkohol	3,98 "	braun	gelb.

In vielen organischen Lösungsmitteln findet besonders bei Belichtung langsame Zersetzung unter Jodausscheidung und Bildung von Quecksilberjodür statt. Hierüber sowie über weitere anscheinend weniger genaue Löslichkeitsbestimmungen der Mercurihalogenide in organischen Lösungsmitteln s. Sulc.^{296a)}

Die Löslichkeit des Salzes in Methylenjodid ist von Retgers²⁹⁷⁾ ermittelt worden.

100 Teile CH_2J_2 lösen bei . . .	15°	100°	180°
	2,5	16,6	58 Teile HgJ_2 .

Aus den Lösungen kristallisiert bei hoher Temperatur gelbes, bei niedriger rotes Jodid.

Genaue Messungen der Dichten einiger Mercurijodidlösungen rühren von Schönrock^{267a)} her:

HgJ_2 in Alkohol		HgJ_2 in Pyridin	
% : 1,8358	d_4^{18} : 0,80718	% : 10,4290	1,14817
" 1,7119	" 0,80597	" 7,9944	1,10535

Spez. Gewicht des festen Salzes 6,2. Bei 253—254° schmilzt das Salz (unter vorherigem Übergang in die gelbe Form) zu einer dunkelgelben Flüssigkeit, welche beim Abkühlen zu gelbem Jodid erstarrt. Bei weiterem Erkalten wird letzteres ruckweise rot. Spezifische Wärme: 0,0420. Bildungswärme: $\text{Hg}_{\text{nüss.}} + \text{J}_{2\text{fest}} = \text{HgJ}_{2\text{rot}} + 252 \text{ K}$ (Varet²⁸³⁾). Beim Fällen einer wässrigen Sublimatlösung mit Jodkalium werden nach Berthelot²⁹⁹⁾ 273 K, nach Thomsen (Thermochem. Unters.) 268 K frei: $\text{HgCl}_{2\text{aq}} + 2\text{KJ}_{\text{aq}} = \text{HgJ}_{2\text{fest}} + 2\text{KCl}_{\text{aq}} + 268 \text{ K}$.

Die Dampfdrucke des festen Jodids sind nach Niederschulte^{202a)} und Arctowski^{202b)} folgende:

Temperatur	Druck in mm Hg
80	0,004
90	0,013
100	0,023
110	0,061
120	0,125
130	0,25
140	0,45
150	0,79
160	1,34
170	2,30
180	3,51

Bei höheren Temperaturen findet Ditte^{299a)} folgende Werte:

210	7,2
230	20,6
250	55,3
270	131,9
308	267,0

Der von Ditte bei 195—200° gefundene Wert stimmt mit den Messungen von Niederschulte nicht überein. Nach Ditte zersetzt sich das im Vakuum erhitzte Mercurijodid selbst bei 300° nicht unter Jodabscheidung.

Die Löslichkeit des Jodsilbers in Mercurinitratlösungen bei 25° ist nach Morse²⁷⁵⁾:

Hg(NO ₃) ₂ resp. HNO ₃	AgJ	AgJ
Mol pro l	g pro l	Mol pro l
1,000	25,160	0,10700
0,100	2,730	0,01161
0,050	1,737	0,00740
0,025	1,118	0,00476
0,0125	0,841	0,00358
0,0100	0,800	0,00340.

Die Löslichkeit des HgJ₂ in Wasser von 25° bestimmte Morse zu etwa 0,06 g pro Liter, in normaler Mercurinitratlösung steigt die Löslichkeit auf 48,0 g, woraus der Schluß zu ziehen ist, daß ca. 99 Proz. des Halogens in

Form von HgJ⁺-Ionen vorhanden sind. Für das Gleichgewicht: $\frac{\text{Hg}^+ \times \text{J}^-}{\text{HgJ}^+}$

berechnet sich annähernd der Wert $0,4 \times 10^{-13}$. Dieser sowie die übrigen von Morse berechneten Dissoziationskonstanten des Mercurijodids sind aber wegen der gleichzeitig vorhandenen Silber-Quecksilberkomplexe unsicher.

Oberhalb 126° geht die rohe Form des Mercurijodids unter starker Volumzunahme in

b) gelbes Jodid über, welches aus rhombischen Kristallen besteht. Obwohl erst oberhalb der Umwandlungstemperatur 126° dauernd beständig, erscheint das gelbe Jodid häufig als metastabiles Gebilde bei gewöhnlicher Temperatur. So bildet sich beim Fällen von Sublimat mit einem löslichen Jodid zunächst ein gelber Niederschlag, der sich in wenigen Augenblicken rot färbt. Längere Zeit haltbar ist die gelbe Modifikation, wenn sie durch Eingießen von Wasser in eine alkoholische Mercurijodidlösung erzeugt wird. Die Umwandlung der gelben in die rote Form wird durch Belichtung sowie durch Gegenwart von Säuren in den Lösungen katalytisch beschleunigt. Auch aus dem dampfförmigen Zustande sowie aus dem Schmelzfluß und aus Lösungen, in welchen natürlich Unterschiede zwischen roter und gelber Form nicht mehr bestehen, scheidet sich zunächst immer die gelbe Form ab. Nach Gernez³⁰⁰⁾ kondensieren sich die von rotem Jodid auch unterhalb des Umwandlungspunktes ausgehenden Dämpfe zunächst zu gelbem Jodid. Quecksilberjodid bietet demnach eines der „auffallendsten Beispiele für die oft bewährte Regel, daß die unbeständigsten Formen zuerst erscheinen“ (Ostwald³⁰¹⁾ s. a. ³⁰²⁾). Die Umwandlung ist mit einer meßbaren Wärmetönung verbunden. Nach Varet (l. c.) werden beim Übergange von kristallisiertem gelbem in rotes Jodid ca. 30 K frei.

Mercurijodid ist eine sehr beständige Verbindung, die von den meisten chemischen Reagenzien nur wenig angegriffen wird. Die elektrolytische Dissoziation ist sehr gering, die Tendenz zur Komplexbildung hat in der Reihe der

Halogenide ihr Maximum erreicht. Durch Erhitzen des Jodids mit Kalilauge entsteht, jedoch weit schwieriger als beim Chlorid und Bromid, ein Mercurioxyjodid: $\text{HgJ}_2 \cdot 3\text{HgO}$, ein gelbbraunes Pulver (Rammelsberg³⁰³).

Die Einwirkung von konzentrierter und SO_3 -haltiger Schwefelsäure auf das Jodid, wobei sich unter Jodabscheidung und Entwicklung von SO_2 Doppelsalze von HgSO_4 und HgJ_2 bilden, ist kürzlich von Ditte^{299a}) untersucht.

Mercuricyanid, $\text{Hg}(\text{CN})_2$, entsteht durch Neutralisation von Quecksilberoxyd mit wässriger Blausäure, wobei eine erhebliche positive Wärmetönung auftritt, ferner durch Einwirkung des Oxyds auf Cyanide, z. B. KCN ; selbst komplexe Cyanide wie $\text{Fe}_4[\text{Fe}(\text{CN})_6]_3$ Berlinerblau reagieren in diesem Sinne; ein Vorgang, welcher sich aus der enorm geringen Dissoziation des Mercuricyanids erklärt.

Das Salz kristallisiert in farblosen quadratischen Säulen, welche sich ziemlich leicht in Wasser, wenig in Alkohol lösen. Spez. Gewicht 4,0.

Die Bildungswärme des festen Salzes aus den Elementen beträgt 189 K. Die Wärmetönung: $\text{HgO}_{\text{rot}} + 2\text{HCN}_{\text{gelöst}} = \text{Hg}(\text{CN})_{2\text{fest}} + 315 \text{ K}$ (Varet, l. c.).

Die Dichten einiger Mercuricyanidlösungen sind nach Schönrock^{267a}):

$\text{Hg}(\text{CN})_2$ in Wasser			
ρ_{10}° : 7,8921	d_4^{16} : 1,06376		
" 7,5009	" 1,06049		
" 5,4037	" 1,04246		
$\text{Hg}(\text{CN})_2$ in Alkohol		$\text{Hg}(\text{CN})_2$ in Pyridin	
ρ_{10}° : 8,2206	d_4^{16} : 0,85273	ρ_{10}° : 29,6018	d_4^{16} : 1,28155
" 5,8653	" 0,83484	" 23,2275	" 1,20198

Die wässrige Lösung zeigt ein äußerst geringes elektrisches Leitungsvermögen, Λ_{32} (mol) beträgt etwa 0,18. Infolge der geringen Dissoziation des entstehenden Mercuricyanids sind CN' -Lösungen imstande, gewisse schwerlösliche Mercurisalze, wie Sulfat, Phosphat etc., zu lösen. Aus dem gleichen Grunde gibt Mercuricyanid auch mit OH' - und J' -Ion keine Fällung und wird nur durch H_2S zersetzt. Vom Mercuricyanid sind eine große Zahl von Doppel- und Komplexsalzen bekannt, in dieser Hinsicht steht das Salz dem Mercurijodid nahe.

Im festen Zustande erhitzt, zersetzt sich das Salz in Quecksilber und Cyangas, wobei sich ein Teil des letzteren zu festem Paracyan polymerisiert.

Die wässrigen Lösungen des Quecksilbercyanids vermögen noch beträchtliche Mengen Mercurioxyds zu lösen, wodurch deutlich alkalisch reagierende Flüssigkeiten entstehen. Aus letzteren ist das Salz: $\text{Hg}(\text{CN})_2 \cdot \text{HgO}$ isoliert worden. Dasselbe bildet weiße, büschelförmig vereinigte Nadeln vom spez. Gewicht 4,43 bei 19° , welche schwerer löslich sind als das normale Cyanid; bei gewöhnlicher Temperatur lösen 100 g Wasser etwa 1,1 g Oxycyanid, 110 g Alkohol von 90° etwa 1 g des Salzes (Proust³⁰⁴), Johnston³⁰⁵), Schließer³⁰⁶), s. besonders Richard³⁰⁷).

Mercurirhodanid, $\text{Hg}(\text{SCN})_2$, wird durch Fällern von Mercurinitrat mit einem löslichen Rhodanid als weißer kristallinischer Niederschlag erhalten, der in viel heißem Wasser löslich ist. 1000 ccm der gesättigten Lösung enthalten bei 25° 0,696 g $\text{Hg}(\text{SCN})_2 = 0,0022$ Mole $\text{Hg}(\text{CNS})_2$. Beim Erhitzen zersetzt sich der Körper unter starkem Aufblähen (Pharaoschlängen).

Obwohl die Rhodanwasserstoffsäure eine sehr starke Säure ist, ist ihr

Mercurisalz sehr wenig dissoziiert. Die Leitfähigkeit der gesättigten Lösung ist nur sehr gering; die elektrolytische Dissoziation ist demnach wohl von ähnlicher Größenordnung als beim Sublimat. Die Bildungswärme aus $\text{HgO} + 2\text{HSCN}$ beträgt: 342 K, diejenige aus den Elementen: 360 K (Joannis³⁰⁸). Der anscheinend nur geringen Haftintensität des SCN' -Ions entsprechend, ist $\text{Hg}(\text{CNS})_2$ äußerst geneigt, Komplexsalze zu bilden; näheres S. 656.

Mercuriformiat und Homologe. Die Mercurisalze der Ameisensäure und der homologen Säuren werden durch Auflösen von Quecksilberoxyd in den wässrigen Lösungen der Säuren erhalten. Mercuriformiat geht mit größter Leichtigkeit beim Erwärmen seiner wässrigen Lösung in das schwerer lösliche Oxydulsalz über: $2\text{Hg}(\text{CHO}_2)_2 = \text{Hg}_2(\text{CHO}_2)_2 + \text{CO}_2 + \text{CO} + \text{H}_2\text{O}$; auch beim Acetat ist diese Tendenz, wenn auch in weit schwächerem Grade, vorhanden, denn wässrige Lösungen von Mercuriacetat zeigen fast stets einen sehr geringen Oxydulgehalt, der beim Erwärmen der Lösung sichtlich zunimmt. Mercuripropionat ist dagegen ein recht beständiges Salz. Die Beständigkeit der Oxydsalze nimmt also in bemerkenswerter Weise mit steigendem Kohlenstoffgehalt zu. Es mag noch bemerkt werden, daß die elektrische Leitfähigkeit der Mercurisalze der organischen Carbonsäuren der Leitfähigkeit dieser Säuren selbst parallel geht, was sich einerseits aus der Hydrolyse der Salze erklärt, andererseits auch aus dem Umstande, daß die Dissoziation eines Mercurisalzes $\frac{\text{Hg}}{2}(\text{Ac})$ anscheinend von ganz ähnlicher Größenordnung ist wie die

der zugehörigen Säure $\text{H} \cdot (\text{Ac})$; daß also $\frac{\text{Hg}}{2}$ und H in bezug auf die Dissoziation ihrer Verbindungen Ähnlichkeit besitzen. Ganz analoge Erscheinungen treffen wir auch bei $\text{UO}_2 - \text{Cu} - \text{Fe} -$ und anderen Salzen an (s. S. 567).

Mercuriformiat, $\text{Hg}(\text{CHO}_2)_2$, weiße, leicht zersetzliche Kristallblättchen.

Mercuriacetat, $\text{Hg}(\text{C}_2\text{H}_3\text{O}_2)_2$, weiße Kristallblättchen. Löslich in 4 Tln. Wasser von 0°, 2,75 Teilen von 19° und in 1 Teil kochenden Wassers. Spez. Gew. 3,286. Die wässrige Lösung reagiert deutlich sauer und wird beim Erwärmen fast völlig in Säure und Base gespalten. Die elektrische Leitfähigkeit (rez. Ω) ist gering

	v	32	64	128
Λ (molekular) bei 25°		5,72	8,61	13,2.

Mercurioxalat, HgC_2O_4 , ist schwerlöslich, ein typischer Neutralteil für Komplexe, und kommt als solcher in Doppeloxalaten vor. Von Interesse ist, daß sein Kation Hg^{++} das Anion $\text{C}_2\text{O}_4^{--}$ unter eigener Reduktion zu Mercuro-Ion in CO_2 oxydiert. Die Reaktion, die durch Licht mit meßbarer Geschwindigkeit erfolgt, wird im Ederschen Photometer (Roloff^{308a}) ausgenützt. Das Salz und seine Komplexe sind also labile, durch Belichtung zerstörbare Gebilde.^{308b}

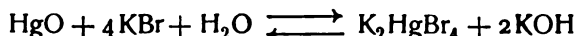
Mercurioxyd, HgO . Die den Mercurisalzen zugrunde liegende Base $\text{Hg}(\text{OH})_2$ ist nicht im festen Zustande beständig, sondern zerfällt beim Versuche der Darstellung sofort in Wasser und ihr Anhydrid: HgO . Da aber die wässrigen Lösungen des letzteren äußerst schwache, jedoch immerhin noch erkennbare alkalische Reaktion zeigen, muß man geringe Mengen von OH' -Ionen in den Lösungen des Oxyds annehmen. Quecksilberoxyd kann auf verschiedenen Wegen erhalten werden und die so erhaltenen Produkte zeigen in ihrem Äußeren geringe Verschiedenheiten:

1. Rotes Oxyd wird durch gelindes Erhitzen von Mercuro- oder Mercuri-

nitrat als lebhaft rotes bis bräunlichrotes, kristallinisches Pulver gewonnen: $\text{Hg}_2(\text{NO}_3)_2 = 2\text{HgO} + 2\text{NO}_2$ resp. $\text{Hg}(\text{NO}_3)_2 = \text{HgO} + 2\text{NO}_2 + \text{O}$.

2. Gelbes Oxyd. Durch Fällen einer Mercurisalzlösung mittels OH' -Ionen entsteht in der Kälte ein rein gelber, in der Hitze ein mehr gelbroter Niederschlag des Oxyds. Falls man ein wenig dissoziiertes Salz wie Sublimat anwendet, ist zur vollständigen Ausfällung ein Überschuß von OH' -Ionen nötig.

Nach Ostwald sind rotes und gelbes Oxyd nicht isomer wie die beiden Mercurijodide, eine Ansicht, die von Cohen vertreten wurde. Letzterer Autor³⁰⁹⁾ fand, daß eine aus: $\text{Hg}_{\text{Metall}}|\text{HgO}_{\text{rot}}, \text{KOH}, \text{HgO}_{\text{gelb}}|\text{Hg}_{\text{Metall}}$ gebildete Konzentrationskette eine EMK = 0,685 Millivolt lieferte, derart, daß der Strom in der Kette vom HgO_{rot} zum HgO_{gelb} floß und zog daraus den Schluß, daß im roten und gelben Oxyd zwei Isomere von verschiedenem Löslichkeitsgrade vorlägen. Demgegenüber wies Ostwald³¹⁰⁾ nach, daß sich die beiden Oxyde nur durch die verschieden feine Verteilung unterscheiden und ihrer Farbe nach in ähnlicher Weise different seien, wie etwa grobes und fein gepulvertes Kaliumbichromat. Ostwald hatte schon früher darauf hingewiesen, daß ein feines Pulver zufolge seiner größeren Oberflächenspannung sich leichter lösen muß als ein gröberes. Aus der von Cohen beobachteten EMK obiger Kette berechnet sich, daß die Quecksilberionenkonzentration in den beiden Lösungen: $\text{HgO}_{\text{gelb}}, \text{KOH}$ und $\text{HgO}_{\text{rot}}, \text{KOH}$ sich um 5,3 Proz. unterscheidet. Ostwald wies dann nach, daß sich der Gleichgewichtszustand (s. S. 614)



verschieden einstellt, falls man rotes oder gelbes Oxyd benutzt. Die Menge des Kalis, welche durch rotes und gelbes Oxyd in Freiheit gesetzt wurde, differierte um ca. 7 Proz. Wurde das rote Oxyd mechanisch zerkleinert, so stieg auch seine Löslichkeit und gleichzeitig damit die Menge des bei obigem Gleichgewichtszustande entbundenen Kalis (s. a. Koster und Stork³¹¹⁾).

Zufolge einer neueren Untersuchung von Schoch³¹²⁾ sollen zwei durch die Kristallform deutlich unterschiedene Verbindungen HgO existieren: a) Das bei gewöhnlicher Temperatur gefällte und getrocknete gelbe Oxyd bildet unter dem Mikroskop 4eckige Tafeln und geht beim Erhitzen auf höhere Temperatur in die rote Form b) über, die monokline Prismen bildet; die gleiche Modifikation entsteht auch, wenn die Fällung des Mercurisalzes mit OH -Ionen bei höherer Temperatur vorgenommen wird. Bleibt das bei gewöhnlicher Temperatur gefällte gelbe Oxyd längere Zeit mit der Fällungsflüssigkeit (die NaCl oder KCl enthalten muß) stehen, so wachsen die Kristalle und gleichzeitig geht die Farbe in orange bis rot über. Die Dichte der beiden Formen differiert nicht merklich, wohl aber ist der Dissoziationsdruck der gelben Modifikation größer als der der roten und zwar:

gelbe Mod. bei 300—320°: 760 mm
rote " " " " nicht über 400 mm (?)

Schließlich läßt sich rotes Oxyd auch durch direkte Einwirkung von Sauerstoff auf Quecksilber oberhalb 300° herstellen. Dabei stellt sich zwischen letzten beiden Stoffen und dem gebildeten Mercurioxyd ein Gleichgewichtszustand heraus, der von der Temperatur und dem Druck des Sauerstoffs abhängig ist; je nach der Größe dieser beiden Faktoren kann man die Reaktion $\text{Hg} + \text{O} \rightleftharpoons \text{HgO}$ in dem einen oder anderen Sinne verlaufen lassen. Die Dissoziation des Quecksilberoxyds ist eingehender von Pélabon³¹³⁾ gemessen

worden. Der Dissoziationsdruck ($=p$) des Sauerstoffs, welcher aus Mercurioxyd bei Gegenwart von gesättigtem Quecksilberdampf entwickelt wird, läßt sich durch die Formel darstellen:

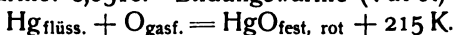
$$\log p = \frac{m}{T} + n \log T + z,$$

wo $m = -27569$, $n = -57,58$, $z = +203,94711$ ist. Bei 610^0 ist der Druck 1240 mm und steigt mit der Temperatur (T) schnell an.

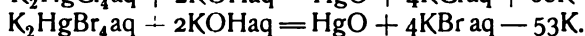
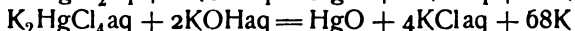
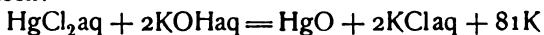
Mercurioxyd hat das spez. Gewicht 11,2. Nach Schick^{313a)} ist die Löslichkeit der beiden Modifikationen ungefähr gleich. In 1 l H_2O lösen sich bei 25^0 : 0,0515 g, bei 100^0 : 0,395 g HgO . Zusatz von Barytwasser erhöht die Löslichkeit, wahrscheinlich besitzt $Hg(OH)_2$ amphoteren Charakter und kann auch als schwache Säure reagieren.

Das Löslichkeitsprodukt des Mercurioxyds $[Hg\cdot\cdot][OH']^2$ berechnet sich aus den Versuchen von Bersch (s. S. 614) zu etwa 4×10^{-26} (Großmann^{313b)}). Fulda^{313c)} findet den naheliegenden Wert $1,5 \times 10^{-26}$. Darnach ist die Ionenlöslichkeit nur etwa $2 \cdot 10^{-9}$, was in Kombination mit der Gesamtlöslichkeit $2,4 \cdot 10^{-4}$ (Schick 25^0) den ungeheuer kleinen Dissoziationsgrad von ca. 10^{-5} ergibt.

Spezifische Wärme: 0,0518. Bildungswärme (Varet)



Von Thomsen sind noch folgende auf das Oxyd bezügliche Wärmetönungen gemessen:



Mercurioxyd wird leicht durch die schon häufiger genannten Reduktionsmittel zu Metall reduziert, in geringem Maße schon durch Belichtung.

Zur Darstellung anderer Mercurisalze, sowie als Oxydationsmittel für organisch-chemische Zwecke findet es mannigfache Anwendung. Durch Einwirkung von Chlor auf in Wasser verteiltes Quecksilberoxyd entsteht unterchlorige Säure.

Über die Reduktionstemperatur des Quecksilberoxyds durch Wasserstoff und Kohlenoxyd, d. h. die Temperatur der beginnenden Reduktion, die beim roten Oxyd beträchtlich höher liegt als beim gelben, liegen Untersuchungen von Glaser³¹⁴⁾ sowie von Fay und Seeker³¹⁵⁾ vor. Schließlich möge erwähnt werden, daß die Reaktionsfähigkeit des gelben Oxyds um so größer ist, je niedriger die Fällungstemperatur des Oxyds ist.

Kolloidales Quecksilberoxyd.^{315a)} Die Mercurisalze der durch alkalische Spaltung des Eialbumins entstandenen Säuren, der Protalbumin- resp. Lysalbuminsäure, lösen sich in Natronlauge zu einer hellgelben, in nicht zu dicker Schicht durchsichtigen Flüssigkeit, welche bei der Dialyse nur im Anfange an das den Dialysator umgebende Wasser etwas Quecksilber abgibt, in der Hauptsache und namentlich im weiteren Verlaufe der Dialyse aber nur Natronhydrat und die Natriumsalze der Eiweißspaltungsprodukte diffundieren läßt. Überhaupt keine Diffusion von Quecksilber tritt ein, wenn zu einer stark alkalischen Lösung eines Natriumsalzes der erwähnten Säuren Sublimatlösung hinzugefügt und diese Flüssigkeit der Dialyse unterworfen wird. Es ist dies zugleich ein Verfahren, um zu Präparaten mit höherem Quecksilbergehalte zu gelangen. Bei der Dialyse selbst tritt namentlich im Lichte, ebenso beim Erwärmen der alkalischen Flüssigkeit auf 100^0 , teilweise Reduktion unter Ausscheidung

grauen Quecksilbers ein, ein Zusatz von Hydrazinhydrat bewirkt schon in der Kälte vollständige Reduktion zu metallischem Quecksilber. Dieses Verhalten der alkalischen gelben Flüssigkeit beweist, daß in derselben das Hydrosol des Quecksilberoxyds (oder -hydroxyds?) als Adsorptionsverbindung mit dem kolloidalen Natriumsalze der Protalbin- resp. Lysalbinsäure vorhanden ist. Die bei Lichtabschluß dialysierte Flüssigkeit läßt sich im Vakuum bei niedrigerer Temperatur (40°) eindunsten und hinterläßt dann glasglänzende, spröde, rotbraun durchscheinende Lamellen eines festen Hydrosols der erwähnten Adsorptionsverbindung. Auch durch Eingießen des durch Dialyse gereinigten, flüssigen Hydrosols in Alkohol entsteht das feste Hydrosol, das beim Trocknen die Form hellbräunlicher Körnchen annimmt. Dieses feste Hydrosol gibt langsam mit kaltem, rasch mit warmem Wasser das ursprüngliche flüssige Hydrosol, es wird am Lichte oder beim Erwärmen auf 100° durch oberflächliche Reduktion zu metallischem Quecksilber grau, hält sich aber im Dunkeln unverändert. In dem flüssigen Hydrosol erzeugen geringe Mengen Essigsäure oder konzentrierte Salzsäure einen weißen, gallertartigen Niederschlag, der sich im Überschuß der beiden Säuren wieder löst. Verdünnte Salzsäure bewirkt ebenfalls Fällung, dieselbe löst sich aber nicht vollständig in einem Überschuß des Fällungsmittels auf. Salzlösungen sind im allgemeinen ohne Einfluß auf das flüssige Hydrosol, nur Schwefelammoniumlösung färbt dasselbe dunkel und fällt in der Hitze Quecksilbersulfid aus. Festes Kochsalz und Ammoniumsulfat, bis zur Sättigung eingetragen, fällen das feste Hydrosol aus; Silbernitratlösung gibt einen weißen Niederschlag, bestehend aus einem Gemenge von Quecksilberoxyd und protalbin- resp. lysalbinsaurem Silber; derselbe wird durch Natronlauge in das flüssige Hydrosol des Quecksilberoxyds, Silberoxyds im Gemisch mit den Natriumsalzen der Eiweißspaltungsprodukte verwandelt. (Lottermoser).

Mercurisulfid, HgS , kommt in zwei verschiedenen Modifikationen vor, einer unbeständigen schwarzen und einer beständigen roten Form.

a) Rotes Mercurisulfid ist auch in Kristallform identisch mit dem natürlich vorkommenden und wichtigsten Quecksilbermineral: Zinnober. Dieser bildet cochenillrote bis rotbraune hexagonale Kristalle, welche, zerrieben, ein scharlachrotes Pulver bilden. Mit anderen Stoffen gemengt bildet er das für die Quecksilbergewinnung ebenfalls wichtige Quecksilberlebererz.

Die Darstellung des künstlichen Zinnobers geschieht entweder auf trockenem Wege durch Sublimation eines Gemenges von Quecksilber, Quecksilberoxyd oder basischem Sulfat mit Schwefel, oder auf nassem Wege, indem man die schwarze Modifikation mit den Polysulfiden der Alkalien oder des Ammoniums behandelt, wobei Temperaturerhöhung und ein Überschuß an Schwefel die Umwandlung begünstigt (s. a. Stanek³¹⁶)).

Diese letztere beruht darauf, daß HgS in den genannten Polysulfiden löslich ist (s. unten) und zwar ist die schwarze Form als die unbeständigere in allen Lösungsmitteln mehr löslich als die rote, die sich demnach nach eingetretener Sättigung der Lösung mit HgS im Zustande der Übersättigung befinden muß. Ist also etwas von der roten Form entstanden, so muß allmählich die unbeständige schwarze Form vollständig verschwinden und sich in die beständige rote Form umwandeln (Ostwald³¹⁷)). Spezifisches Gewicht des Zinnobers: 8,1.

b) Schwarzes, amorphes Mercurisulfid bildet sich beim Zusammenreiben von Quecksilber und Schwefel als schwarzes Pulver, ferner aus Queck-

silbersalzen und Thiosulfaten. „Wie sich schon aus dem Erstentstehen der schwarzen Form bei der Bildung des Schwefelquecksilbers entnehmen läßt, ist diese die unbeständigere und die rote, kristallinische Form die beständigere“ (Ostwald³¹⁷.)

Ebenfalls entsteht die schwarze Form durch Ausfällen eines Mercurisalzes mit Schwefelwasserstoff in saurer oder neutraler Lösung.

Das spezifische Gewicht beträgt 7,5, die Bildungswärme aus den Elementen beträgt 47,8 K, ist also weit kleiner als diejenige des weit weniger beständigen und leichter in die Elemente spaltbaren Quecksilberoxyds, ein guter Beleg für die Tatsache, daß in manchen Fällen die Beziehungen zwischen Atomaffinität und Bildungswärme der Einfachheit entbehren. Die spezifische Wärme beträgt: 0,512.

Nach Varet entwickelt schwarzes, amorphes Sulfid beim Übergang in rotes, amorphes: 2,4 K in rotes, kristallisiertes Sulfid: 3,0 K. (Ob ein Unterschied zwischen einer roten amorphen und roten kristallinen Form besteht, ist fraglich, die erhaltenen Unterschiede in den Energiegrößen können lediglich auf Versuchsfehlern beruhen.)

Über die gegenseitige Beziehung des schwarzen und roten HgS geben Untersuchungen von Knox (unveröff. Breslauer Arbeit) Auskunft. Darnach fand sich die Löslichkeit des roten Zinnober in Na₂S-Lösungen verschiedener Konzentration durchwegs kleiner als die des schwarzen HgS. Das Verhältnis schwarz : rot variierte zwischen den Grenzen 1,3 (in 0,1 Mol. Na₂S) bis 1,09 (in 1 Mol. Na₂S). Die Variation beruht jedenfalls darauf, daß das schwarze HgS aus Teilchen verschiedener Löslichkeit besteht, von denen durch starke Na₂S-Lösung die löslichsten Bestandteile weitgehend fortgenommen werden, während sie in den verdünnteren bestehen bleiben. Die geringere Löslichkeit, also größere Stabilität, des roten Zinnober geht auch aus der ebenfalls von Knox beobachteten Tatsache hervor, daß beim Stehen von schwarzem HgS unter Na₂S-Lösung Umwandlung in rotes HgS erfolgt.

Löslichkeit von HgS in Na₂S-Lösungen (25°) nach Knox:

Mol. Na ₂ S	1,5	1	0,75	0,5	0,375	0,15	0,1
Mol. HgS (schwarz)	—	0,46	0,31	0,175	0,111	0,023	0,011
Mol. HgS (Zinnober)	0,75	0,42	0,27	0,15	0,092	0,018	0,0086
HgS schwarz Zinnober	—	1,09	1,12	1,19	1,21	1,30	1,29
Na ₂ S: Zinnober . .	2:1	2,04:1	2,8:1	3,3:1	4,1:1	8,3:1	11,6:1

Quecksilbersulfid ist in Wasser enorm wenig löslich, weshalb sich die Verbindung stets bildet, wenn selbst äußerst geringe Mengen Hg⁺⁺-Ionen, wie sie beispielsweise im Mercuricyanid und in der großen Zahl der organischen Quecksilberverbindungen enthalten sind, mit S²⁻- resp. SH⁻-Ionen zusammentreffen. (Mercuricyanid wird nur durch S²⁻- oder HS⁻-Ionen zersetzt.) Die Leitfähigkeit der gesättigten wässrigen Lösungen des schwarzen und roten Sulfids beträgt nach van Name^{316a)} etwa $\kappa_{25} = 0,01 - 0,02 \times 10^{-6}$; die Messungen sind beim schwarzen Sulfid wegen der diesem Stoffe zukommenden Eigenleitfähigkeit ungenau. Infolge der großen Unlöslichkeit wird die Fällung des HgS durch Säuren nicht beeinträchtigt, eine in der Analyse verwertete Reaktion. Nur von Königswasser wird Mercurisulfid unter Abscheidung von Schwefel und Bildung von Mercurisalz gelöst. Quecksilbersulfid ist ferner

die geeignetste Wägungsform bei der quantitativen Bestimmung des Metalls; gegenüber manchen anderen Sulfiden wird es durch Luftsauerstoff nicht zu Sulfat oxydiert. Konzentrierte Lösungen von Kaliumsulfid und von Alkalipolysulfiden lösen Mercurisulfid unter Bildung sehr unbeständiger Sulfosalze.

Die Reaktion: $\text{HgS} + \text{H}_2 = \text{Hg} + \text{H}_2\text{S}$ geht schon bei 280° mit meßbarer Geschwindigkeit vor sich. Über die Kinetik dieses Vorganges s. Pélabon.^{317a)}

Kolloidales Quecksilbersulfid. Nach Winssinger^{317b)} entsteht das Hydrosol des Quecksilbersulfids, wenn das aus einer neutralen Mercurisalz-lösung gefällte Gel desselben wiederholt mit schwefelwasserstoffhaltigem Wasser dekantiert wird. Dasselbe stellt in konzentriertem Zustande eine tiefschwarze, undurchsichtige, in verdünnterem Zustande mit brauner Farbe klar durchsichtige Flüssigkeit dar, welche im auffallenden Lichte eine grünliche Fluoreszenz zeigt. Sie kann längere Zeit, um den überschüssigen Schwefelwasserstoff zu verjagen, zum Sieden erhitzt werden, sie kann auch durch ein Papierfilter filtriert werden, ohne daß Gelbildung eintritt. Sämtliche Elektrolyte dagegen führen das Hydrosol in das Gel über. (Lottermoser.)

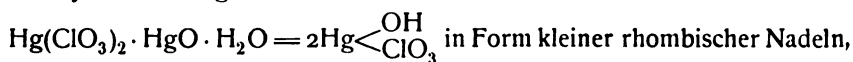
Mercuriselenid, HgSe. Beide Elemente vereinigen sich bei höherer Temperatur zu einer kristallinen, grauen Verbindung, der nach Analysen von Uelsmann^{317c)} die obige Formel zukommt. Auch durch Einleiten von Selenwasserstoff in Mercurisalzlösungen soll das Selenid entstehen.^{317d)}

Die Eigenschaften des Selenids und mehr noch die des sehr wenig untersuchten Tellurids^{317e)} des Quecksilbers scheinen in einigen Punkten an die der Amalgame zu erinnern, was bei dem schwach elektropositiven Eigenschaften des Tellurs und Selens verständlich ist (Ley, unveröff.).

Mercuriphosphid, Hg₃P₄. Nach Granger³¹⁸⁾ reagieren die beiden Elemente auch bei höherer Temperatur nicht merklich; die Verbindung entsteht aus P_{J₂} und metallischem Quecksilber bei $275-300^\circ$ (Granger), bildet rhomboedrische, metallglänzende Kristalle und wird beim Erhitzen in die Elemente zerlegt. Mit Mercurichlorid, -Sulfat- und -nitrat soll es sich zu Verbindungen vereinigen, welche von Rose³¹⁹⁾ beschrieben sind, und welche vielleicht ein dem Dimercuriammonium ähnliches, phosphorhaltiges Radikal enthalten.

Mercurisalze der Halogensauerstoffsäuren. Mercurichlorat und -perchlorat sowie die entsprechenden Brom- und Jodverbindungen, die wichtigsten Salze dieser Gruppe, sind weitgehend dissoziiert, wie besonders die Leitfähigkeitsbestimmung des Mercuriperchlorats gezeigt hat. Infolge der geringen Stärke der Mercuribase tritt außerdem starke Hydrolyse auf, wodurch in der Regel unlösliche, basische, gelbe bis tieforange gefärbte Salze gebildet werden. Die Salze zersetzen sich wegen der geringen Atomaffinität zwischen Hg und ClO₃ etc. meistens schon beim gelinden Erhitzen, häufig unter Explosion. In wässriger Lösung liefern die Salze natürlich alle früher genannten Hg⁺⁺-Ionenreaktionen. Über Hypochlorite etc. liegen keine genauen Untersuchungen vor; betrifft Hg(OBr)₂ s. Sievers.³²⁰⁾

Neutrales Mercurichlorat Hg(ClO₃)₂ ist nicht bekannt. Beim Lösen von Mercurioxyd in wässriger Chlorsäure entsteht das basische Salz



in Form kleiner rhombischer Nadeln, die mit dem entsprechenden Bromat isomorph sind. In Wasser schwer löslich, spez. Gewicht ca. 5,2 (Wächter³²¹⁾). Kristallographisches s. Topsöe.³²²⁾

Mercuriperchlorat, $\text{Hg}(\text{ClO}_4)_2 \cdot 6\text{H}_2\text{O}$. Durch Lösen von HgO in wässriger Überchlorsäure und nachheriges Abdampfen werden große, wasserhelle Säulen des Salzes gewonnen. Dasselbe ist äußerst zerfließlich. Zum Unterschied von allen Mercurisauerstoffsalzen der starken, anorganischen Säuren, Nitrat, Chlorat, Sulfat etc., löst sich das Perchlorat klar in viel Wasser auf ohne Bildung eines unlöslichen Niederschlags.

Äquiv. Leitfähigkeit des $\frac{\text{Hg}(\text{ClO}_4)_2}{2}$ bei 25° (rez. \mathcal{Q})

v (Liter)	A
5	96,4
10	105,0
20	116,0
32	126,9
64	145,1
128	171,0
256	204,1
512	247,7
1024	296,9

Aus der großen Differenz $A_{1024} - A_{32} = 170$ geht hervor, daß die Hydrolyse des Mercurisalzes weit größer als die des Mercurosalzes (s. dieses) ist (Ley und Heimbucher^{322a}). Dasselbe wurde auf Grund von Rohrzuckerinversionsversuchen geschlossen. Die Base $\text{Hg}(\text{OH})_2$ ist demnach bedeutend schwächer als $\text{Hg}_2(\text{OH})_2$, ein Resultat, zu dem auch Cox²²³) gelangt ist.

Die Wasserlöslichkeit des basischen Salzes $\text{HgO} \cdot 2\text{Hg}(\text{ClO}_4)_2 \cdot 12\text{H}_2\text{O}$ ^{322b}) ist jedenfalls eine Folge der großen Elektroaffinität des ClO_4 -Ions.

Mercuribromat, $\text{Hg}(\text{BrO}_3)_2 \cdot 2\text{H}_2\text{O}$ (Rammelsberg³²³). Durch Einwirkung wässriger Bromsäure auf das Oxyd in Form eines weißen, kristallinen Pulvers erhalten, welches sich in ca. 640 Teilen kaltem und ca. 64 Teilen Wasser von 100° löst.

Basisches Salz: $\text{Hg}(\text{BrO}_3)_2 \cdot \text{HgO} \cdot \text{H}_2\text{O}$ dem Chlorat analog. Spez. Gew. 5,82.

Mercurijodat, $\text{Hg}(\text{JO}_3)_2$, wird wie das Bromat oder durch Fällern eines dissoziierten Hg^{++} -Salzes, Nitrat, Acetat, mit JO_3^- -Ion dargestellt. Weißes, amorphes, fast unlösliches Pulver (Rammelsberg, l. c.).

Neutrales Mercuriperjodat ist nicht bekannt. Infolge der Schwerlöslichkeit des basischen Salzes scheidet sich beim Behandeln von Mercurioxyd mit wässriger Überjodsäure oder beim Versetzen von Hg^{++} -Ion mit JO_4^- -Ion sofort $\text{Hg}(\text{JO}_4)_2 \cdot 4\text{HgO}$ als tieforangefarbenes Pulver aus (Rammelsberg, l. c., Lautsch³²⁴)).

Mercurisalze der Schwefelsauerstoffsäuren. Mercurisulfit, HgSO_3 , wird durch Fällern von Mercurinitrat mit einem Alkalisulfit als weißer schwerer Niederschlag erhalten (Péan de St. Gilles³²⁵). Das Salz ist sehr unbeständig und wandelt sich bisweilen plötzlich in das beständige Mercurosulfit unter Abscheidung von Metall um. In Alkalisulfiten löst sich die Verbindung unter Bildung von Salzen der Mercurisulfonsäure (s. d.). Das neutrale Mercurisulfit ist schwer rein zu erhalten und hält fast stets beigefarbenes, durch Hydrolyse gebildetes

basisches Salz, $\text{HgSO}_3 \cdot \text{HgO}$. Dieses wird als weißer Niederschlag

gewonnen, wenn man mit Quecksilberoxyd gesättigte Mercurinitratlösung mittels Alkalisulfit fällt. Beim Kochen mit Wasser langsamer, auch im trockenen Zustande wandelt sich der Körper häufig unter zischendem Geräusch in das isomere Mercurosulfat um. Das Salz löst sich in Cyankalium- und Alkalisulfitlösungen (s. Mercurisulfoarsen).

Mercurisulfat, HgSO_4 , wird durch Abdampfen des Metalls mit konzentrierter Schwefelsäure bis zur Trockne, ferner durch Einwirkung der Säure auf Mercurioxyd als weiße kristallinische Masse oder in Form weißer, sternförmig gruppiertter Blättchen erhalten. Dieselben färben sich beim Erhitzen erst gelb, dann rot, bei stärkerem Rotglühen zersetzen sie sich vollständig.

Mit einem Molekül Wasser zusammengebracht, entsteht das Hydrat $\text{HgSO}_4 \cdot \text{H}_2\text{O}$. Eißfeldt^{325a)}, welches nach Hoitsema^{325b)} farblose, harte, rhombische Säulen bildet. Größere Mengen Wassers zerlegen das neutrale Salz unter Bildung schwerlöslicher basischer Salze. Die von Hoitsema an Hand der Phasenregel ausgeführte Untersuchung des Systems $\text{HgO} \cdot \text{SO}_3 \cdot \text{H}_2\text{O}$ hat ergeben, daß als feste Phasen außer den beiden genannten HgSO_4 und $\text{HgSO}_4 \cdot \text{H}_2\text{O}$ noch folgende basische Salze auftreten:

$\text{HgSO}_4 \cdot 2\text{HgO}$ (Turbith, Turpethum minerale), welches auch durch Fällen einer Mercurinitratlösung durch SO_4^{--} -Ion in der Hitze gewonnen wird. Nach Mailhe³²⁶⁾ entsteht Turbith auch aus Quecksilberoxyd und Ferrisulfatlösung, es muß daher die durch Hydrolyse in der Sulfatlösung gebildete Schwefelsäure mindestens ebenso stark sein, wie diejenige, mit welcher der Turbith im Gleichgewichte steht, nämlich 0,0013²²³⁾. Das Salz bildet ein lebhaft zitronengelbes Pulver (Astragonale Kristalle) vom spez. Gewicht 6,44 und färbt sich bei jedesmaligem Erhitzen rot. Es löst sich in ca. 2000 Teilen kalten und ca. 600 Teilen kochenden Wassers. Zwischen Turbith und neutralem Sulfat steht die von Hoitsema genauer untersuchte Verbindung:

$3\text{HgO} \cdot 2\text{SO}_3 \cdot 2\text{H}_2\text{O}$, welche farblose, harte, monokline Kristalle bildet. Die Löslichkeitskurven für die einzelnen Phasen s. bei Hoitsema.

Die Minimalkonzentration, mit welcher der Turbith im Gleichgewicht steht (s. S. 605), beträgt bei 25° 0,0013, Äquiv., diejenige für das neutrale Sulfat 6,87 Äquiv. H_2SO_4 (Cox).

Mercurisalze der Sauerstoffsäuren des Stickstoffs und der Homologen. Für Mercurinitrat, den wichtigen Vertreter dieser Klasse von Salzen, gelten im wesentlichen die für die Mercurisalze der Halogensauerstoffsäuren gemachten allgemeinen Bemerkungen.

Mercurihyponitrit. Aus Mercurisalzen und Natriumhyponitrit erhielt Ray^{326a)} die basischen Salze: $\text{Hg}(\text{NO})_2 \cdot 3\text{HgO} \cdot 3\text{H}_2\text{O}$ und $\text{Hg}(\text{NO})_2 \cdot 3\text{HgO} \cdot 5\text{H}_2\text{O}$ als gelatinöse leichte Niederschläge.

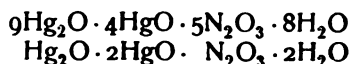
Ein anderes basisches Salz: $3\text{Hg}(\text{NO})_2 \cdot 5\text{HgO} \cdot 5\text{H}_2\text{O}$ entsteht durch Reduktion des Mercurinitrits mit Cyankalium: $\text{Hg}(\text{NO}_2)_2 + 2\text{KCN} = \text{Hg}(\text{NO})_2 + 2\text{KCNO}$; s. ferner Divers.^{326b)}

Mercurinitrit, $\text{Hg}(\text{NO})_2$. Eine wässrige Lösung des Salzes wird erhalten, indem man eine Sublimatlösung mit der entsprechenden Menge reinen Silbernitrits behandelt. Die so erhaltene Lösung reagiert sauer, gibt alle Mercuriionenreaktionen, verhält sich demnach wie ein Mercurisauerstoffsalz. Läßt man die Lösung in einem Schwefelsäureexsikkator verdunsten, so bleiben äußerst zerfließliche und zersetzliche Kristallnadeln zurück, welche alle Reaktionen der salpetrigen Säure geben und offenbar das feste Mercurinitrit darstellen. Die sehr geringe Leitfähigkeit der Lösung:

v	A
32	6,7
64	9,1
128	13,5

(A = molek. Leitf. in rez. Ω , 25°) berechtigt wohl zu dem Schluß, daß die salpetrige Säure nicht zu den sehr starken Säuren gezählt werden darf (H. Ley und H. Kissel³²⁷). Das von Ray^{327a}) isolierte Mercurinitrit (aus HgCl_2 und AgNO_2) stellt hellgelbe Nadeln dar, welche an der Luft allmählich zerfließen. Durch Wasser wird das feste Salz zersetzt; beim Erhitzen im Vakuum auf 100° erfolgt Zersetzung, wobei hauptsächlich Mercuronitrat und Stickoxyd entstehen. Nach Ray³²⁸) bildet sich Mercurinitrit auch aus dem Mercurosalze durch freiwilligen Zerfall in wässriger Lösung: $\text{Hg}_2(\text{NO}_2)_2 \rightleftharpoons \text{Hg}(\text{NO}_2)_2 + \text{Hg}$, wobei ein Gleichgewicht zwischen Hg , Hg_2^- und Hg^- auftritt.

Ein basisches Mercurinitrit: $12\text{HgO} \cdot 5\text{N}_2\text{O}_3 \cdot 24\text{H}_2\text{O}$ sowie zwei basische Mercurio-Mercurinitrite:



erhielt Ray als Zersetzungsprodukte einer wässrigen Lösung von Mercuri- und Mercuronitrit.

Mercurinitrat, $\text{Hg}(\text{NO}_3)_2$, mit $\frac{1}{2}$ oder $8\text{H}_2\text{O}$. Beim Behandeln des Metalls oder des Oxyds mit überschüssiger Salpetersäure und Stehenlassen der Lösung neben Kalk oder Vitriolöl kristallisiert das Salz $\text{Hg}(\text{NO}_3)_2 \cdot \frac{1}{2}\text{H}_2\text{O}$ in Form großer wasserheller zerfließlicher Kristalle aus (Millon³²⁹). Bei -15° soll sich hingegen aus der Lösung das Salz $\text{Hg}(\text{NO}_3)_2 \cdot 8\text{H}_2\text{O}$ ausscheiden (Regnault³³⁰), Ditten³³¹). Letztere schmelzen bei gewöhnlicher Temperatur zur farblosen Flüssigkeit, aus der bald durch Hydrolyse gebildete basische Salze ausfallen.

Die Bildungswärme des Salzes aus dem Oxyd und Salpetersäure beträgt nur 64 K, womit die leichte Zersetzbarkeit des Salzes z. B. durch Wasser, im Einklange steht, eine Reaktion, die zur Bildung einer Reihe gut definierter basischer Salze führt. Die mit etwas Salpetersäure versetzte Lösung von Mercurinitrat ist imstande, eine Reihe schwer löslicher Metall-, z. B. Mercurio- und Silbersalze zu lösen, falls sich wenig dissoziierte Hg^- -Salze zu bilden vermögen. Derartige Salze sind Hg_2Cl_2 , Hg_2Br_2 , Hg_2I_2 ; AgCl , AgBr , AgI , AgCN , AgSCN etc. (s. S. 614).

Die durch das System $\text{Hg}(\text{NO}_3)_2 + \text{HNO}_3$ hervorgerufenen Gefrierpunktsdepressionen wurden von Morse²⁷⁵) bestimmt

norm. $\text{HNO}_3 +$ $\text{Hg}(\text{NO}_3)_2$	Depression
0,00	3,700
0,262	4,499
1,000	6,800
$\frac{1}{10}$ norm. $\text{HNO}_3 +$ $\text{Hg}(\text{NO}_3)_2$	
0,00	0,356
0,050	0,506
0,000	0,676.

Morse berechnet hieraus die Hg^- -Ionenkonzentration in einer Lösung von norm. Mercurinitrat in normaler Salpetersäure zu ca. 0,40; in der 0,1 norm.

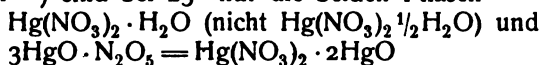
$\text{Hg}(\text{NO}_3)_2$ in 0,1 HNO_3 ist die Hg^{++} -Ionenkonzentration ungefähr 0,04. Bei dieser Berechnung ist auf die vorhandene Komplexbildung zwischen HNO_3 und $\text{Hg}(\text{NO}_3)_2$ keine Rücksicht genommen.

Mercurinitrat wird durch viel Wasser, besonders beim Erwärmen, völlig in Säure und Base zerlegt. Hierbei entstehen eine Reihe von basischen Salzen als intermediäre Produkte:

$\text{Hg}(\text{NO}_3)_2 \cdot 2\text{HgO} \cdot \text{H}_2\text{O}$ aus dem vorigen Salze durch Behandeln mit kaltem Wasser bis zum Aufhören der sauren Reaktion erhalten. Weißes, kristallinisches Pulver, das sich beim Behandeln mit viel Wasser rosa färbt und schließlich bis zur Bildung von Oxyd zersetzt wird (Millon³²⁹).

$\text{Hg}(\text{NO}_3)_2 \cdot \text{HgO} \cdot \text{H}_2\text{O}$, vielleicht: $\text{Hg} \begin{smallmatrix} \text{NO}_3 \\ \text{OH} \end{smallmatrix}$ auch mit 2 und 3 Mol. Wasser bekannt (Millon, Kane³³¹), Mitscherlich³³², Ditten³³³).

Nach Cox²²³) sind bei 25° nur die beiden Phasen



beständig, für ersteres Salz beträgt die charakteristische Minimalkonzentration an HNO_3 (s. S. 605) 18,72, für letzteres 0,159.

Mercuriorthophosphat, $\text{Hg}_3(\text{PO}_4)_2$, bildet sich durch Fällung von Mercurinitrat mittels einer Na_2HPO_4 -Lösung als weißer kristallinischer Niederschlag, der sich etwas in heißem Wasser löst.

Mercuripyrophosphat, $\text{Hg}_2\text{P}_2\text{O}_7$, in analoger Weise erhalten, stellt ebenfalls einen weißen, schwerlöslichen Niederschlag dar.

Mercurihexametaphosphat, $\text{Hg}_3\text{P}_6\text{O}_{18}$, farbloses, durchsichtiges Glas (Lüder³³⁴).

Basisches Mercuriarsenit, $2\text{HgO} \cdot \text{As}_2\text{O}_3$, gelblich weißes, durch Säuren und Basen zerlegbares Pulver (Reichard^{334a}). Über andere Mercuriarsenite s. Stavenhagen.³³⁵)

Mercuriorthoarsenat, $\text{Hg}_3(\text{AsO}_4)_2$, durch Fälln von Hg_2^{++} -Ion mittels Na_2HASO_4 -Lösung dargestellt, bildet ein schweres, zitronengelbes Pulver, das sich in geringer Menge in heißem Wasser löst. Die Dissoziation der drei letztgenannten Salze ist wegen der geringeren Stärke der Säuren H_3PO_4 etc. sicher weit kleiner als die des Mercurinitrats. Aus diesem Grunde ist die Neigung der Phosphate und Arseniate zur Bildung basischer Salze auch eine weit geringere als beim Nitrat und Sulfat. Die Tendenz zur Bildung beständiger Komplexsalze ist bei allen Salzen dieser Klasse ebenfalls nur gering.

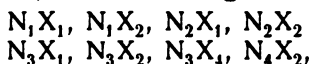
Mercuricarbonat ist im neutralen Zustande als HgCO_3 nicht bekannt. Auf Zusatz einer Mercurinitratlösung zu einer im Überschuß vorhandenen Lösung von K_2CO_3 bez. KHCO_3 entstehen die basischen Carbonate: $\text{HgCO}_3 \cdot 3\text{HgO}$ bez. $\text{HgCO}_3 \cdot 2\text{HgO}$ (?) als braune, beim Kochen mit Wasser sich leicht zersetzende Niederschläge (Millon³³⁶).

Komplex- und Doppelsalze der Mercurireihe.

Während, wie früher angegeben, die Zahl der Mercuriodoppelsalze sehr klein ist, finden wir für diese Klasse von Verbindungen in der Mercurireihe ein weites Feld. Wie in anderen Fällen treffen wir alle möglichen Abstufungen von den mehr als Doppelsalze anzusprechenden Verbindungen, welche in der Lösung fast vollständig in die Komponenten gespalten sind, bis zu den eigentlichen Komplexsalzen mit unendlich geringer Hg^{++} -Ionenkonzentration. Die Neigung zur Komplexsalzbildung scheint im großen und ganzen mit der Elektroaffinität

des Anions Hand in Hand zu gehen, was bei den einzelnen Salzen zum Ausdruck kommen wird. Der Übersicht halber sind die Salze in derselben Weise wie früher nach Anionen geordnet.

I. Die Komplexsalze der Mercurihalogene, welche HgCl_2 , HgBr_2 , HgI_2 [und $\text{Hg}(\text{CN})_2$ sowie $\text{Hg}(\text{SCN})_2$] als Neutralteil enthalten, zeigen sehr mannigfaltige Zusammensetzung; die wichtigsten Typen der im festen Zustande isolierten Salze sind, nach Anionen geordnet, folgende:



wo N den Neutralteil, X das Einzelion bedeuten.

Nach Untersuchungen von Strömholm³³⁷⁾ existieren von gewissen organischen schwefelhaltigen Basen feste Salze, welche noch weit größere Mengen Neutralteil HgCl_2 enthalten, z. B. $(\text{C}_2\text{H}_5)_3\text{SCI} + 6\text{HgCl}_2$.

Bei Salzen anorganischer Basen, z. B. KCl , LiCl etc. scheint jedoch die Tendenz, derartige quecksilberreiche Doppelsalze zu bilden, sehr gering zu sein.

Formell können die eingangs erwähnten komplexen Salze $\text{Me}'(\text{HgX}_3)$ etc. von den Wasserstoffverbindungen $\text{H}(\text{HgX}_3)$ etc. abgeleitet werden, welche teilweise im festen Zustande isolierbar sind und zum Teil auch in der Lösung im komplexen Zustande existieren.

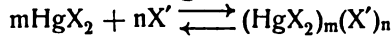
Es verdient noch besonders bemerkt zu werden, daß vom Mercurifluorid bis jetzt keine Komplexsalze beschrieben und vielleicht überhaupt auch nicht existenzfähig sind. Auch hierin würde sich das Fluorid den anderen Halogenverbindungen gegenüber gegensätzlich verhalten, was bei der Ähnlichkeit zwischen Quecksilber-Sauerstoff- und Quecksilber-Fluor-Affinität durchaus verständlich wäre.

Die am genauesten untersuchten festen Alkalikomplexsalze sind meist gut kristallisierte Stoffe, die sich in Wasser leicht lösen. Thermochemisch wurden die Verbindungen eingehend von Berthelot³⁴⁵⁾ untersucht. Die Bildungswärme der Komplexsalze aus den festen Einzelsalzen wurden in bekannter Weise ermittelt aus den experimentell bestimmten Wärmetönungen beim Auflösen der Einzelsalze (HgX_2aq), (MeXaq), aus der Mischungswärme der Lösungen (HgX_2aq , MeXaq) und der Lösungswärme des festen Komplexsalzes in Wasser ($\text{HgCl}_2\text{MeXaq}$). Einzelne Zahlen sind später aufgeführt, zu allgemeinen Ergebnissen haben diese Untersuchungen nicht geführt. Die meist beträchtliche positive Wärmetönung (HgX_2aq , MeXaq) deutet auf die Existenz des Komplexsalzes in der Lösung hin, worauf jetzt näher einzugehen sein wird.

Konstitution der wässrigen Lösungen der Komplexsalze. In wässriger Lösung sind manche der zuerst genannten Salze, worauf schon rein chemische Beobachtungen hinweisen, teilweise in ihre Komponenten gespalten, z. B. $\text{KHgCl}_3 \rightleftharpoons \text{KCl} + \text{HgCl}_2$, so daß eine teilweise Spaltung des Komplexions $(\text{HgCl}_3)'$ in das Einzelion Cl' und den Neutralteil HgCl_2 erfolgt ist.

Die Frage, welche der vorher formulierten Komplexionen in wässriger Lösung beständig und wieweit diese in die Bestandteile zerfallen sind, ist eingehend von Le Blanc und Noyes³³⁸⁾, Richards und Archibald¹⁵⁰⁾, und besonders von Abegg und seinen Mitarbeitern Immerwahr, Jander³³⁹⁾, Sherrill³⁴⁰⁾ untersucht worden; in letzterer Arbeit ist auch die Methodik derartiger Aufgaben diskutiert worden.

Die Auflösung der Mercurihaloide in den Alkalihaloiden vollzieht sich nach folgender allgemeinen Gleichung:

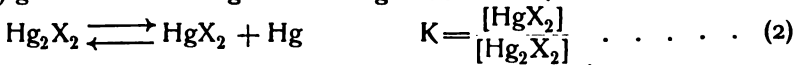


für die das Massenwirkungsgesetz folgende Gleichung ergibt

$$K_1 = \frac{[(\text{HgX}_2)_m(\text{X}')_n]}{[\text{HgX}_2]^m [\text{X}']^n} \quad \dots \quad (1)$$

K_1 ist die sog. Komplexkonstante, welche die Konzentration des komplexen Anions darstellt, falls die Konzentration des Neutralteils und des Einzelions gleich eins gesetzt wird.

Die Konzentrationen der in Gl. (1) genannten Ionen und Moleküle lassen sich nun teils durch Verteilungs- und Löslichkeitsbestimmungen, teils nach der Bodländerschen Methode^{340a)} bestimmen. Für diese Methoden kommen außer den in (1) genannten noch folgende Gleichgewichte und Konstanten in Betracht:



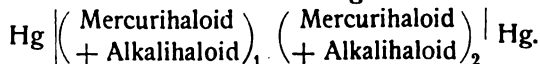
a) Löslichkeitsbestimmung der Mercurohaloide in den Alkalihaloiden (Richards und Archibald¹⁷⁾). In diesem Falle, wo Hg_2X_2 Bodenkörper ist, muß nach 2) auch $[\text{HgX}_2]$ konstant sein und nach Gleichung (1)

$$\frac{[(\text{HgX}_2)_m(\text{X}')_n]}{[\text{X}']^n} = K_4.$$

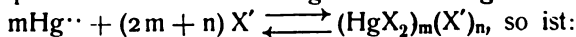
Ist a die Anfangskonzentration des Alkalihaloids und c diejenige des im Komplex gebundenen Mercurihaloids, so ist unter der Annahme, daß das gesamte gelöste Mercurihaloid sich im Komplex befindet und unter der Voraussetzung, daß das Alkalihaloid und Komplexsalz vollständig dissoziiert sind:

$$K_4 = \frac{c}{\left(a - \frac{n}{m} c\right)} \quad \dots \quad (5)$$

b) Bodländers Methode durch Messung der EMK der Kette:



Bei den Chlorid-, Bromid- und Jodid-Komplexen ist diese Methode natürlich nur bei solchen Komplexkonzentrationen anwendbar, welche kleiner oder höchstens gleich der Löslichkeit des Mercurosalzes sind, daher erstreckt sich diese Methode nicht auf dasselbe Konzentrationsgebiet wie a). Denkt man sich das Komplexion aus den Ionen Hg^{++} und X' aufgebaut:



$$[\text{Hg}^{++}]^m = \frac{1}{K_5} \cdot \frac{[(\text{HgX}_2)_m(\text{X}')_n]}{[\text{X}']^{2m+n}} \quad \dots \quad (6)$$

und für 2 Lösungen verschiedener Konzentration:

$$\frac{[\text{Hg}^{++}]_1}{[\text{Hg}^{++}]_2} = \left(\frac{[(\text{HgX}_2)_m(\text{X}')_n]_1 [\text{X}']_2^{2m+n}}{[(\text{HgX}_2)_m(\text{X}')_n]_2 [\text{X}']_1^{2m+n}} \right)^{1/m} = \left(\frac{c_1 \left(a_2 - \frac{n}{m} c_2 \right)^{2m+n}}{c_2 \left(a_1 - \frac{n}{m} c_1 \right)^{2m+n}} \right)^{1/m}$$

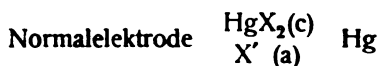
Zur Bestimmung von m machen wir $a_1 = a_2$ und sorgen dafür, daß c_1 und c_2 gegen a sehr klein sind (quecksilberarme Lösungen), dann wird:

$$\frac{[\text{Hg}^{2+}]_1}{[\text{Hg}^{2+}]_2} = \left(\frac{c_1}{c_2}\right)^{1/m}$$

Aus der Nernstschen Formel folgt schließlich:

$$m = \frac{0,0295}{E} \log \frac{c_1}{c_2} \dots \dots \dots (7)$$

wo E die EMK der unter den angegebenen Bedingungen gemessenen Mercurionenkonzentrationskette ist. Aus der EMK einer anderen Kette, bei der die Konzentration der Einzelionen verschieden sind, läßt sich sodann n und damit die eindeutige Zusammensetzung des Komplexions ermitteln. Zur Prüfung der Formel wird aus den EMK-Messungen mit den Werten m und n die Konstante K_s berechnet; hierzu wird mittels der Kette:



die Hg^{2+} -Ionenkonzentration in der rechten Elektrode berechnet und dieser Wert und die aus c und a zu ermittelnde Konzentration des Komplex- und Einzelions in die Gleichung (6) eingesetzt. Sherrill setzt $[\text{Hg}_2^{2+}]$ in der Normalelektrode $6,3 \times 10^{-15}$ und berechnet daraus $[\text{Hg}^{2+}]_{\text{NE}} = 5,3 \times 10^{-20}$; benutzt man den von Ley und Heimbucher (s. S. 600) ermittelten kleineren Wert $[\text{Hg}_2^{2+}]_{\text{NE}} = 3,5 \times 10^{-20}$, so werden die K_s -Werte durchwegs etwas größer (vergl. die Rechnungen von Sherrill und Skowronski³⁴⁾).

Während beim Chlorid, Bromid, Jodid (und Rhodanid) die Konzentration des freien Neutralteils als verschwindend angenommen werden kann, ist dieses beim Cyanid für größere Konzentrationen nicht mehr zutreffend. Für den Fall der Sättigung an $\text{Hg}(\text{CN})_2$ ist mit Hilfe der Mercurionkonzentrationsketten lediglich n , nicht mehr m zu ermitteln (Sherrill, l. c.) und zwar mit Hilfe der Gleichung:

$$n = \frac{0,059}{E} \log \frac{a_2}{a_1}$$

Die erhaltenen Resultate können ergänzt werden:

c) durch Gefrierpunktmessungen, d. h. durch Messung der Änderungen der Gefrierpunkte der Alkalisalzlösungen, die durch Zusätze von Mercurihaloiden bewirkt werden,

d) und e) durch Löslichkeits- und Verteilungsmessungen.

Ist b die Konzentration des freien Mercurihaloids, welche durch Löslichkeits- oder Verteilungsversuche zu ermitteln ist und behalten a und c ihre frühere Bedeutung, so wird

$$K_s = \frac{\frac{c}{m}}{b = a - \frac{n}{m} c} \cdot a$$

Die Messungen der EMK obiger Konzentrationsketten können, falls Mercurosalz als Bodenkörper vorhanden ist, zur Berechnung des Löslichkeits-

produkts des Mercurohalogens dienen; ferner liefert der Wert $\left(\frac{K_1}{K_2}\right)^{\frac{1}{m}} = K_2$ angenähert die Dissoziationskonstante des Mercurihalogens im Sinne der Gleichung: $\text{HgX}_2 \rightleftharpoons \text{Hg} \cdot + 2\text{X}'$. Siehe hierzu Luther.³⁴²⁾

Die Werte für K_1 und K_2 sind bei den einzelnen Salzen aufgeführt.

Für die gegenseitigen Beziehungen mehrerer existenzfähiger Komplexe lassen sich folgende allgemeinen Beziehungen aus dem Massenwirkungsgesetz ableiten (Sherrill):

$$[(\text{HgX}_2)_m(\text{X}')_n] = K_1 \cdot [\text{HgX}_2]^m [\text{X}']^n.$$

Für einen anderen Komplex, mit den Molekularfaktoren m' und n' wird:

$$[(\text{HgX}_2)_{m'}(\text{X}')_{n'}] = K'_1 \cdot [\text{HgX}_2]^{m'} [\text{X}']^{n'}.$$

Daraus folgt das Massenverhältnis der beiden Komplexe der verschiedenen Typen zu:

$$\frac{[(\text{HgX}_2)_m(\text{X}')_n]}{[(\text{HgX}_2)_{m'}(\text{X}')_{n'}]} = \frac{K_1}{K'_1} \cdot [\text{HgX}_2]^{m-m'} [\text{X}]^{n-n'}.$$

Diese Formel zeigt, daß für zwei verschiedene Komplexe, bei denen m gleich m' ist, die sich also z. B. wie die beiden Mercuricyanidkomplexe $\text{Hg}(\text{CN})_4''$ und $\text{Hg}(\text{CN})_3'$ zueinander verhalten, das Verhältnis des halogenreichern zum halogenärmern Komplex mit zunehmender Halogenionenkonzentration wächst, dagegen von der Konzentration des Mercurihaloids unabhängig ist.

Ist anderseits n gleich n' , so wird das Verhältnis der beiden Komplexe von der Halogenkonzentration unabhängig, und es wird durch wachsenden Mercurihaloidzusatz der quecksilberreichere Komplex begünstigt.

Die Messungen der EMK haben erwiesen, daß bei geringen HgX_2 -Konzentrationen sowohl die drei Mercurihalogene als auch Cyanid und Rhodanid Komplexionen vom Typus $(\text{HgX}_4)''$ bilden, bei denen also $m=1$ und $n=2$ ist; selbst bei höheren Konzentrationen des Alkalisalzes, das zufolge den letztgenannten Gleichungen die Bildung halogenreicherer Typen begünstigt, tritt kein anderes Komplexsalz auf. $n=2$ scheint die Maximalzahl der Halogenionen darzustellen, die sich mit 1 Mol HgX_2 (Neutralteil $m=1$) vereinigen können.

Für Komplexe, die die gleiche Zahl von Einzelionen ($n=2$) enthalten, müssen ebenfalls mit steigendem Gehalt an HgX_2 die Chancen zur Bildung quecksilberreicherer Typen zunehmen. Die Beobachtung ergab, daß in diesem Falle Komplexionen von der Form $(\text{HgX}_2)_m\text{X}_2$ auftreten und zwar ist beim Chlorid m mindestens 3, beim Bromid m mindestens 2. Beim Cyanid ist die Tendenz zur Komplexsalzbildung besonders groß, so daß sich hier die Komplexe so gut wie quantitativ bilden und zwar anscheinend ausschließlich die beiden Komplexe $m=1, n=2$ und $m=1, n=1$.

Beim Jodid liegen die Verhältnisse insofern anders als beim Chlorid und Bromid, da hier noch der Komplex $m=2, n=3$ in die Erscheinung tritt.

a) **Verbindungen des Mercurichlorids.** Die Löslichkeit des Sublimats in Wasser wird durch Gegenwart von Salzsäure bedeutend erhöht, ein Umstand, der sich nur durch Bildung komplexer Säuren erklären läßt. Nach Ditte³⁴³⁾ sind die Löslichkeitsverhältnisse in Molen pro Liter ausgedrückt, folgende:

Temperatur = 16°.

Konzentration HCl a	Löslichkeitserhöhung b	$\frac{a}{c} = \alpha$
1,57	1,52	1,0
2,09	2,83	1,0
4,03	4,34	1,0
6,44	5,11	1,3
9,51	5,06	1,7
16,0	6,37	2,0
22,0	6,90	3,3

Die Tatsache, daß das Verhältnis $\frac{a}{c}$ von 1 bis 3 steigt, deutet auf komplizierte Verhältnisse, wahrscheinlich auf Bildung von Anionen $(\text{HgCl}_2)_x(\text{Cl}')_{3x}$ hin.

Durch Bestimmung von Gefrierpunktsdepressionen einerseits der getrennten Lösungen von HgCl_2 und HCl andererseits der Gemische beider konnten Le Blanc und Noyes³³⁸⁾ auf anderem Wege die Existenz solcher Komplexsäuren nachweisen. Wie genannte Autoren durch Verseifungsversuche mit Methylacetat ermittelten, sind die Komplexsäuren wie $\text{H}(\text{HgCl}_3)$, $\text{H}_2(\text{HgCl}_4)$ usw. von gleicher Stärke wie die Salzsäure; ein spezieller Fall eines von Abegg-Bodländer hervorgehobenen Satzes, daß eine Säure durch Addition eines Neutralteils keine Schwächung ihrer Säurefunktion erfahren kann.

Die Bildung dieser komplexen Säuren erfolgt unter beträchtlicher Wärmeentwicklung (Berthelot³⁴⁴⁾). Die festen Verbindungen verlieren an der Luft allmählich Salzsäure.

Nach Ditte existieren folgende Verbindungen, welche durch Sättigen einer Lösung von HgCl_2 in HCl mit HCl -Gas bei verschiedenen Temperaturen entstehen; je niedriger letztere, desto salzsäurereicher werden die Verbindungen:

$\text{H}_2\text{HgCl}_4 \cdot 7\text{H}_2\text{O}$, nur bei niedriger Temperatur unter -5° existenzfähige Kristalle.

Ferner:

$$\begin{aligned} &3\text{HgCl}_2 \cdot 4\text{HCl} \cdot 14\text{H}_2\text{O} \\ &2\text{HgCl}_2 \cdot \text{HCl} \cdot 6\text{H}_2\text{O} \\ &4\text{HgCl}_2 \cdot 2\text{HCl} \cdot 9\text{H}_2\text{O} \\ &3\text{HgCl}_2 \cdot \text{HCl} \cdot 5\text{H}_2\text{O} \end{aligned}$$

Während Sublimatlösungen bekanntlich deutlich sauer reagieren, zeigen die jetzt anzureihenden Alkalikomplexsalze des Sublimats neutrale Reaktion s. S. 621.

$\text{KHgCl}_3 \cdot \text{H}_2\text{O}$, sternförmig gruppierte Nadeln und Säulen, leichtlöslich in Wasser. Die Bildungswärme für das feste Salz KCl , HgCl_2 aus den Komponenten beträgt 24 K, die Lösungswärme -95 K; die entsprechenden Zahlen für KCl , HgCl_2 , H_2O sind 42 K und -113 K (Berthelot³⁴⁵⁾).

$\text{K}_2\text{HgCl}_4 \cdot \text{H}_2\text{O}$, farblose, rhombische Kristalle, leicht löslich in Wasser. Bildungswärme für HgCl_2 , 2KCl : 38 K, HgCl_2 , 2KCl , H_2O : 54 K, Lösungswärmen: -150 bzw. -167 K (Berthelot³⁴⁵⁾).

$\text{KHg}_2\text{Cl}_5 \cdot 2\text{H}_2\text{O}$, rhombische Säulen.

$\text{NaHgCl}_3 \cdot 1,5\text{H}_2\text{O}$, sechsseitige luftbeständige Nadeln, löslich in 0,33 Tln. H_2O , leicht löslich in Alkohol.

Na_2HgCl_4 , seideglänzende Nadeln, sehr leichtlöslich in Wasser.

Li_2HgCl_6 , lange, mikroskopische Nadeln (Harth).

Kompliziertere Verhältnisse liegen bei den Ammoniumsalzen vor. Es sind folgende Salze beschrieben:

NH_4HgCl_3 (Kane³⁴⁶), auch mit 1 Mol Wasser kristallisierend,
 $(\text{NH}_4)_2\text{HgCl}_4 \cdot \text{H}_2\text{O}$, wasserhelle, lange, rhombische Säulen, isomorph mit dem entsprechenden Kaliumsalz,

$2\text{NH}_4\text{Cl} \cdot 3\text{HgCl}_2 \cdot 4\text{H}_2\text{O}$,

$2\text{NH}_4\text{Cl} \cdot 9\text{HgCl}_2$.

Von Bonsdorff³⁴⁷ sowie von Harth³⁴⁸) sind ferner eine Reihe von Doppelsalzen des Sublimats mit CaCl_2 , SrCl_2 , BaCl_2 , MgCl_2 , ZnCl_2 und CuCl_2 beschrieben, s. die Zusammenstellung im Dammer II².

Von anderen Komplex- oder Doppelsalzen, bei denen das Einzelion nicht Cl' ist, sei erwähnt:

$2\text{HgCl}_2 \cdot \text{NH}_4\text{NO}_3$ (Kosmann³⁴⁹). Ferner sei an die besonders von Jaeger und Krüß³⁵⁰) eingehend untersuchten, meist gut kristallisierten Doppelsalze des Sublimats mit Chromaten erinnert, z. B.

$2\text{HgCl}_2 \cdot \text{K}_2\text{CrO}_4$, gelbe rhombische Tafeln.

$\text{HgCl}_2 \cdot \text{K}_2\text{Cr}_2\text{O}_7$, rotgelbe rhombische Kristalle.

In wässriger Lösung scheint der Grad der Komplexität dieser und anderer Mercurichlorid-Chromate (s. Jaeger und Krüß sowie Wyruboff³⁵¹)) sehr gering zu sein.

Die Wärmetönungen, welche bei der Mischung der Lösungen von HgCl_2 und anderen Chloriden (besonders zweiwertiger Metalle) auftreten, sind von Varet³⁵²) gemessen (vergl. Berthelot³⁴⁵)).

Über die Konstitution der Komplexionen in der wässrigen Lösung gilt das S. 640 Gesagte. Aus der Tatsache, daß die Löslichkeit des Mercurichlorids bis zu ziemlich hohen Cl' -Ionenkonzentrationen dem Quadrate der letzteren proportional ist, folgerten Richards und Archibald¹⁷) die Zusammensetzung $\text{HgCl}_2(\text{Cl}')_2$ für das Komplexion. Für die Komplexkonstante K_s berechnet Sherrill den Wert 9×10^{15} .

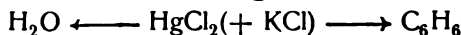
Die Löslichkeit des Sublimats in verdünnter KCl-Lösung ist von Jander bei 25° bestimmt.

Konz. KCl	Löslichkeit	L-Erhöhung	$\frac{a}{c} = \alpha$
0,00	0,263	0,00	
0,1	0,381	0,118	0,85
0,25	0,542	0,270	0,90

Da $\frac{a}{c} = \frac{n}{m}$ nahe bei 1 liegt, ist wahrscheinlich ein Komplex vom Typus $\text{HgCl}_x\text{Cl}'_x$ in überwiegender Menge vorhanden; daß α unter 1 liegt, deutet auf die Anwesenheit einer kleinen Menge eines quecksilberreicheren Anions hin.

Eine teilweise Bestätigung dieser Folgerungen erbringt die Arbeit von Le Blanc und Noyes über die Änderung des Gefrierpunktes von HCl-resp. NaCl-Lösungen durch Zusatz von HgCl_2 .

Das Resultat der von Sherrill ausgeführten Verteilungsversuche:



ist in folgender Tabelle enthalten.

Nr.	Konzentration KCl a	Konzentration HgCl ₂ als freier Neutralteil b	Konzentration HgCl ₂ im Komplex c
1	0,6	0,1842	0,486
2	0,5	0,0850	0,257
3	0,333	0,0478	0,125
4	0,25	0,121	0,143
5	0,25	0,0765	0,117
6	0,25	0,0483	0,084
7	0,25	0,0197	0,0468
8	0,125	0,2209	0,0883
9	0,125	0,1035	0,049
10	0,125	0,0476	0,0289
11	0,125	0,0224	0,0160

$$\text{Verteilungskoeffizient} = \frac{\text{Löslichkeit in H}_2\text{O}}{\text{Löslichkeit in C}_6\text{H}_6} = \frac{0,263}{0,0197} = 13,4.$$

Aus Versuch 7 und 11 wird für $K_1 = \frac{c}{b(a-2c)^2} = \frac{[\text{HgCl}_4'']}{[\text{HgCl}_2][\text{Cl}']^2}$ der Wert 90 berechnet.

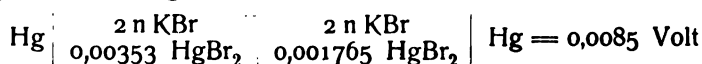
b) **Verbindungen des Mercuribromids.** Die Vereinigung von Quecksilberbromid und Bromwasserstoff erfolgt ebenfalls unter starker Wärmeentwicklung. Bei der Einwirkung von 1 Äquiv. festem HgBr₂ auf 2 Äquiv. HBr werden 30 K, von 1 Äquiv. gelöstem HgBr₂ auf 2 Äquiv. HBr: 34 K frei.³⁴⁴ Die Löslichkeit des HgBr₂ wird durch die Gegenwart der Säure ebenfalls stark erhöht, alles Erscheinungen, welche die Bildung komplexer Verbindungen bekunden. Wässrige Bromwasserstoffsäure vom spezifischen Gewicht 1,18 nimmt bei 40° auf 1 Mol HBr 1 Mol HgBr₂ auf und bildet eine dicke Flüssigkeit.

Von Salzen der nicht isolierbaren Mercuribromidbromwasserstoffsäuren, welche letztere sich gegenüber den entsprechenden Chlorverbindungen höchstwahrscheinlich durch noch größere Komplexität auszeichnen, seien folgende genannt:

KHgBr₃, gelbe Oktaeder. Spezifisches Gewicht 4,42 bis 25°. Bildungswärme des festen Salzes aus den Komponenten: 31 K, Lösungswärme —89 K (Berthelot).

K₂HgBr₄, luftbeständige Säulen. Das Salz bildet sich auch bei der Einwirkung von HgO auf KBr (Bugarszky.) Bildungswärme aus den Komponenten: 12,3 (Berthelot). Nach letzterem existieren auch noch KBr-reichere Komplexsalze. Andere Salze mit (Ca, Ba, Sr, Mg, Zn)Br₂ siehe bei Bondorff (l. c.). Einzelheiten s. Dammer II².

In Lösungen des Mercuribromids in Alkalibromiden existiert, geringe HgBr₂-Konzentration vorausgesetzt, der Komplex HgBr₄'', wie aus folgenden Messungen der EMK geschlossen wurde. Aus der Kette:



berechnet sich $m = 1,04$ (d. h. 1) und n ergibt sich auf Grund der in folgender Tabelle enthaltenen Messungen als ungefähr 2; daraus wurde als Mittelwert für $K_s = 4,3 \times 10^{21}$ berechnet.

	Konzentration KBr	HgBr ₂	EMK gegen N. E.	Gefund. E. K.		EMK berechnet für HgBr ₂ (Br') _x	Konzentr. Hg ⁺⁺	$K_5 = \frac{[\text{HgBr}_2(\text{Br}')_2]}{[\text{Hg}^{++}][\text{Br}']^4}$
1	1,0	0,00805	0,129	0,0575	} gegen 10	0,0560	$1,9 \cdot 10^{-23}$	$3,8 \cdot 10^{21}$
2	1,0	0,00706	0,132	0,0545		0,054	$1,5 \cdot 10^{-27}$	4,1 "
3	1,0	0,00353	0,1415	0,0450		0,045	$0,7 \cdot 10^{-23}$	4,3 "
4	1,0	0,001765	0,150	0,0365		0,036	$0,37 \cdot 10^{-23}$	4,1 "
5	2,0	0,000883	0,1585	0,028	} gegen 2	0,027	$1,9 \cdot 10^{-24}$	3,8 "
6	2,0	0,0283	0,150	0,018		0,0185	$0,37 \cdot 10^{-23}$	4,3 "
7	2,0	0,0141	0,161	0,029		0,0305	$1,5 \cdot 10^{-24}$	5,0 "
8	2,0	0,00706	0,1695	0,0375		0,0365	$0,8 \cdot 10^{-24}$	4,5 "
9	2,0	0,00353	0,178	0,046	} gegen 2	0,0450	$0,4 \cdot 10^{-24}$	4,3 "
10	2,0	0,001765	0,1865	0,0545		0,054	$2,1 \cdot 10^{-25}$	4,3 "
Mittel								$4,3 \cdot 10^{21}$

Die Löslichkeit des Quecksilberbromürs in Kaliumbromid ist von Jander gemessen; die Resultate sind befriedigend mit der Annahme vereinbar, daß $K_2\text{HgBr}_4$ in der Lösung vorhanden ist.

a	c	$K_1 = \frac{c}{(a-2c)^2}$
Konz. des KBr	Konz. des HgBr ₂	
1,0	0,00805	0,083
1,5	0,0136	0,082
2,0	0,0343	0,092
3,0	0,0783	0,096

Gefrierpunktmessungen:

Konz. KBr.	Konz. HgBr ₂	Gefrierpkt.	Erhöhung	$\frac{\text{Erhöhung}}{1,85} = \text{Mol}$
0,5	0,00	-1,78	—	—
0,5	0,101	-1,551	0,219	0,123
0,5	0,202	-1,358	0,193	0,104
0,5	0,303	-1,251	0,125	0,057
0,25	0,00	-0,945	—	—
0,25	0,0505	-0,823	0,122	0,066
0,25	0,101	-0,735	0,088	0,0475
0,25	0,1515	-0,720	0,015	0,008
0,25	gesättigt	-0,730	-0,010	-0,005

Die anfänglichen Erhöhungen des Gefrierpunktes lassen sich am einfachsten durch die Bildung des Komplexes $\text{HgBr}_2(\text{Br}')_2$ erklären. Das Konstantwerden des Gefrierpunktes bei weiterem Eintragen von HgBr_2 wird durch die Bildung eines neuen Komplexes $(\text{HgBr}_2)_x(\text{Br}')_2$ verursacht, indem sich HgBr_2 an das schon vorhandene Ion $\text{HgBr}_2(\text{Br}')_2$ addiert. Die Löslichkeitsversuche (s. u.) deuten darauf hin, daß $x = 2$ ist.

Verteilungsversuche $\text{H}_2\text{O} \longleftrightarrow \text{HgBr}_2(+\text{KBr}) \longrightarrow \text{C}_6\text{H}_6$.

Versuch Nr.	Konzentration KBr a	Konzentration HgBr_2 als freier Neutralteil b	Konzentration HgBr_2 im Komplex c
1	0,5	0,00862	0,2985
2	0,5	0,00365	0,2582
3	0,5	0,001237	0,2107
4	0,5	0,000366	0,1592
5	0,25	0,00684	0,1401
6	0,25	0,003714	0,1225
7	0,25	0,001632	0,1021
8	0,10	0,00343	0,0447
9	0,10	0,00197	0,0377
10	0,05	0,01281	0,0344
11	0,05	0,01045	0,0316
12	0,05	0,00825	0,03024
13	0,05	0,003225	0,02253
14	0,05	0,002454	0,01945
15	0,05	0,00175	0,01621

$$\text{Teilungskoeffizient} = \frac{C_{\text{H}_2\text{O}}}{C_{\text{C}_6\text{H}_6}} = 0,089.$$

Aus Versuch 3, 4, 7, 9, 15 berechnet Sherrill den Mittelwert

$$K_1 = \frac{c}{b(a-2c)^2} = 2,8 \times 10^4$$

(K_1 schwankt sehr stark: ein Beweis, daß bei wachsender HgBr_2 -Konzentration noch andere Komplexe außer $(\text{HgBr}_4)''$ entstehen; bei der größten Konzentration wird sogar $2c > a$).

Löslichkeitsversuche (Jander).

a Konz. KBr	c Löslichkeitserhöhung	$\alpha = \frac{a}{c}$
0,05	0,0378	1,3
0,1	0,0710	1,4
0,5	0,342	1,45
0,866	0,594	1,55
2,0	1,39	1,45
3,0	2,079	1,45
4,0	2,322	1,7

Da α kleiner als 2 ist, muß es auch $\frac{n}{m}$ sein, d. h. es müssen ein oder mehrere quecksilberreichere Komplexe in der Lösung vorhanden sein.

Mit Rücksicht auf die Gefrierpunktsversuche ist die Annahme eines Komplexes $(\text{HgBr}_2)(\text{Br})_2$ am wahrscheinlichsten.

c) **Verbindungen des Mercurijodids.** Bei der Lösung von festem Mercurijodid in 4 Mol Jodwasserstoffsäure werden bei $10^0:56$ K, in 8 Mol HJ:58 K entwickelt (Berthelot³⁴⁴). Die Isolierung der festen kom-

plexen Säure ist wie beim Bromid wegen der großen Löslichkeit mit Schwierigkeiten verbunden.

$\text{KHgJ}_3 \cdot 1,5 \text{ H}_2\text{O}$, lange, gelbe Säulen (Boullay³⁵³). Spez. Gew. 4,25. Bildungswärme für $\text{HgJ}_2 \cdot \text{KJ}$: 21 K, für $\text{HgJ}_2 \cdot \text{KJ} \cdot \text{H}_2\text{O}$: 23 K (Berthelot).

K_2HgJ_4 , gelbliche Masse (Boullay). Nach Thomsen ist die Wärmetönung: $\text{HgJ}_2(\text{fest}) + 2\text{KJ aq} = \text{K}_2\text{HgJ}_4 \text{ aq} + 34,5 \text{ K}$; das feste Salz löst sich unter Entwicklung von -98 K . Bei der Vereinigung von $\text{HgJ}_2(\text{fest})$ und $\text{KJ}(\text{fest})$ zu der festen Komplexverbindung werden ca. 30 K frei.

Die Lösungen des Kaliumquecksilberjodids werden durch OH-Ionen nicht gefällt. Eine Lösung von HgJ_2 in KJ und überschüssiger Kalilauge dient als sogen. Neßlersches Reagens als empfindlichste Probe auf Ammoniak.

Konzentrierte Lösungen des Kalium- und Bariumquecksilberjodids vom spez. Gew. 1,72 resp. 1,79 besitzen einen hohen Brechungskoeffizienten, $n_D = 1,72$ resp. 1,79 und werden deshalb für bestimmte refraktometrische Zwecke angewendet.

Für das Natriumsalz NaHgJ_3 (Bonsdorff³⁵⁴) gilt ganz ähnliches.

NH_4HgJ_3 , luftbeständige, gelbe Nadeln (Boullay³⁵³). Durch viel Wasser findet wie bei dem Salze KHgJ_3 teilweise Spaltung statt, indem HgJ_2 ausfällt und ein anderes Salz, K_2 resp. $(\text{NH}_4)_2\text{HgJ}_4$ in Lösung geht; der dabei auftretende Gleichgewichtszustand wurde u. a. von François³⁵⁵) untersucht.

Über die Salze des HgJ_2 mit (Ca, Sr, Ba, Mg, Zn, Cd) J_2 s. Boullay (l. c.), Berthelot³⁵⁶)

$\text{Hg}_2(\text{Hg}_2\text{J}_6) = \text{Hg}_2\text{J}_2 \cdot 2\text{HgJ}_2$ (Boullay) gelbes Pulver, das beim Erhitzen rot wird.

Von Interesse sind noch die Cupro- und Silbersalze der Mercurijodidjodwasserstoffsäure:

Ag_2HgJ_4 , das wie das folgende Salz durch Zusammenreiben der mit etwas Alkohol befeuchteten Komponenten erhalten werden kann. Beim Erwärmen wird das gelbe Salz rot.

$\text{Cu}_2(\text{HgJ}_4)$ entsteht beim Fällern einer Lösung von K_2HgJ_4 mit CuSO_4 und SO_2 als roter Niederschlag, der sich beim Erhitzen auf 70° schokoladenbraun färbt (Meusel³⁵⁷).

Über die beim Erwärmen der letzten beiden Salze vor sich gehenden Umwandlungserscheinungen, welche von der Farbenänderung begleitet sind, und wahrscheinlich in einer Spaltung der Komplexsalze in die Komponenten besteht, s. Bellati und Romanese³⁵⁸), Ostwald³⁵⁹), Baur³⁶⁰).

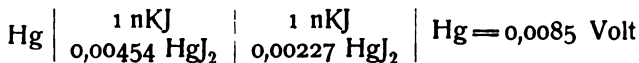
Mit Mercurisulfat bildet Quecksilberjodid das Salz: $\text{HgSO}_4 \cdot \text{HgJ}_2$, welches durch Wasser in die Komponenten gespalten wird (Souville³⁶¹), Riegel³⁶²).

Schließlich vermag sich das Jodid noch mit dem Nitrat zu vereinigen:

$\text{Hg}(\text{NO}_3)_2 \cdot \text{HgJ}_2 = 2\text{Hg} \begin{smallmatrix} \text{I} \\ \text{NO}_3 \end{smallmatrix}$ weiße, perlmutterglänzende Schuppen und Blättchen, die durch Wasser zerlegt werden (Preuß³⁶³), Kraut³⁶⁴).

Die Lösungen des Quecksilberjodids in Mercurinitrat enthalten nach Morse²⁷⁵) das Kation HgJ^+ .

In den Lösungen des Quecksilberjodids in Alkalijodidlösungen ist bei geringen Hg_2J_2 -Konzentrationen der Komplex $(\text{HgJ}_4)''$ vorhanden. Aus der EMK der Kette:



berechnet sich nämlich $m = 1,04$ (d. h. $= 1$), s. S. 639, ferner wurde mit Hilfe der folgenden Tabelle n zu ungefähr 2 und die Komplexkonstante K_3 zu 2×10^{30} ermittelt. Die Potentiale der an Hg_2J_2 nahezu gesättigten Ketten erwiesen sich als auffällig inkonstant.

	a Konzentr. KJ	c Konzentr. HgJ_2	EMK gegen N. E.	EMK gegen 1	EMK ber. für $\text{HgJ}_2 \cdot (\text{J}')_2$	Konzentr. Hg''	$K_3 = \frac{[\text{HgJ}_2 \cdot (\text{J}')_2]}{[\text{Hg}'] [\text{J}']^4}$
1.	0,50	0,0891	0,2995	0,00	0,00	$3,7 \cdot 10^{-30}$	$2,2 \cdot 10^{30}$
2.	0,125	0,0223	0,2465	0,053	0,054	$2,4 \cdot 10^{-28}$	2,2 „
3.	0,250	0,0445	0,272	0,0275	0,027	$3,2 \cdot 10^{-29}$	2,1 „
4.	0,99	0,288	0,300	0,0005	0,002	$0,53 \cdot 10^{-29}$	1,8 „
5.	1,00	0,145	0,3335	0,034	0,034	$2,7 \cdot 10^{-31}$	2,1 „
6.	1,00	0,0726	0,3515	0,052	0,0525	$0,66 \cdot 10^{-31}$	2,1 „
7.	1,00	0,0363	0,3635	0,064	0,0655	$2,6 \cdot 10^{-32}$	1,9 „
8.	1,00	0,01815	0,3740	0,0745	0,0760	$1,1 \cdot 10^{-32}$	1,9 „
9.	1,00	0,009075	0,3825	0,0830	0,0865	$0,55 \cdot 10^{-32}$	1,8 „
10.	1,00	0,004538	0,391	0,0915	0,095	$3,0 \cdot 10^{-33}$	1,6 „
11.	1,00	0,00227	0,3995	0,100	0,101	$1,5 \cdot 10^{-32}$	1,6 „
12.	0,50	0,0445	0,3195	0,020	0,0210	$0,8 \cdot 10^{-30}$	1,9 „
13.	0,50	0,0223	0,3325	0,033	0,034	$2,8 \cdot 10^{-31}$	1,9 „
14.	0,50	0,0111	0,3420	0,042	0,0435	$1,4 \cdot 10^{-31}$	1,6 „
15.	0,04	0,0025	0,230	0,069	0,068	$0,84 \cdot 10^{-27}$	2,0 „
16.	0,1	0,0118	0,252	0,047	0,048	$1,5 \cdot 10^{-28}$	2,2 „
17.	0,5	0,125	0,273	0,026	0,017	$3,0 \cdot 10^{-29}$	1,1 „
18.	1,0	0,305	0,294	0,0055	0,0058	$0,53 \cdot 10^{-29}$	2,4 „

Löslichkeit des Mercurojodids in KJ-Lösungen. Aus den von Abegg und Haber³⁴⁰⁾ gemessenen Löslichkeiten lassen sich nach Sherrill unter der Annahme von HgJ_4'' folgende Konstanten K_4 berechnen

Konz. KJ a	Löslichkeit von Hg_2J_2 als HgJ_2 c	$K_4 = \frac{c}{(a - 2c)^2}$
0,04	0,00196	1,5
0,10	0,0093	1,45
0,50	0,118	1,69
1,0	0,213	0,65]

Die Konstante ist wenig zuverlässig, da Hg_2J_2 bei Gegenwart konzentrierter Jodkaliumlösungen unter Eintritt basischer Reaktion noch andere Veränderungen erleidet, worauf auch die EMK-Messungen hinweisen.

Verteilungsversuche: $\text{H}_2\text{O} \leftarrow \text{HgJ}_2(+\text{KJ}) \rightarrow \text{C}_6\text{H}_6$.

Konzentration KJ = a	Konzentration HgJ ₂ in C ₆ H ₆ = b = 38 · Konzent. in H ₂ O	Konzentration HgJ ₂ = c in KJ-Lösung
1,0	0,0006078	0,4341
1,0	0,0001321	0,3070
0,2	0,0003425	0,0545
0,2	0,0002423	0,04882
0,2	0,0001806	0,04073
0,1	0,00319	0,0435
0,1	0,0008986	0,0316
0,0978	0,0005637	0,0259
0,0799	0,001938	0,02969
0,0730	0,002819	0,02955
0,0502	0,001779	0,01675

Verteilungskoeffizient: $\frac{C_{\text{C}_6\text{H}_6}}{C_{\text{H}_2\text{O}}} = 38$.

Die Konstanz von $K_1 = \frac{c \cdot 38}{b(a - 2c)^2}$ für $\text{HgJ}_2(\text{J}')_2$ ist wenig befriedigend, was auf die Bildung noch anderer Komplexe hinweist. Für die an Mercurijodid sehr verdünnten Lösungen berechnet sich K_1 zu etwa 7×10^5 .

Löslichkeitsversuche (Jander):

a	c	$\alpha = \frac{a}{c}$
Konz. KJ	Löslichkeit HgJ ₂	
0,03125	0,0141	2,20
0,1	0,0492	2,03
0,25	0,131	1,90
0,50	0,2665	1,87
1,0	0,549	1,82

In den an HgJ_2 reichen Lösungen hat sich ein Komplex gebildet, für welchen $\frac{n}{m}$ kleiner als 2 sein muß.

Gefrierpunktmessungen:

Konz. KJ	Konz. HgJ ₂	Gefrierpunkt	Erhöhung	$\frac{\text{Erhöhung}}{1,85} = \text{Mol}$
0,736		— 2,042		
0,736	0,40	— 1,438	0,604	0,327
0,511		— 1,779		
0,511	0,27	— 1,306	0,473	0,256
0,237		— 1,148		
0,237	0,177	— 0,835	0,313	0,169

Die Lösungen waren an HgJ_2 gesättigt; bei Zusatz von HgJ_2 findet eine Erhöhung des Gefrierpunktes statt (vergl. Kolumne 2 und 5) und zwar wird

für jedes hinzukommende Mol HgJ_2 die Gesamtzahl der Moleküle um eines vermindert, was auf die Bildung eines Komplexes der allgemeinen Formel $(\text{HgJ}_2)_x(\text{J}')_{x+1}$ deutet. Mit Hilfe der Methode von Bredig und Walton³⁶⁵⁾, nach der die katalytische Zersetzung des Wasserstoffsuperoxyds der Jodionenkonzentration proportional ist, wurde die nähere Zusammensetzung des Komplexes zu $(\text{HgJ}_2)_2(\text{J}')_3$ ermittelt, wie die folgende Tabelle zeigt. Hier bedeutet K die Zerfallskonstante des Wasserstoffsuperoxyds, aus der die Konzentration des freien und gebundenen Jods berechnet wurde. Das Verhältnis $\alpha = \frac{n}{m}$ nähert sich bei den quecksilberreicheren Lösungen dem Werte 1,5, was auf den obigen Komplex schließen läßt.

Konzentration KJ	Konzentration HgJ_2	K	Konzentration $\text{J}'^1)$	$\text{KJ} - \text{J}' =$ $\text{J}' \text{ gebunden}$	$\frac{\text{KJ} - \text{J}'}{\text{HgJ}_2} = \alpha$
0,03125	0,00	0,04145	0,03125	0,00	
"	0,00205	0,03639	0,0274	0,0039	1,9
"	0,00397	0,03241	0,0244	0,0069	1,74
"	0,00547	0,0286	0,0215	0,0097	1,77
"	0,00798	0,02326	0,0176	0,0136	1,70
"	0,01017	0,01856	0,01395	0,0173	1,70
"	0,01078	0,01775	0,0134	0,0178	1,65
"	0,01161	0,01665	0,01255	0,0187	1,61
"	0,01315	0,01453	0,01094	0,0203	1,54

Versuche, die mit an HgJ_2 gesättigten Lösungen angestellt wurden, erbrachten noch weitere Bestätigungen für diese Annahme.

d) **Komplexsalze des Mercuricyanids.** Der geringen Stärke des Cyan- und Quecksilberions entspricht die große Neigung des Mercuricyanids zur Komplexsalzbildung, deren Produkte besonders thermochemisch durchforscht worden sind. Wir unterscheiden:

1. Salze, die durch Vereinigung von $\text{Hg}(\text{CN})_2$ mit anderen Cyaniden entstanden sind (Doppelcyanide);

2. Salze, welche durch Addition von anderen Ionen als CN, z. B. Halogene, NO_3 , S_2O_3 etc., an den Neutralteil $\text{Hg}(\text{CN})_2$ gebildet worden sind (Chlorocyanide etc., gemischt anionische Komplexe.

Die festen Komplexsalze der ersten Gruppe, welche Kalium, Natrium, die Erdalkalimetalle und Magnesium enthalten, lassen sich fast durchwegs auf folgende Typen beziehen: $[\text{Hg}(\text{CN})_4]\text{R}_2$, $[\text{Hg}_2(\text{CN})_6]\text{R}_2$, $[\text{Hg}_3(\text{CN})_{10}]\text{R}_4$.

$\text{K}_2\text{Hg}(\text{CN})_4$, luftbeständige, durchscheinende, reguläre Oktaeder, spez. Gew. 2,447 bei 21,3° (Clarke³⁶⁶⁾, Rammelsberg³⁶⁷⁾). Die äquivalente elektrische Leitfähigkeit hat Walden³⁶⁸⁾ bestimmt

v	32	64	128	256	512	1024	
Λ	120,2	125,4	127,9	133,0	136,6	143,3	(25°)
$\Lambda_{1024} - \Lambda_{32} = 23,1.$							

$\text{Na}_2\text{Hg}_2(\text{CN})_6$, weiße Kristalle.

Leitfähigkeit (Großmann und v. d. Forst³⁶⁹⁾)

v	32	64	128	256	512	1024	
A	87,5	90,3	95,9	98,1	102,1	107,3	(25 ⁰)

$$A_{1024} - A_{32} = 19,75.$$

Gefrierpunkterniedrigung

gr pro Liter:	20,529	10,264	5,132
Erniedrigung:	0,243	0,121	0,062

$\text{Ca}[\text{Hg}_2(\text{CN})_6] \cdot 8\text{H}_2\text{O}$, nadelförmige, farblose Kristalle (Jackson^{369a}), Großmann und v. d. Forst³⁶⁹)).

$\text{Ca}_2[\text{Hg}_3(\text{CN})_{10}] \cdot 6\text{H}_2\text{O}$, vierseitige Blättchen.

$\text{Sr}[\text{Hg}(\text{CN})_4] \cdot 5\text{H}_2\text{O}$ und

$\text{Ba}[\text{Hg}(\text{CN})_4] \cdot 3\text{H}_2\text{O}$ (Großmann und v. d. Forst) bilden farblose prismatische Nadeln und sind stark hygroskopisch.

$\text{Mg}_2[\text{Hg}_3(\text{CN})_{10}] \cdot 5\text{H}_2\text{O}$ ³⁶⁹) Kristalle.

$\text{ZnHg}(\text{CN})_4 = \text{Zn}(\text{CN})_2 + \text{Hg}(\text{CN})_2$ entsteht durch Fällung der Lösung eines der vorigen Salze mit Zn^{++} -Ion als weißer Niederschlag von häufig wechselnder Zusammensetzung (Rammelsberg³⁶⁷), Dunstan³⁷⁰).

$\text{Pb}[\text{Hg}(\text{CN})_4] = \text{Pb}(\text{CN})_2 + \text{Hg}(\text{CN})_2$ weißer Niederschlag (Rammelsberg, l. c.).

Weitere Salze s. bei Dammer II² und IV.

Die wässrigen Lösungen des Kaliumquecksilbercyanids wurden eingehend von Sherrill untersucht (s. S. 638). An Mercuricyanid arme Lösungen enthalten den Komplex $\text{Hg}(\text{CN})_2(\text{X}')_2$, wie aus den folgenden Messungen der EMK hervorgeht.

	Konzentr. KCN	Konzentr. $\text{Hg}(\text{CN})_2$	EMK gegen N. E.	EMK gegen 1	EMK ber. für $\text{Hg}(\text{CN})_2(\text{CN}')_2$	Konzentr. Hg^{++}	$K_3 = \frac{[\text{Hg}(\text{CN})_2 \cdot (\text{CN}')_2]}{[\text{Hg}^{++}](\text{CN}')^4}$
1.	0,049	0,01247	0,519	0,00	0,00	$1,3 \cdot 10^{-37}$	$2,8 \cdot 10^{41}$
2.	0,0983	0,01247	0,575	0,056	0,057	$1,7 \cdot 10^{-39}$	2,5 „
3.	0,0983	0,02493	0,547	0,028	0,027	$1,7 \cdot 10^{-38}$	2,7 „
4.	0,1965	0,01247	0,616	0,097	0,102	$0,7 \cdot 10^{-40}$	2,1 „
5.	0,1965	0,02493	0,600	0,081	0,084	$2,5 \cdot 10^{-40}$	2,2 „
6.	0,1965	0,04985	0,574	0,055	0,054	$1,8 \cdot 10^{-39}$	3,2 „
							$2,5 \cdot 10^{41}$

Die Werte der EMK zeigten bei den an $\text{Hg}(\text{CN})_2$ verdünnten Lösungen geringe Konstanz und fielen schnell mit der Zeit.

Die an $\text{Hg}(\text{CN})_2$ gesättigte Konzentrationskette:



ergab den Wert: 0,016 Volt, während für $[\text{Hg}(\text{CN})_2]_m(\text{CN})'$: 0,017 berechnet wurde, m ist nicht direkt berechenbar (s. S. 640). Daß in verdünnteren Lösungen jedoch auch $m = 1$ ist, folgt aus den weiteren Messungen.

Die Gefrierpunktmessungen ergaben folgendes:

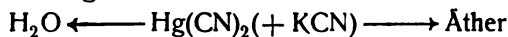
Konzentration KCN	Gesamt-Hg(CN) ₂ -Konzentration	Konzentration Diff.	Gefrierpunkt	Erhöhung	Erhöhung 1,85 Vermind. der Mol.-Zahl
0,1965	0,00		— 0,704		
0,1965	0,476	0,0476	— 0,608	0,096	0,052
0,1965	0,0953	0,0476	— 0,534	0,074	0,04
0,1965	0,1905	0,095	— 0,678	— 0,144	— 0,078
0,1965	0,3910	0,191	— 0,990	— 0,312	— 0,168
0,50	0,00		— 1,745		
0,50	0,21	0,21	— 1,280	0,465	0,25
0,50	0,30	0,09	— 1,296	— 0,016	— 0,009
0,50	0,36	0,06	— 1,410	— 0,114	— 0,062
0,50	0,42	0,06	— 1,507	— 0,097	— 0,052
0,50	0,50	0,08	— 1,653	— 0,146	— 0,079

Bis zum Zusatz von $\frac{1}{2}$ Mol Hg(CN)₂ auf 1 Mol KCN erfolgt eine Erhöhung des Gefrierpunktes; und zwar zeigt der Vergleich der 3. und 6. Kolonne, daß auf 1 Mol Hg(CN)₂ 2 Mole KCN verschwinden. Weitere Zusätze von Mercuricyanid bewirken Erniedrigung des Gefrierpunktes, deren Betrag der Menge des zugefügten Hg(CN)₂ proportional ist.

Wie die Bestimmungen der Löslichkeit des Mercuricyanids in Kaliumcyanid zeigen, bildet sich in den an Quecksilbersalz reicheren Lösungen praktisch quantitativ der Komplex: Hg(CN)₂CN'.

Konzentration KCN	Löslichkeit	Löslichkeits- erhöhung
0,00	0,44	0,00
0,0493	0,4855	0,0455
0,0985	0,5350	0,095
0,1970	0,627	0,187

Auch die Verteilungsversuche:



zeigen die äußerst weitgehende Komplexbildung.

	Konzentration KCN	Konzentration Hg(CN) ₂ in wässriger Lösung	D freies Hg(CN) ₂	Konzentration Hg(CN) ₂ im Äther	Verteilungs- koeffizient Wasser: Äther
1.	0,00	0,44	0,44	0,01	44
2.	0,0493	0,410	0,361	0,00785	46
3.	0,0493	0,370	0,321	0,00685	47
4.	0,0493	0,200	0,251	0,00567	44
5.	0,0493	0,274	0,225	0,00413	44

Die Kolumne D enthält das freie $\text{Hg}(\text{CN})_2$ unter der Voraussetzung, daß je 1 Mol CN' mit 1 Mol $\text{Hg}(\text{CN})_2$ in Verbindung getreten ist.

2. Von Doppelsalzen der zweiten Gattung sind diejenigen mit dem Anion $\text{Hg}(\text{CN})_2\text{X}$, wo $\text{X} = \text{Cl}, \text{Br}, \text{J}, \text{NO}_3$ etc. ist, die häufigsten. Sie entstehen direkt aus den Komponenten, s. hierzu die eingehende Studie Varets³⁸⁴); es seien folgende genannt:

α) Chlorocyanide.

$\text{K}[\text{Hg}(\text{CN})_2\text{Cl}] \cdot 0,5\text{H}_2\text{O}$, weiße, in 6,75 Teilen Wasser von 18° lösliche Blättchen, Brett³⁷¹) scheint auch unter anderen Bedingungen mit 1 Mol HO_2 zu kristallisieren.

$\text{Na}[\text{Hg}(\text{CN})_2\text{Cl}]$, durchsichtige, in Wasser und verdünntem Alkohol lösliche Nadeln (Brett, l. c., Poggiale³⁷²)).

$\text{NH}_4[\text{Hg}(\text{CN})_2\text{Cl}]$, seidenglänzende, in Wasser und Alkohol lösliche Nadeln (Brett, l. c., Poggiale, l. c.).

$\text{Ca}[\text{Hg}(\text{CN})_2\text{Cl}]_2 \cdot 6\text{H}_2\text{O}$, $\text{Mg}[\text{Hg}(\text{CN})_2\text{Cl}]_2 \cdot 2\text{H}_2\text{O}$, $\text{Ba}[\text{Hg}(\text{CN})_2\text{Cl}]_2 \cdot 4$ oder $6\text{H}_2\text{O}$ und $\text{Sr}[\text{Hg}(\text{CN})_2\text{Cl}]_2 \cdot 6\text{H}_2\text{O}$ kristallisieren in Nadeln und sind in Wasser und Alkohol leichtlöslich (Brett, l. c., Poggiale, l. c., Dexter³⁷³)).

$\text{Zn}[\text{Hg}(\text{CN})_2\text{Cl}]_2 \cdot 6\text{H}_2\text{O}$, leicht verwitternde Säulen (Poggiale, l. c.).

$\text{Cd}[\text{Hg}(\text{CN})_2\text{Cl}]_2 \cdot \text{H}_2\text{O}$, kleine, in Wasser, auch in Ammoniak lösliche Kristalle (Varet³⁷⁴)).

$\text{Cu}[\text{Hg}(\text{CN})_2\text{Cl}]_2 \cdot 6\text{H}_2\text{O}$ und $\text{Cu}[\text{Hg}(\text{CN})_2\text{Cl}_2] \cdot 6\text{H}_2\text{O}$ stellen blaue Nadeln dar; ersteres Salz ist in Wasser löslicher als letzteres (Varet³⁷⁴)).

$\text{Hg}(\text{CN})_2 \cdot \text{HgCl}_2$ vielleicht: $\text{Hg} \begin{smallmatrix} \text{CN} \\ \diagup \\ \text{Cl} \end{smallmatrix}$ luftbeständige, vierseitige Pyramiden, leichtlöslich in Wasser (Poggiale l. c.).

β) Bromocyanide.

$\text{K}[\text{Hg}(\text{CN})_2\text{Br}] \cdot \text{H}_2\text{O}$, weiße perlmutterglänzende Blättchen oder vierseitige Nadeln (Caillot³⁷⁵), Brett, l. c.); löslich in 13,3 Teilen Wasser von 18° und in weniger als 1 Teil Wasser von 100°, löst sich auch in Alkohol.

Die folgenden Doppelsalze, von denen nur die Formel aufgeführt werden sollen, sind den analogen chlorhaltigen Verbindungen in ihren Eigenschaften ähnlich.

$\text{Na}[\text{Hg}(\text{CN})_2\text{Br}] \cdot 1,5\text{H}_2\text{O}$ (Caillot, l. c.).

$\text{Li}[\text{Hg}(\text{CN})_2\text{Br}] \cdot 3,5\text{H}_2\text{O}$ (Varet³⁷⁶)).

$\text{Ca}[\text{Hg}(\text{CN})_2\text{Br}]_2 \cdot 5\text{H}_2\text{O}$ (Custer³⁷⁷)).

$\text{Sr}[\text{Hg}(\text{CN})_2\text{Br}]_2 \cdot 6\text{H}_2\text{O}$ (Caillot, l. c.).

$\text{Ba}[\text{Hg}(\text{CN})_2\text{Br}]_2 \cdot 6\text{H}_2\text{O}$ (Caillot, l. c.).

$\text{Cd}[\text{Hg}(\text{CN})_2\text{Br}]_2 \cdot 4,5\text{H}_2\text{O}$; $\text{Cd}[\text{Hg}(\text{CN})_2\text{Br}]_2 \cdot 3\text{H}_2\text{O}$ (Varet³⁷⁴)).

γ) Jodocyanide.

$\text{K}[\text{Hg}(\text{CN})_2\text{J}]$ bildet perlmutterglänzende Blättchen oder silberglänzende Nadeln (Caillot, l. c., Apjohn³⁷⁸), Souville³⁶¹)); löst sich in ca. 16 Teilen kaltem Wasser und in etwa 96 Teilen kaltem Alkohol. Von anderen Salzen dieser Gruppe seien aufgeführt:

$\text{Na}[\text{Hg}(\text{CN})_2\text{J}] \cdot 2\text{H}_2\text{O}$; löslich in 4,5 Teilen Wasser von 18° und in 0,86 Teilen von 100°, in 6,5 Teilen kaltem und 2 Teilen siedendem Alkohol (Custer, l. c.).

$\text{Ca}[\text{Hg}(\text{CN})_2]_2 \cdot 6\text{H}_2\text{O}$ (Poggiale, l. c.).

$\text{Sr}[\text{Hg}(\text{CN})_2]_2 \cdot 6\text{H}_2\text{O}$ (Custer, l. c.).

$\text{Ba}[\text{Hg}(\text{CN})_2]_2 \cdot 4\text{H}_2\text{O}$ (Custer, l. c.).

δ) Rhodanocyanide.

$\text{K}[\text{Hg}(\text{CN})_2\text{SCN}]$, weiße, glänzende Nadeln, welche in heißem Wasser leichtlöslich sind (Clève³⁷⁹).

$\text{Na}[\text{Hg}(\text{CN})_2\text{SCN}]_2 \cdot 2\text{H}_2\text{O}$ und $\text{NH}_4[\text{Hg}(\text{CN})_2\text{SCN}]$ (Clève, l. c.) sind dem Kaliumsalze ähnlich.

$\text{Rb}[\text{Hg}(\text{CN})_2\text{SCN}]$, große, farblose, prismatische Nadeln (Großmann³⁸⁰).

Komplexsalze des Mercuricyanids mit Ca-, Sr-, Ba-, Mg-, Zn- und Cd (SCN)₂ von der allgemeinen Zusammensetzung $\text{Me} \cdot [\text{Hg}(\text{CN})_2\text{SCN}]_2$ wurden von Clève (l. c.) und Böckmann^{380a}) dargestellt.

Auch mit Metallnitraten vermag sich Mercuricyanid zu Komplexsalzen zu vereinigen; es sind u. a. folgende Verbindungen dargestellt:

$\text{Zn}[\text{Hg}(\text{CN})_2\text{NO}_3]_2 \cdot 7\text{H}_2\text{O}$ (Nylander³⁸¹).

$\text{Cd}[\text{Hg}(\text{CN})_2\text{NO}_3]_2 \cdot 7\text{H}_2\text{O}$ (Nylander, l. c.).

$\text{Cu}[\text{Hg}(\text{CN})_2(\text{NO}_3)]_2 \cdot 5\text{H}_2\text{O}$ (Nylander, l. c.).

$\text{Ag}[\text{Hg}(\text{CN})_2 \cdot \text{NO}_3] \cdot 2\text{H}_2\text{O}$, große wasserhelle, rhombische Säulen, die sich wenig in kaltem, leichter in kochendem Wasser lösen (Wöhler³⁸²).

$\text{Hg}[\text{Hg}(\text{CN})_2(\text{NO}_3)]_2$ (Apjohn, l. c.).

Letzteres Salz ist vielleicht richtiger $\text{Hg} \begin{smallmatrix} \text{CN} \\ \text{NO}_3 \end{smallmatrix}$ zu schreiben, vergl. S. 647.

Schließlich mögen noch einige Verbindungen des Mercuricyanids mit organischen Salzen Platz finden:

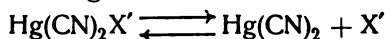
$\text{K}_2 \cdot [\text{Hg}(\text{CN})_2(\text{CHO}_2)_2]$ (Winckler³⁸³).

$(\text{NH}_4)_2[\text{Hg}(\text{CN})_2(\text{CHO}_2)_2]$ (Poggiale, l. c.).

$\text{Na}_2[\text{Hg}(\text{CN})_2(\text{C}_2\text{H}_3\text{O}_2)_2]$ (Custer, l. c.).

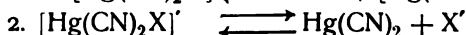
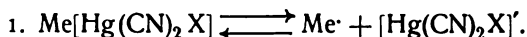
Näheres s. u. a. Beilstein, Hdb. I.

Der Einfachheit halber wurden die vorher beschriebenen Verbindungen des Mercuricyanids als Komplexsalze formuliert; wobei, wie ersichtlich, der Komplex $[\text{Hg}(\text{CN})_2\text{X}]$ am häufigsten vorkommt. Nach den unten mitzuteilenden thermochemischen Bestimmungen ist dieser oder ein ähnlicher Komplex auch als solcher, d. h. in Ionenform, in der wässrigen Lösung der Verbindungen enthalten. Neben den Komplexionen sind aber auch noch das Einzelion und der Neutralteil in der Lösung vorhanden; das Komplexion muß demnach teilweise im Sinne der Gleichung:

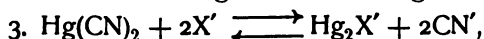


zerfallen sein, was schon daraus hervorgeht, daß die Lösungen der Doppelsalze die Reaktionen des Einzelions X' geben.

Außer den beiden genannten Gleichgewichten:



wird, wenn bei den Chloro- und Bromocyaniden auch untergeordnet, noch ein dritter Zustand in der Lösung zu berücksichtigen sein:



da infolge einer sehr geringen Dissoziation des Mercuricyanids sowie auch der Mercurihalogene ein teilweiser Umsatz des Cyanids mit den Ionen X' zustande kommen wird, so daß im allgemeinen auch freie CN -Ionen in der Lösung vorhanden sein werden, deren Menge um so größer ist, je geringer sich die Dissoziation des entstehenden Mercurisalzes HgX_2 gestaltet.

Nach Varet³⁸⁴) hat man in der Pikrinsäure resp. den Pikraten, z. B. $\text{KOC}_6\text{H}_2(\text{NO}_2)_3$ ein Reagens auf CN -Ionen, indem letztere mit dem Ion $\text{C}_6\text{H}_2\text{O}(\text{NO}_2)_3$ eine intensive, auf Bildung eines cyansubstituierten Körpers beruhende Rotfärbung (Isopurpurate) erzeugen. Aus der Intensität der Färbung kann man einen ungefähren Schluß auf die Menge der Cyanionen ziehen.

Wie nach dem Vorigen zu erwarten, findet nun Varet, daß die Lösungen der Jodocyanide sofort in der Kälte die rote Färbung geben und Lackmuspapier bläuen, während bei den Lösungen der Brom- und noch weniger bei den Chlorocyaniden die Pikratreaktion erst bei höherer Temperatur deutlich wird.

Varets Ansicht, daß die Jodocyanide d. h. die Lösungen des $\text{Hg}(\text{CN})_2$ in KJ überhaupt nicht den Komplex: $\text{Hg}(\text{CN})_2\text{J}$ enthielten, sondern im festen wie im gelösten Zustande als Tripelsalze: $\text{Hg}(\text{CN})_2 \cdot \text{Me}(\text{CN})_2 \cdot \text{HgJ}_2$ aufzufassen seien, scheint nicht genügend durch Versuche unterstützt zu sein.

Besonders eingehend sind bei den Mercuricyaniddoppelsalzen die thermischen Verhältnisse von Varet untersucht. In den folgenden Tabellen, in denen die Resultate seiner Untersuchungen niedergelegt sind, ist verzeichnet unter:

- I. die Lösungswärme des festen Doppelsalzes in Wasser,
- II. die Wärmetönung, welche bei der Vermischung der beiden gelösten Einzelsalze auftritt (1 Mol $\text{Hg}(\text{CN})_2$ war in 8 Litern, 1 Mol des zweiten Cyanids in 2 bzw. 4 l (zweiwertige Metalle) gelöst),
- III. die Bildungswärme des festen kristallwasserhaltigen Doppelsalzes aus den festen Einzelsalzen und Wasser,
- IV. die Temperatur, bei der die thermochemische Reaktion vorgenommen wurde.

Die Wärmetönungen sind in K ausgedrückt.

I. Chlorocyanide.

	I	II	III	IV
$2\text{Hg}(\text{CN})_2, 2\text{KCl}, 2\text{H}_2\text{O}$	— 208	+ 3,0	+ 60	4°
$2\text{Hg}(\text{CN})_2, 2\text{NaCl}, 2,5\text{H}_2\text{O}$	— 162,0	+ 3,3	+ 79,5	15°
$2\text{Hg}(\text{CN})_2, 2\text{NH}_4\text{Cl}, 1,5\text{H}_2\text{O}$	— 151,0	+ 3,8	+ 15,0	15°
$2\text{Hg}(\text{CN})_2, 2\text{LiCl}, n\text{H}_2\text{O}$		+ 4,4		
n wahrscheinlich = 7				
$2\text{Hg}(\text{CN})_2, \text{BaCl}_2, 5\text{H}_2\text{O}$	— 171	4,5	135,5	15°
$2\text{Hg}(\text{CN})_2, \text{SrCl}_2, 6\text{H}_2\text{O}$	— 158	4,5	212,5	15°
$2\text{Hg}(\text{CN})_2, \text{CaCl}_2, 6\text{H}_2\text{O}$	— 146	5,3	265	15°
$2\text{Hg}(\text{CN})_2, \text{MgCl}_2, 6\text{H}_2\text{O}$	— 103	5,5	408	16°
$2\text{Hg}(\text{CN})_2, \text{ZnCl}_2, 7\text{H}_2\text{O}$	— 133,9	9,0	238,9	15°
$2\text{Hg}(\text{CN})_2, \text{CdCl}_2, 2\text{H}_2\text{O}$	— 93	3,8	64,8	15°

II. Bromocyanide.

	I	II	III	IV
$2\text{Hg}(\text{CN})_2, 2\text{KBr}, 3\text{H}_2\text{O}$	— 254	+ 10	+ 125	4^0
$2\text{Hg}(\text{CN})_2, 2\text{NaBr}, 4\text{H}_2\text{O}$	— 241,4	+ 9,8	185,2	15^0
$2\text{Hg}(\text{CN})_2, 2\text{NH}_4\text{Br}, 2\text{H}_2\text{O}$	— 209,7	10,6	72,3	16^0
$2\text{Hg}(\text{CN})_2, 2\text{LiBr}, 7\text{H}_2\text{O}$	— 183,5	12,5	362,6	15^0
$2\text{Hg}(\text{CN})_2, \text{BaBr}_2, 7\text{H}_2\text{O}$	— 209,8	12,9	202,7	14^0
$2\text{Hg}(\text{CN})_2, \text{SrBr}_2, 6\text{H}_2\text{O}$	— 186	12,4	298,4	14^0
$2\text{Hg}(\text{CN})_2, \text{CaBr}_2, 7\text{H}_2\text{O}$	— 198,2	12,5	404,7	15^0
$2\text{Hg}(\text{CN})_2, \text{MgBr}_2, 8\text{H}_2\text{O}$	— 159,7	14,4	547,1	14^0
$2\text{Hg}(\text{CN})_2, \text{ZnBr}_2, 8\text{H}_2\text{O}$	— 208,2	13,3	311,5	16^0
$2\text{Hg}(\text{CN})_2, \text{CdBr}_2, 3\text{H}_2\text{O}$	— 125	7,2	105	14^0

III. Jodocyanide.

	I	II	III	IV
$2\text{Hg}(\text{CN})_2, 2\text{KJ}, \frac{1}{2}\text{H}_2\text{O}$	— 248	+ 54	130	4^0
$2\text{Hg}(\text{CN})_2, 2\text{NaJ}, 4\text{H}_2\text{O}$	— 228	53	247	16^0
$2\text{Hg}(\text{CN})_2, 2\text{NH}_4\text{J}, \frac{1}{2}\text{H}_2\text{O}$	— 235	45	150	18^0
$2\text{Hg}(\text{CN})_2, 2\text{LiJ}, 7\text{H}_2\text{O}$	— 207	55	500	15^0
$2\text{Hg}(\text{CN})_2, \text{BaJ}_2, 6\text{H}_2\text{O}$	— 220	53	316	15^0
$2\text{Hg}(\text{CN})_2, \text{SrJ}_2, 7\text{H}_2\text{O}$	— 218	55	418	15^0
$2\text{Hg}(\text{CN})_2, \text{CaJ}_2, 7\text{H}_2\text{O}$	— 224	55	495	15^0
$2\text{Hg}(\text{CN})_2, \text{MgJ}_2, 8\text{H}_2\text{O}$	— 200	53	691	15^0
$2\text{Hg}(\text{CN})_2, \text{CdJ}_2, 8\text{H}_2\text{O}$	— 223	20	170	15^0

IV. Doppelcyanide.

Schließlich sollen noch die positiven Wärmemengen aufgeführt werden, welche beim Vermischen der Lösungen von Mercuricyanid (1 Mol in 8 l) und einiger anderen Cyanide entstehen.

$2\text{Hg}(\text{CN})_2 + 2\text{KCN}$ (1 Mol in 2 l)	: 141,6
" + 2NaCN	" : 142,0
" + $2\text{NH}_4\text{CN}$	" : 142,2
" + 2LiCN	" : 142,0
" + $\text{Ba}(\text{CN})_2$ (1 Mol in 4 l)	: 142,0
" + $\text{Sr}(\text{CN})_2$	" : 142,4
" + $\text{Ca}(\text{CN})_2$	" : 142,5
" + $\text{Mg}(\text{CN})_2$	" : 142,3

Darnach werden beim Vermischen der Lösungen des Mercuricyanids mit CN-Ionen die weitaus größten Wärmemengen entbunden, während die Halogenionen geringere thermische Effekte hervorrufen und zwar Cl' geringere als J' , was vielleicht darauf hindeutet, daß der Komplex $[\text{Hg}(\text{CN})_2\text{J}'_n]$ am beständigsten, und der Komplex $\text{Hg}[(\text{CN})_2\text{Cl}'_n]$ am leichtesten zum Zerfall geneigt ist.

Andere Salze mit gemischt-anionischen Komplexen. Aus der Tatsache, daß die Mercurihaloide (HgCl_2 , HgBr_2 , HgJ_2) auch in solchen Alkalihaloidlösungen beträchtlich löslich sind, welche kein Ion mit dem Mercurisalz gemeinsam haben (z. B. HgJ_2 in KCl -Lösungen) wird man den Schluß ziehen dürfen, daß ebenfalls eine Addition des Einzelions an den Neutralteil stattgefunden hat unter Bildung eines gemischt-anionischen Komplexes, z. B. $[\text{HgJ}_2\text{Cl}'_n]$, wenn auch derartige Verbindungen im festen Zustande nicht be-

kannt sind. So fand Fulda für die Löslichkeit des Mercurijodids in Kaliumchloridlösungen folgende Zahlen:

Normalität des KCl:	Gelöstes HgI_2 in Molen:
1	0,00133
2	0,00436
3	0,0092
4	0,01578

Fulda hat auch versucht, mit Hilfe der früher erwähnten Methoden die Konstitution der gemischt-anionischen Komplexe, sowie deren Komplexbkonstanten zu ermitteln und findet z. B., daß in den obigen Lösungen der Komplex $[\text{Hg}_2\text{Cl}_2]'$ beständig ist. Jedoch wird man in derartigen Lösungen auch mit einem doppelten Umsatz: $\text{HgI}_2 + 2\text{KCl} = \text{HgCl}_2 + 2\text{KI}$ und deshalb auch mit der Bildung der einfachen Komplexe HgI_4'' und HgCl_4'' zu rechnen haben. Näheres s. Fulda^{384a}).

e) **Komplexsalze des Mercurirhodanids.** Das sehr wenig dissoziierte Mercurirhodanid hat bei der höchstwahrscheinlich sehr geringen Haftintensität des $(\text{SCN})'$ -Ions ebenfalls große Neigung zur Bildung von Komplexsalzen.

Von festen Salzen seien folgende genannt:

$(\text{Hg} \cdot \text{SCN})\text{Cl}$; $(\text{Hg}(\text{SCN})_2 + \text{HgCl}_2)$, durch Vermischen der wässrigen Lösungen von HgCl_2 und $\text{Hg}(\text{SCN})_2$ in Form weißer, glänzender Nadeln erhalten, welche in kaltem Wasser schwer, in heißem leichtlöslich sind (Mac Murtry³⁸⁵).

$(\text{Hg} \cdot \text{SCN})\text{Br}$; $(\text{Hg}(\text{SCN})_2 + \text{HgBr}_2)$, dem vorigen ähnlich (Rosenheim und Cohn³⁸⁶).

$(\text{Hg} \cdot \text{SCN})\text{C}_2\text{H}_3\text{O}_2$; $(\text{Hg}(\text{SCN})_2 + \text{Hg}(\text{C}_2\text{H}_3\text{O}_2)_2)$, weiße, perlmutterglänzende Blättchen (Byk^{386a}).

Die letzten drei Salze enthalten höchstwahrscheinlich das Kation $[\text{HgSCN}]$.

Salze mit dem Anion $[\text{Hg}(\text{SCN})_3]'$ resp. $[\text{Hg}(\text{SCN})_4]''$ sind die folgenden: $\text{K}(\text{Hg}(\text{SCN})_3)$ (Claus³⁸⁷, Philipp^{387a}) — durch Behandeln von Mercurisulfat mit Kaliumrhodanid bei gelinder Wärme erhalten. Weiße, glänzende Nadeln, in kaltem Wasser wenig, in heißem leichtlöslich.

$\text{NH}_4(\text{Hg}(\text{SCN})_3)$ (Rosenheim und Cohn, l. c.) dem vorigen ganz analog.

$\text{Ba}(\text{Hg}(\text{SCN})_3)_2 \cdot 2\text{H}_2\text{O}$ (Rosenheim und Cohn, l. c.) aus den Komponenten in Form fettglänzender, weißer, Kriställchen erhalten, welche in ihren Löslichkeitsverhältnissen den vorigen Salzen gleichen.

$\text{K}_2(\text{Hg}(\text{SCN})_4)$ (Rosenheim und Cohn, l. c.), aus den Komponenten erhalten; weiße Kristallnadeln, welche in Wasser äußerst leicht löslich und weniger hygroskopisch sind als das von Ehrenberg³⁸⁸ und Fleischer³⁸⁹ beschriebene analog zusammengesetzte Ammonsalz. Durch Bestimmung der Leitfähigkeit der Kaliumverbindung sowie durch qualitative Überführungsversuche wurde von Rosenheim und Cohn (l. c.) bewiesen, daß das Salz einer zweibasischen, komplexen Säure vorliegt.

$\text{K}_2\text{Hg}(\text{SCN})_4$ bei 25°

ν 32 64 128 256 512 1024

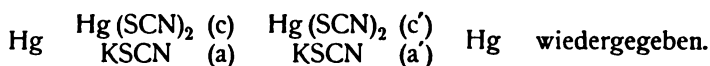
μ 92,94 97,44 101,1 103,9 106,1 113,6 $\Delta = \mu_{1024} - \mu_{32} = 20,7$.

$\text{Ba}(\text{Hg}(\text{SCN})_4)$ (Rosenheim und Cohn, l. c.), weiße, etwas hygroskopische Nadelchen, die in Wasser und Alkohol leichtlöslich sind.

Von schwerlöslichen Salzen mit dem Anion $(\text{Hg}(\text{SCN})_4)''$ sei noch das Fe'' -, Co -, Ni - und Zn -Salz genannt. Lit.: Cleve³⁹⁰), Skey³⁹¹), Rosenheim

und Cohn (l. c.). Die letzteren Salze leiten sich von der Wasserstoffverbindung $H_2(Hg(SCN)_4)$, welche von Hermes²⁹²⁾ durch Lösen von Mercurirhodanid in Rhodanwasserstoffsäure und Abdampfen der Lösung in Form gelber Kristalle erhalten ist.

Die Art sowie der Umfang der Komplexbildung des $Hg(SCN)_2$ in den Lösungen der Alkalirhodanide mit Hilfe der S. 639 genannten Methoden ist neuerdings von Sherrill und Skowronski³⁴¹⁾, sowie von Großmann³⁹³⁾ mit dem Resultate gemessen worden, daß ebenfalls der Komplex $Hg(SCN)_4^{2-}$ in überwiegender Menge vorhanden und daß derselbe etwas beständiger als der entsprechende Bromidkomplex ist. Aus diesen Untersuchungen seien die von Sherrill und Skowronski ausgeführten Messungen der EMK von Konzentrationsketten:



	a Konzentr. KSCN	c Konzentr. $Hg(SCN)_2$	EMK gegen NE	EMK gegen No. 8	EMK ber. für $Hg(SCN)_4^{2-}$	Konzentration Hg^{2+}
1	1,53	0,400	0,078	0,091	0,099	$6,6 \times 10^{-23}$
2	1,53	0,200	0,106	0,064	0,068	$7,7 \times 10^{-24}$
3	1,53	0,100	0,120	0,049	0,051	$2,4 \times 10^{-24}$
4	1,53	0,050	0,132	0,037	0,039	$9,9 \times 10^{-25}$
5	1,53	0,025	0,141	0,028	0,028	$4,8 \times 10^{-25}$
6	1,53	0,0125	0,149	0,020	0,018	$2,6 \times 10^{-25}$
7	1,53	0,00625	0,160	0,009	0,009	$1,1 \times 10^{-25}$
8	1,53	0,00313	0,169	0,000	—	$5,5 \times 10^{-26}$
9	1,02	0,200	0,056	0,123	0,116	$3,6 \times 10^{-22}$
10	1,02	0,133	0,084	0,085	0,081	$4,1 \times 10^{-23}$
11	1,02	0,0665	0,100	0,069	0,067	$1,2 \times 10^{-23}$
12	1,02	0,0333	0,112	0,057	0,055	$4,6 \times 10^{-24}$
13	1,02	0,0166	0,122	0,047	0,044	$2,1 \times 10^{-24}$
14	1,02	0,00831	0,132	0,037	0,035	$9,9 \times 10^{-25}$
15	1,02	0,00416	0,140	0,029	0,027	$5,1 \times 10^{-25}$
16	0,765	0,200	0,043	0,126	0,127	$1,0 \times 10^{-21}$
17	0,765	0,100	0,071	0,098	0,096	$1,5 \times 10^{-22}$
18	0,765	0,050	0,088	0,081	0,079	$3,1 \times 10^{-23}$
19	0,765	0,025	0,100	0,069	0,066	$1,2 \times 10^{-23}$
20	0,765	0,0125	0,111	0,058	0,056	$5,1 \times 10^{-24}$
21	0,765	0,00625	0,121	0,048	0,046	$2,3 \times 10^{-24}$
22	0,765	0,00313	0,130	0,039	0,037	$1,2 \times 10^{-24}$
23	0,503	0,140	0,025	0,144	0,147	$4,1 \times 10^{-21}$
24	0,503	0,070	0,057	0,112	0,113	$3,4 \times 10^{-22}$
25	0,503	0,035	0,073	0,096	0,095	$9,3 \times 10^{-23}$
26	0,503	0,0175	0,086	0,083	0,082	$3,6 \times 10^{-23}$
27	0,503	0,00875	0,097	0,072	0,072	$1,5 \times 10^{-23}$
28	0,503	0,00438	0,106	0,063	0,062	$7,1 \times 10^{-24}$
29	0,503	0,00219	0,116	0,053	0,052	$3,4 \times 10^{-24}$
30	0,251	0,035	0,027	0,142	0,142	$3,6 \times 10^{-21}$
31	0,251	0,0175	0,043	0,126	0,128	$1,0 \times 10^{-21}$
32	0,251	0,00875	0,057	0,112	0,110	$3,4 \times 10^{-22}$
33	0,251	0,00438	0,067	0,102	0,099	$1,5 \times 10^{-22}$
34	0,251	0,00219	0,077	0,092	0,089	$7,1 \times 10^{-24}$

Der aus den Messungen berechnete Mittelwert für $K_5 = \frac{[\text{Hg}(\text{SCN})_4'']}{[\text{Hg}'] [\text{SCN}']^4}$ beträgt: $9,7 \times 10^{21}$.

Man kann jetzt also die übereinstimmend gebauten Komplexe nach wachsender Beständigkeit in folgende Reihe einordnen:

	HgCl_4''	HgBr_4''	$\text{Hg}(\text{SCN})_4''$	HgI_4''	$\text{Hg}(\text{CN})_4''$
K_5 (bei 25°)	$1,6 \times 10^{16}$	$7,7 \times 10^{21}$	$9,7 \times 10^{21}$	$3,5 \times 10^{30}$	$4,6 \times 10^{41}$

(Bei der Berechnung der K_5 -Werte ist die Hg_2^{++} -Ionenkonzentration in der Normalelektrode zu $3,5 \times 10^{-18}$ angenommen worden, s. S. 600.) Interessant ist ferner die von Großmann gefundene Tatsache, daß bei höherer Temperatur die Konstante für $\text{Hg}(\text{SCN})_4$ abnimmt und sich der für $\text{Hg}(\text{Br})_4$ nähert; bei 52° werden beide Konstanten gleich, oberhalb 52° ist die Bromidkomplex-Konstante größer als die des schwefelhaltigen Komplexes, so daß also bei höherer Temperatur der Bromidkomplex der beständige ist.

f) Komplex- und Doppelsalze des Mercurisulfids. Mercurisulfid löst sich in sehr konzentrierten Lösungen der Alkali- und Erdalkalisulfide, wobei höchstwahrscheinlich das Komplexion HgS_2'' , dem Sulfosalz $\text{Me}_2\text{HgS}_2''$ gehörend, entsteht. Auch durch Zusammenschmelzen von HgS , S und KOH sind derartige Sulfosalze erhalten (Brunner³⁹⁴), Weber³⁹⁵).

$\text{K}_2\text{HgS}_2 \cdot 5$ oder $7\text{H}_2\text{O}$, feine, glänzende, sehr zerfließliche Nadeln, welche durch Wasser unter Bildung von HgS , nach anderen Autoren von $5\text{HgS} \cdot \text{K}_2\text{S} \cdot 5\text{H}_2\text{O}$ zersetzt werden.

Das von Ditté³⁹⁶) erhaltene Salz $5\text{HgS} \cdot \text{K}_2\text{S} \cdot 5\text{H}_2\text{O}$ soll in einer schwarzen und roten Modifikation auftreten. Ein Salz $2\text{HgS} \cdot \text{K}_2\text{S}$ beschrieb Schneider³⁹⁷), ein Bariumdoppelsulfid Rammelsberg³⁹⁸) und Wagner.³⁹⁹)

Daß HgS nur in den Sulfidlösungen der Alkalien, nicht aber des Ammoniums erheblich löslich ist, wie zuerst Abegg und Jander^{399a}), später Knox, quantitativ festgestellt haben (s. S. 632), rührt unzweifelhaft davon her, daß sich das HgS mit S'' -Ionen zu einem Komplexion von der Formel HgS_2'' zusammenlagert. In Ammoniumsulfidlösung existieren wegen dessen sehr starker Hydrolyse nur außerordentlich wenig S'' -Ionen, da hier der Schwefel fast vollständig in Gestalt von H_2S und von Ionen HS' vorhanden ist. In den Sulfidlösungen der starken Alkalien ist dagegen die S'' -Ionenkonzentration trotz vorhandener Hydrolyse $\text{S}'' + \text{H}_2\text{O} = \text{HS}' + \text{OH}'$ ausreichend.

Die Zahlen von Abegg und Jander, wie von Knox (S. 632) zeigen, daß bei höheren Konzentrationen des Schwefelalkalis die Löslichkeit des HgS im Verhältnis zu dem vorhandenen Alkalisulfid gemäß der zurücktretenden Hydrolyse und der demnach steigenden S'' -Ionenkonzentration anwächst. Nach älteren Angaben (s. Dammer) ist übrigens HgS auch in H_2S -Wasser merklich löslich.

Daß die HS' -Ionen keine lösende Kraft für HgS besitzen, erhellt daraus, daß, wenn man eine HgS -haltige Schwefelalkalilösung mit H_2S sättigt, wobei nach der Reaktion



die S'' -Ionen weitgehend in HS' -Ionen verwandelt werden, das gesamte HgS ausfällt. Die Sulfidlösungen üben also eine HgS -lösende Wirkung lediglich entsprechend ihrem S'' -Ionengehalt aus, der in erster Linie von den Gleichgewichten zwischen den Ionenarten H' , SH' und OH' , also den H_2S - und H_2O -Ionisationsgleichgewichten bestimmt wird.

Deshalb nimmt auch die lösende Kraft der Schwefelalkalilösungen durch

Zusatz von OH'-Ionen (Alkalihydroxyd) erheblich zu, da hierdurch die Hydrolyse zurückgedrängt und die Konzentration der S''-Ionen gesteigert wird.

Man hat also die Lösungen als Komplexsalze einer in freiem Zustand nur in sehr geringer Konzentration im Gleichgewicht mit H₂S und HgS existenzfähigen Thioquecksilbersäure H₂HgS₂ zu betrachten, deren freie Existenz dadurch eingeschränkt wird, daß der Zusammenhalt des Komplexions HgS₂'' nicht stark genug ist, um ihren erheblichen Zerfall durch die Wasserstoffionen in H₂S und HgS zu verhindern. Die Richtigkeit hiervon ergeben folgende

EMK-Messungen (Knox, s. S. 632).

Konz. von Na ₂ S molar	EMK der mit Zinnobersättigten Lösung gegen Normal-Elektrode	Zinnobers- gehalt = HgS ₂ '' molar (s. S. 632)	Konz. Hg''-Ionen (N.E. = 3 · 10 ⁻²⁰) (s. S. 600)	(Hg'') · (HgS ₂ '') · 10 ⁵³
1,5	0,9630	0,747	0,66 · 10 ⁻⁵²	5
1,0	0,9555	0,424	1,2 "	5,1
0,75	0,9490	0,273	2,1 "	5,7
0,50	0,9440	0,147	3,0 "	4,4
0,375	0,9405	0,092	4,0 "	3,7
0,30	0,9355	0,062	5,9 "	3,7
0,15	0,9240	0,018	15 "	2,7
0,10	0,9140	0,0086	32 "	2,8

Da man in der HgS-gesättigten Lösung wegen des Löslichkeitsprodukts $Hg'' \cdot S'' = \text{konst.}$ die unbekannte Konzentration S'' durch $\frac{1}{Hg''}$ ersetzen kann,

so ist der Komplexkonstanten $\frac{(HgS_2'')}{(Hg'') \cdot (S''^2)}$ proportional der in Spalte 5 tabellierte Wert $(Hg'') \cdot (HgS_2'')$, dessen Konstanz in Anbetracht der nicht sehr sicheren minimalen Hg''-Konzentrationen mehr wie ausreicht, um die zugrunde gelegte Erklärung dieser Verhältnisse als zutreffend zu erweisen.

Doppelverbindungen des Mercurisulfids mit den Mercurihalogenen: n HgS · m HgX₂ entstehen bei der unvollständigen Fällung der Salze HgX₂ mit Schwefelwasserstoff oder wenn man die Zersetzung des Salzes HgX₂ in indifferenten, z. B. benzolischer Lösung vornimmt, schließlich auch durch direkte Vereinigung aus den Komponenten. Durch chemische Eingriffe werden die Salze leicht gespalten.

2 HgS · HgCl₂, weißes, kristallinisches Pulver (H. Rose⁴⁰⁰), Schneider⁴⁰¹), Palm^{401a})).

HgS · HgCl₂, gelblicher Niederschlag (Colson⁴⁰²)).

2 HgS · HgBr₂, weißes oder gelblichweißes Pulver.^{401a})

2 HgS · HgJ₂, gelblichweißer Niederschlag.^{401a})

HgS · HgJ₂, pomeranzengelbes Pulver (Rose, l. c.; Rammelsberg³⁹⁸)).

2 HgS · HgF₂, schweres, weißes, wasserhaltiges Pulver (Rose⁴⁰⁰)).

Mercurisulfid vereinigt sich ferner mit den Sulfiden des Phosphors, Arsens und Antimons zu Verbindungen wie n HgS · m P₂S₃, n HgS · m P₂S₅ und analogen. Lit. darüber siehe bei: Linder und Picton⁴⁰³), Berzelius⁴⁰⁴), Baudrimont⁴⁰⁵), Rammelsberg.⁴⁰⁶)

Schließlich geht Mercurisulfid mit Mercurisulfat Verbindungen von der

Form $m \text{HgSO}_4$, $n \text{HgS}$ ein (Barfoed⁴⁰⁷), Jacobson⁴⁰⁸), Wackenroder⁴⁰⁹), Spring⁴¹⁰)).

g) **Komplexe Verbindungen des Mercurisulfits.** Infolge der großen Atomaffinität zwischen Metallen und Schwefel bildet die schweflige Säure, in der tautomeren Form: HSO_2OH reagierend, Verbindungen von der Form: $\text{Me}^n(\text{SO}_3\text{H})_n$, wo $n = 1$ oder 2 ist. Solche Verbindungen, allgemein Metallsulfonsäuren genannt, sind beim Kobalt, Nickel, Eisen, Kupfer, Platin u. a. fast ausschließlich in Form der Alkali- oder Erdalkalisalze bekannt, und besonders beim Quecksilber in physikalisch-chemischer Hinsicht von Barth⁴¹¹) genauer untersucht. Früher wurden diese Verbindungen, z. B. $\text{Hg} \begin{smallmatrix} \text{SO}_3\text{K} \\ \text{SO}_3\text{K} \end{smallmatrix}$, als Doppelsalze: $\text{HgSO}_3 + \text{K}_2\text{SO}_3$ angesehen, von Berglund⁴¹²) wurde zuerst darauf hingewiesen, daß gekoppelte (komplexe) Verbindungen vorliegen und von Divers⁴¹³) direkt betont, daß genannte Salze von einer Quecksilbersulfonsäure abzuleiten seien. Durch Barths Untersuchung wurde die Konstitution der Verbindungen eindeutig erklärt.

Die Alkalisalze sind zuerst von Péan d. St. Gilles⁴¹⁴) durch Lösen von Mercurioxyd resp. der Mercurihalogene in einer neutralen Alkalisulfidlösung dargestellt worden. Nach Barth löst man besser Mercurioxyd in den sauren Sulfiten auf.

Natrium-Mercurisulfonat $\text{Hg}(\text{SO}_3\text{Na})_2 \cdot \text{H}_2\text{O}$ (Péan d. St. Gilles, l. c.) kristallisiert in gut ausgeprägten Säulen und Tafeln des hexagonalen Systems und löst sich in ca. 25 Teilen kalten Wassers. Die äquivalente Leitfähigkeit beträgt nach Barth:

$\frac{1}{2} \text{Hg}(\text{SO}_3\text{Na})_2$ bei 25°

v	32	64	128	256	512	1024
Λ	85,8	91,0	95,4	98,7	102,8	106,5.

Die Differenz $\Delta = \Lambda_{1024} - \Lambda_{32} = 20,7$ hat demnach denselben Wert wie bei einem Natriumsalz einer zweibasischen Säure. In wässriger Lösung müssen demnach 3 Ionen, das komplexe Anion: $[\text{Hg}(\text{SO}_3)_2]''$ neben 2 Na-Ionen vorhanden sein, was auch durch die Bestimmung der Gefrierpunktserniedrigung erwiesen wurde:

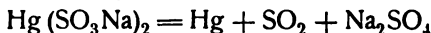
Prozentgehalt	Erniedrigung	Mol.-Gew. gef.	Mol.-Gew. ber.	$i = \frac{\text{ber. Mol.-Gew.}}{\text{gef. Mol.-Gew.}}$
2,70	0,330	154,9		2,62
2,03	0,250	153,6	406,6	2,65.

Daß die Hg^{++} -Ionenkonzentration sehr gering ist, zeigt auch das chemische Verhalten aufs deutlichste. Wie schon St. Gilles bemerkt hat, wird die wässrige Lösung des Salzes weder durch Ätzalkalien, Carbonate, Phosphate, Tartrate und Oxalate, noch durch Ferro- und Ferricyankalium gefällt. Mit diesem Verhalten ist nur die Annahme einer direkten Hg-S-Bindung und damit die Existenz eines als Anion fungierenden Komplexes: $(\text{Hg} \begin{smallmatrix} \text{SO}_3 \\ \text{SO}_3 \end{smallmatrix})''$ vereinbar, welcher etwa dem Anion einer organischen Disulfonsäure, z. B. $(\text{CH}_2 \begin{smallmatrix} \text{SO}_3 \\ \text{SO}_3 \end{smallmatrix})''$ oder der Imidosulfonsäure: $(\text{NH} \begin{smallmatrix} \text{SO}_3 \\ \text{SO}_3 \end{smallmatrix})''$ vergleichbar ist.

In wässriger Lösung ist das Anion $\text{Hg}(\text{SO}_3)_2''$ ziemlich unbeständig;

schon bei gewöhnlicher Temperatur tritt, wenn auch nur langsam, Zerfall des Natriumsalzes in Quecksilber, Natriumsulfat und schweflige Säure ein.

Beim Kochen der Lösung ist die Reaktion:



in wenigen Minuten quantitativ beendet. Die Zersetzung bei gewöhnlicher Temperatur (25°) wird, wie Barth ausführlich nachwies, durch Anwesenheit von Säuren mit Ausnahme der Halogenwasserstoffsäuren katalytisch beschleunigt, und wie bei vielen anderen Reaktionen ist diese Beschleunigung der Anzahl der H-Ionen annähernd proportional.

Kalium-Mercurisulfonat, $\text{Hg}(\text{SO}_3\text{K})_2 \cdot \text{H}_2\text{O}$, bildet kleine, weiße zu Rosetten vereinigte Nadeln, Péan d. St. Gilles (l. c.). Verhält sich, wie zu erwarten, dem Natriumsalze völlig analog. Nach Barth sind folgende Daten von Interesse:

$\frac{1}{2} \text{Hg}(\text{SO}_3\text{K})_2$ bei 25°

v	32	64	128	256	512	1024
λ	104,0	110,2	115,5	119,5	123,1	126,0.

Die Leitfähigkeitsbestimmungen des K- und Na-Salzes gestatten nach bekannten Regeln die Wanderungsgeschwindigkeit des Anions $\frac{1}{2} \text{Hg}(\text{SO}_3)_2$ zu berechnen. Ein Vergleich dieses Wertes $v_{\text{Hg}(\text{SO}_3)_2} = 62,0$ mit dem für das Anion der Methylendisulfonsäure $v_{\text{CH}_3(\text{SO}_3)_2} = 71,1$ ergibt, daß Substitution von (CH_2) für (Hg) eine Beschleunigung der Wanderungsgeschwindigkeit hervorruft (Bredig⁴¹⁵).

Die Bestimmung der Gefrierpunktserniedrigung ergab folgendes:

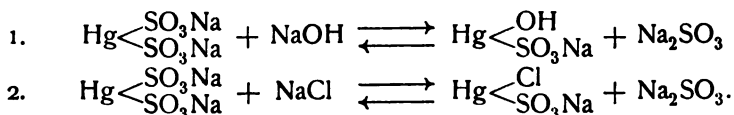
Prozentgehalt	Erniedrigung	Mol.-Gew. gef.	Mol.-Gew. ber.	$i = \frac{\text{ber. Mol.-Gew.}}{\text{gef. Mol.-Gew.}}$
2,92	0,312	176,8	438,8	2,48
2,18	0,240	171,8		2,56
1,75	0,203	163,2		2,69.

Ammonium-Mercurisulfonat, $\text{Hg}(\text{SO}_3\text{NH}_4)_2$ (Hirzel⁴¹⁶), Barth, l. c.), bildet wasserhelle, diamantglänzende Tafeln, die sich sehr leicht in Wasser lösen. Das Salz zerfällt, trocken aufbewahrt, sehr rasch in Quecksilber Ammonsulfat und schweflige Säure. In seinem sonstigen Verhalten schließt es sich den beiden vorigen Salzen an. Von Barth wurden ferner noch die Salze: $\text{Hg}(\text{SO}_3)_2\text{Sr} \cdot 2\text{H}_2\text{O}$; $\text{Hg}(\text{SO}_3)_2\text{Ba} \cdot \text{H}_2\text{O}$ und ein leicht zersetzliches Silbersalz, vielleicht der Formel $\text{Hg}(\text{SO}_3\text{Ag})_2$ entsprechend, erhalten, letzteres allerdings nur in sehr unreinem Zustande.

In wässriger Lösung erleidet das Ion $\text{Hg}(\text{SO}_3)_2$ außer der schon erwähnten Zersetzung unter gewissen Bedingungen noch andere Veränderungen. So wurde schon von St. Gilles darauf aufmerksam gemacht, daß die Lösung der Alkalisalze der Mercurisulfonsäure ungleich beständiger wird durch die Anwesenheit von Chlormetallen, Alkalien und Alkalisulfiten. Wie Barth konstatierte, erleidet die Leitfähigkeit des Kaliumsalzes durch Zusatz von OH' -Ionen einen sehr beträchtlichen, durch Cl' -Ionen einen weniger großen, aber doch merklichen Rückgang, wie aus der folgenden Tabelle ersichtlich, wo unter I die Verdünnung, unter II die molekulare Leitfähigkeit des Kaliumsalzes, unter III die des zugesetzten Stoffes, unter IV die Summe von II und III, unter V die beobachtete Leitfähigkeit und unter VI die Differenz zwischen der berechneten und gefundenen Leitfähigkeit verzeichnet ist.

$\text{Hg}(\text{SO}_3\text{K})_2 + 1 \text{ KOH}$					
I	II	III	IV	V	VI
32	194,6	228,9	423,5	324,7	98,8
512	239,0	231,2	470,2	378,4	91,8
$\text{Hg}(\text{SO}_3\text{K})_2 + 2 \text{ KOH}$					
32	194,6	461,4	656,0	506,9	149,1
512	239,0	457,6	696,6	586,2	110,4
$\text{Hg}(\text{SO}_3\text{K})_2 + 2 \text{ KCl}$					
32	194,6	261,0	455,6	410,9	44,7
512	239,0	291,2	530,2	494,7	35,5

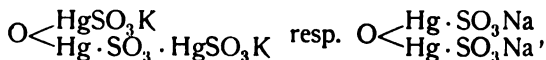
Die Untersuchung Barths zeigte, daß dieser Rückgang auf der teilweisen Bildung neuer Salze, nämlich des hydroxylquecksilbersulfonsauren und des chlorquecksilbersulfonsauren Salzes beruht, so daß in den obigen Flüssigkeiten folgende Gleichgewichtszustände anzunehmen sind:



Barth gelang es auch, die Salze der Chlorquecksilbersulfonsäure im festen Zustande zu fassen:

Kalium- und Ammonium-Chlorquecksilbersulfonaterhält man beim Erkalten der heiß gesättigten Lösungen gleichmolekularer Mengen von Quecksilberchlorid und der entsprechenden Sulfate als breiartigen Niederschlag von langen, feinen, zu Büscheln vereinigten Blättchen und Nadeln von der Zusammensetzung $\text{Hg} \begin{array}{c} \text{Cl} \\ \text{SO}_3\text{K} \end{array}$ resp. $\text{Hg} \begin{array}{c} \text{Cl} \\ \text{SO}_3\text{NH}_4 \end{array}$; das schwer rein darzustellende Natriumsalz kristallisiert mit 1 Molekül Wasser. Mit Bariumchlorid geben die Lösungen der Salze einen weißen Niederschlag, dem annähernd die Zusammensetzung $(\text{ClHgSO}_3)_2\text{Ba}$, BaSO_3 , $3,5 \text{ H}_2\text{O}$ zukommt.

Das in der Lösung von $\text{Hg}(\text{SO}_3\text{K})_2 + n \text{ KOH}$ wohl sicher vorhandene hydroxylquecksilbersulfonsaure Salz im festen Zustande zu fassen, gelang nicht. Statt dessen wurde beim Behandeln des Kalium- resp. Natriumsalzes der Chlorquecksilbersulfonsäure mit Kali oder Natron ein Kondensationsprodukt resp. ein Anhydrid der vermuteten Salze:



wenn auch in nicht ganz reinem Zustande gewonnen. Die Bildung dieser Salze ist aus dem zuerst entstehenden: $\text{Hg} \begin{array}{c} \text{OH} \\ \text{SO}_3\text{K}(\text{Na}) \end{array}$ unschwer zu erklären. (Näheres s. Barth, l. c.)

Auch von der selenigen Säure: $\text{H} \cdot \text{SeO}_2 \cdot \text{OH}$ scheinen ähnliche quecksilberhaltige Komplexe zu existieren, in denen die Hg^+ -Ionenkonzentration ebenfalls enorm klein ist. So kann man eine Lösung von gelbem Mercurioxyd in wässriger seleniger Säure mit einem großen Überschuß von OH' -Ionen versetzen, ohne daß eine Ausscheidung von Oxyd erfolgt. (H. Ley, unveröff. Beobachtung.)

h) **Mercurisulfat** scheint nur sehr geringe Neigung zur Komplexsalzbildung zu besitzen. Es sind die Salze beschrieben:

$3\text{HgSO}_4 \cdot \text{K}_2\text{SO}_4 \cdot 2\text{H}_2\text{O}$, große, farblose, monokline Kristalle, welche aus HgSO_4 und K_2SO_4 erhalten werden (Hirzel⁴¹⁶).

$3\text{HgSO}_4 \cdot (\text{NH}_4)_2\text{SO}_4 \cdot 2\text{H}_2\text{O}$, große, monokline Kristalle (Fourcroy⁴¹⁷).

Von Interesse sind die von Ditte⁴¹⁷) entdeckten Verbindungen des Mercurisulfats mit Chlor- und Bromwasserstoff, feste Stoffe, die ohne Zersetzung geschmolzen und sublimiert werden können. Es handelt sich anscheinend um Verbindungen, die im festen Zustande einen verhältnismäßig hohen Grad der Komplexität aufweisen, d. h. geringen HCl- resp. HBr-Dampfdruck besitzen, in verdünnter wässriger Lösung jedoch zerfallen.

$\text{HgSO}_4 \cdot \text{HCl}$, durch Überleiten von HCl über mäßig erwärmtes, trockenes HgSO_4 oder durch Lösen von HgSO_4 in konzentrierter HCl zu erhalten, Kristalle.

$\text{HgSO}_4 \cdot \text{HBr}$, Kristalle (Ditte l. c.).

$\text{HgSO}_4 \cdot 2\text{HCl}$, Kristalle, sehr zerfließlich.

$\text{HgSO}_4 \cdot 2\text{HCl} \cdot \text{H}_2\text{O}$, beim Erhitzen von HgCl_2 in konzentrierter H_2SO_4 entstehend, Baskerville.⁴¹⁸)

i) **Mercurinitrit** bildet wie viele andere Metallnitrite mit den Nitriten der Alkalien Komplexsalze, welche in wässriger Lösung sehr wahrscheinlich das durch schwach gelbliche Färbung ausgezeichnete Ion $\text{Hg}(\text{NO}_2)_3^+$ resp. $\text{Hg}(\text{NO}_2)_4^{++}$ enthalten.

Das von Lang⁴¹⁹) beschriebene Salz hat nicht die Zusammensetzung $\text{K}_2\text{Hg}(\text{NO}_2)_4$, sondern ist nach Rosenheim und Oppenheim⁴²⁰) $\text{K}_3(\text{Hg}(\text{NO}_2)_3)\text{H}_2\text{O}$. Es entsteht beim Behandeln von festem Mercurinitrat mit einer konzentrierten Lösung von Kaliumnitrit in Form gelblich gefärbter rhombischer Kristalle die sich leicht in Wasser lösen. Messungen des letzteren s. bei Fock.⁴²⁵)

$\text{KHg}(\text{NO}_2)_3$ wurde von Rosenheim (l. c.) aus den Mutterlaugen des vorigen Salzes erhalten, von welchem es sich durch eine hellere Färbung unterscheidet.

$\text{Na}_2\text{Hg}(\text{NO}_2)_4$, hellgelbe, sehr hygroskopische Prismen. Durch heißes Wasser wird das Salz unter Abscheidung von Quecksilber und Quecksilberoxyd zersetzt (Rosenheim und Oppenheim, l. c.).

k) **Mercurinitrat** zeigt zufolge der großen Elektroaffinität des NO_3^- -Ions anscheinend nur geringe Tendenz zur Komplexsalzbildung. Über ein Doppelsalz mit Mercuronitrat: $\text{Hg}_2\text{O} \cdot 2\text{HgO} \cdot \text{N}_2\text{O}_5$, welches als gelbe Salzmasse beschrieben wird, die u. a. durch langsame Oxydation von Mercuronitrat entstehen soll, s. Gerhardt⁴²²), Brooks.⁴²³) Von Preuß⁴²⁴) wurden durch Lösen von Halogensilber in starker Mercurinitratlösung die Salze $2\text{AgBr} \cdot \text{Hg}(\text{NO}_3)_2$ und $2\text{AgJ} \cdot \text{Hg}(\text{NO}_3)_2$ erhalten (s. auch Morse²⁷⁵)).

Über Verbindungen des Mercurinitrats mit den Oxyden zweiwertiger Metalle, welche aus den betr. Metallnitraten durch Einwirkung von Quecksilberoxyd entstehen, s. Mailhe.⁴²⁵)

$\text{Hg}(\text{NO}_3)_2 \cdot \text{ZnO} \cdot \text{H}_2\text{O}$, kristallinischer Niederschlag.

$\text{Hg}(\text{NO}_3)_2 \cdot \text{CdO} \cdot 3\text{H}_2\text{O}$, weißer, kristallinischer Niederschlag.

$\text{Hg}(\text{NO}_3)_2 \cdot \text{CuO}$, blaue quadratische Prismen, die durch Wasser leicht zersetzt werden.

Analoge Salze wurden mit NiO und CoO erhalten.

Mercurioxalat bildet Doppelsalze vom Typus $(\text{NH}_4)_2\text{Hg}(\text{C}_2\text{O}_4)_2 \cdot 2\text{H}_2\text{O}$. Ihre starke Komplexität ist durch Gefrierpunkts- etc. Messungen von Roloff^{308a}), durch das Fehlen der meisten Hg-Reaktionen, durch nur partielle Fällbarkeit

von Ba⁺⁺-Salzen (Schäfer und Abegg^{215a}), also Fehlen freier Oxalat-Ionen, wie durch starke Löslichkeit von HgO in Alkalioxalat unter Auftreten basischer Reaktion (Abegg^{215a}) festgestellt. Die Messung der betreffenden Konstanten steht noch aus. Über die Stabilität gegen Licht vergl. S. 628.

Im einleitenden Teile wurde auf die große Neigung des Metalls, Quecksilberkohlenstoff- und Quecksilberstickstoffverbindungen zu bilden, hingewiesen. Es sollen jetzt genauer die anorganischen

Stickstoffquecksilberverbindungen abgehandelt und unter diesem Namen die Verbindungen der anorganischen Quecksilbersalze mit Ammoniak, Hydrazin etc. zusammengefaßt werden. Nur in wenigen Fällen ist man über die Natur dieser viel untersuchten Stoffe völlig im klaren, da wegen der Unlöslichkeit derselben in bekannten Solventien Molekulargewichtsbestimmungen nicht ausgeführt werden konnten und andere physikalisch-chemische Untersuchungen darüber nicht vorliegen. Zur Beurteilung der Konstitution dieser Verbindungen ist man deshalb auf rein chemische Versuche angewiesen, deren konstitutionsbeweisende Kraft manchmal recht bedenklich erscheint (vergl. Hofmann⁴²⁶), Pesci⁴²⁷).

Zur Existenz der Mercuroaminverbindungen. Nur die Mercuriverbindungen sind nach allen bisherigen Erfahrungen in hervorragendem Maße befähigt, mit Ammoniak und verwandten Basen einheitliche, wohldefinierte Verbindungen zu bilden, während von Mercuroverbindungen anscheinend nur das Hydrazinsalz: $N_2H_4 \cdot Hg_2(NO_3)_2$ (s. S. 672) bekannt ist. In der Regel tritt bei der Reaktion zwischen Aminen- und Mercurosälen (z. B. zwischen Pyridin und Mercuronitrat) eine Spaltung des Mercuriomoleküls: Hg_2 ein, so daß das Endprodukt der Reaktion ein Gemisch der Mercuriaminverbindung und metall. Quecksilber darstellt. Hiermit stehen alle Beobachtungen im Einklang: fast alle aus Mercurosälen und Aminen in wässriger Lösung oder auch bei Wasserausschluß dargestellten Substanzen sind von schwarzer Farbe, auch läßt sich in ihnen das Metall in feinsten Verteilung nachweisen.

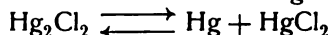
Wird z. B. der aus Mercurochlorid und wässrigem Ammoniak erhaltene schwarze Niederschlag in trockenem Zustande in dünner Schicht auf Glas ausgebreitet, so wird er an Gewicht leichter und nimmt nach Verlauf einiger Tage eine weiße bis grauweiße Farbe an, der verbleibende Rest erweist sich als unschmelzbarer Präzipitat, auch der Gewichtsverlust stimmt annähernd mit dem unter der Annahme berechneten überein, daß aus dem ursprünglich vorhandenen Gemisch ($Hg + HgClNH_2$) das Quecksilber entwichen ist. Ähnliches gilt von dem sog. Quecksilberchlorür-Ammoniak H. Roses⁴²⁸) (s. a. Isambert⁴²⁹), dem Einwirkungsprodukt von gasförmigem Ammoniak auf festes Kalomel, das nach Barfoed ebenfalls ein durch Salmiak verunreinigtes Gemenge von Quecksilber und Präzipitat darstellt. In dieselbe Kategorie gehört der sog. Mercurius solubilis Hahnemanni, aus Mercuronitrat und Ammoniak erhalten; dem ein gewisses historisches Interesse zukommt. Lit. hierüber z. B. C. G. Mitscherlich⁴³⁰), Pagenstecher⁴³¹), Rammelsberg⁴⁴²) Über ein angebliches Quecksilberfluorür-Ammoniak s. Finkener.⁴³³)

Nach Barfoed⁴³⁴), dem man eine eingehende Untersuchung dieser Verhältnisse verdankt, scheinen allgemein die aus Mercurosälen und Ammoniak erhaltenen dunklen Niederschläge Gemische aus Quecksilber und den entsprechenden Mercuriammoniakverbindungen darzustellen, weshalb eine genaue

Registrierung aller mit Mercurosalzen und Ammoniak angestellten Versuche unzeitgemäß erscheint.

Die Reaktionen zwischen Mercurosalzen und Aminen sind an der Hand des Massenwirkungsgesetzes leicht zu verstehen:

Der bei den Mercurosalzen bestehende Gleichgewichtszustand (s. Hg_2Cl_2):



wird durch Zusatz von Amin (z. B. NH_3) unter Bildung einer Mercuriaminverbindung, z. B. $\text{Hg}(\text{NH}_3)_2\text{Cl}_2$ (s. u.) gestört, indem die aktive Masse des HgCl_2 fast auf Null sinkt. Bei großer Menge der Base muß deshalb die Spaltung des Hg_2Cl_2 im Sinne des oberen Pfeils sehr weitgehend erfolgen.

Übersicht über die Mercuristickstoffverbindungen. Trotz vieler Arbeiten sind die Ansichten über die Konstitution der Verbindungen zurzeit noch geteilt. Nach der Auffassung von Rammelsberg⁴³⁵⁾, der besonders Pesci⁴³⁶⁾ durch seine Arbeiten eine Stütze zu geben versucht hat, existiert nur ein einziger Typus von Mercuriammoniumsalzen, nämlich: $\text{Hg}_2\text{N}-\text{X}$, vom Dimercuriammoniumhydroxyd Hg_2NOH sich ableitend. Die Salze des Dimercuriammonhydroxyds, z. B. Hg_2NCl , bilden mit größter Vorliebe mit anderen Ammoniumverbindungen Doppel- resp. Komplexsalze, z. B.

Hg_2NCl , NH_4Cl : unschmelzbarer Präzipitat,

Hg_2NCl , $3\text{NH}_4\text{Cl}$: schmelzbarer Präzipitat,

$(\text{Hg}_2\text{N})_2\text{SO}_4$, $3(\text{NH}_4)_2\text{SO}_4$, $4\text{H}_2\text{O}$,

Hg_2NNO_3 , $3\text{NH}_4\text{NO}_3$ usw.

Demnach wäre der unschmelzbare Präzipitat als Komplexsalz mit den Ionen NH_4^+ und $(\text{Hg}_2\text{NCl}_2)'$ zu betrachten. Mit dieser Auffassung scheinen die Löslichkeitsverhältnisse des Körpers nicht im Einklang zu stehen. Bei einem Ammoniumsalz einer komplexen Säure $\text{H}(\text{Hg}_2\text{NCl}_2)$ sollte man eine weit größere Löslichkeit erwarten, als sie dem unschmelzbaren Präzipitat eigen ist. Aus demselben Grunde ist auch die obige Doppel- resp. Komplexsalzformel für den schmelzbaren Präzipitat wenig wahrscheinlich.

Nach anderen Untersuchungen scheinen vielmehr drei Klassen von Quecksilberammoniakverbindungen zu existieren:

I. Quecksilber-Amine entstanden durch Einlagerung von NH_3 , N_2H_4 , Pyridin usw. in das Molekül eines Quecksilberhaloids (nicht Quecksilbersauerstoffsalzes, welche meistens Verbindungen der 3. Klasse bilden). Ihre Formel ist demnach:

$\text{Hg}[\text{Amin}]_n\text{X}_2$, Amin = NH_3 , Pyridin, N_2H_4 , CH_3NH_2 usw.

X = Cl, Br, J, CN (höchstwahrscheinlich nicht F.).

II. Amidomercuriverbindungen, vom NH_3 resp. N_2H_4 usw. derivierend, indem ein oder mehrere Atome H des Amins durch den einwertigen Rest $(\text{HgX})'$, X = Halogen, Cyan usw. ersetzt sind.

III. Mercuriammoniumverbindungen. Diese leiten sich von Ammoniumverbindungen (NH_4X) entweder dadurch ab, daß zwei H-Atome durch die einwertigen Gruppen $(\text{HgOH})'$ ersetzt, — Millonsche Base und deren Entwässerungsprodukte — oder indem vier Atome Wasserstoff durch zwei Hg-Atome substituiert sind (Pescis Dimercuriammonverbindungen).

Wenn auch einigen der vielen unten beschriebenen Verbindungen nach genaueren Untersuchungen eine andere Konstitution wird zuerteilt werden müssen, so wird vorläufig die gegebene Einteilung vorteilhaft gebraucht werden, um die Übersicht über das große Heer dieser Verbindungen etwas zu erleichtern.

Es sei zunächst eine kurze Charakteristik der drei Gruppen gegeben und es seien die Konstitutionsformeln diskutiert.

I. Mercuriamine und Verwandte. Da alle Schwermetallsalze ohne Ausnahme die Tendenz zur Addition von NH_3 und anderen Basen besitzen, indem im Sinne der Wernerschen Theorie⁴³⁷⁾ Koordinationsstellen des Metallatoms durch die addierten Stoffe besetzt werden, so sind auch a priori bei Mercurisalzen derartige sog. Molekülverbindungen vom

Typus $\text{Hg} \begin{bmatrix} \text{NH}_3 \\ \text{Pyr} \\ \text{NH}_2\text{R} \end{bmatrix}_n \text{X}_2$ denkbar. Sie entstehen aus den Mercurihalogenen

durch Einwirkung von überschüssigem Ammoniak. Bemerkenswert ist der Einfluß der Natur des Halogens auf die Beständigkeit der Verbindungen. Bei den Verbindungen $\text{Hg}(\text{NH}_3)_2\text{X}_2$ ($\text{X} = \text{Halogen}$) nimmt in der Reihe J, Br, Cl, d. h. mit steigender Elektroaffinität des Anions, die Beständigkeit des Ammoniakats ganz beträchtlich zu. Während bei der Jodverbindung: $\text{Hg}(\text{NH}_3)_2\text{J}_2$ die Tension des Ammoniaks sehr merklich ist, wird von der analogen Cl-Verbindung kein Ammoniak abgegeben. Über ähnliche Beobachtungen an anderen Halogeniden, z. B. des Palladiums, s. Abegg und Bodländer.⁴³⁸⁾

Die wichtigste Verbindung dieser Kategorie ist der sog. schmelzbare Präzipitat. Außer der Formel eines Diaminomercurichlorids: $\text{Hg}(\text{NH}_3)_2\text{Cl}_2$ wird der Verbindung von Rammelsberg (l. c.) die eines Doppelsalzes von Dimercuriammoniumchlorid + Salmiak: Hg_2NCl , $3\text{NH}_4\text{Cl}$ zugeschrieben, welcher Auffassung Pesci beigetreten ist. Die gleichartige Bindung der Stickstoffatome, entsprechend der ersten Formel sucht Hofmann, l. c. durch die Beobachtung zu beweisen, daß der schmelzbare Präzipitat beim Behandeln mit 20prozentiger Kalilauge in der Hitze allen Stickstoff als Ammoniak verliert. Diesem stehen die Beobachtungen von Pesci, l. c. gegenüber, wonach der Präzipitat mit 20prozentiger Lauge in der Kälte sowie unter Einwirkung verdünnter Lauge fast genau $\frac{3}{4}$ seines N abgibt, wodurch eine verschiedenartige Bindung des N dargetan werden soll entsprechend der Doppelsalzformel. Mit letzterer Formel unvereinbar scheint jedoch die große Schwerlöslichkeit des schmelzbaren Präzipitats zu sein, die in diesem Maße bei anderen Ammoniumdoppelsalzen nicht beobachtet wurde (s. die Bemerkungen beim unschmelzbaren Präzipitat). Für die Formel: $\text{Hg}(\text{NH}_3)_2\text{Cl}_2$ spricht nach Hofmann ganz besonders die Existenz eines äthylierten Analogons: $\text{Hg}(\text{NH}_2\text{C}_2\text{H}_5)_2\text{Cl}_2$. Zugunsten der Einlagerungsformel führt Hofmann ferner noch den leichten Zerfall des Moleküls im Sinne der Gleichung: $\text{Hg}(\text{NH}_3)_2\text{Cl}_2 = \text{HgCl}_2 + 2\text{NH}_3$ an, der durch verschiedene Reagenzien (s. spezieller Teil) ziemlich glatt erfolgt.

Man findet auch die Ansicht ausgesprochen, daß im schmelzbaren Präzipitat das Chlorid eines Mercuridiammoniums: $\text{Hg} \begin{matrix} \nearrow \text{NH}_3\text{Cl} \\ \text{v} \\ \nwarrow \text{NH}_3\text{Cl} \end{matrix}$ vorliege (s.

z. B. Ostwald, Grundlinien S. 680). Hiernach sollen die beiden Ammoniakmoleküle nicht Koordinationsstellen (im Sinne Werners) des Quecksilberatoms besetzen, sondern es soll eine quecksilbersubstituierte Ammoniumverbindung vorliegen. Speziell bevorzugen Hofmann und Marburg (l. c.) diese Auffassung für das sehr beständige Chlorid dieser Reihe $\text{Hg}(\text{NH}_3)_2\text{Cl}_2$, während sie in dem analogen leicht zur Abgabe von Ammoniak geneigten Jodid mehr eine Koordinationsverbindung erblicken. Zuverlässige Methoden

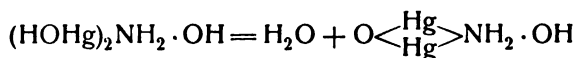
zur Prüfung dieser Ansichten fehlen noch; wir wollen die Ammoniumformel nicht weiter diskutieren.

II. Amidoquecksilberverbindungen. Als typischer Repräsentant der quecksilbersubstituierten Ammoniake wurde schon früher der sog. unschmelzbare Präzipitat angesehen und ihm schon von Kane die Formel: $\text{HgCl} \cdot \text{NH}_2$ zuerteilt. Von Rammelsberg und Pesci wurde dieser alten Formel diejenige eines Doppelsalzes von Dimercuriammoniumchlorid + Salmiak: Hg_2NCl , NH_4Cl gegenübergestellt.

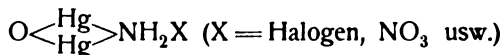
Ein strenger Beweis für die Richtigkeit der einen oder anderen Formel kann ebensowenig wie im früheren Falle erbracht werden. Gegen die Formel von Rammelsberg-Pesci spricht nach Hofmann die Existenz eines Körpers $\text{H} \cdot \text{N} \cdot \text{C}_2\text{H}_5 \cdot \text{HgCl}$, den Hofmann als äthylirtes Analogon des unschmelzbaren Präzipitats auffaßt. Die gleichartige Bindung des Stickstoffs zugunsten der Formel eines Amidoquecksilberchlorids glaubt Hofmann (l. c.) dadurch bewiesen zu haben, daß der Präzipitat, mit überschüssiger, starker Kalilauge erhitzt, allen Stickstoff als Ammoniak abgibt, ein Versuch, mit dem sich jedoch schwerlich Konstitutionsverschiedenheiten so feiner Art entscheiden lassen dürften, um die es sich hier handelt.

Gegen die Berechtigung der Rammelsberg-Pescischen Doppel- resp. Komplexsalzformel läßt sich wie beim vorigen Körper die große Schwerlöslichkeit des unschmelzbaren Präzipitats ins Treffen führen. Bei einem Ammoniumsalz einer komplexen Säure: $\text{H}(\text{Hg}_2\text{NCl}_2)$, $\text{NH}_4(\text{Hg}_2\text{NCl}_2) = \text{NH}_4\text{Cl}$, Hg_2NCl sollte man sich nach allen Analogien eine weit größere Löslichkeit erwarten, als sie dem unschmelzbaren Präzipitat eigen ist.

III. Mercuriammoniumverbindungen, Millonsche Base usw. Noch weniger übersichtlich ist die Theorie dieser dritten Klasse von Mercuristickstoffverbindungen. Nach Rammelsberg-Pesci liegt allen Verbindungen dieser Gruppe die Base $\text{NHg}_2 \cdot \text{OH}$ zugrunde, deren Chlorid sie auch als den einen Bestandteil des schmelzbaren und unschmelzbaren Präzipitats auffassen. Diese Base soll mit 2 Mol H_2O die sog. Millonsche Base: $\text{NHg}_2\text{OH} \cdot 2\text{H}_2\text{O}$ bilden, während ihre Salze nach dem Schema: $\text{NHg}_2\text{X} \cdot \text{H}_2\text{O}$ aufgebaut sein sollen. Nach älteren Untersuchungen von Kane usw., sowie besonders nach sehr überzeugenden, neueren von Hofmann bilden jedoch die beiden Wassermoleküle einen Bestandteil des quecksilberhaltigen Kernes der Base und spielen nicht — wie die anderen Autoren meinen — die Rolle von Kristallwasser. Die Base ist demnach als ein Dioxydimercuriammoniumhydroxyd aufzufassen: $\text{HOHg} \overset{\text{v}}{\text{>}} \text{NHg}_2 \cdot \text{OH}$. Beim Aufbewahren über Ätzkali verliert die Base zunächst 1 Mol H_2O , ein Vorgang, der von Hofmann als intramolekulare Anhydrierung im Sinne der Formel:



auffaßt wird. Eine solche Anhydrierung tritt auch bei der Bildung von Salzen aus der Millonschen Base ein, so daß diese auf das Schema



bezogen werden müssen.

Durch Erhitzen im NH_3 -Strom lassen sich aus der Millonschen Base 2 Moleküle H_2O entfernen; es resultiert eine explosive Verbindung: NHg_2OH ,

für welche Hofmann die Konstitution: $\text{HO} \cdot \text{N} \begin{smallmatrix} \text{Hg} \\ \diagup \\ \diagdown \\ \text{Hg} \end{smallmatrix}$ annimmt. Mit dieser

zweiten Anhydrierung ist eine durchgreifende Änderung in der Konstitution des Stoffes eingetreten; konform damit hat sich auch der Charakter völlig geändert: die Verbindung hat auffallend explosive Eigenschaften erhalten und, vor allem, ist die basische Natur der Stoffe verschwunden; es gelang Hofmann nicht, aus dem zweiten Entwässerungsprodukt der Millonschen Base Salze vom Typus: $\text{NHg}_2 \cdot \text{X}$ darzustellen. Beweisend für die ältere Auffassung, wonach die Salze der Millonschen Base die Elemente des Wassers im quecksilberhaltigen Kern, nicht in loser Bindung als Kristallwasser enthalten, ist nach Hofmann auch die Tatsache, daß das Chlorid und die meisten anderen Salze der Millonschen Base: $(\text{Hg}_2\text{O})\text{NH}_2\text{X}$ selbst bei 125° im NH_3 -Strom kein Wasser entlassen, während erst bei 180° unter totaler Zersetzung der Verbindungen eine Wasserabspaltung erfolgt.

Weiterer Aufklärung bedürftig scheint die Frage nach der Existenz von wasserfreien Salzen, der Formel: NHg_2X entsprechend. Während Pesci (l. c.) die Darstellung einer Reihe von Salzen gelang, konnten Hofmann und Marburg (l. c.) nur ein wasserfreies Nitrat: $\text{NHg}_2 \cdot \text{NO}_3$ darstellen; alle Versuche, ein Chlorid und Bromid gleicher Konstitution zu erhalten, gingen fehl, indem entweder Gemische mehrerer Salze oder Verbindungen der Millonschen Base resultierten, s. auch Ray.⁴³⁹⁾

Nach Hofmann und Marburg gelingt es ferner nicht, das explosive Dimercuriammoniumhydroxyd noch weiter zu anhydrieren, so daß die Existenz des von Weyl⁴⁰⁰⁾ beschriebenen Oxyds: $(\text{NHg}_2)_2\text{O}$, das sich nach der Gleichung: $2\text{NHg}_2\text{OH} = \text{H}_2\text{O} + (\text{NHg}_2)_2\text{O}$ gebildet haben soll, höchst fragwürdiger Natur ist.

Was die Bildung der Quecksilberstickstoffverbindungen betrifft, so scheint folgende Regel von ziemlich allgemeiner Gültigkeit zu sein. Die Quecksilberhalogene mit Ausnahme des Fluorids liefern beim Behandeln mit nicht zu konzentriertem Ammoniak event. unter Zusatz von Ammoniumsalzen Verbindungen der 1. oder 2. Klasse, während die Quecksilbersauerstoffsalze (Nitrat, Acetat usw.) sowie das Fluorid unter denselben Bedingungen meistens Salze der dritten Klasse entstehen lassen.

Ihre Erklärung finden diese Reaktionen in der verschiedenen Konstitution der Lösungen der Quecksilberhalogene und Quecksilbersauerstoffsalze. Letztere sind stark hydrolysiert und das durch Hydrolyse erzeugte Quecksilberoxyd wirkt auf Ammoniumsalze weitgehend substituierend, unter Bildung von

Komplexen wie: $\begin{smallmatrix} \diagup \\ \text{N} \\ \diagdown \end{smallmatrix} \begin{smallmatrix} \text{HgOH} \\ \\ \text{HgOH} \end{smallmatrix}$ oder $-\text{N} \begin{smallmatrix} \text{Hg} \\ \diagup \\ \diagdown \\ \text{Hg} \end{smallmatrix}$, also in ähnlicher Weise, wie

diese Base auf viele organische Verbindungen reagiert, d. h. unter Erzeugung beständiger Quecksilberkohlenstoffkomplexe wie $>\text{C} \begin{smallmatrix} \text{HgOH} \\ \diagup \\ \diagdown \\ \text{HgOH} \end{smallmatrix}$ usw. In ähnlicher Weise wirkt das ebenfalls weitgehend hydrolytisch gespaltene Mercurifluorid; während es bei den Quecksilberhalogenen nur zur Bildung von Anlagerungsprodukten (1. Klasse) kommt oder nur ein Halogenatom entfernt wird unter Bildung einer Verbindung der zweiten Klasse.

I. Mercuriammoniake und verwandte Verbindungen. a) Derivate des Mercurichlorids. $\text{Hg}(\text{NH}_3)_2\text{Cl}_2$, weißer, schmelzbarer Prä-

zipitat, wird erhalten durch tropfenweisen Zusatz von Sublimatlösung zu einem kochenden Gemenge von Salmiak und Ammoniak, solange der Niederschlag sich löst und Kristallisierenlassen beim Abkühlen der Lösung (Mitscherlich.⁴⁴¹) Nach Weyl⁴⁴²) entsteht der Körper auch durch Lösen von Quecksilberchlorid in flüssigem Ammoniak.

Der schmelzbare Präzipitat bildet ein weißes, aus kleinen Rhombendodekaedern bestehendes Pulver, welches beim Erhitzen unter Entwicklung von Stickstoff und Ammoniak zu einer gelblichen Flüssigkeit schmilzt.

Rammelsberg⁴⁴³) gibt an, daß beim Kochen des Präzipitats mit Kalilauge nur $\frac{3}{4}$ des Gesamtstickstoffs als Ammoniak entweichen. Dieselbe Reaktion wurde eingehender von Hofmann und Marburg⁴²⁶), sowie von Pesci⁴²⁷) studiert. Nach ersterem gelingt es, durch Destillation mit 20prozentiger Kalilauge den Präzipitat völlig zu zersetzen, indem sämtlicher Stickstoff in Form von Ammoniak entweicht. Nach Pesci wird durch Einwirkung verdünnter, 2prozentiger Kalilauge in der ersten Stunde 7,76 Proz., der in zweiten 0,3 Proz. Stickstoff als Ammoniak erhalten, d. h. ungefähr $\frac{3}{4}$ der Gesamtmenge (9,19 Proz.). Dasselbe Resultat wird erzielt, wenn der Präzipitat bei gewöhnlicher Temperatur mit 2prozentiger Lauge digeriert wird.

Die Tatsache, daß die Verbindung unter Ammoniakentwicklung erst durch konzentrierte Kalilauge und bei höherer Temperatur völlig zersetzt wird, erklärt sich daraus, daß bei dieser Behandlung intermediär Salze der Millonischen Base entstehen, welche dem genannten Agens gegenüber sehr beständig sind.

Es ist wohl ohne weiteres klar, daß durch die genannten Versuche, die rohe Eingriffe in das Molekül darstellen, weder die eine noch die andere Formel bewiesen werden kann.

Der schmelzbare Präzipitat spaltet sich verhältnismäßig leicht in Sublimat und Ammoniak. Wird der Körper unter gekühltem, absolutem Alkohol eine Stunde lang mit nitrosen Dämpfen behandelt, so entsteht ein Doppelsalz: $\text{HgCl}_2 \cdot \text{NH}_4\text{NO}_3$. Die leichte Spaltung in dem angedeuteten Sinne zeigt sich auch charakteristisch beim Behandeln des Präzipitats mit Diazoniumbenzolsulfonsäure, wobei eine Verbindung von 1 Mol Sublimat mit 2 Molen dieser Säure gebildet wird: $\text{HgCl}_2 \cdot 2(\text{C}_6\text{H}_4\text{N}_2\text{SO}_3)$ (Hofmann und Marburg⁴²⁶)). Der schmelzbare Präzipitat wird mit Leichtigkeit von verdünnter Salpeter- und Schwefelsäure, sowie von Essigsäure gelöst. Im trockenen Zustande hält sich der Körper sehr lange unverändert, bei Gegenwart von Wasser tritt selbst bei gewöhnlicher Temperatur sofort alkalische Reaktion ein, die von Ammoniakentwicklung herrührt, die Zersetzung ist aber auch bei Siedetemperatur unvollständig.

Mit $\text{ZnCl}_2 \cdot 2\text{NH}_3$ bildet der schmelzbare Präzipitat Doppelverbindungen: $\text{HgCl}_2 \cdot 2\text{ZnCl}_2 \cdot 6\text{NH}_3 \cdot 0,5 \text{H}_2\text{O}$ und $\text{HgCl}_2 \cdot 4\text{ZnCl}_2 \cdot 10\text{NH}_3 \cdot 2\text{H}_2\text{O}$ (André⁴⁴⁴)). Nach allem ist die aktive Masse des freien NH_3 in den Verbindungen ziemlich groß.

Die einheitliche Natur anderer Ammoniakate, die dieser Klasse anzugehören scheinen, wie

$\text{HgCl}_2 \cdot \text{NH}_3$ ist noch nicht genügend aufgeklärt (Pesci⁴⁴⁵)).

Verbindungen des Sublimats mit substituierten Ammoniakten.

$\text{HgCl}_2 \cdot \text{NH}_2 \cdot \text{C}_2\text{H}_5$, durch Einwirkung von Äthylamin auf Quecksilberchlorid in verdünnter alkoholischer Lösung gewonnen (Köhler⁴⁴⁶), Hofmann und Marburg⁴²⁶)).

$\text{HgCl}_2 \cdot 2\text{NH}_2\text{C}_2\text{H}_5 = \text{Hg}(\text{NH}_2\text{C}_2\text{H}_5)_2\text{Cl}_2$ stellt das äthylierte Analogon des schmelzbaren Präzipitats dar und entsteht nach Hofmann und Marburg (l. c.), wenn eine alkoholische Lösung von Mercurichlorid mit flüssigem reinem Äthylamin versetzt wird. Der ausfallende, weiße Niederschlag wird aus heißem Alkohol umkristallisiert. Weiße Blättchen, die bei 185° unter Zersetzung schmelzen.

$\text{HgCl}_2 \cdot \text{NH}(\text{CH}_3)_2$. Aus den gemischten alkoholischen Lösungen der Komponenten fällt ein weißer, amorpher Niederschlag aus, der aus siedendem Alkohol in Form perlmutterglänzender Blättchen gewonnen wird. Schm.-P. 172° (Hofmann und Marburg, l. c.).

$3\text{HgCl}_2 \cdot 2\text{N}(\text{CH}_3)_3$. Aus Trimethylamin und Sublimat in alkoholischer Lösung als kristallisierte Masse erhalten (Hofmann und Marburg, l. c.).

Hydrazinhydrat bildet mit Sublimat in alkoholisch ätherischer Lösung die weiße Verbindung: $\text{HgCl}_2 \cdot \text{N}_2\text{H}_4$.

In wässrig alkalischer Lösung reduziert Hydrazin fast alle Quecksilberverbindungen in wenigen Augenblicken; man kann diese Base mit überschüssigem Quecksilberoxyd sogar quantitativ in Stickstoff überführen (Hofmann und Marburg).

Mit Pyridin, $\text{C}_5\text{H}_5\text{N}(=\text{Py})$, bildet Sublimat u. a. folgende Verbindungen:

$\text{Py}_2 \cdot (\text{HgCl}_2)_3$, weiße, nadelförmige Kristalle (Monari⁴⁴⁷), Pesci⁴⁴⁸).

$\text{Py} \cdot (\text{HgCl}_2)$, weiße, seideglänzende Nadeln, welche bei 110° erweichen und bei 180° schmelzen (Lang⁴⁴⁹), Pesci, l. c.)

$\text{Py}_2 \cdot (\text{HgCl}_2)$, Nadeln aus Pyridin, Schm.-P. 108° (Pesci, l. c.; s. a. Roscoe und Schorlemmer, Lehrb. 7. Band).

b) Derivate des Mercuribromids. Das dem schmelzbaren Präzipitat entsprechende Bromprodukt scheint noch nicht bekannt zu sein. Nach Rose⁴⁵⁰) absorbiert geschmolzenes Mercuribromid etwas weniger als 1 Mol NH_3 .

Mit Hydrazin entsteht die Verbindung: $\text{N}_2\text{H}_4 \cdot \text{HgBr}_2$ (Hofmann und Marburg, l. c.) mit Pyridin: $\text{Py}_2 \cdot \text{HgBr}_2$ (Pesci, l. c.).

c) Verbindungen des Mercurijodids. $\text{HgI}_2 \cdot 2\text{NH}_3$, die dem schmelzbaren Präzipitat analoge Jodverbindung entsteht durch Absorption von gasförmigem Ammoniak durch Mercurijodid (Rose⁴⁵⁰)), durch Einleiten des Gases in eine benzolische Lösung von Quecksilberjodid (Colson⁴⁵¹)) oder wenn flüssiges Ammoniak auf das feste Salz einwirkt (Weyl⁴⁴²)).

Der Körper bildet je nach der Darstellung eine weiße, kristallinische Masse oder lange, weiße Nadeln; aus NH_3 haltigem Äther läßt er sich umkristallisieren. An der Luft sowie in Berührung mit Wasser zersetzt er sich in die Komponenten. Nach François⁴⁵²) zeigt dieses Ammoniakat folgende Dissoziationsdrucke:

Temp.	Druck in mm Hg	Temp.	Druck in mm Hg
0°	8	55	219
25	37	65	362
35	72	75	601
45	130	80	732

Wird bei 15° Ammoniak entzogen, so sinkt der Druck auf 2 mm, wo er konstant bleibt, die entzogene Ammoniakmenge ist $\frac{1}{3}$ der ursprünglich gebundenen, so daß $\text{Hg}_3(\text{NH}_3)_4\text{I}_6$, ein weißes Pulver, zurückbleibt; dieses zerfällt in HgI_2 und NH_3 und zeigt folgende Dissoziationsdrucke:

Temp.	15	25	35	45	55	65	75	85	95
Druck in mm Hg	1	2	3	6	12	23	39	65	107

Mit $\text{CuJ}_2 \cdot 2\text{NH}_3$ bildet das Jodid folgende Doppelverbindungen (Jörgensen⁴⁵³).

$\text{HgJ}_2 \cdot \text{CuJ}_2 \cdot 4\text{NH}_3$, durch Einwirkung von Quecksilber auf eine alkoholische Suspension von $\text{CuJ}_2 \cdot 4\text{NH}_3 \cdot \text{J}_2$ als blaue Kristallmasse erhalten, die durch Wasser zersetzt wird.

$2\text{HgJ}_2 \cdot \text{CuJ}_2 \cdot 4\text{NH}_3$ entsteht beim Vermischen der Lösungen von $\text{CuSO}_4 \cdot 4\text{NH}_3$ und K_2HgJ_4 und bildet grüne, glänzende Kristalle.

$\text{HgJ}_2 \cdot \text{NH}_3$ soll durch Einwirkung von Ammoniakgas auf Mercurijodid (Rammelsberg⁴⁵⁴) sowie durch Lösen von Quecksilberjodid in konzentriertem wässrigen Ammoniak (Caillot und Corriol⁴⁵⁵) entstehen (s. auch Neßler, Verhalten des Quecksilberjodids zu Ammoniak, Freiburg 1856). Weißes Kristallpulver, das an der Luft Ammoniak verliert. Von Pesci⁴⁴⁵) wird die einheitliche Natur der Substanz bezweifelt. Mit Pyridin vereinigt sich Mercurijodid zu folgenden Doppelverbindungen:

$\text{Py} \cdot 2\text{HgJ}_2$, Niederschlag (Prescott⁴⁵⁶).

$\text{Py}_2 \cdot \text{HgJ}_2$, weiße Nadeln. Schm.-P. 97° (Groos⁴⁵⁷).

Mit Hydrazinhydrat gibt das Jodid in alkoholischer Lösung die Verbindung:

$\text{N}_2\text{H}_4 \cdot \text{HgJ}_2$, welche in feinen, glänzenden Nadeln kristallisiert und erheblich beständiger als die entsprechende Chlor- und Bromverbindung ist (Hofmann und Marburg, l. c.).

d) Verbindungen des Mercuricyanids. In ähnlicher Weise wie von den entsprechenden Brom- und Jodkörpern sind vom Mercuricyanid folgende Ammoniakadditionsprodukte erhalten, die anscheinend noch weniger beständig, d. h. leichter zur Abgabe von Ammoniak geneigt sind als die Jodprodukte:

$\text{Hg}(\text{CN})_2 \cdot 2\text{NH}_3$ resp. $\text{Hg}(\text{CN})_2 \cdot 2\text{NH}_3 \cdot 0,5\text{H}_2\text{O}$ (Varet⁴⁵⁸), weiße, amorphe Pulver, die an der Luft unter Wasseraufnahme Ammoniak verlieren.

$\text{Hg}(\text{CN})_2 \cdot \text{NH}_3$ (Rose⁴⁵⁹, Varet⁴⁵⁸).

$\text{Hg}(\text{CN})_2 \cdot 2\text{NH}_3$ bildet mit anderen Ammoniakaten Doppelverbindungen (Varet, l. c.), die vorläufig wenig Interessantes bieten.

Mit Pyridin erhielt Varet⁴⁵⁹) die Verbindung:

$\text{Py}_2 \cdot \text{Hg}(\text{CN})_2$ in Form weißer Kristallnadeln.

$\text{N}_2\text{H}_4 \cdot \text{Hg}(\text{CN})_2$, weiße, glänzende Nadeln, die bei 126° unter Zersetzung schmelzen (Hofmann und Marburg⁴²⁶).

e) Verbindungen der Mercurisauerstoffsäuren. Die Sauerstoffsalze des Quecksilbers gehen mit Ammoniak, wie bereits im einleitenden Teile erwähnt, Verbindungen ein, welche anscheinend meistens der dritten Gruppe zuzuzählen sind. Dagegen sind Verbindungen der genannten Salze mit anderen Basen dargestellt, welche in ihren Eigenschaften den oben beschriebenen Metallammoniakaten gleichen.

Nach Hofmann und Marburg⁴²⁶) entstehen einige Hydrazinverbindungen der Mercurisauerstoffsäuren beim Vermischen der wässrigen Lösungen von Mercuri- und Hydrazinsalz unter Abspaltung von freier Mineralsäure.

$\text{N}_2\text{H}_4 \cdot \text{Hg}(\text{NO}_3)_2$, weißer kristallinischer Niederschlag.

$\text{N}_2\text{H}_4 \cdot \text{Hg}(\text{NO}_2)_2$ fällt aus einer Lösung von Kaliummercurinitrit durch wässrige mit Kohlensäure übersättigte Hydrazinhydratlösung als flockiger, weißer Niederschlag, der bald grau wird und im trocknen Zustande spontan verzischt.

$N_2H_4 \cdot HgSO_4$, feinpulvriger, amorpher Niederschlag.

An dieser Stelle sei die interessante Beobachtung von Hofmann und Marburg wiedergegeben, daß auch Mercuronitrat mit Hydrazinnitrat ein Salz: $N_2H_4 \cdot Hg_2(NO_3)_2$ liefert; ein entsprechendes Ammoniaksalz existiert nicht (cf. S. 665).

Schließlich seien noch die von Pesci⁴⁶⁰) dargestellten Pyridinverbindungen erwähnt:

$Py_2 \cdot Hg(NO_3)_2 \cdot 2H_2O$; Nadeln, die sich beim Erhitzen, ohne zu schmelzen, zersetzen.

$Py_2 \cdot HgSO_4 \cdot 4H_2O$, Prismen.

II. Amidomercuriverbindungen und Verwandte. Als relativ einfachste Verbindung dieser Reihe, in welcher sicher eine Quecksilberstickstoffbindung anzunehmen ist, kann die

Mercuriimidossulfonsäure: $Hg[N(SO_3H)_2]_2$ betrachtet werden, welche aus dem Bariumsalz $Hg_2N(SO_3)_2Ba$ durch Einwirkung von Schwefelsäure erhalten und von Berglund⁴⁶¹) als starke Säure beschrieben wird. Das Metall ist sehr fest gebunden, durch verdünnte Säuren wird die Verbindung nicht zersetzt.

Die Salze der Mercuriimidossulfonsäure sind eingehend von Berglund untersucht.

1. $Hg_2N(SO_3K)_2$, aus dem „basischen Salze“ $KN(SO_3K)_2$ und Sublimat; kristallisiert in Prismen, die wässrige Lösung reagiert neutral. Das leichter lösliche Natriumsalz:

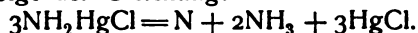
2. $Hg_2N(SO_3Na)_2 \cdot 2\frac{1}{2}H_2O$ gleicht dem vorigen.

3. $Hg_2N(SO_3)_2Ba \cdot 2\frac{1}{2}H_2O$ aus dem Salze 1 und Bariumnitrat; sehr beständig, fast unlöslich in Wasser. Konzentrierte Salpetersäure sowie Salzsäure lösen das Salz.

4. $Hg_2N(SO_3)_2Sr \cdot 2\frac{1}{2}H_2O$, leichter löslich als das Bariumsalz.

Ferner werden noch das Magnesium-, Zink-, Nickel-, Kobalt-, Mangan-, Kupfer- sowie ein basisches Mercurisalz der Mercuriimidossulfonsäure beschrieben.

a) Derivate des Mercurichlorids. $NH_2 \cdot HgCl$, weißer, unschmelzbarer Präzipitat, entsteht durch Fällen einer Quecksilberchloridlösung mit einem geringen Überschuß von Ammoniak (Kane⁴⁶²)) oder durch Eingießen der Quecksilberchloridlösung in einen großen Überschuß von Ammoniak (Millon⁴⁶³)) als weißes, ziemlich leichtes Pulver von erdigem, nachher metallischem Geschmack. Beim Erhitzen zersetzt sich der Körper, ohne zu schmelzen unter Entwicklung von N und NH_3 und unter Zurücklassung von Hg_2Cl_2 , im wesentlichen zufolge der Gleichung:



(Kane, l. c.; Sen⁴⁶⁴)).

Beim Erwärmen mit 20prozentiger Kalilauge entweicht nach Hofmann und Marburg⁴²⁶) aller Stickstoff als Ammoniak. Wendet man dagegen verdünnte Kalilauge an und läßt man bei niedriger Temperatur einwirken, so entweicht nur die Hälfte des Stickstoffs (Pesci⁴²⁷)). Beim Digerieren mit Wasser verliert der unschmelzbare Präzipitat Chlorammonium und geht in Oxydimercuriammoniumchlorid über: $2NH_2 \cdot HgCl + H_2O = NH_4Cl + OHg_2 \cdot NH_2Cl$. Verdünnte 10prozentige Schwefel- und Salpetersäure löst bei Gegenwart von etwas Ammoniak den Präzipitat leicht auf. Das äthylierte Analogon des unschmelzbaren Präzipitats:

$\text{NHC}_2\text{H}_5 \cdot \text{HgCl}$ entsteht beim Zersetzen von wässrigem Äthylamin mit überschüssiger Sublimatlösung (Köhler⁴⁶⁵), Hofmann und Marburg⁴²⁶) in Form perlmutterglänzender Blättchen.

Aus der Existenz dieser Verbindung, die dem unschmelzbaren Präzipitat analoge Zusammensetzung hat, schließen Hofmann und Marburg, daß für die letztere Verbindung die S. 666 erwähnte Formel $\text{NHg}_2\text{Cl} \cdot \text{NH}_4\text{Cl}$ ausgeschlossen sei, da ein Äthylammoniumsalz nicht mehr durch zwei Mercuriatome substituiert werden kann.

Auch in das Molekül des Hydrazins lassen sich nach Hofmann und Marburg⁴²⁶) quecksilberhaltige Gruppen wie HgCl , HgBr (nicht aber HgI oder HgCN) einführen.

$\text{N}_2\text{H}_2 \cdot \text{Hg}_2\text{Cl}_2$ ($= \frac{\text{ClHg}}{\text{ClHg}} > \text{N} \cdot \text{NH}_2$ oder $\text{ClHg} \cdot \text{NH} \cdot \text{NH} \cdot \text{HgCl}$, zwischen diesen beiden Formeln konnte nicht unterschieden werden) entsteht aus dem Körper $\text{N}_2\text{H}_4 \cdot \text{HgCl}_2$ (S. 670) durch Schütteln mit Wasser, wobei die weiße Farbe in hellgelb übergeht oder indem man die gemischte wässrige Lösung von Hydrazinsulfat und Sublimat mit Natriumacetat versetzt. Vollkommen trocken explodiert die Verbindung durch Erhitzen, durch Stoß und selbst durch Reibung heftig. Salz- und Salpetersäure lösen leicht, Essigsäure etwas schwieriger, in allen Fällen bleiben kleine Mengen Kalomel im Rückstande. Salzsäure spaltet die Verbindung rückwärts in Hydrazin und Sublimat, woraus geschlossen wurde, daß nicht etwa eine Verbindung des hypothetischen Dimids mit Kalomel vorliegt.

Essigsäureanhydrid wirkt auf den explosiven Körper $\text{N}_2\text{H}_2\text{Hg}_2\text{Cl}_2$ unter Bildung einer Quecksilberverbindung eines zweifach acetylierten Hydrazins von der unsymmetrischen Formel:

$\text{HgN} \cdot \text{N}(\text{COCH}_3)_2$, welche ein weißes, amorphes, in allen Säuren leicht lösliches Pulver darstellt. Durch Schwefelwasserstoff läßt sich das Quecksilber abspalten, wodurch das Diacetylhydrazin: $\text{H}_2\text{N} \cdot \text{N}(\text{COCH}_3)_2$ entsteht.

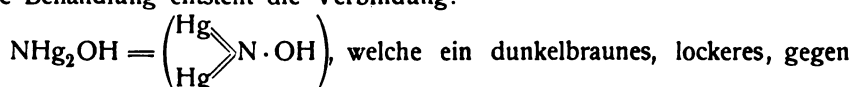
b) Derivate des Mercuribromids. $\text{NH}_2 \cdot \text{HgBr}$, das Analogon des unschmelzbaren Präzipitats wird in ähnlicher Weise wie dieser erhalten und stellt ein weißes, in Wasser und Alkohol unlösliches Pulver dar (Mitscherlich⁴⁶⁶), Löwig⁴⁶⁷).

III. Die Millonsche Base, ihre Entwässerungsprodukte und Salze. $(\text{HOHg})_2\text{NH}_2\text{OH}$, Dihydroxymercuriammoniumhydroxyd, Millonsche Base, bildet sich durch Einwirkung von wässrigem Ammoniak auf Quecksilberoxyd. Ältere Lit.: Proust und Plantamour⁴⁶⁸), Kane⁴⁶⁹), Hirzel⁴⁷⁰); ferner s. Rammelsberg.⁴⁷¹) Nach Hofmann und Marburg⁴²⁶), welche die Millonsche Base einer erneuten Untersuchung unterzogen, wird dieselbe zweckmäßig aus einem bei 70° gefälltem Quecksilberoxyd und reinem, wässrigem, kohlensäurefreiem Ammoniak durch 12stündiges Digerieren im Dunkeln, Waschen mit absolutem Alkohol und Äther und Trocknen dargestellt.

Die Base stellt ein hellgelbes, mikrokristallines, aus anscheinend rhombischen Kristallen bestehendes Pulver (Gerresheim⁴⁷²)) dar, welches sich am Lichte zersetzt und beim Reiben im Mörser verknistert; in Wasser und anderen Lösungsmitteln ist es so gut wie unlöslich. Mit Säuren bildet die Base unter Wasseraustritt Salze; Alkalien wirken in der Wärme unter vollständiger Zersetzung ein. Läßt man die frisch bereitete Base in einer Ammoniakatmosphäre über Ätzkalk vor Licht geschützt stehen, so geht sie unter Verlust eines Moleküls Wasser in die Verbindung:

$\text{OHg}_2 \cdot \text{NH}_2\text{OH}$ über, die ein dunkelgelbes Pulver darstellt, das noch viel lichtempfindlicher ist als die Millonsche Base; beim Erhitzen der Substanz erfolgt ruhige Zersetzung. Der Wasseraustritt ist nach Hofmann wahrscheinlich zwischen den beiden an Quecksilber gebundenen Hydroxyden erfolgt. Mit der Wasserabspaltung haben sich noch andere Eigenschaften der ursprünglichen Base auffallend geändert: so ist die Beständigkeit des Entwässerungsproduktes weit geringer geworden, so daß die Verbindung leicht zum Zerfall in Ammoniak und Quecksilberoxyd geneigt ist, gleichzeitig ist die Dichte erheblich gestiegen von 4,083 (D_{18} der Millonschen Base) auf 7,419 (D_{18} des Entwässerungsprodukts).

Ein anderes Entwässerungsprodukt der Millonschen Base entsteht durch Erhitzen derselben sowie des vorigen Körpers $\text{NHg}_2\text{O}_2\text{H}_3$ im Ammoniakstrom bei 125° (Weyl⁴⁴⁰) und besonders Hofmann und Marburg⁴²⁶). Durch diese Behandlung entsteht die Verbindung:



Stoß und Schlag sehr empfindliches Pulver darstellt, das bei 130° mit sehr hellem Knall explodiert. Spez. Gewicht 8,52. An der Luft färbt es sich unter Verlust der explosiven Eigenschaften heller, in verdünnter Salzsäure löst es sich klar auf. Dieselbe Verbindung entsteht nach Hofmann und Marburg durch Erhitzen von trockenem, gelbem Quecksilberoxyd im Ammoniakstrom. Charakteristisch für dieses zweite Entwässerungsprodukt im Gegensatz zum ersten ist, daß die basischen Eigenschaften verschwunden sind.

Ein weiteres Anhydrierungsprodukt $(\text{NHg}_2)_2\text{O}$, welches Weyl⁴⁴⁰) erhalten haben will, konnten Hofmann und Marburg nicht darstellen. Nach letzteren ist auch die Existenz des Nitrids: N_2Hg_3 (Hirzel⁴⁷³) sehr zweifelhaft.

Die Salze der Millonschen Base enthalten, wie besonders die Untersuchungen von Hofmann und Marburg dargetan haben, sämtlich ein Molekül Konstitutionswasser und sind deshalb auf den Typus $\text{O} < \begin{array}{c} \text{Hg} \\ \diagup \quad \diagdown \\ \text{Hg} \end{array} \text{NH}_2\text{X}$ zu beziehen. Die wichtigsten Darstellungsweisen sind folgende: die Halogenverbindungen der Millonschen Base entstehen:

1. aus den entsprechenden Präzipitaten durch Kochen mit Wasser oder Kalilauge (Pesci⁴²⁷);
2. durch Einwirkung von Ammoniak auf die basischen Salze wie $\text{HgCl}_2 \cdot \text{HgO}$;
3. aus den Komplexsalzen z. B. K_2HgJ_4 durch Einwirkung von Ammoniak bei Gegenwart von OH-Ionen.

Die Sauerstoffsalze der Millonschen Base bilden sich stets, wenn die Mercurisalze mit Ammoniak zusammentreffen. Schließlich können nach Hofmann und Marburg (l. c.) alle Salze durch Digerieren der Base mit verdünnten etwa 6proz. Lösungen der betreffenden Säuren dargestellt werden.

$\text{OHg}_2 : \text{N} \cdot \text{H}_2\text{Cl}$. (Kane⁴⁷⁴), André⁴⁷⁵), Ullgreen⁴⁷⁶), Weyl⁴⁴²). Weißes schweres Pulver, aus unschmelzbarem Präzipitat durch 12 stündiges Digerieren mit Wasser bei $60-70^\circ$ erhalten. Am Lichte färbt es sich grau. Über Schwefelsäure und im Ammoniakstrom bei 125° tritt kein Wasser aus, bei 180° erfolgt totale Zerstörung (Hofmann und Marburg⁴²⁶)).

$\text{OHg}_2 : \text{N} \cdot \text{H}_2\text{Br}$, von Hofmann und Marburg durch Digerieren von Millonscher Base mit 3proz. Bromwasserstoffsäure im Dunkeln erhalten.

$\text{OHg}_2 : \text{N} \cdot \text{H}_2\text{J}$ aus dem Chlorid durch Behandeln mit Jodkalium (Rammelsberg⁴⁵⁴), Weyl⁴⁴⁰), durch Fällern einer Lösung von K_2HgJ_4 mit Kalilauge und Ammoniak (Neßlers Reaktion), sowie durch Behandeln von Mercurijodid mit einem großen Überschuß von konzentrierter Ammoniaklösung (allerdings im unreinen Zustande) (Neßler, Verhalten des Quecksilberjodids zu Ammoniak, Freiburg 1856) erhalten.

Das Jodid stellt ein braunes Pulver mit einem Stich ins Purpurrote dar, das bei 128° nur hygroskopisches Wasser abgibt, bei höherer Temperatur unter Luftabschluß zur braunen Flüssigkeit schmilzt und sich weiterhin unter Explosion mit blauem Lichte zersetzt. Kalilauge greift es selbst beim Kochen nicht an.

$\text{OHg}_2 : \text{N} \cdot \text{H}_2\text{F}$, durch Fällern einer Lösung von Mercurifluorid in Flußsäure mit Ammoniak in Form eines weißen Pulvers erhalten (Finkener⁴⁴⁵).

$\text{OHg}_2 : \text{N} \cdot \text{H}_2\text{NO}_3$, blaßgelbes Salz von Hofmann und Marburg (l. c.) erhalten, verliert sein Wasser ebenfalls nicht im Ammoniakstrome bei 125° .

$\text{OHg}_2 : \text{N} \cdot \text{H}_2\text{NO}_3$ entsteht durch Fällung einer verdünnten Mercurinitratlösung mit einem geringen Überschuß von Ammoniak in der Hitze. (Soubeiran⁴⁷⁷), Kane⁴⁷⁸), Hofmann und Marburg, l. c.) weißes, körniges Pulver, welches durch Alkalien selbst beim Kochen nicht zerlegt wird. Das Nitrat der Millonschen Base scheint mit Ammoniumnitrat verschiedene Doppelsalze zu bilden, deren genauere Untersuchung jedoch noch aussteht:

$\text{OHg}_2 : \text{N} \cdot \text{H}_2\text{NO}_3, \text{NH}_4\text{NO}_3$ (Mitscherlich⁴⁷⁹).

$\text{OHg}_2 : \text{NH}_2\text{NO}_3, 2\text{NH}_4\text{NO}_3 \cdot \text{H}_2\text{O}$ (Kane⁴⁷⁹).

Weitere Doppelverbindungen s. in den genannten Abhandlungen.

$\text{OHg}_2 : \text{NH}_2\text{BrO}_3$ entsteht auf Zusatz von wenig überschüssigem Ammoniak zu einer wässrigen Lösung von Mercuribromat als gelblichweißer Niederschlag, der beim Erhitzen heftig explodiert. Ein von Millon⁴⁸⁹) beschriebenes Jodat bedarf anscheinend noch einer eingehenden Untersuchung.

Bei der Einwirkung von Ammoniak auf Mercurisulfat oder von Quecksilberoxyd auf Ammoniumsulfat scheinen außer dem Sulfat der Millonschen Base:

$(\text{OHg}_2 : \text{NH}_2)_2\text{SO}_4$, (Pesci⁴⁴³) noch viele andere Verbindungen zu entstehen, deren Konstitution noch fraglich ist. Als ein Doppelsalz des genannten Sulfats und Ammonsulfat kann die Verbindung:

$(\text{OHg}_2 : \text{NH}_2)_2\text{SO}_4 \cdot 3(\text{NH}_4)_2\text{SO}_4 \cdot 2\text{H}_2\text{O}$ betrachtet werden, welche Pesci als ein dem schmelzbaren weißen Präzipitat analoges Salz ansieht. Der Körper entsteht beim Eintragen von Mercurioxyd in eine kalte Lösung von Ammonsulfat und Verdunsten der Flüssigkeit in Form feiner Nadeln oder glasglänzender, heller Kristalle, die sich bei 115° unter Abgabe von Wasser zersetzen und in verdünnter Salz- und Schwefelsäure sowie in Chlorammonium löslich sind. Durch Wasser tritt Zersetzung ein, wobei ein Salz von der Zusammensetzung: $3(\text{OHg}_2\text{N})_2\text{SO}_4 \cdot (\text{NH}_2\text{Hg})_2\text{SO}_4$ (?) entstehen soll (Schmieder⁴⁵¹), Pesci⁴⁴³). Es wäre übrigens auch möglich, daß die Verbindung: $(\text{OHg}_2 : \text{NH}_2)_2\text{SO}_4 \cdot 3(\text{NH}_4)_2\text{SO}_4 \cdot 2\text{H}_2\text{O}$ ein Mercurisulfatammoniak $\text{Hg}(\text{NH}_2)_2\text{SO}_4 \cdot \text{H}_2\text{O}$, d. h. eine Verbindung der ersten Klasse darstellt.

$(\text{OHg}_2 : \text{NH}_2)_2\text{CO}_3$ bildet sich beim Behandeln von Millonscher Base mit Kohlendioxyd und Bicarbonaten sowie durch Einwirkung von $(\text{NH}_4)_2\text{CO}_3$ auf feuchtes Quecksilberoxyd und stellt ein weißes, schweres Pulver dar, das am Licht rasch grau wird und selbst bei 130° nicht an Gewicht verliert (Millon⁴⁸⁹).

$\text{OHg}_2 : \text{NH}_2\text{CN}$ wird nach Hofmann und Marburg⁴²⁶) durch Digerieren von $\text{HgO} \cdot \text{Hg}_2\text{CN}_2$ mit einer absolut alkoholischen Ammoniaklösung im

Dunkeln dargestellt. Lebhaft hellgelb gefärbte doppelbrechende, lichtempfindliche Kristallnadeln.

Andere Mercuriammoniumverbindungen. Daß die Existenz von wasserfreien Salzen, die auf den Typus NHg_2X zu beziehen sind, noch nicht ganz sicher ist, wurde schon S. 668 gesagt. Ein anscheinend einheitliches Salz der Formel:

NHg_2NO_3 entsprechend, erhielten Hofmann und Marburg, indem eine verdünnte, etwa zwei Prozent freie Säure enthaltende Mercurinitratlösung mit einem leichten Überschuß von Ammoniak versetzt wurde in Form eines schwach gelbstichigen, weißen Pulvers. Aus Millonscher Base und Salpetersäure wurden hingegen nur wasserhaltige Produkte erhalten. Die von Pesci behauptete Existenz anderer wasserfreier Salze wie NHg_2Br und NHg_2Cl konnten Hofmann und Marburg nicht bestätigen.

Vielleicht gehören dem Typus NHg_2X noch folgende Verbindungen an:

$\text{NHg}_2\text{Cl} \cdot 4\text{HCl}$, welches als weißes, kristallinisches Salz aus dem Nitrit: $2\text{NHg}_2 \cdot \text{NO}_2 \cdot \text{H}_2\text{O}$ und HCl entsteht.

$\text{NHg}_2\text{Br} \cdot 4\text{HBr}$, dem vorigen Salze ähnlich (Ray^{482a})).

$2\text{NHg}_2 \cdot \text{NO}_2 \cdot \text{H}_2\text{O}$ aus Mercurinitrit und NH_3 entstehend (Ray^{482a})).

$(\text{NHg}_2)_2\text{SO}_4 \cdot \text{H}_2\text{O}$ (Ammoniaktribith) (Fourcroy⁴⁸³), Kane⁴⁸⁴), Millon⁴⁸²), Schmieder⁴⁸¹)), welches bei der Einwirkung von Ammoniak auf Mercurisulfat unter bestimmten Bedingungen in Form eines schweren, weißen Pulvers oder kristallinischer Krusten entsteht.

Schließlich finde noch das sog. Quecksilberammonium — vielleicht ein Quecksilber-substituiertes Ammonium: $\text{Hg}(\text{NH}_3)_2$ Erwähnung, welches nach Weyl⁴⁸⁵) durch Einwirkung von Natriumammonium auf Quecksilberchlorid unter Druck als blaue, lebhaft metallglänzende, leicht zersetzliche Flüssigkeit entstehen soll.

Literatur.

- 1) Brühl, Berl. Ber. **12**, 204, 1879.
- 2) L. Meyer, Berl. Ber. **12**, 437, 1879.
- 3) Ztschr. f. Instrum. **8**, 135.
- 4) Palmaer, Berl. Ber. **32**, 1391, 1899.
- 5) Crafts, Bull. Soc. chim. Paris **49**, 856.
- 6) Carls Repertorium **9**, 69.
- 7) Ztschr. f. Instrum. **7**, 389.
- 8) Ztschr. f. Instrum. **8**, 135.
- 9) Rep. der Physik **23**, 236.
- 10) Philos. Magaz. **17**, 24.
- 11) Philos. Magaz. **29**, 367.
- 12) Philos. Magaz. **29**, 501.
- 13) Am. Chem. Journ. **7**, 60.
- 14) Ztschr. f. physik. Chem. **33**, 611, 1900.
- 15) Jaeger, Ztschr. f. Instrum. **12**, 354; Wied. Ann. **48**, 209. [143, 1900.
- 16) Johnstone, Chem. News **59**, 221; Jannasch, Ztschr. f. anorg. Chem. **12**,
- 17) Ztschr. f. physik. Chem. **40**, 385, 1902.
- 18) Ztschr. f. analyt. Chem. **39**, 12, 1900.
- 19) Am. Chem. Soc. **28**, 300.

- 20) Lieb. Ann. **110**, 176, 1859.
- 21) Bull. Soc. Chim. Paris [3] **15**, 862.
- 22) Ztschr. f. anorg. Chem. **24**, 402, 1902.
- 23) Ztschr. f. anorg. Chem. **24**, 411, 1900.
- 24) Marek, Trav. et Mém. **2**, 1—82, 1883.
- 25) Trav. et Mém. d. Bur. internat. des Poids et Més. **2**, II, 1, 1883.
- 26) Mém. de l'Acad. **21**, 271.
- 27) Pogg. Ann. **153**, 440.
- 28) Soc. phys. de Petersburg 1876. 75. Journ. de phys. **5**, 259.
- 29) Ausdehnung des Quecksilbers, Dissertation, Halle. 1881.
- 30) Trav. et Mém. d. Bur. internat. **2**, 1883.
- 31) Pogg. Ann. Erg. V. 276.
- 32) Metr. Beitr., herausg. v. d. K. Norm.-Eich.-Kom. **3**, 54, 1881.
- 33) Ztschr. f. Instrum. **10**, 233, 1890.
- 34) Atti Acc. Torino, **23**, 1887; Beibl. **12**, 176, 1888.
- 35) Mém. de l'Acad. **26**, 522.
- 36) Mém. de l'Acad. **26**, 339; Compt. rend. **50**, 1063; Pogg. Ann. **111**, 402.
- 37) Wied. Ann. **17**, 193.
- 38) Journ. Chem. Soc. **49**, 37.
- 39) Wied. Ann. **63**, 36.
- 39a) Ztschr. f. phys. Chem. **49**, 95, 1904. Nach Morley sind die von Hertz bei niederen Temp. 0° und 10° ermittelten Werte des Dampfdrucks zu klein.
- 40) Journ. Chem. Soc. **49**, 37.
- 41) Öfversigt af K. Wetensk.-Akad. Stockholm 1878, **9**, 3.
- 42) Pogg. Ann. **159**, 152.
- 43) Atti d. R. Acad. Torino **3**, 594.
- 44) Wied. Ann. **36**, 897.
- 45) Gazz. chim. ital. 25 I, 380.
- 46) Ann. de chim. [3] **26**, 286.
- 47) Compt. rend. **25**, 334. Ann. de chim. [3] **24**, 257.
- 47a) Berl. Ber. **12**, 1426, 1879.
- 48) Proc. Chem. Soc. **18**, 68.
- 49) Wied. Ann. **35**, 764.
- 50) N. Ciment. [3] **23**, 11.
- 51) N. Ciment. [3] **27**, 204.
- 52) Pogg. Ann. [2], Beibl. **2**, 273.
- 53) Wied. Ann. **23**, 447; **31**, 243.
- 54) Rend. Lincei Roma [4] **1**, I, 258; [5] **1**, I, 383.
- 54a) Zeitschr. f. angew. Chem. 1898, 951 u. Zeitschr. f. Elektrochem. **4**, 514.
- 54b) Zeitschr. f. anorg. Chem. **22**, 347—356, 1900.
- 54c) Berl. Ber. **31**, 2741, 1898.
- 54d) Berl. Ber. **35**, 1929, 1902.
- 55) Lottermoser, Journ. prakt. Chem. (2) **57**, 484, 1898.
- 56) Berl. Ber. **25**, 1281, 1892.
- 57) Liebenow, der elektrische Widerstand der Metalle, Knapp, Halle; s. a. Zeitschr. f. Elektrochem. **4**, 515.
- 58) Werner, Zeitschr. f. anorgan. Chem. **15**, 1, 1897.
- 59) Zeitschr. f. anorg. Chem. **15**, 208; **17**, 276; Gazz. chim. ital. **25**, 423.
- 60) Berl. Ber. **31**, 1904, 2212, 2783, 1898; **32**, 870, 1899; Sand, Berl. Ber. **36**, 3699, 1903; Biilmann, Berl. Ber. **33**, 1641, 1900.
- 3707 61) K. A. Hofmann, Berl. Ber. **31**, 1908, 2212; H. Ley, Berl. Ber. **33**, 1014.
- 62) Berl. Ber. **32**, 758, 1899.
- 63) Berl. Ber. **32**, 1366, 1899; Berl. Ber. **38**, 973, 1905.
- 64) Zeitschr. f. phys. Chem. **42**, 690, 1903.
- 65) Abegg und Bodländer, Zeitschr. f. anorg. Chem. **20**, 459, 1899.
- 66) H. Ley und K. Schaefer, Berl. Ber. **35**, 1311; Zeitschr. f. phys. Chem. **42**, 690.
- 67) Zeitschr. f. phys. Chem. **27**, 285, 1898.
- 68) Zeitschr. f. anorg. Chem. **26**, 376, 1901.
- 69) Werner, Zeitschr. f. anorg. Chem. **15**, 1, 1897.
- 70) Abegg und Bodländer, Zeitschr. f. anorg. Chem. **20**, 485, 1899.

- 71) Cl. Immerwahr, Zeitschr. f. Elektrochem. **7**, 477.
 72) H. Ley und H. Kissel, Berl. Ber. **32**, 1357, 1899.
 72a) Ztschr. f. physik. Chem. **24**, 414, 1897.
 73) Journ. f. prakt. Chem. (2) **11**, 261; ferner Thomsen, Thermochemische Untersuchungen. — Anmerkung: Wärmemengen sind entweder in g-Calorien oder in sog. Ostwaldschen Calorien ausgedrückt. Erstere sind durchwegs mit cal, letztere mit K bezeichnet; s. hierüber Nernst, Theor. Chem. 4. Aufl. S. 11; Ostwald, Lehrb. II S. 73.
 74) Zeitschr. f. physik. Chem. **2**, 20, 1888.
 75) Ann. chim. phys. (5) **3**, 117.
 76) Ann. chim. phys. (5) **4**, 503; (5) **29**, 202.
 77) Compt. rend. **120**, 997, 1054.
 78) Compt. rend. **120**, 1114.
 79) Compt. rend. **121**, 398, 348, 499.
 80) Ann. chim. phys. (5) **18**, 433.
 81) Zeitschr. f. physik. Chem. **27**, 307, 1897.
 82) Zeitschr. f. physik. Chem. **14**, 228, 1894.
 83) Zeitschr. f. physik. Chem. **35**, 291, 1900.
 84) Berl. Ber. **30**, 1557, 1897.
 85) Zeitschr. f. anorg. Chem. **26**, 361, 1901.
 86) Zeitschr. f. physik. Chem. **34**, 488, 1900; **36**, 385, 1901.
 87) Zeitschr. f. physik. Chem. **11**, 466, 1893.
 88) Zeitschr. f. physik. Chem. **13**, 577, 1894.
 89) Zeitschr. f. Elektrochem. **7**, 477.
 90) Zeitschr. f. physik. Chem. **27**, 295, 1898.
 91) Helmholtz, Sitzungsber. Berl. Acad. 1882, S. 22.
 92) Zeitschr. f. physik. Chem. **17**, 62, 1895.
 93) Zeitschr. f. physik. Chem. **24**, 39, 1897.
 94) Zeitschr. f. physik. Chem. **47**, 146, 1904.
 94a) Wied. Ann. **51**, 203; **65**, 926.
 94b) Proc. Roy. Soc. **62**, 132.
 95) Wied. Ann. **65**, 926.
 96) Wied. Ann. (4) **4**, 123; Zeitschr. f. physik. Chem. **37**, 641, 1901.
 97) Zeitschr. f. phys. Chem. **1**, 403, 1887.
 98) Zeitschr. f. physik. Chem. **27**, 207, 1898.
 99) H. Ley und H. Kissel, Berl. Ber. **32**, 1361, 1899.
 100) Journ. f. prakt. Chem. **1**, 303; **3**, 283.
 101) Recherches I, 246.
 102) Kastners Archiv **16**, 102.
 103) Lieb. Ann. **159**, 188, 1871.
 104) Jahresber. 1847, 393.
 105) Journ. f. prakt. Chem. **79**, 441.
 106) Berl. Ber. **14**, 1438, 1881.
 107) Ann. chim. phys. [5] **18**, 433.
 108) Zeitschr. f. physik. Chem. **7**, 447, 1891.
 108a) Zeitschr. f. Elektrochem. **5**, 259.
 109) Zeitschr. f. physik. Chem. **28**, 1, 1899.
 110) Zeitschr. f. physik. Chem. **41**, 399, 1902.
 111) Journ. Chem. Soc. **1889**, 521.
 111a) Nimmt man an, daß z. B. NaHg_6 (s. Kerp) gelöst ist, so würden als Lösungsmittel nicht 100, sondern $(100 - 6 \times 5,31)$ Mol Hg fungieren, d. h. nur 68 Mol; dann wäre die unter ersterer Annahme von Ramsay berechnete Molekulargröße 15,1 mit $\frac{100}{68}$ zu multiplizieren und ergäbe 22,2, d. h. den normalen Wert (Abegg).
 112) Zeitschr. f. physik. Chem. **3**, 441, 1889.
 113) Zeitschr. f. anorg. Chem. **17**, 284, 1895.
 114) Zeitschr. f. anorg. Chem. **25**, 1, 1901.
 115) Zeitschr. f. physik. Chem. **27**, 301, 1898.
 116) Zeitschr. f. physik. Chem. **17**, 3; **19**, 1; Wied. Ann. **27**, 624.
 117) Zeitschr. f. physik. Chem. **7**, 241, 1890.

- 118) Zeitschr. f. physik. Chem. **29**, 119, 1899.
- 119) Zeitschr. f. anorg. Chem. **23**, 439, 1900.
- 120) Zeitschr. f. anorg. Chem. **40**, 385, 1904.
- 120a) Zeitschr. f. anorg. Chem. **38**, 201, 1901.
- 121) Journ. Chem. Soc. **53**, 104; **55**, 677; **65**, 1031; Zeitschr. f. physik. Chem. **27**, 123.
- 122) Gehlens Ann. **5**, 482.
- 123) Gilb. Ann. **6**, 260.
- 124) Recherches **1**, 52.
- 124a) Lieb. Ann. Suppl. **6**, 346, 1868.
- 125) Ztschr. f. anorg. Chem. **25**, 430, 1901.
- 126) Ztschr. f. physik. Chem. **5**, 467, 1890.
- 127) Ztschr. f. anorg. Chem. **17**, 300, 1898. — Ztschr. f. Elektroch. **3**, 308.
- 127a) Ztschr. f. anorg. Chem. **38**, 213, 1898.
- 128) Bull. soc. chim. 1896, 834.
- 129) Recherches **1**, 246.
- 130) Ztschr. f. Chem. 1864, 720.
- 131) Journ. f. prakt. Chem. **3**, 283.
- 132) Kastners Arch. **16**, 102.
- 133) Berl. Ber. **9**, 1050, 1876.
- 134) Gattermann, Praxis d. organ. Chemikers.
- 135) Ztschr. f. anorg. Chem. **23**, 454, 1900.
- 136) Compt. rend. **131**, 82.
- 136a) Ztschr. f. Elektrochem. 1902, 245.
- 136b) Ztschr. f. anorg. Chem. **34**, 286, 1903.
- 137) Journ. f. prakt. Chem. **1**, 303.
- 138) Jahresber. 1847, 393.
- 138a) Ztschr. f. Elektrochem. 1902, 801.
- 139) Ztschr. f. anorg. Chem. **25**, 30, 1900.
- 139a) Ztschr. f. anorg. Chem. **38**, 198, 1904.
- 140) Lieb. Ann. **10**, 91.
- 141) Journ. chem. Soc. **19**, 144.
- 141a) Trans. Chem. Soc. **55**, 521, 1889.
- 142) Gmelin-Kraut, Handb. III.
- 143) Ann. Chem. **10**, 89.
- 144) Compt. rend. **127**, 618.
- 145) Ztschr. f. anorg. Chem. **25**, 425, 1900.
- 146) Journ. f. prakt. Chem. **107**, 253.
- 147) Bull. soc. chim. 1897, 390.
- 148) Philos. Trans. 1808, 303.
- 149) Pogg. Ann. **92**, 619.
- 150) Chem. News **6**, 194.
- 151) Bull. soc. chim. 1896, 834.
- 152) Dinglers Journ. **109**, 444. — Jahresber. 1847/48, 1037.
- 153) Philos. Mag. **15**, 83.
- 154) Jahresber. 1863, 281.
- 155) Dissertation. Leipzig 1891. Wied. Ann. **43**, 101.
- 156) Compt. rend. **58**, 237.
- 157) Compt. rend. **14**, 567.
- 158) Beiträge zur chem. Kenntnis d. Mineralkörper I, 182.
- 159) Journ. des mines **12**, 1.
- 160) Compt. rend. **69**, 759.
- 160a) Chem. News **71**, 98.
- 160b) Compt. rend. **132**, 241, 290.
- 161) Philos. Mag. [4] **9**, 458.
- 162) Ztschr. geol. Ges. **6**, 243.
- 163) Jahresber. 1847/48, 393.
- 164) Compt. rend. **51**, 779.
- 165) Ann. Min. [3] **15**, 41. — Journ. prakt. Chem. **17**, 345.
- 166) Kastners Arch. **1**, 193.
- 167) Compt. rend. **42**, 430.

- 168) Chem. News **6**, 135. — Jahresber. 1862, 169.
- 169) Ztschr. f. phys. Chem. **41**, 649, 1902. In Fig. 6, S. 595 beziehen sich die Werte der EMK auf die Ketten: $\text{Hg}|\text{Hg}_2\text{SO}_4$, CdSO_4 -Lösung| Cd -Amalgam variabler Konz.
- 170) Ztschr. f. Chem. 1870, 380, 440.
- 171) Journ. f. prakt. Chem. **54**, 18.
- 172) Berl. Ber. **28**, 1324, 1895.
- 173) Wien. Monatsh. **16**, 211.
- 174) Compt. rend. **49**, 54.
- 175) Sitzungsber. d. Physik. Ges. Berlin Dezbr. 1893.
- 175a) Lieb. Ann. **331**, 56, 1904.
- 175b) Berl. Ber. **24**, 873, 1891.
- 176) Journ. f. prakt. Chem. **102**, 84.
- 177) Compt. rend. **64**, 111.
- 178) Ann. chim. **40**, 293.
- 179) Pogg. Ann. **110**, 21.
- 180) Pogg. Ann. **112**, 445.
- 181) Ztschr. f. anorg. Chem. **36**, 207, 1903.
- 182) Archives néerland. sc. exact et nat. [2] **8**, 260 und besonders van Heteren, Ztschr. f. anorg. Chem. **42**, 129, 1904.
- 183) Amer. Chem. Journ. 1901, 216.
- 184) Berl. Ber. **4**, 449, 1871.
- 185) Pogg. Ann. **110**, 21.
- 186) Pogg. Ann. [2] **31**, 243.
- 187) Phil. Mag. [4] **18**, 354.
- 188) Pogg. Ann. [2] Beibl. **9**, 267.
- 189) Jahresber. 1860, 114.
- 190) Jahresber. 1847/48, 393.
- 191) Pogg. Ann. **112**, 445.
- 192) Journ. prakt. Chem. **10**, 439.
- 193) Berzelius, Jahresber. **5**, 147.
- 194) Jahresber. 1866, 260.
- 195) Jahresber. 1853, 260.
- 196) Ztschr. f. anorg. Chem. **35**, 249, 1903.
- 197) Pogg. Ann. **110**, 142.
- 198) Pogg. Ann. **29**, 193.
- 199) Compt. rend. **45**, 821.
- 200) Gazz. chim. ital. **11**, 341.
- 201) Berl. Ber. **27**, 1482, 3143, 1894.
- 202) Journ. prakt. Chem. **50**, 222.
- 202a) Trans. Chem. Soc. Lond. **77**, 646, 1900. [7, 189.
- 202b) Dissert. Erlangen 1903; vergl. auch Matthies, Verhandl. d. Phys. Ges. 1905,
- 202c) Ztschr. f. anorg. Chem. **12**, 260, 1903.
- 203) Compt. rend. **120**, 997.
- 204) Ztschr. f. physik. Chem. **11**, 466, 1893; **15**, 846, 1894.
- 205) Ztschr. f. physik. Chem. **27**, 285, 1898.
- 206) Ztschr. f. Elektrochem. 1904, 301.
- 207) Ztschr. f. physik. Chem. **44**, 216, 1903.
- 208) Pogg. Ann. **9**, 387; **16**, 41.
- 209) Ztschr. f. physik. Chem. **27**, 61, 1898.
- 210) Ztschr. f. physik. Chem. **13**, 652, 1894.
- 210a) Lottermoser, Journ. prakt. Chem. [2] **57**, 484.
- 210b) Pharm. Praxis **1904**, Nr. 1; Pharm. Ztg. **1904**, 230.
- 211) Gilberts Ann. **73**, 165.
- 212) Berzelius, Jahresb. **13**, 140.
- 213) Lieb. Ann. **3**, 207.
- 214) Lieb. Ann. **56**, 247.
- 215) Jahresber. 1856, 485.
- 215a) Schäfer u. Abegg, Ztschr. anorg. Chem. **45**, 299, 1905.
- 216) Amer. Chem. Journ. **8**, 826.
- 217) Berl. Ber. **21**, 2010, 1888.

- 218) Journ. prakt. Chem. [2] **38**, 441.
- 219) Ztschr. f. anorg. Chem. **26**, 379, 1901.
- 220) Gazz. chim. ital. 24, I, 193.
- 220a) Ztschr. physik. Chem. **17**, 651, 1895.
- 221) Trans. Roy. Soc. Canada [2] **7**, 35, 1901. — Journ. phys. Chem. **7**, 259, 1903.
- 222) Ztschr. f. Elektrochem. 1903, 892.
- 223) Ztschr. f. anorg. Chem. **40**, 146, 1904.
- 224) Compt. rend. **130**, 1399.
- 225) Journ. f. prakt. Chem. **30**, 321.
- 226) Lieb. Ann. **181**, 356, 1862.
- 227) Ztschr. f. Elektrochem. 1904, 302.
- 228) Pogg. Ann. **55**, 79.
- 229) Pogg. Ann. **44**, 570.
- 230) Journ. Pharm. 1845, 2.
- 231) Journ. f. prakt. Chem. **100**, 86.
- 232) Pogg. Ann. **134**, 524.
- 233) Pogg. Ann. **67**, 405.
- 234) Ztschr. f. anorg. Chem. **28**, 361, 1901.
- 235) Ztschr. f. physik. Chem. **48**, 494, 1904.
- 235a) Proc. Cambr. Phil. Soc. **12**, 260, 1903.
- 236) Cox, Ztschr. f. anorg. Chem. **40**, 181. — cf. Gouy, Compt. rend. **130**, 1399.
- 237) Pogg. Ann. **59**, 472.
- 238) Pogg. Ann. **89**, 146.
- 239) Ann. chim. phys. **54**, 25.
- 240) Chem. News **72**, 74.
- 241) Ann. chim. phys. [3] **27**, 328.
- 242) Journ. Chem. Soc. **47**, 630.
- 243) Lieb. Ann. **316**, 251, 1901; Ztschr. f. anorg. Chem. **12**, 365, 1896.
- 244) Ann. chim. phys. [3] **27**, 321.
- 245) Gazz. chim. ital. [2] **23**, 432.
- 246) Ann. chim. phys. [3] **27**, 328.
- 247) Journ. Pharm. [3] **8**, 5.
- 248) Compt. chim. 1849, 225; Ann. Pharm. **72**, 74.
- 249) Ann. chim. phys. **72**, 252.
- 249a) Dissertation, Halle 1890.
- 250) Ann. pharm. **65**, 133.
- 251) Ztschr. f. anorg. Chem. **5**, 15, 1894.
- 252) Journ. f. prakt. Chem. [2] **51**, 1.
- 253) Berl. Ber. **27**, 1019, 1894.
- 254) Pogg. Ann. **41**, 424.
- 255) Pogg. Ann. **19**, 59.
- 256) Journ. Pharm. 1845, 5.
- 257) Chem. Soc. Ind. **12**, 983.
- 258) Journ. Pharm. **25**, 549.
- 259) Pogg. Ann. **109**, 377.
- 260) Lieb. Ann. **87**, 127, 53.
- 261) Pogg. Ann. **110**, 628.
- 262) Ztschr. f. anorg. Chem. **27**, 33, 1901.
- 262a) Ztschr. phys. Chem. **48**, 8, 1903.
- 263) Ztschr. f. phys. Chem. **8**, 383, 1891.
- 263a) Ann. chim. phys. [3] **8**, 463.
- 264) Am. Chem. Journ. **16**, 214.
- 265) Berl. Ber. **37**, 3600, 1904.
- 265a) Ztschr. f. phys. Chem. **44**, 63, 1903.
- 266) Journ. of phys. Chem. **1**, 298.
- 267) s. Dammer, Hdb. II² S. 853.
- 267a) Ztschr. f. phys. Chem. **11**, 768, 1893.
- 268) Compt. rend. **87**, 167.
- 269) Castoro, Gazz. chim. ital. 28, II, 317.
- 270) Salvadori, Gazz. chim. ital. 26, I, 237.

- 271) Ztschr. f. phys. Chem. **30**, 247, 1899.
- 271a) Journ. of phys. Chem. 1901, 349.
- 272) Ztschr. f. Elektrochem. **2**, 55.
- 273) Ztschr. f. phys. Chem. **36**, 195, 1901.
- 274) Ztschr. f. phys. Chem. **33**, 417, 1900.
- 275) Ztschr. f. phys. Chem. **41**, 709, 1902.
- 276) Ztschr. f. phys. Chem. **38**, 705, 1901.
- 277) s. a. Hellwig, Ztschr. f. anorg. Chem. **25**, 157, 1900.
- 278) Wied. Ann. **41**, 317.
- 279) Ann. chim. phys. [5] **3**, 145.
- 280) Ztschr. f. phys. Chem. **47**, 107, 1904.
- 281) Dissertation, Würzburg 1904, S. 21.
- 282) Wien. Akad. Ber. [2] **80**, Okt. 1879.
- 283) Ztschr. f. phys. Chem. **13**, 329, 1894.
- 284) Berl. Ber. **37**, 3600, 4328, 4609, 1904.
- 284a) Ztschr. f. anorg. Chem. **7**, 167, 1894.
- 285) Ztschr. phys. Chem. **21**, 424, 1896.
- 286) Compt. rend. **17**, 773.
- 287) Arch. Pharm. **227**, 589.
- 287a) Am. Chem. Journ. **20**, 319, 1903.
- 288) Ann. chim. phys. [3] **18**, 372.
- 289) Lieb. Ann. **225**, 252, 1884.
- 290) Ann. chim. phys. [6] **3**, 117.
- 291) Compt. rend. **120**, 620.
- 291a) Dissertation Erlangen 1901.
- 292) Ann. chim. phys. [6] **3**, 117.
- 293) Compt. rend. **120**, 1234.
- 294) Ann. chem. Journ. **27**, 209.
- 295) Ztschr. f. phys. Chem. **32**, 507, 1900.
- 296) Ztschr. f. phys. Chem. **17**, 130, 1895.
- 296a) Ztschr. f. anorg. Chem. **25**, 399, 1900.
- 297) Ztschr. f. anorg. Chem. **3**, 252, 1892.
- 298) Compt. rend. **120**, 921.
- 299) Ann. chim. phys. [5] **4**, 502.
- 299a) Compt. rend. **140**, 1162.
- 300) Compt. rend. **136**, 1322.
- 301) Grundlinien d. anorg. Chem. S. 674.
- 302) Compt. rend. **136**, 889.
- 303) Pogg. Ann. **48**, 182; **131**, 524.
- 304) Ann. chim. phys. **60**, 228.
- 305) Phil. Trans. 1839, 113.
- 306) Lieb. Ann. **59**, 10, 1846.
- 307) Journ. Pharm. Chim. [6] **18**, 553, 1903.
- 308) Ann. chim. phys. [5] **26**, 482.
- 308a) Ztschr. physik. Chem. **13**, 327, 1894.
- 308b) A begg, Ztschr. f. Elektrochem. **9**, 569, 1903.
- 309) Ztschr. f. phys. Chem. **34**, 69, 1900.
- 310) Ztschr. f. phys. Chem. **34**, 495, 1900.
- 311) Recueil d. trav. chim. Pays-Bas **20**, 394.
- 312) Am. Chem. Journ. **20**, 319.
- 313) Compt. rend. **128**, 825.
- 313a) Ztschr. f. phys. Chem. **42**, 155, 1902.
- 313b) Ztschr. f. anorg. Chem. **43**, 356, 1905.
- 313c) Ztschr. f. Elektr. 1904, 81.
- 314) Ztschr. f. anorg. Chem. **36**, 1, 1903.
- 315) Journ. amer. chem. Soc. **25**, 641.
- 315a) Paal, Ber. **35**, 2219, 1902.
- 316) Ztschr. f. anorg. Chem. **17**, 117, 1898.
- 316a) Ztschr. f. anorg. Chem. **39**, 108, 1904.
- 317) Grundlinien d. anorg. Chem. S. 676.

- 317a) Bull. soc. chim. **25**, 777.
- 317b) Bull. soc. chim. **49**, 452.
- 317c) Ann. Pharm. **116**, 122; Jahresber. 1860, 92.
- 317d) Gmelin-Kraut, Hdb. III, 766.
- 317e) Gmelin-Kraut, Hdb. III, 878.
- 318) Ann. chim. phys. [7] **14**, 5.
- 319) Pogg. Ann. **40**, 75.
- 320) Berl. Ber. **21**, 647, 1888.
- 321) Journ. f. pr. Chem. **30**, 321.
- 322) Wien. Acad. Ber. [2] **66**, 38.
- 322a) Dissertation Würzburg 1904, S. 26.
- 322b) Chikashigé, Trans. Chem. Soc. Lond. **87**, 822, 1905.
- 323) Pogg. Ann. **55**, 79.
- 324) Journ. f. pr. Chem. **100**, 86.
- 325) Ann. chim. phys. [3] **36**, 80.
- 325a) Arch. d. Pharm. [2] **76**, 16, 1853.
- 325b) Ztschr. f. phys. Chem. **17**, 651, 1895.
- 326) Compt. rend. **132**, 1560.
- 326a) Journ. chem. Soc. **71**, 348, 1097, 1105.
- 326b) Proc. chem. Soc. 1898, 99, 223. — Journ. chem. Soc. **75**, 95.
- 327) Dissertation Würzburg 1899. — Berl. Ber. **32**, 1363, 1899.
- 327a) Proc. Chem. Soc. **20**, 57.
- 328) Journ. chem. Soc. **71**, 337.
- 328a) Proc. Chem. Soc. **20**, 57.
- 329) Ann. chim. phys. [3] **18**, 361.
- 330) Cours. élément. Paris 1851.
- 331) Ann. chim. phys. **72**, 252.
- 332) Pogg. Ann. **9**, 397.
- 333) Jahresber. 1854, 366.
- 334) Ztschr. f. anorg. Chem. **5**, 15, 1894.
- 334a) Berl. Ber. **27**, 1019, 1894.
- 335) Journ. f. pr. Chem. [2] **51**, 1.
- 336) Ann. chim. phys. [3] **19**, 368.
- 337) Journ. f. pr. Chem. **66**, 423.
- 338) Ztschr. f. phys. Chem. **6**, 389, 1890.
- 339) Ztschr. f. Elektrochem. **8**, 688.
- 340) Ztschr. f. Elektrochem. **9**, 549, 1903; Ztschr. f. phys. Chem. **43**, 705, 1903; **47**, [103, 1904.
- 340a) Festschrift z. 70. Geburtstage Dedekinds. Braunschweig 1901.
- 341) Journ. Am. Chem. Soc. **27**, 30.
- 342) Ztschr. f. phys. Chem. **47**, 107, 1904.
- 343) Ann. chim. phys. [5] **22**, 551.
- 344) Ann. chim. phys. [5] **29**, 231.
- 345) Ann. chim. phys. [5] **29**, 202.
- 346) Ann. chim. **72**, 215.
- 347) Pogg. Ann. **17**, 22.
- 348) Ztschr. f. anorg. Chem. **14**, 323, 1897.
- 349) Ann. chim. [3] **27**, 240.
- 350) Berl. Ber. **22**, 2047, 1889.
- 351) Bull. soc. chim. 1880.
- 352) Compt. rend. **123**, 421.
- 353) Ann. chim. **34**, 340.
- 354) Pogg. Ann. **17**, 266.
- 355) Compt. rend. **129**, 959.
- 356) Journ. d. Pharm. **14**, 613.
- 357) Berl. Ber. **3**, 123, 1870.
- 358) Atti d. Istituto Venete [5] **6**, 1051, 1880. — Nuovo Cimento [3] **8**, 215, 1880.
- 359) Lehrb. d. allgem. Chem. II², 407.
- 360) Ztschr. f. physik. Chem. **18**, 181, 1896.
- 361) Journ. Pharm. **26**, 474.
- 362) Journ. prakt. Pharm. **11**, 396.

- 363) Lieb. Ann. **29**, 326.
- 364) Berl. Ber. **18**, 3461, 1885.
- 365) Ztschr. f. Elektrochem. **9**, 114, 1903; Ztschr. f. physik. Chem. **47**, 185, 1904.
- 366) Sill. [3] **16**, 401.
- 367) Pogg. Ann. **42**, 131.
- 368) Ztschr. f. anorg. Chem. **23**, 375, 1900.
- 369) Berl. Ber. **37**, 4141, 1904.
- 369a) Pharm. Centralblatt 1836, 350.
- 370) Chem. News **65**, 164.
- 371) Phil. Mag. **11**, 342.
- 372) Compt. rend. **23**, 762.
- 373) Sill. [2] **33**, 121.
- 374) Compt. rend. **111**, 679.
- 375) Journ. d. Pharm. **17**, 351.
- 376) Compt. rend. **111**, 526.
- 377) N. Br. Arch. **56**, 1.
- 378) Phil. Mag. Ann. **9**, 401.
- 379) Bull. soc. chim. [2] **23**, 71.
- 380) Berl. Ber. **37**, 1258, 1904.
- 380a) Lieb. Ann. **22**, 153.
- 381) J.-Ber. 1859, 271.
- 382) Pogg. Ann. **1**, 231.
- 383) Repert. **31**, 459.
- 384) Compt. rend. **121**, 345, 398, 490; und besonders: Ann. chim. phys. [7] **8**, 278.
- 384a) Dissertation, Breslau 1904. — Anmerkung: Zu S. 656 ist berichtend nachzutragen, daß feste Komplexsalze mit gemischt-anionischem Komplex von H. L. Wells (Ztschr. f. anorg. Chem. **2**, 402) dargestellt und eingehend chemisch untersucht sind; so die Chlorobromide: $\text{Cs}_3\text{HgCl}_3\text{Br}_2$, $\text{Cs}_2\text{HgCl}_2\text{Br}_2$, CsHgClBr_2 , $\text{CsHg}_2\text{ClBr}_4$, $\text{CsHg}_3\text{ClBr}_{10}$, die Bromojodide: $\text{Cs}_3\text{HgBr}_3\text{J}_2$, $\text{Cs}_2\text{HgBr}_2\text{J}_2$, CsHgBrJ_2 und das Chlorojodid: $\text{Cs}_2\text{HgCl}_2\text{J}_2$.
- 385) Journ. chem. Soc. **55**, 50.
- 386) Ztschr. f. anorg. Chem. **27**, 280, 1901. — Berl. Ber. **33**, 1111, 1903.
- 386a) Journ. prakt. Chem. **20**, 332.
- 387) Journ. prakt. Chem. **15**, 401.
- 387a) Pogg. Ann. **131**, 86.
- 388) Journ. prakt. Chem. **30**, 61.
- 389) Lieb. Ann. **179**, 225, 1875.
- 390) Journ. prakt. Chem. **91**, 227.
- 391) Chem. News **30**, 25.
- 392) Journ. prakt. Chem. **97**, 465.
- 393) Ztschr. f. anorg. Chem. **43**, 356, 1905.
- 394) Pogg. Ann. **15**, 596.
- 395) Pogg. Ann. **97**, 76.
- 396) Compt. rend. **98**, 1271, 1380.
- 397) Pogg. Ann. **127**, 488.
- 398) Pogg. Ann. **48**, 176.
- 399) Journ. prakt. Chem. **98**, 23.
- 399a) Ztschr. f. Elektrochem. **8**, 689, 1902.
- 400) Pogg. Ann. **13**, 59.
- 401) Pogg. Ann. **115**, 167.
- 401a) Russ. Pharm. Ztschr. **1**, 120, 149.
- 402) Compt. rend. **115**, 657.
- 403) Chem. News **61**, 200.
- 404) Lieb. Ann. **46**, 256. — Pogg. Ann. **7**, 144, 29.
- 405) Compt. rend. **55**, 323.
- 406) Pogg. Ann. **52**, 229.
- 407) Jahresber. 1864, 282.
- 408) Pogg. Ann. **68**, 410.
- 409) Lieb. Ann. **60**, 190, 1846.
- 410) Lieb. Ann. **199**, 116, 1879.

- 411) Ztschr. f. physik. Chem. **9**, 193, 1892.
- 412) Bull. soc. chim. [2] **25**, 452. — Berl. Ber. 1876, 252.
- 413) Chem. News **66**, 290.
- 414) Ann. chim. phys. [3] **36**, 80.
- 415) Ztschr. f. physik. Chem. **13**, 271, 1894.
- 416) Ztschr. Pharm. 1850, **6**, 17.
- 417) Ann. chim. **14**, 34.
- 418) Journ. Am. chem. Soc. **23**, 894.
- 419) Journ. prakt. Chem. **86**, 295.
- 420) Ztschr. f. anorg. Chem. **28**, 171, 1901.
- 421) Ztschr. f. Kristallog. **17**, 177.
- 422) Lieb. Ann. **72**, 74, 1849.
- 423) Pogg. Ann. **66**, 63.
- 424) Wied. Ann. **29**, 326.
- 425) Compt. rend. **132**, 1273, 1560.
- 426) Lieb. Ann. **305**, 196, 1899.
- 427) Ztschr. f. anorg. Chem. **21**, 361, 1899; **23**, 131, 1900.
- 428) Pogg. Ann. **20**, 158.
- 429) Compt. rend. **66**, 1259.
- 430) Pogg. Ann. **9**, 309.
- 431) Repert. **14**, 168.
- 432) Pogg. Ann. **109**, 377.
- 433) Pogg. Ann. **110**, 147.
- 434) Journ. prakt. Chem. [2] **39**, 201.
- 435) Journ. prakt. Chem. [1] **38**, 558.
- 436) Gazz. chim. ital. **19**, 509, 526; **20**, 485. — Ztschr. f. anorg. Chem. **21**, 361.
- 437) Ztschr. f. anorg. Chem. **3**, 267, 1893.
- 438) Ztschr. f. anorg. Chem. **20**, 483, 1899.
- 439) Ztschr. f. anorg. Chem. **33**, 193, 1903.
- 440) Pogg. Ann. **121**, 601.
- 441) Journ. prakt. Chem. **19**, 453.
- 442) Pogg. Ann. **131**, 547.
- 443) Journ. prakt. Chem. **38**, 588.
- 444) Compt. rend. **112**, 905.
- 445) Gazz. chim. ital. **20**, 485.
- 446) Berl. Ber. **12**, 2323, 1879.
- 447) Jahresber. 1884, 629.
- 448) Gazz. chim. ital. **25**, [2] 429.
- 449) Berl. Ber. **21**, 586, 888.
- 450) Pogg. Ann. **20**, 60.
- 451) Compt. rend. **115**, 657.
- 452) Compt. rend. **129**, 296.
- 453) Journ. prakt. Chem. [2] **2**, 347.
- 454) Pogg. Ann. **48**, 170.
- 455) Journ. d. Pharm. **9**, 381.
- 456) Americ. chem. Journ. **14**, 610.
- 457) Arch. Pharm. **228**, 73, 78.
- 458) Compt. rend. **109**, 903; **112**, 1312.
- 459) Bull. soc. chim. **3**, 843.
- 460) Gazz. chim. ital. **20**, 428.
- 461) Bull. soc. chim. [2] **25**, 452.
- 462) Phil. Mag. **8**, 495; **11**, 458.
- 463) Ann. chim. [3] **18**, 342.
- 464) Ztschr. f. anorg. Chem. **33**, 197, 1903.
- 465) Berl. Ber. **12**, 2323, 2208, 1879.
- 466) Journ. prakt. Chem. **19**, 455.
- 467) Mag. Pharm. **33**, 7.
- 468) Lieb. Ann. **40**, 120.
- 469) Pogg. Ann. **42**, 383.
- 470) Jahresber. 1852, 419.

- 471) Berichte d. Berliner Acad. 1888, 173.
 - 472) Lieb. Ann. **195**, 373, 1879.
 - 473) Journ. prakt. Chem. 1852, 419.
 - 474) Pogg. Ann. **42**, 367.
 - 475) Compt. rend. **108**, 233.
 - 476) Pogg. Ann. **42**, 385.
 - 477) Journ. d. Pharm. **12**, 465, 509, 561.
 - 478) Ann. chim. **72**, 216.
 - 479) Pogg. Ann. **9**, 387; **16**, 41.
 - 480) Ann. chim. phys. [3] **18**, 410.
 - 481) Journ. prakt. Chem. **75**, 147.
 - 482) Ann. chim. phys. [3] **18**, 397.
 - 482a) Proc. chem. Soc. **17**, 96.
 - 483) Journ. Min. **10**, 388.
 - 484) Ann. chim. **72**, 215.
 - 485) Pogg. Ann. **123**, 353.
-

Atomgewicht des Quecksilbers.¹⁾ $\text{Hg} = 200,3$.

a) Wahl des Atomgewichts.

Das Quecksilber besitzt zwei H-Äquivalente 200 und 100. In den Mercur- oder Quecksilberoxydulverbindungen ist das H-Äquivalent $= 200$ und man betrachtet sie als einwertig, während in den zweiwertigen Mercuri- oder Quecksilberoxydverbindungen das H-Äquivalent 100 beträgt.

Berzelius nahm erst im Jahre 1826 die Existenz der Sesquioxyde R_2O_3 an und gab, bis zu diesem Jahre den beiden Oxyden des Quecksilbers die Formeln HgO und HgO_2 , und demgemäß nahm er, bei $\text{O} = 16$, für das Atomgewicht des Quecksilbers eine Zahl von der Größenordnung $\text{Hg} = 400$ an, die er 1826 durch $\text{Hg} = 200$ ersetzte.

Das Äquivalent im Gmelinschen Sinne wurde, selbstverständlich nur durch die eine Zahl $\text{Hg} = 100$ ausgedrückt und die beiden Chloride Hg_2Cl und HgCl , die Oxyde Hg_2O und HgO geschrieben.

Unser Atomgewicht $\text{Hg} = 200$ stützt sich:

1. Auf das Gesetz von Avogadro. Die Dichte des Quecksilberdampfes ist eine Zahl von der Größenordnung 200, es ist demnach die Molekel monoatomig, was auch von Kundt und Warburg auf anderem physikalischen Wege bestätigt wurde. Es ist für den gegenwärtigen Zweck hinreichend zu bemerken, daß die Dichtebestimmungen des Dampfes anderer Quecksilberverbindungen zeigen, daß die kleinste in der Molekel derselben enthaltene Quecksilbermenge dem Atomgewicht $\text{Hg} = 200$ entspricht.

Auch in Lösungen verhalten sich die Quecksilberverbindungen als solche eines ein- und zweiwertigen Elements.

2. Auf die Regel von Dulong und Petit, denn die Atomwärme des festen Quecksilbermetalls beträgt 6,38.

3. Auf die Lehre vom Isomorphismus. (Hg^{II} ist isomorph mit Pb^{II} und Cu^{II} .)

4. Auf das periodische Gesetz, denn die Eigenschaften des Quecksilbers und seiner Verbindungen sind Funktionen des Atomgewichtes 200 eines in der II. Gruppe, 11., oder wenn man die von Brauner vorgeschlagene abgeänderte Form des periodischen Systems annimmt, der 9. Reihe (II—9) stehenden Elementes.

b) Bestimmung des Atomgewichts.

Für dieses gewöhnlichere Element liegen nur verhältnismäßig wenige Atomgewichtsbestimmungen vor.

1. Seifström²⁾ bestimmte 1813 unter Berzelius' Leitung das Atomgewicht und fand, daß 100 Teile Quecksilber, um Oxyd zu werden, 7,89 bis

7,97 Sauerstoff aufnehmen, woraus $Hg = 202,79 - 200,75$. Berzelius nimmt in seinen Tabellen aus den Jahren 1814 und 1818 eine $Hg = 202,53$ entsprechende Zahl an.

2. Turner³⁾ 1833, bestimmte das Atomgewicht nach vier verschiedenen Methoden. Er gibt die Gewichte in grains an.

a) Turner bestimmte die im Oxyd enthaltene Quecksilbermenge, und zwar in zwei Versuchen im Oxyd aus dem Nitrat, in zwei Versuchen im käuflichen roten Präzipitat. 100 Teile enthielten in diesen 4 Versuchen 92,592—92,625, im Mittel 92,614 Hg, woraus $Hg = 200,63$.

b) Sublimat wurde in Wasser gelöst, daraus durch Silbernitrat das Chlor-silber gefällt und geschmolzen. $Hg = 202,92$.

Ferner wurde, da im ersten Versuch Sublimat mit niederfiel, das Sublimat mit Kalk zersetzt und aus der mit Salpetersäure neutralisierten Lösung Chlor-silber gefällt. Als Mittel von 3 Versuchen ergab sich $Hg = 201,15$.

c) Kalomel ergab, nach der letzteren Methode behandelt, $Hg = 200,59$.

d) Quecksilberchlorid wurde mit Zinnchlorür reduziert. 100 Teile lieferten 73,784—73,798, im Mittel 73,791 Hg, woraus $Hg = 199,61$.

3. Erdmann und Marchand⁴⁾ führten 1844 zwei Reihen von Versuchen aus.

a) Das Oxyd wurde mit großer Sorgfalt erhitzt und das Metall gewogen, wobei die letzten Spuren von Quecksilberdämpfen durch Blattgold zurückgehalten wurden. Es wurden 5 Versuche ausgeführt, wobei 51,0320—118,4066 g HgO (reduziert auf das Vakuum) eingewogen und 47,2538—109,6408 g Hg erhalten wurden, oder aus 100 Teilen HgO, 92,594—92,606, im Mittel 92,5996 Teile Hg. Daraus folgt $Hg = 200,098$.

b) Das Sulfid (dreimal resublimierter Zinnober) wurde mit Kupfer im Kohlensäurestrom erhitzt und das wie oben aufgefangene Quecksilber gewogen. In 4 Versuchen wurde 24,8278—80,7641 g HgS gewogen und 21,40295—69,6372 g Hg erhalten, oder aus 100 Teilen HgS 86,206—86,223 Teile, im Mittel 86,2127 Teile Hg, woraus $Hg = 200,54$.

4. Svanberg⁵⁾ 1845, destillierte Quecksilberchlorid mit Kalk und wog wie Erdmann und Marchand das erhaltene Quecksilber. In 3 Versuchen wurde 12,048—12,6491 g HgCl₂ verwendet und 8,889—9,3363 g Hg erhalten oder aus 100 Teilen HgCl₂ 73,780—73,810, im Mittel 73,795 Teile Hg, woraus $Hg = 199,59$. Svanberg zeigte, daß wahrscheinlich ein Verlust eintritt und das Resultat desto höher ausfällt, je mehr Substanz man verwendet.

5. Millon⁶⁾ 1846, destillierte das durch Kristallisation aus Äther und Umsublimieren gereinigte Quecksilberchlorid mit Kalk und wog das Quecksilber. Er erhielt 73,81—73,87, im Mittel 73,845 Proz. Quecksilber, woraus $Hg = 200,21$.

In den folgenden 50 Jahren wurde keine einzige Neubestimmung dieser Konstante ausgeführt und die Zahl $Hg = 200$ wurde als das Atomgewicht allgemein angenommen.

6. Erst Hardin⁷⁾ führte 1896 eine Neubestimmung des Atomgewichtes des Quecksilbers aus. Er bediente sich, wie beim Kadmium der elektrolytischen Methode und elektrolysierte das Oxyd, Chlorid und Bromid in einer Cyankalium enthaltenden Lösung. Die Gewichte beziehen sich sämtlich auf das Vakuum, mit Ausnahme der auf das Oxyd bezüglichen Data.

a) Ermittlung des Hg im HgO. Es wurde eine große Anzahl von Versuchen ausgeführt, doch nur sechs davon lieferten ein befriedigendes Resultat.

Es wurde 0,14148—0,26223 g HgO angewandt und 0,13100—0,24281 g Hg erhalten, oder 92,593—92,595, im Mittel 92,594 Proz., woraus das Atomgewicht $\text{Hg} = 200,19$. Das Resultat wird von Hardin auf Grund vieler beobachteter Fehlerquellen verworfen.

b) Ermittlung des Hg im HgCl_2 . In 10 Versuchen wurde 0,45932 bis 1,51402 g HgCl_2 verwendet und 0,33912—1,11780 g Hg gefunden, oder 73,820—73,838 Proz., im Mittel 73,829 Proz. Hg, woraus das Atomgewicht $\text{Hg} = 200,039$.

c) Ermittlung des Hg im HgBr_2 . In 10 Versuchen wurde 0,70002 bis 1,40142 g HgBr_2 verwendet und 0,38892—0,77870 g Hg gefunden, oder 55,548—55,565, im Mittel 55,556 Proz. Hg. Daraus ergibt sich das Atomgewicht $\text{Hg} = 199,891$.

d) Ermittlung des im $\text{Hg}(\text{CN})_2$ enthaltenen Quecksilbers. Die Lösung in Wasser wurde nur mit etwas Schwefelsäure angesäuert. In 10 Versuchen wurde 0,55776—2,11170 g HgC_2N_2 verwendet und 0,44252 bis 1,67541 g Hg gefunden oder 79,337—79,342, im Mittel 79,339 Proz. Daraus das Atomgewicht $\text{Hg} = 199,989$.

e) Ermittlung des elektrolytischen Äquivalents im Vergleich mit dem des Silbers. Hardin arbeitete in einer Cyankaliumlösung. Er mußte eine Anzahl Resultate verwerfen. Es wurden durch denselben Strom zwischen 0,06126—0,82808 g betragende Mengen Hg und 0,06610—0,89388 g betragende Mengen Ag abgeschieden. Das Verhältnis $2 \text{ Ag} : \text{Hg} = 100 : x$ schwankt zwischen 92,626—92,678 und beträgt im Mittel 92,660. Daraus ergibt sich das Atomgewicht $\text{Hg} = 200,016$.

Die Resultate der Arbeit von Hardin besitzen augenscheinlich nicht die höchste, bei Atomgewichtsbestimmungen mit modernen Mitteln erreichbare Genauigkeit, doch ist die Ursache davon nur in der angewandten elektrolytischen Methode zu suchen.

Übersicht.

Name	Jahr	Verhältnis	Atomgew. Hg =
Sefström	1813	Hg: HgO	200,9
Turner	1833	HgO: Hg	200,6
		$\text{HgCl}_2 : 2\text{AgCl}$	202,9
		$\text{HgCl}_2 : 2\text{AgCl}$	201,2
		$\text{HgCl} : \text{AgCl}$	200,6
		$\text{HgCl}_2 : 2\text{Hg}$	199,6
Erdmann u. Marchand	1844	HgO: Hg	200,10
		HgS: Hg	200,54
Svanberg	1845	$\text{HgCl}_2 : \text{Hg}$	199,59
Millon	1846	$\text{HgCl}_2 : \text{Hg}$	200,21
Hardin	1896	HgO: Hg (elektrolytisch)	200,19
		$\text{HgCl}_2 : \text{Hg}$ "	200,04
		$\text{HgBr}_2 : \text{Hg}$ "	199,89
		$\text{Hg}(\text{CN})_2 : \text{Hg}$ "	199,99
		Hg: 2Ag "	200,02

Schlußfolgerung.

Die Resultate von Sefström und Turner können als antiquiert übergangen werden. Die Zahl von Svanberg (199,59) ist entschieden zu niedrig.

Viel näher der Wahrheit zu liegen scheint die Zahl von Millon $\text{Hg} = 200,21$, doch sind leider die näheren Versuchsdata nicht bekannt.

Es bleiben nur die einerseits von Erdmann und Marchand, andererseits von Hardin ermittelten Zahlen zur Erwägung über das endgültige Atomgewicht übrig. Die von Erdmann und Marchand aus dem Oxyd erhaltene Zahl ist $\text{Hg} = 200,10$ und es scheint, daß dieselbe dem wahren Atomgewicht des Quecksilbers am nächsten liegt, doch scheint sie noch um ein geringes zu niedrig zu sein, da, wie u. a. auch von Berthelot nachgewiesen wurde, das Quecksilber bei gewöhnlicher Temperatur merklich flüchtig ist und der erzeugte Quecksilberdampf wohl nicht vollständig kondensiert und zur Wägung gebracht wurde. Sollte die Arbeit mit modernen Mitteln wiederholt werden, so müßte man sich zur vollständigen Kondensation des Quecksilberdampfes einer sehr niedrigen Temperatur, z. B. derjenigen der flüssigen Luft bedienen. Es wäre auch die Okklusion von Gasen im Oxyd zu berücksichtigen. — Dagegen scheint die aus dem Sulfid erhaltene Zahl, $\text{Hg} = 200,54$ zu hoch zu sein.

Was die von Hardin erhaltenen Resultate anbelangt, so ergibt sich aus allen fünf, zwischen $\text{Hg} = 199,89$ — $200,19$ schwankenden Zahlen der Mittelwert $\text{Hg} = 200,022$. Verwirft man jedoch das unter a) aus dem Oxyd erhaltene Resultat, so ergibt sich das Mittel $\text{Hg} = 199,984$. Diese Zahl halte ich entschieden für zu niedrig und es scheint mir, daß die beim Kadmium erhaltenen Resultate einiges Licht auf die vorliegende Frage werfen können. Lorimer und Smith sowie Hardin erhielten durch Elektrolyse von Cyankaliumlösungen des Kadmiumoxyds, Bromids und Chlorids in merkwürdiger Übereinstimmung die zu niedrige Zahl $\text{Cd} = 112,06$, während das wahre Atomgewicht mindestens $\text{Cd} = 112,3$ beträgt. Es ist möglich, daß, ebenso wie beim Kadmium, auch bei der Elektrolyse der Quecksilberverbindungen nicht das sämtliche Metall zur Wägung gebracht wurde und daß aus diesem Grunde die von Hardin erhaltenen Atomgewichtswerte des Quecksilbers zu niedrig sind.

Als Atomgewicht des Quecksilbers empfehle ich in Übereinstimmung mit der internationalen Atomgewichtskommission den von ihr ursprünglich empfohlenen Wert

$$\text{Hg} = 200,3 \text{ (III)}$$

mit einer Unsicherheit in der ersten Dezimalstelle und halte dafür, daß dieser Wert der Wahrheit näher liegt, als der später von der „engeren Kommission“ gewählte und in die Tafel jetzt eingeführte Wert $\text{Hg} = 200,0$, bei dessen Wahl den Versuchen von Hardin ein zu großes „Gewicht“ beigelegt wurde.

Eine Neubestimmung dieser Konstante halte ich für sehr erforderlich.

-
- 1) Allgemeine Bemerkungen über Atomgewichte siehe beim Beryllium, S. 26.
 - 2) Sefström, zitiert von Berzelius in K. Vet. Akad. Handl. **1813**, 186.
 - 3) Turner, Phil. Trans. 1833, 531—535.
 - 4) Erdmann und Marchand, Journ. prakt. Chem. **31**, 395.
 - 5) Svanberg, Öfvers. Akad. Förh. 1845, 135; Journ. prakt. Chem. **45**, 468, 1848.
 - 6) Millon, Ann. chim. phys. (3), **18**, 345.
 - 7) Hardin, Journ. Amer. Chem. Soc. **18**, 1003.

Brauner.

Nachträge.

Gruppenübersicht (zu S. 3).

Die Abstufung in der Zersetzbarkeit der Carbonate wird vortrefflich durch folgende Zahlen von Brill¹⁾ illustriert: Es erreichen den CO_2 -Dissoziationsdruck von 1 Atm.

BaCO_3	SrCO_3	CaCO_3	MgCO_3
bei ca. 1450°	1150°	825°	250°

(Die drei ersteren zerfallen direkt in Oxyd + CO_2 , MgCO_3 liefert viele Zwischenstufen basischer Carbonate, was auch für schwächere Ionen charakteristisch zu sein scheint.) (R. A.)

Mg (zu S. 43).

Kolloidales Magnesium.²⁾ Durch Erzeugung eines Lichtbogens zwischen chemisch reinen Magnesiumstäben von 4,8 mm Durchmesser unter absolutem oder 97prozentigem Alkohol bei 110 Volt und 5—6 Amp. entsteht das Alkosol des Magnesiums als im durchfallenden Lichte rötlichbraune, im auffallenden grau getrübe Flüssigkeit, welche, wie alle Metallsole, das Licht stark absorbiert, so zwar, daß eine Schicht von 10,5 cm Dicke ungefähr von der E-Linie an keine Strahlen mehr durchläßt. Das Sol ist sehr beständig, läßt sich filtrieren, sogar im geschlossenen Gefäß bis 135° erhitzen, ohne in das Gel überzugehen. Es kann durch Eindampfen, ohne Veränderung zu erleiden, stark konzentriert werden (z. B. bis 50 mg Mg auf 100 ccm Sol). Salzsäure löst nur das Magnesium und läßt eine geringe von Kohle herrührende Färbung zurück, andere Elektrolyte dagegen fällen das Gel des Magnesiums. Erhitzen mit Wasser erzeugt weiße Flocken von Magnesiumhydroxyd, daher läßt sich auch durch den Lichtbogen in verdünntem Alkohol oder gar Wasser kein Magnesiumsol darstellen: es zersetzt sofort das Wasser (Lottermoser).

Ra (zu S. 308).

Aus der Unzersetzlichkeit des RaSO_4 mit Alkalien (S. 307) geht hervor, daß seine Löslichkeit (S. 308) jedenfalls geringer als die der zersetzlichen Homologen CaSO_4 und SrSO_4 ist (vergl. S. 272), also ganz so, wie es die Reihenfolge (s. S. 2) Ca, Sr, Ba, Ra verlangt. (R. A.)

Cd (zu S. 485).

Über die Abstufung in der Komplexität der Cd-Salze gibt vorzügliche Auskunft folgender Vergleich von Ley.³⁾ Der Abfall Δ der Molarleitfähigkeit μ zwischen den Verdünnungen 32 und 1000 Liter ergibt bei 18°

1) Ztschr. anorg. Chem. **45**, 275, 1905.

2) Degen, Dissert. Greifswald 1903.

3) Ztschr. physik. Chem. **30**, 233, 1899.

	$\text{Cd}(\text{NO}_3)_2$	CdCl_2	CdBr_2	CdJ_2
$\lambda =$	18,9	34,9	42,4	49,7
$\mu_{1000} =$	101,3	97,9	96,2	91,6
$\mu_{32} =$	82,4	63,0	53,8	41,9

Die Leitfähigkeiten sind bei der großen Verdünnung 1000 entsprechend der nahe gleichen Beweglichkeit der 4 Anionen nicht sehr verschieden, also die Ionisation nahezu gleich. Beim Nitrat nimmt sie bei steigender Konzentration ungefähr in dem Betrage, wie bei jedem normal dissoziierten ternären Salze ab, bei den Haloiden jedoch geht offenbar durch die Bildung komplexer Ionen, zunehmend vom Chlorid zum Jodid, die Ionisation stark zurück; denn die aktive Masse des dissoziierbaren Salzes wird durch Addition in die Ionenkomplexe stark verringert. (R. A.)

Hg (zu S. 671).

$\text{Hg}(\text{NH}_3)_2\text{Br}_2$ entsteht durch Einleiten von Ammoniak in eine ätherisch-alkoholische HgBr_2 -Lösung als weißes anscheinend amorphes Pulver, das mit dem schmelzbaren Präzipitat die größte Ähnlichkeit besitzt. Schmelzpunkt 196° unter Gasentwicklung; durch warmes Wasser wird es zersetzt unter Bildung einer gelben Verbindung, wahrscheinlich das Bromid der Millonschen Base. Die Ammoniak-tension über dem festen Bromid liegt bei 35° unterhalb 2 mm, ist also beträchtlich geringer als die des entsprechenden Jodids (72 mm bei 35°).

Entgegen der Ansicht Roses absorbiert fein verteiltes festes Mercuribromid bei gewöhnlicher 2 Moleküle NH_3 -Gas unter Bildung obiger Verbindung.

(H. Ley u. G. Wiegner.)

Hg (zu S. 664).

Die erhebliche Komplexbildungstendenz mit NO_2' dokumentiert sich darin, daß Mercuronitrat durch Nitritzusatz sofort Hg-Metall abscheidet und Mercuri-komplex bildet. Messungen von Pick (noch unveröffentl. Breslauer Arbeit) ergeben für die Konstante

$$\frac{\text{Hg}(\text{NO}_2)_4''}{(\text{Hg}'') \cdot (\text{NO}_2')^4} = 3 \cdot 10^{13}$$

nach der Bodländerschen Potentialmethode (s. S. 639). Legt man hier, wie beim Mercurichloridkomplex die Hg'' -Konzentrationswerte von Ley und Heimbucher (S. 600) zu Grunde, so ist der Chloridkomplex des gleichen Typus etwa von 500-facher Beständigkeit des Nitritkomplexes. Der geringeren Stabilität des NO_2' -Komplexes entspricht es auch, daß Kalomel durch Alkalinitrit nicht in meßbarem Grade zur Abspaltung von metallischem Hg veranlaßt wird, sondern weiß bleibt. (R. A.)

Sachregister.

Ätzbaryt 259.
 Ätzkalk 200.
 Affinitätsabstufung in der
 2. Gruppe 1.
 Alabaster 131.
 Alkaliberylliumsulfite 19.
 Alkaliberylliumtartrate 23.
 Aludelöfen 540.
 Aluminate 194.
 Aluminiumchlorid 181.
 Aluminiumsulfat 195.
 — verbindungen 195.
 Amalgame: 569.
 — Aluminium 596.
 — Ammonium 578.
 — Barium 573, 589.
 — Blei 597.
 — Cadmium 573, 593.
 — Calcium 588.
 — Cer 596.
 — Darstellung der 578.
 — feste, ihre Natur 571.
 — Gold 592.
 — Kalium 572, 585.
 — Konzentrationsketten
 569.
 — Kupfer 590.
 — Lithium 572, 580.
 — Magnesium 588.
 — Natrium 572, 581.
 — Rubidium 587.
 — Silber 574, 590.
 — Strontium 573, 588.
 — Thallium 596.
 — Wismut 597.
 — Zink 593.
 — Zinn 596.
 — mercuriverbindungen
 663, 670.
 — quecksilber — 665.
 Ammoniumcadmiumbro-
 mid 498.

Ammoniumcadmiumchlo-
 ride 494.
 — — jodide 499.
 — magnesiumarsenat 66.
 — — carbonat 71.
 — — chlorid 51.
 — — phosphat 65.
 — — sulfat 61.
 — mercurisulfonat 659.
 Anhydrit 131 ff.
 Apatit 153.
 Aragonit 154.
 Arguerit 590.
 Asbest 73.
 Astrakanit 61.
 Atomgewicht
 — allgem. Bemerkungen 26.
 — Barium 299.
 — Beryllium 26.
 — Cadmium 534.
 — Calcium 175.
 — Magnesium 80.
 — Quecksilber 688.
 — Radium 310.
 — Strontium 237.
 — Zink 427.

Barium 242.
 — Analytisches Verhalten
 244.
 — Darstellung von Barium
 242.
 — Eigenschaften des metal-
 lischen 243.
 — Geschichte 242.
 — Vorkommen 242.
 — Atomgewicht 299.
 — acetat 287.
 — amid 267.
 — amidosulfat 277.
 — arsenate 283.

Bariumarsenid 267.
 — arsenit 283.
 — borfluorid 245.
 — borate 286.
 — borid 268.
 — bromat 270.
 — bromid 253.
 — carbid 267.
 — cadmiumbromid 499.
 — — chlorid 495.
 — — formiat 506.
 — — jodid 500.
 — carbonat 284.
 — carbonyl 245, 267.
 — chlorat 268.
 — chlorid 181, 245.
 — chlorit 268.
 — cyanid 258.
 — dithionat 276.
 — fluorid 245.
 — formiat 286.
 — hydrid 244.
 — hydrophosphit 280.
 — — sulfid 271.
 — hydroxyd 259.
 — hypobromit 269.
 — — chlorit 268.
 — — nitrit 276.
 — — phosphat 281.
 — — phosphit 280.
 — imidosulfat 277.
 — jodat 270.
 — jodid 256.
 — — basisches 258.
 — kieselfluorid 245.
 — Literatur 290.
 — metaantimonit 283.
 — nitrid 267.
 — nitrat 278.
 — nitrit 277.
 — nitrososulfat 277.
 — orthophosphat 281.

- Bariumoxalat 288.
 — — saures 289.
 — oxychloride 253.
 — oxyd 259.
 — pentasulfid 266.
 — — thionat 276.
 — perbromat 270.
 — perchlorat 269.
 — perjodate 270.
 — phosphid 267.
 — polysulfide 266.
 — pyrosulfarsenat 283.
 — rhodanid 258.
 — selenid 266.
 — silicat 286.
 — silicid 268.
 — stickoxydschwefelsaures 277.
 — subchlorid 253.
 — sulfarsenat 283.
 — — arsenite 283.
 — sulfhydrat 265.
 — sulfat 271.
 — sulfid 265.
 — sulfit 271.
 — superoxyd 263.
 — tartrat 290.
 — tetrajodid 258.
 — — sulfid 266.
 — — thionat 276.
 — thiosulfat 271.
 — trithionat 276.
 Barytcoelestin 224.
 salpeter 278.
 Belugenstein 151.
 Beryllium 5.
 — Atomgewicht 26.
 — acetat 22.
 — acetylacetat 24.
 — Alkylverbindungen 15.
 — ammoniumphosphat 21.
 — borat 22.
 — bromid 16.
 — carbid 19.
 — carbonat 21.
 — — basisches 21.
 — chlorat 19.
 — chlorid 15.
 — — basisches 16.
 — cyanid 17.
 — doppelfluoride 15.
 — Eigenschaften des Metalles 11.
 — ferricyanid 17.
 Berylliumferrocyanid 17.
 — fluorid 15.
 — formiat 22.
 — Geschichtliches 5.
 — Gewinnung des Metalls 10.
 — Hydrolyse der Salze 13.
 — hydroxyd 17.
 — jodid 27.
 — Ionenbildung 12.
 — Komplexbildung 13.
 — Lösungstension 12.
 — nitrat 20.
 — orthophosphat 21.
 — oxalat 22.
 — oxyd 18.
 — perchlorat 19.
 — perjodat 19.
 — pyrophosphat 21.
 — Reinigungsmethoden der Verbindungen 9.
 — Reaktionen 13.
 — silicat 22.
 — Stellung im Elementensystem 7.
 — sulfat 19.
 — — basisch 20.
 — sulfit 19.
 — tartrate 23.
 — tellurid 19.
 — Vorkommen 5.
 — Wertigkeit 5.
 Bessemerbirne 152.
 Betonierung 204.
 Blende 313, 346.
 Boracit 74.
 Brushit 151.
 Brewsterit 286.
 Buchners Kristalle 118.
 Cadmium 434.
 — acetat 488.
 — ammoniakverbindungen 509.
 — arsenate 487.
 — arsenide 468.
 — basische Salze 507.
 — borat 488.
 — bromid 449.
 — carbonat 488.
 — chlorat 468.
 — chlorid 440.
 — — doppelsalze 490.
 Cadmiumcyanid 463.
 — dithionat 481.
 — doppelsalze 490.
 — —, organische 502.
 — doppelrhodanide 501.
 — fluorid 440.
 —, Doppelsalze 490.
 Cadmiumformiat 488.
 — halogenwasserstoffsäuren 490.
 — haloide 438.
 — hydroxyd 463.
 — jodid 455.
 — Literatur 519 ff.
 — metall 434.
 — — Hydrosol des 437.
 — metantimonat 488.
 — nitrat 481.
 — nitrid 468.
 — nitrit 485.
 — Normalelement 479.
 — oxalat 489.
 — — doppelsalze 506.
 — oxyd 464.
 — oxybromid 507.
 — — chloride 507.
 — — jodide 508.
 — — nitrat 508.
 — — sulfat 508.
 — peroxyde 465.
 — phosphate 485.
 — — doppelsalze 506.
 — phosphide 468.
 — pyridinverbindungen 512.
 — salze niederer Arsen-säuren 487.
 — salze, basische 507.
 — — der niederen Phosphorsäuren 487.
 — selenid 467.
 — selenat 481.
 — — doppelsalze 506.
 — selenit 481.
 — suboxyd 465.
 — sulfat 469.
 — sulfid 465.
 — sulfit 480.
 — — doppelsalze 505.
 — tellurid 467.
 — thiosulfat 481.
 — — doppelsalze 505.
 — thioacetat 490.
 — — hypophosphat 490.

Cadmiumthiopyrophosphat 489.
 Cäsiumcadmiumbromid 495.
 — — chlorid 494.
 — — jodid 499.
 Calcit 154.
 Calcium 87.
 — acetat 161.
 — amid 119.
 — ammonium 118.
 — — sulfat 141.
 — anhydrophosphat 147. 152.
 — arsenate 153.
 — arsenid 119.
 — borate 160.
 — borid 123.
 — bromid 106.
 — — basisches 109.
 — bromat 129.
 — bromit 129.
 — cadmiumchlorid 494.
 — carbid 119.
 — carbonat 154.
 — chlorat 129.
 — chlorid 93.
 — — Pyridin 163.
 — chlorür 105.
 — cyanamid 111.
 — cyanid 111.
 — Darstellung 87.
 — dihydrohypophosphit 144.
 — — — phosphat 145. 151.
 — — — phosphit 145.
 — dithionat 141.
 — Eigenschaften 89.
 — fluorid 92.
 — formiat 161.
 — Geschichte 87.
 — hydrid 91.
 — hydrophosphat 145. 151.
 — — phosphit 144.
 — — sulfid 117.
 — — sulfit 130.
 — hydroxyd 113. 180. 205.
 — hydroxyhydrosulfid 117.
 — hydroxylaminsaures 141.
 — hypobromit 129.
 — — chlorit 123.
 — — phosphat 145.
 — — nitrit 141.
 — — sulfit 130.

Calciumion 89.
 — jodat 129.
 — jodid 109.
 — imidosulfonat 141.
 — magnesiumcarbonat 72.
 — metaphosphat 153.
 — nitrat 141.
 — nitrid 118.
 — nitrit 141.
 — orthophosphat 145.
 — oxalat 162.
 — oxyd 111.
 — oxysulfide 117.
 — perchlorat 129.
 — — jodat 130.
 — phosphat 145. 148.
 — — Löslichkeit in Säuren 148.
 — phosphid 119.
 — polysulfide 117.
 — pyroarsenat 154.
 — — phosphat 153.
 — salze, Löslichkeit 90.
 — selenid 118.
 — silicate 159. 183.
 — silicid 122.
 — sulfarsenit 154.
 — sulfat 131. 180. 183.
 — sulfid 116.
 — — saures 140.
 — sulfit 130.
 — superoxyd 115.
 — tartrat 163.
 — tetrajodid 111.
 — thiosulfat 130.
 — Quantitative Bestimmung des Ca 90.
 — Vorkommen 87.
 Calomel 599.
 Cantonsphosphor 116.
 Carnallit 48.
 Chlorcalcium 93. 98f.
 Chlorkalk 123.
 Chlorquecksilbersulfonat-Ammonium 660.
 — — — Kalium 660.
 Cobaltcadmiumchloride 496.

Doppelspat 154.
 Drummondsches Kalklicht 113.
 Düngemittel 152.

Eau de Javelle 125.
 Eisencadmiumsulfat 504.
 — — chloride 495.
 Elektroaffinitätsreihenfolge 1.
 Erhärtungsvorgang (Mörtel) 195.
 Estrichgips 140. 183 ff.

Fraueneis 131.

Galmei (Kiesel) 313. 374.
 Gips 131 ff.
 — spat 131.
 — stein 131.
 Glauberit 140.
 Goslarit 352.
 Greenockit 434.
 Gruppenübersicht 1.
 Guano 152.

Haidingerit 153.
 Harmotom 286.
 Herschells Kristalle 117.
 Hyalophan 286.
 Hydratation (Mörtel) 195.
 Hydridbildung der zweiten Gruppe 3.
 Hydrophosphationen, ihr Gleichgewicht 145.
 Hydrosol des Cadmiummetalls 437.

Kainit 62.
 Kaliborit 73.
 Kaliumberyllat 18.
 Kaliumcadmiumbromid 497.
 — — chloride 492.
 — — jodid 498.
 — — mercurisulfonat 659.
 — — nitrit 506.
 — — sulfat 502.
 — — doppelsalze 502.
 Kaliumcalciummagnesiumsulfat 62.
 — hydromagnesiumcarbonat 70.
 — magnesiumsulfat 60.
 — magnesiumthiosulfat 63.
 Kalk, gelöschter 113. 187.

Kalkmergelnieren 187.
 Kalkmilch 182.
 Kalkspat 154.
 — sinter 154.
 — stein 154. 191.
 Kalomel 599.
 Kaluscit 141.
 Kieselzinkerz 313. 374.
 Kolloides Cadmium 437.
 Kolloidales Quecksilber 547.
 Kolloidale Quecksilberhalogenverbindungen 603.
 — — oxydverbindungen 630.
 — — sulfid 633.
 — Zink 316.
 — — sulfid 349.
 Konchit 155f.
 Kottigit 373.
 Kreide 154f.
 Kunststeine 205.
 Kupfercadmiumchloride 496.
 Kupfercadmiumsulfat 504.

Langbeinit 61.
 Lapis specularis 131.
 Leonit 61.
 Leopoldlöfen 540.
 Literatur:
 — Barium 290ff.
 — — Atomgewicht 306.
 — Beryllium 24ff.
 — — Atomgewicht 31f.
 — Cadmium 519ff.
 — — Atomgewicht 539.
 — Calcium 164ff.
 — — Atomgewicht 179.
 — Magnesium 76ff.
 — — Atomgewicht 86.
 — — Mörtel 205.
 — Radium 309.
 — — Atomgewicht 312.
 — Strontium 232ff.
 — — Atomgewicht 241.
 — Quecksilber 674ff.
 — — Atomgewicht 688.
 — Zink 408ff.
 — — Atomgewicht 433.
 Lithiumcadmiumchlorid 494.
 Löschen des Kalkes 113. 181.

Löslichkeit der Cadmiumhaloide 439.
 — Calciumsalze 90.
 — Erdalkalisalze 2.
 — Magnesiumsalze 40.
 — Zinkhaloide 320.
 Loewit 62.

Magnesia alba 34. 68.
 Magnesium 33.
 — acetat 74.
 — alkylhaloide 44.
 — — verbindungen 43.
 — Analytisches Verhalten und Ionenreaktionen 39.
 — arsenid 56.
 — atomgewicht 80.
 — borate 73.
 — Beziehung zu anderen Elementen 43.
 — borid 56.
 — bromat 57.
 — bromid 52.
 — cadmiumchloride 496.
 — cadmiumsulfat 504.
 — carbid 56.
 — carbonat 66.
 — Chemische Eigenschaften des Metalls 36.
 — chlorat 57.
 — chlorid 45.
 — — basisches 52.
 — citrat 75.
 — Darstellung des Metalls 34.
 — dimethyl 43.
 — diphenyl 44.
 — fluorid 44.
 — formiat 74.
 — Geschichtliches 33.
 — hydrocarbonat 69.
 — — sulfat 60.
 — — sulfid 55.
 — — orthophosphat 65.
 — hydroxyd 53.
 — hypobromit 56.
 — hypochlorit 56.
 — hypophosphit 64.
 — Ionenbildung 38.
 — jodat 57.
 — jodid 53.
 — Lösungstension 37.
 — metaantimonat 66.

Magnesiumnitrat 64.
 — nitrid 55.
 — nitrit 64.
 — orthoarsenat 66.
 — — phosphat 64.
 — oxalat 74.
 — oxyd 53.
 — periodat 57.
 — peroxyd 54.
 — phosphid 55.
 — phosphit 64.
 — Physikalische Eigenschaften des Metalls 36.
 — pyrophosphat 66.
 — salze, Löslichkeitstabelle 39.
 — tartrat 75.
 — thiosulfat 63.
 — selenat 63.
 — selenid 55.
 — silicat 72.
 — sulfat 57.
 — sulfid 54.
 — sulfit 57.
 — Vorkommen 33.
 — wasserstoff 43.
 Mangancadmiumchloride 496.
 Marienglas 131.
 Marmor 154f.
 Meerschaum 73.
 Mercuriacetat 628.
 — ammine 664.
 — ammoniak 666.
 — ammoniumverbindungen 663. 665. 674.
 — arsenit, basisches 637.
 — bromat 634.
 — bromid 623.
 — —, Derivate 668. 671.
 — —, Komplexsalze 644.
 — bromocyanide 652.
 — carbonat 637.
 — chlorid 614.
 — —, Derivate 669.
 — —, Komplexsalze 641.
 — chlorocyanide 652.
 — cyanid 627.
 — —, Komplexsalze 650.
 — —, Verbindungen 672.
 — fluorid 612.
 — formiat 628.
 — hexametaphosphat 637.
 — hyponitrit 635.

Mercuriion 555.

- jodat 634.
 - jodid 624.
 - —, Komplexsalze 646.
 - —, Verbindungen 671.
 - jodocyanide 653.
 - nitrat 636. 661.
 - nitrit 635. 661.
 - orthoarsenat 637.
 - — phosphat 634.
 - oxalat 628.
 - — komplexe 664.
 - oxybromide 624.
 - oxychloride 622.
 - oxyd 628.
 - perchlorat 634.
 - perjodat 634.
 - phosphid 633.
 - pyrophosphat 637.
 - rhodanid 627.
 - —, seine Komplexsalze 657.
 - rhodanocyanide 653.
 - salze 555. 6 2.
 - sauerstoffsäuren 669.
 - selenid 633.
 - stickstoffverbindungen 663.
 - sulfat 635. 661.
 - sulfid 631.
 - —, Komplexe 659.
 - sulfi 634.
 - — Komplexe 661.
 - — basisches Salz 634.
- Mercurius solubilis Hahnemannii 665.**
- Mercurioacetat 604.**
- aminverbindungen 662.
 - bromat 607.
 - bromid 601.
 - carbonat 611.
 - chlorat 606.
 - chlorid 599.
 - cyanat 603.
 - dithionat 608.
 - fluorid 599.
 - formiat 603.
 - ion 553.
 - jodat 607.
 - jodid 601.
 - metaarsenat 611.
 - — arsenit 611.
 - hexametaphosphat 610.
 - hydroxyd 604.

Mercuronitrat 609.

- nitrit 609.
 - orthoarsenat 611.
 - — arsenit 611.
 - orthophosphat 610.
 - oxyd 604.
 - oxalat 604.
 - perchlorat 606.
 - perjodat 607.
 - pyrophosphat 610.
 - rhodanid 603.
 - salze 553. 598.
 - selenat 608.
 - selenit 608.
 - sulfat 607.
 - sulfid 604.
 - sulfit 607.
- Mergel 155. 191.**
- Messing 313.**
- Metabrushit 151.**
- Millonsche Base 665. 671 f.**
- Monomagnesiumperjodat 57.**
- Mörtel 180.**

Natriumcadmiumbromid 497.

- — chlorid 493.
 - — jodid 499.
 - — sulfat 502.
 - magnesiumcarbonat 72.
 - sulfat 61.
 - mercurisulfonat 658.
- Nickelcadmiumchloride 496.**

Okenit 160.

- Ornithit 152.**
- Osteolith 152.**

Pharmakolith 153.

- Phosphationen, Gleichgewicht 145.**
- Phosphoreszenz 265.**
- Phosphorit 152.**
- Plombierit 160.**
- Polyhalit 141.**
- Präzipitat, schmelzbarer weißer 667. 669.**
- , unschmelzbarer 668.
- Puzziolane 187. 189.**

Pyrochemische Phase (Mörtel) 193.**Quecksilber 540.**

- Aggregatzustandsänderungen 545.
- Amine 663.
- Analytischer Nachweis 543.
- bromocyanide 652.
- chemische und physikalische Konstanten 544.
- chlorocyanide 652.
- Dissoziation der Salze 552.
- cadmiumhaloide 501.
- Dampfdruckerniedrigung durch gelöste Metalle 570.
- Elektrochemie 558.
- Gefrierpunkterniedrigungen durch gelöste Metalle 571.
- Gewinnung 540.
- seine Homologen im periodischen System 549.
- hornertz 599.
- ionen, Eigenschaften 553.
- jodocyanide 653.
- kohlenstoffverbindungen 551.
- kolloidales 547.
- lebererz 540.
- quantitative Bestimmung 543.
- Reinigung 541.
- rhodanocyanide 654.
- thermische Konstanten 547.
- Thermochemie 557.
- Vorkommen 540.
- salze, Eigenschaften 553.
- stickstoffverbindungen 551.

Radium 307.

- Atomgewicht 310.
- Literatur 309.
- Reaktionslosigkeit (Mörtel) 203.**
- Rhoelizit 160.**

Rubidiumcadmiumbromid
497.
— — chlorid 493.

Santorinerde 189.

Schönit 60.

Schwerspat 271.

Selenit 131.

— mörtel 205.

Sinterung (Mörtel) 192.

Stabilität d. Carbonate 3.

— Hydroxyde 3.

— der Superoxyde 3.

Stampfbeton 205.

Stickstoffbarium 267.

— quecksilberverbindungen
662.

Strontium 207.

— acetat 231.

— arsenat 229.

— arsenid 222.

— arsenit 229.

— Atomgewicht 237.

— borat 230.

— borid 222.

— bromat 223.

— bromid 214.

— cadmiumchlorid 495.

— cadmiumjodid 500.

— carbid 222.

— carbonat 227.

— chlorat 222.

— chlorid 208f.

— chlorit 222.

— cyanid 218.

— Darstellung des Metalls
207.

— dihydrohypophosphit
228.

— dithionat 225.

— Eigenschaften 207.

— fluorid 208.

— formiat 231.

— Geschichte 207.

— hydrid 208.

— hydrophosphat 228.

— — sulfat 225.

— — sulfid 221.

— — sulfit 223.

— hydroxyd 218.

— hyponitrit 225.

— ion 208.

— jodat 223.

Strontiumjodid 216.

— kaliumorthophosphat
229.

— metaphosphat 229.

— natriumorthophosphat
229.

— nitrat 226.

— nitrid 222.

— nitrit 225.

— orthophosphate 228.

— oxalat 232.

— oxyd 218.

— perchlorat 223.

— perjodat 223.

— phosphat 228.

— phosphid 222.

— polyjodid 218.

— pyrophosphat 229.

— pyrosulfat 225.

— Quantitative Bestim-
mung 208.

— rhodanid 218.

— selenid 222.

— silicid 222.

— silicat 230.

— sulfat 224.

— sulfid 221.

— sulfit 223.

— sulfoarsenit 229.

Strontiumsuperoxyd 220.

— tartrat 232.

— tetrathionat 225.

— tetrasulfid 221.

— thiosulfat 224.

— Vorkommen 207.

Stuckgips 185.

Sublimat 614.

— Ammoniak-etc. Verbin-
dungen 667.

Superoxyde, Stabilität 3.

Superphosphat 152.

Syngenit 141.

Tachhydrit 51.

Thomasschlacke 152.

Thomasverfahren 152.

Totgebrannter Gips 183.

— Kalk 181.

Trasse 189.

Tropfstein 154.

Troostit 374.

Vanthoffit 62.

Willemmit 374.

Williamit 374.

Witherit 284.

Wollastonit 159.

Würtzit 346.

Zement-Magnesia 205.

— Marmor 205.

— Metall 205.

Zemente 187.

— Portland — 187ff., 191,
199ff.

— Roman — 187ff.

Ziegelerz 540.

Zinnober 540.

Zink 313.

— acetat 576.

— additionsverbindungen
398.

— amid 398.

— ammoniak 398.

— salze 399.

— antimonat 374.

— arsenat 373.

— arsenide 350.

Zinkate 338.

Zinkblende 313, 346.

— borate 375.

Zinkbromat 351.

— bromid 332 384.

— -Atomgewicht 427.

— carbonat 374.

— chlorat 351.

— chlorid 321, 380.

— cyanid 337.

— dithionat 366.

— doppelbromide 384.

— — chloride 380.

— — cyanide 384.

— — formiate 398.

— — jodide 384.

— — nitrite 397.

— — phosphate 397.

— — rhodanide 386.

— — salze, organische 398.

— — selenate 395.

— — selenite 397.

— — sulfate 388.

— — sulfite 395.

— fluorid 320.

— formiat 375.

— haloide 320.

— hydroxyd 338.

Zinkion 316.
— jodat 351.
— jodid 334.
— literatur 408.
— metall 313.
— nitrat 367.
— nitrid 350.
— nitrit 372.
— peroxyd 346.

Zinkoxalat 378.
— oxyd 345.
— perchlorat 351.
— phosphate 372.
— phosphid 350.
— phosphite 372.
— rhodanid 337.
— selenat 366.
— selenid 349.

Zinkselenite 367.
— silicat 374.
— silicid 350.
— sulfat 351.
— sulfid 346.
— tellurid 349.
— thiosulfat 366.
— tetrathionat 366.
— vitriol 351.



